

Integrative Structure Validation Report

July 22, 2024 - 03:59 PM PDT

The following software was used in the production of this report:

Python-IHM Version 1.3

MolProbity Version 4.5.2

Integrative Modeling Validation Version 1.2

PDB ID	9A08
PDB-Dev ID	PDBDEV_00000044
Structure Title	Structures of multiple states of the T4 lysozyme resolved by FRET
Structure Authors	Dimura M; Peulen TO; Sanabria H; Rodnin D; Hemmen K; Hanke CA; Seidel CAM; Gohlke H; Sanabria H ; Peulen T; Felekyan S; Fleissner MR; Koberling F; Kuehnemuth R; Hubbell W

This is a PDB-Dev IM Structure Validation Report for a publicly released PDB-Dev entry.

We welcome your comments at pdb-dev@mail.wwpdb.org

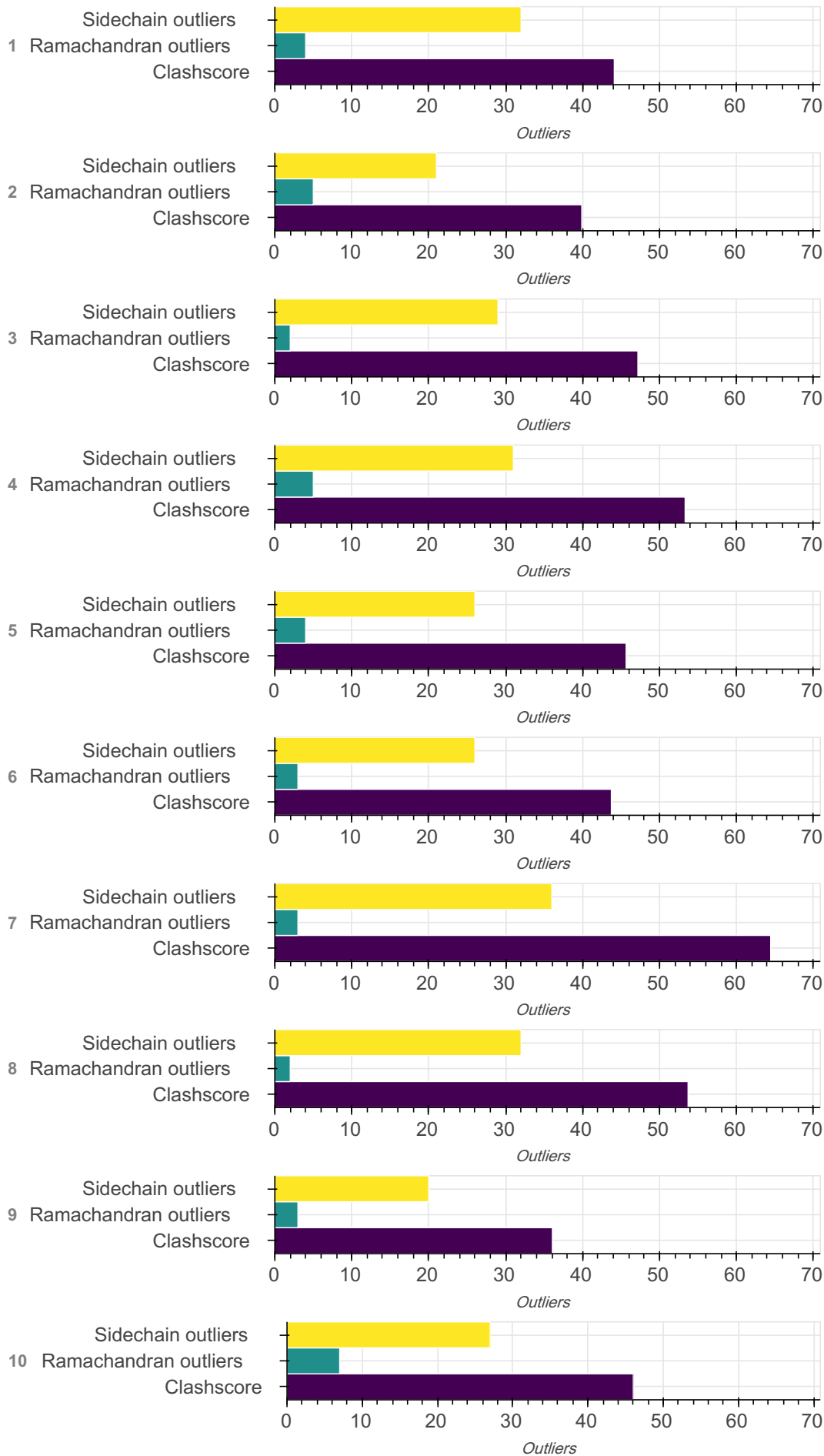
A user guide is available at https://pdb-dev.wwpdb.org/validation_help.html with specific help available everywhere you see the  symbol.

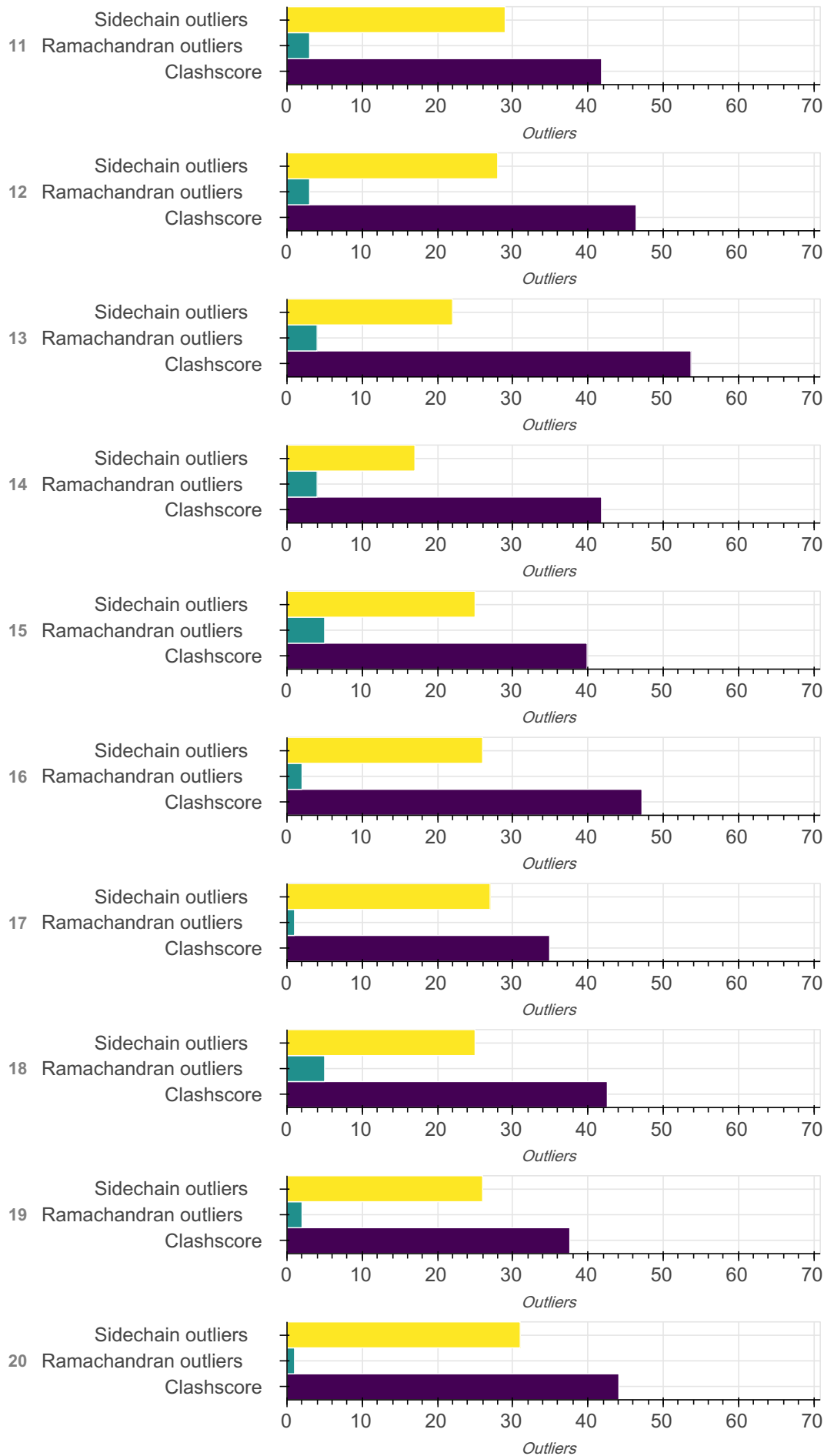
List of references used to build this report is available [here](#).

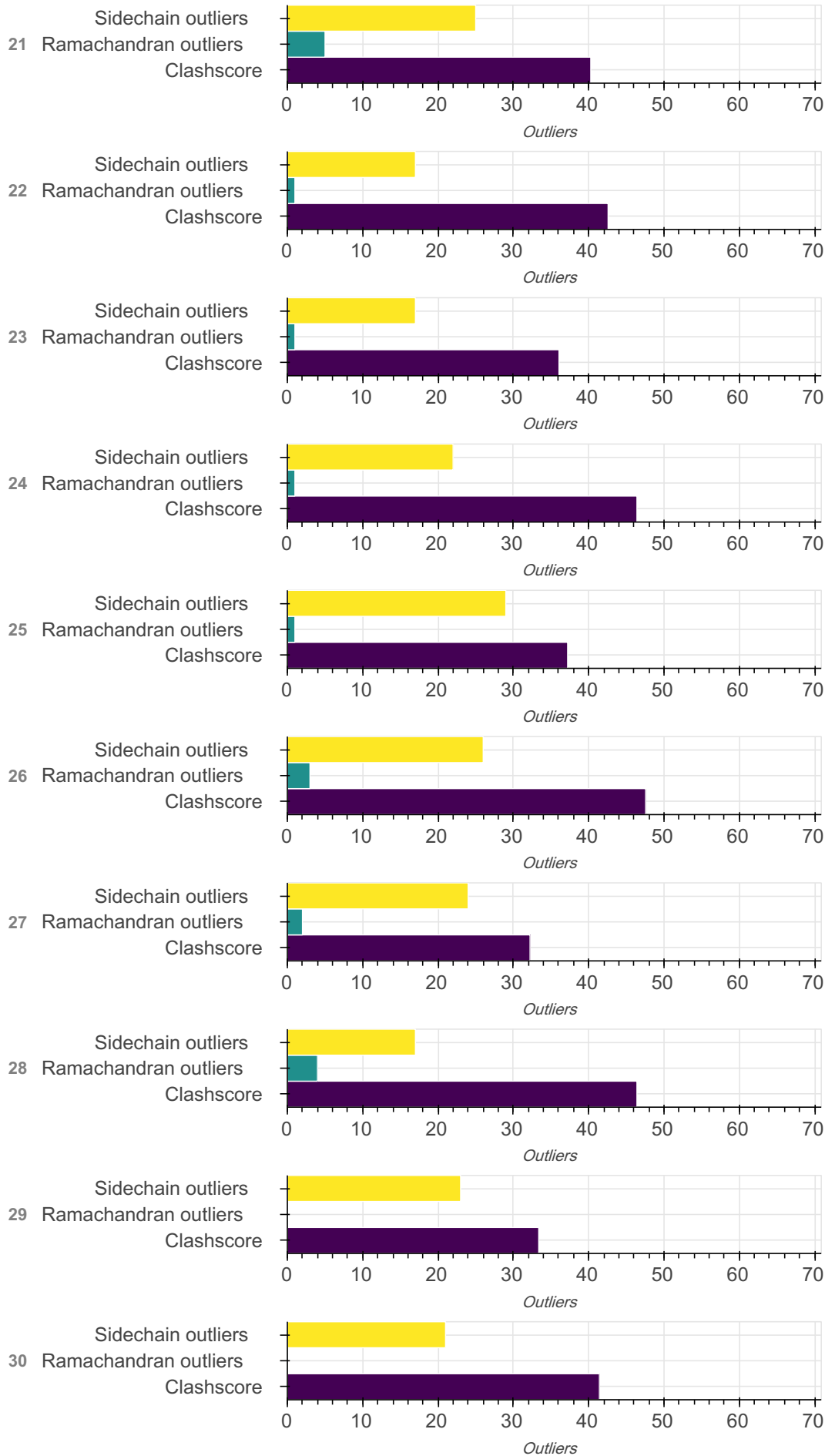
Overall quality

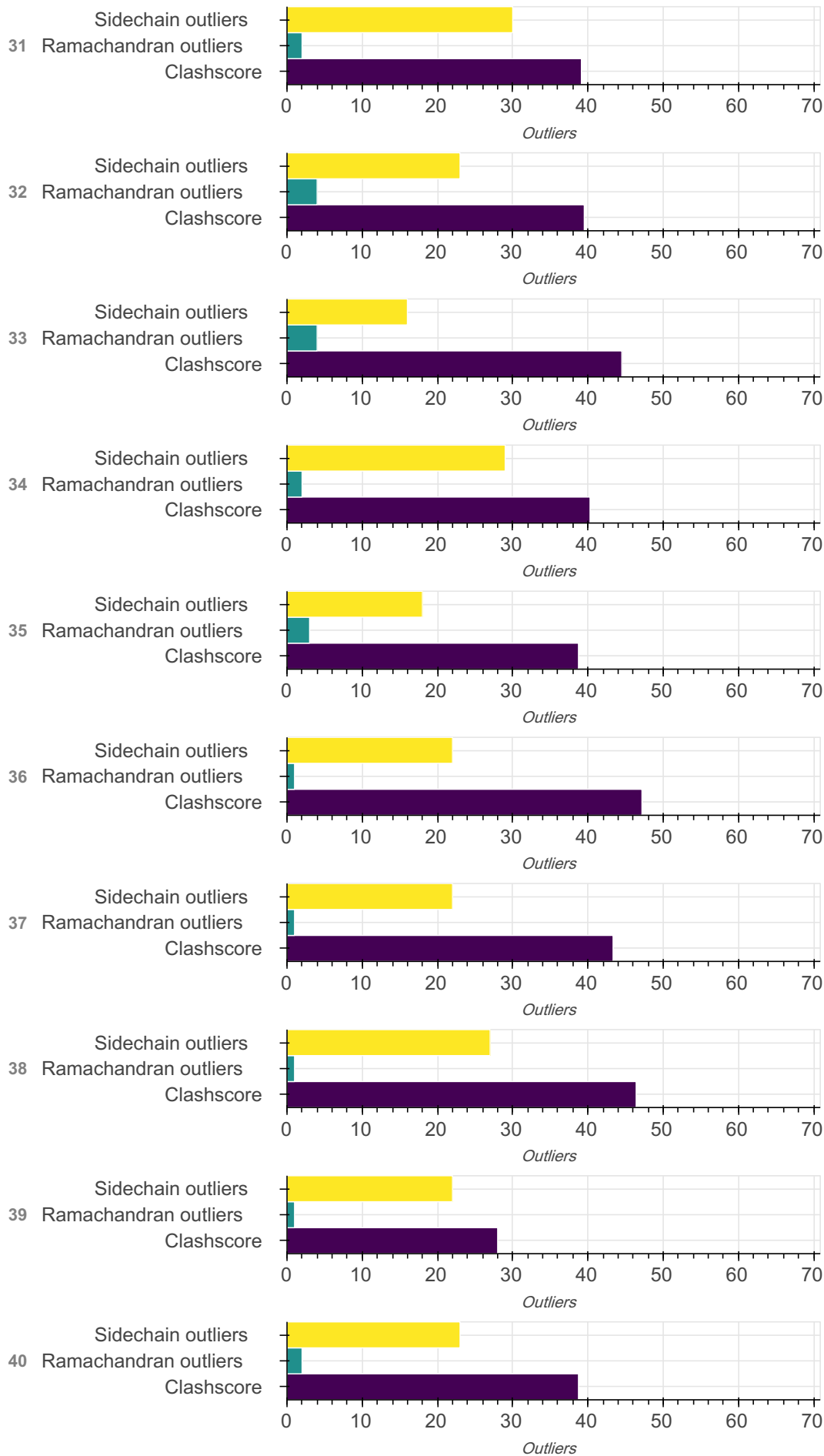
This validation report contains model quality assessments for all structures, data quality assessment for SAS datasets and fit to model assessments for SAS datasets. Data quality and fit to model assessments for other datasets and model uncertainty are under development. Number of plots is limited to 256.

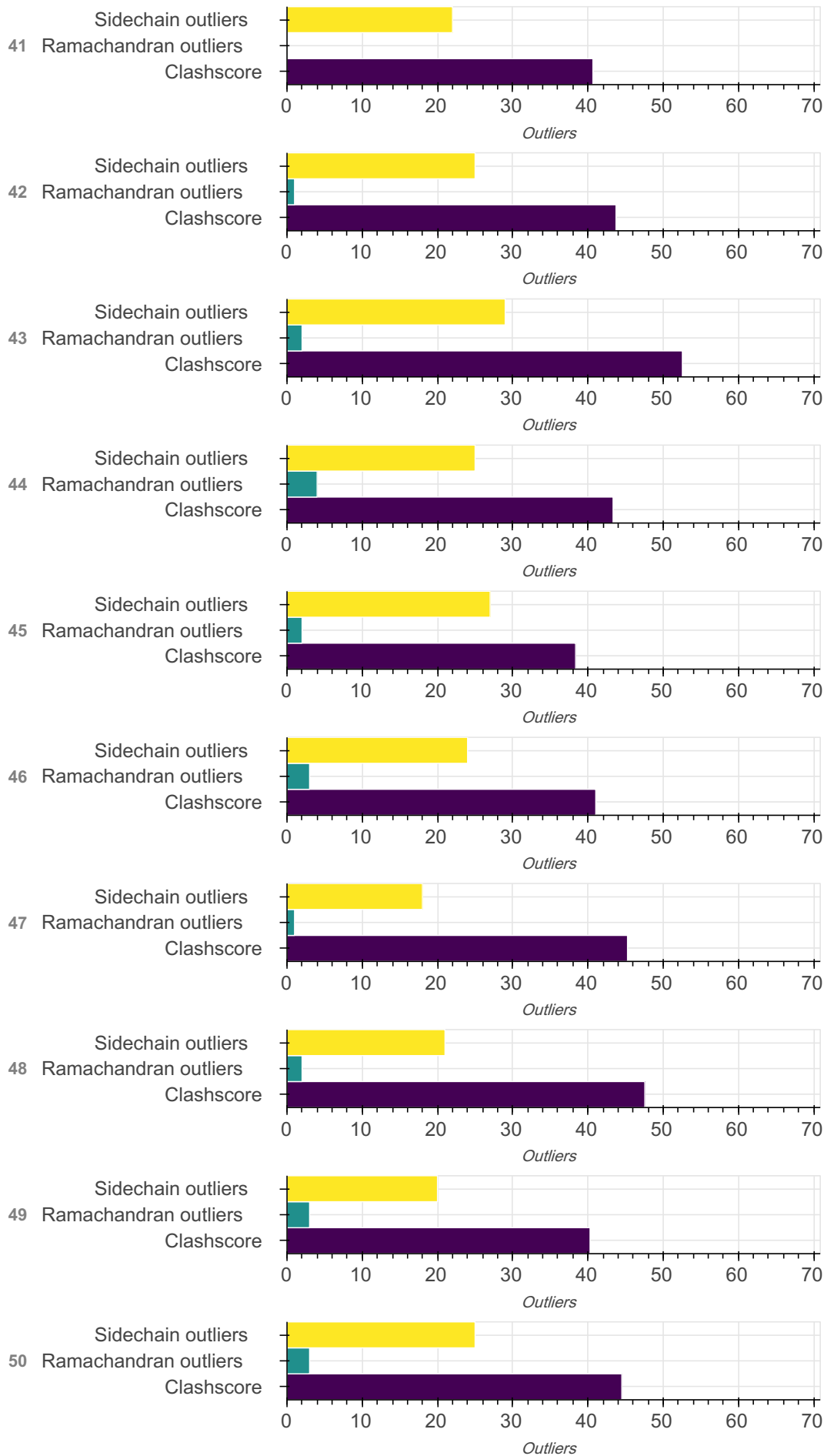
Model Quality: MolProbity Analysis

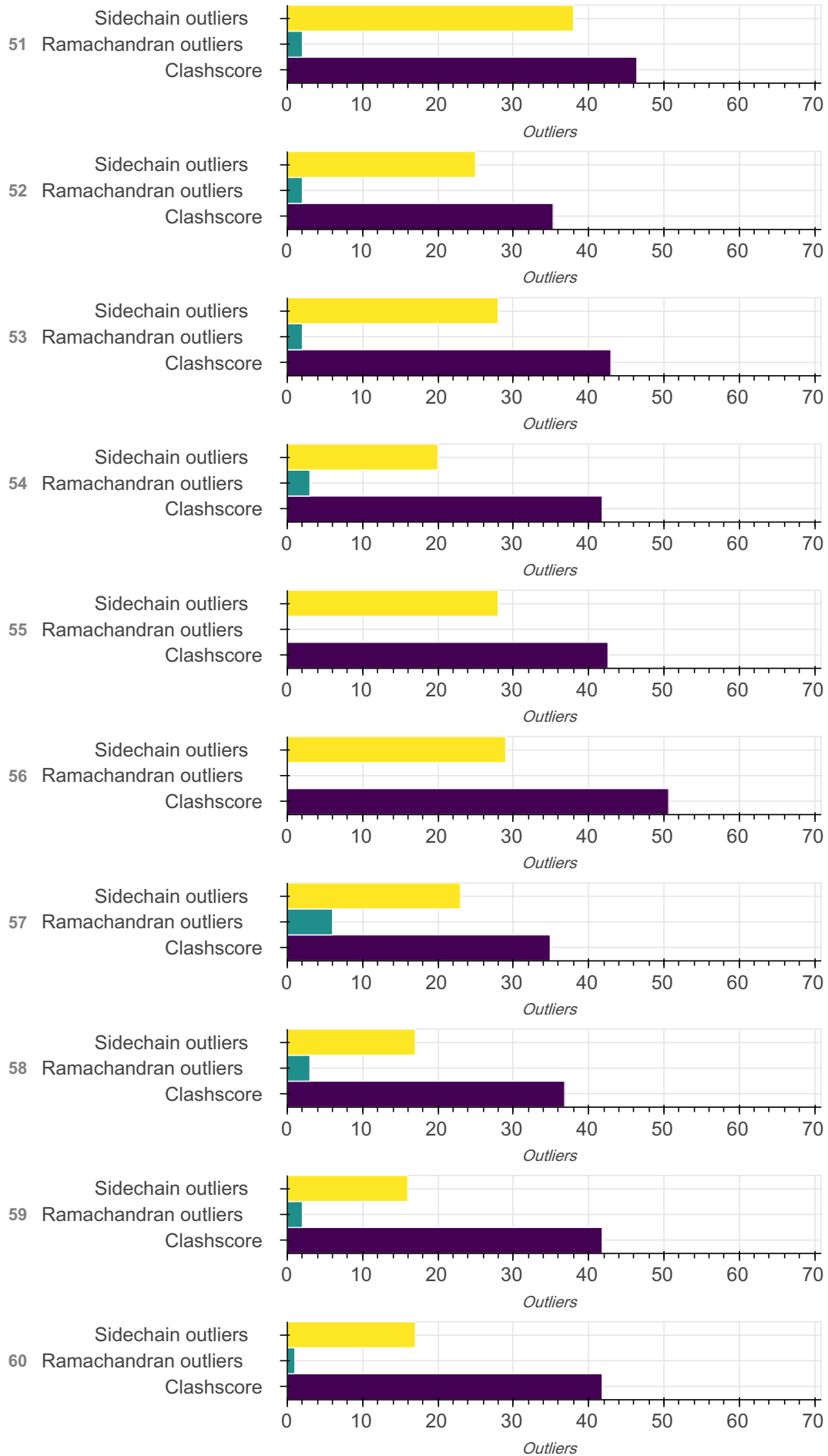


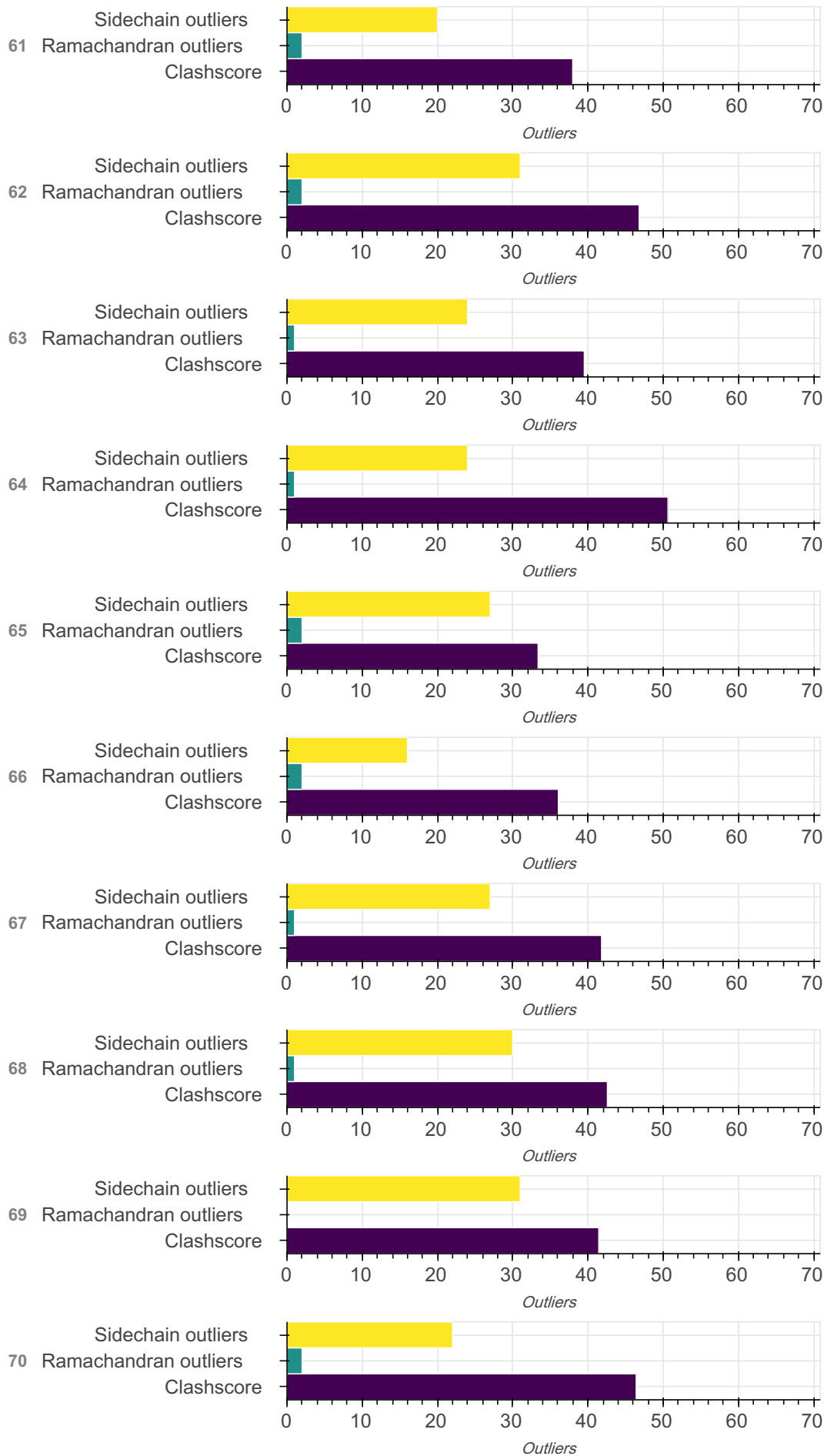


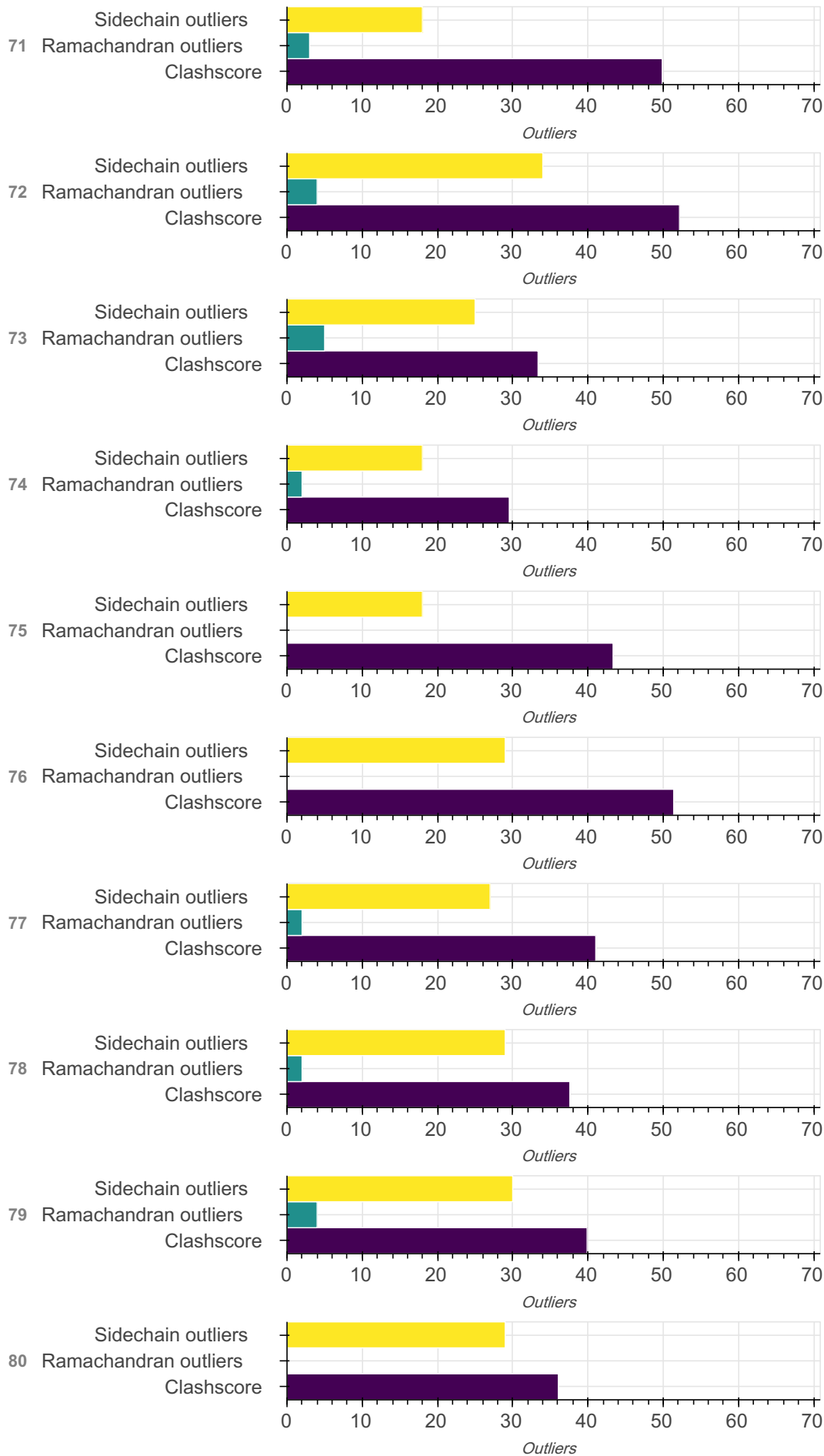


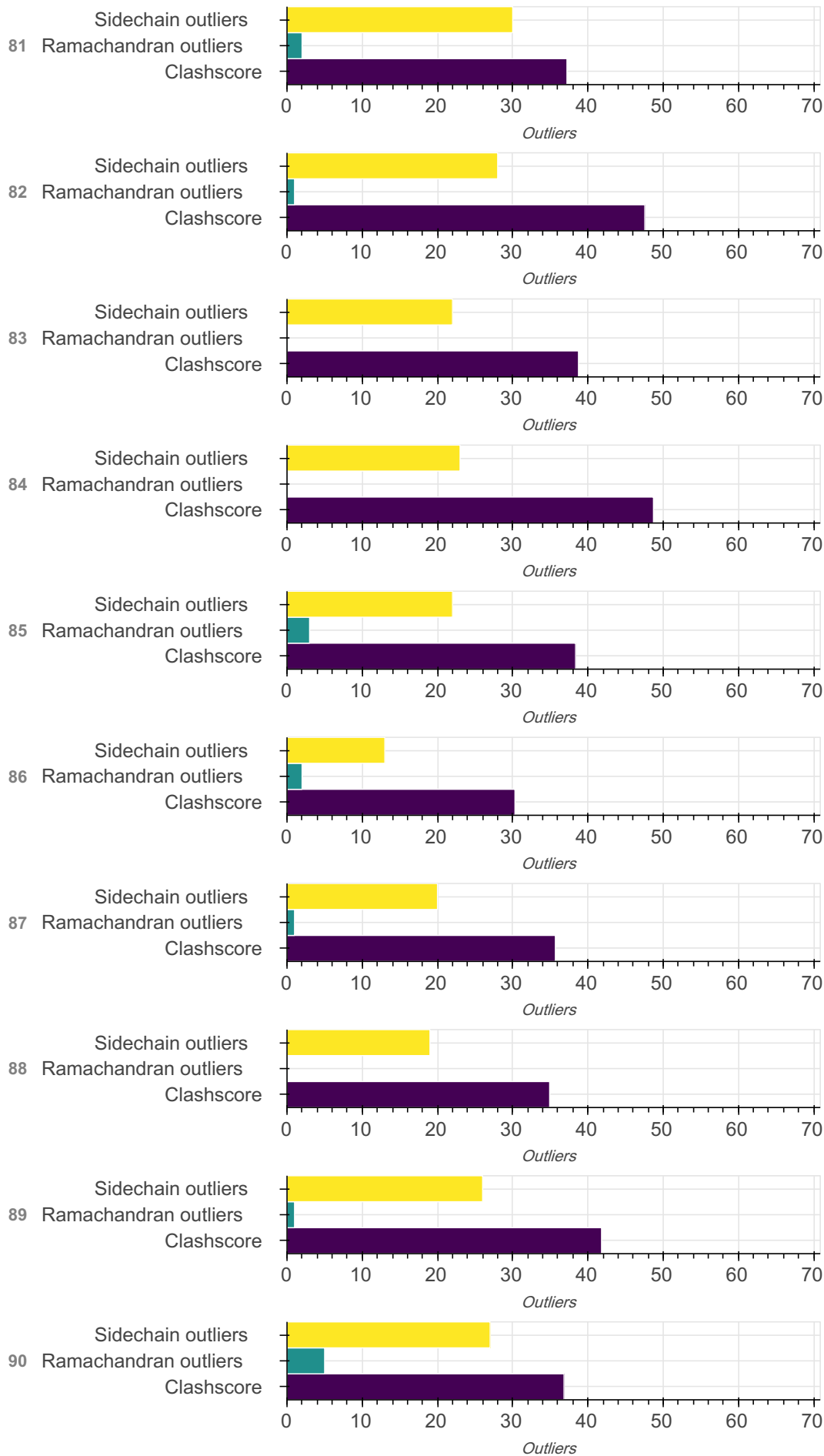


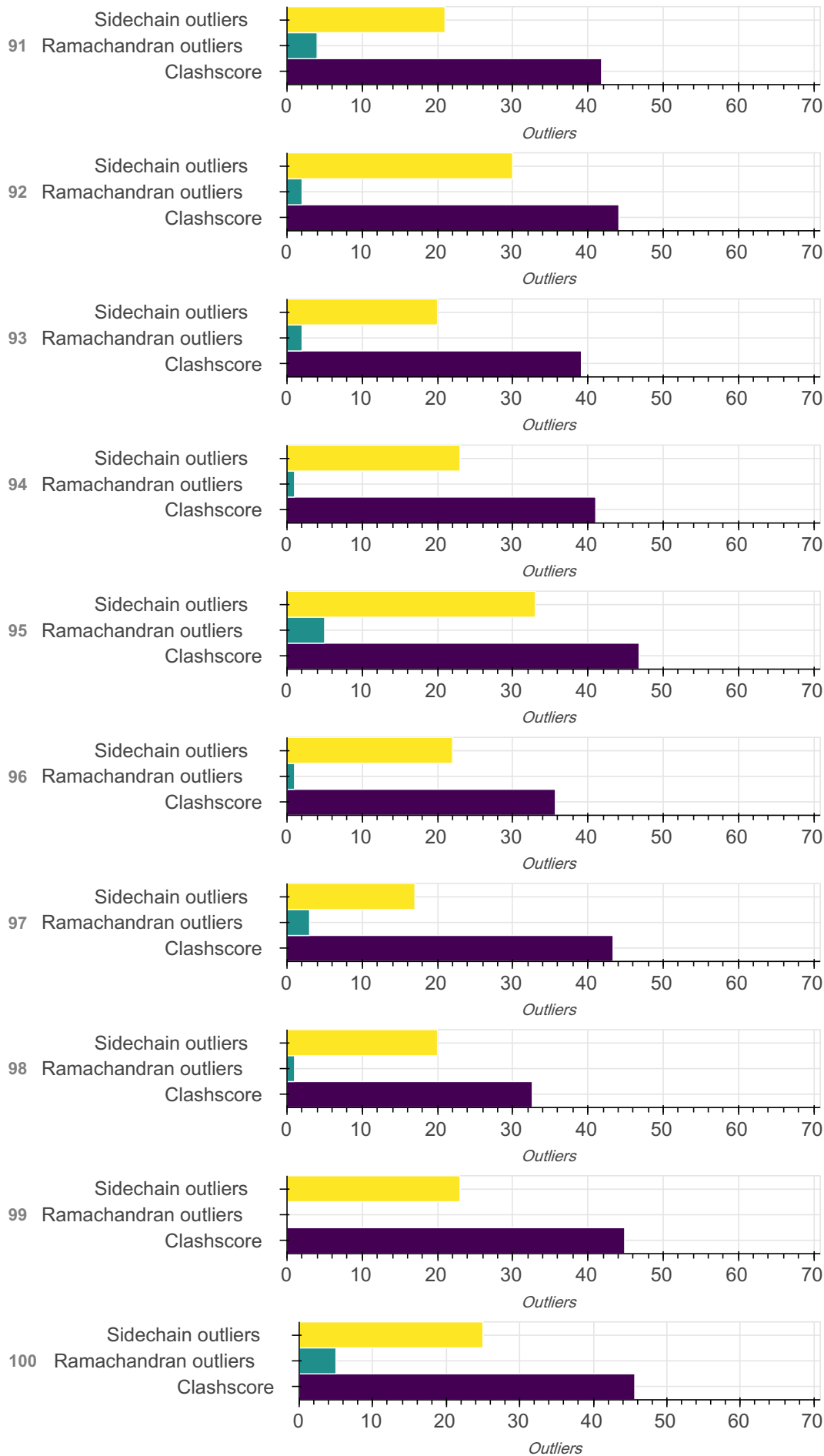


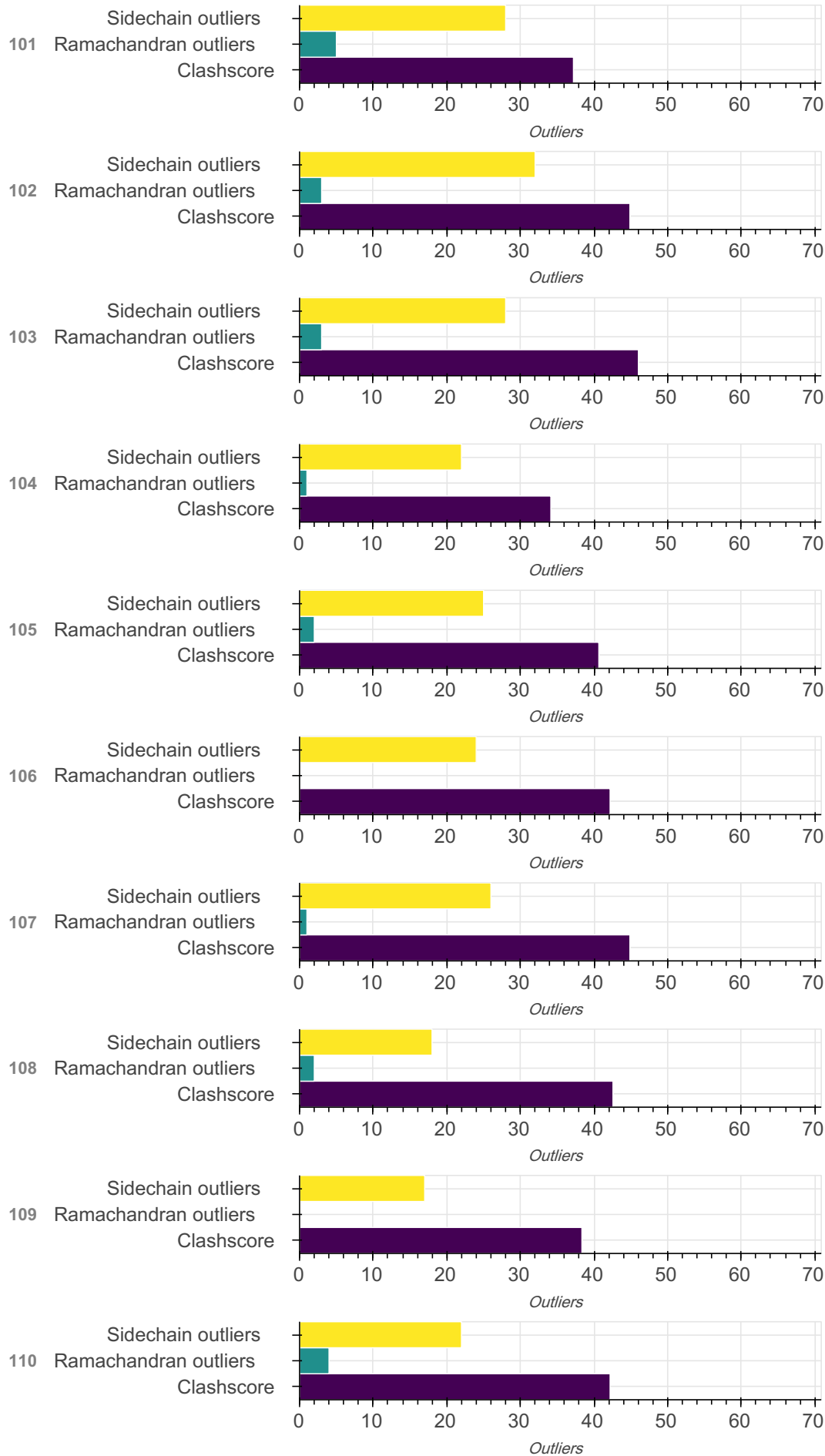


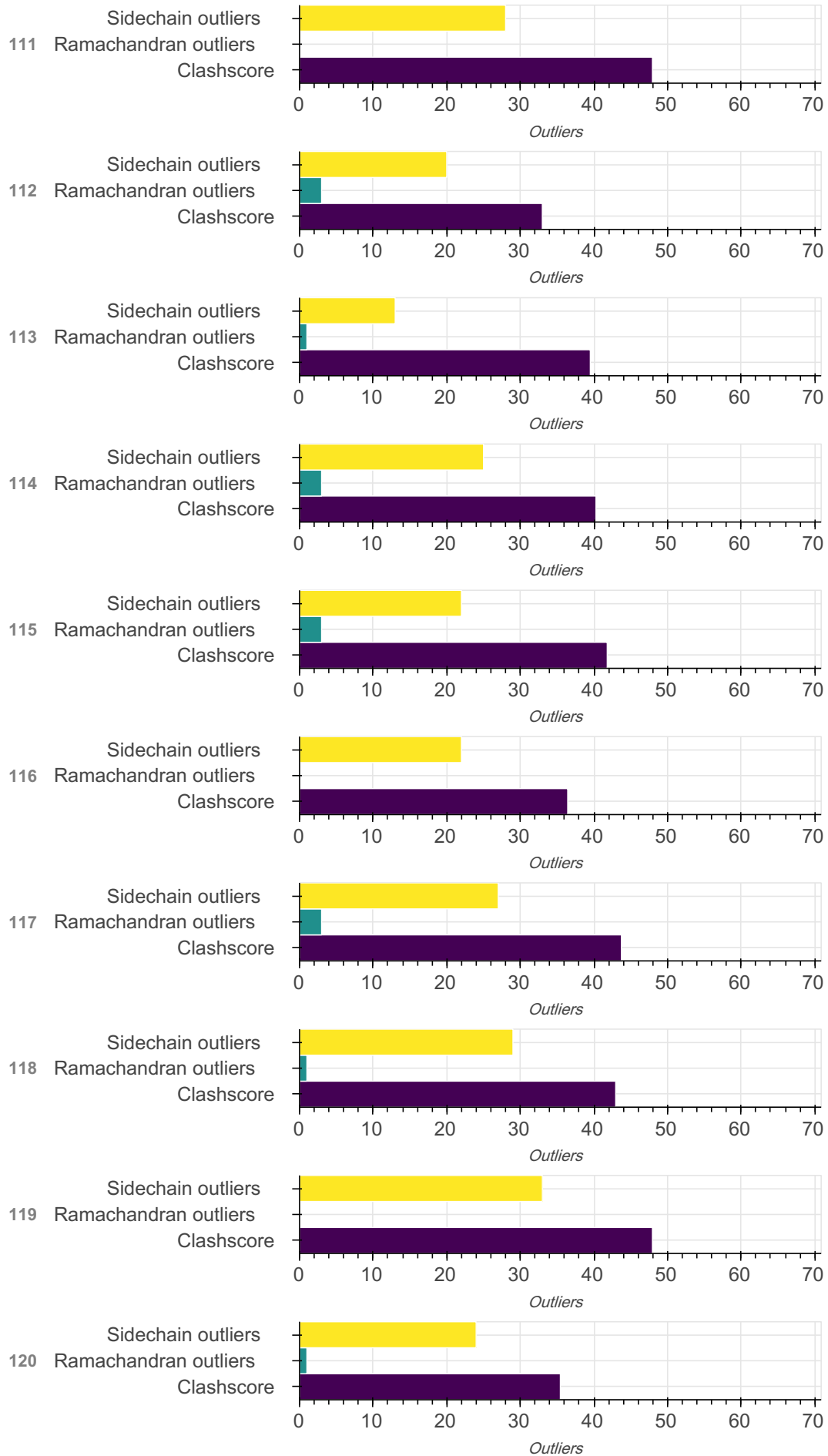


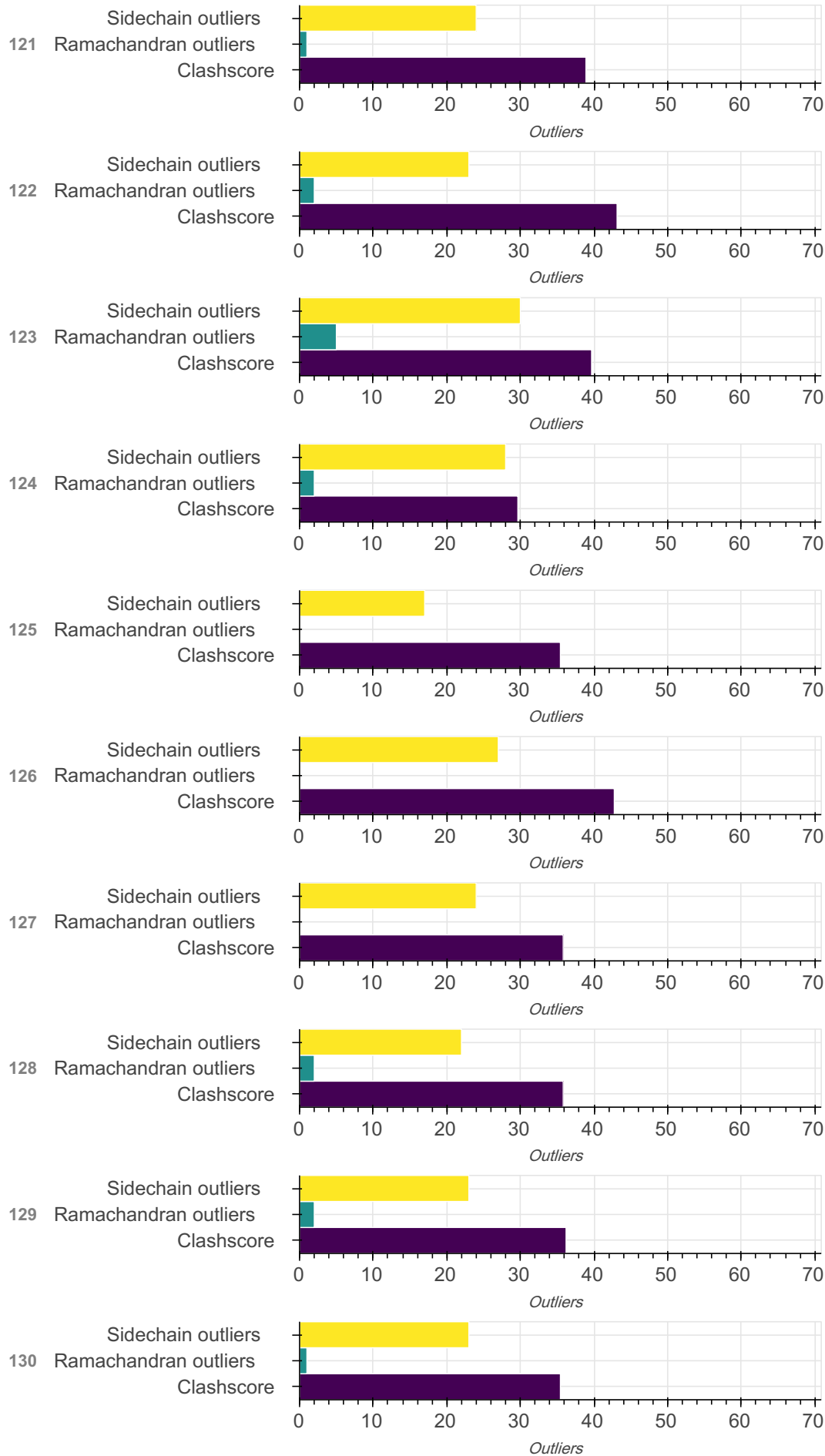


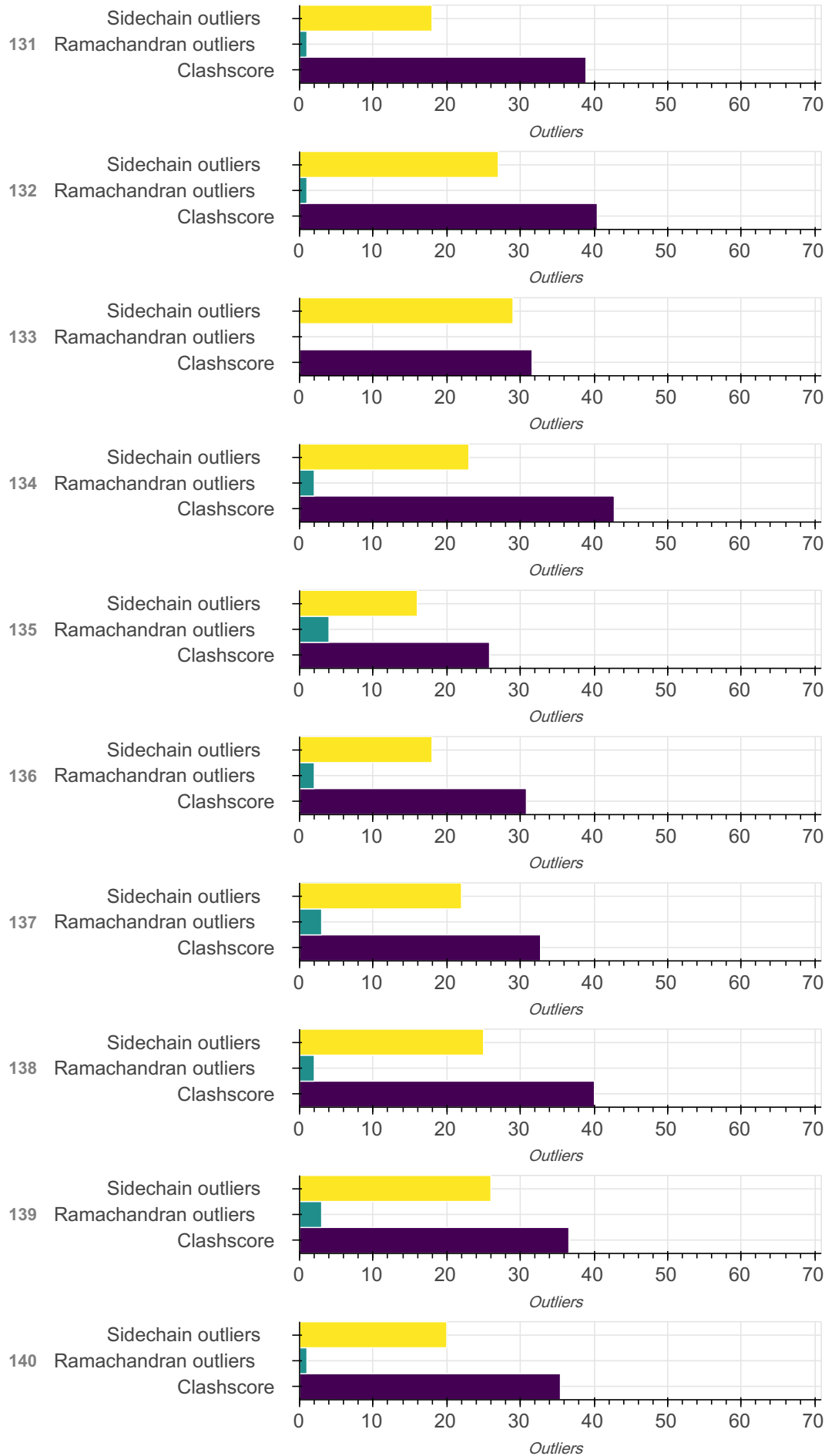


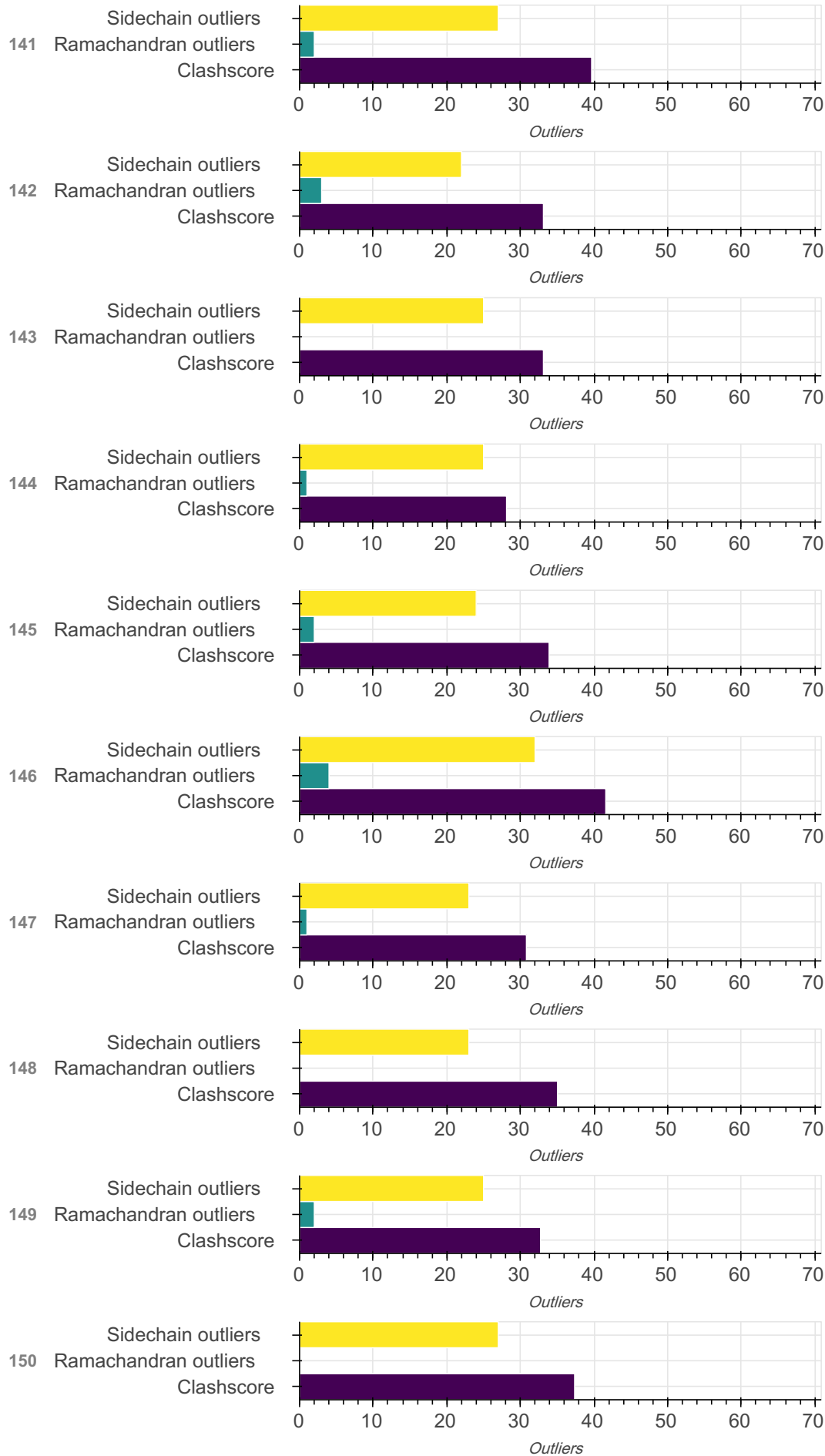


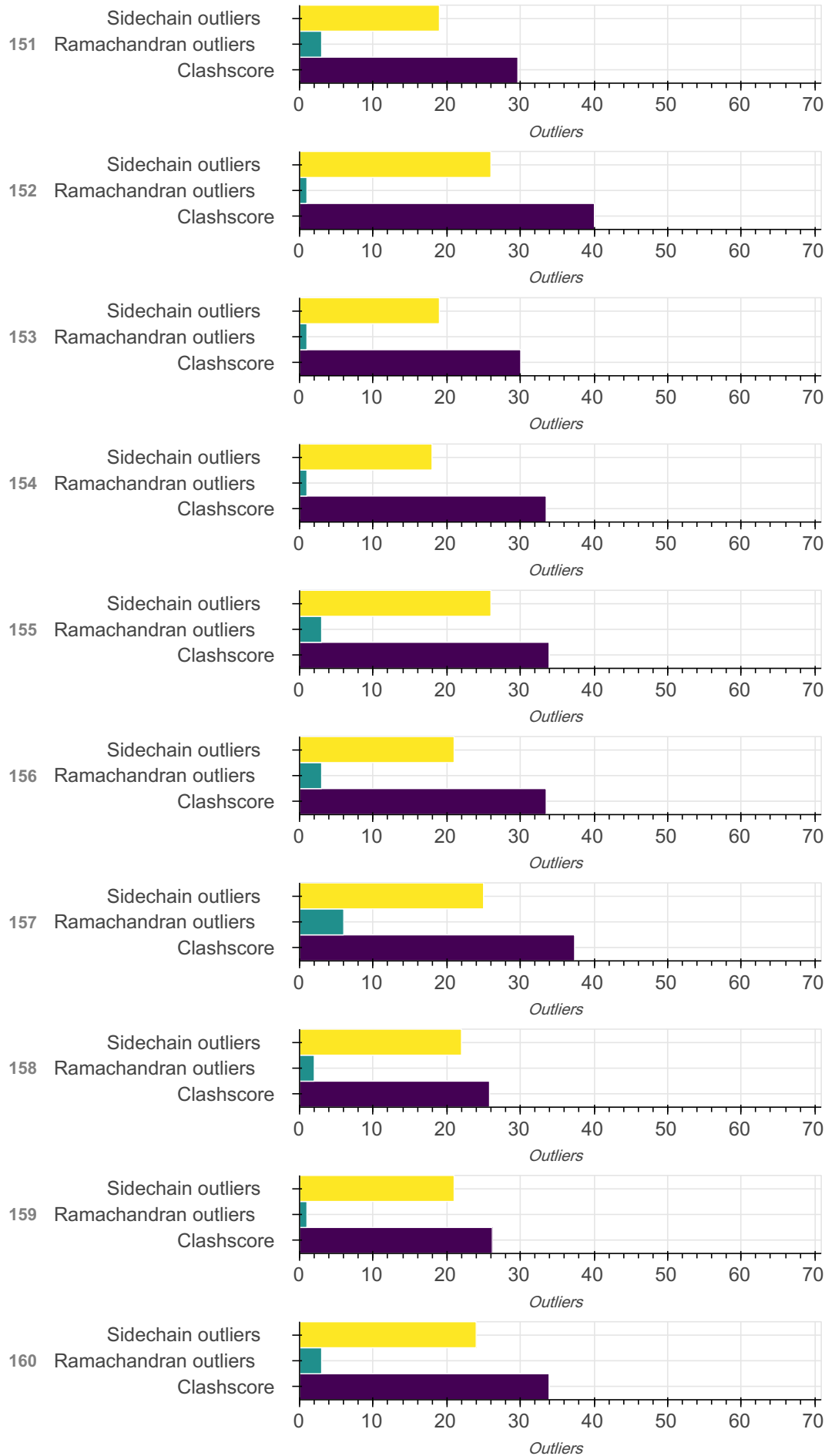


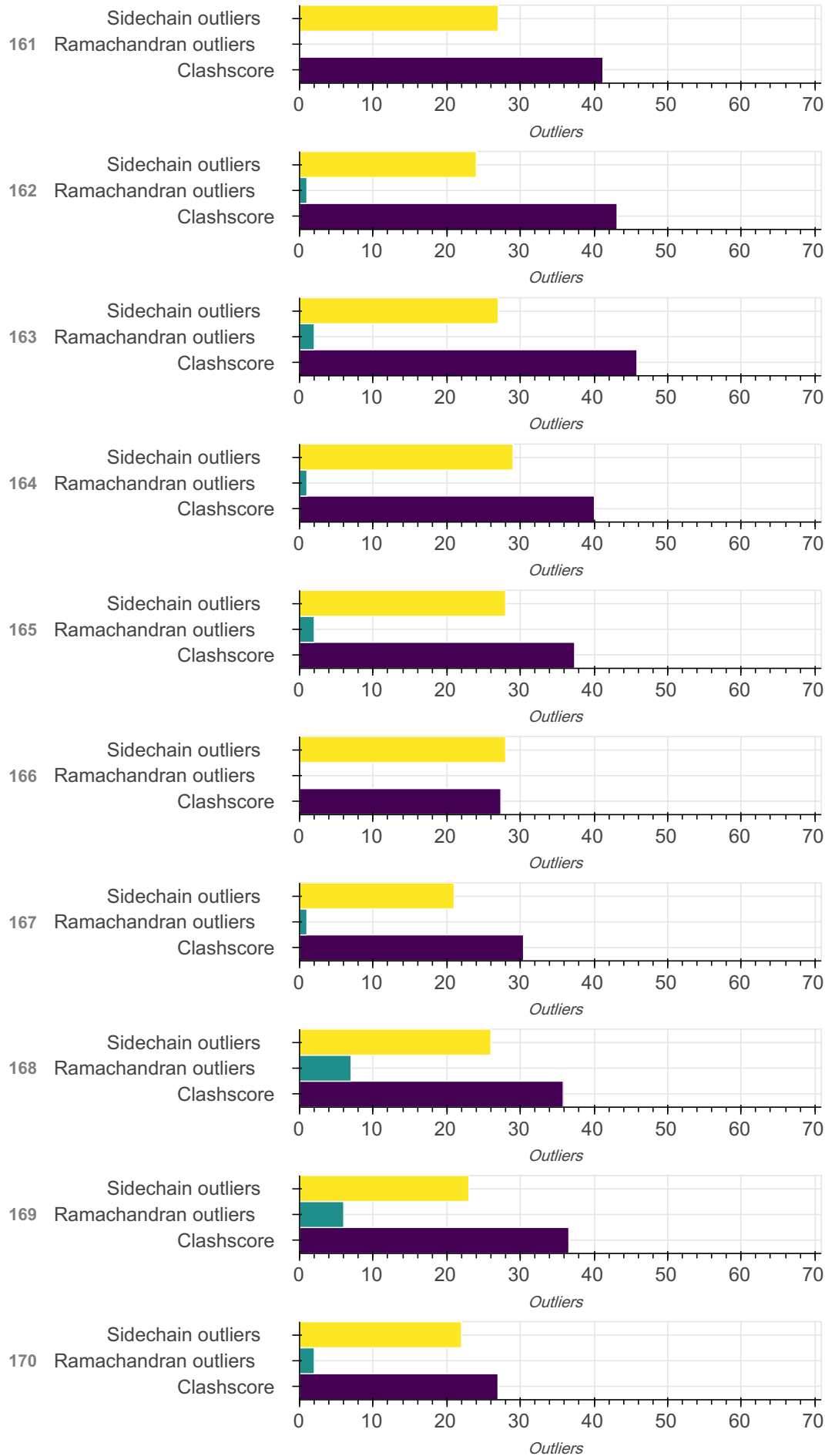


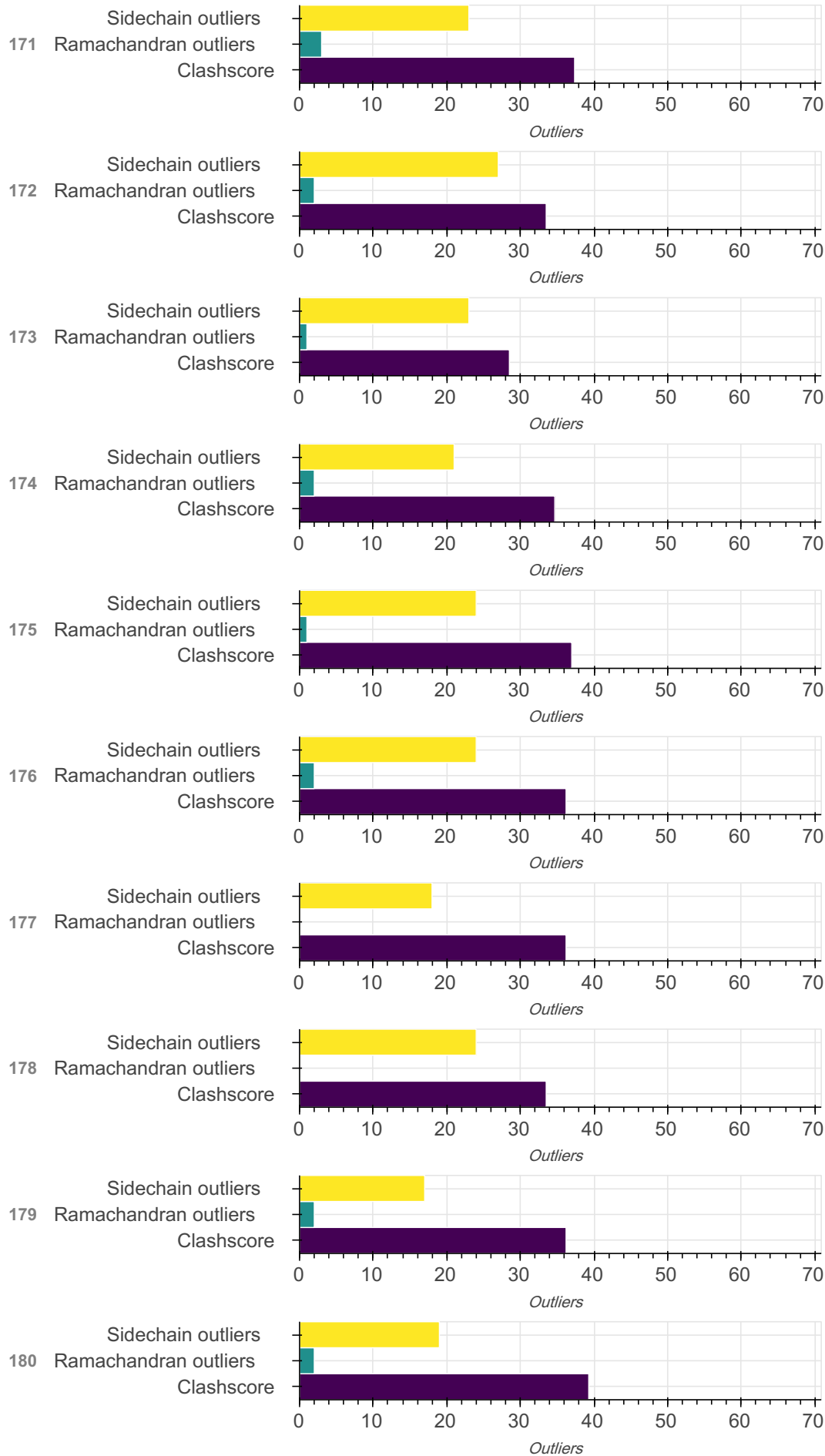


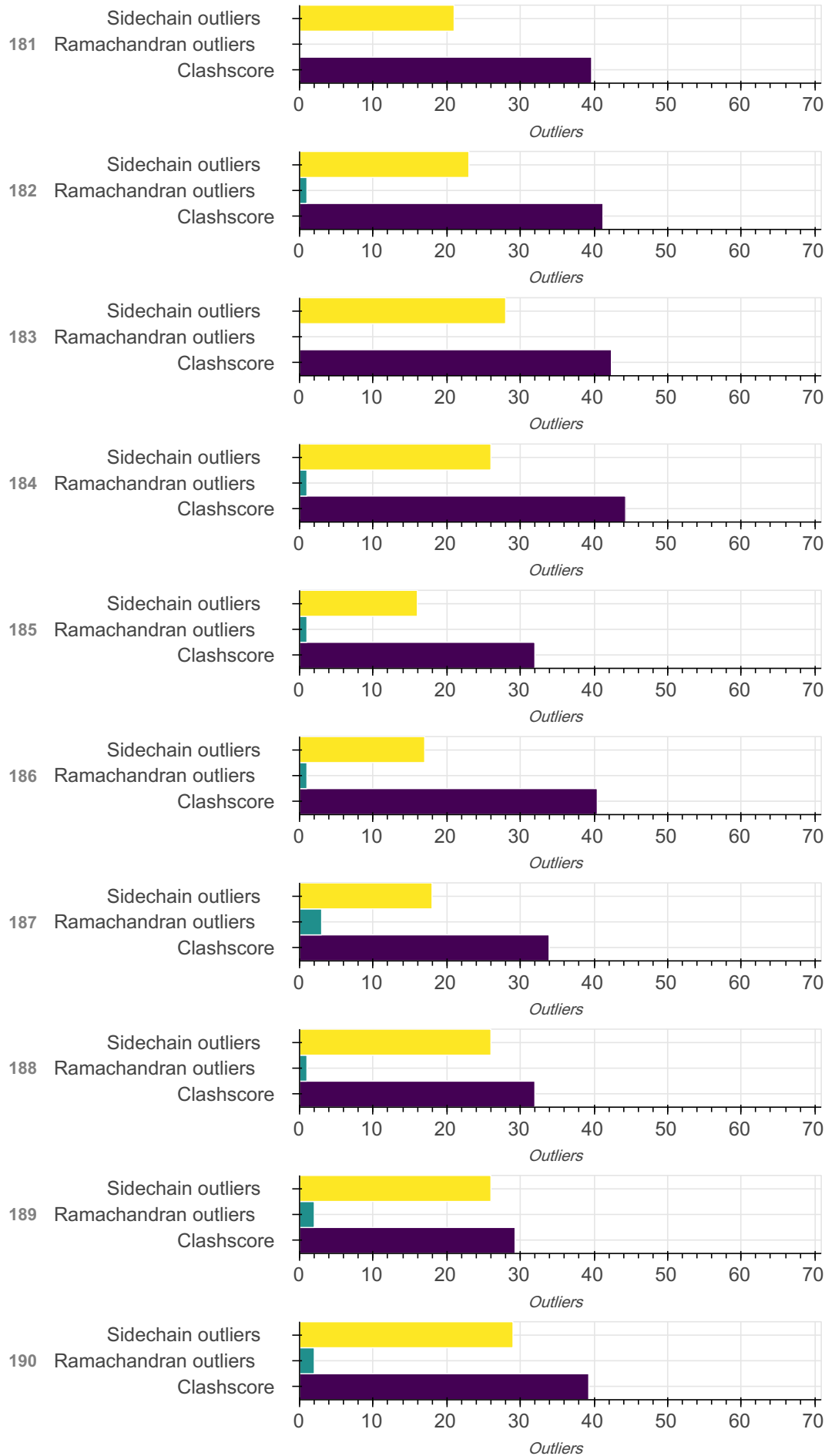


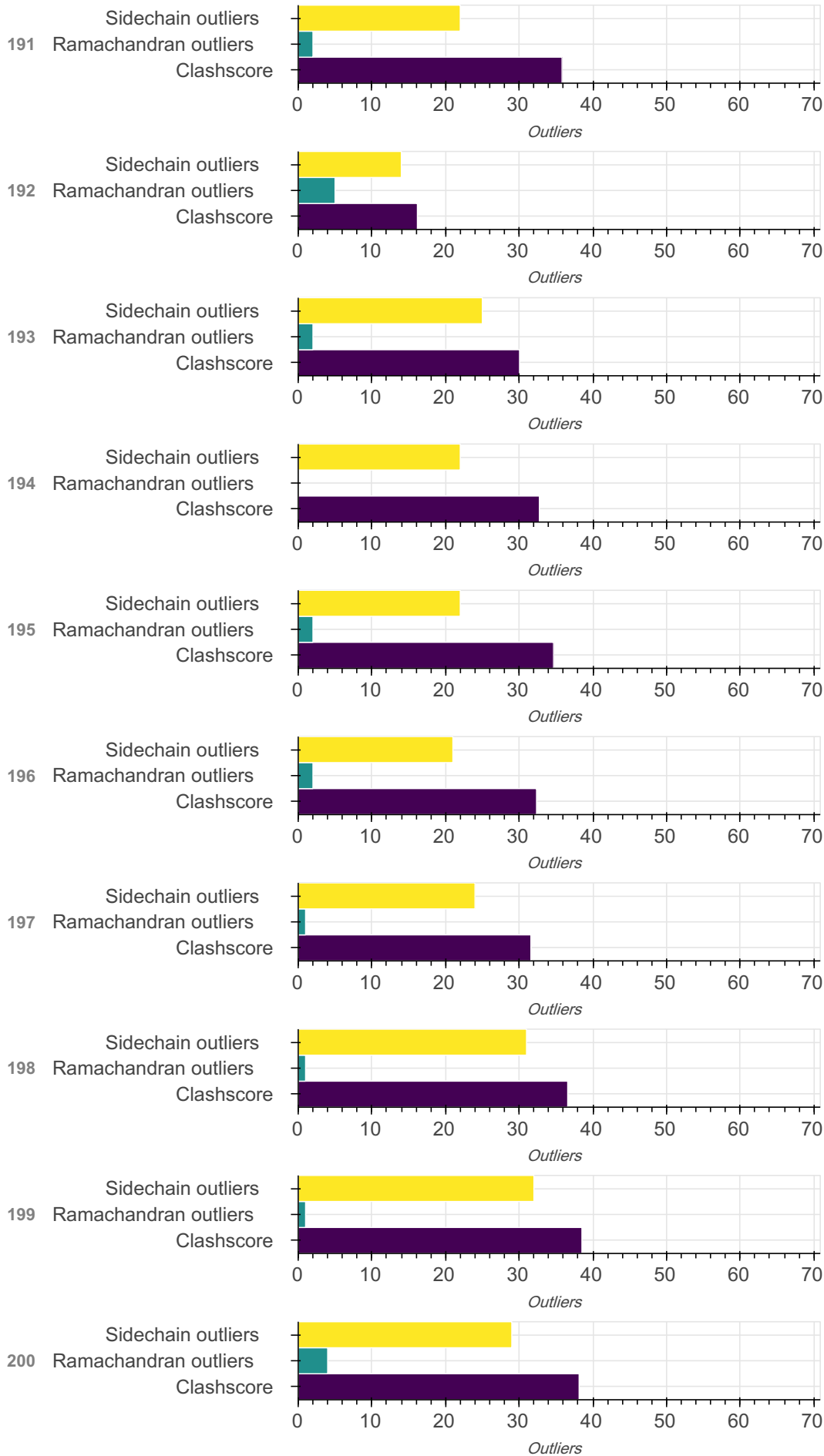


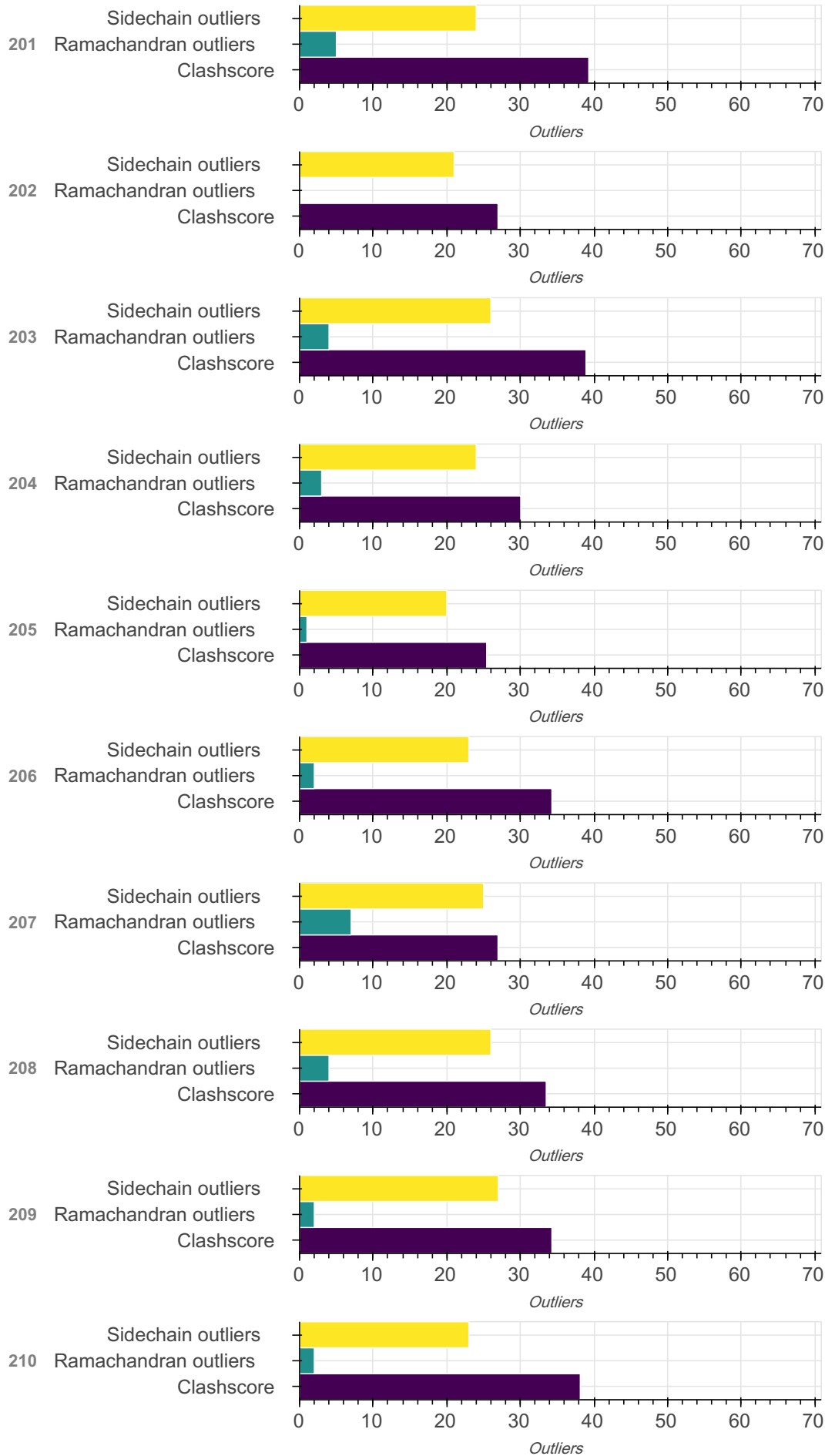


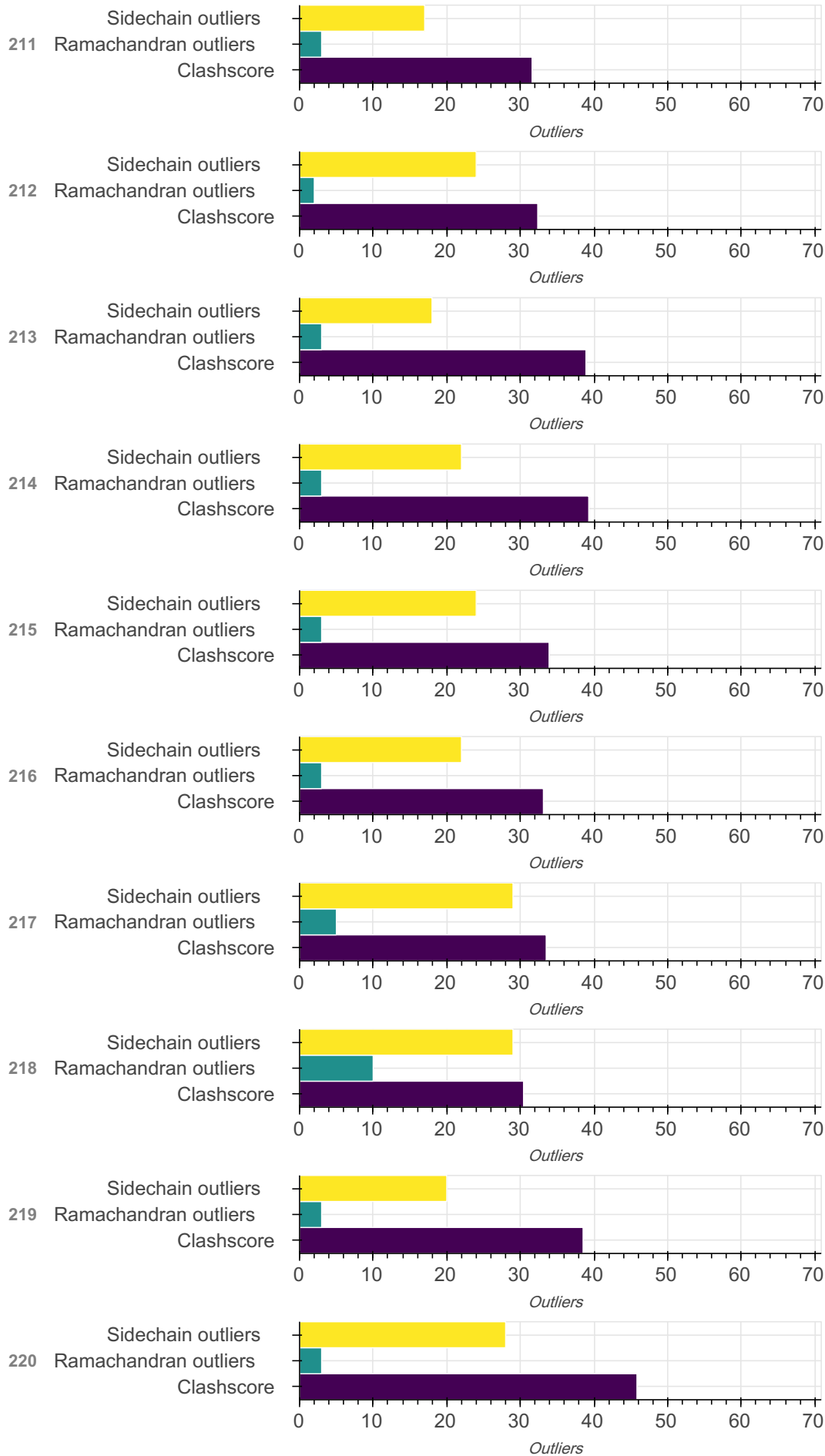


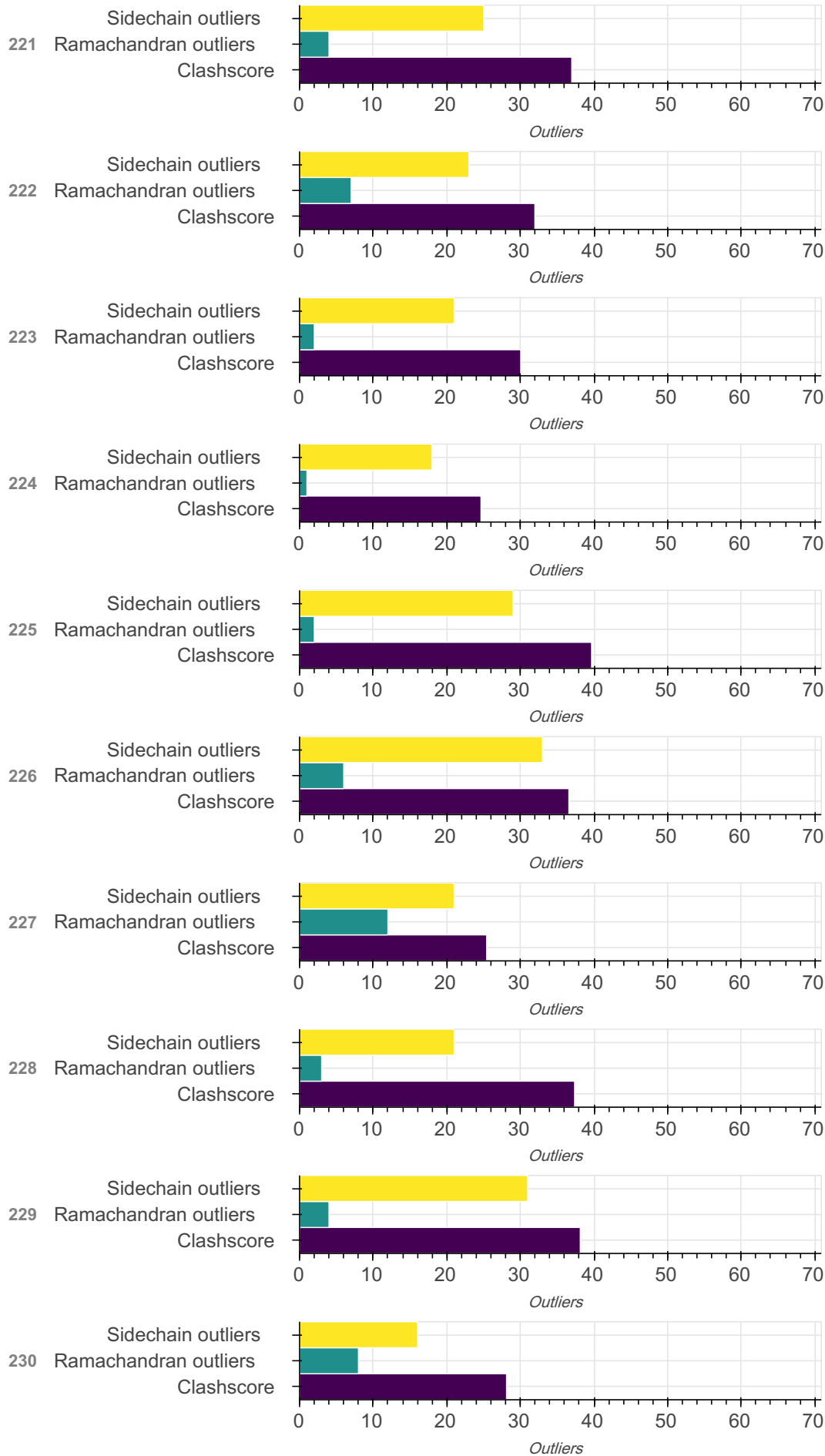


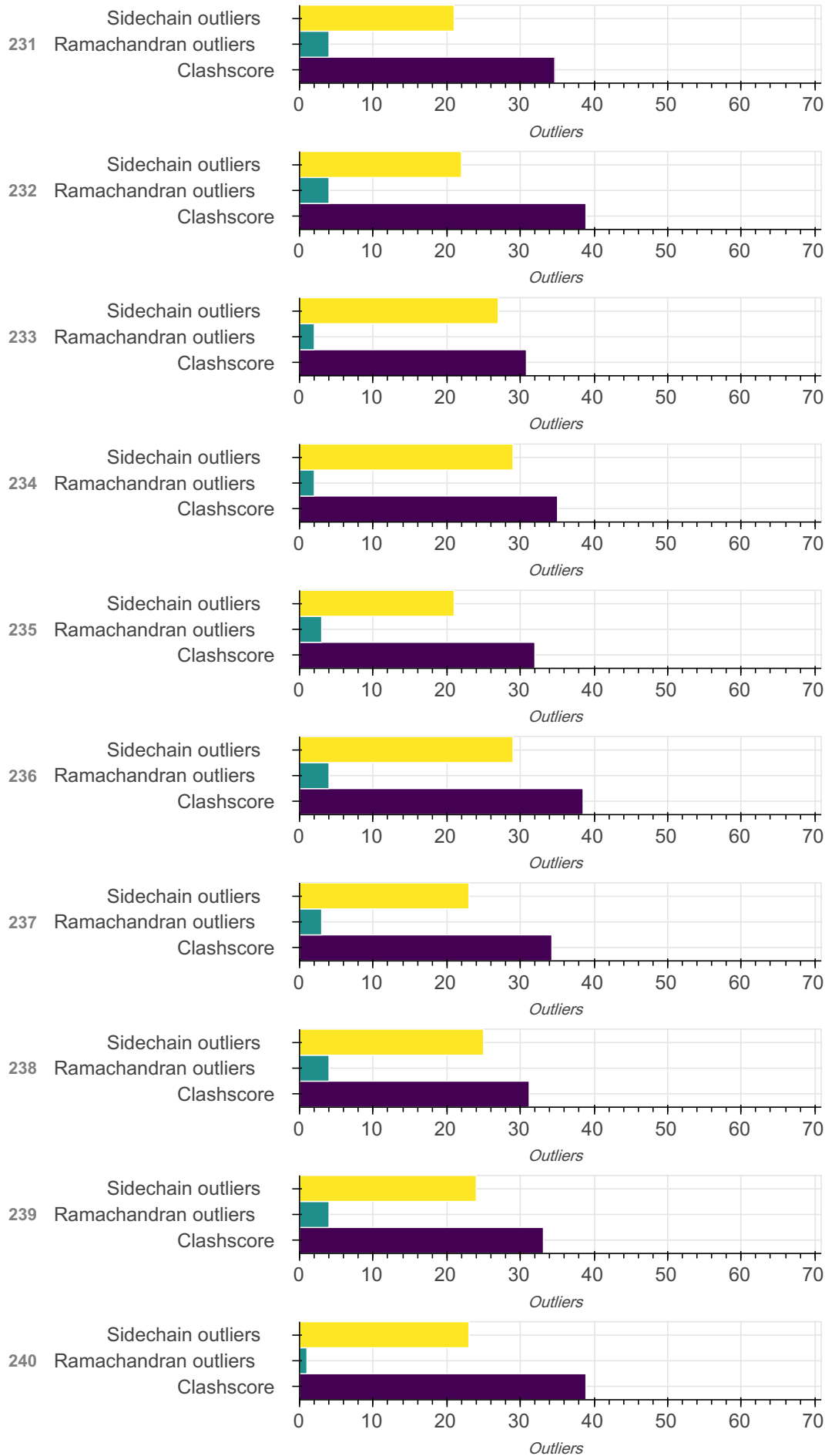


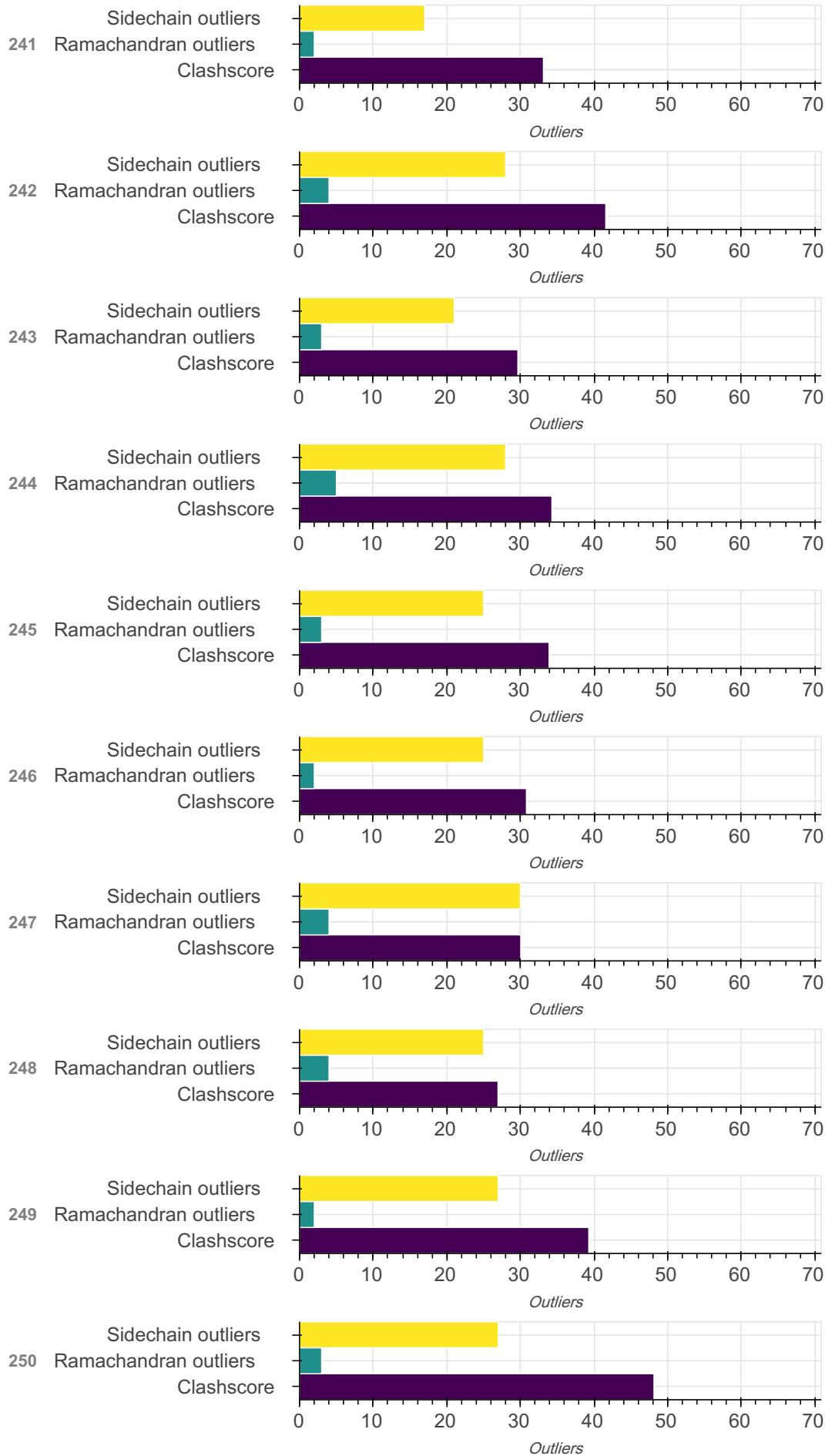












Model ID	Subunit number	Subunit ID	Subunit name	Chain ID	Chain ID [auth]	Total residues
20	1	1	T4L	A	A	164
21	1	1	T4L	A	A	164
22	1	1	T4L	A	A	164
23	1	1	T4L	A	A	164
24	1	1	T4L	A	A	164
25	1	1	T4L	A	A	164
26	1	1	T4L	A	A	164
27	1	1	T4L	A	A	164
28	1	1	T4L	A	A	164
29	1	1	T4L	A	A	164
30	1	1	T4L	A	A	164
31	1	1	T4L	A	A	164
32	1	1	T4L	A	A	164
33	1	1	T4L	A	A	164
34	1	1	T4L	A	A	164
35	1	1	T4L	A	A	164
36	1	1	T4L	A	A	164
37	1	1	T4L	A	A	164
38	1	1	T4L	A	A	164
39	1	1	T4L	A	A	164
40	1	1	T4L	A	A	164
41	1	1	T4L	A	A	164
42	1	1	T4L	A	A	164

Model ID	Subunit number	Subunit ID	Subunit name	Chain ID	Chain ID [auth]	Total residues
43	1	1	T4L	A	A	164
44	1	1	T4L	A	A	164
45	1	1	T4L	A	A	164
46	1	1	T4L	A	A	164
47	1	1	T4L	A	A	164
48	1	1	T4L	A	A	164
49	1	1	T4L	A	A	164
50	1	1	T4L	A	A	164
51	1	1	T4L	A	A	164
52	1	1	T4L	A	A	164
53	1	1	T4L	A	A	164
54	1	1	T4L	A	A	164
55	1	1	T4L	A	A	164
56	1	1	T4L	A	A	164
57	1	1	T4L	A	A	164
58	1	1	T4L	A	A	164
59	1	1	T4L	A	A	164
60	1	1	T4L	A	A	164
61	1	1	T4L	A	A	164
62	1	1	T4L	A	A	164
63	1	1	T4L	A	A	164
64	1	1	T4L	A	A	164
65	1	1	T4L	A	A	164

Model ID	Subunit number	Subunit ID	Subunit name	Chain ID	Chain ID [auth]	Total residues
66	1	1	T4L	A	A	164
67	1	1	T4L	A	A	164
68	1	1	T4L	A	A	164
69	1	1	T4L	A	A	164
70	1	1	T4L	A	A	164
71	1	1	T4L	A	A	164
72	1	1	T4L	A	A	164
73	1	1	T4L	A	A	164
74	1	1	T4L	A	A	164
75	1	1	T4L	A	A	164
76	1	1	T4L	A	A	164
77	1	1	T4L	A	A	164
78	1	1	T4L	A	A	164
79	1	1	T4L	A	A	164
80	1	1	T4L	A	A	164
81	1	1	T4L	A	A	164
82	1	1	T4L	A	A	164
83	1	1	T4L	A	A	164
84	1	1	T4L	A	A	164
85	1	1	T4L	A	A	164
86	1	1	T4L	A	A	164
87	1	1	T4L	A	A	164
88	1	1	T4L	A	A	164

Model ID	Subunit number	Subunit ID	Subunit name	Chain ID	Chain ID [auth]	Total residues
89	1	1	T4L	A	A	164
90	1	1	T4L	A	A	164
91	1	1	T4L	A	A	164
92	1	1	T4L	A	A	164
93	1	1	T4L	A	A	164
94	1	1	T4L	A	A	164
95	1	1	T4L	A	A	164
96	1	1	T4L	A	A	164
97	1	1	T4L	A	A	164
98	1	1	T4L	A	A	164
99	1	1	T4L	A	A	164
100	1	1	T4L	A	A	164
101	1	1	T4L	A	A	164
102	1	1	T4L	A	A	164
103	1	1	T4L	A	A	164
104	1	1	T4L	A	A	164
105	1	1	T4L	A	A	164
106	1	1	T4L	A	A	164
107	1	1	T4L	A	A	164
108	1	1	T4L	A	A	164
109	1	1	T4L	A	A	164
110	1	1	T4L	A	A	164
111	1	1	T4L	A	A	164

Model ID	Subunit number	Subunit ID	Subunit name	Chain ID	Chain ID [auth]	Total residues
112	1	1	T4L	A	A	164
113	1	1	T4L	A	A	164
114	1	1	T4L	A	A	164
115	1	1	T4L	A	A	164
116	1	1	T4L	A	A	164
117	1	1	T4L	A	A	164
118	1	1	T4L	A	A	164
119	1	1	T4L	A	A	164
120	1	1	T4L	A	A	164
121	1	1	T4L	A	A	164
122	1	1	T4L	A	A	164
123	1	1	T4L	A	A	164
124	1	1	T4L	A	A	164
125	1	1	T4L	A	A	164
126	1	1	T4L	A	A	164
127	1	1	T4L	A	A	164
128	1	1	T4L	A	A	164
129	1	1	T4L	A	A	164
130	1	1	T4L	A	A	164
131	1	1	T4L	A	A	164
132	1	1	T4L	A	A	164
133	1	1	T4L	A	A	164
134	1	1	T4L	A	A	164

Model ID	Subunit number	Subunit ID	Subunit name	Chain ID	Chain ID [auth]	Total residues
135	1	1	T4L	A	A	164
136	1	1	T4L	A	A	164
137	1	1	T4L	A	A	164
138	1	1	T4L	A	A	164
139	1	1	T4L	A	A	164
140	1	1	T4L	A	A	164
141	1	1	T4L	A	A	164
142	1	1	T4L	A	A	164
143	1	1	T4L	A	A	164
144	1	1	T4L	A	A	164
145	1	1	T4L	A	A	164
146	1	1	T4L	A	A	164
147	1	1	T4L	A	A	164
148	1	1	T4L	A	A	164
149	1	1	T4L	A	A	164
150	1	1	T4L	A	A	164
151	1	1	T4L	A	A	164
152	1	1	T4L	A	A	164
153	1	1	T4L	A	A	164
154	1	1	T4L	A	A	164
155	1	1	T4L	A	A	164
156	1	1	T4L	A	A	164
157	1	1	T4L	A	A	164

Model ID	Subunit number	Subunit ID	Subunit name	Chain ID	Chain ID [auth]	Total residues
158	1	1	T4L	A	A	164
159	1	1	T4L	A	A	164
160	1	1	T4L	A	A	164
161	1	1	T4L	A	A	164
162	1	1	T4L	A	A	164
163	1	1	T4L	A	A	164
164	1	1	T4L	A	A	164
165	1	1	T4L	A	A	164
166	1	1	T4L	A	A	164
167	1	1	T4L	A	A	164
168	1	1	T4L	A	A	164
169	1	1	T4L	A	A	164
170	1	1	T4L	A	A	164
171	1	1	T4L	A	A	164
172	1	1	T4L	A	A	164
173	1	1	T4L	A	A	164
174	1	1	T4L	A	A	164
175	1	1	T4L	A	A	164
176	1	1	T4L	A	A	164
177	1	1	T4L	A	A	164
178	1	1	T4L	A	A	164
179	1	1	T4L	A	A	164
180	1	1	T4L	A	A	164

Model ID	Subunit number	Subunit ID	Subunit name	Chain ID	Chain ID [auth]	Total residues
181	1	1	T4L	A	A	164
182	1	1	T4L	A	A	164
183	1	1	T4L	A	A	164
184	1	1	T4L	A	A	164
185	1	1	T4L	A	A	164
186	1	1	T4L	A	A	164
187	1	1	T4L	A	A	164
188	1	1	T4L	A	A	164
189	1	1	T4L	A	A	164
190	1	1	T4L	A	A	164
191	1	1	T4L	A	A	164
192	1	1	T4L	A	A	164
193	1	1	T4L	A	A	164
194	1	1	T4L	A	A	164
195	1	1	T4L	A	A	164
196	1	1	T4L	A	A	164
197	1	1	T4L	A	A	164
198	1	1	T4L	A	A	164
199	1	1	T4L	A	A	164
200	1	1	T4L	A	A	164
201	1	1	T4L	A	A	164
202	1	1	T4L	A	A	164
203	1	1	T4L	A	A	164

Model ID	Subunit number	Subunit ID	Subunit name	Chain ID	Chain ID [auth]	Total residues
204	1	1	T4L	A	A	164
205	1	1	T4L	A	A	164
206	1	1	T4L	A	A	164
207	1	1	T4L	A	A	164
208	1	1	T4L	A	A	164
209	1	1	T4L	A	A	164
210	1	1	T4L	A	A	164
211	1	1	T4L	A	A	164
212	1	1	T4L	A	A	164
213	1	1	T4L	A	A	164
214	1	1	T4L	A	A	164
215	1	1	T4L	A	A	164
216	1	1	T4L	A	A	164
217	1	1	T4L	A	A	164
218	1	1	T4L	A	A	164
219	1	1	T4L	A	A	164
220	1	1	T4L	A	A	164
221	1	1	T4L	A	A	164
222	1	1	T4L	A	A	164
223	1	1	T4L	A	A	164
224	1	1	T4L	A	A	164
225	1	1	T4L	A	A	164
226	1	1	T4L	A	A	164

Model ID	Subunit number	Subunit ID	Subunit name	Chain ID	Chain ID [auth]	Total residues
227	1	1	T4L	A	A	164
228	1	1	T4L	A	A	164
229	1	1	T4L	A	A	164
230	1	1	T4L	A	A	164
231	1	1	T4L	A	A	164
232	1	1	T4L	A	A	164
233	1	1	T4L	A	A	164
234	1	1	T4L	A	A	164
235	1	1	T4L	A	A	164
236	1	1	T4L	A	A	164
237	1	1	T4L	A	A	164
238	1	1	T4L	A	A	164
239	1	1	T4L	A	A	164
240	1	1	T4L	A	A	164
241	1	1	T4L	A	A	164
242	1	1	T4L	A	A	164
243	1	1	T4L	A	A	164
244	1	1	T4L	A	A	164
245	1	1	T4L	A	A	164
246	1	1	T4L	A	A	164
247	1	1	T4L	A	A	164
248	1	1	T4L	A	A	164
249	1	1	T4L	A	A	164

Model ID	Subunit number	Subunit ID	Subunit name	Chain ID	Chain ID [auth]	Total residues
250	1	1	T4L	A	A	164
251	1	1	T4L	A	A	164
252	1	1	T4L	A	A	164
253	1	1	T4L	A	A	164
254	1	1	T4L	A	A	164
255	1	1	T4L	A	A	164
256	1	1	T4L	A	A	164
257	1	1	T4L	A	A	164
258	1	1	T4L	A	A	164
259	1	1	T4L	A	A	164
260	1	1	T4L	A	A	164
261	1	1	T4L	A	A	164
262	1	1	T4L	A	A	164
263	1	1	T4L	A	A	164
264	1	1	T4L	A	A	164
265	1	1	T4L	A	A	164
266	1	1	T4L	A	A	164
267	1	1	T4L	A	A	164
268	1	1	T4L	A	A	164
269	1	1	T4L	A	A	164
270	1	1	T4L	A	A	164
271	1	1	T4L	A	A	164
272	1	1	T4L	A	A	164

Model ID	Subunit number	Subunit ID	Subunit name	Chain ID	Chain ID [auth]	Total residues
273	1	1	T4L	A	A	164
274	1	1	T4L	A	A	164
275	1	1	T4L	A	A	164
276	1	1	T4L	A	A	164
277	1	1	T4L	A	A	164
278	1	1	T4L	A	A	164
279	1	1	T4L	A	A	164
280	1	1	T4L	A	A	164
281	1	1	T4L	A	A	164
282	1	1	T4L	A	A	164
283	1	1	T4L	A	A	164

Datasets used for modeling

There are 36 unique datasets used to build the models in this entry.

ID	Dataset type	Database name	Data access code
1	Single molecule FRET data	File	10.5281/zenodo.3376527
2	Single molecule FRET data	File	10.5281/zenodo.3376527
3	Single molecule FRET data	File	10.5281/zenodo.3376527
4	Single molecule FRET data	File	10.5281/zenodo.3376527
5	Single molecule FRET data	File	10.5281/zenodo.3376527
6	Single molecule FRET data	File	10.5281/zenodo.3376527
7	Single molecule FRET data	File	10.5281/zenodo.3376527
8	Single molecule FRET data	File	10.5281/zenodo.3376527

ID	Dataset type	Database name	Data access code
9	Single molecule FRET data	File	10.5281/zenodo.3376527
10	Single molecule FRET data	File	10.5281/zenodo.3376527
11	Single molecule FRET data	File	10.5281/zenodo.3376527
12	Single molecule FRET data	File	10.5281/zenodo.3376527
13	Single molecule FRET data	File	10.5281/zenodo.3376527
14	Single molecule FRET data	File	10.5281/zenodo.3376527
15	Single molecule FRET data	File	10.5281/zenodo.3376527
16	Single molecule FRET data	File	10.5281/zenodo.3376527
17	Single molecule FRET data	File	10.5281/zenodo.3376527
18	Single molecule FRET data	File	10.5281/zenodo.3376527
19	Single molecule FRET data	File	10.5281/zenodo.3376527
20	Single molecule FRET data	File	10.5281/zenodo.3376527
21	Single molecule FRET data	File	10.5281/zenodo.3376527
22	Single molecule FRET data	File	10.5281/zenodo.3376527
23	Single molecule FRET data	File	10.5281/zenodo.3376527
24	Single molecule FRET data	File	10.5281/zenodo.3376527
25	Single molecule FRET data	File	10.5281/zenodo.3376527
26	Single molecule FRET data	File	10.5281/zenodo.3376527
27	Single molecule FRET data	File	10.5281/zenodo.3376527
28	Single molecule FRET data	File	10.5281/zenodo.3376527
29	Single molecule FRET data	File	10.5281/zenodo.3376527
30	Single molecule FRET data	File	10.5281/zenodo.3376527
31	Single molecule FRET data	File	10.5281/zenodo.3376527

ID	Dataset type	Database name	Data access code
32	Single molecule FRET data	File	10.5281/zenodo.3376527
33	Single molecule FRET data	File	10.5281/zenodo.3376527
34	Single molecule FRET data	File	10.5281/zenodo.3376527
35	Experimental model	PDB	172L
36	Experimental model	PDB	148L

Representation ?

This entry has only one representation and includes 2 rigid bodies and 0 flexible units

Chain ID	Rigid bodies	Non-rigid segments
A	1-1621-162	-
B	-	-
C	-	-
D	-	-
E	-	-
F	-	-
G	-	-
H	-	-

Methodology and software ?

This entry is a result of 2 distinct protocol(s).

Step number	Protocol ID	Method name	Method type	Method description	Number of computed models	Multi state modeling	Multi scale modeling
-------------	-------------	-------------	-------------	--------------------	---------------------------	----------------------	----------------------

Step number	Protocol ID	Method name	Method type	Method description	Number of computed models	Multi state modeling	Multi scale modeling
1	1	None	free NMSim	None	None	True	False
2	1	None	FRET-guided NMSim	None	None	True	False
3	1	None	FRET screening	None	None	True	False

There are 2 software packages reported in this entry.

ID	Software name	Software version	Software classification	Software location
1	Olga	Not available	model building and validation	https://github.com/Fluorescence-Tools/Olga
2	NMSim	Not available	model building	http://www.nmsim.de

Data quality

Single molecule FRET

Validation for this section is under development.

Model quality

For models with atomic structures, molprobability analysis is performed. For models with coarse-grained or multi-scale structures, excluded volume analysis is performed.

Standard geometry: bond outliers

Bond length outliers can not be evaluated for this model

Standard geometry: angle outliers

Bond angle outliers do not exist or can not be evaluated for this model

Too-close contacts

The following all-atom clashscore is based on a MolProbability analysis. All-atom clashscore is defined as the number of clashes found per 1000 atoms (including hydrogen atoms). The table below contains clashscores for all the models in this entry.

Model ID	Clash score	Number of clashes
1	44.11	115
2	39.89	104
3	47.18	123
4	53.32	139
5	45.65	119
6	43.73	114
7	64.44	168
8	53.70	140
9	36.07	94
10	46.03	120
11	41.81	109
12	46.41	121
13	53.70	140
14	41.81	109
15	39.89	104
16	47.18	123
17	34.91	91
18	42.58	111
19	37.59	98
20	44.11	115
21	40.28	105
22	42.58	111
23	36.06	94

Model ID	Clash score	Number of clashes
24	46.41	121
25	37.21	97
26	47.56	124
27	32.22	84
28	46.41	121
29	33.37	87
30	41.43	108
31	39.13	102
32	39.51	103
33	44.50	116
34	40.28	105
35	38.74	101
36	47.18	123
37	43.34	113
38	46.41	121
39	28.00	73
40	38.74	101
41	40.66	106
42	43.73	114
43	52.55	137
44	43.34	113
45	38.36	100
46	41.04	107

Model ID	Clash score	Number of clashes
47	45.26	118
48	47.56	124
49	40.28	105
50	44.50	116
51	46.41	121
52	35.29	92
53	42.96	112
54	41.81	109
55	42.58	111
56	50.63	132
57	34.91	91
58	36.82	96
59	41.81	109
60	41.81	109
61	37.97	99
62	46.80	122
63	39.51	103
64	50.63	132
65	33.37	87
66	36.06	94
67	41.81	109
68	42.58	111
69	41.43	108

Model ID	Clash score	Number of clashes
70	46.41	121
71	49.87	130
72	52.17	136
73	33.37	87
74	29.54	77
75	43.34	113
76	51.40	134
77	41.04	107
78	37.59	98
79	39.89	104
80	36.06	94
81	37.21	97
82	47.56	124
83	38.74	101
84	48.71	127
85	38.36	100
86	30.30	79
87	35.67	93
88	34.91	91
89	41.81	109
90	36.82	96
91	41.81	109
92	44.11	115

Model ID	Clash score	Number of clashes
93	39.13	102
94	41.04	107
95	46.80	122
96	35.67	93
97	43.34	113
98	32.60	85
99	44.88	117
100	45.65	119
101	37.21	97
102	44.88	117
103	46.03	120
104	34.14	89
105	40.66	106
106	42.19	110
107	44.88	117
108	42.58	111
109	38.36	100
110	42.19	110
111	47.95	125
112	32.99	86
113	39.51	103
114	40.28	105
115	41.81	109

Model ID	Clash score	Number of clashes
116	36.44	95
117	43.73	114
118	42.96	112
119	47.95	125
120	35.44	92
121	38.91	101
122	43.14	112
123	39.68	103
124	29.66	77
125	35.44	92
126	42.76	111
127	35.82	93
128	35.82	93
129	36.21	94
130	35.44	92
131	38.91	101
132	40.45	105
133	31.59	82
134	42.76	111
135	25.81	67
136	30.82	80
137	32.74	85
138	40.06	104

Model ID	Clash score	Number of clashes
139	36.59	95
140	35.44	92
141	39.68	103
142	33.13	86
143	33.13	86
144	28.12	73
145	33.90	88
146	41.60	108
147	30.82	80
148	35.05	91
149	32.74	85
150	37.37	97
151	29.66	77
152	40.06	104
153	30.05	78
154	33.51	87
155	33.90	88
156	33.51	87
157	37.37	97
158	25.81	67
159	26.19	68
160	33.90	88
161	41.22	107

Model ID	Clash score	Number of clashes
162	43.14	112
163	45.84	119
164	40.06	104
165	37.37	97
166	27.35	71
167	30.43	79
168	35.82	93
169	36.59	95
170	26.96	70
171	37.37	97
172	33.51	87
173	28.51	74
174	34.67	90
175	36.98	96
176	36.21	94
177	36.21	94
178	33.51	87
179	36.21	94
180	39.29	102
181	39.68	103
182	41.22	107
183	42.37	110
184	44.30	115

Model ID	Clash score	Number of clashes
185	31.97	83
186	40.45	105
187	33.90	88
188	31.97	83
189	29.28	76
190	39.29	102
191	35.82	93
192	16.18	42
193	30.05	78
194	32.74	85
195	34.67	90
196	32.36	84
197	31.59	82
198	36.59	95
199	38.52	100
200	38.14	99
201	39.29	102
202	26.96	70
203	38.91	101
204	30.05	78
205	25.42	66
206	34.28	89
207	26.96	70

Model ID	Clash score	Number of clashes
208	33.51	87
209	34.28	89
210	38.14	99
211	31.59	82
212	32.36	84
213	38.91	101
214	39.29	102
215	33.90	88
216	33.13	86
217	33.51	87
218	30.43	79
219	38.52	100
220	45.84	119
221	36.98	96
222	31.97	83
223	30.05	78
224	24.65	64
225	39.68	103
226	36.59	95
227	25.42	66
228	37.37	97
229	38.14	99
230	28.12	73

Model ID	Clash score	Number of clashes
231	34.67	90
232	38.91	101
233	30.82	80
234	35.05	91
235	31.97	83
236	38.52	100
237	34.28	89
238	31.20	81
239	33.13	86
240	38.91	101
241	33.13	86
242	41.60	108
243	29.66	77
244	34.28	89
245	33.90	88
246	30.82	80
247	30.05	78
248	26.96	70
249	39.29	102
250	48.15	125
251	31.20	81
252	39.29	102
253	32.36	84

Model ID	Clash score	Number of clashes
254	37.75	98
255	28.12	73
256	34.28	89
257	36.98	96
258	29.66	77
259	36.98	96
260	32.74	85
261	32.36	84
262	29.66	77
263	34.28	89
264	30.82	80
265	33.90	88
266	44.30	115
267	39.68	103
268	37.37	97
269	35.44	92
270	38.91	101
271	35.05	91
272	42.37	110
273	32.74	85
274	29.28	76
275	38.14	99
276	34.28	89

Model ID	Clash score	Number of clashes
277	42.76	111
278	32.74	85
279	41.22	107
280	40.45	105
281	36.98	96
282	32.74	85
283	38.91	101

All 27892 close contacts within the same asymmetric unit are listed below, sorted by their clash magnitude.

Model ID	Atom-1	Atom-2	Clash overlap (Å)
1	A:13:LEU:HD13	A:29:ILE:HG13	1.036
1	A:130:ALA:HB1	A:150:ILE:HG23	1.021
1	A:120:MET:HG2	A:125:ARG:HB2	0.927
1	A:120:MET:SD	A:128:GLU:HB2	0.859
1	A:130:ALA:HB1	A:150:ILE:CG2	0.847
1	A:91:LEU:HD11	A:121:LEU:HD12	0.841
1	A:120:MET:CG	A:125:ARG:HB2	0.828
1	A:88:TYR:CD1	A:99:LEU:HD13	0.803
1	A:102:MET:HG2	A:111:VAL:HG22	0.803
1	A:13:LEU:HD13	A:29:ILE:CG1	0.800
1	A:19:LYS:HD2	A:25:TYR:CE2	0.787
1	A:7:LEU:HD11	A:71:VAL:CG2	0.779
1	A:7:LEU:HD11	A:71:VAL:HG21	0.779
1	A:29:ILE:HD13	A:67:PHE:CD2	0.772

Model ID	Atom-1	Atom-2	Clash overlap (Å)
1	A:8:ARG:HB2	A:29:ILE:HG12	0.771
1	A:18:TYR:CE1	A:26:THR:HG22	0.768
1	A:84:LEU:HD12	A:88:TYR:HB2	0.757
1	A:88:TYR:HD1	A:99:LEU:HD13	0.750
1	A:13:LEU:CD1	A:29:ILE:HG13	0.749
1	A:84:LEU:CD1	A:88:TYR:HB2	0.748
1	A:1:MET:HG3	A:158:TRP:CE3	0.734
1	A:97:ALA:SG	A:158:TRP:HZ2	0.731
1	A:15:LEU:HD22	A:57:VAL:CG1	0.730
1	A:121:LEU:HD22	A:126:TRP:HE3	0.728
1	A:147:LYS:HA	A:150:ILE:HD12	0.703
1	A:15:LEU:HD22	A:57:VAL:HG11	0.688
1	A:78:ILE:HD11	A:100:ILE:HA	0.687
1	A:121:LEU:HD22	A:126:TRP:CE3	0.687
1	A:78:ILE:CG1	A:103:VAL:HG21	0.679
1	A:78:ILE:HG12	A:103:VAL:HG21	0.662
1	A:6:MET:HG3	A:161:TYR:CZ	0.661
1	A:97:ALA:SG	A:158:TRP:CZ2	0.632
1	A:91:LEU:HD11	A:121:LEU:CD1	0.631
1	A:117:SER:HA	A:120:MET:HB2	0.626
1	A:7:LEU:HA	A:10:ASP:HB2	0.622
1	A:19:LYS:HD2	A:25:TYR:HE2	0.618
1	A:13:LEU:HD13	A:29:ILE:CD1	0.613

Model ID	Atom-1	Atom-2	Clash overlap (Å)
1	A:99:LEU:HD23	A:102:MET:HE1	0.609
1	A:120:MET:HG2	A:125:ARG:CB	0.607
1	A:78:ILE:HG21	A:88:TYR:CD2	0.600
1	A:74:ALA:HB2	A:104:PHE:HD2	0.598
1	A:46:LEU:CD1	A:50:ILE:HG13	0.591
1	A:29:ILE:HB	A:67:PHE:CG	0.584
1	A:130:ALA:CB	A:150:ILE:HG23	0.582
1	A:151:THR:HG21	A:160:ALA:CB	0.563
1	A:14:ARG:HB3	A:18:TYR:CD1	0.562
1	A:99:LEU:HD23	A:102:MET:CE	0.562
1	A:84:LEU:HD12	A:88:TYR:CB	0.555
1	A:106:MET:SD	A:136:SER:HB3	0.547
1	A:15:LEU:HD22	A:57:VAL:HG12	0.546
1	A:7:LEU:HD11	A:71:VAL:HG22	0.540
1	A:91:LEU:CD1	A:99:LEU:HD11	0.539
1	A:24:TYR:HB3	A:35:LYS:HG3	0.536
1	A:78:ILE:HG12	A:103:VAL:CG2	0.528
1	A:88:TYR:CD1	A:99:LEU:CD1	0.528
1	A:46:LEU:HD21	A:58:ILE:HG23	0.527
1	A:14:ARG:HB3	A:18:TYR:CE1	0.526
1	A:25:TYR:HB3	A:34:THR:HG23	0.525
1	A:121:LEU:HD13	A:126:TRP:HZ3	0.524
1	A:18:TYR:CE1	A:26:THR:CG2	0.519

Model ID	Atom-1	Atom-2	Clash overlap (Å)
1	A:114:PHE:CE1	A:133:LEU:HD23	0.517
1	A:151:THR:HG21	A:160:ALA:HB1	0.516
1	A:74:ALA:HB2	A:104:PHE:CD2	0.513
1	A:46:LEU:HD11	A:58:ILE:CG2	0.512
1	A:88:TYR:HD1	A:99:LEU:CD1	0.511
1	A:105:GLN:C	A:138:TRP:HE1	0.508
1	A:27:ILE:CD1	A:46:LEU:HD22	0.501
1	A:105:GLN:HB3	A:138:TRP:CZ2	0.501
1	A:147:LYS:HE3	A:150:ILE:HD13	0.499
1	A:120:MET:SD	A:128:GLU:CB	0.497
1	A:136:SER:HB2	A:138:TRP:H	0.490
1	A:47:ASP:HA	A:54:THR:SG	0.489
1	A:78:ILE:HG13	A:103:VAL:HG21	0.488
1	A:102:MET:HE3	A:111:VAL:HG13	0.486
1	A:27:ILE:HD11	A:58:ILE:HG12	0.485
1	A:133:LEU:CD1	A:153:PHE:CD2	0.485
1	A:29:ILE:HB	A:67:PHE:CD1	0.476
1	A:121:LEU:HD21	A:153:PHE:CD1	0.476
1	A:23:GLY:HA3	A:24:TYR:CE2	0.475
1	A:3:ILE:HD13	A:97:ALA:O	0.468
1	A:127:ASP:O	A:131:VAL:HG23	0.466
1	A:67:PHE:O	A:71:VAL:HG23	0.462
1	A:75:VAL:HG22	A:100:ILE:HG12	0.459

Model ID	Atom-1	Atom-2	Clash overlap (Å)
1	A:78:ILE:CG2	A:88:TYR:CD2	0.457
1	A:1:MET:HE3	A:161:TYR:HB3	0.452
1	A:96:ARG:HA	A:99:LEU:HD12	0.452
1	A:3:ILE:O	A:6:MET:HB3	0.450
1	A:102:MET:SD	A:133:LEU:HD21	0.449
1	A:19:LYS:HD2	A:25:TYR:CD2	0.447
1	A:126:TRP:HA	A:129:ALA:HB3	0.446
1	A:107:GLY:O	A:111:VAL:HG23	0.445
1	A:129:ALA:O	A:133:LEU:HG	0.443
1	A:138:TRP:HB3	A:145:ARG:C	0.442
1	A:124:LYS:H	A:124:LYS:HG3	0.442
1	A:136:SER:HB2	A:138:TRP:CG	0.438
1	A:25:TYR:CB	A:34:THR:HG23	0.436
1	A:18:TYR:HE1	A:26:THR:HG22	0.435
1	A:71:VAL:O	A:74:ALA:HB3	0.434
1	A:121:LEU:HD11	A:153:PHE:HE1	0.431
1	A:121:LEU:HD21	A:153:PHE:CE1	0.430
1	A:105:GLN:HB3	A:138:TRP:CE2	0.429
1	A:148:ARG:HB3	A:161:TYR:CE1	0.425
1	A:33:LEU:HA	A:33:LEU:HD22	0.424
1	A:92:ASP:O	A:96:ARG:HG3	0.423
1	A:46:LEU:HD12	A:50:ILE:CG1	0.422
1	A:75:VAL:O	A:79:LEU:HD13	0.421

Model ID	Atom-1	Atom-2	Clash overlap (Å)
1	A:114:PHE:O	A:117:SER:HB3	0.420
1	A:27:ILE:HD11	A:46:LEU:HD22	0.417
1	A:76:ARG:HB2	A:76:ARG:HE	0.415
1	A:23:GLY:HA3	A:24:TYR:CZ	0.410
1	A:96:ARG:O	A:100:ILE:HG13	0.410
1	A:92:ASP:OD2	A:95:ARG:HG3	0.406
1	A:20:ASP:OD1	A:22:GLU:HB2	0.405
1	A:102:MET:SD	A:153:PHE:CE2	0.401
1	A:147:LYS:HE2	A:150:ILE:HG21	0.400
2	A:7:LEU:HD11	A:104:PHE:CD1	0.993
2	A:29:ILE:HD12	A:63:ALA:HB1	0.952
2	A:102:MET:HE2	A:153:PHE:HZ	0.934
2	A:99:LEU:HD23	A:102:MET:HE2	0.892
2	A:91:LEU:HD12	A:99:LEU:HD11	0.891
2	A:121:LEU:HD23	A:126:TRP:CZ3	0.885
2	A:120:MET:HB3	A:125:ARG:HB2	0.871
2	A:52:ARG:HB3	A:54:THR:SG	0.869
2	A:121:LEU:HD23	A:126:TRP:HZ3	0.866
2	A:91:LEU:CD1	A:99:LEU:HD11	0.819
2	A:29:ILE:CD1	A:63:ALA:HB1	0.816
2	A:17:ILE:CD1	A:27:ILE:HD12	0.813
2	A:130:ALA:CB	A:150:ILE:HG23	0.769
2	A:17:ILE:HD13	A:27:ILE:HD12	0.742

Model ID	Atom-1	Atom-2	Clash overlap (Å)
2	A:105:GLN:HG3	A:138:TRP:CZ2	0.720
2	A:81:ASN:HB3	A:84:LEU:HB2	0.719
2	A:148:ARG:HB3	A:161:TYR:CE1	0.712
2	A:7:LEU:HB3	A:67:PHE:CZ	0.704
2	A:99:LEU:HA	A:102:MET:HB2	0.704
2	A:78:ILE:HD11	A:103:VAL:HG21	0.694
2	A:130:ALA:HB1	A:150:ILE:HG23	0.689
2	A:139:TYR:HE1	A:150:ILE:CD1	0.682
2	A:102:MET:HE2	A:153:PHE:CZ	0.678
2	A:7:LEU:HD11	A:104:PHE:CE1	0.664
2	A:126:TRP:HB3	A:153:PHE:HB3	0.659
2	A:27:ILE:HD13	A:46:LEU:CD2	0.636
2	A:6:MET:HG3	A:161:TYR:CZ	0.630
2	A:130:ALA:HB2	A:150:ILE:HG23	0.609
2	A:91:LEU:HD11	A:121:LEU:HD22	0.592
2	A:99:LEU:CD2	A:102:MET:HE2	0.592
2	A:120:MET:SD	A:128:GLU:HB2	0.583
2	A:121:LEU:CD2	A:126:TRP:HZ3	0.575
2	A:6:MET:HE1	A:98:ALA:HA	0.574
2	A:7:LEU:HD22	A:10:ASP:HB2	0.571
2	A:78:ILE:CD1	A:103:VAL:HG21	0.570
2	A:34:THR:HB	A:42:ALA:HB2	0.562
2	A:1:MET:HE3	A:161:TYR:HD2	0.557

Model ID	Atom-1	Atom-2	Clash overlap (Å)
2	A:78:ILE:HG21	A:88:TYR:CD2	0.553
2	A:17:ILE:HG21	A:39:LEU:HD12	0.552
2	A:120:MET:SD	A:128:GLU:CB	0.546
2	A:27:ILE:HD13	A:46:LEU:HD21	0.541
2	A:1:MET:HG2	A:161:TYR:HB3	0.539
2	A:50:ILE:HD11	A:66:LEU:HD11	0.533
2	A:120:MET:HG2	A:125:ARG:HD2	0.533
2	A:14:ARG:HG2	A:18:TYR:CG	0.522
2	A:148:ARG:HB3	A:161:TYR:CZ	0.522
2	A:24:TYR:CG	A:32:LEU:HD11	0.518
2	A:102:MET:SD	A:133:LEU:HD11	0.517
2	A:121:LEU:HD23	A:126:TRP:CE3	0.515
2	A:102:MET:CE	A:153:PHE:HZ	0.515
2	A:88:TYR:HD1	A:99:LEU:HD13	0.511
2	A:148:ARG:HD2	A:161:TYR:CD2	0.496
2	A:29:ILE:HD13	A:67:PHE:CD2	0.495
2	A:6:MET:HG3	A:161:TYR:CE2	0.492
2	A:43:LYS:HA	A:46:LEU:HB2	0.488
2	A:84:LEU:HG	A:108:GLU:HB3	0.487
2	A:7:LEU:HD11	A:104:PHE:CG	0.486
2	A:8:ARG:HG3	A:67:PHE:HE2	0.484
2	A:42:ALA:O	A:46:LEU:HB2	0.479
2	A:136:SER:OG	A:138:TRP:HB2	0.478

Model ID	Atom-1	Atom-2	Clash overlap (Å)
2	A:120:MET:CB	A:125:ARG:HB2	0.475
2	A:102:MET:HA	A:138:TRP:CZ2	0.472
2	A:67:PHE:CD1	A:71:VAL:HG23	0.468
2	A:33:LEU:HD11	A:46:LEU:HD23	0.467
2	A:14:ARG:HB3	A:18:TYR:CE1	0.465
2	A:15:LEU:O	A:58:ILE:HG13	0.465
2	A:148:ARG:HB3	A:161:TYR:CD1	0.465
2	A:7:LEU:HD13	A:67:PHE:HE1	0.463
2	A:130:ALA:HB1	A:150:ILE:CG2	0.462
2	A:71:VAL:O	A:75:VAL:HG23	0.461
2	A:3:ILE:HG23	A:4:PHE:CD2	0.460
2	A:117:SER:O	A:120:MET:HB2	0.458
2	A:46:LEU:HD11	A:58:ILE:HG21	0.457
2	A:14:ARG:CB	A:18:TYR:CE1	0.456
2	A:77:GLY:O	A:80:ARG:HB2	0.454
2	A:7:LEU:HD13	A:67:PHE:CE1	0.449
2	A:138:TRP:HB3	A:146:ALA:HB2	0.448
2	A:136:SER:HB2	A:138:TRP:CD1	0.440
2	A:124:LYS:HA	A:126:TRP:CZ2	0.439
2	A:68:ASN:O	A:72:ASP:HB2	0.438
2	A:1:MET:HE3	A:161:TYR:CD2	0.435
2	A:99:LEU:HD23	A:153:PHE:HZ	0.435
2	A:121:LEU:HD21	A:153:PHE:CE1	0.434

Model ID	Atom-1	Atom-2	Clash overlap (Å)
2	A:78:ILE:HD11	A:103:VAL:CG2	0.433
2	A:52:ARG:HE	A:62:GLU:HG3	0.432
2	A:126:TRP:HB2	A:154:ARG:HA	0.431
2	A:12:GLY:O	A:29:ILE:HA	0.423
2	A:78:ILE:HG21	A:88:TYR:CE2	0.423
2	A:127:ASP:O	A:131:VAL:HG23	0.421
2	A:8:ARG:HG3	A:67:PHE:CE2	0.419
2	A:121:LEU:HD21	A:153:PHE:HE1	0.419
2	A:1:MET:HB3	A:158:TRP:HB3	0.418
2	A:33:LEU:CD2	A:45:GLU:HG3	0.416
2	A:105:GLN:C	A:138:TRP:HE1	0.415
2	A:15:LEU:HB2	A:58:ILE:O	0.414
2	A:77:GLY:HA2	A:80:ARG:HG3	0.413
2	A:58:ILE:HB	A:62:GLU:CD	0.412
2	A:96:ARG:O	A:100:ILE:HG13	0.412
2	A:107:GLY:O	A:111:VAL:HG23	0.405
2	A:129:ALA:O	A:133:LEU:HD23	0.405
2	A:66:LEU:O	A:69:GLN:HB3	0.404
2	A:102:MET:CE	A:153:PHE:CZ	0.404
2	A:1:MET:HG3	A:158:TRP:CE3	0.402
2	A:99:LEU:HD23	A:153:PHE:CZ	0.401
3	A:91:LEU:HD12	A:99:LEU:HD11	1.104
3	A:27:ILE:HG23	A:66:LEU:HD23	0.954

Model ID	Atom-1	Atom-2	Clash overlap (Å)
3	A:29:ILE:HD12	A:63:ALA:HB1	0.856
3	A:7:LEU:HB3	A:67:PHE:CZ	0.831
3	A:27:ILE:CG2	A:33:LEU:HD13	0.826
3	A:130:ALA:HB1	A:150:ILE:HG23	0.805
3	A:27:ILE:HG21	A:33:LEU:HD13	0.795
3	A:130:ALA:CB	A:150:ILE:HG23	0.776
3	A:102:MET:HE1	A:153:PHE:HZ	0.765
3	A:102:MET:HE3	A:111:VAL:HG11	0.759
3	A:91:LEU:CD1	A:99:LEU:HD11	0.751
3	A:24:TYR:HB3	A:32:LEU:HD12	0.740
3	A:102:MET:CE	A:153:PHE:HZ	0.740
3	A:34:THR:HB	A:42:ALA:HB2	0.719
3	A:6:MET:HE3	A:161:TYR:CE1	0.701
3	A:27:ILE:HG23	A:66:LEU:CD2	0.697
3	A:1:MET:HG2	A:161:TYR:HB3	0.683
3	A:88:TYR:CE1	A:96:ARG:HB2	0.678
3	A:87:VAL:HG13	A:118:LEU:HD21	0.663
3	A:27:ILE:HG12	A:66:LEU:HD21	0.662
3	A:81:ASN:HB3	A:84:LEU:HB2	0.662
3	A:17:ILE:HB	A:39:LEU:HG	0.647
3	A:50:ILE:HG12	A:65:LYS:HD3	0.641
3	A:148:ARG:HB3	A:161:TYR:CE1	0.641
3	A:120:MET:SD	A:128:GLU:HB2	0.640

Model ID	Atom-1	Atom-2	Clash overlap (Å)
3	A:120:MET:HB3	A:125:ARG:HB2	0.635
3	A:24:TYR:HB3	A:32:LEU:CD1	0.631
3	A:13:LEU:HD13	A:29:ILE:HG13	0.620
3	A:27:ILE:HG22	A:33:LEU:HD13	0.612
3	A:7:LEU:HB3	A:67:PHE:HZ	0.610
3	A:151:THR:HG22	A:160:ALA:HB1	0.605
3	A:84:LEU:HG	A:108:GLU:CB	0.596
3	A:103:VAL:HG22	A:108:GLU:HG3	0.594
3	A:105:GLN:HG3	A:138:TRP:CZ2	0.592
3	A:138:TRP:HB3	A:146:ALA:HB2	0.590
3	A:91:LEU:HD13	A:95:ARG:HB3	0.587
3	A:95:ARG:HG3	A:156:GLY:HA2	0.580
3	A:102:MET:HE1	A:153:PHE:CZ	0.580
3	A:99:LEU:CD2	A:102:MET:HE2	0.577
3	A:8:ARG:HG3	A:67:PHE:HE2	0.575
3	A:88:TYR:HE1	A:99:LEU:HB2	0.574
3	A:74:ALA:HB2	A:104:PHE:HD2	0.560
3	A:6:MET:HE1	A:98:ALA:HA	0.559
3	A:139:TYR:CE1	A:150:ILE:HD13	0.558
3	A:91:LEU:HD12	A:99:LEU:CD1	0.557
3	A:84:LEU:HG	A:108:GLU:HB3	0.551
3	A:9:ILE:HG21	A:148:ARG:HH12	0.546
3	A:29:ILE:HD13	A:67:PHE:CD2	0.541

Model ID	Atom-1	Atom-2	Clash overlap (Å)
3	A:151:THR:CG2	A:160:ALA:HB1	0.540
3	A:99:LEU:HA	A:102:MET:HB3	0.539
3	A:148:ARG:HB3	A:161:TYR:CD1	0.533
3	A:6:MET:CE	A:161:TYR:CE1	0.530
3	A:18:TYR:HE1	A:26:THR:CG2	0.530
3	A:121:LEU:HD23	A:126:TRP:CE3	0.529
3	A:15:LEU:HD13	A:60:LYS:HG3	0.527
3	A:97:ALA:CB	A:158:TRP:CZ2	0.525
3	A:99:LEU:HD22	A:102:MET:HE2	0.520
3	A:120:MET:SD	A:128:GLU:CB	0.520
3	A:18:TYR:HE1	A:26:THR:HG21	0.518
3	A:27:ILE:HG21	A:33:LEU:CD1	0.518
3	A:13:LEU:HD21	A:60:LYS:HG2	0.515
3	A:29:ILE:CD1	A:63:ALA:HB1	0.512
3	A:17:ILE:CD1	A:27:ILE:HD12	0.509
3	A:103:VAL:CG2	A:108:GLU:HG3	0.509
3	A:11:GLU:HA	A:145:ARG:HH21	0.508
3	A:13:LEU:HD11	A:63:ALA:CB	0.506
3	A:26:THR:HG23	A:30:GLY:HA2	0.505
3	A:29:ILE:HG21	A:67:PHE:CZ	0.505
3	A:95:ARG:O	A:99:LEU:HG	0.502
3	A:70:ASP:HB3	A:104:PHE:HE2	0.500
3	A:1:MET:HE3	A:161:TYR:HD2	0.499

Model ID	Atom-1	Atom-2	Clash overlap (Å)
3	A:47:ASP:HA	A:54:THR:SG	0.498
3	A:136:SER:OG	A:138:TRP:HB2	0.497
3	A:8:ARG:HG3	A:67:PHE:CE2	0.496
3	A:88:TYR:CE1	A:99:LEU:HB2	0.495
3	A:121:LEU:HD23	A:126:TRP:CZ3	0.494
3	A:91:LEU:HD22	A:95:ARG:HD3	0.489
3	A:17:ILE:HD12	A:27:ILE:HD12	0.488
3	A:3:ILE:HG13	A:7:LEU:HD23	0.487
3	A:70:ASP:HB3	A:104:PHE:CE2	0.485
3	A:84:LEU:HG	A:108:GLU:HB2	0.485
3	A:121:LEU:HD11	A:129:ALA:HB1	0.484
3	A:6:MET:HG3	A:161:TYR:CE2	0.482
3	A:33:LEU:HD22	A:42:ALA:HA	0.482
3	A:127:ASP:O	A:131:VAL:HG23	0.478
3	A:139:TYR:HE1	A:150:ILE:HD13	0.476
3	A:20:ASP:HB3	A:26:THR:HG21	0.474
3	A:74:ALA:O	A:78:ILE:HG13	0.473
3	A:102:MET:SD	A:133:LEU:HD11	0.473
3	A:43:LYS:HA	A:46:LEU:HB2	0.471
3	A:50:ILE:HG22	A:54:THR:SG	0.470
3	A:130:ALA:HB1	A:150:ILE:CG2	0.462
3	A:117:SER:O	A:120:MET:HB2	0.461
3	A:102:MET:HA	A:138:TRP:CZ2	0.460

Model ID	Atom-1	Atom-2	Clash overlap (Å)
3	A:146:ALA:O	A:150:ILE:HD12	0.460
3	A:1:MET:HG2	A:161:TYR:CB	0.459
3	A:121:LEU:HD12	A:129:ALA:HB2	0.458
3	A:118:LEU:HD23	A:121:LEU:HB2	0.456
3	A:4:PHE:HB3	A:64:GLU:OE2	0.454
3	A:92:ASP:OD1	A:95:ARG:HD2	0.451
3	A:102:MET:HA	A:138:TRP:CH2	0.451
3	A:99:LEU:HD23	A:102:MET:HE2	0.450
3	A:97:ALA:CB	A:158:TRP:HZ2	0.448
3	A:102:MET:CE	A:111:VAL:HG11	0.447
3	A:142:THR:OG1	A:145:ARG:HB2	0.445
3	A:139:TYR:HE1	A:150:ILE:CD1	0.444
3	A:102:MET:CE	A:153:PHE:CZ	0.440
3	A:11:GLU:HG2	A:104:PHE:HE1	0.438
3	A:4:PHE:HB3	A:64:GLU:CD	0.436
3	A:139:TYR:CE1	A:150:ILE:CD1	0.432
3	A:62:GLU:HA	A:65:LYS:HG3	0.431
3	A:14:ARG:HB2	A:18:TYR:CZ	0.428
3	A:7:LEU:HB3	A:67:PHE:CE1	0.425
3	A:130:ALA:HB2	A:150:ILE:HG23	0.421
3	A:59:THR:OG1	A:62:GLU:HG3	0.420
3	A:97:ALA:HB3	A:158:TRP:CZ2	0.411
3	A:18:TYR:CE1	A:26:THR:CG2	0.410

Model ID	Atom-1	Atom-2	Clash overlap (Å)
3	A:46:LEU:HG	A:58:ILE:HG21	0.409
3	A:58:ILE:HD12	A:59:THR:O	0.404
3	A:148:ARG:HD3	A:162:LYS:H	0.403
3	A:43:LYS:HG3	A:56:GLY:N	0.402
3	A:117:SER:OG	A:129:ALA:HA	0.402
3	A:25:TYR:CZ	A:39:LEU:HD11	0.400
4	A:130:ALA:HB1	A:150:ILE:HG23	1.075
4	A:46:LEU:HD12	A:50:ILE:HG13	1.072
4	A:13:LEU:HD13	A:29:ILE:HG13	1.001
4	A:29:ILE:HD13	A:67:PHE:CD2	0.999
4	A:7:LEU:HD12	A:67:PHE:HE1	0.878
4	A:120:MET:HG2	A:125:ARG:HB2	0.852
4	A:130:ALA:HB1	A:150:ILE:CG2	0.839
4	A:13:LEU:HD13	A:29:ILE:CG1	0.834
4	A:78:ILE:HG12	A:103:VAL:HG21	0.829
4	A:121:LEU:HD22	A:126:TRP:CE3	0.826
4	A:18:TYR:CE1	A:26:THR:HG22	0.823
4	A:91:LEU:HD11	A:121:LEU:HD12	0.823
4	A:120:MET:SD	A:128:GLU:HB2	0.817
4	A:25:TYR:HB3	A:34:THR:HG23	0.797
4	A:121:LEU:HD22	A:126:TRP:HE3	0.786
4	A:7:LEU:CD1	A:67:PHE:HE1	0.755
4	A:13:LEU:HD13	A:29:ILE:CD1	0.753

Model ID	Atom-1	Atom-2	Clash overlap (Å)
4	A:102:MET:HG2	A:111:VAL:HG22	0.753
4	A:120:MET:CG	A:125:ARG:HB2	0.737
4	A:147:LYS:HA	A:150:ILE:HD12	0.723
4	A:121:LEU:HD13	A:126:TRP:HZ3	0.717
4	A:138:TRP:HA	A:145:ARG:HB3	0.717
4	A:91:LEU:HD11	A:121:LEU:CD1	0.714
4	A:7:LEU:HD12	A:67:PHE:CE1	0.699
4	A:17:ILE:CD1	A:43:LYS:HB3	0.690
4	A:117:SER:HA	A:120:MET:HB2	0.667
4	A:133:LEU:HD11	A:153:PHE:CD2	0.661
4	A:121:LEU:CD2	A:126:TRP:HE3	0.659
4	A:88:TYR:HD1	A:99:LEU:CD1	0.657
4	A:121:LEU:HD13	A:126:TRP:CZ3	0.655
4	A:130:ALA:CB	A:150:ILE:HG23	0.655
4	A:88:TYR:HD1	A:99:LEU:HD13	0.653
4	A:79:LEU:HG	A:85:LYS:HG3	0.652
4	A:52:ARG:HH21	A:58:ILE:HG22	0.626
4	A:13:LEU:CD1	A:29:ILE:HG13	0.625
4	A:14:ARG:HB3	A:18:TYR:CD1	0.620
4	A:102:MET:SD	A:133:LEU:HD21	0.613
4	A:29:ILE:HB	A:67:PHE:CG	0.611
4	A:88:TYR:CD1	A:99:LEU:HD13	0.605
4	A:17:ILE:HD13	A:43:LYS:HB3	0.603

Model ID	Atom-1	Atom-2	Clash overlap (Å)
4	A:97:ALA:SG	A:158:TRP:HZ2	0.602
4	A:7:LEU:HG	A:105:GLN:HG3	0.598
4	A:14:ARG:HB3	A:18:TYR:CG	0.594
4	A:8:ARG:HB2	A:13:LEU:HB2	0.593
4	A:138:TRP:CB	A:146:ALA:HB2	0.593
4	A:74:ALA:HB2	A:104:PHE:HD2	0.590
4	A:46:LEU:CD1	A:50:ILE:HG13	0.586
4	A:103:VAL:HA	A:111:VAL:HG21	0.582
4	A:75:VAL:HG22	A:100:ILE:HG12	0.577
4	A:78:ILE:CG1	A:103:VAL:HG21	0.574
4	A:138:TRP:HB2	A:146:ALA:HB2	0.570
4	A:84:LEU:CD1	A:88:TYR:HB2	0.568
4	A:71:VAL:HG22	A:104:PHE:CG	0.560
4	A:115:THR:HA	A:118:LEU:HG	0.560
4	A:46:LEU:HD12	A:50:ILE:CG1	0.559
4	A:50:ILE:HG21	A:52:ARG:HG2	0.555
4	A:25:TYR:CB	A:34:THR:HG23	0.554
4	A:138:TRP:HB3	A:145:ARG:C	0.554
4	A:120:MET:HG2	A:125:ARG:CB	0.545
4	A:18:TYR:HE1	A:26:THR:HG22	0.542
4	A:7:LEU:HB3	A:67:PHE:CZ	0.540
4	A:18:TYR:CE2	A:20:ASP:HB2	0.540
4	A:27:ILE:HD13	A:46:LEU:HD13	0.537

Model ID	Atom-1	Atom-2	Clash overlap (Å)
4	A:75:VAL:HA	A:78:ILE:HD12	0.535
4	A:8:ARG:HB3	A:29:ILE:HG12	0.532
4	A:25:TYR:HB3	A:34:THR:CG2	0.529
4	A:97:ALA:SG	A:158:TRP:CZ2	0.527
4	A:136:SER:HB2	A:138:TRP:H	0.522
4	A:6:MET:HG2	A:161:TYR:CZ	0.521
4	A:99:LEU:HD23	A:153:PHE:HZ	0.516
4	A:106:MET:SD	A:136:SER:HB3	0.515
4	A:1:MET:SD	A:5:GLU:HB3	0.512
4	A:88:TYR:CD1	A:99:LEU:CD1	0.512
4	A:105:GLN:HB3	A:138:TRP:CZ2	0.510
4	A:125:ARG:HB3	A:128:GLU:OE2	0.506
4	A:46:LEU:HD21	A:58:ILE:HG23	0.504
4	A:73:ALA:HA	A:76:ARG:HG2	0.504
4	A:43:LYS:HA	A:46:LEU:HB3	0.499
4	A:7:LEU:HB3	A:67:PHE:CE1	0.498
4	A:20:ASP:OD1	A:22:GLU:HB2	0.498
4	A:68:ASN:HA	A:71:VAL:HG12	0.498
4	A:47:ASP:HA	A:54:THR:SG	0.495
4	A:25:TYR:HB2	A:35:LYS:HA	0.494
4	A:40:ASN:OD1	A:43:LYS:HE2	0.494
4	A:57:VAL:HG12	A:58:ILE:O	0.493
4	A:71:VAL:HG22	A:104:PHE:CD1	0.492

Model ID	Atom-1	Atom-2	Clash overlap (Å)
4	A:59:THR:OG1	A:62:GLU:HB2	0.491
4	A:105:GLN:C	A:138:TRP:HE1	0.491
4	A:4:PHE:HB3	A:67:PHE:HE2	0.485
4	A:129:ALA:O	A:133:LEU:HG	0.485
4	A:99:LEU:O	A:103:VAL:HG23	0.484
4	A:120:MET:SD	A:128:GLU:CB	0.484
4	A:5:GLU:HA	A:8:ARG:HG2	0.483
4	A:29:ILE:HB	A:67:PHE:CD1	0.480
4	A:91:LEU:CD1	A:99:LEU:HD11	0.479
4	A:106:MET:HE1	A:133:LEU:HA	0.479
4	A:6:MET:HG2	A:161:TYR:OH	0.478
4	A:1:MET:HG3	A:158:TRP:CE3	0.476
4	A:8:ARG:CZ	A:13:LEU:HG	0.475
4	A:71:VAL:HA	A:104:PHE:CD2	0.472
4	A:18:TYR:CE1	A:26:THR:CG2	0.469
4	A:27:ILE:HD11	A:58:ILE:HG12	0.468
4	A:71:VAL:O	A:74:ALA:HB3	0.468
4	A:58:ILE:HD12	A:59:THR:O	0.463
4	A:127:ASP:O	A:131:VAL:HG23	0.463
4	A:25:TYR:H	A:35:LYS:HA	0.462
4	A:114:PHE:HB3	A:117:SER:HB3	0.462
4	A:133:LEU:CD1	A:153:PHE:CD2	0.462
4	A:151:THR:HG21	A:160:ALA:HB1	0.462

Model ID	Atom-1	Atom-2	Clash overlap (Å)
4	A:23:GLY:HA3	A:24:TYR:CE2	0.461
4	A:138:TRP:CE3	A:146:ALA:HA	0.461
4	A:16:LYS:HG3	A:57:VAL:HG11	0.455
4	A:62:GLU:HA	A:65:LYS:HB2	0.455
4	A:52:ARG:NH2	A:58:ILE:HG22	0.454
4	A:23:GLY:HA3	A:24:TYR:CD2	0.453
4	A:102:MET:HE3	A:111:VAL:HG13	0.450
4	A:103:VAL:HG22	A:111:VAL:HG11	0.450
4	A:14:ARG:HB3	A:18:TYR:CE1	0.448
4	A:102:MET:SD	A:133:LEU:CD2	0.448
4	A:138:TRP:HB3	A:146:ALA:HB2	0.446
4	A:105:GLN:OE1	A:145:ARG:HG2	0.446
4	A:91:LEU:HD12	A:99:LEU:HD11	0.444
4	A:106:MET:HG3	A:136:SER:HB3	0.444
4	A:121:LEU:HD21	A:153:PHE:CD1	0.436
4	A:50:ILE:HG22	A:52:ARG:H	0.434
4	A:2:ASN:HA	A:158:TRP:CZ2	0.430
4	A:141:GLN:HG2	A:142:THR:HG23	0.429
4	A:24:TYR:HB3	A:35:LYS:HG3	0.427
4	A:67:PHE:O	A:71:VAL:HG12	0.427
4	A:27:ILE:CD1	A:46:LEU:HD22	0.425
4	A:34:THR:OG1	A:36:SER:HB3	0.425
4	A:94:VAL:HG22	A:158:TRP:NE1	0.422

Model ID	Atom-1	Atom-2	Clash overlap (Å)
4	A:121:LEU:HD21	A:153:PHE:CE1	0.420
4	A:6:MET:HE3	A:158:TRP:CZ3	0.419
4	A:147:LYS:HB2	A:147:LYS:HE3	0.419
4	A:3:ILE:HD13	A:97:ALA:O	0.414
4	A:136:SER:HB2	A:138:TRP:CG	0.414
4	A:85:LYS:HG2	A:89:ASP:OD2	0.409
4	A:1:MET:HE3	A:161:TYR:HD2	0.404
5	A:50:ILE:HD13	A:66:LEU:HD13	1.165
5	A:130:ALA:HB1	A:150:ILE:HG23	1.076
5	A:13:LEU:HD13	A:29:ILE:HG13	0.990
5	A:29:ILE:HD13	A:67:PHE:CD2	0.911
5	A:120:MET:HG2	A:125:ARG:HB2	0.910
5	A:121:LEU:HD22	A:126:TRP:HE3	0.892
5	A:121:LEU:HD22	A:126:TRP:CE3	0.891
5	A:7:LEU:HD11	A:71:VAL:HG21	0.872
5	A:50:ILE:HD13	A:66:LEU:CD1	0.865
5	A:13:LEU:HD13	A:29:ILE:CG1	0.820
5	A:102:MET:HG2	A:111:VAL:HG22	0.817
5	A:121:LEU:HD13	A:126:TRP:HZ3	0.811
5	A:130:ALA:CB	A:150:ILE:HG23	0.791
5	A:120:MET:HG2	A:125:ARG:CB	0.787
5	A:13:LEU:HD13	A:29:ILE:CD1	0.782
5	A:7:LEU:HD11	A:71:VAL:CG2	0.779

Model ID	Atom-1	Atom-2	Clash overlap (Å)
5	A:130:ALA:HB1	A:150:ILE:CG2	0.758
5	A:78:ILE:HG12	A:103:VAL:HG21	0.750
5	A:46:LEU:HD21	A:58:ILE:HG23	0.724
5	A:33:LEU:HD11	A:45:GLU:HB3	0.720
5	A:121:LEU:HD13	A:126:TRP:CZ3	0.703
5	A:27:ILE:HD11	A:58:ILE:HG12	0.698
5	A:120:MET:SD	A:128:GLU:HB2	0.698
5	A:102:MET:HE3	A:111:VAL:HG13	0.680
5	A:18:TYR:CE1	A:26:THR:HG22	0.669
5	A:88:TYR:HD1	A:99:LEU:HD13	0.668
5	A:88:TYR:CD1	A:99:LEU:HD13	0.666
5	A:13:LEU:HD11	A:63:ALA:CB	0.651
5	A:121:LEU:CD2	A:126:TRP:HE3	0.649
5	A:6:MET:HG3	A:161:TYR:CZ	0.647
5	A:102:MET:SD	A:133:LEU:HD21	0.645
5	A:70:ASP:HB3	A:104:PHE:HE2	0.641
5	A:7:LEU:HA	A:10:ASP:HB2	0.628
5	A:15:LEU:HD22	A:57:VAL:HG11	0.628
5	A:27:ILE:HD13	A:46:LEU:HD22	0.620
5	A:50:ILE:CD1	A:66:LEU:HD13	0.616
5	A:13:LEU:CD1	A:29:ILE:HG13	0.615
5	A:91:LEU:CD1	A:99:LEU:HD11	0.610
5	A:117:SER:HA	A:120:MET:HB2	0.607

Model ID	Atom-1	Atom-2	Clash overlap (Å)
5	A:70:ASP:HB3	A:104:PHE:CE2	0.605
5	A:88:TYR:HD1	A:99:LEU:CD1	0.588
5	A:105:GLN:HB3	A:138:TRP:CZ2	0.588
5	A:106:MET:SD	A:136:SER:HB3	0.577
5	A:75:VAL:HG22	A:100:ILE:HG12	0.570
5	A:120:MET:SD	A:128:GLU:CB	0.559
5	A:14:ARG:HB3	A:18:TYR:CE1	0.554
5	A:50:ILE:HG22	A:52:ARG:H	0.547
5	A:117:SER:HB2	A:129:ALA:HA	0.547
5	A:138:TRP:CB	A:146:ALA:HB2	0.542
5	A:46:LEU:HD12	A:50:ILE:CG1	0.538
5	A:15:LEU:CD2	A:57:VAL:HG11	0.537
5	A:81:ASN:HB3	A:84:LEU:HB2	0.535
5	A:138:TRP:HB2	A:146:ALA:HB2	0.535
5	A:14:ARG:HB3	A:18:TYR:CD1	0.528
5	A:99:LEU:HD23	A:102:MET:CE	0.526
5	A:88:TYR:CD1	A:99:LEU:CD1	0.523
5	A:46:LEU:HD12	A:50:ILE:HG12	0.522
5	A:105:GLN:HB3	A:138:TRP:CE2	0.516
5	A:13:LEU:HD11	A:63:ALA:HB1	0.505
5	A:151:THR:HG21	A:160:ALA:CB	0.498
5	A:5:GLU:O	A:8:ARG:HG3	0.490
5	A:25:TYR:CB	A:34:THR:HG23	0.482

Model ID	Atom-1	Atom-2	Clash overlap (Å)
5	A:136:SER:HB2	A:138:TRP:H	0.481
5	A:114:PHE:HB3	A:117:SER:HB3	0.478
5	A:3:ILE:HD13	A:97:ALA:O	0.477
5	A:81:ASN:HB3	A:84:LEU:CB	0.477
5	A:121:LEU:HD21	A:153:PHE:CD1	0.477
5	A:127:ASP:O	A:131:VAL:HG23	0.477
5	A:16:LYS:HG3	A:57:VAL:HG11	0.476
5	A:1:MET:CG	A:158:TRP:CE3	0.472
5	A:7:LEU:CD1	A:71:VAL:HG21	0.471
5	A:148:ARG:HB2	A:161:TYR:CZ	0.469
5	A:84:LEU:CD1	A:88:TYR:HB2	0.467
5	A:130:ALA:O	A:150:ILE:HG12	0.464
5	A:78:ILE:HD11	A:100:ILE:HA	0.462
5	A:151:THR:HG21	A:160:ALA:HB3	0.462
5	A:114:PHE:O	A:118:LEU:HG	0.461
5	A:43:LYS:HA	A:46:LEU:HB3	0.459
5	A:105:GLN:C	A:138:TRP:HE1	0.459
5	A:114:PHE:CE1	A:133:LEU:HD23	0.459
5	A:99:LEU:HD23	A:102:MET:HE1	0.456
5	A:120:MET:HE2	A:125:ARG:HD3	0.454
5	A:1:MET:HA	A:5:GLU:OE2	0.453
5	A:50:ILE:HG13	A:54:THR:SG	0.449
5	A:126:TRP:HA	A:129:ALA:HB3	0.449

Model ID	Atom-1	Atom-2	Clash overlap (Å)
5	A:1:MET:HG3	A:158:TRP:CE3	0.447
5	A:71:VAL:O	A:75:VAL:HG23	0.444
5	A:3:ILE:O	A:6:MET:HB3	0.443
5	A:13:LEU:CD1	A:63:ALA:HB1	0.443
5	A:19:LYS:HD2	A:25:TYR:CD2	0.439
5	A:1:MET:SD	A:5:GLU:HB3	0.436
5	A:6:MET:HG2	A:101:ASN:HD22	0.436
5	A:15:LEU:HD13	A:16:LYS:H	0.436
5	A:126:TRP:HB2	A:154:ARG:HA	0.436
5	A:50:ILE:HG21	A:54:THR:SG	0.430
5	A:92:ASP:OD2	A:95:ARG:HG3	0.430
5	A:129:ALA:O	A:133:LEU:HG	0.430
5	A:127:ASP:OD1	A:154:ARG:HG3	0.429
5	A:15:LEU:HD22	A:57:VAL:CG1	0.428
5	A:64:GLU:HA	A:67:PHE:HD2	0.427
5	A:13:LEU:HD21	A:60:LYS:HG3	0.426
5	A:43:LYS:O	A:46:LEU:HB3	0.426
5	A:25:TYR:HB3	A:34:THR:CG2	0.424
5	A:29:ILE:HD13	A:67:PHE:CG	0.424
5	A:107:GLY:O	A:111:VAL:HG23	0.421
5	A:46:LEU:CD1	A:50:ILE:HG13	0.418
5	A:17:ILE:HG12	A:27:ILE:HD12	0.416
5	A:67:PHE:O	A:71:VAL:HG23	0.413

Model ID	Atom-1	Atom-2	Clash overlap (Å)
5	A:75:VAL:HA	A:78:ILE:HD12	0.410
5	A:120:MET:HE2	A:125:ARG:HH11	0.410
5	A:102:MET:SD	A:133:LEU:CD2	0.410
5	A:20:ASP:OD1	A:22:GLU:HB2	0.409
5	A:27:ILE:HG12	A:46:LEU:HD13	0.409
5	A:88:TYR:HE1	A:96:ARG:HA	0.407
5	A:99:LEU:HD23	A:102:MET:HE2	0.406
5	A:136:SER:HB2	A:138:TRP:CG	0.406
5	A:106:MET:HE1	A:133:LEU:HA	0.404
5	A:91:LEU:HD11	A:121:LEU:HD12	0.403
5	A:135:LYS:HA	A:135:LYS:HD2	0.403
6	A:120:MET:HB3	A:125:ARG:HB2	1.159
6	A:1:MET:HB3	A:158:TRP:HB3	0.944
6	A:58:ILE:HD13	A:63:ALA:HB2	0.943
6	A:148:ARG:HB2	A:161:TYR:CE1	0.942
6	A:15:LEU:HD23	A:16:LYS:HG2	0.932
6	A:87:VAL:HG21	A:121:LEU:HB3	0.928
6	A:130:ALA:HB1	A:150:ILE:HG23	0.908
6	A:58:ILE:CD1	A:63:ALA:HB2	0.850
6	A:130:ALA:CB	A:150:ILE:HG23	0.802
6	A:29:ILE:HD13	A:67:PHE:CD2	0.771
6	A:15:LEU:HD12	A:57:VAL:HG13	0.770
6	A:138:TRP:HB3	A:146:ALA:HB2	0.731

Model ID	Atom-1	Atom-2	Clash overlap (Å)
6	A:120:MET:HB3	A:125:ARG:CB	0.718
6	A:87:VAL:CG2	A:121:LEU:HB3	0.673
6	A:15:LEU:CD2	A:16:LYS:HG2	0.663
6	A:43:LYS:HG3	A:56:GLY:HA3	0.653
6	A:78:ILE:HD11	A:100:ILE:HA	0.648
6	A:50:ILE:CD1	A:66:LEU:HD12	0.643
6	A:78:ILE:HG12	A:103:VAL:HG21	0.620
6	A:130:ALA:HB1	A:150:ILE:CG2	0.615
6	A:88:TYR:HD1	A:99:LEU:CD1	0.612
6	A:7:LEU:HD22	A:10:ASP:HB2	0.608
6	A:13:LEU:HD21	A:60:LYS:HG2	0.603
6	A:1:MET:SD	A:5:GLU:HB3	0.602
6	A:3:ILE:HD12	A:6:MET:SD	0.595
6	A:78:ILE:CG1	A:103:VAL:HG21	0.593
6	A:106:MET:HE2	A:111:VAL:HG22	0.587
6	A:7:LEU:HD12	A:67:PHE:HE1	0.566
6	A:77:GLY:HA3	A:103:VAL:HG11	0.558
6	A:1:MET:HG3	A:158:TRP:CE3	0.550
6	A:29:ILE:HB	A:67:PHE:CG	0.550
6	A:1:MET:HE3	A:161:TYR:HB3	0.547
6	A:120:MET:HG2	A:125:ARG:HD2	0.547
6	A:7:LEU:HB3	A:67:PHE:CZ	0.544
6	A:64:GLU:HA	A:67:PHE:HB3	0.539

Model ID	Atom-1	Atom-2	Clash overlap (Å)
6	A:102:MET:CE	A:111:VAL:HG11	0.533
6	A:1:MET:CB	A:158:TRP:HB3	0.533
6	A:81:ASN:HD21	A:112:ALA:HB2	0.532
6	A:120:MET:SD	A:128:GLU:HB3	0.532
6	A:18:TYR:CE1	A:26:THR:CG2	0.527
6	A:20:ASP:OD2	A:22:GLU:HB2	0.516
6	A:127:ASP:O	A:131:VAL:HG23	0.515
6	A:6:MET:SD	A:158:TRP:CZ3	0.515
6	A:126:TRP:HB3	A:153:PHE:HD1	0.511
6	A:120:MET:SD	A:128:GLU:CB	0.511
6	A:6:MET:SD	A:158:TRP:HZ3	0.511
6	A:106:MET:HE1	A:133:LEU:HG	0.509
6	A:7:LEU:HB3	A:67:PHE:CE1	0.508
6	A:78:ILE:HG12	A:103:VAL:CG2	0.506
6	A:50:ILE:HD13	A:66:LEU:HD12	0.505
6	A:70:ASP:HB3	A:104:PHE:HE2	0.505
6	A:85:LYS:HG3	A:86:PRO:HD3	0.504
6	A:136:SER:HB2	A:138:TRP:CD1	0.504
6	A:13:LEU:CD1	A:63:ALA:HB1	0.499
6	A:7:LEU:HD12	A:67:PHE:CE1	0.493
6	A:50:ILE:HD13	A:66:LEU:CD1	0.492
6	A:105:GLN:C	A:138:TRP:HE1	0.490
6	A:18:TYR:CE1	A:26:THR:HG22	0.484

Model ID	Atom-1	Atom-2	Clash overlap (Å)
6	A:62:GLU:HA	A:65:LYS:HB2	0.484
6	A:102:MET:HE3	A:111:VAL:HG21	0.484
6	A:88:TYR:CD1	A:99:LEU:CD1	0.482
6	A:114:PHE:CG	A:132:ASN:HB3	0.482
6	A:138:TRP:CH2	A:149:VAL:HG11	0.475
6	A:102:MET:HA	A:138:TRP:CH2	0.474
6	A:81:ASN:CG	A:84:LEU:HB2	0.472
6	A:15:LEU:HD12	A:57:VAL:CG1	0.471
6	A:136:SER:O	A:140:ASN:HB2	0.471
6	A:61:ASP:O	A:65:LYS:HG2	0.470
6	A:70:ASP:HB3	A:104:PHE:CE2	0.469
6	A:88:TYR:HD1	A:99:LEU:HD12	0.465
6	A:79:LEU:HD12	A:88:TYR:HE2	0.462
6	A:17:ILE:HG12	A:42:ALA:HB1	0.461
6	A:129:ALA:O	A:133:LEU:HD23	0.456
6	A:29:ILE:HD11	A:64:GLU:HG2	0.453
6	A:106:MET:HE2	A:111:VAL:CG2	0.452
6	A:13:LEU:HD11	A:63:ALA:CB	0.448
6	A:67:PHE:O	A:71:VAL:HG23	0.448
6	A:102:MET:SD	A:153:PHE:HE2	0.446
6	A:148:ARG:H	A:148:ARG:HG2	0.445
6	A:59:THR:OG1	A:62:GLU:HG2	0.444
6	A:73:ALA:HA	A:76:ARG:HD2	0.442

Model ID	Atom-1	Atom-2	Clash overlap (Å)
6	A:4:PHE:CE1	A:71:VAL:HG21	0.438
6	A:136:SER:OG	A:138:TRP:HB2	0.438
6	A:88:TYR:CD1	A:99:LEU:HD13	0.436
6	A:99:LEU:CD2	A:153:PHE:CZ	0.436
6	A:114:PHE:CD2	A:132:ASN:HB3	0.435
6	A:99:LEU:HD23	A:102:MET:CE	0.434
6	A:29:ILE:HD13	A:67:PHE:CG	0.433
6	A:148:ARG:HB2	A:161:TYR:CD1	0.433
6	A:91:LEU:HD21	A:126:TRP:CZ3	0.429
6	A:106:MET:HB2	A:138:TRP:CZ2	0.429
6	A:65:LYS:HA	A:65:LYS:HD3	0.425
6	A:87:VAL:HG22	A:121:LEU:HD12	0.425
6	A:78:ILE:H	A:78:ILE:HG13	0.425
6	A:102:MET:HE3	A:111:VAL:HG11	0.423
6	A:7:LEU:O	A:7:LEU:HD13	0.422
6	A:12:GLY:O	A:29:ILE:HA	0.422
6	A:99:LEU:HD21	A:153:PHE:CZ	0.422
6	A:1:MET:HE1	A:9:ILE:HD12	0.418
6	A:27:ILE:HD11	A:58:ILE:HG23	0.418
6	A:142:THR:OG1	A:145:ARG:HB2	0.418
6	A:101:ASN:O	A:105:GLN:HB2	0.414
6	A:31:HIS:CE1	A:66:LEU:HD13	0.413
6	A:84:LEU:HG	A:118:LEU:HD21	0.413

Model ID	Atom-1	Atom-2	Clash overlap (Å)
6	A:102:MET:HE1	A:111:VAL:HG11	0.412
6	A:102:MET:SD	A:133:LEU:HD11	0.412
6	A:138:TRP:HB2	A:139:TYR:H	0.411
6	A:19:LYS:HG2	A:25:TYR:CE2	0.409
6	A:50:ILE:HG21	A:54:THR:SG	0.409
6	A:105:GLN:HB3	A:138:TRP:NE1	0.406
6	A:121:LEU:HD13	A:126:TRP:HZ3	0.405
6	A:7:LEU:HA	A:10:ASP:HB2	0.404
6	A:3:ILE:CD1	A:6:MET:SD	0.404
6	A:121:LEU:HD13	A:126:TRP:CZ3	0.401
7	A:13:LEU:HD13	A:29:ILE:HG13	1.176
7	A:130:ALA:HB1	A:150:ILE:HG23	1.051
7	A:120:MET:HG2	A:125:ARG:HB2	1.006
7	A:91:LEU:HD11	A:121:LEU:HD12	0.983
7	A:15:LEU:HD22	A:57:VAL:HG11	0.973
7	A:18:TYR:CE1	A:26:THR:HG22	0.869
7	A:120:MET:SD	A:128:GLU:HB2	0.869
7	A:8:ARG:HB2	A:29:ILE:HG12	0.859
7	A:91:LEU:HD11	A:121:LEU:CD1	0.859
7	A:18:TYR:HE1	A:26:THR:HG22	0.811
7	A:121:LEU:HD22	A:126:TRP:CE3	0.799
7	A:130:ALA:HB1	A:150:ILE:CG2	0.799
7	A:1:MET:HE3	A:161:TYR:HB3	0.782

Model ID	Atom-1	Atom-2	Clash overlap (Å)
7	A:121:LEU:HD22	A:126:TRP:HE3	0.779
7	A:78:ILE:HG13	A:103:VAL:HG21	0.776
7	A:13:LEU:HD13	A:29:ILE:CG1	0.774
7	A:120:MET:CG	A:125:ARG:HB2	0.770
7	A:13:LEU:CD1	A:29:ILE:HG13	0.765
7	A:151:THR:HG21	A:160:ALA:CB	0.763
7	A:138:TRP:HB2	A:146:ALA:HB2	0.760
7	A:5:GLU:HA	A:8:ARG:HD2	0.754
7	A:99:LEU:HD23	A:102:MET:HE1	0.744
7	A:79:LEU:HA	A:85:LYS:HB2	0.742
7	A:102:MET:HG2	A:111:VAL:HG22	0.741
7	A:29:ILE:HD13	A:67:PHE:CD2	0.738
7	A:1:MET:SD	A:5:GLU:HB3	0.728
7	A:7:LEU:HD13	A:67:PHE:HE1	0.727
7	A:88:TYR:HD1	A:99:LEU:HD12	0.727
7	A:138:TRP:CB	A:146:ALA:HB2	0.720
7	A:46:LEU:HD12	A:50:ILE:HG12	0.719
7	A:78:ILE:CG1	A:103:VAL:HG21	0.712
7	A:121:LEU:HD13	A:126:TRP:HZ3	0.708
7	A:75:VAL:HA	A:78:ILE:HD12	0.702
7	A:15:LEU:HD22	A:57:VAL:CG1	0.700
7	A:1:MET:HE1	A:9:ILE:HD12	0.683
7	A:16:LYS:HE2	A:57:VAL:HG21	0.682

Model ID	Atom-1	Atom-2	Clash overlap (Å)
7	A:74:ALA:HB2	A:104:PHE:CD2	0.675
7	A:17:ILE:HB	A:39:LEU:HD11	0.674
7	A:7:LEU:HD13	A:67:PHE:CE1	0.670
7	A:27:ILE:HD11	A:58:ILE:HG12	0.661
7	A:7:LEU:HG	A:11:GLU:HG3	0.658
7	A:78:ILE:HG23	A:84:LEU:HD12	0.658
7	A:102:MET:SD	A:133:LEU:HD21	0.653
7	A:91:LEU:HD12	A:99:LEU:HD11	0.646
7	A:130:ALA:CB	A:150:ILE:HG23	0.631
7	A:99:LEU:HA	A:102:MET:HE2	0.626
7	A:120:MET:HE2	A:125:ARG:HH11	0.626
7	A:7:LEU:HB3	A:67:PHE:HZ	0.618
7	A:17:ILE:HD13	A:43:LYS:HB3	0.616
7	A:14:ARG:HB2	A:18:TYR:CD1	0.614
7	A:99:LEU:HD23	A:102:MET:CE	0.614
7	A:29:ILE:HB	A:67:PHE:CG	0.613
7	A:46:LEU:HD11	A:58:ILE:CG2	0.611
7	A:6:MET:HG3	A:161:TYR:CZ	0.590
7	A:130:ALA:HA	A:133:LEU:HD12	0.586
7	A:102:MET:SD	A:133:LEU:CD2	0.584
7	A:148:ARG:HB2	A:161:TYR:CZ	0.567
7	A:15:LEU:CD2	A:57:VAL:HG11	0.564
7	A:91:LEU:CD1	A:99:LEU:HD11	0.561

Model ID	Atom-1	Atom-2	Clash overlap (Å)
7	A:138:TRP:HB3	A:145:ARG:C	0.560
7	A:25:TYR:HB3	A:34:THR:HG23	0.559
7	A:75:VAL:HG22	A:100:ILE:HG12	0.554
7	A:95:ARG:HD3	A:126:TRP:CD2	0.554
7	A:151:THR:HG21	A:160:ALA:HB3	0.554
7	A:95:ARG:HD3	A:126:TRP:CE3	0.552
7	A:33:LEU:HB3	A:34:THR:HG22	0.547
7	A:27:ILE:HD11	A:46:LEU:HD22	0.543
7	A:84:LEU:HD22	A:118:LEU:HD21	0.543
7	A:7:LEU:CD1	A:67:PHE:HE1	0.542
7	A:78:ILE:HG21	A:88:TYR:CD2	0.542
7	A:25:TYR:H	A:35:LYS:HA	0.541
7	A:141:GLN:HG3	A:142:THR:HG23	0.540
7	A:53:ASN:HD22	A:55:ASN:HD22	0.537
7	A:91:LEU:HD12	A:99:LEU:CD1	0.529
7	A:133:LEU:CD1	A:153:PHE:CD2	0.529
7	A:120:MET:HG2	A:125:ARG:HD3	0.528
7	A:46:LEU:HD21	A:58:ILE:HG23	0.527
7	A:8:ARG:HG3	A:13:LEU:HB2	0.526
7	A:106:MET:HG3	A:136:SER:HB3	0.526
7	A:50:ILE:HG22	A:52:ARG:HG2	0.517
7	A:139:TYR:CE2	A:143:PRO:HB3	0.516
7	A:99:LEU:CD2	A:102:MET:HE1	0.515

Model ID	Atom-1	Atom-2	Clash overlap (Å)
7	A:92:ASP:OD1	A:95:ARG:HD2	0.513
7	A:106:MET:HB2	A:138:TRP:CZ2	0.512
7	A:3:ILE:O	A:6:MET:HB3	0.506
7	A:14:ARG:HB2	A:18:TYR:CG	0.506
7	A:74:ALA:HB2	A:104:PHE:HD2	0.506
7	A:13:LEU:O	A:14:ARG:HD2	0.505
7	A:1:MET:HG3	A:158:TRP:CE3	0.502
7	A:134:ALA:O	A:139:TYR:HB3	0.496
7	A:114:PHE:CE1	A:133:LEU:HD23	0.495
7	A:71:VAL:O	A:74:ALA:HB3	0.494
7	A:105:GLN:C	A:138:TRP:HE1	0.492
7	A:136:SER:HB2	A:138:TRP:H	0.491
7	A:58:ILE:HB	A:62:GLU:HB3	0.490
7	A:61:ASP:O	A:65:LYS:HB2	0.490
7	A:117:SER:HA	A:120:MET:HB2	0.490
7	A:127:ASP:O	A:131:VAL:HG23	0.489
7	A:126:TRP:HB3	A:153:PHE:HB3	0.486
7	A:9:ILE:HD13	A:162:LYS:OXT	0.485
7	A:81:ASN:HB3	A:84:LEU:HB2	0.484
7	A:71:VAL:HG13	A:100:ILE:HG21	0.483
7	A:126:TRP:HA	A:129:ALA:HB3	0.483
7	A:8:ARG:HA	A:29:ILE:HG21	0.482
7	A:29:ILE:HD11	A:64:GLU:OE2	0.482

Model ID	Atom-1	Atom-2	Clash overlap (Å)
7	A:105:GLN:HB3	A:138:TRP:CZ2	0.481
7	A:43:LYS:O	A:46:LEU:HB3	0.480
7	A:46:LEU:HD12	A:50:ILE:CG1	0.480
7	A:102:MET:HE3	A:111:VAL:HG13	0.479
7	A:125:ARG:HB3	A:128:GLU:OE2	0.479
7	A:27:ILE:CD1	A:46:LEU:HD22	0.476
7	A:138:TRP:CE3	A:146:ALA:HA	0.475
7	A:7:LEU:HB3	A:67:PHE:CZ	0.474
7	A:17:ILE:HD13	A:43:LYS:CB	0.473
7	A:3:ILE:HD13	A:97:ALA:O	0.472
7	A:121:LEU:CD2	A:126:TRP:HE3	0.471
7	A:133:LEU:HD11	A:153:PHE:CD2	0.464
7	A:25:TYR:HB2	A:35:LYS:HA	0.461
7	A:31:HIS:CD2	A:66:LEU:HD13	0.461
7	A:46:LEU:HD11	A:58:ILE:HG23	0.460
7	A:1:MET:CG	A:158:TRP:CE3	0.459
7	A:99:LEU:HD23	A:153:PHE:HZ	0.459
7	A:121:LEU:HD21	A:153:PHE:CE1	0.459
7	A:121:LEU:HD21	A:153:PHE:CD1	0.458
7	A:79:LEU:HG	A:85:LYS:HG3	0.456
7	A:71:VAL:HA	A:104:PHE:CD2	0.454
7	A:129:ALA:O	A:133:LEU:HG	0.453
7	A:81:ASN:HD21	A:112:ALA:HB2	0.451

Model ID	Atom-1	Atom-2	Clash overlap (Å)
7	A:18:TYR:CE1	A:26:THR:CG2	0.448
7	A:121:LEU:HA	A:126:TRP:CZ3	0.448
7	A:97:ALA:HB1	A:158:TRP:HH2	0.445
7	A:106:MET:HE1	A:133:LEU:HA	0.443
7	A:1:MET:HG2	A:158:TRP:HB3	0.442
7	A:25:TYR:OH	A:39:LEU:HD13	0.442
7	A:107:GLY:O	A:111:VAL:HG23	0.442
7	A:121:LEU:HD13	A:126:TRP:CZ3	0.442
7	A:94:VAL:O	A:97:ALA:HB3	0.441
7	A:121:LEU:HD11	A:153:PHE:HE1	0.441
7	A:7:LEU:CD1	A:67:PHE:CE1	0.440
7	A:128:GLU:O	A:131:VAL:HB	0.439
7	A:120:MET:HG2	A:125:ARG:CB	0.438
7	A:7:LEU:HA	A:10:ASP:HB2	0.437
7	A:75:VAL:HG13	A:88:TYR:CE2	0.436
7	A:23:GLY:C	A:24:TYR:CG	0.434
7	A:24:TYR:HB3	A:32:LEU:CD1	0.434
7	A:106:MET:SD	A:136:SER:HB3	0.434
7	A:4:PHE:O	A:8:ARG:HB3	0.431
7	A:95:ARG:HG2	A:153:PHE:HA	0.431
7	A:114:PHE:HB3	A:117:SER:HB3	0.431
7	A:16:LYS:HG3	A:57:VAL:HG11	0.428
7	A:97:ALA:SG	A:158:TRP:CZ2	0.427

Model ID	Atom-1	Atom-2	Clash overlap (Å)
7	A:78:ILE:HG12	A:103:VAL:HG21	0.423
7	A:97:ALA:CB	A:158:TRP:HH2	0.421
7	A:75:VAL:O	A:78:ILE:HB	0.419
7	A:3:ILE:HB	A:97:ALA:SG	0.418
7	A:19:LYS:HD2	A:25:TYR:CE2	0.418
7	A:138:TRP:HB3	A:146:ALA:HB2	0.415
7	A:151:THR:CG2	A:160:ALA:HB3	0.414
7	A:14:ARG:HB3	A:16:LYS:O	0.413
7	A:20:ASP:OD2	A:30:GLY:HA2	0.412
7	A:117:SER:O	A:120:MET:HB2	0.410
7	A:136:SER:HB2	A:138:TRP:CD1	0.409
7	A:120:MET:SD	A:128:GLU:CB	0.409
7	A:97:ALA:SG	A:158:TRP:HZ2	0.408
7	A:39:LEU:HD23	A:43:LYS:HB3	0.407
7	A:95:ARG:HD3	A:126:TRP:CZ3	0.406
7	A:78:ILE:HD11	A:100:ILE:HA	0.404
7	A:17:ILE:HG23	A:26:THR:C	0.403
8	A:151:THR:HG22	A:160:ALA:HB1	1.150
8	A:27:ILE:HD11	A:58:ILE:HG21	1.112
8	A:120:MET:HB3	A:125:ARG:HB2	1.010
8	A:1:MET:HB3	A:158:TRP:HB3	0.988
8	A:78:ILE:HG13	A:103:VAL:HG21	0.879
8	A:151:THR:CG2	A:160:ALA:HB1	0.870

Model ID	Atom-1	Atom-2	Clash overlap (Å)
8	A:27:ILE:CD1	A:58:ILE:HG21	0.855
8	A:91:LEU:HD13	A:99:LEU:HD11	0.826
8	A:148:ARG:HB2	A:161:TYR:CE1	0.819
8	A:102:MET:SD	A:153:PHE:HE2	0.817
8	A:114:PHE:CE1	A:133:LEU:HD23	0.815
8	A:14:ARG:HB2	A:18:TYR:CD1	0.808
8	A:13:LEU:HD21	A:60:LYS:HG2	0.797
8	A:1:MET:HE3	A:161:TYR:HB3	0.787
8	A:27:ILE:HG22	A:31:HIS:HB3	0.787
8	A:50:ILE:HD13	A:66:LEU:HD13	0.753
8	A:130:ALA:HA	A:150:ILE:HG12	0.753
8	A:29:ILE:HD13	A:67:PHE:CD2	0.748
8	A:50:ILE:CD1	A:66:LEU:HD13	0.747
8	A:88:TYR:HD1	A:99:LEU:HD12	0.746
8	A:8:ARG:HB2	A:13:LEU:HB2	0.729
8	A:88:TYR:HD1	A:99:LEU:CD1	0.717
8	A:3:ILE:HD12	A:6:MET:SD	0.710
8	A:78:ILE:HG13	A:103:VAL:CG2	0.704
8	A:120:MET:HB3	A:125:ARG:CB	0.698
8	A:1:MET:CB	A:158:TRP:HB3	0.697
8	A:102:MET:SD	A:153:PHE:CE2	0.693
8	A:130:ALA:CB	A:150:ILE:HG23	0.691
8	A:124:LYS:HB3	A:126:TRP:CZ2	0.690

Model ID	Atom-1	Atom-2	Clash overlap (Å)
8	A:43:LYS:HG2	A:56:GLY:HA3	0.689
8	A:78:ILE:HD11	A:100:ILE:HA	0.682
8	A:74:ALA:HB2	A:104:PHE:HD2	0.649
8	A:6:MET:HE3	A:161:TYR:CE1	0.641
8	A:27:ILE:HD11	A:58:ILE:CG2	0.634
8	A:120:MET:SD	A:128:GLU:HB2	0.630
8	A:82:ALA:HA	A:85:LYS:HB2	0.629
8	A:148:ARG:HB2	A:161:TYR:CZ	0.627
8	A:5:GLU:HA	A:8:ARG:HG2	0.624
8	A:114:PHE:HE1	A:133:LEU:HD23	0.621
8	A:151:THR:HG22	A:160:ALA:CB	0.610
8	A:84:LEU:HD21	A:118:LEU:HD21	0.608
8	A:138:TRP:HB3	A:146:ALA:HB2	0.599
8	A:15:LEU:CD1	A:57:VAL:HG13	0.575
8	A:88:TYR:CD1	A:99:LEU:HD12	0.575
8	A:97:ALA:SG	A:100:ILE:HD12	0.573
8	A:29:ILE:HD11	A:64:GLU:HG2	0.572
8	A:27:ILE:HG12	A:46:LEU:HD13	0.570
8	A:7:LEU:HG	A:10:ASP:HB2	0.569
8	A:50:ILE:HD13	A:66:LEU:CD1	0.563
8	A:29:ILE:HD13	A:67:PHE:HD2	0.557
8	A:88:TYR:CE1	A:96:ARG:HB2	0.557
8	A:8:ARG:HA	A:29:ILE:HG23	0.556

Model ID	Atom-1	Atom-2	Clash overlap (Å)
8	A:62:GLU:HA	A:65:LYS:HG3	0.551
8	A:102:MET:HE3	A:111:VAL:HG11	0.547
8	A:130:ALA:HB1	A:150:ILE:HG23	0.544
8	A:136:SER:HB2	A:138:TRP:CG	0.539
8	A:7:LEU:HA	A:10:ASP:HB2	0.534
8	A:16:LYS:HA	A:58:ILE:H	0.534
8	A:78:ILE:HG21	A:88:TYR:CE1	0.527
8	A:105:GLN:C	A:138:TRP:HE1	0.526
8	A:58:ILE:CD1	A:63:ALA:HB2	0.520
8	A:78:ILE:CG1	A:103:VAL:HG21	0.520
8	A:6:MET:SD	A:158:TRP:CZ3	0.515
8	A:74:ALA:HB2	A:104:PHE:CD2	0.513
8	A:120:MET:CB	A:125:ARG:HB2	0.513
8	A:58:ILE:HD11	A:63:ALA:HB2	0.512
8	A:91:LEU:CD1	A:99:LEU:HD11	0.510
8	A:6:MET:SD	A:158:TRP:HZ3	0.510
8	A:67:PHE:O	A:71:VAL:HG23	0.507
8	A:120:MET:SD	A:128:GLU:CB	0.506
8	A:99:LEU:HD23	A:102:MET:CE	0.504
8	A:130:ALA:HB1	A:150:ILE:CG2	0.502
8	A:96:ARG:O	A:100:ILE:HG13	0.496
8	A:46:LEU:HG	A:58:ILE:HG22	0.495
8	A:6:MET:CE	A:161:TYR:CE1	0.493

Model ID	Atom-1	Atom-2	Clash overlap (Å)
8	A:121:LEU:HD21	A:153:PHE:CD1	0.491
8	A:91:LEU:HG	A:95:ARG:HB3	0.490
8	A:3:ILE:O	A:6:MET:HB3	0.489
8	A:105:GLN:HB3	A:138:TRP:CZ2	0.489
8	A:28:GLY:HA3	A:63:ALA:HB1	0.488
8	A:25:TYR:HB2	A:34:THR:O	0.487
8	A:7:LEU:HB3	A:67:PHE:CE1	0.482
8	A:66:LEU:HD23	A:69:GLN:HG3	0.481
8	A:3:ILE:HD13	A:97:ALA:SG	0.479
8	A:59:THR:OG1	A:62:GLU:HG2	0.479
8	A:130:ALA:HB2	A:150:ILE:HG23	0.479
8	A:91:LEU:HB3	A:95:ARG:HB3	0.478
8	A:26:THR:HG23	A:27:ILE:O	0.476
8	A:13:LEU:HD13	A:29:ILE:CD1	0.473
8	A:75:VAL:HA	A:78:ILE:HD12	0.471
8	A:139:TYR:CD1	A:146:ALA:CB	0.471
8	A:31:HIS:CE1	A:66:LEU:HB3	0.468
8	A:105:GLN:HB3	A:138:TRP:CE2	0.468
8	A:99:LEU:CD2	A:153:PHE:CZ	0.467
8	A:7:LEU:HB3	A:67:PHE:CZ	0.463
8	A:102:MET:HA	A:138:TRP:CH2	0.463
8	A:101:ASN:O	A:105:GLN:HB2	0.460
8	A:120:MET:HG2	A:125:ARG:HD3	0.460

Model ID	Atom-1	Atom-2	Clash overlap (Å)
8	A:43:LYS:O	A:46:LEU:HB3	0.456
8	A:15:LEU:HD12	A:57:VAL:HG13	0.455
8	A:50:ILE:HG22	A:52:ARG:H	0.454
8	A:71:VAL:O	A:75:VAL:HG23	0.450
8	A:136:SER:HB2	A:138:TRP:CD1	0.449
8	A:129:ALA:O	A:133:LEU:HG	0.448
8	A:15:LEU:HD23	A:16:LYS:H	0.443
8	A:54:THR:SG	A:62:GLU:HG3	0.443
8	A:106:MET:HB2	A:138:TRP:CZ2	0.443
8	A:127:ASP:O	A:130:ALA:HB3	0.441
8	A:139:TYR:CD1	A:146:ALA:HB3	0.441
8	A:106:MET:HE1	A:133:LEU:HD22	0.438
8	A:1:MET:HG3	A:158:TRP:CE3	0.437
8	A:29:ILE:HG21	A:67:PHE:CZ	0.435
8	A:14:ARG:HB2	A:18:TYR:CG	0.432
8	A:78:ILE:HG21	A:88:TYR:CZ	0.429
8	A:142:THR:OG1	A:145:ARG:HB2	0.429
8	A:102:MET:CE	A:111:VAL:HG11	0.428
8	A:50:ILE:HG21	A:54:THR:SG	0.427
8	A:117:SER:OG	A:128:GLU:HB3	0.427
8	A:6:MET:HG3	A:161:TYR:CZ	0.424
8	A:124:LYS:HB3	A:126:TRP:HZ2	0.424
8	A:16:LYS:HB3	A:57:VAL:HA	0.419

Model ID	Atom-1	Atom-2	Clash overlap (Å)
8	A:50:ILE:HG22	A:52:ARG:N	0.417
8	A:62:GLU:C	A:65:LYS:H	0.416
8	A:106:MET:HE2	A:111:VAL:HG22	0.416
8	A:99:LEU:CD2	A:102:MET:HE1	0.415
8	A:81:ASN:HD21	A:108:GLU:HG2	0.415
8	A:116:ASN:O	A:120:MET:HG3	0.414
8	A:66:LEU:O	A:69:GLN:HB2	0.412
8	A:99:LEU:HD23	A:153:PHE:CZ	0.410
8	A:127:ASP:O	A:131:VAL:HG23	0.410
8	A:114:PHE:CD1	A:133:LEU:HD23	0.409
8	A:1:MET:HE1	A:9:ILE:HD12	0.408
8	A:71:VAL:O	A:74:ALA:HB3	0.408
8	A:88:TYR:HD1	A:99:LEU:HD13	0.408
8	A:13:LEU:HD13	A:29:ILE:HG13	0.403
8	A:50:ILE:HG21	A:62:GLU:HG3	0.403
8	A:91:LEU:HG	A:95:ARG:HD3	0.403
8	A:147:LYS:HA	A:150:ILE:HD12	0.403
8	A:102:MET:HA	A:138:TRP:HH2	0.402
8	A:20:ASP:OD2	A:22:GLU:HB2	0.402
9	A:91:LEU:HD12	A:99:LEU:HD11	1.067
9	A:8:ARG:HG3	A:67:PHE:HE2	1.063
9	A:139:TYR:HE1	A:150:ILE:HD12	1.056
9	A:8:ARG:HG3	A:67:PHE:CE2	0.997

Model ID	Atom-1	Atom-2	Clash overlap (Å)
9	A:7:LEU:HD11	A:104:PHE:CD1	0.979
9	A:81:ASN:HB3	A:84:LEU:HB2	0.971
9	A:7:LEU:HD13	A:67:PHE:HE1	0.868
9	A:139:TYR:CE1	A:150:ILE:HD12	0.860
9	A:130:ALA:HB1	A:150:ILE:HG23	0.858
9	A:13:LEU:HD13	A:29:ILE:HD11	0.852
9	A:6:MET:HG3	A:161:TYR:CE2	0.820
9	A:148:ARG:HB3	A:161:TYR:CE1	0.812
9	A:91:LEU:HD12	A:99:LEU:CD1	0.771
9	A:84:LEU:HG	A:108:GLU:HB3	0.768
9	A:117:SER:HA	A:120:MET:HE3	0.764
9	A:7:LEU:HB3	A:67:PHE:CZ	0.761
9	A:50:ILE:HD11	A:66:LEU:HD11	0.758
9	A:120:MET:SD	A:128:GLU:HB3	0.757
9	A:130:ALA:CB	A:150:ILE:HG23	0.752
9	A:29:ILE:HD13	A:67:PHE:CD2	0.734
9	A:7:LEU:HD13	A:67:PHE:CE1	0.726
9	A:46:LEU:HD11	A:58:ILE:HG21	0.726
9	A:46:LEU:HD11	A:58:ILE:CG2	0.678
9	A:1:MET:HE3	A:161:TYR:HD2	0.677
9	A:130:ALA:HB1	A:150:ILE:CG2	0.676
9	A:139:TYR:HE1	A:150:ILE:CD1	0.643
9	A:87:VAL:HG13	A:118:LEU:CD2	0.610

Model ID	Atom-1	Atom-2	Clash overlap (Å)
9	A:105:GLN:HG3	A:138:TRP:CZ2	0.607
9	A:91:LEU:CD1	A:99:LEU:HD11	0.598
9	A:43:LYS:HE3	A:55:ASN:HA	0.590
9	A:15:LEU:HB2	A:58:ILE:HG13	0.578
9	A:34:THR:HB	A:42:ALA:HB2	0.573
9	A:81:ASN:CB	A:84:LEU:HB2	0.568
9	A:120:MET:SD	A:128:GLU:CB	0.567
9	A:11:GLU:HA	A:145:ARG:HH21	0.563
9	A:135:LYS:HA	A:140:ASN:HD21	0.560
9	A:76:ARG:HG3	A:80:ARG:HH12	0.557
9	A:1:MET:HG2	A:161:TYR:HB3	0.551
9	A:105:GLN:HG3	A:138:TRP:HZ2	0.550
9	A:138:TRP:HB3	A:146:ALA:HB2	0.546
9	A:88:TYR:HD1	A:99:LEU:HD13	0.536
9	A:13:LEU:HD13	A:29:ILE:CD1	0.532
9	A:121:LEU:HD11	A:129:ALA:HB1	0.527
9	A:7:LEU:HB3	A:67:PHE:HZ	0.524
9	A:3:ILE:HG23	A:4:PHE:CD2	0.522
9	A:120:MET:HB3	A:125:ARG:HB2	0.519
9	A:78:ILE:HG12	A:103:VAL:HG21	0.510
9	A:121:LEU:CD1	A:129:ALA:HB1	0.508
9	A:39:LEU:O	A:43:LYS:HG2	0.505
9	A:88:TYR:HE1	A:99:LEU:HB2	0.503

Model ID	Atom-1	Atom-2	Clash overlap (Å)
9	A:29:ILE:HD11	A:63:ALA:HB1	0.495
9	A:88:TYR:CD1	A:99:LEU:HD13	0.492
9	A:116:ASN:O	A:120:MET:HG3	0.487
9	A:27:ILE:HD13	A:46:LEU:HD21	0.481
9	A:78:ILE:HG13	A:103:VAL:HG11	0.477
9	A:102:MET:SD	A:133:LEU:HD11	0.472
9	A:148:ARG:HB3	A:161:TYR:CD1	0.472
9	A:102:MET:HE3	A:111:VAL:HG11	0.467
9	A:74:ALA:HB1	A:103:VAL:HG12	0.462
9	A:46:LEU:CD2	A:50:ILE:HD13	0.461
9	A:52:ARG:CZ	A:52:ARG:HB3	0.461
9	A:13:LEU:HD11	A:63:ALA:CB	0.460
9	A:102:MET:HA	A:138:TRP:CZ2	0.452
9	A:6:MET:HG3	A:161:TYR:CZ	0.451
9	A:46:LEU:O	A:50:ILE:HB	0.451
9	A:92:ASP:O	A:96:ARG:HG2	0.451
9	A:67:PHE:HD1	A:71:VAL:HG23	0.450
9	A:84:LEU:O	A:87:VAL:HB	0.450
9	A:6:MET:HE1	A:98:ALA:HA	0.446
9	A:11:GLU:HG2	A:104:PHE:HE1	0.446
9	A:121:LEU:HD12	A:129:ALA:HB2	0.445
9	A:29:ILE:CD1	A:63:ALA:HB1	0.444
9	A:1:MET:HB3	A:158:TRP:HB3	0.443

Model ID	Atom-1	Atom-2	Clash overlap (Å)
9	A:78:ILE:HG21	A:88:TYR:CD2	0.443
9	A:136:SER:H	A:140:ASN:HD22	0.443
9	A:6:MET:HE3	A:161:TYR:CE1	0.441
9	A:102:MET:HA	A:138:TRP:CH2	0.441
9	A:25:TYR:O	A:32:LEU:HD23	0.439
9	A:103:VAL:HG22	A:108:GLU:HG3	0.439
9	A:26:THR:HA	A:31:HIS:O	0.438
9	A:11:GLU:OE2	A:105:GLN:HB3	0.438
9	A:121:LEU:HD12	A:129:ALA:CB	0.430
9	A:17:ILE:CD1	A:27:ILE:HD12	0.428
9	A:29:ILE:HG21	A:67:PHE:CZ	0.425
9	A:28:GLY:HA3	A:66:LEU:HD22	0.423
9	A:33:LEU:HD23	A:45:GLU:HG2	0.423
9	A:13:LEU:CD1	A:63:ALA:HB1	0.418
9	A:50:ILE:HG21	A:62:GLU:OE2	0.417
9	A:136:SER:HB2	A:138:TRP:HB2	0.415
9	A:88:TYR:HE1	A:99:LEU:CB	0.409
9	A:7:LEU:HA	A:7:LEU:HD22	0.404
9	A:33:LEU:CD2	A:45:GLU:HG2	0.403
9	A:11:GLU:HG2	A:104:PHE:CE1	0.401
9	A:136:SER:OG	A:138:TRP:HB2	0.401
10	A:13:LEU:HD13	A:29:ILE:HG13	1.153
10	A:130:ALA:HB1	A:150:ILE:HG23	1.092

Model ID	Atom-1	Atom-2	Clash overlap (Å)
10	A:50:ILE:HD13	A:66:LEU:HD13	1.089
10	A:78:ILE:HG12	A:103:VAL:HG21	1.076
10	A:121:LEU:HD13	A:126:TRP:HZ3	0.960
10	A:148:ARG:HB2	A:161:TYR:CE1	0.857
10	A:130:ALA:CB	A:150:ILE:HG23	0.844
10	A:102:MET:HG2	A:111:VAL:HG22	0.824
10	A:78:ILE:CG1	A:103:VAL:HG21	0.814
10	A:29:ILE:HD13	A:67:PHE:CD2	0.808
10	A:121:LEU:HD13	A:126:TRP:CZ3	0.800
10	A:102:MET:SD	A:133:LEU:HD21	0.796
10	A:105:GLN:HB3	A:138:TRP:CZ2	0.780
10	A:13:LEU:HD13	A:29:ILE:CG1	0.775
10	A:50:ILE:CD1	A:66:LEU:HD13	0.764
10	A:13:LEU:CD1	A:29:ILE:HG13	0.758
10	A:121:LEU:HD22	A:126:TRP:CE3	0.752
10	A:18:TYR:CE1	A:26:THR:HG22	0.746
10	A:7:LEU:CD1	A:67:PHE:HE1	0.745
10	A:121:LEU:HD22	A:126:TRP:HE3	0.739
10	A:5:GLU:HA	A:8:ARG:HG2	0.734
10	A:88:TYR:CD1	A:99:LEU:HD13	0.734
10	A:120:MET:SD	A:128:GLU:HB2	0.702
10	A:138:TRP:HB2	A:146:ALA:HB2	0.694
10	A:33:LEU:HD21	A:45:GLU:HB3	0.692

Model ID	Atom-1	Atom-2	Clash overlap (Å)
10	A:25:TYR:HB3	A:34:THR:HG23	0.675
10	A:15:LEU:HD23	A:57:VAL:HG11	0.670
10	A:114:PHE:HB3	A:117:SER:HB3	0.643
10	A:106:MET:HE1	A:133:LEU:HG	0.641
10	A:138:TRP:HA	A:145:ARG:HB3	0.641
10	A:130:ALA:HB1	A:150:ILE:CG2	0.636
10	A:91:LEU:HD11	A:121:LEU:CD1	0.629
10	A:88:TYR:HD1	A:99:LEU:HD13	0.629
10	A:7:LEU:HD13	A:67:PHE:HE1	0.627
10	A:46:LEU:HD21	A:58:ILE:HG23	0.623
10	A:81:ASN:HB3	A:84:LEU:HB2	0.612
10	A:75:VAL:HG22	A:100:ILE:HG12	0.611
10	A:7:LEU:HD12	A:67:PHE:HE1	0.609
10	A:103:VAL:HA	A:111:VAL:HG21	0.606
10	A:139:TYR:CZ	A:143:PRO:HB3	0.592
10	A:84:LEU:CD1	A:88:TYR:HB2	0.587
10	A:121:LEU:HD21	A:153:PHE:CD1	0.585
10	A:148:ARG:HB2	A:161:TYR:CZ	0.585
10	A:29:ILE:HB	A:67:PHE:CG	0.581
10	A:27:ILE:HG13	A:58:ILE:HD13	0.580
10	A:50:ILE:HG21	A:62:GLU:HG3	0.578
10	A:27:ILE:HG12	A:46:LEU:HD13	0.577
10	A:14:ARG:HB3	A:18:TYR:CD1	0.576

Model ID	Atom-1	Atom-2	Clash overlap (Å)
10	A:15:LEU:HA	A:58:ILE:HD11	0.574
10	A:105:GLN:HB3	A:138:TRP:CE2	0.561
10	A:121:LEU:CD2	A:126:TRP:HE3	0.556
10	A:7:LEU:HB3	A:67:PHE:CZ	0.549
10	A:102:MET:HE3	A:111:VAL:HG13	0.544
10	A:138:TRP:CB	A:146:ALA:HB2	0.544
10	A:14:ARG:HB3	A:18:TYR:CE1	0.539
10	A:117:SER:HA	A:120:MET:HB2	0.537
10	A:1:MET:HE3	A:161:TYR:HB3	0.529
10	A:18:TYR:CE2	A:20:ASP:HB2	0.527
10	A:106:MET:SD	A:136:SER:HB3	0.522
10	A:138:TRP:HB3	A:145:ARG:C	0.521
10	A:6:MET:HG3	A:158:TRP:HZ3	0.518
10	A:7:LEU:HD12	A:67:PHE:CE1	0.517
10	A:120:MET:SD	A:128:GLU:CB	0.513
10	A:74:ALA:HB3	A:104:PHE:HD2	0.511
10	A:17:ILE:HG12	A:27:ILE:HD13	0.510
10	A:99:LEU:HD23	A:102:MET:CE	0.508
10	A:99:LEU:HD23	A:102:MET:HE1	0.506
10	A:58:ILE:HD12	A:63:ALA:HB2	0.505
10	A:7:LEU:HB3	A:67:PHE:HZ	0.501
10	A:19:LYS:HE3	A:25:TYR:HE2	0.498
10	A:84:LEU:HD12	A:88:TYR:HB2	0.497

Model ID	Atom-1	Atom-2	Clash overlap (Å)
10	A:136:SER:HB2	A:138:TRP:H	0.491
10	A:71:VAL:O	A:75:VAL:HG23	0.489
10	A:25:TYR:CB	A:34:THR:HG23	0.484
10	A:136:SER:O	A:140:ASN:HB2	0.484
10	A:46:LEU:HD12	A:50:ILE:HG12	0.483
10	A:25:TYR:OH	A:39:LEU:HD13	0.475
10	A:105:GLN:C	A:138:TRP:HE1	0.474
10	A:24:TYR:HB3	A:35:LYS:HG3	0.472
10	A:27:ILE:HD13	A:46:LEU:HD22	0.471
10	A:88:TYR:CD1	A:99:LEU:CD1	0.470
10	A:29:ILE:HB	A:67:PHE:CD1	0.469
10	A:120:MET:HG2	A:125:ARG:HG3	0.467
10	A:120:MET:HB3	A:125:ARG:HB2	0.463
10	A:88:TYR:HD1	A:99:LEU:CD1	0.463
10	A:71:VAL:HA	A:104:PHE:CD2	0.461
10	A:127:ASP:O	A:131:VAL:HG23	0.457
10	A:58:ILE:HG22	A:62:GLU:HG2	0.456
10	A:2:ASN:O	A:6:MET:HB2	0.455
10	A:75:VAL:HA	A:78:ILE:HD12	0.452
10	A:91:LEU:CD1	A:121:LEU:HD12	0.451
10	A:148:ARG:HB2	A:161:TYR:CD1	0.451
10	A:139:TYR:CE2	A:143:PRO:HB3	0.449
10	A:45:GLU:HA	A:48:LYS:HG2	0.448

Model ID	Atom-1	Atom-2	Clash overlap (Å)
10	A:17:ILE:CD1	A:43:LYS:HB2	0.447
10	A:78:ILE:HD11	A:100:ILE:HA	0.447
10	A:3:ILE:HD13	A:97:ALA:O	0.445
10	A:31:HIS:CD2	A:66:LEU:HD23	0.441
10	A:74:ALA:CB	A:104:PHE:HD2	0.439
10	A:120:MET:CG	A:125:ARG:HB2	0.438
10	A:125:ARG:HB3	A:128:GLU:OE1	0.438
10	A:17:ILE:HD12	A:43:LYS:HB2	0.431
10	A:24:TYR:HB3	A:32:LEU:CD1	0.431
10	A:106:MET:HG3	A:136:SER:HB3	0.429
10	A:138:TRP:HE3	A:146:ALA:HA	0.428
10	A:135:LYS:HA	A:140:ASN:OD1	0.426
10	A:134:ALA:O	A:139:TYR:HB3	0.423
10	A:88:TYR:HE1	A:96:ARG:HA	0.422
10	A:138:TRP:CE3	A:146:ALA:HA	0.415
10	A:24:TYR:HB3	A:32:LEU:HD11	0.414
10	A:23:GLY:HA3	A:24:TYR:CE2	0.413
10	A:78:ILE:HG21	A:88:TYR:CD2	0.413
10	A:91:LEU:HD11	A:121:LEU:HD12	0.413
10	A:27:ILE:CD1	A:46:LEU:HD22	0.408
10	A:25:TYR:HB3	A:34:THR:CG2	0.406
10	A:99:LEU:O	A:103:VAL:HG23	0.406
10	A:23:GLY:HA3	A:24:TYR:CZ	0.405

Model ID	Atom-1	Atom-2	Clash overlap (Å)
10	A:1:MET:HB3	A:158:TRP:HB3	0.405
10	A:107:GLY:O	A:111:VAL:HG23	0.405
10	A:136:SER:HB2	A:138:TRP:CD1	0.402
11	A:130:ALA:HB1	A:150:ILE:HG23	0.899
11	A:120:MET:HB3	A:125:ARG:HB2	0.880
11	A:87:VAL:CG2	A:121:LEU:HB3	0.862
11	A:58:ILE:CD1	A:63:ALA:HB2	0.842
11	A:46:LEU:HD11	A:58:ILE:CG2	0.838
11	A:130:ALA:CB	A:150:ILE:HG23	0.811
11	A:29:ILE:HD13	A:67:PHE:CD2	0.793
11	A:91:LEU:HD13	A:99:LEU:HD11	0.788
11	A:148:ARG:HB2	A:161:TYR:CE1	0.777
11	A:78:ILE:HD11	A:100:ILE:HA	0.770
11	A:88:TYR:HD1	A:99:LEU:HD13	0.767
11	A:138:TRP:HB3	A:146:ALA:HB2	0.759
11	A:87:VAL:HG21	A:121:LEU:HB3	0.742
11	A:1:MET:HB3	A:158:TRP:HB3	0.731
11	A:74:ALA:HB2	A:104:PHE:HD2	0.720
11	A:88:TYR:HD1	A:99:LEU:CD1	0.699
11	A:78:ILE:HG13	A:103:VAL:HG21	0.685
11	A:46:LEU:HD11	A:58:ILE:HG23	0.682
11	A:5:GLU:HA	A:8:ARG:HG2	0.668
11	A:75:VAL:HA	A:78:ILE:HD12	0.662

Model ID	Atom-1	Atom-2	Clash overlap (Å)
11	A:130:ALA:HB1	A:150:ILE:CG2	0.640
11	A:14:ARG:HB2	A:18:TYR:CD1	0.639
11	A:7:LEU:HA	A:10:ASP:HB2	0.621
11	A:88:TYR:CD1	A:99:LEU:HD13	0.613
11	A:27:ILE:CG1	A:58:ILE:HG12	0.608
11	A:102:MET:SD	A:153:PHE:HE2	0.608
11	A:29:ILE:HB	A:67:PHE:CG	0.607
11	A:18:TYR:CE1	A:26:THR:HG22	0.604
11	A:125:ARG:HH21	A:127:ASP:HB3	0.604
11	A:78:ILE:CG1	A:103:VAL:HG21	0.600
11	A:99:LEU:HA	A:102:MET:HB3	0.587
11	A:50:ILE:HG13	A:58:ILE:HG22	0.581
11	A:91:LEU:CD1	A:99:LEU:HD11	0.577
11	A:84:LEU:HG	A:118:LEU:HD21	0.574
11	A:15:LEU:HD13	A:57:VAL:HG11	0.564
11	A:136:SER:HB2	A:138:TRP:CD1	0.558
11	A:114:PHE:HE2	A:135:LYS:HE3	0.547
11	A:151:THR:HG22	A:160:ALA:HB1	0.540
11	A:6:MET:SD	A:158:TRP:HZ3	0.540
11	A:84:LEU:HD13	A:87:VAL:HB	0.537
11	A:106:MET:HE2	A:111:VAL:HG22	0.532
11	A:136:SER:HB2	A:138:TRP:CG	0.529
11	A:6:MET:CE	A:161:TYR:CE1	0.528

Model ID	Atom-1	Atom-2	Clash overlap (Å)
11	A:58:ILE:HD13	A:63:ALA:HB2	0.527
11	A:1:MET:HG3	A:158:TRP:CE3	0.523
11	A:97:ALA:SG	A:100:ILE:HD12	0.520
11	A:6:MET:HE2	A:161:TYR:CE1	0.514
11	A:15:LEU:CD2	A:16:LYS:HG2	0.510
11	A:96:ARG:O	A:100:ILE:HG13	0.510
11	A:6:MET:SD	A:158:TRP:CZ3	0.510
11	A:84:LEU:HD22	A:112:ALA:HB2	0.509
11	A:102:MET:HE3	A:111:VAL:HG11	0.508
11	A:120:MET:SD	A:128:GLU:CB	0.507
11	A:18:TYR:CE1	A:26:THR:CG2	0.506
11	A:7:LEU:HB3	A:67:PHE:CE1	0.505
11	A:105:GLN:C	A:138:TRP:HE1	0.505
11	A:15:LEU:HD23	A:16:LYS:HG2	0.502
11	A:31:HIS:CD2	A:66:LEU:HB3	0.501
11	A:58:ILE:HD11	A:63:ALA:HB2	0.501
11	A:7:LEU:HB3	A:67:PHE:CZ	0.497
11	A:67:PHE:O	A:71:VAL:HG23	0.495
11	A:129:ALA:O	A:133:LEU:HG	0.494
11	A:101:ASN:O	A:105:GLN:HB2	0.492
11	A:148:ARG:HG3	A:161:TYR:CZ	0.492
11	A:74:ALA:HB2	A:104:PHE:CD2	0.489
11	A:78:ILE:HG13	A:103:VAL:CG2	0.486

Model ID	Atom-1	Atom-2	Clash overlap (Å)
11	A:27:ILE:HG13	A:58:ILE:HG12	0.485
11	A:25:TYR:HB2	A:34:THR:O	0.484
11	A:88:TYR:CD1	A:99:LEU:CD1	0.484
11	A:70:ASP:HB3	A:104:PHE:CE2	0.482
11	A:88:TYR:HE1	A:96:ARG:HB2	0.482
11	A:106:MET:HB2	A:138:TRP:CZ2	0.481
11	A:102:MET:HA	A:138:TRP:CH2	0.478
11	A:3:ILE:HD13	A:97:ALA:SG	0.474
11	A:70:ASP:HB3	A:104:PHE:HE2	0.474
11	A:27:ILE:HG12	A:58:ILE:HG12	0.472
11	A:15:LEU:O	A:57:VAL:HG13	0.471
11	A:1:MET:HE3	A:161:TYR:CD2	0.470
11	A:105:GLN:HB3	A:138:TRP:CE2	0.470
11	A:112:ALA:HA	A:118:LEU:HD11	0.470
11	A:78:ILE:HG21	A:88:TYR:CE1	0.465
11	A:28:GLY:HA3	A:63:ALA:HB1	0.464
11	A:18:TYR:CD1	A:26:THR:HG22	0.462
11	A:133:LEU:HD11	A:153:PHE:CE2	0.457
11	A:27:ILE:HG22	A:31:HIS:HB3	0.456
11	A:114:PHE:CE1	A:133:LEU:HA	0.453
11	A:15:LEU:HD13	A:57:VAL:CG1	0.447
11	A:121:LEU:HD22	A:126:TRP:HE3	0.447
11	A:120:MET:SD	A:128:GLU:HB2	0.446

Model ID	Atom-1	Atom-2	Clash overlap (Å)
11	A:105:GLN:HB3	A:138:TRP:NE1	0.445
11	A:148:ARG:HB2	A:161:TYR:CD1	0.443
11	A:136:SER:H	A:140:ASN:HD22	0.441
11	A:66:LEU:HA	A:69:GLN:HG2	0.439
11	A:99:LEU:HD21	A:153:PHE:CZ	0.438
11	A:6:MET:HE3	A:161:TYR:CE1	0.435
11	A:17:ILE:HG21	A:39:LEU:HD12	0.434
11	A:136:SER:OG	A:138:TRP:HB2	0.431
11	A:126:TRP:HB3	A:153:PHE:HD1	0.429
11	A:87:VAL:HG23	A:121:LEU:C	0.427
11	A:121:LEU:HD23	A:129:ALA:HB2	0.426
11	A:66:LEU:HD23	A:69:GLN:HG3	0.422
11	A:71:VAL:O	A:75:VAL:HG23	0.419
11	A:102:MET:SD	A:153:PHE:CE2	0.416
11	A:102:MET:HE3	A:111:VAL:HG21	0.415
11	A:136:SER:O	A:140:ASN:HB2	0.414
11	A:114:PHE:O	A:118:LEU:HD13	0.413
11	A:88:TYR:CE1	A:96:ARG:HB2	0.412
11	A:13:LEU:HD13	A:29:ILE:HG13	0.404
11	A:142:THR:HB	A:144:ASN:OD1	0.401
12	A:121:LEU:HD13	A:126:TRP:HZ3	1.142
12	A:91:LEU:HD11	A:121:LEU:HD12	1.081
12	A:141:GLN:HG2	A:142:THR:HG23	1.065

Model ID	Atom-1	Atom-2	Clash overlap (Å)
12	A:13:LEU:HD13	A:29:ILE:HG13	1.032
12	A:1:MET:SD	A:5:GLU:HB3	1.011
12	A:7:LEU:HD12	A:67:PHE:HE1	0.929
12	A:121:LEU:HD13	A:126:TRP:CZ3	0.925
12	A:99:LEU:HD23	A:102:MET:HE1	0.915
12	A:91:LEU:CD1	A:121:LEU:HD12	0.863
12	A:99:LEU:HD23	A:102:MET:CE	0.827
12	A:13:LEU:HD13	A:29:ILE:CG1	0.815
12	A:15:LEU:HD23	A:57:VAL:HG11	0.808
12	A:84:LEU:CD1	A:88:TYR:HB2	0.795
12	A:105:GLN:HB3	A:138:TRP:CZ2	0.782
12	A:102:MET:HG2	A:111:VAL:HG22	0.780
12	A:114:PHE:HB3	A:117:SER:HB3	0.761
12	A:148:ARG:HB3	A:161:TYR:CE1	0.760
12	A:120:MET:SD	A:128:GLU:HB2	0.741
12	A:17:ILE:CD1	A:43:LYS:HB3	0.724
12	A:130:ALA:CB	A:150:ILE:HG23	0.724
12	A:7:LEU:CD1	A:67:PHE:HE1	0.719
12	A:88:TYR:HD1	A:99:LEU:HD13	0.718
12	A:130:ALA:HB2	A:150:ILE:HG23	0.716
12	A:138:TRP:HB3	A:146:ALA:HB2	0.714
12	A:29:ILE:HD13	A:67:PHE:CD2	0.713
12	A:17:ILE:HD13	A:43:LYS:HB3	0.706

Model ID	Atom-1	Atom-2	Clash overlap (Å)
12	A:18:TYR:CE1	A:26:THR:HG22	0.699
12	A:46:LEU:HD21	A:58:ILE:HG23	0.696
12	A:67:PHE:CE1	A:71:VAL:HG21	0.696
12	A:102:MET:SD	A:133:LEU:HD21	0.685
12	A:120:MET:CG	A:125:ARG:HB2	0.683
12	A:13:LEU:HD13	A:29:ILE:CD1	0.668
12	A:46:LEU:HD11	A:58:ILE:CG2	0.665
12	A:120:MET:HG2	A:125:ARG:HB2	0.655
12	A:27:ILE:CD1	A:58:ILE:HG12	0.653
12	A:78:ILE:CG1	A:103:VAL:HG21	0.652
12	A:27:ILE:HD11	A:58:ILE:HG12	0.648
12	A:148:ARG:HB3	A:161:TYR:CZ	0.640
12	A:151:THR:HG21	A:160:ALA:HB1	0.636
12	A:13:LEU:CD1	A:29:ILE:HG13	0.635
12	A:138:TRP:CB	A:146:ALA:HB2	0.631
12	A:7:LEU:HD12	A:67:PHE:CE1	0.613
12	A:123:GLN:HE21	A:124:LYS:HG2	0.608
12	A:84:LEU:HD13	A:88:TYR:HB2	0.606
12	A:29:ILE:HB	A:67:PHE:CG	0.605
12	A:97:ALA:CB	A:158:TRP:HH2	0.596
12	A:88:TYR:CD1	A:99:LEU:HD13	0.586
12	A:118:LEU:HA	A:121:LEU:HB2	0.585
12	A:25:TYR:HB3	A:34:THR:HG23	0.577

Model ID	Atom-1	Atom-2	Clash overlap (Å)
12	A:78:ILE:HG12	A:103:VAL:HG21	0.563
12	A:75:VAL:HG22	A:100:ILE:HG12	0.561
12	A:105:GLN:HB3	A:138:TRP:CE2	0.553
12	A:78:ILE:HG13	A:103:VAL:HG21	0.546
12	A:46:LEU:HD11	A:58:ILE:HG21	0.542
12	A:62:GLU:HA	A:65:LYS:HD3	0.539
12	A:46:LEU:HD12	A:50:ILE:HG12	0.537
12	A:102:MET:HE3	A:111:VAL:HG13	0.537
12	A:24:TYR:HB2	A:32:LEU:HD13	0.535
12	A:102:MET:SD	A:133:LEU:CD2	0.534
12	A:126:TRP:CG	A:154:ARG:HA	0.531
12	A:87:VAL:HG13	A:122:GLN:HB2	0.524
12	A:78:ILE:HD11	A:100:ILE:HA	0.518
12	A:84:LEU:HD12	A:88:TYR:HB2	0.515
12	A:102:MET:HA	A:138:TRP:HH2	0.510
12	A:120:MET:SD	A:128:GLU:CB	0.510
12	A:136:SER:HB2	A:138:TRP:H	0.506
12	A:130:ALA:HB1	A:150:ILE:HG23	0.506
12	A:117:SER:HA	A:120:MET:HB2	0.502
12	A:97:ALA:HB3	A:158:TRP:HH2	0.501
12	A:62:GLU:O	A:65:LYS:HG2	0.494
12	A:81:ASN:HB3	A:84:LEU:HB2	0.492
12	A:92:ASP:OD1	A:95:ARG:HD2	0.486

Model ID	Atom-1	Atom-2	Clash overlap (Å)
12	A:67:PHE:CE1	A:71:VAL:CG2	0.484
12	A:126:TRP:CD1	A:154:ARG:HA	0.483
12	A:71:VAL:O	A:75:VAL:HG23	0.481
12	A:106:MET:SD	A:136:SER:HB3	0.480
12	A:7:LEU:CD1	A:67:PHE:CE1	0.479
12	A:3:ILE:HD13	A:97:ALA:O	0.478
12	A:155:THR:O	A:157:THR:HG23	0.478
12	A:91:LEU:CD1	A:99:LEU:HD11	0.477
12	A:121:LEU:HD11	A:153:PHE:CD1	0.477
12	A:114:PHE:CE2	A:132:ASN:HB3	0.476
12	A:136:SER:O	A:140:ASN:HB2	0.472
12	A:25:TYR:HB3	A:34:THR:CG2	0.471
12	A:24:TYR:CB	A:32:LEU:HD13	0.470
12	A:46:LEU:HG	A:54:THR:SG	0.470
12	A:127:ASP:O	A:131:VAL:HG23	0.466
12	A:47:ASP:HA	A:54:THR:SG	0.463
12	A:70:ASP:HB3	A:104:PHE:CE2	0.461
12	A:151:THR:CG2	A:160:ALA:HB1	0.461
12	A:14:ARG:CB	A:18:TYR:CD1	0.460
12	A:97:ALA:HB3	A:158:TRP:CH2	0.460
12	A:68:ASN:O	A:72:ASP:HB2	0.458
12	A:27:ILE:CD1	A:46:LEU:HD22	0.457
12	A:106:MET:HE1	A:133:LEU:HD23	0.456

Model ID	Atom-1	Atom-2	Clash overlap (Å)
12	A:5:GLU:HA	A:8:ARG:HD3	0.450
12	A:126:TRP:HA	A:129:ALA:HB3	0.449
12	A:7:LEU:HB3	A:67:PHE:CZ	0.447
12	A:14:ARG:HB2	A:18:TYR:CD1	0.447
12	A:46:LEU:HD12	A:50:ILE:CG1	0.446
12	A:99:LEU:HD23	A:102:MET:HE2	0.446
12	A:105:GLN:HB3	A:138:TRP:HZ2	0.445
12	A:27:ILE:HD11	A:58:ILE:CG1	0.440
12	A:74:ALA:HB2	A:104:PHE:HD2	0.437
12	A:121:LEU:HD11	A:153:PHE:CE1	0.437
12	A:130:ALA:HB1	A:150:ILE:CG2	0.437
12	A:46:LEU:HD11	A:58:ILE:HG23	0.436
12	A:117:SER:O	A:121:LEU:HD23	0.435
12	A:43:LYS:O	A:46:LEU:HB3	0.434
12	A:14:ARG:HG2	A:18:TYR:HB3	0.433
12	A:101:ASN:O	A:105:GLN:HB2	0.421
12	A:6:MET:HE1	A:98:ALA:HA	0.420
12	A:7:LEU:HB3	A:67:PHE:CE1	0.420
12	A:70:ASP:HB3	A:104:PHE:HE2	0.416
12	A:138:TRP:HB3	A:146:ALA:CB	0.411
12	A:23:GLY:C	A:24:TYR:CG	0.410
12	A:25:TYR:CB	A:34:THR:HG23	0.409
12	A:6:MET:HG2	A:101:ASN:HD22	0.408

Model ID	Atom-1	Atom-2	Clash overlap (Å)
12	A:4:PHE:HB3	A:67:PHE:HE2	0.407
12	A:90:SER:C	A:122:GLN:HE22	0.405
12	A:31:HIS:CD2	A:66:LEU:HD13	0.404
13	A:130:ALA:HB1	A:150:ILE:HG23	1.167
13	A:91:LEU:HD11	A:121:LEU:HD12	0.965
13	A:7:LEU:HD13	A:67:PHE:CE1	0.964
13	A:121:LEU:HD22	A:126:TRP:HE3	0.953
13	A:120:MET:HG2	A:125:ARG:HB2	0.949
13	A:120:MET:SD	A:128:GLU:HB2	0.920
13	A:7:LEU:HD13	A:67:PHE:HE1	0.888
13	A:78:ILE:HG21	A:88:TYR:CD2	0.886
13	A:121:LEU:HD22	A:126:TRP:CE3	0.876
13	A:78:ILE:HG13	A:103:VAL:HG21	0.867
13	A:99:LEU:HD23	A:102:MET:CE	0.851
13	A:13:LEU:HD13	A:29:ILE:HG13	0.827
13	A:130:ALA:CB	A:150:ILE:HG23	0.821
13	A:120:MET:CG	A:125:ARG:HB2	0.815
13	A:17:ILE:HD11	A:43:LYS:HB3	0.811
13	A:130:ALA:HB1	A:150:ILE:CG2	0.800
13	A:29:ILE:HD13	A:67:PHE:CD2	0.783
13	A:15:LEU:HD22	A:57:VAL:CG1	0.779
13	A:121:LEU:HD13	A:126:TRP:HZ3	0.767
13	A:91:LEU:HD11	A:121:LEU:CD1	0.763

Model ID	Atom-1	Atom-2	Clash overlap (Å)
13	A:78:ILE:HG23	A:84:LEU:HD12	0.760
13	A:13:LEU:HD13	A:29:ILE:CG1	0.759
13	A:18:TYR:CE1	A:26:THR:HG22	0.752
13	A:1:MET:SD	A:5:GLU:HB3	0.747
13	A:102:MET:HE2	A:153:PHE:HZ	0.742
13	A:79:LEU:HA	A:85:LYS:HB2	0.736
13	A:13:LEU:HD13	A:29:ILE:CD1	0.718
13	A:99:LEU:HD23	A:102:MET:HE1	0.717
13	A:15:LEU:HD22	A:57:VAL:HG11	0.703
13	A:14:ARG:HG2	A:18:TYR:HB3	0.699
13	A:138:TRP:HB2	A:146:ALA:HB2	0.698
13	A:151:THR:HG21	A:160:ALA:CB	0.697
13	A:91:LEU:CD1	A:99:LEU:HD11	0.692
13	A:33:LEU:HD21	A:45:GLU:HB3	0.685
13	A:121:LEU:CD2	A:126:TRP:HE3	0.679
13	A:121:LEU:HD13	A:126:TRP:CZ3	0.672
13	A:138:TRP:CB	A:146:ALA:HB2	0.667
13	A:75:VAL:HA	A:78:ILE:HD12	0.658
13	A:8:ARG:HB2	A:29:ILE:HG12	0.657
13	A:99:LEU:HD23	A:102:MET:HE2	0.654
13	A:88:TYR:HD1	A:99:LEU:HD13	0.653
13	A:117:SER:HA	A:120:MET:HB2	0.653
13	A:17:ILE:HB	A:39:LEU:HD11	0.649

Model ID	Atom-1	Atom-2	Clash overlap (Å)
13	A:6:MET:HG3	A:161:TYR:CZ	0.647
13	A:78:ILE:CG1	A:103:VAL:HG21	0.637
13	A:17:ILE:CD1	A:43:LYS:HB3	0.630
13	A:13:LEU:HD13	A:29:ILE:HD11	0.626
13	A:1:MET:HE1	A:9:ILE:HD12	0.613
13	A:46:LEU:HD21	A:58:ILE:HG23	0.603
13	A:7:LEU:CD1	A:67:PHE:HE1	0.602
13	A:13:LEU:CD1	A:29:ILE:HG13	0.592
13	A:74:ALA:HB2	A:104:PHE:HD2	0.592
13	A:102:MET:HE2	A:153:PHE:CZ	0.591
13	A:17:ILE:HD11	A:43:LYS:CB	0.588
13	A:75:VAL:HG22	A:100:ILE:HG12	0.586
13	A:50:ILE:HG22	A:52:ARG:H	0.578
13	A:8:ARG:HE	A:13:LEU:HG	0.573
13	A:105:GLN:HB3	A:138:TRP:CZ2	0.569
13	A:120:MET:HG2	A:125:ARG:CB	0.568
13	A:88:TYR:HD1	A:99:LEU:CD1	0.567
13	A:50:ILE:HD13	A:66:LEU:HD13	0.561
13	A:106:MET:SD	A:136:SER:HB3	0.556
13	A:29:ILE:HB	A:67:PHE:CG	0.551
13	A:14:ARG:HB3	A:18:TYR:CD1	0.550
13	A:127:ASP:HA	A:154:ARG:HG2	0.546
13	A:66:LEU:HD23	A:69:GLN:HB3	0.542

Model ID	Atom-1	Atom-2	Clash overlap (Å)
13	A:58:ILE:CD1	A:63:ALA:HB2	0.538
13	A:8:ARG:HB3	A:67:PHE:CE2	0.532
13	A:99:LEU:HA	A:102:MET:HE2	0.530
13	A:18:TYR:CE1	A:26:THR:CG2	0.526
13	A:46:LEU:HD12	A:50:ILE:CG1	0.522
13	A:19:LYS:HD2	A:25:TYR:CE2	0.521
13	A:15:LEU:HD22	A:57:VAL:HG12	0.519
13	A:7:LEU:HD13	A:67:PHE:CZ	0.507
13	A:129:ALA:O	A:133:LEU:HG	0.504
13	A:139:TYR:CD1	A:146:ALA:HB3	0.504
13	A:151:THR:HG21	A:160:ALA:HB3	0.501
13	A:18:TYR:HE1	A:26:THR:HG22	0.500
13	A:95:ARG:HD3	A:126:TRP:CE3	0.500
13	A:17:ILE:HG12	A:27:ILE:HG12	0.497
13	A:105:GLN:C	A:138:TRP:HE1	0.490
13	A:136:SER:HB2	A:138:TRP:H	0.485
13	A:102:MET:SD	A:133:LEU:CD2	0.483
13	A:105:GLN:HB3	A:138:TRP:CE2	0.481
13	A:88:TYR:CD1	A:99:LEU:HD13	0.478
13	A:121:LEU:HD11	A:153:PHE:HE1	0.477
13	A:117:SER:HB2	A:129:ALA:HA	0.476
13	A:78:ILE:HG21	A:88:TYR:CG	0.475
13	A:127:ASP:O	A:131:VAL:HG23	0.475

Model ID	Atom-1	Atom-2	Clash overlap (Å)
13	A:3:ILE:HD13	A:97:ALA:O	0.471
13	A:6:MET:HE1	A:98:ALA:HA	0.471
13	A:5:GLU:HA	A:8:ARG:HD3	0.468
13	A:121:LEU:HD21	A:153:PHE:CD1	0.468
13	A:91:LEU:HD12	A:99:LEU:HD11	0.466
13	A:139:TYR:CD1	A:146:ALA:CB	0.466
13	A:22:GLU:HB3	A:24:TYR:CE2	0.459
13	A:43:LYS:O	A:46:LEU:HB3	0.459
13	A:46:LEU:HD12	A:50:ILE:HG13	0.457
13	A:102:MET:SD	A:133:LEU:HD21	0.454
13	A:25:TYR:HB3	A:34:THR:HG23	0.452
13	A:71:VAL:O	A:74:ALA:HB3	0.452
13	A:121:LEU:HD21	A:153:PHE:CE1	0.451
13	A:1:MET:HE3	A:161:TYR:HB3	0.449
13	A:7:LEU:HD11	A:104:PHE:CE1	0.449
13	A:15:LEU:CD2	A:57:VAL:HG11	0.447
13	A:79:LEU:HG	A:85:LYS:HE2	0.443
13	A:120:MET:HE1	A:128:GLU:CD	0.443
13	A:46:LEU:CD1	A:50:ILE:HG13	0.442
13	A:148:ARG:HB3	A:161:TYR:CE1	0.439
13	A:141:GLN:HG3	A:142:THR:HG23	0.438
13	A:5:GLU:HG3	A:8:ARG:HH11	0.437
13	A:27:ILE:CD1	A:46:LEU:HD22	0.437

Model ID	Atom-1	Atom-2	Clash overlap (Å)
13	A:46:LEU:HD12	A:50:ILE:HG12	0.432
13	A:1:MET:HG2	A:158:TRP:CE3	0.429
13	A:39:LEU:O	A:43:LYS:HG2	0.429
13	A:13:LEU:HD21	A:60:LYS:HD3	0.428
13	A:25:TYR:CB	A:34:THR:HG23	0.428
13	A:138:TRP:HB3	A:146:ALA:HB2	0.426
13	A:7:LEU:HD12	A:71:VAL:HG22	0.425
13	A:142:THR:HB	A:144:ASN:OD1	0.423
13	A:74:ALA:HB2	A:104:PHE:CD2	0.420
13	A:105:GLN:OE1	A:145:ARG:HG2	0.420
13	A:31:HIS:HE1	A:33:LEU:HD23	0.419
13	A:79:LEU:HG	A:85:LYS:HG3	0.416
13	A:102:MET:HG3	A:153:PHE:HE2	0.416
13	A:27:ILE:CD1	A:58:ILE:HG12	0.415
13	A:94:VAL:HG11	A:156:GLY:C	0.412
13	A:102:MET:CE	A:153:PHE:CZ	0.412
13	A:1:MET:CG	A:158:TRP:CE3	0.411
13	A:47:ASP:OD1	A:53:ASN:HA	0.411
13	A:126:TRP:HA	A:129:ALA:HB3	0.409
13	A:78:ILE:HD13	A:88:TYR:CZ	0.405
13	A:9:ILE:HG22	A:148:ARG:NH1	0.404
13	A:92:ASP:OD1	A:95:ARG:HD2	0.404
13	A:148:ARG:HB3	A:161:TYR:CD1	0.403

Model ID	Atom-1	Atom-2	Clash overlap (Å)
13	A:23:GLY:C	A:24:TYR:CG	0.402
13	A:50:ILE:HD13	A:66:LEU:CD1	0.402
13	A:33:LEU:HA	A:33:LEU:HD22	0.401
13	A:70:ASP:HB3	A:104:PHE:HE2	0.401
13	A:114:PHE:O	A:118:LEU:HD13	0.400
14	A:130:ALA:HB1	A:150:ILE:HG23	1.055
14	A:8:ARG:HG3	A:67:PHE:HE2	1.037
14	A:120:MET:HB3	A:125:ARG:HB2	1.004
14	A:91:LEU:HD12	A:99:LEU:HD11	0.976
14	A:46:LEU:HD22	A:50:ILE:HD13	0.974
14	A:8:ARG:HG3	A:67:PHE:CE2	0.968
14	A:102:MET:SD	A:133:LEU:HD11	0.899
14	A:17:ILE:CD1	A:27:ILE:HD12	0.865
14	A:78:ILE:HG21	A:88:TYR:CD2	0.842
14	A:7:LEU:HD13	A:67:PHE:HE1	0.798
14	A:7:LEU:HB3	A:67:PHE:CZ	0.796
14	A:91:LEU:CD1	A:99:LEU:HD11	0.794
14	A:7:LEU:HB3	A:67:PHE:HZ	0.778
14	A:84:LEU:HG	A:108:GLU:HB3	0.767
14	A:27:ILE:HD13	A:46:LEU:CD2	0.765
14	A:88:TYR:HD1	A:99:LEU:HD13	0.763
14	A:121:LEU:HD23	A:126:TRP:HZ3	0.754
14	A:17:ILE:HD13	A:27:ILE:HD12	0.750

Model ID	Atom-1	Atom-2	Clash overlap (Å)
14	A:121:LEU:HD23	A:126:TRP:CZ3	0.750
14	A:130:ALA:CB	A:150:ILE:HG23	0.746
14	A:81:ASN:HB3	A:84:LEU:HB2	0.743
14	A:1:MET:HG2	A:161:TYR:HB3	0.729
14	A:130:ALA:HB1	A:150:ILE:CG2	0.712
14	A:27:ILE:HD13	A:46:LEU:HD21	0.711
14	A:11:GLU:HA	A:145:ARG:HH21	0.698
14	A:91:LEU:HD11	A:121:LEU:HD22	0.686
14	A:46:LEU:CD2	A:50:ILE:HD13	0.678
14	A:6:MET:SD	A:158:TRP:HZ3	0.671
14	A:7:LEU:HD13	A:67:PHE:CE1	0.657
14	A:67:PHE:HD1	A:71:VAL:HG23	0.648
14	A:148:ARG:HB3	A:161:TYR:CE1	0.645
14	A:99:LEU:HD23	A:102:MET:CE	0.644
14	A:6:MET:SD	A:158:TRP:CZ3	0.629
14	A:99:LEU:HD23	A:102:MET:HE2	0.610
14	A:46:LEU:HD11	A:58:ILE:HG21	0.601
14	A:29:ILE:HD13	A:67:PHE:CD2	0.600
14	A:96:ARG:HA	A:99:LEU:HD12	0.596
14	A:78:ILE:HG12	A:103:VAL:HG21	0.591
14	A:120:MET:SD	A:128:GLU:CB	0.585
14	A:6:MET:HG3	A:161:TYR:CE2	0.583
14	A:120:MET:HG2	A:125:ARG:CZ	0.574

Model ID	Atom-1	Atom-2	Clash overlap (Å)
14	A:1:MET:HG3	A:158:TRP:CE3	0.570
14	A:15:LEU:HD13	A:57:VAL:HG13	0.565
14	A:105:GLN:HG3	A:138:TRP:CZ2	0.559
14	A:24:TYR:HB3	A:32:LEU:HD11	0.558
14	A:8:ARG:CG	A:67:PHE:HE2	0.552
14	A:13:LEU:HD11	A:63:ALA:HB2	0.551
14	A:7:LEU:HD11	A:104:PHE:CD1	0.549
14	A:79:LEU:HD23	A:85:LYS:HG3	0.545
14	A:13:LEU:HD11	A:63:ALA:CB	0.544
14	A:3:ILE:HD13	A:97:ALA:HB1	0.539
14	A:33:LEU:HB3	A:42:ALA:HB1	0.536
14	A:121:LEU:HD12	A:129:ALA:HB2	0.527
14	A:106:MET:HB2	A:138:TRP:CE2	0.522
14	A:116:ASN:O	A:120:MET:HG3	0.520
14	A:120:MET:SD	A:128:GLU:HB3	0.520
14	A:1:MET:HB3	A:158:TRP:HB3	0.518
14	A:139:TYR:CE1	A:150:ILE:HD12	0.512
14	A:46:LEU:HD11	A:58:ILE:CG2	0.510
14	A:1:MET:HE3	A:161:TYR:HD2	0.506
14	A:8:ARG:HG2	A:29:ILE:HG12	0.506
14	A:24:TYR:HB3	A:32:LEU:CD1	0.504
14	A:78:ILE:CG2	A:88:TYR:CD2	0.504
14	A:29:ILE:HD11	A:63:ALA:HB1	0.498

Model ID	Atom-1	Atom-2	Clash overlap (Å)
14	A:121:LEU:HD11	A:129:ALA:HB1	0.496
14	A:138:TRP:HB3	A:146:ALA:HB2	0.496
14	A:117:SER:HA	A:120:MET:SD	0.494
14	A:67:PHE:CD1	A:71:VAL:HG23	0.493
14	A:105:GLN:HG3	A:138:TRP:HZ2	0.485
14	A:6:MET:HG3	A:161:TYR:CZ	0.479
14	A:114:PHE:CD1	A:133:LEU:HD22	0.479
14	A:43:LYS:HB2	A:56:GLY:H	0.477
14	A:99:LEU:HD23	A:153:PHE:HZ	0.473
14	A:102:MET:HA	A:138:TRP:CH2	0.463
14	A:14:ARG:CB	A:18:TYR:CE1	0.461
14	A:118:LEU:HD23	A:121:LEU:HG	0.460
14	A:14:ARG:HB3	A:18:TYR:CE1	0.457
14	A:34:THR:HB	A:42:ALA:HB2	0.457
14	A:71:VAL:HG13	A:100:ILE:HG21	0.456
14	A:84:LEU:HG	A:108:GLU:CB	0.454
14	A:92:ASP:O	A:96:ARG:HG2	0.454
14	A:84:LEU:CG	A:108:GLU:HB3	0.451
14	A:136:SER:HB2	A:138:TRP:HB2	0.450
14	A:120:MET:HB3	A:125:ARG:CB	0.448
14	A:13:LEU:HD13	A:29:ILE:CD1	0.445
14	A:120:MET:SD	A:128:GLU:HB2	0.445
14	A:102:MET:HA	A:138:TRP:CZ2	0.444

Model ID	Atom-1	Atom-2	Clash overlap (Å)
14	A:50:ILE:HD11	A:66:LEU:HD11	0.441
14	A:155:THR:O	A:157:THR:HG23	0.440
14	A:40:ASN:HA	A:43:LYS:HE3	0.437
14	A:8:ARG:HG3	A:67:PHE:CD2	0.432
14	A:105:GLN:C	A:138:TRP:HE1	0.431
14	A:27:ILE:HD13	A:46:LEU:HD23	0.430
14	A:3:ILE:HD12	A:6:MET:SD	0.427
14	A:13:LEU:HD13	A:29:ILE:HD11	0.427
14	A:81:ASN:CB	A:84:LEU:HB2	0.426
14	A:124:LYS:HA	A:126:TRP:CZ2	0.426
14	A:142:THR:HB	A:145:ARG:HB2	0.426
14	A:13:LEU:HD13	A:29:ILE:HG13	0.425
14	A:32:LEU:C	A:33:LEU:HD12	0.417
14	A:98:ALA:O	A:102:MET:HB2	0.416
14	A:138:TRP:CH2	A:149:VAL:HG11	0.415
14	A:7:LEU:HD23	A:101:ASN:CG	0.413
14	A:29:ILE:HG21	A:67:PHE:CZ	0.413
14	A:107:GLY:O	A:111:VAL:HG23	0.412
14	A:121:LEU:CD2	A:126:TRP:HZ3	0.410
14	A:52:ARG:HB2	A:54:THR:SG	0.407
14	A:72:ASP:HB3	A:76:ARG:NH1	0.404
14	A:92:ASP:OD1	A:95:ARG:HD2	0.401
15	A:81:ASN:HB3	A:84:LEU:HB2	1.037

Model ID	Atom-1	Atom-2	Clash overlap (Å)
15	A:102:MET:SD	A:133:LEU:HD11	0.958
15	A:120:MET:HB3	A:125:ARG:HB2	0.920
15	A:7:LEU:HB3	A:67:PHE:CZ	0.859
15	A:29:ILE:HD13	A:67:PHE:CD2	0.792
15	A:126:TRP:HB3	A:153:PHE:HB3	0.774
15	A:130:ALA:CB	A:150:ILE:HG23	0.753
15	A:74:ALA:HB1	A:103:VAL:HG12	0.747
15	A:22:GLU:HG2	A:24:TYR:HE2	0.735
15	A:27:ILE:HG21	A:33:LEU:HD13	0.734
15	A:29:ILE:HD12	A:63:ALA:HB1	0.718
15	A:27:ILE:CG2	A:33:LEU:HD13	0.714
15	A:43:LYS:HB2	A:55:ASN:HA	0.687
15	A:1:MET:HE3	A:161:TYR:HD2	0.681
15	A:27:ILE:HD13	A:46:LEU:HD23	0.665
15	A:6:MET:HG3	A:161:TYR:CZ	0.663
15	A:138:TRP:HB3	A:146:ALA:HB2	0.662
15	A:7:LEU:HB3	A:67:PHE:HZ	0.659
15	A:27:ILE:HG23	A:66:LEU:CD2	0.650
15	A:148:ARG:HB3	A:161:TYR:CE1	0.648
15	A:27:ILE:HG23	A:66:LEU:HD23	0.642
15	A:1:MET:HE3	A:161:TYR:CD2	0.636
15	A:11:GLU:HG2	A:104:PHE:HE1	0.628
15	A:8:ARG:HG3	A:67:PHE:HE2	0.621

Model ID	Atom-1	Atom-2	Clash overlap (Å)
15	A:124:LYS:HD3	A:126:TRP:HZ2	0.616
15	A:26:THR:HG23	A:30:GLY:HA2	0.605
15	A:130:ALA:HB2	A:150:ILE:HG23	0.604
15	A:1:MET:HE3	A:161:TYR:HB3	0.591
15	A:8:ARG:HG2	A:13:LEU:HD13	0.591
15	A:18:TYR:CE1	A:26:THR:HG21	0.586
15	A:130:ALA:HB1	A:150:ILE:HG23	0.581
15	A:79:LEU:HD23	A:85:LYS:HD2	0.580
15	A:24:TYR:HB3	A:32:LEU:HD13	0.576
15	A:1:MET:HG3	A:158:TRP:CE3	0.559
15	A:91:LEU:CD1	A:99:LEU:HD11	0.559
15	A:43:LYS:HE2	A:56:GLY:HA3	0.553
15	A:18:TYR:HE1	A:26:THR:HG21	0.552
15	A:34:THR:HB	A:42:ALA:HB2	0.539
15	A:105:GLN:HG3	A:138:TRP:CZ2	0.536
15	A:91:LEU:HB3	A:96:ARG:HB3	0.534
15	A:3:ILE:HD13	A:97:ALA:HB1	0.531
15	A:14:ARG:HG2	A:18:TYR:CG	0.526
15	A:6:MET:HG3	A:161:TYR:CE2	0.524
15	A:99:LEU:HD23	A:153:PHE:HZ	0.522
15	A:124:LYS:HD3	A:126:TRP:CZ2	0.519
15	A:120:MET:SD	A:128:GLU:CB	0.514
15	A:14:ARG:HB2	A:18:TYR:CE1	0.510

Model ID	Atom-1	Atom-2	Clash overlap (Å)
15	A:58:ILE:HD12	A:59:THR:O	0.508
15	A:3:ILE:HB	A:97:ALA:SG	0.503
15	A:3:ILE:HG23	A:4:PHE:CD2	0.500
15	A:121:LEU:HD23	A:126:TRP:CE3	0.500
15	A:70:ASP:HB3	A:104:PHE:HE2	0.499
15	A:13:LEU:HD21	A:60:LYS:HG2	0.496
15	A:91:LEU:HD12	A:99:LEU:HD11	0.496
15	A:72:ASP:HA	A:75:VAL:HB	0.494
15	A:136:SER:OG	A:138:TRP:HB2	0.490
15	A:116:ASN:O	A:120:MET:HG3	0.484
15	A:97:ALA:HA	A:100:ILE:HD12	0.479
15	A:29:ILE:HG21	A:67:PHE:CE1	0.473
15	A:14:ARG:CB	A:18:TYR:CE1	0.471
15	A:94:VAL:HG13	A:158:TRP:CE2	0.471
15	A:102:MET:HA	A:138:TRP:CZ2	0.470
15	A:127:ASP:O	A:131:VAL:HG23	0.468
15	A:11:GLU:HA	A:145:ARG:HH21	0.467
15	A:78:ILE:HG12	A:103:VAL:HG21	0.467
15	A:29:ILE:CD1	A:67:PHE:CD2	0.466
15	A:99:LEU:HD23	A:153:PHE:CZ	0.465
15	A:129:ALA:O	A:133:LEU:HD23	0.463
15	A:18:TYR:HE1	A:26:THR:CG2	0.462
15	A:27:ILE:HD13	A:46:LEU:CD2	0.459

Model ID	Atom-1	Atom-2	Clash overlap (Å)
15	A:50:ILE:HG22	A:52:ARG:H	0.459
15	A:76:ARG:HA	A:79:LEU:HB2	0.459
15	A:125:ARG:HB3	A:128:GLU:HG3	0.458
15	A:33:LEU:HG	A:42:ALA:HB1	0.454
15	A:117:SER:O	A:120:MET:HB2	0.453
15	A:120:MET:SD	A:128:GLU:HB2	0.453
15	A:18:TYR:CE1	A:26:THR:CG2	0.452
15	A:120:MET:HB3	A:125:ARG:CB	0.452
15	A:78:ILE:HG21	A:88:TYR:CD2	0.451
15	A:15:LEU:HD13	A:60:LYS:HG3	0.450
15	A:111:VAL:HA	A:114:PHE:CD1	0.447
15	A:88:TYR:HD1	A:99:LEU:HD12	0.444
15	A:14:ARG:HB2	A:18:TYR:CZ	0.441
15	A:22:GLU:HB3	A:24:TYR:CD2	0.441
15	A:124:LYS:HA	A:126:TRP:CZ2	0.441
15	A:103:VAL:HG13	A:108:GLU:HG3	0.438
15	A:135:LYS:HA	A:135:LYS:HD2	0.432
15	A:14:ARG:HG2	A:18:TYR:CD2	0.431
15	A:27:ILE:HG21	A:33:LEU:CD1	0.430
15	A:99:LEU:HA	A:102:MET:HB2	0.429
15	A:121:LEU:HD12	A:129:ALA:HB2	0.428
15	A:61:ASP:O	A:65:LYS:HG2	0.424
15	A:95:ARG:HD2	A:126:TRP:CH2	0.424

Model ID	Atom-1	Atom-2	Clash overlap (Å)
15	A:8:ARG:HG3	A:67:PHE:CE2	0.419
15	A:91:LEU:HD13	A:99:LEU:CD1	0.414
15	A:158:TRP:O	A:161:TYR:HB2	0.414
15	A:1:MET:HE1	A:9:ILE:HD12	0.412
15	A:121:LEU:CD1	A:129:ALA:HB2	0.408
15	A:46:LEU:O	A:50:ILE:HB	0.407
15	A:50:ILE:HD11	A:66:LEU:CD1	0.407
15	A:107:GLY:O	A:111:VAL:HG23	0.407
15	A:144:ASN:HA	A:147:LYS:HG2	0.405
15	A:121:LEU:HD23	A:126:TRP:HE3	0.404
15	A:4:PHE:HB3	A:64:GLU:OE2	0.403
16	A:148:ARG:HB2	A:161:TYR:CE1	0.989
16	A:3:ILE:HD12	A:6:MET:SD	0.984
16	A:70:ASP:HB3	A:104:PHE:CE2	0.942
16	A:70:ASP:HB3	A:104:PHE:HE2	0.923
16	A:87:VAL:HG12	A:122:GLN:HB2	0.882
16	A:120:MET:SD	A:128:GLU:HB3	0.881
16	A:58:ILE:HD13	A:63:ALA:HB2	0.879
16	A:58:ILE:CD1	A:63:ALA:HB2	0.861
16	A:4:PHE:HD1	A:67:PHE:CE2	0.831
16	A:29:ILE:HD13	A:67:PHE:CD2	0.807
16	A:78:ILE:HG12	A:103:VAL:HG21	0.796
16	A:138:TRP:HB3	A:146:ALA:HB2	0.782

Model ID	Atom-1	Atom-2	Clash overlap (Å)
16	A:1:MET:SD	A:5:GLU:HB3	0.781
16	A:120:MET:HB3	A:125:ARG:HB2	0.765
16	A:78:ILE:CG1	A:103:VAL:HG21	0.736
16	A:46:LEU:HD12	A:50:ILE:HG12	0.718
16	A:1:MET:HB3	A:158:TRP:HB3	0.717
16	A:130:ALA:HB2	A:150:ILE:HG23	0.692
16	A:13:LEU:HD21	A:60:LYS:HG3	0.690
16	A:106:MET:HE1	A:133:LEU:HD22	0.684
16	A:15:LEU:HD12	A:57:VAL:HG13	0.674
16	A:7:LEU:HD12	A:104:PHE:HE1	0.666
16	A:4:PHE:CD1	A:67:PHE:CE2	0.661
16	A:20:ASP:HB3	A:26:THR:CG2	0.661
16	A:79:LEU:HD12	A:88:TYR:CE2	0.651
16	A:1:MET:HE3	A:161:TYR:HD2	0.644
16	A:130:ALA:CB	A:150:ILE:HG23	0.640
16	A:50:ILE:HA	A:66:LEU:HD12	0.629
16	A:7:LEU:CD1	A:104:PHE:HE1	0.627
16	A:79:LEU:HD12	A:88:TYR:HE2	0.625
16	A:87:VAL:CG2	A:121:LEU:HB3	0.621
16	A:79:LEU:CD1	A:88:TYR:HE2	0.618
16	A:7:LEU:HD12	A:104:PHE:CE1	0.615
16	A:121:LEU:HD22	A:126:TRP:HE3	0.608
16	A:6:MET:SD	A:158:TRP:HZ3	0.608

Model ID	Atom-1	Atom-2	Clash overlap (Å)
16	A:87:VAL:HG21	A:121:LEU:HB3	0.606
16	A:7:LEU:HA	A:10:ASP:HB2	0.603
16	A:29:ILE:HD13	A:67:PHE:CG	0.594
16	A:120:MET:HB3	A:125:ARG:CB	0.587
16	A:13:LEU:HD11	A:63:ALA:HB3	0.586
16	A:1:MET:HE3	A:161:TYR:CD2	0.582
16	A:114:PHE:HB2	A:117:SER:HB2	0.579
16	A:88:TYR:CD1	A:99:LEU:HD12	0.578
16	A:124:LYS:HB3	A:126:TRP:CZ2	0.567
16	A:62:GLU:HA	A:65:LYS:HB2	0.565
16	A:120:MET:SD	A:128:GLU:CB	0.564
16	A:20:ASP:HB3	A:26:THR:HG22	0.555
16	A:13:LEU:HD11	A:63:ALA:CB	0.540
16	A:87:VAL:HG12	A:122:GLN:CB	0.532
16	A:7:LEU:HD23	A:104:PHE:CD1	0.528
16	A:88:TYR:HD1	A:99:LEU:CD1	0.528
16	A:102:MET:HE3	A:111:VAL:HG21	0.526
16	A:13:LEU:HB2	A:29:ILE:HG13	0.523
16	A:29:ILE:HD13	A:67:PHE:CB	0.522
16	A:16:LYS:HA	A:57:VAL:HA	0.519
16	A:46:LEU:HD22	A:56:GLY:H	0.512
16	A:99:LEU:HD23	A:153:PHE:CZ	0.512
16	A:70:ASP:CB	A:104:PHE:HE2	0.512

Model ID	Atom-1	Atom-2	Clash overlap (Å)
16	A:1:MET:HG3	A:158:TRP:CE3	0.509
16	A:71:VAL:O	A:75:VAL:HG23	0.509
16	A:99:LEU:HD23	A:153:PHE:HZ	0.505
16	A:13:LEU:HD13	A:29:ILE:CD1	0.504
16	A:50:ILE:HG21	A:54:THR:SG	0.504
16	A:129:ALA:O	A:133:LEU:HG	0.504
16	A:29:ILE:HD13	A:67:PHE:HB3	0.502
16	A:33:LEU:HD21	A:45:GLU:HB3	0.501
16	A:3:ILE:HD11	A:101:ASN:HB2	0.499
16	A:121:LEU:HD13	A:126:TRP:HZ3	0.497
16	A:88:TYR:CD1	A:99:LEU:CD1	0.495
16	A:6:MET:SD	A:158:TRP:CZ3	0.493
16	A:3:ILE:HD13	A:97:ALA:SG	0.487
16	A:46:LEU:HD12	A:50:ILE:CG1	0.484
16	A:27:ILE:HG22	A:31:HIS:HB3	0.482
16	A:18:TYR:CE1	A:26:THR:CG2	0.480
16	A:7:LEU:HB3	A:67:PHE:CZ	0.479
16	A:27:ILE:HD13	A:46:LEU:HG	0.478
16	A:18:TYR:CE1	A:26:THR:HG23	0.477
16	A:102:MET:HA	A:138:TRP:CH2	0.475
16	A:79:LEU:CD1	A:88:TYR:CE2	0.474
16	A:121:LEU:HD21	A:153:PHE:CE1	0.473
16	A:29:ILE:HG21	A:67:PHE:CE1	0.470

Model ID	Atom-1	Atom-2	Clash overlap (Å)
16	A:15:LEU:HD23	A:16:LYS:H	0.469
16	A:88:TYR:HD1	A:99:LEU:HD12	0.467
16	A:27:ILE:HG13	A:58:ILE:HG12	0.466
16	A:87:VAL:HG23	A:121:LEU:C	0.465
16	A:151:THR:HG21	A:160:ALA:HB3	0.465
16	A:20:ASP:HB3	A:26:THR:HG21	0.463
16	A:75:VAL:HG22	A:100:ILE:HG12	0.461
16	A:5:GLU:HA	A:8:ARG:HG2	0.455
16	A:50:ILE:HG23	A:66:LEU:HD12	0.451
16	A:15:LEU:CD1	A:57:VAL:HG13	0.450
16	A:46:LEU:HD11	A:58:ILE:HG21	0.449
16	A:98:ALA:HB2	A:152:THR:HB	0.448
16	A:9:ILE:HD13	A:162:LYS:OXT	0.446
16	A:102:MET:HA	A:138:TRP:HH2	0.445
16	A:8:ARG:HB2	A:13:LEU:HB3	0.442
16	A:66:LEU:HA	A:69:GLN:HG2	0.440
16	A:105:GLN:HB3	A:138:TRP:NE1	0.440
16	A:101:ASN:O	A:105:GLN:HB2	0.439
16	A:121:LEU:HD13	A:126:TRP:CZ3	0.439
16	A:61:ASP:O	A:65:LYS:HG2	0.438
16	A:136:SER:OG	A:138:TRP:HB2	0.437
16	A:14:ARG:HG3	A:18:TYR:CD2	0.436
16	A:3:ILE:HB	A:97:ALA:SG	0.435

Model ID	Atom-1	Atom-2	Clash overlap (Å)
16	A:7:LEU:HB3	A:67:PHE:HZ	0.435
16	A:78:ILE:HG13	A:103:VAL:HG21	0.435
16	A:13:LEU:CB	A:29:ILE:HG13	0.430
16	A:46:LEU:O	A:46:LEU:HD12	0.430
16	A:102:MET:HE3	A:111:VAL:HG11	0.429
16	A:105:GLN:HB3	A:138:TRP:HE1	0.429
16	A:13:LEU:HB2	A:29:ILE:CG1	0.426
16	A:27:ILE:CG1	A:58:ILE:HG12	0.425
16	A:82:ALA:HA	A:85:LYS:HB2	0.424
16	A:22:GLU:HB3	A:24:TYR:HD2	0.423
16	A:151:THR:HG21	A:160:ALA:CB	0.423
16	A:1:MET:HE3	A:161:TYR:HB3	0.419
16	A:33:LEU:HD22	A:34:THR:HG22	0.417
16	A:75:VAL:O	A:79:LEU:HD13	0.417
16	A:19:LYS:HB3	A:19:LYS:HE3	0.413
16	A:17:ILE:HG21	A:25:TYR:CE1	0.412
16	A:20:ASP:CB	A:26:THR:HG21	0.411
16	A:114:PHE:O	A:118:LEU:HD13	0.410
16	A:121:LEU:HD22	A:126:TRP:CE3	0.400
17	A:130:ALA:HB1	A:150:ILE:HG23	1.125
17	A:7:LEU:HD13	A:71:VAL:HG22	0.859
17	A:138:TRP:HB3	A:146:ALA:HB2	0.832
17	A:130:ALA:HB1	A:150:ILE:CG2	0.828

Model ID	Atom-1	Atom-2	Clash overlap (Å)
17	A:29:ILE:HD12	A:67:PHE:CD2	0.794
17	A:13:LEU:HD13	A:29:ILE:CG1	0.761
17	A:130:ALA:CB	A:150:ILE:HG23	0.759
17	A:88:TYR:HE1	A:96:ARG:HB3	0.751
17	A:7:LEU:CD1	A:71:VAL:HG22	0.745
17	A:7:LEU:HD13	A:71:VAL:CG2	0.691
17	A:121:LEU:HD22	A:126:TRP:CE3	0.688
17	A:19:LYS:HD2	A:25:TYR:HE2	0.686
17	A:91:LEU:HD12	A:99:LEU:HD11	0.683
17	A:8:ARG:HE	A:64:GLU:HB2	0.681
17	A:120:MET:SD	A:128:GLU:HB3	0.661
17	A:78:ILE:HG23	A:84:LEU:HD12	0.656
17	A:14:ARG:HB3	A:18:TYR:CD1	0.643
17	A:106:MET:HE1	A:136:SER:HB3	0.636
17	A:6:MET:HG3	A:161:TYR:CZ	0.634
17	A:121:LEU:HD22	A:126:TRP:HE3	0.630
17	A:78:ILE:HD11	A:100:ILE:HA	0.628
17	A:91:LEU:HD21	A:126:TRP:HH2	0.609
17	A:126:TRP:HB2	A:154:ARG:HA	0.600
17	A:19:LYS:HD2	A:25:TYR:CE2	0.578
17	A:151:THR:HG21	A:160:ALA:CB	0.577
17	A:120:MET:SD	A:128:GLU:CB	0.571
17	A:88:TYR:CE1	A:96:ARG:HB3	0.569

Model ID	Atom-1	Atom-2	Clash overlap (Å)
17	A:91:LEU:HD21	A:126:TRP:CH2	0.566
17	A:8:ARG:HG2	A:67:PHE:HE2	0.565
17	A:88:TYR:HD1	A:99:LEU:HD12	0.565
17	A:27:ILE:CD1	A:46:LEU:HD22	0.562
17	A:121:LEU:HD13	A:126:TRP:HZ3	0.551
17	A:8:ARG:HG2	A:67:PHE:CE2	0.550
17	A:77:GLY:HA2	A:80:ARG:HG2	0.548
17	A:29:ILE:HD12	A:67:PHE:CG	0.544
17	A:91:LEU:CD1	A:99:LEU:HD11	0.544
17	A:91:LEU:CD2	A:126:TRP:HH2	0.541
17	A:33:LEU:HD12	A:45:GLU:HB3	0.530
17	A:62:GLU:HA	A:65:LYS:HB2	0.524
17	A:91:LEU:CD2	A:126:TRP:CH2	0.524
17	A:141:GLN:HG3	A:142:THR:HG23	0.520
17	A:14:ARG:HG2	A:18:TYR:HB3	0.519
17	A:7:LEU:HA	A:10:ASP:HB2	0.511
17	A:24:TYR:HB2	A:32:LEU:CD1	0.511
17	A:105:GLN:OE1	A:145:ARG:HG2	0.511
17	A:17:ILE:HD11	A:43:LYS:HB3	0.510
17	A:46:LEU:HD21	A:58:ILE:HG23	0.503
17	A:13:LEU:HD13	A:29:ILE:HG13	0.498
17	A:29:ILE:CD1	A:67:PHE:CD2	0.495
17	A:27:ILE:HD13	A:46:LEU:HD13	0.493

Model ID	Atom-1	Atom-2	Clash overlap (Å)
17	A:13:LEU:HD13	A:29:ILE:HG12	0.487
17	A:92:ASP:O	A:96:ARG:HG3	0.487
17	A:46:LEU:CD1	A:50:ILE:HG13	0.485
17	A:121:LEU:HD21	A:153:PHE:CD1	0.481
17	A:14:ARG:HB3	A:18:TYR:CE1	0.479
17	A:13:LEU:HA	A:29:ILE:HG12	0.476
17	A:78:ILE:CG1	A:103:VAL:HG21	0.473
17	A:16:LYS:HG3	A:57:VAL:HG22	0.468
17	A:120:MET:HG2	A:125:ARG:HB2	0.468
17	A:127:ASP:O	A:131:VAL:HG23	0.468
17	A:15:LEU:HA	A:58:ILE:HD11	0.465
17	A:19:LYS:HG3	A:25:TYR:HD2	0.465
17	A:136:SER:OG	A:138:TRP:HB2	0.465
17	A:67:PHE:O	A:71:VAL:HG23	0.461
17	A:46:LEU:HD12	A:50:ILE:CG1	0.458
17	A:88:TYR:HE1	A:96:ARG:CB	0.453
17	A:121:LEU:HD11	A:153:PHE:HE1	0.451
17	A:46:LEU:HD12	A:50:ILE:HG13	0.442
17	A:18:TYR:CE1	A:26:THR:HG22	0.437
17	A:3:ILE:HD13	A:97:ALA:O	0.435
17	A:121:LEU:HD21	A:153:PHE:CE1	0.434
17	A:124:LYS:HB3	A:126:TRP:CZ2	0.425
17	A:13:LEU:HD13	A:29:ILE:CD1	0.424

Model ID	Atom-1	Atom-2	Clash overlap (Å)
17	A:6:MET:HG2	A:101:ASN:HD22	0.421
17	A:13:LEU:HD13	A:29:ILE:HD11	0.420
17	A:148:ARG:HB2	A:161:TYR:CZ	0.418
17	A:1:MET:HG3	A:158:TRP:CE3	0.414
17	A:52:ARG:HB3	A:54:THR:H	0.414
17	A:88:TYR:HD1	A:99:LEU:CD1	0.413
17	A:70:ASP:HB3	A:104:PHE:HE2	0.412
17	A:6:MET:HE3	A:161:TYR:CE1	0.411
17	A:24:TYR:CB	A:32:LEU:HD11	0.411
17	A:78:ILE:HG12	A:103:VAL:HG21	0.411
17	A:72:ASP:O	A:76:ARG:HG2	0.410
17	A:46:LEU:HD11	A:58:ILE:CG2	0.409
17	A:35:LYS:HB3	A:35:LYS:HE3	0.404
17	A:114:PHE:CD1	A:133:LEU:HD23	0.404
17	A:19:LYS:HG3	A:25:TYR:CD2	0.403
17	A:33:LEU:HA	A:33:LEU:HD13	0.403
17	A:138:TRP:CZ3	A:149:VAL:HG11	0.402
17	A:74:ALA:HB2	A:104:PHE:HD2	0.402
18	A:13:LEU:HD13	A:29:ILE:HG13	0.979
18	A:130:ALA:HB1	A:150:ILE:HG23	0.964
18	A:105:GLN:HB3	A:138:TRP:CZ2	0.898
18	A:99:LEU:HD23	A:102:MET:HE2	0.871
18	A:139:TYR:CD1	A:146:ALA:HB3	0.859

Model ID	Atom-1	Atom-2	Clash overlap (Å)
18	A:13:LEU:HD13	A:29:ILE:CG1	0.838
18	A:29:ILE:HD13	A:67:PHE:CD2	0.832
18	A:139:TYR:HD1	A:146:ALA:HB3	0.822
18	A:130:ALA:HB1	A:150:ILE:CG2	0.819
18	A:15:LEU:HD23	A:57:VAL:HG11	0.812
18	A:15:LEU:HD23	A:57:VAL:CG1	0.795
18	A:13:LEU:HD13	A:29:ILE:CD1	0.788
18	A:78:ILE:HG23	A:84:LEU:HD12	0.786
18	A:138:TRP:HB2	A:146:ALA:HB2	0.769
18	A:27:ILE:HD12	A:46:LEU:HD22	0.761
18	A:120:MET:SD	A:128:GLU:HB2	0.761
18	A:88:TYR:HD1	A:99:LEU:HD13	0.753
18	A:79:LEU:HD23	A:85:LYS:HD2	0.740
18	A:78:ILE:HG13	A:103:VAL:HG21	0.723
18	A:8:ARG:HG3	A:29:ILE:HG12	0.719
18	A:7:LEU:HD13	A:67:PHE:CE1	0.704
18	A:84:LEU:HD11	A:99:LEU:HD22	0.698
18	A:81:ASN:HD22	A:84:LEU:HB2	0.691
18	A:1:MET:HE3	A:161:TYR:HB3	0.680
18	A:88:TYR:CD1	A:99:LEU:HD13	0.669
18	A:74:ALA:HB2	A:104:PHE:HD2	0.667
18	A:6:MET:HG3	A:161:TYR:CZ	0.662
18	A:75:VAL:HG22	A:100:ILE:HG12	0.646

Model ID	Atom-1	Atom-2	Clash overlap (Å)
18	A:105:GLN:HB3	A:138:TRP:CE2	0.641
18	A:139:TYR:HD1	A:146:ALA:CB	0.638
18	A:91:LEU:HD12	A:99:LEU:CD1	0.619
18	A:16:LYS:CG	A:57:VAL:HG22	0.610
18	A:99:LEU:HD23	A:102:MET:CE	0.604
18	A:75:VAL:HA	A:78:ILE:HD12	0.586
18	A:13:LEU:CD1	A:29:ILE:HG13	0.580
18	A:130:ALA:CB	A:150:ILE:HG23	0.578
18	A:71:VAL:HG13	A:100:ILE:HG21	0.576
18	A:106:MET:SD	A:136:SER:HB3	0.573
18	A:120:MET:HG2	A:125:ARG:HB2	0.571
18	A:58:ILE:HB	A:62:GLU:HB3	0.570
18	A:138:TRP:CB	A:146:ALA:HB2	0.568
18	A:88:TYR:HD1	A:99:LEU:CD1	0.553
18	A:141:GLN:HG3	A:142:THR:HG23	0.552
18	A:127:ASP:HA	A:154:ARG:HD2	0.550
18	A:27:ILE:CD1	A:46:LEU:HD22	0.541
18	A:8:ARG:HD3	A:13:LEU:HG	0.540
18	A:91:LEU:HD12	A:99:LEU:HD12	0.539
18	A:134:ALA:HA	A:150:ILE:HD11	0.537
18	A:120:MET:HE2	A:125:ARG:HD2	0.536
18	A:121:LEU:HD13	A:126:TRP:HZ3	0.530
18	A:1:MET:HG3	A:158:TRP:CE3	0.520

Model ID	Atom-1	Atom-2	Clash overlap (Å)
18	A:14:ARG:HG3	A:18:TYR:CG	0.520
18	A:120:MET:SD	A:128:GLU:CB	0.520
18	A:91:LEU:CD1	A:99:LEU:HD11	0.517
18	A:126:TRP:HA	A:129:ALA:HB3	0.512
18	A:20:ASP:OD1	A:22:GLU:HB2	0.508
18	A:121:LEU:HD22	A:126:TRP:HE3	0.500
18	A:121:LEU:HD21	A:153:PHE:CD1	0.499
18	A:138:TRP:HE3	A:146:ALA:HA	0.498
18	A:136:SER:O	A:140:ASN:HB3	0.495
18	A:14:ARG:HE	A:18:TYR:HB3	0.494
18	A:91:LEU:HD12	A:99:LEU:HD11	0.492
18	A:15:LEU:HD23	A:57:VAL:HG13	0.489
18	A:16:LYS:HG3	A:57:VAL:HG22	0.489
18	A:136:SER:HB2	A:138:TRP:H	0.489
18	A:25:TYR:CB	A:34:THR:HG23	0.486
18	A:14:ARG:HB2	A:18:TYR:CD1	0.484
18	A:91:LEU:HD13	A:95:ARG:HB3	0.484
18	A:84:LEU:CD1	A:88:TYR:HB2	0.479
18	A:3:ILE:HB	A:97:ALA:SG	0.478
18	A:84:LEU:HD13	A:88:TYR:HB2	0.478
18	A:13:LEU:HD13	A:29:ILE:HD11	0.475
18	A:25:TYR:HB3	A:34:THR:HG22	0.468
18	A:147:LYS:HA	A:150:ILE:HD12	0.466

Model ID	Atom-1	Atom-2	Clash overlap (Å)
18	A:4:PHE:CE1	A:68:ASN:HA	0.465
18	A:120:MET:CG	A:125:ARG:HB2	0.465
18	A:138:TRP:HB3	A:145:ARG:C	0.460
18	A:129:ALA:O	A:133:LEU:HG	0.458
18	A:121:LEU:HD22	A:126:TRP:CE3	0.457
18	A:7:LEU:CD1	A:71:VAL:HG22	0.455
18	A:7:LEU:HD13	A:71:VAL:CG2	0.450
18	A:5:GLU:O	A:9:ILE:HG13	0.450
18	A:1:MET:HE1	A:9:ILE:HD12	0.448
18	A:41:ALA:O	A:45:GLU:HB2	0.448
18	A:18:TYR:CE2	A:20:ASP:HB2	0.447
18	A:78:ILE:HG21	A:88:TYR:CG	0.444
18	A:105:GLN:C	A:138:TRP:HE1	0.444
18	A:114:PHE:HB2	A:117:SER:HB3	0.444
18	A:105:GLN:HB3	A:138:TRP:H22	0.443
18	A:29:ILE:HB	A:67:PHE:CG	0.442
18	A:74:ALA:HB2	A:104:PHE:CD2	0.442
18	A:15:LEU:O	A:58:ILE:HG13	0.440
18	A:71:VAL:O	A:74:ALA:HB3	0.440
18	A:96:ARG:O	A:100:ILE:HG13	0.439
18	A:127:ASP:O	A:131:VAL:HG23	0.433
18	A:25:TYR:HB3	A:34:THR:CG2	0.430
18	A:78:ILE:HD11	A:100:ILE:HA	0.429

Model ID	Atom-1	Atom-2	Clash overlap (Å)
18	A:87:VAL:HG13	A:122:GLN:HB3	0.425
18	A:70:ASP:HB3	A:104:PHE:HE2	0.423
18	A:71:VAL:O	A:75:VAL:HG23	0.419
18	A:138:TRP:CE3	A:146:ALA:HA	0.419
18	A:7:LEU:HD13	A:67:PHE:HE1	0.413
18	A:130:ALA:C	A:150:ILE:HG23	0.413
18	A:78:ILE:HG21	A:88:TYR:CD2	0.411
18	A:29:ILE:HB	A:67:PHE:CD1	0.408
18	A:25:TYR:HB2	A:34:THR:HG23	0.405
18	A:4:PHE:HE1	A:71:VAL:HB	0.405
18	A:102:MET:SD	A:133:LEU:HD22	0.404
18	A:46:LEU:HD11	A:50:ILE:HG13	0.401
18	A:121:LEU:HD13	A:126:TRP:CZ3	0.401
18	A:50:ILE:HG22	A:52:ARG:N	0.401
19	A:148:ARG:HB3	A:161:TYR:CE1	0.955
19	A:7:LEU:HB3	A:67:PHE:HZ	0.925
19	A:8:ARG:HG2	A:29:ILE:HG12	0.923
19	A:91:LEU:HD12	A:99:LEU:HD11	0.864
19	A:130:ALA:CB	A:150:ILE:HG23	0.817
19	A:29:ILE:HD13	A:67:PHE:CD2	0.809
19	A:138:TRP:HB3	A:146:ALA:HB2	0.799
19	A:7:LEU:HB3	A:67:PHE:CZ	0.796
19	A:8:ARG:HG3	A:67:PHE:HE2	0.787

Model ID	Atom-1	Atom-2	Clash overlap (Å)
19	A:130:ALA:HB1	A:150:ILE:HG23	0.780
19	A:24:TYR:HB3	A:32:LEU:HD13	0.774
19	A:91:LEU:HD12	A:99:LEU:CD1	0.770
19	A:103:VAL:HG22	A:108:GLU:HG3	0.749
19	A:99:LEU:HD23	A:102:MET:HE2	0.741
19	A:24:TYR:HB3	A:32:LEU:CD1	0.736
19	A:120:MET:HB3	A:125:ARG:HB2	0.711
19	A:88:TYR:HD1	A:99:LEU:HD13	0.689
19	A:18:TYR:CE1	A:26:THR:HG22	0.670
19	A:70:ASP:HB3	A:104:PHE:HE2	0.650
19	A:120:MET:SD	A:128:GLU:HB2	0.644
19	A:81:ASN:HB3	A:84:LEU:HB2	0.639
19	A:20:ASP:HB3	A:26:THR:HG21	0.623
19	A:24:TYR:CB	A:32:LEU:HD13	0.623
19	A:15:LEU:HD13	A:57:VAL:HG13	0.618
19	A:4:PHE:CE1	A:71:VAL:HG21	0.613
19	A:91:LEU:CD1	A:99:LEU:HD11	0.607
19	A:8:ARG:HG2	A:29:ILE:CG1	0.602
19	A:88:TYR:HD1	A:99:LEU:CD1	0.598
19	A:8:ARG:CG	A:67:PHE:HE2	0.597
19	A:6:MET:HE3	A:161:TYR:CE1	0.589
19	A:27:ILE:HG23	A:66:LEU:HD23	0.589
19	A:27:ILE:HD13	A:46:LEU:HD21	0.587

Model ID	Atom-1	Atom-2	Clash overlap (Å)
19	A:99:LEU:CD2	A:102:MET:HE2	0.582
19	A:17:ILE:HD11	A:27:ILE:HD12	0.577
19	A:6:MET:HG3	A:161:TYR:CE2	0.575
19	A:120:MET:SD	A:128:GLU:CB	0.575
19	A:26:THR:HG23	A:30:GLY:HA2	0.562
19	A:87:VAL:HG11	A:118:LEU:HD22	0.547
19	A:130:ALA:HB1	A:150:ILE:CG2	0.547
19	A:17:ILE:CD1	A:27:ILE:HD12	0.544
19	A:50:ILE:HD11	A:66:LEU:HD11	0.542
19	A:22:GLU:HB3	A:24:TYR:CD2	0.537
19	A:29:ILE:CD1	A:63:ALA:HB1	0.506
19	A:84:LEU:HG	A:108:GLU:HB3	0.504
19	A:121:LEU:HD11	A:129:ALA:HB1	0.503
19	A:1:MET:HG3	A:158:TRP:CE3	0.500
19	A:148:ARG:HB3	A:161:TYR:CZ	0.496
19	A:121:LEU:HD12	A:129:ALA:CB	0.493
19	A:7:LEU:HD13	A:67:PHE:CE1	0.488
19	A:25:TYR:CE2	A:39:LEU:HD11	0.486
19	A:92:ASP:O	A:96:ARG:HG2	0.485
19	A:8:ARG:HG3	A:67:PHE:CE2	0.484
19	A:148:ARG:HD3	A:161:TYR:HA	0.483
19	A:106:MET:HB2	A:138:TRP:CE2	0.480
19	A:29:ILE:HD12	A:63:ALA:HB1	0.479

Model ID	Atom-1	Atom-2	Clash overlap (Å)
19	A:136:SER:OG	A:138:TRP:HB2	0.478
19	A:63:ALA:O	A:67:PHE:HB2	0.477
19	A:121:LEU:CD1	A:129:ALA:HB1	0.474
19	A:46:LEU:HD11	A:58:ILE:CG2	0.473
19	A:46:LEU:HD11	A:58:ILE:HG23	0.472
19	A:29:ILE:CD1	A:67:PHE:CD2	0.472
19	A:99:LEU:HD23	A:102:MET:CE	0.472
19	A:1:MET:HE3	A:161:TYR:HD2	0.466
19	A:18:TYR:HE1	A:26:THR:HG22	0.461
19	A:62:GLU:O	A:66:LEU:HG	0.455
19	A:88:TYR:CD1	A:99:LEU:CD1	0.451
19	A:102:MET:HA	A:138:TRP:CH2	0.447
19	A:102:MET:HE3	A:111:VAL:HG11	0.447
19	A:121:LEU:HD21	A:153:PHE:CE1	0.441
19	A:106:MET:HB2	A:138:TRP:CZ2	0.440
19	A:121:LEU:HD12	A:129:ALA:HB2	0.440
19	A:102:MET:HA	A:138:TRP:CZ2	0.436
19	A:105:GLN:HG3	A:138:TRP:CZ2	0.436
19	A:1:MET:HE3	A:161:TYR:HB3	0.433
19	A:3:ILE:HG23	A:4:PHE:CD2	0.433
19	A:50:ILE:HG12	A:62:GLU:HG2	0.432
19	A:26:THR:HA	A:31:HIS:O	0.428
19	A:60:LYS:H	A:60:LYS:HG3	0.428

Model ID	Atom-1	Atom-2	Clash overlap (Å)
19	A:29:ILE:HG21	A:67:PHE:CZ	0.427
19	A:8:ARG:CG	A:67:PHE:CE2	0.424
19	A:18:TYR:CE1	A:26:THR:CG2	0.423
19	A:18:TYR:O	A:26:THR:HB	0.423
19	A:78:ILE:HD11	A:103:VAL:HG21	0.417
19	A:87:VAL:HG11	A:118:LEU:CD2	0.416
19	A:27:ILE:HD13	A:46:LEU:CD2	0.415
19	A:96:ARG:O	A:100:ILE:HG13	0.415
19	A:8:ARG:HD3	A:13:LEU:HD13	0.413
19	A:1:MET:HG2	A:161:TYR:HB3	0.410
19	A:88:TYR:HE1	A:99:LEU:HB2	0.407
19	A:11:GLU:HA	A:145:ARG:HH21	0.405
19	A:46:LEU:HD21	A:50:ILE:HD13	0.405
19	A:111:VAL:HG12	A:118:LEU:HD11	0.405
19	A:130:ALA:HB2	A:150:ILE:HG23	0.405
19	A:23:GLY:C	A:24:TYR:CG	0.403
19	A:24:TYR:CG	A:32:LEU:HD13	0.403
19	A:78:ILE:HG13	A:103:VAL:HG11	0.403
19	A:1:MET:HE3	A:161:TYR:CD2	0.402
19	A:34:THR:HB	A:42:ALA:HA	0.401
20	A:91:LEU:HD22	A:126:TRP:CH2	1.022
20	A:91:LEU:HD22	A:126:TRP:HH2	1.016
20	A:130:ALA:HB1	A:150:ILE:HG23	0.975

Model ID	Atom-1	Atom-2	Clash overlap (Å)
20	A:120:MET:SD	A:128:GLU:HB2	0.903
20	A:27:ILE:HD11	A:58:ILE:HG12	0.875
20	A:99:LEU:HD23	A:102:MET:HE2	0.832
20	A:130:ALA:HB1	A:150:ILE:CG2	0.764
20	A:50:ILE:HD11	A:66:LEU:HD12	0.755
20	A:105:GLN:HB3	A:138:TRP:CZ2	0.750
20	A:13:LEU:HD13	A:29:ILE:CG1	0.744
20	A:1:MET:SD	A:5:GLU:HB3	0.742
20	A:27:ILE:HG12	A:46:LEU:HD13	0.734
20	A:130:ALA:CB	A:150:ILE:HG23	0.724
20	A:18:TYR:CE1	A:26:THR:HG22	0.723
20	A:99:LEU:CD2	A:102:MET:HE2	0.687
20	A:151:THR:HG21	A:160:ALA:CB	0.687
20	A:88:TYR:HD1	A:99:LEU:HD13	0.678
20	A:27:ILE:HD13	A:46:LEU:HD22	0.677
20	A:24:TYR:HB3	A:35:LYS:HG3	0.671
20	A:46:LEU:HD21	A:58:ILE:HG23	0.651
20	A:14:ARG:HG2	A:18:TYR:HB3	0.647
20	A:6:MET:HG3	A:161:TYR:CZ	0.645
20	A:16:LYS:HE3	A:57:VAL:HG21	0.642
20	A:14:ARG:HB3	A:18:TYR:CD1	0.637
20	A:50:ILE:HD13	A:66:LEU:HD23	0.633
20	A:139:TYR:CD1	A:146:ALA:HB3	0.630

Model ID	Atom-1	Atom-2	Clash overlap (Å)
20	A:138:TRP:HB2	A:146:ALA:HB2	0.627
20	A:88:TYR:HD1	A:99:LEU:CD1	0.623
20	A:75:VAL:HA	A:78:ILE:HD12	0.617
20	A:138:TRP:CB	A:146:ALA:HB2	0.614
20	A:50:ILE:CD1	A:66:LEU:HD12	0.607
20	A:151:THR:HG21	A:160:ALA:HB3	0.600
20	A:88:TYR:CD1	A:99:LEU:HD13	0.598
20	A:46:LEU:HD12	A:50:ILE:CG1	0.596
20	A:81:ASN:HB3	A:84:LEU:HB3	0.583
20	A:147:LYS:HA	A:150:ILE:HD12	0.582
20	A:114:PHE:HE2	A:135:LYS:HE2	0.579
20	A:114:PHE:HB2	A:117:SER:HB3	0.577
20	A:78:ILE:HG12	A:103:VAL:HG21	0.576
20	A:105:GLN:HB3	A:138:TRP:CE2	0.576
20	A:106:MET:SD	A:136:SER:HB3	0.572
20	A:74:ALA:HB2	A:104:PHE:HD2	0.570
20	A:46:LEU:CD1	A:50:ILE:HG13	0.567
20	A:121:LEU:HD21	A:126:TRP:HE3	0.562
20	A:91:LEU:HD12	A:99:LEU:CD1	0.560
20	A:13:LEU:HD13	A:29:ILE:HG13	0.553
20	A:120:MET:HG2	A:125:ARG:HB2	0.551
20	A:120:MET:HE2	A:125:ARG:HD3	0.551
20	A:31:HIS:CD2	A:66:LEU:HD11	0.545

Model ID	Atom-1	Atom-2	Clash overlap (Å)
20	A:102:MET:SD	A:133:LEU:HD11	0.544
20	A:117:SER:HA	A:120:MET:HB2	0.537
20	A:46:LEU:HD12	A:50:ILE:HG13	0.532
20	A:139:TYR:CD1	A:146:ALA:CB	0.532
20	A:127:ASP:HA	A:154:ARG:HG2	0.526
20	A:91:LEU:HD12	A:99:LEU:HD12	0.521
20	A:22:GLU:HA	A:137:ARG:HH12	0.515
20	A:66:LEU:HD22	A:69:GLN:HB3	0.515
20	A:43:LYS:HA	A:46:LEU:HB3	0.513
20	A:77:GLY:O	A:80:ARG:HB2	0.513
20	A:78:ILE:CG1	A:103:VAL:HG21	0.510
20	A:99:LEU:HD23	A:153:PHE:HZ	0.509
20	A:8:ARG:HH21	A:13:LEU:HG	0.508
20	A:120:MET:SD	A:128:GLU:CB	0.505
20	A:126:TRP:HA	A:129:ALA:HB3	0.503
20	A:75:VAL:HG22	A:100:ILE:HG12	0.502
20	A:27:ILE:CD1	A:46:LEU:HD22	0.494
20	A:29:ILE:HD11	A:64:GLU:HG3	0.492
20	A:65:LYS:O	A:68:ASN:HB2	0.491
20	A:130:ALA:HA	A:133:LEU:HB2	0.491
20	A:27:ILE:HG23	A:31:HIS:HB3	0.490
20	A:148:ARG:HB3	A:161:TYR:CD1	0.488
20	A:47:ASP:HA	A:54:THR:SG	0.487

Model ID	Atom-1	Atom-2	Clash overlap (Å)
20	A:13:LEU:HD13	A:29:ILE:HG12	0.486
20	A:88:TYR:CD1	A:99:LEU:CD1	0.486
20	A:130:ALA:C	A:150:ILE:HG23	0.485
20	A:136:SER:HB2	A:138:TRP:H	0.475
20	A:46:LEU:HD12	A:50:ILE:HG12	0.474
20	A:114:PHE:CE2	A:135:LYS:HE2	0.466
20	A:7:LEU:HB3	A:67:PHE:CZ	0.461
20	A:17:ILE:HD11	A:43:LYS:HB3	0.461
20	A:82:ALA:O	A:83:LYS:HD2	0.460
20	A:99:LEU:O	A:102:MET:HB3	0.456
20	A:71:VAL:HA	A:104:PHE:CD2	0.454
20	A:6:MET:HE1	A:98:ALA:HA	0.449
20	A:121:LEU:CD2	A:126:TRP:HE3	0.448
20	A:91:LEU:CD1	A:99:LEU:HD11	0.444
20	A:76:ARG:HB3	A:76:ARG:HE	0.443
20	A:15:LEU:HD22	A:16:LYS:HG3	0.442
20	A:8:ARG:HB3	A:29:ILE:HD13	0.441
20	A:46:LEU:HG	A:54:THR:SG	0.438
20	A:148:ARG:HB3	A:161:TYR:CE1	0.435
20	A:1:MET:HB3	A:158:TRP:CG	0.432
20	A:71:VAL:O	A:74:ALA:HB3	0.431
20	A:8:ARG:HB3	A:67:PHE:CE2	0.429
20	A:50:ILE:HG22	A:52:ARG:N	0.427

Model ID	Atom-1	Atom-2	Clash overlap (Å)
20	A:85:LYS:O	A:89:ASP:HB2	0.427
20	A:43:LYS:O	A:46:LEU:HB3	0.426
20	A:127:ASP:O	A:131:VAL:HG23	0.426
20	A:142:THR:OG1	A:145:ARG:HB3	0.423
20	A:81:ASN:HD22	A:84:LEU:H	0.423
20	A:81:ASN:HB3	A:84:LEU:CB	0.421
20	A:24:TYR:HB2	A:32:LEU:CD1	0.420
20	A:29:ILE:HD13	A:67:PHE:CD2	0.417
20	A:121:LEU:HD21	A:153:PHE:CD1	0.416
20	A:105:GLN:C	A:138:TRP:HE1	0.411
20	A:29:ILE:HB	A:67:PHE:CD1	0.408
20	A:121:LEU:CD2	A:126:TRP:CE3	0.407
20	A:13:LEU:HD13	A:29:ILE:CD1	0.406
20	A:19:LYS:HD2	A:25:TYR:CE2	0.404
20	A:33:LEU:HG	A:45:GLU:HB3	0.404
20	A:84:LEU:O	A:84:LEU:HD13	0.404
20	A:91:LEU:HD12	A:99:LEU:HD11	0.403
20	A:13:LEU:HD13	A:29:ILE:HD11	0.402
20	A:106:MET:HE1	A:133:LEU:HG	0.402
20	A:138:TRP:HB3	A:146:ALA:HB2	0.402
21	A:13:LEU:HD13	A:29:ILE:HD11	1.097
21	A:130:ALA:HB1	A:150:ILE:HG23	1.081
21	A:105:GLN:HB3	A:138:TRP:CZ2	0.892

Model ID	Atom-1	Atom-2	Clash overlap (Å)
21	A:15:LEU:HD22	A:57:VAL:CG1	0.862
21	A:15:LEU:HD22	A:57:VAL:HG11	0.832
21	A:7:LEU:HD13	A:71:VAL:HG22	0.807
21	A:130:ALA:HB1	A:150:ILE:CG2	0.739
21	A:13:LEU:HD13	A:29:ILE:CD1	0.738
21	A:7:LEU:CD1	A:71:VAL:HG22	0.725
21	A:148:ARG:HB3	A:161:TYR:CE1	0.719
21	A:138:TRP:HB3	A:146:ALA:HB2	0.718
21	A:14:ARG:HG2	A:18:TYR:HB3	0.691
21	A:81:ASN:HD22	A:84:LEU:HB2	0.690
21	A:7:LEU:HD13	A:71:VAL:CG2	0.683
21	A:151:THR:HG21	A:160:ALA:CB	0.683
21	A:105:GLN:HB3	A:138:TRP:CE2	0.674
21	A:1:MET:SD	A:5:GLU:HB3	0.658
21	A:15:LEU:HD22	A:57:VAL:HG12	0.649
21	A:80:ARG:HH12	A:108:GLU:HG2	0.647
21	A:87:VAL:CG1	A:122:GLN:HB3	0.643
21	A:126:TRP:HB2	A:154:ARG:HA	0.639
21	A:75:VAL:HG22	A:100:ILE:HG12	0.634
21	A:139:TYR:HD1	A:146:ALA:CB	0.633
21	A:121:LEU:HD13	A:126:TRP:HZ3	0.631
21	A:120:MET:HG2	A:125:ARG:HB2	0.626
21	A:27:ILE:HD13	A:46:LEU:HD13	0.622

Model ID	Atom-1	Atom-2	Clash overlap (Å)
21	A:151:THR:HG21	A:160:ALA:HB2	0.621
21	A:6:MET:HG3	A:161:TYR:CZ	0.614
21	A:99:LEU:HD23	A:102:MET:CE	0.610
21	A:40:ASN:HD22	A:43:LYS:HE3	0.600
21	A:130:ALA:CB	A:150:ILE:HG23	0.599
21	A:91:LEU:HD11	A:121:LEU:HD12	0.596
21	A:102:MET:HA	A:138:TRP:HH2	0.591
21	A:8:ARG:HG3	A:13:LEU:HB2	0.588
21	A:121:LEU:HD22	A:126:TRP:CE3	0.583
21	A:99:LEU:HD23	A:102:MET:HE2	0.578
21	A:18:TYR:CE1	A:26:THR:HG22	0.577
21	A:8:ARG:HB2	A:29:ILE:HD13	0.568
21	A:74:ALA:HB2	A:104:PHE:HD2	0.561
21	A:120:MET:SD	A:128:GLU:HB2	0.561
21	A:130:ALA:HB3	A:154:ARG:HE	0.553
21	A:139:TYR:HD1	A:146:ALA:HB3	0.552
21	A:27:ILE:HD11	A:58:ILE:HG12	0.538
21	A:78:ILE:CG1	A:103:VAL:HG21	0.535
21	A:120:MET:SD	A:128:GLU:CB	0.531
21	A:13:LEU:HA	A:29:ILE:HG12	0.520
21	A:6:MET:HE1	A:98:ALA:HA	0.517
21	A:78:ILE:HD11	A:100:ILE:HA	0.511
21	A:87:VAL:HG11	A:122:GLN:HB3	0.509

Model ID	Atom-1	Atom-2	Clash overlap (Å)
21	A:87:VAL:HG13	A:122:GLN:HB3	0.508
21	A:8:ARG:HE	A:13:LEU:HG	0.506
21	A:78:ILE:HG12	A:103:VAL:HG21	0.506
21	A:71:VAL:HG13	A:100:ILE:HG21	0.505
21	A:120:MET:CG	A:125:ARG:HB2	0.504
21	A:148:ARG:HB3	A:161:TYR:CZ	0.501
21	A:88:TYR:CD1	A:99:LEU:CD1	0.490
21	A:118:LEU:O	A:122:GLN:HG2	0.488
21	A:88:TYR:HE1	A:96:ARG:HA	0.487
21	A:92:ASP:O	A:96:ARG:HG3	0.487
21	A:27:ILE:CD1	A:46:LEU:HD22	0.482
21	A:78:ILE:HG23	A:84:LEU:HD12	0.481
21	A:88:TYR:CD1	A:99:LEU:HD13	0.474
21	A:121:LEU:HD22	A:126:TRP:HE3	0.474
21	A:121:LEU:HD21	A:153:PHE:CE1	0.473
21	A:121:LEU:HD21	A:153:PHE:CD1	0.470
21	A:121:LEU:HD11	A:153:PHE:HE1	0.468
21	A:59:THR:HG23	A:62:GLU:OE1	0.466
21	A:14:ARG:HB3	A:18:TYR:CD1	0.465
21	A:47:ASP:HA	A:54:THR:SG	0.464
21	A:129:ALA:O	A:133:LEU:HG	0.460
21	A:50:ILE:HG21	A:52:ARG:HD3	0.459
21	A:101:ASN:O	A:105:GLN:HB2	0.457

Model ID	Atom-1	Atom-2	Clash overlap (Å)
21	A:78:ILE:HG21	A:88:TYR:CD2	0.456
21	A:136:SER:OG	A:138:TRP:HB2	0.456
21	A:7:LEU:HD11	A:104:PHE:CD1	0.452
21	A:15:LEU:HG	A:60:LYS:HG2	0.452
21	A:46:LEU:CD1	A:50:ILE:HG13	0.452
21	A:120:MET:SD	A:128:GLU:HB3	0.450
21	A:7:LEU:HD11	A:104:PHE:CG	0.447
21	A:91:LEU:CD1	A:99:LEU:HD11	0.447
21	A:27:ILE:HG22	A:33:LEU:HD23	0.446
21	A:88:TYR:HD1	A:99:LEU:CD1	0.444
21	A:99:LEU:HD23	A:102:MET:HE1	0.443
21	A:139:TYR:CD1	A:146:ALA:HB3	0.442
21	A:99:LEU:HD23	A:153:PHE:HZ	0.440
21	A:120:MET:HE2	A:125:ARG:HD3	0.437
21	A:14:ARG:CB	A:18:TYR:CD1	0.436
21	A:46:LEU:HD12	A:50:ILE:CG1	0.434
21	A:84:LEU:CD1	A:88:TYR:HB2	0.434
21	A:20:ASP:OD1	A:22:GLU:HB2	0.428
21	A:74:ALA:HB2	A:104:PHE:CD2	0.428
21	A:46:LEU:HG	A:54:THR:SG	0.426
21	A:33:LEU:HD11	A:45:GLU:HB3	0.423
21	A:106:MET:HE3	A:114:PHE:HE1	0.423
21	A:75:VAL:HA	A:78:ILE:HD12	0.422

Model ID	Atom-1	Atom-2	Clash overlap (Å)
21	A:148:ARG:HD2	A:161:TYR:CD2	0.420
21	A:59:THR:O	A:62:GLU:HB2	0.419
21	A:1:MET:HE3	A:161:TYR:HB3	0.417
21	A:121:LEU:HA	A:126:TRP:CZ3	0.417
21	A:78:ILE:HG13	A:103:VAL:HG21	0.415
21	A:120:MET:HB3	A:125:ARG:O	0.413
21	A:40:ASN:ND2	A:43:LYS:HE3	0.410
21	A:1:MET:HA	A:5:GLU:OE2	0.409
21	A:66:LEU:O	A:69:GLN:HB3	0.409
21	A:84:LEU:O	A:84:LEU:HD13	0.400
22	A:130:ALA:HB1	A:150:ILE:HG23	1.117
22	A:91:LEU:HD12	A:99:LEU:HD11	1.020
22	A:7:LEU:HB3	A:67:PHE:HZ	0.993
22	A:99:LEU:HD23	A:102:MET:HE2	0.971
22	A:7:LEU:HB3	A:67:PHE:CZ	0.950
22	A:139:TYR:HE1	A:150:ILE:HD12	0.947
22	A:1:MET:HE3	A:161:TYR:HD2	0.906
22	A:17:ILE:HD13	A:27:ILE:HD12	0.855
22	A:139:TYR:CE1	A:150:ILE:HD12	0.853
22	A:102:MET:SD	A:133:LEU:HD11	0.852
22	A:88:TYR:CE1	A:96:ARG:HB2	0.817
22	A:6:MET:HG3	A:161:TYR:CE2	0.811
22	A:7:LEU:HD13	A:67:PHE:HE1	0.810

Model ID	Atom-1	Atom-2	Clash overlap (Å)
22	A:81:ASN:HB3	A:84:LEU:HB2	0.808
22	A:130:ALA:HB1	A:150:ILE:CG2	0.800
22	A:130:ALA:CB	A:150:ILE:HG23	0.788
22	A:102:MET:HE2	A:153:PHE:HZ	0.779
22	A:17:ILE:CD1	A:27:ILE:HD12	0.769
22	A:91:LEU:CD1	A:99:LEU:HD11	0.768
22	A:1:MET:HE3	A:161:TYR:CD2	0.766
22	A:15:LEU:HD13	A:57:VAL:HG13	0.755
22	A:46:LEU:HD22	A:50:ILE:HD13	0.747
22	A:99:LEU:HD23	A:102:MET:CE	0.747
22	A:148:ARG:HB3	A:161:TYR:CE1	0.742
22	A:105:GLN:HG3	A:138:TRP:CZ2	0.733
22	A:103:VAL:HG22	A:108:GLU:HG3	0.726
22	A:8:ARG:HG3	A:67:PHE:HE2	0.722
22	A:121:LEU:HD23	A:126:TRP:CZ3	0.721
22	A:102:MET:HE2	A:153:PHE:CZ	0.692
22	A:99:LEU:HA	A:102:MET:HB2	0.691
22	A:120:MET:HB3	A:125:ARG:HB2	0.688
22	A:11:GLU:HG2	A:104:PHE:HE1	0.684
22	A:29:ILE:HD13	A:67:PHE:CD2	0.683
22	A:91:LEU:HD11	A:121:LEU:HD22	0.663
22	A:27:ILE:HD13	A:46:LEU:CD2	0.662
22	A:88:TYR:HD1	A:99:LEU:HD13	0.659

Model ID	Atom-1	Atom-2	Clash overlap (Å)
22	A:7:LEU:HD11	A:104:PHE:CD1	0.654
22	A:6:MET:HG3	A:161:TYR:CZ	0.625
22	A:126:TRP:HB2	A:154:ARG:HA	0.625
22	A:7:LEU:HD13	A:67:PHE:CE1	0.624
22	A:120:MET:SD	A:128:GLU:HB2	0.618
22	A:121:LEU:HD23	A:126:TRP:HZ3	0.609
22	A:50:ILE:HD11	A:66:LEU:HD11	0.605
22	A:29:ILE:CD1	A:63:ALA:HB1	0.604
22	A:67:PHE:HD1	A:71:VAL:HG23	0.587
22	A:71:VAL:HG13	A:100:ILE:HG21	0.579
22	A:29:ILE:HD12	A:63:ALA:HB1	0.573
22	A:120:MET:SD	A:128:GLU:CB	0.573
22	A:148:ARG:HB3	A:161:TYR:CZ	0.562
22	A:1:MET:HG2	A:161:TYR:HB3	0.560
22	A:8:ARG:HG3	A:67:PHE:CE2	0.558
22	A:70:ASP:HB3	A:104:PHE:HE2	0.555
22	A:121:LEU:HD23	A:126:TRP:CE3	0.552
22	A:14:ARG:HG2	A:18:TYR:CG	0.543
22	A:103:VAL:CG2	A:108:GLU:HG3	0.538
22	A:50:ILE:CG2	A:54:THR:SG	0.537
22	A:4:PHE:HD1	A:67:PHE:CG	0.517
22	A:84:LEU:HG	A:108:GLU:HB3	0.515
22	A:138:TRP:HB3	A:146:ALA:HB2	0.515

Model ID	Atom-1	Atom-2	Clash overlap (Å)
22	A:91:LEU:HD21	A:121:LEU:HD22	0.514
22	A:99:LEU:CD2	A:102:MET:HE2	0.508
22	A:148:ARG:HD3	A:161:TYR:HA	0.508
22	A:76:ARG:O	A:80:ARG:HG3	0.505
22	A:46:LEU:HD11	A:58:ILE:CG2	0.491
22	A:105:GLN:HG3	A:138:TRP:HZ2	0.489
22	A:88:TYR:HE1	A:96:ARG:HB2	0.487
22	A:85:LYS:HG2	A:89:ASP:OD2	0.486
22	A:120:MET:HG2	A:125:ARG:HD2	0.486
22	A:14:ARG:HB3	A:18:TYR:CE1	0.482
22	A:50:ILE:HG22	A:54:THR:SG	0.479
22	A:1:MET:HG3	A:158:TRP:CE3	0.477
22	A:78:ILE:HD11	A:103:VAL:HG21	0.476
22	A:139:TYR:CE1	A:150:ILE:CD1	0.475
22	A:151:THR:HG21	A:160:ALA:CB	0.471
22	A:78:ILE:HG21	A:88:TYR:CD2	0.466
22	A:6:MET:HE1	A:98:ALA:HA	0.463
22	A:50:ILE:HG21	A:54:THR:SG	0.463
22	A:151:THR:O	A:154:ARG:HB3	0.461
22	A:4:PHE:CD1	A:67:PHE:CG	0.460
22	A:96:ARG:HA	A:99:LEU:HB2	0.458
22	A:118:LEU:HD23	A:121:LEU:HG	0.458
22	A:15:LEU:HB2	A:58:ILE:O	0.455

Model ID	Atom-1	Atom-2	Clash overlap (Å)
22	A:78:ILE:CD1	A:103:VAL:HG21	0.453
22	A:102:MET:HA	A:138:TRP:CZ2	0.451
22	A:126:TRP:HA	A:129:ALA:HB3	0.445
22	A:29:ILE:HD11	A:63:ALA:HB1	0.442
22	A:46:LEU:O	A:50:ILE:HB	0.441
22	A:11:GLU:HA	A:145:ARG:HH21	0.440
22	A:27:ILE:HD13	A:46:LEU:HD21	0.440
22	A:117:SER:O	A:121:LEU:HD13	0.439
22	A:78:ILE:HG12	A:103:VAL:HG21	0.436
22	A:1:MET:CE	A:161:TYR:HD2	0.436
22	A:46:LEU:HD22	A:50:ILE:CD1	0.434
22	A:27:ILE:HD13	A:46:LEU:HD23	0.433
22	A:67:PHE:HD1	A:71:VAL:CG2	0.433
22	A:120:MET:SD	A:128:GLU:HB3	0.431
22	A:77:GLY:O	A:80:ARG:HB2	0.426
22	A:121:LEU:CD1	A:129:ALA:HB1	0.422
22	A:84:LEU:HD21	A:112:ALA:HB2	0.420
22	A:3:ILE:HG23	A:4:PHE:CD2	0.418
22	A:7:LEU:HD11	A:104:PHE:CG	0.416
22	A:33:LEU:HA	A:33:LEU:HD23	0.415
22	A:29:ILE:HG21	A:67:PHE:CZ	0.412
22	A:7:LEU:HA	A:7:LEU:HD22	0.411
22	A:67:PHE:CD1	A:71:VAL:CG2	0.411

Model ID	Atom-1	Atom-2	Clash overlap (Å)
22	A:7:LEU:HD11	A:104:PHE:CE1	0.410
22	A:34:THR:CG2	A:42:ALA:HB2	0.406
22	A:136:SER:OG	A:138:TRP:HB2	0.406
22	A:71:VAL:O	A:75:VAL:HG23	0.404
22	A:33:LEU:HD22	A:45:GLU:HB3	0.403
22	A:94:VAL:HG22	A:158:TRP:HE1	0.403
23	A:120:MET:HB3	A:125:ARG:HB3	1.148
23	A:7:LEU:HD13	A:67:PHE:HE1	1.088
23	A:130:ALA:HB1	A:150:ILE:HG23	1.011
23	A:7:LEU:HD13	A:67:PHE:CE1	0.989
23	A:88:TYR:HD1	A:99:LEU:HD12	0.930
23	A:14:ARG:HB2	A:18:TYR:CD1	0.908
23	A:121:LEU:HD13	A:126:TRP:HZ3	0.906
23	A:46:LEU:HD13	A:58:ILE:HG22	0.887
23	A:78:ILE:HG12	A:103:VAL:HG21	0.853
23	A:138:TRP:HB3	A:146:ALA:HB2	0.852
23	A:7:LEU:HD11	A:104:PHE:CE1	0.828
23	A:13:LEU:HD13	A:29:ILE:CD1	0.826
23	A:121:LEU:HD13	A:126:TRP:CZ3	0.815
23	A:78:ILE:CG1	A:103:VAL:HG21	0.795
23	A:130:ALA:CB	A:150:ILE:HG23	0.794
23	A:125:ARG:HG2	A:128:GLU:HB2	0.782
23	A:13:LEU:HD13	A:29:ILE:HD11	0.770

Model ID	Atom-1	Atom-2	Clash overlap (Å)
23	A:114:PHE:CE1	A:133:LEU:HD23	0.765
23	A:46:LEU:CD1	A:58:ILE:HG22	0.764
23	A:27:ILE:CD1	A:58:ILE:HG21	0.735
23	A:88:TYR:CD1	A:99:LEU:HD12	0.728
23	A:29:ILE:HD13	A:67:PHE:CD2	0.723
23	A:130:ALA:HB1	A:150:ILE:CG2	0.723
23	A:120:MET:CB	A:125:ARG:HB3	0.716
23	A:3:ILE:HD12	A:6:MET:SD	0.715
23	A:148:ARG:HB2	A:161:TYR:CE1	0.682
23	A:87:VAL:HG12	A:122:GLN:HB2	0.663
23	A:114:PHE:HE1	A:133:LEU:HD23	0.661
23	A:46:LEU:HD13	A:58:ILE:CG2	0.655
23	A:120:MET:SD	A:128:GLU:HB3	0.642
23	A:13:LEU:HD13	A:29:ILE:HD12	0.632
23	A:88:TYR:HD1	A:99:LEU:CD1	0.629
23	A:70:ASP:HB3	A:104:PHE:HE2	0.619
23	A:7:LEU:HB3	A:67:PHE:HZ	0.609
23	A:6:MET:SD	A:158:TRP:HZ3	0.609
23	A:97:ALA:HA	A:100:ILE:HD12	0.608
23	A:87:VAL:CG2	A:121:LEU:HB3	0.603
23	A:29:ILE:HD13	A:67:PHE:CG	0.599
23	A:27:ILE:HG22	A:31:HIS:HB3	0.580
23	A:102:MET:HE3	A:111:VAL:HG11	0.578

Model ID	Atom-1	Atom-2	Clash overlap (Å)
23	A:120:MET:SD	A:128:GLU:CB	0.573
23	A:121:LEU:HD21	A:153:PHE:CE1	0.567
23	A:15:LEU:HD12	A:57:VAL:HG13	0.562
23	A:70:ASP:HB3	A:104:PHE:CE2	0.542
23	A:84:LEU:HG	A:118:LEU:HD21	0.540
23	A:106:MET:HG3	A:138:TRP:CE2	0.534
23	A:27:ILE:HD11	A:58:ILE:HG21	0.527
23	A:7:LEU:HB3	A:67:PHE:CZ	0.525
23	A:27:ILE:CG2	A:31:HIS:HB3	0.513
23	A:105:GLN:HB3	A:138:TRP:HE1	0.510
23	A:1:MET:HB3	A:158:TRP:HB3	0.508
23	A:58:ILE:CD1	A:63:ALA:HB2	0.505
23	A:6:MET:SD	A:158:TRP:CZ3	0.505
23	A:15:LEU:O	A:58:ILE:HG13	0.487
23	A:93:ALA:HA	A:96:ARG:HD2	0.487
23	A:29:ILE:HD13	A:67:PHE:CB	0.481
23	A:136:SER:OG	A:138:TRP:HB2	0.481
23	A:120:MET:HG2	A:125:ARG:HD2	0.474
23	A:102:MET:HA	A:138:TRP:CH2	0.472
23	A:105:GLN:HB3	A:138:TRP:NE1	0.467
23	A:6:MET:CE	A:161:TYR:CE1	0.461
23	A:87:VAL:HG21	A:121:LEU:HB3	0.457
23	A:127:ASP:O	A:131:VAL:HG23	0.455

Model ID	Atom-1	Atom-2	Clash overlap (Å)
23	A:114:PHE:CE1	A:133:LEU:HA	0.454
23	A:101:ASN:O	A:105:GLN:HB2	0.452
23	A:1:MET:HG2	A:161:TYR:HB3	0.450
23	A:7:LEU:HA	A:10:ASP:HB2	0.450
23	A:25:TYR:HB2	A:34:THR:O	0.448
23	A:4:PHE:CE1	A:71:VAL:HG21	0.445
23	A:6:MET:HE2	A:161:TYR:CE1	0.443
23	A:78:ILE:HG13	A:103:VAL:HG21	0.440
23	A:29:ILE:HG21	A:67:PHE:CE1	0.434
23	A:47:ASP:HA	A:54:THR:SG	0.434
23	A:58:ILE:HD11	A:63:ALA:HB2	0.429
23	A:99:LEU:HD23	A:153:PHE:CZ	0.429
23	A:102:MET:HA	A:138:TRP:HH2	0.428
23	A:99:LEU:HD23	A:153:PHE:HZ	0.427
23	A:27:ILE:HD12	A:58:ILE:HG21	0.424
23	A:114:PHE:CZ	A:133:LEU:HA	0.424
23	A:58:ILE:HD12	A:59:THR:O	0.422
23	A:102:MET:O	A:106:MET:HB2	0.420
23	A:114:PHE:HB2	A:117:SER:HB2	0.420
23	A:13:LEU:HA	A:29:ILE:HG13	0.416
23	A:93:ALA:O	A:96:ARG:HG2	0.416
23	A:142:THR:OG1	A:145:ARG:HB2	0.416
23	A:23:GLY:C	A:24:TYR:CG	0.414

Model ID	Atom-1	Atom-2	Clash overlap (Å)
23	A:102:MET:SD	A:153:PHE:HE2	0.414
23	A:72:ASP:O	A:76:ARG:HG2	0.410
23	A:1:MET:SD	A:5:GLU:HB2	0.408
23	A:13:LEU:HD11	A:63:ALA:HB3	0.408
23	A:136:SER:O	A:140:ASN:HB2	0.408
23	A:13:LEU:CD1	A:63:ALA:HB1	0.406
23	A:67:PHE:O	A:71:VAL:HG23	0.404
23	A:16:LYS:HG2	A:57:VAL:HG13	0.401
24	A:58:ILE:HD12	A:63:ALA:HB2	1.135
24	A:130:ALA:HB3	A:154:ARG:HG3	1.042
24	A:7:LEU:HB3	A:67:PHE:CZ	1.019
24	A:27:ILE:HD13	A:46:LEU:HD22	0.988
24	A:27:ILE:CD1	A:46:LEU:HD22	0.856
24	A:133:LEU:HB3	A:150:ILE:HG12	0.839
24	A:1:MET:SD	A:5:GLU:HB3	0.821
24	A:130:ALA:CB	A:154:ARG:HG3	0.819
24	A:18:TYR:CE1	A:26:THR:HG22	0.806
24	A:7:LEU:HB3	A:67:PHE:HZ	0.803
24	A:148:ARG:HB3	A:161:TYR:CE1	0.802
24	A:25:TYR:HE1	A:39:LEU:HD13	0.786
24	A:121:LEU:HD23	A:126:TRP:CE3	0.777
24	A:46:LEU:HD11	A:58:ILE:HG23	0.773
24	A:43:LYS:HA	A:46:LEU:HD23	0.764

Model ID	Atom-1	Atom-2	Clash overlap (Å)
24	A:84:LEU:CD2	A:88:TYR:HB2	0.746
24	A:97:ALA:SG	A:158:TRP:HZ2	0.738
24	A:99:LEU:HD23	A:153:PHE:HZ	0.737
24	A:58:ILE:HD12	A:63:ALA:CB	0.736
24	A:58:ILE:CD1	A:63:ALA:HB2	0.730
24	A:121:LEU:HD23	A:126:TRP:HE3	0.721
24	A:106:MET:SD	A:138:TRP:CE3	0.717
24	A:29:ILE:HD13	A:67:PHE:CG	0.704
24	A:84:LEU:HD23	A:88:TYR:HB2	0.683
24	A:25:TYR:HE1	A:39:LEU:CD1	0.674
24	A:46:LEU:CD1	A:58:ILE:HG23	0.673
24	A:7:LEU:HG	A:71:VAL:HG22	0.664
24	A:101:ASN:HB3	A:149:VAL:HG22	0.626
24	A:99:LEU:CD2	A:153:PHE:HZ	0.623
24	A:99:LEU:HD23	A:102:MET:HE1	0.622
24	A:27:ILE:HD11	A:58:ILE:HG12	0.621
24	A:134:ALA:HA	A:150:ILE:HD13	0.618
24	A:97:ALA:SG	A:158:TRP:CZ2	0.615
24	A:102:MET:HE3	A:111:VAL:CG1	0.606
24	A:138:TRP:HH2	A:149:VAL:HG11	0.601
24	A:26:THR:HG23	A:30:GLY:H	0.593
24	A:14:ARG:HG3	A:18:TYR:CG	0.587
24	A:6:MET:HG2	A:161:TYR:CE2	0.585

Model ID	Atom-1	Atom-2	Clash overlap (Å)
24	A:102:MET:HE3	A:111:VAL:HG11	0.585
24	A:79:LEU:HB3	A:85:LYS:HE2	0.581
24	A:77:GLY:HA3	A:103:VAL:HG11	0.580
24	A:130:ALA:HB3	A:154:ARG:CG	0.577
24	A:13:LEU:HD13	A:29:ILE:CD1	0.576
24	A:31:HIS:HB2	A:66:LEU:HD11	0.576
24	A:78:ILE:HD11	A:100:ILE:HA	0.569
24	A:28:GLY:HA2	A:63:ALA:HB1	0.567
24	A:27:ILE:HG21	A:46:LEU:HB2	0.559
24	A:78:ILE:HG22	A:84:LEU:HD22	0.557
24	A:27:ILE:HG12	A:46:LEU:HD13	0.554
24	A:121:LEU:CD2	A:126:TRP:HE3	0.554
24	A:130:ALA:HB1	A:150:ILE:HG22	0.540
24	A:94:VAL:HG22	A:158:TRP:CD1	0.538
24	A:14:ARG:HB2	A:18:TYR:CD1	0.537
24	A:6:MET:HE2	A:161:TYR:CE1	0.533
24	A:106:MET:HB2	A:138:TRP:CD2	0.532
24	A:27:ILE:HG22	A:33:LEU:HD21	0.523
24	A:139:TYR:HA	A:146:ALA:HB3	0.523
24	A:3:ILE:HB	A:97:ALA:SG	0.520
24	A:99:LEU:HD23	A:102:MET:CE	0.519
24	A:25:TYR:CG	A:34:THR:HG22	0.518
24	A:94:VAL:HG12	A:152:THR:CG2	0.513

Model ID	Atom-1	Atom-2	Clash overlap (Å)
24	A:88:TYR:HD1	A:99:LEU:CD1	0.510
24	A:2:ASN:H	A:5:GLU:HB2	0.508
24	A:99:LEU:CD2	A:153:PHE:CZ	0.508
24	A:13:LEU:HD11	A:63:ALA:CB	0.503
24	A:75:VAL:HG22	A:100:ILE:HG12	0.500
24	A:74:ALA:CB	A:100:ILE:HG23	0.499
24	A:78:ILE:CG2	A:84:LEU:HD22	0.498
24	A:25:TYR:CE1	A:39:LEU:HD13	0.493
24	A:5:GLU:HA	A:8:ARG:HG2	0.491
24	A:29:ILE:HG21	A:67:PHE:CE1	0.490
24	A:105:GLN:HB3	A:138:TRP:HE1	0.490
24	A:29:ILE:HD13	A:67:PHE:CD2	0.489
24	A:94:VAL:HG12	A:152:THR:HG23	0.486
24	A:102:MET:SD	A:133:LEU:HD11	0.480
24	A:141:GLN:O	A:143:PRO:HD3	0.480
24	A:121:LEU:CD2	A:126:TRP:CE3	0.479
24	A:6:MET:HE3	A:158:TRP:CZ3	0.478
24	A:88:TYR:HD1	A:99:LEU:HD13	0.478
24	A:29:ILE:HB	A:67:PHE:CD1	0.474
24	A:74:ALA:HB3	A:100:ILE:HG23	0.474
24	A:114:PHE:O	A:118:LEU:HD13	0.471
24	A:17:ILE:HG21	A:42:ALA:HB1	0.470
24	A:50:ILE:HG22	A:51:GLY:O	0.470

Model ID	Atom-1	Atom-2	Clash overlap (Å)
24	A:102:MET:SD	A:133:LEU:HD21	0.470
24	A:33:LEU:HD13	A:42:ALA:O	0.469
24	A:132:ASN:O	A:135:LYS:HG2	0.467
24	A:13:LEU:HD11	A:63:ALA:HB3	0.463
24	A:102:MET:HG2	A:111:VAL:CG2	0.459
24	A:15:LEU:HD21	A:60:LYS:HA	0.457
24	A:39:LEU:O	A:43:LYS:HB3	0.457
24	A:120:MET:SD	A:128:GLU:HB3	0.456
24	A:146:ALA:O	A:149:VAL:HB	0.456
24	A:12:GLY:O	A:29:ILE:HG13	0.455
24	A:99:LEU:HD23	A:153:PHE:CZ	0.453
24	A:127:ASP:O	A:131:VAL:HG23	0.451
24	A:102:MET:HA	A:138:TRP:CH2	0.448
24	A:10:ASP:OD1	A:148:ARG:NH2	0.447
24	A:27:ILE:CG2	A:33:LEU:HD21	0.445
24	A:6:MET:HG3	A:158:TRP:CZ3	0.444
24	A:78:ILE:HD13	A:88:TYR:CE1	0.439
24	A:5:GLU:O	A:8:ARG:HG2	0.438
24	A:6:MET:HE2	A:161:TYR:CD1	0.436
24	A:1:MET:HE1	A:9:ILE:HD11	0.432
24	A:106:MET:HB2	A:138:TRP:CE3	0.430
24	A:98:ALA:HB2	A:152:THR:HB	0.425
24	A:121:LEU:HD11	A:153:PHE:HE1	0.425

Model ID	Atom-1	Atom-2	Clash overlap (Å)
24	A:26:THR:HA	A:31:HIS:O	0.421
24	A:17:ILE:HD11	A:46:LEU:CD2	0.420
24	A:13:LEU:CD1	A:29:ILE:HD12	0.417
24	A:94:VAL:HG11	A:157:THR:C	0.416
24	A:13:LEU:HD13	A:29:ILE:HD12	0.410
24	A:6:MET:HG2	A:161:TYR:CZ	0.409
24	A:6:MET:SD	A:97:ALA:HB1	0.409
24	A:50:ILE:HB	A:54:THR:SG	0.407
24	A:78:ILE:HG21	A:88:TYR:CD1	0.405
24	A:24:TYR:HB2	A:32:LEU:CD1	0.404
24	A:102:MET:HB3	A:102:MET:HE2	0.404
24	A:7:LEU:O	A:11:GLU:HB2	0.403
24	A:139:TYR:HE1	A:147:LYS:HG3	0.403
24	A:130:ALA:HB1	A:150:ILE:CG2	0.400
25	A:1:MET:HG3	A:158:TRP:CE3	1.026
25	A:130:ALA:HB1	A:150:ILE:HG23	0.975
25	A:8:ARG:HG2	A:29:ILE:HG12	0.960
25	A:148:ARG:HB3	A:161:TYR:CE1	0.926
25	A:1:MET:HG3	A:158:TRP:HE3	0.883
25	A:4:PHE:CE1	A:71:VAL:HG21	0.859
25	A:24:TYR:HB3	A:32:LEU:HD13	0.837
25	A:130:ALA:CB	A:150:ILE:HG23	0.816
25	A:24:TYR:CB	A:32:LEU:HD13	0.785

Model ID	Atom-1	Atom-2	Clash overlap (Å)
25	A:34:THR:CG2	A:42:ALA:HB2	0.765
25	A:91:LEU:HD13	A:95:ARG:HB3	0.765
25	A:29:ILE:CD1	A:63:ALA:HB1	0.754
25	A:1:MET:HE1	A:9:ILE:HD12	0.749
25	A:7:LEU:HB3	A:67:PHE:HZ	0.748
25	A:120:MET:SD	A:128:GLU:HB2	0.742
25	A:138:TRP:HB3	A:146:ALA:HB2	0.731
25	A:1:MET:HG2	A:161:TYR:HB3	0.690
25	A:8:ARG:HG2	A:29:ILE:CG1	0.690
25	A:4:PHE:HE1	A:71:VAL:HG21	0.672
25	A:8:ARG:HG3	A:67:PHE:HE2	0.665
25	A:7:LEU:HB3	A:67:PHE:CZ	0.662
25	A:88:TYR:HD1	A:99:LEU:HD13	0.661
25	A:130:ALA:HB1	A:150:ILE:CG2	0.658
25	A:120:MET:HB3	A:125:ARG:HB2	0.651
25	A:29:ILE:HD11	A:63:ALA:HB1	0.650
25	A:29:ILE:HD12	A:63:ALA:HB1	0.640
25	A:14:ARG:HB2	A:18:TYR:CZ	0.620
25	A:34:THR:HG22	A:42:ALA:HB2	0.619
25	A:33:LEU:HB3	A:42:ALA:HB1	0.609
25	A:111:VAL:HG12	A:118:LEU:HD11	0.607
25	A:84:LEU:HG	A:108:GLU:HB3	0.606
25	A:105:GLN:HG3	A:138:TRP:CZ2	0.588

Model ID	Atom-1	Atom-2	Clash overlap (Å)
25	A:17:ILE:CD1	A:27:ILE:HD12	0.583
25	A:20:ASP:HB3	A:26:THR:HG21	0.571
25	A:46:LEU:HD11	A:58:ILE:CG2	0.563
25	A:24:TYR:HB3	A:32:LEU:CD1	0.561
25	A:15:LEU:HD13	A:57:VAL:HG13	0.532
25	A:94:VAL:HG22	A:158:TRP:HE1	0.526
25	A:88:TYR:HD1	A:99:LEU:CD1	0.520
25	A:3:ILE:HD13	A:97:ALA:HB1	0.507
25	A:148:ARG:HB3	A:161:TYR:CZ	0.498
25	A:63:ALA:O	A:67:PHE:HB2	0.496
25	A:73:ALA:O	A:76:ARG:HG2	0.494
25	A:27:ILE:HD13	A:46:LEU:CD2	0.491
25	A:40:ASN:O	A:43:LYS:HG3	0.489
25	A:78:ILE:HG13	A:103:VAL:HG11	0.487
25	A:120:MET:SD	A:128:GLU:CB	0.487
25	A:117:SER:HA	A:120:MET:SD	0.483
25	A:27:ILE:HB	A:33:LEU:HD13	0.481
25	A:46:LEU:HD11	A:58:ILE:HG23	0.477
25	A:34:THR:HG21	A:42:ALA:HB2	0.474
25	A:118:LEU:HD12	A:121:LEU:HD13	0.474
25	A:136:SER:OG	A:138:TRP:HB2	0.474
25	A:119:ARG:HH22	A:122:GLN:HG3	0.473
25	A:117:SER:O	A:120:MET:HB2	0.468

Model ID	Atom-1	Atom-2	Clash overlap (Å)
25	A:121:LEU:HD11	A:129:ALA:HB1	0.468
25	A:107:GLY:O	A:111:VAL:HG23	0.466
25	A:92:ASP:O	A:96:ARG:HG2	0.464
25	A:7:LEU:CB	A:67:PHE:HZ	0.464
25	A:3:ILE:HG23	A:4:PHE:CD2	0.463
25	A:84:LEU:HG	A:108:GLU:CB	0.460
25	A:29:ILE:HD13	A:67:PHE:CD2	0.457
25	A:118:LEU:HD23	A:121:LEU:HB2	0.456
25	A:112:ALA:HA	A:118:LEU:HG	0.454
25	A:91:LEU:HD12	A:99:LEU:CD1	0.451
25	A:99:LEU:CD2	A:102:MET:HE2	0.451
25	A:46:LEU:HD22	A:50:ILE:HB	0.450
25	A:129:ALA:O	A:133:LEU:HD23	0.447
25	A:102:MET:HA	A:138:TRP:CZ2	0.443
25	A:126:TRP:O	A:129:ALA:HB3	0.443
25	A:38:SER:O	A:41:ALA:HB3	0.441
25	A:68:ASN:O	A:72:ASP:HB2	0.441
25	A:46:LEU:CD2	A:50:ILE:HD13	0.440
25	A:67:PHE:CD1	A:71:VAL:HG23	0.440
25	A:8:ARG:CG	A:67:PHE:HE2	0.440
25	A:106:MET:HE1	A:133:LEU:O	0.439
25	A:81:ASN:ND2	A:84:LEU:HD13	0.438
25	A:97:ALA:HA	A:100:ILE:HD12	0.437

Model ID	Atom-1	Atom-2	Clash overlap (Å)
25	A:102:MET:HA	A:138:TRP:CH2	0.433
25	A:102:MET:HE3	A:111:VAL:HG11	0.431
25	A:71:VAL:O	A:75:VAL:HG23	0.429
25	A:84:LEU:CG	A:108:GLU:HB3	0.428
25	A:4:PHE:HE1	A:71:VAL:CG2	0.424
25	A:66:LEU:O	A:69:GLN:HB3	0.421
25	A:29:ILE:HG21	A:67:PHE:CZ	0.418
25	A:50:ILE:HD11	A:66:LEU:HD11	0.418
25	A:91:LEU:CD2	A:126:TRP:CH2	0.417
25	A:70:ASP:HB3	A:104:PHE:HE2	0.414
25	A:130:ALA:HB1	A:150:ILE:HG12	0.414
25	A:124:LYS:HG2	A:126:TRP:CZ2	0.413
25	A:46:LEU:HD21	A:58:ILE:HG21	0.411
25	A:6:MET:HB2	A:158:TRP:HZ3	0.409
25	A:128:GLU:H	A:128:GLU:HG2	0.409
25	A:6:MET:HG3	A:161:TYR:CE2	0.408
25	A:29:ILE:HG12	A:67:PHE:CE2	0.408
25	A:76:ARG:O	A:80:ARG:HB2	0.406
25	A:6:MET:HE1	A:98:ALA:HA	0.402
26	A:1:MET:HB3	A:158:TRP:HB3	1.172
26	A:58:ILE:HD13	A:63:ALA:HB2	1.131
26	A:78:ILE:HG13	A:103:VAL:HG21	0.996
26	A:148:ARG:HB2	A:161:TYR:CE1	0.899

Model ID	Atom-1	Atom-2	Clash overlap (Å)
26	A:50:ILE:HD13	A:66:LEU:HD12	0.892
26	A:88:TYR:HD1	A:99:LEU:HD13	0.879
26	A:7:LEU:HD11	A:104:PHE:CE1	0.856
26	A:1:MET:CB	A:158:TRP:HB3	0.839
26	A:29:ILE:HD13	A:67:PHE:CD2	0.822
26	A:78:ILE:HD11	A:100:ILE:HA	0.756
26	A:130:ALA:HB2	A:150:ILE:HG23	0.749
26	A:99:LEU:HD23	A:102:MET:CE	0.737
26	A:1:MET:HB3	A:158:TRP:CB	0.724
26	A:7:LEU:HD12	A:67:PHE:HE1	0.707
26	A:102:MET:HG3	A:138:TRP:HH2	0.706
26	A:6:MET:SD	A:158:TRP:HZ3	0.693
26	A:106:MET:HE2	A:111:VAL:HG22	0.692
26	A:114:PHE:CE1	A:133:LEU:HD22	0.676
26	A:102:MET:HG3	A:138:TRP:CH2	0.665
26	A:88:TYR:HD1	A:99:LEU:CD1	0.658
26	A:7:LEU:HD11	A:104:PHE:HE1	0.657
26	A:1:MET:HE3	A:161:TYR:HB3	0.655
26	A:106:MET:HE2	A:111:VAL:CG2	0.655
26	A:62:GLU:HA	A:65:LYS:HB2	0.647
26	A:138:TRP:HB3	A:146:ALA:HB2	0.642
26	A:102:MET:HE3	A:111:VAL:HG11	0.640
26	A:75:VAL:HA	A:78:ILE:HD12	0.638

Model ID	Atom-1	Atom-2	Clash overlap (Å)
26	A:43:LYS:HG3	A:56:GLY:HA3	0.637
26	A:87:VAL:HG12	A:122:GLN:HB2	0.631
26	A:99:LEU:HD23	A:102:MET:HE2	0.628
26	A:6:MET:SD	A:158:TRP:CZ3	0.625
26	A:64:GLU:HA	A:67:PHE:HB3	0.616
26	A:99:LEU:HD23	A:102:MET:HE1	0.607
26	A:88:TYR:CD1	A:99:LEU:HD13	0.604
26	A:20:ASP:HB3	A:26:THR:CG2	0.601
26	A:120:MET:SD	A:128:GLU:HB2	0.599
26	A:1:MET:SD	A:5:GLU:HB3	0.593
26	A:7:LEU:HD12	A:67:PHE:CE1	0.589
26	A:78:ILE:HG13	A:103:VAL:CG2	0.587
26	A:78:ILE:CG1	A:103:VAL:HG21	0.579
26	A:114:PHE:HE1	A:133:LEU:HD22	0.569
26	A:17:ILE:HG12	A:42:ALA:HB1	0.568
26	A:84:LEU:HD22	A:111:VAL:HG12	0.562
26	A:70:ASP:HB3	A:104:PHE:HE2	0.556
26	A:120:MET:SD	A:128:GLU:CB	0.556
26	A:33:LEU:HD22	A:45:GLU:HB3	0.554
26	A:148:ARG:HB2	A:161:TYR:CZ	0.549
26	A:50:ILE:CD1	A:66:LEU:HD12	0.545
26	A:58:ILE:HD13	A:63:ALA:CB	0.539
26	A:82:ALA:HA	A:85:LYS:HD3	0.536

Model ID	Atom-1	Atom-2	Clash overlap (Å)
26	A:6:MET:HG3	A:161:TYR:CZ	0.532
26	A:87:VAL:HG21	A:121:LEU:HB3	0.530
26	A:6:MET:HE3	A:161:TYR:CE1	0.527
26	A:1:MET:HG3	A:158:TRP:CE3	0.526
26	A:13:LEU:HD13	A:29:ILE:CD1	0.523
26	A:7:LEU:HD22	A:10:ASP:HB2	0.520
26	A:102:MET:SD	A:133:LEU:HD11	0.518
26	A:124:LYS:HB3	A:126:TRP:CZ2	0.514
26	A:7:LEU:HB3	A:67:PHE:CZ	0.513
26	A:130:ALA:HB2	A:150:ILE:CG2	0.513
26	A:67:PHE:O	A:71:VAL:HG23	0.502
26	A:7:LEU:HB3	A:67:PHE:CE1	0.499
26	A:5:GLU:O	A:8:ARG:HG3	0.499
26	A:13:LEU:HD13	A:29:ILE:HD11	0.498
26	A:102:MET:HE3	A:111:VAL:CG1	0.498
26	A:102:MET:SD	A:153:PHE:HE2	0.498
26	A:46:LEU:HD12	A:50:ILE:HG12	0.496
26	A:126:TRP:CD1	A:154:ARG:HA	0.495
26	A:46:LEU:HD11	A:58:ILE:CG2	0.493
26	A:18:TYR:CE1	A:26:THR:HG23	0.491
26	A:121:LEU:HD22	A:126:TRP:HE3	0.491
26	A:78:ILE:HG21	A:88:TYR:CE1	0.490
26	A:121:LEU:HD21	A:153:PHE:CD1	0.489

Model ID	Atom-1	Atom-2	Clash overlap (Å)
26	A:74:ALA:HB2	A:104:PHE:HB2	0.488
26	A:84:LEU:HD13	A:87:VAL:HB	0.487
26	A:105:GLN:HB3	A:138:TRP:CE2	0.485
26	A:3:ILE:O	A:6:MET:HB3	0.484
26	A:91:LEU:HD13	A:99:LEU:HD11	0.480
26	A:139:TYR:HE1	A:150:ILE:CD1	0.476
26	A:50:ILE:HG22	A:52:ARG:H	0.473
26	A:114:PHE:HB2	A:117:SER:HB2	0.473
26	A:84:LEU:CD2	A:111:VAL:HG12	0.469
26	A:117:SER:O	A:121:LEU:HB2	0.469
26	A:114:PHE:O	A:118:LEU:HD13	0.467
26	A:27:ILE:HD11	A:58:ILE:HG23	0.465
26	A:25:TYR:HB2	A:34:THR:O	0.463
26	A:126:TRP:CD1	A:154:ARG:HG2	0.463
26	A:50:ILE:HG21	A:54:THR:SG	0.462
26	A:117:SER:OG	A:132:ASN:HB2	0.462
26	A:18:TYR:CE1	A:26:THR:CG2	0.458
26	A:130:ALA:HB1	A:150:ILE:HD13	0.457
26	A:82:ALA:O	A:85:LYS:HG2	0.455
26	A:96:ARG:O	A:100:ILE:HG13	0.453
26	A:60:LYS:O	A:64:GLU:HG3	0.447
26	A:102:MET:SD	A:153:PHE:CE2	0.445
26	A:102:MET:CE	A:111:VAL:HG11	0.438

Model ID	Atom-1	Atom-2	Clash overlap (Å)
26	A:126:TRP:HA	A:129:ALA:HB3	0.438
26	A:7:LEU:HA	A:10:ASP:HB2	0.437
26	A:105:GLN:HB3	A:138:TRP:NE1	0.437
26	A:7:LEU:CD1	A:104:PHE:CE1	0.435
26	A:114:PHE:CE1	A:133:LEU:HA	0.435
26	A:106:MET:HB2	A:138:TRP:CZ2	0.434
26	A:46:LEU:HD22	A:56:GLY:HA2	0.432
26	A:58:ILE:H	A:58:ILE:HG13	0.430
26	A:88:TYR:CE1	A:96:ARG:HB2	0.429
26	A:91:LEU:HG	A:95:ARG:HB3	0.427
26	A:7:LEU:O	A:7:LEU:HD13	0.422
26	A:102:MET:HA	A:138:TRP:CH2	0.422
26	A:25:TYR:HE1	A:39:LEU:HD13	0.418
26	A:91:LEU:CD1	A:99:LEU:HD11	0.417
26	A:66:LEU:O	A:69:GLN:HB2	0.415
26	A:134:ALA:HA	A:139:TYR:HB2	0.413
26	A:19:LYS:HE2	A:25:TYR:CE2	0.411
26	A:101:ASN:O	A:105:GLN:HB2	0.409
26	A:126:TRP:HD1	A:154:ARG:HG2	0.408
26	A:105:GLN:C	A:138:TRP:HE1	0.407
26	A:117:SER:OG	A:129:ALA:HA	0.407
26	A:71:VAL:O	A:75:VAL:HG23	0.406
26	A:31:HIS:CE1	A:66:LEU:HD13	0.405

Model ID	Atom-1	Atom-2	Clash overlap (Å)
26	A:29:ILE:HD13	A:67:PHE:CG	0.404
26	A:98:ALA:HB2	A:152:THR:HB	0.404
26	A:15:LEU:HD23	A:16:LYS:HG2	0.402
26	A:27:ILE:HD13	A:46:LEU:HG	0.401
26	A:19:LYS:HE2	A:25:TYR:OH	0.400
27	A:120:MET:HG2	A:125:ARG:HB2	1.082
27	A:13:LEU:HD13	A:29:ILE:HG13	1.079
27	A:130:ALA:HB1	A:150:ILE:HG23	1.079
27	A:74:ALA:HB2	A:104:PHE:HD2	0.991
27	A:148:ARG:HB3	A:161:TYR:CE1	0.981
27	A:121:LEU:HD13	A:126:TRP:HZ3	0.862
27	A:130:ALA:HB1	A:150:ILE:CG2	0.860
27	A:120:MET:CG	A:125:ARG:HB2	0.856
27	A:120:MET:SD	A:128:GLU:HB2	0.839
27	A:105:GLN:HB3	A:138:TRP:CZ2	0.829
27	A:13:LEU:HD13	A:29:ILE:CG1	0.814
27	A:7:LEU:HD13	A:71:VAL:HG22	0.792
27	A:121:LEU:HD13	A:126:TRP:CZ3	0.781
27	A:74:ALA:HB2	A:104:PHE:CD2	0.769
27	A:29:ILE:HD13	A:67:PHE:CD2	0.759
27	A:88:TYR:HD1	A:99:LEU:HD13	0.754
27	A:78:ILE:HG12	A:103:VAL:HG21	0.743
27	A:15:LEU:HD22	A:57:VAL:HG13	0.729

Model ID	Atom-1	Atom-2	Clash overlap (Å)
27	A:88:TYR:CD1	A:99:LEU:HD13	0.686
27	A:88:TYR:HD1	A:99:LEU:CD1	0.668
27	A:130:ALA:CB	A:150:ILE:HG23	0.643
27	A:105:GLN:HB3	A:138:TRP:CE2	0.637
27	A:121:LEU:HD22	A:126:TRP:HE3	0.634
27	A:120:MET:HG2	A:125:ARG:CB	0.633
27	A:138:TRP:HE3	A:146:ALA:HA	0.617
27	A:91:LEU:CD1	A:99:LEU:HD11	0.603
27	A:27:ILE:HD13	A:46:LEU:HD22	0.584
27	A:15:LEU:HD22	A:57:VAL:CG1	0.580
27	A:46:LEU:HD21	A:58:ILE:HG23	0.568
27	A:19:LYS:HD3	A:25:TYR:CE2	0.566
27	A:99:LEU:HD23	A:102:MET:HE2	0.565
27	A:139:TYR:CD1	A:146:ALA:HB3	0.565
27	A:78:ILE:HG13	A:103:VAL:HG11	0.563
27	A:121:LEU:HD22	A:126:TRP:CE3	0.556
27	A:78:ILE:HD11	A:100:ILE:HA	0.544
27	A:124:LYS:HB3	A:126:TRP:CZ2	0.543
27	A:46:LEU:HD12	A:50:ILE:HG12	0.540
27	A:148:ARG:HD2	A:161:TYR:CE2	0.538
27	A:139:TYR:CD1	A:146:ALA:CB	0.532
27	A:136:SER:HB2	A:138:TRP:H	0.531
27	A:7:LEU:HD11	A:104:PHE:CZ	0.527

Model ID	Atom-1	Atom-2	Clash overlap (Å)
27	A:127:ASP:HA	A:154:ARG:HG2	0.526
27	A:84:LEU:CD1	A:88:TYR:HB2	0.521
27	A:126:TRP:HA	A:129:ALA:HB3	0.521
27	A:16:LYS:HG2	A:57:VAL:HG22	0.517
27	A:138:TRP:HB2	A:146:ALA:HB2	0.516
27	A:15:LEU:O	A:58:ILE:HG13	0.506
27	A:105:GLN:OE1	A:145:ARG:HG2	0.506
27	A:29:ILE:CD1	A:67:PHE:CD2	0.500
27	A:7:LEU:HB3	A:67:PHE:HZ	0.492
27	A:151:THR:HG21	A:160:ALA:HB1	0.491
27	A:27:ILE:HD11	A:58:ILE:HG12	0.490
27	A:78:ILE:CG1	A:103:VAL:HG21	0.490
27	A:7:LEU:HD11	A:104:PHE:CE1	0.483
27	A:101:ASN:O	A:105:GLN:HB2	0.483
27	A:16:LYS:HD3	A:57:VAL:HG22	0.479
27	A:129:ALA:O	A:133:LEU:HG	0.478
27	A:120:MET:SD	A:128:GLU:CB	0.478
27	A:114:PHE:O	A:117:SER:HB3	0.477
27	A:148:ARG:HD2	A:161:TYR:CZ	0.476
27	A:99:LEU:HD23	A:102:MET:CE	0.473
27	A:114:PHE:CE1	A:133:LEU:HD23	0.464
27	A:106:MET:SD	A:136:SER:HB3	0.464
27	A:121:LEU:HD21	A:153:PHE:CD1	0.463

Model ID	Atom-1	Atom-2	Clash overlap (Å)
27	A:114:PHE:O	A:118:LEU:HD23	0.459
27	A:71:VAL:O	A:74:ALA:HB3	0.458
27	A:91:LEU:HD13	A:99:LEU:HD11	0.457
27	A:105:GLN:C	A:138:TRP:HE1	0.451
27	A:117:SER:HB2	A:129:ALA:HA	0.442
27	A:127:ASP:O	A:131:VAL:HG23	0.438
27	A:114:PHE:CD2	A:132:ASN:HB3	0.437
27	A:22:GLU:HB3	A:24:TYR:CE2	0.436
27	A:144:ASN:OD1	A:147:LYS:HE3	0.436
27	A:138:TRP:CE3	A:146:ALA:HA	0.435
27	A:7:LEU:CD1	A:71:VAL:HG22	0.434
27	A:121:LEU:HD11	A:153:PHE:HE1	0.427
27	A:88:TYR:CD1	A:99:LEU:CD1	0.422
27	A:141:GLN:HG2	A:142:THR:HG23	0.420
27	A:121:LEU:HD21	A:153:PHE:CE1	0.417
27	A:23:GLY:HA3	A:24:TYR:CE1	0.416
27	A:47:ASP:HA	A:54:THR:SG	0.416
27	A:7:LEU:HA	A:7:LEU:HD22	0.412
27	A:136:SER:HB2	A:138:TRP:CG	0.406
27	A:95:ARG:HD3	A:126:TRP:CE3	0.405
28	A:7:LEU:HB3	A:67:PHE:HZ	1.035
28	A:11:GLU:HB2	A:29:ILE:HG23	1.007
28	A:7:LEU:HB3	A:67:PHE:CZ	1.006

Model ID	Atom-1	Atom-2	Clash overlap (Å)
28	A:1:MET:HE1	A:9:ILE:HD12	0.978
28	A:1:MET:SD	A:5:GLU:HB3	0.883
28	A:99:LEU:HD23	A:153:PHE:HZ	0.865
28	A:46:LEU:HD11	A:58:ILE:HG23	0.858
28	A:121:LEU:HD21	A:129:ALA:HB2	0.847
28	A:17:ILE:HG13	A:27:ILE:HD13	0.826
28	A:138:TRP:HH2	A:149:VAL:HG11	0.795
28	A:27:ILE:HG12	A:46:LEU:HD13	0.787
28	A:148:ARG:HB3	A:161:TYR:CE1	0.784
28	A:106:MET:SD	A:138:TRP:HE3	0.783
28	A:102:MET:HE3	A:111:VAL:HG13	0.775
28	A:27:ILE:HD13	A:46:LEU:HD22	0.759
28	A:19:LYS:HB2	A:23:GLY:HA2	0.755
28	A:14:ARG:HB3	A:18:TYR:CD1	0.754
28	A:11:GLU:CB	A:29:ILE:HG23	0.751
28	A:121:LEU:HD21	A:129:ALA:CB	0.737
28	A:106:MET:SD	A:138:TRP:CE3	0.727
28	A:13:LEU:HD13	A:29:ILE:CD1	0.705
28	A:50:ILE:HG21	A:62:GLU:HG3	0.693
28	A:13:LEU:HD11	A:63:ALA:CB	0.689
28	A:29:ILE:HD13	A:67:PHE:CG	0.689
28	A:11:GLU:HB2	A:29:ILE:CG2	0.688
28	A:138:TRP:CH2	A:149:VAL:HG11	0.670

Model ID	Atom-1	Atom-2	Clash overlap (Å)
28	A:15:LEU:HD11	A:60:LYS:HD3	0.664
28	A:50:ILE:HA	A:66:LEU:HB2	0.664
28	A:84:LEU:CD2	A:88:TYR:HB2	0.662
28	A:7:LEU:HD22	A:67:PHE:HE1	0.641
28	A:27:ILE:CD1	A:46:LEU:HD22	0.640
28	A:88:TYR:HD1	A:99:LEU:HD12	0.637
28	A:15:LEU:HD21	A:60:LYS:HA	0.631
28	A:8:ARG:HG3	A:29:ILE:HD11	0.629
28	A:102:MET:SD	A:133:LEU:HD21	0.625
28	A:97:ALA:CB	A:158:TRP:HH2	0.620
28	A:102:MET:HG2	A:111:VAL:HG22	0.619
28	A:102:MET:CE	A:111:VAL:HG13	0.609
28	A:46:LEU:CD1	A:58:ILE:HG23	0.604
28	A:99:LEU:HD23	A:153:PHE:CZ	0.603
28	A:8:ARG:HA	A:29:ILE:HG12	0.598
28	A:13:LEU:HD11	A:63:ALA:HB3	0.594
28	A:13:LEU:HD13	A:29:ILE:HD11	0.587
28	A:13:LEU:HD13	A:29:ILE:HD12	0.587
28	A:15:LEU:HD22	A:58:ILE:HG13	0.568
28	A:13:LEU:HD11	A:63:ALA:HB1	0.558
28	A:133:LEU:HB3	A:150:ILE:HG12	0.558
28	A:88:TYR:HD1	A:99:LEU:CD1	0.546
28	A:103:VAL:HG22	A:111:VAL:HG21	0.546

Model ID	Atom-1	Atom-2	Clash overlap (Å)
28	A:1:MET:HE1	A:9:ILE:CD1	0.544
28	A:77:GLY:HA3	A:103:VAL:HG11	0.544
28	A:121:LEU:CD2	A:129:ALA:HB2	0.541
28	A:16:LYS:HZ2	A:57:VAL:HG11	0.530
28	A:3:ILE:HB	A:97:ALA:SG	0.528
28	A:14:ARG:HG2	A:18:TYR:HB3	0.525
28	A:24:TYR:HB2	A:32:LEU:HD11	0.518
28	A:121:LEU:HD23	A:126:TRP:CE3	0.518
28	A:45:GLU:HA	A:48:LYS:HB3	0.517
28	A:29:ILE:HG21	A:67:PHE:CE1	0.516
28	A:102:MET:HE3	A:111:VAL:CG1	0.513
28	A:71:VAL:O	A:75:VAL:HG23	0.512
28	A:125:ARG:HD2	A:128:GLU:HG3	0.512
28	A:13:LEU:CD2	A:15:LEU:HD11	0.511
28	A:29:ILE:HD13	A:67:PHE:CD2	0.506
28	A:147:LYS:HA	A:150:ILE:HD12	0.505
28	A:42:ALA:O	A:46:LEU:HB3	0.504
28	A:121:LEU:CD2	A:126:TRP:CE3	0.501
28	A:58:ILE:HB	A:62:GLU:HB3	0.494
28	A:148:ARG:HB3	A:161:TYR:CD1	0.493
28	A:97:ALA:CB	A:158:TRP:CH2	0.489
28	A:130:ALA:HB1	A:150:ILE:HG22	0.489
28	A:134:ALA:HA	A:150:ILE:HD13	0.488

Model ID	Atom-1	Atom-2	Clash overlap (Å)
28	A:50:ILE:HA	A:66:LEU:HD12	0.485
28	A:99:LEU:CD2	A:153:PHE:HZ	0.483
28	A:7:LEU:HB3	A:67:PHE:CE1	0.481
28	A:97:ALA:HB1	A:158:TRP:HH2	0.481
28	A:87:VAL:HG21	A:122:GLN:HB2	0.480
28	A:13:LEU:CD1	A:63:ALA:HB1	0.477
28	A:7:LEU:CB	A:67:PHE:HZ	0.477
28	A:17:ILE:HG13	A:27:ILE:CD1	0.475
28	A:25:TYR:O	A:33:LEU:HB2	0.475
28	A:29:ILE:HB	A:67:PHE:CD1	0.474
28	A:98:ALA:HB2	A:152:THR:HG22	0.473
28	A:144:ASN:HA	A:147:LYS:HG2	0.470
28	A:75:VAL:HG22	A:100:ILE:HG12	0.467
28	A:17:ILE:HG21	A:42:ALA:HB1	0.466
28	A:47:ASP:HB2	A:56:GLY:HA2	0.465
28	A:13:LEU:HD22	A:60:LYS:HD3	0.463
28	A:112:ALA:O	A:118:LEU:HD11	0.463
28	A:74:ALA:HB3	A:100:ILE:CG2	0.462
28	A:99:LEU:O	A:103:VAL:HG23	0.459
28	A:1:MET:HB3	A:158:TRP:CG	0.458
28	A:102:MET:HA	A:138:TRP:CH2	0.455
28	A:121:LEU:CD2	A:126:TRP:HE3	0.455
28	A:25:TYR:CE1	A:39:LEU:CD1	0.452

Model ID	Atom-1	Atom-2	Clash overlap (Å)
28	A:91:LEU:HD11	A:99:LEU:HD11	0.450
28	A:97:ALA:SG	A:158:TRP:CZ2	0.450
28	A:148:ARG:HG2	A:161:TYR:HA	0.448
28	A:97:ALA:SG	A:158:TRP:HZ2	0.448
28	A:138:TRP:HZ2	A:149:VAL:HG21	0.446
28	A:24:TYR:HB2	A:32:LEU:CD1	0.445
28	A:139:TYR:CE1	A:147:LYS:HB3	0.445
28	A:94:VAL:HG22	A:158:TRP:NE1	0.438
28	A:109:THR:O	A:113:GLY:HA3	0.438
28	A:34:THR:HG23	A:36:SER:O	0.436
28	A:81:ASN:HB3	A:84:LEU:HB2	0.435
28	A:98:ALA:HB2	A:152:THR:CG2	0.435
28	A:126:TRP:HB3	A:153:PHE:O	0.421
28	A:27:ILE:HG13	A:58:ILE:HD11	0.420
28	A:127:ASP:O	A:131:VAL:HG23	0.416
28	A:70:ASP:HB3	A:104:PHE:CE2	0.413
28	A:88:TYR:CD1	A:99:LEU:HD12	0.413
28	A:75:VAL:HG12	A:79:LEU:HD23	0.411
28	A:148:ARG:HB3	A:161:TYR:CZ	0.409
28	A:78:ILE:HG13	A:103:VAL:HG21	0.407
28	A:18:TYR:CE1	A:26:THR:HG23	0.406
28	A:97:ALA:HB3	A:158:TRP:CH2	0.403
28	A:25:TYR:CE1	A:39:LEU:HD12	0.401

Model ID	Atom-1	Atom-2	Clash overlap (Å)
28	A:99:LEU:HA	A:102:MET:HE2	0.401
28	A:138:TRP:CZ2	A:149:VAL:HG21	0.401
28	A:136:SER:OG	A:138:TRP:HB3	0.400
29	A:81:ASN:HB3	A:84:LEU:HB2	1.009
29	A:24:TYR:HB3	A:32:LEU:HD13	0.999
29	A:46:LEU:HD22	A:50:ILE:HD13	0.962
29	A:120:MET:HB3	A:125:ARG:HB2	0.936
29	A:1:MET:HG3	A:158:TRP:CE3	0.918
29	A:46:LEU:HD11	A:58:ILE:HG23	0.916
29	A:105:GLN:HG3	A:138:TRP:CZ2	0.911
29	A:7:LEU:HB3	A:67:PHE:HZ	0.882
29	A:29:ILE:HD12	A:63:ALA:HB1	0.861
29	A:148:ARG:HB3	A:161:TYR:CE1	0.845
29	A:7:LEU:HB3	A:67:PHE:CZ	0.832
29	A:46:LEU:HD11	A:58:ILE:CG2	0.822
29	A:8:ARG:HG2	A:29:ILE:HG12	0.821
29	A:50:ILE:HD11	A:66:LEU:HD11	0.819
29	A:130:ALA:CB	A:150:ILE:HG23	0.807
29	A:24:TYR:HB3	A:32:LEU:CD1	0.805
29	A:130:ALA:HB1	A:150:ILE:HG23	0.798
29	A:8:ARG:HG3	A:67:PHE:HE2	0.785
29	A:81:ASN:CB	A:84:LEU:HB2	0.771
29	A:120:MET:SD	A:128:GLU:HB2	0.740

Model ID	Atom-1	Atom-2	Clash overlap (Å)
29	A:24:TYR:CB	A:32:LEU:HD13	0.727
29	A:29:ILE:HD13	A:67:PHE:CD2	0.716
29	A:111:VAL:HG12	A:118:LEU:HD11	0.715
29	A:29:ILE:CD1	A:63:ALA:HB1	0.688
29	A:46:LEU:CD2	A:50:ILE:HD13	0.680
29	A:99:LEU:HD23	A:102:MET:HE2	0.643
29	A:99:LEU:CD2	A:102:MET:HE2	0.642
29	A:138:TRP:HB3	A:146:ALA:HB2	0.640
29	A:70:ASP:HB3	A:104:PHE:HE2	0.634
29	A:8:ARG:HG2	A:29:ILE:CG1	0.630
29	A:105:GLN:HG3	A:138:TRP:HZ2	0.605
29	A:6:MET:HG3	A:161:TYR:CE2	0.602
29	A:7:LEU:HD13	A:67:PHE:HE1	0.576
29	A:120:MET:SD	A:128:GLU:CB	0.570
29	A:29:ILE:HG21	A:67:PHE:CZ	0.569
29	A:81:ASN:HB3	A:84:LEU:CB	0.564
29	A:6:MET:HG3	A:161:TYR:CZ	0.555
29	A:3:ILE:HD13	A:97:ALA:HB1	0.552
29	A:27:ILE:HG12	A:58:ILE:HD11	0.542
29	A:124:LYS:HE2	A:126:TRP:CH2	0.538
29	A:121:LEU:HD11	A:129:ALA:HB1	0.536
29	A:27:ILE:HG21	A:33:LEU:CD1	0.535
29	A:8:ARG:CG	A:67:PHE:HE2	0.533

Model ID	Atom-1	Atom-2	Clash overlap (Å)
29	A:27:ILE:HD11	A:58:ILE:HG12	0.530
29	A:130:ALA:HB1	A:150:ILE:CG2	0.530
29	A:91:LEU:CD2	A:126:TRP:CH2	0.524
29	A:6:MET:HE1	A:98:ALA:HA	0.519
29	A:103:VAL:HG22	A:108:GLU:HG3	0.515
29	A:148:ARG:HB3	A:161:TYR:CZ	0.513
29	A:17:ILE:HD13	A:27:ILE:HD12	0.506
29	A:105:GLN:HG3	A:138:TRP:CE2	0.498
29	A:118:LEU:HD23	A:121:LEU:HB2	0.498
29	A:102:MET:SD	A:133:LEU:HD11	0.497
29	A:50:ILE:HG22	A:54:THR:SG	0.489
29	A:91:LEU:HD12	A:99:LEU:HD12	0.489
29	A:121:LEU:CD1	A:129:ALA:HB1	0.478
29	A:130:ALA:HB1	A:150:ILE:HG12	0.472
29	A:91:LEU:HD21	A:126:TRP:CH2	0.471
29	A:136:SER:OG	A:138:TRP:HB2	0.469
29	A:17:ILE:CD1	A:27:ILE:HD12	0.462
29	A:14:ARG:HG2	A:18:TYR:CD2	0.461
29	A:78:ILE:HD11	A:103:VAL:HG21	0.452
29	A:94:VAL:HG13	A:158:TRP:CE2	0.451
29	A:129:ALA:O	A:133:LEU:HD23	0.451
29	A:83:LYS:O	A:86:PRO:HD2	0.450
29	A:70:ASP:HB3	A:104:PHE:CE2	0.449

Model ID	Atom-1	Atom-2	Clash overlap (Å)
29	A:15:LEU:HB2	A:58:ILE:O	0.448
29	A:102:MET:HE3	A:111:VAL:HG11	0.448
29	A:1:MET:HE3	A:161:TYR:HB3	0.447
29	A:14:ARG:HG2	A:18:TYR:CG	0.445
29	A:13:LEU:HD13	A:29:ILE:HG13	0.441
29	A:91:LEU:HD13	A:95:ARG:HB3	0.441
29	A:22:GLU:HB3	A:24:TYR:CD2	0.440
29	A:91:LEU:CD2	A:126:TRP:HH2	0.439
29	A:86:PRO:O	A:90:SER:HB3	0.435
29	A:1:MET:HE3	A:161:TYR:HD2	0.434
29	A:46:LEU:O	A:50:ILE:HB	0.434
29	A:102:MET:HA	A:138:TRP:CH2	0.431
29	A:7:LEU:CB	A:67:PHE:HZ	0.431
29	A:1:MET:HG2	A:161:TYR:HB3	0.429
29	A:101:ASN:O	A:105:GLN:HG2	0.422
29	A:12:GLY:O	A:29:ILE:HA	0.418
29	A:3:ILE:HG23	A:4:PHE:CD2	0.412
29	A:68:ASN:O	A:72:ASP:HB2	0.409
29	A:124:LYS:HE2	A:126:TRP:CZ2	0.407
29	A:82:ALA:O	A:85:LYS:HB3	0.406
29	A:14:ARG:HB3	A:18:TYR:CE1	0.401
30	A:148:ARG:HB3	A:161:TYR:CE1	0.942
30	A:7:LEU:HB3	A:67:PHE:CZ	0.935

Model ID	Atom-1	Atom-2	Clash overlap (Å)
30	A:102:MET:HE3	A:111:VAL:HG13	0.881
30	A:27:ILE:HD13	A:46:LEU:HD22	0.878
30	A:13:LEU:HD13	A:29:ILE:HD11	0.874
30	A:18:TYR:CE1	A:26:THR:HG22	0.867
30	A:7:LEU:HB3	A:67:PHE:HZ	0.865
30	A:15:LEU:HD22	A:58:ILE:HG13	0.860
30	A:133:LEU:HB3	A:150:ILE:HG12	0.803
30	A:13:LEU:HD13	A:29:ILE:CD1	0.758
30	A:121:LEU:HD23	A:126:TRP:CE3	0.751
30	A:121:LEU:HD23	A:126:TRP:HE3	0.748
30	A:88:TYR:HD1	A:99:LEU:CD1	0.745
30	A:27:ILE:HG12	A:46:LEU:HD13	0.740
30	A:1:MET:SD	A:5:GLU:HB3	0.730
30	A:106:MET:SD	A:138:TRP:CE3	0.725
30	A:13:LEU:HD11	A:63:ALA:CB	0.697
30	A:88:TYR:HD1	A:99:LEU:HD13	0.682
30	A:99:LEU:CD2	A:153:PHE:HZ	0.681
30	A:99:LEU:HD23	A:153:PHE:HZ	0.680
30	A:119:ARG:HA	A:122:GLN:HG2	0.680
30	A:102:MET:HE3	A:111:VAL:CG1	0.676
30	A:138:TRP:HH2	A:149:VAL:HG11	0.671
30	A:106:MET:SD	A:138:TRP:HE3	0.669
30	A:43:LYS:HA	A:46:LEU:HD23	0.667

Model ID	Atom-1	Atom-2	Clash overlap (Å)
30	A:27:ILE:CD1	A:46:LEU:HD22	0.664
30	A:97:ALA:SG	A:158:TRP:HZ2	0.659
30	A:47:ASP:HB2	A:56:GLY:HA2	0.657
30	A:50:ILE:HG13	A:58:ILE:HG21	0.657
30	A:102:MET:CE	A:111:VAL:HG13	0.657
30	A:77:GLY:HA3	A:103:VAL:HG11	0.656
30	A:25:TYR:CE1	A:39:LEU:HD13	0.654
30	A:6:MET:HG2	A:161:TYR:CE2	0.652
30	A:78:ILE:HD11	A:100:ILE:HA	0.647
30	A:102:MET:SD	A:133:LEU:HD21	0.645
30	A:134:ALA:HA	A:150:ILE:HD13	0.635
30	A:6:MET:HG3	A:158:TRP:HZ3	0.615
30	A:13:LEU:HD11	A:63:ALA:HB3	0.608
30	A:46:LEU:CD1	A:58:ILE:HG23	0.573
30	A:75:VAL:HG22	A:100:ILE:HG12	0.570
30	A:1:MET:SD	A:5:GLU:CB	0.566
30	A:6:MET:HG2	A:161:TYR:CZ	0.562
30	A:17:ILE:HG13	A:27:ILE:HD13	0.557
30	A:88:TYR:HD1	A:99:LEU:HD12	0.552
30	A:130:ALA:HB3	A:154:ARG:HG3	0.552
30	A:13:LEU:HD11	A:63:ALA:HB1	0.547
30	A:102:MET:HG2	A:111:VAL:HG22	0.542
30	A:84:LEU:HD22	A:88:TYR:HB2	0.538

Model ID	Atom-1	Atom-2	Clash overlap (Å)
30	A:99:LEU:CD2	A:153:PHE:CZ	0.533
30	A:24:TYR:HB2	A:32:LEU:HD11	0.532
30	A:46:LEU:HD11	A:58:ILE:HG23	0.530
30	A:97:ALA:SG	A:158:TRP:CZ2	0.525
30	A:15:LEU:CD2	A:58:ILE:HG13	0.523
30	A:74:ALA:HB3	A:100:ILE:CG2	0.523
30	A:106:MET:HE3	A:110:GLY:HA3	0.523
30	A:6:MET:HG3	A:158:TRP:CZ3	0.519
30	A:31:HIS:CE1	A:66:LEU:HD21	0.519
30	A:84:LEU:CD2	A:88:TYR:HB2	0.515
30	A:3:ILE:HB	A:97:ALA:SG	0.513
30	A:123:GLN:O	A:125:ARG:HG2	0.512
30	A:13:LEU:HA	A:29:ILE:HG13	0.509
30	A:11:GLU:CB	A:29:ILE:HG23	0.508
30	A:61:ASP:O	A:65:LYS:HG3	0.506
30	A:29:ILE:HD13	A:67:PHE:CD2	0.504
30	A:7:LEU:HB3	A:67:PHE:CE1	0.502
30	A:13:LEU:CD1	A:63:ALA:HB1	0.496
30	A:121:LEU:HD11	A:153:PHE:HE1	0.495
30	A:130:ALA:HB1	A:150:ILE:HG22	0.494
30	A:27:ILE:HG22	A:31:HIS:HB3	0.493
30	A:11:GLU:HB3	A:29:ILE:HG23	0.488
30	A:27:ILE:HD13	A:46:LEU:CD2	0.485

Model ID	Atom-1	Atom-2	Clash overlap (Å)
30	A:88:TYR:CD1	A:99:LEU:HD13	0.482
30	A:25:TYR:CE1	A:39:LEU:CD1	0.478
30	A:20:ASP:HB3	A:26:THR:OG1	0.476
30	A:102:MET:SD	A:133:LEU:HD11	0.475
30	A:102:MET:HA	A:138:TRP:CH2	0.473
30	A:29:ILE:HB	A:67:PHE:CD1	0.469
30	A:11:GLU:CD	A:145:ARG:HH21	0.468
30	A:42:ALA:O	A:46:LEU:HB3	0.467
30	A:121:LEU:HD11	A:153:PHE:CE1	0.464
30	A:18:TYR:CE1	A:26:THR:CG2	0.454
30	A:106:MET:HB2	A:138:TRP:CD2	0.454
30	A:106:MET:HB2	A:138:TRP:CE3	0.449
30	A:7:LEU:CB	A:67:PHE:HZ	0.447
30	A:75:VAL:O	A:79:LEU:HD23	0.443
30	A:34:THR:HG23	A:36:SER:O	0.441
30	A:26:THR:HA	A:31:HIS:O	0.439
30	A:102:MET:HG3	A:138:TRP:CZ3	0.438
30	A:41:ALA:O	A:45:GLU:HB2	0.437
30	A:27:ILE:CG2	A:33:LEU:HD21	0.433
30	A:137:ARG:HG3	A:141:GLN:OE1	0.433
30	A:78:ILE:H	A:78:ILE:HG13	0.428
30	A:66:LEU:O	A:69:GLN:HB2	0.424
30	A:138:TRP:CH2	A:149:VAL:HG11	0.424

Model ID	Atom-1	Atom-2	Clash overlap (Å)
30	A:91:LEU:CD1	A:99:LEU:HD11	0.423
30	A:155:THR:O	A:157:THR:HG23	0.421
30	A:16:LYS:O	A:27:ILE:HD12	0.420
30	A:29:ILE:HD13	A:67:PHE:CG	0.420
30	A:99:LEU:HD23	A:102:MET:CE	0.420
30	A:27:ILE:HG22	A:33:LEU:CD2	0.418
30	A:121:LEU:CD1	A:153:PHE:HE1	0.416
30	A:121:LEU:CD2	A:126:TRP:HE3	0.414
30	A:46:LEU:O	A:50:ILE:HG12	0.413
30	A:6:MET:CG	A:161:TYR:CE2	0.412
30	A:99:LEU:HD23	A:102:MET:HE1	0.404
30	A:74:ALA:HB3	A:100:ILE:HG22	0.403
30	A:24:TYR:HB2	A:32:LEU:CD1	0.401
30	A:130:ALA:HB1	A:150:ILE:CG2	0.401
31	A:130:ALA:HB1	A:150:ILE:HG23	1.080
31	A:13:LEU:HD13	A:29:ILE:HG13	0.926
31	A:130:ALA:HB1	A:150:ILE:CG2	0.850
31	A:105:GLN:HB3	A:138:TRP:CZ2	0.845
31	A:29:ILE:HD13	A:67:PHE:CD2	0.827
31	A:58:ILE:HD12	A:63:ALA:HB2	0.817
31	A:102:MET:HG2	A:111:VAL:HG22	0.807
31	A:88:TYR:HD1	A:99:LEU:HD13	0.806
31	A:78:ILE:HG23	A:84:LEU:HD12	0.802

Model ID	Atom-1	Atom-2	Clash overlap (Å)
31	A:18:TYR:CE1	A:26:THR:HG22	0.777
31	A:126:TRP:HB2	A:154:ARG:HA	0.768
31	A:13:LEU:HD13	A:29:ILE:CG1	0.764
31	A:130:ALA:CB	A:150:ILE:HG23	0.736
31	A:78:ILE:HG13	A:103:VAL:HG21	0.730
31	A:74:ALA:HB2	A:104:PHE:HD2	0.726
31	A:15:LEU:HD22	A:57:VAL:HG11	0.690
31	A:13:LEU:HD13	A:29:ILE:CD1	0.687
31	A:151:THR:HG21	A:160:ALA:CB	0.680
31	A:121:LEU:HD21	A:153:PHE:CD1	0.668
31	A:24:TYR:HB2	A:32:LEU:CD1	0.654
31	A:120:MET:HG2	A:125:ARG:HB3	0.654
31	A:88:TYR:CD1	A:99:LEU:HD13	0.639
31	A:46:LEU:HD21	A:58:ILE:HG23	0.638
31	A:121:LEU:HD22	A:126:TRP:HE3	0.638
31	A:6:MET:HG3	A:161:TYR:CZ	0.628
31	A:75:VAL:HA	A:78:ILE:HD12	0.619
31	A:120:MET:CG	A:125:ARG:HB3	0.601
31	A:91:LEU:HD13	A:99:LEU:HD11	0.597
31	A:105:GLN:HB3	A:138:TRP:CE2	0.595
31	A:121:LEU:HD13	A:126:TRP:HZ3	0.591
31	A:27:ILE:HD11	A:58:ILE:HG12	0.584
31	A:79:LEU:HD23	A:85:LYS:HD2	0.581

Model ID	Atom-1	Atom-2	Clash overlap (Å)
31	A:46:LEU:HD11	A:58:ILE:HG23	0.572
31	A:46:LEU:HD12	A:50:ILE:HG12	0.571
31	A:14:ARG:HB2	A:18:TYR:CD1	0.561
31	A:151:THR:HG21	A:160:ALA:HB3	0.558
31	A:25:TYR:CB	A:34:THR:HG23	0.553
31	A:102:MET:HE3	A:111:VAL:HG13	0.553
31	A:106:MET:SD	A:136:SER:HB3	0.550
31	A:71:VAL:HG13	A:100:ILE:HG21	0.526
31	A:27:ILE:CD1	A:46:LEU:HD22	0.525
31	A:120:MET:SD	A:128:GLU:CB	0.525
31	A:84:LEU:HD22	A:118:LEU:HD21	0.522
31	A:120:MET:SD	A:128:GLU:HB2	0.514
31	A:88:TYR:HD1	A:99:LEU:CD1	0.510
31	A:3:ILE:HB	A:97:ALA:SG	0.506
31	A:117:SER:HA	A:120:MET:HB2	0.506
31	A:121:LEU:HD22	A:126:TRP:CE3	0.506
31	A:25:TYR:HB3	A:34:THR:HG23	0.504
31	A:151:THR:CG2	A:160:ALA:HB3	0.502
31	A:84:LEU:HD11	A:99:LEU:HD22	0.501
31	A:105:GLN:HB3	A:138:TRP:HZ2	0.500
31	A:117:SER:HB2	A:129:ALA:HA	0.500
31	A:74:ALA:HB2	A:104:PHE:CD2	0.496
31	A:121:LEU:HD11	A:153:PHE:CE1	0.496

Model ID	Atom-1	Atom-2	Clash overlap (Å)
31	A:138:TRP:HA	A:145:ARG:HB3	0.496
31	A:17:ILE:HG21	A:25:TYR:CD1	0.495
31	A:47:ASP:OD1	A:53:ASN:HB2	0.494
31	A:130:ALA:O	A:150:ILE:HG12	0.488
31	A:141:GLN:HG2	A:142:THR:HG23	0.486
31	A:138:TRP:CB	A:146:ALA:HB2	0.483
31	A:8:ARG:HB2	A:29:ILE:HG12	0.482
31	A:14:ARG:HB2	A:18:TYR:CE1	0.482
31	A:114:PHE:HB3	A:117:SER:HB3	0.482
31	A:1:MET:HB3	A:158:TRP:CG	0.479
31	A:121:LEU:HD11	A:153:PHE:HE1	0.479
31	A:151:THR:HG21	A:160:ALA:HB1	0.479
31	A:120:MET:SD	A:125:ARG:HB3	0.478
31	A:129:ALA:O	A:133:LEU:HG	0.477
31	A:27:ILE:HD13	A:46:LEU:HD22	0.469
31	A:29:ILE:HB	A:67:PHE:CD1	0.462
31	A:58:ILE:HD12	A:63:ALA:CB	0.462
31	A:7:LEU:HD13	A:67:PHE:CE1	0.459
31	A:24:TYR:HB2	A:32:LEU:HD13	0.456
31	A:87:VAL:HG13	A:122:GLN:HB3	0.455
31	A:126:TRP:HA	A:129:ALA:HB3	0.450
31	A:91:LEU:CD1	A:99:LEU:HD11	0.446
31	A:120:MET:SD	A:128:GLU:HB3	0.445

Model ID	Atom-1	Atom-2	Clash overlap (Å)
31	A:43:LYS:HD3	A:56:GLY:C	0.440
31	A:114:PHE:O	A:118:LEU:HD13	0.435
31	A:52:ARG:HH22	A:54:THR:C	0.433
31	A:121:LEU:HD13	A:126:TRP:CZ3	0.432
31	A:13:LEU:HD13	A:29:ILE:HD11	0.428
31	A:124:LYS:HB2	A:126:TRP:NE1	0.428
31	A:138:TRP:CE3	A:146:ALA:HA	0.421
31	A:18:TYR:CE1	A:26:THR:CG2	0.419
31	A:15:LEU:H	A:15:LEU:HD13	0.418
31	A:24:TYR:HB2	A:32:LEU:HD11	0.416
31	A:33:LEU:HA	A:33:LEU:HD23	0.416
31	A:146:ALA:C	A:150:ILE:HD12	0.413
31	A:71:VAL:O	A:75:VAL:HG23	0.412
31	A:13:LEU:CD1	A:29:ILE:HD11	0.411
31	A:46:LEU:HD11	A:58:ILE:CG2	0.411
31	A:148:ARG:HB2	A:161:TYR:CZ	0.411
31	A:138:TRP:HB2	A:146:ALA:HB2	0.410
31	A:31:HIS:HA	A:70:ASP:OD1	0.410
31	A:24:TYR:CB	A:32:LEU:HD11	0.407
31	A:78:ILE:HG21	A:88:TYR:CD2	0.406
31	A:50:ILE:HG21	A:62:GLU:OE2	0.404
31	A:52:ARG:NH2	A:54:THR:HA	0.404
31	A:14:ARG:CB	A:18:TYR:CD1	0.403

Model ID	Atom-1	Atom-2	Clash overlap (Å)
31	A:138:TRP:HE3	A:146:ALA:HA	0.402
32	A:25:TYR:HE1	A:39:LEU:HD12	1.018
32	A:11:GLU:HB2	A:29:ILE:HG23	0.926
32	A:7:LEU:HB3	A:67:PHE:CZ	0.911
32	A:1:MET:SD	A:5:GLU:HB3	0.901
32	A:102:MET:HE3	A:111:VAL:HG13	0.892
32	A:7:LEU:HB3	A:67:PHE:HZ	0.859
32	A:13:LEU:HD13	A:29:ILE:HD11	0.848
32	A:25:TYR:CE1	A:39:LEU:HD12	0.817
32	A:27:ILE:HG12	A:46:LEU:HD13	0.803
32	A:46:LEU:HD11	A:58:ILE:HG23	0.795
32	A:27:ILE:HD13	A:46:LEU:HD22	0.789
32	A:148:ARG:HB3	A:161:TYR:CE1	0.784
32	A:18:TYR:CE1	A:26:THR:HG22	0.775
32	A:102:MET:HG2	A:111:VAL:HG22	0.756
32	A:14:ARG:HG2	A:18:TYR:HB3	0.754
32	A:11:GLU:HB2	A:29:ILE:CG2	0.752
32	A:130:ALA:CB	A:154:ARG:HG3	0.729
32	A:106:MET:SD	A:138:TRP:CE3	0.728
32	A:121:LEU:HD23	A:126:TRP:CE3	0.716
32	A:147:LYS:HA	A:150:ILE:HD12	0.706
32	A:15:LEU:HD11	A:60:LYS:HG2	0.705
32	A:84:LEU:CD2	A:88:TYR:HB2	0.704

Model ID	Atom-1	Atom-2	Clash overlap (Å)
32	A:15:LEU:HD21	A:60:LYS:HA	0.688
32	A:121:LEU:HD23	A:126:TRP:HE3	0.686
32	A:106:MET:SD	A:138:TRP:HE3	0.680
32	A:15:LEU:HD22	A:58:ILE:HG13	0.668
32	A:13:LEU:HD13	A:29:ILE:CD1	0.664
32	A:99:LEU:HD23	A:153:PHE:HZ	0.651
32	A:139:TYR:HE1	A:147:LYS:HB3	0.649
32	A:91:LEU:HD13	A:99:LEU:HD11	0.627
32	A:27:ILE:CD1	A:46:LEU:HD22	0.619
32	A:7:LEU:CB	A:67:PHE:HZ	0.613
32	A:121:LEU:CD2	A:126:TRP:HE3	0.609
32	A:33:LEU:HD12	A:45:GLU:HB3	0.588
32	A:25:TYR:HE1	A:39:LEU:CD1	0.588
32	A:103:VAL:HG22	A:111:VAL:HG21	0.582
32	A:46:LEU:CD1	A:58:ILE:HG23	0.576
32	A:6:MET:HE1	A:98:ALA:HA	0.567
32	A:17:ILE:HG12	A:42:ALA:HB1	0.567
32	A:102:MET:SD	A:133:LEU:HD21	0.553
32	A:148:ARG:HB3	A:161:TYR:CZ	0.552
32	A:14:ARG:HB3	A:18:TYR:CD1	0.550
32	A:125:ARG:HG3	A:128:GLU:HG3	0.546
32	A:43:LYS:HA	A:46:LEU:HD23	0.544
32	A:91:LEU:CD1	A:99:LEU:HD11	0.544

Model ID	Atom-1	Atom-2	Clash overlap (Å)
32	A:102:MET:CE	A:111:VAL:HG13	0.538
32	A:130:ALA:HB1	A:150:ILE:HG22	0.536
32	A:7:LEU:HB3	A:67:PHE:CE1	0.533
32	A:133:LEU:HB3	A:150:ILE:HG12	0.531
32	A:119:ARG:HA	A:122:GLN:HG2	0.530
32	A:29:ILE:HD13	A:67:PHE:CG	0.521
32	A:27:ILE:HG22	A:33:LEU:HD21	0.520
32	A:88:TYR:HD1	A:99:LEU:CD1	0.518
32	A:29:ILE:HG21	A:67:PHE:CE1	0.516
32	A:138:TRP:HH2	A:149:VAL:HG11	0.515
32	A:70:ASP:HB3	A:104:PHE:HE2	0.511
32	A:13:LEU:HD11	A:63:ALA:HB3	0.509
32	A:42:ALA:O	A:46:LEU:HB3	0.504
32	A:10:ASP:HB3	A:145:ARG:HG3	0.503
32	A:121:LEU:CD2	A:126:TRP:CE3	0.500
32	A:16:LYS:HD3	A:57:VAL:HG22	0.491
32	A:1:MET:HE1	A:9:ILE:HD12	0.489
32	A:88:TYR:HD1	A:99:LEU:HD12	0.483
32	A:84:LEU:HD13	A:118:LEU:HD22	0.480
32	A:134:ALA:HA	A:150:ILE:HD13	0.479
32	A:138:TRP:CH2	A:149:VAL:HG11	0.479
32	A:77:GLY:HA3	A:103:VAL:HG11	0.478
32	A:102:MET:HA	A:138:TRP:CH2	0.476

Model ID	Atom-1	Atom-2	Clash overlap (Å)
32	A:70:ASP:HB3	A:104:PHE:CE2	0.471
32	A:136:SER:OG	A:138:TRP:HB3	0.470
32	A:27:ILE:CG2	A:33:LEU:HD21	0.468
32	A:19:LYS:HB3	A:23:GLY:HA2	0.467
32	A:20:ASP:HB3	A:26:THR:OG1	0.457
32	A:91:LEU:HD13	A:99:LEU:CD1	0.451
32	A:6:MET:HG3	A:158:TRP:HZ3	0.450
32	A:1:MET:HE1	A:6:MET:HA	0.447
32	A:3:ILE:HG12	A:100:ILE:HD12	0.447
32	A:78:ILE:HG13	A:103:VAL:HG21	0.446
32	A:121:LEU:HD21	A:129:ALA:CB	0.446
32	A:46:LEU:O	A:50:ILE:HG12	0.443
32	A:85:LYS:O	A:89:ASP:HB2	0.443
32	A:130:ALA:HB1	A:150:ILE:CG2	0.441
32	A:15:LEU:O	A:58:ILE:HG12	0.437
32	A:108:GLU:CD	A:108:GLU:H	0.437
32	A:15:LEU:HB3	A:58:ILE:O	0.426
32	A:84:LEU:HD23	A:88:TYR:HB2	0.420
32	A:114:PHE:O	A:118:LEU:HG	0.420
32	A:78:ILE:CG1	A:103:VAL:HG21	0.417
32	A:1:MET:HE3	A:158:TRP:CE3	0.416
32	A:78:ILE:HG23	A:84:LEU:HD22	0.416
32	A:102:MET:HE3	A:111:VAL:CG1	0.416

Model ID	Atom-1	Atom-2	Clash overlap (Å)
32	A:26:THR:HA	A:31:HIS:O	0.415
32	A:35:LYS:HA	A:35:LYS:HD2	0.414
32	A:78:ILE:HD11	A:100:ILE:HA	0.413
32	A:13:LEU:HD11	A:63:ALA:CB	0.411
32	A:10:ASP:O	A:145:ARG:HD2	0.410
32	A:7:LEU:HD21	A:104:PHE:CD1	0.406
32	A:50:ILE:HD11	A:58:ILE:HG21	0.405
32	A:88:TYR:CD1	A:99:LEU:HD12	0.405
32	A:150:ILE:H	A:150:ILE:HG13	0.405
32	A:139:TYR:CE1	A:147:LYS:HB3	0.404
32	A:19:LYS:HA	A:24:TYR:O	0.403
32	A:130:ALA:HB3	A:154:ARG:HG3	0.402
33	A:25:TYR:HE1	A:39:LEU:HD13	1.027
33	A:7:LEU:HB3	A:67:PHE:CZ	1.023
33	A:121:LEU:HD11	A:153:PHE:HE1	0.980
33	A:84:LEU:HD22	A:88:TYR:HB2	0.943
33	A:25:TYR:CE1	A:39:LEU:HD13	0.936
33	A:7:LEU:HB3	A:67:PHE:HZ	0.917
33	A:11:GLU:HB3	A:29:ILE:HG23	0.890
33	A:78:ILE:CG2	A:84:LEU:HD21	0.873
33	A:78:ILE:HG23	A:84:LEU:HD21	0.818
33	A:15:LEU:HD22	A:58:ILE:HG13	0.817
33	A:91:LEU:HD12	A:99:LEU:HD11	0.809

Model ID	Atom-1	Atom-2	Clash overlap (Å)
33	A:78:ILE:HG12	A:103:VAL:HG21	0.805
33	A:27:ILE:HG12	A:46:LEU:HD13	0.799
33	A:148:ARG:HB3	A:161:TYR:CE1	0.798
33	A:102:MET:HE3	A:111:VAL:HG13	0.781
33	A:102:MET:HG2	A:111:VAL:HG22	0.762
33	A:27:ILE:HG22	A:33:LEU:HD21	0.745
33	A:6:MET:HG3	A:158:TRP:HZ3	0.723
33	A:84:LEU:CD2	A:88:TYR:HB2	0.720
33	A:91:LEU:CD1	A:99:LEU:HD11	0.706
33	A:99:LEU:HD23	A:153:PHE:CZ	0.700
33	A:27:ILE:HD13	A:46:LEU:HD22	0.698
33	A:109:THR:HA	A:112:ALA:HB3	0.696
33	A:106:MET:SD	A:138:TRP:CE3	0.691
33	A:43:LYS:HA	A:46:LEU:HD23	0.690
33	A:88:TYR:HD1	A:99:LEU:HD12	0.688
33	A:121:LEU:HD11	A:153:PHE:CE1	0.686
33	A:121:LEU:CD1	A:153:PHE:HE1	0.676
33	A:120:MET:SD	A:128:GLU:HB2	0.671
33	A:4:PHE:CE1	A:71:VAL:HG11	0.662
33	A:6:MET:HE1	A:98:ALA:HA	0.655
33	A:78:ILE:HD11	A:100:ILE:HA	0.650
33	A:46:LEU:HD11	A:58:ILE:HG23	0.643
33	A:99:LEU:HD23	A:153:PHE:HZ	0.641

Model ID	Atom-1	Atom-2	Clash overlap (Å)
33	A:133:LEU:HB3	A:150:ILE:HG12	0.626
33	A:138:TRP:CH2	A:149:VAL:HG11	0.620
33	A:1:MET:HB3	A:158:TRP:HB3	0.619
33	A:29:ILE:HD13	A:67:PHE:CG	0.618
33	A:84:LEU:HD22	A:88:TYR:CB	0.611
33	A:15:LEU:HD21	A:60:LYS:HA	0.608
33	A:15:LEU:CD2	A:58:ILE:HG13	0.604
33	A:1:MET:HE1	A:9:ILE:CD1	0.595
33	A:1:MET:HG3	A:158:TRP:CE3	0.593
33	A:17:ILE:HG13	A:27:ILE:HD13	0.587
33	A:88:TYR:HD1	A:99:LEU:CD1	0.584
33	A:1:MET:SD	A:5:GLU:HB3	0.581
33	A:130:ALA:HB2	A:154:ARG:HG3	0.577
33	A:120:MET:SD	A:128:GLU:CB	0.569
33	A:130:ALA:HB2	A:154:ARG:CG	0.567
33	A:13:LEU:HD21	A:60:LYS:HA	0.559
33	A:18:TYR:CE1	A:26:THR:HG23	0.559
33	A:11:GLU:HB3	A:29:ILE:CG2	0.555
33	A:102:MET:HE3	A:111:VAL:CG1	0.552
33	A:24:TYR:HB3	A:32:LEU:HD11	0.548
33	A:8:ARG:HG3	A:67:PHE:HE2	0.543
33	A:138:TRP:HH2	A:149:VAL:HG11	0.538
33	A:97:ALA:SG	A:158:TRP:CZ2	0.532

Model ID	Atom-1	Atom-2	Clash overlap (Å)
33	A:27:ILE:HB	A:33:LEU:HD11	0.529
33	A:142:THR:HB	A:145:ARG:HB3	0.526
33	A:8:ARG:HG3	A:67:PHE:CE2	0.521
33	A:148:ARG:HB3	A:161:TYR:CZ	0.515
33	A:125:ARG:HB3	A:128:GLU:HG3	0.511
33	A:97:ALA:SG	A:158:TRP:HZ2	0.506
33	A:42:ALA:O	A:46:LEU:HB3	0.500
33	A:99:LEU:CD2	A:153:PHE:CZ	0.499
33	A:133:LEU:HD13	A:150:ILE:HG12	0.496
33	A:7:LEU:HD21	A:104:PHE:CD1	0.495
33	A:19:LYS:HB3	A:23:GLY:HA2	0.495
33	A:13:LEU:HD11	A:63:ALA:HB3	0.491
33	A:75:VAL:HG12	A:79:LEU:HD23	0.490
33	A:81:ASN:OD1	A:84:LEU:HD13	0.485
33	A:14:ARG:HG2	A:18:TYR:HB3	0.484
33	A:4:PHE:CD1	A:71:VAL:HG11	0.483
33	A:7:LEU:HD22	A:67:PHE:HE1	0.482
33	A:78:ILE:CG1	A:103:VAL:HG21	0.481
33	A:13:LEU:HD13	A:29:ILE:HD11	0.477
33	A:29:ILE:HG21	A:67:PHE:CE1	0.476
33	A:13:LEU:CD1	A:29:ILE:HD11	0.472
33	A:15:LEU:HD11	A:60:LYS:HG2	0.471
33	A:47:ASP:HA	A:54:THR:SG	0.468

Model ID	Atom-1	Atom-2	Clash overlap (Å)
33	A:8:ARG:HH21	A:64:GLU:HB2	0.464
33	A:139:TYR:CE1	A:150:ILE:HD12	0.462
33	A:5:GLU:O	A:9:ILE:HD12	0.461
33	A:102:MET:HA	A:138:TRP:CH2	0.461
33	A:7:LEU:HD21	A:104:PHE:CG	0.458
33	A:88:TYR:CD1	A:99:LEU:HD12	0.457
33	A:13:LEU:HD12	A:63:ALA:HB1	0.456
33	A:46:LEU:O	A:50:ILE:HG12	0.452
33	A:27:ILE:CD1	A:46:LEU:HD22	0.450
33	A:132:ASN:OD1	A:135:LYS:HE3	0.449
33	A:7:LEU:HD22	A:67:PHE:CE1	0.446
33	A:138:TRP:CD1	A:146:ALA:HB2	0.441
33	A:14:ARG:HB3	A:18:TYR:CD1	0.439
33	A:70:ASP:HB3	A:104:PHE:CE2	0.438
33	A:121:LEU:HD22	A:126:TRP:CE3	0.435
33	A:121:LEU:HD23	A:129:ALA:HB1	0.434
33	A:139:TYR:HD1	A:146:ALA:HB3	0.432
33	A:3:ILE:HD13	A:97:ALA:HB1	0.426
33	A:4:PHE:CE1	A:71:VAL:CG1	0.426
33	A:61:ASP:O	A:65:LYS:HG3	0.426
33	A:151:THR:O	A:154:ARG:HB2	0.424
33	A:99:LEU:O	A:103:VAL:HG23	0.423
33	A:46:LEU:CD1	A:58:ILE:HG23	0.422

Model ID	Atom-1	Atom-2	Clash overlap (Å)
33	A:106:MET:HE3	A:114:PHE:HE1	0.421
33	A:105:GLN:OE1	A:145:ARG:HG2	0.421
33	A:6:MET:HG3	A:158:TRP:CZ3	0.419
33	A:4:PHE:HE1	A:71:VAL:CG1	0.416
33	A:117:SER:O	A:121:LEU:HB2	0.416
33	A:121:LEU:HD22	A:126:TRP:CZ3	0.411
33	A:50:ILE:HD11	A:58:ILE:HG21	0.409
33	A:74:ALA:O	A:78:ILE:HG13	0.409
33	A:63:ALA:O	A:67:PHE:HB2	0.408
33	A:1:MET:SD	A:5:GLU:CB	0.407
33	A:6:MET:HG2	A:161:TYR:CZ	0.405
33	A:66:LEU:O	A:69:GLN:HB3	0.404
33	A:16:LYS:HD3	A:57:VAL:CG2	0.403
34	A:130:ALA:HB1	A:150:ILE:HG23	1.148
34	A:13:LEU:HD13	A:29:ILE:HG13	1.069
34	A:141:GLN:HG2	A:142:THR:HG23	1.037
34	A:130:ALA:HB1	A:150:ILE:CG2	0.835
34	A:13:LEU:HD13	A:29:ILE:CG1	0.825
34	A:120:MET:HG2	A:125:ARG:HB2	0.810
34	A:120:MET:SD	A:128:GLU:HB2	0.784
34	A:7:LEU:HD11	A:71:VAL:CG2	0.779
34	A:87:VAL:HG11	A:122:GLN:CB	0.774
34	A:151:THR:HG21	A:160:ALA:CB	0.766

Model ID	Atom-1	Atom-2	Clash overlap (Å)
34	A:87:VAL:HG11	A:122:GLN:HB3	0.757
34	A:102:MET:HG2	A:111:VAL:HG22	0.755
34	A:130:ALA:CB	A:150:ILE:HG23	0.745
34	A:138:TRP:CB	A:146:ALA:HB2	0.727
34	A:91:LEU:HD11	A:121:LEU:HD12	0.720
34	A:97:ALA:SG	A:158:TRP:H22	0.714
34	A:78:ILE:HD11	A:100:ILE:HA	0.703
34	A:33:LEU:HD22	A:45:GLU:HB3	0.701
34	A:18:TYR:CE1	A:26:THR:HG22	0.700
34	A:7:LEU:HD11	A:71:VAL:HG22	0.681
34	A:138:TRP:HB3	A:146:ALA:HB2	0.678
34	A:99:LEU:HD23	A:102:MET:HE1	0.677
34	A:7:LEU:HD11	A:71:VAL:HG21	0.667
34	A:99:LEU:HD23	A:102:MET:CE	0.657
34	A:120:MET:HG2	A:125:ARG:CB	0.651
34	A:97:ALA:SG	A:158:TRP:C22	0.649
34	A:13:LEU:CD1	A:29:ILE:HG13	0.646
34	A:120:MET:CG	A:125:ARG:HB2	0.638
34	A:24:TYR:HB2	A:32:LEU:HD13	0.637
34	A:78:ILE:HG13	A:103:VAL:HG21	0.635
34	A:151:THR:HG21	A:160:ALA:HB3	0.619
34	A:78:ILE:CG1	A:103:VAL:HG21	0.610
34	A:91:LEU:CD1	A:121:LEU:HD12	0.609

Model ID	Atom-1	Atom-2	Clash overlap (Å)
34	A:121:LEU:HD13	A:126:TRP:HZ3	0.603
34	A:87:VAL:HG11	A:122:GLN:HB2	0.597
34	A:121:LEU:HD22	A:126:TRP:HE3	0.593
34	A:27:ILE:HD13	A:46:LEU:HD13	0.589
34	A:46:LEU:CD1	A:50:ILE:HG13	0.586
34	A:106:MET:SD	A:136:SER:HB3	0.580
34	A:75:VAL:HG22	A:100:ILE:HG12	0.570
34	A:46:LEU:HD12	A:50:ILE:CG1	0.568
34	A:50:ILE:HD11	A:66:LEU:HD12	0.567
34	A:121:LEU:HD22	A:126:TRP:CE3	0.553
34	A:74:ALA:HB2	A:104:PHE:HD2	0.547
34	A:138:TRP:HB2	A:146:ALA:HB2	0.540
34	A:50:ILE:CD1	A:66:LEU:HD12	0.539
34	A:46:LEU:HD12	A:50:ILE:HG13	0.535
34	A:94:VAL:HG12	A:152:THR:HG23	0.535
34	A:6:MET:HG3	A:161:TYR:CZ	0.527
34	A:120:MET:SD	A:128:GLU:CB	0.526
34	A:121:LEU:HD21	A:153:PHE:CD1	0.519
34	A:14:ARG:HB3	A:18:TYR:CD1	0.515
34	A:43:LYS:HA	A:46:LEU:HB3	0.515
34	A:121:LEU:HD13	A:126:TRP:CZ3	0.513
34	A:29:ILE:HD13	A:67:PHE:CD2	0.511
34	A:117:SER:HA	A:120:MET:HB2	0.511

Model ID	Atom-1	Atom-2	Clash overlap (Å)
34	A:75:VAL:HA	A:78:ILE:HD12	0.504
34	A:114:PHE:CE1	A:133:LEU:HD23	0.496
34	A:105:GLN:HB3	A:138:TRP:CZ2	0.492
34	A:3:ILE:O	A:6:MET:HB3	0.488
34	A:47:ASP:HA	A:54:THR:SG	0.485
34	A:105:GLN:C	A:138:TRP:HE1	0.484
34	A:3:ILE:HD13	A:97:ALA:O	0.483
34	A:136:SER:HB2	A:138:TRP:H	0.480
34	A:27:ILE:CD1	A:46:LEU:HD22	0.477
34	A:148:ARG:HB3	A:161:TYR:CE1	0.467
34	A:129:ALA:O	A:133:LEU:HG	0.465
34	A:18:TYR:CE1	A:26:THR:CG2	0.464
34	A:70:ASP:HB3	A:104:PHE:HE2	0.463
34	A:125:ARG:HB3	A:128:GLU:OE2	0.461
34	A:70:ASP:HB3	A:104:PHE:CE2	0.460
34	A:84:LEU:HD13	A:88:TYR:HB2	0.455
34	A:75:VAL:O	A:79:LEU:HD23	0.454
34	A:46:LEU:HD12	A:50:ILE:HG12	0.452
34	A:27:ILE:HD11	A:58:ILE:HG12	0.450
34	A:148:ARG:CB	A:161:TYR:CE1	0.450
34	A:114:PHE:O	A:117:SER:HB3	0.448
34	A:98:ALA:HB1	A:153:PHE:CD2	0.439
34	A:105:GLN:HB3	A:138:TRP:CE2	0.439

Model ID	Atom-1	Atom-2	Clash overlap (Å)
34	A:151:THR:CG2	A:160:ALA:HB3	0.439
34	A:13:LEU:HD11	A:63:ALA:CB	0.438
34	A:46:LEU:HD11	A:50:ILE:HG13	0.438
34	A:99:LEU:HD23	A:153:PHE:HZ	0.437
34	A:46:LEU:HG	A:54:THR:SG	0.435
34	A:7:LEU:HA	A:10:ASP:HB2	0.433
34	A:18:TYR:HE1	A:26:THR:HG22	0.433
34	A:136:SER:HB2	A:138:TRP:CG	0.426
34	A:6:MET:HG2	A:101:ASN:HD22	0.423
34	A:7:LEU:HA	A:10:ASP:OD2	0.422
34	A:24:TYR:CB	A:32:LEU:HD13	0.422
34	A:50:ILE:HG22	A:52:ARG:N	0.421
34	A:102:MET:HA	A:138:TRP:HH2	0.419
34	A:88:TYR:HE1	A:96:ARG:HA	0.417
34	A:14:ARG:HG2	A:18:TYR:HB3	0.415
34	A:8:ARG:HA	A:29:ILE:HG21	0.411
34	A:114:PHE:HB2	A:117:SER:HB3	0.411
34	A:46:LEU:HD11	A:58:ILE:HG21	0.410
34	A:144:ASN:HB2	A:148:ARG:HH11	0.409
34	A:62:GLU:HA	A:65:LYS:HD3	0.407
34	A:24:TYR:HB2	A:32:LEU:CD1	0.405
34	A:3:ILE:HB	A:97:ALA:HA	0.403
34	A:5:GLU:HA	A:8:ARG:HG2	0.403

Model ID	Atom-1	Atom-2	Clash overlap (Å)
34	A:13:LEU:HD11	A:63:ALA:HB3	0.402
34	A:87:VAL:CG1	A:122:GLN:HB3	0.402
34	A:13:LEU:HD13	A:29:ILE:CD1	0.400
35	A:130:ALA:HB1	A:150:ILE:HG23	1.138
35	A:81:ASN:HB3	A:84:LEU:HB2	1.021
35	A:7:LEU:HD13	A:67:PHE:HE1	0.919
35	A:8:ARG:HG3	A:67:PHE:HE2	0.917
35	A:105:GLN:HG3	A:138:TRP:CZ2	0.894
35	A:8:ARG:HG3	A:67:PHE:CE2	0.867
35	A:130:ALA:CB	A:150:ILE:HG23	0.837
35	A:99:LEU:HD23	A:102:MET:HE2	0.831
35	A:139:TYR:HE1	A:150:ILE:HD12	0.829
35	A:105:GLN:HG3	A:138:TRP:HZ2	0.825
35	A:7:LEU:HD11	A:104:PHE:CD1	0.795
35	A:7:LEU:HB3	A:67:PHE:CZ	0.776
35	A:78:ILE:HD11	A:103:VAL:HG21	0.775
35	A:102:MET:HE2	A:153:PHE:HZ	0.770
35	A:148:ARG:HB3	A:161:TYR:CE1	0.734
35	A:7:LEU:HD13	A:67:PHE:CE1	0.703
35	A:99:LEU:CD2	A:102:MET:HE2	0.692
35	A:139:TYR:HE1	A:150:ILE:CD1	0.691
35	A:7:LEU:HD11	A:104:PHE:CG	0.677
35	A:130:ALA:HB1	A:150:ILE:CG2	0.654

Model ID	Atom-1	Atom-2	Clash overlap (Å)
35	A:7:LEU:HB3	A:67:PHE:HZ	0.649
35	A:120:MET:HG2	A:125:ARG:HD2	0.645
35	A:14:ARG:HG2	A:18:TYR:CG	0.635
35	A:91:LEU:HD21	A:126:TRP:HH2	0.635
35	A:91:LEU:HD12	A:99:LEU:HD12	0.633
35	A:50:ILE:HG22	A:54:THR:SG	0.628
35	A:121:LEU:CD2	A:126:TRP:HZ3	0.626
35	A:27:ILE:HD13	A:46:LEU:HD23	0.621
35	A:46:LEU:HD22	A:50:ILE:HD12	0.593
35	A:78:ILE:HG21	A:88:TYR:CD2	0.587
35	A:6:MET:HG3	A:161:TYR:CE2	0.577
35	A:91:LEU:HD12	A:99:LEU:CD1	0.576
35	A:1:MET:HG2	A:161:TYR:HB3	0.574
35	A:121:LEU:HD12	A:129:ALA:HB1	0.574
35	A:50:ILE:CG2	A:54:THR:SG	0.572
35	A:121:LEU:HD22	A:126:TRP:HZ3	0.569
35	A:74:ALA:HB1	A:103:VAL:HG12	0.567
35	A:120:MET:HB3	A:125:ARG:HB3	0.564
35	A:139:TYR:CE1	A:150:ILE:HD12	0.560
35	A:27:ILE:HD13	A:46:LEU:CD2	0.558
35	A:13:LEU:HD13	A:29:ILE:HD11	0.552
35	A:8:ARG:CG	A:67:PHE:HE2	0.549
35	A:121:LEU:HD23	A:126:TRP:CZ3	0.541

Model ID	Atom-1	Atom-2	Clash overlap (Å)
35	A:1:MET:HE3	A:161:TYR:HD2	0.540
35	A:87:VAL:HG11	A:118:LEU:HD22	0.537
35	A:121:LEU:CD2	A:126:TRP:CZ3	0.534
35	A:29:ILE:HD12	A:63:ALA:HB1	0.533
35	A:17:ILE:CD1	A:27:ILE:HD12	0.521
35	A:29:ILE:HD13	A:67:PHE:CD2	0.517
35	A:46:LEU:HG	A:54:THR:SG	0.516
35	A:120:MET:SD	A:128:GLU:CB	0.511
35	A:120:MET:SD	A:128:GLU:HB2	0.511
35	A:121:LEU:CD1	A:129:ALA:HB1	0.507
35	A:67:PHE:HD1	A:71:VAL:CG2	0.505
35	A:6:MET:HG3	A:161:TYR:CZ	0.502
35	A:1:MET:HG3	A:158:TRP:CE3	0.500
35	A:32:LEU:C	A:33:LEU:HD12	0.497
35	A:52:ARG:HG2	A:54:THR:SG	0.497
35	A:1:MET:HB3	A:158:TRP:HB3	0.491
35	A:105:GLN:CG	A:138:TRP:CZ2	0.490
35	A:3:ILE:HG23	A:4:PHE:CD2	0.488
35	A:13:LEU:HD11	A:63:ALA:HB3	0.488
35	A:102:MET:SD	A:133:LEU:HD11	0.488
35	A:111:VAL:HG12	A:118:LEU:HD11	0.482
35	A:136:SER:HB2	A:138:TRP:HB2	0.479
35	A:67:PHE:HD1	A:71:VAL:HG23	0.477

Model ID	Atom-1	Atom-2	Clash overlap (Å)
35	A:78:ILE:CD1	A:103:VAL:HG21	0.477
35	A:121:LEU:HD12	A:129:ALA:CB	0.471
35	A:138:TRP:CZ3	A:149:VAL:HG11	0.471
35	A:88:TYR:HD1	A:99:LEU:CD1	0.467
35	A:14:ARG:HG2	A:18:TYR:CD1	0.465
35	A:39:LEU:O	A:43:LYS:HG3	0.465
35	A:139:TYR:CE1	A:150:ILE:CD1	0.458
35	A:91:LEU:CD2	A:126:TRP:HH2	0.458
35	A:34:THR:CG2	A:42:ALA:HB2	0.449
35	A:121:LEU:HD21	A:153:PHE:CE1	0.446
35	A:6:MET:HE1	A:98:ALA:HA	0.443
35	A:29:ILE:CD1	A:63:ALA:HB1	0.443
35	A:42:ALA:HA	A:45:GLU:HB3	0.443
35	A:46:LEU:CD2	A:50:ILE:HD12	0.440
35	A:43:LYS:HG2	A:56:GLY:HA3	0.439
35	A:148:ARG:HB3	A:161:TYR:CZ	0.438
35	A:15:LEU:HB2	A:58:ILE:O	0.434
35	A:62:GLU:O	A:65:LYS:HB2	0.432
35	A:129:ALA:O	A:133:LEU:HD23	0.431
35	A:7:LEU:HA	A:7:LEU:HD22	0.430
35	A:33:LEU:HB3	A:42:ALA:HB1	0.427
35	A:103:VAL:HG22	A:108:GLU:HG3	0.426
35	A:102:MET:SD	A:133:LEU:CD1	0.426

Model ID	Atom-1	Atom-2	Clash overlap (Å)
35	A:78:ILE:HD11	A:103:VAL:CG2	0.421
35	A:67:PHE:CD1	A:71:VAL:CG2	0.420
35	A:120:MET:SD	A:128:GLU:HB3	0.418
35	A:71:VAL:O	A:75:VAL:HG23	0.416
35	A:99:LEU:HD23	A:153:PHE:HZ	0.416
35	A:88:TYR:HD1	A:99:LEU:HD12	0.408
35	A:81:ASN:ND2	A:84:LEU:HD13	0.407
35	A:102:MET:CE	A:153:PHE:HZ	0.406
35	A:138:TRP:HZ3	A:149:VAL:HG11	0.404
35	A:14:ARG:HB3	A:18:TYR:CE1	0.401
35	A:67:PHE:CD1	A:71:VAL:HG21	0.401
35	A:99:LEU:HD23	A:153:PHE:CZ	0.401
36	A:102:MET:HE3	A:111:VAL:HG13	1.096
36	A:50:ILE:HG23	A:62:GLU:HG2	0.994
36	A:102:MET:HG2	A:111:VAL:HG22	0.968
36	A:88:TYR:HD1	A:99:LEU:HD13	0.924
36	A:138:TRP:HH2	A:149:VAL:HG11	0.916
36	A:11:GLU:HB2	A:29:ILE:CG2	0.833
36	A:102:MET:CE	A:111:VAL:HG13	0.811
36	A:138:TRP:CH2	A:149:VAL:HG11	0.810
36	A:106:MET:SD	A:138:TRP:HE3	0.769
36	A:121:LEU:HD22	A:126:TRP:CE3	0.755
36	A:102:MET:HE3	A:111:VAL:CG1	0.751

Model ID	Atom-1	Atom-2	Clash overlap (Å)
36	A:11:GLU:HB2	A:29:ILE:HG23	0.749
36	A:91:LEU:HD13	A:99:LEU:HD11	0.740
36	A:106:MET:SD	A:138:TRP:CE3	0.723
36	A:91:LEU:CD1	A:99:LEU:HD11	0.721
36	A:88:TYR:CD1	A:99:LEU:HD13	0.707
36	A:6:MET:HE2	A:161:TYR:CE1	0.705
36	A:50:ILE:CG2	A:62:GLU:HG2	0.698
36	A:99:LEU:HD23	A:102:MET:HE1	0.666
36	A:97:ALA:SG	A:158:TRP:HZ2	0.661
36	A:6:MET:HG2	A:161:TYR:CZ	0.659
36	A:121:LEU:HD23	A:129:ALA:CB	0.656
36	A:43:LYS:HA	A:46:LEU:HD23	0.653
36	A:13:LEU:CD2	A:15:LEU:HD11	0.645
36	A:1:MET:SD	A:5:GLU:HB2	0.639
36	A:99:LEU:HD23	A:102:MET:CE	0.638
36	A:14:ARG:HB2	A:18:TYR:CD1	0.630
36	A:121:LEU:HD23	A:129:ALA:HB1	0.622
36	A:97:ALA:SG	A:158:TRP:CZ2	0.614
36	A:78:ILE:HG21	A:88:TYR:CZ	0.613
36	A:106:MET:HG2	A:110:GLY:HA3	0.587
36	A:13:LEU:HD13	A:29:ILE:HD11	0.586
36	A:102:MET:HG3	A:138:TRP:CZ3	0.585
36	A:18:TYR:CE1	A:26:THR:HG22	0.574

Model ID	Atom-1	Atom-2	Clash overlap (Å)
36	A:11:GLU:HB2	A:29:ILE:HG22	0.570
36	A:3:ILE:CD1	A:6:MET:SD	0.566
36	A:20:ASP:HB3	A:26:THR:HG21	0.566
36	A:84:LEU:HG	A:88:TYR:HB2	0.562
36	A:102:MET:CG	A:111:VAL:HG22	0.562
36	A:46:LEU:HD13	A:58:ILE:CG2	0.555
36	A:121:LEU:HD22	A:126:TRP:HE3	0.555
36	A:133:LEU:HB3	A:150:ILE:HG12	0.552
36	A:130:ALA:HB3	A:154:ARG:HG3	0.547
36	A:77:GLY:HA3	A:103:VAL:HG11	0.537
36	A:99:LEU:CD2	A:153:PHE:CZ	0.537
36	A:1:MET:SD	A:5:GLU:CB	0.535
36	A:18:TYR:CE1	A:26:THR:CG2	0.532
36	A:15:LEU:HD22	A:58:ILE:HG13	0.526
36	A:121:LEU:CD2	A:126:TRP:CE3	0.524
36	A:78:ILE:HD13	A:88:TYR:CE1	0.522
36	A:3:ILE:HD12	A:6:MET:SD	0.521
36	A:78:ILE:HD11	A:100:ILE:HG13	0.520
36	A:78:ILE:HG23	A:84:LEU:CD2	0.518
36	A:121:LEU:HD11	A:153:PHE:HE1	0.517
36	A:121:LEU:HD23	A:129:ALA:HB2	0.516
36	A:50:ILE:HG23	A:62:GLU:CG	0.509
36	A:74:ALA:HB1	A:100:ILE:CG2	0.506

Model ID	Atom-1	Atom-2	Clash overlap (Å)
36	A:7:LEU:HB3	A:67:PHE:CE1	0.505
36	A:99:LEU:CD2	A:153:PHE:HZ	0.503
36	A:101:ASN:HB3	A:149:VAL:HG22	0.502
36	A:50:ILE:HD12	A:62:GLU:HB3	0.499
36	A:25:TYR:CE1	A:39:LEU:CD1	0.494
36	A:88:TYR:HD1	A:99:LEU:CD1	0.493
36	A:121:LEU:HD22	A:126:TRP:CZ3	0.492
36	A:98:ALA:HB2	A:152:THR:CG2	0.491
36	A:81:ASN:O	A:85:LYS:HG2	0.490
36	A:74:ALA:HB1	A:100:ILE:HG23	0.487
36	A:84:LEU:HD11	A:99:LEU:HD22	0.487
36	A:94:VAL:HG11	A:157:THR:C	0.487
36	A:99:LEU:HD21	A:153:PHE:CZ	0.486
36	A:34:THR:HG21	A:41:ALA:HB3	0.484
36	A:17:ILE:HG21	A:42:ALA:HB1	0.483
36	A:88:TYR:CD1	A:99:LEU:CD1	0.483
36	A:99:LEU:HD23	A:153:PHE:HZ	0.482
36	A:99:LEU:O	A:103:VAL:HG23	0.481
36	A:130:ALA:CB	A:154:ARG:HG3	0.481
36	A:1:MET:HE1	A:9:ILE:HD12	0.476
36	A:14:ARG:HD2	A:18:TYR:CD2	0.474
36	A:29:ILE:HD13	A:67:PHE:CG	0.470
36	A:6:MET:HG3	A:158:TRP:HZ3	0.469

Model ID	Atom-1	Atom-2	Clash overlap (Å)
36	A:3:ILE:HD13	A:6:MET:SD	0.468
36	A:6:MET:HG3	A:158:TRP:CZ3	0.468
36	A:42:ALA:O	A:46:LEU:HB3	0.463
36	A:127:ASP:O	A:131:VAL:HG23	0.463
36	A:29:ILE:HD13	A:67:PHE:CD2	0.459
36	A:1:MET:CG	A:158:TRP:CE3	0.458
36	A:102:MET:HG3	A:138:TRP:HZ3	0.457
36	A:78:ILE:HG21	A:88:TYR:CE1	0.453
36	A:94:VAL:HG22	A:158:TRP:CD1	0.453
36	A:6:MET:HG2	A:161:TYR:CE2	0.447
36	A:46:LEU:O	A:50:ILE:HG12	0.447
36	A:121:LEU:CD2	A:126:TRP:CZ3	0.447
36	A:19:LYS:HB3	A:23:GLY:HA2	0.444
36	A:74:ALA:HB2	A:104:PHE:HD2	0.444
36	A:31:HIS:HD2	A:33:LEU:HD22	0.442
36	A:82:ALA:O	A:86:PRO:HD3	0.442
36	A:2:ASN:OD1	A:5:GLU:HG3	0.440
36	A:29:ILE:HG21	A:67:PHE:CE1	0.439
36	A:12:GLY:O	A:29:ILE:HA	0.438
36	A:1:MET:HE2	A:161:TYR:HB3	0.434
36	A:78:ILE:CD1	A:100:ILE:HG13	0.432
36	A:13:LEU:HD21	A:15:LEU:HD11	0.431
36	A:41:ALA:O	A:45:GLU:HB2	0.430

Model ID	Atom-1	Atom-2	Clash overlap (Å)
36	A:1:MET:HA	A:5:GLU:OE2	0.429
36	A:3:ILE:HA	A:6:MET:HB2	0.429
36	A:98:ALA:HB2	A:152:THR:HG22	0.429
36	A:99:LEU:HD23	A:153:PHE:CZ	0.428
36	A:15:LEU:O	A:58:ILE:HG12	0.420
36	A:78:ILE:HD11	A:100:ILE:N	0.420
36	A:46:LEU:HD13	A:58:ILE:HG23	0.418
36	A:70:ASP:HB3	A:104:PHE:HE2	0.417
36	A:70:ASP:HB3	A:104:PHE:CE2	0.416
36	A:67:PHE:O	A:71:VAL:HG23	0.414
36	A:138:TRP:CZ2	A:149:VAL:HG21	0.409
36	A:19:LYS:HA	A:24:TYR:O	0.409
36	A:46:LEU:HD21	A:56:GLY:O	0.408
36	A:102:MET:HG2	A:111:VAL:CG2	0.406
36	A:13:LEU:HD13	A:29:ILE:CD1	0.405
36	A:130:ALA:HB1	A:150:ILE:HG22	0.405
36	A:1:MET:HG2	A:158:TRP:CE3	0.404
36	A:1:MET:HG3	A:158:TRP:CE3	0.404
36	A:87:VAL:HG22	A:122:GLN:HB2	0.401
36	A:121:LEU:CD2	A:129:ALA:HB2	0.401
37	A:58:ILE:HD13	A:63:ALA:HB2	1.050
37	A:50:ILE:HD12	A:66:LEU:HD12	0.879
37	A:88:TYR:HD1	A:99:LEU:HD12	0.863

Model ID	Atom-1	Atom-2	Clash overlap (Å)
37	A:58:ILE:CD1	A:63:ALA:HB2	0.846
37	A:3:ILE:HD12	A:6:MET:SD	0.830
37	A:29:ILE:HD13	A:67:PHE:CD2	0.815
37	A:148:ARG:HB2	A:161:TYR:CE1	0.797
37	A:70:ASP:HB3	A:104:PHE:HE2	0.793
37	A:124:LYS:HB3	A:126:TRP:CZ2	0.768
37	A:78:ILE:HG13	A:103:VAL:HG21	0.733
37	A:138:TRP:HB3	A:146:ALA:HB2	0.730
37	A:88:TYR:HD1	A:99:LEU:CD1	0.727
37	A:78:ILE:CG1	A:103:VAL:HG21	0.701
37	A:130:ALA:HB2	A:150:ILE:HG23	0.696
37	A:15:LEU:CD2	A:16:LYS:HG2	0.694
37	A:88:TYR:CD1	A:99:LEU:HD12	0.688
37	A:6:MET:HE3	A:161:TYR:CE1	0.686
37	A:1:MET:HB3	A:158:TRP:CG	0.681
37	A:13:LEU:HD11	A:63:ALA:HB3	0.670
37	A:25:TYR:HD1	A:42:ALA:HB2	0.652
37	A:15:LEU:HD23	A:16:LYS:HG2	0.651
37	A:1:MET:HE1	A:9:ILE:HD12	0.642
37	A:120:MET:HB3	A:125:ARG:HB2	0.633
37	A:50:ILE:CD1	A:66:LEU:HD12	0.627
37	A:27:ILE:HD13	A:46:LEU:HG	0.626
37	A:87:VAL:CG2	A:121:LEU:HB3	0.616

Model ID	Atom-1	Atom-2	Clash overlap (Å)
37	A:1:MET:HB3	A:158:TRP:HB3	0.614
37	A:75:VAL:HA	A:78:ILE:HD12	0.610
37	A:46:LEU:HD12	A:50:ILE:HG12	0.609
37	A:66:LEU:HD23	A:69:GLN:HG3	0.599
37	A:27:ILE:HG23	A:31:HIS:HB3	0.591
37	A:99:LEU:HD23	A:153:PHE:CZ	0.587
37	A:7:LEU:HB3	A:67:PHE:HZ	0.559
37	A:84:LEU:HG	A:118:LEU:HD21	0.553
37	A:15:LEU:HD12	A:57:VAL:HG13	0.551
37	A:20:ASP:HB3	A:26:THR:CG2	0.546
37	A:54:THR:SG	A:58:ILE:HG22	0.546
37	A:106:MET:HE1	A:133:LEU:HD22	0.543
37	A:27:ILE:HG13	A:58:ILE:HG12	0.537
37	A:6:MET:CE	A:161:TYR:CE1	0.529
37	A:99:LEU:CD2	A:153:PHE:CZ	0.528
37	A:121:LEU:HD21	A:153:PHE:CE1	0.525
37	A:29:ILE:HD13	A:67:PHE:CG	0.524
37	A:87:VAL:HG21	A:121:LEU:HB3	0.518
37	A:120:MET:SD	A:128:GLU:CB	0.514
37	A:27:ILE:CG2	A:31:HIS:HB3	0.513
37	A:50:ILE:HG23	A:66:LEU:HD12	0.513
37	A:6:MET:SD	A:158:TRP:CZ3	0.511
37	A:3:ILE:HD11	A:101:ASN:HB2	0.506

Model ID	Atom-1	Atom-2	Clash overlap (Å)
37	A:7:LEU:HA	A:10:ASP:HB2	0.506
37	A:139:TYR:HE1	A:150:ILE:CD1	0.506
37	A:1:MET:HB3	A:158:TRP:CB	0.504
37	A:148:ARG:HG3	A:161:TYR:CZ	0.504
37	A:3:ILE:HD13	A:97:ALA:SG	0.502
37	A:67:PHE:O	A:71:VAL:HG23	0.501
37	A:121:LEU:HD22	A:126:TRP:HE3	0.498
37	A:11:GLU:HB3	A:29:ILE:HG23	0.497
37	A:6:MET:SD	A:158:TRP:HZ3	0.495
37	A:7:LEU:HB3	A:67:PHE:CZ	0.494
37	A:1:MET:CB	A:158:TRP:HB3	0.492
37	A:71:VAL:O	A:75:VAL:HG23	0.479
37	A:27:ILE:CG1	A:58:ILE:HG12	0.476
37	A:91:LEU:CD1	A:99:LEU:HD11	0.476
37	A:129:ALA:O	A:133:LEU:HG	0.475
37	A:7:LEU:CD2	A:104:PHE:CD1	0.474
37	A:27:ILE:HD11	A:58:ILE:HG23	0.471
37	A:4:PHE:CE1	A:68:ASN:HA	0.470
37	A:91:LEU:HG	A:95:ARG:HB3	0.469
37	A:14:ARG:HG3	A:18:TYR:CE1	0.468
37	A:93:ALA:O	A:96:ARG:HG3	0.468
37	A:14:ARG:HB2	A:18:TYR:CD1	0.467
37	A:7:LEU:HD21	A:104:PHE:HD1	0.466

Model ID	Atom-1	Atom-2	Clash overlap (Å)
37	A:1:MET:HB3	A:158:TRP:CD2	0.464
37	A:120:MET:SD	A:128:GLU:HB3	0.462
37	A:7:LEU:HD21	A:104:PHE:CD1	0.457
37	A:78:ILE:HG12	A:103:VAL:HG21	0.457
37	A:13:LEU:HG	A:29:ILE:HD11	0.455
37	A:78:ILE:HD11	A:100:ILE:HA	0.455
37	A:102:MET:HA	A:138:TRP:CH2	0.455
37	A:95:ARG:HG3	A:156:GLY:HA2	0.454
37	A:97:ALA:HA	A:100:ILE:HD12	0.453
37	A:20:ASP:HB3	A:26:THR:HG22	0.452
37	A:102:MET:HE3	A:111:VAL:HG11	0.452
37	A:114:PHE:O	A:118:LEU:HD13	0.452
37	A:121:LEU:HD13	A:126:TRP:HZ3	0.451
37	A:99:LEU:HA	A:102:MET:HB3	0.449
37	A:3:ILE:HD13	A:97:ALA:HB1	0.448
37	A:105:GLN:HB3	A:138:TRP:NE1	0.447
37	A:5:GLU:HA	A:8:ARG:HG2	0.444
37	A:117:SER:O	A:121:LEU:HB2	0.443
37	A:25:TYR:CE1	A:39:LEU:HD13	0.442
37	A:77:GLY:O	A:80:ARG:HG3	0.441
37	A:88:TYR:CE1	A:96:ARG:HB2	0.440
37	A:101:ASN:O	A:105:GLN:HB2	0.439
37	A:13:LEU:HD11	A:63:ALA:CB	0.437

Model ID	Atom-1	Atom-2	Clash overlap (Å)
37	A:20:ASP:HB3	A:26:THR:HG21	0.436
37	A:7:LEU:HD12	A:67:PHE:HE1	0.431
37	A:105:GLN:HB3	A:138:TRP:CE2	0.431
37	A:105:GLN:OE1	A:145:ARG:HG2	0.431
37	A:121:LEU:HD21	A:153:PHE:HE1	0.430
37	A:84:LEU:HD13	A:87:VAL:HB	0.428
37	A:7:LEU:HD23	A:104:PHE:CD1	0.420
37	A:106:MET:HB2	A:138:TRP:CZ2	0.418
37	A:87:VAL:HG23	A:121:LEU:HB3	0.418
37	A:15:LEU:HD21	A:16:LYS:HG2	0.417
37	A:114:PHE:HB2	A:117:SER:HB3	0.417
37	A:67:PHE:O	A:70:ASP:HB2	0.415
37	A:114:PHE:CE1	A:133:LEU:HD23	0.413
37	A:139:TYR:HE1	A:150:ILE:HD12	0.411
37	A:81:ASN:O	A:85:LYS:HB2	0.409
37	A:7:LEU:HD12	A:67:PHE:CE1	0.407
37	A:130:ALA:CB	A:150:ILE:HG23	0.407
37	A:136:SER:OG	A:138:TRP:HB2	0.402
38	A:1:MET:HB3	A:158:TRP:HB3	1.102
38	A:78:ILE:HG12	A:103:VAL:HG21	1.075
38	A:130:ALA:HB1	A:150:ILE:HG23	0.979
38	A:87:VAL:CG2	A:121:LEU:HB3	0.868
38	A:120:MET:SD	A:128:GLU:HB3	0.847

Model ID	Atom-1	Atom-2	Clash overlap (Å)
38	A:148:ARG:HB2	A:161:TYR:CE1	0.844
38	A:78:ILE:CG1	A:103:VAL:HG21	0.835
38	A:71:VAL:HG13	A:100:ILE:HG21	0.832
38	A:13:LEU:HD13	A:29:ILE:CD1	0.822
38	A:7:LEU:HD13	A:67:PHE:CE1	0.817
38	A:120:MET:HB3	A:125:ARG:HB3	0.792
38	A:130:ALA:CB	A:150:ILE:HG23	0.785
38	A:15:LEU:HD12	A:57:VAL:HG13	0.771
38	A:29:ILE:HD13	A:67:PHE:CD2	0.766
38	A:13:LEU:HD13	A:29:ILE:HD11	0.762
38	A:66:LEU:HD22	A:69:GLN:HG3	0.750
38	A:121:LEU:HD22	A:126:TRP:HE3	0.746
38	A:1:MET:CB	A:158:TRP:HB3	0.746
38	A:58:ILE:HD12	A:63:ALA:HB2	0.726
38	A:88:TYR:HD1	A:99:LEU:HD13	0.726
38	A:7:LEU:HD13	A:67:PHE:HE1	0.723
38	A:130:ALA:HB1	A:150:ILE:CG2	0.719
38	A:88:TYR:HD1	A:99:LEU:CD1	0.710
38	A:138:TRP:HB3	A:146:ALA:HB2	0.704
38	A:6:MET:SD	A:158:TRP:HZ3	0.682
38	A:8:ARG:HD3	A:13:LEU:HG	0.644
38	A:1:MET:HB3	A:158:TRP:CB	0.643
38	A:1:MET:HE3	A:161:TYR:HB3	0.639

Model ID	Atom-1	Atom-2	Clash overlap (Å)
38	A:27:ILE:HD13	A:46:LEU:HG	0.638
38	A:84:LEU:HD13	A:87:VAL:HB	0.638
38	A:17:ILE:HG23	A:39:LEU:HD12	0.637
38	A:87:VAL:HG23	A:121:LEU:HB3	0.633
38	A:91:LEU:CD1	A:99:LEU:HD11	0.628
38	A:7:LEU:CD1	A:67:PHE:HE1	0.625
38	A:121:LEU:HD22	A:126:TRP:CE3	0.606
38	A:15:LEU:CD1	A:57:VAL:HG13	0.596
38	A:29:ILE:HD13	A:67:PHE:CG	0.594
38	A:99:LEU:CD2	A:102:MET:HE2	0.593
38	A:99:LEU:HA	A:102:MET:HB3	0.593
38	A:102:MET:SD	A:153:PHE:HE2	0.585
38	A:112:ALA:HA	A:118:LEU:HD11	0.584
38	A:27:ILE:HD11	A:58:ILE:HG23	0.582
38	A:120:MET:SD	A:128:GLU:CB	0.569
38	A:114:PHE:HB2	A:117:SER:HB2	0.564
38	A:6:MET:SD	A:158:TRP:CZ3	0.559
38	A:102:MET:SD	A:153:PHE:CE2	0.557
38	A:6:MET:HE3	A:161:TYR:CE1	0.556
38	A:3:ILE:HB	A:97:ALA:HB1	0.542
38	A:6:MET:HG3	A:161:TYR:CZ	0.537
38	A:43:LYS:HD3	A:56:GLY:C	0.535
38	A:87:VAL:HG23	A:121:LEU:C	0.534

Model ID	Atom-1	Atom-2	Clash overlap (Å)
38	A:79:LEU:HD11	A:88:TYR:CE2	0.532
38	A:148:ARG:HB2	A:161:TYR:HE1	0.522
38	A:27:ILE:HG23	A:31:HIS:HB3	0.518
38	A:82:ALA:HA	A:85:LYS:HB3	0.513
38	A:91:LEU:HG	A:95:ARG:HD3	0.512
38	A:99:LEU:HD22	A:102:MET:HE2	0.508
38	A:87:VAL:HG12	A:122:GLN:HB2	0.505
38	A:91:LEU:HG	A:95:ARG:HB3	0.505
38	A:84:LEU:HD22	A:112:ALA:HB2	0.503
38	A:4:PHE:CE1	A:71:VAL:HG21	0.502
38	A:17:ILE:HD12	A:27:ILE:HB	0.502
38	A:71:VAL:O	A:75:VAL:HG23	0.502
38	A:33:LEU:HD21	A:45:GLU:HB3	0.499
38	A:58:ILE:CD1	A:63:ALA:HB2	0.494
38	A:70:ASP:HB3	A:104:PHE:CE2	0.487
38	A:27:ILE:HG21	A:46:LEU:HD13	0.485
38	A:60:LYS:O	A:64:GLU:HG2	0.484
38	A:138:TRP:CH2	A:149:VAL:HG11	0.484
38	A:148:ARG:CB	A:161:TYR:CE1	0.484
38	A:1:MET:HG3	A:158:TRP:CE3	0.483
38	A:13:LEU:HA	A:29:ILE:HG13	0.480
38	A:14:ARG:HG3	A:18:TYR:CD2	0.476
38	A:2:ASN:H	A:5:GLU:HB2	0.475

Model ID	Atom-1	Atom-2	Clash overlap (Å)
38	A:13:LEU:HD13	A:29:ILE:HD12	0.473
38	A:92:ASP:O	A:96:ARG:HG2	0.473
38	A:102:MET:HA	A:138:TRP:CH2	0.472
38	A:106:MET:HB2	A:138:TRP:CZ2	0.471
38	A:62:GLU:OE1	A:65:LYS:HB2	0.470
38	A:88:TYR:CD1	A:99:LEU:HD13	0.469
38	A:7:LEU:HB3	A:67:PHE:CZ	0.467
38	A:65:LYS:O	A:69:GLN:HG2	0.465
38	A:99:LEU:HD23	A:102:MET:HE2	0.464
38	A:98:ALA:HB2	A:152:THR:HB	0.462
38	A:50:ILE:HG22	A:52:ARG:HB3	0.461
38	A:5:GLU:HG3	A:8:ARG:HH12	0.460
38	A:114:PHE:CE1	A:133:LEU:HA	0.459
38	A:29:ILE:HD13	A:67:PHE:CB	0.457
38	A:79:LEU:HD11	A:88:TYR:HE2	0.457
38	A:88:TYR:CD1	A:99:LEU:CD1	0.456
38	A:117:SER:OG	A:132:ASN:HB2	0.453
38	A:25:TYR:HB2	A:34:THR:O	0.452
38	A:105:GLN:HB3	A:138:TRP:NE1	0.448
38	A:127:ASP:O	A:130:ALA:HB3	0.447
38	A:120:MET:HE2	A:125:ARG:NH2	0.443
38	A:148:ARG:H	A:148:ARG:HG2	0.442
38	A:14:ARG:HG3	A:18:TYR:CG	0.441

Model ID	Atom-1	Atom-2	Clash overlap (Å)
38	A:142:THR:HB	A:144:ASN:OD1	0.441
38	A:79:LEU:CD1	A:88:TYR:CE2	0.436
38	A:114:PHE:CE1	A:133:LEU:HD22	0.433
38	A:65:LYS:HA	A:68:ASN:HB2	0.432
38	A:15:LEU:HD23	A:16:LYS:HG2	0.431
38	A:136:SER:O	A:140:ASN:HB2	0.428
38	A:7:LEU:HB3	A:67:PHE:HZ	0.427
38	A:120:MET:CB	A:125:ARG:HB3	0.427
38	A:124:LYS:HB3	A:126:TRP:CZ2	0.426
38	A:27:ILE:HD11	A:58:ILE:CG2	0.424
38	A:101:ASN:O	A:105:GLN:HB2	0.424
38	A:136:SER:OG	A:138:TRP:HB2	0.424
38	A:78:ILE:HG21	A:88:TYR:CG	0.420
38	A:91:LEU:HD13	A:99:LEU:CD1	0.418
38	A:102:MET:SD	A:133:LEU:HD11	0.416
38	A:27:ILE:CG2	A:31:HIS:HB3	0.410
38	A:28:GLY:HA2	A:58:ILE:HD11	0.409
38	A:8:ARG:HG2	A:29:ILE:HG12	0.408
38	A:20:ASP:HB3	A:26:THR:HB	0.407
38	A:65:LYS:O	A:68:ASN:HB2	0.406
38	A:114:PHE:O	A:118:LEU:HD13	0.406
38	A:13:LEU:CD1	A:29:ILE:HD11	0.404
38	A:87:VAL:HG21	A:121:LEU:HB3	0.402

Model ID	Atom-1	Atom-2	Clash overlap (Å)
38	A:121:LEU:HD21	A:153:PHE:CE1	0.400
39	A:130:ALA:HB1	A:150:ILE:HG23	1.115
39	A:91:LEU:HD12	A:99:LEU:HD11	1.057
39	A:148:ARG:HB3	A:161:TYR:CE1	0.987
39	A:121:LEU:HD12	A:129:ALA:HB1	0.944
39	A:102:MET:SD	A:133:LEU:HD11	0.911
39	A:6:MET:HG3	A:161:TYR:CE2	0.902
39	A:105:GLN:HG3	A:138:TRP:CZ2	0.884
39	A:139:TYR:CE1	A:150:ILE:HD12	0.854
39	A:7:LEU:HB3	A:67:PHE:CZ	0.849
39	A:81:ASN:HB3	A:84:LEU:HB2	0.842
39	A:7:LEU:HB3	A:67:PHE:HZ	0.825
39	A:139:TYR:HE1	A:150:ILE:HD12	0.821
39	A:50:ILE:HD11	A:66:LEU:HD11	0.812
39	A:46:LEU:HD22	A:50:ILE:HD13	0.797
39	A:46:LEU:HD11	A:58:ILE:CG2	0.776
39	A:120:MET:SD	A:128:GLU:HB3	0.772
39	A:121:LEU:CD1	A:129:ALA:HB1	0.768
39	A:130:ALA:CB	A:150:ILE:HG23	0.756
39	A:7:LEU:HD13	A:67:PHE:HE1	0.750
39	A:91:LEU:HD12	A:99:LEU:CD1	0.736
39	A:121:LEU:HD12	A:129:ALA:CB	0.725
39	A:29:ILE:HD13	A:67:PHE:CD2	0.689

Model ID	Atom-1	Atom-2	Clash overlap (Å)
39	A:91:LEU:CD1	A:99:LEU:HD11	0.672
39	A:1:MET:HG2	A:161:TYR:HB3	0.669
39	A:103:VAL:HG22	A:108:GLU:HG3	0.669
39	A:105:GLN:HG3	A:138:TRP:HZ2	0.639
39	A:1:MET:HB3	A:158:TRP:HB3	0.634
39	A:120:MET:HB3	A:125:ARG:HB2	0.627
39	A:7:LEU:HD11	A:104:PHE:CD1	0.622
39	A:7:LEU:HD13	A:67:PHE:CE1	0.598
39	A:46:LEU:HD11	A:58:ILE:HG21	0.587
39	A:120:MET:SD	A:128:GLU:CB	0.576
39	A:29:ILE:CD1	A:63:ALA:HB1	0.565
39	A:78:ILE:HD11	A:103:VAL:HG21	0.564
39	A:76:ARG:HA	A:79:LEU:HB2	0.558
39	A:6:MET:HG3	A:161:TYR:CZ	0.556
39	A:148:ARG:HB3	A:161:TYR:CZ	0.555
39	A:103:VAL:CG2	A:108:GLU:HG3	0.549
39	A:29:ILE:HD12	A:63:ALA:HB1	0.548
39	A:105:GLN:HG3	A:138:TRP:CE2	0.543
39	A:1:MET:HG3	A:158:TRP:CE3	0.521
39	A:88:TYR:HD1	A:99:LEU:HD13	0.520
39	A:11:GLU:HG2	A:104:PHE:HE1	0.505
39	A:46:LEU:HD22	A:50:ILE:CD1	0.505
39	A:29:ILE:HD13	A:67:PHE:HD2	0.501

Model ID	Atom-1	Atom-2	Clash overlap (Å)
39	A:138:TRP:HB3	A:146:ALA:HB2	0.501
39	A:39:LEU:O	A:43:LYS:HG2	0.497
39	A:8:ARG:HG3	A:67:PHE:HE2	0.491
39	A:7:LEU:HD11	A:104:PHE:CE1	0.490
39	A:17:ILE:CD1	A:27:ILE:HD12	0.483
39	A:139:TYR:CE1	A:150:ILE:CD1	0.477
39	A:52:ARG:HB3	A:54:THR:SG	0.473
39	A:102:MET:HA	A:138:TRP:CZ2	0.457
39	A:46:LEU:HD11	A:58:ILE:HG22	0.455
39	A:1:MET:HE3	A:161:TYR:HD2	0.451
39	A:136:SER:HB2	A:138:TRP:HB2	0.450
39	A:27:ILE:HG22	A:33:LEU:CD1	0.448
39	A:29:ILE:HG21	A:67:PHE:CE2	0.441
39	A:78:ILE:HD11	A:103:VAL:CG2	0.441
39	A:14:ARG:HG2	A:18:TYR:CE2	0.439
39	A:6:MET:CG	A:161:TYR:CE2	0.439
39	A:8:ARG:HG3	A:67:PHE:CE2	0.435
39	A:29:ILE:HG21	A:67:PHE:CZ	0.434
39	A:99:LEU:HD23	A:102:MET:HE2	0.434
39	A:27:ILE:HG22	A:33:LEU:HD13	0.427
39	A:102:MET:HA	A:138:TRP:CH2	0.421
39	A:46:LEU:O	A:50:ILE:HB	0.420
39	A:78:ILE:CD1	A:103:VAL:HG21	0.418

Model ID	Atom-1	Atom-2	Clash overlap (Å)
39	A:115:THR:O	A:119:ARG:HG3	0.406
39	A:84:LEU:HG	A:108:GLU:HB3	0.402
39	A:99:LEU:CD2	A:102:MET:HE2	0.402
39	A:88:TYR:HD1	A:99:LEU:CD1	0.401
39	A:6:MET:SD	A:158:TRP:HZ3	0.401
40	A:1:MET:SD	A:5:GLU:HB3	1.025
40	A:46:LEU:HD11	A:58:ILE:HG23	0.937
40	A:13:LEU:HD13	A:29:ILE:HD12	0.934
40	A:121:LEU:HD23	A:126:TRP:HE3	0.929
40	A:15:LEU:HD22	A:58:ILE:HG13	0.901
40	A:121:LEU:HD23	A:126:TRP:CE3	0.874
40	A:13:LEU:HD13	A:29:ILE:CD1	0.786
40	A:87:VAL:HG22	A:122:GLN:HB2	0.764
40	A:27:ILE:HG12	A:46:LEU:HD13	0.755
40	A:102:MET:HE3	A:111:VAL:HG13	0.753
40	A:7:LEU:HB3	A:67:PHE:CZ	0.747
40	A:14:ARG:HG2	A:18:TYR:HB3	0.736
40	A:11:GLU:HB3	A:29:ILE:CG2	0.733
40	A:88:TYR:HD1	A:99:LEU:CD1	0.720
40	A:88:TYR:HD1	A:99:LEU:HD13	0.719
40	A:27:ILE:HD13	A:46:LEU:HD22	0.715
40	A:99:LEU:HD23	A:153:PHE:HZ	0.707
40	A:138:TRP:CH2	A:149:VAL:HG11	0.704

Model ID	Atom-1	Atom-2	Clash overlap (Å)
40	A:138:TRP:HH2	A:149:VAL:HG11	0.698
40	A:27:ILE:HG13	A:58:ILE:HD11	0.689
40	A:106:MET:SD	A:138:TRP:CE3	0.683
40	A:15:LEU:CD2	A:58:ILE:HG13	0.673
40	A:25:TYR:CE1	A:39:LEU:HD12	0.670
40	A:78:ILE:HD11	A:100:ILE:HA	0.662
40	A:106:MET:HG2	A:110:GLY:HA3	0.662
40	A:13:LEU:HD11	A:63:ALA:HB1	0.658
40	A:102:MET:HE3	A:111:VAL:CG1	0.658
40	A:13:LEU:HD11	A:63:ALA:CB	0.653
40	A:125:ARG:HB3	A:128:GLU:HG3	0.644
40	A:88:TYR:CD1	A:99:LEU:HD13	0.642
40	A:99:LEU:CD2	A:153:PHE:HZ	0.637
40	A:87:VAL:CG2	A:122:GLN:HB2	0.631
40	A:46:LEU:HD11	A:58:ILE:CG2	0.629
40	A:11:GLU:HB3	A:29:ILE:HG23	0.622
40	A:11:GLU:HB3	A:29:ILE:HG21	0.616
40	A:46:LEU:HD12	A:50:ILE:CG1	0.603
40	A:18:TYR:CE1	A:26:THR:HG22	0.596
40	A:102:MET:CE	A:111:VAL:HG13	0.588
40	A:151:THR:HG22	A:160:ALA:HB1	0.585
40	A:27:ILE:HG13	A:58:ILE:CD1	0.583
40	A:7:LEU:HG	A:71:VAL:HG22	0.569

Model ID	Atom-1	Atom-2	Clash overlap (Å)
40	A:84:LEU:HD12	A:118:LEU:HD23	0.560
40	A:121:LEU:CD2	A:126:TRP:HE3	0.556
40	A:46:LEU:HD12	A:50:ILE:HG12	0.554
40	A:106:MET:SD	A:138:TRP:HE3	0.552
40	A:102:MET:HG2	A:111:VAL:HG22	0.550
40	A:27:ILE:CD1	A:46:LEU:HD22	0.542
40	A:14:ARG:HB3	A:18:TYR:CD1	0.538
40	A:29:ILE:HG21	A:67:PHE:CE1	0.538
40	A:91:LEU:HD13	A:99:LEU:HD11	0.537
40	A:3:ILE:HG12	A:100:ILE:HB	0.535
40	A:97:ALA:SG	A:158:TRP:HZ2	0.535
40	A:102:MET:SD	A:133:LEU:HD21	0.533
40	A:31:HIS:HB2	A:66:LEU:HD11	0.527
40	A:78:ILE:CG1	A:103:VAL:HG21	0.525
40	A:99:LEU:CD2	A:153:PHE:CZ	0.525
40	A:13:LEU:CD1	A:29:ILE:HD12	0.523
40	A:11:GLU:CB	A:29:ILE:HG21	0.521
40	A:6:MET:HG3	A:158:TRP:HZ3	0.520
40	A:7:LEU:HD22	A:11:GLU:CG	0.520
40	A:78:ILE:HG13	A:103:VAL:HG21	0.516
40	A:13:LEU:CD1	A:63:ALA:HB1	0.500
40	A:47:ASP:HA	A:54:THR:SG	0.495
40	A:133:LEU:HB3	A:150:ILE:HG12	0.489

Model ID	Atom-1	Atom-2	Clash overlap (Å)
40	A:14:ARG:CB	A:18:TYR:CD1	0.488
40	A:29:ILE:HD13	A:67:PHE:CG	0.487
40	A:102:MET:SD	A:133:LEU:HD11	0.481
40	A:91:LEU:HD13	A:99:LEU:CD1	0.472
40	A:6:MET:HG3	A:158:TRP:CZ3	0.470
40	A:46:LEU:O	A:50:ILE:HG12	0.469
40	A:83:LYS:O	A:86:PRO:HD2	0.469
40	A:70:ASP:HB3	A:104:PHE:CE2	0.465
40	A:91:LEU:CD1	A:99:LEU:HD11	0.464
40	A:7:LEU:HD22	A:11:GLU:HG2	0.459
40	A:35:LYS:HA	A:35:LYS:HD2	0.456
40	A:102:MET:HA	A:138:TRP:CH2	0.455
40	A:25:TYR:CE1	A:39:LEU:CD1	0.454
40	A:20:ASP:HB3	A:26:THR:OG1	0.453
40	A:25:TYR:HE1	A:39:LEU:CD1	0.453
40	A:130:ALA:HB1	A:150:ILE:HG22	0.449
40	A:41:ALA:O	A:45:GLU:HB2	0.447
40	A:6:MET:HE2	A:161:TYR:CE1	0.445
40	A:7:LEU:CD2	A:11:GLU:HG2	0.445
40	A:34:THR:HG21	A:41:ALA:HB3	0.444
40	A:121:LEU:CD2	A:126:TRP:CE3	0.438
40	A:155:THR:O	A:157:THR:HG23	0.436
40	A:29:ILE:HB	A:67:PHE:CD1	0.432

Model ID	Atom-1	Atom-2	Clash overlap (Å)
40	A:26:THR:HA	A:31:HIS:O	0.425
40	A:94:VAL:HG22	A:158:TRP:CD1	0.423
40	A:81:ASN:HB3	A:84:LEU:HB2	0.422
40	A:136:SER:OG	A:138:TRP:HB3	0.420
40	A:29:ILE:HD13	A:67:PHE:CD2	0.417
40	A:127:ASP:O	A:131:VAL:HG23	0.415
40	A:50:ILE:HG21	A:62:GLU:HG2	0.414
40	A:77:GLY:HA3	A:103:VAL:HG11	0.414
40	A:7:LEU:HB3	A:67:PHE:HZ	0.411
40	A:130:ALA:HB1	A:150:ILE:CG2	0.406
40	A:142:THR:HB	A:145:ARG:HB2	0.405
40	A:68:ASN:O	A:72:ASP:HB3	0.404
40	A:7:LEU:HD22	A:11:GLU:HG3	0.402
40	A:88:TYR:CD1	A:99:LEU:CD1	0.402
41	A:130:ALA:HB1	A:150:ILE:HG23	1.092
41	A:120:MET:HG2	A:125:ARG:HB2	0.995
41	A:29:ILE:HD13	A:67:PHE:CD2	0.954
41	A:91:LEU:HD11	A:121:LEU:HD12	0.951
41	A:27:ILE:HD11	A:46:LEU:HD22	0.872
41	A:7:LEU:HD12	A:67:PHE:HE1	0.864
41	A:99:LEU:HD23	A:102:MET:CE	0.857
41	A:120:MET:SD	A:128:GLU:HB2	0.850
41	A:13:LEU:HD13	A:29:ILE:HG13	0.839

Model ID	Atom-1	Atom-2	Clash overlap (Å)
41	A:13:LEU:HD13	A:29:ILE:CD1	0.836
41	A:121:LEU:HD22	A:126:TRP:HE3	0.817
41	A:1:MET:HE3	A:161:TYR:HB3	0.814
41	A:121:LEU:HD22	A:126:TRP:CE3	0.800
41	A:130:ALA:CB	A:150:ILE:HG23	0.791
41	A:13:LEU:HD13	A:29:ILE:CG1	0.789
41	A:130:ALA:HB1	A:150:ILE:CG2	0.781
41	A:24:TYR:HD1	A:35:LYS:HG2	0.771
41	A:84:LEU:CD1	A:88:TYR:HB2	0.738
41	A:99:LEU:HD23	A:102:MET:HE1	0.727
41	A:120:MET:HG2	A:125:ARG:CB	0.709
41	A:7:LEU:CD1	A:67:PHE:HE1	0.703
41	A:120:MET:CG	A:125:ARG:HB2	0.699
41	A:1:MET:HE1	A:9:ILE:HD12	0.696
41	A:102:MET:HE2	A:153:PHE:HZ	0.693
41	A:15:LEU:HD22	A:57:VAL:HG11	0.692
41	A:6:MET:HG3	A:161:TYR:CZ	0.678
41	A:121:LEU:HD13	A:126:TRP:HZ3	0.665
41	A:151:THR:HG21	A:160:ALA:CB	0.661
41	A:13:LEU:HD13	A:29:ILE:HD11	0.650
41	A:7:LEU:HD12	A:67:PHE:CE1	0.647
41	A:78:ILE:HD11	A:100:ILE:HA	0.647
41	A:78:ILE:HG12	A:103:VAL:HG21	0.646

Model ID	Atom-1	Atom-2	Clash overlap (Å)
41	A:24:TYR:CD1	A:35:LYS:HG2	0.642
41	A:138:TRP:CB	A:146:ALA:HB2	0.637
41	A:91:LEU:HD11	A:121:LEU:CD1	0.630
41	A:138:TRP:HB3	A:146:ALA:HB2	0.630
41	A:74:ALA:HB2	A:104:PHE:HD2	0.627
41	A:102:MET:HE2	A:153:PHE:CZ	0.625
41	A:148:ARG:HB3	A:161:TYR:CE1	0.624
41	A:18:TYR:CE1	A:26:THR:HG22	0.612
41	A:88:TYR:HD1	A:99:LEU:HD13	0.611
41	A:1:MET:HG2	A:158:TRP:CE3	0.605
41	A:46:LEU:HD12	A:50:ILE:HG12	0.601
41	A:117:SER:HA	A:120:MET:HB2	0.598
41	A:141:GLN:HG3	A:142:THR:HG23	0.597
41	A:99:LEU:HD23	A:102:MET:HE2	0.592
41	A:75:VAL:HG22	A:100:ILE:HG12	0.587
41	A:46:LEU:HD11	A:58:ILE:HG21	0.585
41	A:50:ILE:HD13	A:66:LEU:HD12	0.562
41	A:91:LEU:CD1	A:99:LEU:HD11	0.557
41	A:88:TYR:CD1	A:99:LEU:HD13	0.547
41	A:88:TYR:HD1	A:99:LEU:CD1	0.541
41	A:13:LEU:CD1	A:29:ILE:HG13	0.532
41	A:18:TYR:CE1	A:26:THR:CG2	0.527
41	A:84:LEU:HD12	A:88:TYR:HB2	0.523

Model ID	Atom-1	Atom-2	Clash overlap (Å)
41	A:99:LEU:HA	A:102:MET:HE2	0.520
41	A:27:ILE:HD12	A:58:ILE:HG12	0.519
41	A:7:LEU:CD1	A:67:PHE:CE1	0.516
41	A:50:ILE:CD1	A:66:LEU:HD12	0.512
41	A:77:GLY:HA2	A:80:ARG:HD3	0.508
41	A:18:TYR:HE1	A:26:THR:HG22	0.506
41	A:29:ILE:HB	A:67:PHE:CG	0.504
41	A:70:ASP:HB3	A:104:PHE:CE2	0.501
41	A:3:ILE:HD13	A:97:ALA:O	0.493
41	A:105:GLN:HB3	A:138:TRP:CZ2	0.492
41	A:120:MET:SD	A:128:GLU:CB	0.491
41	A:129:ALA:O	A:133:LEU:HG	0.489
41	A:117:SER:HB2	A:129:ALA:HA	0.485
41	A:121:LEU:HD11	A:153:PHE:HE1	0.485
41	A:121:LEU:HD21	A:153:PHE:CE1	0.485
41	A:91:LEU:HD21	A:121:LEU:O	0.482
41	A:24:TYR:HD1	A:35:LYS:CG	0.481
41	A:121:LEU:HD13	A:126:TRP:CZ3	0.471
41	A:5:GLU:HA	A:8:ARG:HG2	0.470
41	A:22:GLU:HB3	A:24:TYR:HE2	0.469
41	A:15:LEU:HD22	A:57:VAL:CG1	0.468
41	A:77:GLY:O	A:80:ARG:HG2	0.467
41	A:25:TYR:HB2	A:34:THR:HG23	0.466

Model ID	Atom-1	Atom-2	Clash overlap (Å)
41	A:67:PHE:CE1	A:71:VAL:HG21	0.466
41	A:44:SER:O	A:48:LYS:HG2	0.463
41	A:78:ILE:CG1	A:103:VAL:HG21	0.463
41	A:126:TRP:HA	A:129:ALA:HB3	0.463
41	A:58:ILE:H	A:58:ILE:HG13	0.448
41	A:121:LEU:HD21	A:153:PHE:CD1	0.446
41	A:91:LEU:CD1	A:121:LEU:HD12	0.445
41	A:91:LEU:HD13	A:99:LEU:HD11	0.444
41	A:25:TYR:HB2	A:34:THR:CG2	0.442
41	A:6:MET:HG2	A:101:ASN:HD22	0.441
41	A:88:TYR:CD1	A:99:LEU:CD1	0.441
41	A:106:MET:HB2	A:138:TRP:CZ2	0.440
41	A:27:ILE:CD1	A:46:LEU:HD22	0.434
41	A:148:ARG:HB3	A:161:TYR:CZ	0.430
41	A:24:TYR:CD1	A:35:LYS:CG	0.429
41	A:102:MET:SD	A:153:PHE:CE2	0.426
41	A:71:VAL:O	A:74:ALA:HB3	0.424
41	A:7:LEU:HA	A:10:ASP:OD2	0.422
41	A:78:ILE:HG21	A:88:TYR:CD2	0.422
41	A:102:MET:HG3	A:153:PHE:HE2	0.422
41	A:127:ASP:O	A:131:VAL:HG23	0.421
41	A:136:SER:O	A:140:ASN:HB2	0.419
41	A:22:GLU:HB3	A:24:TYR:CE2	0.413

Model ID	Atom-1	Atom-2	Clash overlap (Å)
41	A:6:MET:HE3	A:161:TYR:CE1	0.411
41	A:106:MET:SD	A:136:SER:HB3	0.411
41	A:95:ARG:HD3	A:126:TRP:CE3	0.406
41	A:1:MET:SD	A:5:GLU:HB3	0.403
41	A:33:LEU:HD11	A:45:GLU:HB2	0.401
42	A:81:ASN:HB3	A:84:LEU:HB2	1.179
42	A:121:LEU:HD23	A:126:TRP:HZ3	1.060
42	A:8:ARG:HG3	A:67:PHE:HE2	1.050
42	A:121:LEU:HD23	A:126:TRP:CZ3	1.011
42	A:6:MET:HG3	A:161:TYR:CE2	0.959
42	A:91:LEU:HD12	A:99:LEU:HD11	0.911
42	A:29:ILE:HD12	A:63:ALA:HB1	0.900
42	A:8:ARG:HG3	A:67:PHE:CE2	0.827
42	A:1:MET:HG3	A:158:TRP:CE3	0.824
42	A:24:TYR:HB2	A:32:LEU:HD11	0.821
42	A:29:ILE:CD1	A:63:ALA:HB1	0.816
42	A:7:LEU:HB3	A:67:PHE:CZ	0.806
42	A:81:ASN:HB3	A:84:LEU:CB	0.801
42	A:81:ASN:CB	A:84:LEU:HB2	0.799
42	A:46:LEU:HD11	A:58:ILE:CG2	0.784
42	A:105:GLN:HG3	A:138:TRP:CZ2	0.755
42	A:120:MET:HB3	A:125:ARG:HB2	0.736
42	A:7:LEU:HB3	A:67:PHE:HZ	0.728

Model ID	Atom-1	Atom-2	Clash overlap (Å)
42	A:46:LEU:HD11	A:58:ILE:HG21	0.728
42	A:102:MET:HG2	A:111:VAL:HG22	0.722
42	A:29:ILE:HD13	A:67:PHE:CD2	0.710
42	A:130:ALA:HB2	A:150:ILE:HG21	0.710
42	A:139:TYR:HE1	A:150:ILE:CD1	0.706
42	A:130:ALA:HB2	A:150:ILE:CG2	0.687
42	A:3:ILE:HD13	A:97:ALA:HB1	0.684
42	A:120:MET:SD	A:128:GLU:HB3	0.669
42	A:106:MET:HE1	A:133:LEU:HG	0.665
42	A:22:GLU:HG3	A:24:TYR:CE2	0.657
42	A:27:ILE:HD13	A:46:LEU:CD2	0.657
42	A:99:LEU:HD23	A:102:MET:HE2	0.656
42	A:126:TRP:HB2	A:154:ARG:HD3	0.655
42	A:91:LEU:CD1	A:99:LEU:HD11	0.650
42	A:84:LEU:HG	A:108:GLU:HB3	0.648
42	A:22:GLU:HG3	A:24:TYR:HE2	0.647
42	A:20:ASP:HB3	A:26:THR:HG21	0.639
42	A:95:ARG:HG3	A:156:GLY:HA2	0.620
42	A:17:ILE:HD13	A:27:ILE:HD12	0.619
42	A:91:LEU:HD21	A:121:LEU:HD22	0.610
42	A:99:LEU:CD2	A:102:MET:HE2	0.596
42	A:138:TRP:HH2	A:149:VAL:HG11	0.590
42	A:84:LEU:HD12	A:112:ALA:HB3	0.588

Model ID	Atom-1	Atom-2	Clash overlap (Å)
42	A:28:GLY:HA3	A:66:LEU:HD21	0.586
42	A:1:MET:HE3	A:161:TYR:HD2	0.574
42	A:98:ALA:HB2	A:152:THR:HB	0.573
42	A:46:LEU:HD22	A:50:ILE:HD12	0.570
42	A:91:LEU:HD12	A:99:LEU:CD1	0.568
42	A:6:MET:HG3	A:161:TYR:CZ	0.561
42	A:130:ALA:CB	A:150:ILE:HG21	0.558
42	A:105:GLN:HG3	A:138:TRP:CE2	0.555
42	A:74:ALA:HB1	A:103:VAL:HG12	0.552
42	A:1:MET:HE3	A:161:TYR:HB3	0.551
42	A:91:LEU:HD22	A:95:ARG:HD3	0.548
42	A:27:ILE:HD13	A:46:LEU:HD21	0.547
42	A:148:ARG:HA	A:151:THR:HB	0.545
42	A:24:TYR:HB2	A:32:LEU:CD1	0.542
42	A:121:LEU:CD2	A:126:TRP:HZ3	0.535
42	A:102:MET:CE	A:111:VAL:HG13	0.534
42	A:120:MET:SD	A:128:GLU:CB	0.517
42	A:1:MET:CG	A:158:TRP:CE3	0.510
42	A:6:MET:HE1	A:98:ALA:HA	0.507
42	A:3:ILE:HG12	A:100:ILE:HD12	0.502
42	A:84:LEU:CG	A:108:GLU:HB3	0.501
42	A:70:ASP:HB3	A:104:PHE:HE2	0.496
42	A:92:ASP:OD1	A:95:ARG:HD2	0.496

Model ID	Atom-1	Atom-2	Clash overlap (Å)
42	A:24:TYR:CB	A:32:LEU:HD11	0.495
42	A:1:MET:HE1	A:9:ILE:HD12	0.493
42	A:29:ILE:HD12	A:63:ALA:CB	0.493
42	A:136:SER:HB2	A:138:TRP:HB2	0.492
42	A:102:MET:HA	A:138:TRP:HZ2	0.490
42	A:117:SER:O	A:121:LEU:HD13	0.489
42	A:150:ILE:HA	A:153:PHE:HD2	0.489
42	A:14:ARG:HG2	A:18:TYR:CD2	0.487
42	A:72:ASP:HA	A:75:VAL:HB	0.486
42	A:83:LYS:O	A:86:PRO:HD2	0.481
42	A:101:ASN:O	A:105:GLN:HG2	0.479
42	A:88:TYR:CE1	A:96:ARG:HB2	0.478
42	A:74:ALA:O	A:78:ILE:HG13	0.474
42	A:84:LEU:HD11	A:108:GLU:O	0.474
42	A:138:TRP:CH2	A:149:VAL:HG11	0.471
42	A:7:LEU:HB3	A:67:PHE:CE1	0.470
42	A:142:THR:HB	A:145:ARG:HB2	0.467
42	A:14:ARG:HB3	A:18:TYR:CZ	0.464
42	A:102:MET:SD	A:133:LEU:HD11	0.461
42	A:8:ARG:CG	A:67:PHE:HE2	0.461
42	A:126:TRP:CD1	A:154:ARG:HA	0.460
42	A:130:ALA:HB2	A:150:ILE:HG23	0.460
42	A:102:MET:HE3	A:111:VAL:HG13	0.456

Model ID	Atom-1	Atom-2	Clash overlap (Å)
42	A:83:LYS:C	A:86:PRO:HD2	0.449
42	A:127:ASP:O	A:131:VAL:HG23	0.446
42	A:14:ARG:HG2	A:18:TYR:CG	0.444
42	A:29:ILE:HG21	A:67:PHE:CE1	0.443
42	A:78:ILE:HA	A:108:GLU:HG2	0.441
42	A:117:SER:O	A:120:MET:HB2	0.439
42	A:148:ARG:HB3	A:161:TYR:CE1	0.438
42	A:11:GLU:HB3	A:29:ILE:HG23	0.435
42	A:102:MET:HE3	A:111:VAL:HG22	0.435
42	A:102:MET:CE	A:153:PHE:HZ	0.434
42	A:11:GLU:HG2	A:104:PHE:HE1	0.432
42	A:105:GLN:C	A:138:TRP:HE1	0.431
42	A:1:MET:HE3	A:161:TYR:CD2	0.428
42	A:33:LEU:HB3	A:42:ALA:HB1	0.426
42	A:137:ARG:O	A:141:GLN:HB2	0.425
42	A:103:VAL:HG22	A:108:GLU:HG3	0.418
42	A:2:ASN:H	A:5:GLU:HB2	0.415
42	A:67:PHE:HD1	A:71:VAL:HG23	0.413
42	A:155:THR:O	A:157:THR:HG23	0.413
42	A:102:MET:HA	A:138:TRP:CZ2	0.409
42	A:88:TYR:HD1	A:99:LEU:HD13	0.408
42	A:148:ARG:HB2	A:161:TYR:OH	0.408
42	A:1:MET:HB3	A:158:TRP:HB3	0.405

Model ID	Atom-1	Atom-2	Clash overlap (Å)
42	A:17:ILE:CD1	A:27:ILE:HD12	0.402
42	A:103:VAL:CG2	A:108:GLU:HG3	0.401
42	A:139:TYR:HE1	A:150:ILE:HD11	0.401
42	A:130:ALA:HB1	A:150:ILE:HD13	0.400
43	A:130:ALA:HB1	A:150:ILE:HG23	1.133
43	A:13:LEU:HD13	A:29:ILE:HG13	1.100
43	A:121:LEU:HD22	A:126:TRP:HE3	1.034
43	A:78:ILE:HG12	A:103:VAL:HG21	1.004
43	A:120:MET:HG2	A:125:ARG:HB2	0.997
43	A:105:GLN:HB3	A:138:TRP:CZ2	0.953
43	A:121:LEU:HD22	A:126:TRP:CE3	0.932
43	A:91:LEU:HD11	A:121:LEU:HD12	0.897
43	A:29:ILE:HD13	A:67:PHE:CD2	0.848
43	A:120:MET:SD	A:128:GLU:HB2	0.809
43	A:138:TRP:HB2	A:146:ALA:HB2	0.808
43	A:102:MET:HG2	A:111:VAL:HG22	0.806
43	A:50:ILE:CD1	A:66:LEU:HD11	0.789
43	A:78:ILE:CG1	A:103:VAL:HG21	0.786
43	A:13:LEU:CD1	A:29:ILE:HG13	0.779
43	A:138:TRP:CB	A:146:ALA:HB2	0.765
43	A:91:LEU:HD11	A:121:LEU:CD1	0.760
43	A:13:LEU:HD13	A:29:ILE:CG1	0.758
43	A:130:ALA:HB1	A:150:ILE:CG2	0.758

Model ID	Atom-1	Atom-2	Clash overlap (Å)
43	A:50:ILE:HD13	A:66:LEU:HD11	0.754
43	A:133:LEU:HD11	A:153:PHE:CD2	0.750
43	A:130:ALA:CB	A:150:ILE:HG23	0.750
43	A:25:TYR:HB3	A:34:THR:HG23	0.736
43	A:1:MET:SD	A:5:GLU:HB3	0.732
43	A:120:MET:CG	A:125:ARG:HB2	0.723
43	A:105:GLN:HB3	A:138:TRP:HZ2	0.717
43	A:78:ILE:HG23	A:84:LEU:HD12	0.697
43	A:88:TYR:HD1	A:99:LEU:CD1	0.680
43	A:121:LEU:CD2	A:126:TRP:HE3	0.669
43	A:151:THR:HG21	A:160:ALA:CB	0.665
43	A:7:LEU:HD13	A:67:PHE:HE1	0.651
43	A:14:ARG:HB3	A:18:TYR:CD1	0.651
43	A:29:ILE:HD13	A:67:PHE:CG	0.650
43	A:6:MET:HG2	A:161:TYR:CZ	0.648
43	A:7:LEU:CD1	A:67:PHE:HE1	0.648
43	A:18:TYR:CE1	A:26:THR:HG22	0.629
43	A:27:ILE:HD13	A:46:LEU:HD13	0.627
43	A:105:GLN:HB3	A:138:TRP:CE2	0.626
43	A:46:LEU:HD12	A:50:ILE:CG1	0.618
43	A:1:MET:HE3	A:161:TYR:HB3	0.614
43	A:46:LEU:CD1	A:50:ILE:HG13	0.614
43	A:46:LEU:HD11	A:58:ILE:CG2	0.612

Model ID	Atom-1	Atom-2	Clash overlap (Å)
43	A:46:LEU:HD12	A:50:ILE:HG13	0.609
43	A:74:ALA:HB2	A:104:PHE:HD2	0.609
43	A:99:LEU:HD23	A:102:MET:CE	0.609
43	A:74:ALA:HB2	A:104:PHE:CD2	0.608
43	A:1:MET:HE1	A:9:ILE:HD12	0.604
43	A:78:ILE:HG21	A:88:TYR:CD2	0.600
43	A:91:LEU:CD1	A:99:LEU:HD11	0.591
43	A:120:MET:HE2	A:125:ARG:HD2	0.591
43	A:14:ARG:HB3	A:18:TYR:CG	0.590
43	A:99:LEU:HD23	A:102:MET:HE1	0.576
43	A:64:GLU:HA	A:67:PHE:HB3	0.572
43	A:27:ILE:HD11	A:58:ILE:HG12	0.571
43	A:7:LEU:HB3	A:67:PHE:HZ	0.565
43	A:88:TYR:HD1	A:99:LEU:HD13	0.561
43	A:106:MET:HE1	A:133:LEU:HA	0.557
43	A:24:TYR:HB3	A:35:LYS:HG3	0.555
43	A:97:ALA:CB	A:158:TRP:HH2	0.553
43	A:6:MET:HG3	A:158:TRP:HZ3	0.549
43	A:7:LEU:HD13	A:67:PHE:CE1	0.549
43	A:133:LEU:HD11	A:153:PHE:HD2	0.546
43	A:6:MET:HE1	A:98:ALA:HA	0.544
43	A:7:LEU:HB3	A:67:PHE:CZ	0.543
43	A:117:SER:HA	A:120:MET:HB2	0.541

Model ID	Atom-1	Atom-2	Clash overlap (Å)
43	A:88:TYR:HD1	A:99:LEU:HD12	0.535
43	A:29:ILE:HG21	A:67:PHE:CE1	0.534
43	A:138:TRP:HB3	A:146:ALA:HB2	0.527
43	A:7:LEU:CD1	A:67:PHE:CE1	0.525
43	A:91:LEU:HD12	A:99:LEU:HD11	0.524
43	A:133:LEU:CD1	A:153:PHE:HD2	0.522
43	A:136:SER:O	A:140:ASN:HB2	0.519
43	A:102:MET:SD	A:133:LEU:HD21	0.517
43	A:120:MET:SD	A:128:GLU:CB	0.517
43	A:102:MET:HE3	A:111:VAL:HG13	0.516
43	A:106:MET:SD	A:136:SER:HB3	0.509
43	A:29:ILE:HG21	A:67:PHE:CZ	0.508
43	A:120:MET:HG2	A:125:ARG:CB	0.504
43	A:129:ALA:O	A:133:LEU:HG	0.504
43	A:25:TYR:HB3	A:34:THR:CG2	0.503
43	A:17:ILE:HG13	A:27:ILE:HD12	0.502
43	A:114:PHE:HB3	A:117:SER:HB3	0.502
43	A:138:TRP:HB3	A:145:ARG:C	0.495
43	A:71:VAL:O	A:74:ALA:HB3	0.492
43	A:117:SER:HB2	A:129:ALA:HA	0.488
43	A:136:SER:HB2	A:138:TRP:H	0.486
43	A:9:ILE:HD13	A:162:LYS:OXT	0.483
43	A:88:TYR:CD1	A:99:LEU:HD13	0.477

Model ID	Atom-1	Atom-2	Clash overlap (Å)
43	A:105:GLN:OE1	A:145:ARG:HG2	0.474
43	A:114:PHE:O	A:118:LEU:HD23	0.470
43	A:72:ASP:O	A:76:ARG:HG2	0.469
43	A:78:ILE:HD11	A:100:ILE:HA	0.469
43	A:107:GLY:O	A:111:VAL:HG23	0.469
43	A:121:LEU:HD21	A:153:PHE:CD1	0.469
43	A:130:ALA:HA	A:133:LEU:HD12	0.469
43	A:148:ARG:HB2	A:161:TYR:CZ	0.469
43	A:43:LYS:O	A:46:LEU:HB3	0.468
43	A:121:LEU:HD21	A:153:PHE:CE1	0.466
43	A:106:MET:HG3	A:136:SER:HB3	0.465
43	A:27:ILE:CD1	A:46:LEU:HD22	0.463
43	A:71:VAL:HA	A:104:PHE:CD2	0.463
43	A:126:TRP:HA	A:129:ALA:HB3	0.463
43	A:121:LEU:HD13	A:126:TRP:HZ3	0.461
43	A:3:ILE:HD13	A:97:ALA:O	0.460
43	A:13:LEU:HD13	A:29:ILE:CD1	0.460
43	A:125:ARG:HB3	A:128:GLU:OE2	0.457
43	A:127:ASP:O	A:131:VAL:HG23	0.454
43	A:121:LEU:HD11	A:153:PHE:HE1	0.453
43	A:25:TYR:CB	A:34:THR:HG23	0.450
43	A:46:LEU:HD12	A:50:ILE:HG12	0.444
43	A:151:THR:HG21	A:160:ALA:HB3	0.444

Model ID	Atom-1	Atom-2	Clash overlap (Å)
43	A:33:LEU:HG	A:45:GLU:OE1	0.443
43	A:13:LEU:HD23	A:14:ARG:HA	0.441
43	A:133:LEU:CD1	A:153:PHE:CD2	0.441
43	A:17:ILE:HD13	A:43:LYS:HB2	0.440
43	A:8:ARG:HD3	A:13:LEU:HG	0.436
43	A:130:ALA:O	A:150:ILE:HG12	0.436
43	A:1:MET:HB3	A:158:TRP:HB3	0.432
43	A:11:GLU:O	A:21:THR:HB	0.431
43	A:81:ASN:ND2	A:84:LEU:HB2	0.429
43	A:1:MET:HG2	A:158:TRP:CE3	0.428
43	A:99:LEU:HD23	A:102:MET:HE2	0.428
43	A:114:PHE:CE1	A:133:LEU:HD23	0.423
43	A:7:LEU:HG	A:11:GLU:HG3	0.422
43	A:3:ILE:HG12	A:100:ILE:HB	0.419
43	A:70:ASP:C	A:104:PHE:HE2	0.415
43	A:70:ASP:HB3	A:104:PHE:CE2	0.411
43	A:33:LEU:HD13	A:42:ALA:O	0.410
43	A:5:GLU:O	A:8:ARG:HB2	0.410
43	A:72:ASP:HA	A:75:VAL:HG23	0.409
43	A:15:LEU:CD2	A:57:VAL:HG11	0.406
43	A:14:ARG:HG2	A:18:TYR:HB3	0.405
43	A:23:GLY:HA3	A:24:TYR:CE2	0.405
43	A:144:ASN:HB3	A:148:ARG:CZ	0.404

Model ID	Atom-1	Atom-2	Clash overlap (Å)
43	A:144:ASN:HB3	A:148:ARG:NH2	0.402
43	A:8:ARG:HH12	A:60:LYS:HE3	0.402
43	A:65:LYS:HA	A:65:LYS:HZ2	0.402
44	A:58:ILE:HD13	A:63:ALA:HB2	1.135
44	A:1:MET:HE1	A:9:ILE:HD12	1.039
44	A:29:ILE:HD13	A:67:PHE:CD2	0.804
44	A:13:LEU:HD13	A:29:ILE:CD1	0.773
44	A:15:LEU:CD2	A:16:LYS:HG2	0.772
44	A:15:LEU:HD23	A:16:LYS:HG2	0.772
44	A:91:LEU:HG	A:95:ARG:HB2	0.769
44	A:78:ILE:HG12	A:103:VAL:HG21	0.742
44	A:27:ILE:HG21	A:46:LEU:HD13	0.730
44	A:78:ILE:CG1	A:103:VAL:HG21	0.727
44	A:4:PHE:HD1	A:67:PHE:CE2	0.713
44	A:15:LEU:HD12	A:57:VAL:HG13	0.696
44	A:138:TRP:HB3	A:146:ALA:HB2	0.696
44	A:124:LYS:HB3	A:126:TRP:CZ2	0.695
44	A:130:ALA:HB2	A:150:ILE:HG23	0.695
44	A:13:LEU:HD11	A:63:ALA:HB3	0.691
44	A:27:ILE:HD13	A:46:LEU:HG	0.675
44	A:87:VAL:HG12	A:122:GLN:HB2	0.672
44	A:33:LEU:HD22	A:45:GLU:HB3	0.670
44	A:1:MET:CE	A:9:ILE:HD12	0.669

Model ID	Atom-1	Atom-2	Clash overlap (Å)
44	A:130:ALA:CB	A:150:ILE:HG23	0.655
44	A:88:TYR:HD1	A:99:LEU:CD1	0.632
44	A:6:MET:SD	A:158:TRP:HZ3	0.627
44	A:99:LEU:HD23	A:153:PHE:HZ	0.617
44	A:52:ARG:HE	A:53:ASN:HD22	0.617
44	A:62:GLU:HA	A:65:LYS:HB2	0.607
44	A:148:ARG:HB2	A:161:TYR:CE1	0.607
44	A:151:THR:CG2	A:160:ALA:HB3	0.604
44	A:5:GLU:HA	A:8:ARG:HG2	0.597
44	A:13:LEU:HD13	A:29:ILE:HD11	0.597
44	A:151:THR:HG21	A:160:ALA:CB	0.591
44	A:1:MET:HG2	A:158:TRP:CE3	0.590
44	A:8:ARG:HB2	A:13:LEU:HB2	0.589
44	A:3:ILE:HD11	A:101:ASN:HB2	0.586
44	A:91:LEU:HG	A:95:ARG:CB	0.585
44	A:102:MET:HE3	A:111:VAL:HG11	0.582
44	A:1:MET:HE1	A:9:ILE:CD1	0.577
44	A:151:THR:HG21	A:160:ALA:HB3	0.577
44	A:94:VAL:HG13	A:158:TRP:CE2	0.569
44	A:18:TYR:CE1	A:26:THR:HG22	0.558
44	A:136:SER:HB2	A:138:TRP:CG	0.557
44	A:88:TYR:HD1	A:99:LEU:HD12	0.555
44	A:1:MET:HG2	A:158:TRP:CD2	0.535

Model ID	Atom-1	Atom-2	Clash overlap (Å)
44	A:18:TYR:CE1	A:26:THR:CG2	0.535
44	A:99:LEU:HD23	A:102:MET:CE	0.529
44	A:136:SER:HB2	A:138:TRP:CD1	0.521
44	A:6:MET:SD	A:158:TRP:CZ3	0.518
44	A:129:ALA:O	A:133:LEU:HG	0.516
44	A:80:ARG:HD2	A:108:GLU:HG2	0.513
44	A:120:MET:SD	A:128:GLU:CB	0.510
44	A:13:LEU:HD21	A:60:LYS:HB3	0.506
44	A:71:VAL:HG13	A:100:ILE:HG21	0.506
44	A:120:MET:HB3	A:125:ARG:HB2	0.506
44	A:15:LEU:CD1	A:57:VAL:HG13	0.500
44	A:78:ILE:HG13	A:103:VAL:HG21	0.499
44	A:94:VAL:HG13	A:158:TRP:CZ2	0.499
44	A:70:ASP:HB3	A:104:PHE:HE2	0.496
44	A:106:MET:HE1	A:133:LEU:HD22	0.493
44	A:13:LEU:HD13	A:29:ILE:HD12	0.492
44	A:58:ILE:CD1	A:63:ALA:HB2	0.492
44	A:114:PHE:O	A:118:LEU:HD13	0.485
44	A:78:ILE:HD11	A:100:ILE:HA	0.484
44	A:121:LEU:HD13	A:126:TRP:HZ3	0.484
44	A:121:LEU:HD21	A:153:PHE:CE1	0.479
44	A:3:ILE:O	A:6:MET:HB3	0.470
44	A:5:GLU:O	A:9:ILE:HG13	0.470

Model ID	Atom-1	Atom-2	Clash overlap (Å)
44	A:91:LEU:HD11	A:121:LEU:CD1	0.470
44	A:120:MET:SD	A:128:GLU:HB3	0.470
44	A:7:LEU:HB3	A:67:PHE:CZ	0.468
44	A:117:SER:O	A:121:LEU:HB2	0.464
44	A:88:TYR:CD1	A:99:LEU:CD1	0.462
44	A:102:MET:HA	A:138:TRP:CH2	0.461
44	A:150:ILE:HG22	A:154:ARG:HD2	0.459
44	A:25:TYR:HB2	A:34:THR:O	0.457
44	A:4:PHE:CE1	A:71:VAL:HG21	0.456
44	A:105:GLN:HB3	A:138:TRP:NE1	0.455
44	A:7:LEU:HA	A:10:ASP:HB2	0.453
44	A:126:TRP:CD1	A:154:ARG:HA	0.453
44	A:15:LEU:HD21	A:16:LYS:HG2	0.450
44	A:126:TRP:HB3	A:153:PHE:HB3	0.449
44	A:25:TYR:CE1	A:39:LEU:HD13	0.446
44	A:101:ASN:O	A:105:GLN:HB2	0.446
44	A:14:ARG:O	A:58:ILE:HD11	0.441
44	A:126:TRP:HB2	A:154:ARG:HA	0.439
44	A:6:MET:HE3	A:161:TYR:CE1	0.437
44	A:88:TYR:CD1	A:99:LEU:HD12	0.435
44	A:102:MET:SD	A:133:LEU:HD21	0.434
44	A:1:MET:HB3	A:158:TRP:CG	0.433
44	A:11:GLU:HG2	A:22:GLU:OE1	0.432

Model ID	Atom-1	Atom-2	Clash overlap (Å)
44	A:138:TRP:CD1	A:138:TRP:H	0.431
44	A:139:TYR:HE1	A:150:ILE:HD11	0.431
44	A:88:TYR:HD1	A:99:LEU:HD13	0.430
44	A:27:ILE:HG13	A:58:ILE:HG12	0.428
44	A:136:SER:OG	A:138:TRP:HB2	0.427
44	A:151:THR:HG21	A:160:ALA:HB1	0.424
44	A:7:LEU:HB3	A:67:PHE:HZ	0.423
44	A:3:ILE:HB	A:97:ALA:SG	0.422
44	A:70:ASP:HB3	A:104:PHE:CE2	0.422
44	A:124:LYS:O	A:125:ARG:HD2	0.421
44	A:130:ALA:HB1	A:150:ILE:CG2	0.419
44	A:99:LEU:HD23	A:153:PHE:CZ	0.417
44	A:66:LEU:O	A:69:GLN:HB2	0.415
44	A:127:ASP:O	A:130:ALA:HB3	0.413
44	A:121:LEU:HD22	A:126:TRP:HE3	0.412
44	A:127:ASP:O	A:131:VAL:HG23	0.412
44	A:20:ASP:HB3	A:26:THR:CG2	0.411
44	A:99:LEU:CD2	A:102:MET:HE1	0.410
44	A:96:ARG:O	A:100:ILE:HG13	0.410
44	A:88:TYR:CD1	A:99:LEU:HD13	0.405
44	A:4:PHE:HA	A:67:PHE:HE2	0.405
44	A:121:LEU:HD13	A:126:TRP:CZ3	0.402
44	A:130:ALA:HB1	A:150:ILE:HG23	0.402

Model ID	Atom-1	Atom-2	Clash overlap (Å)
44	A:50:ILE:HD13	A:66:LEU:HG	0.401
45	A:78:ILE:HG12	A:103:VAL:HG21	1.014
45	A:15:LEU:HD12	A:57:VAL:HG13	0.976
45	A:120:MET:HB3	A:125:ARG:HB3	0.955
45	A:148:ARG:HB2	A:161:TYR:CE1	0.954
45	A:106:MET:HE2	A:111:VAL:HG22	0.847
45	A:130:ALA:HB1	A:150:ILE:HG23	0.845
45	A:29:ILE:HD13	A:67:PHE:CD2	0.839
45	A:106:MET:HE2	A:111:VAL:CG2	0.835
45	A:130:ALA:CB	A:150:ILE:HG23	0.817
45	A:33:LEU:HD22	A:45:GLU:HB3	0.814
45	A:71:VAL:HG13	A:100:ILE:HG21	0.768
45	A:27:ILE:HG22	A:31:HIS:HB3	0.746
45	A:6:MET:SD	A:158:TRP:HZ3	0.744
45	A:7:LEU:HD11	A:104:PHE:CE1	0.741
45	A:27:ILE:CG2	A:31:HIS:HB3	0.738
45	A:138:TRP:HB3	A:146:ALA:HB2	0.729
45	A:43:LYS:HG3	A:56:GLY:HA3	0.728
45	A:121:LEU:HD21	A:153:PHE:CE1	0.720
45	A:88:TYR:HD1	A:99:LEU:CD1	0.709
45	A:1:MET:HE1	A:9:ILE:HD12	0.705
45	A:124:LYS:HB3	A:126:TRP:CZ2	0.689
45	A:6:MET:SD	A:158:TRP:CZ3	0.678

Model ID	Atom-1	Atom-2	Clash overlap (Å)
45	A:1:MET:HE3	A:161:TYR:HB3	0.677
45	A:87:VAL:HG12	A:122:GLN:HB2	0.654
45	A:78:ILE:CG1	A:103:VAL:HG21	0.636
45	A:15:LEU:HD12	A:57:VAL:CG1	0.634
45	A:13:LEU:HD13	A:29:ILE:CD1	0.626
45	A:17:ILE:HG12	A:42:ALA:HB3	0.619
45	A:88:TYR:HD1	A:99:LEU:HD12	0.618
45	A:99:LEU:HD23	A:153:PHE:HZ	0.612
45	A:20:ASP:HB2	A:26:THR:HG21	0.611
45	A:78:ILE:HG12	A:103:VAL:CG2	0.611
45	A:17:ILE:HG23	A:39:LEU:HD12	0.602
45	A:8:ARG:HG2	A:13:LEU:HB2	0.599
45	A:106:MET:HE2	A:111:VAL:HG23	0.590
45	A:58:ILE:HD13	A:63:ALA:HB2	0.573
45	A:120:MET:CB	A:125:ARG:HB3	0.572
45	A:3:ILE:HB	A:97:ALA:HB1	0.568
45	A:1:MET:HE1	A:9:ILE:CD1	0.567
45	A:13:LEU:HD13	A:29:ILE:HD11	0.565
45	A:1:MET:HB3	A:158:TRP:HB3	0.563
45	A:106:MET:HE1	A:133:LEU:HD22	0.562
45	A:130:ALA:HB1	A:150:ILE:CG2	0.562
45	A:6:MET:HE3	A:161:TYR:CE1	0.561
45	A:7:LEU:HD12	A:67:PHE:HE1	0.549

Model ID	Atom-1	Atom-2	Clash overlap (Å)
45	A:88:TYR:HD1	A:99:LEU:HD13	0.549
45	A:27:ILE:HD13	A:46:LEU:HG	0.544
45	A:27:ILE:HG13	A:58:ILE:HG12	0.539
45	A:7:LEU:CD1	A:67:PHE:HE1	0.537
45	A:102:MET:HG3	A:138:TRP:CH2	0.534
45	A:7:LEU:HB3	A:67:PHE:CZ	0.533
45	A:70:ASP:HB3	A:104:PHE:CE2	0.529
45	A:58:ILE:CD1	A:63:ALA:HB2	0.528
45	A:62:GLU:HA	A:65:LYS:HB2	0.527
45	A:6:MET:HG3	A:161:TYR:CZ	0.521
45	A:4:PHE:CE1	A:71:VAL:HG21	0.520
45	A:18:TYR:CE1	A:26:THR:HG23	0.520
45	A:1:MET:HG3	A:158:TRP:CE3	0.518
45	A:91:LEU:HG	A:95:ARG:HB2	0.517
45	A:70:ASP:HB3	A:104:PHE:HE2	0.516
45	A:120:MET:SD	A:128:GLU:CB	0.516
45	A:120:MET:SD	A:128:GLU:HB3	0.514
45	A:99:LEU:HD23	A:153:PHE:CZ	0.511
45	A:17:ILE:HG12	A:42:ALA:CB	0.508
45	A:27:ILE:HG23	A:31:HIS:HB3	0.507
45	A:102:MET:HG3	A:138:TRP:HH2	0.503
45	A:3:ILE:O	A:6:MET:HB3	0.498
45	A:7:LEU:HD13	A:67:PHE:CE1	0.492

Model ID	Atom-1	Atom-2	Clash overlap (Å)
45	A:4:PHE:HD1	A:67:PHE:CE2	0.489
45	A:151:THR:HG21	A:160:ALA:CB	0.489
45	A:129:ALA:O	A:133:LEU:HG	0.487
45	A:121:LEU:HD21	A:153:PHE:HE1	0.485
45	A:7:LEU:CD1	A:67:PHE:CE1	0.477
45	A:14:ARG:HG3	A:18:TYR:CD2	0.471
45	A:7:LEU:HB3	A:67:PHE:HZ	0.470
45	A:102:MET:HE3	A:111:VAL:HG11	0.468
45	A:105:GLN:OE1	A:145:ARG:HG2	0.468
45	A:17:ILE:HD12	A:26:THR:O	0.461
45	A:130:ALA:HB2	A:150:ILE:HG23	0.459
45	A:22:GLU:HB3	A:24:TYR:CE2	0.455
45	A:121:LEU:HD22	A:126:TRP:HE3	0.455
45	A:136:SER:HB2	A:138:TRP:H	0.453
45	A:105:GLN:HB3	A:138:TRP:NE1	0.451
45	A:84:LEU:HG	A:118:LEU:HD21	0.440
45	A:144:ASN:O	A:148:ARG:HD3	0.429
45	A:50:ILE:HG21	A:54:THR:SG	0.428
45	A:99:LEU:CD2	A:153:PHE:HZ	0.421
45	A:1:MET:HB3	A:158:TRP:CB	0.420
45	A:14:ARG:HG3	A:18:TYR:CG	0.418
45	A:140:ASN:HB3	A:141:GLN:OE1	0.417
45	A:46:LEU:O	A:50:ILE:HG12	0.416

Model ID	Atom-1	Atom-2	Clash overlap (Å)
45	A:66:LEU:O	A:69:GLN:HB2	0.412
45	A:114:PHE:HB2	A:117:SER:HB2	0.411
45	A:29:ILE:HB	A:67:PHE:CG	0.409
45	A:121:LEU:HD13	A:126:TRP:HZ3	0.409
45	A:17:ILE:HD12	A:26:THR:C	0.408
45	A:99:LEU:CD2	A:153:PHE:CZ	0.408
45	A:88:TYR:CD1	A:99:LEU:HD13	0.407
45	A:15:LEU:HD23	A:16:LYS:HG3	0.402
45	A:27:ILE:CG1	A:58:ILE:HG12	0.402
46	A:1:MET:HB3	A:158:TRP:HB3	1.157
46	A:78:ILE:HG12	A:103:VAL:HG21	1.139
46	A:120:MET:HB3	A:125:ARG:HB3	0.926
46	A:13:LEU:HD13	A:29:ILE:HD11	0.898
46	A:15:LEU:HD12	A:57:VAL:HG13	0.885
46	A:148:ARG:HB2	A:161:TYR:CE1	0.870
46	A:46:LEU:HD11	A:58:ILE:CG2	0.849
46	A:1:MET:HB3	A:158:TRP:CB	0.809
46	A:20:ASP:HB3	A:26:THR:CG2	0.806
46	A:27:ILE:HD11	A:58:ILE:HG23	0.773
46	A:29:ILE:HD13	A:67:PHE:CD2	0.763
46	A:13:LEU:HD13	A:29:ILE:CD1	0.748
46	A:114:PHE:HE2	A:135:LYS:HB2	0.744
46	A:1:MET:CB	A:158:TRP:HB3	0.730

Model ID	Atom-1	Atom-2	Clash overlap (Å)
46	A:138:TRP:HB3	A:146:ALA:HB2	0.726
46	A:138:TRP:HH2	A:149:VAL:HG11	0.713
46	A:46:LEU:HD11	A:58:ILE:HG23	0.695
46	A:130:ALA:CB	A:150:ILE:HG23	0.679
46	A:27:ILE:HG22	A:31:HIS:HB3	0.668
46	A:58:ILE:CD1	A:63:ALA:HB2	0.664
46	A:6:MET:SD	A:158:TRP:HZ3	0.660
46	A:138:TRP:CH2	A:149:VAL:HG11	0.646
46	A:87:VAL:HG12	A:122:GLN:HB2	0.643
46	A:88:TYR:HD1	A:99:LEU:CD1	0.640
46	A:1:MET:HE3	A:161:TYR:HB3	0.628
46	A:20:ASP:HB3	A:26:THR:HG21	0.626
46	A:17:ILE:HG23	A:39:LEU:HD12	0.613
46	A:121:LEU:HD22	A:126:TRP:HE3	0.609
46	A:29:ILE:HD13	A:67:PHE:CG	0.607
46	A:106:MET:CE	A:111:VAL:HG22	0.607
46	A:1:MET:HG3	A:158:TRP:CE3	0.606
46	A:78:ILE:HG12	A:103:VAL:CG2	0.603
46	A:88:TYR:HD1	A:99:LEU:HD13	0.602
46	A:106:MET:HE2	A:111:VAL:HG22	0.597
46	A:84:LEU:HG	A:118:LEU:HD21	0.590
46	A:27:ILE:HD11	A:58:ILE:CG2	0.584
46	A:15:LEU:HD12	A:57:VAL:CG1	0.582

Model ID	Atom-1	Atom-2	Clash overlap (Å)
46	A:130:ALA:HB2	A:150:ILE:HG23	0.580
46	A:70:ASP:HB3	A:104:PHE:HE2	0.576
46	A:130:ALA:HB1	A:150:ILE:HG23	0.564
46	A:6:MET:HE3	A:161:TYR:CE1	0.542
46	A:13:LEU:CD1	A:29:ILE:HD11	0.535
46	A:18:TYR:CE1	A:26:THR:HG23	0.534
46	A:120:MET:SD	A:128:GLU:CB	0.532
46	A:20:ASP:HB3	A:26:THR:HG22	0.531
46	A:52:ARG:CZ	A:59:THR:HG23	0.530
46	A:6:MET:SD	A:158:TRP:CZ3	0.522
46	A:114:PHE:CE1	A:133:LEU:HD23	0.519
46	A:130:ALA:HB1	A:150:ILE:CG2	0.513
46	A:1:MET:HE1	A:9:ILE:CD1	0.511
46	A:1:MET:HE1	A:9:ILE:HD12	0.511
46	A:27:ILE:CG2	A:31:HIS:HB3	0.511
46	A:95:ARG:HD3	A:126:TRP:CD2	0.502
46	A:99:LEU:HD23	A:153:PHE:HZ	0.502
46	A:14:ARG:HG3	A:18:TYR:CE2	0.500
46	A:15:LEU:CD1	A:57:VAL:HG13	0.497
46	A:17:ILE:HD12	A:26:THR:O	0.491
46	A:121:LEU:HD21	A:153:PHE:CE1	0.490
46	A:121:LEU:HD22	A:126:TRP:CE3	0.489
46	A:14:ARG:HG3	A:18:TYR:CD2	0.488

Model ID	Atom-1	Atom-2	Clash overlap (Å)
46	A:114:PHE:HB2	A:117:SER:HB2	0.488
46	A:13:LEU:HA	A:29:ILE:HG13	0.486
46	A:76:ARG:O	A:80:ARG:HG2	0.486
46	A:145:ARG:HB2	A:145:ARG:HH11	0.482
46	A:18:TYR:CE1	A:26:THR:CG2	0.469
46	A:70:ASP:HB3	A:104:PHE:CE2	0.465
46	A:138:TRP:CD1	A:145:ARG:HG2	0.465
46	A:65:LYS:O	A:69:GLN:HG2	0.464
46	A:117:SER:O	A:121:LEU:HB2	0.464
46	A:120:MET:CB	A:125:ARG:HB3	0.458
46	A:33:LEU:HD22	A:45:GLU:HB3	0.456
46	A:78:ILE:HG21	A:88:TYR:CD1	0.454
46	A:99:LEU:HD23	A:153:PHE:CZ	0.454
46	A:27:ILE:CD1	A:58:ILE:HG23	0.453
46	A:7:LEU:HD11	A:104:PHE:CD1	0.450
46	A:105:GLN:HB3	A:138:TRP:HE1	0.446
46	A:29:ILE:HD13	A:67:PHE:CB	0.445
46	A:46:LEU:HD11	A:58:ILE:HG22	0.445
46	A:117:SER:OG	A:132:ASN:HB2	0.443
46	A:129:ALA:O	A:133:LEU:HG	0.443
46	A:102:MET:HA	A:138:TRP:CH2	0.439
46	A:88:TYR:CD1	A:99:LEU:CD1	0.438
46	A:133:LEU:HD11	A:153:PHE:CE2	0.438

Model ID	Atom-1	Atom-2	Clash overlap (Å)
46	A:52:ARG:NH2	A:59:THR:HG23	0.437
46	A:94:VAL:HG11	A:156:GLY:C	0.437
46	A:27:ILE:HD11	A:58:ILE:HG12	0.435
46	A:78:ILE:HG21	A:88:TYR:CG	0.434
46	A:17:ILE:HG12	A:42:ALA:HB1	0.433
46	A:3:ILE:HB	A:97:ALA:SG	0.432
46	A:87:VAL:CG2	A:121:LEU:HB3	0.431
46	A:14:ARG:HG3	A:18:TYR:CZ	0.429
46	A:58:ILE:HD13	A:63:ALA:HB2	0.427
46	A:43:LYS:HG3	A:56:GLY:N	0.426
46	A:88:TYR:CD1	A:99:LEU:HD13	0.426
46	A:120:MET:SD	A:128:GLU:HB3	0.426
46	A:7:LEU:HD11	A:104:PHE:CE1	0.425
46	A:136:SER:OG	A:138:TRP:HB2	0.425
46	A:19:LYS:HG3	A:25:TYR:CD2	0.424
46	A:29:ILE:HG21	A:67:PHE:CE1	0.420
46	A:102:MET:SD	A:133:LEU:HD21	0.420
46	A:67:PHE:HA	A:70:ASP:OD2	0.419
46	A:111:VAL:HA	A:114:PHE:CE1	0.414
46	A:114:PHE:O	A:118:LEU:HD13	0.412
46	A:91:LEU:HD21	A:126:TRP:CZ3	0.411
46	A:148:ARG:HB2	A:161:TYR:CZ	0.408
46	A:17:ILE:HG12	A:42:ALA:CB	0.407

Model ID	Atom-1	Atom-2	Clash overlap (Å)
46	A:148:ARG:H	A:148:ARG:HG2	0.402
47	A:25:TYR:HE1	A:39:LEU:HD13	1.000
47	A:25:TYR:CE1	A:39:LEU:HD13	0.994
47	A:15:LEU:HD22	A:58:ILE:HG13	0.969
47	A:46:LEU:HD11	A:58:ILE:HG23	0.938
47	A:7:LEU:HB3	A:67:PHE:CZ	0.889
47	A:7:LEU:HB3	A:67:PHE:HZ	0.866
47	A:16:LYS:HD3	A:57:VAL:HG22	0.854
47	A:1:MET:SD	A:5:GLU:HB3	0.806
47	A:97:ALA:SG	A:158:TRP:HZ2	0.796
47	A:27:ILE:HB	A:33:LEU:HD11	0.788
47	A:121:LEU:HD23	A:126:TRP:CE3	0.749
47	A:121:LEU:HD23	A:126:TRP:HE3	0.740
47	A:97:ALA:SG	A:158:TRP:CZ2	0.715
47	A:84:LEU:HD23	A:88:TYR:HB2	0.707
47	A:46:LEU:HD12	A:50:ILE:CG1	0.685
47	A:102:MET:HE3	A:111:VAL:CG1	0.683
47	A:84:LEU:CD2	A:88:TYR:HB2	0.681
47	A:46:LEU:HD11	A:58:ILE:CG2	0.673
47	A:6:MET:SD	A:97:ALA:HB1	0.658
47	A:148:ARG:HB3	A:161:TYR:CE1	0.650
47	A:15:LEU:CD2	A:58:ILE:HG13	0.644
47	A:27:ILE:HD13	A:46:LEU:HD22	0.638

Model ID	Atom-1	Atom-2	Clash overlap (Å)
47	A:130:ALA:CB	A:154:ARG:HG3	0.637
47	A:87:VAL:HG21	A:122:GLN:HB2	0.633
47	A:17:ILE:HG21	A:42:ALA:CB	0.622
47	A:27:ILE:HG13	A:58:ILE:CD1	0.621
47	A:46:LEU:HD12	A:50:ILE:HG12	0.620
47	A:17:ILE:HG21	A:42:ALA:HB1	0.616
47	A:26:THR:HG23	A:30:GLY:H	0.609
47	A:94:VAL:HG12	A:152:THR:HG23	0.604
47	A:99:LEU:HD23	A:153:PHE:HZ	0.597
47	A:102:MET:HE3	A:111:VAL:HG13	0.595
47	A:27:ILE:HG13	A:58:ILE:HD13	0.592
47	A:78:ILE:HG13	A:103:VAL:HG21	0.589
47	A:106:MET:SD	A:138:TRP:CE3	0.589
47	A:5:GLU:HA	A:8:ARG:HG2	0.576
47	A:27:ILE:HG22	A:33:LEU:HD21	0.572
47	A:88:TYR:HD1	A:99:LEU:CD1	0.571
47	A:105:GLN:HB2	A:138:TRP:HZ2	0.571
47	A:99:LEU:CD2	A:153:PHE:HZ	0.570
47	A:27:ILE:CG1	A:58:ILE:HD13	0.568
47	A:14:ARG:HG3	A:18:TYR:CG	0.561
47	A:18:TYR:CE1	A:26:THR:HG22	0.549
47	A:119:ARG:HA	A:122:GLN:HG2	0.544
47	A:14:ARG:HG3	A:18:TYR:CD2	0.539

Model ID	Atom-1	Atom-2	Clash overlap (Å)
47	A:46:LEU:HD12	A:50:ILE:HG13	0.539
47	A:77:GLY:HA3	A:103:VAL:HG11	0.539
47	A:94:VAL:HG22	A:158:TRP:CD1	0.535
47	A:115:THR:HA	A:118:LEU:HB2	0.532
47	A:31:HIS:HB2	A:66:LEU:HG	0.530
47	A:6:MET:HE2	A:161:TYR:CE1	0.523
47	A:27:ILE:HG22	A:31:HIS:HB3	0.520
47	A:29:ILE:HD12	A:67:PHE:CG	0.520
47	A:74:ALA:HB3	A:100:ILE:HG23	0.520
47	A:27:ILE:CG2	A:33:LEU:HD21	0.517
47	A:34:THR:HG22	A:42:ALA:HB2	0.516
47	A:87:VAL:HG11	A:122:GLN:HA	0.515
47	A:3:ILE:HB	A:97:ALA:SG	0.513
47	A:7:LEU:HD22	A:67:PHE:HE1	0.513
47	A:102:MET:CE	A:111:VAL:HG13	0.507
47	A:130:ALA:HB3	A:154:ARG:HG3	0.502
47	A:7:LEU:HD22	A:67:PHE:CE1	0.500
47	A:88:TYR:CD1	A:99:LEU:HD13	0.500
47	A:29:ILE:HB	A:67:PHE:CD1	0.499
47	A:74:ALA:HB3	A:100:ILE:CG2	0.496
47	A:46:LEU:CD1	A:50:ILE:HG13	0.494
47	A:25:TYR:HE1	A:39:LEU:HA	0.492
47	A:88:TYR:CD1	A:99:LEU:CD1	0.491

Model ID	Atom-1	Atom-2	Clash overlap (Å)
47	A:1:MET:HE1	A:9:ILE:CD1	0.490
47	A:74:ALA:CB	A:100:ILE:HG23	0.488
47	A:88:TYR:HD1	A:99:LEU:HD13	0.480
47	A:6:MET:HG2	A:161:TYR:CZ	0.479
47	A:12:GLY:O	A:29:ILE:HG12	0.479
47	A:102:MET:HA	A:138:TRP:CH2	0.479
47	A:22:GLU:HB3	A:24:TYR:CE2	0.472
47	A:121:LEU:HD21	A:129:ALA:CB	0.469
47	A:98:ALA:HB2	A:152:THR:CG2	0.468
47	A:106:MET:HB2	A:138:TRP:CE2	0.468
47	A:44:SER:O	A:48:LYS:HB2	0.467
47	A:27:ILE:CD1	A:46:LEU:HD22	0.465
47	A:99:LEU:CD2	A:153:PHE:CZ	0.464
47	A:102:MET:SD	A:133:LEU:HD11	0.459
47	A:102:MET:SD	A:133:LEU:HD21	0.456
47	A:121:LEU:CD2	A:126:TRP:HE3	0.455
47	A:105:GLN:HB2	A:138:TRP:CZ2	0.454
47	A:3:ILE:HG12	A:100:ILE:CD1	0.453
47	A:3:ILE:HG12	A:100:ILE:HD12	0.453
47	A:94:VAL:HG11	A:157:THR:C	0.452
47	A:130:ALA:HB1	A:150:ILE:CG2	0.452
47	A:48:LYS:HB3	A:48:LYS:HE2	0.450
47	A:126:TRP:O	A:129:ALA:HB3	0.448

Model ID	Atom-1	Atom-2	Clash overlap (Å)
47	A:102:MET:HE3	A:111:VAL:HG11	0.447
47	A:6:MET:HG3	A:158:TRP:CZ3	0.446
47	A:29:ILE:HG21	A:67:PHE:CE1	0.445
47	A:25:TYR:CE1	A:39:LEU:HA	0.444
47	A:27:ILE:HG13	A:58:ILE:HD11	0.443
47	A:13:LEU:HD11	A:64:GLU:HG2	0.442
47	A:84:LEU:HD23	A:88:TYR:CB	0.439
47	A:6:MET:HG3	A:158:TRP:HZ3	0.436
47	A:46:LEU:O	A:50:ILE:HG12	0.436
47	A:18:TYR:HE1	A:26:THR:HG22	0.433
47	A:46:LEU:CD1	A:58:ILE:HG23	0.430
47	A:78:ILE:HD11	A:99:LEU:C	0.430
47	A:1:MET:HG3	A:158:TRP:CE3	0.428
47	A:14:ARG:HA	A:14:ARG:HD2	0.427
47	A:28:GLY:HA2	A:63:ALA:HB1	0.426
47	A:106:MET:HB2	A:138:TRP:CD2	0.423
47	A:19:LYS:HA	A:24:TYR:O	0.421
47	A:98:ALA:HB2	A:152:THR:HG22	0.421
47	A:120:MET:SD	A:128:GLU:HB3	0.421
47	A:1:MET:HA	A:5:GLU:OE2	0.416
47	A:18:TYR:HE1	A:26:THR:CG2	0.414
47	A:26:THR:HA	A:31:HIS:O	0.412
47	A:94:VAL:HG12	A:152:THR:CG2	0.408

Model ID	Atom-1	Atom-2	Clash overlap (Å)
47	A:121:LEU:CD2	A:126:TRP:CE3	0.405
47	A:84:LEU:HD12	A:118:LEU:HD23	0.403
47	A:139:TYR:O	A:143:PRO:HA	0.402
47	A:15:LEU:O	A:58:ILE:HG12	0.401
48	A:130:ALA:HB3	A:154:ARG:HG3	1.138
48	A:102:MET:HE3	A:111:VAL:HG13	1.111
48	A:102:MET:HG2	A:111:VAL:HG22	1.099
48	A:7:LEU:HB3	A:67:PHE:HZ	1.050
48	A:25:TYR:HE1	A:39:LEU:HD12	1.038
48	A:7:LEU:HB3	A:67:PHE:CZ	1.012
48	A:46:LEU:HD11	A:58:ILE:HG21	0.999
48	A:15:LEU:HD22	A:58:ILE:HG13	0.952
48	A:25:TYR:CE1	A:39:LEU:HD12	0.931
48	A:106:MET:SD	A:138:TRP:HE3	0.923
48	A:18:TYR:CE1	A:26:THR:HG22	0.908
48	A:46:LEU:HD11	A:58:ILE:CG2	0.871
48	A:138:TRP:HH2	A:149:VAL:HG11	0.870
48	A:138:TRP:CH2	A:149:VAL:HG11	0.867
48	A:121:LEU:HD11	A:153:PHE:HE1	0.866
48	A:130:ALA:CB	A:154:ARG:HG3	0.832
48	A:1:MET:SD	A:5:GLU:HB3	0.827
48	A:88:TYR:HD1	A:99:LEU:HD12	0.795
48	A:11:GLU:HB2	A:29:ILE:HG23	0.791

Model ID	Atom-1	Atom-2	Clash overlap (Å)
48	A:121:LEU:HD11	A:153:PHE:CE1	0.785
48	A:19:LYS:HB3	A:23:GLY:HA2	0.775
48	A:74:ALA:HB3	A:100:ILE:HG22	0.772
48	A:27:ILE:CG2	A:33:LEU:HD21	0.754
48	A:27:ILE:HG21	A:33:LEU:HD21	0.743
48	A:1:MET:HE1	A:9:ILE:CD1	0.740
48	A:121:LEU:CD1	A:153:PHE:HE1	0.726
48	A:102:MET:HG2	A:111:VAL:CG2	0.711
48	A:133:LEU:HB3	A:150:ILE:HG12	0.693
48	A:121:LEU:HD23	A:126:TRP:HE3	0.689
48	A:106:MET:SD	A:138:TRP:CE3	0.687
48	A:50:ILE:HG22	A:52:ARG:H	0.685
48	A:8:ARG:HA	A:29:ILE:HG12	0.681
48	A:121:LEU:HD23	A:126:TRP:CE3	0.679
48	A:102:MET:CG	A:111:VAL:HG22	0.654
48	A:74:ALA:CB	A:100:ILE:HG22	0.647
48	A:22:GLU:HG3	A:24:TYR:HE2	0.646
48	A:134:ALA:HA	A:150:ILE:HD13	0.643
48	A:78:ILE:HD11	A:100:ILE:HA	0.642
48	A:84:LEU:CD2	A:88:TYR:HB2	0.640
48	A:1:MET:HE1	A:9:ILE:HD11	0.636
48	A:5:GLU:HA	A:8:ARG:HE	0.622
48	A:15:LEU:CD2	A:58:ILE:HG13	0.622

Model ID	Atom-1	Atom-2	Clash overlap (Å)
48	A:99:LEU:HD23	A:153:PHE:HZ	0.616
48	A:28:GLY:HA3	A:66:LEU:HD11	0.601
48	A:102:MET:CE	A:111:VAL:HG13	0.596
48	A:77:GLY:HA3	A:103:VAL:HG11	0.591
48	A:8:ARG:HG3	A:13:LEU:HB2	0.590
48	A:13:LEU:HD11	A:63:ALA:CB	0.581
48	A:142:THR:HG21	A:145:ARG:HH11	0.581
48	A:13:LEU:CD2	A:15:LEU:HD12	0.572
48	A:27:ILE:HB	A:33:LEU:HD11	0.571
48	A:102:MET:HE3	A:111:VAL:CG1	0.568
48	A:75:VAL:HA	A:78:ILE:HD12	0.566
48	A:120:MET:HB3	A:125:ARG:HB2	0.559
48	A:13:LEU:HD11	A:63:ALA:HB1	0.556
48	A:25:TYR:HE1	A:39:LEU:CD1	0.550
48	A:29:ILE:HD13	A:67:PHE:CD2	0.549
48	A:74:ALA:HB3	A:100:ILE:CG2	0.536
48	A:130:ALA:HB1	A:150:ILE:HG22	0.527
48	A:14:ARG:HB3	A:18:TYR:CD1	0.521
48	A:3:ILE:HB	A:97:ALA:SG	0.519
48	A:27:ILE:HG23	A:66:LEU:HD22	0.515
48	A:91:LEU:CD1	A:99:LEU:HD11	0.510
48	A:27:ILE:HG12	A:46:LEU:HD13	0.508
48	A:1:MET:HG2	A:158:TRP:CD2	0.499

Model ID	Atom-1	Atom-2	Clash overlap (Å)
48	A:11:GLU:CB	A:29:ILE:HG23	0.499
48	A:4:PHE:HE1	A:68:ASN:HA	0.495
48	A:29:ILE:HD13	A:67:PHE:CG	0.494
48	A:75:VAL:HG22	A:100:ILE:HG12	0.492
48	A:46:LEU:O	A:50:ILE:HG12	0.490
48	A:27:ILE:HG22	A:33:LEU:HD21	0.489
48	A:1:MET:HG2	A:158:TRP:CE3	0.488
48	A:50:ILE:HG23	A:62:GLU:HG3	0.485
48	A:7:LEU:HD13	A:101:ASN:CG	0.484
48	A:97:ALA:CB	A:158:TRP:HH2	0.482
48	A:145:ARG:HA	A:148:ARG:HH21	0.475
48	A:2:ASN:CG	A:4:PHE:HD2	0.472
48	A:148:ARG:HB3	A:161:TYR:CE1	0.470
48	A:29:ILE:HB	A:67:PHE:CD1	0.469
48	A:106:MET:HB2	A:138:TRP:CE3	0.467
48	A:20:ASP:HB3	A:26:THR:OG1	0.465
48	A:44:SER:O	A:48:LYS:HB3	0.465
48	A:114:PHE:O	A:118:LEU:HD13	0.464
48	A:11:GLU:HB2	A:29:ILE:CG2	0.463
48	A:50:ILE:CG2	A:62:GLU:HG2	0.461
48	A:50:ILE:HG21	A:62:GLU:HG2	0.461
48	A:99:LEU:HD23	A:153:PHE:CZ	0.461
48	A:102:MET:SD	A:133:LEU:HD11	0.460

Model ID	Atom-1	Atom-2	Clash overlap (Å)
48	A:138:TRP:HZ2	A:149:VAL:HG21	0.460
48	A:102:MET:SD	A:133:LEU:HD21	0.456
48	A:17:ILE:HG13	A:27:ILE:HD13	0.454
48	A:102:MET:HA	A:138:TRP:CH2	0.450
48	A:3:ILE:HG12	A:100:ILE:HD12	0.448
48	A:7:LEU:HB3	A:67:PHE:CE2	0.441
48	A:84:LEU:HD22	A:88:TYR:HB2	0.440
48	A:59:THR:H	A:62:GLU:HB2	0.438
48	A:117:SER:HB3	A:132:ASN:ND2	0.437
48	A:13:LEU:HD13	A:29:ILE:HD11	0.435
48	A:88:TYR:CD1	A:99:LEU:HD12	0.431
48	A:16:LYS:HD2	A:57:VAL:HG22	0.430
48	A:18:TYR:CE1	A:26:THR:CG2	0.430
48	A:27:ILE:HG22	A:31:HIS:HB3	0.430
48	A:66:LEU:O	A:69:GLN:HB2	0.430
48	A:138:TRP:CH2	A:149:VAL:CG1	0.428
48	A:34:THR:HG21	A:41:ALA:HB3	0.426
48	A:50:ILE:HG23	A:62:GLU:CG	0.426
48	A:75:VAL:O	A:79:LEU:HD23	0.426
48	A:43:LYS:O	A:46:LEU:HB3	0.424
48	A:74:ALA:O	A:78:ILE:HG13	0.420
48	A:94:VAL:HG21	A:156:GLY:O	0.417
48	A:105:GLN:HB3	A:138:TRP:CE2	0.412

Model ID	Atom-1	Atom-2	Clash overlap (Å)
48	A:130:ALA:HB1	A:150:ILE:CG2	0.411
48	A:142:THR:HG21	A:145:ARG:NH1	0.411
48	A:98:ALA:HB1	A:153:PHE:CD2	0.411
48	A:148:ARG:HB3	A:161:TYR:CD1	0.410
48	A:130:ALA:HB3	A:154:ARG:CG	0.409
48	A:141:GLN:O	A:143:PRO:HD3	0.406
48	A:27:ILE:HG13	A:58:ILE:CD1	0.405
48	A:50:ILE:HG13	A:54:THR:SG	0.404
48	A:78:ILE:CG2	A:84:LEU:HD22	0.404
48	A:79:LEU:HD13	A:85:LYS:HG3	0.403
48	A:94:VAL:HG11	A:156:GLY:HA2	0.403
48	A:94:VAL:O	A:97:ALA:HB3	0.401
48	A:4:PHE:HA	A:67:PHE:CD2	0.400
49	A:1:MET:SD	A:5:GLU:HB3	1.018
49	A:102:MET:HE3	A:111:VAL:HG13	0.943
49	A:27:ILE:HD13	A:46:LEU:HD22	0.942
49	A:121:LEU:HD23	A:126:TRP:HE3	0.791
49	A:13:LEU:HD13	A:29:ILE:HD11	0.785
49	A:102:MET:CE	A:111:VAL:HG13	0.761
49	A:84:LEU:CD2	A:88:TYR:HB2	0.757
49	A:84:LEU:HD23	A:88:TYR:HB2	0.746
49	A:15:LEU:HD22	A:58:ILE:HG13	0.744
49	A:121:LEU:HD23	A:126:TRP:CE3	0.742

Model ID	Atom-1	Atom-2	Clash overlap (Å)
49	A:97:ALA:SG	A:158:TRP:CZ2	0.712
49	A:27:ILE:HG12	A:46:LEU:HD13	0.711
49	A:102:MET:HE3	A:111:VAL:CG1	0.708
49	A:97:ALA:SG	A:158:TRP:HZ2	0.696
49	A:52:ARG:HD2	A:54:THR:H	0.689
49	A:58:ILE:HB	A:62:GLU:HB3	0.682
49	A:83:LYS:HG2	A:118:LEU:HD22	0.653
49	A:27:ILE:CG2	A:33:LEU:HD21	0.646
49	A:7:LEU:HD22	A:67:PHE:HE1	0.645
49	A:18:TYR:CE1	A:26:THR:HG22	0.642
49	A:99:LEU:HD23	A:153:PHE:HZ	0.633
49	A:7:LEU:HB3	A:67:PHE:CZ	0.620
49	A:6:MET:HE2	A:161:TYR:CE1	0.607
49	A:50:ILE:HG21	A:62:GLU:HG3	0.602
49	A:102:MET:HG2	A:111:VAL:HG22	0.602
49	A:5:GLU:HA	A:8:ARG:HG2	0.598
49	A:120:MET:HG2	A:125:ARG:HD3	0.591
49	A:46:LEU:HD11	A:58:ILE:HG23	0.586
49	A:106:MET:HB2	A:138:TRP:CE2	0.586
49	A:148:ARG:HB3	A:161:TYR:CE1	0.585
49	A:81:ASN:HD22	A:112:ALA:HB1	0.581
49	A:27:ILE:HG22	A:33:LEU:HD21	0.574
49	A:77:GLY:HA3	A:103:VAL:HG11	0.564

Model ID	Atom-1	Atom-2	Clash overlap (Å)
49	A:121:LEU:CD2	A:126:TRP:HE3	0.563
49	A:29:ILE:HG21	A:67:PHE:CE1	0.555
49	A:138:TRP:HH2	A:149:VAL:HG11	0.554
49	A:13:LEU:HD13	A:29:ILE:CD1	0.543
49	A:29:ILE:HD13	A:67:PHE:CG	0.543
49	A:106:MET:SD	A:138:TRP:CE3	0.539
49	A:27:ILE:CD1	A:46:LEU:HD22	0.536
49	A:94:VAL:HG22	A:158:TRP:CD1	0.535
49	A:13:LEU:HD11	A:63:ALA:CB	0.531
49	A:11:GLU:CB	A:29:ILE:HG23	0.527
49	A:14:ARG:CB	A:18:TYR:CD1	0.527
49	A:13:LEU:HD11	A:63:ALA:HB3	0.514
49	A:87:VAL:HG22	A:122:GLN:HB2	0.508
49	A:31:HIS:HB2	A:66:LEU:HD21	0.500
49	A:106:MET:HB2	A:138:TRP:CD2	0.500
49	A:75:VAL:HG22	A:100:ILE:HG12	0.495
49	A:42:ALA:O	A:46:LEU:HB3	0.494
49	A:87:VAL:HG13	A:122:GLN:HA	0.490
49	A:138:TRP:CH2	A:149:VAL:HG11	0.490
49	A:121:LEU:CD2	A:126:TRP:CE3	0.487
49	A:139:TYR:HE1	A:147:LYS:HB2	0.484
49	A:7:LEU:HB3	A:67:PHE:CE1	0.481
49	A:105:GLN:HB2	A:138:TRP:HZ2	0.481

Model ID	Atom-1	Atom-2	Clash overlap (Å)
49	A:45:GLU:CD	A:48:LYS:HE2	0.478
49	A:25:TYR:CE1	A:39:LEU:CD1	0.477
49	A:78:ILE:CG2	A:84:LEU:HD22	0.476
49	A:46:LEU:O	A:50:ILE:HG12	0.472
49	A:87:VAL:CG2	A:122:GLN:HB2	0.471
49	A:139:TYR:CE1	A:147:LYS:HB2	0.471
49	A:94:VAL:HG11	A:157:THR:C	0.469
49	A:11:GLU:HB2	A:29:ILE:HG23	0.465
49	A:13:LEU:CD1	A:63:ALA:HB1	0.463
49	A:14:ARG:HB2	A:18:TYR:CD1	0.463
49	A:88:TYR:HD1	A:99:LEU:CD1	0.463
49	A:46:LEU:CD1	A:58:ILE:HG23	0.454
49	A:102:MET:HA	A:138:TRP:CH2	0.453
49	A:130:ALA:HB1	A:150:ILE:HG22	0.453
49	A:64:GLU:O	A:67:PHE:HB3	0.451
49	A:74:ALA:HB3	A:100:ILE:HG23	0.450
49	A:74:ALA:HB3	A:100:ILE:CG2	0.446
49	A:106:MET:HE2	A:110:GLY:HA3	0.444
49	A:120:MET:HE2	A:125:ARG:NH1	0.444
49	A:11:GLU:HB3	A:29:ILE:HG23	0.443
49	A:99:LEU:HD23	A:153:PHE:CZ	0.439
49	A:85:LYS:HB3	A:85:LYS:HE2	0.438
49	A:91:LEU:HD11	A:99:LEU:HD11	0.434

Model ID	Atom-1	Atom-2	Clash overlap (Å)
49	A:133:LEU:HB3	A:150:ILE:HG12	0.434
49	A:130:ALA:HB1	A:150:ILE:CG2	0.432
49	A:14:ARG:HB3	A:18:TYR:CD1	0.431
49	A:66:LEU:O	A:66:LEU:HD12	0.431
49	A:127:ASP:O	A:131:VAL:HG23	0.431
49	A:11:GLU:HB2	A:29:ILE:CG2	0.429
49	A:27:ILE:HB	A:33:LEU:HD21	0.429
49	A:1:MET:HG3	A:158:TRP:CZ3	0.427
49	A:6:MET:HG3	A:158:TRP:CZ3	0.424
49	A:25:TYR:CE1	A:39:LEU:HD13	0.424
49	A:93:ALA:HA	A:96:ARG:HG3	0.423
49	A:6:MET:HG3	A:158:TRP:HZ3	0.419
49	A:45:GLU:HA	A:48:LYS:HB2	0.419
49	A:146:ALA:O	A:149:VAL:HB	0.418
49	A:98:ALA:HB2	A:152:THR:CG2	0.416
49	A:108:GLU:CD	A:108:GLU:H	0.415
49	A:25:TYR:HE1	A:39:LEU:CD1	0.414
49	A:58:ILE:HD12	A:63:ALA:HA	0.414
49	A:99:LEU:CD2	A:153:PHE:HZ	0.413
49	A:26:THR:HA	A:31:HIS:O	0.412
49	A:139:TYR:O	A:143:PRO:HA	0.411
49	A:10:ASP:OD1	A:148:ARG:NH2	0.409
49	A:98:ALA:HB2	A:152:THR:HB	0.402

Model ID	Atom-1	Atom-2	Clash overlap (Å)
49	A:66:LEU:O	A:69:GLN:HB2	0.402
49	A:19:LYS:HA	A:24:TYR:O	0.400
49	A:117:SER:HA	A:120:MET:HB2	0.400
50	A:46:LEU:HD11	A:58:ILE:HG23	1.078
50	A:50:ILE:HG23	A:62:GLU:HG2	0.983
50	A:13:LEU:HD11	A:63:ALA:HB1	0.969
50	A:87:VAL:HG22	A:122:GLN:HB2	0.946
50	A:7:LEU:HB3	A:67:PHE:CZ	0.879
50	A:46:LEU:HD11	A:58:ILE:CG2	0.838
50	A:13:LEU:HD11	A:63:ALA:CB	0.811
50	A:13:LEU:HD13	A:29:ILE:CD1	0.805
50	A:87:VAL:CG2	A:122:GLN:HB2	0.804
50	A:11:GLU:HB3	A:29:ILE:HG23	0.789
50	A:13:LEU:HD13	A:29:ILE:HD12	0.778
50	A:15:LEU:HD22	A:58:ILE:HG13	0.769
50	A:15:LEU:CD2	A:58:ILE:HG13	0.767
50	A:50:ILE:HD12	A:62:GLU:HB3	0.767
50	A:1:MET:SD	A:5:GLU:HB3	0.766
50	A:99:LEU:HD23	A:153:PHE:HZ	0.753
50	A:102:MET:SD	A:133:LEU:HD21	0.749
50	A:7:LEU:HB3	A:67:PHE:HZ	0.741
50	A:121:LEU:HD22	A:126:TRP:CE3	0.737
50	A:121:LEU:HD11	A:153:PHE:CE1	0.729

Model ID	Atom-1	Atom-2	Clash overlap (Å)
50	A:31:HIS:HD2	A:33:LEU:HD22	0.724
50	A:58:ILE:HD12	A:63:ALA:HB2	0.718
50	A:78:ILE:CG2	A:84:LEU:HD22	0.715
50	A:121:LEU:HD11	A:153:PHE:HE1	0.711
50	A:134:ALA:HA	A:150:ILE:HD13	0.707
50	A:13:LEU:HD23	A:15:LEU:HD11	0.699
50	A:97:ALA:SG	A:158:TRP:HZ2	0.696
50	A:120:MET:HB3	A:125:ARG:HB3	0.680
50	A:29:ILE:HD13	A:67:PHE:CG	0.668
50	A:7:LEU:HG	A:71:VAL:HG22	0.666
50	A:91:LEU:HD22	A:126:TRP:CH2	0.666
50	A:58:ILE:HD12	A:63:ALA:CB	0.653
50	A:13:LEU:CD1	A:63:ALA:HB1	0.639
50	A:78:ILE:HG22	A:84:LEU:HD22	0.630
50	A:121:LEU:HD23	A:129:ALA:HB2	0.615
50	A:18:TYR:CE1	A:26:THR:HG22	0.605
50	A:87:VAL:HG22	A:122:GLN:CB	0.603
50	A:99:LEU:CD2	A:153:PHE:HZ	0.599
50	A:17:ILE:HG13	A:27:ILE:HD13	0.595
50	A:134:ALA:HB2	A:150:ILE:HG21	0.594
50	A:29:ILE:HG21	A:67:PHE:CE1	0.581
50	A:97:ALA:SG	A:158:TRP:CZ2	0.580
50	A:81:ASN:HB3	A:84:LEU:HB2	0.575

Model ID	Atom-1	Atom-2	Clash overlap (Å)
50	A:91:LEU:HD22	A:126:TRP:HH2	0.555
50	A:13:LEU:HD13	A:29:ILE:HD11	0.553
50	A:87:VAL:HG13	A:122:GLN:HA	0.551
50	A:139:TYR:HA	A:146:ALA:HB3	0.542
50	A:1:MET:HG3	A:158:TRP:CE3	0.540
50	A:3:ILE:HG12	A:100:ILE:HD12	0.537
50	A:6:MET:HG3	A:158:TRP:HZ3	0.535
50	A:91:LEU:CD2	A:126:TRP:HH2	0.535
50	A:121:LEU:CD2	A:126:TRP:CE3	0.533
50	A:147:LYS:HA	A:150:ILE:HD12	0.520
50	A:13:LEU:HD23	A:15:LEU:CD1	0.519
50	A:78:ILE:HG13	A:103:VAL:HG21	0.516
50	A:6:MET:HG2	A:161:TYR:CZ	0.514
50	A:106:MET:SD	A:138:TRP:CE3	0.514
50	A:77:GLY:HA3	A:103:VAL:HG11	0.513
50	A:29:ILE:HB	A:67:PHE:CD1	0.512
50	A:13:LEU:HG	A:64:GLU:OE1	0.511
50	A:125:ARG:HG3	A:128:GLU:HB2	0.508
50	A:78:ILE:HG21	A:88:TYR:CD1	0.505
50	A:50:ILE:HG23	A:62:GLU:CG	0.499
50	A:46:LEU:O	A:50:ILE:HG12	0.490
50	A:25:TYR:CE1	A:39:LEU:CD1	0.488
50	A:121:LEU:CD2	A:126:TRP:HE3	0.488

Model ID	Atom-1	Atom-2	Clash overlap (Å)
50	A:6:MET:HE2	A:161:TYR:CE1	0.487
50	A:31:HIS:CD2	A:33:LEU:HD22	0.485
50	A:130:ALA:HB1	A:150:ILE:HG22	0.484
50	A:6:MET:SD	A:97:ALA:HB1	0.483
50	A:33:LEU:HD12	A:34:THR:HB	0.482
50	A:105:GLN:HB2	A:138:TRP:HZ2	0.482
50	A:78:ILE:HD11	A:100:ILE:HA	0.480
50	A:47:ASP:HB2	A:56:GLY:HA2	0.476
50	A:6:MET:HG3	A:158:TRP:CZ3	0.475
50	A:87:VAL:O	A:91:LEU:HG	0.472
50	A:114:PHE:O	A:118:LEU:HD23	0.468
50	A:27:ILE:HG22	A:31:HIS:HB3	0.467
50	A:78:ILE:HD13	A:88:TYR:CE1	0.466
50	A:78:ILE:HG23	A:84:LEU:HD22	0.465
50	A:27:ILE:HG23	A:66:LEU:HD13	0.463
50	A:15:LEU:O	A:57:VAL:HG13	0.461
50	A:10:ASP:OD1	A:148:ARG:NH2	0.459
50	A:19:LYS:HB3	A:23:GLY:HA2	0.458
50	A:14:ARG:HG3	A:18:TYR:CE2	0.457
50	A:11:GLU:CB	A:29:ILE:HG23	0.456
50	A:98:ALA:HB2	A:152:THR:HB	0.455
50	A:27:ILE:HG12	A:46:LEU:HD22	0.451
50	A:52:ARG:HD3	A:54:THR:SG	0.451

Model ID	Atom-1	Atom-2	Clash overlap (Å)
50	A:7:LEU:C	A:67:PHE:HZ	0.449
50	A:75:VAL:O	A:79:LEU:HD23	0.445
50	A:155:THR:O	A:157:THR:HG23	0.445
50	A:139:TYR:CE1	A:147:LYS:HG3	0.443
50	A:3:ILE:HB	A:97:ALA:SG	0.442
50	A:88:TYR:HD1	A:99:LEU:CD1	0.441
50	A:130:ALA:HB1	A:150:ILE:CG2	0.440
50	A:14:ARG:HB2	A:18:TYR:CD1	0.437
50	A:139:TYR:HE1	A:147:LYS:HG3	0.436
50	A:74:ALA:HB3	A:100:ILE:HG23	0.432
50	A:11:GLU:HB3	A:29:ILE:CG2	0.431
50	A:117:SER:O	A:121:LEU:HB2	0.428
50	A:94:VAL:HG22	A:158:TRP:CD1	0.426
50	A:15:LEU:HD23	A:58:ILE:HG13	0.425
50	A:20:ASP:HB3	A:26:THR:OG1	0.424
50	A:26:THR:HA	A:31:HIS:O	0.421
50	A:95:ARG:HD2	A:126:TRP:CD2	0.420
50	A:141:GLN:O	A:143:PRO:HD3	0.418
50	A:43:LYS:O	A:46:LEU:HB3	0.417
50	A:22:GLU:HB3	A:24:TYR:CE2	0.414
50	A:130:ALA:HB3	A:154:ARG:HG2	0.413
50	A:133:LEU:HB3	A:150:ILE:HG12	0.413
50	A:74:ALA:HB1	A:100:ILE:O	0.411

Model ID	Atom-1	Atom-2	Clash overlap (Å)
50	A:98:ALA:HB2	A:152:THR:CG2	0.409
50	A:19:LYS:HA	A:24:TYR:O	0.406
50	A:102:MET:HB3	A:102:MET:HE2	0.404
50	A:88:TYR:CE1	A:96:ARG:HG2	0.402
51	A:130:ALA:HB1	A:150:ILE:HG23	1.112
51	A:13:LEU:HD13	A:29:ILE:HG13	1.012
51	A:151:THR:HG21	A:160:ALA:HB3	1.010
51	A:91:LEU:HD11	A:121:LEU:HD12	0.971
51	A:121:LEU:HD11	A:153:PHE:HE1	0.885
51	A:151:THR:HG21	A:160:ALA:CB	0.860
51	A:13:LEU:HD13	A:29:ILE:CG1	0.847
51	A:29:ILE:HD13	A:67:PHE:CD2	0.839
51	A:102:MET:SD	A:133:LEU:HD21	0.835
51	A:99:LEU:HD23	A:102:MET:HE1	0.808
51	A:121:LEU:HD11	A:153:PHE:CE1	0.745
51	A:1:MET:HG2	A:158:TRP:CE3	0.730
51	A:7:LEU:CD1	A:67:PHE:HE1	0.701
51	A:46:LEU:HD12	A:50:ILE:HG13	0.701
51	A:78:ILE:CG1	A:103:VAL:HG21	0.697
51	A:78:ILE:HG13	A:103:VAL:HG21	0.696
51	A:91:LEU:HD11	A:121:LEU:CD1	0.695
51	A:117:SER:HA	A:120:MET:HB2	0.692
51	A:8:ARG:HG2	A:13:LEU:HB2	0.689

Model ID	Atom-1	Atom-2	Clash overlap (Å)
51	A:87:VAL:HG21	A:118:LEU:HD21	0.688
51	A:121:LEU:HD22	A:126:TRP:CE3	0.688
51	A:130:ALA:HB1	A:150:ILE:CG2	0.685
51	A:88:TYR:HD1	A:99:LEU:HD12	0.682
51	A:91:LEU:CD1	A:121:LEU:HD12	0.670
51	A:13:LEU:HD13	A:29:ILE:CD1	0.659
51	A:138:TRP:CB	A:146:ALA:HB2	0.657
51	A:7:LEU:HD12	A:67:PHE:HE1	0.656
51	A:13:LEU:CD1	A:29:ILE:HG13	0.656
51	A:105:GLN:HB3	A:138:TRP:CZ2	0.656
51	A:46:LEU:HD12	A:50:ILE:CG1	0.653
51	A:114:PHE:HB3	A:117:SER:HB3	0.649
51	A:121:LEU:HD13	A:126:TRP:HZ3	0.648
51	A:120:MET:SD	A:128:GLU:HB2	0.645
51	A:78:ILE:HD11	A:100:ILE:HA	0.641
51	A:79:LEU:HA	A:85:LYS:HB2	0.637
51	A:102:MET:HG2	A:111:VAL:HG22	0.636
51	A:99:LEU:HD23	A:102:MET:CE	0.633
51	A:121:LEU:HD22	A:126:TRP:HE3	0.626
51	A:126:TRP:HB2	A:154:ARG:HA	0.624
51	A:19:LYS:HD2	A:25:TYR:CE2	0.621
51	A:88:TYR:HD1	A:99:LEU:CD1	0.621
51	A:74:ALA:HB2	A:104:PHE:HD2	0.619

Model ID	Atom-1	Atom-2	Clash overlap (Å)
51	A:99:LEU:HA	A:102:MET:HE2	0.617
51	A:6:MET:HG3	A:161:TYR:CZ	0.614
51	A:75:VAL:HG22	A:100:ILE:HG12	0.614
51	A:29:ILE:HB	A:67:PHE:CG	0.610
51	A:106:MET:HE1	A:133:LEU:HG	0.606
51	A:1:MET:HB3	A:158:TRP:CG	0.595
51	A:52:ARG:HH21	A:58:ILE:HG22	0.583
51	A:106:MET:SD	A:136:SER:HB3	0.581
51	A:75:VAL:HA	A:78:ILE:HD12	0.577
51	A:78:ILE:HG21	A:88:TYR:CD2	0.573
51	A:91:LEU:HD13	A:99:LEU:HD11	0.565
51	A:130:ALA:CB	A:150:ILE:HG23	0.565
51	A:14:ARG:HG2	A:18:TYR:HB3	0.559
51	A:151:THR:CG2	A:160:ALA:HB3	0.558
51	A:42:ALA:HA	A:45:GLU:HB2	0.557
51	A:91:LEU:HD22	A:95:ARG:HB2	0.543
51	A:138:TRP:HB3	A:146:ALA:HB2	0.538
51	A:91:LEU:CD1	A:99:LEU:HD11	0.536
51	A:102:MET:HE3	A:111:VAL:HG13	0.536
51	A:58:ILE:CD1	A:63:ALA:HB2	0.534
51	A:103:VAL:HG22	A:111:VAL:HG21	0.531
51	A:78:ILE:HG12	A:103:VAL:HG21	0.530
51	A:27:ILE:HD13	A:46:LEU:HD13	0.528

Model ID	Atom-1	Atom-2	Clash overlap (Å)
51	A:105:GLN:HB3	A:138:TRP:CE2	0.528
51	A:120:MET:HG2	A:125:ARG:HD2	0.524
51	A:58:ILE:HD13	A:63:ALA:HB2	0.523
51	A:61:ASP:HA	A:64:GLU:HB2	0.520
51	A:120:MET:SD	A:128:GLU:CB	0.515
51	A:22:GLU:HG2	A:24:TYR:HE2	0.512
51	A:138:TRP:HB2	A:146:ALA:HB2	0.512
51	A:1:MET:HG2	A:158:TRP:CD2	0.510
51	A:27:ILE:CD1	A:46:LEU:HD22	0.506
51	A:148:ARG:HB3	A:161:TYR:CE1	0.506
51	A:5:GLU:HA	A:8:ARG:HB2	0.501
51	A:52:ARG:HD2	A:53:ASN:H	0.498
51	A:7:LEU:CD1	A:67:PHE:CE1	0.495
51	A:136:SER:HB2	A:138:TRP:H	0.493
51	A:6:MET:HB2	A:158:TRP:CZ3	0.492
51	A:79:LEU:HG	A:85:LYS:HG3	0.488
51	A:126:TRP:HA	A:129:ALA:HB3	0.488
51	A:29:ILE:HD11	A:64:GLU:OE1	0.485
51	A:7:LEU:HB3	A:67:PHE:CE1	0.479
51	A:25:TYR:HB3	A:34:THR:CG2	0.479
51	A:88:TYR:CD1	A:99:LEU:HD12	0.473
51	A:46:LEU:CD1	A:50:ILE:HG13	0.469
51	A:78:ILE:HG23	A:84:LEU:HD12	0.468

Model ID	Atom-1	Atom-2	Clash overlap (Å)
51	A:7:LEU:HD13	A:67:PHE:CE1	0.467
51	A:71:VAL:O	A:74:ALA:HB3	0.463
51	A:92:ASP:OD1	A:95:ARG:HD3	0.462
51	A:3:ILE:O	A:6:MET:HB3	0.461
51	A:50:ILE:HD12	A:66:LEU:HD21	0.461
51	A:105:GLN:C	A:138:TRP:HE1	0.458
51	A:115:THR:HA	A:118:LEU:HB2	0.455
51	A:148:ARG:HB3	A:161:TYR:CD1	0.455
51	A:50:ILE:HG21	A:66:LEU:HD11	0.454
51	A:27:ILE:HG12	A:58:ILE:HG12	0.452
51	A:77:GLY:O	A:80:ARG:HG2	0.452
51	A:17:ILE:HD13	A:27:ILE:HG13	0.445
51	A:120:MET:HG2	A:125:ARG:HB2	0.443
51	A:3:ILE:HD13	A:97:ALA:O	0.438
51	A:6:MET:HG2	A:101:ASN:HD22	0.436
51	A:88:TYR:CD1	A:99:LEU:CD1	0.432
51	A:136:SER:HB2	A:138:TRP:CG	0.429
51	A:71:VAL:HA	A:104:PHE:CD2	0.428
51	A:74:ALA:HB2	A:104:PHE:CD2	0.426
51	A:7:LEU:HA	A:10:ASP:HB2	0.424
51	A:14:ARG:HB2	A:18:TYR:CD1	0.424
51	A:25:TYR:HB3	A:34:THR:HG23	0.423
51	A:27:ILE:HD11	A:46:LEU:HD22	0.421

Model ID	Atom-1	Atom-2	Clash overlap (Å)
51	A:25:TYR:CB	A:34:THR:HG23	0.415
51	A:121:LEU:HD13	A:126:TRP:CZ3	0.414
51	A:17:ILE:HG21	A:42:ALA:HB3	0.411
51	A:23:GLY:C	A:24:TYR:CG	0.411
51	A:15:LEU:HD22	A:57:VAL:HG11	0.411
51	A:102:MET:SD	A:133:LEU:HD11	0.410
51	A:29:ILE:HD13	A:67:PHE:HD2	0.408
51	A:70:ASP:HB3	A:104:PHE:CE2	0.407
51	A:121:LEU:HD21	A:153:PHE:CD1	0.406
51	A:4:PHE:HB3	A:67:PHE:HE2	0.404
52	A:121:LEU:HD23	A:126:TRP:HZ3	1.046
52	A:130:ALA:HB1	A:150:ILE:HG23	1.009
52	A:17:ILE:HD13	A:27:ILE:HD12	0.996
52	A:22:GLU:HG2	A:24:TYR:HE2	0.975
52	A:91:LEU:HD12	A:99:LEU:HD11	0.965
52	A:121:LEU:HD23	A:126:TRP:CZ3	0.963
52	A:22:GLU:HG2	A:24:TYR:CE2	0.947
52	A:1:MET:HG2	A:161:TYR:HB3	0.883
52	A:120:MET:SD	A:128:GLU:HB2	0.883
52	A:8:ARG:HG3	A:67:PHE:HE2	0.867
52	A:84:LEU:HG	A:108:GLU:HB3	0.848
52	A:130:ALA:CB	A:150:ILE:HG23	0.831
52	A:1:MET:HG3	A:158:TRP:HE3	0.815

Model ID	Atom-1	Atom-2	Clash overlap (Å)
52	A:91:LEU:HD12	A:99:LEU:CD1	0.811
52	A:4:PHE:CE1	A:71:VAL:HG21	0.809
52	A:102:MET:HE2	A:153:PHE:HZ	0.805
52	A:7:LEU:HB3	A:67:PHE:CZ	0.794
52	A:7:LEU:HB3	A:67:PHE:HZ	0.792
52	A:1:MET:HG3	A:158:TRP:CE3	0.785
52	A:34:THR:CG2	A:42:ALA:HB2	0.750
52	A:102:MET:HE2	A:153:PHE:CZ	0.749
52	A:88:TYR:HD1	A:99:LEU:HD13	0.746
52	A:116:ASN:HA	A:119:ARG:HG3	0.722
52	A:138:TRP:HB3	A:146:ALA:HB2	0.704
52	A:7:LEU:HD13	A:67:PHE:HE1	0.683
52	A:6:MET:HG3	A:161:TYR:CE2	0.673
52	A:130:ALA:HB1	A:150:ILE:CG2	0.672
52	A:8:ARG:HG3	A:67:PHE:CE2	0.664
52	A:121:LEU:CD2	A:126:TRP:HZ3	0.662
52	A:8:ARG:CG	A:67:PHE:HE2	0.656
52	A:46:LEU:CD2	A:50:ILE:HD13	0.646
52	A:46:LEU:HD22	A:50:ILE:HD13	0.645
52	A:120:MET:HB3	A:125:ARG:HB2	0.637
52	A:105:GLN:HG3	A:138:TRP:CZ2	0.636
52	A:99:LEU:HA	A:102:MET:HB2	0.629
52	A:34:THR:HG22	A:42:ALA:HB2	0.612

Model ID	Atom-1	Atom-2	Clash overlap (Å)
52	A:50:ILE:HD11	A:66:LEU:HD21	0.593
52	A:27:ILE:HD13	A:46:LEU:CD2	0.591
52	A:91:LEU:CD1	A:99:LEU:HD11	0.584
52	A:29:ILE:HD13	A:67:PHE:CD2	0.572
52	A:27:ILE:HD13	A:46:LEU:HD23	0.564
52	A:1:MET:HE3	A:161:TYR:HD2	0.563
52	A:17:ILE:HD13	A:27:ILE:CD1	0.561
52	A:7:LEU:HD11	A:104:PHE:CD1	0.559
52	A:17:ILE:CD1	A:27:ILE:HD12	0.555
52	A:24:TYR:HB3	A:32:LEU:HD11	0.538
52	A:120:MET:SD	A:128:GLU:CB	0.529
52	A:46:LEU:HD11	A:58:ILE:HG23	0.523
52	A:94:VAL:HG22	A:158:TRP:HE1	0.522
52	A:123:GLN:HB3	A:125:ARG:HG2	0.516
52	A:46:LEU:HD11	A:58:ILE:CG2	0.512
52	A:155:THR:O	A:157:THR:HG23	0.499
52	A:11:GLU:HG2	A:104:PHE:HE1	0.495
52	A:67:PHE:HD1	A:71:VAL:HG23	0.492
52	A:24:TYR:CB	A:32:LEU:HD11	0.490
52	A:78:ILE:HG13	A:103:VAL:HG11	0.487
52	A:78:ILE:HG21	A:88:TYR:CE2	0.478
52	A:57:VAL:HG12	A:58:ILE:O	0.475
52	A:14:ARG:HG2	A:18:TYR:CD2	0.473

Model ID	Atom-1	Atom-2	Clash overlap (Å)
52	A:4:PHE:HE1	A:71:VAL:HG21	0.473
52	A:84:LEU:HG	A:108:GLU:CB	0.471
52	A:61:ASP:O	A:65:LYS:HG3	0.469
52	A:8:ARG:CG	A:67:PHE:CE2	0.467
52	A:67:PHE:CD1	A:71:VAL:HG23	0.464
52	A:6:MET:HG3	A:161:TYR:CZ	0.462
52	A:7:LEU:HD13	A:67:PHE:CE1	0.458
52	A:6:MET:HE1	A:98:ALA:HA	0.456
52	A:70:ASP:HB3	A:104:PHE:CE2	0.454
52	A:102:MET:HA	A:138:TRP:CZ2	0.451
52	A:11:GLU:HA	A:145:ARG:HH21	0.450
52	A:70:ASP:HB3	A:104:PHE:HE2	0.448
52	A:136:SER:OG	A:138:TRP:HB2	0.447
52	A:102:MET:HA	A:138:TRP:CH2	0.445
52	A:151:THR:HG21	A:160:ALA:CB	0.439
52	A:3:ILE:HG23	A:4:PHE:CD2	0.438
52	A:76:ARG:O	A:80:ARG:HG3	0.438
52	A:102:MET:HG2	A:149:VAL:HG11	0.438
52	A:78:ILE:HG12	A:103:VAL:HG21	0.437
52	A:29:ILE:HG21	A:67:PHE:CE1	0.435
52	A:102:MET:HG2	A:138:TRP:HH2	0.432
52	A:1:MET:HE1	A:9:ILE:HD12	0.427
52	A:126:TRP:HB2	A:154:ARG:HA	0.426

Model ID	Atom-1	Atom-2	Clash overlap (Å)
52	A:6:MET:HB2	A:158:TRP:HZ3	0.425
52	A:88:TYR:CD1	A:99:LEU:HD13	0.419
52	A:12:GLY:O	A:29:ILE:HA	0.415
52	A:7:LEU:HA	A:7:LEU:HD22	0.408
52	A:40:ASN:O	A:43:LYS:HG2	0.406
52	A:92:ASP:O	A:96:ARG:HG2	0.406
52	A:7:LEU:HD11	A:104:PHE:CE1	0.405
52	A:124:LYS:HA	A:126:TRP:CZ2	0.405
52	A:71:VAL:O	A:75:VAL:HG23	0.405
52	A:121:LEU:CD1	A:129:ALA:HB1	0.404
53	A:27:ILE:HD11	A:58:ILE:HG21	1.041
53	A:84:LEU:HG	A:118:LEU:HD23	1.028
53	A:58:ILE:HD13	A:63:ALA:HB2	0.990
53	A:29:ILE:HD13	A:67:PHE:CD2	0.973
53	A:78:ILE:HG12	A:103:VAL:HG21	0.960
53	A:120:MET:HB3	A:125:ARG:HB2	0.960
53	A:15:LEU:HD12	A:57:VAL:HG13	0.917
53	A:4:PHE:CE1	A:71:VAL:HG21	0.910
53	A:7:LEU:HD11	A:104:PHE:CE1	0.871
53	A:102:MET:SD	A:133:LEU:HD21	0.865
53	A:27:ILE:HD11	A:58:ILE:CG2	0.861
53	A:4:PHE:HE1	A:71:VAL:HG21	0.853
53	A:13:LEU:HD13	A:29:ILE:CD1	0.826

Model ID	Atom-1	Atom-2	Clash overlap (Å)
53	A:58:ILE:CD1	A:63:ALA:HB2	0.804
53	A:138:TRP:HB3	A:146:ALA:HB2	0.803
53	A:130:ALA:HB1	A:150:ILE:HG23	0.800
53	A:130:ALA:CB	A:150:ILE:HG23	0.793
53	A:14:ARG:HB2	A:18:TYR:CD1	0.785
53	A:84:LEU:HG	A:118:LEU:CD2	0.774
53	A:8:ARG:HB2	A:13:LEU:HB2	0.758
53	A:148:ARG:HB2	A:161:TYR:CE1	0.751
53	A:13:LEU:HD13	A:29:ILE:HD11	0.750
53	A:77:GLY:HA2	A:80:ARG:HE	0.716
53	A:78:ILE:CG1	A:103:VAL:HG21	0.708
53	A:62:GLU:HA	A:65:LYS:HB2	0.701
53	A:7:LEU:HB3	A:67:PHE:HZ	0.698
53	A:27:ILE:HG23	A:31:HIS:HB3	0.685
53	A:70:ASP:HB3	A:104:PHE:HE2	0.680
53	A:58:ILE:HD13	A:63:ALA:CB	0.655
53	A:88:TYR:HD1	A:99:LEU:CD1	0.644
53	A:13:LEU:HD13	A:29:ILE:HD12	0.643
53	A:17:ILE:HG23	A:39:LEU:HD12	0.637
53	A:94:VAL:HG13	A:158:TRP:CE2	0.626
53	A:99:LEU:HD23	A:153:PHE:HZ	0.626
53	A:15:LEU:HD23	A:16:LYS:HG2	0.620
53	A:88:TYR:HD1	A:99:LEU:HD12	0.614

Model ID	Atom-1	Atom-2	Clash overlap (Å)
53	A:15:LEU:CD1	A:57:VAL:HG13	0.607
53	A:1:MET:HG3	A:158:TRP:CE3	0.599
53	A:4:PHE:HE1	A:71:VAL:CG2	0.599
53	A:87:VAL:HG12	A:122:GLN:HB2	0.598
53	A:126:TRP:HB3	A:153:PHE:HD1	0.594
53	A:6:MET:SD	A:158:TRP:HZ3	0.585
53	A:124:LYS:HB3	A:126:TRP:CZ2	0.570
53	A:103:VAL:HG22	A:111:VAL:HG21	0.560
53	A:148:ARG:HB2	A:161:TYR:HE1	0.551
53	A:13:LEU:HA	A:29:ILE:HG13	0.528
53	A:148:ARG:CB	A:161:TYR:CE1	0.528
53	A:27:ILE:CG2	A:31:HIS:HB3	0.527
53	A:130:ALA:HB2	A:150:ILE:HG23	0.524
53	A:25:TYR:CZ	A:39:LEU:HD13	0.523
53	A:114:PHE:HB3	A:117:SER:HB2	0.521
53	A:120:MET:SD	A:128:GLU:CB	0.514
53	A:99:LEU:HD23	A:153:PHE:CZ	0.510
53	A:120:MET:SD	A:128:GLU:HB2	0.508
53	A:25:TYR:CE1	A:39:LEU:HD13	0.507
53	A:7:LEU:HB3	A:67:PHE:CZ	0.504
53	A:6:MET:SD	A:158:TRP:CZ3	0.504
53	A:3:ILE:HB	A:97:ALA:SG	0.499
53	A:17:ILE:HG12	A:42:ALA:HB3	0.497

Model ID	Atom-1	Atom-2	Clash overlap (Å)
53	A:46:LEU:HD22	A:56:GLY:H	0.485
53	A:102:MET:HA	A:138:TRP:CH2	0.485
53	A:70:ASP:HB3	A:104:PHE:CE2	0.484
53	A:121:LEU:HD13	A:126:TRP:HZ3	0.478
53	A:29:ILE:HD13	A:67:PHE:CG	0.476
53	A:126:TRP:HB3	A:153:PHE:CD1	0.476
53	A:78:ILE:HG12	A:103:VAL:CG2	0.469
53	A:1:MET:HE1	A:9:ILE:HD12	0.467
53	A:124:LYS:HB3	A:126:TRP:CE2	0.467
53	A:20:ASP:OD2	A:22:GLU:HB2	0.466
53	A:129:ALA:O	A:133:LEU:HD23	0.465
53	A:43:LYS:O	A:46:LEU:HB3	0.460
53	A:102:MET:HA	A:138:TRP:HH2	0.460
53	A:6:MET:HE3	A:161:TYR:CE1	0.458
53	A:14:ARG:HG3	A:18:TYR:CD2	0.458
53	A:7:LEU:CD1	A:104:PHE:CE1	0.457
53	A:75:VAL:HG13	A:79:LEU:HD11	0.456
53	A:74:ALA:HB2	A:104:PHE:HB2	0.449
53	A:79:LEU:HD23	A:85:LYS:HG3	0.449
53	A:130:ALA:HB1	A:150:ILE:CG2	0.448
53	A:105:GLN:C	A:138:TRP:HE1	0.444
53	A:99:LEU:HD23	A:102:MET:CE	0.439
53	A:17:ILE:HD12	A:26:THR:O	0.438

Model ID	Atom-1	Atom-2	Clash overlap (Å)
53	A:1:MET:HB3	A:158:TRP:HB3	0.436
53	A:148:ARG:H	A:148:ARG:HG2	0.436
53	A:121:LEU:HD13	A:126:TRP:CZ3	0.435
53	A:29:ILE:HB	A:67:PHE:CG	0.433
53	A:66:LEU:O	A:69:GLN:HB2	0.431
53	A:88:TYR:HD1	A:99:LEU:HD13	0.431
53	A:7:LEU:O	A:7:LEU:HD13	0.429
53	A:66:LEU:HD23	A:69:GLN:HG3	0.428
53	A:88:TYR:CD1	A:99:LEU:HD13	0.428
53	A:1:MET:HB3	A:158:TRP:CB	0.425
53	A:20:ASP:HB3	A:26:THR:HG21	0.425
53	A:7:LEU:HD12	A:67:PHE:CE1	0.422
53	A:105:GLN:HB3	A:138:TRP:NE1	0.422
53	A:139:TYR:CE1	A:150:ILE:HD11	0.422
53	A:83:LYS:HB3	A:118:LEU:HD11	0.421
53	A:94:VAL:HG22	A:158:TRP:HE1	0.419
53	A:40:ASN:O	A:43:LYS:HG2	0.417
53	A:142:THR:HB	A:144:ASN:OD1	0.416
53	A:14:ARG:HG3	A:18:TYR:CE2	0.415
53	A:91:LEU:O	A:96:ARG:HG2	0.410
53	A:20:ASP:HB3	A:26:THR:CG2	0.409
53	A:71:VAL:O	A:74:ALA:HB3	0.409
53	A:84:LEU:HA	A:118:LEU:HD21	0.409

Model ID	Atom-1	Atom-2	Clash overlap (Å)
53	A:46:LEU:O	A:46:LEU:HD12	0.406
53	A:15:LEU:HD12	A:16:LYS:HD3	0.402
53	A:134:ALA:O	A:139:TYR:HB2	0.402
53	A:127:ASP:O	A:130:ALA:HB3	0.401
53	A:10:ASP:OD1	A:148:ARG:NH2	0.401
53	A:126:TRP:O	A:129:ALA:HB3	0.401
53	A:101:ASN:O	A:105:GLN:HB2	0.400
54	A:17:ILE:HD11	A:43:LYS:HB3	1.136
54	A:130:ALA:HB1	A:150:ILE:HG23	1.132
54	A:120:MET:HG2	A:125:ARG:HB2	1.053
54	A:7:LEU:HD13	A:67:PHE:HE1	1.027
54	A:15:LEU:HD22	A:57:VAL:HG13	0.999
54	A:7:LEU:HD13	A:67:PHE:CE1	0.970
54	A:74:ALA:HB2	A:104:PHE:HD2	0.870
54	A:99:LEU:HD23	A:102:MET:CE	0.821
54	A:78:ILE:HG21	A:88:TYR:CD2	0.803
54	A:130:ALA:HB1	A:150:ILE:CG2	0.800
54	A:120:MET:CG	A:125:ARG:HB2	0.799
54	A:78:ILE:HG23	A:84:LEU:HD12	0.792
54	A:17:ILE:CD1	A:43:LYS:HB3	0.791
54	A:15:LEU:HD22	A:57:VAL:CG1	0.783
54	A:79:LEU:HG	A:85:LYS:HG3	0.773
54	A:29:ILE:HD13	A:67:PHE:CD2	0.772

Model ID	Atom-1	Atom-2	Clash overlap (Å)
54	A:91:LEU:HD11	A:121:LEU:HD12	0.760
54	A:17:ILE:HD11	A:43:LYS:CB	0.758
54	A:13:LEU:HD13	A:29:ILE:CG1	0.751
54	A:1:MET:SD	A:5:GLU:HB3	0.733
54	A:120:MET:HG2	A:125:ARG:CB	0.730
54	A:78:ILE:HG13	A:103:VAL:HG21	0.719
54	A:78:ILE:CG1	A:103:VAL:HG21	0.716
54	A:74:ALA:HB2	A:104:PHE:CD2	0.715
54	A:151:THR:HG21	A:160:ALA:CB	0.715
54	A:99:LEU:HD23	A:102:MET:HE1	0.698
54	A:102:MET:HG2	A:111:VAL:HG22	0.693
54	A:91:LEU:CD1	A:99:LEU:HD11	0.692
54	A:138:TRP:CB	A:146:ALA:HB2	0.692
54	A:99:LEU:HD23	A:102:MET:HE2	0.690
54	A:46:LEU:HD11	A:58:ILE:CG2	0.676
54	A:148:ARG:HB3	A:161:TYR:CE1	0.671
54	A:46:LEU:HD12	A:50:ILE:HG12	0.665
54	A:78:ILE:HD11	A:100:ILE:HA	0.636
54	A:8:ARG:HG2	A:29:ILE:HG12	0.623
54	A:6:MET:HG3	A:161:TYR:CZ	0.613
54	A:121:LEU:HD22	A:126:TRP:HE3	0.612
54	A:138:TRP:HB3	A:146:ALA:HB2	0.602
54	A:7:LEU:CD1	A:67:PHE:HE1	0.599

Model ID	Atom-1	Atom-2	Clash overlap (Å)
54	A:45:GLU:HA	A:48:LYS:HE2	0.596
54	A:64:GLU:HA	A:67:PHE:HB3	0.594
54	A:106:MET:SD	A:136:SER:HB3	0.569
54	A:117:SER:HA	A:120:MET:HB2	0.564
54	A:120:MET:SD	A:128:GLU:CB	0.564
54	A:13:LEU:HD13	A:29:ILE:HG13	0.563
54	A:50:ILE:HG21	A:52:ARG:HE	0.563
54	A:1:MET:HE3	A:161:TYR:HB3	0.560
54	A:11:GLU:HG3	A:30:GLY:HA3	0.557
54	A:27:ILE:HD12	A:46:LEU:HD22	0.553
54	A:130:ALA:CB	A:150:ILE:HG23	0.550
54	A:50:ILE:HD12	A:62:GLU:HB3	0.549
54	A:79:LEU:HA	A:85:LYS:HB2	0.537
54	A:52:ARG:HH22	A:58:ILE:HA	0.534
54	A:148:ARG:HB3	A:161:TYR:CZ	0.529
54	A:78:ILE:HG12	A:103:VAL:HG21	0.525
54	A:75:VAL:HA	A:78:ILE:HD12	0.524
54	A:120:MET:SD	A:128:GLU:HB2	0.519
54	A:138:TRP:HB2	A:146:ALA:HB2	0.518
54	A:105:GLN:HB3	A:138:TRP:CZ2	0.514
54	A:91:LEU:HD13	A:99:LEU:HD11	0.512
54	A:91:LEU:HD21	A:121:LEU:O	0.504
54	A:121:LEU:HD13	A:126:TRP:HZ3	0.500

Model ID	Atom-1	Atom-2	Clash overlap (Å)
54	A:121:LEU:HD22	A:126:TRP:CE3	0.500
54	A:27:ILE:CD1	A:46:LEU:HD22	0.498
54	A:114:PHE:CE1	A:133:LEU:HD23	0.496
54	A:136:SER:HB2	A:138:TRP:H	0.486
54	A:71:VAL:HG13	A:100:ILE:HG21	0.485
54	A:7:LEU:HA	A:10:ASP:HB2	0.475
54	A:7:LEU:HB3	A:67:PHE:CZ	0.472
54	A:43:LYS:O	A:46:LEU:HB3	0.471
54	A:121:LEU:HD21	A:153:PHE:CE1	0.467
54	A:121:LEU:HD11	A:153:PHE:HE1	0.465
54	A:95:ARG:HD3	A:126:TRP:CE3	0.463
54	A:107:GLY:O	A:111:VAL:HG23	0.463
54	A:139:TYR:HD1	A:146:ALA:CB	0.460
54	A:126:TRP:HA	A:129:ALA:HB3	0.455
54	A:121:LEU:HD21	A:153:PHE:CD1	0.453
54	A:1:MET:HG2	A:158:TRP:CE3	0.450
54	A:6:MET:HB2	A:158:TRP:CZ3	0.446
54	A:88:TYR:HD1	A:99:LEU:CD1	0.445
54	A:13:LEU:HD13	A:29:ILE:HD11	0.444
54	A:13:LEU:HD13	A:29:ILE:CD1	0.441
54	A:31:HIS:NE2	A:66:LEU:HD22	0.441
54	A:71:VAL:O	A:74:ALA:HB3	0.438
54	A:88:TYR:HD1	A:99:LEU:HD12	0.438

Model ID	Atom-1	Atom-2	Clash overlap (Å)
54	A:139:TYR:HD1	A:146:ALA:HB1	0.434
54	A:3:ILE:HB	A:97:ALA:SG	0.433
54	A:18:TYR:CE1	A:26:THR:HG22	0.433
54	A:70:ASP:HB3	A:104:PHE:CE2	0.432
54	A:121:LEU:HD13	A:126:TRP:CZ3	0.432
54	A:92:ASP:OD1	A:95:ARG:HD2	0.430
54	A:13:LEU:CD1	A:29:ILE:HG13	0.428
54	A:29:ILE:HD11	A:64:GLU:HG2	0.426
54	A:29:ILE:HB	A:67:PHE:CG	0.424
54	A:106:MET:HB2	A:138:TRP:CZ2	0.423
54	A:92:ASP:O	A:96:ARG:HG3	0.422
54	A:7:LEU:HB3	A:67:PHE:HZ	0.421
54	A:80:ARG:CZ	A:80:ARG:HB2	0.421
54	A:129:ALA:O	A:133:LEU:HG	0.417
54	A:121:LEU:HA	A:126:TRP:CZ3	0.415
54	A:1:MET:HG2	A:158:TRP:HB3	0.414
54	A:7:LEU:HD11	A:104:PHE:CE1	0.414
54	A:114:PHE:HB2	A:117:SER:HB3	0.414
54	A:7:LEU:HD12	A:71:VAL:HG22	0.413
54	A:29:ILE:HG21	A:67:PHE:CZ	0.413
54	A:120:MET:SD	A:128:GLU:HB3	0.410
54	A:13:LEU:HD13	A:29:ILE:HG12	0.409
54	A:94:VAL:HG11	A:156:GLY:C	0.404

Model ID	Atom-1	Atom-2	Clash overlap (Å)
54	A:23:GLY:C	A:24:TYR:CG	0.401
55	A:130:ALA:HB1	A:150:ILE:HG23	1.077
55	A:141:GLN:HG3	A:142:THR:HG23	0.874
55	A:102:MET:HE2	A:153:PHE:HZ	0.859
55	A:13:LEU:HD13	A:29:ILE:CD1	0.852
55	A:102:MET:HE2	A:153:PHE:CZ	0.825
55	A:1:MET:HE3	A:161:TYR:HB3	0.822
55	A:13:LEU:HD13	A:29:ILE:HD11	0.813
55	A:130:ALA:CB	A:150:ILE:HG23	0.807
55	A:121:LEU:HD13	A:126:TRP:HZ3	0.802
55	A:121:LEU:HD22	A:126:TRP:HE3	0.802
55	A:105:GLN:HB3	A:138:TRP:CZ2	0.798
55	A:121:LEU:HD22	A:126:TRP:CE3	0.798
55	A:43:LYS:HG2	A:46:LEU:HD23	0.774
55	A:148:ARG:HB2	A:161:TYR:CE1	0.769
55	A:7:LEU:CD1	A:67:PHE:HE1	0.748
55	A:13:LEU:HD13	A:29:ILE:CG1	0.738
55	A:17:ILE:HD11	A:43:LYS:HB2	0.733
55	A:13:LEU:HD13	A:29:ILE:HG13	0.732
55	A:1:MET:HG2	A:158:TRP:CE3	0.722
55	A:121:LEU:HD13	A:126:TRP:CZ3	0.720
55	A:7:LEU:HD12	A:67:PHE:HE1	0.717
55	A:99:LEU:HD23	A:102:MET:CE	0.715

Model ID	Atom-1	Atom-2	Clash overlap (Å)
55	A:84:LEU:CD1	A:88:TYR:HB2	0.712
55	A:8:ARG:HB2	A:13:LEU:HB2	0.704
55	A:151:THR:HG21	A:160:ALA:CB	0.701
55	A:130:ALA:HB1	A:150:ILE:CG2	0.687
55	A:27:ILE:HG21	A:46:LEU:HD13	0.686
55	A:121:LEU:CD2	A:126:TRP:HE3	0.668
55	A:78:ILE:HG21	A:88:TYR:CD2	0.663
55	A:14:ARG:HG2	A:18:TYR:HB3	0.661
55	A:6:MET:HG3	A:161:TYR:CZ	0.660
55	A:138:TRP:HB3	A:146:ALA:HB2	0.655
55	A:46:LEU:HD21	A:58:ILE:HG23	0.651
55	A:46:LEU:CD1	A:50:ILE:HG13	0.645
55	A:45:GLU:HA	A:48:LYS:HB2	0.628
55	A:29:ILE:HD13	A:67:PHE:CD2	0.620
55	A:105:GLN:HB3	A:138:TRP:H22	0.608
55	A:138:TRP:CB	A:146:ALA:HB2	0.606
55	A:7:LEU:HD12	A:67:PHE:CE1	0.601
55	A:99:LEU:HD23	A:102:MET:HE1	0.601
55	A:33:LEU:HD21	A:45:GLU:HB3	0.598
55	A:102:MET:SD	A:133:LEU:HD21	0.598
55	A:99:LEU:HA	A:102:MET:HE2	0.592
55	A:74:ALA:HB2	A:104:PHE:HD2	0.586
55	A:46:LEU:HD12	A:50:ILE:HG13	0.584

Model ID	Atom-1	Atom-2	Clash overlap (Å)
55	A:84:LEU:HD12	A:88:TYR:HB2	0.577
55	A:120:MET:SD	A:128:GLU:HB2	0.573
55	A:15:LEU:HD22	A:57:VAL:HG11	0.561
55	A:43:LYS:HA	A:46:LEU:HB3	0.561
55	A:46:LEU:HD12	A:50:ILE:CG1	0.561
55	A:27:ILE:CD1	A:58:ILE:HG12	0.554
55	A:7:LEU:HB3	A:67:PHE:CZ	0.542
55	A:120:MET:SD	A:128:GLU:CB	0.531
55	A:106:MET:SD	A:136:SER:HB3	0.527
55	A:75:VAL:HG22	A:100:ILE:HG12	0.521
55	A:148:ARG:HB2	A:161:TYR:CZ	0.516
55	A:105:GLN:HB3	A:138:TRP:CE2	0.508
55	A:102:MET:CE	A:153:PHE:CZ	0.499
55	A:8:ARG:HE	A:13:LEU:HG	0.497
55	A:47:ASP:HA	A:54:THR:SG	0.495
55	A:7:LEU:HD13	A:67:PHE:HE1	0.492
55	A:27:ILE:HG13	A:46:LEU:HD22	0.488
55	A:129:ALA:O	A:133:LEU:HG	0.488
55	A:91:LEU:HD11	A:121:LEU:HD12	0.479
55	A:6:MET:HE2	A:101:ASN:HD22	0.478
55	A:1:MET:HB3	A:158:TRP:CG	0.476
55	A:27:ILE:HD12	A:46:LEU:HD13	0.476
55	A:102:MET:HG3	A:153:PHE:HE2	0.476

Model ID	Atom-1	Atom-2	Clash overlap (Å)
55	A:26:THR:HG23	A:31:HIS:H	0.475
55	A:11:GLU:O	A:29:ILE:HG23	0.474
55	A:99:LEU:HD23	A:102:MET:HE2	0.472
55	A:151:THR:HG21	A:160:ALA:HB3	0.472
55	A:20:ASP:HB3	A:26:THR:HB	0.467
55	A:121:LEU:HD21	A:153:PHE:CD1	0.465
55	A:91:LEU:CD1	A:99:LEU:HD11	0.459
55	A:5:GLU:O	A:8:ARG:HG2	0.458
55	A:18:TYR:CE1	A:26:THR:HG22	0.456
55	A:71:VAL:HG22	A:104:PHE:CD1	0.456
55	A:15:LEU:CD2	A:57:VAL:HG11	0.455
55	A:97:ALA:SG	A:158:TRP:HZ2	0.451
55	A:13:LEU:CD1	A:29:ILE:HG13	0.450
55	A:71:VAL:HA	A:104:PHE:CD2	0.448
55	A:70:ASP:HB3	A:104:PHE:CE2	0.444
55	A:27:ILE:HD11	A:58:ILE:CG1	0.440
55	A:78:ILE:CG1	A:103:VAL:HG21	0.440
55	A:33:LEU:HD21	A:45:GLU:C	0.439
55	A:3:ILE:O	A:6:MET:HB3	0.437
55	A:8:ARG:HH21	A:13:LEU:HD22	0.432
55	A:127:ASP:O	A:131:VAL:HG23	0.432
55	A:1:MET:HA	A:5:GLU:OE2	0.431
55	A:102:MET:SD	A:133:LEU:CD2	0.431

Model ID	Atom-1	Atom-2	Clash overlap (Å)
55	A:99:LEU:HD21	A:121:LEU:HG	0.428
55	A:17:ILE:HG21	A:42:ALA:HB1	0.426
55	A:78:ILE:CG2	A:88:TYR:CD2	0.426
55	A:27:ILE:CD1	A:46:LEU:HD22	0.424
55	A:1:MET:CG	A:158:TRP:CE3	0.421
55	A:15:LEU:HD13	A:16:LYS:H	0.418
55	A:44:SER:O	A:47:ASP:HB3	0.418
55	A:7:LEU:HB3	A:67:PHE:HZ	0.417
55	A:6:MET:HG3	A:161:TYR:CE2	0.415
55	A:29:ILE:HD13	A:67:PHE:CE2	0.413
55	A:126:TRP:HA	A:129:ALA:HB3	0.412
55	A:33:LEU:HA	A:33:LEU:HD22	0.410
55	A:135:LYS:HA	A:135:LYS:HD2	0.410
55	A:148:ARG:HB3	A:148:ARG:HE	0.410
55	A:142:THR:OG1	A:145:ARG:HB2	0.408
55	A:102:MET:C	A:111:VAL:HG21	0.407
55	A:17:ILE:CG2	A:25:TYR:CD1	0.406
55	A:84:LEU:HD12	A:88:TYR:CB	0.405
55	A:121:LEU:HD21	A:153:PHE:CE1	0.405
55	A:19:LYS:HZ3	A:25:TYR:HD2	0.401
56	A:130:ALA:HB1	A:150:ILE:HG23	1.143
56	A:1:MET:HE1	A:9:ILE:HD12	1.112
56	A:27:ILE:HG22	A:31:HIS:HB3	0.991

Model ID	Atom-1	Atom-2	Clash overlap (Å)
56	A:58:ILE:HD13	A:63:ALA:HB2	0.960
56	A:120:MET:HB3	A:125:ARG:HB3	0.958
56	A:20:ASP:HB3	A:26:THR:HG21	0.911
56	A:1:MET:HE1	A:9:ILE:CD1	0.862
56	A:50:ILE:CD1	A:66:LEU:HD12	0.859
56	A:71:VAL:HG13	A:100:ILE:HG21	0.849
56	A:130:ALA:HB1	A:150:ILE:CG2	0.826
56	A:20:ASP:HB3	A:26:THR:CG2	0.807
56	A:84:LEU:HG	A:118:LEU:HD21	0.800
56	A:58:ILE:CD1	A:63:ALA:HB2	0.797
56	A:27:ILE:CG2	A:31:HIS:HB3	0.794
56	A:130:ALA:CB	A:150:ILE:HG23	0.793
56	A:1:MET:HB3	A:158:TRP:CB	0.767
56	A:50:ILE:HD13	A:66:LEU:HD12	0.765
56	A:138:TRP:HB3	A:146:ALA:HB2	0.761
56	A:120:MET:HB3	A:125:ARG:CB	0.745
56	A:17:ILE:HG23	A:39:LEU:HD12	0.734
56	A:43:LYS:HG3	A:56:GLY:HA3	0.723
56	A:50:ILE:HD11	A:66:LEU:HD12	0.708
56	A:29:ILE:HD13	A:67:PHE:CD2	0.704
56	A:33:LEU:HD22	A:45:GLU:HB3	0.703
56	A:88:TYR:HD1	A:99:LEU:CD1	0.703
56	A:78:ILE:HG13	A:103:VAL:HG21	0.692

Model ID	Atom-1	Atom-2	Clash overlap (Å)
56	A:102:MET:HE3	A:111:VAL:HG11	0.690
56	A:19:LYS:HG2	A:25:TYR:CE2	0.689
56	A:78:ILE:CG1	A:103:VAL:HG21	0.688
56	A:1:MET:HB3	A:158:TRP:HB3	0.684
56	A:1:MET:CE	A:9:ILE:HD12	0.657
56	A:148:ARG:HB2	A:161:TYR:CE1	0.654
56	A:13:LEU:HD13	A:29:ILE:CD1	0.647
56	A:4:PHE:HE1	A:71:VAL:HG21	0.640
56	A:58:ILE:HD13	A:63:ALA:CB	0.636
56	A:29:ILE:HB	A:67:PHE:CG	0.619
56	A:4:PHE:HD1	A:67:PHE:CE2	0.603
56	A:99:LEU:HD23	A:153:PHE:HZ	0.602
56	A:1:MET:HB3	A:158:TRP:CG	0.600
56	A:6:MET:SD	A:158:TRP:CZ3	0.600
56	A:88:TYR:HD1	A:99:LEU:HD13	0.590
56	A:6:MET:HG3	A:161:TYR:CZ	0.581
56	A:88:TYR:HD1	A:99:LEU:HD12	0.575
56	A:15:LEU:HD12	A:57:VAL:HG13	0.566
56	A:7:LEU:HB3	A:67:PHE:HZ	0.565
56	A:6:MET:HE3	A:161:TYR:CE1	0.559
56	A:78:ILE:HG21	A:88:TYR:CG	0.553
56	A:6:MET:SD	A:158:TRP:HZ3	0.547
56	A:13:LEU:CD1	A:63:ALA:HB1	0.544

Model ID	Atom-1	Atom-2	Clash overlap (Å)
56	A:74:ALA:HB3	A:100:ILE:HG23	0.541
56	A:136:SER:HB2	A:138:TRP:CG	0.541
56	A:78:ILE:HG12	A:103:VAL:HG21	0.535
56	A:13:LEU:HD13	A:29:ILE:HD11	0.534
56	A:133:LEU:HD11	A:153:PHE:HE2	0.533
56	A:4:PHE:CE1	A:71:VAL:HG21	0.531
56	A:8:ARG:HD3	A:13:LEU:HB3	0.529
56	A:17:ILE:HD12	A:26:THR:C	0.527
56	A:148:ARG:CB	A:161:TYR:CE1	0.527
56	A:66:LEU:HD22	A:69:GLN:HG3	0.526
56	A:7:LEU:HB3	A:67:PHE:CZ	0.525
56	A:121:LEU:HD13	A:126:TRP:CZ3	0.519
56	A:19:LYS:HG2	A:25:TYR:CD2	0.517
56	A:1:MET:CB	A:158:TRP:HB3	0.512
56	A:120:MET:SD	A:128:GLU:CB	0.510
56	A:124:LYS:HB3	A:126:TRP:CZ2	0.509
56	A:136:SER:HB2	A:138:TRP:CD1	0.495
56	A:105:GLN:C	A:138:TRP:HE1	0.494
56	A:17:ILE:HD12	A:26:THR:O	0.492
56	A:99:LEU:HD23	A:153:PHE:CZ	0.492
56	A:91:LEU:HG	A:95:ARG:HB2	0.491
56	A:29:ILE:HD13	A:67:PHE:HD2	0.489
56	A:102:MET:CE	A:111:VAL:HG11	0.489

Model ID	Atom-1	Atom-2	Clash overlap (Å)
56	A:106:MET:HE2	A:111:VAL:HG22	0.485
56	A:13:LEU:HD11	A:63:ALA:CB	0.484
56	A:126:TRP:HB2	A:153:PHE:C	0.482
56	A:6:MET:SD	A:158:TRP:CH2	0.482
56	A:116:ASN:O	A:120:MET:HG3	0.479
56	A:121:LEU:HD13	A:126:TRP:HZ3	0.477
56	A:114:PHE:O	A:118:LEU:HD13	0.475
56	A:106:MET:HE1	A:133:LEU:HD22	0.474
56	A:13:LEU:HB2	A:29:ILE:HG13	0.472
56	A:111:VAL:HA	A:114:PHE:CE1	0.470
56	A:61:ASP:O	A:65:LYS:HB2	0.466
56	A:14:ARG:HD3	A:18:TYR:CZ	0.461
56	A:102:MET:HA	A:138:TRP:CH2	0.460
56	A:101:ASN:O	A:105:GLN:HB2	0.460
56	A:120:MET:CB	A:125:ARG:HB3	0.460
56	A:148:ARG:H	A:148:ARG:HG2	0.460
56	A:20:ASP:OD2	A:22:GLU:HB2	0.458
56	A:99:LEU:HD23	A:102:MET:CE	0.458
56	A:120:MET:SD	A:128:GLU:HB2	0.455
56	A:4:PHE:HA	A:67:PHE:HE2	0.453
56	A:5:GLU:HA	A:8:ARG:HG2	0.453
56	A:13:LEU:HA	A:29:ILE:HG13	0.453
56	A:84:LEU:HG	A:118:LEU:CD2	0.453

Model ID	Atom-1	Atom-2	Clash overlap (Å)
56	A:70:ASP:HB3	A:104:PHE:CE2	0.452
56	A:136:SER:OG	A:138:TRP:HB2	0.449
56	A:105:GLN:HB3	A:138:TRP:NE1	0.447
56	A:88:TYR:CD1	A:99:LEU:HD13	0.446
56	A:87:VAL:HG21	A:121:LEU:HB3	0.443
56	A:13:LEU:HB2	A:29:ILE:CG1	0.438
56	A:140:ASN:HB3	A:141:GLN:OE1	0.437
56	A:4:PHE:CD1	A:67:PHE:CE2	0.436
56	A:106:MET:HB2	A:138:TRP:CZ2	0.435
56	A:16:LYS:HD3	A:57:VAL:HB	0.434
56	A:7:LEU:HD12	A:67:PHE:HE1	0.432
56	A:106:MET:HE2	A:111:VAL:CG2	0.431
56	A:124:LYS:HB3	A:126:TRP:CE2	0.430
56	A:25:TYR:O	A:33:LEU:HB2	0.429
56	A:126:TRP:HB3	A:153:PHE:CD1	0.429
56	A:66:LEU:HD22	A:69:GLN:HB2	0.428
56	A:126:TRP:HB3	A:153:PHE:HD1	0.425
56	A:14:ARG:HG2	A:18:TYR:CG	0.424
56	A:8:ARG:NH2	A:64:GLU:OE1	0.421
56	A:12:GLY:O	A:29:ILE:HA	0.420
56	A:54:THR:SG	A:62:GLU:HG2	0.420
56	A:75:VAL:HA	A:78:ILE:HD12	0.420
56	A:66:LEU:HD22	A:69:GLN:CG	0.414

Model ID	Atom-1	Atom-2	Clash overlap (Å)
56	A:24:TYR:CE1	A:32:LEU:HD11	0.413
56	A:135:LYS:H	A:135:LYS:HG2	0.413
56	A:91:LEU:HD13	A:99:LEU:HD12	0.411
56	A:50:ILE:HG22	A:52:ARG:H	0.410
56	A:27:ILE:HG13	A:58:ILE:HG12	0.407
56	A:78:ILE:HG13	A:103:VAL:CG2	0.407
56	A:26:THR:HA	A:31:HIS:O	0.406
56	A:1:MET:HA	A:5:GLU:HB2	0.405
56	A:13:LEU:CB	A:29:ILE:HG13	0.404
56	A:3:ILE:O	A:6:MET:HB3	0.404
56	A:29:ILE:HG21	A:67:PHE:CZ	0.403
56	A:105:GLN:HB3	A:138:TRP:CE2	0.403
56	A:121:LEU:HD21	A:153:PHE:CE1	0.402
56	A:129:ALA:O	A:133:LEU:HG	0.400
57	A:130:ALA:HB1	A:150:ILE:HG23	1.133
57	A:91:LEU:HD12	A:99:LEU:HD11	1.108
57	A:8:ARG:HG3	A:67:PHE:HE2	1.050
57	A:8:ARG:HG3	A:67:PHE:CE2	0.882
57	A:27:ILE:HD13	A:46:LEU:HD21	0.869
57	A:148:ARG:HB3	A:161:TYR:CE1	0.866
57	A:46:LEU:HD22	A:50:ILE:HD13	0.819
57	A:91:LEU:CD1	A:99:LEU:HD11	0.812
57	A:1:MET:HE3	A:161:TYR:HD2	0.806

Model ID	Atom-1	Atom-2	Clash overlap (Å)
57	A:105:GLN:HG3	A:138:TRP:CZ2	0.764
57	A:87:VAL:HG13	A:118:LEU:HD21	0.748
57	A:130:ALA:CB	A:150:ILE:HG23	0.746
57	A:120:MET:HB3	A:125:ARG:HB2	0.733
57	A:103:VAL:HG22	A:108:GLU:HG3	0.725
57	A:91:LEU:HD12	A:99:LEU:CD1	0.705
57	A:6:MET:HG3	A:161:TYR:CE2	0.698
57	A:7:LEU:HB3	A:67:PHE:CZ	0.697
57	A:27:ILE:CD1	A:46:LEU:HD21	0.687
57	A:29:ILE:HD13	A:67:PHE:CD2	0.687
57	A:106:MET:HE2	A:111:VAL:HG22	0.686
57	A:7:LEU:HB3	A:67:PHE:HZ	0.679
57	A:103:VAL:CG2	A:108:GLU:HG3	0.669
57	A:102:MET:HG3	A:138:TRP:CH2	0.644
57	A:27:ILE:HG23	A:66:LEU:HD23	0.639
57	A:121:LEU:HD23	A:126:TRP:CZ3	0.637
57	A:105:GLN:HG3	A:138:TRP:HZ2	0.618
57	A:120:MET:SD	A:128:GLU:HB3	0.611
57	A:29:ILE:HD13	A:67:PHE:HD2	0.607
57	A:18:TYR:HE1	A:26:THR:HG22	0.601
57	A:88:TYR:HE1	A:99:LEU:HB2	0.564
57	A:17:ILE:HD13	A:27:ILE:HD12	0.561
57	A:1:MET:HE3	A:161:TYR:CD2	0.556

Model ID	Atom-1	Atom-2	Clash overlap (Å)
57	A:16:LYS:HD2	A:57:VAL:HG22	0.542
57	A:70:ASP:HB3	A:104:PHE:HE2	0.537
57	A:120:MET:SD	A:128:GLU:CB	0.537
57	A:13:LEU:HD13	A:29:ILE:CD1	0.530
57	A:34:THR:HB	A:42:ALA:HB2	0.530
57	A:17:ILE:CD1	A:27:ILE:HD12	0.526
57	A:18:TYR:CE1	A:26:THR:HG22	0.523
57	A:121:LEU:HD11	A:129:ALA:HB1	0.522
57	A:121:LEU:HD23	A:126:TRP:CE3	0.516
57	A:11:GLU:HA	A:145:ARG:HH21	0.515
57	A:11:GLU:HG2	A:104:PHE:HE1	0.515
57	A:29:ILE:HD12	A:63:ALA:HB1	0.515
57	A:14:ARG:HB2	A:18:TYR:CZ	0.512
57	A:6:MET:CG	A:161:TYR:CE2	0.507
57	A:81:ASN:CG	A:84:LEU:HB2	0.507
57	A:121:LEU:HD23	A:126:TRP:HZ3	0.507
57	A:46:LEU:CD2	A:50:ILE:HD13	0.494
57	A:84:LEU:HD21	A:112:ALA:HB2	0.492
57	A:18:TYR:HE1	A:26:THR:CG2	0.492
57	A:18:TYR:CE1	A:26:THR:CG2	0.491
57	A:70:ASP:HB3	A:104:PHE:CE2	0.484
57	A:87:VAL:HG13	A:118:LEU:CD2	0.484
57	A:47:ASP:HA	A:54:THR:SG	0.483

Model ID	Atom-1	Atom-2	Clash overlap (Å)
57	A:121:LEU:HD12	A:129:ALA:HB2	0.482
57	A:74:ALA:HB2	A:104:PHE:HD2	0.478
57	A:84:LEU:HG	A:108:GLU:HB3	0.478
57	A:116:ASN:O	A:120:MET:HG3	0.477
57	A:29:ILE:HG21	A:67:PHE:CZ	0.475
57	A:148:ARG:HB3	A:161:TYR:HE1	0.472
57	A:102:MET:HA	A:138:TRP:CZ2	0.462
57	A:46:LEU:O	A:50:ILE:HB	0.457
57	A:42:ALA:O	A:46:LEU:HB2	0.456
57	A:101:ASN:O	A:105:GLN:HG2	0.454
57	A:106:MET:HB2	A:138:TRP:CE2	0.450
57	A:28:GLY:HA3	A:66:LEU:HD22	0.445
57	A:146:ALA:O	A:150:ILE:HG13	0.444
57	A:1:MET:HG3	A:158:TRP:CZ3	0.443
57	A:24:TYR:HB3	A:32:LEU:CD1	0.443
57	A:27:ILE:HG23	A:66:LEU:CD2	0.440
57	A:81:ASN:HB3	A:84:LEU:HB2	0.440
57	A:94:VAL:HG22	A:158:TRP:CD1	0.440
57	A:88:TYR:HE1	A:99:LEU:CB	0.439
57	A:78:ILE:HG12	A:103:VAL:HG21	0.435
57	A:136:SER:HB2	A:138:TRP:HB2	0.434
57	A:46:LEU:HD11	A:58:ILE:CG2	0.431
57	A:26:THR:HA	A:31:HIS:O	0.427

Model ID	Atom-1	Atom-2	Clash overlap (Å)
57	A:92:ASP:O	A:96:ARG:HG2	0.425
57	A:92:ASP:OD2	A:95:ARG:HG3	0.423
57	A:7:LEU:CB	A:67:PHE:HZ	0.421
57	A:121:LEU:HD21	A:153:PHE:CE1	0.414
57	A:7:LEU:HD12	A:71:VAL:HG22	0.413
57	A:7:LEU:HB3	A:67:PHE:CE1	0.411
57	A:99:LEU:HD23	A:102:MET:CE	0.410
57	A:29:ILE:HG21	A:67:PHE:CE1	0.409
57	A:5:GLU:OE2	A:9:ILE:HD11	0.407
57	A:13:LEU:HD11	A:63:ALA:CB	0.406
57	A:148:ARG:HD3	A:161:TYR:HA	0.406
57	A:29:ILE:HG21	A:67:PHE:CE2	0.405
57	A:50:ILE:HG22	A:54:THR:SG	0.403
58	A:130:ALA:HB1	A:150:ILE:HG23	1.107
58	A:120:MET:HB3	A:125:ARG:HB2	1.058
58	A:91:LEU:HD12	A:99:LEU:HD11	0.971
58	A:50:ILE:HD13	A:66:LEU:HD11	0.893
58	A:7:LEU:HB3	A:67:PHE:HZ	0.880
58	A:17:ILE:HD13	A:27:ILE:HD12	0.857
58	A:139:TYR:HE1	A:150:ILE:HD12	0.852
58	A:22:GLU:HG2	A:24:TYR:HE2	0.834
58	A:7:LEU:HB3	A:67:PHE:CZ	0.813
58	A:130:ALA:CB	A:150:ILE:HG23	0.784

Model ID	Atom-1	Atom-2	Clash overlap (Å)
58	A:148:ARG:HB3	A:161:TYR:CE1	0.768
58	A:50:ILE:CD1	A:66:LEU:HD11	0.743
58	A:78:ILE:HD11	A:103:VAL:HG21	0.742
58	A:91:LEU:HD12	A:99:LEU:CD1	0.718
58	A:139:TYR:CE1	A:150:ILE:HD12	0.708
58	A:102:MET:SD	A:133:LEU:HD11	0.701
58	A:17:ILE:CD1	A:27:ILE:HD12	0.687
58	A:88:TYR:HD1	A:99:LEU:HD12	0.684
58	A:139:TYR:HE1	A:150:ILE:CD1	0.672
58	A:118:LEU:HD12	A:121:LEU:HD13	0.652
58	A:70:ASP:HB3	A:104:PHE:HE2	0.634
58	A:88:TYR:HD1	A:99:LEU:CD1	0.620
58	A:29:ILE:HD13	A:67:PHE:CD2	0.618
58	A:74:ALA:HB1	A:103:VAL:HG12	0.613
58	A:6:MET:HG3	A:161:TYR:CZ	0.612
58	A:91:LEU:CD1	A:99:LEU:HD11	0.607
58	A:138:TRP:HB3	A:146:ALA:HB2	0.603
58	A:1:MET:HE3	A:161:TYR:HD2	0.602
58	A:79:LEU:HD23	A:85:LYS:HD2	0.602
58	A:27:ILE:HD13	A:46:LEU:CD2	0.601
58	A:77:GLY:HA2	A:80:ARG:HE	0.582
58	A:1:MET:HE3	A:161:TYR:CD2	0.572
58	A:7:LEU:HD13	A:67:PHE:HE1	0.568

Model ID	Atom-1	Atom-2	Clash overlap (Å)
58	A:105:GLN:HG3	A:138:TRP:CZ2	0.568
58	A:118:LEU:HD23	A:121:LEU:HB2	0.566
58	A:1:MET:HG3	A:158:TRP:CE3	0.563
58	A:14:ARG:HB2	A:18:TYR:CZ	0.553
58	A:46:LEU:HD11	A:58:ILE:CG2	0.546
58	A:81:ASN:HB3	A:84:LEU:HB2	0.544
58	A:50:ILE:HG22	A:52:ARG:H	0.538
58	A:22:GLU:HG2	A:24:TYR:CE2	0.537
58	A:11:GLU:HA	A:145:ARG:HH21	0.532
58	A:99:LEU:HD23	A:153:PHE:HZ	0.517
58	A:24:TYR:HB3	A:32:LEU:CD1	0.511
58	A:40:ASN:OD1	A:43:LYS:HE3	0.510
58	A:1:MET:HE3	A:161:TYR:HB3	0.509
58	A:78:ILE:HG21	A:88:TYR:CD2	0.508
58	A:120:MET:SD	A:128:GLU:CB	0.508
58	A:3:ILE:HG23	A:4:PHE:CD2	0.507
58	A:120:MET:HB3	A:125:ARG:CB	0.506
58	A:130:ALA:HB1	A:150:ILE:CG2	0.505
58	A:13:LEU:HD13	A:29:ILE:HD11	0.501
58	A:148:ARG:HH11	A:162:LYS:HB3	0.501
58	A:120:MET:SD	A:128:GLU:HB2	0.492
58	A:136:SER:OG	A:138:TRP:HB2	0.488
58	A:121:LEU:HD11	A:129:ALA:HB1	0.484

Model ID	Atom-1	Atom-2	Clash overlap (Å)
58	A:27:ILE:HD13	A:46:LEU:HD23	0.480
58	A:22:GLU:CG	A:24:TYR:HE2	0.474
58	A:105:GLN:C	A:138:TRP:HE1	0.469
58	A:14:ARG:HB2	A:18:TYR:CE1	0.468
58	A:1:MET:HE1	A:9:ILE:HD12	0.466
58	A:114:PHE:HB3	A:132:ASN:HB3	0.465
58	A:71:VAL:O	A:75:VAL:HG23	0.464
58	A:102:MET:HA	A:138:TRP:CZ2	0.462
58	A:8:ARG:CG	A:67:PHE:HE2	0.458
58	A:102:MET:HA	A:138:TRP:CH2	0.457
58	A:29:ILE:HG21	A:67:PHE:CZ	0.454
58	A:78:ILE:HG21	A:88:TYR:HD2	0.453
58	A:107:GLY:O	A:111:VAL:HG23	0.453
58	A:6:MET:HG3	A:161:TYR:CE2	0.450
58	A:78:ILE:HG23	A:84:LEU:HB3	0.448
58	A:139:TYR:CE1	A:150:ILE:CD1	0.448
58	A:7:LEU:HD13	A:67:PHE:CE1	0.447
58	A:14:ARG:HG3	A:18:TYR:CD2	0.446
58	A:117:SER:O	A:120:MET:HB2	0.445
58	A:84:LEU:HG	A:108:GLU:HB3	0.443
58	A:11:GLU:HG2	A:104:PHE:HE1	0.439
58	A:119:ARG:CZ	A:119:ARG:HB3	0.439
58	A:8:ARG:HG3	A:67:PHE:HE2	0.435

Model ID	Atom-1	Atom-2	Clash overlap (Å)
58	A:32:LEU:C	A:33:LEU:HD12	0.433
58	A:68:ASN:O	A:72:ASP:HB2	0.429
58	A:50:ILE:HD11	A:66:LEU:HD21	0.428
58	A:148:ARG:HB3	A:161:TYR:CD1	0.425
58	A:129:ALA:O	A:133:LEU:HD23	0.422
58	A:8:ARG:HG2	A:29:ILE:HG12	0.417
58	A:15:LEU:HB2	A:58:ILE:O	0.416
58	A:22:GLU:HB3	A:24:TYR:CD2	0.415
58	A:42:ALA:O	A:46:LEU:HB2	0.414
58	A:94:VAL:HG22	A:158:TRP:NE1	0.412
58	A:71:VAL:HG13	A:100:ILE:HG23	0.412
58	A:3:ILE:HB	A:97:ALA:SG	0.411
58	A:1:MET:HG3	A:158:TRP:HE3	0.410
58	A:27:ILE:HD13	A:46:LEU:HD21	0.408
58	A:78:ILE:HD11	A:103:VAL:CG2	0.405
58	A:121:LEU:HD12	A:129:ALA:HB2	0.402
58	A:1:MET:HB3	A:158:TRP:HB3	0.401
59	A:102:MET:HE3	A:111:VAL:HG13	1.089
59	A:7:LEU:HB3	A:67:PHE:HZ	0.974
59	A:7:LEU:HB3	A:67:PHE:CZ	0.966
59	A:102:MET:HG2	A:111:VAL:HG22	0.955
59	A:1:MET:HE1	A:9:ILE:HD12	0.900
59	A:46:LEU:HD11	A:58:ILE:CG2	0.860

Model ID	Atom-1	Atom-2	Clash overlap (Å)
59	A:99:LEU:HD23	A:153:PHE:HZ	0.854
59	A:1:MET:SD	A:5:GLU:HB2	0.851
59	A:13:LEU:HD13	A:29:ILE:HD11	0.818
59	A:17:ILE:HG13	A:27:ILE:HD13	0.816
59	A:50:ILE:HG21	A:62:GLU:HG2	0.806
59	A:88:TYR:HD1	A:99:LEU:HD12	0.805
59	A:15:LEU:HD22	A:58:ILE:HG13	0.785
59	A:78:ILE:HG13	A:103:VAL:HG21	0.768
59	A:46:LEU:HD11	A:58:ILE:HG23	0.754
59	A:102:MET:CE	A:111:VAL:HG13	0.754
59	A:106:MET:SD	A:138:TRP:CE3	0.731
59	A:102:MET:HE3	A:111:VAL:CG1	0.712
59	A:106:MET:SD	A:138:TRP:HE3	0.706
59	A:1:MET:HE1	A:9:ILE:CD1	0.699
59	A:99:LEU:HD23	A:153:PHE:CZ	0.686
59	A:81:ASN:HB3	A:84:LEU:HB2	0.671
59	A:13:LEU:HD13	A:29:ILE:CD1	0.670
59	A:120:MET:HE2	A:125:ARG:HH11	0.665
59	A:142:THR:HB	A:145:ARG:HB3	0.662
59	A:148:ARG:HB3	A:161:TYR:CE1	0.662
59	A:46:LEU:HD11	A:58:ILE:HG21	0.660
59	A:88:TYR:CD1	A:99:LEU:HD12	0.647
59	A:6:MET:HG3	A:158:TRP:HZ3	0.644

Model ID	Atom-1	Atom-2	Clash overlap (Å)
59	A:121:LEU:HD11	A:153:PHE:HE1	0.639
59	A:7:LEU:HD23	A:11:GLU:HG3	0.634
59	A:7:LEU:CB	A:67:PHE:HZ	0.632
59	A:27:ILE:HG12	A:46:LEU:HD13	0.624
59	A:88:TYR:HD1	A:99:LEU:CD1	0.622
59	A:11:GLU:HB2	A:29:ILE:HG23	0.619
59	A:121:LEU:HD11	A:153:PHE:CE1	0.616
59	A:8:ARG:HG2	A:29:ILE:HG12	0.608
59	A:24:TYR:HB2	A:32:LEU:HD11	0.605
59	A:78:ILE:HD11	A:100:ILE:HA	0.601
59	A:75:VAL:HG22	A:100:ILE:HG12	0.600
59	A:121:LEU:HD23	A:126:TRP:CE3	0.597
59	A:50:ILE:CG2	A:62:GLU:HG2	0.596
59	A:102:MET:SD	A:133:LEU:HD21	0.590
59	A:77:GLY:HA3	A:103:VAL:HG11	0.577
59	A:1:MET:SD	A:5:GLU:CB	0.576
59	A:121:LEU:CD1	A:153:PHE:HE1	0.554
59	A:1:MET:HG2	A:158:TRP:CE3	0.553
59	A:78:ILE:CG1	A:103:VAL:HG21	0.546
59	A:29:ILE:HD13	A:67:PHE:CG	0.542
59	A:130:ALA:CB	A:154:ARG:HG3	0.540
59	A:14:ARG:HB3	A:18:TYR:CD1	0.538
59	A:138:TRP:CH2	A:149:VAL:HG11	0.522

Model ID	Atom-1	Atom-2	Clash overlap (Å)
59	A:14:ARG:HB3	A:18:TYR:CE1	0.515
59	A:24:TYR:CB	A:32:LEU:HD11	0.505
59	A:121:LEU:HD23	A:126:TRP:HE3	0.495
59	A:8:ARG:HA	A:29:ILE:HG12	0.490
59	A:29:ILE:HB	A:67:PHE:CD1	0.484
59	A:7:LEU:HB3	A:67:PHE:CE1	0.482
59	A:7:LEU:HD22	A:67:PHE:HE1	0.480
59	A:133:LEU:HB3	A:150:ILE:HG12	0.478
59	A:25:TYR:CE1	A:39:LEU:CD1	0.476
59	A:136:SER:OG	A:138:TRP:HB3	0.475
59	A:11:GLU:HB2	A:29:ILE:CG2	0.473
59	A:127:ASP:O	A:131:VAL:HG23	0.473
59	A:46:LEU:O	A:50:ILE:HG12	0.471
59	A:91:LEU:CD1	A:99:LEU:HD11	0.469
59	A:27:ILE:HG13	A:58:ILE:CD1	0.463
59	A:19:LYS:HB3	A:23:GLY:HA2	0.461
59	A:102:MET:CG	A:111:VAL:HG22	0.459
59	A:29:ILE:HD13	A:67:PHE:CD2	0.454
59	A:71:VAL:HG13	A:100:ILE:HG21	0.454
59	A:84:LEU:CD2	A:88:TYR:HB2	0.454
59	A:114:PHE:O	A:118:LEU:HD23	0.453
59	A:121:LEU:CD2	A:126:TRP:HE3	0.452
59	A:99:LEU:HD21	A:121:LEU:HD13	0.451

Model ID	Atom-1	Atom-2	Clash overlap (Å)
59	A:102:MET:HG2	A:111:VAL:CG2	0.451
59	A:121:LEU:CD2	A:126:TRP:CE3	0.450
59	A:41:ALA:O	A:45:GLU:HB2	0.448
59	A:138:TRP:HH2	A:149:VAL:HG11	0.447
59	A:84:LEU:HD22	A:88:TYR:HB2	0.445
59	A:151:THR:O	A:154:ARG:HB2	0.445
59	A:70:ASP:HB3	A:104:PHE:CE2	0.437
59	A:1:MET:HA	A:5:GLU:OE2	0.436
59	A:106:MET:HG2	A:110:GLY:HA3	0.435
59	A:27:ILE:HG13	A:58:ILE:HD11	0.434
59	A:79:LEU:HD13	A:85:LYS:NZ	0.434
59	A:130:ALA:HB1	A:150:ILE:HG22	0.434
59	A:99:LEU:CD2	A:153:PHE:HZ	0.432
59	A:74:ALA:HB3	A:100:ILE:CG2	0.431
59	A:27:ILE:CD1	A:46:LEU:HD22	0.429
59	A:25:TYR:CE1	A:39:LEU:HD12	0.428
59	A:130:ALA:HB1	A:150:ILE:CG2	0.426
59	A:25:TYR:CE1	A:39:LEU:HD11	0.422
59	A:74:ALA:HB3	A:100:ILE:HG22	0.418
59	A:103:VAL:HG22	A:111:VAL:HG21	0.415
59	A:3:ILE:HG12	A:100:ILE:HD12	0.414
59	A:15:LEU:HD22	A:58:ILE:CG1	0.414
59	A:105:GLN:HE22	A:145:ARG:HG2	0.413

Model ID	Atom-1	Atom-2	Clash overlap (Å)
59	A:148:ARG:HB3	A:161:TYR:CD1	0.412
59	A:91:LEU:HB3	A:96:ARG:HG3	0.411
59	A:34:THR:HG21	A:41:ALA:HB3	0.409
59	A:70:ASP:HB3	A:104:PHE:HE2	0.408
59	A:71:VAL:O	A:75:VAL:HG23	0.408
59	A:102:MET:HA	A:138:TRP:CH2	0.407
59	A:66:LEU:O	A:69:GLN:HB2	0.404
59	A:1:MET:HG2	A:158:TRP:CD2	0.403
59	A:27:ILE:HD13	A:46:LEU:HD22	0.403
59	A:5:GLU:HA	A:8:ARG:HB2	0.401
59	A:2:ASN:H	A:5:GLU:HG3	0.401
60	A:102:MET:HE3	A:111:VAL:HG13	1.143
60	A:102:MET:HG2	A:111:VAL:HG22	1.125
60	A:13:LEU:HD13	A:29:ILE:HD11	0.927
60	A:18:TYR:CE1	A:26:THR:HG23	0.872
60	A:29:ILE:HG21	A:67:PHE:CE1	0.872
60	A:88:TYR:HD1	A:99:LEU:HD12	0.870
60	A:102:MET:HG2	A:111:VAL:CG2	0.858
60	A:102:MET:HE3	A:111:VAL:CG1	0.838
60	A:27:ILE:HG12	A:46:LEU:HD13	0.813
60	A:88:TYR:CD1	A:99:LEU:HD12	0.791
60	A:46:LEU:HD11	A:58:ILE:HG23	0.790
60	A:33:LEU:HB3	A:45:GLU:HB3	0.781

Model ID	Atom-1	Atom-2	Clash overlap (Å)
60	A:7:LEU:HB3	A:67:PHE:CZ	0.775
60	A:13:LEU:HD13	A:29:ILE:CD1	0.757
60	A:4:PHE:CE1	A:71:VAL:HG11	0.751
60	A:148:ARG:HB3	A:161:TYR:CE1	0.743
60	A:7:LEU:HB3	A:67:PHE:HZ	0.738
60	A:43:LYS:HA	A:46:LEU:HD23	0.720
60	A:27:ILE:HG22	A:33:LEU:HD21	0.717
60	A:29:ILE:HD13	A:67:PHE:CG	0.716
60	A:6:MET:HE1	A:98:ALA:HA	0.711
60	A:31:HIS:HD2	A:49:ALA:HB1	0.681
60	A:15:LEU:HD21	A:60:LYS:HA	0.665
60	A:78:ILE:HD11	A:100:ILE:HA	0.665
60	A:1:MET:HE1	A:9:ILE:HD12	0.663
60	A:87:VAL:HG21	A:122:GLN:HB2	0.661
60	A:88:TYR:HD1	A:99:LEU:CD1	0.660
60	A:102:MET:HG3	A:138:TRP:CZ3	0.658
60	A:99:LEU:HD23	A:153:PHE:HZ	0.656
60	A:15:LEU:HD22	A:58:ILE:HG13	0.652
60	A:1:MET:SD	A:5:GLU:HB2	0.650
60	A:91:LEU:HD21	A:126:TRP:CH2	0.638
60	A:142:THR:HB	A:145:ARG:HB3	0.625
60	A:50:ILE:HG21	A:62:GLU:HG3	0.619
60	A:27:ILE:HG21	A:46:LEU:HB2	0.614

Model ID	Atom-1	Atom-2	Clash overlap (Å)
60	A:14:ARG:HG2	A:18:TYR:HB3	0.613
60	A:46:LEU:CD1	A:58:ILE:HG23	0.613
60	A:13:LEU:HD11	A:63:ALA:HB3	0.607
60	A:27:ILE:HD13	A:46:LEU:HD22	0.606
60	A:106:MET:HE1	A:136:SER:HB2	0.598
60	A:15:LEU:HD11	A:60:LYS:HG2	0.592
60	A:102:MET:HG3	A:138:TRP:HZ3	0.589
60	A:17:ILE:HD11	A:46:LEU:CD2	0.586
60	A:109:THR:HA	A:112:ALA:HB3	0.580
60	A:148:ARG:HB3	A:161:TYR:CZ	0.579
60	A:58:ILE:HB	A:62:GLU:HB3	0.576
60	A:75:VAL:HG12	A:79:LEU:HD23	0.563
60	A:102:MET:CE	A:111:VAL:HG13	0.558
60	A:99:LEU:HD23	A:153:PHE:CZ	0.551
60	A:70:ASP:HB3	A:104:PHE:CE2	0.544
60	A:50:ILE:HG13	A:58:ILE:HG21	0.533
60	A:11:GLU:HB3	A:29:ILE:HG23	0.532
60	A:91:LEU:CD2	A:126:TRP:CH2	0.532
60	A:17:ILE:HD11	A:46:LEU:HD23	0.527
60	A:29:ILE:HG21	A:67:PHE:HE1	0.520
60	A:6:MET:HG3	A:158:TRP:HZ3	0.512
60	A:121:LEU:CD2	A:129:ALA:HB1	0.509
60	A:17:ILE:HG12	A:42:ALA:HB1	0.506

Model ID	Atom-1	Atom-2	Clash overlap (Å)
60	A:50:ILE:HB	A:54:THR:SG	0.506
60	A:133:LEU:HB3	A:150:ILE:HG12	0.505
60	A:14:ARG:HB3	A:18:TYR:CD1	0.504
60	A:70:ASP:HB3	A:104:PHE:HE2	0.503
60	A:42:ALA:O	A:46:LEU:HB3	0.493
60	A:97:ALA:CB	A:158:TRP:HH2	0.491
60	A:25:TYR:CE1	A:39:LEU:CD1	0.483
60	A:11:GLU:CB	A:29:ILE:HG23	0.478
60	A:102:MET:HA	A:138:TRP:CH2	0.478
60	A:121:LEU:HD21	A:129:ALA:HB1	0.478
60	A:1:MET:HE1	A:9:ILE:CD1	0.477
60	A:96:ARG:O	A:100:ILE:HG13	0.475
60	A:17:ILE:HD13	A:43:LYS:HG3	0.473
60	A:24:TYR:CB	A:32:LEU:HD11	0.470
60	A:27:ILE:HB	A:33:LEU:HD11	0.470
60	A:102:MET:SD	A:133:LEU:HD21	0.465
60	A:78:ILE:CG2	A:84:LEU:HD21	0.462
60	A:88:TYR:HA	A:91:LEU:HD12	0.461
60	A:24:TYR:HB2	A:32:LEU:CD1	0.460
60	A:132:ASN:O	A:135:LYS:HG2	0.459
60	A:13:LEU:HD21	A:60:LYS:HG2	0.454
60	A:126:TRP:HA	A:129:ALA:HB3	0.449
60	A:134:ALA:HB2	A:150:ILE:HD13	0.449

Model ID	Atom-1	Atom-2	Clash overlap (Å)
60	A:15:LEU:O	A:27:ILE:HD11	0.448
60	A:106:MET:SD	A:138:TRP:CE3	0.447
60	A:1:MET:HB3	A:158:TRP:CG	0.442
60	A:15:LEU:O	A:58:ILE:HG12	0.442
60	A:4:PHE:CE1	A:71:VAL:CG1	0.439
60	A:97:ALA:CB	A:158:TRP:CH2	0.438
60	A:111:VAL:O	A:118:LEU:HD11	0.435
60	A:106:MET:SD	A:138:TRP:HB2	0.435
60	A:67:PHE:O	A:71:VAL:HG12	0.434
60	A:150:ILE:O	A:153:PHE:HB2	0.434
60	A:29:ILE:HD13	A:67:PHE:CD1	0.430
60	A:27:ILE:CG2	A:33:LEU:HD21	0.430
60	A:117:SER:HB2	A:132:ASN:HB2	0.427
60	A:75:VAL:HG12	A:79:LEU:CD2	0.422
60	A:31:HIS:CD2	A:49:ALA:HB1	0.418
60	A:52:ARG:HD2	A:53:ASN:C	0.414
60	A:1:MET:HA	A:5:GLU:OE2	0.413
60	A:74:ALA:CB	A:100:ILE:HG23	0.413
60	A:41:ALA:O	A:45:GLU:HB2	0.412
60	A:102:MET:SD	A:133:LEU:HD11	0.412
60	A:149:VAL:O	A:153:PHE:HD2	0.412
60	A:18:TYR:CD1	A:26:THR:HG23	0.411
60	A:101:ASN:O	A:105:GLN:HG3	0.411

Model ID	Atom-1	Atom-2	Clash overlap (Å)
60	A:87:VAL:HG11	A:122:GLN:HB2	0.408
60	A:15:LEU:HB3	A:58:ILE:O	0.407
60	A:24:TYR:HB2	A:32:LEU:HD11	0.406
60	A:9:ILE:HG21	A:162:LYS:OXT	0.402
60	A:136:SER:OG	A:138:TRP:HB3	0.400
61	A:1:MET:HB3	A:158:TRP:HB3	1.163
61	A:58:ILE:HD13	A:63:ALA:HB2	0.997
61	A:50:ILE:HD13	A:66:LEU:HD12	0.963
61	A:27:ILE:HG22	A:31:HIS:HB3	0.834
61	A:78:ILE:HG12	A:103:VAL:HG21	0.829
61	A:29:ILE:HD13	A:67:PHE:CD2	0.809
61	A:148:ARG:HB2	A:161:TYR:CE1	0.808
61	A:124:LYS:HB3	A:126:TRP:CZ2	0.796
61	A:6:MET:HE3	A:161:TYR:CE1	0.795
61	A:20:ASP:HB3	A:26:THR:HG21	0.782
61	A:130:ALA:CB	A:150:ILE:HG23	0.765
61	A:138:TRP:HB3	A:146:ALA:HB2	0.755
61	A:78:ILE:CG1	A:103:VAL:HG21	0.751
61	A:130:ALA:HB1	A:150:ILE:HG23	0.734
61	A:106:MET:HE2	A:111:VAL:HG22	0.726
61	A:50:ILE:HD13	A:66:LEU:CD1	0.695
61	A:20:ASP:HB3	A:26:THR:CG2	0.668
61	A:58:ILE:CD1	A:63:ALA:HB2	0.663

Model ID	Atom-1	Atom-2	Clash overlap (Å)
61	A:14:ARG:HH21	A:18:TYR:HB2	0.661
61	A:66:LEU:HD22	A:69:GLN:HB2	0.644
61	A:120:MET:HB3	A:125:ARG:HB2	0.635
61	A:15:LEU:HD12	A:57:VAL:HG13	0.630
61	A:27:ILE:CG2	A:31:HIS:HB3	0.630
61	A:27:ILE:HD13	A:46:LEU:HG	0.598
61	A:27:ILE:HG13	A:58:ILE:HG12	0.592
61	A:13:LEU:HD13	A:29:ILE:CD1	0.589
61	A:4:PHE:HD1	A:67:PHE:CE2	0.589
61	A:13:LEU:HD11	A:63:ALA:HB3	0.587
61	A:88:TYR:HD1	A:99:LEU:CD1	0.586
61	A:130:ALA:HB1	A:150:ILE:CG2	0.577
61	A:106:MET:HE2	A:111:VAL:CG2	0.576
61	A:120:MET:SD	A:128:GLU:CB	0.572
61	A:6:MET:SD	A:158:TRP:HZ3	0.566
61	A:106:MET:HE1	A:133:LEU:HD22	0.563
61	A:14:ARG:HB2	A:18:TYR:CD1	0.555
61	A:13:LEU:HD11	A:63:ALA:CB	0.551
61	A:99:LEU:HD23	A:153:PHE:CZ	0.541
61	A:6:MET:HE3	A:161:TYR:HE1	0.537
61	A:7:LEU:HB3	A:67:PHE:CZ	0.537
61	A:6:MET:HG3	A:161:TYR:CZ	0.531
61	A:102:MET:HG3	A:138:TRP:CH2	0.527

Model ID	Atom-1	Atom-2	Clash overlap (Å)
61	A:120:MET:SD	A:128:GLU:HB3	0.524
61	A:138:TRP:HE3	A:146:ALA:CB	0.521
61	A:24:TYR:CE1	A:35:LYS:HE3	0.516
61	A:3:ILE:O	A:6:MET:HB3	0.512
61	A:6:MET:SD	A:158:TRP:CZ3	0.509
61	A:151:THR:HG21	A:160:ALA:HB1	0.505
61	A:50:ILE:HG21	A:54:THR:SG	0.502
61	A:1:MET:HE3	A:161:TYR:HB3	0.495
61	A:148:ARG:HG3	A:161:TYR:CZ	0.492
61	A:7:LEU:HB3	A:67:PHE:HZ	0.488
61	A:129:ALA:O	A:133:LEU:HG	0.488
61	A:1:MET:HG3	A:158:TRP:CE3	0.487
61	A:7:LEU:HA	A:10:ASP:HB2	0.487
61	A:117:SER:O	A:121:LEU:HB2	0.487
61	A:130:ALA:HB2	A:150:ILE:HG23	0.474
61	A:114:PHE:O	A:118:LEU:HD13	0.472
61	A:99:LEU:HD23	A:153:PHE:HZ	0.470
61	A:105:GLN:HB3	A:138:TRP:CE2	0.468
61	A:46:LEU:HD22	A:56:GLY:H	0.467
61	A:106:MET:HB2	A:138:TRP:CZ2	0.465
61	A:3:ILE:HD12	A:6:MET:SD	0.464
61	A:148:ARG:HB2	A:161:TYR:CD1	0.464
61	A:87:VAL:HG12	A:122:GLN:HB2	0.460

Model ID	Atom-1	Atom-2	Clash overlap (Å)
61	A:88:TYR:CD1	A:99:LEU:HD12	0.460
61	A:138:TRP:HE3	A:146:ALA:HB1	0.459
61	A:88:TYR:HD1	A:99:LEU:HD12	0.458
61	A:99:LEU:CD2	A:153:PHE:CZ	0.456
61	A:102:MET:HG3	A:138:TRP:HH2	0.456
61	A:5:GLU:O	A:8:ARG:HG2	0.455
61	A:14:ARG:HG3	A:18:TYR:CZ	0.454
61	A:88:TYR:CD1	A:99:LEU:CD1	0.454
61	A:4:PHE:CE1	A:71:VAL:HG21	0.452
61	A:15:LEU:CD2	A:16:LYS:HG2	0.450
61	A:105:GLN:HB3	A:138:TRP:NE1	0.447
61	A:20:ASP:OD2	A:22:GLU:HB2	0.444
61	A:60:LYS:O	A:63:ALA:HB3	0.443
61	A:16:LYS:HB3	A:57:VAL:HG13	0.442
61	A:121:LEU:HD13	A:126:TRP:HZ3	0.436
61	A:136:SER:OG	A:138:TRP:HB2	0.435
61	A:120:MET:SD	A:128:GLU:HB2	0.433
61	A:138:TRP:CE3	A:146:ALA:CB	0.424
61	A:121:LEU:HD21	A:153:PHE:CE1	0.423
61	A:121:LEU:HD21	A:153:PHE:HE1	0.423
61	A:29:ILE:HB	A:67:PHE:CG	0.422
61	A:151:THR:CG2	A:160:ALA:HB1	0.422
61	A:25:TYR:CE1	A:39:LEU:HD12	0.421

Model ID	Atom-1	Atom-2	Clash overlap (Å)
61	A:138:TRP:CH2	A:149:VAL:HG11	0.419
61	A:101:ASN:O	A:105:GLN:HB2	0.413
61	A:27:ILE:CG1	A:58:ILE:HG12	0.408
61	A:102:MET:HA	A:138:TRP:CH2	0.406
61	A:25:TYR:HD1	A:42:ALA:HB2	0.405
61	A:58:ILE:H	A:58:ILE:HG13	0.404
61	A:66:LEU:O	A:69:GLN:HB2	0.404
61	A:4:PHE:CE1	A:68:ASN:HA	0.403
61	A:15:LEU:HD23	A:16:LYS:HG2	0.403
61	A:127:ASP:O	A:131:VAL:HG23	0.403
61	A:121:LEU:HD22	A:126:TRP:HE3	0.402
61	A:148:ARG:H	A:148:ARG:HG2	0.401
62	A:1:MET:HB3	A:158:TRP:HB3	1.150
62	A:130:ALA:HB1	A:150:ILE:HG23	1.126
62	A:78:ILE:HG12	A:103:VAL:HG21	1.099
62	A:148:ARG:HB2	A:161:TYR:CE1	0.982
62	A:120:MET:HB3	A:125:ARG:HB3	0.921
62	A:88:TYR:HD1	A:99:LEU:HD13	0.897
62	A:1:MET:CB	A:158:TRP:HB3	0.848
62	A:27:ILE:CG2	A:31:HIS:HB3	0.813
62	A:130:ALA:HB1	A:150:ILE:CG2	0.808
62	A:27:ILE:HG23	A:31:HIS:HB3	0.807
62	A:17:ILE:HG23	A:39:LEU:HD12	0.790

Model ID	Atom-1	Atom-2	Clash overlap (Å)
62	A:130:ALA:CB	A:150:ILE:HG23	0.787
62	A:78:ILE:CG1	A:103:VAL:HG21	0.781
62	A:1:MET:HB3	A:158:TRP:CB	0.779
62	A:29:ILE:HD13	A:67:PHE:CD2	0.769
62	A:71:VAL:HG13	A:100:ILE:HG21	0.757
62	A:121:LEU:HD22	A:126:TRP:HE3	0.755
62	A:88:TYR:CD1	A:99:LEU:HD13	0.749
62	A:91:LEU:HD21	A:126:TRP:CZ3	0.726
62	A:85:LYS:HG3	A:86:PRO:HD3	0.708
62	A:88:TYR:HD1	A:99:LEU:CD1	0.704
62	A:1:MET:HE3	A:161:TYR:HB3	0.699
62	A:87:VAL:HG12	A:122:GLN:HB2	0.692
62	A:3:ILE:HD12	A:6:MET:SD	0.678
62	A:7:LEU:HB3	A:67:PHE:HZ	0.678
62	A:112:ALA:HA	A:118:LEU:HD11	0.677
62	A:6:MET:HG3	A:161:TYR:CZ	0.663
62	A:6:MET:HE3	A:161:TYR:CE1	0.649
62	A:99:LEU:HD23	A:102:MET:CE	0.641
62	A:102:MET:SD	A:133:LEU:HD21	0.629
62	A:66:LEU:HD22	A:69:GLN:HB2	0.625
62	A:15:LEU:HD23	A:16:LYS:HG3	0.616
62	A:15:LEU:HD12	A:57:VAL:HG13	0.615
62	A:50:ILE:HD12	A:66:LEU:HD21	0.597

Model ID	Atom-1	Atom-2	Clash overlap (Å)
62	A:78:ILE:HG12	A:103:VAL:CG2	0.597
62	A:58:ILE:HD12	A:63:ALA:HB2	0.595
62	A:3:ILE:HB	A:97:ALA:HB1	0.594
62	A:18:TYR:CE1	A:26:THR:HG22	0.593
62	A:121:LEU:HD22	A:126:TRP:CE3	0.593
62	A:114:PHE:HB2	A:117:SER:HB2	0.591
62	A:120:MET:HB3	A:125:ARG:CB	0.590
62	A:58:ILE:CD1	A:63:ALA:HB2	0.586
62	A:106:MET:SD	A:136:SER:HB3	0.578
62	A:87:VAL:CG2	A:121:LEU:HB3	0.567
62	A:71:VAL:HG13	A:100:ILE:HD13	0.562
62	A:99:LEU:HD23	A:153:PHE:HZ	0.551
62	A:14:ARG:HB2	A:18:TYR:CD1	0.546
62	A:50:ILE:HG21	A:54:THR:SG	0.541
62	A:99:LEU:CD2	A:153:PHE:HZ	0.538
62	A:7:LEU:HG	A:10:ASP:HB2	0.536
62	A:8:ARG:HG2	A:13:LEU:HB2	0.534
62	A:7:LEU:HA	A:10:ASP:HB2	0.533
62	A:14:ARG:HG3	A:18:TYR:CE2	0.531
62	A:126:TRP:HB3	A:153:PHE:HD1	0.527
62	A:15:LEU:HD12	A:57:VAL:CG1	0.525
62	A:6:MET:SD	A:158:TRP:HZ3	0.521
62	A:121:LEU:HD21	A:153:PHE:HE1	0.519

Model ID	Atom-1	Atom-2	Clash overlap (Å)
62	A:18:TYR:CE1	A:26:THR:CG2	0.513
62	A:84:LEU:HG	A:118:LEU:HD21	0.513
62	A:102:MET:HE3	A:111:VAL:HG21	0.512
62	A:74:ALA:HB3	A:100:ILE:HG23	0.511
62	A:121:LEU:HD21	A:153:PHE:CE1	0.510
62	A:120:MET:SD	A:128:GLU:CB	0.510
62	A:6:MET:SD	A:158:TRP:CZ3	0.510
62	A:27:ILE:HG22	A:31:HIS:HB3	0.509
62	A:7:LEU:HB3	A:67:PHE:CZ	0.508
62	A:124:LYS:HB3	A:126:TRP:CZ2	0.506
62	A:27:ILE:HD11	A:58:ILE:HG23	0.504
62	A:127:ASP:O	A:131:VAL:HG23	0.504
62	A:102:MET:CE	A:111:VAL:HG11	0.503
62	A:17:ILE:HD12	A:26:THR:C	0.495
62	A:8:ARG:HD3	A:13:LEU:HG	0.488
62	A:101:ASN:O	A:105:GLN:HB2	0.488
62	A:6:MET:HE3	A:161:TYR:HE1	0.486
62	A:99:LEU:CD2	A:153:PHE:CZ	0.484
62	A:136:SER:HB2	A:138:TRP:CG	0.484
62	A:106:MET:HE2	A:111:VAL:HG22	0.483
62	A:3:ILE:O	A:6:MET:HB3	0.480
62	A:87:VAL:HG23	A:121:LEU:C	0.479
62	A:14:ARG:HG3	A:18:TYR:CD2	0.474

Model ID	Atom-1	Atom-2	Clash overlap (Å)
62	A:77:GLY:O	A:80:ARG:HG3	0.474
62	A:43:LYS:O	A:46:LEU:HB3	0.472
62	A:102:MET:HA	A:138:TRP:CH2	0.472
62	A:136:SER:HB2	A:138:TRP:H	0.468
62	A:102:MET:HE3	A:111:VAL:HG11	0.467
62	A:3:ILE:HD11	A:101:ASN:HB2	0.466
62	A:1:MET:HG3	A:158:TRP:CE3	0.463
62	A:14:ARG:HG3	A:18:TYR:CZ	0.462
62	A:19:LYS:HG2	A:25:TYR:CD2	0.462
62	A:46:LEU:O	A:50:ILE:HG12	0.462
62	A:70:ASP:HB3	A:104:PHE:CE2	0.459
62	A:81:ASN:O	A:85:LYS:HG2	0.459
62	A:4:PHE:HA	A:67:PHE:CE2	0.457
62	A:25:TYR:HB2	A:34:THR:O	0.457
62	A:102:MET:HG3	A:133:LEU:HD11	0.457
62	A:13:LEU:HD13	A:29:ILE:CD1	0.453
62	A:1:MET:SD	A:5:GLU:HB3	0.452
62	A:17:ILE:HD12	A:26:THR:O	0.452
62	A:79:LEU:HA	A:85:LYS:HB3	0.442
62	A:121:LEU:CD2	A:126:TRP:HE3	0.442
62	A:106:MET:HE2	A:111:VAL:CG2	0.441
62	A:114:PHE:HE1	A:133:LEU:HD22	0.441
62	A:94:VAL:HG13	A:158:TRP:CE2	0.438

Model ID	Atom-1	Atom-2	Clash overlap (Å)
62	A:105:GLN:HB3	A:138:TRP:NE1	0.437
62	A:88:TYR:CD1	A:99:LEU:CD1	0.433
62	A:13:LEU:HD13	A:29:ILE:HG13	0.431
62	A:114:PHE:O	A:118:LEU:HD13	0.429
62	A:127:ASP:O	A:130:ALA:HB3	0.429
62	A:50:ILE:HG22	A:52:ARG:H	0.428
62	A:70:ASP:HB3	A:104:PHE:HE2	0.428
62	A:147:LYS:HA	A:150:ILE:HD12	0.426
62	A:91:LEU:CD1	A:99:LEU:HD12	0.422
62	A:91:LEU:HD12	A:99:LEU:CD1	0.421
62	A:120:MET:SD	A:128:GLU:HB3	0.421
62	A:106:MET:HB2	A:138:TRP:CZ2	0.420
62	A:99:LEU:HD23	A:102:MET:HE1	0.419
62	A:99:LEU:HA	A:102:MET:HB3	0.417
62	A:74:ALA:HB2	A:104:PHE:HB2	0.413
62	A:27:ILE:HG12	A:46:LEU:HD13	0.412
62	A:29:ILE:HG21	A:67:PHE:CZ	0.412
62	A:105:GLN:HB3	A:138:TRP:CE2	0.411
62	A:29:ILE:HD13	A:67:PHE:CG	0.407
63	A:15:LEU:HD22	A:58:ILE:HG13	1.097
63	A:50:ILE:HG23	A:62:GLU:HG2	1.083
63	A:102:MET:HG2	A:111:VAL:HG22	1.054
63	A:1:MET:SD	A:5:GLU:HB3	1.042

Model ID	Atom-1	Atom-2	Clash overlap (Å)
63	A:46:LEU:HD11	A:58:ILE:HG21	0.996
63	A:102:MET:HE3	A:111:VAL:HG13	0.982
63	A:78:ILE:HG13	A:103:VAL:HG21	0.907
63	A:87:VAL:HG22	A:122:GLN:HB2	0.882
63	A:16:LYS:HD3	A:57:VAL:HG22	0.875
63	A:11:GLU:HB2	A:29:ILE:HG23	0.865
63	A:121:LEU:HD21	A:153:PHE:HD1	0.846
63	A:11:GLU:HB2	A:29:ILE:CG2	0.841
63	A:50:ILE:HD12	A:62:GLU:HB3	0.822
63	A:46:LEU:HD11	A:58:ILE:CG2	0.788
63	A:15:LEU:HD22	A:58:ILE:CG1	0.776
63	A:142:THR:HB	A:145:ARG:HB3	0.765
63	A:102:MET:HG2	A:111:VAL:CG2	0.762
63	A:102:MET:CG	A:111:VAL:HG22	0.730
63	A:106:MET:SD	A:138:TRP:CE3	0.725
63	A:130:ALA:CB	A:154:ARG:HG3	0.719
63	A:6:MET:HE1	A:98:ALA:HA	0.698
63	A:50:ILE:HG23	A:62:GLU:CG	0.695
63	A:27:ILE:HG22	A:33:LEU:HD21	0.684
63	A:88:TYR:HD1	A:99:LEU:HD12	0.682
63	A:78:ILE:HD11	A:100:ILE:HA	0.668
63	A:121:LEU:HD21	A:153:PHE:CD1	0.667
63	A:117:SER:HB2	A:132:ASN:HB2	0.654

Model ID	Atom-1	Atom-2	Clash overlap (Å)
63	A:102:MET:HE3	A:111:VAL:CG1	0.652
63	A:87:VAL:CG2	A:122:GLN:HB2	0.647
63	A:106:MET:SD	A:138:TRP:HE3	0.638
63	A:120:MET:SD	A:128:GLU:HB3	0.637
63	A:138:TRP:CH2	A:149:VAL:HG11	0.628
63	A:27:ILE:CG2	A:33:LEU:HD21	0.622
63	A:88:TYR:CD1	A:99:LEU:HD12	0.602
63	A:75:VAL:HA	A:78:ILE:HD12	0.601
63	A:7:LEU:HB3	A:67:PHE:CZ	0.600
63	A:27:ILE:HD13	A:46:LEU:HD22	0.598
63	A:17:ILE:HG13	A:27:ILE:HD13	0.585
63	A:31:HIS:HD2	A:33:LEU:HD22	0.579
63	A:11:GLU:HB2	A:29:ILE:HG22	0.576
63	A:102:MET:CE	A:111:VAL:HG13	0.563
63	A:84:LEU:HD22	A:88:TYR:HB2	0.558
63	A:29:ILE:HG21	A:67:PHE:CE1	0.556
63	A:106:MET:HG2	A:110:GLY:HA3	0.550
63	A:121:LEU:HD11	A:153:PHE:CE1	0.550
63	A:130:ALA:HB2	A:154:ARG:HG3	0.550
63	A:29:ILE:HD13	A:67:PHE:CG	0.548
63	A:121:LEU:CD2	A:153:PHE:HD1	0.548
63	A:74:ALA:CB	A:100:ILE:HG23	0.547
63	A:88:TYR:HD1	A:99:LEU:CD1	0.547

Model ID	Atom-1	Atom-2	Clash overlap (Å)
63	A:133:LEU:HB3	A:150:ILE:HG12	0.540
63	A:18:TYR:CE1	A:26:THR:CG2	0.535
63	A:144:ASN:HA	A:147:LYS:HB2	0.534
63	A:5:GLU:HA	A:8:ARG:HG2	0.532
63	A:3:ILE:HB	A:97:ALA:SG	0.525
63	A:148:ARG:HB3	A:161:TYR:CE1	0.516
63	A:121:LEU:CD1	A:153:PHE:HE1	0.515
63	A:1:MET:HG2	A:158:TRP:CE3	0.513
63	A:7:LEU:HD22	A:67:PHE:HE1	0.513
63	A:7:LEU:HB3	A:67:PHE:CE1	0.493
63	A:70:ASP:HB3	A:104:PHE:CE2	0.484
63	A:27:ILE:HG12	A:46:LEU:HD13	0.482
63	A:27:ILE:HG22	A:33:LEU:CD2	0.482
63	A:6:MET:HG3	A:158:TRP:HZ3	0.481
63	A:25:TYR:CE1	A:39:LEU:CD1	0.472
63	A:74:ALA:HB1	A:100:ILE:HG23	0.470
63	A:46:LEU:O	A:50:ILE:HG12	0.469
63	A:130:ALA:HB1	A:150:ILE:HG23	0.468
63	A:7:LEU:CD2	A:11:GLU:HG3	0.467
63	A:14:ARG:HB2	A:18:TYR:CD1	0.463
63	A:15:LEU:CD2	A:58:ILE:HG13	0.463
63	A:121:LEU:CD1	A:153:PHE:CE1	0.460
63	A:29:ILE:HB	A:67:PHE:CD1	0.457

Model ID	Atom-1	Atom-2	Clash overlap (Å)
63	A:130:ALA:HB1	A:150:ILE:CG2	0.455
63	A:97:ALA:CB	A:158:TRP:HH2	0.449
63	A:102:MET:HA	A:138:TRP:CH2	0.448
63	A:78:ILE:CG1	A:103:VAL:HG21	0.447
63	A:1:MET:HA	A:5:GLU:OE2	0.441
63	A:121:LEU:HD23	A:126:TRP:CE3	0.439
63	A:74:ALA:HB3	A:100:ILE:HG23	0.434
63	A:136:SER:OG	A:138:TRP:HB3	0.431
63	A:121:LEU:HD13	A:153:PHE:HE1	0.429
63	A:18:TYR:CE1	A:26:THR:HG23	0.426
63	A:76:ARG:HA	A:76:ARG:HD2	0.426
63	A:120:MET:HE2	A:125:ARG:NH1	0.425
63	A:138:TRP:HH2	A:149:VAL:HG11	0.421
63	A:126:TRP:HB3	A:153:PHE:O	0.420
63	A:1:MET:HE1	A:9:ILE:CD1	0.419
63	A:99:LEU:HD23	A:153:PHE:CZ	0.418
63	A:91:LEU:CD1	A:99:LEU:HD11	0.417
63	A:14:ARG:CB	A:18:TYR:CD1	0.415
63	A:121:LEU:CD2	A:153:PHE:CD1	0.415
63	A:31:HIS:CD2	A:33:LEU:HD22	0.412
63	A:31:HIS:HB2	A:70:ASP:OD2	0.408
63	A:102:MET:SD	A:133:LEU:HD21	0.408
63	A:114:PHE:O	A:118:LEU:HD13	0.405

Model ID	Atom-1	Atom-2	Clash overlap (Å)
63	A:70:ASP:HB3	A:104:PHE:HE2	0.404
63	A:3:ILE:HD13	A:97:ALA:HA	0.403
63	A:7:LEU:HB3	A:67:PHE:HZ	0.402
63	A:17:ILE:HD11	A:46:LEU:HD23	0.402
63	A:120:MET:SD	A:128:GLU:CB	0.402
63	A:50:ILE:CG2	A:62:GLU:HG2	0.401
63	A:52:ARG:HH21	A:59:THR:HG23	0.400
64	A:91:LEU:HD11	A:121:LEU:HD12	1.097
64	A:17:ILE:HD13	A:43:LYS:HB3	1.023
64	A:81:ASN:HB3	A:84:LEU:HB2	1.004
64	A:121:LEU:HD13	A:126:TRP:HZ3	0.964
64	A:141:GLN:HG2	A:142:THR:HG23	0.958
64	A:24:TYR:CD1	A:35:LYS:HG2	0.838
64	A:91:LEU:CD1	A:121:LEU:HD12	0.824
64	A:13:LEU:HD13	A:29:ILE:HD11	0.813
64	A:46:LEU:HD12	A:50:ILE:HG13	0.805
64	A:84:LEU:CD1	A:88:TYR:HB2	0.803
64	A:138:TRP:HB3	A:146:ALA:HB2	0.799
64	A:29:ILE:HD13	A:67:PHE:CD2	0.798
64	A:130:ALA:HB1	A:150:ILE:HG23	0.797
64	A:102:MET:HG2	A:111:VAL:HG22	0.790
64	A:121:LEU:HD13	A:126:TRP:CZ3	0.785
64	A:130:ALA:CB	A:150:ILE:HG23	0.782

Model ID	Atom-1	Atom-2	Clash overlap (Å)
64	A:97:ALA:HB3	A:158:TRP:HH2	0.771
64	A:1:MET:SD	A:5:GLU:HB3	0.758
64	A:18:TYR:CE1	A:26:THR:HG22	0.757
64	A:99:LEU:HD23	A:102:MET:CE	0.750
64	A:24:TYR:HD1	A:35:LYS:HG2	0.727
64	A:84:LEU:HD22	A:118:LEU:HD11	0.703
64	A:13:LEU:HD13	A:29:ILE:CD1	0.698
64	A:97:ALA:CB	A:158:TRP:HH2	0.696
64	A:1:MET:HG2	A:158:TRP:CE3	0.684
64	A:13:LEU:HD13	A:29:ILE:CG1	0.674
64	A:97:ALA:HB3	A:158:TRP:CH2	0.659
64	A:138:TRP:CB	A:146:ALA:HB2	0.659
64	A:7:LEU:HD12	A:67:PHE:HE1	0.657
64	A:151:THR:HG21	A:160:ALA:HB1	0.652
64	A:46:LEU:HD12	A:50:ILE:CG1	0.650
64	A:17:ILE:CD1	A:43:LYS:HB3	0.647
64	A:99:LEU:HD23	A:102:MET:HE1	0.647
64	A:74:ALA:HB2	A:104:PHE:HD2	0.638
64	A:99:LEU:HD23	A:102:MET:HE2	0.635
64	A:84:LEU:HD12	A:88:TYR:HB2	0.628
64	A:50:ILE:HD11	A:66:LEU:HD11	0.623
64	A:19:LYS:HD2	A:25:TYR:CZ	0.622
64	A:151:THR:CG2	A:160:ALA:HB1	0.622

Model ID	Atom-1	Atom-2	Clash overlap (Å)
64	A:67:PHE:CE1	A:71:VAL:HG21	0.614
64	A:50:ILE:CG2	A:52:ARG:HG3	0.607
64	A:121:LEU:HD21	A:153:PHE:CD1	0.607
64	A:50:ILE:CD1	A:66:LEU:HD11	0.603
64	A:139:TYR:CD1	A:146:ALA:HB3	0.601
64	A:25:TYR:HE1	A:39:LEU:HD12	0.600
64	A:106:MET:HG2	A:110:GLY:HA3	0.593
64	A:14:ARG:HG2	A:18:TYR:HB3	0.584
64	A:27:ILE:HG22	A:31:HIS:HB3	0.582
64	A:139:TYR:HD1	A:146:ALA:CB	0.580
64	A:91:LEU:HD11	A:121:LEU:CD1	0.576
64	A:15:LEU:HD23	A:57:VAL:HG11	0.573
64	A:126:TRP:HB2	A:154:ARG:HA	0.573
64	A:46:LEU:CD1	A:50:ILE:HG13	0.570
64	A:120:MET:SD	A:128:GLU:HB2	0.567
64	A:130:ALA:HB1	A:150:ILE:CG2	0.566
64	A:29:ILE:HB	A:67:PHE:CG	0.562
64	A:62:GLU:HA	A:65:LYS:HG2	0.562
64	A:58:ILE:HD11	A:63:ALA:HB2	0.560
64	A:81:ASN:HB3	A:84:LEU:CB	0.558
64	A:130:ALA:HB2	A:150:ILE:HG23	0.554
64	A:148:ARG:HB3	A:161:TYR:CE1	0.553
64	A:58:ILE:CD1	A:63:ALA:HB2	0.546

Model ID	Atom-1	Atom-2	Clash overlap (Å)
64	A:121:LEU:HD11	A:153:PHE:CE1	0.543
64	A:148:ARG:HB3	A:161:TYR:CZ	0.542
64	A:78:ILE:HD11	A:100:ILE:HA	0.531
64	A:15:LEU:CD2	A:57:VAL:HG11	0.530
64	A:27:ILE:HD12	A:46:LEU:HD22	0.530
64	A:24:TYR:HD1	A:35:LYS:CG	0.529
64	A:120:MET:SD	A:128:GLU:CB	0.528
64	A:7:LEU:CD1	A:67:PHE:HE1	0.523
64	A:6:MET:HG3	A:161:TYR:CZ	0.519
64	A:13:LEU:HD13	A:29:ILE:HG13	0.517
64	A:102:MET:HE3	A:111:VAL:HG13	0.514
64	A:91:LEU:CD1	A:99:LEU:HD11	0.511
64	A:50:ILE:HG21	A:52:ARG:HG3	0.508
64	A:78:ILE:HG12	A:103:VAL:HG21	0.508
64	A:6:MET:HE1	A:98:ALA:HA	0.506
64	A:27:ILE:CD1	A:46:LEU:HD22	0.502
64	A:13:LEU:CD1	A:29:ILE:HD11	0.502
64	A:117:SER:HA	A:120:MET:HB2	0.502
64	A:87:VAL:HG13	A:122:GLN:HB2	0.501
64	A:15:LEU:O	A:58:ILE:HG13	0.500
64	A:92:ASP:OD1	A:95:ARG:HD2	0.500
64	A:1:MET:HE1	A:9:ILE:HD12	0.495
64	A:78:ILE:CG1	A:103:VAL:HG21	0.492

Model ID	Atom-1	Atom-2	Clash overlap (Å)
64	A:139:TYR:CD1	A:146:ALA:CB	0.492
64	A:1:MET:HG2	A:158:TRP:CD2	0.490
64	A:16:LYS:HG3	A:57:VAL:HG13	0.490
64	A:21:THR:HG21	A:145:ARG:HD2	0.485
64	A:139:TYR:HD1	A:146:ALA:HB1	0.483
64	A:24:TYR:CD1	A:35:LYS:CG	0.478
64	A:7:LEU:HD12	A:67:PHE:CE1	0.477
64	A:81:ASN:CB	A:84:LEU:HB2	0.475
64	A:71:VAL:O	A:75:VAL:HG23	0.474
64	A:101:ASN:O	A:105:GLN:HB2	0.469
64	A:6:MET:HE2	A:101:ASN:HD22	0.466
64	A:14:ARG:HB3	A:18:TYR:CD1	0.461
64	A:44:SER:O	A:47:ASP:HB3	0.456
64	A:57:VAL:HG12	A:58:ILE:O	0.456
64	A:13:LEU:CD1	A:29:ILE:HG13	0.454
64	A:138:TRP:HB3	A:146:ALA:CB	0.453
64	A:14:ARG:CB	A:18:TYR:CD1	0.448
64	A:106:MET:HB2	A:138:TRP:CZ2	0.447
64	A:88:TYR:HD1	A:99:LEU:CD1	0.445
64	A:105:GLN:HB3	A:138:TRP:NE1	0.442
64	A:50:ILE:HG22	A:52:ARG:HG3	0.437
64	A:70:ASP:HB3	A:104:PHE:CE2	0.437
64	A:92:ASP:O	A:96:ARG:HG3	0.433

Model ID	Atom-1	Atom-2	Clash overlap (Å)
64	A:52:ARG:HH21	A:58:ILE:HG22	0.431
64	A:114:PHE:CE1	A:133:LEU:HD23	0.431
64	A:129:ALA:O	A:133:LEU:HG	0.428
64	A:106:MET:HE3	A:114:PHE:HE1	0.427
64	A:136:SER:OG	A:138:TRP:HB2	0.423
64	A:106:MET:HE1	A:133:LEU:HD22	0.422
64	A:105:GLN:HB3	A:138:TRP:CE2	0.419
64	A:14:ARG:HB2	A:14:ARG:HE	0.419
64	A:50:ILE:HD11	A:66:LEU:CD1	0.418
64	A:94:VAL:HG22	A:158:TRP:NE1	0.418
64	A:141:GLN:CG	A:142:THR:HG23	0.418
64	A:27:ILE:HG12	A:58:ILE:HG12	0.416
64	A:29:ILE:HB	A:67:PHE:CD1	0.415
64	A:88:TYR:HD1	A:99:LEU:HD13	0.415
64	A:2:ASN:H	A:5:GLU:HB2	0.415
64	A:155:THR:O	A:157:THR:HG23	0.413
64	A:3:ILE:HD13	A:97:ALA:O	0.410
64	A:42:ALA:HA	A:45:GLU:HB2	0.410
64	A:151:THR:HG22	A:160:ALA:CB	0.409
64	A:105:GLN:HG2	A:145:ARG:NH2	0.408
64	A:121:LEU:HD11	A:153:PHE:CD1	0.407
64	A:126:TRP:HA	A:129:ALA:HB3	0.405
64	A:127:ASP:O	A:131:VAL:HG23	0.404

Model ID	Atom-1	Atom-2	Clash overlap (Å)
64	A:46:LEU:HG	A:54:THR:SG	0.401
65	A:130:ALA:HB1	A:150:ILE:HG23	1.138
65	A:148:ARG:HB2	A:161:TYR:CE1	0.967
65	A:13:LEU:HD13	A:29:ILE:HG12	0.958
65	A:74:ALA:HB2	A:104:PHE:HD2	0.880
65	A:120:MET:SD	A:128:GLU:HB3	0.861
65	A:121:LEU:HD13	A:126:TRP:HZ3	0.855
65	A:120:MET:HG2	A:125:ARG:HB3	0.837
65	A:29:ILE:HD12	A:67:PHE:CD2	0.832
65	A:13:LEU:HD13	A:29:ILE:CG1	0.829
65	A:130:ALA:HB1	A:150:ILE:CG2	0.822
65	A:130:ALA:CB	A:150:ILE:HG23	0.790
65	A:138:TRP:HB3	A:146:ALA:HB2	0.776
65	A:141:GLN:HG3	A:142:THR:HG23	0.751
65	A:4:PHE:CE1	A:71:VAL:HG11	0.736
65	A:74:ALA:HB2	A:104:PHE:CD2	0.731
65	A:78:ILE:CG1	A:103:VAL:HG21	0.723
65	A:99:LEU:HD23	A:153:PHE:HZ	0.718
65	A:15:LEU:HD22	A:57:VAL:HG11	0.715
65	A:7:LEU:HD13	A:67:PHE:CE1	0.710
65	A:78:ILE:HG12	A:103:VAL:HG21	0.707
65	A:84:LEU:CD1	A:88:TYR:HB2	0.707
65	A:7:LEU:HD13	A:67:PHE:HE1	0.700

Model ID	Atom-1	Atom-2	Clash overlap (Å)
65	A:84:LEU:HD13	A:88:TYR:HB2	0.671
65	A:102:MET:SD	A:153:PHE:CE2	0.645
65	A:13:LEU:CD1	A:29:ILE:HG12	0.600
65	A:27:ILE:CD1	A:58:ILE:HG12	0.597
65	A:99:LEU:CD2	A:153:PHE:HZ	0.596
65	A:14:ARG:HB2	A:18:TYR:CD1	0.587
65	A:120:MET:CG	A:125:ARG:HB3	0.566
65	A:99:LEU:HD23	A:102:MET:HE2	0.559
65	A:46:LEU:HD21	A:58:ILE:HG23	0.556
65	A:102:MET:SD	A:153:PHE:HE2	0.553
65	A:97:ALA:CB	A:158:TRP:HH2	0.548
65	A:78:ILE:HG13	A:103:VAL:HG21	0.546
65	A:151:THR:HG21	A:160:ALA:CB	0.545
65	A:18:TYR:CE1	A:26:THR:HG22	0.539
65	A:138:TRP:CB	A:146:ALA:HB2	0.538
65	A:139:TYR:HD1	A:146:ALA:HB1	0.534
65	A:99:LEU:CD2	A:153:PHE:CZ	0.528
65	A:98:ALA:HB2	A:152:THR:CG2	0.527
65	A:99:LEU:HD23	A:153:PHE:CZ	0.525
65	A:78:ILE:HD11	A:100:ILE:HA	0.523
65	A:121:LEU:HD13	A:126:TRP:CZ3	0.521
65	A:105:GLN:HB3	A:138:TRP:CZ2	0.516
65	A:14:ARG:HG2	A:18:TYR:HB3	0.510

Model ID	Atom-1	Atom-2	Clash overlap (Å)
65	A:99:LEU:HD23	A:102:MET:CE	0.509
65	A:91:LEU:HD11	A:121:LEU:HD12	0.508
65	A:74:ALA:CB	A:104:PHE:HD2	0.496
65	A:46:LEU:HG	A:54:THR:SG	0.494
65	A:106:MET:HB2	A:138:TRP:CZ2	0.494
65	A:120:MET:SD	A:128:GLU:CB	0.486
65	A:29:ILE:HB	A:67:PHE:CG	0.481
65	A:105:GLN:HB3	A:138:TRP:CE2	0.481
65	A:71:VAL:O	A:75:VAL:HG23	0.477
65	A:105:GLN:OE1	A:145:ARG:HG2	0.474
65	A:102:MET:HA	A:138:TRP:CH2	0.470
65	A:14:ARG:CB	A:18:TYR:CD1	0.469
65	A:97:ALA:CB	A:158:TRP:CH2	0.468
65	A:121:LEU:HD21	A:153:PHE:CD1	0.468
65	A:148:ARG:HB2	A:161:TYR:CZ	0.459
65	A:97:ALA:HB3	A:158:TRP:CH2	0.458
65	A:102:MET:HA	A:138:TRP:HH2	0.452
65	A:101:ASN:O	A:105:GLN:HB2	0.452
65	A:1:MET:HG3	A:158:TRP:CE3	0.449
65	A:92:ASP:OD2	A:95:ARG:HG3	0.449
65	A:25:TYR:HB2	A:34:THR:HG23	0.447
65	A:127:ASP:O	A:131:VAL:HG23	0.445
65	A:136:SER:OG	A:138:TRP:HB2	0.440

Model ID	Atom-1	Atom-2	Clash overlap (Å)
65	A:88:TYR:HD1	A:99:LEU:CD1	0.439
65	A:139:TYR:CD1	A:146:ALA:HB1	0.438
65	A:47:ASP:HA	A:54:THR:SG	0.437
65	A:29:ILE:HD12	A:67:PHE:CG	0.434
65	A:105:GLN:HB3	A:138:TRP:NE1	0.434
65	A:91:LEU:CD1	A:99:LEU:HD11	0.433
65	A:15:LEU:O	A:57:VAL:HG13	0.431
65	A:106:MET:SD	A:136:SER:HB3	0.431
65	A:88:TYR:CD1	A:99:LEU:HD13	0.425
65	A:25:TYR:CB	A:34:THR:HG23	0.424
65	A:57:VAL:HG12	A:58:ILE:O	0.423
65	A:88:TYR:CD1	A:99:LEU:CD1	0.420
65	A:148:ARG:HD3	A:161:TYR:CZ	0.420
65	A:151:THR:HG21	A:160:ALA:HB3	0.419
65	A:126:TRP:HB2	A:154:ARG:HA	0.412
65	A:23:GLY:C	A:24:TYR:CG	0.407
65	A:94:VAL:HG22	A:158:TRP:NE1	0.407
65	A:50:ILE:HG22	A:52:ARG:HG2	0.405
65	A:6:MET:HE2	A:161:TYR:CZ	0.402
66	A:1:MET:SD	A:5:GLU:HB3	0.929
66	A:13:LEU:HD13	A:29:ILE:CD1	0.857
66	A:106:MET:SD	A:138:TRP:HE3	0.851
66	A:15:LEU:HD22	A:58:ILE:HG13	0.844

Model ID	Atom-1	Atom-2	Clash overlap (Å)
66	A:91:LEU:HD12	A:99:LEU:HD11	0.839
66	A:46:LEU:HD11	A:58:ILE:HG21	0.837
66	A:46:LEU:HD11	A:58:ILE:CG2	0.785
66	A:91:LEU:CD1	A:99:LEU:HD11	0.759
66	A:121:LEU:HD22	A:126:TRP:HE3	0.756
66	A:78:ILE:HD11	A:100:ILE:HA	0.754
66	A:88:TYR:HD1	A:99:LEU:CD1	0.740
66	A:121:LEU:HD23	A:129:ALA:HB2	0.735
66	A:106:MET:SD	A:138:TRP:CE3	0.735
66	A:121:LEU:HD22	A:126:TRP:CE3	0.724
66	A:13:LEU:HD13	A:29:ILE:HD11	0.711
66	A:88:TYR:HD1	A:99:LEU:HD13	0.707
66	A:133:LEU:HB3	A:150:ILE:HG12	0.701
66	A:15:LEU:CD2	A:58:ILE:HG13	0.696
66	A:6:MET:HG2	A:161:TYR:CE2	0.693
66	A:50:ILE:HG23	A:62:GLU:HG2	0.688
66	A:99:LEU:CD2	A:153:PHE:HZ	0.685
66	A:130:ALA:CB	A:154:ARG:HG3	0.683
66	A:138:TRP:HH2	A:149:VAL:HG11	0.681
66	A:121:LEU:HD23	A:129:ALA:CB	0.676
66	A:13:LEU:HD13	A:29:ILE:HD12	0.650
66	A:99:LEU:HD23	A:153:PHE:HZ	0.643
66	A:102:MET:HG2	A:111:VAL:HG22	0.626

Model ID	Atom-1	Atom-2	Clash overlap (Å)
66	A:121:LEU:CD2	A:126:TRP:HE3	0.625
66	A:13:LEU:HD11	A:63:ALA:HB1	0.618
66	A:78:ILE:CG1	A:103:VAL:HG21	0.599
66	A:19:LYS:HB3	A:23:GLY:HA2	0.596
66	A:6:MET:SD	A:97:ALA:HB1	0.592
66	A:91:LEU:HD12	A:99:LEU:CD1	0.583
66	A:88:TYR:CD1	A:99:LEU:HD13	0.581
66	A:147:LYS:HA	A:150:ILE:HD12	0.569
66	A:11:GLU:HB2	A:29:ILE:HG23	0.566
66	A:14:ARG:HB2	A:18:TYR:CD1	0.559
66	A:125:ARG:HB3	A:128:GLU:HG3	0.557
66	A:102:MET:HE3	A:111:VAL:HG13	0.555
66	A:78:ILE:CG2	A:84:LEU:HD21	0.554
66	A:18:TYR:CE1	A:26:THR:HG22	0.552
66	A:99:LEU:HD23	A:102:MET:HE1	0.552
66	A:27:ILE:HD13	A:46:LEU:HD22	0.544
66	A:130:ALA:HB1	A:150:ILE:HG22	0.538
66	A:75:VAL:HA	A:78:ILE:HD12	0.535
66	A:13:LEU:CD1	A:63:ALA:HB1	0.526
66	A:18:TYR:CE1	A:26:THR:CG2	0.525
66	A:25:TYR:CE1	A:39:LEU:HD12	0.524
66	A:1:MET:SD	A:5:GLU:CB	0.523
66	A:29:ILE:HD13	A:67:PHE:CG	0.521

Model ID	Atom-1	Atom-2	Clash overlap (Å)
66	A:121:LEU:HD11	A:153:PHE:HE1	0.516
66	A:138:TRP:CE2	A:146:ALA:HA	0.513
66	A:13:LEU:HD11	A:63:ALA:CB	0.512
66	A:13:LEU:HA	A:29:ILE:HG13	0.506
66	A:99:LEU:CD2	A:153:PHE:CZ	0.504
66	A:78:ILE:HG23	A:84:LEU:HD21	0.496
66	A:46:LEU:O	A:50:ILE:HG12	0.495
66	A:127:ASP:O	A:131:VAL:HG23	0.495
66	A:29:ILE:HB	A:67:PHE:CD1	0.488
66	A:88:TYR:HD1	A:99:LEU:HD12	0.487
66	A:1:MET:HB3	A:158:TRP:CD2	0.484
66	A:6:MET:HG3	A:158:TRP:CZ3	0.483
66	A:78:ILE:HG12	A:103:VAL:HG21	0.480
66	A:25:TYR:CE1	A:39:LEU:CD1	0.478
66	A:70:ASP:HB3	A:104:PHE:CE2	0.473
66	A:121:LEU:CD2	A:126:TRP:CE3	0.469
66	A:102:MET:SD	A:133:LEU:HD21	0.468
66	A:25:TYR:HE1	A:39:LEU:CD1	0.466
66	A:3:ILE:HG12	A:100:ILE:HB	0.463
66	A:7:LEU:HB3	A:67:PHE:CE1	0.462
66	A:134:ALA:HA	A:150:ILE:HD13	0.462
66	A:114:PHE:O	A:118:LEU:HD23	0.460
66	A:102:MET:CE	A:111:VAL:HG13	0.455

Model ID	Atom-1	Atom-2	Clash overlap (Å)
66	A:124:LYS:HA	A:126:TRP:CZ2	0.455
66	A:91:LEU:HD11	A:99:LEU:HD11	0.451
66	A:78:ILE:HG13	A:103:VAL:HG21	0.444
66	A:6:MET:HE3	A:158:TRP:CZ3	0.437
66	A:27:ILE:HG13	A:58:ILE:HD11	0.436
66	A:10:ASP:OD1	A:148:ARG:NH2	0.432
66	A:75:VAL:HG22	A:100:ILE:HG12	0.429
66	A:102:MET:HA	A:138:TRP:CH2	0.423
66	A:16:LYS:O	A:27:ILE:HD12	0.419
66	A:87:VAL:O	A:91:LEU:HG	0.419
66	A:138:TRP:CD1	A:146:ALA:HB2	0.417
66	A:121:LEU:CD2	A:129:ALA:HB2	0.414
66	A:66:LEU:O	A:69:GLN:HB3	0.413
66	A:19:LYS:HA	A:24:TYR:O	0.412
66	A:102:MET:SD	A:133:LEU:HD11	0.409
66	A:43:LYS:O	A:46:LEU:HB3	0.407
66	A:151:THR:O	A:154:ARG:HB2	0.405
66	A:16:LYS:HD3	A:57:VAL:CG2	0.404
66	A:29:ILE:HG21	A:67:PHE:CE1	0.404
66	A:102:MET:HE3	A:111:VAL:CG1	0.402
66	A:77:GLY:HA3	A:103:VAL:HG11	0.401
67	A:130:ALA:HB1	A:150:ILE:HG23	1.210
67	A:13:LEU:HD13	A:29:ILE:HG13	1.058

Model ID	Atom-1	Atom-2	Clash overlap (Å)
67	A:138:TRP:HB3	A:146:ALA:HB2	0.970
67	A:121:LEU:HD22	A:126:TRP:HE3	0.927
67	A:121:LEU:HD22	A:126:TRP:CE3	0.911
67	A:120:MET:SD	A:128:GLU:HB2	0.908
67	A:7:LEU:HD12	A:67:PHE:HE1	0.864
67	A:13:LEU:HD13	A:29:ILE:CG1	0.829
67	A:151:THR:HG21	A:160:ALA:HB3	0.827
67	A:1:MET:HG2	A:158:TRP:CE3	0.824
67	A:151:THR:HG21	A:160:ALA:CB	0.818
67	A:29:ILE:HD13	A:67:PHE:CD2	0.795
67	A:130:ALA:HB1	A:150:ILE:CG2	0.766
67	A:120:MET:HG2	A:125:ARG:CB	0.761
67	A:7:LEU:CD1	A:67:PHE:HE1	0.747
67	A:99:LEU:HD23	A:102:MET:HE2	0.740
67	A:78:ILE:HG23	A:84:LEU:HD12	0.730
67	A:46:LEU:HD12	A:50:ILE:HG13	0.729
67	A:120:MET:HG2	A:125:ARG:HB3	0.710
67	A:7:LEU:HD12	A:67:PHE:CE1	0.695
67	A:78:ILE:HG21	A:88:TYR:CD2	0.685
67	A:138:TRP:HB3	A:146:ALA:CB	0.681
67	A:91:LEU:HD11	A:121:LEU:HD12	0.678
67	A:106:MET:HG2	A:110:GLY:HA3	0.670
67	A:99:LEU:HD23	A:102:MET:CE	0.665

Model ID	Atom-1	Atom-2	Clash overlap (Å)
67	A:102:MET:HE2	A:153:PHE:CZ	0.665
67	A:91:LEU:CD1	A:99:LEU:HD11	0.657
67	A:88:TYR:HD1	A:99:LEU:CD1	0.653
67	A:120:MET:HG2	A:125:ARG:HB2	0.642
67	A:46:LEU:CD1	A:50:ILE:HG13	0.640
67	A:18:TYR:CE1	A:26:THR:HG22	0.634
67	A:46:LEU:HD12	A:50:ILE:CG1	0.632
67	A:13:LEU:HD11	A:63:ALA:HB3	0.627
67	A:102:MET:HE2	A:153:PHE:HZ	0.623
67	A:148:ARG:HB3	A:161:TYR:CE1	0.621
67	A:138:TRP:CB	A:146:ALA:HB2	0.615
67	A:124:LYS:HB3	A:126:TRP:CZ2	0.611
67	A:13:LEU:CD1	A:29:ILE:HG13	0.601
67	A:58:ILE:CD1	A:63:ALA:HB2	0.593
67	A:13:LEU:HD13	A:29:ILE:CD1	0.589
67	A:74:ALA:HB2	A:104:PHE:HD2	0.582
67	A:13:LEU:HD11	A:63:ALA:CB	0.572
67	A:1:MET:SD	A:5:GLU:HB3	0.570
67	A:75:VAL:HG22	A:100:ILE:HG12	0.552
67	A:88:TYR:HD1	A:99:LEU:HD12	0.552
67	A:121:LEU:HD13	A:126:TRP:HZ3	0.551
67	A:84:LEU:CD1	A:88:TYR:HB2	0.548
67	A:121:LEU:CD2	A:126:TRP:HE3	0.539

Model ID	Atom-1	Atom-2	Clash overlap (Å)
67	A:114:PHE:CE1	A:133:LEU:HD23	0.533
67	A:151:THR:CG2	A:160:ALA:HB3	0.523
67	A:88:TYR:CD1	A:99:LEU:HD12	0.517
67	A:57:VAL:HG12	A:58:ILE:O	0.514
67	A:91:LEU:HD13	A:99:LEU:HD11	0.511
67	A:11:GLU:HG2	A:30:GLY:HA3	0.509
67	A:29:ILE:HB	A:67:PHE:CG	0.507
67	A:91:LEU:HD21	A:121:LEU:O	0.505
67	A:7:LEU:HB3	A:67:PHE:CZ	0.503
67	A:88:TYR:CD1	A:99:LEU:CD1	0.502
67	A:7:LEU:HB3	A:67:PHE:CE1	0.489
67	A:78:ILE:HG13	A:103:VAL:HG21	0.489
67	A:13:LEU:HG	A:64:GLU:OE2	0.483
67	A:14:ARG:HD3	A:18:TYR:CD2	0.475
67	A:47:ASP:HA	A:54:THR:SG	0.475
67	A:121:LEU:HD11	A:153:PHE:HE1	0.475
67	A:14:ARG:HB2	A:18:TYR:CD1	0.471
67	A:121:LEU:HD21	A:153:PHE:CE1	0.470
67	A:136:SER:OG	A:138:TRP:HB2	0.470
67	A:3:ILE:O	A:6:MET:HB3	0.469
67	A:6:MET:HG3	A:161:TYR:CZ	0.469
67	A:101:ASN:O	A:105:GLN:HB2	0.466
67	A:50:ILE:HG21	A:52:ARG:HD2	0.465

Model ID	Atom-1	Atom-2	Clash overlap (Å)
67	A:114:PHE:CD1	A:133:LEU:HD23	0.465
67	A:115:THR:HA	A:118:LEU:HB2	0.464
67	A:50:ILE:HD13	A:66:LEU:HG	0.460
67	A:121:LEU:HD21	A:153:PHE:CD1	0.458
67	A:50:ILE:HG23	A:66:LEU:HD13	0.453
67	A:14:ARG:HG2	A:18:TYR:HB3	0.451
67	A:14:ARG:HD3	A:18:TYR:CG	0.450
67	A:43:LYS:O	A:46:LEU:HB3	0.450
67	A:1:MET:HA	A:5:GLU:OE2	0.448
67	A:105:GLN:HB3	A:138:TRP:CZ2	0.447
67	A:88:TYR:HD1	A:99:LEU:HD13	0.446
67	A:47:ASP:CG	A:54:THR:H	0.444
67	A:150:ILE:HG22	A:154:ARG:HD2	0.443
67	A:1:MET:HG2	A:158:TRP:CD2	0.441
67	A:70:ASP:HB3	A:104:PHE:CE2	0.441
67	A:102:MET:HB3	A:111:VAL:HG21	0.440
67	A:121:LEU:HA	A:126:TRP:CZ3	0.440
67	A:105:GLN:HB3	A:138:TRP:NE1	0.439
67	A:126:TRP:HA	A:129:ALA:HB3	0.439
67	A:22:GLU:HB3	A:24:TYR:CE2	0.434
67	A:95:ARG:HD3	A:126:TRP:CE3	0.430
67	A:94:VAL:HG22	A:158:TRP:NE1	0.429
67	A:6:MET:HG2	A:101:ASN:HD22	0.426

Model ID	Atom-1	Atom-2	Clash overlap (Å)
67	A:18:TYR:CZ	A:26:THR:HG22	0.421
67	A:4:PHE:HB3	A:67:PHE:CE2	0.419
67	A:27:ILE:HG22	A:31:HIS:HB3	0.419
67	A:120:MET:SD	A:128:GLU:CB	0.417
67	A:58:ILE:HD12	A:59:THR:O	0.415
67	A:120:MET:CG	A:125:ARG:HB3	0.415
67	A:7:LEU:HD23	A:71:VAL:HG22	0.411
67	A:4:PHE:HB3	A:67:PHE:HE2	0.411
67	A:102:MET:HG3	A:153:PHE:HE2	0.409
67	A:129:ALA:O	A:133:LEU:HG	0.408
67	A:84:LEU:HD12	A:88:TYR:HB2	0.407
67	A:117:SER:O	A:121:LEU:HB2	0.407
67	A:29:ILE:HB	A:67:PHE:CD1	0.405
67	A:3:ILE:HD13	A:97:ALA:O	0.404
67	A:88:TYR:HA	A:91:LEU:HD12	0.401
68	A:13:LEU:HD13	A:29:ILE:HG13	1.143
68	A:130:ALA:HB1	A:150:ILE:HG23	1.134
68	A:141:GLN:HG3	A:142:THR:HG23	1.002
68	A:7:LEU:HD13	A:67:PHE:HE1	0.909
68	A:121:LEU:HD13	A:126:TRP:HZ3	0.868
68	A:120:MET:SD	A:128:GLU:HB2	0.857
68	A:99:LEU:HD23	A:102:MET:HE2	0.842
68	A:79:LEU:HG	A:85:LYS:HD2	0.839

Model ID	Atom-1	Atom-2	Clash overlap (Å)
68	A:13:LEU:HD13	A:29:ILE:CG1	0.827
68	A:148:ARG:HB3	A:161:TYR:CE1	0.827
68	A:130:ALA:HB1	A:150:ILE:CG2	0.825
68	A:78:ILE:HG23	A:84:LEU:HD12	0.819
68	A:99:LEU:HD23	A:102:MET:CE	0.815
68	A:138:TRP:CB	A:146:ALA:HB2	0.815
68	A:29:ILE:HD13	A:67:PHE:CD2	0.809
68	A:120:MET:HG2	A:125:ARG:HB2	0.795
68	A:74:ALA:HB2	A:104:PHE:HD2	0.788
68	A:121:LEU:HD13	A:126:TRP:CZ3	0.784
68	A:13:LEU:CD1	A:29:ILE:HG13	0.731
68	A:120:MET:CG	A:125:ARG:HB2	0.710
68	A:139:TYR:CD1	A:146:ALA:HB3	0.708
68	A:138:TRP:HB3	A:146:ALA:HB2	0.707
68	A:138:TRP:HB2	A:146:ALA:HB2	0.705
68	A:130:ALA:CB	A:150:ILE:HG23	0.693
68	A:7:LEU:HD13	A:67:PHE:CE1	0.690
68	A:121:LEU:HD22	A:126:TRP:HE3	0.681
68	A:24:TYR:HD1	A:35:LYS:HG2	0.667
68	A:1:MET:HE1	A:9:ILE:HD12	0.660
68	A:105:GLN:HB3	A:138:TRP:CZ2	0.659
68	A:98:ALA:HB2	A:152:THR:CG2	0.649
68	A:121:LEU:HD22	A:126:TRP:CE3	0.630

Model ID	Atom-1	Atom-2	Clash overlap (Å)
68	A:22:GLU:HB3	A:24:TYR:CE2	0.620
68	A:78:ILE:CG1	A:103:VAL:HG21	0.609
68	A:46:LEU:HD21	A:58:ILE:HG23	0.604
68	A:14:ARG:HB2	A:18:TYR:CD1	0.597
68	A:6:MET:HE3	A:161:TYR:CE1	0.596
68	A:74:ALA:HB2	A:104:PHE:CD2	0.592
68	A:88:TYR:HD1	A:99:LEU:CD1	0.585
68	A:88:TYR:HD1	A:99:LEU:HD13	0.563
68	A:16:LYS:HG2	A:57:VAL:HG22	0.557
68	A:91:LEU:CD1	A:99:LEU:HD11	0.557
68	A:139:TYR:HD1	A:146:ALA:CB	0.557
68	A:8:ARG:HG2	A:29:ILE:HG12	0.556
68	A:117:SER:HA	A:120:MET:HB2	0.553
68	A:24:TYR:CB	A:32:LEU:HD11	0.551
68	A:46:LEU:HD12	A:50:ILE:HG12	0.547
68	A:99:LEU:HD23	A:102:MET:HE1	0.545
68	A:27:ILE:HD11	A:58:ILE:HG12	0.544
68	A:91:LEU:HD12	A:99:LEU:HD11	0.542
68	A:78:ILE:HD11	A:100:ILE:HA	0.541
68	A:1:MET:HG3	A:158:TRP:CE3	0.538
68	A:78:ILE:HG13	A:103:VAL:HG21	0.533
68	A:88:TYR:CD1	A:99:LEU:HD13	0.520
68	A:88:TYR:HB2	A:99:LEU:HD13	0.516

Model ID	Atom-1	Atom-2	Clash overlap (Å)
68	A:78:ILE:HG12	A:103:VAL:HG21	0.513
68	A:97:ALA:CB	A:158:TRP:HH2	0.506
68	A:24:TYR:HB3	A:32:LEU:HD11	0.505
68	A:15:LEU:HB2	A:57:VAL:HG13	0.503
68	A:114:PHE:CE1	A:133:LEU:HD23	0.502
68	A:18:TYR:CE1	A:26:THR:HG22	0.501
68	A:14:ARG:CB	A:18:TYR:CD1	0.498
68	A:47:ASP:HA	A:54:THR:SG	0.497
68	A:136:SER:HB2	A:138:TRP:H	0.495
68	A:151:THR:HG21	A:160:ALA:CB	0.493
68	A:1:MET:HE3	A:161:TYR:HD2	0.489
68	A:4:PHE:CE1	A:71:VAL:HG11	0.484
68	A:97:ALA:HB3	A:158:TRP:CH2	0.484
68	A:24:TYR:HD1	A:35:LYS:CG	0.482
68	A:120:MET:HG2	A:125:ARG:CB	0.481
68	A:98:ALA:HB2	A:152:THR:HG22	0.480
68	A:121:LEU:HD21	A:153:PHE:CD1	0.480
68	A:15:LEU:HD22	A:57:VAL:HG11	0.479
68	A:139:TYR:CD1	A:146:ALA:CB	0.478
68	A:129:ALA:O	A:133:LEU:HG	0.475
68	A:105:GLN:HB3	A:138:TRP:CE2	0.473
68	A:29:ILE:HB	A:67:PHE:CG	0.469
68	A:50:ILE:HG21	A:62:GLU:OE2	0.465

Model ID	Atom-1	Atom-2	Clash overlap (Å)
68	A:27:ILE:CD1	A:46:LEU:HD22	0.463
68	A:120:MET:SD	A:128:GLU:CB	0.457
68	A:6:MET:HG2	A:101:ASN:HD22	0.455
68	A:1:MET:HE3	A:161:TYR:CD2	0.452
68	A:7:LEU:HD11	A:104:PHE:CZ	0.451
68	A:106:MET:SD	A:136:SER:HB3	0.451
68	A:97:ALA:CB	A:158:TRP:CH2	0.450
68	A:7:LEU:HD11	A:104:PHE:CE1	0.449
68	A:151:THR:HG21	A:160:ALA:HB2	0.449
68	A:13:LEU:HD13	A:29:ILE:CD1	0.448
68	A:127:ASP:O	A:131:VAL:HG23	0.446
68	A:29:ILE:HB	A:67:PHE:CD1	0.444
68	A:148:ARG:HD3	A:161:TYR:HA	0.443
68	A:46:LEU:HD11	A:58:ILE:HG21	0.441
68	A:148:ARG:HB3	A:161:TYR:CZ	0.437
68	A:1:MET:SD	A:5:GLU:HB3	0.431
68	A:7:LEU:HB3	A:67:PHE:HZ	0.428
68	A:121:LEU:HD21	A:153:PHE:CE1	0.427
68	A:148:ARG:HB3	A:161:TYR:CD1	0.426
68	A:96:ARG:HA	A:99:LEU:HD12	0.425
68	A:7:LEU:HB3	A:67:PHE:CZ	0.423
68	A:107:GLY:O	A:111:VAL:HG23	0.420
68	A:114:PHE:CD1	A:133:LEU:HD23	0.416

Model ID	Atom-1	Atom-2	Clash overlap (Å)
68	A:126:TRP:HA	A:129:ALA:HB3	0.415
68	A:97:ALA:HB1	A:158:TRP:HH2	0.413
68	A:70:ASP:HB3	A:104:PHE:CE2	0.412
68	A:18:TYR:CE1	A:26:THR:CG2	0.411
68	A:106:MET:HB2	A:138:TRP:CZ2	0.410
68	A:8:ARG:NH2	A:13:LEU:HG	0.409
68	A:121:LEU:CD2	A:126:TRP:HE3	0.407
68	A:130:ALA:HA	A:133:LEU:HD12	0.406
68	A:99:LEU:HD23	A:153:PHE:HZ	0.405
68	A:33:LEU:HA	A:33:LEU:HD22	0.404
68	A:23:GLY:C	A:24:TYR:CG	0.402
69	A:7:LEU:HB3	A:67:PHE:HZ	0.958
69	A:91:LEU:HD12	A:99:LEU:HD11	0.948
69	A:84:LEU:HG	A:108:GLU:HB3	0.899
69	A:22:GLU:HG2	A:24:TYR:HE2	0.898
69	A:7:LEU:HB3	A:67:PHE:CZ	0.894
69	A:130:ALA:HB1	A:150:ILE:HG23	0.865
69	A:91:LEU:CD1	A:99:LEU:HD11	0.852
69	A:17:ILE:CD1	A:27:ILE:HD12	0.801
69	A:8:ARG:HG3	A:67:PHE:HE2	0.800
69	A:22:GLU:HG2	A:24:TYR:CE2	0.789
69	A:81:ASN:HB3	A:84:LEU:HB2	0.777
69	A:88:TYR:HD1	A:99:LEU:HD12	0.767

Model ID	Atom-1	Atom-2	Clash overlap (Å)
69	A:130:ALA:CB	A:150:ILE:HG23	0.763
69	A:17:ILE:HD13	A:27:ILE:HD12	0.719
69	A:88:TYR:CD1	A:99:LEU:HD12	0.716
69	A:78:ILE:HG21	A:88:TYR:HD2	0.708
69	A:148:ARG:HB3	A:161:TYR:CE1	0.708
69	A:1:MET:HG3	A:158:TRP:CE3	0.700
69	A:138:TRP:HB3	A:146:ALA:HB2	0.692
69	A:120:MET:HB3	A:125:ARG:HB2	0.678
69	A:102:MET:SD	A:133:LEU:HD11	0.676
69	A:27:ILE:HD13	A:46:LEU:HD21	0.670
69	A:70:ASP:HB3	A:104:PHE:HE2	0.664
69	A:102:MET:HE2	A:153:PHE:HZ	0.645
69	A:7:LEU:HD11	A:104:PHE:CD1	0.628
69	A:43:LYS:HA	A:46:LEU:HB2	0.622
69	A:78:ILE:HG21	A:88:TYR:CD2	0.620
69	A:1:MET:HE3	A:161:TYR:CD2	0.600
69	A:99:LEU:HD23	A:102:MET:HE2	0.599
69	A:121:LEU:HD23	A:126:TRP:CZ3	0.596
69	A:105:GLN:HG3	A:138:TRP:CZ2	0.593
69	A:120:MET:SD	A:128:GLU:CB	0.574
69	A:1:MET:HE3	A:161:TYR:HB3	0.564
69	A:52:ARG:HB2	A:54:THR:SG	0.563
69	A:17:ILE:HD11	A:27:ILE:HD12	0.562

Model ID	Atom-1	Atom-2	Clash overlap (Å)
69	A:120:MET:SD	A:128:GLU:HB2	0.557
69	A:88:TYR:HD1	A:99:LEU:CD1	0.555
69	A:99:LEU:CD2	A:102:MET:HE2	0.552
69	A:102:MET:HE2	A:153:PHE:CZ	0.545
69	A:130:ALA:HB1	A:150:ILE:CG2	0.545
69	A:1:MET:HE1	A:9:ILE:HD12	0.544
69	A:99:LEU:HD23	A:153:PHE:HZ	0.543
69	A:151:THR:HG21	A:160:ALA:CB	0.540
69	A:1:MET:HB3	A:158:TRP:HB3	0.539
69	A:96:ARG:HA	A:99:LEU:HG	0.538
69	A:67:PHE:HD1	A:71:VAL:HG23	0.536
69	A:78:ILE:HD13	A:88:TYR:CD2	0.531
69	A:151:THR:HG21	A:160:ALA:HB1	0.527
69	A:78:ILE:HD11	A:103:VAL:HG21	0.522
69	A:7:LEU:HD11	A:104:PHE:CE1	0.520
69	A:46:LEU:HD22	A:50:ILE:HD12	0.518
69	A:14:ARG:HG2	A:18:TYR:CD2	0.516
69	A:6:MET:HG3	A:161:TYR:CZ	0.507
69	A:27:ILE:HD13	A:46:LEU:CD2	0.507
69	A:17:ILE:HG22	A:25:TYR:CE2	0.504
69	A:34:THR:HB	A:42:ALA:HB2	0.502
69	A:94:VAL:HG22	A:158:TRP:HE1	0.501
69	A:29:ILE:HD13	A:67:PHE:CD2	0.499

Model ID	Atom-1	Atom-2	Clash overlap (Å)
69	A:32:LEU:C	A:33:LEU:HD12	0.497
69	A:1:MET:HG3	A:158:TRP:HE3	0.493
69	A:43:LYS:HE3	A:55:ASN:O	0.493
69	A:121:LEU:HD23	A:126:TRP:HZ3	0.492
69	A:3:ILE:HB	A:97:ALA:SG	0.490
69	A:84:LEU:CG	A:108:GLU:HB3	0.490
69	A:75:VAL:O	A:79:LEU:HD13	0.482
69	A:7:LEU:HD13	A:67:PHE:HE1	0.481
69	A:8:ARG:HD3	A:13:LEU:HG	0.481
69	A:46:LEU:CD2	A:50:ILE:HD12	0.480
69	A:99:LEU:HA	A:102:MET:HB2	0.479
69	A:67:PHE:CD1	A:71:VAL:HG23	0.476
69	A:52:ARG:CB	A:54:THR:SG	0.474
69	A:99:LEU:HD23	A:153:PHE:CZ	0.470
69	A:17:ILE:HB	A:39:LEU:HD12	0.467
69	A:136:SER:OG	A:138:TRP:HB2	0.465
69	A:117:SER:HB2	A:132:ASN:OD1	0.464
69	A:121:LEU:CD2	A:126:TRP:HZ3	0.461
69	A:8:ARG:HG3	A:67:PHE:CE2	0.459
69	A:1:MET:SD	A:5:GLU:HB3	0.458
69	A:129:ALA:O	A:133:LEU:HD23	0.451
69	A:81:ASN:ND2	A:84:LEU:HD13	0.450
69	A:148:ARG:HB3	A:161:TYR:CZ	0.450

Model ID	Atom-1	Atom-2	Clash overlap (Å)
69	A:17:ILE:HD13	A:27:ILE:CD1	0.444
69	A:95:ARG:O	A:99:LEU:HG	0.443
69	A:95:ARG:HD3	A:126:TRP:CE3	0.441
69	A:124:LYS:HA	A:126:TRP:CZ2	0.437
69	A:9:ILE:HD13	A:162:LYS:OXT	0.433
69	A:121:LEU:HD23	A:126:TRP:CE3	0.432
69	A:125:ARG:HB3	A:128:GLU:HG3	0.430
69	A:1:MET:HE3	A:161:TYR:HD2	0.429
69	A:3:ILE:HG23	A:4:PHE:CD2	0.422
69	A:71:VAL:O	A:75:VAL:HG23	0.422
69	A:99:LEU:HD22	A:102:MET:CE	0.421
69	A:102:MET:SD	A:133:LEU:CD1	0.420
69	A:14:ARG:HB2	A:18:TYR:CE1	0.418
69	A:24:TYR:CG	A:32:LEU:HD11	0.418
69	A:29:ILE:HG21	A:67:PHE:CZ	0.418
69	A:14:ARG:HG2	A:18:TYR:CG	0.415
69	A:74:ALA:HB1	A:103:VAL:HG12	0.413
69	A:40:ASN:O	A:43:LYS:HG2	0.410
69	A:94:VAL:HG13	A:158:TRP:CE2	0.410
69	A:102:MET:HA	A:138:TRP:CZ2	0.410
69	A:105:GLN:HG3	A:138:TRP:HZ2	0.410
69	A:14:ARG:HA	A:14:ARG:HD3	0.409
69	A:114:PHE:HB3	A:132:ASN:HB3	0.409

Model ID	Atom-1	Atom-2	Clash overlap (Å)
69	A:17:ILE:H	A:17:ILE:HG12	0.404
69	A:46:LEU:O	A:50:ILE:HB	0.402
69	A:70:ASP:HB3	A:104:PHE:CE2	0.402
69	A:76:ARG:HA	A:79:LEU:HB2	0.401
70	A:27:ILE:HD13	A:46:LEU:HD21	1.112
70	A:7:LEU:HB3	A:67:PHE:HZ	1.085
70	A:1:MET:SD	A:5:GLU:HB3	1.031
70	A:102:MET:HE3	A:111:VAL:HG13	0.958
70	A:7:LEU:HB3	A:67:PHE:CZ	0.945
70	A:13:LEU:HD13	A:29:ILE:HD11	0.890
70	A:99:LEU:HD23	A:153:PHE:HZ	0.884
70	A:13:LEU:HD13	A:29:ILE:CD1	0.846
70	A:27:ILE:CD1	A:46:LEU:HD21	0.841
70	A:121:LEU:HD11	A:153:PHE:HE1	0.825
70	A:78:ILE:CG2	A:84:LEU:HD22	0.817
70	A:133:LEU:HB3	A:150:ILE:HG12	0.807
70	A:138:TRP:HH2	A:149:VAL:HG11	0.802
70	A:88:TYR:HD1	A:99:LEU:HD12	0.796
70	A:74:ALA:HB3	A:100:ILE:HG22	0.771
70	A:1:MET:HE1	A:9:ILE:CD1	0.765
70	A:148:ARG:HB3	A:161:TYR:CE1	0.759
70	A:78:ILE:HG22	A:84:LEU:HD22	0.753
70	A:78:ILE:HG13	A:103:VAL:HG21	0.707

Model ID	Atom-1	Atom-2	Clash overlap (Å)
70	A:34:THR:HG22	A:42:ALA:HB2	0.705
70	A:27:ILE:HG13	A:58:ILE:HD13	0.704
70	A:138:TRP:CH2	A:149:VAL:HG11	0.694
70	A:18:TYR:CE1	A:26:THR:HG22	0.689
70	A:87:VAL:HG22	A:122:GLN:HB2	0.678
70	A:27:ILE:HG12	A:46:LEU:HD11	0.673
70	A:102:MET:HE3	A:111:VAL:CG1	0.662
70	A:106:MET:HB2	A:138:TRP:CD2	0.655
70	A:25:TYR:CE1	A:39:LEU:HD12	0.646
70	A:27:ILE:HD13	A:46:LEU:CD2	0.630
70	A:7:LEU:CB	A:67:PHE:HZ	0.622
70	A:121:LEU:HD22	A:126:TRP:CE3	0.615
70	A:77:GLY:HA3	A:103:VAL:HG11	0.610
70	A:99:LEU:HD23	A:153:PHE:CZ	0.610
70	A:78:ILE:CG1	A:103:VAL:HG21	0.598
70	A:27:ILE:HG13	A:58:ILE:CD1	0.597
70	A:78:ILE:HD11	A:100:ILE:HA	0.596
70	A:1:MET:HE1	A:9:ILE:HD12	0.588
70	A:75:VAL:HA	A:78:ILE:HD12	0.583
70	A:121:LEU:HD22	A:126:TRP:CZ3	0.580
70	A:1:MET:HE1	A:9:ILE:HD11	0.570
70	A:105:GLN:HB3	A:138:TRP:HE1	0.561
70	A:74:ALA:CB	A:100:ILE:HG22	0.554

Model ID	Atom-1	Atom-2	Clash overlap (Å)
70	A:74:ALA:HB3	A:100:ILE:CG2	0.553
70	A:29:ILE:HD13	A:67:PHE:CG	0.550
70	A:27:ILE:CG1	A:58:ILE:HD13	0.543
70	A:29:ILE:HD13	A:67:PHE:CD2	0.537
70	A:3:ILE:HG12	A:100:ILE:HD12	0.535
70	A:15:LEU:HD22	A:58:ILE:HG13	0.535
70	A:102:MET:HG2	A:111:VAL:HG22	0.535
70	A:3:ILE:HB	A:97:ALA:SG	0.533
70	A:75:VAL:HG22	A:100:ILE:HG12	0.532
70	A:33:LEU:HD13	A:42:ALA:HB1	0.530
70	A:14:ARG:HG2	A:18:TYR:HB3	0.529
70	A:97:ALA:SG	A:158:TRP:HZ2	0.526
70	A:8:ARG:HG3	A:13:LEU:HB2	0.524
70	A:27:ILE:HD11	A:58:ILE:HG12	0.523
70	A:15:LEU:CD2	A:58:ILE:HG13	0.521
70	A:88:TYR:HD1	A:99:LEU:CD1	0.520
70	A:17:ILE:HD11	A:46:LEU:HD23	0.517
70	A:99:LEU:CD2	A:153:PHE:HZ	0.512
70	A:120:MET:SD	A:128:GLU:HB3	0.503
70	A:18:TYR:CD1	A:26:THR:HG22	0.502
70	A:25:TYR:HB2	A:34:THR:O	0.496
70	A:144:ASN:O	A:147:LYS:HG2	0.496
70	A:25:TYR:HE1	A:39:LEU:HD12	0.494

Model ID	Atom-1	Atom-2	Clash overlap (Å)
70	A:31:HIS:O	A:33:LEU:HD23	0.492
70	A:13:LEU:HD13	A:29:ILE:HD12	0.491
70	A:14:ARG:HB2	A:18:TYR:CD1	0.490
70	A:99:LEU:CD2	A:153:PHE:CZ	0.488
70	A:50:ILE:HG13	A:54:THR:SG	0.487
70	A:18:TYR:CE1	A:26:THR:CG2	0.481
70	A:106:MET:HE2	A:111:VAL:HG22	0.481
70	A:97:ALA:SG	A:158:TRP:CZ2	0.481
70	A:1:MET:HG2	A:158:TRP:CE3	0.478
70	A:126:TRP:HB3	A:153:PHE:O	0.478
70	A:76:ARG:O	A:80:ARG:HG2	0.477
70	A:87:VAL:HG22	A:122:GLN:CB	0.477
70	A:58:ILE:HD12	A:63:ALA:HB2	0.475
70	A:9:ILE:HG22	A:148:ARG:HH22	0.474
70	A:15:LEU:HD22	A:58:ILE:O	0.473
70	A:25:TYR:CE1	A:39:LEU:CD1	0.468
70	A:141:GLN:O	A:143:PRO:HD3	0.468
70	A:6:MET:HG3	A:158:TRP:HZ3	0.464
70	A:29:ILE:HB	A:67:PHE:CD1	0.463
70	A:16:LYS:O	A:27:ILE:HD12	0.461
70	A:102:MET:HA	A:138:TRP:CH2	0.460
70	A:106:MET:HE3	A:110:GLY:C	0.459
70	A:127:ASP:O	A:131:VAL:HG23	0.459

Model ID	Atom-1	Atom-2	Clash overlap (Å)
70	A:6:MET:SD	A:97:ALA:HB1	0.454
70	A:46:LEU:HD11	A:58:ILE:CG2	0.447
70	A:91:LEU:HD11	A:99:LEU:HD11	0.447
70	A:50:ILE:HG21	A:62:GLU:HG2	0.445
70	A:68:ASN:O	A:72:ASP:HB2	0.444
70	A:139:TYR:HA	A:146:ALA:HB3	0.444
70	A:6:MET:HG3	A:161:TYR:CE2	0.437
70	A:14:ARG:HG3	A:16:LYS:C	0.437
70	A:7:LEU:O	A:11:GLU:HB2	0.434
70	A:43:LYS:C	A:43:LYS:HE2	0.433
70	A:33:LEU:O	A:45:GLU:HG3	0.433
70	A:88:TYR:HA	A:91:LEU:HD12	0.433
70	A:38:SER:OG	A:40:ASN:HB2	0.432
70	A:19:LYS:HA	A:24:TYR:O	0.431
70	A:124:LYS:HG2	A:126:TRP:CZ2	0.430
70	A:26:THR:HA	A:31:HIS:O	0.429
70	A:4:PHE:O	A:8:ARG:HD3	0.428
70	A:7:LEU:HA	A:7:LEU:HD12	0.425
70	A:144:ASN:HB3	A:147:LYS:HE2	0.424
70	A:141:GLN:C	A:143:PRO:HD3	0.421
70	A:71:VAL:O	A:75:VAL:HG23	0.420
70	A:78:ILE:HG23	A:84:LEU:HD22	0.417
70	A:130:ALA:HB1	A:150:ILE:HG22	0.417

Model ID	Atom-1	Atom-2	Clash overlap (Å)
70	A:138:TRP:CD1	A:142:THR:HG1	0.417
70	A:46:LEU:CD1	A:58:ILE:HG23	0.415
70	A:33:LEU:HD11	A:46:LEU:HD22	0.413
70	A:94:VAL:O	A:97:ALA:HB3	0.408
70	A:102:MET:SD	A:133:LEU:HD21	0.405
70	A:20:ASP:HB3	A:26:THR:HG21	0.403
70	A:26:THR:OG1	A:30:GLY:HA2	0.403
70	A:80:ARG:HA	A:80:ARG:HD2	0.403
70	A:46:LEU:HD11	A:58:ILE:HG23	0.402
70	A:81:ASN:HB3	A:84:LEU:HB2	0.402
71	A:148:ARG:HB3	A:161:TYR:CE1	0.986
71	A:6:MET:HG3	A:158:TRP:HZ3	0.969
71	A:27:ILE:HD13	A:46:LEU:HD22	0.893
71	A:106:MET:SD	A:138:TRP:HE3	0.857
71	A:15:LEU:HD22	A:58:ILE:HG13	0.850
71	A:7:LEU:HB3	A:67:PHE:CZ	0.848
71	A:1:MET:SD	A:5:GLU:HB3	0.843
71	A:7:LEU:HB3	A:67:PHE:HZ	0.836
71	A:102:MET:HE3	A:111:VAL:HG13	0.822
71	A:121:LEU:HD23	A:126:TRP:HE3	0.814
71	A:27:ILE:CD1	A:46:LEU:HD22	0.813
71	A:6:MET:HG3	A:158:TRP:CZ3	0.805
71	A:1:MET:HE1	A:9:ILE:HD11	0.800

Model ID	Atom-1	Atom-2	Clash overlap (Å)
71	A:99:LEU:HD23	A:153:PHE:HZ	0.774
71	A:147:LYS:HA	A:150:ILE:HD12	0.755
71	A:121:LEU:HD23	A:126:TRP:CE3	0.750
71	A:88:TYR:HD1	A:99:LEU:HD12	0.747
71	A:24:TYR:HB2	A:32:LEU:HD11	0.746
71	A:106:MET:SD	A:138:TRP:CE3	0.739
71	A:19:LYS:HB3	A:23:GLY:HA2	0.733
71	A:99:LEU:HD23	A:102:MET:CE	0.726
71	A:11:GLU:HB3	A:30:GLY:HA3	0.723
71	A:78:ILE:HD11	A:100:ILE:HA	0.723
71	A:1:MET:HE1	A:9:ILE:CD1	0.714
71	A:102:MET:HG2	A:111:VAL:HG22	0.708
71	A:99:LEU:CD2	A:153:PHE:HZ	0.685
71	A:81:ASN:HB3	A:84:LEU:HB2	0.679
71	A:46:LEU:HD11	A:58:ILE:HG23	0.678
71	A:74:ALA:HB3	A:100:ILE:HG23	0.658
71	A:98:ALA:HB2	A:152:THR:HG22	0.654
71	A:7:LEU:CB	A:67:PHE:HZ	0.647
71	A:78:ILE:HG13	A:103:VAL:HG21	0.639
71	A:121:LEU:CD2	A:126:TRP:HE3	0.638
71	A:14:ARG:HB2	A:18:TYR:CD1	0.632
71	A:46:LEU:CD1	A:58:ILE:HG23	0.619
71	A:15:LEU:CD2	A:58:ILE:HG13	0.613

Model ID	Atom-1	Atom-2	Clash overlap (Å)
71	A:88:TYR:HD1	A:99:LEU:CD1	0.611
71	A:99:LEU:HD23	A:102:MET:HE2	0.608
71	A:6:MET:CG	A:158:TRP:HZ3	0.607
71	A:99:LEU:HD23	A:102:MET:HE1	0.605
71	A:78:ILE:CG1	A:103:VAL:HG21	0.601
71	A:27:ILE:HG12	A:46:LEU:HD13	0.598
71	A:50:ILE:HG21	A:62:GLU:HG3	0.598
71	A:5:GLU:HA	A:8:ARG:HB2	0.595
71	A:43:LYS:HA	A:46:LEU:HD23	0.592
71	A:75:VAL:HA	A:78:ILE:HD12	0.590
71	A:74:ALA:CB	A:100:ILE:HG23	0.585
71	A:29:ILE:HD13	A:67:PHE:CG	0.582
71	A:27:ILE:HG22	A:33:LEU:HD23	0.572
71	A:77:GLY:HA3	A:103:VAL:HG11	0.564
71	A:21:THR:HG23	A:145:ARG:CZ	0.560
71	A:1:MET:HG2	A:158:TRP:CE3	0.547
71	A:142:THR:HB	A:145:ARG:HB2	0.546
71	A:91:LEU:HD13	A:95:ARG:HG2	0.543
71	A:98:ALA:HB2	A:152:THR:CG2	0.541
71	A:99:LEU:HD23	A:153:PHE:CZ	0.541
71	A:25:TYR:CE1	A:39:LEU:HD13	0.536
71	A:27:ILE:HG13	A:58:ILE:HD13	0.535
71	A:102:MET:CE	A:111:VAL:HG13	0.530

Model ID	Atom-1	Atom-2	Clash overlap (Å)
71	A:133:LEU:HB3	A:150:ILE:HG12	0.527
71	A:102:MET:HE3	A:111:VAL:HG22	0.522
71	A:121:LEU:CD2	A:126:TRP:CE3	0.522
71	A:1:MET:HB3	A:158:TRP:CG	0.511
71	A:25:TYR:HE1	A:39:LEU:CD1	0.508
71	A:50:ILE:HB	A:54:THR:SG	0.504
71	A:91:LEU:HD12	A:99:LEU:HD12	0.504
71	A:13:LEU:HD13	A:29:ILE:CD1	0.501
71	A:148:ARG:HD2	A:161:TYR:CD2	0.500
71	A:14:ARG:HB2	A:18:TYR:CE1	0.498
71	A:127:ASP:O	A:131:VAL:HG23	0.497
71	A:42:ALA:O	A:46:LEU:HB3	0.496
71	A:138:TRP:HH2	A:149:VAL:HG11	0.495
71	A:102:MET:SD	A:133:LEU:HD21	0.491
71	A:125:ARG:HD2	A:128:GLU:HG3	0.490
71	A:7:LEU:HB3	A:67:PHE:CE1	0.489
71	A:78:ILE:HG22	A:84:LEU:HD22	0.487
71	A:102:MET:SD	A:133:LEU:HD11	0.485
71	A:29:ILE:HD13	A:67:PHE:CD2	0.484
71	A:99:LEU:CD2	A:153:PHE:CZ	0.482
71	A:148:ARG:HD2	A:161:TYR:CG	0.482
71	A:29:ILE:HB	A:67:PHE:CD1	0.481
71	A:88:TYR:CD1	A:99:LEU:HD12	0.479

Model ID	Atom-1	Atom-2	Clash overlap (Å)
71	A:46:LEU:O	A:50:ILE:HG12	0.475
71	A:25:TYR:CE1	A:39:LEU:CD1	0.473
71	A:24:TYR:CB	A:32:LEU:HD11	0.471
71	A:130:ALA:HB1	A:150:ILE:HG22	0.467
71	A:27:ILE:HG13	A:58:ILE:CD1	0.466
71	A:22:GLU:HB3	A:24:TYR:CE2	0.465
71	A:154:ARG:HH11	A:155:THR:HG22	0.460
71	A:4:PHE:CE1	A:71:VAL:CG1	0.459
71	A:33:LEU:HD12	A:45:GLU:HB3	0.459
71	A:20:ASP:HB3	A:32:LEU:HD13	0.458
71	A:3:ILE:HB	A:97:ALA:SG	0.455
71	A:70:ASP:HB3	A:104:PHE:CZ	0.454
71	A:78:ILE:CG2	A:84:LEU:HD22	0.454
71	A:20:ASP:CG	A:32:LEU:HD13	0.453
71	A:91:LEU:HD11	A:99:LEU:HD11	0.449
71	A:13:LEU:HD13	A:29:ILE:HG13	0.441
71	A:29:ILE:HG21	A:67:PHE:CZ	0.441
71	A:26:THR:HA	A:31:HIS:O	0.437
71	A:94:VAL:HG12	A:152:THR:HG23	0.437
71	A:102:MET:HA	A:138:TRP:CH2	0.437
71	A:6:MET:CG	A:158:TRP:CZ3	0.435
71	A:7:LEU:CB	A:67:PHE:CZ	0.435
71	A:1:MET:HG2	A:158:TRP:CD2	0.434

Model ID	Atom-1	Atom-2	Clash overlap (Å)
71	A:67:PHE:O	A:70:ASP:HB2	0.433
71	A:4:PHE:CE1	A:71:VAL:HG12	0.432
71	A:13:LEU:HD13	A:29:ILE:HD11	0.431
71	A:29:ILE:HG21	A:67:PHE:CE1	0.431
71	A:148:ARG:HB3	A:161:TYR:CD1	0.430
71	A:6:MET:SD	A:97:ALA:HB1	0.429
71	A:16:LYS:HD3	A:57:VAL:HG13	0.425
71	A:95:ARG:CZ	A:95:ARG:HB2	0.424
71	A:139:TYR:CE1	A:147:LYS:HB2	0.423
71	A:70:ASP:HB3	A:104:PHE:CE2	0.422
71	A:87:VAL:O	A:91:LEU:HG	0.419
71	A:50:ILE:HD13	A:66:LEU:HD13	0.417
71	A:22:GLU:HB3	A:24:TYR:HE2	0.417
71	A:102:MET:HE3	A:111:VAL:CG1	0.416
71	A:74:ALA:HB3	A:100:ILE:CG2	0.415
71	A:94:VAL:O	A:97:ALA:HB3	0.412
71	A:91:LEU:HB3	A:95:ARG:HB3	0.410
71	A:17:ILE:HD11	A:46:LEU:CD2	0.409
71	A:136:SER:OG	A:138:TRP:HB3	0.405
71	A:91:LEU:HD22	A:95:ARG:HG2	0.403
71	A:148:ARG:HB3	A:161:TYR:CZ	0.403
71	A:15:LEU:O	A:58:ILE:HG12	0.402
71	A:6:MET:HG2	A:161:TYR:CZ	0.402

Model ID	Atom-1	Atom-2	Clash overlap (Å)
71	A:58:ILE:HB	A:62:GLU:HB3	0.400
71	A:12:GLY:O	A:29:ILE:HA	0.400
72	A:130:ALA:HB1	A:150:ILE:HG23	1.058
72	A:121:LEU:HD13	A:126:TRP:HZ3	1.000
72	A:81:ASN:HB3	A:84:LEU:HB2	0.948
72	A:121:LEU:HD22	A:126:TRP:CE3	0.864
72	A:121:LEU:HD13	A:126:TRP:CZ3	0.859
72	A:130:ALA:CB	A:150:ILE:HG23	0.852
72	A:121:LEU:HD22	A:126:TRP:HE3	0.844
72	A:24:TYR:CB	A:32:LEU:HD13	0.829
72	A:78:ILE:HG13	A:103:VAL:HG21	0.812
72	A:151:THR:HG21	A:160:ALA:CB	0.797
72	A:13:LEU:HD13	A:29:ILE:CG1	0.794
72	A:29:ILE:HD12	A:67:PHE:CD2	0.774
72	A:1:MET:HG3	A:158:TRP:CE3	0.771
72	A:18:TYR:CE1	A:26:THR:HG22	0.761
72	A:148:ARG:HB3	A:161:TYR:CE1	0.743
72	A:81:ASN:HD21	A:115:THR:HG23	0.727
72	A:27:ILE:HD11	A:58:ILE:HG12	0.725
72	A:81:ASN:CB	A:84:LEU:HB2	0.705
72	A:81:ASN:HB3	A:84:LEU:CB	0.704
72	A:29:ILE:HD12	A:67:PHE:CG	0.686
72	A:13:LEU:HD13	A:29:ILE:HG12	0.671

Model ID	Atom-1	Atom-2	Clash overlap (Å)
72	A:14:ARG:HB2	A:18:TYR:CD1	0.634
72	A:120:MET:CG	A:125:ARG:HB3	0.630
72	A:121:LEU:CD2	A:126:TRP:HE3	0.630
72	A:17:ILE:HD11	A:43:LYS:HB2	0.629
72	A:91:LEU:HD11	A:121:LEU:CD1	0.628
72	A:91:LEU:HD11	A:121:LEU:HD12	0.627
72	A:24:TYR:HB3	A:32:LEU:HD13	0.621
72	A:14:ARG:HG2	A:18:TYR:HB3	0.620
72	A:120:MET:HG2	A:125:ARG:HB3	0.616
72	A:7:LEU:CD1	A:71:VAL:HG22	0.614
72	A:46:LEU:HD12	A:50:ILE:CG1	0.614
72	A:151:THR:HG21	A:160:ALA:HB3	0.614
72	A:91:LEU:CD1	A:121:LEU:HD12	0.613
72	A:106:MET:HG3	A:136:SER:HB3	0.612
72	A:120:MET:SD	A:128:GLU:HB2	0.611
72	A:17:ILE:HB	A:39:LEU:HD11	0.605
72	A:46:LEU:HD21	A:58:ILE:HG23	0.591
72	A:84:LEU:HD21	A:118:LEU:HG	0.586
72	A:7:LEU:HD13	A:71:VAL:HG22	0.585
72	A:46:LEU:HD12	A:50:ILE:HG12	0.584
72	A:25:TYR:HB3	A:34:THR:HG23	0.576
72	A:43:LYS:HA	A:46:LEU:HB3	0.575
72	A:58:ILE:HB	A:62:GLU:HB3	0.574

Model ID	Atom-1	Atom-2	Clash overlap (Å)
72	A:43:LYS:HG3	A:46:LEU:HD23	0.572
72	A:17:ILE:CD1	A:43:LYS:HB2	0.568
72	A:103:VAL:HG22	A:111:VAL:HG11	0.564
72	A:118:LEU:HA	A:121:LEU:HB2	0.557
72	A:102:MET:HA	A:138:TRP:HH2	0.552
72	A:105:GLN:HB3	A:138:TRP:CZ2	0.552
72	A:134:ALA:HA	A:139:TYR:HB3	0.552
72	A:74:ALA:HB2	A:104:PHE:HD2	0.549
72	A:70:ASP:HB3	A:104:PHE:CE2	0.544
72	A:7:LEU:HD11	A:104:PHE:CE1	0.539
72	A:27:ILE:HD13	A:46:LEU:HD13	0.539
72	A:106:MET:HE1	A:133:LEU:HA	0.537
72	A:24:TYR:CG	A:32:LEU:HD13	0.534
72	A:26:THR:HG23	A:31:HIS:H	0.531
72	A:78:ILE:HG21	A:88:TYR:CD2	0.531
72	A:87:VAL:HG11	A:122:GLN:HB3	0.531
72	A:6:MET:SD	A:97:ALA:HB1	0.531
72	A:1:MET:HG3	A:158:TRP:CZ3	0.527
72	A:78:ILE:HG23	A:84:LEU:HD23	0.526
72	A:46:LEU:HD11	A:58:ILE:HG21	0.525
72	A:120:MET:SD	A:128:GLU:CB	0.521
72	A:148:ARG:CB	A:161:TYR:CE1	0.519
72	A:46:LEU:HD11	A:58:ILE:CG2	0.516

Model ID	Atom-1	Atom-2	Clash overlap (Å)
72	A:14:ARG:CB	A:18:TYR:CD1	0.514
72	A:7:LEU:HB3	A:67:PHE:HZ	0.513
72	A:47:ASP:HA	A:54:THR:SG	0.513
72	A:130:ALA:HB1	A:150:ILE:CG2	0.504
72	A:94:VAL:HG12	A:152:THR:HG23	0.502
72	A:129:ALA:O	A:133:LEU:HG	0.501
72	A:102:MET:C	A:111:VAL:HG21	0.498
72	A:8:ARG:HB3	A:29:ILE:HD13	0.495
72	A:99:LEU:O	A:103:VAL:HG23	0.492
72	A:99:LEU:HD23	A:102:MET:HE1	0.490
72	A:44:SER:O	A:48:LYS:HG3	0.486
72	A:6:MET:HG2	A:161:TYR:CZ	0.480
72	A:81:ASN:CG	A:84:LEU:HB2	0.480
72	A:98:ALA:HB2	A:152:THR:CG2	0.477
72	A:70:ASP:HB3	A:104:PHE:HE2	0.471
72	A:99:LEU:O	A:102:MET:HB3	0.471
72	A:144:ASN:O	A:148:ARG:HD2	0.470
72	A:4:PHE:O	A:8:ARG:HG2	0.468
72	A:27:ILE:CD1	A:46:LEU:HD22	0.468
72	A:136:SER:HB2	A:138:TRP:H	0.467
72	A:74:ALA:HB2	A:104:PHE:CD2	0.465
72	A:121:LEU:HD21	A:153:PHE:CD1	0.462
72	A:13:LEU:HD13	A:29:ILE:CD1	0.461

Model ID	Atom-1	Atom-2	Clash overlap (Å)
72	A:70:ASP:C	A:104:PHE:HE2	0.461
72	A:1:MET:SD	A:5:GLU:HB3	0.460
72	A:46:LEU:HD12	A:50:ILE:HG13	0.459
72	A:127:ASP:O	A:131:VAL:HG23	0.459
72	A:138:TRP:HB3	A:145:ARG:C	0.457
72	A:24:TYR:HB3	A:35:LYS:HG3	0.455
72	A:71:VAL:O	A:74:ALA:HB3	0.452
72	A:46:LEU:CD1	A:50:ILE:HG13	0.450
72	A:3:ILE:HG12	A:100:ILE:HB	0.448
72	A:151:THR:HG21	A:160:ALA:HB2	0.447
72	A:6:MET:HE3	A:158:TRP:CZ3	0.445
72	A:7:LEU:HD13	A:67:PHE:CE1	0.441
72	A:43:LYS:HE3	A:56:GLY:C	0.440
72	A:114:PHE:CE2	A:132:ASN:HB3	0.436
72	A:87:VAL:CG1	A:122:GLN:HB3	0.434
72	A:6:MET:HG2	A:161:TYR:OH	0.432
72	A:39:LEU:O	A:43:LYS:HB3	0.432
72	A:121:LEU:HD21	A:153:PHE:CE1	0.431
72	A:138:TRP:HA	A:145:ARG:HB3	0.430
72	A:91:LEU:HD12	A:121:LEU:HD12	0.429
72	A:25:TYR:OH	A:39:LEU:HD13	0.428
72	A:23:GLY:HA3	A:24:TYR:CE2	0.427
72	A:13:LEU:CD1	A:29:ILE:HG12	0.424

Model ID	Atom-1	Atom-2	Clash overlap (Å)
72	A:98:ALA:HB2	A:152:THR:HB	0.424
72	A:13:LEU:HD13	A:29:ILE:HD11	0.423
72	A:1:MET:CG	A:158:TRP:CE3	0.422
72	A:92:ASP:OD2	A:95:ARG:HG3	0.421
72	A:13:LEU:HA	A:29:ILE:HG12	0.419
72	A:7:LEU:HB3	A:67:PHE:CZ	0.418
72	A:7:LEU:HD13	A:67:PHE:CZ	0.418
72	A:7:LEU:HD13	A:71:VAL:CG2	0.418
72	A:27:ILE:HD11	A:46:LEU:HD22	0.418
72	A:4:PHE:CE1	A:71:VAL:HG11	0.416
72	A:7:LEU:HD11	A:104:PHE:CZ	0.416
72	A:138:TRP:HB2	A:139:TYR:H	0.416
72	A:24:TYR:HB2	A:32:LEU:HD13	0.414
72	A:121:LEU:CD2	A:126:TRP:CE3	0.410
72	A:50:ILE:HG22	A:52:ARG:H	0.409
72	A:98:ALA:HB2	A:152:THR:HG22	0.409
72	A:68:ASN:O	A:72:ASP:HB2	0.406
72	A:105:GLN:C	A:138:TRP:HE1	0.406
72	A:27:ILE:CD1	A:58:ILE:HG12	0.405
72	A:99:LEU:HG	A:153:PHE:CE1	0.405
72	A:151:THR:CG2	A:160:ALA:HB3	0.404
72	A:14:ARG:HB2	A:18:TYR:CE1	0.403
72	A:120:MET:SD	A:125:ARG:HB3	0.403

Model ID	Atom-1	Atom-2	Clash overlap (Å)
73	A:91:LEU:HD12	A:99:LEU:HD11	1.085
73	A:17:ILE:HD13	A:27:ILE:HD12	0.975
73	A:130:ALA:HB1	A:150:ILE:HG23	0.925
73	A:78:ILE:HG21	A:88:TYR:CD2	0.886
73	A:121:LEU:HD23	A:126:TRP:HZ3	0.876
73	A:121:LEU:HD23	A:126:TRP:CZ3	0.871
73	A:7:LEU:HB3	A:67:PHE:CZ	0.870
73	A:7:LEU:HB3	A:67:PHE:HZ	0.862
73	A:17:ILE:CD1	A:27:ILE:HD12	0.845
73	A:88:TYR:HD1	A:99:LEU:HD13	0.830
73	A:148:ARG:HB3	A:161:TYR:CE1	0.797
73	A:46:LEU:HD22	A:50:ILE:HD13	0.792
73	A:130:ALA:HB1	A:150:ILE:CG2	0.777
73	A:15:LEU:HD13	A:57:VAL:HG13	0.768
73	A:52:ARG:HB3	A:54:THR:SG	0.758
73	A:84:LEU:HG	A:108:GLU:HB3	0.720
73	A:27:ILE:HD13	A:46:LEU:HD23	0.710
73	A:6:MET:HG3	A:161:TYR:CE2	0.696
73	A:102:MET:SD	A:133:LEU:HD11	0.693
73	A:11:GLU:HA	A:145:ARG:HH21	0.691
73	A:46:LEU:HD11	A:58:ILE:HG22	0.681
73	A:91:LEU:CD1	A:99:LEU:HD11	0.679
73	A:130:ALA:CB	A:150:ILE:HG23	0.676

Model ID	Atom-1	Atom-2	Clash overlap (Å)
73	A:14:ARG:HG2	A:18:TYR:CG	0.672
73	A:27:ILE:HD13	A:46:LEU:CD2	0.669
73	A:88:TYR:HD1	A:99:LEU:CD1	0.651
73	A:121:LEU:CD2	A:126:TRP:HZ3	0.648
73	A:8:ARG:HG3	A:67:PHE:HE2	0.646
73	A:121:LEU:CD1	A:129:ALA:HB1	0.637
73	A:118:LEU:HD23	A:121:LEU:HG	0.635
73	A:138:TRP:CH2	A:149:VAL:HG11	0.628
73	A:29:ILE:HD13	A:67:PHE:CD2	0.615
73	A:138:TRP:HH2	A:149:VAL:HG11	0.613
73	A:120:MET:HB3	A:125:ARG:HB2	0.603
73	A:121:LEU:HD12	A:129:ALA:HB1	0.601
73	A:78:ILE:HG21	A:88:TYR:HD2	0.579
73	A:121:LEU:HD12	A:129:ALA:CB	0.571
73	A:1:MET:HE3	A:161:TYR:HB3	0.569
73	A:103:VAL:HG22	A:108:GLU:HG3	0.569
73	A:105:GLN:HG3	A:138:TRP:CZ2	0.562
73	A:1:MET:HG3	A:158:TRP:CE3	0.558
73	A:105:GLN:HG3	A:138:TRP:HZ2	0.555
73	A:6:MET:HG3	A:161:TYR:CZ	0.537
73	A:1:MET:CG	A:158:TRP:CE3	0.523
73	A:29:ILE:HG21	A:67:PHE:CZ	0.517
73	A:120:MET:SD	A:128:GLU:HB2	0.513

Model ID	Atom-1	Atom-2	Clash overlap (Å)
73	A:120:MET:SD	A:128:GLU:CB	0.508
73	A:1:MET:HG2	A:158:TRP:HE3	0.503
73	A:81:ASN:HB3	A:84:LEU:HB2	0.500
73	A:50:ILE:HD11	A:66:LEU:HD11	0.496
73	A:22:GLU:HG3	A:24:TYR:CE2	0.493
73	A:7:LEU:HD11	A:104:PHE:CE1	0.488
73	A:46:LEU:HD11	A:58:ILE:CG2	0.487
73	A:107:GLY:O	A:111:VAL:HG23	0.484
73	A:88:TYR:CD1	A:99:LEU:HD13	0.481
73	A:126:TRP:HB3	A:154:ARG:HA	0.481
73	A:84:LEU:CG	A:108:GLU:HB3	0.479
73	A:121:LEU:HD23	A:126:TRP:CE3	0.474
73	A:54:THR:C	A:55:ASN:HD22	0.472
73	A:11:GLU:HG2	A:104:PHE:HE1	0.463
73	A:70:ASP:HB3	A:104:PHE:HE2	0.463
73	A:22:GLU:CG	A:24:TYR:HE2	0.458
73	A:99:LEU:HD23	A:153:PHE:HZ	0.455
73	A:102:MET:HA	A:138:TRP:CZ2	0.453
73	A:72:ASP:O	A:76:ARG:HG2	0.452
73	A:52:ARG:CB	A:54:THR:SG	0.449
73	A:60:LYS:O	A:64:GLU:HG2	0.448
73	A:7:LEU:HD11	A:104:PHE:CD1	0.444
73	A:40:ASN:O	A:43:LYS:HD3	0.444

Model ID	Atom-1	Atom-2	Clash overlap (Å)
73	A:22:GLU:HG3	A:24:TYR:HE2	0.443
73	A:43:LYS:HB2	A:56:GLY:H	0.443
73	A:91:LEU:HD12	A:99:LEU:CD1	0.441
73	A:1:MET:HE3	A:161:TYR:HD2	0.438
73	A:40:ASN:HA	A:43:LYS:HD3	0.426
73	A:88:TYR:CD1	A:99:LEU:CD1	0.426
73	A:17:ILE:HG21	A:42:ALA:HB3	0.423
73	A:96:ARG:HA	A:99:LEU:HB2	0.421
73	A:1:MET:CG	A:158:TRP:HE3	0.421
73	A:13:LEU:HD13	A:29:ILE:HD11	0.419
73	A:105:GLN:OE1	A:145:ARG:HG2	0.414
73	A:102:MET:HA	A:138:TRP:CH2	0.411
73	A:118:LEU:HA	A:121:LEU:HB2	0.411
73	A:14:ARG:HG2	A:18:TYR:CD2	0.407
73	A:22:GLU:CG	A:24:TYR:CE2	0.403
73	A:52:ARG:NH2	A:59:THR:HG23	0.402
73	A:121:LEU:HD11	A:129:ALA:HB1	0.402
73	A:8:ARG:HG2	A:29:ILE:HG12	0.401
74	A:1:MET:SD	A:5:GLU:HB3	0.925
74	A:11:GLU:HB2	A:29:ILE:HG23	0.885
74	A:148:ARG:HB3	A:161:TYR:CE1	0.861
74	A:78:ILE:HG23	A:84:LEU:HD22	0.830
74	A:25:TYR:HE1	A:39:LEU:HD13	0.807

Model ID	Atom-1	Atom-2	Clash overlap (Å)
74	A:121:LEU:HD11	A:153:PHE:HE1	0.798
74	A:15:LEU:HD22	A:58:ILE:HG13	0.790
74	A:84:LEU:HD23	A:88:TYR:HB2	0.763
74	A:25:TYR:CE1	A:39:LEU:HD13	0.757
74	A:138:TRP:HH2	A:149:VAL:HG11	0.751
74	A:78:ILE:CG2	A:84:LEU:HD22	0.728
74	A:13:LEU:HD13	A:29:ILE:HD11	0.719
74	A:102:MET:HE3	A:111:VAL:HG13	0.708
74	A:6:MET:HG3	A:158:TRP:HZ3	0.702
74	A:18:TYR:CE1	A:26:THR:HG22	0.697
74	A:138:TRP:CH2	A:149:VAL:HG11	0.692
74	A:78:ILE:HD11	A:100:ILE:HA	0.689
74	A:11:GLU:CB	A:29:ILE:HG23	0.683
74	A:25:TYR:HE1	A:39:LEU:CD1	0.651
74	A:13:LEU:HD11	A:63:ALA:HB3	0.621
74	A:29:ILE:HD13	A:67:PHE:CG	0.600
74	A:29:ILE:HG21	A:67:PHE:CE1	0.598
74	A:6:MET:HG3	A:158:TRP:CZ3	0.587
74	A:102:MET:HE3	A:111:VAL:CG1	0.579
74	A:78:ILE:HG23	A:84:LEU:CD2	0.567
74	A:91:LEU:HD22	A:95:ARG:HD2	0.553
74	A:11:GLU:HB2	A:29:ILE:CG2	0.548
74	A:13:LEU:HD13	A:29:ILE:CD1	0.545

Model ID	Atom-1	Atom-2	Clash overlap (Å)
74	A:46:LEU:HD11	A:58:ILE:HG23	0.536
74	A:15:LEU:HD21	A:60:LYS:HA	0.535
74	A:120:MET:SD	A:128:GLU:HB3	0.532
74	A:121:LEU:HD22	A:126:TRP:CE3	0.530
74	A:88:TYR:CD1	A:99:LEU:HD12	0.528
74	A:109:THR:HA	A:112:ALA:HB3	0.526
74	A:27:ILE:HD13	A:46:LEU:HD22	0.518
74	A:7:LEU:HB3	A:67:PHE:CZ	0.517
74	A:98:ALA:HB2	A:152:THR:HB	0.516
74	A:87:VAL:O	A:91:LEU:HG	0.513
74	A:42:ALA:O	A:46:LEU:HB3	0.504
74	A:27:ILE:HG12	A:46:LEU:HD13	0.503
74	A:78:ILE:HG13	A:103:VAL:HG21	0.501
74	A:147:LYS:HA	A:150:ILE:HD12	0.493
74	A:121:LEU:HD22	A:126:TRP:HE3	0.490
74	A:88:TYR:HD1	A:99:LEU:HD12	0.489
74	A:99:LEU:HD23	A:153:PHE:HZ	0.489
74	A:102:MET:HA	A:138:TRP:CH2	0.480
74	A:84:LEU:CD2	A:88:TYR:HB2	0.478
74	A:46:LEU:CD1	A:58:ILE:HG23	0.476
74	A:10:ASP:OD1	A:148:ARG:NH2	0.474
74	A:121:LEU:HG	A:126:TRP:HZ3	0.472
74	A:121:LEU:CD1	A:153:PHE:HE1	0.464

Model ID	Atom-1	Atom-2	Clash overlap (Å)
74	A:46:LEU:O	A:50:ILE:HG12	0.462
74	A:7:LEU:HD21	A:104:PHE:CG	0.458
74	A:24:TYR:HB2	A:32:LEU:HD11	0.458
74	A:7:LEU:HB3	A:67:PHE:HZ	0.457
74	A:17:ILE:HG13	A:27:ILE:HD13	0.457
74	A:126:TRP:HA	A:129:ALA:HB3	0.457
74	A:134:ALA:HA	A:150:ILE:HD13	0.456
74	A:13:LEU:CD1	A:29:ILE:HD11	0.433
74	A:15:LEU:O	A:58:ILE:HG12	0.433
74	A:127:ASP:O	A:131:VAL:HG23	0.433
74	A:88:TYR:HD1	A:99:LEU:CD1	0.432
74	A:99:LEU:HD23	A:153:PHE:CZ	0.432
74	A:148:ARG:HB3	A:161:TYR:CD1	0.429
74	A:14:ARG:HB2	A:18:TYR:CD1	0.423
74	A:83:LYS:O	A:86:PRO:HD2	0.418
74	A:13:LEU:HD12	A:63:ALA:HB1	0.412
74	A:142:THR:HB	A:145:ARG:HB2	0.412
74	A:50:ILE:HG21	A:62:GLU:HG2	0.411
74	A:91:LEU:HD11	A:99:LEU:HD11	0.411
74	A:92:ASP:O	A:96:ARG:HG3	0.411
74	A:24:TYR:HB2	A:32:LEU:CD1	0.410
74	A:87:VAL:HG22	A:122:GLN:HB2	0.409
74	A:13:LEU:HD11	A:63:ALA:CB	0.407

Model ID	Atom-1	Atom-2	Clash overlap (Å)
74	A:97:ALA:SG	A:158:TRP:HZ2	0.406
74	A:7:LEU:HD21	A:104:PHE:CD1	0.405
74	A:74:ALA:O	A:78:ILE:HD12	0.403
75	A:78:ILE:HG12	A:103:VAL:HG21	1.098
75	A:130:ALA:HB1	A:150:ILE:HG23	1.058
75	A:1:MET:HB3	A:158:TRP:HB3	1.023
75	A:120:MET:HB3	A:125:ARG:HB3	0.914
75	A:130:ALA:CB	A:150:ILE:HG23	0.833
75	A:13:LEU:HD13	A:29:ILE:CD1	0.832
75	A:1:MET:HB3	A:158:TRP:CB	0.828
75	A:13:LEU:HD13	A:29:ILE:HD11	0.814
75	A:58:ILE:CD1	A:63:ALA:HB2	0.802
75	A:139:TYR:CD1	A:146:ALA:HB3	0.789
75	A:71:VAL:HG13	A:100:ILE:HG21	0.788
75	A:88:TYR:HD1	A:99:LEU:HD12	0.753
75	A:27:ILE:HD11	A:58:ILE:HG23	0.744
75	A:78:ILE:CG1	A:103:VAL:HG21	0.736
75	A:148:ARG:HB2	A:161:TYR:CE1	0.726
75	A:85:LYS:HG3	A:86:PRO:HD3	0.712
75	A:1:MET:SD	A:5:GLU:HB3	0.709
75	A:120:MET:SD	A:128:GLU:HB3	0.708
75	A:130:ALA:HB1	A:150:ILE:CG2	0.707
75	A:1:MET:CB	A:158:TRP:HB3	0.701

Model ID	Atom-1	Atom-2	Clash overlap (Å)
75	A:29:ILE:HD13	A:67:PHE:CB	0.684
75	A:27:ILE:HD13	A:46:LEU:HG	0.683
75	A:106:MET:HE2	A:111:VAL:HG22	0.675
75	A:15:LEU:HD23	A:16:LYS:HG2	0.669
75	A:29:ILE:HD13	A:67:PHE:CD2	0.666
75	A:43:LYS:HG2	A:56:GLY:HA3	0.655
75	A:6:MET:HG3	A:161:TYR:CZ	0.642
75	A:106:MET:HE1	A:133:LEU:HG	0.642
75	A:15:LEU:HD12	A:57:VAL:HG13	0.639
75	A:87:VAL:HG12	A:122:GLN:HB2	0.639
75	A:6:MET:SD	A:158:TRP:HZ3	0.639
75	A:1:MET:HE1	A:9:ILE:HD12	0.636
75	A:7:LEU:HD11	A:104:PHE:CE1	0.627
75	A:88:TYR:HD1	A:99:LEU:CD1	0.616
75	A:114:PHE:HE2	A:135:LYS:HB3	0.614
75	A:70:ASP:HB3	A:104:PHE:HE2	0.602
75	A:27:ILE:HD11	A:58:ILE:CG2	0.598
75	A:6:MET:HE3	A:161:TYR:CE1	0.595
75	A:121:LEU:HD21	A:153:PHE:HE1	0.591
75	A:29:ILE:HD13	A:67:PHE:CG	0.587
75	A:138:TRP:HB3	A:146:ALA:HB2	0.584
75	A:70:ASP:HB3	A:104:PHE:CE2	0.581
75	A:88:TYR:CD1	A:99:LEU:HD12	0.579

Model ID	Atom-1	Atom-2	Clash overlap (Å)
75	A:84:LEU:HG	A:118:LEU:HD21	0.577
75	A:120:MET:SD	A:128:GLU:CB	0.575
75	A:139:TYR:HD1	A:146:ALA:CB	0.561
75	A:74:ALA:HB2	A:104:PHE:HB2	0.545
75	A:91:LEU:CD1	A:99:LEU:HD11	0.541
75	A:58:ILE:HD13	A:63:ALA:HB2	0.538
75	A:1:MET:HG3	A:158:TRP:CE3	0.536
75	A:46:LEU:HD12	A:50:ILE:HG12	0.536
75	A:114:PHE:HB2	A:117:SER:HB2	0.535
75	A:13:LEU:CD1	A:29:ILE:HD11	0.528
75	A:102:MET:HE3	A:111:VAL:HG11	0.526
75	A:6:MET:SD	A:158:TRP:CZ3	0.523
75	A:78:ILE:HG12	A:103:VAL:CG2	0.519
75	A:102:MET:SD	A:133:LEU:HD11	0.519
75	A:112:ALA:HA	A:118:LEU:HD11	0.517
75	A:18:TYR:CE1	A:26:THR:HG23	0.516
75	A:71:VAL:O	A:75:VAL:HG23	0.512
75	A:50:ILE:HD12	A:66:LEU:HG	0.505
75	A:121:LEU:HD22	A:126:TRP:HE3	0.503
75	A:20:ASP:HB3	A:26:THR:CG2	0.502
75	A:106:MET:HB2	A:138:TRP:CZ2	0.502
75	A:7:LEU:HB3	A:67:PHE:CZ	0.499
75	A:4:PHE:CE1	A:71:VAL:HG21	0.498

Model ID	Atom-1	Atom-2	Clash overlap (Å)
75	A:99:LEU:HD23	A:153:PHE:CZ	0.496
75	A:1:MET:HE3	A:161:TYR:HB3	0.491
75	A:139:TYR:CD1	A:146:ALA:CB	0.489
75	A:126:TRP:HB3	A:153:PHE:HD1	0.480
75	A:7:LEU:HA	A:10:ASP:HB2	0.479
75	A:139:TYR:HD1	A:146:ALA:HB3	0.479
75	A:81:ASN:O	A:85:LYS:HG2	0.478
75	A:117:SER:OG	A:132:ASN:HB2	0.476
75	A:13:LEU:HD13	A:29:ILE:HD12	0.475
75	A:147:LYS:HA	A:150:ILE:HD12	0.474
75	A:13:LEU:HA	A:29:ILE:HG13	0.473
75	A:13:LEU:CD1	A:63:ALA:HB1	0.472
75	A:8:ARG:HG2	A:13:LEU:HB2	0.471
75	A:31:HIS:O	A:33:LEU:HD13	0.470
75	A:27:ILE:HG22	A:31:HIS:HB3	0.457
75	A:105:GLN:HB3	A:138:TRP:NE1	0.453
75	A:7:LEU:HB3	A:67:PHE:HZ	0.452
75	A:17:ILE:HG23	A:39:LEU:HD12	0.449
75	A:130:ALA:HB1	A:150:ILE:HG12	0.449
75	A:102:MET:HA	A:138:TRP:CH2	0.447
75	A:33:LEU:HB3	A:34:THR:HG22	0.445
75	A:15:LEU:HD12	A:57:VAL:CG1	0.443
75	A:7:LEU:HD22	A:101:ASN:CG	0.441

Model ID	Atom-1	Atom-2	Clash overlap (Å)
75	A:91:LEU:HD21	A:126:TRP:CZ3	0.439
75	A:65:LYS:O	A:69:GLN:HG2	0.436
75	A:13:LEU:HD11	A:63:ALA:HB1	0.435
75	A:74:ALA:HB3	A:100:ILE:HG23	0.435
75	A:129:ALA:O	A:133:LEU:HD23	0.433
75	A:3:ILE:O	A:6:MET:HB3	0.427
75	A:67:PHE:HA	A:70:ASP:HB2	0.426
75	A:88:TYR:HE1	A:96:ARG:HB2	0.426
75	A:27:ILE:HG21	A:46:LEU:HD13	0.422
75	A:14:ARG:HG3	A:18:TYR:CZ	0.421
75	A:114:PHE:CE2	A:135:LYS:HB3	0.420
75	A:13:LEU:HD11	A:63:ALA:CB	0.418
75	A:138:TRP:CZ3	A:149:VAL:HG11	0.417
75	A:60:LYS:O	A:64:GLU:HG2	0.414
75	A:148:ARG:HB2	A:161:TYR:CZ	0.414
75	A:84:LEU:O	A:87:VAL:HB	0.412
75	A:98:ALA:HB2	A:152:THR:HB	0.410
75	A:91:LEU:CD2	A:126:TRP:CZ3	0.408
75	A:124:LYS:HB3	A:126:TRP:CZ2	0.408
75	A:136:SER:OG	A:138:TRP:HB2	0.406
75	A:50:ILE:HG23	A:66:LEU:HG	0.405
75	A:17:ILE:HD12	A:26:THR:C	0.403
75	A:27:ILE:CG2	A:31:HIS:HB3	0.403

Model ID	Atom-1	Atom-2	Clash overlap (Å)
75	A:29:ILE:HG21	A:67:PHE:CE1	0.401
76	A:130:ALA:HB1	A:150:ILE:HG23	1.130
76	A:58:ILE:HD13	A:63:ALA:HB2	1.098
76	A:1:MET:HE1	A:9:ILE:HD12	0.920
76	A:102:MET:SD	A:133:LEU:HD21	0.876
76	A:46:LEU:HD11	A:58:ILE:CG2	0.837
76	A:13:LEU:HD13	A:29:ILE:CD1	0.830
76	A:88:TYR:HD1	A:99:LEU:HD12	0.824
76	A:138:TRP:HB3	A:146:ALA:HB2	0.805
76	A:130:ALA:CB	A:150:ILE:HG23	0.795
76	A:58:ILE:HD13	A:63:ALA:CB	0.790
76	A:27:ILE:CG2	A:31:HIS:HB3	0.775
76	A:148:ARG:HB2	A:161:TYR:CE1	0.771
76	A:78:ILE:HG12	A:103:VAL:HG21	0.761
76	A:4:PHE:HD1	A:67:PHE:CE2	0.751
76	A:29:ILE:HD13	A:67:PHE:CD2	0.747
76	A:27:ILE:HG22	A:31:HIS:HB3	0.710
76	A:46:LEU:HD11	A:58:ILE:HG23	0.705
76	A:1:MET:SD	A:5:GLU:HB3	0.697
76	A:121:LEU:HD21	A:153:PHE:CE1	0.695
76	A:13:LEU:HD13	A:29:ILE:HD12	0.688
76	A:1:MET:HE1	A:9:ILE:CD1	0.686
76	A:91:LEU:HB3	A:96:ARG:HB3	0.675

Model ID	Atom-1	Atom-2	Clash overlap (Å)
76	A:4:PHE:HE1	A:71:VAL:HG21	0.673
76	A:99:LEU:HD23	A:153:PHE:HZ	0.666
76	A:19:LYS:HG2	A:25:TYR:CE2	0.664
76	A:4:PHE:HA	A:67:PHE:HE2	0.660
76	A:13:LEU:HD11	A:63:ALA:HB1	0.647
76	A:121:LEU:HD21	A:153:PHE:HE1	0.645
76	A:75:VAL:HA	A:78:ILE:HD12	0.641
76	A:87:VAL:HG12	A:122:GLN:HB2	0.633
76	A:6:MET:SD	A:158:TRP:HZ3	0.626
76	A:78:ILE:CG1	A:103:VAL:HG21	0.622
76	A:27:ILE:HG23	A:31:HIS:HB3	0.620
76	A:29:ILE:HB	A:67:PHE:CG	0.620
76	A:124:LYS:HB3	A:126:TRP:CZ2	0.620
76	A:99:LEU:HD23	A:153:PHE:CZ	0.619
76	A:84:LEU:HG	A:118:LEU:HD21	0.616
76	A:76:ARG:HG3	A:80:ARG:HH12	0.615
76	A:130:ALA:HB1	A:150:ILE:CG2	0.598
76	A:88:TYR:HD1	A:99:LEU:CD1	0.593
76	A:58:ILE:CD1	A:63:ALA:HB2	0.589
76	A:13:LEU:HB2	A:29:ILE:HG13	0.587
76	A:7:LEU:HD11	A:104:PHE:CE1	0.579
76	A:97:ALA:CB	A:158:TRP:HH2	0.579
76	A:13:LEU:HD13	A:29:ILE:HD11	0.578

Model ID	Atom-1	Atom-2	Clash overlap (Å)
76	A:120:MET:HB3	A:125:ARG:CB	0.577
76	A:102:MET:SD	A:133:LEU:CD2	0.567
76	A:1:MET:CE	A:9:ILE:HD12	0.566
76	A:71:VAL:HG13	A:100:ILE:HG21	0.566
76	A:94:VAL:HG13	A:158:TRP:CE2	0.561
76	A:74:ALA:HB2	A:104:PHE:HD2	0.558
76	A:120:MET:HB3	A:125:ARG:HB3	0.558
76	A:4:PHE:CE1	A:71:VAL:HG21	0.548
76	A:79:LEU:HD23	A:85:LYS:HA	0.547
76	A:136:SER:HB2	A:138:TRP:CD1	0.546
76	A:13:LEU:CD1	A:63:ALA:HB1	0.545
76	A:88:TYR:CD1	A:99:LEU:HD12	0.539
76	A:11:GLU:HG2	A:22:GLU:HG3	0.535
76	A:120:MET:SD	A:128:GLU:HB3	0.529
76	A:7:LEU:HD12	A:67:PHE:HE1	0.514
76	A:120:MET:SD	A:128:GLU:CB	0.511
76	A:5:GLU:HA	A:8:ARG:HG2	0.508
76	A:1:MET:HB3	A:158:TRP:CG	0.506
76	A:7:LEU:HB3	A:67:PHE:HZ	0.503
76	A:127:ASP:O	A:131:VAL:HG23	0.500
76	A:1:MET:HG2	A:158:TRP:CE3	0.498
76	A:17:ILE:HD12	A:26:THR:C	0.498
76	A:6:MET:SD	A:158:TRP:CZ3	0.497

Model ID	Atom-1	Atom-2	Clash overlap (Å)
76	A:7:LEU:HB3	A:67:PHE:CZ	0.494
76	A:94:VAL:HG13	A:158:TRP:CZ2	0.493
76	A:13:LEU:HD11	A:63:ALA:CB	0.488
76	A:78:ILE:HG12	A:103:VAL:CG2	0.488
76	A:13:LEU:CB	A:29:ILE:HG13	0.484
76	A:14:ARG:HD3	A:18:TYR:CZ	0.479
76	A:97:ALA:HB1	A:158:TRP:HH2	0.472
76	A:25:TYR:HB2	A:34:THR:O	0.471
76	A:106:MET:HE2	A:111:VAL:HG23	0.469
76	A:15:LEU:HD13	A:57:VAL:HG11	0.467
76	A:136:SER:OG	A:138:TRP:HB2	0.465
76	A:62:GLU:HA	A:65:LYS:HB2	0.463
76	A:78:ILE:HG21	A:88:TYR:CG	0.460
76	A:139:TYR:HE1	A:150:ILE:HD11	0.458
76	A:4:PHE:HB3	A:64:GLU:OE2	0.457
76	A:83:LYS:HG3	A:118:LEU:HD22	0.456
76	A:46:LEU:HD12	A:50:ILE:HG12	0.454
76	A:129:ALA:O	A:133:LEU:HG	0.452
76	A:13:LEU:HB2	A:29:ILE:CG1	0.450
76	A:4:PHE:CD1	A:67:PHE:CE2	0.450
76	A:94:VAL:HG22	A:158:TRP:HE1	0.450
76	A:88:TYR:CD1	A:99:LEU:CD1	0.448
76	A:8:ARG:O	A:12:GLY:HA2	0.446

Model ID	Atom-1	Atom-2	Clash overlap (Å)
76	A:138:TRP:CH2	A:149:VAL:HG11	0.442
76	A:84:LEU:HD21	A:111:VAL:HG12	0.441
76	A:116:ASN:HB3	A:120:MET:HE3	0.441
76	A:7:LEU:HD12	A:67:PHE:CE1	0.439
76	A:74:ALA:HB2	A:104:PHE:CD2	0.437
76	A:133:LEU:HD11	A:153:PHE:CE2	0.437
76	A:138:TRP:HH2	A:149:VAL:HG11	0.437
76	A:126:TRP:HB3	A:153:PHE:HD1	0.434
76	A:126:TRP:HB3	A:153:PHE:CD1	0.433
76	A:8:ARG:HB2	A:13:LEU:HB2	0.432
76	A:71:VAL:O	A:75:VAL:HG23	0.432
76	A:97:ALA:CB	A:158:TRP:CH2	0.430
76	A:116:ASN:O	A:120:MET:HG3	0.430
76	A:8:ARG:HB3	A:29:ILE:HG12	0.429
76	A:84:LEU:HA	A:118:LEU:HD21	0.428
76	A:10:ASP:OD1	A:148:ARG:NH2	0.428
76	A:19:LYS:C	A:26:THR:HG22	0.425
76	A:121:LEU:HD22	A:126:TRP:HE3	0.425
76	A:102:MET:HE3	A:111:VAL:CG1	0.423
76	A:102:MET:HA	A:138:TRP:CH2	0.422
76	A:72:ASP:HA	A:75:VAL:HB	0.421
76	A:91:LEU:O	A:96:ARG:HD3	0.420
76	A:151:THR:HG21	A:160:ALA:CB	0.419

Model ID	Atom-1	Atom-2	Clash overlap (Å)
76	A:106:MET:HE1	A:133:LEU:HD22	0.418
76	A:114:PHE:CD2	A:132:ASN:HB3	0.418
76	A:1:MET:HB3	A:158:TRP:CB	0.417
76	A:1:MET:HG2	A:158:TRP:CD2	0.416
76	A:105:GLN:C	A:138:TRP:HE1	0.416
76	A:94:VAL:O	A:97:ALA:HB3	0.415
76	A:136:SER:HB2	A:138:TRP:CG	0.414
76	A:29:ILE:HD13	A:67:PHE:HD2	0.413
76	A:102:MET:HA	A:138:TRP:CZ2	0.412
76	A:17:ILE:HD12	A:26:THR:O	0.411
76	A:106:MET:HE2	A:111:VAL:CG2	0.408
76	A:114:PHE:O	A:118:LEU:HD13	0.408
76	A:94:VAL:HG11	A:156:GLY:O	0.407
76	A:114:PHE:HB3	A:117:SER:HB2	0.405
76	A:151:THR:HG21	A:160:ALA:HB3	0.405
76	A:97:ALA:HB3	A:158:TRP:CH2	0.402
76	A:97:ALA:HB3	A:158:TRP:HH2	0.402
76	A:6:MET:HG3	A:161:TYR:CZ	0.401
76	A:121:LEU:HD13	A:126:TRP:HZ3	0.401
76	A:84:LEU:CG	A:118:LEU:HD21	0.400
77	A:130:ALA:HB1	A:150:ILE:HG23	1.157
77	A:7:LEU:HD11	A:71:VAL:HG21	1.062
77	A:91:LEU:HD12	A:99:LEU:HD11	0.915

Model ID	Atom-1	Atom-2	Clash overlap (Å)
77	A:1:MET:SD	A:5:GLU:HB3	0.890
77	A:88:TYR:HD1	A:99:LEU:HD13	0.877
77	A:130:ALA:CB	A:150:ILE:HG23	0.819
77	A:29:ILE:HD13	A:67:PHE:CD2	0.806
77	A:74:ALA:HB2	A:104:PHE:HD2	0.795
77	A:99:LEU:HD23	A:153:PHE:HZ	0.774
77	A:1:MET:HG2	A:158:TRP:CE3	0.769
77	A:130:ALA:HB1	A:150:ILE:CG2	0.767
77	A:27:ILE:HD13	A:46:LEU:HD22	0.750
77	A:126:TRP:HB2	A:154:ARG:HA	0.750
77	A:91:LEU:CD1	A:99:LEU:HD11	0.741
77	A:46:LEU:HD12	A:50:ILE:HG12	0.738
77	A:7:LEU:HA	A:10:ASP:HB2	0.735
77	A:105:GLN:HB3	A:138:TRP:CZ2	0.730
77	A:18:TYR:CE1	A:26:THR:HG22	0.721
77	A:75:VAL:HA	A:78:ILE:HD12	0.717
77	A:139:TYR:CD1	A:146:ALA:HB3	0.715
77	A:7:LEU:HD11	A:71:VAL:CG2	0.714
77	A:78:ILE:CG1	A:103:VAL:HG21	0.714
77	A:99:LEU:HD23	A:102:MET:CE	0.697
77	A:121:LEU:HD21	A:153:PHE:CD1	0.693
77	A:102:MET:HG2	A:111:VAL:HG22	0.692
77	A:27:ILE:HD11	A:58:ILE:HG12	0.679

Model ID	Atom-1	Atom-2	Clash overlap (Å)
77	A:114:PHE:HB3	A:117:SER:HB3	0.672
77	A:24:TYR:HB2	A:32:LEU:HD11	0.668
77	A:15:LEU:HD23	A:57:VAL:HG11	0.652
77	A:151:THR:HG21	A:160:ALA:HB3	0.650
77	A:6:MET:HG3	A:161:TYR:CZ	0.646
77	A:50:ILE:HG21	A:52:ARG:HD2	0.639
77	A:78:ILE:HG12	A:103:VAL:HG21	0.639
77	A:84:LEU:CD1	A:88:TYR:HB2	0.637
77	A:120:MET:SD	A:128:GLU:HB2	0.634
77	A:138:TRP:HB2	A:146:ALA:HB2	0.630
77	A:141:GLN:HG2	A:142:THR:HG23	0.622
77	A:151:THR:HG21	A:160:ALA:CB	0.616
77	A:27:ILE:HG12	A:46:LEU:HD13	0.614
77	A:88:TYR:HD1	A:99:LEU:CD1	0.602
77	A:78:ILE:HG13	A:103:VAL:HG21	0.594
77	A:84:LEU:HD12	A:88:TYR:HB2	0.592
77	A:99:LEU:CD2	A:153:PHE:HZ	0.591
77	A:105:GLN:HB3	A:138:TRP:CE2	0.589
77	A:138:TRP:CB	A:146:ALA:HB2	0.587
77	A:117:SER:HA	A:120:MET:HB2	0.585
77	A:121:LEU:HD22	A:126:TRP:HE3	0.570
77	A:11:GLU:HB3	A:30:GLY:HA3	0.568
77	A:99:LEU:HD23	A:102:MET:HE2	0.565

Model ID	Atom-1	Atom-2	Clash overlap (Å)
77	A:106:MET:SD	A:136:SER:HB3	0.564
77	A:13:LEU:HD12	A:29:ILE:HG13	0.554
77	A:50:ILE:HG22	A:52:ARG:HB3	0.554
77	A:88:TYR:CD1	A:99:LEU:HD13	0.552
77	A:74:ALA:HB2	A:104:PHE:CD2	0.547
77	A:148:ARG:HB3	A:161:TYR:CE1	0.547
77	A:33:LEU:HD21	A:45:GLU:HB3	0.546
77	A:121:LEU:HD22	A:126:TRP:CE3	0.545
77	A:39:LEU:HD21	A:43:LYS:HE3	0.538
77	A:99:LEU:HD23	A:153:PHE:CZ	0.538
77	A:13:LEU:CD1	A:29:ILE:HG13	0.537
77	A:99:LEU:CD2	A:153:PHE:CZ	0.532
77	A:5:GLU:HA	A:8:ARG:HG2	0.529
77	A:99:LEU:HD23	A:102:MET:HE1	0.529
77	A:120:MET:SD	A:128:GLU:CB	0.528
77	A:139:TYR:CD1	A:146:ALA:CB	0.524
77	A:127:ASP:O	A:131:VAL:HG23	0.514
77	A:1:MET:HB3	A:158:TRP:CG	0.509
77	A:120:MET:HG2	A:125:ARG:HB2	0.508
77	A:57:VAL:HG12	A:58:ILE:O	0.507
77	A:88:TYR:CD1	A:99:LEU:CD1	0.506
77	A:114:PHE:CE1	A:133:LEU:HD23	0.500
77	A:121:LEU:HD21	A:153:PHE:HD1	0.498

Model ID	Atom-1	Atom-2	Clash overlap (Å)
77	A:24:TYR:HD2	A:32:LEU:HD11	0.496
77	A:121:LEU:HD13	A:126:TRP:HZ3	0.496
77	A:14:ARG:HB2	A:18:TYR:CE1	0.488
77	A:136:SER:HB2	A:138:TRP:H	0.485
77	A:97:ALA:CB	A:158:TRP:HH2	0.483
77	A:24:TYR:HB2	A:32:LEU:CD1	0.477
77	A:46:LEU:HD12	A:50:ILE:CG1	0.476
77	A:13:LEU:O	A:14:ARG:HD3	0.474
77	A:6:MET:HE1	A:98:ALA:HA	0.473
77	A:24:TYR:CD1	A:35:LYS:HG2	0.473
77	A:25:TYR:O	A:32:LEU:HD12	0.468
77	A:81:ASN:HB3	A:84:LEU:HB2	0.466
77	A:101:ASN:O	A:105:GLN:HB2	0.466
77	A:67:PHE:O	A:71:VAL:HG23	0.463
77	A:114:PHE:HZ	A:135:LYS:HB3	0.463
77	A:13:LEU:HD13	A:29:ILE:CG1	0.461
77	A:63:ALA:O	A:67:PHE:HB3	0.456
77	A:14:ARG:HB2	A:18:TYR:CD1	0.454
77	A:1:MET:HG2	A:158:TRP:CD2	0.453
77	A:3:ILE:HD13	A:97:ALA:O	0.450
77	A:50:ILE:HA	A:66:LEU:HD13	0.450
77	A:7:LEU:HD21	A:71:VAL:HG22	0.438
77	A:13:LEU:C	A:14:ARG:HD3	0.438

Model ID	Atom-1	Atom-2	Clash overlap (Å)
77	A:24:TYR:CD2	A:32:LEU:HD11	0.435
77	A:139:TYR:HD1	A:146:ALA:CB	0.435
77	A:1:MET:HB2	A:1:MET:HE2	0.428
77	A:24:TYR:CD2	A:32:LEU:HD21	0.427
77	A:2:ASN:H	A:5:GLU:HB2	0.426
77	A:33:LEU:HG	A:42:ALA:HA	0.420
77	A:148:ARG:HB3	A:161:TYR:CZ	0.416
77	A:64:GLU:O	A:68:ASN:HB3	0.413
77	A:7:LEU:HG	A:67:PHE:HE1	0.411
77	A:107:GLY:O	A:111:VAL:HG23	0.409
77	A:22:GLU:OE1	A:32:LEU:HD13	0.406
77	A:97:ALA:CB	A:158:TRP:CH2	0.402
78	A:121:LEU:HD13	A:126:TRP:HZ3	1.072
78	A:130:ALA:HB1	A:150:ILE:HG23	0.995
78	A:29:ILE:HD13	A:67:PHE:CD2	0.979
78	A:138:TRP:HB3	A:146:ALA:HB2	0.926
78	A:121:LEU:HD13	A:126:TRP:CZ3	0.921
78	A:7:LEU:HD12	A:67:PHE:HE1	0.902
78	A:13:LEU:HD13	A:29:ILE:HD11	0.874
78	A:120:MET:SD	A:128:GLU:HB2	0.874
78	A:84:LEU:CD1	A:88:TYR:HB2	0.870
78	A:13:LEU:HD13	A:29:ILE:CD1	0.851
78	A:105:GLN:HB3	A:138:TRP:CZ2	0.841

Model ID	Atom-1	Atom-2	Clash overlap (Å)
78	A:78:ILE:HG12	A:103:VAL:HG21	0.838
78	A:102:MET:HE2	A:153:PHE:HZ	0.835
78	A:99:LEU:HD23	A:102:MET:CE	0.834
78	A:130:ALA:CB	A:150:ILE:HG23	0.828
78	A:78:ILE:CG1	A:103:VAL:HG21	0.795
78	A:7:LEU:CD1	A:67:PHE:HE1	0.751
78	A:84:LEU:HD13	A:88:TYR:HB2	0.739
78	A:105:GLN:HB3	A:138:TRP:HZ2	0.730
78	A:121:LEU:HD22	A:126:TRP:CE3	0.725
78	A:7:LEU:HD12	A:67:PHE:CE1	0.721
78	A:99:LEU:HD23	A:102:MET:HE2	0.708
78	A:130:ALA:HB1	A:150:ILE:CG2	0.700
78	A:114:PHE:HB3	A:117:SER:HB3	0.699
78	A:13:LEU:HD13	A:29:ILE:CG1	0.687
78	A:102:MET:HE2	A:153:PHE:CZ	0.662
78	A:148:ARG:HB3	A:161:TYR:CE1	0.648
78	A:15:LEU:HD23	A:57:VAL:HG11	0.640
78	A:78:ILE:HD11	A:100:ILE:HA	0.635
78	A:102:MET:CE	A:153:PHE:HZ	0.630
78	A:15:LEU:HD23	A:57:VAL:CG1	0.616
78	A:13:LEU:HD13	A:29:ILE:HG13	0.614
78	A:81:ASN:HB3	A:84:LEU:HB2	0.608
78	A:91:LEU:CD1	A:99:LEU:HD11	0.595

Model ID	Atom-1	Atom-2	Clash overlap (Å)
78	A:46:LEU:HD12	A:50:ILE:HG12	0.594
78	A:24:TYR:HD1	A:35:LYS:HG3	0.592
78	A:121:LEU:HD11	A:153:PHE:HE1	0.590
78	A:17:ILE:HG12	A:27:ILE:HD12	0.584
78	A:126:TRP:HB2	A:154:ARG:HA	0.575
78	A:121:LEU:HD22	A:126:TRP:HE3	0.571
78	A:151:THR:HG21	A:160:ALA:CB	0.569
78	A:102:MET:C	A:111:VAL:HG21	0.562
78	A:46:LEU:HD12	A:50:ILE:CG1	0.558
78	A:74:ALA:HB2	A:104:PHE:HD2	0.554
78	A:7:LEU:HD21	A:104:PHE:HD1	0.550
78	A:138:TRP:HB3	A:146:ALA:CB	0.548
78	A:106:MET:HE1	A:133:LEU:HA	0.538
78	A:24:TYR:CD2	A:32:LEU:HD11	0.534
78	A:18:TYR:CE1	A:26:THR:HG22	0.533
78	A:120:MET:SD	A:128:GLU:CB	0.532
78	A:25:TYR:HB2	A:34:THR:HG23	0.529
78	A:130:ALA:HB1	A:150:ILE:HG12	0.529
78	A:24:TYR:CD1	A:35:LYS:HG3	0.525
78	A:70:ASP:HB3	A:104:PHE:CZ	0.521
78	A:151:THR:HA	A:154:ARG:HD2	0.521
78	A:91:LEU:HD12	A:99:LEU:HD11	0.515
78	A:102:MET:CE	A:153:PHE:CZ	0.515

Model ID	Atom-1	Atom-2	Clash overlap (Å)
78	A:138:TRP:CB	A:146:ALA:HB2	0.509
78	A:70:ASP:HB3	A:104:PHE:CE2	0.508
78	A:84:LEU:HD12	A:88:TYR:HB2	0.508
78	A:99:LEU:HD23	A:102:MET:HE1	0.506
78	A:13:LEU:HA	A:29:ILE:HG13	0.501
78	A:13:LEU:CD1	A:29:ILE:HG13	0.499
78	A:120:MET:HG2	A:125:ARG:O	0.499
78	A:27:ILE:HD13	A:46:LEU:HD13	0.498
78	A:46:LEU:HD11	A:58:ILE:HG21	0.498
78	A:47:ASP:HA	A:54:THR:SG	0.484
78	A:129:ALA:O	A:133:LEU:HG	0.484
78	A:7:LEU:HD21	A:104:PHE:CD1	0.477
78	A:29:ILE:HB	A:67:PHE:CG	0.475
78	A:96:ARG:HA	A:99:LEU:HD12	0.474
78	A:7:LEU:HD23	A:71:VAL:HG22	0.472
78	A:102:MET:HG3	A:153:PHE:HE2	0.470
78	A:78:ILE:HG13	A:103:VAL:HG21	0.469
78	A:45:GLU:HA	A:48:LYS:HG3	0.468
78	A:98:ALA:HB2	A:152:THR:CG2	0.466
78	A:136:SER:OG	A:138:TRP:HB2	0.466
78	A:87:VAL:HG13	A:122:GLN:HB2	0.462
78	A:121:LEU:HD21	A:153:PHE:CE1	0.461
78	A:15:LEU:CD2	A:57:VAL:HG11	0.458

Model ID	Atom-1	Atom-2	Clash overlap (Å)
78	A:46:LEU:CD1	A:50:ILE:HG13	0.453
78	A:141:GLN:HG2	A:142:THR:HG23	0.451
78	A:105:GLN:HB3	A:138:TRP:CE2	0.449
78	A:121:LEU:CD1	A:126:TRP:HZ3	0.445
78	A:121:LEU:HD21	A:153:PHE:CD1	0.437
78	A:106:MET:SD	A:136:SER:HB3	0.436
78	A:14:ARG:HG2	A:18:TYR:HB3	0.433
78	A:102:MET:SD	A:133:LEU:CD2	0.431
78	A:99:LEU:O	A:103:VAL:HG23	0.429
78	A:46:LEU:HD21	A:58:ILE:HG23	0.428
78	A:87:VAL:HG22	A:122:GLN:NE2	0.428
78	A:7:LEU:HA	A:10:ASP:OD1	0.424
78	A:94:VAL:HG22	A:158:TRP:NE1	0.422
78	A:47:ASP:OD1	A:53:ASN:HA	0.420
78	A:66:LEU:HA	A:66:LEU:HD22	0.418
78	A:144:ASN:HB2	A:148:ARG:NH2	0.417
78	A:85:LYS:HB3	A:85:LYS:HE3	0.415
78	A:14:ARG:HB3	A:18:TYR:CD1	0.401
79	A:1:MET:HE1	A:9:ILE:HD12	1.101
79	A:102:MET:HE3	A:111:VAL:HG13	1.075
79	A:1:MET:SD	A:5:GLU:HB3	1.062
79	A:121:LEU:HD23	A:129:ALA:HB2	0.880
79	A:46:LEU:HD11	A:58:ILE:HG21	0.873

Model ID	Atom-1	Atom-2	Clash overlap (Å)
79	A:13:LEU:HD13	A:29:ILE:HD11	0.854
79	A:121:LEU:HD23	A:129:ALA:CB	0.839
79	A:121:LEU:HD22	A:126:TRP:HE3	0.822
79	A:102:MET:HG2	A:111:VAL:HG22	0.821
79	A:87:VAL:HG21	A:122:GLN:HB2	0.820
79	A:102:MET:CE	A:111:VAL:HG13	0.814
79	A:99:LEU:HD23	A:153:PHE:HZ	0.795
79	A:121:LEU:HD22	A:126:TRP:CE3	0.794
79	A:15:LEU:HD22	A:58:ILE:HG13	0.789
79	A:8:ARG:HB2	A:29:ILE:HG12	0.787
79	A:46:LEU:HD11	A:58:ILE:CG2	0.764
79	A:50:ILE:HG23	A:62:GLU:HG2	0.746
79	A:6:MET:HG3	A:158:TRP:HZ3	0.745
79	A:102:MET:SD	A:133:LEU:HD21	0.739
79	A:106:MET:SD	A:138:TRP:HE3	0.733
79	A:106:MET:SD	A:138:TRP:CE3	0.721
79	A:142:THR:HB	A:145:ARG:HB3	0.705
79	A:27:ILE:HB	A:33:LEU:HD11	0.699
79	A:7:LEU:HB3	A:67:PHE:CZ	0.697
79	A:102:MET:HE3	A:111:VAL:CG1	0.695
79	A:112:ALA:HA	A:118:LEU:HD21	0.694
79	A:98:ALA:HB2	A:152:THR:CG2	0.687
79	A:98:ALA:HB2	A:152:THR:HG22	0.665

Model ID	Atom-1	Atom-2	Clash overlap (Å)
79	A:6:MET:SD	A:97:ALA:HB1	0.637
79	A:147:LYS:HA	A:150:ILE:HD12	0.636
79	A:99:LEU:CD2	A:153:PHE:HZ	0.631
79	A:25:TYR:CE1	A:39:LEU:HD13	0.624
79	A:121:LEU:CD2	A:126:TRP:HE3	0.622
79	A:7:LEU:HB3	A:67:PHE:HZ	0.620
79	A:125:ARG:HB3	A:128:GLU:HG3	0.615
79	A:29:ILE:HG21	A:67:PHE:CE1	0.604
79	A:50:ILE:CG2	A:62:GLU:HG2	0.600
79	A:24:TYR:HB3	A:32:LEU:HD11	0.594
79	A:18:TYR:CE1	A:26:THR:HG23	0.591
79	A:50:ILE:HD12	A:62:GLU:HB3	0.587
79	A:13:LEU:HD13	A:29:ILE:CD1	0.584
79	A:1:MET:HE1	A:9:ILE:CD1	0.578
79	A:81:ASN:HB3	A:84:LEU:HB2	0.578
79	A:88:TYR:HD1	A:99:LEU:CD1	0.577
79	A:121:LEU:HD11	A:153:PHE:HE1	0.558
79	A:29:ILE:HD13	A:67:PHE:CG	0.553
79	A:8:ARG:HD3	A:13:LEU:HB2	0.541
79	A:29:ILE:HD13	A:67:PHE:CD2	0.536
79	A:77:GLY:HA3	A:103:VAL:HG11	0.535
79	A:99:LEU:CD2	A:153:PHE:CZ	0.529
79	A:11:GLU:HB2	A:29:ILE:HG23	0.525

Model ID	Atom-1	Atom-2	Clash overlap (Å)
79	A:121:LEU:CD2	A:126:TRP:CE3	0.525
79	A:64:GLU:HA	A:67:PHE:HB3	0.511
79	A:91:LEU:CD1	A:99:LEU:HD11	0.492
79	A:10:ASP:HB3	A:145:ARG:HD2	0.491
79	A:78:ILE:HG13	A:103:VAL:HG21	0.491
79	A:6:MET:HG3	A:158:TRP:CZ3	0.490
79	A:88:TYR:HD1	A:99:LEU:HD13	0.490
79	A:18:TYR:CD1	A:26:THR:HG23	0.485
79	A:27:ILE:HD13	A:46:LEU:CD2	0.485
79	A:50:ILE:HG22	A:54:THR:SG	0.484
79	A:3:ILE:HG12	A:100:ILE:HB	0.479
79	A:130:ALA:HB1	A:150:ILE:CG2	0.479
79	A:150:ILE:O	A:154:ARG:HG3	0.479
79	A:148:ARG:HE	A:161:TYR:HA	0.478
79	A:25:TYR:CE1	A:39:LEU:CD1	0.477
79	A:105:GLN:HE22	A:145:ARG:HG3	0.477
79	A:138:TRP:CH2	A:149:VAL:HG11	0.475
79	A:136:SER:OG	A:138:TRP:HB3	0.470
79	A:10:ASP:OD1	A:148:ARG:NH2	0.470
79	A:46:LEU:HD12	A:50:ILE:CG1	0.465
79	A:119:ARG:HB2	A:119:ARG:HH11	0.463
79	A:71:VAL:O	A:75:VAL:HG23	0.460
79	A:24:TYR:CB	A:32:LEU:HD11	0.458

Model ID	Atom-1	Atom-2	Clash overlap (Å)
79	A:102:MET:HA	A:138:TRP:CH2	0.458
79	A:122:GLN:HE21	A:123:GLN:HG2	0.458
79	A:99:LEU:HD21	A:121:LEU:HD11	0.456
79	A:2:ASN:H	A:5:GLU:HB2	0.455
79	A:44:SER:O	A:48:LYS:HB2	0.450
79	A:121:LEU:HD23	A:129:ALA:HB1	0.446
79	A:27:ILE:HD13	A:46:LEU:HD22	0.445
79	A:42:ALA:O	A:46:LEU:HB2	0.443
79	A:70:ASP:HB3	A:104:PHE:CE2	0.443
79	A:130:ALA:HB1	A:150:ILE:HG22	0.442
79	A:126:TRP:O	A:129:ALA:HB3	0.436
79	A:102:MET:HE3	A:111:VAL:HG22	0.434
79	A:46:LEU:O	A:50:ILE:HB	0.433
79	A:127:ASP:O	A:131:VAL:HG23	0.432
79	A:7:LEU:HB3	A:67:PHE:CE1	0.431
79	A:27:ILE:CG2	A:33:LEU:HD21	0.427
79	A:39:LEU:H	A:39:LEU:HG	0.427
79	A:63:ALA:O	A:66:LEU:HD22	0.423
79	A:5:GLU:HA	A:8:ARG:HG2	0.422
79	A:34:THR:HG21	A:41:ALA:HB3	0.420
79	A:88:TYR:HD1	A:99:LEU:HD12	0.419
79	A:35:LYS:C	A:35:LYS:HD3	0.418
79	A:46:LEU:HD12	A:50:ILE:HG13	0.417

Model ID	Atom-1	Atom-2	Clash overlap (Å)
79	A:121:LEU:HD11	A:153:PHE:CE1	0.414
79	A:138:TRP:HZ2	A:149:VAL:HG21	0.414
79	A:27:ILE:HG21	A:33:LEU:HD21	0.411
79	A:14:ARG:HG3	A:18:TYR:CG	0.410
79	A:70:ASP:HB3	A:104:PHE:HE2	0.408
79	A:94:VAL:HG22	A:158:TRP:NE1	0.401
79	A:87:VAL:HG11	A:122:GLN:HA	0.400
80	A:130:ALA:HB1	A:150:ILE:HG23	1.110
80	A:91:LEU:HD12	A:99:LEU:HD11	0.961
80	A:121:LEU:HD12	A:129:ALA:HB1	0.955
80	A:7:LEU:HD11	A:104:PHE:CD1	0.944
80	A:8:ARG:HG3	A:67:PHE:CE2	0.922
80	A:148:ARG:HB3	A:161:TYR:CE1	0.879
80	A:70:ASP:HB3	A:104:PHE:HE2	0.877
80	A:120:MET:SD	A:128:GLU:HB3	0.875
80	A:84:LEU:HG	A:108:GLU:HB3	0.862
80	A:27:ILE:HD13	A:46:LEU:HD21	0.858
80	A:139:TYR:HE1	A:150:ILE:HD12	0.854
80	A:6:MET:HG3	A:161:TYR:CE2	0.849
80	A:8:ARG:HG3	A:67:PHE:HE2	0.849
80	A:130:ALA:CB	A:150:ILE:HG23	0.836
80	A:11:GLU:HG2	A:104:PHE:HE1	0.835
80	A:91:LEU:HD12	A:99:LEU:CD1	0.797

Model ID	Atom-1	Atom-2	Clash overlap (Å)
80	A:13:LEU:HD11	A:63:ALA:HB1	0.771
80	A:46:LEU:HD22	A:50:ILE:CD1	0.769
80	A:7:LEU:HB3	A:67:PHE:CZ	0.766
80	A:7:LEU:HD13	A:67:PHE:HE1	0.742
80	A:13:LEU:HD11	A:63:ALA:CB	0.740
80	A:102:MET:HG3	A:138:TRP:CH2	0.735
80	A:130:ALA:HB1	A:150:ILE:CG2	0.733
80	A:102:MET:SD	A:133:LEU:HD11	0.725
80	A:46:LEU:HD22	A:50:ILE:HD11	0.707
80	A:13:LEU:CD1	A:29:ILE:HD11	0.706
80	A:17:ILE:HD13	A:27:ILE:HD12	0.696
80	A:78:ILE:HD11	A:103:VAL:HG21	0.692
80	A:29:ILE:HD13	A:67:PHE:CD2	0.685
80	A:139:TYR:CE1	A:150:ILE:HD12	0.684
80	A:6:MET:HG3	A:161:TYR:CZ	0.655
80	A:11:GLU:HG2	A:104:PHE:CE1	0.649
80	A:43:LYS:HA	A:46:LEU:HB2	0.646
80	A:7:LEU:HB3	A:67:PHE:HZ	0.644
80	A:1:MET:HG2	A:161:TYR:HB3	0.638
80	A:46:LEU:HD22	A:50:ILE:HD12	0.615
80	A:7:LEU:HD11	A:104:PHE:CG	0.607
80	A:13:LEU:CD1	A:63:ALA:HB1	0.606
80	A:7:LEU:HD13	A:67:PHE:CE1	0.590

Model ID	Atom-1	Atom-2	Clash overlap (Å)
80	A:121:LEU:CD1	A:129:ALA:HB1	0.580
80	A:11:GLU:HA	A:145:ARG:HH21	0.575
80	A:91:LEU:CD1	A:99:LEU:HD11	0.566
80	A:27:ILE:HD13	A:46:LEU:CD2	0.559
80	A:1:MET:HE3	A:161:TYR:HD2	0.557
80	A:13:LEU:HD13	A:29:ILE:HD11	0.557
80	A:81:ASN:HB3	A:84:LEU:HB2	0.557
80	A:120:MET:SD	A:128:GLU:CB	0.550
80	A:1:MET:HB3	A:158:TRP:HB3	0.544
80	A:105:GLN:HG3	A:138:TRP:CZ2	0.541
80	A:17:ILE:CD1	A:27:ILE:HD12	0.535
80	A:78:ILE:HD11	A:103:VAL:CG2	0.533
80	A:70:ASP:HB3	A:104:PHE:CE2	0.532
80	A:8:ARG:HG2	A:13:LEU:HD13	0.525
80	A:124:LYS:HD2	A:126:TRP:CZ2	0.520
80	A:70:ASP:CB	A:104:PHE:HE2	0.518
80	A:106:MET:HB2	A:138:TRP:CE2	0.516
80	A:139:TYR:CE1	A:150:ILE:CD1	0.513
80	A:52:ARG:HB3	A:54:THR:SG	0.502
80	A:29:ILE:HD13	A:67:PHE:HD2	0.497
80	A:8:ARG:HG3	A:67:PHE:CD2	0.492
80	A:15:LEU:HB2	A:58:ILE:HG13	0.491
80	A:4:PHE:HB3	A:8:ARG:HH21	0.488

Model ID	Atom-1	Atom-2	Clash overlap (Å)
80	A:32:LEU:C	A:33:LEU:HD12	0.485
80	A:29:ILE:HG21	A:67:PHE:CE2	0.480
80	A:24:TYR:CG	A:32:LEU:HD11	0.478
80	A:7:LEU:HD23	A:101:ASN:CG	0.473
80	A:39:LEU:O	A:43:LYS:HG2	0.463
80	A:67:PHE:HD1	A:71:VAL:HG23	0.461
80	A:24:TYR:CD2	A:32:LEU:HD11	0.459
80	A:14:ARG:HB3	A:18:TYR:CE1	0.454
80	A:78:ILE:HD11	A:103:VAL:CB	0.453
80	A:127:ASP:O	A:131:VAL:HG23	0.451
80	A:78:ILE:CD1	A:103:VAL:HG21	0.445
80	A:50:ILE:HG22	A:52:ARG:H	0.444
80	A:33:LEU:HD22	A:45:GLU:HB3	0.443
80	A:50:ILE:HG12	A:66:LEU:HD11	0.442
80	A:34:THR:HB	A:42:ALA:HB2	0.441
80	A:150:ILE:O	A:153:PHE:HB2	0.441
80	A:83:LYS:O	A:86:PRO:HD2	0.436
80	A:52:ARG:HD2	A:53:ASN:N	0.432
80	A:102:MET:HA	A:138:TRP:CZ2	0.430
80	A:136:SER:HB2	A:138:TRP:HB2	0.430
80	A:29:ILE:HG21	A:67:PHE:CZ	0.420
80	A:17:ILE:HG21	A:39:LEU:HD12	0.417
80	A:43:LYS:HB3	A:56:GLY:N	0.415

Model ID	Atom-1	Atom-2	Clash overlap (Å)
80	A:23:GLY:C	A:24:TYR:CG	0.413
80	A:118:LEU:HA	A:121:LEU:HB2	0.413
80	A:120:MET:HE1	A:132:ASN:OD1	0.413
80	A:121:LEU:HD21	A:153:PHE:CD1	0.412
80	A:106:MET:HE2	A:114:PHE:HE1	0.409
80	A:92:ASP:O	A:96:ARG:HG2	0.407
80	A:148:ARG:HB3	A:161:TYR:CZ	0.405
80	A:7:LEU:HA	A:7:LEU:HD22	0.403
80	A:91:LEU:HB3	A:95:ARG:HB2	0.402
81	A:130:ALA:HB1	A:150:ILE:HG23	1.134
81	A:121:LEU:HD22	A:126:TRP:CE3	0.861
81	A:121:LEU:HD13	A:126:TRP:HZ3	0.847
81	A:13:LEU:HD13	A:29:ILE:HG13	0.842
81	A:121:LEU:HD22	A:126:TRP:HE3	0.833
81	A:50:ILE:HD11	A:66:LEU:CD1	0.823
81	A:81:ASN:HB3	A:84:LEU:HB2	0.812
81	A:13:LEU:HD13	A:29:ILE:CD1	0.799
81	A:130:ALA:HB1	A:150:ILE:CG2	0.760
81	A:13:LEU:HD13	A:29:ILE:CG1	0.752
81	A:50:ILE:HD11	A:66:LEU:HD12	0.742
81	A:29:ILE:HD13	A:67:PHE:CD2	0.739
81	A:50:ILE:HG22	A:52:ARG:H	0.733
81	A:15:LEU:HD22	A:57:VAL:HG11	0.719

Model ID	Atom-1	Atom-2	Clash overlap (Å)
81	A:121:LEU:HD13	A:126:TRP:CZ3	0.718
81	A:97:ALA:SG	A:158:TRP:HZ2	0.717
81	A:102:MET:HG2	A:111:VAL:HG22	0.687
81	A:14:ARG:HB2	A:18:TYR:CD1	0.676
81	A:1:MET:HG2	A:158:TRP:CE3	0.671
81	A:78:ILE:HG13	A:103:VAL:HG21	0.669
81	A:148:ARG:HB3	A:161:TYR:CE1	0.650
81	A:105:GLN:HB3	A:138:TRP:CZ2	0.647
81	A:121:LEU:CD2	A:126:TRP:HE3	0.634
81	A:97:ALA:SG	A:158:TRP:CZ2	0.629
81	A:17:ILE:HD11	A:43:LYS:HB2	0.628
81	A:18:TYR:CE1	A:26:THR:HG22	0.624
81	A:27:ILE:HD11	A:58:ILE:HG12	0.619
81	A:120:MET:CG	A:125:ARG:HB3	0.600
81	A:148:ARG:HB3	A:161:TYR:CZ	0.596
81	A:13:LEU:HD13	A:29:ILE:HD11	0.579
81	A:103:VAL:HA	A:111:VAL:HG21	0.576
81	A:120:MET:SD	A:128:GLU:HB2	0.570
81	A:102:MET:SD	A:133:LEU:HD21	0.549
81	A:138:TRP:HB3	A:146:ALA:HB2	0.544
81	A:14:ARG:CB	A:18:TYR:CD1	0.539
81	A:13:LEU:CD1	A:29:ILE:HG13	0.538
81	A:43:LYS:HA	A:46:LEU:HB3	0.536

Model ID	Atom-1	Atom-2	Clash overlap (Å)
81	A:15:LEU:CD2	A:57:VAL:HG11	0.535
81	A:91:LEU:HD11	A:121:LEU:CD1	0.533
81	A:120:MET:SD	A:128:GLU:CB	0.533
81	A:3:ILE:HD13	A:97:ALA:HA	0.529
81	A:138:TRP:CB	A:146:ALA:HB2	0.529
81	A:91:LEU:HB3	A:96:ARG:HG2	0.517
81	A:105:GLN:HB3	A:138:TRP:CE2	0.517
81	A:129:ALA:O	A:133:LEU:HG	0.516
81	A:6:MET:SD	A:97:ALA:HB1	0.515
81	A:50:ILE:HD11	A:66:LEU:HD11	0.513
81	A:47:ASP:HA	A:54:THR:SG	0.510
81	A:13:LEU:HD11	A:63:ALA:HB1	0.508
81	A:78:ILE:HG23	A:84:LEU:HD12	0.504
81	A:27:ILE:CD1	A:46:LEU:HD22	0.495
81	A:118:LEU:HA	A:121:LEU:HB2	0.492
81	A:88:TYR:HD1	A:99:LEU:HD12	0.481
81	A:1:MET:HG2	A:158:TRP:CD2	0.480
81	A:106:MET:HE1	A:133:LEU:O	0.478
81	A:15:LEU:HD13	A:16:LYS:H	0.475
81	A:120:MET:HG2	A:125:ARG:HB3	0.472
81	A:11:GLU:O	A:29:ILE:HG23	0.470
81	A:46:LEU:CD1	A:50:ILE:HG13	0.469
81	A:27:ILE:HD13	A:46:LEU:HB2	0.467

Model ID	Atom-1	Atom-2	Clash overlap (Å)
81	A:6:MET:HB2	A:158:TRP:CZ3	0.463
81	A:14:ARG:HB2	A:18:TYR:CE1	0.463
81	A:114:PHE:CD2	A:132:ASN:HB3	0.461
81	A:98:ALA:HB2	A:152:THR:CG2	0.460
81	A:121:LEU:HD21	A:153:PHE:CD1	0.458
81	A:58:ILE:HG22	A:62:GLU:HG2	0.453
81	A:22:GLU:HB3	A:24:TYR:CE2	0.450
81	A:127:ASP:O	A:131:VAL:HG23	0.450
81	A:94:VAL:HG22	A:158:TRP:CD1	0.448
81	A:78:ILE:CG1	A:103:VAL:HG21	0.448
81	A:27:ILE:HD11	A:46:LEU:HD22	0.445
81	A:84:LEU:HD22	A:118:LEU:HG	0.444
81	A:6:MET:HE2	A:101:ASN:HD22	0.441
81	A:24:TYR:HB2	A:32:LEU:HD13	0.440
81	A:98:ALA:HB2	A:152:THR:HG22	0.439
81	A:3:ILE:HG12	A:100:ILE:HD12	0.436
81	A:106:MET:SD	A:136:SER:HB3	0.431
81	A:46:LEU:HD12	A:50:ILE:CG1	0.430
81	A:105:GLN:CB	A:138:TRP:CZ2	0.428
81	A:120:MET:HE2	A:125:ARG:HG2	0.427
81	A:121:LEU:HD21	A:153:PHE:CE1	0.427
81	A:58:ILE:HB	A:62:GLU:HB3	0.426
81	A:78:ILE:HG21	A:88:TYR:CD2	0.423

Model ID	Atom-1	Atom-2	Clash overlap (Å)
81	A:136:SER:HB2	A:138:TRP:H	0.421
81	A:4:PHE:HE1	A:71:VAL:HG11	0.418
81	A:83:LYS:HD2	A:118:LEU:HB3	0.417
81	A:71:VAL:O	A:75:VAL:HG23	0.416
81	A:46:LEU:HD12	A:50:ILE:HG13	0.415
81	A:120:MET:SD	A:125:ARG:HB3	0.411
81	A:121:LEU:HD11	A:153:PHE:HE1	0.410
81	A:24:TYR:HD1	A:35:LYS:HG2	0.409
81	A:95:ARG:CZ	A:156:GLY:HA3	0.409
81	A:16:LYS:HG3	A:57:VAL:HG21	0.406
81	A:17:ILE:HD12	A:39:LEU:HD23	0.402
81	A:70:ASP:HB3	A:104:PHE:CE2	0.402
81	A:6:MET:HB2	A:158:TRP:CH2	0.400
81	A:78:ILE:O	A:84:LEU:HB3	0.400
82	A:130:ALA:HB1	A:150:ILE:HG23	1.096
82	A:17:ILE:HD11	A:43:LYS:HB3	1.072
82	A:141:GLN:HG3	A:142:THR:HG23	1.003
82	A:138:TRP:HB3	A:146:ALA:HB2	0.988
82	A:120:MET:HG2	A:125:ARG:HB3	0.925
82	A:121:LEU:HD13	A:126:TRP:HZ3	0.922
82	A:121:LEU:HD22	A:126:TRP:CE3	0.871
82	A:121:LEU:HD22	A:126:TRP:HE3	0.871
82	A:120:MET:SD	A:128:GLU:HB2	0.871

Model ID	Atom-1	Atom-2	Clash overlap (Å)
82	A:78:ILE:HG12	A:103:VAL:HG21	0.859
82	A:17:ILE:CD1	A:43:LYS:HB3	0.855
82	A:130:ALA:CB	A:150:ILE:HG23	0.854
82	A:99:LEU:HD23	A:102:MET:CE	0.851
82	A:13:LEU:HD13	A:29:ILE:HD11	0.812
82	A:121:LEU:HD13	A:126:TRP:CZ3	0.784
82	A:33:LEU:HD12	A:45:GLU:HB3	0.779
82	A:148:ARG:HB3	A:161:TYR:CE1	0.771
82	A:138:TRP:CB	A:146:ALA:HB2	0.769
82	A:74:ALA:HB2	A:104:PHE:HD2	0.750
82	A:120:MET:CG	A:125:ARG:HB3	0.750
82	A:18:TYR:CE1	A:26:THR:HG22	0.738
82	A:46:LEU:HD12	A:50:ILE:HG12	0.735
82	A:91:LEU:HD11	A:121:LEU:HD12	0.734
82	A:99:LEU:HD23	A:102:MET:HE2	0.708
82	A:87:VAL:CG1	A:122:GLN:HB3	0.706
82	A:78:ILE:CG1	A:103:VAL:HG21	0.702
82	A:13:LEU:HA	A:29:ILE:HG12	0.701
82	A:15:LEU:HD22	A:57:VAL:HG11	0.688
82	A:78:ILE:HG12	A:103:VAL:CG2	0.681
82	A:99:LEU:HD23	A:102:MET:HE1	0.681
82	A:87:VAL:HG11	A:122:GLN:HB3	0.679
82	A:105:GLN:HB3	A:138:TRP:CZ2	0.675

Model ID	Atom-1	Atom-2	Clash overlap (Å)
82	A:117:SER:HA	A:120:MET:HB2	0.675
82	A:17:ILE:HD11	A:43:LYS:CB	0.668
82	A:138:TRP:HB3	A:146:ALA:CB	0.661
82	A:6:MET:HG3	A:161:TYR:CZ	0.654
82	A:13:LEU:HD13	A:29:ILE:CD1	0.648
82	A:1:MET:SD	A:5:GLU:HB3	0.646
82	A:81:ASN:CB	A:84:LEU:HB2	0.645
82	A:27:ILE:CD1	A:58:ILE:HG12	0.642
82	A:13:LEU:HD13	A:29:ILE:CG1	0.638
82	A:121:LEU:HD11	A:153:PHE:HE1	0.635
82	A:1:MET:HE1	A:9:ILE:HD12	0.632
82	A:121:LEU:CD2	A:126:TRP:HE3	0.632
82	A:7:LEU:HD13	A:71:VAL:HG22	0.630
82	A:24:TYR:HD1	A:35:LYS:HG3	0.622
82	A:120:MET:HG2	A:125:ARG:CB	0.619
82	A:99:LEU:HA	A:102:MET:HE2	0.617
82	A:78:ILE:HD11	A:100:ILE:HA	0.599
82	A:7:LEU:CD1	A:71:VAL:HG22	0.581
82	A:81:ASN:HB3	A:84:LEU:HB2	0.579
82	A:46:LEU:HD21	A:58:ILE:HG23	0.575
82	A:50:ILE:HG22	A:52:ARG:H	0.575
82	A:50:ILE:HD12	A:66:LEU:HD11	0.570
82	A:71:VAL:HG13	A:100:ILE:HG21	0.569

Model ID	Atom-1	Atom-2	Clash overlap (Å)
82	A:46:LEU:HD12	A:50:ILE:CG1	0.566
82	A:14:ARG:HG2	A:18:TYR:HB3	0.562
82	A:130:ALA:HB1	A:150:ILE:CG2	0.557
82	A:7:LEU:HD13	A:71:VAL:CG2	0.542
82	A:81:ASN:HB2	A:84:LEU:HB2	0.542
82	A:50:ILE:CD1	A:66:LEU:HD11	0.540
82	A:1:MET:HG3	A:158:TRP:CE3	0.536
82	A:84:LEU:HD12	A:88:TYR:HB3	0.535
82	A:148:ARG:HB3	A:161:TYR:CZ	0.535
82	A:74:ALA:HB2	A:104:PHE:CD2	0.530
82	A:88:TYR:HA	A:91:LEU:HD12	0.526
82	A:151:THR:HG21	A:160:ALA:HB3	0.522
82	A:105:GLN:HB3	A:138:TRP:HZ2	0.519
82	A:27:ILE:HG22	A:31:HIS:HB3	0.514
82	A:88:TYR:CD1	A:99:LEU:CD1	0.512
82	A:106:MET:SD	A:136:SER:HB3	0.511
82	A:8:ARG:HD3	A:13:LEU:HB2	0.510
82	A:74:ALA:O	A:78:ILE:HG13	0.510
82	A:141:GLN:CG	A:142:THR:HG23	0.500
82	A:43:LYS:O	A:46:LEU:HB3	0.488
82	A:102:MET:SD	A:133:LEU:HD21	0.485
82	A:1:MET:CG	A:158:TRP:CE3	0.482
82	A:47:ASP:HA	A:54:THR:SG	0.481

Model ID	Atom-1	Atom-2	Clash overlap (Å)
82	A:102:MET:HE2	A:153:PHE:HZ	0.478
82	A:25:TYR:CB	A:34:THR:HG23	0.477
82	A:10:ASP:OD1	A:11:GLU:HG2	0.472
82	A:3:ILE:HB	A:97:ALA:SG	0.467
82	A:25:TYR:HB3	A:34:THR:CG2	0.467
82	A:88:TYR:CD1	A:99:LEU:HD12	0.467
82	A:91:LEU:CD1	A:121:LEU:HD12	0.467
82	A:129:ALA:O	A:133:LEU:HG	0.467
82	A:136:SER:HB2	A:138:TRP:H	0.467
82	A:1:MET:HE3	A:161:TYR:HB3	0.466
82	A:46:LEU:HG	A:54:THR:SG	0.466
82	A:22:GLU:HB3	A:24:TYR:CD2	0.465
82	A:6:MET:HG3	A:161:TYR:CE2	0.463
82	A:15:LEU:HD22	A:57:VAL:CG1	0.460
82	A:121:LEU:HD21	A:153:PHE:CD1	0.459
82	A:70:ASP:HB3	A:104:PHE:CE2	0.458
82	A:91:LEU:CD1	A:99:LEU:HD11	0.458
82	A:91:LEU:HD21	A:121:LEU:O	0.457
82	A:126:TRP:HB3	A:153:PHE:HB3	0.455
82	A:139:TYR:CD1	A:146:ALA:HB3	0.453
82	A:121:LEU:HD11	A:153:PHE:CE1	0.450
82	A:102:MET:SD	A:153:PHE:CE2	0.448
82	A:94:VAL:HG11	A:156:GLY:C	0.439

Model ID	Atom-1	Atom-2	Clash overlap (Å)
82	A:114:PHE:CD2	A:132:ASN:HB3	0.439
82	A:127:ASP:O	A:131:VAL:HG23	0.439
82	A:99:LEU:O	A:102:MET:HB2	0.436
82	A:121:LEU:HD21	A:153:PHE:CE1	0.436
82	A:126:TRP:HA	A:129:ALA:HB3	0.435
82	A:5:GLU:HG2	A:8:ARG:NH1	0.430
82	A:139:TYR:HD1	A:146:ALA:CB	0.429
82	A:25:TYR:HB3	A:34:THR:HG23	0.428
82	A:102:MET:SD	A:133:LEU:CD2	0.422
82	A:120:MET:SD	A:128:GLU:CB	0.422
82	A:7:LEU:HD11	A:104:PHE:CE1	0.417
82	A:106:MET:HE1	A:133:LEU:HD22	0.417
82	A:75:VAL:HG22	A:100:ILE:HG12	0.416
82	A:92:ASP:OD2	A:95:ARG:HG3	0.416
82	A:79:LEU:HD12	A:85:LYS:HA	0.412
82	A:7:LEU:HD13	A:67:PHE:CE1	0.410
82	A:43:LYS:HB2	A:43:LYS:HE2	0.408
82	A:84:LEU:CD1	A:88:TYR:HB3	0.408
82	A:2:ASN:H	A:5:GLU:HB2	0.408
82	A:13:LEU:HD12	A:14:ARG:H	0.405
82	A:148:ARG:HH21	A:162:LYS:C	0.404
82	A:4:PHE:O	A:67:PHE:HE2	0.404
82	A:102:MET:HE2	A:153:PHE:CZ	0.401

Model ID	Atom-1	Atom-2	Clash overlap (Å)
83	A:91:LEU:HD12	A:99:LEU:HD11	1.085
83	A:8:ARG:HG3	A:67:PHE:HE2	1.055
83	A:7:LEU:HD13	A:67:PHE:HE1	1.019
83	A:52:ARG:HB3	A:54:THR:SG	0.959
83	A:17:ILE:HD13	A:27:ILE:HD12	0.955
83	A:7:LEU:HB3	A:67:PHE:HZ	0.935
83	A:84:LEU:HG	A:108:GLU:HB3	0.918
83	A:7:LEU:HB3	A:67:PHE:CZ	0.861
83	A:8:ARG:HG3	A:67:PHE:CE2	0.836
83	A:91:LEU:CD1	A:99:LEU:HD11	0.812
83	A:81:ASN:HB3	A:84:LEU:HB2	0.804
83	A:7:LEU:HD13	A:67:PHE:CE1	0.803
83	A:91:LEU:HD12	A:99:LEU:CD1	0.803
83	A:46:LEU:HD22	A:50:ILE:HD12	0.749
83	A:34:THR:HG22	A:42:ALA:HB2	0.744
83	A:78:ILE:HG21	A:88:TYR:CD2	0.743
83	A:45:GLU:HA	A:48:LYS:HB2	0.731
83	A:130:ALA:CB	A:150:ILE:HG23	0.705
83	A:13:LEU:HD13	A:29:ILE:HD11	0.704
83	A:6:MET:HG3	A:161:TYR:CE2	0.700
83	A:11:GLU:HG2	A:104:PHE:HE1	0.691
83	A:17:ILE:CD1	A:27:ILE:HD12	0.676
83	A:6:MET:SD	A:158:TRP:HZ3	0.666

Model ID	Atom-1	Atom-2	Clash overlap (Å)
83	A:148:ARG:HB3	A:161:TYR:CE1	0.654
83	A:87:VAL:HG13	A:118:LEU:HD22	0.652
83	A:151:THR:HG21	A:160:ALA:HB3	0.644
83	A:130:ALA:HB1	A:150:ILE:HG23	0.633
83	A:1:MET:HE1	A:9:ILE:HD12	0.625
83	A:74:ALA:HB1	A:103:VAL:HG12	0.622
83	A:8:ARG:CG	A:67:PHE:HE2	0.622
83	A:6:MET:SD	A:158:TRP:CZ3	0.618
83	A:1:MET:HG3	A:158:TRP:CE3	0.616
83	A:8:ARG:HD3	A:13:LEU:HG	0.611
83	A:43:LYS:HE3	A:55:ASN:HB3	0.602
83	A:33:LEU:HA	A:45:GLU:HG2	0.597
83	A:7:LEU:HD11	A:104:PHE:CD1	0.596
83	A:34:THR:CG2	A:42:ALA:HB2	0.595
83	A:120:MET:HB3	A:125:ARG:HB2	0.578
83	A:29:ILE:HG21	A:67:PHE:CZ	0.572
83	A:6:MET:HG3	A:161:TYR:CZ	0.564
83	A:46:LEU:CD2	A:50:ILE:HD12	0.558
83	A:24:TYR:HB2	A:32:LEU:HD11	0.553
83	A:88:TYR:HD1	A:99:LEU:HD13	0.553
83	A:1:MET:HG2	A:161:TYR:HB3	0.549
83	A:130:ALA:HB1	A:150:ILE:CG2	0.549
83	A:43:LYS:HA	A:46:LEU:HB2	0.542

Model ID	Atom-1	Atom-2	Clash overlap (Å)
83	A:121:LEU:HD11	A:129:ALA:HB1	0.535
83	A:120:MET:SD	A:128:GLU:CB	0.533
83	A:11:GLU:HG2	A:104:PHE:CE1	0.526
83	A:130:ALA:HB2	A:150:ILE:HG23	0.526
83	A:78:ILE:HG21	A:88:TYR:HD2	0.524
83	A:25:TYR:HB2	A:34:THR:HG22	0.523
83	A:120:MET:SD	A:128:GLU:HB2	0.521
83	A:105:GLN:HG3	A:138:TRP:CZ2	0.515
83	A:43:LYS:HB2	A:55:ASN:HA	0.508
83	A:102:MET:SD	A:133:LEU:HD11	0.505
83	A:27:ILE:HD13	A:46:LEU:CD2	0.501
83	A:84:LEU:CG	A:108:GLU:HB3	0.494
83	A:40:ASN:OD1	A:43:LYS:HD2	0.493
83	A:8:ARG:HG2	A:29:ILE:HG12	0.491
83	A:29:ILE:HD13	A:67:PHE:CD2	0.484
83	A:70:ASP:HB3	A:104:PHE:CE2	0.480
83	A:105:GLN:HG3	A:138:TRP:HZ2	0.478
83	A:70:ASP:HB3	A:104:PHE:HE2	0.476
83	A:121:LEU:CD1	A:129:ALA:HB1	0.476
83	A:3:ILE:HG23	A:4:PHE:CD2	0.473
83	A:32:LEU:C	A:33:LEU:HD12	0.473
83	A:99:LEU:HD23	A:153:PHE:HZ	0.473
83	A:33:LEU:HD22	A:45:GLU:HB3	0.469

Model ID	Atom-1	Atom-2	Clash overlap (Å)
83	A:120:MET:HG2	A:125:ARG:HD2	0.468
83	A:15:LEU:HB2	A:58:ILE:O	0.465
83	A:121:LEU:HD12	A:129:ALA:CB	0.465
83	A:7:LEU:HD11	A:104:PHE:CG	0.464
83	A:102:MET:HA	A:138:TRP:CH2	0.462
83	A:127:ASP:O	A:131:VAL:HG23	0.455
83	A:11:GLU:CG	A:104:PHE:HE1	0.451
83	A:92:ASP:O	A:96:ARG:HG2	0.447
83	A:102:MET:HE3	A:111:VAL:HG11	0.446
83	A:129:ALA:O	A:133:LEU:HD23	0.444
83	A:8:ARG:HB3	A:13:LEU:HB2	0.443
83	A:52:ARG:CB	A:54:THR:SG	0.437
83	A:24:TYR:HB2	A:32:LEU:CD1	0.434
83	A:71:VAL:O	A:75:VAL:HG23	0.434
83	A:121:LEU:HD12	A:129:ALA:HB2	0.433
83	A:151:THR:HG21	A:160:ALA:CB	0.433
83	A:28:GLY:HA3	A:66:LEU:HD22	0.430
83	A:71:VAL:HG13	A:100:ILE:HG21	0.428
83	A:88:TYR:CD1	A:99:LEU:HD13	0.423
83	A:11:GLU:OE1	A:105:GLN:HB3	0.423
83	A:105:GLN:OE1	A:145:ARG:HG2	0.423
83	A:103:VAL:HG13	A:108:GLU:HG3	0.421
83	A:88:TYR:HE1	A:99:LEU:HB2	0.418

Model ID	Atom-1	Atom-2	Clash overlap (Å)
83	A:1:MET:HE3	A:161:TYR:HD2	0.415
83	A:161:TYR:O	A:162:LYS:HG2	0.412
83	A:92:ASP:OD2	A:95:ARG:HG3	0.411
83	A:102:MET:HE3	A:111:VAL:CG1	0.409
83	A:120:MET:SD	A:128:GLU:HB3	0.405
83	A:75:VAL:HG22	A:100:ILE:HG12	0.404
83	A:84:LEU:HD11	A:108:GLU:O	0.404
83	A:95:ARG:O	A:99:LEU:HG	0.403
83	A:61:ASP:O	A:65:LYS:HG3	0.402
84	A:1:MET:HB3	A:158:TRP:HB3	1.173
84	A:130:ALA:HB1	A:150:ILE:HG23	0.981
84	A:78:ILE:HG13	A:103:VAL:HG21	0.938
84	A:139:TYR:HE1	A:150:ILE:HD11	0.895
84	A:13:LEU:HD13	A:29:ILE:CD1	0.867
84	A:25:TYR:HD1	A:42:ALA:HB2	0.849
84	A:3:ILE:HD12	A:6:MET:SD	0.828
84	A:130:ALA:CB	A:150:ILE:HG23	0.828
84	A:1:MET:HE1	A:9:ILE:CD1	0.827
84	A:58:ILE:CD1	A:63:ALA:HB2	0.827
84	A:15:LEU:HD12	A:57:VAL:HG13	0.819
84	A:1:MET:CB	A:158:TRP:HB3	0.818
84	A:1:MET:HE1	A:9:ILE:HD12	0.797
84	A:1:MET:HB3	A:158:TRP:CB	0.789

Model ID	Atom-1	Atom-2	Clash overlap (Å)
84	A:13:LEU:HD13	A:29:ILE:HD11	0.785
84	A:15:LEU:HD23	A:16:LYS:HG2	0.751
84	A:6:MET:HE3	A:161:TYR:CE1	0.748
84	A:148:ARG:HB2	A:161:TYR:CE1	0.748
84	A:29:ILE:HD13	A:67:PHE:CD2	0.732
84	A:74:ALA:HB2	A:104:PHE:HB2	0.729
84	A:27:ILE:HG22	A:31:HIS:HB3	0.726
84	A:25:TYR:CD1	A:42:ALA:HB2	0.717
84	A:87:VAL:CG2	A:121:LEU:HB3	0.707
84	A:85:LYS:HG3	A:86:PRO:HD3	0.696
84	A:6:MET:HG3	A:161:TYR:CZ	0.684
84	A:88:TYR:HD1	A:99:LEU:CD1	0.679
84	A:27:ILE:CG1	A:58:ILE:HG12	0.678
84	A:130:ALA:HB1	A:150:ILE:CG2	0.671
84	A:46:LEU:HD12	A:50:ILE:HG12	0.666
84	A:84:LEU:HG	A:118:LEU:HD21	0.652
84	A:27:ILE:HG13	A:58:ILE:HG12	0.644
84	A:87:VAL:HG21	A:121:LEU:HB3	0.637
84	A:7:LEU:HD21	A:104:PHE:CD1	0.630
84	A:139:TYR:HE1	A:150:ILE:CD1	0.619
84	A:81:ASN:HD21	A:112:ALA:HB2	0.617
84	A:25:TYR:HD1	A:42:ALA:CB	0.614
84	A:120:MET:SD	A:128:GLU:HB3	0.606

Model ID	Atom-1	Atom-2	Clash overlap (Å)
84	A:29:ILE:HD13	A:67:PHE:CG	0.604
84	A:73:ALA:HA	A:76:ARG:HD3	0.604
84	A:58:ILE:HD13	A:63:ALA:HB2	0.592
84	A:29:ILE:HD13	A:67:PHE:CB	0.583
84	A:1:MET:HE3	A:161:TYR:HB3	0.581
84	A:7:LEU:HD11	A:104:PHE:HE1	0.573
84	A:106:MET:SD	A:136:SER:HB3	0.572
84	A:102:MET:HE3	A:111:VAL:HG21	0.570
84	A:88:TYR:HD1	A:99:LEU:HD12	0.567
84	A:14:ARG:HH21	A:18:TYR:HB2	0.565
84	A:7:LEU:HD21	A:104:PHE:HD1	0.564
84	A:120:MET:HB3	A:125:ARG:HB3	0.563
84	A:81:ASN:HB3	A:84:LEU:HB2	0.553
84	A:4:PHE:CE1	A:71:VAL:HG21	0.549
84	A:27:ILE:CG2	A:31:HIS:HB3	0.549
84	A:6:MET:SD	A:158:TRP:HZ3	0.543
84	A:78:ILE:HG13	A:103:VAL:CG2	0.531
84	A:14:ARG:HB2	A:18:TYR:CD1	0.530
84	A:99:LEU:CD2	A:153:PHE:CZ	0.528
84	A:130:ALA:HB1	A:150:ILE:HG12	0.524
84	A:84:LEU:HG	A:118:LEU:CD2	0.523
84	A:102:MET:SD	A:133:LEU:HD11	0.520
84	A:127:ASP:O	A:131:VAL:HG23	0.517

Model ID	Atom-1	Atom-2	Clash overlap (Å)
84	A:15:LEU:CD1	A:57:VAL:HG13	0.516
84	A:29:ILE:HG21	A:67:PHE:CE1	0.515
84	A:6:MET:SD	A:158:TRP:CZ3	0.515
84	A:88:TYR:CD1	A:99:LEU:HD12	0.512
84	A:7:LEU:HA	A:10:ASP:HB2	0.509
84	A:19:LYS:HZ3	A:25:TYR:HE2	0.508
84	A:120:MET:SD	A:128:GLU:CB	0.506
84	A:147:LYS:HA	A:150:ILE:HD12	0.505
84	A:139:TYR:CE1	A:150:ILE:HD11	0.505
84	A:88:TYR:CD1	A:99:LEU:CD1	0.503
84	A:13:LEU:HD13	A:29:ILE:HD12	0.502
84	A:99:LEU:HA	A:102:MET:HB3	0.497
84	A:18:TYR:CE1	A:26:THR:HG23	0.495
84	A:4:PHE:HB3	A:8:ARG:CZ	0.491
84	A:1:MET:HG3	A:158:TRP:CE3	0.490
84	A:87:VAL:HG22	A:121:LEU:HD12	0.487
84	A:99:LEU:HD21	A:153:PHE:CZ	0.484
84	A:99:LEU:HD23	A:102:MET:SD	0.484
84	A:78:ILE:CG1	A:103:VAL:HG21	0.484
84	A:101:ASN:O	A:105:GLN:HB2	0.482
84	A:7:LEU:HD12	A:67:PHE:CE1	0.478
84	A:13:LEU:HG	A:64:GLU:OE2	0.478
84	A:102:MET:HA	A:138:TRP:CH2	0.477

Model ID	Atom-1	Atom-2	Clash overlap (Å)
84	A:78:ILE:HD11	A:100:ILE:HA	0.475
84	A:106:MET:HE1	A:133:LEU:HG	0.474
84	A:77:GLY:HA3	A:103:VAL:HG11	0.472
84	A:15:LEU:CD2	A:16:LYS:HG2	0.471
84	A:20:ASP:HB3	A:26:THR:CG2	0.465
84	A:81:ASN:O	A:85:LYS:HG2	0.465
84	A:114:PHE:O	A:118:LEU:HD13	0.464
84	A:99:LEU:HD23	A:153:PHE:CZ	0.458
84	A:121:LEU:HD23	A:129:ALA:HB2	0.458
84	A:25:TYR:CD1	A:42:ALA:CB	0.456
84	A:27:ILE:HD13	A:46:LEU:HG	0.456
84	A:70:ASP:HB3	A:104:PHE:CE2	0.456
84	A:18:TYR:O	A:26:THR:HG22	0.454
84	A:114:PHE:HB2	A:117:SER:HB2	0.452
84	A:136:SER:HB2	A:138:TRP:H	0.452
84	A:139:TYR:CD1	A:146:ALA:CB	0.447
84	A:134:ALA:HA	A:139:TYR:HB2	0.445
84	A:1:MET:HE1	A:9:ILE:HD11	0.442
84	A:139:TYR:CD1	A:146:ALA:HB3	0.441
84	A:138:TRP:CZ3	A:149:VAL:HG11	0.440
84	A:102:MET:HE3	A:111:VAL:HG11	0.438
84	A:105:GLN:HB3	A:138:TRP:CZ2	0.433
84	A:96:ARG:O	A:100:ILE:HG13	0.432

Model ID	Atom-1	Atom-2	Clash overlap (Å)
84	A:92:ASP:OD2	A:95:ARG:HG3	0.430
84	A:96:ARG:NH1	A:100:ILE:HD11	0.427
84	A:136:SER:HB2	A:138:TRP:CG	0.427
84	A:46:LEU:CD1	A:50:ILE:HG12	0.426
84	A:136:SER:HB2	A:138:TRP:CD1	0.426
84	A:105:GLN:HB3	A:138:TRP:CE2	0.424
84	A:121:LEU:HD23	A:129:ALA:CB	0.424
84	A:29:ILE:HD13	A:67:PHE:HB3	0.420
84	A:99:LEU:HD23	A:102:MET:CE	0.417
84	A:126:TRP:HB3	A:153:PHE:HD1	0.417
84	A:105:GLN:HB3	A:138:TRP:NE1	0.416
84	A:121:LEU:HD22	A:126:TRP:HE3	0.415
84	A:127:ASP:O	A:130:ALA:HB3	0.413
84	A:3:ILE:O	A:6:MET:HB3	0.412
84	A:74:ALA:HA	A:103:VAL:HG12	0.411
84	A:106:MET:HB2	A:138:TRP:CZ2	0.411
84	A:121:LEU:HD21	A:153:PHE:HE1	0.411
84	A:18:TYR:CE1	A:26:THR:CG2	0.407
84	A:14:ARG:HG3	A:18:TYR:CE1	0.403
84	A:29:ILE:HG21	A:67:PHE:CZ	0.401
84	A:102:MET:HA	A:138:TRP:HH2	0.401
85	A:24:TYR:HB3	A:32:LEU:HD13	1.018
85	A:91:LEU:HD12	A:99:LEU:HD11	0.948

Model ID	Atom-1	Atom-2	Clash overlap (Å)
85	A:121:LEU:HD12	A:129:ALA:HB1	0.919
85	A:7:LEU:HD11	A:104:PHE:CD1	0.908
85	A:22:GLU:HG2	A:24:TYR:HE2	0.906
85	A:102:MET:HE2	A:153:PHE:HZ	0.903
85	A:84:LEU:HG	A:108:GLU:HB3	0.898
85	A:120:MET:SD	A:128:GLU:HB3	0.872
85	A:24:TYR:CB	A:32:LEU:HD13	0.824
85	A:84:LEU:HG	A:108:GLU:CB	0.820
85	A:102:MET:HE2	A:153:PHE:CZ	0.806
85	A:46:LEU:HD22	A:50:ILE:HD13	0.788
85	A:22:GLU:HG2	A:24:TYR:CE2	0.787
85	A:7:LEU:HB3	A:67:PHE:CZ	0.775
85	A:121:LEU:CD1	A:129:ALA:HB1	0.768
85	A:7:LEU:HB3	A:67:PHE:HZ	0.765
85	A:70:ASP:HB3	A:104:PHE:HE2	0.754
85	A:91:LEU:CD1	A:99:LEU:HD11	0.750
85	A:103:VAL:HG22	A:108:GLU:HG3	0.749
85	A:6:MET:HE1	A:98:ALA:HA	0.730
85	A:121:LEU:HD12	A:129:ALA:CB	0.723
85	A:7:LEU:HD11	A:104:PHE:CE1	0.706
85	A:17:ILE:HD13	A:27:ILE:HD12	0.706
85	A:1:MET:HE3	A:161:TYR:HB3	0.691
85	A:24:TYR:HB3	A:32:LEU:CD1	0.689

Model ID	Atom-1	Atom-2	Clash overlap (Å)
85	A:6:MET:HG3	A:161:TYR:CZ	0.676
85	A:102:MET:HE1	A:111:VAL:HG13	0.676
85	A:105:GLN:HG3	A:138:TRP:CZ2	0.659
85	A:46:LEU:HD22	A:50:ILE:CD1	0.658
85	A:8:ARG:HG3	A:67:PHE:HE2	0.657
85	A:102:MET:CE	A:153:PHE:HZ	0.651
85	A:88:TYR:HE1	A:99:LEU:HB2	0.648
85	A:130:ALA:CB	A:150:ILE:HG23	0.645
85	A:99:LEU:HA	A:102:MET:HB2	0.636
85	A:130:ALA:HB2	A:150:ILE:HG23	0.619
85	A:91:LEU:HD12	A:99:LEU:CD1	0.618
85	A:29:ILE:HD12	A:63:ALA:HB1	0.602
85	A:84:LEU:CG	A:108:GLU:HB3	0.598
85	A:8:ARG:HG3	A:67:PHE:CE2	0.596
85	A:91:LEU:HD22	A:95:ARG:HD3	0.594
85	A:27:ILE:HD13	A:46:LEU:CD2	0.583
85	A:27:ILE:CG2	A:33:LEU:HD11	0.582
85	A:88:TYR:CE1	A:99:LEU:HB2	0.572
85	A:29:ILE:HD13	A:67:PHE:CD2	0.569
85	A:120:MET:SD	A:128:GLU:CB	0.568
85	A:27:ILE:HG23	A:66:LEU:CD2	0.556
85	A:4:PHE:CE1	A:71:VAL:HG21	0.555
85	A:52:ARG:HB2	A:54:THR:SG	0.553

Model ID	Atom-1	Atom-2	Clash overlap (Å)
85	A:1:MET:HG3	A:158:TRP:CE3	0.532
85	A:27:ILE:HG22	A:33:LEU:HD11	0.532
85	A:84:LEU:HG	A:108:GLU:HB2	0.520
85	A:67:PHE:HD1	A:71:VAL:HG23	0.507
85	A:120:MET:HB3	A:125:ARG:HB3	0.501
85	A:92:ASP:O	A:96:ARG:HG2	0.498
85	A:3:ILE:HG23	A:4:PHE:CD2	0.492
85	A:27:ILE:HG22	A:33:LEU:CD1	0.492
85	A:92:ASP:OD1	A:95:ARG:HD2	0.487
85	A:130:ALA:HB1	A:150:ILE:CG2	0.487
85	A:46:LEU:CD2	A:50:ILE:HD13	0.485
85	A:105:GLN:HG3	A:138:TRP:HZ2	0.485
85	A:83:LYS:O	A:86:PRO:HD2	0.475
85	A:6:MET:HG3	A:161:TYR:CE2	0.474
85	A:7:LEU:HD22	A:10:ASP:HB2	0.470
85	A:27:ILE:HG23	A:66:LEU:HD23	0.469
85	A:130:ALA:HB1	A:150:ILE:HG23	0.468
85	A:26:THR:HG23	A:30:GLY:HA2	0.466
85	A:58:ILE:HD12	A:59:THR:O	0.462
85	A:78:ILE:HG12	A:103:VAL:HG21	0.462
85	A:15:LEU:HB2	A:58:ILE:O	0.460
85	A:148:ARG:HB3	A:161:TYR:CE1	0.458
85	A:50:ILE:HG21	A:54:THR:SG	0.456

Model ID	Atom-1	Atom-2	Clash overlap (Å)
85	A:102:MET:HA	A:138:TRP:CZ2	0.456
85	A:8:ARG:CG	A:67:PHE:HE2	0.454
85	A:103:VAL:CG2	A:108:GLU:HG3	0.453
85	A:148:ARG:HD3	A:162:LYS:HB3	0.450
85	A:29:ILE:HD13	A:67:PHE:HD2	0.445
85	A:7:LEU:HD13	A:67:PHE:HE1	0.444
85	A:82:ALA:O	A:86:PRO:HD3	0.442
85	A:1:MET:HG2	A:161:TYR:CB	0.436
85	A:26:THR:HA	A:31:HIS:O	0.434
85	A:99:LEU:HD23	A:102:MET:HE2	0.430
85	A:27:ILE:HD13	A:46:LEU:HD21	0.428
85	A:102:MET:CE	A:111:VAL:HG13	0.425
85	A:97:ALA:HB3	A:158:TRP:CZ2	0.423
85	A:70:ASP:HB3	A:104:PHE:CE2	0.421
85	A:150:ILE:O	A:153:PHE:HB2	0.419
85	A:81:ASN:ND2	A:84:LEU:HD13	0.418
85	A:29:ILE:HG21	A:67:PHE:CZ	0.415
85	A:29:ILE:HG21	A:67:PHE:CE2	0.414
85	A:6:MET:HE3	A:161:TYR:CE1	0.413
85	A:139:TYR:HE1	A:150:ILE:CD1	0.413
85	A:11:GLU:HG2	A:104:PHE:HE1	0.409
85	A:138:TRP:CH2	A:149:VAL:HG21	0.409
85	A:8:ARG:HG2	A:29:ILE:HG12	0.408

Model ID	Atom-1	Atom-2	Clash overlap (Å)
85	A:13:LEU:HD13	A:29:ILE:HD11	0.407
85	A:127:ASP:O	A:131:VAL:HG23	0.404
85	A:71:VAL:O	A:75:VAL:HG23	0.403
85	A:11:GLU:HA	A:145:ARG:HH21	0.402
85	A:78:ILE:HG21	A:88:TYR:CE2	0.401
85	A:95:ARG:HG2	A:152:THR:O	0.401
86	A:15:LEU:HD22	A:58:ILE:HG13	0.873
86	A:84:LEU:HD23	A:88:TYR:HB2	0.862
86	A:99:LEU:HD23	A:153:PHE:HZ	0.829
86	A:1:MET:SD	A:5:GLU:HB2	0.756
86	A:25:TYR:CE1	A:39:LEU:HD12	0.745
86	A:46:LEU:HD11	A:58:ILE:CG2	0.734
86	A:99:LEU:HD23	A:153:PHE:CZ	0.725
86	A:84:LEU:CD2	A:88:TYR:HB2	0.719
86	A:106:MET:SD	A:138:TRP:CE3	0.717
86	A:97:ALA:SG	A:158:TRP:HZ2	0.711
86	A:18:TYR:CE1	A:26:THR:HG22	0.708
86	A:27:ILE:HG22	A:33:LEU:HD21	0.686
86	A:78:ILE:HG23	A:84:LEU:HD22	0.655
86	A:46:LEU:HD11	A:58:ILE:HG21	0.652
86	A:97:ALA:SG	A:158:TRP:CZ2	0.643
86	A:121:LEU:HD23	A:126:TRP:HE3	0.639
86	A:148:ARG:HB3	A:161:TYR:CE1	0.637

Model ID	Atom-1	Atom-2	Clash overlap (Å)
86	A:121:LEU:HD23	A:126:TRP:CE3	0.624
86	A:88:TYR:CD1	A:99:LEU:HD12	0.615
86	A:98:ALA:HB2	A:152:THR:CG2	0.612
86	A:88:TYR:HD1	A:99:LEU:HD12	0.599
86	A:50:ILE:HG21	A:62:GLU:HG2	0.597
86	A:78:ILE:HD11	A:100:ILE:HA	0.582
86	A:78:ILE:CG2	A:84:LEU:HD22	0.577
86	A:121:LEU:HD21	A:129:ALA:HB1	0.577
86	A:27:ILE:CG2	A:33:LEU:HD21	0.571
86	A:1:MET:SD	A:5:GLU:CB	0.568
86	A:29:ILE:HD13	A:67:PHE:CG	0.548
86	A:121:LEU:HD21	A:129:ALA:CB	0.540
86	A:13:LEU:CD2	A:15:LEU:HD11	0.539
86	A:102:MET:SD	A:133:LEU:HD21	0.537
86	A:87:VAL:HG22	A:122:GLN:HA	0.532
86	A:25:TYR:CE1	A:39:LEU:CD1	0.529
86	A:99:LEU:CD2	A:153:PHE:HZ	0.529
86	A:130:ALA:HB1	A:150:ILE:HG23	0.528
86	A:99:LEU:CD2	A:153:PHE:CZ	0.524
86	A:46:LEU:HD12	A:50:ILE:HG12	0.519
86	A:94:VAL:HG12	A:152:THR:HG23	0.517
86	A:102:MET:HE3	A:111:VAL:CG1	0.508
86	A:88:TYR:HD1	A:99:LEU:CD1	0.505

Model ID	Atom-1	Atom-2	Clash overlap (Å)
86	A:87:VAL:O	A:91:LEU:HG	0.495
86	A:78:ILE:HG23	A:84:LEU:CD2	0.494
86	A:2:ASN:OD1	A:5:GLU:HG3	0.493
86	A:6:MET:HG3	A:158:TRP:HZ3	0.492
86	A:106:MET:SD	A:138:TRP:HE3	0.487
86	A:46:LEU:O	A:50:ILE:HG12	0.484
86	A:46:LEU:HD12	A:50:ILE:CG1	0.482
86	A:91:LEU:HD11	A:99:LEU:HD11	0.480
86	A:130:ALA:HB1	A:150:ILE:CG2	0.478
86	A:29:ILE:HB	A:67:PHE:CD1	0.468
86	A:18:TYR:HE1	A:26:THR:HG22	0.467
86	A:50:ILE:HD11	A:66:LEU:HD11	0.463
86	A:91:LEU:CD1	A:99:LEU:HD11	0.457
86	A:6:MET:HE2	A:161:TYR:CE1	0.455
86	A:17:ILE:HD11	A:46:LEU:HD23	0.452
86	A:27:ILE:HG22	A:33:LEU:CD2	0.448
86	A:150:ILE:O	A:154:ARG:HG3	0.447
86	A:94:VAL:HG11	A:157:THR:C	0.446
86	A:102:MET:HG2	A:111:VAL:CG2	0.444
86	A:102:MET:HA	A:138:TRP:CH2	0.439
86	A:1:MET:HA	A:5:GLU:OE2	0.438
86	A:94:VAL:HG22	A:158:TRP:CD1	0.437
86	A:126:TRP:O	A:129:ALA:HB3	0.436

Model ID	Atom-1	Atom-2	Clash overlap (Å)
86	A:78:ILE:HG21	A:88:TYR:CD1	0.435
86	A:98:ALA:HB2	A:152:THR:HG22	0.435
86	A:127:ASP:O	A:131:VAL:HG23	0.435
86	A:6:MET:HG2	A:161:TYR:CE2	0.434
86	A:11:GLU:HG3	A:30:GLY:HA3	0.434
86	A:3:ILE:HB	A:97:ALA:SG	0.433
86	A:120:MET:SD	A:125:ARG:HD3	0.429
86	A:88:TYR:CZ	A:96:ARG:HB3	0.425
86	A:3:ILE:HD12	A:6:MET:SD	0.419
86	A:3:ILE:HD13	A:97:ALA:HB1	0.419
86	A:136:SER:OG	A:138:TRP:HB3	0.418
86	A:12:GLY:O	A:29:ILE:HA	0.413
86	A:18:TYR:CE1	A:26:THR:CG2	0.411
86	A:74:ALA:O	A:78:ILE:HD12	0.410
86	A:46:LEU:CD1	A:58:ILE:HG21	0.407
86	A:35:LYS:HB2	A:35:LYS:HE2	0.406
87	A:102:MET:HE3	A:111:VAL:HG13	1.176
87	A:15:LEU:HD22	A:58:ILE:HG13	0.938
87	A:102:MET:HG2	A:111:VAL:HG22	0.916
87	A:1:MET:SD	A:5:GLU:HB3	0.894
87	A:84:LEU:HD22	A:88:TYR:HB2	0.888
87	A:46:LEU:HD11	A:58:ILE:CG2	0.846
87	A:102:MET:CE	A:111:VAL:HG13	0.837

Model ID	Atom-1	Atom-2	Clash overlap (Å)
87	A:7:LEU:HB3	A:67:PHE:CZ	0.835
87	A:11:GLU:CB	A:29:ILE:HG23	0.819
87	A:46:LEU:HD11	A:58:ILE:HG21	0.755
87	A:27:ILE:HG22	A:33:LEU:HD21	0.754
87	A:84:LEU:CD2	A:88:TYR:HB2	0.749
87	A:15:LEU:CD2	A:58:ILE:HG13	0.731
87	A:29:ILE:HG21	A:67:PHE:CE1	0.731
87	A:7:LEU:HB3	A:67:PHE:HZ	0.714
87	A:121:LEU:HD23	A:126:TRP:CE3	0.700
87	A:102:MET:HE3	A:111:VAL:CG1	0.698
87	A:11:GLU:HB3	A:29:ILE:HG23	0.683
87	A:46:LEU:HD11	A:58:ILE:HG23	0.672
87	A:8:ARG:HG2	A:67:PHE:HE2	0.657
87	A:120:MET:SD	A:128:GLU:HB2	0.647
87	A:17:ILE:HG13	A:27:ILE:HD13	0.637
87	A:78:ILE:HD11	A:100:ILE:HA	0.629
87	A:142:THR:HB	A:145:ARG:HB3	0.628
87	A:130:ALA:HB1	A:150:ILE:CG2	0.619
87	A:70:ASP:HB3	A:104:PHE:CE2	0.605
87	A:18:TYR:CE1	A:26:THR:HG23	0.603
87	A:147:LYS:HA	A:150:ILE:HD12	0.603
87	A:13:LEU:HD21	A:60:LYS:HA	0.601
87	A:121:LEU:HD23	A:126:TRP:CZ3	0.599

Model ID	Atom-1	Atom-2	Clash overlap (Å)
87	A:11:GLU:HB2	A:29:ILE:HG23	0.591
87	A:91:LEU:CD1	A:99:LEU:HD11	0.575
87	A:27:ILE:HB	A:33:LEU:HD11	0.574
87	A:13:LEU:HD11	A:63:ALA:HB3	0.569
87	A:148:ARG:HB3	A:161:TYR:CE1	0.568
87	A:148:ARG:HD2	A:161:TYR:CD2	0.548
87	A:98:ALA:HB2	A:152:THR:HB	0.529
87	A:29:ILE:HD13	A:67:PHE:CG	0.526
87	A:130:ALA:HB1	A:150:ILE:HG23	0.524
87	A:17:ILE:HG12	A:42:ALA:HB1	0.517
87	A:29:ILE:HD13	A:67:PHE:HB2	0.517
87	A:1:MET:HE1	A:9:ILE:HD12	0.514
87	A:97:ALA:SG	A:158:TRP:HZ2	0.513
87	A:120:MET:HG2	A:125:ARG:O	0.507
87	A:27:ILE:HD13	A:46:LEU:HD22	0.506
87	A:13:LEU:CD2	A:15:LEU:HD11	0.505
87	A:3:ILE:HD12	A:6:MET:SD	0.501
87	A:27:ILE:HG12	A:46:LEU:HD13	0.500
87	A:119:ARG:HA	A:122:GLN:HG2	0.500
87	A:24:TYR:HB2	A:32:LEU:HD11	0.487
87	A:106:MET:HG2	A:110:GLY:HA3	0.487
87	A:121:LEU:CD2	A:126:TRP:CZ3	0.487
87	A:25:TYR:CE1	A:39:LEU:CD1	0.486

Model ID	Atom-1	Atom-2	Clash overlap (Å)
87	A:106:MET:SD	A:138:TRP:CE3	0.486
87	A:96:ARG:O	A:100:ILE:HG13	0.485
87	A:24:TYR:CB	A:32:LEU:HD11	0.484
87	A:13:LEU:HD22	A:15:LEU:HD11	0.483
87	A:6:MET:HG3	A:158:TRP:HZ3	0.482
87	A:114:PHE:O	A:118:LEU:HD13	0.479
87	A:7:LEU:HD22	A:11:GLU:HG3	0.476
87	A:27:ILE:CG2	A:33:LEU:HD21	0.473
87	A:139:TYR:HD1	A:146:ALA:HB3	0.472
87	A:6:MET:HE1	A:98:ALA:HA	0.465
87	A:97:ALA:SG	A:158:TRP:CZ2	0.463
87	A:92:ASP:O	A:96:ARG:HG3	0.462
87	A:13:LEU:CD1	A:63:ALA:HB3	0.458
87	A:33:LEU:HB3	A:45:GLU:HB3	0.453
87	A:3:ILE:CD1	A:6:MET:SD	0.448
87	A:102:MET:SD	A:133:LEU:HD21	0.447
87	A:121:LEU:HG	A:129:ALA:HB1	0.444
87	A:121:LEU:HD22	A:153:PHE:HD1	0.440
87	A:126:TRP:HA	A:129:ALA:HB3	0.438
87	A:99:LEU:O	A:103:VAL:HG23	0.435
87	A:7:LEU:HB3	A:67:PHE:CE1	0.433
87	A:15:LEU:HD22	A:58:ILE:C	0.432
87	A:130:ALA:HB1	A:150:ILE:HG22	0.432

Model ID	Atom-1	Atom-2	Clash overlap (Å)
87	A:148:ARG:HB3	A:161:TYR:CZ	0.430
87	A:103:VAL:HG22	A:111:VAL:HG21	0.429
87	A:78:ILE:HG13	A:103:VAL:HG21	0.426
87	A:17:ILE:HG21	A:42:ALA:HB1	0.425
87	A:1:MET:HE1	A:9:ILE:CD1	0.421
87	A:88:TYR:HD1	A:99:LEU:CD1	0.419
87	A:154:ARG:CZ	A:154:ARG:HB3	0.419
87	A:80:ARG:HD2	A:80:ARG:O	0.416
87	A:27:ILE:CD1	A:46:LEU:HD22	0.414
87	A:65:LYS:HA	A:65:LYS:HD2	0.414
87	A:91:LEU:HD12	A:99:LEU:HD11	0.409
87	A:84:LEU:HD22	A:88:TYR:CB	0.408
87	A:134:ALA:HB2	A:150:ILE:HD13	0.408
87	A:50:ILE:HD11	A:58:ILE:HG21	0.405
87	A:7:LEU:CD2	A:11:GLU:HG3	0.402
87	A:26:THR:HA	A:33:LEU:HD12	0.402
87	A:121:LEU:CD2	A:126:TRP:HZ3	0.401
88	A:78:ILE:HG12	A:103:VAL:HG21	1.021
88	A:7:LEU:HD13	A:67:PHE:HE1	0.974
88	A:1:MET:HB3	A:158:TRP:HB3	0.931
88	A:120:MET:SD	A:128:GLU:HB3	0.902
88	A:139:TYR:HE1	A:150:ILE:HD12	0.867
88	A:27:ILE:HD13	A:46:LEU:HD13	0.846

Model ID	Atom-1	Atom-2	Clash overlap (Å)
88	A:148:ARG:HB2	A:161:TYR:CE1	0.814
88	A:27:ILE:HG22	A:31:HIS:HB3	0.808
88	A:139:TYR:CE1	A:150:ILE:HD12	0.805
88	A:7:LEU:HD13	A:67:PHE:CE1	0.799
88	A:15:LEU:CD1	A:57:VAL:HG13	0.776
88	A:78:ILE:CG1	A:103:VAL:HG21	0.760
88	A:130:ALA:HB1	A:150:ILE:HG23	0.741
88	A:138:TRP:HB3	A:146:ALA:HB2	0.730
88	A:29:ILE:HD13	A:67:PHE:CD2	0.719
88	A:130:ALA:CB	A:150:ILE:HG23	0.718
88	A:7:LEU:HD11	A:104:PHE:CE1	0.717
88	A:138:TRP:HH2	A:149:VAL:HG11	0.717
88	A:6:MET:SD	A:158:TRP:HZ3	0.717
88	A:138:TRP:CH2	A:149:VAL:HG11	0.713
88	A:120:MET:HB3	A:125:ARG:HB3	0.706
88	A:87:VAL:CG2	A:121:LEU:HB3	0.696
88	A:124:LYS:HB3	A:126:TRP:CZ2	0.693
88	A:4:PHE:CE1	A:71:VAL:HG21	0.692
88	A:4:PHE:HE1	A:71:VAL:HG21	0.682
88	A:88:TYR:HD1	A:99:LEU:CD1	0.678
88	A:121:LEU:HD13	A:126:TRP:HZ3	0.652
88	A:58:ILE:CD1	A:63:ALA:HB2	0.636
88	A:1:MET:HB3	A:158:TRP:CB	0.632

Model ID	Atom-1	Atom-2	Clash overlap (Å)
88	A:130:ALA:HB1	A:150:ILE:CG2	0.618
88	A:87:VAL:HG12	A:122:GLN:HB2	0.617
88	A:88:TYR:HD1	A:99:LEU:HD13	0.601
88	A:6:MET:HE3	A:161:TYR:CE1	0.595
88	A:17:ILE:HG23	A:39:LEU:HD12	0.590
88	A:106:MET:HE2	A:111:VAL:HG22	0.586
88	A:13:LEU:HD13	A:29:ILE:CD1	0.584
88	A:121:LEU:HD22	A:126:TRP:HE3	0.584
88	A:52:ARG:HH12	A:58:ILE:HG22	0.583
88	A:62:GLU:HA	A:65:LYS:HB2	0.576
88	A:13:LEU:HD13	A:29:ILE:HD11	0.572
88	A:106:MET:HE2	A:111:VAL:CG2	0.564
88	A:99:LEU:HD23	A:102:MET:CE	0.563
88	A:121:LEU:HD13	A:126:TRP:CZ3	0.563
88	A:6:MET:SD	A:158:TRP:CZ3	0.555
88	A:15:LEU:HD12	A:57:VAL:HG13	0.545
88	A:120:MET:SD	A:128:GLU:CB	0.537
88	A:84:LEU:HG	A:118:LEU:HD21	0.527
88	A:6:MET:HG3	A:161:TYR:CZ	0.521
88	A:76:ARG:HA	A:79:LEU:HB2	0.520
88	A:87:VAL:HG21	A:121:LEU:HB3	0.518
88	A:29:ILE:HD13	A:67:PHE:CG	0.511
88	A:88:TYR:HD1	A:99:LEU:HD12	0.511

Model ID	Atom-1	Atom-2	Clash overlap (Å)
88	A:1:MET:HG3	A:158:TRP:CE3	0.510
88	A:88:TYR:CD1	A:99:LEU:HD13	0.505
88	A:15:LEU:O	A:58:ILE:HG13	0.503
88	A:70:ASP:HB3	A:104:PHE:CE2	0.502
88	A:7:LEU:HB3	A:67:PHE:HZ	0.491
88	A:22:GLU:HB3	A:24:TYR:CE2	0.490
88	A:27:ILE:CD1	A:46:LEU:HD13	0.488
88	A:130:ALA:HB2	A:150:ILE:HG23	0.487
88	A:102:MET:SD	A:153:PHE:HE2	0.487
88	A:114:PHE:O	A:118:LEU:HD13	0.486
88	A:102:MET:SD	A:153:PHE:CE2	0.485
88	A:52:ARG:HD2	A:54:THR:SG	0.482
88	A:121:LEU:HD21	A:153:PHE:CE1	0.465
88	A:105:GLN:HB3	A:138:TRP:HE1	0.464
88	A:117:SER:OG	A:132:ASN:HB2	0.463
88	A:7:LEU:CD1	A:67:PHE:HE1	0.462
88	A:102:MET:HA	A:138:TRP:CH2	0.460
88	A:87:VAL:HG23	A:121:LEU:HB3	0.450
88	A:20:ASP:HB2	A:26:THR:HG21	0.448
88	A:70:ASP:HB3	A:104:PHE:HE2	0.446
88	A:99:LEU:HD23	A:102:MET:HE1	0.441
88	A:99:LEU:HD23	A:153:PHE:HZ	0.441
88	A:121:LEU:HD22	A:126:TRP:CE3	0.441

Model ID	Atom-1	Atom-2	Clash overlap (Å)
88	A:71:VAL:O	A:75:VAL:HG23	0.437
88	A:1:MET:HE1	A:9:ILE:HD12	0.435
88	A:29:ILE:HD13	A:67:PHE:CB	0.435
88	A:20:ASP:OD2	A:22:GLU:HB2	0.431
88	A:29:ILE:HG21	A:67:PHE:CE1	0.425
88	A:27:ILE:CG2	A:31:HIS:HB3	0.419
88	A:139:TYR:CE1	A:150:ILE:CD1	0.416
88	A:27:ILE:HG22	A:31:HIS:CB	0.415
88	A:78:ILE:HG21	A:88:TYR:CG	0.415
88	A:136:SER:OG	A:138:TRP:HB2	0.413
88	A:3:ILE:HB	A:97:ALA:SG	0.411
88	A:43:LYS:HG3	A:56:GLY:HA3	0.409
88	A:27:ILE:HD13	A:46:LEU:CD1	0.408
88	A:76:ARG:O	A:80:ARG:HG2	0.406
88	A:121:LEU:HD21	A:153:PHE:HE1	0.403
88	A:1:MET:HE3	A:161:TYR:CD2	0.400
89	A:102:MET:HG2	A:111:VAL:HG22	1.112
89	A:130:ALA:HB3	A:154:ARG:HG3	1.075
89	A:102:MET:HE3	A:111:VAL:HG13	1.072
89	A:78:ILE:HG12	A:103:VAL:HG21	1.063
89	A:1:MET:SD	A:5:GLU:HB3	1.036
89	A:120:MET:SD	A:128:GLU:HB2	0.949
89	A:91:LEU:HD12	A:99:LEU:HD11	0.938

Model ID	Atom-1	Atom-2	Clash overlap (Å)
89	A:25:TYR:HE1	A:39:LEU:HD13	0.888
89	A:102:MET:HG2	A:111:VAL:CG2	0.863
89	A:102:MET:CE	A:111:VAL:HG13	0.839
89	A:1:MET:HE1	A:9:ILE:HD12	0.815
89	A:130:ALA:CB	A:154:ARG:HG3	0.805
89	A:106:MET:SD	A:138:TRP:HE3	0.793
89	A:25:TYR:CE1	A:39:LEU:HD13	0.789
89	A:91:LEU:HD12	A:99:LEU:CD1	0.752
89	A:6:MET:HG3	A:158:TRP:HZ3	0.740
89	A:43:LYS:HA	A:46:LEU:HD23	0.730
89	A:106:MET:SD	A:138:TRP:CE3	0.726
89	A:78:ILE:CG1	A:103:VAL:HG21	0.724
89	A:78:ILE:HD11	A:100:ILE:HA	0.717
89	A:27:ILE:HD13	A:46:LEU:HD22	0.703
89	A:17:ILE:HG13	A:27:ILE:HD13	0.695
89	A:46:LEU:HD11	A:58:ILE:HG23	0.690
89	A:11:GLU:HB2	A:29:ILE:HG23	0.689
89	A:15:LEU:HD22	A:58:ILE:HG13	0.685
89	A:88:TYR:HD1	A:99:LEU:HD12	0.674
89	A:34:THR:HG22	A:42:ALA:HB2	0.657
89	A:102:MET:HE3	A:111:VAL:CG1	0.650
89	A:148:ARG:HB3	A:161:TYR:CE1	0.642
89	A:102:MET:HG3	A:138:TRP:CZ3	0.635

Model ID	Atom-1	Atom-2	Clash overlap (Å)
89	A:1:MET:HG2	A:158:TRP:CE3	0.628
89	A:78:ILE:HG23	A:84:LEU:HD21	0.623
89	A:106:MET:HG2	A:110:GLY:HA3	0.622
89	A:121:LEU:HD23	A:126:TRP:CE3	0.621
89	A:75:VAL:HG12	A:79:LEU:HD23	0.615
89	A:91:LEU:CD1	A:99:LEU:HD11	0.612
89	A:1:MET:HB3	A:158:TRP:CG	0.609
89	A:27:ILE:HG12	A:46:LEU:HD13	0.597
89	A:1:MET:HE3	A:6:MET:HA	0.594
89	A:27:ILE:HG22	A:33:LEU:HD21	0.594
89	A:105:GLN:HE22	A:145:ARG:HG2	0.586
89	A:17:ILE:HG13	A:27:ILE:CD1	0.585
89	A:46:LEU:CD1	A:58:ILE:HG23	0.584
89	A:27:ILE:CD1	A:46:LEU:HD22	0.582
89	A:13:LEU:HD13	A:29:ILE:CD1	0.579
89	A:147:LYS:HA	A:150:ILE:HD12	0.578
89	A:18:TYR:CE1	A:26:THR:HG22	0.573
89	A:102:MET:CG	A:111:VAL:HG22	0.570
89	A:11:GLU:HB2	A:29:ILE:CG2	0.567
89	A:27:ILE:HG13	A:58:ILE:CD1	0.561
89	A:121:LEU:HD22	A:153:PHE:CD1	0.561
89	A:6:MET:HE1	A:98:ALA:HA	0.554
89	A:121:LEU:HG	A:129:ALA:HB1	0.551

Model ID	Atom-1	Atom-2	Clash overlap (Å)
89	A:15:LEU:CD2	A:58:ILE:HG13	0.544
89	A:7:LEU:HB3	A:67:PHE:CE1	0.539
89	A:88:TYR:HD1	A:99:LEU:CD1	0.539
89	A:17:ILE:HG21	A:42:ALA:HB1	0.530
89	A:121:LEU:CD2	A:153:PHE:CD1	0.527
89	A:17:ILE:HG21	A:42:ALA:CB	0.525
89	A:130:ALA:HB1	A:150:ILE:HG22	0.518
89	A:14:ARG:HB2	A:18:TYR:CE2	0.515
89	A:27:ILE:HG21	A:46:LEU:HB2	0.514
89	A:33:LEU:HB3	A:45:GLU:HB3	0.513
89	A:126:TRP:HA	A:129:ALA:HB3	0.511
89	A:151:THR:HG22	A:160:ALA:HB1	0.510
89	A:43:LYS:HE2	A:56:GLY:HA3	0.501
89	A:121:LEU:HD23	A:126:TRP:HE3	0.500
89	A:133:LEU:HD13	A:150:ILE:HA	0.497
89	A:121:LEU:HD21	A:153:PHE:HB3	0.496
89	A:29:ILE:HB	A:67:PHE:CD1	0.489
89	A:68:ASN:HA	A:71:VAL:HG12	0.486
89	A:13:LEU:HD13	A:29:ILE:HD11	0.484
89	A:88:TYR:CD1	A:99:LEU:HD12	0.484
89	A:27:ILE:HG13	A:58:ILE:HD11	0.481
89	A:133:LEU:HB3	A:150:ILE:HG12	0.478
89	A:29:ILE:HD13	A:67:PHE:CD2	0.477

Model ID	Atom-1	Atom-2	Clash overlap (Å)
89	A:27:ILE:CG2	A:33:LEU:HD21	0.476
89	A:31:HIS:CG	A:66:LEU:HG	0.476
89	A:127:ASP:HA	A:154:ARG:HG2	0.474
89	A:68:ASN:O	A:72:ASP:HB2	0.471
89	A:27:ILE:HB	A:33:LEU:HD11	0.462
89	A:17:ILE:CG1	A:27:ILE:HD13	0.454
89	A:112:ALA:HA	A:118:LEU:HD21	0.450
89	A:114:PHE:O	A:118:LEU:HD13	0.450
89	A:107:GLY:O	A:111:VAL:HG23	0.447
89	A:29:ILE:HD13	A:67:PHE:CG	0.446
89	A:120:MET:HE2	A:125:ARG:NH2	0.446
89	A:26:THR:HA	A:31:HIS:O	0.445
89	A:75:VAL:HG12	A:79:LEU:CD2	0.445
89	A:16:LYS:O	A:27:ILE:HD12	0.444
89	A:138:TRP:HH2	A:149:VAL:HG11	0.441
89	A:121:LEU:HD22	A:153:PHE:HD1	0.440
89	A:7:LEU:HB3	A:67:PHE:CZ	0.431
89	A:83:LYS:O	A:86:PRO:HD2	0.427
89	A:6:MET:HG3	A:158:TRP:CZ3	0.425
89	A:82:ALA:HA	A:85:LYS:HB3	0.422
89	A:88:TYR:CE1	A:96:ARG:HG2	0.421
89	A:25:TYR:CE1	A:39:LEU:CD1	0.417
89	A:76:ARG:HA	A:79:LEU:HG	0.416

Model ID	Atom-1	Atom-2	Clash overlap (Å)
89	A:142:THR:HG21	A:145:ARG:HH11	0.416
89	A:42:ALA:O	A:46:LEU:HB3	0.414
89	A:81:ASN:OD1	A:83:LYS:HB3	0.414
89	A:124:LYS:H	A:124:LYS:HG3	0.412
89	A:130:ALA:HB1	A:150:ILE:CG2	0.411
89	A:17:ILE:HD11	A:46:LEU:HD23	0.410
89	A:148:ARG:HB3	A:161:TYR:CD1	0.409
89	A:127:ASP:O	A:131:VAL:HG23	0.407
89	A:121:LEU:HD23	A:126:TRP:CZ3	0.404
89	A:2:ASN:OD1	A:4:PHE:HB2	0.400
90	A:151:THR:HG22	A:160:ALA:HB1	1.158
90	A:91:LEU:HD12	A:99:LEU:HD11	1.067
90	A:8:ARG:HG3	A:67:PHE:HE2	1.009
90	A:52:ARG:HB2	A:54:THR:SG	0.984
90	A:81:ASN:HB3	A:84:LEU:HB2	0.945
90	A:7:LEU:HB3	A:67:PHE:HZ	0.896
90	A:7:LEU:HB3	A:67:PHE:CZ	0.884
90	A:7:LEU:HD13	A:67:PHE:HE1	0.814
90	A:151:THR:CG2	A:160:ALA:HB1	0.801
90	A:120:MET:SD	A:128:GLU:HB2	0.792
90	A:6:MET:HE3	A:161:TYR:CE1	0.779
90	A:130:ALA:CB	A:150:ILE:HG23	0.776
90	A:29:ILE:HD13	A:67:PHE:CD2	0.769

Model ID	Atom-1	Atom-2	Clash overlap (Å)
90	A:151:THR:HG22	A:160:ALA:CB	0.768
90	A:8:ARG:HG3	A:67:PHE:CE2	0.765
90	A:91:LEU:CD1	A:99:LEU:HD11	0.762
90	A:139:TYR:HE1	A:150:ILE:CD1	0.738
90	A:29:ILE:HD13	A:67:PHE:HD2	0.737
90	A:8:ARG:CG	A:67:PHE:HE2	0.685
90	A:130:ALA:HB1	A:150:ILE:HG23	0.682
90	A:70:ASP:HB3	A:104:PHE:HE2	0.665
90	A:18:TYR:HE1	A:26:THR:HG22	0.656
90	A:148:ARG:HB2	A:161:TYR:CE1	0.635
90	A:91:LEU:HD12	A:99:LEU:CD1	0.621
90	A:24:TYR:HB3	A:32:LEU:HD13	0.620
90	A:81:ASN:CB	A:84:LEU:HB2	0.613
90	A:139:TYR:HE1	A:150:ILE:HD11	0.602
90	A:33:LEU:HD22	A:45:GLU:HB3	0.587
90	A:84:LEU:HG	A:108:GLU:HB3	0.584
90	A:17:ILE:HD11	A:46:LEU:HG	0.573
90	A:34:THR:HG22	A:42:ALA:HB2	0.571
90	A:120:MET:SD	A:128:GLU:CB	0.563
90	A:105:GLN:HG3	A:138:TRP:CZ2	0.551
90	A:121:LEU:HD11	A:129:ALA:HB1	0.550
90	A:18:TYR:HE1	A:26:THR:CG2	0.546
90	A:1:MET:HE3	A:161:TYR:HD2	0.544

Model ID	Atom-1	Atom-2	Clash overlap (Å)
90	A:130:ALA:HB2	A:150:ILE:HG23	0.541
90	A:34:THR:CG2	A:42:ALA:HB2	0.537
90	A:106:MET:HB2	A:138:TRP:CE2	0.533
90	A:46:LEU:CD2	A:50:ILE:HD13	0.532
90	A:6:MET:HG3	A:161:TYR:CE2	0.531
90	A:102:MET:SD	A:133:LEU:HD11	0.529
90	A:102:MET:HG3	A:138:TRP:CH2	0.526
90	A:18:TYR:CE1	A:26:THR:CG2	0.521
90	A:50:ILE:HD11	A:66:LEU:HD11	0.519
90	A:15:LEU:HD22	A:60:LYS:HG3	0.518
90	A:8:ARG:HG2	A:29:ILE:HG12	0.513
90	A:18:TYR:CE1	A:26:THR:HG22	0.513
90	A:87:VAL:HG13	A:118:LEU:CD2	0.513
90	A:27:ILE:CG2	A:33:LEU:HD11	0.510
90	A:27:ILE:HD13	A:46:LEU:CD2	0.504
90	A:29:ILE:HG21	A:67:PHE:CE2	0.498
90	A:13:LEU:HD13	A:29:ILE:HD11	0.497
90	A:27:ILE:HD11	A:58:ILE:HG12	0.497
90	A:27:ILE:HG22	A:33:LEU:HD11	0.495
90	A:47:ASP:HA	A:54:THR:SG	0.494
90	A:130:ALA:HB1	A:150:ILE:CG2	0.490
90	A:121:LEU:HD12	A:129:ALA:HB2	0.489
90	A:121:LEU:CD1	A:129:ALA:HB1	0.482

Model ID	Atom-1	Atom-2	Clash overlap (Å)
90	A:46:LEU:HD11	A:58:ILE:HG23	0.479
90	A:46:LEU:HD22	A:50:ILE:HD13	0.479
90	A:88:TYR:HE1	A:99:LEU:CB	0.478
90	A:58:ILE:HD12	A:59:THR:O	0.475
90	A:46:LEU:HD11	A:58:ILE:CG2	0.472
90	A:88:TYR:HE1	A:99:LEU:HB2	0.467
90	A:58:ILE:HD12	A:62:GLU:HB3	0.462
90	A:117:SER:O	A:120:MET:HB2	0.462
90	A:78:ILE:HG13	A:103:VAL:HG11	0.461
90	A:102:MET:HA	A:138:TRP:CZ2	0.461
90	A:105:GLN:HG3	A:138:TRP:HZ2	0.448
90	A:120:MET:HB3	A:125:ARG:HB2	0.447
90	A:121:LEU:HD12	A:129:ALA:CB	0.444
90	A:27:ILE:HG23	A:66:LEU:HD23	0.442
90	A:27:ILE:HD13	A:46:LEU:HD21	0.437
90	A:14:ARG:HB2	A:18:TYR:CZ	0.432
90	A:39:LEU:O	A:43:LYS:HG2	0.432
90	A:78:ILE:HG21	A:88:TYR:CD2	0.430
90	A:95:ARG:O	A:99:LEU:HG	0.428
90	A:7:LEU:HD13	A:67:PHE:CE1	0.425
90	A:24:TYR:HB3	A:32:LEU:CD1	0.425
90	A:24:TYR:CD1	A:32:LEU:HD13	0.423
90	A:24:TYR:CB	A:32:LEU:HD13	0.421

Model ID	Atom-1	Atom-2	Clash overlap (Å)
90	A:136:SER:HB2	A:138:TRP:HB2	0.417
90	A:50:ILE:HG22	A:54:THR:SG	0.415
90	A:70:ASP:HB3	A:104:PHE:CE2	0.415
90	A:7:LEU:HD21	A:104:PHE:CD1	0.412
90	A:150:ILE:O	A:153:PHE:HB2	0.411
90	A:7:LEU:HD11	A:104:PHE:CD1	0.409
90	A:78:ILE:HG12	A:103:VAL:HG21	0.408
90	A:52:ARG:CB	A:54:THR:SG	0.407
90	A:87:VAL:HG13	A:118:LEU:HD21	0.406
90	A:1:MET:HG2	A:161:TYR:HB3	0.406
90	A:29:ILE:HG21	A:67:PHE:CZ	0.405
90	A:62:GLU:O	A:66:LEU:HG	0.402
90	A:136:SER:OG	A:138:TRP:HB2	0.401
90	A:96:ARG:HA	A:99:LEU:HB2	0.400
91	A:141:GLN:HG2	A:142:THR:HG23	1.173
91	A:130:ALA:HB1	A:150:ILE:HG23	1.100
91	A:46:LEU:HD12	A:50:ILE:HG13	0.914
91	A:99:LEU:HD23	A:102:MET:HE2	0.860
91	A:29:ILE:HD12	A:67:PHE:CD2	0.844
91	A:138:TRP:HB3	A:146:ALA:HB2	0.842
91	A:141:GLN:CG	A:142:THR:HG23	0.836
91	A:91:LEU:HD12	A:99:LEU:HD11	0.834
91	A:130:ALA:HB1	A:150:ILE:CG2	0.801

Model ID	Atom-1	Atom-2	Clash overlap (Å)
91	A:120:MET:SD	A:128:GLU:HB2	0.785
91	A:17:ILE:HD11	A:43:LYS:HB3	0.768
91	A:46:LEU:CD1	A:50:ILE:HG13	0.765
91	A:1:MET:HG2	A:161:TYR:HB3	0.745
91	A:130:ALA:CB	A:150:ILE:HG23	0.741
91	A:13:LEU:HD13	A:29:ILE:HG13	0.727
91	A:13:LEU:HD13	A:29:ILE:CG1	0.711
91	A:46:LEU:HD12	A:50:ILE:CG1	0.706
91	A:17:ILE:HG21	A:25:TYR:CD1	0.692
91	A:7:LEU:HB3	A:67:PHE:HZ	0.687
91	A:105:GLN:HB3	A:138:TRP:HZ2	0.686
91	A:24:TYR:HB2	A:32:LEU:HD13	0.685
91	A:105:GLN:HB3	A:138:TRP:CZ2	0.685
91	A:102:MET:SD	A:153:PHE:HE2	0.684
91	A:105:GLN:CB	A:138:TRP:HZ2	0.683
91	A:14:ARG:HB2	A:18:TYR:CD1	0.676
91	A:43:LYS:HA	A:46:LEU:HB3	0.674
91	A:121:LEU:HD13	A:126:TRP:HZ3	0.670
91	A:27:ILE:CD1	A:46:LEU:HD22	0.659
91	A:117:SER:HA	A:120:MET:HB2	0.659
91	A:76:ARG:HA	A:79:LEU:HD22	0.651
91	A:27:ILE:HD13	A:46:LEU:HD13	0.639
91	A:130:ALA:HA	A:133:LEU:HD12	0.639

Model ID	Atom-1	Atom-2	Clash overlap (Å)
91	A:74:ALA:HB2	A:104:PHE:HD2	0.636
91	A:29:ILE:HD12	A:67:PHE:CG	0.630
91	A:102:MET:SD	A:153:PHE:CE2	0.630
91	A:121:LEU:HD13	A:126:TRP:CZ3	0.618
91	A:13:LEU:HA	A:29:ILE:HG12	0.598
91	A:81:ASN:HB3	A:84:LEU:HB2	0.594
91	A:99:LEU:HD23	A:102:MET:CE	0.585
91	A:91:LEU:CD1	A:99:LEU:HD11	0.580
91	A:99:LEU:HD23	A:153:PHE:HZ	0.554
91	A:24:TYR:CB	A:32:LEU:HD13	0.550
91	A:7:LEU:HB3	A:67:PHE:CZ	0.544
91	A:97:ALA:CB	A:158:TRP:HH2	0.540
91	A:94:VAL:HG12	A:152:THR:HG23	0.537
91	A:120:MET:SD	A:128:GLU:CB	0.537
91	A:97:ALA:CB	A:158:TRP:CH2	0.536
91	A:16:LYS:HG3	A:57:VAL:HG11	0.527
91	A:139:TYR:CD1	A:146:ALA:HB1	0.518
91	A:139:TYR:CD1	A:146:ALA:CB	0.517
91	A:39:LEU:O	A:43:LYS:HG2	0.514
91	A:14:ARG:HB2	A:18:TYR:CE1	0.512
91	A:99:LEU:HD23	A:153:PHE:CZ	0.504
91	A:121:LEU:HD22	A:126:TRP:CE3	0.492
91	A:6:MET:HG2	A:161:TYR:CZ	0.491

Model ID	Atom-1	Atom-2	Clash overlap (Å)
91	A:114:PHE:CE1	A:133:LEU:HD23	0.485
91	A:18:TYR:CE1	A:26:THR:HG22	0.482
91	A:18:TYR:CZ	A:26:THR:HG22	0.479
91	A:17:ILE:CG2	A:25:TYR:CD1	0.475
91	A:27:ILE:HG22	A:33:LEU:HD21	0.474
91	A:57:VAL:HG12	A:58:ILE:O	0.470
91	A:121:LEU:HD22	A:126:TRP:HE3	0.469
91	A:136:SER:OG	A:138:TRP:HB2	0.467
91	A:139:TYR:HD1	A:146:ALA:HB1	0.467
91	A:94:VAL:HG12	A:152:THR:CG2	0.462
91	A:20:ASP:HB3	A:26:THR:HB	0.459
91	A:45:GLU:HA	A:48:LYS:HD2	0.458
91	A:97:ALA:HB1	A:158:TRP:HH2	0.456
91	A:121:LEU:HD21	A:153:PHE:CD1	0.456
91	A:7:LEU:HD23	A:71:VAL:HG22	0.454
91	A:78:ILE:HD11	A:100:ILE:HA	0.453
91	A:15:LEU:HD13	A:16:LYS:H	0.451
91	A:105:GLN:HB2	A:138:TRP:HZ2	0.451
91	A:7:LEU:HD12	A:67:PHE:CE1	0.450
91	A:27:ILE:HD11	A:58:ILE:HG12	0.448
91	A:70:ASP:HB3	A:104:PHE:CE2	0.444
91	A:138:TRP:CE3	A:146:ALA:HA	0.444
91	A:19:LYS:HD2	A:25:TYR:CD2	0.441

Model ID	Atom-1	Atom-2	Clash overlap (Å)
91	A:1:MET:HG3	A:158:TRP:CE3	0.439
91	A:26:THR:HG23	A:31:HIS:H	0.439
91	A:148:ARG:CB	A:161:TYR:CE1	0.438
91	A:27:ILE:HG21	A:46:LEU:HD13	0.437
91	A:94:VAL:HG11	A:157:THR:C	0.437
91	A:142:THR:OG1	A:145:ARG:HB2	0.436
91	A:78:ILE:CG1	A:103:VAL:HG21	0.435
91	A:98:ALA:HB2	A:152:THR:HB	0.433
91	A:97:ALA:HB3	A:158:TRP:CH2	0.431
91	A:13:LEU:HD13	A:29:ILE:CD1	0.427
91	A:14:ARG:CB	A:18:TYR:CD1	0.427
91	A:52:ARG:HD3	A:66:LEU:HD11	0.427
91	A:88:TYR:CZ	A:96:ARG:HB3	0.426
91	A:31:HIS:O	A:33:LEU:HD22	0.423
91	A:97:ALA:SG	A:158:TRP:CZ2	0.423
91	A:84:LEU:CD1	A:88:TYR:HB2	0.420
91	A:148:ARG:HB2	A:161:TYR:CZ	0.415
91	A:47:ASP:HA	A:54:THR:SG	0.414
91	A:95:ARG:O	A:99:LEU:HG	0.414
91	A:78:ILE:HG23	A:84:LEU:HD12	0.412
91	A:23:GLY:C	A:24:TYR:CG	0.411
91	A:19:LYS:HD2	A:25:TYR:HD2	0.410
91	A:137:ARG:HD3	A:141:GLN:OE1	0.408

Model ID	Atom-1	Atom-2	Clash overlap (Å)
91	A:13:LEU:HD13	A:29:ILE:HD11	0.406
91	A:33:LEU:HB3	A:45:GLU:HB3	0.405
91	A:94:VAL:HB	A:156:GLY:C	0.405
91	A:35:LYS:HB2	A:35:LYS:HE2	0.403
91	A:52:ARG:HD2	A:66:LEU:HD21	0.403
91	A:70:ASP:HB3	A:104:PHE:CZ	0.403
91	A:97:ALA:SG	A:158:TRP:HZ2	0.402
91	A:127:ASP:HA	A:154:ARG:HG2	0.400
92	A:78:ILE:HG12	A:103:VAL:HG21	1.080
92	A:1:MET:HE1	A:9:ILE:HD12	1.033
92	A:19:LYS:HG3	A:25:TYR:CE2	0.958
92	A:130:ALA:HB1	A:150:ILE:HG23	0.896
92	A:15:LEU:HD12	A:57:VAL:HG13	0.856
92	A:17:ILE:HG12	A:42:ALA:CB	0.856
92	A:17:ILE:HG12	A:42:ALA:HB1	0.856
92	A:120:MET:HB3	A:125:ARG:HB3	0.841
92	A:88:TYR:HD1	A:99:LEU:HD12	0.824
92	A:1:MET:HE1	A:9:ILE:CD1	0.791
92	A:130:ALA:CB	A:150:ILE:HG23	0.775
92	A:4:PHE:HE1	A:71:VAL:HG21	0.761
92	A:1:MET:CE	A:9:ILE:HD12	0.739
92	A:138:TRP:HB3	A:146:ALA:HB2	0.736
92	A:78:ILE:CG1	A:103:VAL:HG21	0.718

Model ID	Atom-1	Atom-2	Clash overlap (Å)
92	A:99:LEU:HD23	A:153:PHE:HZ	0.711
92	A:29:ILE:HD13	A:67:PHE:CB	0.705
92	A:19:LYS:HG3	A:25:TYR:HE2	0.702
92	A:29:ILE:HD13	A:67:PHE:CD2	0.691
92	A:27:ILE:HG22	A:31:HIS:HB3	0.688
92	A:70:ASP:HB3	A:104:PHE:HE2	0.687
92	A:151:THR:HG21	A:160:ALA:HB3	0.685
92	A:8:ARG:HD3	A:13:LEU:HB3	0.681
92	A:120:MET:HB3	A:125:ARG:CB	0.677
92	A:6:MET:SD	A:158:TRP:HZ3	0.674
92	A:148:ARG:HB2	A:161:TYR:CE1	0.672
92	A:88:TYR:CD1	A:99:LEU:HD12	0.659
92	A:99:LEU:HD23	A:153:PHE:CZ	0.658
92	A:13:LEU:HB2	A:29:ILE:HG13	0.657
92	A:124:LYS:HB3	A:126:TRP:CZ2	0.650
92	A:58:ILE:HD12	A:63:ALA:HB2	0.648
92	A:94:VAL:HG13	A:158:TRP:CE2	0.630
92	A:13:LEU:HD13	A:29:ILE:CD1	0.620
92	A:76:ARG:HG3	A:80:ARG:HH12	0.607
92	A:13:LEU:HB2	A:29:ILE:CG1	0.605
92	A:17:ILE:HG12	A:42:ALA:HB3	0.600
92	A:130:ALA:HB1	A:150:ILE:CG2	0.598
92	A:66:LEU:HD22	A:69:GLN:HG3	0.591

Model ID	Atom-1	Atom-2	Clash overlap (Å)
92	A:102:MET:SD	A:133:LEU:HD21	0.582
92	A:84:LEU:HG	A:118:LEU:HD11	0.577
92	A:88:TYR:HD1	A:99:LEU:CD1	0.561
92	A:13:LEU:CB	A:29:ILE:HG13	0.559
92	A:29:ILE:HD13	A:67:PHE:CG	0.558
92	A:7:LEU:HD21	A:104:PHE:CD1	0.556
92	A:4:PHE:CE1	A:71:VAL:HG21	0.552
92	A:114:PHE:HB3	A:117:SER:HB2	0.552
92	A:99:LEU:HD21	A:121:LEU:HD11	0.546
92	A:6:MET:SD	A:158:TRP:CZ3	0.544
92	A:151:THR:HG21	A:160:ALA:CB	0.541
92	A:91:LEU:HB3	A:96:ARG:HB3	0.537
92	A:15:LEU:CD1	A:57:VAL:HG13	0.536
92	A:1:MET:HB3	A:158:TRP:CG	0.531
92	A:121:LEU:HD13	A:126:TRP:HZ3	0.531
92	A:106:MET:HE2	A:111:VAL:HG23	0.530
92	A:114:PHE:CD2	A:132:ASN:HB3	0.530
92	A:8:ARG:HB2	A:13:LEU:H	0.520
92	A:75:VAL:HA	A:78:ILE:HD12	0.518
92	A:138:TRP:CH2	A:149:VAL:HG11	0.517
92	A:27:ILE:HG13	A:58:ILE:HG12	0.511
92	A:29:ILE:HD11	A:64:GLU:HG2	0.511
92	A:94:VAL:HG13	A:158:TRP:CZ2	0.504

Model ID	Atom-1	Atom-2	Clash overlap (Å)
92	A:120:MET:SD	A:128:GLU:CB	0.504
92	A:3:ILE:HB	A:97:ALA:SG	0.498
92	A:94:VAL:HG22	A:158:TRP:HE1	0.498
92	A:58:ILE:CD1	A:63:ALA:HB2	0.494
92	A:121:LEU:HD21	A:153:PHE:CE1	0.494
92	A:17:ILE:HG21	A:42:ALA:C	0.488
92	A:129:ALA:O	A:133:LEU:HG	0.486
92	A:29:ILE:HB	A:67:PHE:CG	0.484
92	A:29:ILE:HD13	A:67:PHE:HB3	0.483
92	A:77:GLY:HA2	A:80:ARG:HH11	0.477
92	A:87:VAL:HA	A:122:GLN:HG2	0.473
92	A:22:GLU:HB3	A:24:TYR:CE2	0.472
92	A:114:PHE:HE2	A:135:LYS:HE2	0.469
92	A:20:ASP:OD2	A:22:GLU:HB2	0.466
92	A:25:TYR:HB2	A:34:THR:O	0.455
92	A:84:LEU:HA	A:118:LEU:HD21	0.454
92	A:102:MET:HA	A:138:TRP:CH2	0.451
92	A:71:VAL:O	A:75:VAL:HG23	0.450
92	A:105:GLN:C	A:138:TRP:HE1	0.449
92	A:34:THR:HG21	A:42:ALA:HB2	0.447
92	A:43:LYS:HG2	A:56:GLY:HA3	0.447
92	A:13:LEU:HG	A:64:GLU:OE2	0.445
92	A:76:ARG:O	A:80:ARG:HG2	0.445

Model ID	Atom-1	Atom-2	Clash overlap (Å)
92	A:27:ILE:HD11	A:58:ILE:HG23	0.441
92	A:8:ARG:HB2	A:13:LEU:N	0.439
92	A:126:TRP:HB3	A:153:PHE:CD1	0.439
92	A:88:TYR:CD1	A:99:LEU:CD1	0.437
92	A:105:GLN:HB3	A:138:TRP:NE1	0.434
92	A:7:LEU:HD12	A:67:PHE:CE1	0.433
92	A:43:LYS:HE3	A:44:SER:HA	0.432
92	A:133:LEU:HD11	A:153:PHE:CE2	0.431
92	A:34:THR:CG2	A:42:ALA:HB2	0.429
92	A:15:LEU:HD23	A:16:LYS:HG3	0.428
92	A:20:ASP:HB2	A:26:THR:CG2	0.423
92	A:8:ARG:O	A:12:GLY:HA2	0.420
92	A:8:ARG:NH2	A:64:GLU:OE1	0.418
92	A:83:LYS:O	A:86:PRO:HD2	0.415
92	A:87:VAL:HG12	A:122:GLN:HB2	0.415
92	A:70:ASP:HB3	A:104:PHE:CE2	0.414
92	A:102:MET:HE3	A:111:VAL:CG1	0.413
92	A:94:VAL:O	A:97:ALA:HB3	0.413
92	A:124:LYS:HB3	A:126:TRP:HZ2	0.411
92	A:27:ILE:CG2	A:31:HIS:HB3	0.410
92	A:4:PHE:HD1	A:67:PHE:CE2	0.410
92	A:101:ASN:O	A:105:GLN:HB2	0.406
92	A:13:LEU:HD13	A:29:ILE:HD12	0.404

Model ID	Atom-1	Atom-2	Clash overlap (Å)
92	A:27:ILE:HD13	A:46:LEU:HG	0.403
92	A:73:ALA:O	A:76:ARG:HG2	0.403
92	A:75:VAL:O	A:79:LEU:HB2	0.403
92	A:106:MET:HB2	A:138:TRP:CZ2	0.403
92	A:121:LEU:HD13	A:126:TRP:CZ3	0.403
92	A:27:ILE:CG1	A:58:ILE:HG12	0.402
92	A:114:PHE:O	A:118:LEU:HD13	0.402
92	A:12:GLY:HA3	A:18:TYR:OH	0.400
93	A:50:ILE:HG23	A:62:GLU:HG2	1.150
93	A:46:LEU:HD11	A:58:ILE:HG21	1.073
93	A:1:MET:SD	A:5:GLU:HB3	1.039
93	A:15:LEU:HD22	A:58:ILE:HG13	0.963
93	A:102:MET:HE3	A:111:VAL:HG13	0.948
93	A:78:ILE:HG12	A:103:VAL:HG21	0.940
93	A:7:LEU:HB3	A:67:PHE:HZ	0.919
93	A:7:LEU:HB3	A:67:PHE:CZ	0.918
93	A:1:MET:HE1	A:9:ILE:HD12	0.883
93	A:138:TRP:HH2	A:149:VAL:HG11	0.862
93	A:148:ARG:HB3	A:161:TYR:CE1	0.861
93	A:106:MET:SD	A:138:TRP:HE3	0.815
93	A:102:MET:HG2	A:111:VAL:HG22	0.808
93	A:46:LEU:HD11	A:58:ILE:CG2	0.796
93	A:138:TRP:CH2	A:149:VAL:HG11	0.791

Model ID	Atom-1	Atom-2	Clash overlap (Å)
93	A:19:LYS:HB3	A:23:GLY:HA2	0.783
93	A:78:ILE:CG1	A:103:VAL:HG21	0.739
93	A:78:ILE:HD11	A:100:ILE:HA	0.734
93	A:13:LEU:HD13	A:29:ILE:HD11	0.726
93	A:106:MET:SD	A:138:TRP:CE3	0.726
93	A:27:ILE:HD13	A:46:LEU:HD22	0.718
93	A:50:ILE:HD12	A:62:GLU:HB3	0.715
93	A:88:TYR:HD1	A:99:LEU:HD12	0.707
93	A:11:GLU:HB2	A:29:ILE:HG23	0.678
93	A:25:TYR:CE1	A:39:LEU:HD12	0.663
93	A:84:LEU:CD2	A:88:TYR:HB2	0.657
93	A:121:LEU:HD23	A:126:TRP:CZ3	0.651
93	A:78:ILE:HG12	A:103:VAL:CG2	0.643
93	A:7:LEU:CB	A:67:PHE:HZ	0.632
93	A:78:ILE:CG2	A:84:LEU:HD22	0.631
93	A:27:ILE:CD1	A:46:LEU:HD22	0.623
93	A:144:ASN:HA	A:147:LYS:HG2	0.620
93	A:33:LEU:HD12	A:42:ALA:HA	0.611
93	A:50:ILE:HG23	A:62:GLU:CG	0.603
93	A:97:ALA:CB	A:158:TRP:HH2	0.582
93	A:133:LEU:HB3	A:150:ILE:HG12	0.580
93	A:15:LEU:HD22	A:58:ILE:CG1	0.575
93	A:13:LEU:HD13	A:29:ILE:CD1	0.567

Model ID	Atom-1	Atom-2	Clash overlap (Å)
93	A:88:TYR:HD1	A:99:LEU:CD1	0.560
93	A:1:MET:HG2	A:158:TRP:CE3	0.558
93	A:120:MET:SD	A:128:GLU:HB3	0.558
93	A:121:LEU:CD2	A:126:TRP:HZ3	0.554
93	A:16:LYS:HD3	A:57:VAL:HG22	0.544
93	A:142:THR:HG21	A:145:ARG:HH11	0.540
93	A:91:LEU:CD1	A:99:LEU:HD11	0.532
93	A:91:LEU:HD13	A:99:LEU:HD11	0.532
93	A:29:ILE:HD13	A:67:PHE:CG	0.529
93	A:17:ILE:HD11	A:46:LEU:CD2	0.525
93	A:3:ILE:HG12	A:100:ILE:HB	0.524
93	A:29:ILE:HD13	A:67:PHE:CD2	0.524
93	A:8:ARG:HA	A:29:ILE:HG12	0.518
93	A:121:LEU:HD23	A:126:TRP:HZ3	0.514
93	A:3:ILE:HB	A:97:ALA:SG	0.507
93	A:121:LEU:CD2	A:126:TRP:CZ3	0.495
93	A:91:LEU:HG	A:95:ARG:HB2	0.491
93	A:27:ILE:CG2	A:33:LEU:HD23	0.487
93	A:47:ASP:HA	A:54:THR:SG	0.483
93	A:126:TRP:HB3	A:153:PHE:O	0.482
93	A:18:TYR:CE1	A:26:THR:CG2	0.481
93	A:78:ILE:HG23	A:84:LEU:HD22	0.479
93	A:1:MET:HG2	A:158:TRP:CD2	0.478

Model ID	Atom-1	Atom-2	Clash overlap (Å)
93	A:120:MET:HG2	A:125:ARG:HD2	0.478
93	A:87:VAL:HG13	A:122:GLN:HB2	0.477
93	A:25:TYR:CE1	A:39:LEU:CD1	0.476
93	A:17:ILE:HD11	A:46:LEU:HD22	0.475
93	A:102:MET:HA	A:138:TRP:CH2	0.472
93	A:121:LEU:HA	A:126:TRP:CZ3	0.472
93	A:7:LEU:HB3	A:67:PHE:CE1	0.469
93	A:29:ILE:HB	A:67:PHE:CD1	0.469
93	A:105:GLN:HE22	A:145:ARG:HG2	0.468
93	A:11:GLU:HB2	A:29:ILE:CG2	0.467
93	A:27:ILE:HB	A:33:LEU:HD23	0.465
93	A:46:LEU:O	A:50:ILE:HG12	0.464
93	A:97:ALA:HB1	A:158:TRP:HH2	0.464
93	A:27:ILE:HG21	A:66:LEU:HD13	0.460
93	A:121:LEU:HD21	A:153:PHE:CD1	0.460
93	A:81:ASN:HB3	A:84:LEU:HB2	0.459
93	A:6:MET:HG3	A:158:TRP:HZ3	0.454
93	A:91:LEU:HD13	A:99:LEU:CD1	0.449
93	A:44:SER:O	A:48:LYS:HB2	0.448
93	A:142:THR:HG21	A:145:ARG:NH1	0.438
93	A:138:TRP:HZ2	A:149:VAL:HG21	0.438
93	A:102:MET:SD	A:133:LEU:HD21	0.436
93	A:121:LEU:HD23	A:126:TRP:CE3	0.433

Model ID	Atom-1	Atom-2	Clash overlap (Å)
93	A:134:ALA:HA	A:150:ILE:HD13	0.433
93	A:84:LEU:HD23	A:88:TYR:HB2	0.431
93	A:130:ALA:HB1	A:150:ILE:HG22	0.429
93	A:11:GLU:OE2	A:30:GLY:HA3	0.427
93	A:71:VAL:HG13	A:100:ILE:HG21	0.424
93	A:50:ILE:HG13	A:58:ILE:HG22	0.423
93	A:102:MET:CE	A:111:VAL:HG13	0.421
93	A:136:SER:OG	A:138:TRP:HB3	0.417
93	A:94:VAL:O	A:97:ALA:HB3	0.414
93	A:99:LEU:HD23	A:153:PHE:HZ	0.413
93	A:34:THR:HG23	A:36:SER:O	0.412
93	A:18:TYR:CE1	A:26:THR:HG22	0.410
93	A:76:ARG:O	A:80:ARG:HG3	0.408
93	A:17:ILE:HD11	A:46:LEU:HD23	0.407
93	A:102:MET:SD	A:133:LEU:HD11	0.405
93	A:114:PHE:O	A:118:LEU:HG	0.403
93	A:27:ILE:HG12	A:46:LEU:HD13	0.402
93	A:87:VAL:HG22	A:122:GLN:HB2	0.402
94	A:121:LEU:HD13	A:126:TRP:HZ3	1.033
94	A:1:MET:HE1	A:9:ILE:HD12	1.020
94	A:130:ALA:HB1	A:150:ILE:HG23	1.007
94	A:78:ILE:HG13	A:103:VAL:HG21	0.966
94	A:27:ILE:HD13	A:46:LEU:HD13	0.931

Model ID	Atom-1	Atom-2	Clash overlap (Å)
94	A:27:ILE:HG22	A:31:HIS:HB3	0.928
94	A:121:LEU:HD13	A:126:TRP:CZ3	0.875
94	A:50:ILE:HD11	A:66:LEU:HD11	0.865
94	A:33:LEU:HD22	A:45:GLU:HB3	0.846
94	A:130:ALA:CB	A:150:ILE:HG23	0.828
94	A:17:ILE:HG23	A:39:LEU:HD12	0.810
94	A:1:MET:HB3	A:158:TRP:HB3	0.789
94	A:88:TYR:HD1	A:99:LEU:HD13	0.789
94	A:148:ARG:HB2	A:161:TYR:CE1	0.788
94	A:13:LEU:HD13	A:29:ILE:CD1	0.766
94	A:29:ILE:HD13	A:67:PHE:CB	0.763
94	A:50:ILE:CD1	A:66:LEU:HD11	0.759
94	A:78:ILE:CG1	A:103:VAL:HG21	0.749
94	A:6:MET:SD	A:158:TRP:HZ3	0.742
94	A:88:TYR:CD1	A:99:LEU:HD13	0.740
94	A:58:ILE:HD12	A:63:ALA:HB2	0.733
94	A:138:TRP:HB3	A:146:ALA:HB2	0.683
94	A:120:MET:HB3	A:125:ARG:HB3	0.679
94	A:13:LEU:HD13	A:29:ILE:HD11	0.672
94	A:58:ILE:CD1	A:63:ALA:HB2	0.663
94	A:27:ILE:HG22	A:31:HIS:CB	0.660
94	A:88:TYR:HD1	A:99:LEU:CD1	0.660
94	A:29:ILE:HD13	A:67:PHE:HB2	0.657

Model ID	Atom-1	Atom-2	Clash overlap (Å)
94	A:6:MET:HE3	A:161:TYR:CE1	0.648
94	A:1:MET:HE3	A:161:TYR:CD2	0.643
94	A:4:PHE:HE1	A:71:VAL:HG21	0.642
94	A:7:LEU:HD13	A:67:PHE:CE1	0.641
94	A:27:ILE:CD1	A:46:LEU:HD13	0.638
94	A:29:ILE:HD13	A:67:PHE:CD2	0.631
94	A:130:ALA:HB1	A:150:ILE:CG2	0.616
94	A:124:LYS:HB3	A:126:TRP:CZ2	0.614
94	A:4:PHE:CE1	A:71:VAL:HG21	0.611
94	A:27:ILE:CG1	A:58:ILE:HG12	0.591
94	A:99:LEU:CD2	A:153:PHE:HZ	0.587
94	A:29:ILE:HD13	A:67:PHE:CG	0.585
94	A:1:MET:HB3	A:158:TRP:CB	0.581
94	A:6:MET:SD	A:158:TRP:CZ3	0.581
94	A:7:LEU:HD13	A:67:PHE:HE1	0.579
94	A:27:ILE:HD13	A:46:LEU:CD1	0.577
94	A:151:THR:HG21	A:160:ALA:CB	0.575
94	A:84:LEU:HA	A:118:LEU:HD21	0.571
94	A:87:VAL:CG2	A:121:LEU:HB3	0.570
94	A:13:LEU:HB2	A:29:ILE:CG1	0.568
94	A:6:MET:HG3	A:161:TYR:CZ	0.566
94	A:99:LEU:HD23	A:102:MET:CE	0.563
94	A:91:LEU:HD13	A:99:LEU:HD12	0.560

Model ID	Atom-1	Atom-2	Clash overlap (Å)
94	A:87:VAL:HG12	A:122:GLN:HB2	0.556
94	A:91:LEU:HG	A:95:ARG:HB2	0.551
94	A:1:MET:HE1	A:9:ILE:CD1	0.543
94	A:3:ILE:HD13	A:97:ALA:HB1	0.543
94	A:106:MET:HE1	A:133:LEU:HD22	0.519
94	A:13:LEU:HB2	A:29:ILE:HG13	0.518
94	A:14:ARG:HG3	A:18:TYR:CD2	0.515
94	A:43:LYS:HG3	A:56:GLY:HA3	0.512
94	A:91:LEU:HG	A:95:ARG:CB	0.510
94	A:120:MET:SD	A:128:GLU:CB	0.509
94	A:17:ILE:HD12	A:26:THR:C	0.505
94	A:29:ILE:CD1	A:67:PHE:HB2	0.495
94	A:8:ARG:HD3	A:13:LEU:HB3	0.494
94	A:99:LEU:CD2	A:153:PHE:CZ	0.493
94	A:71:VAL:O	A:75:VAL:HG23	0.487
94	A:27:ILE:HG13	A:58:ILE:HG12	0.483
94	A:129:ALA:O	A:133:LEU:HG	0.480
94	A:102:MET:SD	A:133:LEU:HD21	0.478
94	A:13:LEU:HG	A:64:GLU:OE2	0.475
94	A:7:LEU:HD11	A:104:PHE:CD1	0.474
94	A:13:LEU:HA	A:29:ILE:HG13	0.474
94	A:7:LEU:HD11	A:104:PHE:CE1	0.466
94	A:144:ASN:O	A:148:ARG:HD3	0.462

Model ID	Atom-1	Atom-2	Clash overlap (Å)
94	A:99:LEU:HD23	A:153:PHE:HZ	0.460
94	A:61:ASP:O	A:65:LYS:HB2	0.453
94	A:102:MET:HA	A:138:TRP:CH2	0.453
94	A:88:TYR:CD1	A:99:LEU:CD1	0.448
94	A:105:GLN:HB3	A:138:TRP:NE1	0.446
94	A:78:ILE:HG21	A:88:TYR:CG	0.445
94	A:27:ILE:HG12	A:58:ILE:HG12	0.443
94	A:99:LEU:HD21	A:153:PHE:HZ	0.443
94	A:14:ARG:HB2	A:18:TYR:CD1	0.441
94	A:70:ASP:HB3	A:104:PHE:HE2	0.439
94	A:151:THR:HG21	A:160:ALA:HB2	0.438
94	A:13:LEU:CB	A:29:ILE:HG13	0.435
94	A:99:LEU:HD21	A:153:PHE:CZ	0.435
94	A:7:LEU:HD13	A:67:PHE:CZ	0.433
94	A:66:LEU:HD22	A:69:GLN:HB2	0.430
94	A:16:LYS:HD3	A:57:VAL:HG13	0.428
94	A:26:THR:HA	A:31:HIS:O	0.427
94	A:87:VAL:HG11	A:118:LEU:HD22	0.427
94	A:3:ILE:HB	A:97:ALA:HB1	0.424
94	A:148:ARG:HB2	A:161:TYR:HE1	0.424
94	A:84:LEU:HG	A:118:LEU:HD11	0.423
94	A:14:ARG:HG3	A:18:TYR:CG	0.421
94	A:120:MET:SD	A:128:GLU:HB2	0.420

Model ID	Atom-1	Atom-2	Clash overlap (Å)
94	A:15:LEU:HD23	A:16:LYS:HG2	0.417
94	A:25:TYR:HB2	A:34:THR:O	0.415
94	A:32:LEU:C	A:33:LEU:HD12	0.413
94	A:130:ALA:HB1	A:150:ILE:HG12	0.413
94	A:23:GLY:C	A:24:TYR:CG	0.411
94	A:133:LEU:HD11	A:153:PHE:CE2	0.410
94	A:50:ILE:HD12	A:66:LEU:HD11	0.409
94	A:6:MET:HE3	A:161:TYR:HE1	0.404
94	A:75:VAL:O	A:79:LEU:HD13	0.404
94	A:3:ILE:HB	A:97:ALA:SG	0.400
95	A:130:ALA:HB1	A:150:ILE:HG23	0.975
95	A:138:TRP:HB3	A:146:ALA:HB2	0.947
95	A:13:LEU:HD13	A:29:ILE:HG13	0.882
95	A:18:TYR:CE1	A:26:THR:HG22	0.869
95	A:130:ALA:CB	A:150:ILE:HG23	0.846
95	A:29:ILE:HD13	A:67:PHE:CD2	0.829
95	A:13:LEU:HD13	A:29:ILE:CG1	0.809
95	A:58:ILE:CD1	A:63:ALA:HB2	0.803
95	A:102:MET:HG2	A:111:VAL:HG22	0.795
95	A:105:GLN:HB3	A:138:TRP:CZ2	0.770
95	A:27:ILE:HD13	A:46:LEU:HD22	0.768
95	A:58:ILE:HD12	A:63:ALA:HB2	0.748
95	A:121:LEU:HD13	A:126:TRP:HZ3	0.744

Model ID	Atom-1	Atom-2	Clash overlap (Å)
95	A:27:ILE:HD11	A:58:ILE:HG12	0.743
95	A:27:ILE:HG12	A:46:LEU:HD13	0.723
95	A:43:LYS:HA	A:46:LEU:HB3	0.709
95	A:138:TRP:CB	A:146:ALA:HB2	0.709
95	A:138:TRP:HB3	A:146:ALA:CB	0.708
95	A:13:LEU:HD13	A:29:ILE:CD1	0.697
95	A:75:VAL:HA	A:78:ILE:HD12	0.686
95	A:7:LEU:CD1	A:67:PHE:HE1	0.684
95	A:46:LEU:HD12	A:50:ILE:CG1	0.676
95	A:126:TRP:HB2	A:154:ARG:HA	0.675
95	A:14:ARG:HG2	A:18:TYR:HB3	0.674
95	A:88:TYR:HD1	A:99:LEU:CD1	0.669
95	A:121:LEU:HD22	A:126:TRP:CE3	0.653
95	A:127:ASP:HA	A:154:ARG:HE	0.653
95	A:102:MET:HE3	A:111:VAL:HG13	0.646
95	A:6:MET:HG3	A:161:TYR:CZ	0.637
95	A:88:TYR:HD1	A:99:LEU:HD12	0.631
95	A:62:GLU:HA	A:65:LYS:HG2	0.630
95	A:120:MET:SD	A:128:GLU:HB2	0.627
95	A:130:ALA:HA	A:133:LEU:HB2	0.623
95	A:130:ALA:HB1	A:150:ILE:CG2	0.618
95	A:78:ILE:HG13	A:103:VAL:HG21	0.609
95	A:105:GLN:HB3	A:138:TRP:HZ2	0.606

Model ID	Atom-1	Atom-2	Clash overlap (Å)
95	A:99:LEU:HD23	A:102:MET:HE1	0.605
95	A:1:MET:HG2	A:158:TRP:CE3	0.592
95	A:46:LEU:HD12	A:50:ILE:HG13	0.588
95	A:13:LEU:HD13	A:29:ILE:HD11	0.584
95	A:99:LEU:HD23	A:102:MET:CE	0.580
95	A:7:LEU:HD13	A:67:PHE:HE1	0.573
95	A:75:VAL:HG22	A:100:ILE:HG12	0.573
95	A:91:LEU:CD1	A:99:LEU:HD11	0.571
95	A:88:TYR:CD1	A:99:LEU:HD12	0.570
95	A:50:ILE:HG23	A:66:LEU:HD11	0.569
95	A:7:LEU:HD13	A:67:PHE:CE1	0.567
95	A:121:LEU:HD13	A:126:TRP:CZ3	0.567
95	A:114:PHE:HB3	A:117:SER:HB3	0.566
95	A:46:LEU:CD1	A:50:ILE:HG13	0.551
95	A:105:GLN:CB	A:138:TRP:HZ2	0.546
95	A:17:ILE:HD11	A:43:LYS:HB3	0.541
95	A:97:ALA:HA	A:100:ILE:HD12	0.541
95	A:99:LEU:HD23	A:153:PHE:HZ	0.541
95	A:1:MET:HE1	A:9:ILE:HD13	0.534
95	A:151:THR:HG21	A:160:ALA:CB	0.532
95	A:74:ALA:HB2	A:104:PHE:HD2	0.530
95	A:81:ASN:HB2	A:84:LEU:HB2	0.530
95	A:105:GLN:HB3	A:138:TRP:CE2	0.530

Model ID	Atom-1	Atom-2	Clash overlap (Å)
95	A:120:MET:SD	A:128:GLU:CB	0.530
95	A:58:ILE:HD13	A:63:ALA:HB2	0.526
95	A:78:ILE:HG23	A:84:LEU:HD12	0.525
95	A:1:MET:HB3	A:158:TRP:CG	0.521
95	A:6:MET:HE3	A:161:TYR:CE1	0.520
95	A:102:MET:SD	A:133:LEU:HD21	0.516
95	A:27:ILE:CD1	A:46:LEU:HD22	0.515
95	A:1:MET:SD	A:5:GLU:HB3	0.504
95	A:47:ASP:HA	A:54:THR:SG	0.504
95	A:46:LEU:HD12	A:50:ILE:HG12	0.503
95	A:105:GLN:CB	A:138:TRP:CZ2	0.502
95	A:7:LEU:HB3	A:67:PHE:CE1	0.500
95	A:17:ILE:HG21	A:42:ALA:HB1	0.498
95	A:121:LEU:HD11	A:153:PHE:HE1	0.497
95	A:7:LEU:CD1	A:67:PHE:CE1	0.493
95	A:7:LEU:HB3	A:67:PHE:HE1	0.492
95	A:91:LEU:HD21	A:126:TRP:CH2	0.490
95	A:3:ILE:O	A:6:MET:HB3	0.487
95	A:3:ILE:HD13	A:97:ALA:O	0.485
95	A:88:TYR:CD1	A:99:LEU:CD1	0.482
95	A:126:TRP:HA	A:129:ALA:HB3	0.478
95	A:138:TRP:C	A:146:ALA:HB2	0.477
95	A:135:LYS:HA	A:140:ASN:HD22	0.473

Model ID	Atom-1	Atom-2	Clash overlap (Å)
95	A:101:ASN:O	A:105:GLN:HB2	0.470
95	A:29:ILE:HG21	A:67:PHE:CE1	0.468
95	A:84:LEU:CD1	A:88:TYR:HB2	0.465
95	A:7:LEU:HA	A:10:ASP:HB2	0.464
95	A:121:LEU:HD21	A:153:PHE:CD1	0.462
95	A:13:LEU:HG	A:64:GLU:OE2	0.460
95	A:27:ILE:CD1	A:58:ILE:HG12	0.460
95	A:117:SER:HA	A:120:MET:HB2	0.459
95	A:121:LEU:HD21	A:153:PHE:CE1	0.457
95	A:71:VAL:HA	A:104:PHE:CD2	0.454
95	A:44:SER:O	A:47:ASP:HB3	0.450
95	A:136:SER:HB2	A:138:TRP:H	0.445
95	A:134:ALA:HA	A:139:TYR:HB3	0.443
95	A:13:LEU:CD1	A:29:ILE:HG13	0.442
95	A:151:THR:HG21	A:160:ALA:HB3	0.442
95	A:78:ILE:HG21	A:88:TYR:CD2	0.441
95	A:71:VAL:O	A:74:ALA:HB3	0.438
95	A:7:LEU:HD12	A:67:PHE:HE1	0.435
95	A:121:LEU:CD1	A:126:TRP:HZ3	0.435
95	A:127:ASP:O	A:131:VAL:HG23	0.434
95	A:46:LEU:HD21	A:58:ILE:HG23	0.430
95	A:92:ASP:O	A:96:ARG:HG3	0.429
95	A:15:LEU:O	A:58:ILE:HG13	0.428

Model ID	Atom-1	Atom-2	Clash overlap (Å)
95	A:102:MET:HA	A:138:TRP:HH2	0.426
95	A:39:LEU:O	A:43:LYS:HG2	0.424
95	A:52:ARG:NH1	A:58:ILE:HG22	0.424
95	A:8:ARG:HG3	A:13:LEU:HB2	0.421
95	A:17:ILE:HG13	A:39:LEU:HD12	0.420
95	A:102:MET:SD	A:133:LEU:HD11	0.420
95	A:29:ILE:HD13	A:67:PHE:CG	0.416
95	A:57:VAL:HG12	A:58:ILE:O	0.416
95	A:91:LEU:HD13	A:99:LEU:HD11	0.413
95	A:91:LEU:HD11	A:121:LEU:CD1	0.412
95	A:60:LYS:H	A:60:LYS:HG2	0.411
95	A:105:GLN:HB3	A:138:TRP:NE1	0.410
95	A:148:ARG:HB3	A:161:TYR:CD1	0.408
95	A:14:ARG:HA	A:14:ARG:HD3	0.406
95	A:74:ALA:O	A:103:VAL:HG11	0.406
95	A:13:LEU:CD1	A:29:ILE:HD11	0.405
95	A:4:PHE:HB3	A:67:PHE:CE2	0.401
96	A:7:LEU:HB3	A:67:PHE:HZ	1.044
96	A:7:LEU:HB3	A:67:PHE:CZ	0.983
96	A:46:LEU:HD11	A:58:ILE:HG21	0.957
96	A:11:GLU:HB2	A:29:ILE:HG23	0.934
96	A:6:MET:SD	A:97:ALA:HB1	0.916
96	A:18:TYR:CE1	A:26:THR:HG23	0.875

Model ID	Atom-1	Atom-2	Clash overlap (Å)
96	A:74:ALA:CB	A:100:ILE:HG23	0.864
96	A:46:LEU:HD11	A:58:ILE:CG2	0.817
96	A:13:LEU:HD13	A:29:ILE:HD11	0.809
96	A:1:MET:SD	A:5:GLU:HB3	0.787
96	A:11:GLU:CB	A:29:ILE:HG23	0.787
96	A:130:ALA:CB	A:154:ARG:HG3	0.785
96	A:25:TYR:HE1	A:39:LEU:HD12	0.777
96	A:15:LEU:HD22	A:58:ILE:HG13	0.770
96	A:25:TYR:CE1	A:39:LEU:HD12	0.754
96	A:148:ARG:HB3	A:161:TYR:CE1	0.754
96	A:4:PHE:CE1	A:71:VAL:HG11	0.748
96	A:102:MET:SD	A:133:LEU:HD21	0.737
96	A:102:MET:HG2	A:111:VAL:HG22	0.733
96	A:106:MET:SD	A:138:TRP:CE3	0.728
96	A:138:TRP:HH2	A:149:VAL:HG11	0.715
96	A:138:TRP:CH2	A:149:VAL:HG11	0.708
96	A:19:LYS:HB3	A:23:GLY:HA2	0.702
96	A:74:ALA:HB1	A:100:ILE:HG23	0.687
96	A:87:VAL:HG21	A:122:GLN:HB2	0.668
96	A:102:MET:HE3	A:111:VAL:HG13	0.655
96	A:74:ALA:HB3	A:100:ILE:HG23	0.648
96	A:25:TYR:HE1	A:39:LEU:CD1	0.634
96	A:13:LEU:HD13	A:29:ILE:CD1	0.628

Model ID	Atom-1	Atom-2	Clash overlap (Å)
96	A:130:ALA:HB2	A:154:ARG:HG3	0.621
96	A:87:VAL:HG21	A:122:GLN:HE21	0.620
96	A:106:MET:SD	A:138:TRP:HE3	0.620
96	A:29:ILE:HG21	A:67:PHE:CE1	0.614
96	A:78:ILE:CG2	A:84:LEU:HD22	0.614
96	A:133:LEU:HB3	A:150:ILE:HG12	0.608
96	A:139:TYR:HE1	A:147:LYS:HB2	0.598
96	A:102:MET:HG2	A:111:VAL:CG2	0.589
96	A:29:ILE:HD13	A:67:PHE:CG	0.580
96	A:27:ILE:HG21	A:46:LEU:HD13	0.577
96	A:120:MET:HB3	A:125:ARG:HB3	0.577
96	A:27:ILE:HG22	A:33:LEU:HD21	0.562
96	A:84:LEU:CD2	A:88:TYR:HB2	0.553
96	A:70:ASP:HB3	A:104:PHE:CE2	0.551
96	A:99:LEU:HD21	A:121:LEU:HD13	0.547
96	A:1:MET:HE1	A:9:ILE:CD1	0.544
96	A:14:ARG:HG3	A:18:TYR:CE2	0.539
96	A:88:TYR:CD1	A:99:LEU:HD12	0.537
96	A:7:LEU:CB	A:67:PHE:HZ	0.536
96	A:91:LEU:HB3	A:96:ARG:HG3	0.529
96	A:102:MET:HE3	A:111:VAL:CG1	0.521
96	A:121:LEU:CD2	A:126:TRP:CE3	0.519
96	A:4:PHE:CE1	A:71:VAL:CG1	0.518

Model ID	Atom-1	Atom-2	Clash overlap (Å)
96	A:15:LEU:CD2	A:58:ILE:HG13	0.518
96	A:3:ILE:HD13	A:97:ALA:HA	0.514
96	A:87:VAL:HG11	A:122:GLN:HA	0.514
96	A:78:ILE:HG22	A:84:LEU:HD22	0.508
96	A:39:LEU:O	A:43:LYS:HG2	0.503
96	A:77:GLY:HA3	A:103:VAL:HG11	0.493
96	A:4:PHE:CD1	A:71:VAL:HG11	0.481
96	A:84:LEU:HD23	A:88:TYR:HB2	0.479
96	A:6:MET:HE2	A:101:ASN:HD22	0.478
96	A:71:VAL:O	A:75:VAL:HG23	0.474
96	A:125:ARG:HG3	A:128:GLU:HB2	0.473
96	A:99:LEU:HD23	A:153:PHE:HZ	0.471
96	A:8:ARG:HG3	A:67:PHE:CE2	0.469
96	A:102:MET:HA	A:138:TRP:CH2	0.466
96	A:94:VAL:HG22	A:158:TRP:NE1	0.464
96	A:27:ILE:CG2	A:33:LEU:HD21	0.455
96	A:88:TYR:HD1	A:99:LEU:HD12	0.452
96	A:29:ILE:HD13	A:67:PHE:HB2	0.446
96	A:27:ILE:HG12	A:46:LEU:HD13	0.445
96	A:18:TYR:CD1	A:26:THR:HG23	0.441
96	A:121:LEU:HD23	A:126:TRP:CE3	0.438
96	A:121:LEU:CD2	A:126:TRP:HE3	0.434
96	A:1:MET:HE1	A:9:ILE:HD11	0.432

Model ID	Atom-1	Atom-2	Clash overlap (Å)
96	A:27:ILE:HD13	A:46:LEU:HD22	0.432
96	A:29:ILE:HG21	A:67:PHE:HE1	0.431
96	A:43:LYS:O	A:46:LEU:HB3	0.431
96	A:139:TYR:CE1	A:147:LYS:HB2	0.429
96	A:14:ARG:HB2	A:18:TYR:CD1	0.427
96	A:17:ILE:HG13	A:27:ILE:HD13	0.425
96	A:91:LEU:HD21	A:126:TRP:CH2	0.424
96	A:136:SER:OG	A:138:TRP:HB3	0.424
96	A:84:LEU:HD23	A:88:TYR:CB	0.422
96	A:99:LEU:O	A:103:VAL:HG23	0.421
96	A:138:TRP:CZ2	A:149:VAL:HG21	0.419
96	A:3:ILE:HG12	A:100:ILE:HB	0.417
96	A:10:ASP:OD1	A:148:ARG:NH2	0.412
96	A:50:ILE:HG21	A:62:GLU:HG2	0.410
96	A:121:LEU:HD21	A:129:ALA:HB2	0.406
96	A:66:LEU:O	A:69:GLN:HB2	0.405
96	A:130:ALA:HB1	A:150:ILE:CG2	0.401
96	A:121:LEU:HD21	A:129:ALA:CB	0.400
97	A:25:TYR:HE1	A:39:LEU:HD12	1.003
97	A:102:MET:HG2	A:111:VAL:HG22	0.989
97	A:25:TYR:CE1	A:39:LEU:HD12	0.945
97	A:7:LEU:HB3	A:67:PHE:HZ	0.940
97	A:1:MET:SD	A:5:GLU:HB3	0.908

Model ID	Atom-1	Atom-2	Clash overlap (Å)
97	A:102:MET:HE3	A:111:VAL:HG13	0.899
97	A:18:TYR:CE1	A:26:THR:HG22	0.868
97	A:27:ILE:HD13	A:46:LEU:HD22	0.856
97	A:13:LEU:HD13	A:29:ILE:HD11	0.834
97	A:15:LEU:HD22	A:58:ILE:HG13	0.821
97	A:7:LEU:HB3	A:67:PHE:CZ	0.790
97	A:8:ARG:HG2	A:29:ILE:HG12	0.772
97	A:27:ILE:CD1	A:46:LEU:HD22	0.767
97	A:46:LEU:HD11	A:58:ILE:HG23	0.752
97	A:27:ILE:HG22	A:33:LEU:HD21	0.748
97	A:88:TYR:HD1	A:99:LEU:HD12	0.734
97	A:106:MET:SD	A:138:TRP:CE3	0.729
97	A:7:LEU:CB	A:67:PHE:HZ	0.727
97	A:75:VAL:HA	A:78:ILE:HD12	0.704
97	A:27:ILE:HG12	A:46:LEU:HD13	0.695
97	A:81:ASN:HB3	A:84:LEU:HB2	0.695
97	A:78:ILE:HG22	A:84:LEU:HD22	0.684
97	A:1:MET:HE1	A:9:ILE:HD12	0.679
97	A:71:VAL:HG13	A:100:ILE:HG21	0.669
97	A:106:MET:SD	A:138:TRP:HE3	0.640
97	A:148:ARG:HB3	A:161:TYR:CE1	0.639
97	A:25:TYR:HE1	A:39:LEU:CD1	0.639
97	A:27:ILE:CG2	A:33:LEU:HD21	0.635

Model ID	Atom-1	Atom-2	Clash overlap (Å)
97	A:78:ILE:CG2	A:84:LEU:HD22	0.629
97	A:121:LEU:HD23	A:126:TRP:CE3	0.621
97	A:88:TYR:CD1	A:99:LEU:HD12	0.614
97	A:16:LYS:HD3	A:57:VAL:HG22	0.602
97	A:142:THR:HB	A:145:ARG:HB3	0.602
97	A:79:LEU:HG	A:85:LYS:HG2	0.597
97	A:27:ILE:HG22	A:33:LEU:CD2	0.588
97	A:121:LEU:CD2	A:126:TRP:HE3	0.582
97	A:133:LEU:HB3	A:150:ILE:HG12	0.582
97	A:106:MET:HG2	A:110:GLY:HA3	0.578
97	A:1:MET:CE	A:9:ILE:HD12	0.575
97	A:91:LEU:HD13	A:99:LEU:HD11	0.575
97	A:91:LEU:CD1	A:99:LEU:HD11	0.571
97	A:15:LEU:CD2	A:58:ILE:HG13	0.565
97	A:130:ALA:CB	A:154:ARG:HG3	0.565
97	A:25:TYR:HB3	A:42:ALA:HB2	0.555
97	A:102:MET:SD	A:133:LEU:HD21	0.555
97	A:43:LYS:HA	A:46:LEU:HD23	0.554
97	A:78:ILE:CG1	A:103:VAL:HG21	0.551
97	A:29:ILE:HD13	A:67:PHE:CD2	0.540
97	A:103:VAL:HG22	A:111:VAL:HG21	0.539
97	A:7:LEU:HD23	A:11:GLU:HG3	0.538
97	A:121:LEU:CD2	A:126:TRP:CE3	0.535

Model ID	Atom-1	Atom-2	Clash overlap (Å)
97	A:139:TYR:HE1	A:147:LYS:HB3	0.530
97	A:3:ILE:HB	A:97:ALA:SG	0.529
97	A:78:ILE:HD11	A:100:ILE:HA	0.525
97	A:84:LEU:CD2	A:88:TYR:HB2	0.525
97	A:105:GLN:HE22	A:145:ARG:HG2	0.518
97	A:102:MET:HG2	A:111:VAL:CG2	0.510
97	A:91:LEU:HB3	A:96:ARG:HG3	0.508
97	A:29:ILE:HD13	A:67:PHE:CG	0.504
97	A:144:ASN:HA	A:147:LYS:HG3	0.504
97	A:66:LEU:HD22	A:69:GLN:HB2	0.498
97	A:120:MET:HB3	A:125:ARG:HB3	0.498
97	A:99:LEU:HD23	A:153:PHE:HZ	0.497
97	A:33:LEU:HD12	A:45:GLU:HB3	0.492
97	A:99:LEU:HD21	A:121:LEU:HD13	0.485
97	A:74:ALA:HB3	A:100:ILE:HG23	0.484
97	A:78:ILE:HG13	A:103:VAL:HG21	0.484
97	A:121:LEU:HD23	A:126:TRP:HE3	0.484
97	A:46:LEU:CD1	A:58:ILE:HG23	0.481
97	A:29:ILE:HB	A:67:PHE:CD1	0.476
97	A:6:MET:HG3	A:158:TRP:HZ3	0.473
97	A:102:MET:HA	A:138:TRP:CH2	0.473
97	A:130:ALA:HB1	A:150:ILE:CG2	0.469
97	A:6:MET:HE1	A:98:ALA:HA	0.467

Model ID	Atom-1	Atom-2	Clash overlap (Å)
97	A:42:ALA:O	A:46:LEU:HB3	0.467
97	A:114:PHE:O	A:118:LEU:HD23	0.466
97	A:70:ASP:HB3	A:104:PHE:CE2	0.461
97	A:148:ARG:HB3	A:161:TYR:CZ	0.461
97	A:46:LEU:O	A:50:ILE:HG12	0.456
97	A:78:ILE:HG12	A:103:VAL:HG21	0.454
97	A:136:SER:OG	A:138:TRP:HB3	0.453
97	A:79:LEU:HD13	A:85:LYS:HE3	0.447
97	A:88:TYR:HD1	A:99:LEU:CD1	0.447
97	A:24:TYR:CB	A:32:LEU:HD11	0.445
97	A:41:ALA:O	A:45:GLU:HB2	0.442
97	A:130:ALA:HB1	A:150:ILE:HG22	0.441
97	A:138:TRP:HH2	A:149:VAL:HG11	0.441
97	A:91:LEU:HD13	A:99:LEU:CD1	0.438
97	A:50:ILE:HG21	A:62:GLU:HG2	0.437
97	A:102:MET:HE3	A:111:VAL:CG1	0.431
97	A:1:MET:HE3	A:158:TRP:CE3	0.427
97	A:94:VAL:O	A:97:ALA:HB3	0.427
97	A:9:ILE:HG22	A:148:ARG:NH1	0.426
97	A:26:THR:HA	A:31:HIS:O	0.426
97	A:50:ILE:HG21	A:62:GLU:CG	0.419
97	A:31:HIS:CD2	A:66:LEU:HD11	0.418
97	A:85:LYS:HB3	A:85:LYS:HE2	0.414

Model ID	Atom-1	Atom-2	Clash overlap (Å)
97	A:95:ARG:HD2	A:126:TRP:CE3	0.414
97	A:124:LYS:HA	A:126:TRP:CE2	0.412
97	A:137:ARG:HB2	A:137:ARG:HE	0.411
97	A:81:ASN:O	A:85:LYS:HG3	0.410
97	A:142:THR:HG21	A:145:ARG:HH11	0.410
97	A:91:LEU:HD22	A:92:ASP:H	0.409
97	A:35:LYS:HA	A:35:LYS:HD2	0.407
97	A:5:GLU:O	A:9:ILE:HG13	0.406
97	A:102:MET:CE	A:111:VAL:HG13	0.406
97	A:124:LYS:HA	A:126:TRP:CZ2	0.405
97	A:3:ILE:HG12	A:100:ILE:HD12	0.404
97	A:4:PHE:O	A:8:ARG:HG3	0.404
97	A:24:TYR:HB2	A:32:LEU:HD11	0.403
97	A:31:HIS:CE1	A:66:LEU:HD21	0.403
97	A:1:MET:HE1	A:6:MET:HA	0.401
97	A:95:ARG:O	A:99:LEU:HG	0.401
98	A:15:LEU:HD22	A:58:ILE:HG13	1.178
98	A:1:MET:SD	A:5:GLU:HB3	1.036
98	A:121:LEU:HD11	A:153:PHE:HE1	1.012
98	A:78:ILE:HG23	A:84:LEU:HD22	0.982
98	A:102:MET:HE3	A:111:VAL:HG13	0.959
98	A:78:ILE:CG2	A:84:LEU:HD22	0.859
98	A:7:LEU:HB3	A:67:PHE:CZ	0.852

Model ID	Atom-1	Atom-2	Clash overlap (Å)
98	A:7:LEU:HB3	A:67:PHE:HZ	0.833
98	A:102:MET:HG2	A:111:VAL:HG22	0.826
98	A:121:LEU:HD11	A:153:PHE:CE1	0.797
98	A:15:LEU:CD2	A:58:ILE:HG13	0.775
98	A:13:LEU:HD13	A:29:ILE:HD11	0.766
98	A:106:MET:SD	A:138:TRP:CE3	0.724
98	A:27:ILE:HG12	A:46:LEU:HD11	0.723
98	A:121:LEU:HD22	A:126:TRP:CE3	0.720
98	A:106:MET:HE1	A:114:PHE:HE1	0.681
98	A:138:TRP:CH2	A:149:VAL:HG11	0.679
98	A:33:LEU:HD13	A:42:ALA:HB1	0.670
98	A:18:TYR:CE1	A:26:THR:HG22	0.653
98	A:130:ALA:CB	A:154:ARG:HG3	0.648
98	A:78:ILE:HG13	A:103:VAL:HG21	0.636
98	A:102:MET:HE3	A:111:VAL:CG1	0.634
98	A:75:VAL:HA	A:78:ILE:HD12	0.628
98	A:27:ILE:HG22	A:33:LEU:HD21	0.627
98	A:17:ILE:HD11	A:46:LEU:HD23	0.615
98	A:148:ARG:HB3	A:161:TYR:CE1	0.606
98	A:6:MET:HG3	A:161:TYR:CE2	0.604
98	A:25:TYR:HE1	A:39:LEU:CD1	0.603
98	A:121:LEU:HD22	A:126:TRP:CZ3	0.595
98	A:88:TYR:HD1	A:99:LEU:CD1	0.593

Model ID	Atom-1	Atom-2	Clash overlap (Å)
98	A:102:MET:HG2	A:111:VAL:CG2	0.593
98	A:25:TYR:CE1	A:39:LEU:HD12	0.590
98	A:106:MET:HE1	A:114:PHE:CE1	0.581
98	A:121:LEU:CD1	A:153:PHE:HE1	0.580
98	A:87:VAL:HG22	A:122:GLN:HB2	0.576
98	A:29:ILE:HD13	A:67:PHE:CG	0.573
98	A:130:ALA:HB2	A:154:ARG:HG3	0.573
98	A:11:GLU:HB2	A:29:ILE:CG2	0.572
98	A:130:ALA:HB1	A:150:ILE:HG23	0.569
98	A:27:ILE:HD13	A:46:LEU:HD21	0.555
98	A:11:GLU:HB2	A:29:ILE:HG23	0.553
98	A:78:ILE:HD11	A:100:ILE:HA	0.546
98	A:27:ILE:HG13	A:58:ILE:HD13	0.545
98	A:106:MET:CE	A:114:PHE:HE1	0.539
98	A:52:ARG:HB3	A:54:THR:SG	0.527
98	A:88:TYR:HD1	A:99:LEU:HD12	0.524
98	A:43:LYS:HA	A:46:LEU:HB2	0.515
98	A:88:TYR:CD1	A:99:LEU:HD12	0.515
98	A:25:TYR:HE1	A:39:LEU:HD12	0.507
98	A:138:TRP:HH2	A:149:VAL:HG11	0.501
98	A:33:LEU:C	A:45:GLU:HG3	0.500
98	A:7:LEU:HD22	A:67:PHE:HE1	0.492
98	A:1:MET:HG2	A:158:TRP:CE3	0.490

Model ID	Atom-1	Atom-2	Clash overlap (Å)
98	A:74:ALA:HB3	A:100:ILE:CG2	0.489
98	A:17:ILE:HG13	A:27:ILE:HD13	0.484
98	A:121:LEU:HD22	A:126:TRP:HE3	0.477
98	A:91:LEU:CD1	A:99:LEU:HD11	0.473
98	A:13:LEU:HD11	A:63:ALA:HB1	0.466
98	A:74:ALA:HB3	A:100:ILE:HG23	0.463
98	A:13:LEU:HD11	A:63:ALA:CB	0.456
98	A:97:ALA:SG	A:158:TRP:HZ2	0.456
98	A:3:ILE:HG12	A:100:ILE:HD12	0.455
98	A:120:MET:SD	A:128:GLU:HB3	0.455
98	A:121:LEU:HD21	A:153:PHE:HD1	0.451
98	A:74:ALA:CB	A:100:ILE:HG23	0.450
98	A:7:LEU:HB3	A:67:PHE:CE1	0.447
98	A:130:ALA:HB1	A:150:ILE:CG2	0.447
98	A:29:ILE:HB	A:67:PHE:CD1	0.443
98	A:46:LEU:O	A:50:ILE:HG12	0.442
98	A:11:GLU:CB	A:29:ILE:HG23	0.440
98	A:6:MET:SD	A:97:ALA:HB1	0.439
98	A:13:LEU:HD13	A:29:ILE:CD1	0.433
98	A:32:LEU:O	A:33:LEU:HD22	0.432
98	A:102:MET:HA	A:138:TRP:CH2	0.425
98	A:84:LEU:HD23	A:88:TYR:HB2	0.419
98	A:78:ILE:HG21	A:88:TYR:CG	0.416

Model ID	Atom-1	Atom-2	Clash overlap (Å)
98	A:25:TYR:O	A:33:LEU:HB2	0.413
98	A:88:TYR:CD1	A:99:LEU:CD1	0.412
98	A:127:ASP:O	A:131:VAL:HG23	0.410
98	A:50:ILE:HD13	A:66:LEU:HG	0.409
98	A:85:LYS:O	A:89:ASP:HB2	0.408
98	A:75:VAL:O	A:79:LEU:HD23	0.407
98	A:121:LEU:CD2	A:126:TRP:CZ3	0.406
98	A:7:LEU:CD2	A:11:GLU:HG2	0.404
98	A:13:LEU:CD1	A:63:ALA:HB1	0.404
99	A:130:ALA:HB1	A:150:ILE:HG23	1.144
99	A:88:TYR:HD1	A:99:LEU:HD13	1.084
99	A:74:ALA:HB2	A:104:PHE:HD2	0.997
99	A:88:TYR:CD1	A:99:LEU:HD13	0.985
99	A:91:LEU:HD12	A:99:LEU:HD11	0.954
99	A:121:LEU:HD22	A:126:TRP:HE3	0.928
99	A:121:LEU:HD22	A:126:TRP:CE3	0.861
99	A:130:ALA:HB1	A:150:ILE:CG2	0.850
99	A:120:MET:SD	A:128:GLU:HB2	0.821
99	A:29:ILE:HD12	A:67:PHE:CD2	0.815
99	A:79:LEU:HD23	A:85:LYS:HG3	0.785
99	A:74:ALA:HB2	A:104:PHE:CD2	0.767
99	A:13:LEU:HD13	A:29:ILE:CG1	0.727
99	A:130:ALA:CB	A:150:ILE:HG23	0.721

Model ID	Atom-1	Atom-2	Clash overlap (Å)
99	A:13:LEU:HA	A:29:ILE:HG12	0.704
99	A:91:LEU:CD1	A:99:LEU:HD11	0.704
99	A:121:LEU:CD2	A:126:TRP:HE3	0.693
99	A:14:ARG:HG2	A:18:TYR:HB3	0.673
99	A:78:ILE:HD11	A:100:ILE:HA	0.671
99	A:138:TRP:CB	A:146:ALA:HB2	0.664
99	A:15:LEU:HD22	A:57:VAL:HG11	0.637
99	A:27:ILE:HB	A:33:LEU:HD11	0.635
99	A:46:LEU:CD1	A:50:ILE:HG13	0.630
99	A:29:ILE:HD12	A:67:PHE:CG	0.624
99	A:138:TRP:HB2	A:146:ALA:HB2	0.607
99	A:81:ASN:HB3	A:84:LEU:HB3	0.598
99	A:46:LEU:HD12	A:50:ILE:CG1	0.595
99	A:46:LEU:HD12	A:50:ILE:HG13	0.590
99	A:78:ILE:CG1	A:103:VAL:HG21	0.580
99	A:151:THR:HG21	A:160:ALA:CB	0.580
99	A:81:ASN:HB3	A:84:LEU:CB	0.576
99	A:75:VAL:HA	A:78:ILE:HD12	0.572
99	A:114:PHE:HE2	A:135:LYS:HD2	0.563
99	A:18:TYR:CE1	A:26:THR:HG22	0.552
99	A:117:SER:HA	A:120:MET:HB2	0.552
99	A:96:ARG:HA	A:99:LEU:HD12	0.551
99	A:138:TRP:HB3	A:145:ARG:C	0.549

Model ID	Atom-1	Atom-2	Clash overlap (Å)
99	A:15:LEU:HD22	A:57:VAL:CG1	0.547
99	A:124:LYS:HB3	A:126:TRP:CZ2	0.541
99	A:120:MET:CG	A:125:ARG:HB2	0.539
99	A:120:MET:HG2	A:125:ARG:HB2	0.539
99	A:46:LEU:HD21	A:58:ILE:HG23	0.535
99	A:18:TYR:CE1	A:26:THR:CG2	0.534
99	A:13:LEU:HD13	A:29:ILE:HG13	0.533
99	A:151:THR:HG21	A:160:ALA:HB1	0.531
99	A:114:PHE:CE1	A:133:LEU:HD23	0.525
99	A:3:ILE:HB	A:97:ALA:SG	0.518
99	A:120:MET:HG2	A:125:ARG:HG3	0.514
99	A:138:TRP:HB3	A:146:ALA:HB2	0.513
99	A:15:LEU:CD2	A:57:VAL:HG11	0.512
99	A:136:SER:HB2	A:138:TRP:H	0.512
99	A:19:LYS:HD2	A:25:TYR:CE2	0.511
99	A:106:MET:SD	A:136:SER:HB3	0.509
99	A:24:TYR:CB	A:32:LEU:HD11	0.508
99	A:10:ASP:HB3	A:11:GLU:OE1	0.502
99	A:78:ILE:HG13	A:103:VAL:HG21	0.502
99	A:17:ILE:HD11	A:43:LYS:HB3	0.501
99	A:127:ASP:O	A:131:VAL:HG23	0.501
99	A:99:LEU:HD23	A:102:MET:HE1	0.498
99	A:18:TYR:HE1	A:26:THR:HG22	0.492

Model ID	Atom-1	Atom-2	Clash overlap (Å)
99	A:136:SER:O	A:140:ASN:HB2	0.487
99	A:19:LYS:CD	A:25:TYR:CE2	0.483
99	A:46:LEU:HG	A:54:THR:SG	0.480
99	A:106:MET:HG3	A:136:SER:HB3	0.477
99	A:120:MET:SD	A:128:GLU:CB	0.476
99	A:47:ASP:HA	A:54:THR:SG	0.471
99	A:101:ASN:O	A:105:GLN:HB2	0.471
99	A:77:GLY:HA3	A:103:VAL:HG11	0.468
99	A:6:MET:HE3	A:158:TRP:HZ3	0.464
99	A:75:VAL:O	A:79:LEU:HD13	0.464
99	A:129:ALA:O	A:133:LEU:HG	0.464
99	A:43:LYS:O	A:46:LEU:HB3	0.463
99	A:92:ASP:O	A:96:ARG:HG3	0.460
99	A:98:ALA:HB2	A:152:THR:CG2	0.460
99	A:121:LEU:HD21	A:153:PHE:CD1	0.459
99	A:114:PHE:HB2	A:117:SER:HB3	0.456
99	A:148:ARG:HB3	A:161:TYR:CD1	0.453
99	A:102:MET:HA	A:138:TRP:HH2	0.448
99	A:135:LYS:HA	A:140:ASN:OD1	0.448
99	A:81:ASN:CG	A:84:LEU:HB2	0.446
99	A:138:TRP:CE3	A:146:ALA:HA	0.444
99	A:102:MET:SD	A:153:PHE:CE2	0.444
99	A:121:LEU:HD13	A:126:TRP:HZ3	0.440

Model ID	Atom-1	Atom-2	Clash overlap (Å)
99	A:7:LEU:HD21	A:104:PHE:CD1	0.437
99	A:19:LYS:HD2	A:25:TYR:HE2	0.437
99	A:99:LEU:HD23	A:102:MET:CE	0.435
99	A:1:MET:HG3	A:158:TRP:CE3	0.434
99	A:14:ARG:HA	A:14:ARG:HD3	0.433
99	A:24:TYR:HD1	A:35:LYS:HD3	0.431
99	A:7:LEU:HA	A:10:ASP:HB2	0.430
99	A:46:LEU:HD12	A:50:ILE:HG12	0.430
99	A:121:LEU:HD11	A:153:PHE:HE1	0.429
99	A:126:TRP:HA	A:129:ALA:HB3	0.429
99	A:151:THR:O	A:154:ARG:HB2	0.428
99	A:50:ILE:HG22	A:52:ARG:HG3	0.427
99	A:13:LEU:HD13	A:29:ILE:HG12	0.425
99	A:106:MET:HB2	A:138:TRP:CZ2	0.425
99	A:70:ASP:HB3	A:104:PHE:CE2	0.424
99	A:124:LYS:H	A:124:LYS:HG3	0.424
99	A:75:VAL:HG22	A:100:ILE:HG12	0.423
99	A:23:GLY:C	A:24:TYR:CG	0.422
99	A:105:GLN:HB3	A:138:TRP:CZ2	0.422
99	A:88:TYR:HD1	A:99:LEU:CD1	0.422
99	A:46:LEU:HD11	A:50:ILE:HG13	0.419
99	A:14:ARG:HB2	A:18:TYR:CD1	0.418
99	A:137:ARG:HD2	A:145:ARG:NH1	0.418

Model ID	Atom-1	Atom-2	Clash overlap (Å)
99	A:58:ILE:HB	A:62:GLU:HB3	0.411
99	A:121:LEU:HD21	A:153:PHE:CE1	0.411
99	A:151:THR:HA	A:154:ARG:HD2	0.411
99	A:102:MET:HA	A:138:TRP:CH2	0.410
99	A:14:ARG:CB	A:18:TYR:CD1	0.408
99	A:79:LEU:O	A:85:LYS:HB2	0.407
99	A:105:GLN:HB3	A:138:TRP:CE2	0.405
99	A:148:ARG:HB3	A:161:TYR:CE1	0.403
99	A:4:PHE:CE1	A:71:VAL:HG11	0.402
99	A:71:VAL:O	A:75:VAL:HG23	0.401
99	A:84:LEU:O	A:84:LEU:HD13	0.401
100	A:130:ALA:HB1	A:150:ILE:HG23	1.076
100	A:138:TRP:HB3	A:146:ALA:HB2	0.993
100	A:13:LEU:HD13	A:29:ILE:HD11	0.975
100	A:13:LEU:HD13	A:29:ILE:CD1	0.857
100	A:29:ILE:HD13	A:67:PHE:CD2	0.824
100	A:130:ALA:HB1	A:150:ILE:CG2	0.818
100	A:17:ILE:HD11	A:43:LYS:HB3	0.808
100	A:148:ARG:HB3	A:161:TYR:CE1	0.799
100	A:105:GLN:HB3	A:138:TRP:CZ2	0.796
100	A:78:ILE:HG23	A:84:LEU:HD12	0.787
100	A:138:TRP:CB	A:146:ALA:HB2	0.771
100	A:1:MET:HE3	A:161:TYR:HB3	0.757

Model ID	Atom-1	Atom-2	Clash overlap (Å)
100	A:50:ILE:CD1	A:66:LEU:HD11	0.746
100	A:13:LEU:HD13	A:29:ILE:CG1	0.737
100	A:91:LEU:HD11	A:121:LEU:HD12	0.735
100	A:151:THR:HG21	A:160:ALA:CB	0.730
100	A:139:TYR:HD1	A:146:ALA:HB3	0.728
100	A:78:ILE:HG13	A:103:VAL:HG21	0.727
100	A:139:TYR:HD1	A:146:ALA:CB	0.700
100	A:8:ARG:HD3	A:13:LEU:HG	0.696
100	A:120:MET:HG2	A:125:ARG:HB2	0.690
100	A:78:ILE:CG1	A:103:VAL:HG21	0.688
100	A:8:ARG:HG2	A:29:ILE:HG12	0.685
100	A:14:ARG:HG2	A:18:TYR:HB3	0.680
100	A:120:MET:SD	A:128:GLU:HB2	0.672
100	A:99:LEU:HD23	A:102:MET:CE	0.671
100	A:6:MET:HE1	A:98:ALA:HA	0.667
100	A:1:MET:HG2	A:158:TRP:CE3	0.664
100	A:99:LEU:HD23	A:102:MET:HE2	0.660
100	A:74:ALA:HB2	A:104:PHE:HD2	0.635
100	A:105:GLN:HB3	A:138:TRP:CE2	0.631
100	A:50:ILE:HD11	A:66:LEU:HD11	0.624
100	A:7:LEU:HD13	A:71:VAL:HG22	0.617
100	A:27:ILE:CD1	A:46:LEU:HD22	0.612
100	A:138:TRP:HB3	A:146:ALA:CB	0.609

Model ID	Atom-1	Atom-2	Clash overlap (Å)
100	A:151:THR:HG21	A:160:ALA:HB2	0.608
100	A:27:ILE:HD12	A:46:LEU:HD22	0.604
100	A:121:LEU:HD13	A:126:TRP:HZ3	0.600
100	A:139:TYR:CD1	A:146:ALA:HB3	0.599
100	A:29:ILE:HG21	A:67:PHE:CE1	0.597
100	A:91:LEU:CD1	A:99:LEU:HD11	0.592
100	A:121:LEU:HD22	A:126:TRP:HE3	0.590
100	A:1:MET:SD	A:5:GLU:HB3	0.584
100	A:7:LEU:HB3	A:67:PHE:HZ	0.584
100	A:6:MET:HG3	A:161:TYR:CZ	0.582
100	A:120:MET:CG	A:125:ARG:HB2	0.575
100	A:13:LEU:HD13	A:29:ILE:HG13	0.557
100	A:121:LEU:HD22	A:126:TRP:CE3	0.548
100	A:1:MET:HB3	A:158:TRP:CG	0.544
100	A:148:ARG:HB3	A:161:TYR:CZ	0.539
100	A:117:SER:HA	A:120:MET:HB2	0.536
100	A:46:LEU:CD1	A:50:ILE:HG13	0.532
100	A:50:ILE:HD13	A:66:LEU:HD11	0.530
100	A:120:MET:SD	A:128:GLU:CB	0.530
100	A:130:ALA:CB	A:150:ILE:HG23	0.526
100	A:99:LEU:HD23	A:153:PHE:HZ	0.524
100	A:124:LYS:HB3	A:126:TRP:CZ2	0.519
100	A:7:LEU:HD11	A:104:PHE:CE1	0.512

Model ID	Atom-1	Atom-2	Clash overlap (Å)
100	A:29:ILE:HG21	A:67:PHE:CZ	0.503
100	A:129:ALA:O	A:133:LEU:HG	0.502
100	A:105:GLN:OE1	A:145:ARG:HG2	0.494
100	A:151:THR:HG21	A:160:ALA:HB3	0.494
100	A:71:VAL:O	A:75:VAL:HG23	0.488
100	A:79:LEU:HG	A:85:LYS:HG3	0.486
100	A:1:MET:HE1	A:9:ILE:HD12	0.483
100	A:15:LEU:O	A:57:VAL:HG13	0.483
100	A:121:LEU:HD11	A:153:PHE:HE1	0.483
100	A:29:ILE:HD13	A:67:PHE:CG	0.479
100	A:50:ILE:HD11	A:66:LEU:CD1	0.479
100	A:101:ASN:O	A:105:GLN:HB2	0.477
100	A:120:MET:HE2	A:125:ARG:HD2	0.476
100	A:97:ALA:CB	A:158:TRP:HH2	0.475
100	A:7:LEU:CD1	A:71:VAL:HG22	0.470
100	A:121:LEU:HD21	A:153:PHE:CD1	0.468
100	A:22:GLU:HB3	A:24:TYR:CE2	0.464
100	A:121:LEU:HD21	A:153:PHE:CE1	0.463
100	A:3:ILE:HB	A:97:ALA:SG	0.462
100	A:74:ALA:HB2	A:104:PHE:CD2	0.460
100	A:88:TYR:HD1	A:99:LEU:HD12	0.459
100	A:57:VAL:HG12	A:58:ILE:O	0.458
100	A:78:ILE:HG12	A:103:VAL:HG21	0.457

Model ID	Atom-1	Atom-2	Clash overlap (Å)
100	A:19:LYS:HD3	A:25:TYR:CE2	0.454
100	A:22:GLU:HB3	A:24:TYR:CD2	0.454
100	A:81:ASN:ND2	A:84:LEU:HB2	0.454
100	A:99:LEU:HD23	A:102:MET:HE1	0.453
100	A:46:LEU:HD11	A:50:ILE:HG13	0.452
100	A:114:PHE:O	A:118:LEU:HG	0.452
100	A:7:LEU:HB3	A:67:PHE:CZ	0.451
100	A:46:LEU:HD12	A:50:ILE:CG1	0.450
100	A:148:ARG:HB3	A:161:TYR:CD1	0.449
100	A:91:LEU:HD11	A:121:LEU:CD1	0.447
100	A:18:TYR:CE1	A:26:THR:HG22	0.443
100	A:88:TYR:HD1	A:99:LEU:CD1	0.443
100	A:15:LEU:HD22	A:57:VAL:CG1	0.441
100	A:121:LEU:HD13	A:126:TRP:CZ3	0.441
100	A:8:ARG:HG3	A:67:PHE:CE2	0.440
100	A:127:ASP:O	A:131:VAL:HG23	0.439
100	A:27:ILE:HG22	A:33:LEU:HD21	0.438
100	A:26:THR:HG23	A:31:HIS:H	0.437
100	A:44:SER:O	A:47:ASP:HB3	0.435
100	A:102:MET:HG2	A:111:VAL:HG22	0.435
100	A:81:ASN:HD22	A:84:LEU:HB2	0.430
100	A:15:LEU:HD22	A:57:VAL:HG13	0.424
100	A:107:GLY:O	A:111:VAL:HG23	0.423

Model ID	Atom-1	Atom-2	Clash overlap (Å)
100	A:126:TRP:HA	A:129:ALA:HB3	0.423
100	A:17:ILE:HD13	A:42:ALA:HB3	0.422
100	A:78:ILE:HG21	A:88:TYR:CD2	0.421
100	A:97:ALA:HB1	A:158:TRP:HH2	0.418
100	A:126:TRP:HB2	A:154:ARG:HA	0.418
100	A:13:LEU:CD1	A:29:ILE:HG13	0.417
100	A:99:LEU:HD23	A:153:PHE:CZ	0.413
100	A:29:ILE:CG2	A:67:PHE:CE1	0.411
100	A:78:ILE:HD11	A:100:ILE:HA	0.411
100	A:106:MET:HB2	A:138:TRP:CZ2	0.411
100	A:50:ILE:CG2	A:52:ARG:HG3	0.408
100	A:14:ARG:CB	A:18:TYR:CD1	0.407
100	A:70:ASP:HB3	A:104:PHE:CE2	0.406
100	A:64:GLU:HA	A:67:PHE:HB3	0.402
100	A:136:SER:OG	A:138:TRP:HB2	0.402
101	A:50:ILE:HG23	A:62:GLU:HG2	1.058
101	A:15:LEU:HD22	A:58:ILE:HG13	0.986
101	A:121:LEU:HD11	A:153:PHE:HE1	0.969
101	A:106:MET:HE3	A:114:PHE:CE1	0.950
101	A:1:MET:SD	A:5:GLU:HB3	0.894
101	A:18:TYR:CE1	A:26:THR:HG22	0.857
101	A:13:LEU:HD13	A:29:ILE:CD1	0.841
101	A:13:LEU:HD13	A:29:ILE:HD12	0.830

Model ID	Atom-1	Atom-2	Clash overlap (Å)
101	A:121:LEU:HD11	A:153:PHE:CE1	0.809
101	A:15:LEU:CD2	A:58:ILE:HG13	0.806
101	A:87:VAL:HG22	A:122:GLN:HB2	0.800
101	A:77:GLY:HA3	A:103:VAL:HG11	0.741
101	A:50:ILE:CG2	A:62:GLU:HG2	0.739
101	A:106:MET:HE3	A:114:PHE:HE1	0.721
101	A:121:LEU:CD1	A:153:PHE:HE1	0.697
101	A:13:LEU:HD11	A:63:ALA:HB1	0.696
101	A:87:VAL:CG2	A:122:GLN:HB2	0.677
101	A:6:MET:HG2	A:161:TYR:CZ	0.638
101	A:138:TRP:HH2	A:149:VAL:HG11	0.618
101	A:13:LEU:HD11	A:63:ALA:CB	0.603
101	A:6:MET:HG2	A:161:TYR:CE2	0.602
101	A:105:GLN:HB3	A:138:TRP:HE1	0.580
101	A:102:MET:HE3	A:111:VAL:CG1	0.579
101	A:31:HIS:CG	A:66:LEU:HD22	0.559
101	A:50:ILE:HG23	A:62:GLU:CG	0.559
101	A:13:LEU:CD1	A:63:ALA:HB1	0.552
101	A:75:VAL:HG13	A:79:LEU:HD23	0.541
101	A:6:MET:HG3	A:158:TRP:HZ3	0.540
101	A:50:ILE:HD12	A:62:GLU:HB3	0.527
101	A:3:ILE:HB	A:97:ALA:SG	0.518
101	A:1:MET:SD	A:5:GLU:CB	0.517

Model ID	Atom-1	Atom-2	Clash overlap (Å)
101	A:27:ILE:HG12	A:58:ILE:HD13	0.516
101	A:120:MET:SD	A:128:GLU:HB3	0.515
101	A:102:MET:HE3	A:111:VAL:HG11	0.512
101	A:13:LEU:HA	A:29:ILE:HG13	0.511
101	A:87:VAL:HG22	A:122:GLN:CD	0.511
101	A:134:ALA:HA	A:150:ILE:HD13	0.505
101	A:11:GLU:HB2	A:29:ILE:HG23	0.503
101	A:15:LEU:O	A:58:ILE:HG12	0.500
101	A:26:THR:HG23	A:30:GLY:HA2	0.497
101	A:4:PHE:HE1	A:68:ASN:HA	0.497
101	A:29:ILE:HB	A:67:PHE:CD1	0.496
101	A:84:LEU:HD23	A:88:TYR:HB2	0.496
101	A:1:MET:HG3	A:158:TRP:CE3	0.493
101	A:99:LEU:HD23	A:153:PHE:HZ	0.490
101	A:6:MET:HG3	A:158:TRP:CZ3	0.487
101	A:27:ILE:CG1	A:58:ILE:HD13	0.485
101	A:47:ASP:HA	A:54:THR:SG	0.482
101	A:70:ASP:HB3	A:104:PHE:CE2	0.480
101	A:87:VAL:HG13	A:122:GLN:HA	0.478
101	A:25:TYR:CE1	A:39:LEU:CD1	0.477
101	A:1:MET:HE1	A:9:ILE:HD11	0.476
101	A:46:LEU:HD13	A:58:ILE:CG2	0.473
101	A:138:TRP:CH2	A:149:VAL:HG11	0.473

Model ID	Atom-1	Atom-2	Clash overlap (Å)
101	A:18:TYR:CE1	A:26:THR:CG2	0.472
101	A:46:LEU:HD13	A:58:ILE:HG23	0.471
101	A:102:MET:HA	A:138:TRP:CH2	0.471
101	A:3:ILE:HG12	A:100:ILE:HB	0.468
101	A:34:THR:HG21	A:41:ALA:HB3	0.466
101	A:78:ILE:HG23	A:84:LEU:HD22	0.461
101	A:46:LEU:O	A:50:ILE:HG12	0.460
101	A:92:ASP:O	A:96:ARG:HG3	0.459
101	A:109:THR:HA	A:112:ALA:HB3	0.459
101	A:41:ALA:O	A:45:GLU:HB2	0.454
101	A:147:LYS:HA	A:150:ILE:HD12	0.454
101	A:102:MET:HE3	A:111:VAL:HG13	0.450
101	A:27:ILE:HD13	A:46:LEU:HD22	0.448
101	A:13:LEU:HD13	A:29:ILE:HD11	0.444
101	A:7:LEU:HD21	A:104:PHE:CG	0.443
101	A:46:LEU:HD12	A:50:ILE:HG12	0.443
101	A:27:ILE:CG2	A:33:LEU:HD23	0.440
101	A:121:LEU:HG	A:126:TRP:HZ3	0.438
101	A:46:LEU:CD1	A:58:ILE:HG23	0.432
101	A:58:ILE:HD12	A:63:ALA:HB2	0.430
101	A:111:VAL:HA	A:114:PHE:CD1	0.429
101	A:121:LEU:HD22	A:126:TRP:CE3	0.429
101	A:6:MET:HB3	A:101:ASN:HD22	0.428

Model ID	Atom-1	Atom-2	Clash overlap (Å)
101	A:26:THR:HA	A:31:HIS:O	0.427
101	A:111:VAL:HA	A:114:PHE:HD1	0.423
101	A:127:ASP:O	A:131:VAL:HG23	0.423
101	A:141:GLN:O	A:143:PRO:HD3	0.423
101	A:64:GLU:HA	A:67:PHE:HB3	0.421
101	A:6:MET:HE2	A:161:TYR:CE1	0.420
101	A:19:LYS:HA	A:24:TYR:O	0.419
101	A:50:ILE:HD12	A:62:GLU:HG2	0.418
101	A:88:TYR:CD1	A:99:LEU:HD12	0.414
101	A:42:ALA:O	A:46:LEU:HB3	0.413
101	A:130:ALA:HB1	A:150:ILE:HG22	0.409
101	A:6:MET:HE3	A:158:TRP:CZ3	0.408
101	A:78:ILE:HB	A:79:LEU:HD22	0.407
101	A:29:ILE:HD13	A:67:PHE:CD2	0.406
101	A:84:LEU:HD12	A:118:LEU:HD22	0.406
101	A:102:MET:HG2	A:111:VAL:CG2	0.406
101	A:20:ASP:HB3	A:26:THR:HG21	0.405
101	A:6:MET:SD	A:97:ALA:HB1	0.405
101	A:88:TYR:HD1	A:99:LEU:CD1	0.402
101	A:16:LYS:HE3	A:43:LYS:HE3	0.401
102	A:88:TYR:HD1	A:99:LEU:HD13	0.913
102	A:1:MET:HE1	A:9:ILE:HD12	0.885
102	A:91:LEU:HD11	A:121:LEU:HD12	0.812

Model ID	Atom-1	Atom-2	Clash overlap (Å)
102	A:114:PHE:HB3	A:117:SER:HB2	0.811
102	A:148:ARG:HB2	A:161:TYR:CE1	0.811
102	A:114:PHE:CE1	A:133:LEU:HD22	0.810
102	A:29:ILE:HD13	A:67:PHE:CD2	0.808
102	A:71:VAL:HG13	A:100:ILE:HG21	0.807
102	A:4:PHE:HD1	A:67:PHE:CE2	0.804
102	A:7:LEU:HD12	A:67:PHE:HE1	0.802
102	A:91:LEU:HD11	A:121:LEU:CD1	0.783
102	A:138:TRP:HB3	A:146:ALA:HB2	0.765
102	A:1:MET:SD	A:5:GLU:HB3	0.753
102	A:15:LEU:HD23	A:16:LYS:HG3	0.736
102	A:6:MET:HE3	A:161:TYR:CE1	0.716
102	A:130:ALA:HB2	A:150:ILE:HG23	0.706
102	A:88:TYR:HD1	A:99:LEU:CD1	0.676
102	A:79:LEU:HD22	A:85:LYS:HE2	0.673
102	A:120:MET:HB3	A:125:ARG:HB2	0.673
102	A:124:LYS:HB3	A:126:TRP:CZ2	0.670
102	A:87:VAL:HG12	A:122:GLN:HB2	0.661
102	A:88:TYR:CD1	A:99:LEU:HD13	0.659
102	A:17:ILE:HG12	A:42:ALA:HB3	0.658
102	A:99:LEU:HD23	A:102:MET:CE	0.652
102	A:106:MET:HE1	A:133:LEU:HG	0.651
102	A:58:ILE:CD1	A:63:ALA:HB2	0.649

Model ID	Atom-1	Atom-2	Clash overlap (Å)
102	A:99:LEU:HD23	A:102:MET:HE1	0.647
102	A:79:LEU:HD11	A:88:TYR:CE2	0.646
102	A:20:ASP:HB3	A:26:THR:HG21	0.642
102	A:27:ILE:CG2	A:31:HIS:HB3	0.641
102	A:4:PHE:CD1	A:67:PHE:CE2	0.634
102	A:120:MET:SD	A:128:GLU:HB2	0.632
102	A:58:ILE:HD12	A:63:ALA:HB2	0.629
102	A:78:ILE:HG13	A:103:VAL:HG21	0.628
102	A:78:ILE:CG1	A:103:VAL:HG21	0.618
102	A:78:ILE:HD11	A:100:ILE:HA	0.613
102	A:84:LEU:HG	A:118:LEU:HD21	0.612
102	A:1:MET:HB3	A:158:TRP:CB	0.608
102	A:91:LEU:CD1	A:121:LEU:HD12	0.608
102	A:27:ILE:HG22	A:31:HIS:HB3	0.607
102	A:29:ILE:HB	A:67:PHE:CG	0.596
102	A:16:LYS:HG2	A:57:VAL:HG13	0.587
102	A:25:TYR:CE1	A:39:LEU:HD13	0.581
102	A:125:ARG:HB3	A:128:GLU:HG3	0.580
102	A:27:ILE:HD11	A:58:ILE:CG2	0.576
102	A:4:PHE:HE1	A:71:VAL:HG21	0.565
102	A:87:VAL:HG21	A:121:LEU:HB3	0.563
102	A:6:MET:SD	A:158:TRP:HZ3	0.556
102	A:4:PHE:CE1	A:71:VAL:HG21	0.550

Model ID	Atom-1	Atom-2	Clash overlap (Å)
102	A:13:LEU:HB2	A:29:ILE:HG13	0.550
102	A:66:LEU:HD22	A:69:GLN:HB2	0.541
102	A:7:LEU:HD11	A:104:PHE:CE1	0.533
102	A:1:MET:HB3	A:158:TRP:CG	0.531
102	A:94:VAL:HG13	A:158:TRP:CE2	0.522
102	A:72:ASP:HA	A:75:VAL:HB	0.518
102	A:6:MET:SD	A:158:TRP:CZ3	0.518
102	A:3:ILE:HB	A:97:ALA:SG	0.517
102	A:120:MET:SD	A:128:GLU:CB	0.511
102	A:148:ARG:HD2	A:162:LYS:C	0.508
102	A:6:MET:CE	A:161:TYR:CE1	0.490
102	A:43:LYS:HG3	A:56:GLY:HA3	0.487
102	A:71:VAL:O	A:75:VAL:HG23	0.477
102	A:127:ASP:O	A:131:VAL:HG23	0.477
102	A:14:ARG:HG3	A:18:TYR:CZ	0.473
102	A:27:ILE:HG23	A:31:HIS:HB3	0.472
102	A:91:LEU:HD13	A:99:LEU:HD11	0.471
102	A:147:LYS:HD2	A:147:LYS:O	0.471
102	A:29:ILE:HB	A:67:PHE:CD1	0.466
102	A:1:MET:HG2	A:158:TRP:CE3	0.463
102	A:102:MET:HA	A:138:TRP:CH2	0.463
102	A:151:THR:HG23	A:154:ARG:HH11	0.457
102	A:27:ILE:HD11	A:58:ILE:HG21	0.454

Model ID	Atom-1	Atom-2	Clash overlap (Å)
102	A:75:VAL:HG13	A:79:LEU:HD13	0.454
102	A:83:LYS:O	A:86:PRO:HD2	0.454
102	A:117:SER:O	A:121:LEU:HB2	0.451
102	A:13:LEU:CB	A:29:ILE:HG13	0.447
102	A:126:TRP:CD1	A:154:ARG:HA	0.447
102	A:3:ILE:O	A:6:MET:HB3	0.445
102	A:7:LEU:HD11	A:104:PHE:HE1	0.443
102	A:27:ILE:HD11	A:58:ILE:HG23	0.443
102	A:130:ALA:CB	A:150:ILE:HG23	0.442
102	A:1:MET:CE	A:9:ILE:HD12	0.439
102	A:15:LEU:HD12	A:57:VAL:HG13	0.439
102	A:114:PHE:CE1	A:133:LEU:CD2	0.439
102	A:148:ARG:HB2	A:161:TYR:CZ	0.439
102	A:14:ARG:HG3	A:18:TYR:CE2	0.434
102	A:115:THR:O	A:118:LEU:HB2	0.434
102	A:136:SER:HB2	A:138:TRP:CD1	0.434
102	A:12:GLY:O	A:29:ILE:HA	0.431
102	A:97:ALA:HB1	A:158:TRP:HH2	0.430
102	A:88:TYR:CD1	A:99:LEU:CD1	0.427
102	A:61:ASP:C	A:65:LYS:HE2	0.426
102	A:78:ILE:HB	A:79:LEU:HD12	0.426
102	A:20:ASP:HB3	A:26:THR:CG2	0.425
102	A:58:ILE:HD13	A:63:ALA:HB2	0.425

Model ID	Atom-1	Atom-2	Clash overlap (Å)
102	A:121:LEU:HD13	A:126:TRP:CZ3	0.424
102	A:88:TYR:CZ	A:96:ARG:HB2	0.423
102	A:15:LEU:CD2	A:16:LYS:HG3	0.421
102	A:98:ALA:HB2	A:152:THR:HB	0.418
102	A:78:ILE:HG12	A:103:VAL:HG21	0.417
102	A:78:ILE:HG21	A:88:TYR:CD1	0.415
102	A:17:ILE:HG12	A:42:ALA:CB	0.414
102	A:79:LEU:HD11	A:88:TYR:HE2	0.414
102	A:58:ILE:HD13	A:63:ALA:CB	0.410
102	A:27:ILE:HG13	A:58:ILE:HG12	0.409
102	A:46:LEU:HD12	A:50:ILE:HG13	0.409
102	A:62:GLU:HA	A:65:LYS:HB2	0.409
102	A:127:ASP:O	A:130:ALA:HB3	0.409
102	A:6:MET:HG3	A:161:TYR:CZ	0.408
102	A:14:ARG:HB2	A:18:TYR:CD1	0.407
102	A:139:TYR:HE1	A:150:ILE:HD11	0.406
102	A:105:GLN:HB3	A:138:TRP:NE1	0.405
102	A:13:LEU:HB2	A:29:ILE:CG1	0.404
102	A:26:THR:HA	A:31:HIS:O	0.404
102	A:7:LEU:HA	A:10:ASP:HB2	0.402
102	A:14:ARG:HG3	A:18:TYR:CE1	0.401
102	A:48:LYS:HA	A:48:LYS:HD2	0.401
103	A:7:LEU:HD13	A:67:PHE:HE1	1.026

Model ID	Atom-1	Atom-2	Clash overlap (Å)
103	A:130:ALA:HB1	A:150:ILE:HG23	0.981
103	A:105:GLN:HB3	A:138:TRP:CZ2	0.887
103	A:120:MET:SD	A:128:GLU:HB2	0.861
103	A:17:ILE:HD11	A:43:LYS:HB3	0.849
103	A:121:LEU:HD22	A:126:TRP:HE3	0.845
103	A:121:LEU:HD22	A:126:TRP:CE3	0.836
103	A:120:MET:HG2	A:125:ARG:HB2	0.829
103	A:7:LEU:HD13	A:67:PHE:CE1	0.823
103	A:138:TRP:HB3	A:146:ALA:HB2	0.785
103	A:130:ALA:HB1	A:150:ILE:CG2	0.776
103	A:1:MET:HE1	A:9:ILE:HD12	0.761
103	A:13:LEU:HD13	A:29:ILE:CG1	0.744
103	A:120:MET:CG	A:125:ARG:HB2	0.732
103	A:29:ILE:HD13	A:67:PHE:CD2	0.726
103	A:19:LYS:HD3	A:25:TYR:CE2	0.713
103	A:74:ALA:HB2	A:104:PHE:HD2	0.691
103	A:148:ARG:HB3	A:161:TYR:CE1	0.686
103	A:78:ILE:HG12	A:103:VAL:HG21	0.682
103	A:99:LEU:HD23	A:102:MET:HE2	0.676
103	A:121:LEU:HD13	A:126:TRP:HZ3	0.656
103	A:78:ILE:CG1	A:103:VAL:HG21	0.652
103	A:127:ASP:HA	A:154:ARG:HG2	0.652
103	A:14:ARG:HG2	A:18:TYR:HB3	0.643

Model ID	Atom-1	Atom-2	Clash overlap (Å)
103	A:13:LEU:HD13	A:29:ILE:HG13	0.633
103	A:18:TYR:CE1	A:26:THR:HG22	0.632
103	A:15:LEU:HB2	A:57:VAL:HG13	0.628
103	A:13:LEU:HD13	A:29:ILE:HD11	0.625
103	A:105:GLN:HB3	A:138:TRP:CE2	0.619
103	A:114:PHE:CD1	A:133:LEU:HD23	0.619
103	A:138:TRP:CB	A:146:ALA:HB2	0.618
103	A:78:ILE:HG21	A:88:TYR:CD2	0.611
103	A:144:ASN:HA	A:147:LYS:HG3	0.611
103	A:102:MET:HG2	A:111:VAL:HG22	0.607
103	A:139:TYR:HD1	A:146:ALA:HB3	0.590
103	A:139:TYR:CD1	A:146:ALA:HB3	0.587
103	A:13:LEU:HD13	A:29:ILE:CD1	0.583
103	A:15:LEU:HD13	A:57:VAL:HG22	0.582
103	A:139:TYR:HD1	A:146:ALA:CB	0.579
103	A:78:ILE:HD11	A:100:ILE:HA	0.575
103	A:4:PHE:CE1	A:71:VAL:HG11	0.568
103	A:58:ILE:HD13	A:63:ALA:HB2	0.565
103	A:7:LEU:CD1	A:67:PHE:HE1	0.565
103	A:151:THR:HG21	A:160:ALA:CB	0.561
103	A:29:ILE:HB	A:67:PHE:CG	0.559
103	A:130:ALA:CB	A:150:ILE:HG23	0.558
103	A:17:ILE:HD11	A:43:LYS:CB	0.548

Model ID	Atom-1	Atom-2	Clash overlap (Å)
103	A:8:ARG:HG2	A:29:ILE:HG12	0.545
103	A:22:GLU:HB3	A:24:TYR:CE2	0.544
103	A:91:LEU:CD1	A:99:LEU:HD11	0.544
103	A:105:GLN:HB3	A:138:TRP:HZ2	0.537
103	A:88:TYR:HB2	A:99:LEU:HD13	0.535
103	A:6:MET:HG3	A:161:TYR:CZ	0.526
103	A:74:ALA:HB2	A:104:PHE:CD2	0.522
103	A:121:LEU:HD11	A:153:PHE:HE1	0.522
103	A:126:TRP:HA	A:129:ALA:HB3	0.521
103	A:99:LEU:HD23	A:102:MET:CE	0.520
103	A:129:ALA:O	A:133:LEU:HG	0.507
103	A:115:THR:HA	A:118:LEU:HD12	0.504
103	A:120:MET:SD	A:128:GLU:CB	0.503
103	A:77:GLY:O	A:80:ARG:HG2	0.502
103	A:13:LEU:CD1	A:29:ILE:HG13	0.498
103	A:114:PHE:CE1	A:133:LEU:HD23	0.496
103	A:117:SER:HB2	A:129:ALA:HA	0.495
103	A:17:ILE:CD1	A:43:LYS:HB3	0.494
103	A:14:ARG:HB3	A:18:TYR:CD1	0.493
103	A:67:PHE:CE1	A:71:VAL:CG2	0.492
103	A:121:LEU:HD21	A:153:PHE:CE1	0.481
103	A:88:TYR:HD1	A:99:LEU:HD12	0.477
103	A:1:MET:SD	A:5:GLU:HB3	0.475

Model ID	Atom-1	Atom-2	Clash overlap (Å)
103	A:117:SER:HA	A:120:MET:HB2	0.475
103	A:27:ILE:HD12	A:46:LEU:HD22	0.464
103	A:39:LEU:O	A:43:LYS:HG2	0.463
103	A:72:ASP:O	A:76:ARG:HG2	0.460
103	A:64:GLU:O	A:68:ASN:HB2	0.458
103	A:27:ILE:HG12	A:58:ILE:HG12	0.456
103	A:121:LEU:HD21	A:153:PHE:CD1	0.455
103	A:8:ARG:HG2	A:29:ILE:HG21	0.454
103	A:106:MET:HB2	A:138:TRP:CZ2	0.453
103	A:107:GLY:O	A:111:VAL:HG23	0.453
103	A:130:ALA:HB3	A:154:ARG:HG3	0.452
103	A:114:PHE:O	A:118:LEU:HG	0.451
103	A:78:ILE:HG21	A:88:TYR:CE2	0.450
103	A:78:ILE:HG23	A:84:LEU:HD12	0.450
103	A:120:MET:HG2	A:125:ARG:CB	0.450
103	A:6:MET:HE1	A:98:ALA:HA	0.448
103	A:67:PHE:O	A:71:VAL:HG23	0.448
103	A:19:LYS:CD	A:25:TYR:CE2	0.447
103	A:70:ASP:HB3	A:104:PHE:CE2	0.446
103	A:70:ASP:HB3	A:104:PHE:HE2	0.445
103	A:95:ARG:HD3	A:126:TRP:CE3	0.445
103	A:148:ARG:HB3	A:161:TYR:CD1	0.443
103	A:8:ARG:HD3	A:13:LEU:HB2	0.441

Model ID	Atom-1	Atom-2	Clash overlap (Å)
103	A:91:LEU:HD12	A:99:LEU:HD11	0.441
103	A:78:ILE:HG13	A:103:VAL:HG21	0.437
103	A:4:PHE:HE1	A:71:VAL:CG1	0.436
103	A:101:ASN:O	A:105:GLN:HB2	0.435
103	A:130:ALA:HA	A:133:LEU:HD12	0.434
103	A:136:SER:OG	A:138:TRP:HB2	0.434
103	A:3:ILE:HD13	A:97:ALA:O	0.432
103	A:1:MET:HE3	A:161:TYR:HB3	0.430
103	A:121:LEU:CD2	A:126:TRP:HE3	0.430
103	A:91:LEU:HD21	A:126:TRP:CH2	0.428
103	A:27:ILE:HB	A:33:LEU:HD12	0.424
103	A:25:TYR:HB2	A:34:THR:HG23	0.422
103	A:71:VAL:O	A:75:VAL:HG23	0.418
103	A:15:LEU:HD13	A:57:VAL:HG13	0.417
103	A:91:LEU:HD11	A:121:LEU:CD1	0.417
103	A:138:TRP:HB3	A:146:ALA:CB	0.415
103	A:60:LYS:HB3	A:64:GLU:OE1	0.414
103	A:33:LEU:HA	A:33:LEU:HD22	0.412
103	A:132:ASN:O	A:135:LYS:HG3	0.412
103	A:7:LEU:HG	A:11:GLU:HG2	0.409
103	A:94:VAL:HG11	A:156:GLY:C	0.409
103	A:25:TYR:HB3	A:34:THR:HG22	0.407
103	A:66:LEU:O	A:69:GLN:HB3	0.407

Model ID	Atom-1	Atom-2	Clash overlap (Å)
103	A:83:LYS:HB3	A:83:LYS:HE3	0.406
103	A:84:LEU:HD13	A:88:TYR:HB3	0.406
103	A:14:ARG:CB	A:18:TYR:CD1	0.404
103	A:127:ASP:O	A:131:VAL:HG23	0.403
104	A:78:ILE:HG13	A:103:VAL:HG21	1.022
104	A:46:LEU:HD11	A:58:ILE:HG21	0.960
104	A:15:LEU:HD22	A:58:ILE:HG13	0.926
104	A:148:ARG:HB3	A:161:TYR:CE1	0.919
104	A:1:MET:SD	A:5:GLU:HB3	0.914
104	A:50:ILE:HG23	A:62:GLU:HG2	0.885
104	A:46:LEU:HD11	A:58:ILE:CG2	0.843
104	A:11:GLU:HB2	A:29:ILE:CG2	0.803
104	A:24:TYR:HB2	A:32:LEU:HD11	0.803
104	A:102:MET:HE3	A:111:VAL:HG13	0.802
104	A:13:LEU:HD13	A:29:ILE:HD11	0.784
104	A:11:GLU:HB2	A:29:ILE:HG23	0.772
104	A:106:MET:SD	A:138:TRP:CE3	0.728
104	A:78:ILE:HD11	A:100:ILE:HA	0.724
104	A:81:ASN:HB3	A:84:LEU:HB2	0.679
104	A:13:LEU:HD13	A:29:ILE:CD1	0.678
104	A:120:MET:SD	A:128:GLU:HB2	0.672
104	A:27:ILE:HD13	A:46:LEU:HD22	0.669
104	A:1:MET:HE1	A:9:ILE:CD1	0.659

Model ID	Atom-1	Atom-2	Clash overlap (Å)
104	A:50:ILE:HD12	A:62:GLU:HB3	0.653
104	A:102:MET:HE3	A:111:VAL:CG1	0.645
104	A:24:TYR:CB	A:32:LEU:HD11	0.643
104	A:102:MET:HG2	A:111:VAL:HG22	0.639
104	A:99:LEU:HD23	A:153:PHE:HZ	0.632
104	A:88:TYR:HD1	A:99:LEU:HD12	0.626
104	A:14:ARG:HB3	A:18:TYR:CD1	0.625
104	A:102:MET:CE	A:111:VAL:HG13	0.624
104	A:106:MET:HG2	A:110:GLY:HA3	0.604
104	A:27:ILE:HB	A:33:LEU:HD11	0.600
104	A:3:ILE:HG12	A:100:ILE:HD12	0.599
104	A:102:MET:SD	A:133:LEU:HD21	0.595
104	A:18:TYR:CE1	A:26:THR:HG23	0.589
104	A:29:ILE:HG21	A:67:PHE:CE1	0.587
104	A:84:LEU:HD22	A:88:TYR:HB2	0.587
104	A:27:ILE:HG22	A:33:LEU:HD21	0.583
104	A:84:LEU:CD2	A:88:TYR:HB2	0.569
104	A:75:VAL:HA	A:78:ILE:HD12	0.567
104	A:88:TYR:CD1	A:99:LEU:HD12	0.564
104	A:78:ILE:CG1	A:103:VAL:HG21	0.562
104	A:29:ILE:HD13	A:67:PHE:CG	0.555
104	A:75:VAL:HG22	A:100:ILE:HD13	0.554
104	A:88:TYR:HD1	A:99:LEU:CD1	0.550

Model ID	Atom-1	Atom-2	Clash overlap (Å)
104	A:142:THR:HB	A:145:ARG:HB3	0.549
104	A:87:VAL:HG22	A:122:GLN:HB2	0.547
104	A:99:LEU:HD23	A:153:PHE:CZ	0.544
104	A:17:ILE:HG13	A:27:ILE:HD13	0.539
104	A:105:GLN:HG2	A:138:TRP:HE1	0.528
104	A:25:TYR:CE1	A:39:LEU:HD13	0.527
104	A:1:MET:HG2	A:158:TRP:CE3	0.522
104	A:24:TYR:HB2	A:32:LEU:CD1	0.519
104	A:120:MET:SD	A:128:GLU:CB	0.503
104	A:27:ILE:HG21	A:46:LEU:HD13	0.502
104	A:78:ILE:CD1	A:100:ILE:HG12	0.501
104	A:47:ASP:HA	A:54:THR:SG	0.493
104	A:17:ILE:HG21	A:42:ALA:HB1	0.489
104	A:148:ARG:HB3	A:161:TYR:CD1	0.486
104	A:70:ASP:HB3	A:104:PHE:CE2	0.485
104	A:27:ILE:CG2	A:33:LEU:HD21	0.483
104	A:25:TYR:CE1	A:39:LEU:CD1	0.478
104	A:13:LEU:HD11	A:63:ALA:CB	0.476
104	A:63:ALA:O	A:66:LEU:HG	0.474
104	A:133:LEU:HB3	A:150:ILE:HG12	0.474
104	A:13:LEU:HD11	A:63:ALA:HB3	0.463
104	A:4:PHE:CE1	A:71:VAL:HG11	0.461
104	A:105:GLN:CD	A:145:ARG:HG2	0.460

Model ID	Atom-1	Atom-2	Clash overlap (Å)
104	A:139:TYR:HE1	A:147:LYS:HB3	0.459
104	A:50:ILE:HG23	A:62:GLU:CG	0.456
104	A:137:ARG:HA	A:140:ASN:HD22	0.456
104	A:136:SER:OG	A:138:TRP:HB3	0.454
104	A:17:ILE:HD11	A:46:LEU:HD23	0.449
104	A:16:LYS:HD2	A:57:VAL:HG22	0.440
104	A:121:LEU:HD23	A:126:TRP:CE3	0.440
104	A:25:TYR:CZ	A:39:LEU:HD13	0.439
104	A:91:LEU:CD1	A:99:LEU:HD11	0.438
104	A:147:LYS:HA	A:150:ILE:HD12	0.437
104	A:78:ILE:HD13	A:100:ILE:HG12	0.433
104	A:66:LEU:O	A:69:GLN:HB2	0.431
104	A:15:LEU:O	A:27:ILE:HD11	0.429
104	A:14:ARG:HA	A:14:ARG:HD3	0.428
104	A:1:MET:HB3	A:158:TRP:CG	0.427
104	A:124:LYS:HB3	A:126:TRP:NE1	0.426
104	A:31:HIS:HB2	A:66:LEU:HD13	0.425
104	A:75:VAL:O	A:79:LEU:HD23	0.420
104	A:119:ARG:HA	A:119:ARG:HD2	0.420
104	A:127:ASP:O	A:131:VAL:HG23	0.418
104	A:77:GLY:HA3	A:103:VAL:HG11	0.417
104	A:1:MET:HA	A:5:GLU:OE2	0.414
104	A:139:TYR:CE1	A:147:LYS:HB3	0.412

Model ID	Atom-1	Atom-2	Clash overlap (Å)
104	A:83:LYS:HA	A:83:LYS:HD3	0.411
105	A:120:MET:HB3	A:125:ARG:HB2	1.057
105	A:84:LEU:HG	A:118:LEU:HD23	0.997
105	A:15:LEU:HD23	A:16:LYS:HG3	0.965
105	A:58:ILE:HD12	A:63:ALA:HB2	0.921
105	A:102:MET:SD	A:133:LEU:HD21	0.902
105	A:78:ILE:HG12	A:103:VAL:HG21	0.885
105	A:121:LEU:HD13	A:126:TRP:HZ3	0.873
105	A:70:ASP:HB3	A:104:PHE:HE2	0.869
105	A:15:LEU:HD12	A:57:VAL:CG1	0.864
105	A:130:ALA:HB1	A:150:ILE:HG23	0.826
105	A:138:TRP:HB3	A:146:ALA:HB2	0.798
105	A:13:LEU:HD13	A:29:ILE:HD11	0.796
105	A:130:ALA:CB	A:150:ILE:HG23	0.781
105	A:121:LEU:HD13	A:126:TRP:CZ3	0.774
105	A:17:ILE:HG23	A:39:LEU:HD12	0.750
105	A:15:LEU:CD2	A:16:LYS:HG3	0.748
105	A:15:LEU:HD23	A:16:LYS:CG	0.739
105	A:75:VAL:HG13	A:79:LEU:HD11	0.736
105	A:84:LEU:HG	A:118:LEU:CD2	0.724
105	A:15:LEU:HD12	A:57:VAL:HG13	0.713
105	A:99:LEU:HD23	A:153:PHE:HZ	0.706
105	A:78:ILE:CG1	A:103:VAL:HG21	0.703

Model ID	Atom-1	Atom-2	Clash overlap (Å)
105	A:7:LEU:HB3	A:67:PHE:HZ	0.702
105	A:13:LEU:HD13	A:29:ILE:CD1	0.702
105	A:88:TYR:HD1	A:99:LEU:HD12	0.699
105	A:70:ASP:HB3	A:104:PHE:CE2	0.694
105	A:7:LEU:HD11	A:104:PHE:CE1	0.688
105	A:124:LYS:HB3	A:126:TRP:CZ2	0.687
105	A:29:ILE:HD13	A:67:PHE:CB	0.650
105	A:79:LEU:HD23	A:85:LYS:HG3	0.648
105	A:97:ALA:HB1	A:158:TRP:HH2	0.646
105	A:87:VAL:HG12	A:122:GLN:HB2	0.645
105	A:15:LEU:HD12	A:57:VAL:HG11	0.643
105	A:29:ILE:HD13	A:67:PHE:CD2	0.618
105	A:103:VAL:HG22	A:111:VAL:HG21	0.604
105	A:58:ILE:CD1	A:63:ALA:HB2	0.602
105	A:6:MET:SD	A:158:TRP:HZ3	0.602
105	A:62:GLU:HA	A:65:LYS:HB2	0.585
105	A:27:ILE:HD11	A:58:ILE:HG23	0.580
105	A:29:ILE:HD13	A:67:PHE:CG	0.578
105	A:46:LEU:HD22	A:56:GLY:H	0.574
105	A:130:ALA:HB1	A:150:ILE:CG2	0.572
105	A:88:TYR:HD1	A:99:LEU:CD1	0.571
105	A:99:LEU:HD23	A:153:PHE:CZ	0.566
105	A:27:ILE:HD11	A:58:ILE:CG2	0.565

Model ID	Atom-1	Atom-2	Clash overlap (Å)
105	A:78:ILE:HB	A:79:LEU:HD13	0.558
105	A:7:LEU:HD11	A:104:PHE:HE1	0.557
105	A:27:ILE:HG23	A:31:HIS:HB3	0.555
105	A:14:ARG:HB2	A:18:TYR:CD1	0.550
105	A:27:ILE:CG2	A:31:HIS:HB3	0.549
105	A:20:ASP:HB3	A:26:THR:HG21	0.543
105	A:8:ARG:HB2	A:13:LEU:HB2	0.532
105	A:148:ARG:CB	A:161:TYR:CE1	0.529
105	A:126:TRP:HB3	A:153:PHE:CD1	0.525
105	A:14:ARG:HG3	A:18:TYR:CD2	0.520
105	A:97:ALA:CB	A:158:TRP:HH2	0.520
105	A:120:MET:SD	A:128:GLU:HB3	0.520
105	A:4:PHE:CE1	A:71:VAL:HG21	0.516
105	A:27:ILE:HD13	A:46:LEU:HG	0.514
105	A:29:ILE:HD13	A:67:PHE:HB2	0.512
105	A:3:ILE:HB	A:97:ALA:SG	0.511
105	A:146:ALA:O	A:150:ILE:HD12	0.511
105	A:1:MET:HG3	A:158:TRP:CE3	0.510
105	A:13:LEU:HA	A:29:ILE:HG13	0.510
105	A:148:ARG:HB3	A:161:TYR:CE1	0.507
105	A:120:MET:SD	A:128:GLU:CB	0.505
105	A:6:MET:SD	A:158:TRP:CZ3	0.504
105	A:3:ILE:HG12	A:100:ILE:HD12	0.503

Model ID	Atom-1	Atom-2	Clash overlap (Å)
105	A:120:MET:CB	A:125:ARG:HB2	0.494
105	A:91:LEU:HB3	A:96:ARG:HG2	0.481
105	A:148:ARG:HB2	A:161:TYR:CE1	0.479
105	A:97:ALA:CB	A:158:TRP:CH2	0.471
105	A:126:TRP:HB3	A:153:PHE:HD1	0.470
105	A:102:MET:HA	A:138:TRP:CH2	0.467
105	A:27:ILE:HG22	A:31:HIS:O	0.462
105	A:29:ILE:HG21	A:67:PHE:CE1	0.462
105	A:17:ILE:HG22	A:43:LYS:HB3	0.461
105	A:129:ALA:O	A:133:LEU:HD23	0.459
105	A:105:GLN:C	A:138:TRP:HE1	0.456
105	A:130:ALA:HB2	A:150:ILE:HG23	0.456
105	A:20:ASP:CG	A:26:THR:HB	0.452
105	A:7:LEU:HD12	A:67:PHE:CE1	0.451
105	A:72:ASP:HA	A:75:VAL:HB	0.450
105	A:22:GLU:HA	A:137:ARG:HH12	0.449
105	A:88:TYR:CD1	A:99:LEU:CD1	0.444
105	A:142:THR:HB	A:144:ASN:OD1	0.439
105	A:78:ILE:HG21	A:88:TYR:CD2	0.438
105	A:102:MET:HA	A:138:TRP:HH2	0.435
105	A:7:LEU:O	A:7:LEU:HD13	0.434
105	A:43:LYS:HE3	A:56:GLY:HA3	0.434
105	A:105:GLN:HB3	A:138:TRP:NE1	0.434

Model ID	Atom-1	Atom-2	Clash overlap (Å)
105	A:121:LEU:HD21	A:153:PHE:CE1	0.432
105	A:148:ARG:H	A:148:ARG:HG2	0.428
105	A:16:LYS:HG2	A:57:VAL:HB	0.424
105	A:94:VAL:HG13	A:158:TRP:CE2	0.419
105	A:14:ARG:HG3	A:18:TYR:CG	0.411
105	A:84:LEU:HA	A:87:VAL:HB	0.411
105	A:102:MET:HE3	A:111:VAL:HG21	0.410
105	A:7:LEU:CD1	A:104:PHE:CE1	0.408
105	A:101:ASN:O	A:105:GLN:HB2	0.408
105	A:94:VAL:O	A:97:ALA:HB3	0.406
105	A:7:LEU:HB3	A:67:PHE:CZ	0.405
105	A:94:VAL:HG22	A:158:TRP:HE1	0.405
105	A:94:VAL:HG11	A:156:GLY:C	0.404
105	A:22:GLU:HG2	A:24:TYR:HE2	0.403
105	A:106:MET:HE1	A:133:LEU:HD22	0.400
106	A:102:MET:HE3	A:111:VAL:HG13	1.052
106	A:148:ARG:HB3	A:161:TYR:CE1	0.940
106	A:15:LEU:HD22	A:58:ILE:HG13	0.882
106	A:13:LEU:HD13	A:29:ILE:CD1	0.872
106	A:7:LEU:HB3	A:67:PHE:CZ	0.871
106	A:102:MET:HG2	A:111:VAL:HG22	0.852
106	A:7:LEU:HB3	A:67:PHE:HZ	0.841
106	A:13:LEU:HD13	A:29:ILE:HD11	0.816

Model ID	Atom-1	Atom-2	Clash overlap (Å)
106	A:1:MET:SD	A:5:GLU:HB3	0.803
106	A:27:ILE:HD13	A:46:LEU:HD22	0.785
106	A:1:MET:HE1	A:9:ILE:HD12	0.750
106	A:106:MET:HG2	A:110:GLY:HA3	0.737
106	A:13:LEU:HD11	A:63:ALA:HB1	0.735
106	A:13:LEU:HD11	A:63:ALA:CB	0.723
106	A:106:MET:SD	A:138:TRP:CE3	0.694
106	A:78:ILE:HD11	A:100:ILE:HA	0.671
106	A:74:ALA:HB3	A:100:ILE:HG23	0.657
106	A:78:ILE:HG13	A:103:VAL:HG21	0.653
106	A:81:ASN:HB3	A:84:LEU:HB2	0.653
106	A:106:MET:SD	A:138:TRP:HE3	0.653
106	A:84:LEU:CD2	A:88:TYR:HB2	0.649
106	A:99:LEU:HD23	A:153:PHE:HZ	0.647
106	A:29:ILE:HD13	A:67:PHE:CG	0.635
106	A:27:ILE:HG22	A:33:LEU:HD21	0.634
106	A:138:TRP:HH2	A:149:VAL:HG11	0.626
106	A:88:TYR:HD1	A:99:LEU:CD1	0.613
106	A:15:LEU:CD2	A:58:ILE:HG13	0.612
106	A:102:MET:CE	A:111:VAL:HG13	0.602
106	A:121:LEU:HD21	A:129:ALA:HB1	0.598
106	A:99:LEU:HD23	A:102:MET:CE	0.592
106	A:1:MET:HE1	A:9:ILE:CD1	0.590

Model ID	Atom-1	Atom-2	Clash overlap (Å)
106	A:133:LEU:HB3	A:150:ILE:HG12	0.590
106	A:13:LEU:HD13	A:29:ILE:HD12	0.582
106	A:18:TYR:CE1	A:26:THR:HG22	0.577
106	A:120:MET:SD	A:128:GLU:HB3	0.576
106	A:74:ALA:CB	A:100:ILE:HG23	0.567
106	A:13:LEU:CD1	A:63:ALA:HB1	0.556
106	A:102:MET:SD	A:133:LEU:HD21	0.556
106	A:7:LEU:HD23	A:11:GLU:HG3	0.554
106	A:99:LEU:HD23	A:102:MET:HE2	0.553
106	A:2:ASN:H	A:5:GLU:HB2	0.551
106	A:142:THR:HB	A:145:ARG:HB3	0.551
106	A:139:TYR:HE1	A:147:LYS:HB3	0.548
106	A:77:GLY:HA3	A:103:VAL:HG11	0.541
106	A:22:GLU:HB3	A:24:TYR:CD2	0.539
106	A:10:ASP:HB3	A:145:ARG:HD2	0.537
106	A:50:ILE:HB	A:54:THR:SG	0.533
106	A:18:TYR:CE1	A:26:THR:CG2	0.531
106	A:25:TYR:CE1	A:39:LEU:CD1	0.526
106	A:11:GLU:HB2	A:29:ILE:HG23	0.521
106	A:99:LEU:CD2	A:153:PHE:HZ	0.518
106	A:78:ILE:HG22	A:84:LEU:HD22	0.515
106	A:121:LEU:HD21	A:129:ALA:CB	0.514
106	A:29:ILE:HD13	A:67:PHE:CD2	0.510

Model ID	Atom-1	Atom-2	Clash overlap (Å)
106	A:27:ILE:CG2	A:33:LEU:HD21	0.506
106	A:70:ASP:HB3	A:104:PHE:CE2	0.505
106	A:46:LEU:HD11	A:58:ILE:HG23	0.504
106	A:3:ILE:HB	A:97:ALA:SG	0.501
106	A:88:TYR:HD1	A:99:LEU:HD12	0.497
106	A:27:ILE:CD1	A:46:LEU:HD22	0.494
106	A:33:LEU:O	A:45:GLU:HG3	0.488
106	A:33:LEU:HB3	A:45:GLU:HB3	0.487
106	A:4:PHE:O	A:8:ARG:HG2	0.482
106	A:46:LEU:HD12	A:50:ILE:CG1	0.481
106	A:46:LEU:HD12	A:50:ILE:HG13	0.481
106	A:97:ALA:CB	A:158:TRP:HH2	0.480
106	A:25:TYR:HE1	A:39:LEU:CD1	0.478
106	A:144:ASN:HA	A:147:LYS:HG3	0.477
106	A:139:TYR:CE1	A:147:LYS:HB3	0.476
106	A:7:LEU:HB3	A:67:PHE:CE1	0.474
106	A:10:ASP:OD1	A:148:ARG:NH2	0.473
106	A:79:LEU:HG	A:85:LYS:HD2	0.470
106	A:102:MET:HA	A:138:TRP:CH2	0.469
106	A:105:GLN:HE22	A:145:ARG:HG3	0.469
106	A:88:TYR:HD1	A:99:LEU:HD13	0.468
106	A:125:ARG:HD3	A:128:GLU:HG3	0.468
106	A:148:ARG:HD2	A:161:TYR:HA	0.468

Model ID	Atom-1	Atom-2	Clash overlap (Å)
106	A:78:ILE:CG1	A:103:VAL:HG21	0.461
106	A:7:LEU:CD2	A:11:GLU:HG3	0.457
106	A:121:LEU:HD23	A:126:TRP:CE3	0.457
106	A:25:TYR:CE1	A:39:LEU:HD13	0.456
106	A:71:VAL:HG13	A:100:ILE:HG21	0.454
106	A:99:LEU:HD23	A:102:MET:HE1	0.451
106	A:78:ILE:CG2	A:84:LEU:HD22	0.449
106	A:98:ALA:HB2	A:152:THR:CG2	0.449
106	A:120:MET:SD	A:128:GLU:CB	0.449
106	A:102:MET:SD	A:133:LEU:HD11	0.448
106	A:1:MET:CE	A:9:ILE:HD12	0.443
106	A:4:PHE:HE1	A:68:ASN:HA	0.443
106	A:119:ARG:HA	A:122:GLN:HG2	0.441
106	A:99:LEU:CD2	A:153:PHE:CZ	0.435
106	A:84:LEU:HD22	A:88:TYR:HB2	0.431
106	A:109:THR:O	A:113:GLY:HA3	0.427
106	A:98:ALA:HB2	A:152:THR:HG22	0.426
106	A:115:THR:HA	A:118:LEU:HD12	0.424
106	A:138:TRP:CD1	A:146:ALA:HB2	0.423
106	A:22:GLU:HB3	A:24:TYR:HD2	0.422
106	A:27:ILE:HB	A:33:LEU:HD11	0.421
106	A:130:ALA:HB1	A:150:ILE:CG2	0.421
106	A:138:TRP:CH2	A:149:VAL:HG11	0.421

Model ID	Atom-1	Atom-2	Clash overlap (Å)
106	A:14:ARG:HG3	A:18:TYR:CD2	0.419
106	A:66:LEU:O	A:69:GLN:HB2	0.416
106	A:8:ARG:HB3	A:29:ILE:HG12	0.411
106	A:102:MET:HE3	A:111:VAL:CG1	0.409
106	A:91:LEU:CD1	A:99:LEU:HD11	0.408
106	A:6:MET:SD	A:97:ALA:HB1	0.408
106	A:14:ARG:HB2	A:18:TYR:CD1	0.407
106	A:91:LEU:HD12	A:99:LEU:HD11	0.406
106	A:130:ALA:HB1	A:150:ILE:HG22	0.406
106	A:29:ILE:HB	A:67:PHE:CD1	0.403
107	A:13:LEU:HD11	A:63:ALA:HB1	1.047
107	A:27:ILE:HD13	A:46:LEU:HD22	0.982
107	A:11:GLU:HB3	A:29:ILE:HG23	0.939
107	A:102:MET:SD	A:133:LEU:HD21	0.931
107	A:4:PHE:HE1	A:71:VAL:HG11	0.890
107	A:13:LEU:HD13	A:29:ILE:HD12	0.877
107	A:70:ASP:HB3	A:104:PHE:CE2	0.848
107	A:98:ALA:HB2	A:152:THR:CG2	0.803
107	A:4:PHE:CE1	A:71:VAL:HG11	0.799
107	A:29:ILE:HD13	A:67:PHE:CG	0.792
107	A:15:LEU:HD23	A:58:ILE:HG13	0.791
107	A:46:LEU:HD11	A:58:ILE:HG23	0.751
107	A:98:ALA:HB2	A:152:THR:HG22	0.748

Model ID	Atom-1	Atom-2	Clash overlap (Å)
107	A:106:MET:SD	A:138:TRP:CE3	0.731
107	A:133:LEU:HB3	A:150:ILE:HG12	0.722
107	A:106:MET:SD	A:138:TRP:HE3	0.722
107	A:1:MET:HE1	A:9:ILE:HD12	0.717
107	A:6:MET:HE2	A:161:TYR:CE1	0.715
107	A:19:LYS:HB3	A:23:GLY:HA2	0.713
107	A:27:ILE:CD1	A:46:LEU:HD22	0.710
107	A:102:MET:HG2	A:111:VAL:HG22	0.706
107	A:29:ILE:HG21	A:67:PHE:CE1	0.704
107	A:46:LEU:HD12	A:50:ILE:CG1	0.693
107	A:46:LEU:HD12	A:50:ILE:HG12	0.691
107	A:13:LEU:CD1	A:63:ALA:HB1	0.685
107	A:103:VAL:HG22	A:111:VAL:HG11	0.684
107	A:102:MET:HE3	A:111:VAL:HG13	0.680
107	A:13:LEU:HD11	A:63:ALA:CB	0.679
107	A:6:MET:SD	A:97:ALA:HB1	0.670
107	A:87:VAL:HG11	A:122:GLN:HA	0.669
107	A:13:LEU:HD13	A:29:ILE:CD1	0.667
107	A:97:ALA:SG	A:158:TRP:HZ2	0.666
107	A:11:GLU:HB3	A:29:ILE:CG2	0.665
107	A:4:PHE:HE1	A:71:VAL:CG1	0.660
107	A:87:VAL:HG21	A:122:GLN:HB2	0.660
107	A:121:LEU:HD22	A:126:TRP:CE3	0.653

Model ID	Atom-1	Atom-2	Clash overlap (Å)
107	A:120:MET:HB3	A:125:ARG:HB3	0.650
107	A:121:LEU:HD11	A:153:PHE:CE1	0.644
107	A:105:GLN:HE22	A:145:ARG:HG2	0.631
107	A:47:ASP:HB2	A:56:GLY:HA2	0.621
107	A:121:LEU:HD11	A:153:PHE:HE1	0.620
107	A:97:ALA:SG	A:158:TRP:CZ2	0.620
107	A:27:ILE:HG13	A:58:ILE:HD13	0.619
107	A:91:LEU:HD21	A:126:TRP:HH2	0.617
107	A:24:TYR:HB3	A:32:LEU:HD11	0.612
107	A:102:MET:HG2	A:111:VAL:CG2	0.604
107	A:7:LEU:HB3	A:67:PHE:CZ	0.602
107	A:125:ARG:HG3	A:128:GLU:HG3	0.599
107	A:94:VAL:HG12	A:152:THR:HG23	0.581
107	A:74:ALA:HB3	A:100:ILE:HG23	0.580
107	A:81:ASN:HB3	A:84:LEU:HD13	0.567
107	A:99:LEU:HD23	A:153:PHE:HZ	0.564
107	A:27:ILE:HG12	A:46:LEU:HD13	0.561
107	A:147:LYS:HA	A:150:ILE:HD12	0.559
107	A:50:ILE:HG21	A:62:GLU:HG2	0.554
107	A:17:ILE:HG21	A:42:ALA:HB1	0.548
107	A:148:ARG:HB3	A:161:TYR:CE1	0.544
107	A:94:VAL:HG22	A:158:TRP:CD1	0.543
107	A:114:PHE:HB3	A:117:SER:HB2	0.541

Model ID	Atom-1	Atom-2	Clash overlap (Å)
107	A:6:MET:HE2	A:161:TYR:CZ	0.538
107	A:148:ARG:HB3	A:161:TYR:CD1	0.538
107	A:31:HIS:HB2	A:66:LEU:HD21	0.536
107	A:46:LEU:HD11	A:58:ILE:CG2	0.534
107	A:3:ILE:HG12	A:100:ILE:HB	0.531
107	A:130:ALA:CB	A:154:ARG:HG3	0.531
107	A:77:GLY:HA3	A:103:VAL:HG11	0.518
107	A:102:MET:HE3	A:111:VAL:CG1	0.515
107	A:15:LEU:O	A:58:ILE:HG12	0.511
107	A:106:MET:HG2	A:110:GLY:HA3	0.506
107	A:84:LEU:HD22	A:88:TYR:HB3	0.504
107	A:130:ALA:HB1	A:150:ILE:HG22	0.504
107	A:88:TYR:HD1	A:91:LEU:HD12	0.501
107	A:74:ALA:CB	A:100:ILE:HG23	0.497
107	A:46:LEU:CD1	A:58:ILE:HG23	0.496
107	A:8:ARG:HG3	A:67:PHE:CE2	0.485
107	A:13:LEU:HA	A:29:ILE:HG13	0.482
107	A:25:TYR:CE1	A:39:LEU:HD12	0.482
107	A:70:ASP:HB3	A:104:PHE:HE2	0.482
107	A:45:GLU:HA	A:48:LYS:HB2	0.480
107	A:126:TRP:HA	A:129:ALA:HB3	0.479
107	A:139:TYR:HE1	A:147:LYS:HB3	0.477
107	A:16:LYS:HD3	A:57:VAL:CG2	0.476

Model ID	Atom-1	Atom-2	Clash overlap (Å)
107	A:130:ALA:HB1	A:150:ILE:CG2	0.472
107	A:84:LEU:HD22	A:88:TYR:CB	0.469
107	A:14:ARG:HB3	A:18:TYR:CG	0.466
107	A:25:TYR:CE1	A:39:LEU:CD1	0.466
107	A:117:SER:O	A:121:LEU:HB2	0.465
107	A:99:LEU:O	A:103:VAL:HG23	0.463
107	A:102:MET:HA	A:138:TRP:CH2	0.462
107	A:155:THR:OG1	A:160:ALA:HB2	0.457
107	A:121:LEU:CD2	A:126:TRP:CE3	0.455
107	A:136:SER:OG	A:138:TRP:HB3	0.453
107	A:1:MET:HA	A:5:GLU:OE2	0.445
107	A:75:VAL:HA	A:78:ILE:HD12	0.443
107	A:27:ILE:CG1	A:58:ILE:HD13	0.442
107	A:119:ARG:HA	A:122:GLN:HG2	0.442
107	A:34:THR:HG23	A:36:SER:O	0.441
107	A:6:MET:HE3	A:158:TRP:CZ3	0.435
107	A:139:TYR:CE1	A:147:LYS:HB3	0.428
107	A:7:LEU:HG	A:71:VAL:HG22	0.427
107	A:138:TRP:HH2	A:149:VAL:HG11	0.426
107	A:130:ALA:HB3	A:154:ARG:CG	0.424
107	A:46:LEU:HD12	A:50:ILE:HG13	0.423
107	A:1:MET:SD	A:5:GLU:HB3	0.422
107	A:71:VAL:O	A:74:ALA:HB3	0.420

Model ID	Atom-1	Atom-2	Clash overlap (Å)
107	A:1:MET:SD	A:5:GLU:CB	0.418
107	A:14:ARG:HB3	A:18:TYR:CD1	0.418
107	A:7:LEU:HD22	A:67:PHE:CE1	0.417
107	A:105:GLN:NE2	A:145:ARG:HG2	0.412
107	A:6:MET:HG3	A:158:TRP:CZ3	0.410
107	A:91:LEU:HD21	A:126:TRP:CH2	0.409
107	A:29:ILE:HD13	A:67:PHE:CD2	0.408
107	A:7:LEU:C	A:67:PHE:HZ	0.408
107	A:71:VAL:O	A:75:VAL:HG23	0.407
107	A:16:LYS:HD3	A:57:VAL:HG22	0.406
107	A:1:MET:HG3	A:158:TRP:CZ3	0.403
107	A:102:MET:SD	A:133:LEU:HD11	0.400
108	A:1:MET:SD	A:5:GLU:HB3	1.028
108	A:15:LEU:HD22	A:58:ILE:HG13	1.016
108	A:148:ARG:HB3	A:161:TYR:CE1	1.002
108	A:24:TYR:HB2	A:32:LEU:HD11	0.881
108	A:50:ILE:HD13	A:66:LEU:HB2	0.854
108	A:7:LEU:HB3	A:67:PHE:CZ	0.808
108	A:99:LEU:HD23	A:153:PHE:HZ	0.803
108	A:102:MET:HG2	A:111:VAL:HG22	0.798
108	A:78:ILE:HG13	A:103:VAL:HG21	0.792
108	A:43:LYS:HA	A:46:LEU:HD23	0.772
108	A:81:ASN:HB3	A:84:LEU:HB2	0.736

Model ID	Atom-1	Atom-2	Clash overlap (Å)
108	A:106:MET:SD	A:138:TRP:CE3	0.729
108	A:7:LEU:HB3	A:67:PHE:HZ	0.707
108	A:106:MET:SD	A:138:TRP:HE3	0.704
108	A:33:LEU:HD12	A:45:GLU:HB3	0.696
108	A:1:MET:HE1	A:9:ILE:CD1	0.694
108	A:1:MET:HG2	A:158:TRP:CE3	0.692
108	A:102:MET:HE3	A:111:VAL:HG13	0.678
108	A:27:ILE:HG12	A:46:LEU:HD13	0.663
108	A:106:MET:HG2	A:110:GLY:HA3	0.659
108	A:6:MET:HG3	A:158:TRP:HZ3	0.655
108	A:88:TYR:HD1	A:99:LEU:CD1	0.652
108	A:99:LEU:CD2	A:153:PHE:HZ	0.652
108	A:147:LYS:HA	A:150:ILE:HD12	0.652
108	A:15:LEU:CD2	A:58:ILE:HG13	0.650
108	A:11:GLU:HB2	A:29:ILE:CG2	0.649
108	A:105:GLN:HE22	A:145:ARG:HG2	0.637
108	A:78:ILE:HD11	A:100:ILE:HA	0.636
108	A:78:ILE:CG2	A:84:LEU:HD22	0.633
108	A:98:ALA:HB2	A:152:THR:HG22	0.620
108	A:98:ALA:HB2	A:152:THR:CG2	0.618
108	A:88:TYR:HD1	A:99:LEU:HD12	0.617
108	A:121:LEU:HD23	A:126:TRP:CE3	0.616
108	A:14:ARG:HB3	A:18:TYR:CD1	0.613

Model ID	Atom-1	Atom-2	Clash overlap (Å)
108	A:130:ALA:CB	A:154:ARG:HG2	0.612
108	A:121:LEU:HD23	A:126:TRP:HE3	0.605
108	A:77:GLY:HA3	A:103:VAL:HG11	0.603
108	A:27:ILE:HG13	A:58:ILE:HD13	0.599
108	A:13:LEU:HD13	A:29:ILE:HD11	0.595
108	A:88:TYR:CD1	A:99:LEU:HD12	0.595
108	A:142:THR:HB	A:145:ARG:HB3	0.592
108	A:102:MET:SD	A:133:LEU:HD21	0.586
108	A:11:GLU:HB2	A:29:ILE:HG23	0.573
108	A:75:VAL:HG22	A:100:ILE:HG12	0.565
108	A:1:MET:HE1	A:9:ILE:HD12	0.556
108	A:27:ILE:HG22	A:33:LEU:HD21	0.552
108	A:7:LEU:HB3	A:67:PHE:CE1	0.527
108	A:121:LEU:HD11	A:153:PHE:CE1	0.527
108	A:78:ILE:HG22	A:84:LEU:HD22	0.524
108	A:75:VAL:HA	A:78:ILE:HD12	0.522
108	A:1:MET:HG2	A:158:TRP:CD2	0.521
108	A:3:ILE:HB	A:97:ALA:SG	0.518
108	A:99:LEU:CD2	A:153:PHE:CZ	0.511
108	A:102:MET:HE3	A:111:VAL:CG1	0.506
108	A:25:TYR:HE1	A:39:LEU:CD1	0.504
108	A:150:ILE:O	A:154:ARG:HG3	0.502
108	A:58:ILE:HB	A:62:GLU:HB3	0.498

Model ID	Atom-1	Atom-2	Clash overlap (Å)
108	A:78:ILE:HD13	A:88:TYR:CE1	0.495
108	A:99:LEU:HD23	A:102:MET:CE	0.491
108	A:11:GLU:HB2	A:29:ILE:HG22	0.489
108	A:7:LEU:HD23	A:11:GLU:HG3	0.487
108	A:121:LEU:CD2	A:126:TRP:HE3	0.487
108	A:102:MET:HG2	A:111:VAL:CG2	0.485
108	A:24:TYR:CB	A:32:LEU:HD11	0.483
108	A:99:LEU:HD23	A:102:MET:HE1	0.483
108	A:13:LEU:HD13	A:29:ILE:CD1	0.482
108	A:42:ALA:O	A:46:LEU:HB3	0.479
108	A:6:MET:HG2	A:161:TYR:CZ	0.475
108	A:7:LEU:CD2	A:11:GLU:HG3	0.475
108	A:50:ILE:HG21	A:62:GLU:HG3	0.475
108	A:136:SER:OG	A:138:TRP:HB3	0.471
108	A:50:ILE:HD11	A:58:ILE:HG21	0.470
108	A:25:TYR:CE1	A:39:LEU:CD1	0.468
108	A:87:VAL:HG22	A:122:GLN:HA	0.465
108	A:99:LEU:HD23	A:153:PHE:CZ	0.464
108	A:7:LEU:CB	A:67:PHE:HZ	0.463
108	A:102:MET:HA	A:138:TRP:CH2	0.462
108	A:29:ILE:HB	A:67:PHE:CD1	0.461
108	A:130:ALA:HB1	A:150:ILE:HG22	0.459
108	A:6:MET:SD	A:97:ALA:HB1	0.458

Model ID	Atom-1	Atom-2	Clash overlap (Å)
108	A:26:THR:HA	A:31:HIS:O	0.457
108	A:61:ASP:O	A:65:LYS:HG2	0.457
108	A:148:ARG:HB3	A:161:TYR:CD1	0.453
108	A:27:ILE:HG13	A:58:ILE:CD1	0.450
108	A:142:THR:HG21	A:145:ARG:HH11	0.450
108	A:29:ILE:HD13	A:67:PHE:CG	0.445
108	A:97:ALA:CB	A:158:TRP:HH2	0.442
108	A:126:TRP:O	A:129:ALA:HB3	0.441
108	A:130:ALA:HB1	A:150:ILE:CG2	0.437
108	A:27:ILE:HG22	A:33:LEU:CD2	0.434
108	A:133:LEU:HB3	A:150:ILE:HG12	0.431
108	A:70:ASP:HB3	A:104:PHE:CE2	0.430
108	A:94:VAL:HG12	A:152:THR:HG23	0.430
108	A:78:ILE:CG1	A:103:VAL:HG21	0.430
108	A:16:LYS:HD3	A:57:VAL:HG13	0.429
108	A:88:TYR:CD1	A:99:LEU:CD1	0.429
108	A:18:TYR:CE1	A:26:THR:CG2	0.426
108	A:6:MET:HG3	A:158:TRP:CZ3	0.425
108	A:121:LEU:CD2	A:126:TRP:CE3	0.421
108	A:105:GLN:NE2	A:145:ARG:HG2	0.421
108	A:130:ALA:HB2	A:154:ARG:HG2	0.420
108	A:22:GLU:HB3	A:24:TYR:CE2	0.419
108	A:75:VAL:O	A:79:LEU:HD23	0.419

Model ID	Atom-1	Atom-2	Clash overlap (Å)
108	A:25:TYR:HE1	A:39:LEU:HD11	0.417
108	A:92:ASP:CG	A:95:ARG:HG3	0.412
108	A:46:LEU:HD11	A:58:ILE:HG23	0.409
108	A:88:TYR:HD1	A:99:LEU:HD13	0.408
108	A:27:ILE:CG2	A:33:LEU:HD21	0.407
108	A:3:ILE:HD13	A:97:ALA:HB1	0.404
108	A:6:MET:HG2	A:161:TYR:OH	0.401
108	A:46:LEU:O	A:50:ILE:HG12	0.400
109	A:121:LEU:HD11	A:153:PHE:HE1	1.151
109	A:1:MET:SD	A:5:GLU:HB3	1.055
109	A:15:LEU:HD22	A:58:ILE:HG13	1.053
109	A:17:ILE:HG12	A:27:ILE:HD13	1.012
109	A:121:LEU:HD11	A:153:PHE:CE1	0.981
109	A:102:MET:HG2	A:111:VAL:HG22	0.964
109	A:102:MET:HE3	A:111:VAL:HG13	0.947
109	A:46:LEU:HD11	A:58:ILE:HG21	0.861
109	A:17:ILE:CG1	A:27:ILE:HD13	0.854
109	A:88:TYR:HD1	A:99:LEU:HD12	0.835
109	A:78:ILE:CG2	A:84:LEU:HD22	0.834
109	A:46:LEU:HD11	A:58:ILE:CG2	0.801
109	A:138:TRP:CH2	A:149:VAL:HG11	0.733
109	A:120:MET:SD	A:128:GLU:HB3	0.730
109	A:78:ILE:HG23	A:84:LEU:HD22	0.729

Model ID	Atom-1	Atom-2	Clash overlap (Å)
109	A:74:ALA:CB	A:100:ILE:HG23	0.728
109	A:78:ILE:HG13	A:103:VAL:HG21	0.728
109	A:106:MET:SD	A:138:TRP:CE3	0.723
109	A:18:TYR:CE1	A:26:THR:HG22	0.708
109	A:15:LEU:CD2	A:58:ILE:HG13	0.700
109	A:87:VAL:HG22	A:122:GLN:HB2	0.663
109	A:6:MET:SD	A:97:ALA:HB1	0.661
109	A:102:MET:HG2	A:111:VAL:CG2	0.655
109	A:27:ILE:HG13	A:58:ILE:HD13	0.650
109	A:78:ILE:CG1	A:103:VAL:HG21	0.643
109	A:15:LEU:HD22	A:58:ILE:CG1	0.642
109	A:25:TYR:CE1	A:39:LEU:HD12	0.630
109	A:50:ILE:HG21	A:62:GLU:HG2	0.629
109	A:27:ILE:HG22	A:33:LEU:HD21	0.626
109	A:75:VAL:HA	A:78:ILE:HD12	0.623
109	A:74:ALA:HB1	A:100:ILE:HG23	0.609
109	A:1:MET:HB3	A:158:TRP:CG	0.597
109	A:85:LYS:HE3	A:86:PRO:HD3	0.597
109	A:74:ALA:HB3	A:100:ILE:HG23	0.595
109	A:27:ILE:CG2	A:33:LEU:HD21	0.592
109	A:121:LEU:HD22	A:126:TRP:CZ3	0.590
109	A:84:LEU:CD2	A:88:TYR:HB2	0.587
109	A:50:ILE:HG21	A:62:GLU:CG	0.584

Model ID	Atom-1	Atom-2	Clash overlap (Å)
109	A:29:ILE:HD13	A:67:PHE:CG	0.573
109	A:59:THR:H	A:62:GLU:HB2	0.572
109	A:102:MET:HE3	A:111:VAL:CG1	0.548
109	A:88:TYR:HD1	A:99:LEU:CD1	0.543
109	A:16:LYS:HD3	A:57:VAL:HG22	0.536
109	A:29:ILE:HD13	A:67:PHE:CD2	0.525
109	A:88:TYR:CD1	A:99:LEU:HD12	0.524
109	A:130:ALA:CB	A:154:ARG:HG3	0.511
109	A:33:LEU:HD13	A:42:ALA:HB1	0.510
109	A:121:LEU:HD22	A:126:TRP:CE3	0.501
109	A:148:ARG:HB3	A:161:TYR:CE1	0.500
109	A:97:ALA:CB	A:158:TRP:HH2	0.499
109	A:99:LEU:HD23	A:153:PHE:HZ	0.492
109	A:1:MET:HE1	A:9:ILE:HD12	0.487
109	A:130:ALA:HB2	A:154:ARG:HG3	0.487
109	A:1:MET:HB3	A:158:TRP:CD2	0.484
109	A:3:ILE:HD13	A:97:ALA:HA	0.484
109	A:17:ILE:HG21	A:42:ALA:HB1	0.482
109	A:27:ILE:HG22	A:33:LEU:CD2	0.481
109	A:126:TRP:HB3	A:153:PHE:O	0.480
109	A:99:LEU:HD21	A:121:LEU:HD13	0.475
109	A:25:TYR:CE1	A:39:LEU:CD1	0.472
109	A:3:ILE:HG12	A:100:ILE:HD12	0.466

Model ID	Atom-1	Atom-2	Clash overlap (Å)
109	A:91:LEU:CD1	A:99:LEU:HD11	0.464
109	A:127:ASP:O	A:131:VAL:HG23	0.459
109	A:114:PHE:O	A:118:LEU:HD23	0.458
109	A:102:MET:HA	A:138:TRP:CH2	0.457
109	A:72:ASP:O	A:76:ARG:HG2	0.456
109	A:13:LEU:CD2	A:15:LEU:HD11	0.454
109	A:29:ILE:HG21	A:67:PHE:CE1	0.451
109	A:97:ALA:SG	A:158:TRP:CZ2	0.451
109	A:97:ALA:HB1	A:158:TRP:HH2	0.449
109	A:7:LEU:HB3	A:67:PHE:CZ	0.448
109	A:97:ALA:SG	A:158:TRP:HZ2	0.438
109	A:87:VAL:CG2	A:122:GLN:HB2	0.437
109	A:1:MET:HG2	A:158:TRP:CE3	0.434
109	A:78:ILE:HG22	A:84:LEU:HD22	0.432
109	A:10:ASP:OD1	A:148:ARG:NH2	0.432
109	A:27:ILE:HG13	A:58:ILE:CD1	0.430
109	A:121:LEU:HA	A:126:TRP:CZ3	0.430
109	A:24:TYR:CD2	A:32:LEU:HD11	0.423
109	A:7:LEU:HB3	A:67:PHE:CE1	0.419
109	A:75:VAL:O	A:79:LEU:HD23	0.418
109	A:117:SER:O	A:121:LEU:HB2	0.418
109	A:11:GLU:HG3	A:30:GLY:HA3	0.417
109	A:26:THR:HA	A:31:HIS:O	0.417

Model ID	Atom-1	Atom-2	Clash overlap (Å)
109	A:27:ILE:HG12	A:46:LEU:HD13	0.417
109	A:97:ALA:CB	A:158:TRP:CH2	0.417
109	A:128:GLU:HA	A:131:VAL:HB	0.414
109	A:130:ALA:HB1	A:150:ILE:CG2	0.414
109	A:17:ILE:HD11	A:46:LEU:CD2	0.413
109	A:70:ASP:HB3	A:104:PHE:CE2	0.413
109	A:5:GLU:O	A:8:ARG:HB2	0.412
109	A:27:ILE:HG12	A:46:LEU:HD22	0.412
109	A:94:VAL:HG13	A:158:TRP:CE2	0.412
109	A:21:THR:HG21	A:142:THR:HG21	0.411
109	A:78:ILE:HG23	A:84:LEU:CD2	0.406
109	A:122:GLN:HB3	A:122:GLN:HE21	0.404
109	A:121:LEU:HD22	A:126:TRP:HZ3	0.403
109	A:94:VAL:O	A:97:ALA:HB3	0.403
109	A:102:MET:CG	A:111:VAL:HG22	0.401
109	A:58:ILE:HB	A:62:GLU:HB3	0.400
110	A:1:MET:HE1	A:9:ILE:HD12	1.156
110	A:7:LEU:HB3	A:67:PHE:HZ	1.104
110	A:7:LEU:HB3	A:67:PHE:CZ	1.015
110	A:25:TYR:CE1	A:39:LEU:HD13	0.995
110	A:102:MET:HE3	A:111:VAL:HG13	0.952
110	A:1:MET:SD	A:5:GLU:HB3	0.939
110	A:25:TYR:HE1	A:39:LEU:HD13	0.936

Model ID	Atom-1	Atom-2	Clash overlap (Å)
110	A:27:ILE:HD13	A:46:LEU:HD22	0.873
110	A:27:ILE:CD1	A:46:LEU:HD22	0.863
110	A:46:LEU:HD11	A:58:ILE:HG23	0.847
110	A:102:MET:HG2	A:111:VAL:HG22	0.832
110	A:27:ILE:HG12	A:46:LEU:HD13	0.787
110	A:106:MET:SD	A:138:TRP:HE3	0.776
110	A:138:TRP:CH2	A:149:VAL:HG11	0.775
110	A:29:ILE:HG21	A:67:PHE:CE1	0.773
110	A:13:LEU:HD13	A:29:ILE:HD11	0.750
110	A:33:LEU:HD12	A:45:GLU:HB3	0.734
110	A:7:LEU:CD2	A:11:GLU:HG3	0.729
110	A:7:LEU:HD23	A:11:GLU:HG3	0.727
110	A:106:MET:SD	A:138:TRP:CE3	0.725
110	A:17:ILE:HD13	A:43:LYS:HG2	0.722
110	A:121:LEU:HD22	A:126:TRP:HZ3	0.704
110	A:46:LEU:CD1	A:58:ILE:HG23	0.703
110	A:130:ALA:HB2	A:154:ARG:HG3	0.686
110	A:74:ALA:HB3	A:100:ILE:HG22	0.682
110	A:18:TYR:CE1	A:26:THR:HG23	0.681
110	A:121:LEU:HD21	A:129:ALA:CB	0.664
110	A:130:ALA:CB	A:154:ARG:HG3	0.663
110	A:121:LEU:HD21	A:129:ALA:HB1	0.658
110	A:1:MET:CE	A:9:ILE:HD12	0.655

Model ID	Atom-1	Atom-2	Clash overlap (Å)
110	A:6:MET:SD	A:97:ALA:HB1	0.647
110	A:102:MET:HE3	A:111:VAL:CG1	0.635
110	A:91:LEU:HD21	A:126:TRP:HH2	0.631
110	A:14:ARG:HG2	A:18:TYR:HB3	0.629
110	A:13:LEU:HD13	A:29:ILE:CD1	0.628
110	A:102:MET:CE	A:111:VAL:HG13	0.628
110	A:6:MET:HG3	A:158:TRP:HZ3	0.627
110	A:11:GLU:HB2	A:29:ILE:HG23	0.616
110	A:138:TRP:HH2	A:149:VAL:HG11	0.612
110	A:121:LEU:HD22	A:126:TRP:CZ3	0.610
110	A:47:ASP:HB2	A:56:GLY:HA2	0.607
110	A:148:ARG:HD2	A:161:TYR:HA	0.605
110	A:16:LYS:HZ3	A:57:VAL:HG11	0.595
110	A:25:TYR:HE1	A:39:LEU:HA	0.589
110	A:88:TYR:HD1	A:99:LEU:HD12	0.586
110	A:15:LEU:HD22	A:58:ILE:HG13	0.580
110	A:29:ILE:HD13	A:67:PHE:CG	0.578
110	A:74:ALA:HB3	A:100:ILE:CG2	0.569
110	A:50:ILE:HG21	A:62:GLU:HG2	0.567
110	A:15:LEU:HD11	A:60:LYS:HD3	0.550
110	A:79:LEU:HG	A:85:LYS:HG3	0.548
110	A:50:ILE:HD13	A:66:LEU:HD13	0.545
110	A:91:LEU:HD21	A:126:TRP:CH2	0.545

Model ID	Atom-1	Atom-2	Clash overlap (Å)
110	A:121:LEU:CD2	A:126:TRP:CZ3	0.535
110	A:18:TYR:CE1	A:26:THR:CG2	0.531
110	A:102:MET:HG2	A:111:VAL:CG2	0.517
110	A:27:ILE:HG22	A:33:LEU:CD2	0.512
110	A:120:MET:SD	A:128:GLU:HB3	0.511
110	A:99:LEU:HD23	A:153:PHE:HZ	0.501
110	A:84:LEU:HD13	A:118:LEU:HB3	0.493
110	A:74:ALA:CB	A:100:ILE:HG22	0.486
110	A:121:LEU:CD2	A:126:TRP:HZ3	0.486
110	A:7:LEU:HD22	A:67:PHE:CE1	0.481
110	A:13:LEU:HD21	A:15:LEU:HD11	0.481
110	A:78:ILE:HG13	A:103:VAL:HG21	0.479
110	A:88:TYR:CD1	A:99:LEU:HD12	0.479
110	A:75:VAL:HA	A:78:ILE:HD12	0.475
110	A:1:MET:HG2	A:158:TRP:CE3	0.474
110	A:20:ASP:HB3	A:26:THR:HG21	0.474
110	A:27:ILE:HD11	A:46:LEU:HD22	0.473
110	A:13:LEU:HD21	A:15:LEU:CD1	0.472
110	A:121:LEU:HD21	A:129:ALA:HB2	0.468
110	A:77:GLY:O	A:80:ARG:HB2	0.467
110	A:114:PHE:O	A:118:LEU:HG	0.465
110	A:8:ARG:HD3	A:13:LEU:HG	0.459
110	A:46:LEU:O	A:50:ILE:HG12	0.458

Model ID	Atom-1	Atom-2	Clash overlap (Å)
110	A:6:MET:HE2	A:161:TYR:OH	0.447
110	A:126:TRP:HB3	A:153:PHE:O	0.447
110	A:148:ARG:HB3	A:161:TYR:CE1	0.447
110	A:7:LEU:HD22	A:67:PHE:HE1	0.445
110	A:103:VAL:HG22	A:111:VAL:HG11	0.443
110	A:102:MET:SD	A:133:LEU:HD21	0.443
110	A:3:ILE:HG12	A:100:ILE:HD12	0.441
110	A:98:ALA:HB1	A:153:PHE:CD2	0.440
110	A:102:MET:HA	A:138:TRP:CH2	0.439
110	A:13:LEU:CD2	A:15:LEU:HD12	0.436
110	A:119:ARG:HA	A:119:ARG:HD3	0.436
110	A:121:LEU:CD2	A:129:ALA:HB2	0.434
110	A:14:ARG:CB	A:18:TYR:CD1	0.433
110	A:10:ASP:OD1	A:148:ARG:NH2	0.433
110	A:27:ILE:HG22	A:33:LEU:HD21	0.432
110	A:124:LYS:HG2	A:126:TRP:CZ2	0.432
110	A:33:LEU:HA	A:33:LEU:HD13	0.431
110	A:87:VAL:HG21	A:122:GLN:HB2	0.431
110	A:77:GLY:HA3	A:103:VAL:HG11	0.430
110	A:145:ARG:HB3	A:145:ARG:HH11	0.430
110	A:94:VAL:O	A:97:ALA:HB3	0.429
110	A:1:MET:HG2	A:158:TRP:CD2	0.426
110	A:8:ARG:HG2	A:13:LEU:HB2	0.425

Model ID	Atom-1	Atom-2	Clash overlap (Å)
110	A:11:GLU:CB	A:29:ILE:HG23	0.425
110	A:1:MET:HE1	A:9:ILE:CD1	0.423
110	A:71:VAL:O	A:75:VAL:HG23	0.423
110	A:94:VAL:HG22	A:158:TRP:NE1	0.414
110	A:78:ILE:HD13	A:88:TYR:CZ	0.412
110	A:7:LEU:HA	A:7:LEU:HD12	0.411
110	A:137:ARG:HA	A:140:ASN:HB2	0.407
110	A:6:MET:HG3	A:158:TRP:CZ3	0.405
110	A:66:LEU:O	A:69:GLN:HB2	0.404
110	A:138:TRP:CZ2	A:149:VAL:HG11	0.403
110	A:5:GLU:HG3	A:8:ARG:NH1	0.403
111	A:17:ILE:HG21	A:42:ALA:HB1	1.131
111	A:102:MET:HG2	A:111:VAL:HG22	1.043
111	A:1:MET:SD	A:5:GLU:HB3	0.942
111	A:88:TYR:HD1	A:99:LEU:HD13	0.919
111	A:17:ILE:HD11	A:46:LEU:HD22	0.876
111	A:25:TYR:HE1	A:39:LEU:HD13	0.876
111	A:88:TYR:CD1	A:99:LEU:HD13	0.839
111	A:46:LEU:HD11	A:58:ILE:HG23	0.838
111	A:13:LEU:HD13	A:29:ILE:CD1	0.835
111	A:102:MET:HG2	A:111:VAL:CG2	0.829
111	A:18:TYR:CE1	A:26:THR:HG22	0.821
111	A:15:LEU:HD22	A:58:ILE:HG13	0.815

Model ID	Atom-1	Atom-2	Clash overlap (Å)
111	A:25:TYR:CE1	A:39:LEU:HD13	0.783
111	A:17:ILE:HD11	A:46:LEU:CD2	0.771
111	A:148:ARG:HB3	A:161:TYR:CE1	0.770
111	A:17:ILE:HG21	A:42:ALA:CB	0.764
111	A:7:LEU:HB3	A:67:PHE:HZ	0.750
111	A:24:TYR:HB3	A:32:LEU:HD11	0.741
111	A:46:LEU:HD11	A:58:ILE:CG2	0.734
111	A:46:LEU:HD12	A:50:ILE:CG1	0.732
111	A:6:MET:HG3	A:158:TRP:HZ3	0.726
111	A:106:MET:SD	A:138:TRP:CE3	0.713
111	A:97:ALA:SG	A:158:TRP:CZ2	0.711
111	A:46:LEU:HD12	A:50:ILE:HG12	0.709
111	A:102:MET:CG	A:111:VAL:HG22	0.708
111	A:121:LEU:HD22	A:126:TRP:CE3	0.706
111	A:13:LEU:HD13	A:29:ILE:HD12	0.704
111	A:97:ALA:SG	A:158:TRP:HZ2	0.704
111	A:27:ILE:HG22	A:33:LEU:HD21	0.702
111	A:121:LEU:HD22	A:126:TRP:HE3	0.701
111	A:120:MET:SD	A:128:GLU:HB3	0.687
111	A:25:TYR:HE1	A:39:LEU:CD1	0.676
111	A:78:ILE:CG2	A:84:LEU:HD21	0.672
111	A:1:MET:HE1	A:9:ILE:HD12	0.670
111	A:15:LEU:HD21	A:60:LYS:HA	0.667

Model ID	Atom-1	Atom-2	Clash overlap (Å)
111	A:102:MET:HE3	A:111:VAL:CG1	0.661
111	A:1:MET:HE1	A:9:ILE:CD1	0.659
111	A:121:LEU:HD23	A:129:ALA:CB	0.657
111	A:138:TRP:HH2	A:149:VAL:HG11	0.655
111	A:125:ARG:HD2	A:128:GLU:HG3	0.652
111	A:138:TRP:CH2	A:149:VAL:HG11	0.633
111	A:106:MET:HG2	A:110:GLY:HA3	0.628
111	A:13:LEU:HD13	A:29:ILE:HD11	0.627
111	A:88:TYR:HA	A:91:LEU:HD12	0.622
111	A:78:ILE:HD11	A:100:ILE:HA	0.621
111	A:121:LEU:HD23	A:129:ALA:HB1	0.617
111	A:88:TYR:HD1	A:99:LEU:CD1	0.613
111	A:15:LEU:CD2	A:58:ILE:HG13	0.612
111	A:102:MET:HE3	A:111:VAL:HG13	0.610
111	A:99:LEU:HD21	A:153:PHE:CZ	0.586
111	A:99:LEU:HD23	A:102:MET:CE	0.581
111	A:99:LEU:HD23	A:102:MET:HE1	0.580
111	A:120:MET:SD	A:128:GLU:CB	0.579
111	A:78:ILE:HG22	A:84:LEU:HD21	0.576
111	A:27:ILE:HB	A:33:LEU:HD11	0.570
111	A:102:MET:CE	A:111:VAL:HG13	0.570
111	A:99:LEU:CD2	A:153:PHE:HZ	0.561
111	A:13:LEU:HA	A:29:ILE:HG13	0.554

Model ID	Atom-1	Atom-2	Clash overlap (Å)
111	A:78:ILE:HG23	A:84:LEU:HD21	0.554
111	A:3:ILE:HG12	A:100:ILE:HD12	0.547
111	A:98:ALA:HB2	A:152:THR:CG2	0.546
111	A:91:LEU:HD13	A:99:LEU:HD11	0.544
111	A:14:ARG:HG2	A:18:TYR:HB3	0.541
111	A:78:ILE:CG1	A:103:VAL:HG21	0.537
111	A:106:MET:HE2	A:110:GLY:C	0.537
111	A:91:LEU:CD1	A:99:LEU:HD11	0.536
111	A:29:ILE:HD13	A:67:PHE:CG	0.532
111	A:29:ILE:HD13	A:67:PHE:CD2	0.531
111	A:27:ILE:HD13	A:46:LEU:HD22	0.529
111	A:99:LEU:CD2	A:153:PHE:CZ	0.529
111	A:50:ILE:HB	A:54:THR:SG	0.528
111	A:24:TYR:HB3	A:32:LEU:CD1	0.524
111	A:74:ALA:CB	A:100:ILE:HG23	0.523
111	A:148:ARG:HD2	A:161:TYR:CD2	0.515
111	A:1:MET:CE	A:9:ILE:HD12	0.510
111	A:148:ARG:HB3	A:161:TYR:CD1	0.508
111	A:3:ILE:HD13	A:97:ALA:HB1	0.505
111	A:15:LEU:HD11	A:60:LYS:HG2	0.493
111	A:27:ILE:HG12	A:46:LEU:HD13	0.489
111	A:4:PHE:CE1	A:71:VAL:HG11	0.488
111	A:18:TYR:CE1	A:26:THR:CG2	0.488

Model ID	Atom-1	Atom-2	Clash overlap (Å)
111	A:27:ILE:CG2	A:33:LEU:HD21	0.488
111	A:105:GLN:OE1	A:145:ARG:HG2	0.488
111	A:6:MET:CG	A:158:TRP:HZ3	0.484
111	A:92:ASP:O	A:96:ARG:HG3	0.480
111	A:3:ILE:HB	A:97:ALA:SG	0.479
111	A:99:LEU:HD21	A:153:PHE:HZ	0.478
111	A:102:MET:HE3	A:111:VAL:HG11	0.478
111	A:102:MET:SD	A:133:LEU:HD21	0.475
111	A:16:LYS:HD3	A:57:VAL:CG2	0.474
111	A:17:ILE:HG13	A:27:ILE:CD1	0.471
111	A:17:ILE:HG13	A:27:ILE:HD13	0.471
111	A:74:ALA:HB1	A:100:ILE:HG23	0.470
111	A:1:MET:HB3	A:158:TRP:HB3	0.467
111	A:102:MET:HG3	A:138:TRP:CZ3	0.465
111	A:29:ILE:HB	A:67:PHE:CD1	0.464
111	A:75:VAL:HG12	A:79:LEU:HD23	0.464
111	A:78:ILE:HG12	A:103:VAL:HG21	0.463
111	A:15:LEU:O	A:27:ILE:HD11	0.457
111	A:78:ILE:HG13	A:103:VAL:HG21	0.454
111	A:130:ALA:HB1	A:150:ILE:CG2	0.452
111	A:46:LEU:HD12	A:50:ILE:HG13	0.451
111	A:27:ILE:HG12	A:58:ILE:HD13	0.444
111	A:142:THR:HB	A:145:ARG:HB3	0.444

Model ID	Atom-1	Atom-2	Clash overlap (Å)
111	A:106:MET:HE2	A:110:GLY:O	0.440
111	A:121:LEU:HD23	A:129:ALA:HB2	0.439
111	A:1:MET:SD	A:9:ILE:HD12	0.430
111	A:124:LYS:HB2	A:124:LYS:HE2	0.428
111	A:15:LEU:O	A:58:ILE:HG12	0.426
111	A:74:ALA:O	A:78:ILE:HG13	0.424
111	A:96:ARG:O	A:100:ILE:HG13	0.424
111	A:121:LEU:HD11	A:153:PHE:HE1	0.418
111	A:151:THR:O	A:154:ARG:HB2	0.416
111	A:148:ARG:HB3	A:161:TYR:CZ	0.415
111	A:18:TYR:HE1	A:26:THR:HG22	0.413
111	A:74:ALA:HB3	A:100:ILE:HG23	0.413
111	A:99:LEU:O	A:103:VAL:HG23	0.412
111	A:7:LEU:HD22	A:29:ILE:HG21	0.411
111	A:17:ILE:HG22	A:25:TYR:HD1	0.411
111	A:22:GLU:HB3	A:24:TYR:CD2	0.407
111	A:26:THR:HA	A:31:HIS:O	0.404
111	A:7:LEU:HA	A:7:LEU:HD12	0.403
111	A:16:LYS:HD3	A:57:VAL:HG22	0.400
111	A:124:LYS:H	A:124:LYS:HG3	0.400
111	A:126:TRP:HB3	A:153:PHE:O	0.400
112	A:7:LEU:HB3	A:67:PHE:CZ	1.019
112	A:7:LEU:HB3	A:67:PHE:HZ	0.939

Model ID	Atom-1	Atom-2	Clash overlap (Å)
112	A:11:GLU:HB2	A:29:ILE:HG23	0.913
112	A:148:ARG:HB3	A:161:TYR:CE1	0.875
112	A:27:ILE:HG22	A:33:LEU:HD21	0.811
112	A:27:ILE:HG12	A:46:LEU:HD13	0.793
112	A:46:LEU:HD11	A:58:ILE:HG23	0.748
112	A:11:GLU:CB	A:29:ILE:HG23	0.744
112	A:121:LEU:HD23	A:126:TRP:CE3	0.734
112	A:13:LEU:HD13	A:29:ILE:HD11	0.726
112	A:121:LEU:HD22	A:153:PHE:HD1	0.704
112	A:25:TYR:CE1	A:39:LEU:HD13	0.696
112	A:87:VAL:HG21	A:122:GLN:HB2	0.687
112	A:27:ILE:HD13	A:46:LEU:HD22	0.670
112	A:25:TYR:HE1	A:39:LEU:HD13	0.668
112	A:29:ILE:HG21	A:67:PHE:CE1	0.645
112	A:121:LEU:HD22	A:153:PHE:CD1	0.645
112	A:121:LEU:HD23	A:126:TRP:HE3	0.630
112	A:6:MET:HG2	A:161:TYR:CE2	0.627
112	A:1:MET:SD	A:5:GLU:HB3	0.626
112	A:7:LEU:HD22	A:67:PHE:HE1	0.617
112	A:27:ILE:HB	A:33:LEU:HD11	0.617
112	A:18:TYR:CE1	A:26:THR:HG22	0.613
112	A:25:TYR:HE1	A:39:LEU:CD1	0.608
112	A:13:LEU:HD11	A:63:ALA:CB	0.604

Model ID	Atom-1	Atom-2	Clash overlap (Å)
112	A:13:LEU:HD13	A:29:ILE:CD1	0.602
112	A:15:LEU:HD22	A:58:ILE:HG13	0.598
112	A:106:MET:HB3	A:111:VAL:HG23	0.595
112	A:3:ILE:HG12	A:100:ILE:HB	0.590
112	A:29:ILE:HD13	A:67:PHE:CG	0.582
112	A:78:ILE:HD11	A:100:ILE:HA	0.582
112	A:121:LEU:CD2	A:126:TRP:CE3	0.538
112	A:102:MET:HG2	A:111:VAL:CG2	0.532
112	A:13:LEU:CD1	A:63:ALA:HB1	0.524
112	A:102:MET:HE3	A:111:VAL:CG1	0.516
112	A:50:ILE:HD13	A:66:LEU:HD13	0.515
112	A:121:LEU:CD2	A:153:PHE:CD1	0.508
112	A:26:THR:HG23	A:31:HIS:H	0.507
112	A:102:MET:HG2	A:111:VAL:HG21	0.505
112	A:121:LEU:CD2	A:126:TRP:HE3	0.505
112	A:13:LEU:HD11	A:63:ALA:HB1	0.504
112	A:119:ARG:HA	A:122:GLN:HG2	0.502
112	A:27:ILE:CD1	A:46:LEU:HD22	0.501
112	A:46:LEU:HD12	A:50:ILE:HG12	0.499
112	A:106:MET:SD	A:138:TRP:CE3	0.498
112	A:8:ARG:HB3	A:67:PHE:CE2	0.497
112	A:121:LEU:HD13	A:153:PHE:CE1	0.492
112	A:13:LEU:HD11	A:63:ALA:HB3	0.489

Model ID	Atom-1	Atom-2	Clash overlap (Å)
112	A:124:LYS:HG2	A:126:TRP:HZ2	0.489
112	A:15:LEU:CD2	A:58:ILE:HG13	0.488
112	A:105:GLN:HB3	A:138:TRP:HE1	0.488
112	A:106:MET:HE2	A:114:PHE:HE1	0.487
112	A:46:LEU:CD1	A:58:ILE:HG23	0.480
112	A:84:LEU:HB2	A:118:LEU:HD11	0.480
112	A:94:VAL:HG22	A:158:TRP:CD1	0.480
112	A:127:ASP:O	A:131:VAL:HG23	0.476
112	A:142:THR:HB	A:145:ARG:HB2	0.474
112	A:102:MET:HE3	A:111:VAL:HG11	0.470
112	A:87:VAL:HG11	A:122:GLN:HA	0.469
112	A:125:ARG:HD2	A:128:GLU:OE1	0.469
112	A:46:LEU:O	A:50:ILE:HG12	0.462
112	A:148:ARG:CB	A:161:TYR:CE1	0.461
112	A:121:LEU:HD21	A:129:ALA:HB1	0.458
112	A:102:MET:SD	A:133:LEU:HD21	0.456
112	A:6:MET:CG	A:161:TYR:CE2	0.454
112	A:71:VAL:O	A:75:VAL:HG23	0.452
112	A:58:ILE:HD12	A:63:ALA:HB2	0.442
112	A:29:ILE:HD13	A:67:PHE:HB2	0.439
112	A:1:MET:SD	A:5:GLU:CB	0.438
112	A:1:MET:HA	A:5:GLU:OE2	0.437
112	A:99:LEU:O	A:103:VAL:HG23	0.436

Model ID	Atom-1	Atom-2	Clash overlap (Å)
112	A:7:LEU:HG	A:104:PHE:CD2	0.432
112	A:96:ARG:O	A:100:ILE:HG13	0.428
112	A:6:MET:HG3	A:158:TRP:HZ3	0.425
112	A:88:TYR:CD1	A:99:LEU:HD12	0.423
112	A:3:ILE:HG12	A:100:ILE:HD12	0.420
112	A:1:MET:HG3	A:158:TRP:CE3	0.419
112	A:14:ARG:HG3	A:18:TYR:CD2	0.416
112	A:126:TRP:HA	A:129:ALA:HB3	0.416
112	A:6:MET:HE2	A:161:TYR:CZ	0.414
112	A:15:LEU:HD11	A:60:LYS:HG2	0.407
112	A:14:ARG:HG3	A:18:TYR:CG	0.406
112	A:17:ILE:HG12	A:42:ALA:HB1	0.406
112	A:10:ASP:OD1	A:148:ARG:NH2	0.403
112	A:119:ARG:O	A:122:GLN:HG2	0.403
112	A:26:THR:HG23	A:31:HIS:N	0.401
113	A:130:ALA:HB1	A:150:ILE:HG23	1.044
113	A:151:THR:HG22	A:160:ALA:HB1	0.902
113	A:15:LEU:HD23	A:57:VAL:HG11	0.858
113	A:130:ALA:HB1	A:150:ILE:CG2	0.827
113	A:78:ILE:HG23	A:84:LEU:HD12	0.818
113	A:120:MET:SD	A:128:GLU:HB2	0.808
113	A:151:THR:CG2	A:160:ALA:HB1	0.797
113	A:138:TRP:HB3	A:146:ALA:HB2	0.794

Model ID	Atom-1	Atom-2	Clash overlap (Å)
113	A:27:ILE:CD1	A:46:LEU:HD22	0.773
113	A:13:LEU:HD13	A:29:ILE:CG1	0.743
113	A:148:ARG:HB3	A:161:TYR:CE1	0.743
113	A:121:LEU:HD13	A:126:TRP:HZ3	0.736
113	A:19:LYS:HD3	A:25:TYR:HE2	0.719
113	A:70:ASP:HB3	A:104:PHE:CE2	0.688
113	A:50:ILE:HD11	A:66:LEU:HD11	0.677
113	A:91:LEU:HD11	A:121:LEU:HD12	0.670
113	A:17:ILE:HD11	A:43:LYS:HB2	0.668
113	A:121:LEU:HD22	A:126:TRP:HE3	0.662
113	A:13:LEU:HD13	A:29:ILE:HD11	0.658
113	A:13:LEU:HD13	A:29:ILE:HG13	0.654
113	A:29:ILE:HD12	A:67:PHE:CD2	0.649
113	A:151:THR:HG22	A:160:ALA:CB	0.645
113	A:97:ALA:SG	A:158:TRP:HZ2	0.643
113	A:13:LEU:HD13	A:29:ILE:CD1	0.630
113	A:4:PHE:HE1	A:71:VAL:HG11	0.630
113	A:19:LYS:HD3	A:25:TYR:CE2	0.627
113	A:74:ALA:HB2	A:104:PHE:HD2	0.620
113	A:14:ARG:HG2	A:18:TYR:HB3	0.617
113	A:121:LEU:HD22	A:126:TRP:CE3	0.610
113	A:78:ILE:HG13	A:103:VAL:HG21	0.609
113	A:97:ALA:SG	A:158:TRP:CZ2	0.607

Model ID	Atom-1	Atom-2	Clash overlap (Å)
113	A:22:GLU:HG3	A:145:ARG:HH12	0.604
113	A:138:TRP:CB	A:146:ALA:HB2	0.591
113	A:13:LEU:HA	A:29:ILE:HG12	0.589
113	A:27:ILE:HD13	A:46:LEU:HD13	0.571
113	A:105:GLN:HB3	A:138:TRP:CE2	0.570
113	A:15:LEU:HD23	A:57:VAL:CG1	0.569
113	A:29:ILE:HD12	A:67:PHE:CG	0.569
113	A:133:LEU:HD11	A:153:PHE:CD2	0.565
113	A:70:ASP:HB3	A:104:PHE:HE2	0.564
113	A:13:LEU:CD1	A:63:ALA:HB1	0.560
113	A:91:LEU:HD13	A:99:LEU:HD11	0.559
113	A:1:MET:HG2	A:158:TRP:CE3	0.557
113	A:105:GLN:HB3	A:138:TRP:CZ2	0.555
113	A:139:TYR:HD1	A:146:ALA:HB1	0.552
113	A:16:LYS:HG2	A:57:VAL:HG22	0.546
113	A:24:TYR:HD1	A:35:LYS:HG2	0.545
113	A:88:TYR:HD1	A:99:LEU:HD12	0.535
113	A:105:GLN:CB	A:138:TRP:CZ2	0.525
113	A:118:LEU:HA	A:121:LEU:HB2	0.525
113	A:121:LEU:HD21	A:153:PHE:CD1	0.521
113	A:70:ASP:HB3	A:104:PHE:CZ	0.517
113	A:139:TYR:CD1	A:146:ALA:CB	0.509
113	A:119:ARG:HA	A:122:GLN:HE21	0.508

Model ID	Atom-1	Atom-2	Clash overlap (Å)
113	A:120:MET:CG	A:125:ARG:HB2	0.507
113	A:138:TRP:HB3	A:146:ALA:CB	0.505
113	A:120:MET:SD	A:128:GLU:CB	0.504
113	A:27:ILE:HG12	A:58:ILE:HG12	0.503
113	A:83:LYS:HB3	A:118:LEU:HD13	0.502
113	A:126:TRP:HA	A:129:ALA:HB3	0.500
113	A:17:ILE:CD1	A:43:LYS:HB2	0.496
113	A:91:LEU:CD1	A:99:LEU:HD11	0.496
113	A:78:ILE:CG1	A:103:VAL:HG21	0.493
113	A:99:LEU:O	A:103:VAL:HG23	0.491
113	A:121:LEU:HD13	A:126:TRP:CZ3	0.490
113	A:102:MET:HA	A:138:TRP:HH2	0.489
113	A:25:TYR:HB2	A:34:THR:HG23	0.487
113	A:46:LEU:HD21	A:58:ILE:HG23	0.485
113	A:3:ILE:HB	A:97:ALA:SG	0.483
113	A:17:ILE:HG21	A:42:ALA:HB1	0.481
113	A:120:MET:HG2	A:125:ARG:HB2	0.481
113	A:25:TYR:HD1	A:42:ALA:CB	0.480
113	A:121:LEU:HD21	A:153:PHE:CE1	0.477
113	A:43:LYS:HD2	A:56:GLY:HA2	0.476
113	A:99:LEU:HD23	A:102:MET:HE2	0.458
113	A:121:LEU:HD11	A:153:PHE:HE1	0.456
113	A:136:SER:OG	A:138:TRP:HB2	0.455

Model ID	Atom-1	Atom-2	Clash overlap (Å)
113	A:46:LEU:CD1	A:50:ILE:HG13	0.453
113	A:91:LEU:HD11	A:121:LEU:CD1	0.453
113	A:139:TYR:CD1	A:146:ALA:HB3	0.453
113	A:33:LEU:O	A:45:GLU:HG2	0.452
113	A:25:TYR:HD1	A:42:ALA:HB2	0.451
113	A:139:TYR:HD1	A:146:ALA:CB	0.450
113	A:105:GLN:HB2	A:138:TRP:CZ2	0.448
113	A:133:LEU:CD1	A:153:PHE:CD2	0.446
113	A:91:LEU:HD23	A:92:ASP:H	0.444
113	A:25:TYR:HB2	A:34:THR:CG2	0.438
113	A:4:PHE:CE1	A:71:VAL:HG11	0.438
113	A:15:LEU:O	A:57:VAL:HG13	0.437
113	A:105:GLN:HB3	A:138:TRP:NE1	0.434
113	A:50:ILE:HG22	A:52:ARG:H	0.429
113	A:130:ALA:CB	A:150:ILE:HG23	0.429
113	A:162:LYS:HB3	A:162:LYS:HE2	0.428
113	A:15:LEU:CD2	A:57:VAL:HG11	0.423
113	A:22:GLU:HB3	A:24:TYR:CE2	0.420
113	A:120:MET:HG2	A:125:ARG:HG3	0.420
113	A:114:PHE:CE1	A:133:LEU:HD23	0.417
113	A:151:THR:HG21	A:160:ALA:HB1	0.413
113	A:46:LEU:HD12	A:50:ILE:CG1	0.410
113	A:8:ARG:HG2	A:29:ILE:HD13	0.407

Model ID	Atom-1	Atom-2	Clash overlap (Å)
113	A:83:LYS:HD2	A:118:LEU:HB3	0.406
113	A:121:LEU:HA	A:126:TRP:CZ3	0.405
113	A:88:TYR:OH	A:100:ILE:HD11	0.402
114	A:8:ARG:HG3	A:67:PHE:HE2	1.141
114	A:130:ALA:HB2	A:150:ILE:HG21	1.077
114	A:84:LEU:HG	A:108:GLU:HB3	1.025
114	A:81:ASN:HB3	A:84:LEU:HB2	1.005
114	A:8:ARG:HG3	A:67:PHE:CE2	0.981
114	A:17:ILE:HD13	A:27:ILE:HD12	0.881
114	A:7:LEU:HB3	A:67:PHE:CZ	0.874
114	A:7:LEU:HB3	A:67:PHE:HZ	0.871
114	A:24:TYR:HB2	A:32:LEU:HD11	0.835
114	A:130:ALA:HB2	A:150:ILE:CG2	0.819
114	A:27:ILE:HD13	A:46:LEU:HD21	0.816
114	A:130:ALA:CB	A:150:ILE:HG21	0.767
114	A:6:MET:HG3	A:161:TYR:CE2	0.766
114	A:74:ALA:HB1	A:103:VAL:HG12	0.765
114	A:120:MET:SD	A:128:GLU:HB3	0.763
114	A:148:ARG:HB3	A:161:TYR:CE1	0.761
114	A:105:GLN:HG3	A:138:TRP:HZ2	0.736
114	A:78:ILE:HG21	A:88:TYR:CD2	0.734
114	A:43:LYS:HA	A:46:LEU:HB2	0.728
114	A:1:MET:HB3	A:158:TRP:HB3	0.724

Model ID	Atom-1	Atom-2	Clash overlap (Å)
114	A:99:LEU:HD23	A:102:MET:HE2	0.720
114	A:81:ASN:CB	A:84:LEU:HB2	0.698
114	A:105:GLN:HG3	A:138:TRP:CZ2	0.690
114	A:91:LEU:HD12	A:99:LEU:HD11	0.689
114	A:84:LEU:CG	A:108:GLU:HB3	0.683
114	A:148:ARG:HB3	A:161:TYR:CZ	0.678
114	A:7:LEU:HD11	A:104:PHE:CE1	0.674
114	A:17:ILE:CD1	A:27:ILE:HD12	0.667
114	A:13:LEU:HD13	A:29:ILE:HD11	0.658
114	A:91:LEU:HD12	A:99:LEU:CD1	0.656
114	A:7:LEU:HD23	A:67:PHE:HE1	0.654
114	A:39:LEU:HB3	A:42:ALA:HB3	0.648
114	A:14:ARG:HG3	A:18:TYR:CE2	0.632
114	A:43:LYS:HB2	A:55:ASN:HA	0.632
114	A:138:TRP:CE3	A:146:ALA:HB2	0.632
114	A:102:MET:HE3	A:111:VAL:CG1	0.630
114	A:6:MET:HG3	A:161:TYR:CZ	0.612
114	A:1:MET:HG3	A:158:TRP:CE3	0.608
114	A:150:ILE:HA	A:153:PHE:HD2	0.595
114	A:7:LEU:HD11	A:104:PHE:CD1	0.591
114	A:15:LEU:HB2	A:58:ILE:HG13	0.578
114	A:17:ILE:HG13	A:39:LEU:HG	0.578
114	A:20:ASP:HB3	A:26:THR:HG21	0.578

Model ID	Atom-1	Atom-2	Clash overlap (Å)
114	A:120:MET:SD	A:128:GLU:CB	0.576
114	A:144:ASN:HA	A:147:LYS:HB3	0.573
114	A:102:MET:HE3	A:111:VAL:HG13	0.570
114	A:88:TYR:HD1	A:99:LEU:HD13	0.569
114	A:50:ILE:HD13	A:66:LEU:HD11	0.555
114	A:1:MET:HG3	A:158:TRP:HE3	0.552
114	A:27:ILE:HD13	A:46:LEU:CD2	0.545
114	A:147:LYS:HE2	A:148:ARG:HH21	0.541
114	A:117:SER:HB2	A:132:ASN:HB2	0.530
114	A:50:ILE:HG12	A:66:LEU:HG	0.527
114	A:121:LEU:HD23	A:126:TRP:HZ3	0.527
114	A:13:LEU:HD13	A:29:ILE:CD1	0.526
114	A:14:ARG:HG3	A:18:TYR:CD2	0.524
114	A:15:LEU:HD12	A:60:LYS:HA	0.523
114	A:3:ILE:HG23	A:4:PHE:CD2	0.512
114	A:99:LEU:HD23	A:102:MET:CE	0.512
114	A:61:ASP:O	A:65:LYS:HG2	0.509
114	A:11:GLU:HG2	A:104:PHE:HE1	0.502
114	A:91:LEU:HD22	A:95:ARG:HD3	0.497
114	A:50:ILE:O	A:69:GLN:HG2	0.495
114	A:138:TRP:HE3	A:146:ALA:HB2	0.493
114	A:32:LEU:C	A:33:LEU:HD12	0.485
114	A:120:MET:HB3	A:125:ARG:HB2	0.475

Model ID	Atom-1	Atom-2	Clash overlap (Å)
114	A:91:LEU:CD1	A:99:LEU:HD11	0.474
114	A:11:GLU:HA	A:145:ARG:HH21	0.473
114	A:17:ILE:HD11	A:56:GLY:HA2	0.469
114	A:78:ILE:O	A:85:LYS:HG2	0.466
114	A:148:ARG:HA	A:151:THR:HB	0.462
114	A:17:ILE:HG21	A:39:LEU:HG	0.459
114	A:121:LEU:HD23	A:126:TRP:CZ3	0.459
114	A:99:LEU:CD2	A:102:MET:HE2	0.458
114	A:27:ILE:CD1	A:46:LEU:HD21	0.452
114	A:91:LEU:HD13	A:95:ARG:HB3	0.449
114	A:68:ASN:O	A:72:ASP:HB2	0.445
114	A:126:TRP:HA	A:129:ALA:HB3	0.445
114	A:150:ILE:HA	A:153:PHE:CD2	0.441
114	A:146:ALA:O	A:150:ILE:HD12	0.436
114	A:25:TYR:HB2	A:34:THR:O	0.429
114	A:121:LEU:HD21	A:153:PHE:CE1	0.429
114	A:127:ASP:O	A:131:VAL:HG23	0.426
114	A:126:TRP:CG	A:154:ARG:HA	0.425
114	A:43:LYS:HD3	A:55:ASN:HA	0.424
114	A:83:LYS:HB3	A:83:LYS:HE2	0.420
114	A:78:ILE:HG21	A:88:TYR:HD2	0.419
114	A:29:ILE:HG12	A:67:PHE:CE2	0.418
114	A:77:GLY:HA3	A:108:GLU:OE2	0.417

Model ID	Atom-1	Atom-2	Clash overlap (Å)
114	A:103:VAL:HG13	A:108:GLU:HG3	0.416
114	A:32:LEU:O	A:33:LEU:HD23	0.415
114	A:136:SER:HB2	A:138:TRP:HB2	0.415
114	A:139:TYR:CD2	A:143:PRO:HA	0.413
114	A:1:MET:HE3	A:161:TYR:HD2	0.412
114	A:129:ALA:O	A:133:LEU:HD23	0.410
114	A:81:ASN:ND2	A:84:LEU:HD13	0.409
114	A:47:ASP:HB3	A:54:THR:H	0.407
114	A:92:ASP:OD1	A:95:ARG:HD2	0.406
114	A:7:LEU:CD1	A:104:PHE:CE1	0.405
114	A:14:ARG:HB2	A:18:TYR:CE1	0.404
114	A:29:ILE:HD13	A:67:PHE:CD2	0.403
114	A:81:ASN:HB3	A:84:LEU:CB	0.403
114	A:34:THR:HB	A:42:ALA:HB2	0.402
114	A:46:LEU:HD22	A:50:ILE:CD1	0.401
114	A:117:SER:O	A:121:LEU:HD13	0.400
115	A:7:LEU:HB3	A:67:PHE:CZ	1.021
115	A:7:LEU:HB3	A:67:PHE:HZ	1.014
115	A:1:MET:SD	A:5:GLU:HB3	1.000
115	A:121:LEU:HD11	A:153:PHE:CE1	0.917
115	A:13:LEU:HD13	A:29:ILE:HD11	0.863
115	A:6:MET:SD	A:97:ALA:HB1	0.851
115	A:102:MET:SD	A:133:LEU:HD21	0.824

Model ID	Atom-1	Atom-2	Clash overlap (Å)
115	A:13:LEU:HD13	A:29:ILE:CD1	0.798
115	A:74:ALA:CB	A:100:ILE:HG23	0.795
115	A:43:LYS:HA	A:46:LEU:HD23	0.787
115	A:74:ALA:HB3	A:100:ILE:HG23	0.770
115	A:121:LEU:HD11	A:153:PHE:HE1	0.765
115	A:84:LEU:CD2	A:88:TYR:HB2	0.746
115	A:106:MET:SD	A:138:TRP:CE3	0.729
115	A:25:TYR:HE1	A:39:LEU:HD13	0.723
115	A:52:ARG:HD2	A:54:THR:H	0.715
115	A:46:LEU:CD1	A:58:ILE:HG23	0.708
115	A:77:GLY:HA3	A:103:VAL:HG11	0.706
115	A:121:LEU:HD22	A:126:TRP:CE3	0.700
115	A:25:TYR:HE1	A:39:LEU:CD1	0.684
115	A:46:LEU:HD11	A:58:ILE:HG23	0.677
115	A:98:ALA:HB2	A:152:THR:CG2	0.665
115	A:71:VAL:HG13	A:100:ILE:HG21	0.662
115	A:29:ILE:HD13	A:67:PHE:CG	0.643
115	A:81:ASN:HB3	A:84:LEU:HB2	0.638
115	A:148:ARG:HB3	A:161:TYR:CE1	0.638
115	A:1:MET:HG2	A:158:TRP:CE3	0.609
115	A:27:ILE:HD13	A:46:LEU:HD22	0.600
115	A:102:MET:HE3	A:111:VAL:CG1	0.598
115	A:102:MET:HE3	A:111:VAL:HG13	0.596

Model ID	Atom-1	Atom-2	Clash overlap (Å)
115	A:87:VAL:HG21	A:122:GLN:HE21	0.594
115	A:75:VAL:CG1	A:79:LEU:HD23	0.593
115	A:88:TYR:CD1	A:99:LEU:HD12	0.589
115	A:99:LEU:HD23	A:153:PHE:HZ	0.580
115	A:94:VAL:HG12	A:152:THR:HG23	0.576
115	A:75:VAL:HG13	A:79:LEU:HD23	0.572
115	A:74:ALA:HB1	A:100:ILE:HG23	0.554
115	A:98:ALA:HB2	A:152:THR:HG22	0.546
115	A:80:ARG:HH21	A:108:GLU:HG2	0.544
115	A:22:GLU:HB3	A:24:TYR:HE2	0.533
115	A:18:TYR:CE1	A:26:THR:HG23	0.530
115	A:29:ILE:HG21	A:67:PHE:CE1	0.529
115	A:121:LEU:CD2	A:126:TRP:CE3	0.529
115	A:29:ILE:HD13	A:67:PHE:CD2	0.528
115	A:3:ILE:HG12	A:100:ILE:HB	0.525
115	A:1:MET:HG2	A:158:TRP:CD2	0.520
115	A:58:ILE:HD12	A:63:ALA:HB2	0.517
115	A:47:ASP:HB2	A:56:GLY:HA2	0.514
115	A:97:ALA:SG	A:158:TRP:HZ2	0.514
115	A:25:TYR:CE1	A:39:LEU:HD13	0.513
115	A:121:LEU:CD2	A:126:TRP:HE3	0.512
115	A:124:LYS:HG3	A:126:TRP:HZ2	0.504
115	A:87:VAL:HG21	A:122:GLN:HB2	0.499

Model ID	Atom-1	Atom-2	Clash overlap (Å)
115	A:11:GLU:CB	A:29:ILE:HG23	0.498
115	A:97:ALA:SG	A:158:TRP:CZ2	0.498
115	A:114:PHE:O	A:118:LEU:HG	0.497
115	A:117:SER:O	A:121:LEU:HB2	0.497
115	A:7:LEU:CD2	A:11:GLU:HG3	0.494
115	A:1:MET:HE1	A:9:ILE:CD1	0.489
115	A:13:LEU:HD13	A:29:ILE:HD12	0.489
115	A:14:ARG:HB2	A:18:TYR:CD1	0.488
115	A:42:ALA:O	A:46:LEU:HB3	0.484
115	A:102:MET:SD	A:133:LEU:CD2	0.484
115	A:11:GLU:HB3	A:29:ILE:HG23	0.483
115	A:121:LEU:HD23	A:129:ALA:HB2	0.483
115	A:124:LYS:HG3	A:126:TRP:CZ2	0.482
115	A:124:LYS:HA	A:126:TRP:CZ2	0.479
115	A:88:TYR:HD1	A:99:LEU:HD12	0.473
115	A:102:MET:HG2	A:111:VAL:CG2	0.469
115	A:50:ILE:HB	A:54:THR:SG	0.466
115	A:136:SER:OG	A:138:TRP:HB3	0.465
115	A:1:MET:HE1	A:9:ILE:HD12	0.464
115	A:14:ARG:HG2	A:18:TYR:HB3	0.460
115	A:139:TYR:CE1	A:147:LYS:HB2	0.456
115	A:34:THR:HG22	A:42:ALA:HB2	0.453
115	A:148:ARG:HB3	A:161:TYR:CZ	0.453

Model ID	Atom-1	Atom-2	Clash overlap (Å)
115	A:130:ALA:CB	A:154:ARG:HG2	0.448
115	A:102:MET:HG2	A:111:VAL:HG22	0.447
115	A:16:LYS:O	A:27:ILE:HD12	0.445
115	A:130:ALA:HB1	A:150:ILE:CG2	0.445
115	A:50:ILE:HG21	A:62:GLU:HG2	0.444
115	A:46:LEU:O	A:50:ILE:HG12	0.442
115	A:16:LYS:HD3	A:57:VAL:HG13	0.441
115	A:130:ALA:HB3	A:154:ARG:HG2	0.439
115	A:17:ILE:HD11	A:46:LEU:CD2	0.436
115	A:15:LEU:HD22	A:58:ILE:HG13	0.434
115	A:6:MET:HG3	A:158:TRP:HZ3	0.431
115	A:105:GLN:HB3	A:138:TRP:NE1	0.430
115	A:7:LEU:HD22	A:67:PHE:HE1	0.429
115	A:75:VAL:HG12	A:79:LEU:HD23	0.428
115	A:15:LEU:O	A:27:ILE:HD11	0.427
115	A:122:GLN:HG2	A:123:GLN:HG2	0.426
115	A:31:HIS:O	A:33:LEU:HD23	0.425
115	A:121:LEU:CD1	A:153:PHE:HE1	0.425
115	A:22:GLU:HB3	A:24:TYR:CE2	0.420
115	A:1:MET:HA	A:5:GLU:OE2	0.418
115	A:18:TYR:O	A:26:THR:HG22	0.414
115	A:32:LEU:O	A:33:LEU:HD22	0.413
115	A:102:MET:HE3	A:111:VAL:HG11	0.411

Model ID	Atom-1	Atom-2	Clash overlap (Å)
115	A:4:PHE:O	A:8:ARG:HG2	0.407
115	A:14:ARG:CB	A:18:TYR:CD1	0.407
115	A:50:ILE:HA	A:50:ILE:HD13	0.405
115	A:84:LEU:HA	A:84:LEU:HD12	0.403
115	A:102:MET:HB3	A:102:MET:HE2	0.403
115	A:18:TYR:CE1	A:26:THR:CG2	0.402
115	A:27:ILE:HG22	A:33:LEU:HD21	0.402
115	A:121:LEU:HA	A:121:LEU:HD22	0.402
115	A:6:MET:SD	A:97:ALA:CB	0.401
115	A:71:VAL:O	A:75:VAL:HG23	0.400
116	A:130:ALA:HB1	A:150:ILE:HG23	1.101
116	A:7:LEU:HD13	A:67:PHE:HE1	1.014
116	A:7:LEU:HD13	A:67:PHE:CE1	0.947
116	A:13:LEU:HD13	A:29:ILE:CG1	0.829
116	A:130:ALA:HB1	A:150:ILE:CG2	0.808
116	A:78:ILE:CG1	A:103:VAL:HG21	0.772
116	A:29:ILE:HD12	A:67:PHE:CD2	0.769
116	A:138:TRP:CB	A:146:ALA:HB2	0.766
116	A:130:ALA:CB	A:150:ILE:HG23	0.764
116	A:17:ILE:HD11	A:43:LYS:HB3	0.758
116	A:148:ARG:HB3	A:161:TYR:CE1	0.756
116	A:13:LEU:HD13	A:29:ILE:HG13	0.749
116	A:81:ASN:HB3	A:84:LEU:HB3	0.747

Model ID	Atom-1	Atom-2	Clash overlap (Å)
116	A:50:ILE:HD11	A:66:LEU:HD11	0.737
116	A:27:ILE:HD11	A:58:ILE:HG12	0.731
116	A:120:MET:HG2	A:125:ARG:HB2	0.731
116	A:121:LEU:HD13	A:126:TRP:CZ3	0.722
116	A:121:LEU:HD13	A:126:TRP:HZ3	0.715
116	A:7:LEU:HD12	A:71:VAL:HG23	0.706
116	A:16:LYS:HE2	A:57:VAL:HG21	0.696
116	A:105:GLN:HB3	A:138:TRP:CZ2	0.694
116	A:78:ILE:HD11	A:100:ILE:HA	0.690
116	A:78:ILE:HG12	A:103:VAL:HG21	0.675
116	A:103:VAL:HA	A:111:VAL:HG21	0.673
116	A:102:MET:HG2	A:111:VAL:HG22	0.661
116	A:78:ILE:HG13	A:103:VAL:HG21	0.657
116	A:84:LEU:HD22	A:87:VAL:HB	0.657
116	A:24:TYR:HB3	A:35:LYS:HG3	0.654
116	A:138:TRP:HB2	A:146:ALA:HB2	0.651
116	A:7:LEU:CD1	A:67:PHE:HE1	0.641
116	A:138:TRP:HB3	A:146:ALA:HB2	0.638
116	A:151:THR:HG21	A:160:ALA:CB	0.636
116	A:127:ASP:HA	A:154:ARG:HG2	0.634
116	A:29:ILE:HD12	A:67:PHE:CG	0.631
116	A:81:ASN:CB	A:84:LEU:HB3	0.605
116	A:121:LEU:HD22	A:126:TRP:HE3	0.604

Model ID	Atom-1	Atom-2	Clash overlap (Å)
116	A:33:LEU:HD22	A:45:GLU:HB3	0.598
116	A:102:MET:HA	A:138:TRP:HH2	0.597
116	A:81:ASN:HB3	A:84:LEU:CB	0.580
116	A:27:ILE:HD13	A:46:LEU:HD13	0.579
116	A:120:MET:SD	A:128:GLU:HB2	0.567
116	A:46:LEU:HG	A:54:THR:SG	0.559
116	A:4:PHE:HE1	A:71:VAL:HG11	0.543
116	A:105:GLN:HB3	A:138:TRP:CE2	0.541
116	A:1:MET:HG3	A:158:TRP:CE3	0.532
116	A:99:LEU:HD23	A:102:MET:HE1	0.530
116	A:120:MET:SD	A:128:GLU:CB	0.527
116	A:148:ARG:HB3	A:161:TYR:CD1	0.521
116	A:1:MET:SD	A:5:GLU:HB3	0.515
116	A:84:LEU:HG	A:118:LEU:HD21	0.513
116	A:103:VAL:HG22	A:111:VAL:HG11	0.510
116	A:102:MET:SD	A:133:LEU:HD21	0.508
116	A:129:ALA:O	A:133:LEU:HG	0.507
116	A:6:MET:HE2	A:161:TYR:CE1	0.506
116	A:120:MET:CG	A:125:ARG:HB2	0.503
116	A:121:LEU:HD22	A:126:TRP:CE3	0.486
116	A:102:MET:HE3	A:111:VAL:HG13	0.484
116	A:7:LEU:HA	A:10:ASP:HB2	0.483
116	A:13:LEU:HD13	A:29:ILE:HG12	0.480

Model ID	Atom-1	Atom-2	Clash overlap (Å)
116	A:6:MET:HE3	A:158:TRP:HZ3	0.479
116	A:1:MET:HG3	A:158:TRP:CZ3	0.476
116	A:87:VAL:HG11	A:122:GLN:HB2	0.476
116	A:99:LEU:HD23	A:102:MET:CE	0.474
116	A:121:LEU:HD21	A:153:PHE:CD1	0.469
116	A:18:TYR:CE1	A:26:THR:HG22	0.468
116	A:33:LEU:HD13	A:42:ALA:O	0.468
116	A:50:ILE:HD13	A:66:LEU:HD21	0.467
116	A:114:PHE:CE1	A:133:LEU:HD23	0.467
116	A:46:LEU:HD12	A:50:ILE:HG12	0.466
116	A:15:LEU:O	A:58:ILE:HG13	0.466
116	A:14:ARG:HG2	A:18:TYR:HB3	0.462
116	A:84:LEU:HD11	A:88:TYR:HB2	0.462
116	A:4:PHE:CE1	A:71:VAL:HG11	0.454
116	A:14:ARG:HB3	A:18:TYR:CD1	0.454
116	A:24:TYR:HD1	A:35:LYS:HG2	0.452
116	A:43:LYS:O	A:46:LEU:HB3	0.451
116	A:74:ALA:HB2	A:104:PHE:HD2	0.449
116	A:106:MET:SD	A:136:SER:HB3	0.445
116	A:7:LEU:HD13	A:67:PHE:CZ	0.444
116	A:127:ASP:O	A:131:VAL:HG23	0.444
116	A:121:LEU:HD21	A:153:PHE:CE1	0.443
116	A:102:MET:HA	A:138:TRP:CH2	0.442

Model ID	Atom-1	Atom-2	Clash overlap (Å)
116	A:7:LEU:HD11	A:104:PHE:CE1	0.441
116	A:7:LEU:HD12	A:71:VAL:CG2	0.441
116	A:47:ASP:HA	A:54:THR:SG	0.440
116	A:50:ILE:CD1	A:66:LEU:HD11	0.440
116	A:46:LEU:HD12	A:50:ILE:CG1	0.430
116	A:75:VAL:HA	A:78:ILE:HD12	0.428
116	A:68:ASN:O	A:72:ASP:HB2	0.424
116	A:25:TYR:HB2	A:34:THR:HG23	0.418
116	A:78:ILE:HG12	A:103:VAL:CG2	0.415
116	A:91:LEU:HD11	A:121:LEU:HD12	0.413
116	A:15:LEU:HD22	A:57:VAL:CG1	0.407
116	A:70:ASP:C	A:104:PHE:HE2	0.403
116	A:88:TYR:CD1	A:99:LEU:HD13	0.401
117	A:130:ALA:HB1	A:150:ILE:HG23	1.101
117	A:29:ILE:HD13	A:67:PHE:CD2	0.984
117	A:13:LEU:HD13	A:29:ILE:HG13	0.955
117	A:138:TRP:HB3	A:146:ALA:HB2	0.932
117	A:24:TYR:HD1	A:35:LYS:HG2	0.931
117	A:91:LEU:HD11	A:121:LEU:CD1	0.848
117	A:120:MET:SD	A:128:GLU:HB2	0.848
117	A:121:LEU:HD13	A:126:TRP:HZ3	0.839
117	A:71:VAL:HG13	A:100:ILE:HG21	0.837
117	A:18:TYR:CE1	A:26:THR:HG22	0.822

Model ID	Atom-1	Atom-2	Clash overlap (Å)
117	A:105:GLN:HB3	A:138:TRP:CZ2	0.819
117	A:13:LEU:HD13	A:29:ILE:CG1	0.814
117	A:24:TYR:CD1	A:35:LYS:HG2	0.794
117	A:13:LEU:HD13	A:29:ILE:CD1	0.786
117	A:50:ILE:HD11	A:66:LEU:HD13	0.764
117	A:81:ASN:HB3	A:84:LEU:HB2	0.762
117	A:75:VAL:HA	A:78:ILE:HD12	0.759
117	A:91:LEU:HD11	A:121:LEU:HD12	0.757
117	A:7:LEU:HD13	A:67:PHE:CE1	0.746
117	A:1:MET:HE3	A:161:TYR:HB3	0.743
117	A:137:ARG:HA	A:140:ASN:HB2	0.724
117	A:50:ILE:CD1	A:66:LEU:HD13	0.712
117	A:105:GLN:HB3	A:138:TRP:HZ2	0.712
117	A:91:LEU:HD21	A:126:TRP:CH2	0.698
117	A:7:LEU:HD13	A:67:PHE:HE1	0.692
117	A:121:LEU:HD13	A:126:TRP:CZ3	0.687
117	A:121:LEU:HD22	A:126:TRP:CE3	0.681
117	A:7:LEU:CD1	A:67:PHE:HE1	0.673
117	A:25:TYR:CE1	A:39:LEU:HD12	0.658
117	A:130:ALA:HB1	A:150:ILE:CG2	0.657
117	A:138:TRP:HB3	A:146:ALA:CB	0.657
117	A:121:LEU:HD22	A:126:TRP:HE3	0.653
117	A:74:ALA:HB2	A:104:PHE:HD2	0.652

Model ID	Atom-1	Atom-2	Clash overlap (Å)
117	A:14:ARG:HG2	A:18:TYR:HB3	0.642
117	A:102:MET:HG2	A:111:VAL:HG22	0.640
117	A:6:MET:HG3	A:161:TYR:CZ	0.639
117	A:91:LEU:HD12	A:99:LEU:HD11	0.614
117	A:46:LEU:HD12	A:50:ILE:CG1	0.606
117	A:27:ILE:HD12	A:46:LEU:HD22	0.603
117	A:15:LEU:HD22	A:57:VAL:HG11	0.598
117	A:105:GLN:CB	A:138:TRP:HZ2	0.597
117	A:29:ILE:HD13	A:67:PHE:HD2	0.591
117	A:151:THR:HG21	A:160:ALA:CB	0.589
117	A:99:LEU:HD23	A:102:MET:CE	0.586
117	A:106:MET:HG2	A:110:GLY:HA3	0.559
117	A:29:ILE:HB	A:67:PHE:CG	0.551
117	A:46:LEU:HD12	A:50:ILE:HG13	0.551
117	A:27:ILE:CD1	A:46:LEU:HD22	0.550
117	A:78:ILE:HG13	A:103:VAL:HG21	0.544
117	A:130:ALA:CB	A:150:ILE:HG23	0.543
117	A:102:MET:SD	A:133:LEU:HD11	0.537
117	A:13:LEU:HD13	A:29:ILE:HD11	0.535
117	A:105:GLN:CB	A:138:TRP:CZ2	0.527
117	A:46:LEU:HD12	A:50:ILE:HG12	0.525
117	A:4:PHE:CE1	A:71:VAL:HG11	0.523
117	A:99:LEU:HD23	A:102:MET:HE1	0.523

Model ID	Atom-1	Atom-2	Clash overlap (Å)
117	A:97:ALA:CB	A:158:TRP:HH2	0.522
117	A:106:MET:HE2	A:114:PHE:CE1	0.518
117	A:91:LEU:CD1	A:99:LEU:HD11	0.513
117	A:1:MET:HE1	A:9:ILE:HD12	0.507
117	A:24:TYR:CD1	A:35:LYS:CG	0.501
117	A:17:ILE:HD11	A:43:LYS:HB3	0.498
117	A:120:MET:SD	A:128:GLU:CB	0.496
117	A:84:LEU:HD22	A:118:LEU:HD21	0.494
117	A:106:MET:HE2	A:114:PHE:HE1	0.492
117	A:25:TYR:HB2	A:34:THR:HG23	0.491
117	A:47:ASP:HA	A:54:THR:SG	0.485
117	A:29:ILE:HD11	A:64:GLU:OE2	0.482
117	A:91:LEU:HD11	A:121:LEU:HD13	0.478
117	A:124:LYS:HB3	A:126:TRP:CZ2	0.478
117	A:3:ILE:HB	A:97:ALA:SG	0.476
117	A:97:ALA:HB1	A:158:TRP:HH2	0.473
117	A:84:LEU:CD1	A:88:TYR:HB2	0.470
117	A:91:LEU:HD21	A:126:TRP:CZ3	0.469
117	A:65:LYS:O	A:68:ASN:HB2	0.468
117	A:50:ILE:HG22	A:52:ARG:H	0.467
117	A:126:TRP:HA	A:129:ALA:HB3	0.463
117	A:76:ARG:O	A:80:ARG:HG3	0.458
117	A:121:LEU:HD21	A:153:PHE:CD1	0.454

Model ID	Atom-1	Atom-2	Clash overlap (Å)
117	A:88:TYR:HD1	A:99:LEU:HD13	0.453
117	A:105:GLN:HB3	A:138:TRP:CE2	0.452
117	A:99:LEU:HD23	A:102:MET:HE2	0.448
117	A:99:LEU:O	A:102:MET:HB3	0.447
117	A:78:ILE:CG1	A:103:VAL:HG21	0.446
117	A:22:GLU:HB3	A:24:TYR:CD2	0.445
117	A:101:ASN:O	A:105:GLN:HB2	0.441
117	A:4:PHE:HE1	A:71:VAL:CG1	0.439
117	A:24:TYR:HB3	A:34:THR:O	0.438
117	A:121:LEU:CD2	A:126:TRP:HE3	0.437
117	A:115:THR:HA	A:118:LEU:HB2	0.435
117	A:33:LEU:HD22	A:45:GLU:HB3	0.433
117	A:22:GLU:HB3	A:24:TYR:CE2	0.430
117	A:136:SER:OG	A:138:TRP:HB2	0.428
117	A:88:TYR:HD1	A:99:LEU:CD1	0.427
117	A:14:ARG:HB2	A:18:TYR:CD1	0.425
117	A:25:TYR:HD1	A:42:ALA:CB	0.423
117	A:59:THR:OG1	A:62:GLU:HB2	0.422
117	A:8:ARG:HB2	A:29:ILE:HG12	0.421
117	A:97:ALA:CB	A:158:TRP:CH2	0.417
117	A:78:ILE:HG21	A:88:TYR:CD2	0.416
117	A:85:LYS:HG3	A:86:PRO:HD3	0.416
117	A:127:ASP:O	A:131:VAL:HG23	0.412

Model ID	Atom-1	Atom-2	Clash overlap (Å)
117	A:3:ILE:HD13	A:97:ALA:O	0.411
117	A:25:TYR:HE1	A:39:LEU:HD12	0.411
117	A:1:MET:HG2	A:158:TRP:HB3	0.410
117	A:71:VAL:O	A:75:VAL:HG23	0.410
117	A:125:ARG:HB3	A:128:GLU:OE2	0.409
117	A:4:PHE:CE1	A:71:VAL:CG1	0.407
117	A:25:TYR:HB2	A:34:THR:CG2	0.406
117	A:13:LEU:HD12	A:14:ARG:H	0.405
117	A:79:LEU:HA	A:85:LYS:HB3	0.404
117	A:102:MET:HE3	A:111:VAL:HG13	0.404
117	A:91:LEU:HD21	A:126:TRP:HH2	0.403
117	A:126:TRP:HB2	A:154:ARG:HA	0.400
118	A:1:MET:SD	A:5:GLU:HB3	1.046
118	A:7:LEU:HB3	A:67:PHE:CZ	0.992
118	A:7:LEU:HB3	A:67:PHE:HZ	0.950
118	A:99:LEU:HD23	A:153:PHE:HZ	0.921
118	A:27:ILE:HD13	A:46:LEU:HD22	0.881
118	A:50:ILE:HG21	A:62:GLU:HG3	0.875
118	A:106:MET:SD	A:138:TRP:HE3	0.858
118	A:25:TYR:HE1	A:39:LEU:HD13	0.834
118	A:13:LEU:HD13	A:29:ILE:CD1	0.831
118	A:43:LYS:HA	A:46:LEU:HD23	0.798
118	A:6:MET:HG3	A:158:TRP:HZ3	0.797

Model ID	Atom-1	Atom-2	Clash overlap (Å)
118	A:79:LEU:HG	A:85:LYS:HG3	0.797
118	A:88:TYR:HD1	A:99:LEU:HD12	0.790
118	A:13:LEU:HD13	A:29:ILE:HD11	0.749
118	A:87:VAL:HG21	A:122:GLN:HB2	0.745
118	A:121:LEU:HD23	A:126:TRP:CE3	0.745
118	A:25:TYR:CE1	A:39:LEU:HD13	0.739
118	A:106:MET:SD	A:138:TRP:CE3	0.736
118	A:121:LEU:HD23	A:126:TRP:HE3	0.734
118	A:27:ILE:HG12	A:46:LEU:HD13	0.733
118	A:78:ILE:HG22	A:84:LEU:HD22	0.725
118	A:102:MET:SD	A:133:LEU:HD21	0.721
118	A:75:VAL:HA	A:78:ILE:HD12	0.714
118	A:25:TYR:HE1	A:39:LEU:CD1	0.713
118	A:15:LEU:HD22	A:58:ILE:HG13	0.709
118	A:18:TYR:CE1	A:26:THR:HG22	0.696
118	A:27:ILE:CD1	A:46:LEU:HD22	0.694
118	A:133:LEU:HB3	A:150:ILE:HG12	0.684
118	A:13:LEU:HD11	A:63:ALA:HB1	0.679
118	A:71:VAL:HG13	A:100:ILE:HG21	0.668
118	A:6:MET:HG3	A:158:TRP:CZ3	0.667
118	A:78:ILE:HD11	A:100:ILE:HA	0.662
118	A:98:ALA:HB2	A:152:THR:CG2	0.661
118	A:98:ALA:HB2	A:152:THR:HG22	0.645

Model ID	Atom-1	Atom-2	Clash overlap (Å)
118	A:121:LEU:CD2	A:126:TRP:HE3	0.625
118	A:31:HIS:HB2	A:66:LEU:HD21	0.622
118	A:99:LEU:HD23	A:153:PHE:CZ	0.617
118	A:78:ILE:CG2	A:84:LEU:HD22	0.616
118	A:77:GLY:HA3	A:103:VAL:HG11	0.615
118	A:74:ALA:HB3	A:100:ILE:HG23	0.607
118	A:88:TYR:HD1	A:99:LEU:CD1	0.604
118	A:29:ILE:HD13	A:67:PHE:CG	0.600
118	A:2:ASN:H	A:5:GLU:HB2	0.595
118	A:19:LYS:HB3	A:23:GLY:HA2	0.595
118	A:27:ILE:HB	A:33:LEU:HD11	0.594
118	A:73:ALA:HA	A:76:ARG:HD2	0.590
118	A:147:LYS:HA	A:150:ILE:HD12	0.583
118	A:18:TYR:HE1	A:26:THR:HG22	0.579
118	A:1:MET:HE1	A:9:ILE:HD12	0.577
118	A:22:GLU:HB3	A:24:TYR:HE2	0.576
118	A:26:THR:HG23	A:30:GLY:H	0.574
118	A:88:TYR:HA	A:91:LEU:HD12	0.568
118	A:46:LEU:HD11	A:58:ILE:HG23	0.558
118	A:58:ILE:HB	A:62:GLU:HB3	0.547
118	A:102:MET:HG2	A:111:VAL:HG22	0.542
118	A:22:GLU:HB3	A:24:TYR:CE2	0.537
118	A:46:LEU:CD1	A:58:ILE:HG23	0.537

Model ID	Atom-1	Atom-2	Clash overlap (Å)
118	A:99:LEU:CD2	A:153:PHE:HZ	0.537
118	A:75:VAL:HG22	A:100:ILE:HG12	0.532
118	A:29:ILE:HD13	A:67:PHE:CD2	0.530
118	A:1:MET:HG2	A:158:TRP:CE3	0.527
118	A:81:ASN:CG	A:118:LEU:HD11	0.526
118	A:138:TRP:CE2	A:146:ALA:HA	0.524
118	A:3:ILE:HB	A:97:ALA:SG	0.523
118	A:14:ARG:HB2	A:18:TYR:CE1	0.520
118	A:47:ASP:HB2	A:56:GLY:HA2	0.519
118	A:130:ALA:HB1	A:150:ILE:HG22	0.519
118	A:27:ILE:HG13	A:58:ILE:HD13	0.516
118	A:122:GLN:HG3	A:123:GLN:HG2	0.512
118	A:13:LEU:HA	A:29:ILE:HG13	0.507
118	A:27:ILE:HG22	A:33:LEU:HD21	0.507
118	A:137:ARG:HB3	A:137:ARG:HH11	0.496
118	A:127:ASP:O	A:131:VAL:HG23	0.490
118	A:15:LEU:CD2	A:58:ILE:HG13	0.488
118	A:70:ASP:HB3	A:104:PHE:CE2	0.486
118	A:46:LEU:O	A:50:ILE:HG12	0.483
118	A:121:LEU:CD2	A:126:TRP:CE3	0.481
118	A:1:MET:CG	A:158:TRP:CE3	0.478
118	A:94:VAL:HG12	A:152:THR:HG23	0.473
118	A:27:ILE:CG2	A:33:LEU:HD21	0.472

Model ID	Atom-1	Atom-2	Clash overlap (Å)
118	A:13:LEU:HD13	A:29:ILE:HD12	0.468
118	A:29:ILE:HB	A:67:PHE:CD1	0.468
118	A:81:ASN:OD1	A:84:LEU:HB2	0.468
118	A:35:LYS:HA	A:35:LYS:HD2	0.463
118	A:6:MET:HG2	A:161:TYR:CZ	0.460
118	A:7:LEU:HB3	A:67:PHE:CE1	0.453
118	A:75:VAL:O	A:79:LEU:HD23	0.451
118	A:117:SER:HA	A:120:MET:HB2	0.450
118	A:138:TRP:CD1	A:146:ALA:HB2	0.449
118	A:20:ASP:HB3	A:26:THR:OG1	0.447
118	A:101:ASN:HB3	A:149:VAL:HG11	0.447
118	A:134:ALA:HA	A:150:ILE:HD13	0.442
118	A:14:ARG:HB2	A:18:TYR:CD1	0.440
118	A:7:LEU:HD23	A:11:GLU:HG3	0.437
118	A:27:ILE:HG13	A:58:ILE:CD1	0.435
118	A:120:MET:HE2	A:125:ARG:HH11	0.434
118	A:26:THR:HA	A:31:HIS:O	0.433
118	A:31:HIS:CG	A:66:LEU:HD11	0.424
118	A:17:ILE:HG13	A:27:ILE:HD13	0.421
118	A:73:ALA:O	A:76:ARG:HG2	0.420
118	A:10:ASP:OD1	A:148:ARG:NH2	0.420
118	A:6:MET:SD	A:97:ALA:HB1	0.416
118	A:7:LEU:HG	A:71:VAL:HG22	0.415

Model ID	Atom-1	Atom-2	Clash overlap (Å)
118	A:99:LEU:CD2	A:153:PHE:CZ	0.414
118	A:74:ALA:HB2	A:104:PHE:HB2	0.411
118	A:145:ARG:HA	A:148:ARG:HH21	0.409
118	A:25:TYR:O	A:33:LEU:HD12	0.407
118	A:102:MET:HA	A:138:TRP:CH2	0.406
118	A:66:LEU:O	A:66:LEU:HD23	0.404
118	A:78:ILE:HG13	A:103:VAL:HG21	0.402
118	A:16:LYS:HD3	A:57:VAL:HG13	0.401
118	A:74:ALA:HB1	A:100:ILE:O	0.401
119	A:91:LEU:HD11	A:121:LEU:HD12	1.169
119	A:24:TYR:HD1	A:35:LYS:HG3	1.123
119	A:130:ALA:HB1	A:150:ILE:HG23	1.059
119	A:24:TYR:HB2	A:32:LEU:HD11	1.047
119	A:121:LEU:HD13	A:126:TRP:HZ3	0.989
119	A:138:TRP:HB3	A:146:ALA:HB2	0.977
119	A:24:TYR:CD1	A:35:LYS:HG3	0.958
119	A:121:LEU:HD13	A:126:TRP:CZ3	0.886
119	A:130:ALA:CB	A:150:ILE:HG23	0.874
119	A:24:TYR:HB2	A:32:LEU:CD1	0.830
119	A:99:LEU:HD23	A:102:MET:HE1	0.828
119	A:102:MET:HG2	A:111:VAL:HG22	0.825
119	A:1:MET:SD	A:5:GLU:HB3	0.790
119	A:13:LEU:HD13	A:29:ILE:HG13	0.779

Model ID	Atom-1	Atom-2	Clash overlap (Å)
119	A:91:LEU:CD1	A:121:LEU:HD12	0.778
119	A:29:ILE:HD13	A:67:PHE:CD2	0.775
119	A:114:PHE:HB3	A:117:SER:HB3	0.765
119	A:13:LEU:CD1	A:29:ILE:HG13	0.757
119	A:7:LEU:CD1	A:67:PHE:HE1	0.755
119	A:15:LEU:HD23	A:57:VAL:HG11	0.741
119	A:102:MET:SD	A:133:LEU:HD21	0.737
119	A:121:LEU:HD22	A:126:TRP:CE3	0.731
119	A:138:TRP:CB	A:146:ALA:HB2	0.720
119	A:46:LEU:HD12	A:50:ILE:HG12	0.707
119	A:46:LEU:HD12	A:50:ILE:CG1	0.705
119	A:84:LEU:CD1	A:88:TYR:HB2	0.703
119	A:24:TYR:CB	A:32:LEU:HD11	0.702
119	A:99:LEU:HD23	A:102:MET:CE	0.685
119	A:148:ARG:HB3	A:161:TYR:CE1	0.685
119	A:22:GLU:HB3	A:24:TYR:CE2	0.684
119	A:25:TYR:CE1	A:39:LEU:HD13	0.681
119	A:105:GLN:HB3	A:138:TRP:CZ2	0.675
119	A:138:TRP:HB3	A:146:ALA:CB	0.674
119	A:117:SER:HA	A:120:MET:HB2	0.673
119	A:120:MET:SD	A:128:GLU:HB2	0.671
119	A:46:LEU:HD21	A:58:ILE:HG23	0.660
119	A:84:LEU:HD12	A:88:TYR:HB2	0.652

Model ID	Atom-1	Atom-2	Clash overlap (Å)
119	A:17:ILE:HD11	A:43:LYS:HB2	0.648
119	A:121:LEU:HD22	A:126:TRP:HE3	0.644
119	A:25:TYR:HE1	A:39:LEU:HA	0.643
119	A:50:ILE:HG23	A:66:LEU:HD22	0.631
119	A:7:LEU:HD13	A:67:PHE:HE1	0.615
119	A:19:LYS:HD2	A:25:TYR:CE2	0.612
119	A:15:LEU:HD23	A:57:VAL:CG1	0.604
119	A:13:LEU:HD13	A:29:ILE:CG1	0.600
119	A:91:LEU:HD11	A:121:LEU:CD1	0.599
119	A:78:ILE:CG1	A:103:VAL:HG21	0.595
119	A:78:ILE:HD11	A:100:ILE:HA	0.592
119	A:74:ALA:HB2	A:104:PHE:HD2	0.591
119	A:88:TYR:HD1	A:99:LEU:HD13	0.589
119	A:7:LEU:HD12	A:67:PHE:HE1	0.589
119	A:88:TYR:CD1	A:99:LEU:HD13	0.584
119	A:103:VAL:HG22	A:111:VAL:HG11	0.582
119	A:8:ARG:HG2	A:29:ILE:HG12	0.570
119	A:130:ALA:HB1	A:150:ILE:CG2	0.567
119	A:102:MET:HE3	A:111:VAL:HG13	0.565
119	A:24:TYR:HD1	A:35:LYS:CG	0.563
119	A:6:MET:HE2	A:101:ASN:HD22	0.542
119	A:106:MET:HE1	A:133:LEU:HG	0.538
119	A:27:ILE:CD1	A:46:LEU:HD22	0.533

Model ID	Atom-1	Atom-2	Clash overlap (Å)
119	A:27:ILE:HD11	A:46:LEU:HD22	0.532
119	A:103:VAL:HA	A:111:VAL:HG21	0.528
119	A:25:TYR:HE1	A:39:LEU:HD13	0.526
119	A:81:ASN:HB3	A:84:LEU:HB2	0.525
119	A:78:ILE:HG13	A:103:VAL:HG21	0.523
119	A:120:MET:SD	A:128:GLU:CB	0.523
119	A:11:GLU:HB3	A:30:GLY:HA3	0.522
119	A:126:TRP:HA	A:129:ALA:HB3	0.522
119	A:1:MET:HG3	A:158:TRP:CE3	0.521
119	A:126:TRP:HB2	A:154:ARG:HA	0.521
119	A:94:VAL:HG22	A:158:TRP:CD1	0.520
119	A:7:LEU:HB3	A:67:PHE:CZ	0.518
119	A:46:LEU:HD12	A:50:ILE:HG13	0.514
119	A:105:GLN:HB3	A:138:TRP:CE2	0.510
119	A:47:ASP:HA	A:54:THR:SG	0.500
119	A:148:ARG:HB3	A:161:TYR:CZ	0.496
119	A:7:LEU:HB3	A:67:PHE:CE1	0.495
119	A:121:LEU:CD2	A:126:TRP:HE3	0.482
119	A:7:LEU:HD12	A:67:PHE:CE1	0.479
119	A:43:LYS:O	A:46:LEU:HB3	0.479
119	A:25:TYR:HD1	A:42:ALA:CB	0.477
119	A:91:LEU:CD1	A:99:LEU:HD11	0.477
119	A:14:ARG:HB3	A:18:TYR:CE1	0.475

Model ID	Atom-1	Atom-2	Clash overlap (Å)
119	A:68:ASN:O	A:72:ASP:HB2	0.469
119	A:101:ASN:O	A:105:GLN:HB2	0.464
119	A:94:VAL:HG12	A:152:THR:HG23	0.463
119	A:78:ILE:HG12	A:103:VAL:HG21	0.462
119	A:138:TRP:C	A:146:ALA:HB2	0.458
119	A:95:ARG:HD3	A:126:TRP:CZ3	0.457
119	A:125:ARG:HB3	A:128:GLU:OE2	0.451
119	A:3:ILE:O	A:6:MET:HB3	0.448
119	A:25:TYR:CD1	A:42:ALA:CB	0.445
119	A:6:MET:HG3	A:161:TYR:CE2	0.440
119	A:13:LEU:HD12	A:29:ILE:HG13	0.440
119	A:92:ASP:OD1	A:95:ARG:HD2	0.438
119	A:46:LEU:CD1	A:50:ILE:HG13	0.436
119	A:58:ILE:HG22	A:62:GLU:CD	0.435
119	A:71:VAL:O	A:74:ALA:HB3	0.433
119	A:88:TYR:HD1	A:99:LEU:CD1	0.433
119	A:121:LEU:HD21	A:153:PHE:CD1	0.431
119	A:1:MET:HG3	A:158:TRP:CD2	0.430
119	A:29:ILE:HG21	A:67:PHE:CZ	0.430
119	A:6:MET:HG3	A:161:TYR:CZ	0.429
119	A:11:GLU:HG2	A:30:GLY:HA3	0.429
119	A:98:ALA:HB2	A:152:THR:HG22	0.429
119	A:115:THR:HA	A:118:LEU:HB2	0.424

Model ID	Atom-1	Atom-2	Clash overlap (Å)
119	A:4:PHE:HZ	A:72:ASP:CG	0.422
119	A:14:ARG:HB3	A:18:TYR:CD1	0.420
119	A:75:VAL:HG22	A:100:ILE:HG12	0.420
119	A:105:GLN:HB3	A:138:TRP:HZ2	0.420
119	A:9:ILE:HD13	A:162:LYS:C	0.417
119	A:22:GLU:HB3	A:24:TYR:HE2	0.417
119	A:24:TYR:CD2	A:32:LEU:HD11	0.417
119	A:99:LEU:O	A:103:VAL:HG23	0.417
119	A:144:ASN:O	A:148:ARG:HD2	0.416
119	A:121:LEU:HD11	A:153:PHE:CE1	0.413
119	A:14:ARG:HA	A:14:ARG:HD3	0.412
119	A:46:LEU:HG	A:54:THR:SG	0.411
119	A:98:ALA:HB1	A:153:PHE:CD2	0.411
119	A:15:LEU:CD2	A:57:VAL:HG11	0.409
119	A:95:ARG:CZ	A:156:GLY:HA3	0.407
119	A:4:PHE:HB3	A:67:PHE:CE2	0.405
119	A:3:ILE:HD13	A:97:ALA:O	0.404
119	A:29:ILE:HG21	A:67:PHE:CE1	0.403
119	A:105:GLN:HB3	A:138:TRP:NE1	0.400
120	A:130:ALA:HB1	A:150:ILE:HG23	1.133
120	A:79:LEU:HD22	A:85:LYS:HG3	1.110
120	A:17:ILE:HD12	A:43:LYS:HD3	1.071
120	A:16:LYS:HG3	A:57:VAL:HG22	1.001

Model ID	Atom-1	Atom-2	Clash overlap (Å)
120	A:27:ILE:CG2	A:33:LEU:HD12	0.860
120	A:27:ILE:HG23	A:33:LEU:HD12	0.848
120	A:16:LYS:HG3	A:57:VAL:CG2	0.840
120	A:14:ARG:HB3	A:18:TYR:CE1	0.830
120	A:106:MET:SD	A:114:PHE:HE1	0.826
120	A:17:ILE:CD1	A:43:LYS:HD3	0.800
120	A:14:ARG:HB3	A:18:TYR:HE1	0.789
120	A:17:ILE:HD12	A:43:LYS:CD	0.767
120	A:121:LEU:HD23	A:129:ALA:HB2	0.767
120	A:130:ALA:CB	A:150:ILE:HG23	0.759
120	A:13:LEU:HG	A:29:ILE:HG23	0.718
120	A:6:MET:SD	A:158:TRP:CH2	0.718
120	A:3:ILE:SG	A:97:ALA:SG	0.712
120	A:6:MET:SD	A:158:TRP:HH2	0.695
120	A:39:LEU:HD11	A:43:LYS:HE3	0.693
120	A:106:MET:SD	A:114:PHE:CE1	0.679
120	A:106:MET:HE2	A:138:TRP:CG	0.652
120	A:91:LEU:CD2	A:126:TRP:HZ3	0.650
120	A:142:THR:CG2	A:145:ARG:HB2	0.650
120	A:142:THR:HG21	A:145:ARG:HB2	0.628
120	A:91:LEU:HD21	A:126:TRP:HZ3	0.610
120	A:1:MET:HG2	A:5:GLU:CB	0.601
120	A:16:LYS:CG	A:57:VAL:HG22	0.596

Model ID	Atom-1	Atom-2	Clash overlap (Å)
120	A:58:ILE:HD12	A:63:ALA:CB	0.594
120	A:25:TYR:CE1	A:39:LEU:HD13	0.590
120	A:88:TYR:HE1	A:99:LEU:HB3	0.587
120	A:50:ILE:HG22	A:52:ARG:H	0.585
120	A:17:ILE:HG12	A:27:ILE:CG2	0.582
120	A:17:ILE:CG1	A:27:ILE:HG22	0.577
120	A:19:LYS:HB3	A:25:TYR:CE1	0.558
120	A:121:LEU:CD2	A:129:ALA:HB2	0.558
120	A:133:LEU:HB3	A:138:TRP:HZ3	0.555
120	A:1:MET:HG2	A:5:GLU:HB3	0.552
120	A:58:ILE:HD12	A:63:ALA:HB2	0.550
120	A:50:ILE:HG13	A:54:THR:SG	0.548
120	A:34:THR:HG21	A:42:ALA:CB	0.544
120	A:17:ILE:HG12	A:27:ILE:HG22	0.542
120	A:67:PHE:CE2	A:71:VAL:HG21	0.540
120	A:27:ILE:HG21	A:33:LEU:HD12	0.539
120	A:4:PHE:CE1	A:29:ILE:HG21	0.535
120	A:142:THR:HG22	A:145:ARG:H	0.523
120	A:27:ILE:HG13	A:31:HIS:HB3	0.519
120	A:1:MET:HG2	A:5:GLU:HB2	0.512
120	A:34:THR:HG21	A:42:ALA:HB1	0.510
120	A:93:ALA:HA	A:96:ARG:HB2	0.506
120	A:14:ARG:HB3	A:18:TYR:CD1	0.504

Model ID	Atom-1	Atom-2	Clash overlap (Å)
120	A:10:ASP:O	A:145:ARG:HD2	0.503
120	A:10:ASP:HB3	A:145:ARG:HG2	0.499
120	A:91:LEU:HD21	A:126:TRP:CZ3	0.488
120	A:127:ASP:O	A:131:VAL:HG23	0.487
120	A:4:PHE:CE2	A:13:LEU:HD21	0.486
120	A:4:PHE:CE1	A:29:ILE:HD13	0.479
120	A:7:LEU:HD21	A:104:PHE:HD2	0.470
120	A:1:MET:CG	A:5:GLU:HB3	0.465
120	A:7:LEU:CD2	A:11:GLU:HB2	0.465
120	A:103:VAL:HG22	A:111:VAL:HG21	0.460
120	A:67:PHE:CE2	A:71:VAL:CG2	0.455
120	A:6:MET:HG3	A:161:TYR:CE2	0.454
120	A:79:LEU:CD2	A:85:LYS:HG3	0.454
120	A:7:LEU:HD22	A:11:GLU:HB2	0.450
120	A:25:TYR:CZ	A:39:LEU:HB2	0.449
120	A:42:ALA:O	A:46:LEU:HB2	0.449
120	A:142:THR:HG21	A:145:ARG:HD3	0.448
120	A:27:ILE:HG12	A:33:LEU:HB2	0.447
120	A:142:THR:HG22	A:145:ARG:HB2	0.444
120	A:88:TYR:CE1	A:99:LEU:HD22	0.442
120	A:1:MET:HE1	A:158:TRP:CH2	0.440
120	A:1:MET:HE3	A:2:ASN:O	0.439
120	A:17:ILE:HG12	A:27:ILE:HG23	0.438

Model ID	Atom-1	Atom-2	Clash overlap (Å)
120	A:25:TYR:HB2	A:34:THR:CG2	0.436
120	A:133:LEU:HB3	A:138:TRP:CZ3	0.435
120	A:6:MET:SD	A:158:TRP:CZ3	0.432
120	A:15:LEU:CD2	A:58:ILE:HD11	0.430
120	A:25:TYR:CD1	A:39:LEU:HD13	0.430
120	A:6:MET:HE1	A:97:ALA:O	0.425
120	A:139:TYR:O	A:143:PRO:HD3	0.425
120	A:87:VAL:HG21	A:118:LEU:HD21	0.421
120	A:15:LEU:HD11	A:29:ILE:HG13	0.415
120	A:120:MET:O	A:123:GLN:HB3	0.415
120	A:85:LYS:HG2	A:89:ASP:OD2	0.414
120	A:33:LEU:HG	A:46:LEU:HG	0.413
120	A:2:ASN:O	A:5:GLU:HB2	0.411
120	A:27:ILE:HG12	A:33:LEU:HD23	0.411
120	A:99:LEU:O	A:99:LEU:HD23	0.408
120	A:114:PHE:HB3	A:117:SER:HB2	0.408
120	A:17:ILE:HG13	A:27:ILE:HG22	0.403
120	A:4:PHE:CE2	A:13:LEU:CD2	0.401
120	A:99:LEU:HG	A:102:MET:SD	0.400
121	A:16:LYS:HG2	A:57:VAL:HG22	1.152
121	A:87:VAL:HG11	A:118:LEU:HD21	1.111
121	A:10:ASP:HB3	A:145:ARG:HG2	1.059
121	A:7:LEU:HD22	A:11:GLU:HB2	1.012

Model ID	Atom-1	Atom-2	Clash overlap (Å)
121	A:130:ALA:HB1	A:150:ILE:HG23	0.991
121	A:19:LYS:HB3	A:25:TYR:CE1	0.929
121	A:10:ASP:HB3	A:145:ARG:CG	0.813
121	A:87:VAL:CG1	A:118:LEU:HD21	0.788
121	A:58:ILE:HD12	A:63:ALA:CB	0.776
121	A:52:ARG:HG3	A:66:LEU:HD11	0.768
121	A:25:TYR:HB2	A:34:THR:CG2	0.767
121	A:27:ILE:HG21	A:33:LEU:HD12	0.755
121	A:106:MET:SD	A:114:PHE:HE1	0.755
121	A:16:LYS:CG	A:57:VAL:HG22	0.753
121	A:91:LEU:HD21	A:126:TRP:HZ3	0.745
121	A:91:LEU:HD21	A:126:TRP:CZ3	0.740
121	A:34:THR:HG21	A:42:ALA:HB1	0.739
121	A:7:LEU:CD2	A:11:GLU:HB2	0.729
121	A:3:ILE:SG	A:97:ALA:SG	0.721
121	A:81:ASN:HB3	A:84:LEU:HB3	0.717
121	A:6:MET:SD	A:158:TRP:CH2	0.711
121	A:130:ALA:HB1	A:150:ILE:CG2	0.707
121	A:27:ILE:CG2	A:33:LEU:HD12	0.705
121	A:25:TYR:HB2	A:34:THR:HG22	0.699
121	A:130:ALA:CB	A:150:ILE:HG23	0.694
121	A:7:LEU:HD22	A:11:GLU:CB	0.678
121	A:106:MET:SD	A:114:PHE:CE1	0.674

Model ID	Atom-1	Atom-2	Clash overlap (Å)
121	A:16:LYS:HG2	A:57:VAL:CG2	0.672
121	A:102:MET:HE1	A:133:LEU:HG	0.650
121	A:1:MET:HG2	A:5:GLU:HB3	0.646
121	A:99:LEU:HA	A:102:MET:HG3	0.644
121	A:29:ILE:HG13	A:67:PHE:HE1	0.636
121	A:97:ALA:HA	A:100:ILE:HD12	0.633
121	A:6:MET:SD	A:158:TRP:HH2	0.631
121	A:6:MET:SD	A:158:TRP:CZ3	0.612
121	A:58:ILE:HD12	A:63:ALA:HB1	0.605
121	A:34:THR:HG21	A:42:ALA:CB	0.593
121	A:1:MET:HA	A:5:GLU:HG3	0.591
121	A:27:ILE:HG13	A:31:HIS:HB3	0.589
121	A:93:ALA:HA	A:96:ARG:HB2	0.580
121	A:102:MET:HE2	A:106:MET:HE1	0.580
121	A:81:ASN:HB3	A:84:LEU:CB	0.570
121	A:1:MET:CG	A:5:GLU:HB3	0.556
121	A:88:TYR:HB2	A:99:LEU:HD22	0.548
121	A:133:LEU:HB3	A:138:TRP:HZ3	0.531
121	A:24:TYR:CB	A:32:LEU:HD11	0.530
121	A:14:ARG:HB3	A:18:TYR:HE1	0.522
121	A:106:MET:HE2	A:138:TRP:CG	0.516
121	A:121:LEU:HD21	A:129:ALA:HB2	0.515
121	A:39:LEU:HD11	A:43:LYS:HE3	0.513

Model ID	Atom-1	Atom-2	Clash overlap (Å)
121	A:133:LEU:HD22	A:138:TRP:CE3	0.510
121	A:120:MET:O	A:123:GLN:HB3	0.505
121	A:50:ILE:HG22	A:52:ARG:H	0.504
121	A:116:ASN:HB3	A:120:MET:HE1	0.503
121	A:58:ILE:HB	A:63:ALA:HB2	0.496
121	A:1:MET:SD	A:6:MET:HB2	0.494
121	A:25:TYR:CE1	A:39:LEU:HD13	0.493
121	A:132:ASN:OD1	A:133:LEU:HD12	0.493
121	A:22:GLU:HB3	A:24:TYR:CD2	0.492
121	A:97:ALA:HB3	A:158:TRP:CZ2	0.489
121	A:124:LYS:HE3	A:126:TRP:HZ2	0.485
121	A:1:MET:HG2	A:5:GLU:CB	0.482
121	A:81:ASN:CB	A:84:LEU:HB3	0.482
121	A:127:ASP:O	A:131:VAL:HG23	0.481
121	A:151:THR:HG23	A:154:ARG:HH21	0.479
121	A:22:GLU:HB3	A:24:TYR:HD2	0.478
121	A:31:HIS:CE1	A:71:VAL:HG22	0.477
121	A:79:LEU:HD12	A:108:GLU:OE2	0.477
121	A:6:MET:HG3	A:161:TYR:CE2	0.473
121	A:142:THR:HB	A:145:ARG:HB2	0.472
121	A:102:MET:HE3	A:138:TRP:CH2	0.467
121	A:59:THR:OG1	A:62:GLU:HB3	0.458
121	A:46:LEU:O	A:50:ILE:HG12	0.456

Model ID	Atom-1	Atom-2	Clash overlap (Å)
121	A:50:ILE:HG13	A:54:THR:SG	0.452
121	A:14:ARG:O	A:15:LEU:HD12	0.451
121	A:4:PHE:CZ	A:13:LEU:HD11	0.449
121	A:17:ILE:CD1	A:43:LYS:HD3	0.448
121	A:4:PHE:CZ	A:13:LEU:HD21	0.445
121	A:114:PHE:CZ	A:133:LEU:HD21	0.443
121	A:2:ASN:O	A:5:GLU:HB2	0.442
121	A:25:TYR:CD1	A:39:LEU:HD13	0.440
121	A:4:PHE:HZ	A:29:ILE:HD13	0.439
121	A:98:ALA:HB1	A:153:PHE:CZ	0.439
121	A:67:PHE:CE2	A:71:VAL:HG21	0.438
121	A:138:TRP:HA	A:141:GLN:OE1	0.431
121	A:88:TYR:CD1	A:99:LEU:HD22	0.428
121	A:97:ALA:O	A:100:ILE:HB	0.428
121	A:97:ALA:HA	A:100:ILE:HB	0.425
121	A:7:LEU:HG	A:104:PHE:CE2	0.424
121	A:148:ARG:HA	A:151:THR:HB	0.423
121	A:124:LYS:CG	A:126:TRP:CZ2	0.422
121	A:14:ARG:NH2	A:16:LYS:HD2	0.418
121	A:142:THR:HG22	A:145:ARG:H	0.415
121	A:1:MET:HE1	A:158:TRP:CZ3	0.413
121	A:17:ILE:HD12	A:43:LYS:CD	0.410
121	A:100:ILE:O	A:104:PHE:HB2	0.410

Model ID	Atom-1	Atom-2	Clash overlap (Å)
121	A:17:ILE:HG13	A:27:ILE:HG22	0.408
121	A:114:PHE:O	A:117:SER:HB2	0.407
121	A:32:LEU:HA	A:32:LEU:HD12	0.405
121	A:86:PRO:O	A:89:ASP:HB2	0.404
121	A:84:LEU:HD23	A:111:VAL:HG13	0.402
122	A:17:ILE:HD12	A:43:LYS:HD3	1.132
122	A:27:ILE:HG23	A:33:LEU:HD12	1.006
122	A:130:ALA:HB1	A:150:ILE:HG23	0.999
122	A:16:LYS:HG3	A:57:VAL:HG22	0.979
122	A:27:ILE:HG13	A:31:HIS:HB3	0.974
122	A:7:LEU:HD22	A:11:GLU:HB2	0.851
122	A:130:ALA:CB	A:150:ILE:HG23	0.838
122	A:27:ILE:CG2	A:33:LEU:HD12	0.822
122	A:16:LYS:CG	A:57:VAL:HG22	0.788
122	A:58:ILE:HD12	A:63:ALA:CB	0.787
122	A:106:MET:SD	A:114:PHE:HE1	0.779
122	A:106:MET:HE2	A:138:TRP:CG	0.772
122	A:142:THR:CG2	A:145:ARG:HB2	0.755
122	A:1:MET:HG2	A:5:GLU:HB3	0.744
122	A:4:PHE:CE2	A:13:LEU:HD23	0.726
122	A:142:THR:HG21	A:145:ARG:HB2	0.720
122	A:3:ILE:SG	A:97:ALA:SG	0.719
122	A:6:MET:SD	A:158:TRP:CH2	0.702

Model ID	Atom-1	Atom-2	Clash overlap (Å)
122	A:6:MET:SD	A:158:TRP:HH2	0.696
122	A:133:LEU:HB3	A:138:TRP:HZ3	0.688
122	A:124:LYS:HG2	A:126:TRP:CZ2	0.686
122	A:25:TYR:CZ	A:39:LEU:HB2	0.680
122	A:103:VAL:HG22	A:111:VAL:HG21	0.677
122	A:106:MET:SD	A:114:PHE:CE1	0.674
122	A:130:ALA:HB1	A:150:ILE:CG2	0.672
122	A:102:MET:HB3	A:106:MET:HE3	0.665
122	A:10:ASP:HB3	A:145:ARG:HG2	0.662
122	A:33:LEU:HG	A:46:LEU:HG	0.662
122	A:139:TYR:HE1	A:150:ILE:HD12	0.658
122	A:17:ILE:CG1	A:27:ILE:HG22	0.655
122	A:17:ILE:HG12	A:27:ILE:HG22	0.650
122	A:32:LEU:HG	A:105:GLN:HE22	0.643
122	A:13:LEU:HG	A:29:ILE:HG23	0.632
122	A:24:TYR:HD1	A:35:LYS:HA	0.630
122	A:27:ILE:CG1	A:31:HIS:HB3	0.609
122	A:142:THR:HG21	A:145:ARG:HD3	0.609
122	A:58:ILE:HD12	A:63:ALA:HB1	0.604
122	A:87:VAL:HG21	A:118:LEU:HD11	0.604
122	A:1:MET:CG	A:5:GLU:HB3	0.602
122	A:17:ILE:HG12	A:27:ILE:CG2	0.600
122	A:142:THR:HG22	A:145:ARG:H	0.589

Model ID	Atom-1	Atom-2	Clash overlap (Å)
122	A:102:MET:HE2	A:106:MET:HE1	0.582
122	A:1:MET:HG2	A:5:GLU:CB	0.578
122	A:6:MET:HG3	A:161:TYR:HE2	0.576
122	A:17:ILE:HD12	A:43:LYS:CD	0.572
122	A:15:LEU:HD23	A:63:ALA:CB	0.559
122	A:15:LEU:CD2	A:63:ALA:HB1	0.547
122	A:25:TYR:CD1	A:39:LEU:HD13	0.540
122	A:39:LEU:HD11	A:43:LYS:HE3	0.539
122	A:67:PHE:CE2	A:71:VAL:CG2	0.535
122	A:4:PHE:CE2	A:13:LEU:CD2	0.532
122	A:130:ALA:HB1	A:150:ILE:HG12	0.522
122	A:97:ALA:HA	A:100:ILE:HB	0.518
122	A:127:ASP:O	A:131:VAL:HG23	0.512
122	A:133:LEU:HD22	A:138:TRP:CE3	0.512
122	A:1:MET:HE1	A:158:TRP:CH2	0.511
122	A:150:ILE:HA	A:153:PHE:HD2	0.511
122	A:15:LEU:HD23	A:63:ALA:HB1	0.509
122	A:137:ARG:HA	A:140:ASN:HD21	0.509
122	A:10:ASP:O	A:145:ARG:HD2	0.495
122	A:144:ASN:O	A:148:ARG:HG3	0.491
122	A:15:LEU:HD11	A:29:ILE:HG13	0.490
122	A:1:MET:HE1	A:158:TRP:CZ2	0.486
122	A:4:PHE:CE1	A:29:ILE:HD13	0.486

Model ID	Atom-1	Atom-2	Clash overlap (Å)
122	A:7:LEU:HG	A:104:PHE:CE2	0.485
122	A:133:LEU:HB3	A:138:TRP:CZ3	0.484
122	A:139:TYR:CE1	A:150:ILE:HD12	0.481
122	A:119:ARG:O	A:122:GLN:HG2	0.473
122	A:124:LYS:HG2	A:126:TRP:CH2	0.470
122	A:58:ILE:HD12	A:63:ALA:HB2	0.469
122	A:50:ILE:HG22	A:52:ARG:HB2	0.467
122	A:59:THR:OG1	A:62:GLU:HB3	0.466
122	A:102:MET:O	A:106:MET:HG2	0.466
122	A:120:MET:O	A:123:GLN:HB3	0.465
122	A:98:ALA:O	A:102:MET:HG3	0.463
122	A:50:ILE:HG13	A:54:THR:SG	0.462
122	A:94:VAL:HG22	A:158:TRP:HE1	0.458
122	A:26:THR:HG23	A:32:LEU:HA	0.454
122	A:67:PHE:CE2	A:71:VAL:HG23	0.454
122	A:6:MET:HG3	A:161:TYR:CE2	0.453
122	A:19:LYS:HB3	A:25:TYR:CZ	0.452
122	A:6:MET:HE1	A:97:ALA:O	0.451
122	A:55:ASN:O	A:57:VAL:HG23	0.449
122	A:142:THR:HG22	A:145:ARG:HB2	0.449
122	A:50:ILE:HG22	A:52:ARG:H	0.446
122	A:72:ASP:O	A:75:VAL:HB	0.446
122	A:107:GLY:O	A:111:VAL:HG23	0.446

Model ID	Atom-1	Atom-2	Clash overlap (Å)
122	A:17:ILE:HB	A:43:LYS:HE2	0.445
122	A:17:ILE:HG13	A:27:ILE:HG22	0.444
122	A:121:LEU:HD22	A:126:TRP:HE3	0.444
122	A:32:LEU:HG	A:105:GLN:NE2	0.443
122	A:17:ILE:HG22	A:25:TYR:HD1	0.442
122	A:14:ARG:O	A:15:LEU:HD12	0.440
122	A:139:TYR:HE1	A:150:ILE:CD1	0.439
122	A:81:ASN:HB3	A:84:LEU:HB2	0.435
122	A:11:GLU:HG2	A:30:GLY:HA2	0.433
122	A:47:ASP:OD2	A:53:ASN:HA	0.431
122	A:4:PHE:CZ	A:29:ILE:HD13	0.429
122	A:120:MET:HG3	A:125:ARG:HE	0.429
122	A:111:VAL:HA	A:114:PHE:CD1	0.428
122	A:10:ASP:HB3	A:145:ARG:CG	0.427
122	A:1:MET:HE1	A:158:TRP:CE2	0.425
122	A:42:ALA:O	A:46:LEU:HB2	0.423
122	A:121:LEU:HD22	A:126:TRP:CE3	0.421
122	A:114:PHE:HB3	A:117:SER:HB2	0.418
122	A:139:TYR:CE1	A:150:ILE:CD1	0.417
122	A:50:ILE:HG22	A:52:ARG:N	0.412
122	A:39:LEU:O	A:39:LEU:HD12	0.410
122	A:45:GLU:O	A:48:LYS:HE3	0.409
122	A:1:MET:HE1	A:158:TRP:CZ3	0.406

Model ID	Atom-1	Atom-2	Clash overlap (Å)
122	A:155:THR:O	A:157:THR:HG23	0.406
122	A:130:ALA:HA	A:133:LEU:HB2	0.401
123	A:13:LEU:HG	A:29:ILE:HG23	1.123
123	A:17:ILE:HD12	A:43:LYS:HD3	1.097
123	A:16:LYS:HG3	A:57:VAL:HG22	1.078
123	A:7:LEU:HD22	A:11:GLU:HB2	1.006
123	A:124:LYS:HG3	A:126:TRP:CZ2	0.957
123	A:27:ILE:HG23	A:33:LEU:HD12	0.915
123	A:81:ASN:HB3	A:84:LEU:HB2	0.901
123	A:15:LEU:HD11	A:29:ILE:HG13	0.884
123	A:27:ILE:CG2	A:33:LEU:HD12	0.860
123	A:16:LYS:HG3	A:57:VAL:CG2	0.821
123	A:103:VAL:HG22	A:111:VAL:CG2	0.772
123	A:106:MET:SD	A:114:PHE:HE1	0.759
123	A:17:ILE:HD12	A:43:LYS:CD	0.754
123	A:7:LEU:HD22	A:11:GLU:CB	0.750
123	A:3:ILE:SG	A:97:ALA:SG	0.745
123	A:130:ALA:CB	A:150:ILE:HG23	0.742
123	A:130:ALA:HB1	A:150:ILE:HG23	0.738
123	A:27:ILE:HG12	A:33:LEU:HB2	0.735
123	A:133:LEU:HB3	A:138:TRP:HZ3	0.733
123	A:6:MET:HG3	A:161:TYR:CE2	0.716
123	A:13:LEU:HG	A:29:ILE:CG2	0.685

Model ID	Atom-1	Atom-2	Clash overlap (Å)
123	A:103:VAL:HG22	A:111:VAL:HG22	0.684
123	A:13:LEU:CG	A:29:ILE:HG23	0.680
123	A:10:ASP:HB3	A:145:ARG:HG2	0.677
123	A:27:ILE:HG13	A:31:HIS:HB3	0.674
123	A:106:MET:SD	A:114:PHE:CE1	0.669
123	A:15:LEU:CD1	A:29:ILE:HG13	0.668
123	A:7:LEU:CD2	A:11:GLU:HB2	0.653
123	A:19:LYS:HB3	A:25:TYR:CE1	0.652
123	A:95:ARG:HD2	A:126:TRP:CD2	0.650
123	A:17:ILE:CD1	A:43:LYS:HD3	0.642
123	A:81:ASN:HB3	A:84:LEU:CB	0.617
123	A:1:MET:HE1	A:158:TRP:CE3	0.607
123	A:103:VAL:HG22	A:111:VAL:HG21	0.607
123	A:6:MET:SD	A:158:TRP:HZ3	0.605
123	A:94:VAL:HG13	A:158:TRP:CE2	0.577
123	A:13:LEU:HB3	A:29:ILE:HG12	0.562
123	A:15:LEU:HA	A:28:GLY:HA2	0.551
123	A:24:TYR:HD1	A:35:LYS:HA	0.546
123	A:25:TYR:CZ	A:39:LEU:HB2	0.541
123	A:39:LEU:HD11	A:43:LYS:HE3	0.540
123	A:4:PHE:CZ	A:29:ILE:HG21	0.539
123	A:19:LYS:HB3	A:25:TYR:CZ	0.538
123	A:50:ILE:HG21	A:54:THR:SG	0.532

Model ID	Atom-1	Atom-2	Clash overlap (Å)
123	A:67:PHE:CE2	A:71:VAL:CG2	0.532
123	A:4:PHE:CZ	A:29:ILE:HD13	0.528
123	A:95:ARG:HD2	A:126:TRP:CG	0.526
123	A:87:VAL:HG21	A:118:LEU:HD11	0.525
123	A:1:MET:HG2	A:5:GLU:HB2	0.523
123	A:133:LEU:HB3	A:138:TRP:CZ3	0.521
123	A:10:ASP:HB3	A:145:ARG:CG	0.516
123	A:46:LEU:O	A:50:ILE:HD12	0.515
123	A:124:LYS:HG3	A:126:TRP:HZ2	0.514
123	A:4:PHE:HZ	A:29:ILE:HG21	0.503
123	A:102:MET:HE3	A:106:MET:HE1	0.503
123	A:25:TYR:CD1	A:39:LEU:HD13	0.502
123	A:130:ALA:HB1	A:150:ILE:CG2	0.496
123	A:58:ILE:HD12	A:63:ALA:CB	0.495
123	A:17:ILE:HG12	A:27:ILE:CG2	0.492
123	A:25:TYR:CE1	A:39:LEU:HD13	0.485
123	A:34:THR:HG21	A:42:ALA:HB2	0.485
123	A:45:GLU:HA	A:48:LYS:HE2	0.485
123	A:17:ILE:CG1	A:27:ILE:HG22	0.479
123	A:6:MET:HE1	A:97:ALA:O	0.478
123	A:148:ARG:HG2	A:160:ALA:HB1	0.473
123	A:94:VAL:HG22	A:158:TRP:HE1	0.472
123	A:132:ASN:OD1	A:133:LEU:HD12	0.472

Model ID	Atom-1	Atom-2	Clash overlap (Å)
123	A:27:ILE:HD13	A:33:LEU:HD23	0.470
123	A:16:LYS:CG	A:57:VAL:HG22	0.465
123	A:6:MET:SD	A:158:TRP:CZ3	0.464
123	A:1:MET:HG2	A:5:GLU:CB	0.459
123	A:127:ASP:O	A:131:VAL:HG23	0.459
123	A:27:ILE:HG21	A:33:LEU:HD12	0.454
123	A:29:ILE:HB	A:67:PHE:CZ	0.453
123	A:2:ASN:O	A:5:GLU:HB2	0.452
123	A:67:PHE:CE2	A:71:VAL:HG23	0.452
123	A:6:MET:CE	A:97:ALA:HB1	0.447
123	A:121:LEU:HG	A:126:TRP:HE3	0.446
123	A:149:VAL:HG12	A:153:PHE:CE2	0.446
123	A:77:GLY:O	A:80:ARG:HB2	0.445
123	A:97:ALA:HB3	A:158:TRP:HH2	0.442
123	A:27:ILE:HG21	A:33:LEU:HD23	0.439
123	A:29:ILE:HD12	A:67:PHE:CZ	0.438
123	A:95:ARG:CZ	A:95:ARG:HB2	0.438
123	A:67:PHE:HA	A:70:ASP:HB3	0.437
123	A:50:ILE:HG22	A:52:ARG:N	0.435
123	A:7:LEU:HG	A:104:PHE:HE2	0.434
123	A:67:PHE:CE2	A:71:VAL:HG21	0.432
123	A:17:ILE:HG12	A:27:ILE:HG23	0.429
123	A:84:LEU:HD22	A:118:LEU:HG	0.426

Model ID	Atom-1	Atom-2	Clash overlap (Å)
123	A:142:THR:CG2	A:145:ARG:HB2	0.425
123	A:145:ARG:O	A:149:VAL:HG23	0.423
123	A:121:LEU:HG	A:126:TRP:CE3	0.420
123	A:106:MET:HE2	A:138:TRP:HB2	0.419
123	A:33:LEU:HG	A:46:LEU:HG	0.415
123	A:3:ILE:SG	A:100:ILE:HD13	0.415
123	A:34:THR:HG21	A:42:ALA:CB	0.412
123	A:114:PHE:O	A:117:SER:HB2	0.412
123	A:50:ILE:HG22	A:52:ARG:H	0.408
123	A:150:ILE:HA	A:153:PHE:HD2	0.408
123	A:58:ILE:HD12	A:63:ALA:HA	0.404
123	A:15:LEU:HD23	A:58:ILE:HG13	0.403
123	A:93:ALA:O	A:96:ARG:HB2	0.402
124	A:102:MET:HE2	A:106:MET:HE1	1.092
124	A:102:MET:HE1	A:133:LEU:HB3	0.950
124	A:14:ARG:HB2	A:18:TYR:HE1	0.918
124	A:1:MET:HE2	A:6:MET:HB2	0.888
124	A:124:LYS:HG2	A:126:TRP:CZ2	0.853
124	A:102:MET:CE	A:106:MET:HE1	0.787
124	A:17:ILE:HG21	A:25:TYR:HD1	0.778
124	A:14:ARG:HB2	A:18:TYR:CE1	0.768
124	A:124:LYS:HG2	A:126:TRP:HZ2	0.753
124	A:139:TYR:HD1	A:146:ALA:HB1	0.752

Model ID	Atom-1	Atom-2	Clash overlap (Å)
124	A:102:MET:HE1	A:133:LEU:CB	0.718
124	A:94:VAL:HG12	A:152:THR:CG2	0.717
124	A:17:ILE:HG21	A:25:TYR:CD1	0.716
124	A:102:MET:HE2	A:106:MET:CE	0.703
124	A:50:ILE:HD12	A:62:GLU:HG2	0.700
124	A:35:LYS:HE2	A:108:GLU:HB3	0.696
124	A:17:ILE:HD11	A:46:LEU:HG	0.684
124	A:3:ILE:SG	A:97:ALA:SG	0.681
124	A:79:LEU:HD23	A:85:LYS:CG	0.676
124	A:102:MET:HE3	A:138:TRP:CZ3	0.669
124	A:16:LYS:HG2	A:57:VAL:HG22	0.666
124	A:93:ALA:HA	A:96:ARG:HB2	0.657
124	A:118:LEU:HD13	A:121:LEU:HD12	0.642
124	A:79:LEU:HD23	A:85:LYS:HG3	0.637
124	A:50:ILE:HG21	A:54:THR:SG	0.633
124	A:50:ILE:HG22	A:52:ARG:H	0.611
124	A:1:MET:HE2	A:158:TRP:CZ3	0.606
124	A:102:MET:HE1	A:133:LEU:CG	0.586
124	A:102:MET:SD	A:133:LEU:HG	0.571
124	A:102:MET:HE1	A:133:LEU:HG	0.567
124	A:139:TYR:HD1	A:146:ALA:CB	0.554
124	A:17:ILE:HG13	A:27:ILE:HD12	0.546
124	A:1:MET:CE	A:158:TRP:CZ3	0.533

Model ID	Atom-1	Atom-2	Clash overlap (Å)
124	A:1:MET:HG3	A:5:GLU:CB	0.533
124	A:94:VAL:HG12	A:152:THR:HG23	0.530
124	A:139:TYR:CD1	A:146:ALA:HB1	0.528
124	A:17:ILE:CG2	A:25:TYR:CD1	0.526
124	A:97:ALA:HA	A:100:ILE:HB	0.526
124	A:102:MET:HE3	A:138:TRP:CH2	0.525
124	A:103:VAL:HG13	A:111:VAL:HG21	0.521
124	A:7:LEU:HD12	A:11:GLU:HG3	0.511
124	A:103:VAL:HG22	A:111:VAL:CG2	0.496
124	A:25:TYR:HB3	A:33:LEU:HD12	0.494
124	A:81:ASN:OD1	A:83:LYS:HG3	0.492
124	A:127:ASP:O	A:131:VAL:HG23	0.492
124	A:6:MET:HG3	A:161:TYR:CE2	0.491
124	A:1:MET:CE	A:158:TRP:CE3	0.490
124	A:8:ARG:HG3	A:13:LEU:HD13	0.489
124	A:33:LEU:HD13	A:42:ALA:HB1	0.489
124	A:91:LEU:HB3	A:96:ARG:HG3	0.481
124	A:102:MET:CE	A:133:LEU:HG	0.481
124	A:111:VAL:HA	A:114:PHE:HD1	0.480
124	A:117:SER:O	A:121:LEU:HG	0.469
124	A:19:LYS:HG2	A:25:TYR:CE2	0.462
124	A:1:MET:HG3	A:5:GLU:HB3	0.459
124	A:111:VAL:HA	A:114:PHE:CD1	0.458

Model ID	Atom-1	Atom-2	Clash overlap (Å)
124	A:7:LEU:CD1	A:11:GLU:HG3	0.456
124	A:58:ILE:HB	A:62:GLU:HB3	0.454
124	A:8:ARG:HA	A:13:LEU:HD13	0.451
124	A:1:MET:HE1	A:158:TRP:CE3	0.446
124	A:98:ALA:HB1	A:153:PHE:CE1	0.445
124	A:67:PHE:O	A:71:VAL:HG23	0.443
124	A:83:LYS:HD3	A:84:LEU:HD12	0.440
124	A:86:PRO:HA	A:89:ASP:HB2	0.440
124	A:14:ARG:CB	A:18:TYR:CE1	0.437
124	A:88:TYR:CE1	A:96:ARG:HD3	0.435
124	A:12:GLY:O	A:14:ARG:HG3	0.429
124	A:6:MET:HB2	A:158:TRP:HZ3	0.422
124	A:26:THR:HA	A:31:HIS:O	0.420
124	A:103:VAL:HG22	A:111:VAL:HG22	0.417
124	A:1:MET:HG3	A:5:GLU:HB2	0.415
124	A:107:GLY:O	A:111:VAL:HG23	0.415
124	A:16:LYS:C	A:27:ILE:HG13	0.412
124	A:1:MET:CG	A:5:GLU:HB2	0.410
124	A:32:LEU:HA	A:32:LEU:HD12	0.407
124	A:6:MET:HE2	A:161:TYR:OH	0.402
124	A:119:ARG:O	A:123:GLN:HB2	0.400
125	A:27:ILE:HD11	A:58:ILE:HG12	1.021
125	A:1:MET:HE2	A:158:TRP:CE3	0.931

Model ID	Atom-1	Atom-2	Clash overlap (Å)
125	A:14:ARG:HB3	A:18:TYR:HE1	0.864
125	A:27:ILE:CD1	A:58:ILE:HG12	0.850
125	A:79:LEU:HD22	A:85:LYS:HG3	0.840
125	A:17:ILE:HG22	A:25:TYR:HD1	0.826
125	A:103:VAL:CG2	A:111:VAL:HG21	0.817
125	A:103:VAL:HG22	A:111:VAL:HG21	0.789
125	A:58:ILE:CD1	A:63:ALA:HB2	0.775
125	A:124:LYS:HG2	A:126:TRP:CZ2	0.708
125	A:102:MET:HE3	A:138:TRP:CZ3	0.705
125	A:50:ILE:HD11	A:66:LEU:HD11	0.682
125	A:79:LEU:CD2	A:85:LYS:HG3	0.681
125	A:3:ILE:SG	A:97:ALA:SG	0.679
125	A:3:ILE:SG	A:100:ILE:HD13	0.653
125	A:14:ARG:HB3	A:18:TYR:CE1	0.644
125	A:1:MET:HG3	A:5:GLU:HB2	0.640
125	A:1:MET:HG3	A:5:GLU:CB	0.618
125	A:102:MET:HE1	A:133:LEU:HB3	0.617
125	A:103:VAL:HG23	A:111:VAL:HG21	0.608
125	A:58:ILE:HD13	A:63:ALA:HB2	0.607
125	A:14:ARG:CB	A:18:TYR:HE1	0.606
125	A:102:MET:HE2	A:106:MET:HE1	0.599
125	A:98:ALA:HB3	A:153:PHE:CE1	0.592
125	A:114:PHE:HB3	A:117:SER:HB2	0.581

Model ID	Atom-1	Atom-2	Clash overlap (Å)
125	A:17:ILE:HD11	A:46:LEU:HG	0.559
125	A:106:MET:HE2	A:138:TRP:CG	0.549
125	A:50:ILE:HD11	A:66:LEU:CD1	0.546
125	A:94:VAL:HG13	A:158:TRP:CE2	0.545
125	A:78:ILE:HD12	A:84:LEU:HD22	0.542
125	A:33:LEU:HD12	A:42:ALA:HB1	0.539
125	A:98:ALA:CB	A:153:PHE:CE1	0.538
125	A:22:GLU:HB2	A:105:GLN:HE21	0.518
125	A:81:ASN:HB3	A:84:LEU:HB2	0.518
125	A:50:ILE:HG12	A:58:ILE:HG22	0.516
125	A:124:LYS:HG2	A:126:TRP:CH2	0.513
125	A:46:LEU:HD23	A:50:ILE:HD13	0.512
125	A:84:LEU:O	A:88:TYR:HB2	0.507
125	A:24:TYR:HB3	A:32:LEU:HD21	0.503
125	A:105:GLN:HG2	A:138:TRP:HD1	0.503
125	A:67:PHE:O	A:71:VAL:HG23	0.502
125	A:98:ALA:HB3	A:153:PHE:HE1	0.499
125	A:120:MET:HG3	A:128:GLU:HG2	0.499
125	A:29:ILE:CD1	A:67:PHE:HB2	0.497
125	A:1:MET:HE3	A:6:MET:HA	0.496
125	A:17:ILE:HG22	A:25:TYR:CD1	0.494
125	A:14:ARG:HH11	A:18:TYR:HD1	0.493
125	A:3:ILE:SG	A:100:ILE:CD1	0.489

Model ID	Atom-1	Atom-2	Clash overlap (Å)
125	A:151:THR:HG21	A:160:ALA:HB2	0.487
125	A:105:GLN:HG2	A:138:TRP:CD1	0.483
125	A:7:LEU:HD21	A:104:PHE:HE1	0.481
125	A:3:ILE:SG	A:100:ILE:HG21	0.475
125	A:1:MET:HE2	A:158:TRP:CZ3	0.474
125	A:11:GLU:HB2	A:18:TYR:CZ	0.474
125	A:6:MET:O	A:10:ASP:HB2	0.472
125	A:10:ASP:HB3	A:11:GLU:CD	0.465
125	A:94:VAL:HG22	A:158:TRP:HE1	0.465
125	A:102:MET:CE	A:106:MET:HE1	0.463
125	A:103:VAL:HG22	A:111:VAL:CG2	0.463
125	A:19:LYS:HG3	A:25:TYR:CE2	0.462
125	A:123:GLN:HG2	A:125:ARG:CG	0.459
125	A:6:MET:HE2	A:161:TYR:OH	0.449
125	A:14:ARG:HG2	A:16:LYS:O	0.446
125	A:116:ASN:HA	A:119:ARG:HG3	0.446
125	A:6:MET:HG3	A:161:TYR:CE2	0.445
125	A:16:LYS:HA	A:56:GLY:O	0.440
125	A:75:VAL:HG13	A:79:LEU:HD12	0.438
125	A:99:LEU:O	A:103:VAL:HG23	0.437
125	A:123:GLN:CD	A:125:ARG:HG3	0.437
125	A:116:ASN:O	A:120:MET:HG2	0.436
125	A:116:ASN:HB2	A:132:ASN:ND2	0.435

Model ID	Atom-1	Atom-2	Clash overlap (Å)
125	A:130:ALA:HB1	A:150:ILE:HG21	0.431
125	A:10:ASP:HB3	A:11:GLU:OE1	0.429
125	A:14:ARG:CB	A:18:TYR:CE1	0.428
125	A:6:MET:HE2	A:161:TYR:CZ	0.425
125	A:2:ASN:O	A:5:GLU:HB2	0.424
125	A:150:ILE:HA	A:153:PHE:HB2	0.424
125	A:21:THR:HG23	A:22:GLU:OE1	0.423
125	A:128:GLU:HA	A:131:VAL:HG23	0.423
125	A:11:GLU:HB2	A:18:TYR:OH	0.422
125	A:17:ILE:HD13	A:33:LEU:HD11	0.421
125	A:20:ASP:CG	A:105:GLN:HE22	0.420
125	A:86:PRO:HA	A:89:ASP:OD2	0.417
125	A:124:LYS:HA	A:126:TRP:CZ2	0.417
125	A:7:LEU:HD11	A:104:PHE:CD1	0.413
125	A:84:LEU:HD11	A:112:ALA:HA	0.412
125	A:75:VAL:O	A:79:LEU:HB2	0.408
125	A:31:HIS:CD2	A:66:LEU:HB3	0.406
125	A:15:LEU:O	A:58:ILE:HG13	0.405
125	A:95:ARG:HD2	A:126:TRP:CE3	0.402
125	A:94:VAL:HG13	A:158:TRP:CZ2	0.402
125	A:24:TYR:CD1	A:35:LYS:HA	0.401
126	A:33:LEU:HD11	A:46:LEU:HG	1.108
126	A:130:ALA:HB1	A:150:ILE:HG23	1.068

Model ID	Atom-1	Atom-2	Clash overlap (Å)
126	A:16:LYS:HG3	A:57:VAL:HG22	0.993
126	A:27:ILE:HG23	A:33:LEU:HD12	0.909
126	A:106:MET:SD	A:114:PHE:HE1	0.883
126	A:27:ILE:CG2	A:33:LEU:HD12	0.866
126	A:130:ALA:HB1	A:150:ILE:CG2	0.863
126	A:13:LEU:HG	A:29:ILE:HG23	0.859
126	A:4:PHE:CE2	A:13:LEU:HD21	0.814
126	A:13:LEU:HG	A:29:ILE:CG2	0.798
126	A:16:LYS:HG3	A:57:VAL:CG2	0.792
126	A:81:ASN:HB3	A:84:LEU:CB	0.782
126	A:81:ASN:HB3	A:84:LEU:HB2	0.774
126	A:58:ILE:HD12	A:63:ALA:CB	0.772
126	A:58:ILE:HD12	A:63:ALA:HB1	0.750
126	A:130:ALA:CB	A:150:ILE:HG23	0.748
126	A:91:LEU:HD21	A:126:TRP:HZ3	0.729
126	A:142:THR:CG2	A:145:ARG:HB2	0.724
126	A:3:ILE:SG	A:97:ALA:SG	0.709
126	A:87:VAL:HG12	A:118:LEU:HD21	0.701
126	A:78:ILE:HG22	A:108:GLU:HB2	0.697
126	A:124:LYS:HG3	A:126:TRP:CZ2	0.685
126	A:11:GLU:HG2	A:30:GLY:HA2	0.681
126	A:151:THR:HG21	A:160:ALA:CB	0.680
126	A:142:THR:HG21	A:145:ARG:HB2	0.673

Model ID	Atom-1	Atom-2	Clash overlap (Å)
126	A:25:TYR:CZ	A:39:LEU:HB2	0.645
126	A:50:ILE:HG22	A:52:ARG:H	0.639
126	A:151:THR:HG21	A:160:ALA:HB3	0.621
126	A:34:THR:HG21	A:42:ALA:CB	0.611
126	A:91:LEU:HD21	A:126:TRP:CZ3	0.594
126	A:106:MET:SD	A:114:PHE:CE1	0.593
126	A:142:THR:HG22	A:145:ARG:H	0.592
126	A:27:ILE:HG13	A:31:HIS:HB3	0.591
126	A:105:GLN:HG3	A:141:GLN:HB3	0.590
126	A:87:VAL:HG13	A:122:GLN:HE21	0.588
126	A:17:ILE:HG12	A:27:ILE:CG2	0.586
126	A:27:ILE:HG12	A:33:LEU:HB2	0.584
126	A:19:LYS:HB3	A:25:TYR:CZ	0.575
126	A:34:THR:HG21	A:42:ALA:HB2	0.575
126	A:81:ASN:HB3	A:84:LEU:HB3	0.569
126	A:58:ILE:HB	A:63:ALA:HB2	0.556
126	A:4:PHE:CZ	A:29:ILE:HG21	0.552
126	A:33:LEU:HD21	A:46:LEU:HD21	0.552
126	A:121:LEU:HG	A:126:TRP:HE3	0.552
126	A:25:TYR:CE1	A:39:LEU:HD13	0.551
126	A:133:LEU:HD22	A:138:TRP:CE3	0.547
126	A:15:LEU:HD23	A:63:ALA:CB	0.541
126	A:1:MET:HG2	A:5:GLU:CB	0.540

Model ID	Atom-1	Atom-2	Clash overlap (Å)
126	A:106:MET:SD	A:138:TRP:HB2	0.539
126	A:1:MET:SD	A:6:MET:HB2	0.538
126	A:123:GLN:HG3	A:125:ARG:HE	0.531
126	A:81:ASN:H	A:85:LYS:HE2	0.530
126	A:133:LEU:HB3	A:138:TRP:HZ3	0.530
126	A:91:LEU:CD2	A:126:TRP:CZ3	0.529
126	A:142:THR:HG21	A:145:ARG:HD3	0.527
126	A:91:LEU:CD2	A:126:TRP:HZ3	0.523
126	A:6:MET:SD	A:158:TRP:HZ3	0.522
126	A:4:PHE:HE2	A:13:LEU:HD21	0.520
126	A:106:MET:HE2	A:138:TRP:CD1	0.511
126	A:46:LEU:O	A:50:ILE:HD12	0.508
126	A:17:ILE:HG12	A:27:ILE:HG23	0.507
126	A:27:ILE:HG21	A:33:LEU:HD12	0.503
126	A:126:TRP:HA	A:129:ALA:HB3	0.500
126	A:102:MET:HB3	A:106:MET:HE3	0.497
126	A:6:MET:HE1	A:97:ALA:O	0.494
126	A:115:THR:O	A:119:ARG:HG2	0.494
126	A:7:LEU:HG	A:104:PHE:HE2	0.491
126	A:1:MET:HE1	A:158:TRP:CE3	0.484
126	A:106:MET:HE2	A:138:TRP:CG	0.484
126	A:15:LEU:HG	A:28:GLY:HA2	0.480
126	A:114:PHE:HB3	A:117:SER:HB2	0.479

Model ID	Atom-1	Atom-2	Clash overlap (Å)
126	A:98:ALA:HB1	A:153:PHE:CZ	0.478
126	A:126:TRP:HB2	A:153:PHE:HB3	0.476
126	A:15:LEU:HB3	A:58:ILE:HG13	0.475
126	A:6:MET:CE	A:97:ALA:HB1	0.473
126	A:93:ALA:HA	A:96:ARG:HB2	0.472
126	A:78:ILE:HB	A:108:GLU:CD	0.471
126	A:17:ILE:HG12	A:27:ILE:HG22	0.470
126	A:15:LEU:HD23	A:63:ALA:HB1	0.469
126	A:17:ILE:CG1	A:27:ILE:HG22	0.469
126	A:1:MET:HG2	A:5:GLU:HB3	0.464
126	A:4:PHE:CZ	A:29:ILE:HD13	0.462
126	A:33:LEU:CD1	A:46:LEU:HG	0.462
126	A:148:ARG:HD2	A:161:TYR:CD1	0.458
126	A:77:GLY:O	A:80:ARG:HB2	0.456
126	A:59:THR:OG1	A:62:GLU:HB3	0.455
126	A:1:MET:HG2	A:5:GLU:HB2	0.453
126	A:1:MET:CG	A:5:GLU:HB3	0.449
126	A:139:TYR:HE1	A:150:ILE:HD12	0.449
126	A:16:LYS:HA	A:56:GLY:O	0.445
126	A:15:LEU:CD2	A:63:ALA:HB1	0.441
126	A:42:ALA:O	A:46:LEU:HB2	0.439
126	A:79:LEU:HD22	A:85:LYS:HG2	0.439
126	A:123:GLN:HB3	A:125:ARG:HG2	0.439

Model ID	Atom-1	Atom-2	Clash overlap (Å)
126	A:87:VAL:HG23	A:118:LEU:HD11	0.437
126	A:142:THR:HG22	A:145:ARG:HB2	0.437
126	A:114:PHE:O	A:117:SER:HB2	0.435
126	A:6:MET:HG3	A:161:TYR:CE2	0.434
126	A:158:TRP:O	A:161:TYR:HB2	0.434
126	A:27:ILE:HG12	A:33:LEU:HD23	0.427
126	A:6:MET:HB3	A:6:MET:HE2	0.420
126	A:144:ASN:O	A:148:ARG:HG3	0.413
126	A:25:TYR:CE1	A:39:LEU:HB2	0.412
126	A:7:LEU:HD22	A:11:GLU:HB2	0.411
126	A:98:ALA:HB1	A:153:PHE:CE2	0.408
126	A:27:ILE:HG21	A:33:LEU:HD23	0.407
126	A:107:GLY:O	A:111:VAL:HG23	0.407
126	A:95:ARG:HD3	A:126:TRP:CD2	0.405
126	A:139:TYR:O	A:143:PRO:HD3	0.405
126	A:1:MET:CE	A:158:TRP:CE3	0.404
126	A:151:THR:CG2	A:160:ALA:HB3	0.403
127	A:103:VAL:HG22	A:111:VAL:HG22	0.934
127	A:1:MET:HE2	A:158:TRP:CE3	0.916
127	A:79:LEU:HD22	A:85:LYS:HG3	0.911
127	A:17:ILE:HG22	A:25:TYR:CD1	0.846
127	A:78:ILE:HG21	A:88:TYR:HD2	0.802
127	A:102:MET:HE1	A:133:LEU:HG	0.800

Model ID	Atom-1	Atom-2	Clash overlap (Å)
127	A:103:VAL:HG22	A:111:VAL:CG2	0.796
127	A:14:ARG:HB3	A:18:TYR:HE1	0.789
127	A:17:ILE:HG22	A:25:TYR:HD1	0.775
127	A:45:GLU:HA	A:48:LYS:HG2	0.766
127	A:1:MET:HG3	A:5:GLU:HB2	0.759
127	A:124:LYS:HG2	A:126:TRP:CZ2	0.743
127	A:78:ILE:HG21	A:88:TYR:CD2	0.697
127	A:3:ILE:SG	A:97:ALA:SG	0.695
127	A:29:ILE:CD1	A:67:PHE:HB2	0.689
127	A:1:MET:HB3	A:158:TRP:CE2	0.685
127	A:50:ILE:HG21	A:54:THR:SG	0.683
127	A:14:ARG:HB3	A:18:TYR:CE1	0.676
127	A:98:ALA:HB3	A:153:PHE:CE1	0.674
127	A:16:LYS:HG2	A:57:VAL:HG22	0.673
127	A:79:LEU:CD2	A:85:LYS:HG3	0.671
127	A:25:TYR:CZ	A:39:LEU:HD22	0.670
127	A:102:MET:HE3	A:138:TRP:CZ3	0.664
127	A:29:ILE:HD13	A:67:PHE:CG	0.655
127	A:50:ILE:HG23	A:52:ARG:H	0.627
127	A:102:MET:HE1	A:133:LEU:CG	0.626
127	A:102:MET:HE1	A:133:LEU:HB3	0.624
127	A:29:ILE:HD13	A:67:PHE:HB2	0.598
127	A:78:ILE:HD12	A:84:LEU:HD22	0.584

Model ID	Atom-1	Atom-2	Clash overlap (Å)
127	A:1:MET:HG3	A:5:GLU:CB	0.582
127	A:121:LEU:HD22	A:129:ALA:HB2	0.578
127	A:1:MET:HE2	A:158:TRP:CD2	0.574
127	A:81:ASN:HB3	A:84:LEU:HB2	0.563
127	A:7:LEU:HG	A:104:PHE:CE1	0.558
127	A:24:TYR:HD1	A:35:LYS:HA	0.551
127	A:13:LEU:HD23	A:29:ILE:HG13	0.548
127	A:102:MET:HE2	A:106:MET:HE1	0.539
127	A:102:MET:HE3	A:138:TRP:CH2	0.539
127	A:4:PHE:HD1	A:67:PHE:CD2	0.532
127	A:1:MET:HE3	A:6:MET:HB2	0.529
127	A:4:PHE:CD1	A:67:PHE:CD2	0.528
127	A:102:MET:HE1	A:133:LEU:CB	0.513
127	A:144:ASN:O	A:148:ARG:HG3	0.510
127	A:29:ILE:HD13	A:67:PHE:CB	0.509
127	A:5:GLU:O	A:9:ILE:HD12	0.508
127	A:99:LEU:O	A:103:VAL:HG23	0.496
127	A:127:ASP:O	A:131:VAL:HG23	0.495
127	A:99:LEU:HG	A:153:PHE:CE1	0.492
127	A:77:GLY:O	A:80:ARG:HB2	0.491
127	A:94:VAL:HG13	A:158:TRP:CE2	0.475
127	A:43:LYS:HE3	A:56:GLY:H	0.470
127	A:146:ALA:O	A:150:ILE:HD12	0.470

Model ID	Atom-1	Atom-2	Clash overlap (Å)
127	A:4:PHE:CE2	A:64:GLU:HG2	0.465
127	A:83:LYS:HD2	A:84:LEU:HD12	0.464
127	A:17:ILE:CG2	A:25:TYR:CD1	0.463
127	A:94:VAL:HA	A:158:TRP:CZ2	0.463
127	A:46:LEU:HD12	A:50:ILE:HD13	0.462
127	A:99:LEU:HG	A:153:PHE:HE1	0.462
127	A:30:GLY:HA3	A:104:PHE:CD2	0.460
127	A:106:MET:HE2	A:138:TRP:CG	0.454
127	A:24:TYR:CD1	A:35:LYS:HA	0.453
127	A:14:ARG:CB	A:18:TYR:CE1	0.451
127	A:29:ILE:HD13	A:67:PHE:CD1	0.451
127	A:13:LEU:HD22	A:63:ALA:HB1	0.450
127	A:14:ARG:CB	A:18:TYR:HE1	0.450
127	A:26:THR:HA	A:31:HIS:O	0.449
127	A:33:LEU:HD23	A:46:LEU:HD13	0.447
127	A:67:PHE:O	A:71:VAL:HG23	0.444
127	A:82:ALA:O	A:86:PRO:HD2	0.443
127	A:94:VAL:HG13	A:158:TRP:CZ2	0.435
127	A:6:MET:HE2	A:161:TYR:OH	0.434
127	A:16:LYS:HA	A:56:GLY:O	0.434
127	A:4:PHE:CZ	A:64:GLU:HG2	0.433
127	A:27:ILE:HG21	A:46:LEU:HD11	0.433
127	A:33:LEU:HD13	A:42:ALA:HB1	0.429

Model ID	Atom-1	Atom-2	Clash overlap (Å)
127	A:107:GLY:O	A:111:VAL:HG23	0.429
127	A:83:LYS:HD2	A:84:LEU:CD1	0.428
127	A:59:THR:H	A:62:GLU:HB2	0.426
127	A:94:VAL:O	A:97:ALA:HB3	0.424
127	A:78:ILE:HG13	A:88:TYR:CD2	0.418
127	A:105:GLN:HG2	A:138:TRP:HD1	0.418
127	A:7:LEU:HG	A:104:PHE:HE1	0.417
127	A:117:SER:HA	A:120:MET:HG2	0.415
127	A:3:ILE:SG	A:97:ALA:HA	0.412
127	A:124:LYS:HG2	A:126:TRP:CH2	0.412
127	A:25:TYR:CE1	A:39:LEU:HD22	0.411
127	A:6:MET:HG3	A:161:TYR:CE2	0.407
127	A:121:LEU:HD21	A:129:ALA:HB1	0.407
127	A:22:GLU:HG3	A:106:MET:O	0.404
127	A:94:VAL:HA	A:158:TRP:H22	0.402
127	A:103:VAL:HG13	A:111:VAL:HG21	0.402
127	A:116:ASN:O	A:120:MET:HG2	0.402
127	A:145:ARG:HA	A:148:ARG:CZ	0.401
128	A:130:ALA:HB1	A:150:ILE:HG23	1.092
128	A:58:ILE:HD12	A:63:ALA:HB2	0.948
128	A:33:LEU:HD11	A:46:LEU:HG	0.945
128	A:106:MET:SD	A:114:PHE:HE1	0.913
128	A:17:ILE:HD12	A:43:LYS:HD2	0.888

Model ID	Atom-1	Atom-2	Clash overlap (Å)
128	A:27:ILE:CG2	A:33:LEU:HD12	0.868
128	A:139:TYR:HE1	A:150:ILE:HD12	0.860
128	A:27:ILE:HG23	A:33:LEU:HD12	0.846
128	A:130:ALA:CB	A:150:ILE:HG23	0.838
128	A:3:ILE:SG	A:97:ALA:SG	0.764
128	A:6:MET:HG3	A:161:TYR:CE2	0.743
128	A:81:ASN:HB3	A:84:LEU:HB2	0.740
128	A:27:ILE:HG12	A:33:LEU:HB2	0.738
128	A:139:TYR:CE1	A:150:ILE:HD12	0.734
128	A:142:THR:CG2	A:145:ARG:HB2	0.731
128	A:130:ALA:HB1	A:150:ILE:CG2	0.717
128	A:6:MET:CE	A:97:ALA:HB1	0.702
128	A:106:MET:SD	A:114:PHE:CE1	0.693
128	A:58:ILE:HD12	A:63:ALA:CB	0.681
128	A:50:ILE:HG22	A:52:ARG:H	0.665
128	A:114:PHE:HB3	A:117:SER:HB2	0.652
128	A:27:ILE:HG13	A:31:HIS:HB3	0.648
128	A:79:LEU:HB2	A:81:ASN:HB2	0.646
128	A:16:LYS:CG	A:57:VAL:HG22	0.639
128	A:17:ILE:HD12	A:43:LYS:CD	0.634
128	A:98:ALA:HB1	A:153:PHE:CZ	0.626
128	A:95:ARG:HG2	A:126:TRP:CD2	0.621
128	A:9:ILE:HD13	A:161:TYR:HB3	0.616

Model ID	Atom-1	Atom-2	Clash overlap (Å)
128	A:27:ILE:HG21	A:33:LEU:HD12	0.610
128	A:1:MET:HG2	A:5:GLU:HB2	0.604
128	A:76:ARG:HE	A:85:LYS:HE2	0.597
128	A:75:VAL:HG13	A:79:LEU:HD11	0.584
128	A:148:ARG:HG2	A:160:ALA:HB1	0.583
128	A:124:LYS:HG3	A:126:TRP:CZ2	0.580
128	A:123:GLN:CG	A:125:ARG:HG2	0.579
128	A:123:GLN:HG3	A:125:ARG:HG2	0.576
128	A:33:LEU:CD1	A:46:LEU:HG	0.573
128	A:16:LYS:HG3	A:57:VAL:HG22	0.567
128	A:19:LYS:HB3	A:25:TYR:CE1	0.559
128	A:81:ASN:HB3	A:84:LEU:CB	0.554
128	A:13:LEU:HG	A:29:ILE:HG23	0.552
128	A:142:THR:HG21	A:145:ARG:HB2	0.547
128	A:15:LEU:HB3	A:58:ILE:HG13	0.538
128	A:124:LYS:CG	A:126:TRP:CZ2	0.538
128	A:50:ILE:HG22	A:52:ARG:HB2	0.536
128	A:94:VAL:HG13	A:158:TRP:CZ2	0.531
128	A:98:ALA:HB1	A:153:PHE:CE2	0.531
128	A:25:TYR:CE1	A:39:LEU:HD13	0.530
128	A:6:MET:HE2	A:97:ALA:HB1	0.529
128	A:15:LEU:HD21	A:63:ALA:CB	0.529
128	A:27:ILE:HD13	A:33:LEU:HD23	0.528

Model ID	Atom-1	Atom-2	Clash overlap (Å)
128	A:6:MET:HE1	A:97:ALA:O	0.512
128	A:25:TYR:CZ	A:39:LEU:HB2	0.512
128	A:142:THR:HG22	A:145:ARG:HB2	0.509
128	A:10:ASP:HB3	A:145:ARG:HG2	0.508
128	A:116:ASN:HB3	A:120:MET:HE1	0.507
128	A:46:LEU:O	A:50:ILE:HD12	0.504
128	A:1:MET:SD	A:6:MET:HB2	0.500
128	A:15:LEU:HA	A:28:GLY:HA2	0.496
128	A:88:TYR:CD1	A:99:LEU:HD22	0.496
128	A:126:TRP:O	A:153:PHE:HB3	0.496
128	A:127:ASP:O	A:131:VAL:HG23	0.494
128	A:25:TYR:CD1	A:39:LEU:HD13	0.479
128	A:4:PHE:HE1	A:29:ILE:HD13	0.477
128	A:139:TYR:CE1	A:150:ILE:CD1	0.475
128	A:50:ILE:CG2	A:52:ARG:HB2	0.471
128	A:132:ASN:OD1	A:133:LEU:HD12	0.469
128	A:59:THR:OG1	A:62:GLU:HB3	0.467
128	A:95:ARG:HD3	A:126:TRP:CZ2	0.454
128	A:76:ARG:NE	A:85:LYS:HE2	0.451
128	A:98:ALA:O	A:102:MET:HG3	0.447
128	A:133:LEU:HB3	A:138:TRP:HZ3	0.447
128	A:15:LEU:HD11	A:29:ILE:HG13	0.443
128	A:31:HIS:HA	A:104:PHE:CD1	0.441

Model ID	Atom-1	Atom-2	Clash overlap (Å)
128	A:67:PHE:O	A:71:VAL:HG23	0.438
128	A:143:PRO:O	A:147:LYS:HG3	0.438
128	A:142:THR:HG21	A:145:ARG:HD3	0.435
128	A:16:LYS:HA	A:56:GLY:O	0.433
128	A:7:LEU:HD22	A:11:GLU:HB2	0.423
128	A:75:VAL:O	A:79:LEU:HG	0.423
128	A:11:GLU:HG2	A:18:TYR:OH	0.422
128	A:17:ILE:HG12	A:27:ILE:HG23	0.421
128	A:66:LEU:O	A:66:LEU:HD13	0.420
128	A:42:ALA:O	A:46:LEU:HB2	0.419
128	A:126:TRP:HB3	A:153:PHE:HD1	0.417
128	A:103:VAL:HG22	A:111:VAL:CG2	0.416
128	A:139:TYR:HE1	A:150:ILE:CD1	0.416
128	A:7:LEU:HB3	A:13:LEU:HD11	0.410
128	A:127:ASP:OD1	A:154:ARG:HG2	0.410
128	A:102:MET:O	A:106:MET:HE3	0.407
128	A:6:MET:HE1	A:97:ALA:C	0.405
128	A:4:PHE:CE2	A:13:LEU:HD23	0.404
128	A:6:MET:HG3	A:161:TYR:HE2	0.403
129	A:17:ILE:HD12	A:43:LYS:HD3	1.122
129	A:130:ALA:HB1	A:150:ILE:HG23	1.056
129	A:27:ILE:CG2	A:33:LEU:HD12	0.870
129	A:16:LYS:HG2	A:57:VAL:HG22	0.866

Model ID	Atom-1	Atom-2	Clash overlap (Å)
129	A:58:ILE:HD12	A:63:ALA:CB	0.862
129	A:17:ILE:CD1	A:43:LYS:HD3	0.853
129	A:106:MET:SD	A:114:PHE:HE1	0.823
129	A:6:MET:HG3	A:161:TYR:CE2	0.800
129	A:87:VAL:HG11	A:118:LEU:HD23	0.792
129	A:142:THR:HG21	A:145:ARG:HB2	0.774
129	A:16:LYS:CG	A:57:VAL:HG22	0.762
129	A:58:ILE:HD12	A:63:ALA:HB2	0.757
129	A:81:ASN:HB3	A:84:LEU:HB2	0.756
129	A:6:MET:CE	A:97:ALA:HB1	0.744
129	A:17:ILE:HD12	A:43:LYS:CD	0.739
129	A:27:ILE:HG23	A:33:LEU:HD12	0.726
129	A:87:VAL:CG1	A:118:LEU:HD23	0.717
129	A:3:ILE:SG	A:97:ALA:SG	0.710
129	A:106:MET:SD	A:114:PHE:CE1	0.694
129	A:15:LEU:HD11	A:29:ILE:HG13	0.688
129	A:142:THR:CG2	A:145:ARG:HB2	0.685
129	A:103:VAL:HG22	A:111:VAL:HG21	0.682
129	A:27:ILE:HG13	A:31:HIS:HB3	0.678
129	A:17:ILE:CG1	A:27:ILE:HG22	0.674
129	A:17:ILE:HG12	A:27:ILE:HG22	0.672
129	A:27:ILE:CG1	A:31:HIS:HB3	0.667
129	A:10:ASP:HB3	A:145:ARG:HG3	0.643

Model ID	Atom-1	Atom-2	Clash overlap (Å)
129	A:6:MET:SD	A:158:TRP:HZ3	0.639
129	A:6:MET:HE2	A:97:ALA:HB1	0.637
129	A:15:LEU:HB3	A:58:ILE:HG13	0.628
129	A:17:ILE:HG12	A:27:ILE:CG2	0.614
129	A:27:ILE:HG21	A:33:LEU:HD12	0.610
129	A:19:LYS:HB3	A:25:TYR:CE1	0.609
129	A:114:PHE:HB3	A:117:SER:HB2	0.600
129	A:139:TYR:HE1	A:150:ILE:HD12	0.598
129	A:10:ASP:HB3	A:145:ARG:CG	0.579
129	A:130:ALA:CB	A:150:ILE:HG23	0.578
129	A:98:ALA:HB1	A:153:PHE:CZ	0.577
129	A:142:THR:HG22	A:145:ARG:H	0.574
129	A:121:LEU:HD22	A:126:TRP:HE3	0.556
129	A:25:TYR:CE1	A:39:LEU:HD13	0.555
129	A:1:MET:HE1	A:158:TRP:CE3	0.550
129	A:133:LEU:HB3	A:138:TRP:HZ3	0.547
129	A:102:MET:HB3	A:106:MET:HE3	0.540
129	A:7:LEU:HG	A:104:PHE:HE2	0.539
129	A:58:ILE:HD12	A:63:ALA:HB1	0.522
129	A:148:ARG:HB3	A:161:TYR:CE1	0.515
129	A:39:LEU:HD11	A:43:LYS:HE3	0.511
129	A:6:MET:HE1	A:97:ALA:C	0.502
129	A:6:MET:HE1	A:97:ALA:HB1	0.501

Model ID	Atom-1	Atom-2	Clash overlap (Å)
129	A:94:VAL:HG13	A:158:TRP:CZ2	0.496
129	A:106:MET:HE2	A:138:TRP:CG	0.496
129	A:124:LYS:HG3	A:126:TRP:CZ2	0.491
129	A:27:ILE:HD13	A:33:LEU:HD23	0.490
129	A:46:LEU:O	A:50:ILE:HD12	0.490
129	A:95:ARG:HD3	A:126:TRP:CD2	0.489
129	A:6:MET:HE1	A:97:ALA:O	0.479
129	A:151:THR:HG21	A:160:ALA:HB2	0.478
129	A:25:TYR:CD1	A:39:LEU:HD13	0.472
129	A:1:MET:CE	A:158:TRP:CE3	0.469
129	A:1:MET:CG	A:5:GLU:HB3	0.466
129	A:91:LEU:HD21	A:126:TRP:HZ3	0.466
129	A:6:MET:SD	A:158:TRP:CZ3	0.466
129	A:42:ALA:O	A:46:LEU:HB2	0.456
129	A:139:TYR:O	A:143:PRO:HD3	0.456
129	A:16:LYS:HG3	A:57:VAL:HA	0.447
129	A:106:MET:HE2	A:138:TRP:CD1	0.445
129	A:81:ASN:CB	A:84:LEU:HB2	0.443
129	A:50:ILE:HG22	A:52:ARG:N	0.441
129	A:8:ARG:HH11	A:13:LEU:HB3	0.439
129	A:1:MET:HE2	A:5:GLU:OE1	0.436
129	A:6:MET:HG3	A:161:TYR:CZ	0.436
129	A:4:PHE:CE1	A:29:ILE:HG21	0.432

Model ID	Atom-1	Atom-2	Clash overlap (Å)
129	A:111:VAL:HA	A:114:PHE:CD1	0.431
129	A:97:ALA:HB3	A:158:TRP:HH2	0.430
129	A:25:TYR:HB2	A:34:THR:CG2	0.428
129	A:55:ASN:O	A:57:VAL:HG23	0.427
129	A:145:ARG:O	A:149:VAL:HG23	0.426
129	A:50:ILE:HG22	A:52:ARG:H	0.425
129	A:1:MET:HG2	A:5:GLU:CB	0.423
129	A:87:VAL:HG13	A:118:LEU:HD23	0.423
129	A:95:ARG:HD3	A:126:TRP:CE2	0.422
129	A:80:ARG:HB2	A:80:ARG:HE	0.422
129	A:139:TYR:CE1	A:150:ILE:HD12	0.420
129	A:34:THR:HG21	A:42:ALA:CB	0.419
129	A:7:LEU:C	A:13:LEU:HD13	0.416
129	A:95:ARG:HD3	A:126:TRP:CE3	0.415
129	A:98:ALA:O	A:102:MET:HG3	0.412
129	A:7:LEU:CD2	A:11:GLU:HB2	0.411
129	A:33:LEU:HG	A:46:LEU:HG	0.410
129	A:66:LEU:O	A:66:LEU:HD13	0.406
129	A:59:THR:OG1	A:62:GLU:HB3	0.405
129	A:79:LEU:HD23	A:81:ASN:HB2	0.401
129	A:149:VAL:HG12	A:153:PHE:CE2	0.401
130	A:17:ILE:HD12	A:43:LYS:HD3	1.075
130	A:16:LYS:HG2	A:57:VAL:HG22	1.035

Model ID	Atom-1	Atom-2	Clash overlap (Å)
130	A:130:ALA:HB1	A:150:ILE:HG23	0.985
130	A:124:LYS:HG3	A:126:TRP:CZ2	0.959
130	A:106:MET:SD	A:114:PHE:HE1	0.853
130	A:16:LYS:CG	A:57:VAL:HG22	0.828
130	A:58:ILE:HD12	A:63:ALA:CB	0.827
130	A:151:THR:HG21	A:160:ALA:HB2	0.827
130	A:27:ILE:CG2	A:33:LEU:HD12	0.807
130	A:17:ILE:CD1	A:43:LYS:HD3	0.799
130	A:27:ILE:HG21	A:33:LEU:HD12	0.792
130	A:130:ALA:CB	A:150:ILE:HG23	0.783
130	A:13:LEU:HG	A:29:ILE:HG23	0.717
130	A:130:ALA:HB1	A:150:ILE:CG2	0.716
130	A:106:MET:SD	A:114:PHE:CE1	0.715
130	A:7:LEU:HD22	A:11:GLU:HB2	0.710
130	A:87:VAL:HG21	A:118:LEU:HD11	0.709
130	A:3:ILE:SG	A:97:ALA:SG	0.701
130	A:17:ILE:HD12	A:43:LYS:CD	0.695
130	A:58:ILE:HD12	A:63:ALA:HB2	0.676
130	A:114:PHE:HB3	A:117:SER:HB2	0.675
130	A:148:ARG:HB3	A:161:TYR:CE1	0.668
130	A:142:THR:HG21	A:145:ARG:HB2	0.660
130	A:58:ILE:HD12	A:63:ALA:HB1	0.648
130	A:19:LYS:HB3	A:25:TYR:CE1	0.629

Model ID	Atom-1	Atom-2	Clash overlap (Å)
130	A:79:LEU:HD21	A:85:LYS:HD3	0.626
130	A:27:ILE:HG13	A:31:HIS:HB3	0.613
130	A:27:ILE:HD13	A:33:LEU:HD23	0.610
130	A:1:MET:HG2	A:5:GLU:HB2	0.608
130	A:25:TYR:CE1	A:39:LEU:HD13	0.604
130	A:6:MET:SD	A:158:TRP:HZ3	0.602
130	A:139:TYR:HE1	A:150:ILE:CD1	0.594
130	A:142:THR:CG2	A:145:ARG:HB2	0.589
130	A:16:LYS:HG2	A:57:VAL:CG2	0.584
130	A:151:THR:HG21	A:160:ALA:CB	0.537
130	A:27:ILE:HG23	A:33:LEU:HD12	0.533
130	A:139:TYR:HE1	A:150:ILE:HD12	0.531
130	A:4:PHE:CE1	A:29:ILE:HG21	0.524
130	A:133:LEU:HB3	A:138:TRP:HZ3	0.517
130	A:46:LEU:O	A:50:ILE:HD12	0.515
130	A:1:MET:SD	A:6:MET:HB2	0.509
130	A:50:ILE:HG22	A:52:ARG:HB2	0.503
130	A:150:ILE:HA	A:153:PHE:HD2	0.500
130	A:102:MET:O	A:106:MET:HG2	0.493
130	A:6:MET:HG3	A:161:TYR:CE2	0.492
130	A:4:PHE:CE1	A:29:ILE:HD13	0.490
130	A:116:ASN:HB3	A:120:MET:HE1	0.488
130	A:1:MET:CG	A:5:GLU:HB2	0.486

Model ID	Atom-1	Atom-2	Clash overlap (Å)
130	A:17:ILE:HG13	A:27:ILE:HG22	0.484
130	A:8:ARG:HA	A:13:LEU:HD13	0.481
130	A:121:LEU:O	A:124:LYS:HD2	0.480
130	A:81:ASN:HB2	A:84:LEU:HB2	0.478
130	A:50:ILE:HG22	A:52:ARG:H	0.476
130	A:1:MET:HE1	A:158:TRP:CE3	0.473
130	A:17:ILE:CG1	A:27:ILE:HG22	0.473
130	A:25:TYR:CD1	A:39:LEU:HD13	0.473
130	A:24:TYR:HB3	A:32:LEU:HD11	0.472
130	A:9:ILE:HD13	A:161:TYR:HB3	0.471
130	A:26:THR:HG23	A:31:HIS:C	0.469
130	A:59:THR:OG1	A:62:GLU:HB3	0.466
130	A:15:LEU:HB3	A:58:ILE:HG13	0.464
130	A:15:LEU:HG	A:28:GLY:HA2	0.464
130	A:81:ASN:CB	A:84:LEU:HB2	0.464
130	A:92:ASP:OD2	A:95:ARG:HD3	0.463
130	A:15:LEU:HD23	A:63:ALA:CB	0.462
130	A:98:ALA:HB1	A:153:PHE:CZ	0.462
130	A:15:LEU:HD11	A:29:ILE:HG13	0.459
130	A:32:LEU:HG	A:105:GLN:O	0.459
130	A:82:ALA:O	A:86:PRO:HD2	0.450
130	A:75:VAL:O	A:79:LEU:HD13	0.449
130	A:84:LEU:O	A:88:TYR:HB2	0.446

Model ID	Atom-1	Atom-2	Clash overlap (Å)
130	A:17:ILE:HG12	A:27:ILE:CG2	0.443
130	A:91:LEU:HB3	A:96:ARG:HG3	0.442
130	A:148:ARG:HD2	A:161:TYR:HD1	0.442
130	A:50:ILE:HG22	A:52:ARG:N	0.437
130	A:27:ILE:HG12	A:33:LEU:HB2	0.436
130	A:5:GLU:O	A:8:ARG:HB3	0.435
130	A:16:LYS:HA	A:56:GLY:O	0.429
130	A:148:ARG:CB	A:161:TYR:CE1	0.429
130	A:50:ILE:CG2	A:52:ARG:HB2	0.428
130	A:60:LYS:O	A:64:GLU:HB2	0.427
130	A:10:ASP:HB3	A:145:ARG:HG3	0.423
130	A:133:LEU:HA	A:133:LEU:HD23	0.423
130	A:119:ARG:O	A:122:GLN:HB2	0.422
130	A:106:MET:SD	A:110:GLY:HA3	0.421
130	A:4:PHE:CE2	A:13:LEU:HD23	0.420
130	A:17:ILE:HG12	A:27:ILE:HG23	0.418
130	A:148:ARG:CB	A:161:TYR:HE1	0.414
130	A:158:TRP:HE3	A:161:TYR:HE2	0.413
130	A:42:ALA:O	A:46:LEU:HB2	0.405
130	A:10:ASP:HB3	A:145:ARG:CG	0.404
130	A:22:GLU:HB3	A:24:TYR:CE2	0.404
131	A:17:ILE:HD12	A:43:LYS:HD3	1.107
131	A:16:LYS:HG2	A:57:VAL:HG22	1.099

Model ID	Atom-1	Atom-2	Clash overlap (Å)
131	A:10:ASP:HB3	A:145:ARG:HG2	1.038
131	A:25:TYR:HB2	A:34:THR:HG22	0.927
131	A:27:ILE:HG13	A:31:HIS:HB3	0.920
131	A:87:VAL:HG11	A:118:LEU:HD21	0.888
131	A:17:ILE:HG12	A:27:ILE:HG22	0.878
131	A:25:TYR:HB2	A:34:THR:CG2	0.856
131	A:87:VAL:CG1	A:118:LEU:HD21	0.852
131	A:17:ILE:CD1	A:43:LYS:HD3	0.830
131	A:17:ILE:CG1	A:27:ILE:HG22	0.793
131	A:16:LYS:CG	A:57:VAL:HG22	0.787
131	A:7:LEU:HD22	A:11:GLU:HB2	0.776
131	A:58:ILE:HD12	A:63:ALA:CB	0.775
131	A:17:ILE:HD12	A:43:LYS:CD	0.763
131	A:34:THR:HG21	A:42:ALA:HB1	0.741
131	A:130:ALA:HB1	A:150:ILE:HG23	0.735
131	A:106:MET:SD	A:114:PHE:HE1	0.732
131	A:81:ASN:HB3	A:84:LEU:HB3	0.731
131	A:3:ILE:SG	A:97:ALA:SG	0.718
131	A:10:ASP:HB3	A:145:ARG:CG	0.694
131	A:106:MET:SD	A:114:PHE:CE1	0.693
131	A:130:ALA:CB	A:150:ILE:HG23	0.688
131	A:105:GLN:HE21	A:145:ARG:HH12	0.682
131	A:27:ILE:CG2	A:33:LEU:HD12	0.671

Model ID	Atom-1	Atom-2	Clash overlap (Å)
131	A:137:ARG:HD2	A:140:ASN:HD21	0.657
131	A:27:ILE:CG1	A:31:HIS:HB3	0.654
131	A:97:ALA:HA	A:100:ILE:HD12	0.654
131	A:79:LEU:HD21	A:84:LEU:HD12	0.645
131	A:34:THR:HG21	A:42:ALA:CB	0.641
131	A:17:ILE:CG2	A:25:TYR:HD1	0.623
131	A:6:MET:SD	A:158:TRP:CH2	0.621
131	A:7:LEU:HB3	A:13:LEU:HD11	0.620
131	A:17:ILE:HG12	A:27:ILE:CG2	0.617
131	A:124:LYS:HG2	A:126:TRP:CZ2	0.617
131	A:103:VAL:HG22	A:111:VAL:HG22	0.616
131	A:6:MET:SD	A:158:TRP:HH2	0.616
131	A:7:LEU:HD22	A:11:GLU:CB	0.615
131	A:39:LEU:HD11	A:43:LYS:HE3	0.615
131	A:17:ILE:HG22	A:25:TYR:HD1	0.605
131	A:27:ILE:HG23	A:33:LEU:HD12	0.593
131	A:91:LEU:HD21	A:126:TRP:HZ3	0.589
131	A:130:ALA:HB1	A:150:ILE:CG2	0.585
131	A:1:MET:HG2	A:5:GLU:CB	0.572
131	A:91:LEU:HD21	A:126:TRP:CZ3	0.561
131	A:1:MET:HG2	A:5:GLU:HB2	0.546
131	A:58:ILE:HD12	A:63:ALA:HB1	0.542
131	A:142:THR:HB	A:145:ARG:HB2	0.542

Model ID	Atom-1	Atom-2	Clash overlap (Å)
131	A:79:LEU:HD23	A:81:ASN:HB2	0.536
131	A:102:MET:HB3	A:106:MET:HE3	0.533
131	A:132:ASN:OD1	A:133:LEU:HD12	0.511
131	A:1:MET:HE1	A:158:TRP:CH2	0.502
131	A:46:LEU:O	A:50:ILE:HG12	0.499
131	A:25:TYR:CE1	A:39:LEU:HD13	0.498
131	A:19:LYS:HB3	A:25:TYR:CE1	0.497
131	A:6:MET:HG3	A:161:TYR:CE2	0.495
131	A:58:ILE:HD12	A:63:ALA:HB2	0.493
131	A:133:LEU:HB3	A:138:TRP:HZ3	0.488
131	A:14:ARG:HB3	A:18:TYR:HE1	0.484
131	A:106:MET:HE2	A:138:TRP:CG	0.480
131	A:133:LEU:HD22	A:138:TRP:CE3	0.479
131	A:1:MET:HG2	A:5:GLU:HB3	0.474
131	A:123:GLN:HB3	A:125:ARG:HG2	0.474
131	A:1:MET:HE1	A:158:TRP:CZ2	0.469
131	A:19:LYS:HB3	A:25:TYR:CZ	0.468
131	A:15:LEU:HB3	A:58:ILE:HG13	0.464
131	A:124:LYS:HG2	A:126:TRP:CH2	0.463
131	A:50:ILE:HG22	A:52:ARG:H	0.461
131	A:24:TYR:HD1	A:35:LYS:HA	0.459
131	A:19:LYS:HD2	A:25:TYR:OH	0.457
131	A:50:ILE:HG22	A:52:ARG:HB2	0.457

Model ID	Atom-1	Atom-2	Clash overlap (Å)
131	A:59:THR:OG1	A:62:GLU:HB3	0.457
131	A:39:LEU:HD21	A:43:LYS:HE3	0.456
131	A:42:ALA:O	A:46:LEU:HB2	0.453
131	A:36:SER:HB3	A:42:ALA:HB2	0.450
131	A:103:VAL:HG22	A:111:VAL:CG2	0.447
131	A:107:GLY:O	A:111:VAL:HG23	0.447
131	A:2:ASN:O	A:5:GLU:HB2	0.446
131	A:55:ASN:O	A:57:VAL:HG23	0.445
131	A:17:ILE:HG13	A:27:ILE:HG22	0.441
131	A:119:ARG:HH12	A:122:GLN:HB3	0.441
131	A:27:ILE:HG13	A:31:HIS:CB	0.437
131	A:1:MET:HE1	A:158:TRP:CE2	0.434
131	A:50:ILE:HG13	A:54:THR:SG	0.434
131	A:100:ILE:O	A:104:PHE:HB2	0.434
131	A:106:MET:HE2	A:138:TRP:CD1	0.431
131	A:114:PHE:CE2	A:133:LEU:HD21	0.427
131	A:81:ASN:HB3	A:84:LEU:CB	0.424
131	A:87:VAL:HG12	A:118:LEU:HD21	0.423
131	A:148:ARG:HA	A:151:THR:HB	0.422
131	A:97:ALA:O	A:100:ILE:HB	0.421
131	A:124:LYS:HE3	A:126:TRP:HZ2	0.418
131	A:50:ILE:HB	A:52:ARG:O	0.416
131	A:1:MET:SD	A:6:MET:HB2	0.414

Model ID	Atom-1	Atom-2	Clash overlap (Å)
131	A:17:ILE:HG13	A:56:GLY:HA3	0.413
131	A:24:TYR:HB3	A:32:LEU:HD11	0.413
131	A:1:MET:HE1	A:158:TRP:CZ3	0.411
131	A:15:LEU:HD23	A:63:ALA:HB1	0.411
131	A:102:MET:HG2	A:138:TRP:CZ2	0.410
131	A:158:TRP:HZ3	A:161:TYR:HE2	0.405
131	A:1:MET:CG	A:5:GLU:HB3	0.400
132	A:130:ALA:HB1	A:150:ILE:HG23	0.958
132	A:16:LYS:HG2	A:57:VAL:HG22	0.942
132	A:33:LEU:HD11	A:46:LEU:HG	0.924
132	A:27:ILE:CG2	A:33:LEU:HD12	0.843
132	A:6:MET:CE	A:97:ALA:HB1	0.841
132	A:6:MET:HG3	A:161:TYR:CE2	0.838
132	A:58:ILE:HD12	A:63:ALA:CB	0.830
132	A:139:TYR:CE1	A:150:ILE:HD12	0.816
132	A:103:VAL:HG22	A:111:VAL:CG2	0.791
132	A:139:TYR:HE1	A:150:ILE:HD12	0.783
132	A:6:MET:SD	A:158:TRP:HZ3	0.775
132	A:106:MET:SD	A:114:PHE:HE1	0.763
132	A:7:LEU:HD22	A:11:GLU:HB2	0.751
132	A:13:LEU:HG	A:29:ILE:CG2	0.750
132	A:103:VAL:HG22	A:111:VAL:HG22	0.749
132	A:27:ILE:HG13	A:31:HIS:HB3	0.734

Model ID	Atom-1	Atom-2	Clash overlap (Å)
132	A:19:LYS:HB3	A:25:TYR:CE1	0.730
132	A:27:ILE:HG21	A:33:LEU:HD12	0.730
132	A:27:ILE:HG12	A:33:LEU:HB2	0.728
132	A:130:ALA:CB	A:150:ILE:HG23	0.727
132	A:16:LYS:HG2	A:57:VAL:CG2	0.724
132	A:124:LYS:HG2	A:126:TRP:CZ2	0.716
132	A:3:ILE:SG	A:97:ALA:SG	0.711
132	A:6:MET:SD	A:158:TRP:CZ3	0.701
132	A:50:ILE:HG22	A:52:ARG:H	0.699
132	A:133:LEU:HB3	A:138:TRP:HZ3	0.694
132	A:58:ILE:HD12	A:63:ALA:HB2	0.682
132	A:13:LEU:HG	A:29:ILE:HG22	0.674
132	A:6:MET:HE2	A:97:ALA:HB1	0.673
132	A:87:VAL:HG11	A:118:LEU:HD21	0.666
132	A:27:ILE:HG23	A:33:LEU:HD12	0.664
132	A:130:ALA:HB1	A:150:ILE:CG2	0.659
132	A:97:ALA:HB3	A:158:TRP:HH2	0.658
132	A:106:MET:SD	A:114:PHE:CE1	0.658
132	A:16:LYS:CG	A:57:VAL:HG22	0.648
132	A:7:LEU:CD2	A:11:GLU:HB2	0.628
132	A:10:ASP:HB3	A:145:ARG:HG2	0.625
132	A:97:ALA:CB	A:158:TRP:HH2	0.606
132	A:103:VAL:HG22	A:111:VAL:HG21	0.606

Model ID	Atom-1	Atom-2	Clash overlap (Å)
132	A:17:ILE:HD12	A:43:LYS:HD2	0.595
132	A:114:PHE:CE2	A:133:LEU:HD21	0.594
132	A:6:MET:HE1	A:97:ALA:HB1	0.585
132	A:103:VAL:HG13	A:111:VAL:HG21	0.583
132	A:27:ILE:HD13	A:33:LEU:HD23	0.574
132	A:17:ILE:HG12	A:27:ILE:CG2	0.572
132	A:33:LEU:HD21	A:46:LEU:HD11	0.571
132	A:33:LEU:HD11	A:46:LEU:CG	0.555
132	A:1:MET:HE1	A:158:TRP:CE3	0.553
132	A:1:MET:HG2	A:5:GLU:HB2	0.551
132	A:97:ALA:HB3	A:158:TRP:CH2	0.539
132	A:98:ALA:HB1	A:153:PHE:CE2	0.536
132	A:95:ARG:HD3	A:126:TRP:CE2	0.535
132	A:124:LYS:CG	A:126:TRP:CZ2	0.531
132	A:94:VAL:HG22	A:158:TRP:HE1	0.528
132	A:33:LEU:CD1	A:46:LEU:HG	0.523
132	A:2:ASN:O	A:5:GLU:HB2	0.519
132	A:1:MET:HG2	A:5:GLU:CB	0.515
132	A:25:TYR:CZ	A:39:LEU:HB2	0.514
132	A:25:TYR:CD1	A:39:LEU:HD13	0.511
132	A:46:LEU:O	A:50:ILE:HD12	0.505
132	A:67:PHE:CE2	A:71:VAL:HG21	0.505
132	A:98:ALA:HB1	A:153:PHE:CZ	0.505

Model ID	Atom-1	Atom-2	Clash overlap (Å)
132	A:142:THR:CG2	A:145:ARG:HB2	0.503
132	A:17:ILE:HG12	A:27:ILE:HG23	0.499
132	A:139:TYR:CE1	A:150:ILE:CD1	0.487
132	A:50:ILE:HG22	A:52:ARG:HB2	0.483
132	A:6:MET:HE1	A:97:ALA:C	0.481
132	A:17:ILE:CG1	A:27:ILE:HG22	0.478
132	A:102:MET:HE1	A:133:LEU:HG	0.476
132	A:66:LEU:O	A:70:ASP:HB2	0.475
132	A:114:PHE:CE2	A:133:LEU:CD2	0.475
132	A:6:MET:HE1	A:97:ALA:O	0.474
132	A:10:ASP:HB3	A:145:ARG:CG	0.465
132	A:42:ALA:O	A:46:LEU:HB2	0.465
132	A:79:LEU:HD21	A:84:LEU:HD12	0.460
132	A:25:TYR:CE1	A:39:LEU:HD13	0.459
132	A:59:THR:OG1	A:62:GLU:HB3	0.458
132	A:132:ASN:OD1	A:133:LEU:HD12	0.458
132	A:4:PHE:CZ	A:29:ILE:HG21	0.454
132	A:17:ILE:HG12	A:27:ILE:HG22	0.453
132	A:50:ILE:HG21	A:54:THR:SG	0.453
132	A:25:TYR:CE1	A:39:LEU:HB2	0.450
132	A:98:ALA:O	A:102:MET:HG3	0.449
132	A:150:ILE:HA	A:153:PHE:HB2	0.447
132	A:117:SER:O	A:121:LEU:HG	0.446

Model ID	Atom-1	Atom-2	Clash overlap (Å)
132	A:81:ASN:HB3	A:84:LEU:HB2	0.445
132	A:87:VAL:HG11	A:118:LEU:CD2	0.441
132	A:73:ALA:HA	A:76:ARG:HG2	0.434
132	A:92:ASP:O	A:96:ARG:HB2	0.433
132	A:7:LEU:HD22	A:11:GLU:CB	0.432
132	A:144:ASN:HB3	A:148:ARG:NH1	0.430
132	A:16:LYS:HA	A:56:GLY:C	0.428
132	A:81:ASN:HB3	A:84:LEU:H	0.427
132	A:95:ARG:HD3	A:126:TRP:CZ2	0.427
132	A:16:LYS:HA	A:56:GLY:O	0.425
132	A:94:VAL:HA	A:158:TRP:CZ2	0.420
132	A:94:VAL:HG22	A:158:TRP:NE1	0.420
132	A:95:ARG:HG2	A:126:TRP:CD2	0.420
132	A:116:ASN:HB3	A:120:MET:HE1	0.420
132	A:15:LEU:HD23	A:58:ILE:HG13	0.418
132	A:11:GLU:OE1	A:104:PHE:HB3	0.416
132	A:33:LEU:HD21	A:46:LEU:HD21	0.412
132	A:22:GLU:OE1	A:141:GLN:HG2	0.408
132	A:95:ARG:HG2	A:126:TRP:CG	0.401
132	A:94:VAL:HA	A:158:TRP:HZ2	0.400
133	A:103:VAL:HG22	A:111:VAL:HG21	1.074
133	A:1:MET:HG3	A:5:GLU:HB2	0.999
133	A:3:ILE:SG	A:100:ILE:HD13	0.907

Model ID	Atom-1	Atom-2	Clash overlap (Å)
133	A:14:ARG:HB3	A:18:TYR:CE1	0.875
133	A:103:VAL:HG22	A:111:VAL:CG2	0.873
133	A:124:LYS:HG2	A:126:TRP:CZ2	0.839
133	A:50:ILE:HG21	A:54:THR:SG	0.804
133	A:6:MET:HG3	A:161:TYR:CE2	0.800
133	A:124:LYS:HG2	A:126:TRP:HZ2	0.786
133	A:139:TYR:HD1	A:146:ALA:HB1	0.771
133	A:17:ILE:HG22	A:25:TYR:CD1	0.750
133	A:102:MET:HE3	A:138:TRP:CZ3	0.725
133	A:29:ILE:HD12	A:67:PHE:CG	0.703
133	A:78:ILE:HD11	A:84:LEU:HD22	0.692
133	A:1:MET:HE3	A:6:MET:HB2	0.688
133	A:7:LEU:HA	A:10:ASP:HB2	0.680
133	A:3:ILE:SG	A:97:ALA:SG	0.680
133	A:25:TYR:HB2	A:34:THR:HG22	0.654
133	A:14:ARG:HB3	A:18:TYR:HE1	0.643
133	A:19:LYS:HG3	A:25:TYR:CZ	0.632
133	A:16:LYS:HG3	A:57:VAL:HG13	0.618
133	A:1:MET:HG3	A:5:GLU:CB	0.613
133	A:97:ALA:HA	A:100:ILE:HD12	0.610
133	A:116:ASN:HA	A:119:ARG:HB2	0.596
133	A:79:LEU:HD23	A:85:LYS:HG3	0.577
133	A:114:PHE:HB3	A:117:SER:HB2	0.564

Model ID	Atom-1	Atom-2	Clash overlap (Å)
133	A:33:LEU:HD21	A:46:LEU:HD12	0.557
133	A:102:MET:HE1	A:133:LEU:HB3	0.551
133	A:24:TYR:HE1	A:35:LYS:HE3	0.536
133	A:17:ILE:HG22	A:25:TYR:HD1	0.533
133	A:3:ILE:SG	A:100:ILE:HG21	0.530
133	A:7:LEU:HG	A:104:PHE:CE1	0.523
133	A:106:MET:HE2	A:138:TRP:CG	0.523
133	A:59:THR:H	A:62:GLU:HB2	0.521
133	A:79:LEU:HD22	A:85:LYS:HZ2	0.519
133	A:6:MET:HE2	A:101:ASN:HD22	0.518
133	A:94:VAL:HG22	A:158:TRP:CD1	0.507
133	A:102:MET:HE1	A:133:LEU:HG	0.504
133	A:127:ASP:O	A:131:VAL:HG23	0.499
133	A:118:LEU:HD13	A:121:LEU:HD12	0.492
133	A:12:GLY:O	A:13:LEU:HD12	0.491
133	A:1:MET:CE	A:158:TRP:CZ3	0.484
133	A:139:TYR:CD1	A:146:ALA:HB1	0.484
133	A:50:ILE:HD13	A:54:THR:SG	0.481
133	A:98:ALA:HB3	A:153:PHE:CE1	0.481
133	A:3:ILE:SG	A:100:ILE:CD1	0.481
133	A:102:MET:HE1	A:133:LEU:CG	0.480
133	A:1:MET:CG	A:5:GLU:HB2	0.471
133	A:29:ILE:HB	A:67:PHE:CD1	0.467

Model ID	Atom-1	Atom-2	Clash overlap (Å)
133	A:7:LEU:HB3	A:29:ILE:HG21	0.465
133	A:139:TYR:HD1	A:146:ALA:CB	0.461
133	A:29:ILE:HB	A:67:PHE:CE1	0.458
133	A:88:TYR:OH	A:100:ILE:HD11	0.456
133	A:102:MET:HE3	A:138:TRP:CH2	0.449
133	A:93:ALA:HA	A:96:ARG:HB2	0.448
133	A:14:ARG:CB	A:18:TYR:CE1	0.447
133	A:58:ILE:HB	A:62:GLU:HB3	0.447
133	A:79:LEU:HD23	A:85:LYS:CG	0.442
133	A:2:ASN:CG	A:5:GLU:HG2	0.441
133	A:150:ILE:HG22	A:154:ARG:HD2	0.436
133	A:12:GLY:C	A:13:LEU:HD12	0.433
133	A:24:TYR:HA	A:34:THR:O	0.430
133	A:32:LEU:HA	A:32:LEU:HD12	0.430
133	A:97:ALA:O	A:100:ILE:HB	0.428
133	A:139:TYR:CD1	A:146:ALA:CB	0.428
133	A:81:ASN:HB3	A:84:LEU:HB2	0.427
133	A:114:PHE:O	A:117:SER:HB2	0.425
133	A:4:PHE:O	A:8:ARG:HB2	0.420
133	A:87:VAL:HG13	A:122:GLN:OE1	0.418
133	A:94:VAL:HG22	A:158:TRP:HD1	0.417
133	A:38:SER:HB3	A:41:ALA:HB3	0.415
133	A:7:LEU:HD12	A:29:ILE:HG22	0.414

Model ID	Atom-1	Atom-2	Clash overlap (Å)
133	A:117:SER:O	A:121:LEU:HD23	0.414
133	A:79:LEU:CD2	A:85:LYS:HG3	0.410
133	A:2:ASN:OD1	A:5:GLU:HG2	0.409
133	A:29:ILE:HD12	A:67:PHE:CD2	0.409
133	A:19:LYS:HG3	A:25:TYR:CE2	0.407
133	A:78:ILE:HG21	A:88:TYR:CE2	0.407
133	A:99:LEU:O	A:103:VAL:HG23	0.407
133	A:98:ALA:CB	A:153:PHE:CE1	0.405
133	A:81:ASN:CG	A:84:LEU:HB2	0.403
133	A:19:LYS:HG3	A:25:TYR:CE1	0.401
134	A:17:ILE:HD12	A:43:LYS:HD3	1.132
134	A:130:ALA:HB1	A:150:ILE:HG23	1.034
134	A:87:VAL:HG11	A:118:LEU:HD21	1.016
134	A:27:ILE:HG13	A:31:HIS:HB3	1.011
134	A:7:LEU:HD22	A:11:GLU:HB2	0.988
134	A:27:ILE:HG23	A:33:LEU:HD12	0.977
134	A:106:MET:SD	A:114:PHE:HE1	0.887
134	A:16:LYS:CG	A:57:VAL:HG22	0.859
134	A:17:ILE:HG22	A:25:TYR:HD1	0.851
134	A:142:THR:CG2	A:145:ARG:HB2	0.848
134	A:1:MET:HG2	A:5:GLU:HB3	0.827
134	A:16:LYS:HG3	A:57:VAL:HG22	0.827
134	A:27:ILE:CG2	A:33:LEU:HD12	0.826

Model ID	Atom-1	Atom-2	Clash overlap (Å)
134	A:130:ALA:HB1	A:150:ILE:CG2	0.814
134	A:17:ILE:CD1	A:43:LYS:HD3	0.813
134	A:17:ILE:HD12	A:43:LYS:CD	0.789
134	A:27:ILE:CG1	A:31:HIS:HB3	0.749
134	A:106:MET:SD	A:114:PHE:CE1	0.716
134	A:3:ILE:SG	A:97:ALA:SG	0.713
134	A:79:LEU:HD22	A:85:LYS:HD3	0.711
134	A:17:ILE:CG2	A:25:TYR:HD1	0.710
134	A:121:LEU:HD21	A:129:ALA:HB2	0.703
134	A:142:THR:HG21	A:145:ARG:HB2	0.703
134	A:15:LEU:HD11	A:29:ILE:HG13	0.702
134	A:1:MET:HG2	A:5:GLU:CB	0.695
134	A:87:VAL:CG1	A:118:LEU:HD21	0.684
134	A:13:LEU:HG	A:29:ILE:HG12	0.680
134	A:17:ILE:HG22	A:25:TYR:CD1	0.659
134	A:91:LEU:HD21	A:126:TRP:CZ3	0.646
134	A:19:LYS:HB3	A:25:TYR:CZ	0.634
134	A:133:LEU:HB3	A:138:TRP:HZ3	0.628
134	A:16:LYS:HG2	A:57:VAL:HG22	0.619
134	A:114:PHE:CE2	A:133:LEU:HD21	0.607
134	A:142:THR:HG21	A:145:ARG:HD3	0.606
134	A:97:ALA:HA	A:100:ILE:HD12	0.603
134	A:17:ILE:HG12	A:27:ILE:CG2	0.599

Model ID	Atom-1	Atom-2	Clash overlap (Å)
134	A:93:ALA:HA	A:96:ARG:HB2	0.587
134	A:17:ILE:CG1	A:27:ILE:HG22	0.586
134	A:17:ILE:HG12	A:27:ILE:HG22	0.583
134	A:6:MET:SD	A:158:TRP:CH2	0.582
134	A:10:ASP:HB3	A:145:ARG:HG2	0.578
134	A:6:MET:SD	A:158:TRP:HH2	0.576
134	A:25:TYR:CZ	A:39:LEU:HB2	0.559
134	A:34:THR:HG21	A:42:ALA:CB	0.557
134	A:142:THR:HG22	A:145:ARG:HB2	0.551
134	A:29:ILE:HD12	A:67:PHE:CD1	0.549
134	A:15:LEU:CD2	A:63:ALA:HB1	0.548
134	A:130:ALA:CB	A:150:ILE:HG23	0.544
134	A:15:LEU:HD23	A:63:ALA:CB	0.535
134	A:15:LEU:HB3	A:58:ILE:HG13	0.527
134	A:24:TYR:CD2	A:32:LEU:HD11	0.523
134	A:15:LEU:HD11	A:29:ILE:CG1	0.519
134	A:4:PHE:CZ	A:13:LEU:HD21	0.517
134	A:106:MET:HE2	A:138:TRP:CG	0.509
134	A:127:ASP:O	A:131:VAL:HG23	0.507
134	A:132:ASN:OD1	A:133:LEU:HD12	0.507
134	A:11:GLU:HG2	A:29:ILE:HG22	0.502
134	A:150:ILE:HA	A:153:PHE:HD2	0.496
134	A:123:GLN:HG3	A:125:ARG:HE	0.495

Model ID	Atom-1	Atom-2	Clash overlap (Å)
134	A:98:ALA:O	A:102:MET:HG3	0.491
134	A:120:MET:O	A:123:GLN:HB3	0.490
134	A:58:ILE:HD12	A:63:ALA:CB	0.489
134	A:50:ILE:HG22	A:52:ARG:H	0.488
134	A:91:LEU:HD21	A:126:TRP:HZ3	0.486
134	A:33:LEU:HG	A:46:LEU:HG	0.485
134	A:50:ILE:HG22	A:52:ARG:HB2	0.485
134	A:1:MET:HE1	A:158:TRP:CH2	0.484
134	A:105:GLN:HB3	A:138:TRP:HD1	0.484
134	A:97:ALA:HA	A:100:ILE:HB	0.481
134	A:24:TYR:HB2	A:32:LEU:HD11	0.476
134	A:10:ASP:C	A:145:ARG:HD2	0.475
134	A:1:MET:CG	A:5:GLU:HB3	0.471
134	A:102:MET:O	A:106:MET:HE3	0.471
134	A:25:TYR:CD1	A:39:LEU:HD13	0.470
134	A:6:MET:HG3	A:161:TYR:CE2	0.468
134	A:39:LEU:HD11	A:43:LYS:HE3	0.468
134	A:121:LEU:C	A:124:LYS:H	0.466
134	A:142:THR:HG22	A:145:ARG:H	0.464
134	A:59:THR:OG1	A:62:GLU:HB3	0.461
134	A:105:GLN:HB3	A:138:TRP:CD1	0.461
134	A:17:ILE:CG2	A:25:TYR:CD1	0.459
134	A:1:MET:HA	A:5:GLU:HG3	0.456

Model ID	Atom-1	Atom-2	Clash overlap (Å)
134	A:27:ILE:HD11	A:31:HIS:HD2	0.456
134	A:34:THR:HG21	A:42:ALA:HB1	0.455
134	A:25:TYR:CE1	A:39:LEU:HD13	0.454
134	A:27:ILE:HG12	A:33:LEU:HD23	0.454
134	A:10:ASP:CB	A:145:ARG:HG2	0.453
134	A:24:TYR:CB	A:32:LEU:HD11	0.444
134	A:102:MET:C	A:106:MET:HE3	0.440
134	A:144:ASN:HB3	A:148:ARG:NH1	0.439
134	A:27:ILE:HD11	A:31:HIS:CD2	0.438
134	A:15:LEU:HD23	A:63:ALA:HB1	0.434
134	A:87:VAL:O	A:91:LEU:HD12	0.434
134	A:116:ASN:O	A:120:MET:HE2	0.433
134	A:139:TYR:HE1	A:150:ILE:HD12	0.429
134	A:2:ASN:O	A:5:GLU:HB2	0.426
134	A:15:LEU:HD23	A:63:ALA:HB2	0.424
134	A:116:ASN:HA	A:119:ARG:HB3	0.424
134	A:42:ALA:O	A:46:LEU:HB2	0.419
134	A:139:TYR:O	A:143:PRO:HD3	0.418
134	A:67:PHE:HZ	A:104:PHE:HZ	0.418
134	A:4:PHE:CE2	A:13:LEU:HD21	0.416
134	A:84:LEU:HD23	A:111:VAL:HG13	0.415
134	A:144:ASN:HB3	A:148:ARG:HH12	0.415
134	A:106:MET:HB3	A:106:MET:HE2	0.413

Model ID	Atom-1	Atom-2	Clash overlap (Å)
134	A:10:ASP:O	A:145:ARG:HD2	0.412
134	A:19:LYS:HB3	A:25:TYR:CE1	0.410
134	A:50:ILE:HG13	A:54:THR:SG	0.405
134	A:98:ALA:HB1	A:153:PHE:CZ	0.405
134	A:97:ALA:O	A:100:ILE:HB	0.402
134	A:55:ASN:O	A:57:VAL:HG23	0.400
135	A:1:MET:HE2	A:6:MET:HB2	0.884
135	A:102:MET:HE2	A:106:MET:HE1	0.774
135	A:79:LEU:CD2	A:85:LYS:HG3	0.723
135	A:124:LYS:HG2	A:126:TRP:CZ2	0.714
135	A:8:ARG:HG3	A:13:LEU:HD13	0.689
135	A:17:ILE:HD11	A:46:LEU:HG	0.688
135	A:1:MET:HG3	A:5:GLU:HB2	0.683
135	A:3:ILE:SG	A:97:ALA:SG	0.681
135	A:25:TYR:HB3	A:33:LEU:HD12	0.675
135	A:139:TYR:HD1	A:146:ALA:HB1	0.666
135	A:34:THR:HG21	A:41:ALA:HB3	0.653
135	A:102:MET:HE3	A:138:TRP:CZ3	0.649
135	A:97:ALA:HA	A:100:ILE:HD12	0.648
135	A:102:MET:HE1	A:133:LEU:HB3	0.639
135	A:14:ARG:HB2	A:18:TYR:HE1	0.638
135	A:1:MET:HG3	A:5:GLU:CB	0.631
135	A:103:VAL:HG22	A:111:VAL:CG2	0.618

Model ID	Atom-1	Atom-2	Clash overlap (Å)
135	A:79:LEU:HD23	A:85:LYS:HG3	0.616
135	A:14:ARG:HB2	A:18:TYR:CE1	0.614
135	A:79:LEU:HD22	A:85:LYS:HG3	0.580
135	A:25:TYR:CE2	A:39:LEU:HB2	0.570
135	A:50:ILE:HG21	A:54:THR:SG	0.567
135	A:139:TYR:CD1	A:146:ALA:HB1	0.563
135	A:33:LEU:HD13	A:42:ALA:C	0.551
135	A:148:ARG:HB3	A:161:TYR:CE1	0.549
135	A:16:LYS:HG2	A:57:VAL:HG22	0.542
135	A:124:LYS:HG2	A:126:TRP:CH2	0.542
135	A:33:LEU:HB3	A:42:ALA:HA	0.531
135	A:102:MET:CE	A:106:MET:HE1	0.529
135	A:106:MET:HE2	A:138:TRP:CG	0.526
135	A:78:ILE:HD11	A:84:LEU:HD22	0.514
135	A:4:PHE:CE1	A:29:ILE:CD1	0.513
135	A:25:TYR:C	A:33:LEU:HD23	0.507
135	A:75:VAL:HG13	A:79:LEU:HD12	0.505
135	A:58:ILE:HB	A:62:GLU:HB3	0.498
135	A:6:MET:HG3	A:161:TYR:CE2	0.494
135	A:52:ARG:HB3	A:54:THR:SG	0.492
135	A:14:ARG:HD3	A:18:TYR:CD1	0.488
135	A:17:ILE:CG2	A:25:TYR:HD1	0.488
135	A:94:VAL:HA	A:158:TRP:HE1	0.488

Model ID	Atom-1	Atom-2	Clash overlap (Å)
135	A:14:ARG:CB	A:18:TYR:CE1	0.480
135	A:6:MET:HB2	A:158:TRP:HZ3	0.470
135	A:1:MET:CG	A:5:GLU:HB2	0.467
135	A:101:ASN:O	A:104:PHE:HB2	0.467
135	A:33:LEU:HD13	A:42:ALA:O	0.466
135	A:27:ILE:HG21	A:46:LEU:HD11	0.464
135	A:127:ASP:O	A:131:VAL:HG23	0.458
135	A:116:ASN:O	A:120:MET:HG2	0.456
135	A:94:VAL:HG22	A:158:TRP:CD1	0.451
135	A:7:LEU:HB3	A:29:ILE:HG22	0.449
135	A:59:THR:OG1	A:62:GLU:HB2	0.443
135	A:162:LYS:HA	A:162:LYS:HD2	0.438
135	A:98:ALA:HB3	A:153:PHE:CE1	0.437
135	A:102:MET:HE3	A:138:TRP:CH2	0.437
135	A:114:PHE:CE2	A:133:LEU:HD23	0.436
135	A:67:PHE:O	A:71:VAL:HG23	0.433
135	A:97:ALA:O	A:100:ILE:HB	0.433
135	A:16:LYS:HA	A:56:GLY:O	0.425
135	A:102:MET:HE3	A:138:TRP:CE3	0.422
135	A:103:VAL:HG22	A:111:VAL:HG22	0.422
135	A:105:GLN:CD	A:138:TRP:HD1	0.420
135	A:4:PHE:CE1	A:29:ILE:HD13	0.418
135	A:3:ILE:SG	A:100:ILE:HD13	0.417

Model ID	Atom-1	Atom-2	Clash overlap (Å)
135	A:139:TYR:CE1	A:150:ILE:HD12	0.416
135	A:1:MET:HG3	A:5:GLU:HB3	0.412
135	A:39:LEU:HD23	A:40:ASN:N	0.409
135	A:29:ILE:HD13	A:67:PHE:CG	0.408
136	A:94:VAL:HG12	A:152:THR:HG23	1.004
136	A:124:LYS:HG2	A:126:TRP:CZ2	0.976
136	A:16:LYS:HG2	A:57:VAL:HG22	0.806
136	A:94:VAL:HG12	A:152:THR:CG2	0.795
136	A:124:LYS:HG2	A:126:TRP:HZ2	0.794
136	A:102:MET:HE1	A:133:LEU:HB3	0.751
136	A:1:MET:HE2	A:158:TRP:CZ3	0.715
136	A:94:VAL:CG1	A:152:THR:HG23	0.713
136	A:3:ILE:SG	A:97:ALA:SG	0.695
136	A:98:ALA:HB1	A:153:PHE:CE1	0.674
136	A:34:THR:HG21	A:41:ALA:HB3	0.673
136	A:1:MET:HG3	A:5:GLU:CB	0.667
136	A:27:ILE:HD11	A:58:ILE:HG12	0.650
136	A:118:LEU:HD13	A:121:LEU:HD12	0.647
136	A:102:MET:HE3	A:138:TRP:CZ3	0.629
136	A:1:MET:HG3	A:5:GLU:HB2	0.618
136	A:142:THR:HG22	A:145:ARG:HB3	0.614
136	A:148:ARG:HB3	A:161:TYR:CZ	0.609
136	A:25:TYR:HB3	A:33:LEU:HD12	0.606

Model ID	Atom-1	Atom-2	Clash overlap (Å)
136	A:78:ILE:HG22	A:79:LEU:HD12	0.600
136	A:83:LYS:HD3	A:84:LEU:HD12	0.591
136	A:102:MET:CE	A:133:LEU:HG	0.586
136	A:6:MET:HG3	A:161:TYR:CE2	0.584
136	A:33:LEU:HD13	A:42:ALA:C	0.583
136	A:24:TYR:HB3	A:32:LEU:HD21	0.580
136	A:17:ILE:HD11	A:46:LEU:HD22	0.579
136	A:114:PHE:CE2	A:133:LEU:HD21	0.570
136	A:97:ALA:HA	A:100:ILE:HD12	0.560
136	A:102:MET:HE1	A:133:LEU:CB	0.556
136	A:38:SER:HB2	A:40:ASN:HB2	0.545
136	A:94:VAL:HG22	A:158:TRP:CD1	0.544
136	A:79:LEU:CD2	A:85:LYS:HG3	0.542
136	A:32:LEU:HD22	A:34:THR:C	0.541
136	A:14:ARG:CB	A:18:TYR:CE1	0.533
136	A:67:PHE:CE2	A:71:VAL:CG2	0.530
136	A:148:ARG:HB3	A:161:TYR:CE1	0.525
136	A:17:ILE:CG2	A:25:TYR:HD1	0.512
136	A:115:THR:HA	A:118:LEU:HB2	0.512
136	A:102:MET:CE	A:133:LEU:HB3	0.510
136	A:98:ALA:HB1	A:153:PHE:HE1	0.506
136	A:29:ILE:HD13	A:67:PHE:CD2	0.505
136	A:14:ARG:HB3	A:18:TYR:CE1	0.504

Model ID	Atom-1	Atom-2	Clash overlap (Å)
136	A:142:THR:HG21	A:145:ARG:HD2	0.503
136	A:17:ILE:HG21	A:25:TYR:HD1	0.502
136	A:21:THR:HG21	A:142:THR:HG23	0.501
136	A:121:LEU:HG	A:126:TRP:CE3	0.492
136	A:120:MET:O	A:123:GLN:HB3	0.490
136	A:1:MET:CG	A:5:GLU:HB2	0.486
136	A:16:LYS:CG	A:57:VAL:HG22	0.485
136	A:6:MET:HE2	A:101:ASN:HD22	0.481
136	A:114:PHE:CZ	A:133:LEU:HD21	0.480
136	A:91:LEU:HD11	A:126:TRP:CH2	0.474
136	A:58:ILE:HD12	A:62:GLU:HB3	0.473
136	A:145:ARG:HA	A:148:ARG:HH21	0.473
136	A:39:LEU:HA	A:42:ALA:HB3	0.472
136	A:4:PHE:HE1	A:29:ILE:HD13	0.471
136	A:16:LYS:HG2	A:57:VAL:CG2	0.468
136	A:79:LEU:HD22	A:85:LYS:HG3	0.467
136	A:97:ALA:HA	A:100:ILE:HB	0.467
136	A:4:PHE:CE1	A:29:ILE:HD13	0.465
136	A:94:VAL:HG11	A:157:THR:C	0.465
136	A:94:VAL:HG11	A:157:THR:O	0.465
136	A:102:MET:HE3	A:138:TRP:CH2	0.456
136	A:139:TYR:CE1	A:150:ILE:HD12	0.454
136	A:79:LEU:HD22	A:85:LYS:HD2	0.451

Model ID	Atom-1	Atom-2	Clash overlap (Å)
136	A:6:MET:HB2	A:158:TRP:CZ3	0.439
136	A:33:LEU:HB3	A:42:ALA:HA	0.439
136	A:79:LEU:HD23	A:85:LYS:HG3	0.439
136	A:17:ILE:HD13	A:33:LEU:HD11	0.436
136	A:111:VAL:HA	A:114:PHE:HB2	0.436
136	A:1:MET:HG3	A:5:GLU:HB3	0.433
136	A:12:GLY:O	A:29:ILE:HA	0.427
136	A:83:LYS:HD3	A:84:LEU:CD1	0.426
136	A:102:MET:HE2	A:133:LEU:HG	0.426
136	A:67:PHE:O	A:70:ASP:HB3	0.425
136	A:93:ALA:HA	A:96:ARG:HB2	0.423
136	A:1:MET:CE	A:158:TRP:CZ3	0.420
136	A:7:LEU:HD11	A:104:PHE:CD1	0.413
136	A:25:TYR:O	A:33:LEU:HB2	0.412
136	A:116:ASN:C	A:120:MET:HE2	0.403
137	A:58:ILE:HD13	A:63:ALA:HB2	1.186
137	A:79:LEU:HD23	A:85:LYS:HG3	1.075
137	A:78:ILE:HD12	A:84:LEU:HD22	1.008
137	A:1:MET:HE2	A:158:TRP:CE3	0.871
137	A:58:ILE:CD1	A:63:ALA:HB2	0.853
137	A:78:ILE:CD1	A:84:LEU:HD22	0.829
137	A:124:LYS:HG2	A:126:TRP:CZ2	0.733
137	A:3:ILE:SG	A:97:ALA:SG	0.673

Model ID	Atom-1	Atom-2	Clash overlap (Å)
137	A:25:TYR:CE2	A:39:LEU:HB3	0.671
137	A:102:MET:HE2	A:133:LEU:HG	0.670
137	A:50:ILE:HG21	A:54:THR:SG	0.667
137	A:83:LYS:HG2	A:118:LEU:HG	0.646
137	A:19:LYS:HE3	A:23:GLY:HA2	0.616
137	A:1:MET:HE2	A:158:TRP:CD2	0.613
137	A:78:ILE:HG23	A:84:LEU:HB3	0.610
137	A:91:LEU:HD22	A:92:ASP:HB3	0.604
137	A:50:ILE:HD11	A:66:LEU:HD11	0.590
137	A:73:ALA:HA	A:76:ARG:HB2	0.584
137	A:7:LEU:CB	A:29:ILE:HG22	0.570
137	A:94:VAL:HA	A:158:TRP:CE2	0.565
137	A:50:ILE:CD1	A:66:LEU:HD11	0.562
137	A:78:ILE:HD12	A:84:LEU:CD2	0.551
137	A:94:VAL:HG12	A:152:THR:CG2	0.546
137	A:94:VAL:HG12	A:152:THR:HG23	0.531
137	A:7:LEU:HB3	A:29:ILE:HG22	0.529
137	A:17:ILE:HD13	A:33:LEU:HD11	0.529
137	A:17:ILE:HG12	A:27:ILE:HB	0.527
137	A:83:LYS:HD2	A:84:LEU:HD12	0.526
137	A:4:PHE:CE1	A:29:ILE:HD13	0.517
137	A:33:LEU:HD13	A:42:ALA:C	0.515
137	A:46:LEU:O	A:50:ILE:HG12	0.515

Model ID	Atom-1	Atom-2	Clash overlap (Å)
137	A:124:LYS:HG2	A:126:TRP:CH2	0.514
137	A:25:TYR:HB3	A:33:LEU:HD12	0.512
137	A:1:MET:HE2	A:158:TRP:CZ3	0.508
137	A:91:LEU:HB2	A:96:ARG:HG3	0.508
137	A:58:ILE:HD13	A:63:ALA:CB	0.506
137	A:97:ALA:HA	A:100:ILE:HB	0.503
137	A:15:LEU:O	A:58:ILE:HG13	0.499
137	A:130:ALA:HB1	A:150:ILE:HG21	0.497
137	A:79:LEU:HD23	A:85:LYS:CG	0.494
137	A:1:MET:HG3	A:5:GLU:CB	0.492
137	A:78:ILE:O	A:85:LYS:HB2	0.488
137	A:50:ILE:HG22	A:52:ARG:H	0.487
137	A:98:ALA:HB1	A:153:PHE:CE1	0.485
137	A:1:MET:CG	A:5:GLU:HB2	0.484
137	A:14:ARG:CB	A:18:TYR:CE1	0.484
137	A:14:ARG:HB2	A:18:TYR:HE1	0.484
137	A:14:ARG:CB	A:18:TYR:HE1	0.480
137	A:6:MET:HE1	A:98:ALA:HA	0.477
137	A:97:ALA:HB3	A:158:TRP:HH2	0.473
137	A:1:MET:HE3	A:6:MET:HB2	0.467
137	A:17:ILE:HG22	A:25:TYR:HD1	0.467
137	A:17:ILE:CG2	A:25:TYR:HD1	0.466
137	A:94:VAL:HA	A:158:TRP:CZ2	0.464

Model ID	Atom-1	Atom-2	Clash overlap (Å)
137	A:1:MET:HG3	A:5:GLU:HB2	0.463
137	A:49:ALA:HB1	A:69:GLN:HG2	0.457
137	A:94:VAL:CG1	A:152:THR:HG23	0.457
137	A:1:MET:CE	A:158:TRP:CE3	0.457
137	A:150:ILE:HA	A:153:PHE:CD2	0.456
137	A:8:ARG:HD3	A:13:LEU:HD13	0.453
137	A:44:SER:O	A:48:LYS:HB2	0.453
137	A:81:ASN:HD21	A:83:LYS:HG3	0.451
137	A:87:VAL:C	A:91:LEU:HG	0.442
137	A:59:THR:H	A:62:GLU:HB2	0.441
137	A:83:LYS:H	A:83:LYS:HG3	0.440
137	A:102:MET:HG3	A:106:MET:HE3	0.439
137	A:16:LYS:HA	A:56:GLY:O	0.438
137	A:3:ILE:SG	A:100:ILE:HD13	0.430
137	A:15:LEU:HB2	A:58:ILE:O	0.426
137	A:27:ILE:HD11	A:58:ILE:HG12	0.425
137	A:103:VAL:HG22	A:111:VAL:HG21	0.423
137	A:114:PHE:O	A:117:SER:HB2	0.422
137	A:102:MET:HE3	A:106:MET:HE1	0.421
137	A:6:MET:HG3	A:161:TYR:CE2	0.417
137	A:6:MET:HG3	A:161:TYR:CZ	0.417
137	A:7:LEU:HB2	A:29:ILE:HG22	0.417
137	A:116:ASN:O	A:120:MET:HG2	0.414

Model ID	Atom-1	Atom-2	Clash overlap (Å)
137	A:139:TYR:CD1	A:146:ALA:HB1	0.414
137	A:139:TYR:HD1	A:146:ALA:HB1	0.410
137	A:17:ILE:CD1	A:33:LEU:HD11	0.404
137	A:106:MET:HE2	A:138:TRP:CG	0.404
137	A:50:ILE:CG2	A:54:THR:SG	0.404
137	A:72:ASP:O	A:75:VAL:HB	0.402
137	A:25:TYR:C	A:33:LEU:HD23	0.401
137	A:132:ASN:O	A:135:LYS:HG2	0.401
138	A:13:LEU:HG	A:29:ILE:HG23	1.176
138	A:16:LYS:HG2	A:57:VAL:HG22	1.081
138	A:27:ILE:HG23	A:33:LEU:HD12	0.992
138	A:81:ASN:HB3	A:84:LEU:HB2	0.869
138	A:142:THR:CG2	A:145:ARG:HB2	0.862
138	A:27:ILE:CG2	A:33:LEU:HD12	0.849
138	A:16:LYS:CG	A:57:VAL:HG22	0.847
138	A:142:THR:HG21	A:145:ARG:HB2	0.828
138	A:6:MET:HG3	A:161:TYR:CE2	0.820
138	A:27:ILE:HG13	A:31:HIS:HB3	0.798
138	A:130:ALA:HB1	A:150:ILE:HG23	0.778
138	A:130:ALA:HB1	A:150:ILE:CG2	0.762
138	A:34:THR:HG21	A:42:ALA:CB	0.753
138	A:6:MET:SD	A:158:TRP:HZ3	0.749
138	A:13:LEU:CG	A:29:ILE:HG23	0.724

Model ID	Atom-1	Atom-2	Clash overlap (Å)
138	A:3:ILE:SG	A:97:ALA:SG	0.711
138	A:106:MET:SD	A:114:PHE:HE1	0.697
138	A:106:MET:SD	A:114:PHE:CE1	0.675
138	A:25:TYR:CE1	A:39:LEU:HD13	0.657
138	A:91:LEU:HB3	A:96:ARG:HA	0.656
138	A:7:LEU:HD22	A:11:GLU:HB2	0.655
138	A:137:ARG:HG2	A:141:GLN:HE21	0.645
138	A:6:MET:HE3	A:7:LEU:HD12	0.636
138	A:10:ASP:HB3	A:145:ARG:HG2	0.628
138	A:34:THR:HG21	A:42:ALA:HB2	0.604
138	A:125:ARG:HB3	A:128:GLU:HB3	0.604
138	A:142:THR:HG22	A:145:ARG:HB2	0.601
138	A:139:TYR:CE1	A:150:ILE:HD12	0.592
138	A:33:LEU:HG	A:46:LEU:HG	0.588
138	A:133:LEU:HB3	A:138:TRP:HZ3	0.585
138	A:17:ILE:HD12	A:43:LYS:HD3	0.583
138	A:25:TYR:CZ	A:39:LEU:HB2	0.580
138	A:17:ILE:HG12	A:27:ILE:CG2	0.572
138	A:148:ARG:HG2	A:160:ALA:HB1	0.571
138	A:150:ILE:HA	A:153:PHE:HD2	0.571
138	A:6:MET:SD	A:158:TRP:CZ3	0.564
138	A:103:VAL:HG13	A:111:VAL:HG21	0.556
138	A:17:ILE:CG1	A:27:ILE:HG22	0.552

Model ID	Atom-1	Atom-2	Clash overlap (Å)
138	A:87:VAL:HG21	A:118:LEU:HD21	0.542
138	A:34:THR:HG21	A:42:ALA:HB1	0.539
138	A:58:ILE:HD12	A:63:ALA:HA	0.537
138	A:102:MET:HB3	A:106:MET:HE3	0.532
138	A:150:ILE:HA	A:153:PHE:HB2	0.523
138	A:27:ILE:CG1	A:31:HIS:HB3	0.521
138	A:133:LEU:HD22	A:138:TRP:CE3	0.518
138	A:19:LYS:HB3	A:25:TYR:CZ	0.511
138	A:6:MET:CE	A:97:ALA:HB1	0.510
138	A:16:LYS:HA	A:56:GLY:C	0.508
138	A:118:LEU:HA	A:121:LEU:HD12	0.506
138	A:46:LEU:O	A:50:ILE:HD12	0.503
138	A:25:TYR:CD1	A:39:LEU:HD13	0.501
138	A:2:ASN:O	A:5:GLU:HB2	0.500
138	A:67:PHE:CE2	A:71:VAL:CG2	0.498
138	A:1:MET:HE1	A:158:TRP:CE3	0.495
138	A:127:ASP:O	A:131:VAL:HG23	0.493
138	A:6:MET:HE1	A:97:ALA:O	0.490
138	A:13:LEU:HG	A:29:ILE:CG2	0.489
138	A:1:MET:HG2	A:5:GLU:HB2	0.484
138	A:15:LEU:HB3	A:58:ILE:HG13	0.483
138	A:47:ASP:OD1	A:50:ILE:HD13	0.481
138	A:92:ASP:C	A:96:ARG:HB2	0.476

Model ID	Atom-1	Atom-2	Clash overlap (Å)
138	A:17:ILE:HG12	A:27:ILE:HG22	0.475
138	A:17:ILE:HG12	A:27:ILE:HG23	0.474
138	A:50:ILE:HG22	A:52:ARG:HB2	0.470
138	A:79:LEU:HG	A:85:LYS:HE2	0.470
138	A:15:LEU:HD21	A:63:ALA:HB1	0.464
138	A:137:ARG:O	A:141:GLN:HG3	0.464
138	A:29:ILE:HB	A:67:PHE:CZ	0.462
138	A:4:PHE:CZ	A:29:ILE:HG21	0.459
138	A:102:MET:O	A:106:MET:HG2	0.452
138	A:15:LEU:CD2	A:63:ALA:HB1	0.450
138	A:106:MET:HE2	A:138:TRP:CD1	0.450
138	A:24:TYR:HD1	A:35:LYS:HA	0.449
138	A:150:ILE:HA	A:153:PHE:CD2	0.446
138	A:120:MET:O	A:123:GLN:HB3	0.444
138	A:130:ALA:CB	A:150:ILE:HG23	0.443
138	A:15:LEU:HD23	A:63:ALA:HB2	0.440
138	A:59:THR:OG1	A:62:GLU:HB3	0.437
138	A:14:ARG:HB2	A:18:TYR:OH	0.433
138	A:4:PHE:CZ	A:29:ILE:HD13	0.429
138	A:6:MET:CE	A:7:LEU:HD12	0.428
138	A:97:ALA:HA	A:100:ILE:HD12	0.425
138	A:16:LYS:HG3	A:57:VAL:HA	0.424
138	A:4:PHE:O	A:8:ARG:HB2	0.423

Model ID	Atom-1	Atom-2	Clash overlap (Å)
138	A:50:ILE:HG22	A:52:ARG:N	0.422
138	A:116:ASN:HA	A:119:ARG:HB2	0.422
138	A:1:MET:HE1	A:161:TYR:CD2	0.421
138	A:92:ASP:O	A:96:ARG:HB2	0.420
138	A:50:ILE:HG22	A:52:ARG:H	0.419
138	A:24:TYR:CD1	A:35:LYS:HA	0.417
138	A:66:LEU:O	A:66:LEU:HD13	0.414
138	A:1:MET:HE1	A:161:TYR:HD2	0.413
138	A:25:TYR:OH	A:39:LEU:HB2	0.413
138	A:133:LEU:HA	A:133:LEU:HD23	0.413
138	A:133:LEU:HD22	A:138:TRP:HE3	0.412
138	A:84:LEU:O	A:88:TYR:HB3	0.411
138	A:102:MET:HE3	A:138:TRP:CZ3	0.410
138	A:10:ASP:HB3	A:145:ARG:CG	0.408
138	A:60:LYS:O	A:63:ALA:HB3	0.408
138	A:102:MET:HG2	A:138:TRP:CZ2	0.408
138	A:46:LEU:HA	A:46:LEU:HD23	0.406
138	A:55:ASN:O	A:57:VAL:HG23	0.405
138	A:1:MET:SD	A:6:MET:HB2	0.401
138	A:47:ASP:HA	A:50:ILE:HD12	0.400
139	A:17:ILE:HD12	A:43:LYS:HD3	1.163
139	A:130:ALA:HB1	A:150:ILE:HG23	1.123
139	A:16:LYS:HG2	A:57:VAL:HG22	1.063

Model ID	Atom-1	Atom-2	Clash overlap (Å)
139	A:33:LEU:HD11	A:46:LEU:HG	0.940
139	A:124:LYS:HG3	A:126:TRP:CZ2	0.915
139	A:97:ALA:HB3	A:158:TRP:HH2	0.911
139	A:17:ILE:CD1	A:43:LYS:HD3	0.868
139	A:130:ALA:HB1	A:150:ILE:CG2	0.855
139	A:58:ILE:HD12	A:63:ALA:CB	0.852
139	A:27:ILE:CG2	A:33:LEU:HD12	0.848
139	A:106:MET:SD	A:114:PHE:HE1	0.846
139	A:10:ASP:HB3	A:145:ARG:HG3	0.842
139	A:58:ILE:HD12	A:63:ALA:HB2	0.840
139	A:16:LYS:CG	A:57:VAL:HG22	0.793
139	A:39:LEU:HD11	A:43:LYS:HE3	0.754
139	A:103:VAL:HG22	A:111:VAL:HG21	0.738
139	A:97:ALA:HA	A:100:ILE:HD12	0.727
139	A:106:MET:SD	A:114:PHE:CE1	0.723
139	A:3:ILE:SG	A:97:ALA:SG	0.706
139	A:27:ILE:HG23	A:33:LEU:HD12	0.704
139	A:27:ILE:HG21	A:33:LEU:HD12	0.702
139	A:79:LEU:HD22	A:85:LYS:HG2	0.689
139	A:15:LEU:HA	A:28:GLY:HA2	0.686
139	A:144:ASN:HA	A:147:LYS:HE2	0.681
139	A:15:LEU:HD11	A:29:ILE:HG13	0.674
139	A:27:ILE:HG13	A:31:HIS:HB3	0.656

Model ID	Atom-1	Atom-2	Clash overlap (Å)
139	A:4:PHE:CE1	A:29:ILE:HD13	0.653
139	A:27:ILE:HD13	A:33:LEU:HD23	0.644
139	A:142:THR:CG2	A:145:ARG:HB3	0.638
139	A:6:MET:SD	A:158:TRP:HZ3	0.636
139	A:4:PHE:HE1	A:29:ILE:HD13	0.635
139	A:142:THR:HG21	A:145:ARG:HB3	0.609
139	A:114:PHE:HB3	A:117:SER:HB2	0.604
139	A:130:ALA:CB	A:150:ILE:HG23	0.603
139	A:15:LEU:HB3	A:58:ILE:HG13	0.600
139	A:27:ILE:HG12	A:33:LEU:HB2	0.594
139	A:93:ALA:HA	A:96:ARG:HB2	0.577
139	A:19:LYS:HB3	A:25:TYR:CE1	0.576
139	A:10:ASP:HA	A:148:ARG:HH21	0.573
139	A:1:MET:HE1	A:158:TRP:CE3	0.569
139	A:25:TYR:CZ	A:39:LEU:HB2	0.549
139	A:79:LEU:HD21	A:84:LEU:HD12	0.545
139	A:139:TYR:CE1	A:150:ILE:HD12	0.543
139	A:97:ALA:HB3	A:158:TRP:CH2	0.537
139	A:45:GLU:HG3	A:48:LYS:HE3	0.536
139	A:97:ALA:CB	A:158:TRP:HH2	0.529
139	A:17:ILE:HG12	A:27:ILE:HG23	0.527
139	A:8:ARG:HA	A:13:LEU:HD13	0.523
139	A:33:LEU:CD1	A:46:LEU:HG	0.521

Model ID	Atom-1	Atom-2	Clash overlap (Å)
139	A:7:LEU:HG	A:104:PHE:HE2	0.520
139	A:6:MET:HG3	A:161:TYR:CE2	0.519
139	A:25:TYR:CE1	A:39:LEU:HD13	0.519
139	A:17:ILE:HG12	A:27:ILE:CG2	0.513
139	A:133:LEU:HB3	A:138:TRP:HZ3	0.505
139	A:16:LYS:HG2	A:57:VAL:CG2	0.501
139	A:22:GLU:HB3	A:24:TYR:CE2	0.495
139	A:8:ARG:HA	A:13:LEU:HD22	0.494
139	A:50:ILE:HG22	A:52:ARG:H	0.494
139	A:25:TYR:CD1	A:39:LEU:HD13	0.489
139	A:103:VAL:HG22	A:111:VAL:CG2	0.489
139	A:121:LEU:O	A:124:LYS:HD2	0.489
139	A:7:LEU:HD22	A:11:GLU:HB2	0.478
139	A:22:GLU:HB3	A:24:TYR:CZ	0.476
139	A:124:LYS:HG3	A:126:TRP:CE2	0.476
139	A:116:ASN:HB3	A:120:MET:HE1	0.473
139	A:143:PRO:O	A:147:LYS:HG3	0.472
139	A:6:MET:HE1	A:97:ALA:O	0.471
139	A:17:ILE:CG1	A:27:ILE:HG22	0.464
139	A:79:LEU:CD2	A:85:LYS:HG2	0.463
139	A:4:PHE:CE1	A:29:ILE:HG21	0.460
139	A:50:ILE:HG22	A:52:ARG:N	0.460
139	A:59:THR:OG1	A:62:GLU:HB3	0.460

Model ID	Atom-1	Atom-2	Clash overlap (Å)
139	A:139:TYR:HE1	A:150:ILE:HD12	0.458
139	A:1:MET:CE	A:158:TRP:CE3	0.454
139	A:9:ILE:HD13	A:162:LYS:H	0.453
139	A:73:ALA:O	A:76:ARG:HB3	0.444
139	A:120:MET:O	A:123:GLN:HB3	0.443
139	A:139:TYR:O	A:143:PRO:HD3	0.440
139	A:152:THR:HG23	A:157:THR:O	0.440
139	A:67:PHE:CE2	A:71:VAL:HG21	0.439
139	A:87:VAL:HG13	A:118:LEU:CD2	0.437
139	A:34:THR:HG21	A:42:ALA:CB	0.433
139	A:7:LEU:CD2	A:11:GLU:HB2	0.430
139	A:13:LEU:HD21	A:29:ILE:HG23	0.428
139	A:133:LEU:HA	A:133:LEU:HD23	0.428
139	A:123:GLN:HG2	A:125:ARG:HG3	0.425
139	A:22:GLU:CB	A:24:TYR:CE2	0.424
139	A:17:ILE:HG13	A:27:ILE:HG22	0.421
139	A:87:VAL:HG13	A:118:LEU:HD21	0.417
139	A:102:MET:O	A:106:MET:HE3	0.413
139	A:123:GLN:NE2	A:125:ARG:HD2	0.410
139	A:6:MET:SD	A:158:TRP:CZ3	0.408
139	A:11:GLU:HG2	A:30:GLY:HA2	0.405
139	A:79:LEU:HD22	A:85:LYS:CG	0.405
139	A:117:SER:O	A:121:LEU:HD23	0.401

Model ID	Atom-1	Atom-2	Clash overlap (Å)
140	A:7:LEU:HD22	A:11:GLU:HB2	1.056
140	A:16:LYS:HG2	A:57:VAL:HG22	1.037
140	A:27:ILE:CG2	A:33:LEU:HD12	0.864
140	A:121:LEU:HD21	A:129:ALA:HB2	0.858
140	A:87:VAL:CG1	A:118:LEU:HD21	0.845
140	A:58:ILE:HD12	A:63:ALA:CB	0.842
140	A:124:LYS:HD2	A:126:TRP:CH2	0.833
140	A:106:MET:SD	A:114:PHE:HE1	0.792
140	A:7:LEU:HD22	A:11:GLU:CB	0.789
140	A:27:ILE:HG23	A:33:LEU:HD12	0.777
140	A:87:VAL:HG12	A:118:LEU:HD21	0.762
140	A:7:LEU:CD2	A:11:GLU:HB2	0.745
140	A:58:ILE:HD12	A:63:ALA:HB2	0.742
140	A:6:MET:SD	A:158:TRP:HH2	0.741
140	A:16:LYS:CG	A:57:VAL:HG22	0.735
140	A:6:MET:SD	A:158:TRP:CH2	0.724
140	A:3:ILE:SG	A:97:ALA:SG	0.720
140	A:102:MET:HE2	A:106:MET:HE1	0.719
140	A:130:ALA:CB	A:150:ILE:HG23	0.700
140	A:106:MET:SD	A:114:PHE:CE1	0.696
140	A:27:ILE:HG21	A:33:LEU:HD12	0.690
140	A:4:PHE:CE2	A:13:LEU:HD21	0.683
140	A:87:VAL:HG11	A:118:LEU:HD21	0.683

Model ID	Atom-1	Atom-2	Clash overlap (Å)
140	A:1:MET:HG2	A:5:GLU:HB2	0.668
140	A:121:LEU:HD21	A:129:ALA:CB	0.665
140	A:102:MET:HE1	A:133:LEU:HD21	0.653
140	A:79:LEU:HD23	A:81:ASN:HB2	0.649
140	A:121:LEU:CD2	A:129:ALA:HB2	0.648
140	A:19:LYS:HB3	A:25:TYR:CE1	0.646
140	A:10:ASP:HB3	A:145:ARG:HG2	0.614
140	A:27:ILE:HG13	A:31:HIS:HB3	0.614
140	A:130:ALA:HB1	A:150:ILE:HG23	0.609
140	A:13:LEU:HG	A:29:ILE:HG23	0.580
140	A:106:MET:HE2	A:138:TRP:CG	0.575
140	A:130:ALA:HB2	A:150:ILE:HG23	0.569
140	A:1:MET:HG2	A:5:GLU:CB	0.551
140	A:87:VAL:HG11	A:118:LEU:HD11	0.545
140	A:79:LEU:HA	A:81:ASN:HD22	0.541
140	A:98:ALA:HB1	A:153:PHE:CE2	0.528
140	A:142:THR:HB	A:145:ARG:HB2	0.528
140	A:133:LEU:HD22	A:138:TRP:CE3	0.522
140	A:124:LYS:HD2	A:126:TRP:CZ3	0.519
140	A:16:LYS:HG2	A:57:VAL:CG2	0.517
140	A:7:LEU:HG	A:104:PHE:CE2	0.508
140	A:105:GLN:HG3	A:141:GLN:OE1	0.505
140	A:132:ASN:OD1	A:133:LEU:HD12	0.504

Model ID	Atom-1	Atom-2	Clash overlap (Å)
140	A:17:ILE:HG13	A:27:ILE:HG22	0.498
140	A:88:TYR:CD1	A:99:LEU:HD22	0.496
140	A:39:LEU:HD11	A:43:LYS:HE3	0.493
140	A:130:ALA:HB1	A:150:ILE:CG2	0.492
140	A:133:LEU:HB3	A:138:TRP:HZ3	0.492
140	A:25:TYR:CE1	A:39:LEU:HD13	0.490
140	A:6:MET:HE3	A:7:LEU:CD1	0.489
140	A:6:MET:HG3	A:161:TYR:CE2	0.488
140	A:116:ASN:O	A:119:ARG:HG3	0.481
140	A:17:ILE:CG1	A:27:ILE:HG22	0.476
140	A:27:ILE:HD13	A:33:LEU:HD23	0.468
140	A:116:ASN:O	A:120:MET:HB2	0.468
140	A:97:ALA:HA	A:100:ILE:HD12	0.467
140	A:98:ALA:O	A:102:MET:HG3	0.464
140	A:84:LEU:HD23	A:111:VAL:HG13	0.458
140	A:30:GLY:HA3	A:104:PHE:CE1	0.457
140	A:50:ILE:HG13	A:54:THR:SG	0.456
140	A:4:PHE:CZ	A:13:LEU:HD21	0.455
140	A:59:THR:OG1	A:62:GLU:HB3	0.453
140	A:139:TYR:O	A:143:PRO:HD3	0.453
140	A:93:ALA:HA	A:96:ARG:HB2	0.451
140	A:17:ILE:HG12	A:27:ILE:CG2	0.440
140	A:2:ASN:O	A:5:GLU:HB2	0.438

Model ID	Atom-1	Atom-2	Clash overlap (Å)
140	A:102:MET:HE1	A:133:LEU:CD2	0.436
140	A:105:GLN:HE21	A:145:ARG:HH12	0.432
140	A:25:TYR:CD1	A:39:LEU:HD13	0.430
140	A:116:ASN:HA	A:119:ARG:HG3	0.428
140	A:116:ASN:O	A:120:MET:HE2	0.428
140	A:4:PHE:CE1	A:29:ILE:HD13	0.427
140	A:1:MET:SD	A:6:MET:HB2	0.424
140	A:120:MET:O	A:123:GLN:HB3	0.422
140	A:1:MET:HE3	A:2:ASN:O	0.421
140	A:5:GLU:O	A:8:ARG:HB3	0.419
140	A:42:ALA:O	A:46:LEU:HB2	0.418
140	A:50:ILE:HG22	A:52:ARG:H	0.418
140	A:6:MET:SD	A:158:TRP:CZ3	0.414
140	A:107:GLY:O	A:111:VAL:HG23	0.413
140	A:38:SER:HB3	A:41:ALA:HB3	0.412
140	A:15:LEU:HB3	A:58:ILE:HG13	0.407
140	A:58:ILE:HD12	A:63:ALA:HB1	0.407
140	A:16:LYS:HA	A:56:GLY:O	0.406
140	A:72:ASP:O	A:76:ARG:HB2	0.405
140	A:10:ASP:HB3	A:145:ARG:CG	0.404
140	A:100:ILE:O	A:104:PHE:HB2	0.401
140	A:30:GLY:HA3	A:104:PHE:HE1	0.401
140	A:154:ARG:HB3	A:154:ARG:HE	0.400

Model ID	Atom-1	Atom-2	Clash overlap (Å)
141	A:16:LYS:HG2	A:57:VAL:HG22	1.182
141	A:130:ALA:HB1	A:150:ILE:HG23	1.125
141	A:17:ILE:HG12	A:27:ILE:HG22	1.088
141	A:27:ILE:HG12	A:31:HIS:HB3	1.015
141	A:17:ILE:HD12	A:43:LYS:HD3	0.949
141	A:17:ILE:CG1	A:27:ILE:HG22	0.849
141	A:27:ILE:CG2	A:33:LEU:HD12	0.847
141	A:106:MET:SD	A:114:PHE:HE1	0.820
141	A:10:ASP:HB3	A:145:ARG:HG3	0.796
141	A:34:THR:HG21	A:42:ALA:HB1	0.776
141	A:17:ILE:HD12	A:43:LYS:CD	0.770
141	A:3:ILE:SG	A:97:ALA:SG	0.763
141	A:1:MET:HG2	A:5:GLU:HB2	0.761
141	A:142:THR:CG2	A:145:ARG:HB3	0.736
141	A:114:PHE:HB3	A:117:SER:HB2	0.730
141	A:16:LYS:CG	A:57:VAL:HG22	0.728
141	A:27:ILE:CG1	A:31:HIS:HB3	0.727
141	A:27:ILE:HG21	A:33:LEU:HD12	0.722
141	A:130:ALA:CB	A:150:ILE:HG23	0.719
141	A:50:ILE:HG22	A:52:ARG:H	0.703
141	A:106:MET:SD	A:114:PHE:CE1	0.699
141	A:7:LEU:CD2	A:11:GLU:HB2	0.696
141	A:34:THR:HG21	A:42:ALA:CB	0.696

Model ID	Atom-1	Atom-2	Clash overlap (Å)
141	A:17:ILE:CD1	A:43:LYS:HD3	0.686
141	A:7:LEU:HD22	A:11:GLU:HB2	0.683
141	A:39:LEU:HD11	A:43:LYS:HE3	0.683
141	A:4:PHE:CE2	A:13:LEU:HD21	0.669
141	A:151:THR:HG21	A:160:ALA:CB	0.667
141	A:151:THR:HG21	A:160:ALA:HB2	0.655
141	A:15:LEU:HA	A:28:GLY:HA2	0.653
141	A:139:TYR:HE1	A:150:ILE:HD12	0.642
141	A:158:TRP:HE3	A:161:TYR:CE2	0.636
141	A:148:ARG:HB3	A:161:TYR:CE1	0.632
141	A:32:LEU:HB3	A:105:GLN:HA	0.617
141	A:16:LYS:HG2	A:57:VAL:CG2	0.615
141	A:142:THR:HG21	A:145:ARG:HB3	0.610
141	A:24:TYR:HD1	A:35:LYS:HB3	0.600
141	A:124:LYS:HG2	A:126:TRP:CZ2	0.598
141	A:7:LEU:HD22	A:11:GLU:CB	0.589
141	A:103:VAL:HG22	A:111:VAL:HG21	0.584
141	A:79:LEU:HD22	A:85:LYS:HG3	0.581
141	A:13:LEU:HD21	A:29:ILE:HG23	0.574
141	A:158:TRP:CE3	A:161:TYR:HE2	0.558
141	A:17:ILE:HB	A:43:LYS:HD3	0.556
141	A:88:TYR:CE1	A:99:LEU:HD22	0.544
141	A:133:LEU:HB3	A:138:TRP:HZ3	0.544

Model ID	Atom-1	Atom-2	Clash overlap (Å)
141	A:139:TYR:CE1	A:150:ILE:HD12	0.534
141	A:4:PHE:CE2	A:13:LEU:CD2	0.530
141	A:133:LEU:HD22	A:138:TRP:CE3	0.526
141	A:24:TYR:CE1	A:141:GLN:HG3	0.521
141	A:24:TYR:CD1	A:35:LYS:HB3	0.520
141	A:1:MET:SD	A:6:MET:HB2	0.517
141	A:25:TYR:CZ	A:39:LEU:HB2	0.517
141	A:144:ASN:HA	A:147:LYS:HE2	0.517
141	A:27:ILE:HG23	A:33:LEU:HB2	0.513
141	A:46:LEU:O	A:50:ILE:HD12	0.511
141	A:34:THR:CG2	A:42:ALA:HB1	0.508
141	A:6:MET:HE1	A:97:ALA:O	0.507
141	A:32:LEU:HG	A:105:GLN:HG2	0.504
141	A:25:TYR:CD1	A:39:LEU:HD13	0.501
141	A:6:MET:HG3	A:161:TYR:CE2	0.499
141	A:13:LEU:HG	A:29:ILE:HA	0.495
141	A:98:ALA:HB1	A:153:PHE:CZ	0.489
141	A:158:TRP:CE3	A:161:TYR:CE2	0.488
141	A:25:TYR:CE1	A:39:LEU:HD13	0.485
141	A:1:MET:CG	A:5:GLU:HB2	0.471
141	A:17:ILE:HG12	A:27:ILE:CG2	0.468
141	A:101:ASN:O	A:104:PHE:HB2	0.467
141	A:103:VAL:HG22	A:111:VAL:CG2	0.465

Model ID	Atom-1	Atom-2	Clash overlap (Å)
141	A:55:ASN:O	A:57:VAL:HG23	0.464
141	A:59:THR:OG1	A:62:GLU:HB3	0.463
141	A:148:ARG:HD2	A:161:TYR:HD1	0.458
141	A:4:PHE:CE1	A:29:ILE:HD13	0.457
141	A:7:LEU:HD23	A:11:GLU:HB2	0.446
141	A:87:VAL:HG11	A:118:LEU:HD21	0.442
141	A:129:ALA:HA	A:132:ASN:HD22	0.439
141	A:17:ILE:HG13	A:56:GLY:HA3	0.438
141	A:142:THR:HG22	A:145:ARG:HB3	0.437
141	A:9:ILE:HD13	A:161:TYR:HB3	0.434
141	A:19:LYS:HB3	A:25:TYR:CE1	0.432
141	A:139:TYR:CE1	A:150:ILE:CD1	0.428
141	A:130:ALA:HB2	A:153:PHE:HB2	0.426
141	A:91:LEU:HD21	A:126:TRP:HZ3	0.425
141	A:102:MET:O	A:106:MET:HG2	0.425
141	A:139:TYR:O	A:143:PRO:HD3	0.422
141	A:79:LEU:O	A:85:LYS:HD2	0.421
141	A:106:MET:H	A:106:MET:HG2	0.421
141	A:5:GLU:O	A:8:ARG:HB2	0.420
141	A:60:LYS:O	A:63:ALA:HB3	0.420
141	A:5:GLU:HA	A:8:ARG:HB2	0.418
141	A:25:TYR:HB2	A:34:THR:CG2	0.418
141	A:15:LEU:HD11	A:29:ILE:HG13	0.415

Model ID	Atom-1	Atom-2	Clash overlap (Å)
141	A:117:SER:O	A:121:LEU:HD23	0.415
141	A:158:TRP:HE3	A:161:TYR:CD2	0.415
141	A:88:TYR:CD1	A:99:LEU:HD22	0.414
141	A:88:TYR:HE1	A:99:LEU:HD22	0.412
141	A:4:PHE:CZ	A:13:LEU:HD21	0.410
141	A:81:ASN:CB	A:84:LEU:HB2	0.409
141	A:143:PRO:O	A:147:LYS:HG3	0.406
141	A:133:LEU:HD22	A:138:TRP:CZ3	0.404
141	A:15:LEU:CD2	A:58:ILE:HD11	0.403
141	A:15:LEU:HD23	A:58:ILE:CD1	0.403
141	A:58:ILE:HD12	A:63:ALA:CB	0.402
142	A:130:ALA:HB1	A:150:ILE:HG23	1.102
142	A:81:ASN:HB3	A:84:LEU:HB2	0.908
142	A:58:ILE:HD12	A:63:ALA:HB2	0.884
142	A:106:MET:SD	A:114:PHE:HE1	0.825
142	A:33:LEU:HD11	A:46:LEU:HG	0.808
142	A:16:LYS:HG3	A:57:VAL:HG22	0.799
142	A:27:ILE:CG2	A:33:LEU:HD12	0.797
142	A:130:ALA:CB	A:150:ILE:HG23	0.762
142	A:27:ILE:HG23	A:33:LEU:HD12	0.738
142	A:3:ILE:SG	A:97:ALA:SG	0.718
142	A:106:MET:SD	A:114:PHE:CE1	0.711
142	A:10:ASP:HB3	A:145:ARG:HG2	0.703

Model ID	Atom-1	Atom-2	Clash overlap (Å)
142	A:81:ASN:HB3	A:84:LEU:CB	0.695
142	A:97:ALA:HB3	A:158:TRP:HH2	0.695
142	A:6:MET:HG3	A:161:TYR:CE2	0.682
142	A:27:ILE:HD13	A:33:LEU:HD23	0.678
142	A:27:ILE:HG13	A:31:HIS:HB3	0.671
142	A:84:LEU:HD21	A:111:VAL:HG12	0.661
142	A:130:ALA:HB1	A:150:ILE:CG2	0.658
142	A:142:THR:HG21	A:145:ARG:HD3	0.657
142	A:58:ILE:HD12	A:63:ALA:CB	0.642
142	A:1:MET:HE1	A:158:TRP:CE3	0.632
142	A:25:TYR:CE1	A:39:LEU:HD13	0.632
142	A:27:ILE:HG21	A:33:LEU:HD12	0.613
142	A:50:ILE:HG13	A:54:THR:SG	0.600
142	A:4:PHE:CE2	A:13:LEU:HD21	0.596
142	A:102:MET:HB3	A:106:MET:HE3	0.593
142	A:13:LEU:HG	A:29:ILE:HG23	0.592
142	A:16:LYS:HG3	A:57:VAL:CG2	0.575
142	A:91:LEU:HB3	A:96:ARG:HA	0.575
142	A:139:TYR:HE1	A:150:ILE:HD12	0.570
142	A:150:ILE:HA	A:153:PHE:HD2	0.554
142	A:103:VAL:HG22	A:111:VAL:HG21	0.549
142	A:133:LEU:HB3	A:138:TRP:HZ3	0.546
142	A:1:MET:CE	A:6:MET:HB2	0.545

Model ID	Atom-1	Atom-2	Clash overlap (Å)
142	A:79:LEU:HD23	A:81:ASN:HB2	0.545
142	A:17:ILE:HD12	A:43:LYS:HD3	0.542
142	A:124:LYS:HG2	A:126:TRP:CZ2	0.542
142	A:4:PHE:CZ	A:13:LEU:HD21	0.541
142	A:9:ILE:HD13	A:161:TYR:HB3	0.540
142	A:50:ILE:HG22	A:52:ARG:CB	0.540
142	A:6:MET:SD	A:158:TRP:HZ3	0.538
142	A:124:LYS:CG	A:126:TRP:CZ2	0.535
142	A:15:LEU:HD21	A:63:ALA:CB	0.534
142	A:84:LEU:HD11	A:111:VAL:HG11	0.534
142	A:50:ILE:CG2	A:52:ARG:HB3	0.530
142	A:4:PHE:CZ	A:29:ILE:HD13	0.525
142	A:148:ARG:HB3	A:161:TYR:CE1	0.518
142	A:102:MET:O	A:106:MET:HG2	0.513
142	A:103:VAL:HG13	A:111:VAL:HG21	0.512
142	A:98:ALA:O	A:102:MET:HG3	0.511
142	A:142:THR:CG2	A:145:ARG:HB2	0.505
142	A:139:TYR:CE1	A:150:ILE:HD12	0.504
142	A:87:VAL:CG1	A:118:LEU:HD21	0.499
142	A:151:THR:HG21	A:160:ALA:CB	0.498
142	A:102:MET:HE3	A:138:TRP:CZ3	0.497
142	A:103:VAL:HG22	A:111:VAL:CG2	0.497
142	A:15:LEU:HB3	A:58:ILE:HG13	0.496

Model ID	Atom-1	Atom-2	Clash overlap (Å)
142	A:132:ASN:OD1	A:133:LEU:HD12	0.496
142	A:1:MET:HG2	A:5:GLU:HB2	0.493
142	A:6:MET:HE1	A:97:ALA:O	0.492
142	A:106:MET:HE2	A:138:TRP:CG	0.492
142	A:58:ILE:CD1	A:63:ALA:HB2	0.488
142	A:50:ILE:HG21	A:52:ARG:HB3	0.487
142	A:1:MET:HE1	A:6:MET:HB2	0.482
142	A:117:SER:O	A:121:LEU:HG	0.482
142	A:19:LYS:HB3	A:25:TYR:CE1	0.467
142	A:92:ASP:C	A:96:ARG:HB2	0.463
142	A:16:LYS:HA	A:56:GLY:C	0.462
142	A:4:PHE:CE1	A:29:ILE:HD13	0.460
142	A:50:ILE:HG22	A:52:ARG:HB2	0.460
142	A:158:TRP:HE3	A:161:TYR:CE2	0.455
142	A:1:MET:CE	A:158:TRP:CE3	0.453
142	A:59:THR:OG1	A:62:GLU:HB3	0.452
142	A:81:ASN:CB	A:84:LEU:HB2	0.449
142	A:2:ASN:O	A:5:GLU:HB2	0.445
142	A:94:VAL:HG13	A:158:TRP:CZ2	0.436
142	A:1:MET:SD	A:6:MET:HB2	0.435
142	A:133:LEU:HD22	A:138:TRP:CE3	0.432
142	A:25:TYR:CD1	A:39:LEU:HD13	0.429
142	A:47:ASP:OD2	A:53:ASN:HA	0.417

Model ID	Atom-1	Atom-2	Clash overlap (Å)
142	A:43:LYS:HE2	A:55:ASN:O	0.414
142	A:92:ASP:O	A:96:ARG:HB2	0.413
142	A:121:LEU:C	A:124:LYS:H	0.411
142	A:106:MET:HG3	A:111:VAL:HG23	0.404
142	A:118:LEU:O	A:118:LEU:HD22	0.402
143	A:130:ALA:HB1	A:150:ILE:HG23	1.151
143	A:16:LYS:HG2	A:57:VAL:HG22	1.100
143	A:10:ASP:HB3	A:145:ARG:HG3	0.902
143	A:58:ILE:HD12	A:63:ALA:CB	0.873
143	A:27:ILE:CG2	A:33:LEU:HD12	0.819
143	A:106:MET:SD	A:114:PHE:HE1	0.807
143	A:97:ALA:HB3	A:158:TRP:HH2	0.789
143	A:19:LYS:HB3	A:25:TYR:CE1	0.784
143	A:130:ALA:HB1	A:150:ILE:CG2	0.761
143	A:142:THR:CG2	A:145:ARG:HB3	0.722
143	A:6:MET:SD	A:158:TRP:HZ3	0.718
143	A:3:ILE:SG	A:97:ALA:SG	0.716
143	A:16:LYS:CG	A:57:VAL:HG22	0.697
143	A:97:ALA:CB	A:158:TRP:HH2	0.695
143	A:27:ILE:HG21	A:33:LEU:HD12	0.689
143	A:97:ALA:HB3	A:158:TRP:CH2	0.688
143	A:39:LEU:HD11	A:43:LYS:HE3	0.680
143	A:58:ILE:HD12	A:63:ALA:HB2	0.679

Model ID	Atom-1	Atom-2	Clash overlap (Å)
143	A:27:ILE:HG12	A:33:LEU:HB2	0.671
143	A:106:MET:SD	A:114:PHE:CE1	0.664
143	A:142:THR:HG21	A:145:ARG:HB3	0.664
143	A:6:MET:HG3	A:161:TYR:CE2	0.645
143	A:1:MET:HE1	A:158:TRP:CE3	0.620
143	A:27:ILE:HG23	A:33:LEU:HD12	0.615
143	A:58:ILE:HD12	A:63:ALA:HB1	0.603
143	A:22:GLU:HB2	A:24:TYR:CE2	0.579
143	A:17:ILE:HD12	A:43:LYS:HD3	0.573
143	A:22:GLU:HB2	A:24:TYR:HE2	0.566
143	A:6:MET:SD	A:158:TRP:CZ3	0.562
143	A:50:ILE:HG22	A:52:ARG:HB3	0.558
143	A:27:ILE:HG13	A:31:HIS:HB3	0.548
143	A:81:ASN:CB	A:84:LEU:HB2	0.543
143	A:1:MET:CE	A:158:TRP:CE3	0.537
143	A:14:ARG:HD2	A:16:LYS:HE2	0.537
143	A:7:LEU:HG	A:104:PHE:HE2	0.534
143	A:15:LEU:HA	A:28:GLY:HA2	0.528
143	A:22:GLU:CB	A:24:TYR:CE2	0.528
143	A:133:LEU:HB3	A:138:TRP:HZ3	0.528
143	A:88:TYR:CD1	A:99:LEU:HD22	0.526
143	A:17:ILE:CD1	A:43:LYS:HD3	0.520
143	A:46:LEU:O	A:50:ILE:HD12	0.513

Model ID	Atom-1	Atom-2	Clash overlap (Å)
143	A:81:ASN:HB3	A:84:LEU:HB2	0.510
143	A:25:TYR:CE1	A:39:LEU:HD13	0.509
143	A:17:ILE:HD12	A:43:LYS:CD	0.507
143	A:67:PHE:CE2	A:71:VAL:HG21	0.507
143	A:50:ILE:CG2	A:52:ARG:HB3	0.505
143	A:93:ALA:HA	A:96:ARG:HG3	0.500
143	A:142:THR:HG21	A:145:ARG:CB	0.496
143	A:58:ILE:HG22	A:62:GLU:OE2	0.495
143	A:1:MET:CG	A:5:GLU:HB3	0.480
143	A:1:MET:HG2	A:5:GLU:HB3	0.480
143	A:17:ILE:HG13	A:27:ILE:HG22	0.480
143	A:17:ILE:CG1	A:27:ILE:HG22	0.479
143	A:4:PHE:CE1	A:29:ILE:HG21	0.478
143	A:139:TYR:CE1	A:150:ILE:HD11	0.477
143	A:25:TYR:CD1	A:39:LEU:HD13	0.476
143	A:114:PHE:HB3	A:117:SER:HB2	0.474
143	A:79:LEU:HD22	A:85:LYS:HE2	0.471
143	A:24:TYR:CE2	A:141:GLN:HA	0.466
143	A:1:MET:HG2	A:5:GLU:CB	0.463
143	A:25:TYR:CZ	A:39:LEU:HB2	0.462
143	A:59:THR:OG1	A:62:GLU:HB3	0.457
143	A:1:MET:SD	A:6:MET:HB2	0.454
143	A:22:GLU:CB	A:24:TYR:HE2	0.452

Model ID	Atom-1	Atom-2	Clash overlap (Å)
143	A:139:TYR:CE1	A:150:ILE:CD1	0.452
143	A:72:ASP:O	A:76:ARG:HB2	0.448
143	A:98:ALA:O	A:102:MET:HG3	0.442
143	A:88:TYR:HD1	A:99:LEU:HD22	0.440
143	A:16:LYS:HG2	A:57:VAL:CG2	0.438
143	A:106:MET:HE2	A:138:TRP:CG	0.438
143	A:50:ILE:HG22	A:52:ARG:N	0.437
143	A:142:THR:HG22	A:145:ARG:H	0.435
143	A:22:GLU:HB3	A:24:TYR:CE2	0.427
143	A:63:ALA:O	A:67:PHE:HB3	0.424
143	A:81:ASN:HB2	A:84:LEU:HB2	0.424
143	A:25:TYR:CE1	A:39:LEU:HB2	0.420
143	A:75:VAL:HA	A:78:ILE:HB	0.420
143	A:93:ALA:O	A:96:ARG:HB2	0.419
143	A:128:GLU:HA	A:131:VAL:HG23	0.417
143	A:17:ILE:HG12	A:27:ILE:CG2	0.413
143	A:152:THR:HG23	A:157:THR:O	0.413
143	A:1:MET:CE	A:6:MET:HB2	0.409
143	A:143:PRO:O	A:147:LYS:HG3	0.408
143	A:124:LYS:HG3	A:126:TRP:CZ2	0.405
143	A:102:MET:HE2	A:106:MET:HE1	0.403
143	A:15:LEU:HD12	A:28:GLY:C	0.402
144	A:78:ILE:HD11	A:84:LEU:HD22	1.072

Model ID	Atom-1	Atom-2	Clash overlap (Å)
144	A:103:VAL:HG22	A:111:VAL:HG21	0.980
144	A:124:LYS:HG2	A:126:TRP:CZ2	0.979
144	A:33:LEU:HD13	A:42:ALA:HB1	0.880
144	A:103:VAL:HG22	A:111:VAL:CG2	0.863
144	A:79:LEU:HD23	A:85:LYS:HG3	0.855
144	A:17:ILE:HG22	A:25:TYR:CD1	0.844
144	A:139:TYR:HD1	A:146:ALA:HB1	0.823
144	A:14:ARG:HB3	A:18:TYR:CE1	0.821
144	A:78:ILE:CD1	A:84:LEU:HD22	0.801
144	A:102:MET:HE3	A:138:TRP:CZ3	0.763
144	A:79:LEU:CD2	A:85:LYS:HG3	0.732
144	A:3:ILE:SG	A:100:ILE:HD13	0.708
144	A:50:ILE:HG21	A:54:THR:SG	0.702
144	A:29:ILE:HD12	A:67:PHE:CG	0.696
144	A:124:LYS:HG2	A:126:TRP:HZ2	0.690
144	A:102:MET:HE1	A:133:LEU:HB3	0.682
144	A:1:MET:HE2	A:158:TRP:CZ3	0.679
144	A:3:ILE:SG	A:97:ALA:SG	0.678
144	A:33:LEU:CD1	A:42:ALA:HB1	0.668
144	A:130:ALA:CB	A:150:ILE:HG23	0.663
144	A:130:ALA:HB1	A:150:ILE:HG23	0.654
144	A:83:LYS:HD2	A:84:LEU:HD12	0.599
144	A:139:TYR:HD1	A:146:ALA:CB	0.591

Model ID	Atom-1	Atom-2	Clash overlap (Å)
144	A:1:MET:HG3	A:5:GLU:CB	0.570
144	A:130:ALA:HB1	A:150:ILE:CG2	0.560
144	A:7:LEU:HD12	A:29:ILE:HG22	0.557
144	A:45:GLU:HA	A:48:LYS:HB2	0.555
144	A:27:ILE:HG22	A:33:LEU:HD21	0.548
144	A:24:TYR:HD1	A:35:LYS:HA	0.545
144	A:14:ARG:HB3	A:18:TYR:HE1	0.530
144	A:1:MET:CE	A:158:TRP:CZ3	0.513
144	A:1:MET:HE2	A:6:MET:HB2	0.513
144	A:127:ASP:O	A:131:VAL:HG23	0.504
144	A:43:LYS:HE3	A:55:ASN:HA	0.503
144	A:106:MET:HE2	A:138:TRP:CG	0.495
144	A:83:LYS:HD2	A:84:LEU:CD1	0.492
144	A:12:GLY:O	A:29:ILE:HG12	0.491
144	A:6:MET:HE2	A:161:TYR:CZ	0.489
144	A:31:HIS:CD2	A:46:LEU:HD21	0.486
144	A:16:LYS:HG3	A:57:VAL:HG22	0.485
144	A:139:TYR:CD1	A:146:ALA:CB	0.483
144	A:116:ASN:O	A:120:MET:HG2	0.482
144	A:25:TYR:O	A:33:LEU:HB2	0.476
144	A:12:GLY:C	A:13:LEU:HD12	0.471
144	A:144:ASN:O	A:148:ARG:HG3	0.471
144	A:102:MET:HE3	A:138:TRP:CH2	0.467

Model ID	Atom-1	Atom-2	Clash overlap (Å)
144	A:17:ILE:CG2	A:25:TYR:CD1	0.466
144	A:94:VAL:HG22	A:158:TRP:CD1	0.465
144	A:98:ALA:HB3	A:153:PHE:CE1	0.465
144	A:67:PHE:O	A:71:VAL:HG23	0.464
144	A:81:ASN:OD1	A:83:LYS:HG3	0.461
144	A:29:ILE:HB	A:67:PHE:CD1	0.458
144	A:16:LYS:HG3	A:57:VAL:HG13	0.457
144	A:102:MET:HE1	A:133:LEU:HG	0.451
144	A:124:LYS:HE2	A:126:TRP:HZ2	0.450
144	A:62:GLU:O	A:65:LYS:HB3	0.444
144	A:33:LEU:HD13	A:42:ALA:CB	0.443
144	A:1:MET:HG3	A:5:GLU:HB2	0.439
144	A:106:MET:SD	A:114:PHE:HE1	0.437
144	A:102:MET:HE1	A:133:LEU:CB	0.435
144	A:102:MET:HG2	A:138:TRP:CZ2	0.432
144	A:29:ILE:HD12	A:67:PHE:CD2	0.430
144	A:15:LEU:HD12	A:60:LYS:HA	0.424
144	A:27:ILE:HG13	A:56:GLY:O	0.424
144	A:103:VAL:HG22	A:111:VAL:HG22	0.419
144	A:16:LYS:HE3	A:57:VAL:HG13	0.416
144	A:86:PRO:HA	A:89:ASP:HB2	0.414
144	A:47:ASP:O	A:51:GLY:HA2	0.413
144	A:78:ILE:O	A:85:LYS:HB2	0.412

Model ID	Atom-1	Atom-2	Clash overlap (Å)
144	A:130:ALA:HB2	A:150:ILE:HG23	0.409
144	A:16:LYS:O	A:18:TYR:HD1	0.405
144	A:14:ARG:CB	A:18:TYR:CE1	0.403
145	A:16:LYS:HG2	A:57:VAL:HG22	1.080
145	A:130:ALA:HB1	A:150:ILE:HG23	1.011
145	A:58:ILE:HD12	A:63:ALA:HB2	0.881
145	A:27:ILE:CG2	A:33:LEU:HD12	0.853
145	A:10:ASP:HB3	A:145:ARG:HG3	0.851
145	A:58:ILE:HD12	A:63:ALA:CB	0.812
145	A:130:ALA:CB	A:150:ILE:HG23	0.812
145	A:27:ILE:HG23	A:33:LEU:HD12	0.800
145	A:16:LYS:CG	A:57:VAL:HG22	0.782
145	A:19:LYS:HB3	A:25:TYR:CE1	0.779
145	A:3:ILE:SG	A:97:ALA:SG	0.767
145	A:1:MET:HG2	A:5:GLU:HB2	0.766
145	A:50:ILE:HG13	A:54:THR:SG	0.760
145	A:142:THR:CG2	A:145:ARG:HB3	0.712
145	A:27:ILE:HG13	A:31:HIS:HB3	0.689
145	A:1:MET:HE1	A:158:TRP:CE3	0.683
145	A:1:MET:HG2	A:5:GLU:CB	0.671
145	A:106:MET:SD	A:114:PHE:HE1	0.670
145	A:63:ALA:HA	A:67:PHE:HB3	0.663
145	A:81:ASN:HB3	A:84:LEU:HB2	0.663

Model ID	Atom-1	Atom-2	Clash overlap (Å)
145	A:106:MET:SD	A:114:PHE:CE1	0.619
145	A:95:ARG:HD2	A:126:TRP:CD2	0.618
145	A:25:TYR:CE1	A:39:LEU:HD13	0.615
145	A:15:LEU:HB3	A:58:ILE:HG13	0.614
145	A:93:ALA:HA	A:96:ARG:HB2	0.596
145	A:121:LEU:HD21	A:129:ALA:HB2	0.585
145	A:16:LYS:HG2	A:57:VAL:CG2	0.583
145	A:17:ILE:HD12	A:43:LYS:HD3	0.577
145	A:142:THR:HG21	A:145:ARG:HB3	0.571
145	A:13:LEU:HG	A:29:ILE:HG23	0.564
145	A:114:PHE:HB3	A:117:SER:HB2	0.553
145	A:27:ILE:HG21	A:33:LEU:HD12	0.544
145	A:19:LYS:HB3	A:25:TYR:CZ	0.541
145	A:4:PHE:CE2	A:13:LEU:CD2	0.531
145	A:15:LEU:HG	A:28:GLY:HA2	0.526
145	A:4:PHE:CE2	A:13:LEU:HD23	0.520
145	A:133:LEU:HB3	A:138:TRP:HZ3	0.512
145	A:7:LEU:HB3	A:13:LEU:HD11	0.509
145	A:55:ASN:O	A:57:VAL:HG23	0.506
145	A:6:MET:HB2	A:158:TRP:HZ3	0.505
145	A:119:ARG:CZ	A:119:ARG:HB2	0.505
145	A:130:ALA:HB1	A:150:ILE:CG2	0.505
145	A:1:MET:HE1	A:158:TRP:HE3	0.495

Model ID	Atom-1	Atom-2	Clash overlap (Å)
145	A:45:GLU:OE2	A:48:LYS:HD2	0.494
145	A:79:LEU:HB3	A:85:LYS:HE3	0.492
145	A:15:LEU:HD11	A:29:ILE:HG13	0.488
145	A:74:ALA:O	A:78:ILE:HG12	0.481
145	A:67:PHE:O	A:71:VAL:HB	0.478
145	A:60:LYS:O	A:63:ALA:HB3	0.477
145	A:142:THR:HG22	A:145:ARG:H	0.476
145	A:7:LEU:HD22	A:11:GLU:HB2	0.475
145	A:50:ILE:HG22	A:52:ARG:H	0.474
145	A:91:LEU:HD21	A:126:TRP:HZ3	0.473
145	A:95:ARG:HD3	A:153:PHE:HD1	0.473
145	A:10:ASP:HB3	A:145:ARG:CG	0.472
145	A:87:VAL:HG21	A:118:LEU:HD21	0.471
145	A:2:ASN:O	A:5:GLU:HB2	0.468
145	A:1:MET:HE2	A:6:MET:HA	0.466
145	A:6:MET:HG3	A:161:TYR:CE2	0.463
145	A:111:VAL:HA	A:114:PHE:CD1	0.461
145	A:108:GLU:OE2	A:112:ALA:HB2	0.460
145	A:133:LEU:HB3	A:138:TRP:CZ3	0.457
145	A:32:LEU:HG	A:107:GLY:HA3	0.456
145	A:50:ILE:HG22	A:52:ARG:HB2	0.455
145	A:63:ALA:C	A:67:PHE:HD1	0.455
145	A:46:LEU:O	A:50:ILE:HG12	0.448

Model ID	Atom-1	Atom-2	Clash overlap (Å)
145	A:124:LYS:HG3	A:126:TRP:CZ2	0.448
145	A:142:THR:HG21	A:145:ARG:CB	0.446
145	A:34:THR:HG21	A:42:ALA:CB	0.445
145	A:25:TYR:CZ	A:39:LEU:HB2	0.438
145	A:139:TYR:O	A:143:PRO:HD3	0.435
145	A:121:LEU:C	A:124:LYS:H	0.430
145	A:114:PHE:O	A:117:SER:HB2	0.429
145	A:24:TYR:HD1	A:35:LYS:HA	0.427
145	A:16:LYS:HA	A:56:GLY:O	0.424
145	A:107:GLY:O	A:111:VAL:HG23	0.423
145	A:99:LEU:O	A:99:LEU:HD23	0.420
145	A:120:MET:O	A:123:GLN:HB3	0.420
145	A:22:GLU:HG3	A:137:ARG:HB2	0.416
145	A:25:TYR:CD1	A:39:LEU:HD13	0.413
145	A:95:ARG:HD2	A:126:TRP:CG	0.412
145	A:151:THR:HG21	A:160:ALA:HB2	0.411
145	A:91:LEU:HD21	A:126:TRP:CZ3	0.409
145	A:111:VAL:HA	A:114:PHE:HD1	0.409
145	A:27:ILE:HG12	A:33:LEU:HB2	0.408
145	A:116:ASN:HD22	A:120:MET:HE1	0.403
145	A:25:TYR:OH	A:39:LEU:HB2	0.402
145	A:25:TYR:HB2	A:34:THR:CG2	0.401
146	A:130:ALA:HB1	A:150:ILE:HG23	1.174

Model ID	Atom-1	Atom-2	Clash overlap (Å)
146	A:16:LYS:HG2	A:57:VAL:HG22	1.111
146	A:13:LEU:HG	A:29:ILE:HG23	1.071
146	A:103:VAL:HG22	A:111:VAL:HG21	0.867
146	A:130:ALA:CB	A:150:ILE:HG23	0.866
146	A:16:LYS:CG	A:57:VAL:HG22	0.786
146	A:27:ILE:HG13	A:31:HIS:HB3	0.773
146	A:142:THR:CG2	A:145:ARG:HB3	0.768
146	A:27:ILE:CG2	A:33:LEU:HD12	0.767
146	A:106:MET:SD	A:114:PHE:HE1	0.762
146	A:27:ILE:HG21	A:33:LEU:HD12	0.760
146	A:97:ALA:HB3	A:158:TRP:HH2	0.751
146	A:16:LYS:HG2	A:57:VAL:CG2	0.744
146	A:13:LEU:HG	A:29:ILE:CG2	0.741
146	A:3:ILE:SG	A:97:ALA:SG	0.726
146	A:10:ASP:HB3	A:145:ARG:HG3	0.715
146	A:148:ARG:HB3	A:161:TYR:CE1	0.700
146	A:142:THR:HG21	A:145:ARG:HB3	0.699
146	A:58:ILE:HD12	A:63:ALA:CB	0.695
146	A:19:LYS:HB3	A:25:TYR:CE1	0.690
146	A:106:MET:SD	A:114:PHE:CE1	0.678
146	A:17:ILE:HG12	A:27:ILE:HG22	0.661
146	A:17:ILE:HG12	A:27:ILE:CG2	0.658
146	A:33:LEU:HD11	A:46:LEU:HG	0.651

Model ID	Atom-1	Atom-2	Clash overlap (Å)
146	A:8:ARG:HA	A:13:LEU:HD13	0.650
146	A:6:MET:CE	A:97:ALA:HB1	0.639
146	A:98:ALA:HB1	A:153:PHE:CZ	0.639
146	A:17:ILE:CG1	A:27:ILE:HG22	0.614
146	A:50:ILE:HG22	A:52:ARG:H	0.606
146	A:94:VAL:HG13	A:158:TRP:CE2	0.605
146	A:97:ALA:CB	A:158:TRP:HH2	0.597
146	A:17:ILE:HB	A:43:LYS:HE3	0.593
146	A:123:GLN:HG3	A:125:ARG:HE	0.593
146	A:99:LEU:HA	A:102:MET:HG3	0.584
146	A:130:ALA:HB1	A:150:ILE:CG2	0.567
146	A:15:LEU:HD23	A:63:ALA:HB1	0.565
146	A:97:ALA:HB3	A:158:TRP:CH2	0.556
146	A:121:LEU:HG	A:126:TRP:HE3	0.551
146	A:6:MET:HG3	A:161:TYR:CE2	0.550
146	A:124:LYS:CG	A:126:TRP:CZ2	0.545
146	A:4:PHE:CE1	A:29:ILE:HG21	0.542
146	A:58:ILE:HD12	A:63:ALA:HB1	0.539
146	A:7:LEU:HG	A:104:PHE:HE2	0.534
146	A:102:MET:HE2	A:106:MET:HE1	0.530
146	A:121:LEU:HG	A:126:TRP:CE3	0.530
146	A:19:LYS:HB3	A:25:TYR:CZ	0.527
146	A:55:ASN:O	A:57:VAL:HG23	0.520

Model ID	Atom-1	Atom-2	Clash overlap (Å)
146	A:133:LEU:HB3	A:138:TRP:HZ3	0.516
146	A:102:MET:HE1	A:133:LEU:HG	0.513
146	A:124:LYS:HG3	A:126:TRP:CZ2	0.511
146	A:4:PHE:CZ	A:29:ILE:HD13	0.509
146	A:46:LEU:O	A:50:ILE:HD12	0.509
146	A:50:ILE:HG21	A:54:THR:SG	0.506
146	A:39:LEU:O	A:43:LYS:HG2	0.505
146	A:6:MET:HE1	A:97:ALA:O	0.497
146	A:1:MET:HE2	A:5:GLU:OE1	0.495
146	A:106:MET:HE2	A:138:TRP:CG	0.493
146	A:4:PHE:CZ	A:29:ILE:HG21	0.490
146	A:1:MET:SD	A:6:MET:HB2	0.490
146	A:58:ILE:HG22	A:62:GLU:OE2	0.489
146	A:139:TYR:CE1	A:150:ILE:HD12	0.489
146	A:142:THR:HG22	A:145:ARG:HB3	0.488
146	A:17:ILE:HD12	A:43:LYS:HD2	0.485
146	A:1:MET:CE	A:158:TRP:CE3	0.480
146	A:132:ASN:OD1	A:133:LEU:HD12	0.478
146	A:15:LEU:HB3	A:58:ILE:HG13	0.475
146	A:10:ASP:CB	A:145:ARG:HG3	0.474
146	A:14:ARG:HB3	A:18:TYR:CD1	0.473
146	A:7:LEU:HD22	A:11:GLU:HB2	0.472
146	A:81:ASN:HB3	A:84:LEU:HB3	0.472

Model ID	Atom-1	Atom-2	Clash overlap (Å)
146	A:27:ILE:HG12	A:33:LEU:HB2	0.464
146	A:59:THR:OG1	A:62:GLU:HB3	0.461
146	A:103:VAL:HG22	A:111:VAL:CG2	0.460
146	A:126:TRP:O	A:153:PHE:HB3	0.458
146	A:42:ALA:O	A:46:LEU:HB2	0.457
146	A:111:VAL:HA	A:114:PHE:CD1	0.456
146	A:124:LYS:HE2	A:126:TRP:CH2	0.455
146	A:17:ILE:HG12	A:27:ILE:HG23	0.454
146	A:1:MET:HE1	A:158:TRP:CE3	0.452
146	A:81:ASN:HB3	A:84:LEU:CB	0.446
146	A:102:MET:HA	A:106:MET:HE3	0.446
146	A:16:LYS:HA	A:56:GLY:O	0.445
146	A:127:ASP:OD1	A:154:ARG:HG3	0.442
146	A:1:MET:HB3	A:158:TRP:NE1	0.439
146	A:27:ILE:HG23	A:33:LEU:HD12	0.439
146	A:102:MET:O	A:106:MET:HG2	0.439
146	A:145:ARG:O	A:149:VAL:HG23	0.438
146	A:105:GLN:HB2	A:138:TRP:HD1	0.437
146	A:120:MET:O	A:123:GLN:HB3	0.435
146	A:6:MET:SD	A:97:ALA:HB1	0.430
146	A:15:LEU:HD23	A:63:ALA:CB	0.429
146	A:88:TYR:HB2	A:99:LEU:HD22	0.429
146	A:151:THR:CG2	A:160:ALA:HB2	0.425

Model ID	Atom-1	Atom-2	Clash overlap (Å)
146	A:128:GLU:HA	A:131:VAL:HG23	0.422
146	A:7:LEU:CD2	A:11:GLU:HB2	0.420
146	A:52:ARG:HB2	A:52:ARG:HH11	0.420
146	A:88:TYR:HE1	A:100:ILE:HD11	0.417
146	A:95:ARG:HD3	A:126:TRP:CZ2	0.416
146	A:106:MET:HB3	A:138:TRP:HB2	0.410
146	A:99:LEU:O	A:99:LEU:HD23	0.409
146	A:15:LEU:HG	A:58:ILE:HD11	0.408
146	A:4:PHE:HZ	A:29:ILE:HD13	0.408
146	A:111:VAL:HA	A:114:PHE:HD1	0.408
146	A:128:GLU:OE2	A:131:VAL:HG21	0.405
146	A:94:VAL:HA	A:158:TRP:CZ2	0.404
146	A:46:LEU:HA	A:46:LEU:HD23	0.403
146	A:50:ILE:HG22	A:52:ARG:N	0.402
146	A:91:LEU:HD21	A:126:TRP:HZ3	0.401
147	A:79:LEU:HD23	A:85:LYS:HG3	1.155
147	A:78:ILE:HD11	A:84:LEU:HD22	1.080
147	A:103:VAL:HG22	A:111:VAL:HG22	1.003
147	A:83:LYS:HD2	A:84:LEU:HD13	0.987
147	A:1:MET:HG3	A:5:GLU:HB2	0.919
147	A:124:LYS:HG2	A:126:TRP:CZ2	0.882
147	A:83:LYS:HD2	A:84:LEU:CD1	0.872
147	A:1:MET:HE2	A:158:TRP:CE3	0.832

Model ID	Atom-1	Atom-2	Clash overlap (Å)
147	A:78:ILE:HD11	A:84:LEU:CD2	0.824
147	A:14:ARG:HB2	A:18:TYR:CE1	0.817
147	A:103:VAL:HG22	A:111:VAL:CG2	0.815
147	A:14:ARG:HB2	A:18:TYR:HE1	0.811
147	A:78:ILE:CD1	A:84:LEU:HD22	0.802
147	A:16:LYS:HG2	A:57:VAL:HG22	0.785
147	A:98:ALA:HB3	A:153:PHE:CE1	0.784
147	A:139:TYR:HD1	A:146:ALA:HB1	0.732
147	A:72:ASP:HA	A:75:VAL:HB	0.731
147	A:102:MET:HE1	A:133:LEU:HB3	0.720
147	A:15:LEU:HB3	A:58:ILE:HG13	0.694
147	A:102:MET:HE3	A:138:TRP:CZ3	0.684
147	A:3:ILE:SG	A:97:ALA:SG	0.683
147	A:1:MET:HE3	A:6:MET:HB2	0.680
147	A:25:TYR:HB3	A:33:LEU:HD12	0.678
147	A:50:ILE:HG21	A:54:THR:SG	0.673
147	A:1:MET:HG3	A:5:GLU:CB	0.670
147	A:75:VAL:HA	A:78:ILE:HG22	0.668
147	A:79:LEU:HD23	A:85:LYS:CG	0.652
147	A:7:LEU:HG	A:104:PHE:HE1	0.617
147	A:4:PHE:CZ	A:64:GLU:HG3	0.612
147	A:91:LEU:HD11	A:121:LEU:HB3	0.605
147	A:17:ILE:CD1	A:33:LEU:HD11	0.592

Model ID	Atom-1	Atom-2	Clash overlap (Å)
147	A:106:MET:HE2	A:138:TRP:CG	0.585
147	A:7:LEU:HD11	A:104:PHE:HD1	0.575
147	A:139:TYR:CD1	A:146:ALA:HB1	0.571
147	A:27:ILE:HG21	A:46:LEU:HD11	0.569
147	A:94:VAL:HG13	A:158:TRP:CE2	0.566
147	A:7:LEU:HG	A:104:PHE:CE1	0.559
147	A:91:LEU:HB3	A:96:ARG:HB2	0.535
147	A:103:VAL:HG13	A:111:VAL:HG21	0.525
147	A:30:GLY:HA3	A:104:PHE:CG	0.523
147	A:50:ILE:HG22	A:52:ARG:H	0.513
147	A:99:LEU:HD22	A:121:LEU:HD11	0.511
147	A:50:ILE:HD13	A:54:THR:SG	0.506
147	A:17:ILE:HD13	A:33:LEU:HD11	0.500
147	A:79:LEU:HA	A:85:LYS:HB2	0.500
147	A:27:ILE:HG22	A:31:HIS:HB3	0.499
147	A:123:GLN:HG3	A:125:ARG:HG2	0.490
147	A:102:MET:HE3	A:138:TRP:CE3	0.489
147	A:17:ILE:CG2	A:25:TYR:HD1	0.488
147	A:124:LYS:HG2	A:126:TRP:CH2	0.488
147	A:105:GLN:HG2	A:138:TRP:HD1	0.483
147	A:59:THR:H	A:62:GLU:HB2	0.480
147	A:105:GLN:HG2	A:138:TRP:CD1	0.480
147	A:25:TYR:CZ	A:39:LEU:HB3	0.479

Model ID	Atom-1	Atom-2	Clash overlap (Å)
147	A:102:MET:HE2	A:106:MET:HE1	0.476
147	A:94:VAL:HG13	A:158:TRP:CZ2	0.469
147	A:99:LEU:O	A:103:VAL:HG23	0.451
147	A:3:ILE:SG	A:97:ALA:HA	0.449
147	A:30:GLY:HA3	A:104:PHE:CD2	0.446
147	A:99:LEU:HD22	A:121:LEU:CD1	0.445
147	A:16:LYS:HA	A:56:GLY:O	0.442
147	A:45:GLU:OE1	A:48:LYS:HE2	0.440
147	A:6:MET:HG3	A:161:TYR:CE2	0.438
147	A:29:ILE:HD13	A:67:PHE:CD1	0.438
147	A:26:THR:HA	A:31:HIS:O	0.437
147	A:107:GLY:O	A:111:VAL:HG23	0.436
147	A:79:LEU:HA	A:85:LYS:HG3	0.432
147	A:1:MET:CE	A:158:TRP:CE3	0.432
147	A:67:PHE:O	A:71:VAL:HG23	0.429
147	A:124:LYS:HG2	A:126:TRP:HZ2	0.428
147	A:83:LYS:HD2	A:84:LEU:HD12	0.422
147	A:94:VAL:HG22	A:158:TRP:HE1	0.421
147	A:14:ARG:CB	A:18:TYR:CE1	0.417
147	A:127:ASP:O	A:131:VAL:HG23	0.416
147	A:33:LEU:HD13	A:42:ALA:C	0.413
147	A:102:MET:HB3	A:106:MET:HE3	0.412
147	A:2:ASN:OD1	A:4:PHE:HB2	0.410

Model ID	Atom-1	Atom-2	Clash overlap (Å)
147	A:120:MET:O	A:123:GLN:HB3	0.410
147	A:148:ARG:HB3	A:161:TYR:CE1	0.401
147	A:116:ASN:O	A:120:MET:HG2	0.400
148	A:16:LYS:HG2	A:57:VAL:HG22	1.085
148	A:87:VAL:HG11	A:118:LEU:HD21	1.049
148	A:10:ASP:HB3	A:145:ARG:HG2	0.936
148	A:7:LEU:HD22	A:11:GLU:HB2	0.927
148	A:130:ALA:HB1	A:150:ILE:HG23	0.916
148	A:27:ILE:HG13	A:31:HIS:HB3	0.909
148	A:106:MET:SD	A:114:PHE:HE1	0.876
148	A:58:ILE:HD12	A:63:ALA:CB	0.848
148	A:27:ILE:CG2	A:33:LEU:HD12	0.842
148	A:27:ILE:HG23	A:33:LEU:HD12	0.831
148	A:16:LYS:CG	A:57:VAL:HG22	0.794
148	A:87:VAL:CG1	A:118:LEU:HD21	0.793
148	A:130:ALA:CB	A:150:ILE:HG23	0.771
148	A:3:ILE:SG	A:97:ALA:SG	0.763
148	A:17:ILE:HD12	A:43:LYS:HD3	0.753
148	A:6:MET:SD	A:158:TRP:HH2	0.726
148	A:6:MET:SD	A:158:TRP:CH2	0.719
148	A:79:LEU:HD23	A:81:ASN:HB2	0.689
148	A:106:MET:SD	A:114:PHE:CE1	0.688
148	A:130:ALA:HB1	A:150:ILE:CG2	0.681

Model ID	Atom-1	Atom-2	Clash overlap (Å)
148	A:10:ASP:HB3	A:145:ARG:CG	0.668
148	A:27:ILE:HG12	A:33:LEU:HD23	0.657
148	A:58:ILE:HD12	A:63:ALA:HB2	0.648
148	A:17:ILE:CD1	A:43:LYS:HD3	0.627
148	A:17:ILE:HD12	A:43:LYS:CD	0.623
148	A:7:LEU:HD22	A:11:GLU:CB	0.611
148	A:114:PHE:HB3	A:117:SER:HB2	0.608
148	A:25:TYR:HB2	A:34:THR:CG2	0.605
148	A:27:ILE:HG21	A:33:LEU:HD12	0.585
148	A:39:LEU:HD11	A:43:LYS:HE3	0.575
148	A:58:ILE:HD12	A:63:ALA:HB1	0.570
148	A:7:LEU:CD2	A:11:GLU:HB2	0.552
148	A:142:THR:HG22	A:145:ARG:H	0.548
148	A:17:ILE:CG1	A:27:ILE:HG22	0.547
148	A:87:VAL:HG11	A:118:LEU:CD2	0.547
148	A:25:TYR:CE1	A:39:LEU:HD13	0.543
148	A:75:VAL:HA	A:79:LEU:HB3	0.537
148	A:17:ILE:HG13	A:27:ILE:HG22	0.536
148	A:25:TYR:HB2	A:34:THR:HG22	0.536
148	A:88:TYR:CD1	A:99:LEU:HD22	0.528
148	A:133:LEU:HB3	A:138:TRP:HZ3	0.524
148	A:105:GLN:HE21	A:145:ARG:HH12	0.520
148	A:34:THR:HG21	A:42:ALA:HB1	0.515

Model ID	Atom-1	Atom-2	Clash overlap (Å)
148	A:17:ILE:HG12	A:27:ILE:CG2	0.511
148	A:1:MET:HE1	A:158:TRP:CE2	0.510
148	A:16:LYS:HG2	A:57:VAL:CG2	0.510
148	A:17:ILE:HG13	A:56:GLY:HA3	0.507
148	A:6:MET:HG3	A:161:TYR:CE2	0.506
148	A:50:ILE:HG22	A:52:ARG:H	0.500
148	A:137:ARG:HA	A:140:ASN:HD21	0.500
148	A:127:ASP:O	A:131:VAL:HG23	0.494
148	A:142:THR:HB	A:145:ARG:HB2	0.494
148	A:88:TYR:HD1	A:99:LEU:HD22	0.490
148	A:4:PHE:CE1	A:29:ILE:HG21	0.485
148	A:79:LEU:HD12	A:81:ASN:HD22	0.485
148	A:84:LEU:HG	A:111:VAL:HG11	0.481
148	A:137:ARG:O	A:141:GLN:HG3	0.478
148	A:102:MET:O	A:106:MET:HG2	0.474
148	A:1:MET:HE1	A:158:TRP:CZ2	0.470
148	A:42:ALA:O	A:46:LEU:HB2	0.462
148	A:138:TRP:O	A:141:GLN:HB2	0.457
148	A:105:GLN:HG3	A:141:GLN:OE1	0.452
148	A:5:GLU:O	A:8:ARG:HB3	0.444
148	A:124:LYS:HG2	A:126:TRP:CH2	0.443
148	A:98:ALA:HB1	A:153:PHE:CE2	0.441
148	A:1:MET:HE1	A:158:TRP:CH2	0.440

Model ID	Atom-1	Atom-2	Clash overlap (Å)
148	A:116:ASN:HB3	A:120:MET:HE1	0.439
148	A:1:MET:HE1	A:158:TRP:CD2	0.438
148	A:19:LYS:HB3	A:25:TYR:CE1	0.437
148	A:14:ARG:HG2	A:16:LYS:HB2	0.436
148	A:91:LEU:HD21	A:126:TRP:CZ3	0.436
148	A:1:MET:HG2	A:2:ASN:O	0.435
148	A:6:MET:SD	A:158:TRP:CZ3	0.431
148	A:2:ASN:O	A:5:GLU:HB2	0.428
148	A:82:ALA:O	A:86:PRO:HD2	0.428
148	A:1:MET:SD	A:6:MET:HB2	0.425
148	A:50:ILE:HG13	A:54:THR:SG	0.424
148	A:106:MET:HE2	A:138:TRP:HB2	0.424
148	A:6:MET:HG3	A:161:TYR:HE2	0.423
148	A:99:LEU:O	A:99:LEU:HD23	0.420
148	A:34:THR:HG21	A:42:ALA:CB	0.419
148	A:7:LEU:HB3	A:13:LEU:HD13	0.412
148	A:13:LEU:HG	A:29:ILE:HG23	0.412
148	A:91:LEU:HD21	A:126:TRP:HZ3	0.409
148	A:50:ILE:HG22	A:52:ARG:HB2	0.407
148	A:17:ILE:HG12	A:27:ILE:HG22	0.405
148	A:106:MET:HE2	A:138:TRP:CG	0.405
148	A:15:LEU:HD23	A:58:ILE:HG13	0.404
148	A:139:TYR:O	A:143:PRO:HD3	0.404

Model ID	Atom-1	Atom-2	Clash overlap (Å)
148	A:93:ALA:HA	A:96:ARG:HB2	0.402
148	A:17:ILE:HG12	A:27:ILE:HG23	0.401
149	A:130:ALA:HB1	A:150:ILE:HG23	1.114
149	A:81:ASN:HB3	A:84:LEU:HB2	1.013
149	A:4:PHE:CE2	A:13:LEU:HD21	0.964
149	A:58:ILE:HD12	A:63:ALA:HB2	0.877
149	A:4:PHE:HE2	A:13:LEU:HD21	0.847
149	A:106:MET:SD	A:114:PHE:HE1	0.816
149	A:27:ILE:HG21	A:33:LEU:HD12	0.804
149	A:124:LYS:HG3	A:126:TRP:CZ2	0.804
149	A:27:ILE:CG2	A:33:LEU:HD12	0.794
149	A:17:ILE:HD12	A:43:LYS:HD3	0.788
149	A:130:ALA:CB	A:150:ILE:HG23	0.785
149	A:3:ILE:SG	A:97:ALA:SG	0.718
149	A:27:ILE:HG12	A:33:LEU:HB2	0.715
149	A:27:ILE:HG13	A:31:HIS:HB3	0.708
149	A:15:LEU:HD11	A:29:ILE:HG13	0.705
149	A:11:GLU:HG2	A:30:GLY:HA2	0.687
149	A:148:ARG:HG2	A:160:ALA:HB1	0.679
149	A:106:MET:SD	A:114:PHE:CE1	0.674
149	A:103:VAL:HG22	A:111:VAL:CG2	0.663
149	A:139:TYR:HE1	A:150:ILE:HD12	0.661
149	A:13:LEU:HG	A:29:ILE:HG23	0.644

Model ID	Atom-1	Atom-2	Clash overlap (Å)
149	A:114:PHE:HB3	A:117:SER:HB2	0.637
149	A:33:LEU:HD11	A:46:LEU:HG	0.629
149	A:17:ILE:HG12	A:27:ILE:HG23	0.621
149	A:16:LYS:CG	A:57:VAL:HG22	0.618
149	A:7:LEU:HD22	A:11:GLU:HB2	0.609
149	A:58:ILE:HD12	A:63:ALA:CB	0.595
149	A:6:MET:SD	A:158:TRP:HZ3	0.595
149	A:25:TYR:CE1	A:39:LEU:HD13	0.592
149	A:103:VAL:HG22	A:111:VAL:HG22	0.592
149	A:16:LYS:HE2	A:57:VAL:HG13	0.586
149	A:16:LYS:HG3	A:57:VAL:HA	0.575
149	A:6:MET:HG3	A:161:TYR:CE2	0.564
149	A:27:ILE:HG23	A:33:LEU:HD12	0.555
149	A:139:TYR:CE1	A:150:ILE:HD12	0.548
149	A:16:LYS:HG2	A:57:VAL:HG22	0.536
149	A:142:THR:CG2	A:145:ARG:HB2	0.536
149	A:103:VAL:HG22	A:111:VAL:HG21	0.522
149	A:124:LYS:CG	A:126:TRP:CZ2	0.520
149	A:46:LEU:O	A:50:ILE:HD12	0.518
149	A:6:MET:CE	A:101:ASN:HB2	0.516
149	A:50:ILE:HG22	A:52:ARG:H	0.511
149	A:130:ALA:HB1	A:150:ILE:CG2	0.511
149	A:7:LEU:HD22	A:11:GLU:CB	0.502

Model ID	Atom-1	Atom-2	Clash overlap (Å)
149	A:1:MET:HE2	A:5:GLU:OE1	0.501
149	A:142:THR:HG22	A:145:ARG:H	0.494
149	A:25:TYR:CD1	A:39:LEU:HD13	0.492
149	A:83:LYS:HG3	A:84:LEU:HD23	0.490
149	A:17:ILE:HG12	A:27:ILE:CG2	0.487
149	A:116:ASN:HB3	A:120:MET:HE2	0.479
149	A:133:LEU:HB3	A:138:TRP:HZ3	0.474
149	A:7:LEU:CD2	A:11:GLU:HB2	0.473
149	A:98:ALA:HB1	A:153:PHE:CE2	0.472
149	A:95:ARG:HD3	A:153:PHE:CD1	0.465
149	A:15:LEU:HB3	A:58:ILE:HG13	0.459
149	A:75:VAL:O	A:79:LEU:HB2	0.459
149	A:123:GLN:HB3	A:125:ARG:HG2	0.458
149	A:14:ARG:HB3	A:18:TYR:CE1	0.456
149	A:6:MET:HE3	A:101:ASN:HB2	0.454
149	A:139:TYR:HE1	A:150:ILE:CD1	0.453
149	A:4:PHE:CZ	A:29:ILE:HG21	0.452
149	A:25:TYR:CZ	A:39:LEU:HB2	0.449
149	A:33:LEU:CD1	A:46:LEU:HG	0.447
149	A:50:ILE:HG22	A:52:ARG:HB2	0.447
149	A:72:ASP:O	A:76:ARG:HB2	0.442
149	A:142:THR:HG21	A:145:ARG:HB2	0.441
149	A:31:HIS:CD2	A:71:VAL:HG22	0.438

Model ID	Atom-1	Atom-2	Clash overlap (Å)
149	A:50:ILE:HG22	A:52:ARG:N	0.437
149	A:10:ASP:HB3	A:145:ARG:HG2	0.433
149	A:42:ALA:O	A:46:LEU:HB2	0.433
149	A:79:LEU:HD22	A:85:LYS:HG2	0.432
149	A:4:PHE:CE1	A:29:ILE:HD13	0.431
149	A:16:LYS:HA	A:56:GLY:O	0.429
149	A:1:MET:CE	A:158:TRP:CE3	0.426
149	A:25:TYR:CE1	A:39:LEU:HB2	0.426
149	A:6:MET:SD	A:158:TRP:CZ3	0.424
149	A:1:MET:CG	A:5:GLU:HB3	0.421
149	A:144:ASN:HB3	A:148:ARG:NH1	0.420
149	A:50:ILE:CG2	A:52:ARG:HB2	0.419
149	A:92:ASP:O	A:96:ARG:HG3	0.416
149	A:139:TYR:CE1	A:150:ILE:CD1	0.416
149	A:1:MET:HE1	A:158:TRP:CE3	0.409
149	A:81:ASN:CG	A:83:LYS:HG2	0.409
149	A:25:TYR:OH	A:39:LEU:HB2	0.403
149	A:127:ASP:O	A:131:VAL:HG23	0.400
150	A:16:LYS:HG2	A:57:VAL:HG22	1.107
150	A:34:THR:HG21	A:42:ALA:HB1	1.074
150	A:151:THR:HG21	A:160:ALA:HB2	0.903
150	A:124:LYS:HG3	A:126:TRP:CZ2	0.884
150	A:17:ILE:HG12	A:27:ILE:HG22	0.866

Model ID	Atom-1	Atom-2	Clash overlap (Å)
150	A:16:LYS:CG	A:57:VAL:HG22	0.848
150	A:27:ILE:CG2	A:33:LEU:HD12	0.839
150	A:34:THR:HG21	A:42:ALA:CB	0.838
150	A:13:LEU:HG	A:29:ILE:HG23	0.829
150	A:81:ASN:HB3	A:84:LEU:HB2	0.820
150	A:130:ALA:HB1	A:150:ILE:HG23	0.818
150	A:17:ILE:CG1	A:27:ILE:HG22	0.815
150	A:25:TYR:HB2	A:34:THR:CG2	0.791
150	A:27:ILE:HG13	A:31:HIS:HB3	0.786
150	A:106:MET:SD	A:114:PHE:HE1	0.762
150	A:3:ILE:SG	A:97:ALA:SG	0.743
150	A:130:ALA:CB	A:150:ILE:HG23	0.727
150	A:17:ILE:HB	A:43:LYS:HD3	0.710
150	A:25:TYR:HB2	A:34:THR:HG22	0.701
150	A:81:ASN:HB3	A:84:LEU:CB	0.700
150	A:106:MET:SD	A:114:PHE:CE1	0.678
150	A:95:ARG:HD2	A:126:TRP:CD2	0.664
150	A:27:ILE:CG1	A:31:HIS:HB3	0.642
150	A:27:ILE:HG23	A:33:LEU:HD12	0.631
150	A:1:MET:HG2	A:5:GLU:HB3	0.628
150	A:103:VAL:HG22	A:111:VAL:HG22	0.624
150	A:130:ALA:HB1	A:150:ILE:CG2	0.613
150	A:114:PHE:HB3	A:117:SER:HB2	0.612

Model ID	Atom-1	Atom-2	Clash overlap (Å)
150	A:19:LYS:HB3	A:25:TYR:CE1	0.592
150	A:151:THR:CG2	A:160:ALA:HB2	0.592
150	A:139:TYR:HE1	A:150:ILE:HD12	0.590
150	A:1:MET:HG2	A:5:GLU:CB	0.580
150	A:1:MET:HE1	A:158:TRP:CE3	0.580
150	A:17:ILE:HG12	A:27:ILE:CG2	0.579
150	A:102:MET:HE1	A:133:LEU:HG	0.579
150	A:15:LEU:CD2	A:58:ILE:HD11	0.578
150	A:158:TRP:HE3	A:161:TYR:CE2	0.578
150	A:50:ILE:HG22	A:52:ARG:H	0.567
150	A:19:LYS:HB2	A:23:GLY:HA2	0.557
150	A:1:MET:SD	A:6:MET:HB2	0.554
150	A:15:LEU:HD23	A:58:ILE:CD1	0.553
150	A:27:ILE:HG21	A:33:LEU:HD12	0.551
150	A:139:TYR:HE1	A:150:ILE:CD1	0.550
150	A:32:LEU:HB2	A:145:ARG:HH12	0.546
150	A:133:LEU:HB3	A:138:TRP:HZ3	0.546
150	A:6:MET:HG3	A:161:TYR:CE2	0.545
150	A:9:ILE:HD13	A:161:TYR:HB3	0.540
150	A:39:LEU:HD21	A:43:LYS:HE3	0.539
150	A:1:MET:CG	A:5:GLU:HB3	0.535
150	A:126:TRP:HB3	A:153:PHE:HD1	0.534
150	A:4:PHE:CE2	A:13:LEU:CD2	0.533

Model ID	Atom-1	Atom-2	Clash overlap (Å)
150	A:4:PHE:CE1	A:29:ILE:HG21	0.524
150	A:50:ILE:CG2	A:52:ARG:HB2	0.524
150	A:98:ALA:HB1	A:153:PHE:CZ	0.522
150	A:17:ILE:HD12	A:43:LYS:CD	0.516
150	A:6:MET:CE	A:97:ALA:HB1	0.513
150	A:6:MET:HE1	A:97:ALA:O	0.511
150	A:25:TYR:CE1	A:39:LEU:HD13	0.509
150	A:46:LEU:O	A:50:ILE:HD12	0.505
150	A:55:ASN:O	A:57:VAL:HG23	0.504
150	A:142:THR:HG22	A:145:ARG:H	0.504
150	A:15:LEU:HD23	A:58:ILE:HD11	0.497
150	A:13:LEU:HG	A:29:ILE:CG2	0.496
150	A:42:ALA:O	A:46:LEU:HB2	0.489
150	A:58:ILE:HD12	A:63:ALA:HA	0.487
150	A:142:THR:HG21	A:145:ARG:HB2	0.487
150	A:5:GLU:O	A:8:ARG:HB2	0.483
150	A:25:TYR:CD1	A:39:LEU:HD13	0.483
150	A:36:SER:HB3	A:42:ALA:HB2	0.481
150	A:4:PHE:CE2	A:13:LEU:HD23	0.480
150	A:139:TYR:CE1	A:150:ILE:CD1	0.480
150	A:103:VAL:HG22	A:111:VAL:CG2	0.476
150	A:85:LYS:O	A:88:TYR:HB3	0.474
150	A:158:TRP:CE3	A:161:TYR:HE2	0.463

Model ID	Atom-1	Atom-2	Clash overlap (Å)
150	A:11:GLU:HG2	A:30:GLY:HA2	0.457
150	A:158:TRP:CE3	A:161:TYR:CE2	0.455
150	A:133:LEU:HB3	A:138:TRP:CZ3	0.454
150	A:50:ILE:HG22	A:52:ARG:HB2	0.451
150	A:59:THR:OG1	A:62:GLU:HB3	0.451
150	A:158:TRP:HE3	A:161:TYR:CD2	0.450
150	A:92:ASP:O	A:96:ARG:HG3	0.443
150	A:98:ALA:HB1	A:153:PHE:CE2	0.439
150	A:95:ARG:HD2	A:126:TRP:CG	0.433
150	A:4:PHE:O	A:8:ARG:HG3	0.431
150	A:16:LYS:HA	A:57:VAL:HA	0.429
150	A:4:PHE:CZ	A:29:ILE:HD13	0.425
150	A:17:ILE:HA	A:26:THR:O	0.423
150	A:4:PHE:CE2	A:13:LEU:HD21	0.416
150	A:17:ILE:HD12	A:43:LYS:HD3	0.412
150	A:6:MET:SD	A:158:TRP:HZ3	0.412
150	A:50:ILE:HG21	A:52:ARG:HB2	0.410
150	A:27:ILE:HG21	A:33:LEU:HD23	0.408
150	A:50:ILE:HG22	A:52:ARG:N	0.406
150	A:12:GLY:HA3	A:18:TYR:OH	0.405
150	A:142:THR:CG2	A:145:ARG:HB2	0.405
150	A:4:PHE:CE1	A:29:ILE:HD13	0.403
150	A:114:PHE:CZ	A:133:LEU:HD21	0.400

Model ID	Atom-1	Atom-2	Clash overlap (Å)
151	A:130:ALA:HB1	A:150:ILE:HG23	1.039
151	A:17:ILE:HD12	A:43:LYS:HD3	0.953
151	A:151:THR:HG21	A:160:ALA:HB2	0.908
151	A:58:ILE:HD12	A:63:ALA:HB2	0.896
151	A:27:ILE:HG23	A:33:LEU:HD12	0.892
151	A:27:ILE:CG2	A:33:LEU:HD12	0.853
151	A:142:THR:CG2	A:145:ARG:HB2	0.776
151	A:106:MET:SD	A:114:PHE:HE1	0.770
151	A:151:THR:HG21	A:160:ALA:CB	0.765
151	A:3:ILE:SG	A:97:ALA:SG	0.762
151	A:16:LYS:HG2	A:57:VAL:HG22	0.750
151	A:130:ALA:CB	A:150:ILE:HG23	0.745
151	A:130:ALA:HB1	A:150:ILE:CG2	0.744
151	A:58:ILE:HD12	A:63:ALA:CB	0.743
151	A:106:MET:SD	A:114:PHE:CE1	0.716
151	A:6:MET:HG3	A:161:TYR:CE2	0.712
151	A:25:TYR:CE1	A:39:LEU:HD13	0.702
151	A:16:LYS:CG	A:57:VAL:HG22	0.673
151	A:15:LEU:HA	A:28:GLY:HA2	0.672
151	A:1:MET:HG2	A:5:GLU:HB2	0.669
151	A:150:ILE:HA	A:153:PHE:HD2	0.654
151	A:19:LYS:HB3	A:25:TYR:CE1	0.646
151	A:27:ILE:HG12	A:33:LEU:HB2	0.634

Model ID	Atom-1	Atom-2	Clash overlap (Å)
151	A:133:LEU:HB3	A:138:TRP:HZ3	0.620
151	A:27:ILE:HG13	A:31:HIS:HB3	0.610
151	A:142:THR:HG21	A:145:ARG:HB2	0.594
151	A:39:LEU:HD11	A:43:LYS:HE3	0.582
151	A:16:LYS:HG2	A:57:VAL:CG2	0.578
151	A:114:PHE:CE2	A:133:LEU:HD21	0.574
151	A:15:LEU:HB3	A:58:ILE:HG13	0.547
151	A:98:ALA:HB1	A:153:PHE:CZ	0.539
151	A:6:MET:HE1	A:97:ALA:O	0.515
151	A:7:LEU:HD22	A:11:GLU:HB2	0.515
151	A:33:LEU:HD11	A:46:LEU:HG	0.511
151	A:50:ILE:HG22	A:52:ARG:HB2	0.510
151	A:132:ASN:OD1	A:133:LEU:HD12	0.498
151	A:102:MET:HE3	A:138:TRP:CZ3	0.487
151	A:102:MET:HE1	A:133:LEU:HG	0.484
151	A:1:MET:HG2	A:5:GLU:CB	0.482
151	A:93:ALA:HA	A:96:ARG:HB2	0.481
151	A:1:MET:SD	A:6:MET:HB2	0.477
151	A:13:LEU:HD21	A:29:ILE:HG23	0.477
151	A:50:ILE:HG22	A:52:ARG:H	0.474
151	A:88:TYR:HE1	A:99:LEU:HD22	0.469
151	A:142:THR:HG22	A:145:ARG:HB2	0.468
151	A:50:ILE:HG13	A:54:THR:SG	0.465

Model ID	Atom-1	Atom-2	Clash overlap (Å)
151	A:121:LEU:HD22	A:126:TRP:CE3	0.465
151	A:27:ILE:HG23	A:33:LEU:CD1	0.462
151	A:148:ARG:HB3	A:161:TYR:CE1	0.459
151	A:59:THR:OG1	A:62:GLU:HB3	0.458
151	A:106:MET:HE2	A:138:TRP:CG	0.456
151	A:15:LEU:HD21	A:63:ALA:CB	0.453
151	A:24:TYR:HD1	A:35:LYS:HA	0.453
151	A:81:ASN:HB3	A:84:LEU:HB2	0.453
151	A:5:GLU:O	A:8:ARG:HB3	0.449
151	A:98:ALA:O	A:102:MET:HG3	0.448
151	A:1:MET:HE1	A:158:TRP:CE3	0.446
151	A:114:PHE:CZ	A:133:LEU:HD21	0.438
151	A:121:LEU:C	A:124:LYS:H	0.435
151	A:107:GLY:O	A:111:VAL:HG23	0.432
151	A:117:SER:O	A:121:LEU:HG	0.432
151	A:142:THR:HG22	A:145:ARG:H	0.432
151	A:79:LEU:HD22	A:85:LYS:HG2	0.428
151	A:83:LYS:HZ2	A:84:LEU:HB2	0.427
151	A:42:ALA:O	A:46:LEU:HB2	0.426
151	A:6:MET:HE3	A:7:LEU:HD12	0.421
151	A:33:LEU:HD21	A:46:LEU:HD22	0.419
151	A:10:ASP:HB3	A:145:ARG:CG	0.416
151	A:6:MET:SD	A:158:TRP:HZ3	0.412

Model ID	Atom-1	Atom-2	Clash overlap (Å)
151	A:7:LEU:HD11	A:101:ASN:HA	0.411
151	A:102:MET:HB3	A:102:MET:HE2	0.411
151	A:16:LYS:HA	A:56:GLY:O	0.405
151	A:19:LYS:HB3	A:25:TYR:CZ	0.404
151	A:6:MET:CE	A:101:ASN:HB2	0.403
151	A:116:ASN:HB3	A:120:MET:HE1	0.403
151	A:25:TYR:OH	A:39:LEU:HB2	0.401
151	A:127:ASP:O	A:131:VAL:HG23	0.400
152	A:130:ALA:HB1	A:150:ILE:HG23	1.079
152	A:106:MET:SD	A:114:PHE:HE1	0.908
152	A:7:LEU:HD22	A:11:GLU:HB2	0.888
152	A:17:ILE:HD12	A:43:LYS:HD3	0.880
152	A:16:LYS:HG3	A:57:VAL:HG22	0.875
152	A:27:ILE:CG2	A:33:LEU:HD12	0.868
152	A:16:LYS:CG	A:57:VAL:HG22	0.857
152	A:27:ILE:HG23	A:33:LEU:HD12	0.779
152	A:130:ALA:HB1	A:150:ILE:CG2	0.778
152	A:3:ILE:SG	A:97:ALA:SG	0.763
152	A:25:TYR:HB2	A:34:THR:CG2	0.756
152	A:1:MET:HG2	A:5:GLU:HB3	0.747
152	A:7:LEU:CD2	A:11:GLU:HB2	0.740
152	A:58:ILE:HD12	A:63:ALA:CB	0.729
152	A:79:LEU:HD22	A:85:LYS:HG3	0.727

Model ID	Atom-1	Atom-2	Clash overlap (Å)
152	A:27:ILE:HG13	A:31:HIS:HB3	0.709
152	A:106:MET:SD	A:114:PHE:CE1	0.708
152	A:1:MET:HG2	A:5:GLU:CB	0.677
152	A:133:LEU:HB3	A:138:TRP:HZ3	0.655
152	A:17:ILE:HD12	A:43:LYS:CD	0.644
152	A:27:ILE:HG21	A:33:LEU:HD12	0.643
152	A:106:MET:HE2	A:138:TRP:CG	0.627
152	A:10:ASP:HB3	A:145:ARG:HG2	0.623
152	A:121:LEU:HD21	A:129:ALA:HB2	0.607
152	A:34:THR:HG21	A:42:ALA:HB1	0.602
152	A:114:PHE:HB3	A:117:SER:HB2	0.602
152	A:6:MET:SD	A:158:TRP:HH2	0.593
152	A:6:MET:SD	A:158:TRP:CH2	0.590
152	A:17:ILE:HG12	A:27:ILE:HG22	0.586
152	A:34:THR:HG21	A:42:ALA:CB	0.577
152	A:17:ILE:HG12	A:27:ILE:CG2	0.568
152	A:58:ILE:HD12	A:63:ALA:HB2	0.557
152	A:14:ARG:HB3	A:18:TYR:CD1	0.556
152	A:7:LEU:HD22	A:11:GLU:CB	0.555
152	A:50:ILE:HG22	A:52:ARG:H	0.554
152	A:25:TYR:HB2	A:34:THR:HG22	0.550
152	A:142:THR:CG2	A:145:ARG:HB2	0.550
152	A:79:LEU:HD23	A:81:ASN:HD22	0.546

Model ID	Atom-1	Atom-2	Clash overlap (Å)
152	A:105:GLN:HB3	A:138:TRP:HD1	0.544
152	A:13:LEU:HG	A:29:ILE:HG23	0.541
152	A:33:LEU:HD21	A:50:ILE:HD11	0.532
152	A:142:THR:HG21	A:145:ARG:HD3	0.528
152	A:106:MET:HB3	A:138:TRP:HB2	0.527
152	A:139:TYR:HE1	A:150:ILE:HD12	0.525
152	A:14:ARG:HG2	A:16:LYS:H	0.524
152	A:116:ASN:HB3	A:120:MET:HE1	0.518
152	A:19:LYS:HB3	A:25:TYR:CE1	0.516
152	A:142:THR:HG22	A:145:ARG:H	0.515
152	A:91:LEU:HD11	A:126:TRP:HZ3	0.514
152	A:91:LEU:HD22	A:95:ARG:HH11	0.514
152	A:20:ASP:OD1	A:22:GLU:HG2	0.511
152	A:133:LEU:HD22	A:138:TRP:CE3	0.506
152	A:98:ALA:O	A:102:MET:HG3	0.505
152	A:102:MET:HE3	A:138:TRP:CZ3	0.505
152	A:46:LEU:O	A:50:ILE:HG12	0.500
152	A:91:LEU:HD21	A:126:TRP:CZ3	0.499
152	A:24:TYR:HB2	A:32:LEU:HD11	0.496
152	A:24:TYR:CB	A:32:LEU:HD11	0.494
152	A:121:LEU:CD2	A:129:ALA:HB2	0.492
152	A:17:ILE:CG1	A:27:ILE:HG22	0.491
152	A:98:ALA:HB1	A:153:PHE:CE2	0.490

Model ID	Atom-1	Atom-2	Clash overlap (Å)
152	A:102:MET:HG2	A:138:TRP:CZ2	0.490
152	A:105:GLN:HB3	A:138:TRP:CD1	0.487
152	A:102:MET:HE3	A:138:TRP:CH2	0.483
152	A:84:LEU:HB2	A:111:VAL:HG11	0.482
152	A:25:TYR:CD1	A:39:LEU:HD13	0.478
152	A:6:MET:SD	A:97:ALA:HB1	0.474
152	A:4:PHE:CZ	A:13:LEU:HD21	0.472
152	A:6:MET:HG3	A:161:TYR:CE2	0.470
152	A:120:MET:O	A:123:GLN:HB3	0.467
152	A:121:LEU:C	A:124:LYS:H	0.466
152	A:6:MET:HE1	A:97:ALA:O	0.465
152	A:59:THR:OG1	A:62:GLU:HB3	0.464
152	A:16:LYS:HG2	A:57:VAL:HG22	0.462
152	A:39:LEU:O	A:43:LYS:HG2	0.461
152	A:50:ILE:HG13	A:54:THR:SG	0.460
152	A:1:MET:HG2	A:5:GLU:HB2	0.459
152	A:91:LEU:HG	A:95:ARG:HG2	0.458
152	A:106:MET:HB2	A:110:GLY:HA3	0.458
152	A:102:MET:C	A:106:MET:HE3	0.457
152	A:1:MET:CG	A:5:GLU:HB3	0.456
152	A:1:MET:HE3	A:2:ASN:O	0.454
152	A:103:VAL:HA	A:106:MET:HG2	0.452
152	A:6:MET:HG3	A:161:TYR:HE2	0.451

Model ID	Atom-1	Atom-2	Clash overlap (Å)
152	A:24:TYR:HD1	A:35:LYS:HA	0.449
152	A:50:ILE:CG2	A:52:ARG:HB2	0.446
152	A:1:MET:HE1	A:158:TRP:CH2	0.443
152	A:25:TYR:CE1	A:39:LEU:HD13	0.440
152	A:92:ASP:O	A:96:ARG:HB2	0.438
152	A:16:LYS:HA	A:56:GLY:O	0.434
152	A:88:TYR:CD1	A:99:LEU:HB3	0.434
152	A:79:LEU:HD12	A:108:GLU:OE2	0.433
152	A:74:ALA:O	A:78:ILE:HB	0.432
152	A:139:TYR:O	A:143:PRO:HD3	0.432
152	A:83:LYS:HA	A:118:LEU:HG	0.428
152	A:162:LYS:H	A:162:LYS:HG3	0.426
152	A:6:MET:CE	A:97:ALA:HB1	0.424
152	A:90:SER:OG	A:91:LEU:HD12	0.417
152	A:42:ALA:O	A:46:LEU:HB2	0.416
152	A:15:LEU:HG	A:58:ILE:HD11	0.413
152	A:99:LEU:O	A:99:LEU:HD23	0.410
152	A:84:LEU:O	A:88:TYR:HB3	0.408
152	A:10:ASP:HB3	A:145:ARG:CG	0.403
152	A:145:ARG:HA	A:148:ARG:HH21	0.400
153	A:1:MET:HE2	A:158:TRP:CE3	0.910
153	A:79:LEU:HD23	A:85:LYS:HG3	0.853
153	A:50:ILE:HG21	A:54:THR:SG	0.835

Model ID	Atom-1	Atom-2	Clash overlap (Å)
153	A:139:TYR:HD1	A:146:ALA:HB1	0.804
153	A:1:MET:HG3	A:5:GLU:HB2	0.786
153	A:1:MET:HG3	A:5:GLU:CB	0.757
153	A:14:ARG:HB2	A:18:TYR:CE1	0.743
153	A:102:MET:HE1	A:133:LEU:HG	0.722
153	A:3:ILE:SG	A:97:ALA:SG	0.722
153	A:84:LEU:HD11	A:112:ALA:HA	0.712
153	A:102:MET:HE3	A:138:TRP:CZ3	0.707
153	A:124:LYS:HG2	A:126:TRP:CZ2	0.705
153	A:58:ILE:CD1	A:63:ALA:HB2	0.688
153	A:6:MET:HB2	A:158:TRP:CZ3	0.659
153	A:7:LEU:HB2	A:29:ILE:HG22	0.652
153	A:7:LEU:CB	A:29:ILE:HG22	0.640
153	A:4:PHE:CZ	A:64:GLU:HG2	0.637
153	A:98:ALA:HB3	A:153:PHE:CE1	0.635
153	A:130:ALA:CB	A:150:ILE:HG23	0.617
153	A:79:LEU:CD2	A:85:LYS:HG3	0.616
153	A:103:VAL:HG22	A:111:VAL:HG21	0.613
153	A:14:ARG:HB2	A:18:TYR:HE1	0.588
153	A:114:PHE:HB3	A:117:SER:HB2	0.584
153	A:102:MET:HE1	A:133:LEU:CG	0.580
153	A:106:MET:HE2	A:138:TRP:CG	0.580
153	A:25:TYR:CE2	A:39:LEU:HB3	0.576

Model ID	Atom-1	Atom-2	Clash overlap (Å)
153	A:130:ALA:HB1	A:150:ILE:HG23	0.568
153	A:33:LEU:HD13	A:42:ALA:C	0.565
153	A:1:MET:CG	A:5:GLU:HB2	0.563
153	A:83:LYS:HD2	A:84:LEU:HD12	0.550
153	A:99:LEU:HD11	A:121:LEU:HD11	0.547
153	A:72:ASP:C	A:75:VAL:HB	0.544
153	A:130:ALA:HB1	A:150:ILE:CG2	0.542
153	A:89:ASP:HA	A:96:ARG:HH21	0.535
153	A:139:TYR:HD1	A:146:ALA:CB	0.528
153	A:6:MET:HG3	A:161:TYR:CZ	0.526
153	A:1:MET:HB3	A:158:TRP:CD1	0.524
153	A:148:ARG:HB3	A:161:TYR:CE1	0.523
153	A:94:VAL:HG13	A:158:TRP:CZ2	0.514
153	A:4:PHE:HA	A:29:ILE:HG21	0.512
153	A:58:ILE:HD13	A:63:ALA:HB2	0.512
153	A:1:MET:HE2	A:158:TRP:CZ3	0.510
153	A:98:ALA:CB	A:153:PHE:CE1	0.499
153	A:103:VAL:CG2	A:111:VAL:HG21	0.493
153	A:77:GLY:O	A:80:ARG:HB2	0.490
153	A:139:TYR:CE1	A:150:ILE:HD12	0.490
153	A:81:ASN:HB3	A:84:LEU:HB2	0.489
153	A:59:THR:H	A:62:GLU:HB3	0.488
153	A:13:LEU:HD12	A:29:ILE:HA	0.477

Model ID	Atom-1	Atom-2	Clash overlap (Å)
153	A:94:VAL:O	A:97:ALA:HB3	0.477
153	A:58:ILE:HB	A:62:GLU:HB3	0.474
153	A:4:PHE:HZ	A:64:GLU:HA	0.473
153	A:148:ARG:HB3	A:161:TYR:CZ	0.471
153	A:102:MET:HE1	A:133:LEU:HB3	0.456
153	A:24:TYR:CD1	A:35:LYS:HA	0.455
153	A:139:TYR:CD1	A:146:ALA:HB1	0.450
153	A:14:ARG:CB	A:18:TYR:CE1	0.443
153	A:83:LYS:HD2	A:84:LEU:CD1	0.443
153	A:16:LYS:HA	A:56:GLY:O	0.442
153	A:79:LEU:HD23	A:85:LYS:CG	0.442
153	A:46:LEU:O	A:50:ILE:HG12	0.440
153	A:78:ILE:HG21	A:88:TYR:HD2	0.438
153	A:6:MET:HG3	A:161:TYR:CE2	0.436
153	A:84:LEU:HD21	A:111:VAL:HG12	0.436
153	A:26:THR:HA	A:31:HIS:O	0.434
153	A:127:ASP:O	A:131:VAL:HG23	0.428
153	A:7:LEU:HB3	A:29:ILE:HG22	0.426
153	A:67:PHE:O	A:71:VAL:HG23	0.420
153	A:124:LYS:HG2	A:126:TRP:CH2	0.417
153	A:130:ALA:HB2	A:150:ILE:HG23	0.414
153	A:25:TYR:HB3	A:42:ALA:HB1	0.413
153	A:1:MET:CE	A:158:TRP:CE3	0.410

Model ID	Atom-1	Atom-2	Clash overlap (Å)
153	A:139:TYR:CD1	A:146:ALA:CB	0.407
153	A:27:ILE:CD1	A:58:ILE:HG12	0.406
153	A:5:GLU:O	A:9:ILE:HD12	0.404
153	A:7:LEU:HD11	A:104:PHE:CD1	0.403
153	A:17:ILE:HG13	A:27:ILE:HG13	0.403
153	A:3:ILE:SG	A:97:ALA:HA	0.401
154	A:130:ALA:HB1	A:150:ILE:HG23	1.134
154	A:33:LEU:HD11	A:46:LEU:HG	1.015
154	A:27:ILE:HG23	A:33:LEU:HD12	0.965
154	A:27:ILE:HG13	A:31:HIS:HB3	0.952
154	A:27:ILE:CG2	A:33:LEU:HD12	0.852
154	A:151:THR:HG21	A:160:ALA:HB2	0.830
154	A:16:LYS:HG2	A:57:VAL:HG22	0.816
154	A:106:MET:SD	A:114:PHE:HE1	0.812
154	A:1:MET:HE1	A:158:TRP:CE3	0.807
154	A:17:ILE:HD12	A:43:LYS:HD3	0.807
154	A:1:MET:CG	A:5:GLU:HB3	0.798
154	A:130:ALA:CB	A:150:ILE:HG23	0.796
154	A:1:MET:HG2	A:5:GLU:HB3	0.789
154	A:58:ILE:HD12	A:63:ALA:HB2	0.774
154	A:58:ILE:HD12	A:63:ALA:CB	0.758
154	A:3:ILE:SG	A:97:ALA:SG	0.752
154	A:1:MET:CE	A:6:MET:HB2	0.720

Model ID	Atom-1	Atom-2	Clash overlap (Å)
154	A:39:LEU:HD11	A:43:LYS:HE3	0.711
154	A:114:PHE:HB3	A:117:SER:HB2	0.689
154	A:81:ASN:HB3	A:84:LEU:HB2	0.684
154	A:16:LYS:CG	A:57:VAL:HG22	0.674
154	A:106:MET:SD	A:114:PHE:CE1	0.673
154	A:150:ILE:HA	A:153:PHE:HD2	0.664
154	A:133:LEU:HB3	A:138:TRP:HZ3	0.663
154	A:7:LEU:HD22	A:11:GLU:CB	0.656
154	A:1:MET:HE2	A:6:MET:HB2	0.646
154	A:130:ALA:HB1	A:150:ILE:CG2	0.646
154	A:96:ARG:HG3	A:100:ILE:HD12	0.638
154	A:124:LYS:HG3	A:126:TRP:CZ2	0.632
154	A:7:LEU:HD22	A:11:GLU:HB3	0.621
154	A:16:LYS:HG2	A:57:VAL:CG2	0.618
154	A:33:LEU:CD1	A:46:LEU:HG	0.615
154	A:142:THR:HG22	A:145:ARG:H	0.608
154	A:17:ILE:HG12	A:27:ILE:HG23	0.599
154	A:13:LEU:HG	A:29:ILE:HG23	0.596
154	A:87:VAL:HG21	A:118:LEU:HD21	0.594
154	A:25:TYR:CE1	A:39:LEU:HD13	0.587
154	A:50:ILE:HG13	A:54:THR:SG	0.568
154	A:6:MET:SD	A:158:TRP:HZ3	0.565
154	A:75:VAL:HG21	A:85:LYS:HE3	0.545

Model ID	Atom-1	Atom-2	Clash overlap (Å)
154	A:142:THR:CG2	A:145:ARG:HB2	0.544
154	A:6:MET:HG3	A:161:TYR:CZ	0.543
154	A:4:PHE:CZ	A:29:ILE:HD13	0.541
154	A:50:ILE:HG22	A:52:ARG:H	0.539
154	A:121:LEU:HD22	A:126:TRP:HE3	0.536
154	A:121:LEU:HD22	A:126:TRP:CE3	0.535
154	A:148:ARG:HG2	A:160:ALA:HB1	0.534
154	A:1:MET:HG3	A:5:GLU:HB3	0.508
154	A:6:MET:CE	A:101:ASN:HB2	0.499
154	A:33:LEU:HD21	A:46:LEU:HD21	0.496
154	A:6:MET:HE1	A:97:ALA:O	0.494
154	A:19:LYS:HB3	A:25:TYR:CE1	0.494
154	A:16:LYS:HA	A:56:GLY:C	0.493
154	A:17:ILE:HB	A:43:LYS:HD3	0.493
154	A:27:ILE:HG12	A:33:LEU:HB2	0.487
154	A:6:MET:HG3	A:161:TYR:CE2	0.486
154	A:4:PHE:HZ	A:29:ILE:HD13	0.486
154	A:117:SER:O	A:121:LEU:HG	0.484
154	A:1:MET:SD	A:6:MET:HB2	0.483
154	A:6:MET:HE3	A:101:ASN:HB2	0.480
154	A:106:MET:HE2	A:138:TRP:CG	0.469
154	A:7:LEU:HD22	A:11:GLU:HB2	0.468
154	A:27:ILE:HG21	A:33:LEU:HD12	0.468

Model ID	Atom-1	Atom-2	Clash overlap (Å)
154	A:42:ALA:O	A:46:LEU:HB2	0.465
154	A:92:ASP:OD2	A:95:ARG:HD3	0.461
154	A:59:THR:OG1	A:62:GLU:HB3	0.457
154	A:17:ILE:HG13	A:27:ILE:HG22	0.452
154	A:15:LEU:HD11	A:29:ILE:HG13	0.450
154	A:5:GLU:HG2	A:8:ARG:HH21	0.449
154	A:10:ASP:HB3	A:145:ARG:HG2	0.449
154	A:102:MET:HG2	A:138:TRP:CZ2	0.446
154	A:17:ILE:CD1	A:43:LYS:HD3	0.444
154	A:98:ALA:HB1	A:153:PHE:CZ	0.440
154	A:107:GLY:O	A:111:VAL:HG23	0.436
154	A:142:THR:HG21	A:145:ARG:HB2	0.434
154	A:1:MET:CE	A:158:TRP:CE3	0.433
154	A:25:TYR:CD1	A:39:LEU:HD13	0.432
154	A:4:PHE:CZ	A:29:ILE:HG21	0.431
154	A:16:LYS:HA	A:56:GLY:O	0.422
154	A:77:GLY:O	A:80:ARG:HG2	0.421
154	A:133:LEU:HD22	A:138:TRP:CE3	0.421
154	A:1:MET:HG2	A:2:ASN:O	0.418
154	A:25:TYR:CE1	A:39:LEU:HB2	0.416
154	A:79:LEU:HD21	A:84:LEU:HB3	0.408
154	A:6:MET:CE	A:97:ALA:HB1	0.405
154	A:124:LYS:CG	A:126:TRP:CZ2	0.403

Model ID	Atom-1	Atom-2	Clash overlap (Å)
154	A:102:MET:HE1	A:133:LEU:HG	0.402
155	A:103:VAL:HG22	A:111:VAL:HG21	1.109
155	A:102:MET:HE2	A:106:MET:HE1	0.901
155	A:29:ILE:HD13	A:67:PHE:HB2	0.876
155	A:124:LYS:HG2	A:126:TRP:CZ2	0.863
155	A:27:ILE:HG21	A:46:LEU:HD11	0.862
155	A:1:MET:HG3	A:5:GLU:HB2	0.855
155	A:1:MET:HE3	A:6:MET:HB2	0.840
155	A:1:MET:HE2	A:158:TRP:CE3	0.799
155	A:79:LEU:HG	A:85:LYS:HE3	0.762
155	A:93:ALA:HA	A:96:ARG:HB2	0.758
155	A:124:LYS:HG2	A:126:TRP:HZ2	0.728
155	A:6:MET:HE1	A:98:ALA:HA	0.716
155	A:102:MET:HE3	A:138:TRP:CZ3	0.711
155	A:78:ILE:HG21	A:88:TYR:CD2	0.704
155	A:14:ARG:HB3	A:18:TYR:CE1	0.685
155	A:3:ILE:SG	A:97:ALA:SG	0.684
155	A:97:ALA:HA	A:100:ILE:HD12	0.675
155	A:8:ARG:HG3	A:13:LEU:HD13	0.671
155	A:27:ILE:CG2	A:46:LEU:HD11	0.671
155	A:98:ALA:HB1	A:153:PHE:CE1	0.654
155	A:106:MET:HE2	A:138:TRP:CG	0.623
155	A:105:GLN:HG2	A:138:TRP:HD1	0.622

Model ID	Atom-1	Atom-2	Clash overlap (Å)
155	A:139:TYR:HD1	A:146:ALA:HB1	0.594
155	A:14:ARG:HB3	A:18:TYR:HE1	0.589
155	A:27:ILE:CD1	A:58:ILE:HG12	0.588
155	A:15:LEU:HG	A:57:VAL:HG13	0.578
155	A:114:PHE:HB3	A:117:SER:HB2	0.574
155	A:1:MET:CG	A:5:GLU:HB2	0.568
155	A:130:ALA:HB1	A:150:ILE:HG23	0.563
155	A:130:ALA:CB	A:150:ILE:HG23	0.559
155	A:97:ALA:HB3	A:158:TRP:HH2	0.550
155	A:98:ALA:CB	A:153:PHE:HE1	0.549
155	A:6:MET:HG3	A:161:TYR:CE2	0.546
155	A:50:ILE:HG21	A:54:THR:SG	0.542
155	A:102:MET:HE1	A:133:LEU:HB3	0.542
155	A:33:LEU:HD11	A:46:LEU:HD13	0.541
155	A:79:LEU:HD22	A:85:LYS:HG3	0.528
155	A:46:LEU:HD23	A:50:ILE:HD13	0.524
155	A:130:ALA:HB1	A:150:ILE:CG2	0.522
155	A:1:MET:CE	A:158:TRP:CE3	0.517
155	A:79:LEU:CD2	A:85:LYS:HG3	0.511
155	A:98:ALA:CB	A:153:PHE:CE1	0.511
155	A:103:VAL:HG22	A:111:VAL:CG2	0.508
155	A:142:THR:HB	A:145:ARG:HB3	0.507
155	A:81:ASN:CG	A:84:LEU:HD13	0.498

Model ID	Atom-1	Atom-2	Clash overlap (Å)
155	A:50:ILE:HG22	A:52:ARG:H	0.488
155	A:4:PHE:CE2	A:13:LEU:HD11	0.485
155	A:102:MET:HE1	A:133:LEU:CG	0.483
155	A:54:THR:SG	A:58:ILE:HG22	0.476
155	A:102:MET:CE	A:106:MET:HE1	0.474
155	A:16:LYS:HG2	A:57:VAL:HG22	0.472
155	A:29:ILE:CD1	A:67:PHE:HB2	0.472
155	A:67:PHE:O	A:71:VAL:HG23	0.471
155	A:97:ALA:HB3	A:158:TRP:CH2	0.470
155	A:102:MET:HE3	A:138:TRP:CH2	0.470
155	A:102:MET:HE1	A:133:LEU:HG	0.467
155	A:1:MET:HE1	A:161:TYR:HB3	0.464
155	A:78:ILE:HD12	A:84:LEU:HD22	0.463
155	A:1:MET:HG3	A:5:GLU:CB	0.462
155	A:14:ARG:CB	A:18:TYR:CE1	0.462
155	A:27:ILE:HD11	A:58:ILE:HG12	0.451
155	A:33:LEU:HD13	A:42:ALA:C	0.447
155	A:4:PHE:CZ	A:64:GLU:HG3	0.446
155	A:17:ILE:HD11	A:46:LEU:HG	0.445
155	A:50:ILE:HG22	A:52:ARG:HB2	0.444
155	A:16:LYS:HA	A:56:GLY:O	0.442
155	A:10:ASP:HB3	A:11:GLU:OE1	0.441
155	A:101:ASN:O	A:104:PHE:HB2	0.439

Model ID	Atom-1	Atom-2	Clash overlap (Å)
155	A:77:GLY:O	A:80:ARG:HG2	0.438
155	A:26:THR:HA	A:31:HIS:O	0.433
155	A:45:GLU:HA	A:48:LYS:HG2	0.430
155	A:84:LEU:HD21	A:118:LEU:HD21	0.429
155	A:118:LEU:HA	A:118:LEU:HD22	0.427
155	A:117:SER:O	A:121:LEU:HG	0.427
155	A:91:LEU:O	A:96:ARG:HD2	0.426
155	A:59:THR:H	A:62:GLU:HB2	0.425
155	A:98:ALA:HB3	A:153:PHE:HE1	0.422
155	A:29:ILE:HD13	A:67:PHE:CB	0.421
155	A:7:LEU:HD21	A:104:PHE:HE1	0.419
155	A:97:ALA:O	A:100:ILE:HB	0.419
155	A:78:ILE:HG21	A:88:TYR:HD2	0.418
155	A:123:GLN:HG2	A:125:ARG:HG3	0.412
155	A:99:LEU:O	A:103:VAL:HG23	0.411
155	A:94:VAL:HG11	A:156:GLY:C	0.408
155	A:75:VAL:O	A:79:LEU:HB2	0.405
155	A:8:ARG:O	A:12:GLY:HA2	0.404
155	A:1:MET:HE3	A:6:MET:CB	0.402
155	A:39:LEU:HD13	A:40:ASN:N	0.402
156	A:27:ILE:HG21	A:46:LEU:HD11	1.176
156	A:102:MET:HE1	A:133:LEU:HG	1.051
156	A:3:ILE:SG	A:100:ILE:HD13	0.937

Model ID	Atom-1	Atom-2	Clash overlap (Å)
156	A:58:ILE:CD1	A:63:ALA:HB2	0.826
156	A:79:LEU:HD22	A:85:LYS:HG3	0.793
156	A:102:MET:HE1	A:133:LEU:CG	0.747
156	A:1:MET:HE2	A:158:TRP:CE3	0.732
156	A:103:VAL:HG22	A:111:VAL:HG21	0.731
156	A:121:LEU:HD22	A:129:ALA:HB2	0.710
156	A:102:MET:HE2	A:106:MET:CE	0.705
156	A:102:MET:HE3	A:138:TRP:CZ3	0.700
156	A:8:ARG:HG3	A:13:LEU:HD13	0.695
156	A:114:PHE:HB3	A:117:SER:HB2	0.693
156	A:3:ILE:SG	A:97:ALA:SG	0.690
156	A:102:MET:HE2	A:106:MET:HE1	0.685
156	A:27:ILE:CG2	A:46:LEU:HD11	0.678
156	A:14:ARG:CB	A:18:TYR:HE1	0.668
156	A:1:MET:HE3	A:6:MET:HB2	0.656
156	A:118:LEU:HD13	A:121:LEU:HD12	0.654
156	A:58:ILE:HD11	A:63:ALA:HB2	0.652
156	A:14:ARG:HB3	A:18:TYR:HE1	0.633
156	A:79:LEU:HD22	A:85:LYS:CG	0.629
156	A:102:MET:CE	A:133:LEU:HG	0.612
156	A:75:VAL:HG13	A:79:LEU:HD12	0.608
156	A:17:ILE:HG12	A:27:ILE:HB	0.595
156	A:106:MET:HE3	A:138:TRP:CD2	0.567

Model ID	Atom-1	Atom-2	Clash overlap (Å)
156	A:124:LYS:HG3	A:126:TRP:CZ2	0.562
156	A:17:ILE:HG21	A:25:TYR:HD1	0.554
156	A:17:ILE:HD11	A:46:LEU:HG	0.546
156	A:58:ILE:HD13	A:63:ALA:HB2	0.545
156	A:1:MET:CG	A:5:GLU:HB2	0.544
156	A:1:MET:CE	A:158:TRP:CE3	0.537
156	A:25:TYR:HB3	A:33:LEU:HD12	0.532
156	A:78:ILE:HG22	A:85:LYS:HG2	0.531
156	A:124:LYS:CG	A:126:TRP:CZ2	0.531
156	A:50:ILE:HG21	A:54:THR:SG	0.527
156	A:81:ASN:CG	A:84:LEU:HB2	0.527
156	A:130:ALA:HB1	A:150:ILE:CG2	0.525
156	A:98:ALA:HB1	A:153:PHE:CE1	0.521
156	A:6:MET:HE1	A:98:ALA:HA	0.512
156	A:5:GLU:O	A:9:ILE:HD12	0.505
156	A:81:ASN:OD1	A:84:LEU:HB2	0.503
156	A:17:ILE:CG2	A:25:TYR:HD1	0.490
156	A:142:THR:HG22	A:145:ARG:HB3	0.477
156	A:78:ILE:HD12	A:84:LEU:HD22	0.475
156	A:1:MET:HE2	A:158:TRP:CD2	0.474
156	A:16:LYS:HG3	A:57:VAL:HG22	0.473
156	A:116:ASN:HA	A:119:ARG:HB2	0.473
156	A:121:LEU:HD22	A:129:ALA:CB	0.468

Model ID	Atom-1	Atom-2	Clash overlap (Å)
156	A:84:LEU:O	A:88:TYR:HB2	0.467
156	A:97:ALA:HA	A:100:ILE:HB	0.465
156	A:6:MET:O	A:10:ASP:HB2	0.457
156	A:102:MET:HE3	A:138:TRP:CH2	0.455
156	A:116:ASN:O	A:120:MET:HG2	0.455
156	A:15:LEU:O	A:58:ILE:HG13	0.454
156	A:67:PHE:O	A:71:VAL:HG23	0.450
156	A:97:ALA:HA	A:100:ILE:HD12	0.448
156	A:14:ARG:HB3	A:18:TYR:CE1	0.442
156	A:88:TYR:OH	A:100:ILE:HG13	0.440
156	A:139:TYR:HD1	A:146:ALA:CB	0.440
156	A:97:ALA:HB3	A:158:TRP:HH2	0.432
156	A:19:LYS:HE3	A:23:GLY:HA2	0.430
156	A:6:MET:HB2	A:158:TRP:CZ3	0.429
156	A:1:MET:HG3	A:5:GLU:HB2	0.427
156	A:8:ARG:O	A:12:GLY:HA2	0.426
156	A:101:ASN:O	A:104:PHE:HB2	0.425
156	A:139:TYR:HD1	A:146:ALA:HB3	0.425
156	A:4:PHE:CE1	A:29:ILE:HD13	0.422
156	A:66:LEU:HA	A:66:LEU:HD23	0.421
156	A:85:LYS:HD2	A:88:TYR:HB3	0.418
156	A:94:VAL:HG22	A:158:TRP:NE1	0.418
156	A:7:LEU:HD12	A:11:GLU:OE1	0.417

Model ID	Atom-1	Atom-2	Clash overlap (Å)
156	A:16:LYS:HA	A:56:GLY:O	0.417
156	A:1:MET:HE2	A:158:TRP:CZ3	0.416
156	A:124:LYS:HG2	A:126:TRP:CZ2	0.416
156	A:4:PHE:CE2	A:13:LEU:HD11	0.415
156	A:127:ASP:O	A:131:VAL:HG23	0.415
156	A:3:ILE:SG	A:100:ILE:CD1	0.415
156	A:99:LEU:HD12	A:153:PHE:CE1	0.413
156	A:85:LYS:HA	A:85:LYS:HD2	0.412
156	A:1:MET:HG3	A:5:GLU:CB	0.407
156	A:106:MET:HE3	A:138:TRP:CG	0.407
156	A:79:LEU:CD2	A:85:LYS:HG3	0.406
156	A:46:LEU:HA	A:46:LEU:HD12	0.405
156	A:58:ILE:H	A:58:ILE:HG13	0.404
156	A:31:HIS:O	A:33:LEU:HD22	0.403
156	A:1:MET:HG2	A:5:GLU:HB2	0.401
157	A:103:VAL:HG22	A:111:VAL:HG21	0.981
157	A:50:ILE:HG21	A:54:THR:SG	0.947
157	A:83:LYS:HD2	A:84:LEU:HD12	0.914
157	A:13:LEU:HD23	A:29:ILE:HG13	0.853
157	A:103:VAL:HG22	A:111:VAL:CG2	0.847
157	A:124:LYS:HG2	A:126:TRP:CZ2	0.832
157	A:17:ILE:HD11	A:46:LEU:HG	0.800
157	A:14:ARG:HB3	A:18:TYR:CE1	0.752

Model ID	Atom-1	Atom-2	Clash overlap (Å)
157	A:124:LYS:HG2	A:126:TRP:HZ2	0.718
157	A:3:ILE:SG	A:97:ALA:SG	0.711
157	A:102:MET:HE3	A:138:TRP:CZ3	0.697
157	A:139:TYR:HD1	A:146:ALA:HB1	0.684
157	A:102:MET:HE1	A:133:LEU:HB3	0.659
157	A:1:MET:HE3	A:6:MET:HB2	0.651
157	A:6:MET:HE1	A:98:ALA:HA	0.630
157	A:13:LEU:CD2	A:29:ILE:HG13	0.629
157	A:78:ILE:HG21	A:88:TYR:CD2	0.614
157	A:151:THR:HG21	A:160:ALA:CB	0.610
157	A:39:LEU:HD22	A:42:ALA:HB3	0.585
157	A:1:MET:CG	A:5:GLU:HB2	0.578
157	A:1:MET:HE2	A:158:TRP:CE3	0.577
157	A:106:MET:HE2	A:138:TRP:CG	0.575
157	A:1:MET:CE	A:6:MET:HB2	0.573
157	A:3:ILE:SG	A:100:ILE:CD1	0.572
157	A:139:TYR:CD1	A:146:ALA:HB1	0.565
157	A:33:LEU:HD12	A:46:LEU:HD13	0.557
157	A:33:LEU:HD11	A:42:ALA:C	0.551
157	A:102:MET:HE1	A:133:LEU:HG	0.549
157	A:1:MET:HE2	A:158:TRP:CD2	0.546
157	A:3:ILE:SG	A:100:ILE:HD13	0.543
157	A:88:TYR:CZ	A:96:ARG:HD3	0.539

Model ID	Atom-1	Atom-2	Clash overlap (Å)
157	A:148:ARG:HB3	A:161:TYR:CZ	0.538
157	A:4:PHE:CZ	A:64:GLU:HG3	0.537
157	A:83:LYS:HD2	A:84:LEU:CD1	0.536
157	A:27:ILE:HD11	A:58:ILE:HG12	0.530
157	A:4:PHE:HD1	A:67:PHE:CD2	0.523
157	A:58:ILE:HB	A:62:GLU:HB3	0.517
157	A:25:TYR:CZ	A:39:LEU:HB2	0.513
157	A:98:ALA:HB3	A:153:PHE:CE1	0.512
157	A:148:ARG:HB3	A:161:TYR:CE1	0.510
157	A:50:ILE:CG2	A:54:THR:SG	0.510
157	A:3:ILE:SG	A:100:ILE:HD12	0.509
157	A:1:MET:HG2	A:5:GLU:HB2	0.507
157	A:15:LEU:O	A:58:ILE:HG13	0.505
157	A:158:TRP:O	A:162:LYS:HG2	0.503
157	A:25:TYR:CD1	A:39:LEU:HD23	0.499
157	A:124:LYS:CG	A:126:TRP:CZ2	0.490
157	A:102:MET:HE1	A:133:LEU:CB	0.485
157	A:102:MET:HE2	A:106:MET:HE1	0.484
157	A:46:LEU:O	A:50:ILE:HG22	0.483
157	A:14:ARG:HB3	A:18:TYR:CD1	0.482
157	A:25:TYR:CE1	A:39:LEU:HD23	0.482
157	A:79:LEU:HD22	A:85:LYS:HG3	0.482
157	A:6:MET:HG3	A:161:TYR:CE2	0.478

Model ID	Atom-1	Atom-2	Clash overlap (Å)
157	A:4:PHE:CE1	A:29:ILE:HD13	0.472
157	A:98:ALA:CB	A:153:PHE:CE1	0.472
157	A:78:ILE:CG2	A:88:TYR:CD2	0.470
157	A:38:SER:HB2	A:40:ASN:HB2	0.468
157	A:59:THR:OG1	A:62:GLU:HB2	0.463
157	A:94:VAL:HG12	A:152:THR:HG23	0.460
157	A:102:MET:HG3	A:149:VAL:HG11	0.460
157	A:67:PHE:HA	A:70:ASP:HB3	0.458
157	A:78:ILE:HG21	A:88:TYR:CG	0.458
157	A:127:ASP:O	A:131:VAL:HG23	0.457
157	A:4:PHE:CD1	A:67:PHE:CD2	0.453
157	A:123:GLN:HG3	A:125:ARG:HG3	0.453
157	A:117:SER:O	A:121:LEU:HG	0.452
157	A:12:GLY:O	A:13:LEU:HD12	0.448
157	A:39:LEU:HA	A:42:ALA:HB3	0.448
157	A:105:GLN:HG2	A:138:TRP:HD1	0.448
157	A:1:MET:CE	A:158:TRP:CE3	0.446
157	A:29:ILE:HB	A:67:PHE:CD1	0.446
157	A:151:THR:HG21	A:160:ALA:HB1	0.444
157	A:75:VAL:O	A:79:LEU:HB2	0.443
157	A:36:SER:OG	A:41:ALA:HB3	0.442
157	A:94:VAL:HG22	A:158:TRP:NE1	0.441
157	A:93:ALA:HA	A:96:ARG:HB2	0.434

Model ID	Atom-1	Atom-2	Clash overlap (Å)
157	A:33:LEU:HD23	A:46:LEU:HD13	0.431
157	A:52:ARG:HB3	A:54:THR:SG	0.429
157	A:35:LYS:HE2	A:109:THR:OG1	0.422
157	A:125:ARG:HB3	A:128:GLU:OE1	0.421
157	A:66:LEU:O	A:66:LEU:HD23	0.419
157	A:1:MET:HE2	A:158:TRP:CZ3	0.416
157	A:120:MET:O	A:123:GLN:HB3	0.414
157	A:14:ARG:CB	A:18:TYR:CE1	0.413
157	A:50:ILE:HG23	A:53:ASN:H	0.413
157	A:22:GLU:HB3	A:24:TYR:HD2	0.412
157	A:17:ILE:HG22	A:25:TYR:HD1	0.410
157	A:117:SER:HB3	A:133:LEU:HD11	0.408
157	A:94:VAL:CG1	A:152:THR:HG23	0.407
157	A:94:VAL:HG12	A:152:THR:CG2	0.406
157	A:115:THR:HA	A:118:LEU:HB2	0.406
157	A:4:PHE:HD1	A:67:PHE:CE2	0.404
157	A:26:THR:HG23	A:31:HIS:C	0.403
157	A:99:LEU:HD21	A:121:LEU:HD11	0.403
157	A:17:ILE:CG2	A:25:TYR:HD1	0.403
157	A:116:ASN:HB3	A:120:MET:HE2	0.402
158	A:1:MET:HG3	A:5:GLU:HB2	0.956
158	A:50:ILE:HD11	A:66:LEU:HD11	0.894
158	A:16:LYS:HG2	A:57:VAL:HG22	0.874

Model ID	Atom-1	Atom-2	Clash overlap (Å)
158	A:16:LYS:CG	A:57:VAL:HG22	0.794
158	A:6:MET:HB2	A:158:TRP:HZ3	0.782
158	A:6:MET:HB2	A:158:TRP:CZ3	0.756
158	A:1:MET:HE2	A:158:TRP:CE3	0.747
158	A:79:LEU:HD23	A:85:LYS:HG3	0.747
158	A:87:VAL:HG21	A:122:GLN:HG2	0.722
158	A:50:ILE:CD1	A:66:LEU:HD11	0.709
158	A:87:VAL:HG11	A:122:GLN:HA	0.704
158	A:25:TYR:CE2	A:39:LEU:HB2	0.702
158	A:50:ILE:HD11	A:66:LEU:CD1	0.701
158	A:3:ILE:SG	A:97:ALA:SG	0.698
158	A:124:LYS:HG2	A:126:TRP:CZ2	0.685
158	A:83:LYS:HD2	A:84:LEU:HD12	0.659
158	A:79:LEU:CD2	A:85:LYS:HG3	0.657
158	A:14:ARG:CB	A:18:TYR:HE1	0.632
158	A:29:ILE:HD12	A:67:PHE:HB2	0.606
158	A:14:ARG:HB3	A:18:TYR:HE1	0.589
158	A:102:MET:HE3	A:138:TRP:CZ3	0.579
158	A:139:TYR:HD1	A:146:ALA:HB1	0.579
158	A:1:MET:HE2	A:158:TRP:CZ3	0.577
158	A:58:ILE:HD12	A:62:GLU:HB3	0.572
158	A:14:ARG:HB3	A:18:TYR:CE1	0.568
158	A:13:LEU:HD23	A:29:ILE:HG13	0.564

Model ID	Atom-1	Atom-2	Clash overlap (Å)
158	A:124:LYS:HG2	A:126:TRP:CH2	0.551
158	A:1:MET:HB2	A:5:GLU:HG3	0.550
158	A:25:TYR:HB3	A:33:LEU:HD12	0.548
158	A:16:LYS:HG2	A:57:VAL:CG2	0.543
158	A:1:MET:HG3	A:5:GLU:CB	0.530
158	A:114:PHE:HB3	A:118:LEU:HD23	0.526
158	A:148:ARG:HB3	A:161:TYR:CE1	0.522
158	A:33:LEU:HD13	A:42:ALA:C	0.515
158	A:127:ASP:O	A:131:VAL:HG23	0.507
158	A:67:PHE:O	A:71:VAL:HG23	0.505
158	A:16:LYS:HG3	A:57:VAL:HG22	0.501
158	A:6:MET:CB	A:158:TRP:HZ3	0.496
158	A:94:VAL:HG22	A:158:TRP:CD1	0.486
158	A:17:ILE:CG2	A:25:TYR:HD1	0.484
158	A:6:MET:HE3	A:161:TYR:CE1	0.480
158	A:25:TYR:CE2	A:39:LEU:CB	0.480
158	A:17:ILE:HG22	A:25:TYR:HD1	0.471
158	A:59:THR:OG1	A:62:GLU:HB2	0.470
158	A:17:ILE:HD11	A:46:LEU:HG	0.467
158	A:116:ASN:O	A:120:MET:HG2	0.465
158	A:8:ARG:HG3	A:13:LEU:HD13	0.456
158	A:16:LYS:HA	A:56:GLY:O	0.450
158	A:101:ASN:O	A:104:PHE:HB2	0.448

Model ID	Atom-1	Atom-2	Clash overlap (Å)
158	A:73:ALA:HA	A:76:ARG:HB2	0.443
158	A:17:ILE:HG12	A:27:ILE:HB	0.440
158	A:144:ASN:O	A:148:ARG:HG3	0.440
158	A:121:LEU:CD2	A:129:ALA:HB2	0.437
158	A:14:ARG:HA	A:14:ARG:HD3	0.434
158	A:93:ALA:HA	A:96:ARG:HB2	0.433
158	A:29:ILE:HB	A:67:PHE:CD1	0.426
158	A:106:MET:HE2	A:138:TRP:CG	0.425
158	A:52:ARG:HB3	A:54:THR:SG	0.422
158	A:17:ILE:HD13	A:33:LEU:HD11	0.419
158	A:14:ARG:CB	A:18:TYR:CE1	0.418
158	A:148:ARG:HB3	A:161:TYR:CZ	0.417
158	A:94:VAL:HG22	A:158:TRP:NE1	0.416
158	A:91:LEU:HD21	A:126:TRP:CH2	0.410
158	A:6:MET:HG3	A:161:TYR:CE2	0.408
158	A:97:ALA:O	A:100:ILE:HB	0.405
158	A:101:ASN:HA	A:104:PHE:HD1	0.404
158	A:98:ALA:HB3	A:153:PHE:CE1	0.401
159	A:16:LYS:HG2	A:57:VAL:HG22	1.095
159	A:102:MET:HE1	A:133:LEU:HB3	1.064
159	A:1:MET:HE1	A:158:TRP:CE3	0.973
159	A:1:MET:HE2	A:6:MET:HB2	0.901
159	A:102:MET:HE2	A:106:MET:HE1	0.897

Model ID	Atom-1	Atom-2	Clash overlap (Å)
159	A:14:ARG:HB2	A:18:TYR:HE1	0.879
159	A:1:MET:HE1	A:158:TRP:CZ3	0.854
159	A:79:LEU:CD2	A:85:LYS:HG3	0.820
159	A:1:MET:HG2	A:5:GLU:HB2	0.814
159	A:14:ARG:HB2	A:18:TYR:CE1	0.774
159	A:102:MET:HE1	A:133:LEU:CB	0.754
159	A:79:LEU:HD23	A:85:LYS:HG3	0.728
159	A:1:MET:CE	A:6:MET:HB2	0.717
159	A:86:PRO:HA	A:89:ASP:HB2	0.713
159	A:78:ILE:HD11	A:84:LEU:HD22	0.703
159	A:6:MET:HE1	A:98:ALA:HA	0.702
159	A:3:ILE:SG	A:97:ALA:SG	0.693
159	A:119:ARG:HA	A:122:GLN:HG2	0.692
159	A:102:MET:HE3	A:138:TRP:CZ3	0.683
159	A:50:ILE:HG21	A:54:THR:SG	0.653
159	A:1:MET:HE2	A:6:MET:CB	0.610
159	A:118:LEU:HD13	A:121:LEU:HD12	0.603
159	A:6:MET:HG3	A:161:TYR:CE2	0.590
159	A:1:MET:CG	A:5:GLU:HB2	0.581
159	A:124:LYS:HG2	A:126:TRP:HZ2	0.557
159	A:81:ASN:HB3	A:84:LEU:HB2	0.543
159	A:124:LYS:HG2	A:126:TRP:CZ2	0.537
159	A:102:MET:HE3	A:138:TRP:CH2	0.523

Model ID	Atom-1	Atom-2	Clash overlap (Å)
159	A:139:TYR:HD1	A:146:ALA:HB1	0.522
159	A:102:MET:CE	A:106:MET:HE1	0.506
159	A:16:LYS:HG2	A:57:VAL:CG2	0.504
159	A:98:ALA:HB1	A:153:PHE:CE1	0.503
159	A:17:ILE:CG2	A:25:TYR:HD1	0.496
159	A:102:MET:HE1	A:133:LEU:CG	0.492
159	A:98:ALA:CB	A:153:PHE:CE1	0.489
159	A:17:ILE:HG21	A:25:TYR:HD1	0.486
159	A:72:ASP:O	A:75:VAL:HB	0.482
159	A:67:PHE:O	A:71:VAL:HG23	0.477
159	A:17:ILE:CG2	A:25:TYR:CD1	0.476
159	A:102:MET:SD	A:133:LEU:HG	0.475
159	A:127:ASP:O	A:131:VAL:HG23	0.472
159	A:111:VAL:HA	A:114:PHE:HD1	0.469
159	A:105:GLN:CD	A:138:TRP:HD1	0.466
159	A:111:VAL:HA	A:114:PHE:CD1	0.465
159	A:44:SER:O	A:48:LYS:HB2	0.462
159	A:17:ILE:HD11	A:46:LEU:HG	0.459
159	A:102:MET:HE2	A:106:MET:CE	0.458
159	A:117:SER:O	A:121:LEU:HG	0.458
159	A:150:ILE:HA	A:153:PHE:CD2	0.457
159	A:8:ARG:HG3	A:13:LEU:HB2	0.454
159	A:1:MET:CE	A:158:TRP:CZ3	0.452

Model ID	Atom-1	Atom-2	Clash overlap (Å)
159	A:17:ILE:HG13	A:27:ILE:HD12	0.445
159	A:16:LYS:HA	A:56:GLY:O	0.442
159	A:136:SER:HB2	A:138:TRP:HB3	0.440
159	A:8:ARG:HA	A:13:LEU:HD13	0.439
159	A:19:LYS:HE2	A:25:TYR:CE2	0.439
159	A:84:LEU:HD21	A:118:LEU:HG	0.437
159	A:27:ILE:HG22	A:31:HIS:HD2	0.431
159	A:29:ILE:HD13	A:67:PHE:CG	0.423
159	A:14:ARG:CB	A:18:TYR:CE1	0.419
159	A:103:VAL:HG13	A:111:VAL:HG21	0.419
159	A:139:TYR:CD1	A:146:ALA:HB1	0.419
159	A:4:PHE:CE1	A:29:ILE:CD1	0.417
159	A:16:LYS:C	A:27:ILE:HG13	0.409
159	A:4:PHE:CE1	A:29:ILE:HD11	0.406
159	A:17:ILE:HG21	A:25:TYR:CD1	0.405
159	A:133:LEU:HA	A:133:LEU:HD23	0.403
159	A:85:LYS:HB3	A:85:LYS:HE2	0.401
160	A:103:VAL:HG22	A:111:VAL:HG21	1.166
160	A:79:LEU:HD23	A:85:LYS:HG3	1.103
160	A:1:MET:HE3	A:6:MET:HB2	0.948
160	A:50:ILE:HD11	A:66:LEU:HD11	0.910
160	A:130:ALA:HB1	A:150:ILE:HG23	0.890
160	A:3:ILE:SG	A:100:ILE:HD13	0.854

Model ID	Atom-1	Atom-2	Clash overlap (Å)
160	A:139:TYR:HD1	A:146:ALA:HB1	0.854
160	A:1:MET:HE2	A:158:TRP:CZ3	0.813
160	A:124:LYS:HG2	A:126:TRP:CZ2	0.763
160	A:14:ARG:HB3	A:18:TYR:CE1	0.760
160	A:79:LEU:CD2	A:85:LYS:HG3	0.748
160	A:1:MET:HE2	A:158:TRP:CE3	0.744
160	A:102:MET:HE3	A:138:TRP:CZ3	0.742
160	A:130:ALA:HB1	A:150:ILE:CG2	0.716
160	A:16:LYS:HG2	A:57:VAL:HG13	0.701
160	A:3:ILE:SG	A:97:ALA:SG	0.677
160	A:27:ILE:HG22	A:33:LEU:HD21	0.672
160	A:139:TYR:CD1	A:146:ALA:HB1	0.647
160	A:124:LYS:HG2	A:126:TRP:HZ2	0.646
160	A:50:ILE:HG21	A:54:THR:SG	0.636
160	A:1:MET:HE3	A:6:MET:CB	0.623
160	A:103:VAL:HG22	A:111:VAL:CG2	0.622
160	A:102:MET:HE1	A:133:LEU:HB3	0.603
160	A:103:VAL:CG2	A:111:VAL:HG21	0.587
160	A:50:ILE:CD1	A:66:LEU:HD11	0.586
160	A:102:MET:HE2	A:106:MET:HE1	0.582
160	A:98:ALA:HB3	A:153:PHE:HE1	0.580
160	A:45:GLU:HA	A:48:LYS:HB2	0.576
160	A:58:ILE:HB	A:62:GLU:HB3	0.568

Model ID	Atom-1	Atom-2	Clash overlap (Å)
160	A:58:ILE:HD12	A:62:GLU:HB3	0.560
160	A:79:LEU:HD23	A:85:LYS:CG	0.558
160	A:27:ILE:HG23	A:31:HIS:HD2	0.556
160	A:106:MET:HE2	A:138:TRP:CG	0.551
160	A:1:MET:HG3	A:5:GLU:HB2	0.547
160	A:102:MET:HG2	A:138:TRP:CZ2	0.543
160	A:17:ILE:CG2	A:25:TYR:HD1	0.537
160	A:50:ILE:HD11	A:66:LEU:CD1	0.535
160	A:6:MET:HG3	A:161:TYR:CE2	0.532
160	A:24:TYR:HB3	A:32:LEU:HD21	0.532
160	A:19:LYS:HD3	A:23:GLY:HA2	0.531
160	A:29:ILE:HD13	A:67:PHE:CG	0.528
160	A:139:TYR:CD1	A:146:ALA:CB	0.525
160	A:102:MET:HE2	A:106:MET:CE	0.524
160	A:137:ARG:HA	A:140:ASN:HD21	0.523
160	A:1:MET:CG	A:5:GLU:HB2	0.522
160	A:148:ARG:HB3	A:161:TYR:CE1	0.520
160	A:123:GLN:HG3	A:125:ARG:HG2	0.519
160	A:75:VAL:HG12	A:79:LEU:HD12	0.517
160	A:111:VAL:HA	A:114:PHE:HD1	0.509
160	A:148:ARG:HD2	A:161:TYR:CE1	0.509
160	A:33:LEU:HD12	A:42:ALA:HB1	0.508
160	A:52:ARG:HB3	A:54:THR:SG	0.499

Model ID	Atom-1	Atom-2	Clash overlap (Å)
160	A:1:MET:CE	A:158:TRP:CZ3	0.499
160	A:3:ILE:SG	A:100:ILE:HG21	0.496
160	A:27:ILE:HG23	A:31:HIS:CD2	0.495
160	A:15:LEU:HB3	A:58:ILE:O	0.493
160	A:50:ILE:HD11	A:66:LEU:HD21	0.490
160	A:14:ARG:CB	A:18:TYR:CE1	0.488
160	A:33:LEU:HB3	A:42:ALA:HA	0.488
160	A:24:TYR:CD1	A:32:LEU:HD21	0.486
160	A:127:ASP:O	A:131:VAL:HG23	0.486
160	A:94:VAL:HG22	A:158:TRP:HE1	0.478
160	A:17:ILE:HG12	A:33:LEU:HD11	0.476
160	A:22:GLU:HG2	A:105:GLN:HE22	0.473
160	A:102:MET:HE3	A:138:TRP:CH2	0.469
160	A:111:VAL:HA	A:114:PHE:CD1	0.467
160	A:6:MET:HE2	A:161:TYR:CZ	0.465
160	A:32:LEU:HD22	A:34:THR:C	0.465
160	A:95:ARG:HG2	A:153:PHE:HA	0.464
160	A:78:ILE:HG21	A:88:TYR:HD2	0.459
160	A:114:PHE:HB3	A:117:SER:HB2	0.458
160	A:116:ASN:HB3	A:120:MET:HE1	0.457
160	A:98:ALA:HB3	A:153:PHE:CE1	0.452
160	A:34:THR:HG21	A:41:ALA:HB3	0.451
160	A:12:GLY:O	A:29:ILE:HA	0.448

Model ID	Atom-1	Atom-2	Clash overlap (Å)
160	A:12:GLY:O	A:13:LEU:HD12	0.444
160	A:98:ALA:CB	A:153:PHE:CE1	0.442
160	A:22:GLU:HG3	A:24:TYR:HE2	0.437
160	A:1:MET:CE	A:6:MET:HB2	0.432
160	A:31:HIS:HA	A:70:ASP:OD1	0.424
160	A:27:ILE:HD11	A:58:ILE:HD11	0.421
160	A:77:GLY:O	A:80:ARG:HB2	0.416
160	A:130:ALA:CB	A:150:ILE:HG23	0.414
160	A:7:LEU:HD11	A:104:PHE:CD1	0.408
160	A:121:LEU:HD22	A:129:ALA:HB2	0.406
160	A:33:LEU:HD13	A:42:ALA:C	0.405
160	A:97:ALA:HA	A:100:ILE:HD12	0.405
160	A:88:TYR:HA	A:91:LEU:HD13	0.404
161	A:33:LEU:HD11	A:46:LEU:HG	1.079
161	A:17:ILE:HD12	A:43:LYS:HD3	1.020
161	A:27:ILE:HG23	A:33:LEU:HD12	1.013
161	A:19:LYS:HB3	A:25:TYR:CE1	0.937
161	A:6:MET:HG3	A:161:TYR:CE2	0.896
161	A:124:LYS:HG3	A:126:TRP:CZ2	0.865
161	A:142:THR:CG2	A:145:ARG:HB2	0.862
161	A:27:ILE:CG2	A:33:LEU:HD12	0.859
161	A:142:THR:HG21	A:145:ARG:HB2	0.845
161	A:6:MET:SD	A:158:TRP:HZ3	0.840

Model ID	Atom-1	Atom-2	Clash overlap (Å)
161	A:130:ALA:HB1	A:150:ILE:HG23	0.835
161	A:106:MET:SD	A:114:PHE:HE1	0.834
161	A:130:ALA:CB	A:150:ILE:HG23	0.813
161	A:33:LEU:HD11	A:46:LEU:CG	0.804
161	A:27:ILE:HG12	A:33:LEU:HB2	0.796
161	A:3:ILE:SG	A:97:ALA:SG	0.757
161	A:16:LYS:HG3	A:57:VAL:HG22	0.732
161	A:87:VAL:HG12	A:118:LEU:HD21	0.707
161	A:123:GLN:HG3	A:125:ARG:HE	0.697
161	A:1:MET:HE1	A:6:MET:HB2	0.685
161	A:133:LEU:HB3	A:138:TRP:HZ3	0.682
161	A:25:TYR:CE1	A:39:LEU:HD13	0.681
161	A:50:ILE:HG22	A:52:ARG:H	0.661
161	A:16:LYS:HG3	A:57:VAL:CG2	0.660
161	A:106:MET:SD	A:114:PHE:CE1	0.656
161	A:33:LEU:CD1	A:46:LEU:HG	0.637
161	A:27:ILE:HG13	A:31:HIS:HB3	0.631
161	A:1:MET:HE1	A:158:TRP:CE3	0.630
161	A:87:VAL:CG1	A:118:LEU:HD21	0.618
161	A:1:MET:HG2	A:5:GLU:HB2	0.587
161	A:106:MET:HE2	A:138:TRP:CG	0.587
161	A:13:LEU:HG	A:29:ILE:HG23	0.586
161	A:139:TYR:HE1	A:150:ILE:HD12	0.584

Model ID	Atom-1	Atom-2	Clash overlap (Å)
161	A:1:MET:CE	A:6:MET:HB2	0.581
161	A:142:THR:HG22	A:145:ARG:HB2	0.575
161	A:6:MET:SD	A:158:TRP:CZ3	0.572
161	A:81:ASN:HB3	A:84:LEU:HB2	0.569
161	A:79:LEU:HD22	A:85:LYS:HG2	0.563
161	A:139:TYR:CE1	A:150:ILE:HD12	0.562
161	A:33:LEU:HD21	A:46:LEU:HD21	0.553
161	A:97:ALA:HB3	A:158:TRP:HH2	0.550
161	A:102:MET:HE2	A:106:MET:HE1	0.550
161	A:79:LEU:HG	A:85:LYS:HD3	0.546
161	A:130:ALA:HB1	A:150:ILE:CG2	0.540
161	A:50:ILE:HG22	A:52:ARG:HB2	0.536
161	A:17:ILE:CD1	A:43:LYS:HD3	0.534
161	A:67:PHE:CE2	A:71:VAL:CG2	0.532
161	A:98:ALA:HB1	A:153:PHE:CE2	0.532
161	A:1:MET:CE	A:158:TRP:CE3	0.527
161	A:6:MET:HG3	A:161:TYR:CZ	0.519
161	A:87:VAL:HG21	A:118:LEU:HD11	0.516
161	A:139:TYR:CE1	A:150:ILE:CD1	0.511
161	A:19:LYS:HB3	A:25:TYR:CD1	0.509
161	A:4:PHE:CZ	A:29:ILE:HD13	0.505
161	A:7:LEU:CD2	A:11:GLU:HB2	0.504
161	A:94:VAL:HG22	A:158:TRP:HE1	0.504

Model ID	Atom-1	Atom-2	Clash overlap (Å)
161	A:4:PHE:HZ	A:29:ILE:HD13	0.503
161	A:7:LEU:HD22	A:11:GLU:HB2	0.501
161	A:127:ASP:O	A:131:VAL:HG23	0.500
161	A:83:LYS:HD2	A:115:THR:HG23	0.496
161	A:94:VAL:HG13	A:158:TRP:CE2	0.488
161	A:27:ILE:HD13	A:33:LEU:HD23	0.483
161	A:1:MET:HG2	A:5:GLU:CB	0.474
161	A:6:MET:HE1	A:97:ALA:O	0.473
161	A:132:ASN:OD1	A:133:LEU:HD12	0.470
161	A:139:TYR:HE1	A:150:ILE:CD1	0.467
161	A:95:ARG:HD3	A:153:PHE:HA	0.466
161	A:42:ALA:O	A:46:LEU:HB2	0.463
161	A:142:THR:HG22	A:145:ARG:H	0.462
161	A:29:ILE:HB	A:67:PHE:CZ	0.458
161	A:94:VAL:HG13	A:158:TRP:CZ2	0.457
161	A:95:ARG:HD2	A:126:TRP:CD2	0.456
161	A:6:MET:HE3	A:7:LEU:HD12	0.454
161	A:58:ILE:HD12	A:63:ALA:HB2	0.453
161	A:81:ASN:CB	A:84:LEU:HB2	0.452
161	A:7:LEU:HG	A:104:PHE:CE2	0.450
161	A:15:LEU:HD11	A:29:ILE:HG13	0.449
161	A:43:LYS:HE2	A:55:ASN:C	0.448
161	A:24:TYR:HB3	A:32:LEU:HD11	0.447

Model ID	Atom-1	Atom-2	Clash overlap (Å)
161	A:117:SER:O	A:121:LEU:HD23	0.439
161	A:16:LYS:HA	A:56:GLY:C	0.438
161	A:81:ASN:HB2	A:84:LEU:HB3	0.435
161	A:95:ARG:CZ	A:95:ARG:HB2	0.435
161	A:14:ARG:O	A:15:LEU:HD12	0.434
161	A:25:TYR:HE1	A:39:LEU:HD13	0.434
161	A:102:MET:HB3	A:106:MET:HE3	0.434
161	A:126:TRP:HB3	A:153:PHE:HD1	0.432
161	A:114:PHE:O	A:117:SER:HB2	0.428
161	A:16:LYS:HA	A:56:GLY:O	0.427
161	A:1:MET:CG	A:5:GLU:HB2	0.425
161	A:13:LEU:CG	A:29:ILE:HG23	0.425
161	A:64:GLU:O	A:68:ASN:HB2	0.425
161	A:67:PHE:CE2	A:71:VAL:HG21	0.419
161	A:102:MET:HE3	A:138:TRP:CH2	0.418
161	A:133:LEU:HA	A:133:LEU:HD23	0.417
161	A:98:ALA:O	A:102:MET:HG3	0.414
161	A:116:ASN:HB3	A:120:MET:CE	0.413
161	A:77:GLY:O	A:80:ARG:HB2	0.412
161	A:10:ASP:HB3	A:145:ARG:HG2	0.411
161	A:48:LYS:HB3	A:48:LYS:HE2	0.410
161	A:6:MET:HE3	A:7:LEU:CD1	0.409
161	A:60:LYS:HB3	A:60:LYS:HE2	0.407

Model ID	Atom-1	Atom-2	Clash overlap (Å)
161	A:124:LYS:HG3	A:126:TRP:HZ2	0.404
161	A:114:PHE:C	A:117:SER:HB2	0.403
161	A:15:LEU:HD21	A:63:ALA:CB	0.402
161	A:106:MET:HE2	A:138:TRP:CD1	0.401
161	A:15:LEU:O	A:57:VAL:HA	0.401
162	A:130:ALA:HB1	A:150:ILE:HG23	1.167
162	A:16:LYS:HG2	A:57:VAL:HG22	1.069
162	A:103:VAL:HG22	A:111:VAL:HG21	0.933
162	A:7:LEU:HD22	A:11:GLU:HB2	0.914
162	A:81:ASN:HB3	A:84:LEU:HB3	0.906
162	A:87:VAL:HG11	A:118:LEU:HD21	0.891
162	A:106:MET:SD	A:114:PHE:HE1	0.884
162	A:130:ALA:CB	A:150:ILE:HG23	0.850
162	A:10:ASP:HB3	A:145:ARG:HG3	0.848
162	A:27:ILE:CG2	A:33:LEU:HD12	0.848
162	A:114:PHE:CE2	A:133:LEU:HD21	0.845
162	A:103:VAL:HG22	A:111:VAL:CG2	0.819
162	A:67:PHE:CE2	A:71:VAL:HG21	0.815
162	A:6:MET:SD	A:158:TRP:HZ3	0.785
162	A:114:PHE:HE2	A:133:LEU:HD21	0.763
162	A:27:ILE:HG23	A:33:LEU:HD12	0.760
162	A:19:LYS:HB3	A:25:TYR:CE1	0.751
162	A:81:ASN:HB3	A:84:LEU:CB	0.749

Model ID	Atom-1	Atom-2	Clash overlap (Å)
162	A:16:LYS:CG	A:57:VAL:HG22	0.736
162	A:58:ILE:HD12	A:63:ALA:CB	0.736
162	A:3:ILE:SG	A:97:ALA:SG	0.715
162	A:139:TYR:HE1	A:150:ILE:HD12	0.713
162	A:17:ILE:HD12	A:43:LYS:HD3	0.699
162	A:133:LEU:HB3	A:138:TRP:HZ3	0.696
162	A:106:MET:SD	A:114:PHE:CE1	0.683
162	A:1:MET:HE1	A:158:TRP:CE3	0.674
162	A:6:MET:SD	A:158:TRP:CZ3	0.673
162	A:15:LEU:HG	A:28:GLY:HA2	0.668
162	A:75:VAL:HA	A:78:ILE:HB	0.658
162	A:93:ALA:HA	A:96:ARG:HB2	0.657
162	A:130:ALA:HB1	A:150:ILE:CG2	0.656
162	A:33:LEU:HD11	A:46:LEU:HG	0.651
162	A:13:LEU:HG	A:29:ILE:HG23	0.644
162	A:142:THR:CG2	A:145:ARG:HB2	0.627
162	A:27:ILE:HG13	A:31:HIS:HB3	0.612
162	A:142:THR:HG21	A:145:ARG:HB2	0.610
162	A:58:ILE:HD12	A:63:ALA:HB1	0.607
162	A:87:VAL:HG11	A:118:LEU:CD2	0.600
162	A:139:TYR:CE1	A:150:ILE:HD12	0.595
162	A:27:ILE:HG21	A:33:LEU:HD12	0.592
162	A:25:TYR:CE1	A:39:LEU:HD13	0.588

Model ID	Atom-1	Atom-2	Clash overlap (Å)
162	A:3:ILE:SG	A:100:ILE:HG21	0.587
162	A:27:ILE:HG12	A:33:LEU:HB2	0.582
162	A:4:PHE:HZ	A:29:ILE:HG21	0.577
162	A:7:LEU:HD22	A:11:GLU:CB	0.573
162	A:15:LEU:HD23	A:58:ILE:CD1	0.559
162	A:87:VAL:CG1	A:118:LEU:HD21	0.554
162	A:4:PHE:HE2	A:13:LEU:HD11	0.528
162	A:43:LYS:HE2	A:55:ASN:C	0.528
162	A:4:PHE:CZ	A:29:ILE:HG21	0.515
162	A:31:HIS:CD2	A:71:VAL:HG22	0.514
162	A:9:ILE:HD13	A:161:TYR:HB3	0.511
162	A:132:ASN:OD1	A:133:LEU:HD12	0.511
162	A:67:PHE:CE2	A:71:VAL:CG2	0.510
162	A:84:LEU:HD11	A:99:LEU:HD21	0.507
162	A:88:TYR:CE1	A:96:ARG:HG2	0.506
162	A:97:ALA:HA	A:100:ILE:HB	0.499
162	A:1:MET:SD	A:6:MET:HB2	0.494
162	A:124:LYS:HD2	A:126:TRP:CH2	0.492
162	A:77:GLY:O	A:80:ARG:HB2	0.488
162	A:4:PHE:HZ	A:29:ILE:HD13	0.487
162	A:46:LEU:O	A:50:ILE:HD12	0.485
162	A:121:LEU:O	A:124:LYS:HD3	0.484
162	A:10:ASP:HB3	A:145:ARG:CG	0.481

Model ID	Atom-1	Atom-2	Clash overlap (Å)
162	A:4:PHE:CZ	A:29:ILE:HD13	0.473
162	A:12:GLY:C	A:13:LEU:HD12	0.473
162	A:24:TYR:HD1	A:35:LYS:HA	0.473
162	A:67:PHE:HE2	A:71:VAL:HG21	0.467
162	A:13:LEU:HG	A:29:ILE:CG2	0.465
162	A:50:ILE:HG22	A:52:ARG:N	0.465
162	A:117:SER:O	A:121:LEU:HG	0.464
162	A:15:LEU:HD23	A:63:ALA:HB1	0.461
162	A:97:ALA:HB3	A:158:TRP:HH2	0.460
162	A:1:MET:HG2	A:5:GLU:CB	0.459
162	A:81:ASN:CB	A:84:LEU:HB3	0.457
162	A:94:VAL:HG22	A:158:TRP:HE1	0.456
162	A:59:THR:OG1	A:62:GLU:HB3	0.455
162	A:4:PHE:CZ	A:13:LEU:HD21	0.452
162	A:17:ILE:CD1	A:43:LYS:HD3	0.451
162	A:121:LEU:C	A:124:LYS:H	0.448
162	A:98:ALA:O	A:102:MET:HG3	0.446
162	A:127:ASP:O	A:131:VAL:HG23	0.444
162	A:91:LEU:HD21	A:126:TRP:HZ3	0.443
162	A:119:ARG:O	A:122:GLN:HB2	0.441
162	A:102:MET:HE2	A:106:MET:HE1	0.438
162	A:6:MET:HG3	A:161:TYR:CE2	0.437
162	A:1:MET:CG	A:5:GLU:HB3	0.436

Model ID	Atom-1	Atom-2	Clash overlap (Å)
162	A:43:LYS:HE2	A:55:ASN:O	0.435
162	A:50:ILE:HG22	A:52:ARG:HB2	0.433
162	A:47:ASP:OD2	A:53:ASN:HA	0.433
162	A:15:LEU:HD23	A:58:ILE:HD11	0.426
162	A:97:ALA:HB3	A:158:TRP:CH2	0.426
162	A:102:MET:HE1	A:133:LEU:CD2	0.424
162	A:85:LYS:O	A:88:TYR:HB3	0.422
162	A:152:THR:HG23	A:157:THR:O	0.421
162	A:92:ASP:OD2	A:95:ARG:HD3	0.419
162	A:102:MET:HE1	A:133:LEU:HD21	0.419
162	A:19:LYS:HB3	A:25:TYR:CZ	0.417
162	A:66:LEU:HA	A:66:LEU:HD22	0.417
162	A:102:MET:HE3	A:138:TRP:CH2	0.414
162	A:17:ILE:HG13	A:27:ILE:HG22	0.413
162	A:50:ILE:CG2	A:52:ARG:HB2	0.413
162	A:2:ASN:O	A:5:GLU:HB2	0.410
162	A:115:THR:HA	A:118:LEU:HB2	0.410
162	A:143:PRO:O	A:147:LYS:HG3	0.410
162	A:114:PHE:HE2	A:133:LEU:CD2	0.409
162	A:133:LEU:HA	A:133:LEU:HD23	0.408
162	A:15:LEU:CD2	A:58:ILE:HD11	0.406
162	A:7:LEU:HD21	A:101:ASN:OD1	0.405
162	A:2:ASN:C	A:5:GLU:HB2	0.403

Model ID	Atom-1	Atom-2	Clash overlap (Å)
162	A:16:LYS:HA	A:57:VAL:HA	0.403
162	A:124:LYS:HG3	A:126:TRP:CZ2	0.402
163	A:130:ALA:HB1	A:150:ILE:HG23	1.063
163	A:16:LYS:HG2	A:57:VAL:HG22	0.896
163	A:9:ILE:HD13	A:161:TYR:HB3	0.880
163	A:130:ALA:CB	A:150:ILE:HG23	0.843
163	A:10:ASP:HB3	A:145:ARG:HG3	0.838
163	A:13:LEU:HG	A:29:ILE:HG23	0.832
163	A:58:ILE:HD12	A:63:ALA:CB	0.819
163	A:17:ILE:HD12	A:43:LYS:HD3	0.818
163	A:97:ALA:HB3	A:158:TRP:HH2	0.753
163	A:16:LYS:CG	A:57:VAL:HG22	0.742
163	A:15:LEU:HD23	A:63:ALA:HB1	0.732
163	A:142:THR:CG2	A:145:ARG:HB3	0.716
163	A:106:MET:SD	A:114:PHE:CE1	0.715
163	A:106:MET:SD	A:114:PHE:HE1	0.715
163	A:27:ILE:CG2	A:33:LEU:HD12	0.713
163	A:3:ILE:SG	A:97:ALA:SG	0.706
163	A:34:THR:HG21	A:42:ALA:HB2	0.695
163	A:34:THR:HG21	A:42:ALA:CB	0.679
163	A:88:TYR:HB2	A:99:LEU:HD22	0.674
163	A:142:THR:HG21	A:145:ARG:HB3	0.649
163	A:15:LEU:CD2	A:63:ALA:HB1	0.648

Model ID	Atom-1	Atom-2	Clash overlap (Å)
163	A:7:LEU:HD22	A:11:GLU:HB2	0.646
163	A:27:ILE:HD13	A:33:LEU:HD23	0.643
163	A:25:TYR:CZ	A:39:LEU:HB2	0.642
163	A:130:ALA:HB1	A:150:ILE:CG2	0.638
163	A:58:ILE:HD12	A:63:ALA:HB1	0.636
163	A:8:ARG:HA	A:13:LEU:HD13	0.627
163	A:148:ARG:HB3	A:161:TYR:CE1	0.621
163	A:11:GLU:HG2	A:30:GLY:HA2	0.614
163	A:27:ILE:HG12	A:33:LEU:HB2	0.608
163	A:50:ILE:HG22	A:52:ARG:H	0.608
163	A:17:ILE:HB	A:43:LYS:HE3	0.600
163	A:15:LEU:HD23	A:63:ALA:CB	0.596
163	A:27:ILE:HG23	A:33:LEU:HD12	0.596
163	A:9:ILE:CD1	A:161:TYR:HB3	0.596
163	A:103:VAL:HA	A:111:VAL:HG21	0.595
163	A:102:MET:HE1	A:133:LEU:HG	0.593
163	A:94:VAL:HG13	A:158:TRP:CE2	0.591
163	A:139:TYR:HE1	A:150:ILE:HD12	0.591
163	A:97:ALA:HB3	A:158:TRP:CH2	0.586
163	A:17:ILE:HG12	A:27:ILE:CG2	0.581
163	A:6:MET:HG3	A:161:TYR:CE2	0.574
163	A:27:ILE:HG13	A:31:HIS:HB3	0.573
163	A:6:MET:CE	A:97:ALA:HB1	0.569

Model ID	Atom-1	Atom-2	Clash overlap (Å)
163	A:17:ILE:CG1	A:27:ILE:HG22	0.566
163	A:111:VAL:HA	A:114:PHE:HD1	0.563
163	A:148:ARG:HB3	A:161:TYR:HE1	0.556
163	A:103:VAL:HG22	A:111:VAL:HG21	0.555
163	A:139:TYR:CE1	A:150:ILE:HD12	0.555
163	A:98:ALA:HB1	A:153:PHE:CZ	0.554
163	A:106:MET:HE2	A:138:TRP:CG	0.550
163	A:4:PHE:CE1	A:29:ILE:HG21	0.546
163	A:13:LEU:CG	A:29:ILE:HG23	0.546
163	A:19:LYS:HB2	A:23:GLY:HA2	0.545
163	A:27:ILE:HG21	A:33:LEU:HD12	0.537
163	A:4:PHE:CZ	A:29:ILE:HD13	0.535
163	A:81:ASN:HB3	A:84:LEU:CB	0.530
163	A:15:LEU:HD23	A:58:ILE:CD1	0.529
163	A:81:ASN:HB3	A:84:LEU:HB3	0.529
163	A:45:GLU:HB3	A:46:LEU:HD12	0.528
163	A:50:ILE:HG21	A:54:THR:SG	0.526
163	A:25:TYR:CE1	A:39:LEU:HD13	0.516
163	A:15:LEU:HB3	A:58:ILE:HG13	0.515
163	A:17:ILE:HG12	A:27:ILE:HG22	0.513
163	A:25:TYR:CD1	A:39:LEU:HD13	0.510
163	A:79:LEU:HD22	A:85:LYS:HD2	0.509
163	A:102:MET:O	A:106:MET:HG2	0.507

Model ID	Atom-1	Atom-2	Clash overlap (Å)
163	A:133:LEU:HB3	A:138:TRP:HZ3	0.506
163	A:132:ASN:OD1	A:133:LEU:HD12	0.505
163	A:19:LYS:HB3	A:25:TYR:CZ	0.491
163	A:58:ILE:HD12	A:63:ALA:HB2	0.491
163	A:55:ASN:O	A:57:VAL:HG23	0.489
163	A:1:MET:HE1	A:158:TRP:CE3	0.482
163	A:47:ASP:OD1	A:50:ILE:HD13	0.476
163	A:6:MET:HE1	A:97:ALA:O	0.475
163	A:15:LEU:HD11	A:29:ILE:HG13	0.467
163	A:91:LEU:HD21	A:126:TRP:HZ3	0.467
163	A:17:ILE:HG12	A:27:ILE:HG23	0.466
163	A:59:THR:OG1	A:62:GLU:HB3	0.466
163	A:16:LYS:HG3	A:57:VAL:HA	0.461
163	A:19:LYS:HB3	A:25:TYR:CE1	0.461
163	A:99:LEU:HA	A:102:MET:HG3	0.461
163	A:47:ASP:HA	A:50:ILE:HD12	0.460
163	A:102:MET:HE2	A:106:MET:HE1	0.460
163	A:14:ARG:HB3	A:18:TYR:CD1	0.458
163	A:84:LEU:HD11	A:103:VAL:HG21	0.457
163	A:4:PHE:HZ	A:29:ILE:HD13	0.454
163	A:4:PHE:CZ	A:13:LEU:HD21	0.453
163	A:126:TRP:O	A:153:PHE:HB3	0.452
163	A:151:THR:CG2	A:160:ALA:HB2	0.440

Model ID	Atom-1	Atom-2	Clash overlap (Å)
163	A:1:MET:HE2	A:5:GLU:OE1	0.436
163	A:115:THR:HA	A:118:LEU:HB2	0.436
163	A:63:ALA:HA	A:67:PHE:HB3	0.435
163	A:121:LEU:C	A:124:LYS:H	0.433
163	A:102:MET:HB3	A:106:MET:HE3	0.431
163	A:94:VAL:HG13	A:158:TRP:CZ2	0.430
163	A:145:ARG:O	A:149:VAL:HG23	0.430
163	A:16:LYS:HA	A:56:GLY:C	0.427
163	A:16:LYS:HA	A:56:GLY:O	0.427
163	A:46:LEU:O	A:50:ILE:HD12	0.427
163	A:1:MET:CG	A:5:GLU:HB3	0.426
163	A:105:GLN:HB2	A:138:TRP:HD1	0.426
163	A:139:TYR:CE1	A:150:ILE:CD1	0.426
163	A:17:ILE:HG13	A:27:ILE:HG22	0.424
163	A:1:MET:SD	A:6:MET:HB2	0.422
163	A:97:ALA:CB	A:158:TRP:HH2	0.420
163	A:75:VAL:HA	A:78:ILE:HB	0.419
163	A:121:LEU:HG	A:126:TRP:CE3	0.419
163	A:4:PHE:CE2	A:13:LEU:HD21	0.415
163	A:103:VAL:HG22	A:111:VAL:HG11	0.415
163	A:151:THR:HG21	A:160:ALA:HB2	0.410
163	A:5:GLU:O	A:8:ARG:HB3	0.408
163	A:133:LEU:HD22	A:138:TRP:CE3	0.407

Model ID	Atom-1	Atom-2	Clash overlap (Å)
163	A:60:LYS:O	A:64:GLU:HB2	0.407
163	A:117:SER:O	A:121:LEU:HD23	0.406
163	A:6:MET:SD	A:97:ALA:HB1	0.405
163	A:94:VAL:HG22	A:158:TRP:HE1	0.402
163	A:7:LEU:CD2	A:11:GLU:HB2	0.400
163	A:83:LYS:O	A:87:VAL:HG22	0.400
164	A:17:ILE:HD12	A:43:LYS:HD3	1.195
164	A:130:ALA:HB1	A:150:ILE:HG23	1.088
164	A:10:ASP:HB3	A:145:ARG:HG3	0.980
164	A:58:ILE:HD12	A:63:ALA:HB2	0.916
164	A:81:ASN:HB3	A:84:LEU:HB2	0.912
164	A:27:ILE:HG23	A:33:LEU:HD12	0.909
164	A:27:ILE:CG2	A:33:LEU:HD12	0.861
164	A:97:ALA:HB3	A:158:TRP:HH2	0.855
164	A:102:MET:HE1	A:133:LEU:HD21	0.827
164	A:15:LEU:HD11	A:29:ILE:HG12	0.810
164	A:15:LEU:HD11	A:29:ILE:CG1	0.802
164	A:106:MET:SD	A:114:PHE:HE1	0.796
164	A:39:LEU:HD11	A:43:LYS:HE3	0.779
164	A:58:ILE:HD12	A:63:ALA:CB	0.770
164	A:17:ILE:CD1	A:43:LYS:HD3	0.769
164	A:124:LYS:HG3	A:126:TRP:CZ2	0.756
164	A:16:LYS:HG2	A:57:VAL:HG22	0.723

Model ID	Atom-1	Atom-2	Clash overlap (Å)
164	A:3:ILE:SG	A:97:ALA:SG	0.720
164	A:16:LYS:CG	A:57:VAL:HG22	0.718
164	A:27:ILE:HG13	A:31:HIS:HB3	0.713
164	A:15:LEU:HB3	A:58:ILE:HG13	0.685
164	A:1:MET:HE2	A:5:GLU:HB3	0.670
164	A:130:ALA:HB1	A:150:ILE:CG2	0.667
164	A:106:MET:SD	A:114:PHE:CE1	0.662
164	A:25:TYR:CE1	A:39:LEU:HD13	0.653
164	A:103:VAL:HG22	A:111:VAL:HG21	0.651
164	A:99:LEU:HA	A:102:MET:HG3	0.634
164	A:15:LEU:HA	A:28:GLY:HA2	0.625
164	A:15:LEU:HD11	A:29:ILE:HG13	0.617
164	A:1:MET:HE1	A:158:TRP:CE3	0.611
164	A:121:LEU:HD22	A:126:TRP:HE3	0.602
164	A:102:MET:HE2	A:106:MET:HE1	0.597
164	A:123:GLN:HG2	A:125:ARG:HG3	0.586
164	A:19:LYS:HB3	A:25:TYR:CE1	0.583
164	A:19:LYS:HB3	A:25:TYR:CZ	0.577
164	A:25:TYR:CZ	A:39:LEU:HB2	0.568
164	A:102:MET:HE1	A:133:LEU:CD2	0.567
164	A:109:THR:HG22	A:137:ARG:HH22	0.560
164	A:133:LEU:HB3	A:138:TRP:HZ3	0.545
164	A:6:MET:HG3	A:161:TYR:CE2	0.543

Model ID	Atom-1	Atom-2	Clash overlap (Å)
164	A:16:LYS:HG3	A:57:VAL:HA	0.542
164	A:130:ALA:HB2	A:153:PHE:HB2	0.538
164	A:1:MET:CE	A:158:TRP:CE3	0.535
164	A:81:ASN:CB	A:84:LEU:HB2	0.531
164	A:87:VAL:HG13	A:118:LEU:HD23	0.522
164	A:27:ILE:HG12	A:33:LEU:HB2	0.519
164	A:124:LYS:CG	A:126:TRP:CZ2	0.515
164	A:17:ILE:CG1	A:27:ILE:HG22	0.512
164	A:97:ALA:CB	A:158:TRP:HH2	0.505
164	A:84:LEU:HD21	A:111:VAL:HB	0.497
164	A:6:MET:SD	A:158:TRP:HZ3	0.496
164	A:117:SER:O	A:121:LEU:HG	0.493
164	A:7:LEU:HD22	A:11:GLU:HB2	0.491
164	A:25:TYR:CD1	A:39:LEU:HD13	0.490
164	A:142:THR:CG2	A:145:ARG:HB3	0.490
164	A:17:ILE:HG12	A:27:ILE:CG2	0.488
164	A:17:ILE:HB	A:43:LYS:HE2	0.486
164	A:114:PHE:HB3	A:117:SER:HB2	0.485
164	A:144:ASN:HA	A:147:LYS:HE2	0.485
164	A:94:VAL:HG22	A:158:TRP:HE1	0.482
164	A:106:MET:HE2	A:138:TRP:CG	0.481
164	A:24:TYR:CB	A:32:LEU:HD11	0.479
164	A:6:MET:HE1	A:97:ALA:O	0.475

Model ID	Atom-1	Atom-2	Clash overlap (Å)
164	A:8:ARG:HA	A:13:LEU:HD22	0.473
164	A:17:ILE:HG13	A:27:ILE:HG22	0.470
164	A:145:ARG:O	A:149:VAL:HG23	0.466
164	A:115:THR:O	A:118:LEU:HB3	0.461
164	A:6:MET:CE	A:97:ALA:HB1	0.460
164	A:59:THR:OG1	A:62:GLU:HB3	0.459
164	A:19:LYS:HD3	A:25:TYR:OH	0.455
164	A:7:LEU:CD2	A:11:GLU:HB2	0.452
164	A:142:THR:HB	A:145:ARG:HB3	0.452
164	A:7:LEU:C	A:13:LEU:HD13	0.451
164	A:50:ILE:HG22	A:52:ARG:N	0.451
164	A:17:ILE:HG12	A:27:ILE:HG23	0.449
164	A:10:ASP:HA	A:148:ARG:HH21	0.448
164	A:114:PHE:O	A:117:SER:HB2	0.447
164	A:124:LYS:HE2	A:124:LYS:N	0.446
164	A:111:VAL:HA	A:114:PHE:CD1	0.445
164	A:126:TRP:HA	A:129:ALA:HB3	0.443
164	A:46:LEU:O	A:50:ILE:HD12	0.441
164	A:5:GLU:O	A:8:ARG:HB3	0.438
164	A:79:LEU:HB3	A:85:LYS:HG3	0.434
164	A:158:TRP:HE3	A:161:TYR:CE2	0.431
164	A:87:VAL:HG13	A:118:LEU:CD2	0.428
164	A:66:LEU:O	A:66:LEU:HD13	0.425

Model ID	Atom-1	Atom-2	Clash overlap (Å)
164	A:116:ASN:HB3	A:120:MET:HE1	0.425
164	A:120:MET:O	A:123:GLN:HB3	0.420
164	A:6:MET:HB3	A:6:MET:HE2	0.419
164	A:17:ILE:HD12	A:43:LYS:CD	0.419
164	A:27:ILE:HG21	A:33:LEU:HD12	0.418
164	A:101:ASN:O	A:104:PHE:HB2	0.418
164	A:143:PRO:O	A:147:LYS:HG3	0.417
164	A:24:TYR:HB2	A:32:LEU:HD11	0.415
164	A:121:LEU:HD22	A:126:TRP:CE3	0.415
164	A:50:ILE:HG22	A:52:ARG:H	0.412
164	A:106:MET:HE2	A:138:TRP:HB2	0.410
164	A:106:MET:HA	A:141:GLN:HE22	0.409
164	A:34:THR:HG21	A:42:ALA:CB	0.407
164	A:25:TYR:OH	A:39:LEU:HB2	0.407
164	A:9:ILE:HD13	A:162:LYS:H	0.407
164	A:16:LYS:HG2	A:57:VAL:CG2	0.406
164	A:87:VAL:CG1	A:118:LEU:HD23	0.401
164	A:133:LEU:HA	A:133:LEU:HD23	0.400
165	A:130:ALA:HB1	A:150:ILE:HG23	1.105
165	A:33:LEU:HD11	A:46:LEU:HG	1.076
165	A:106:MET:SD	A:114:PHE:HE1	0.928
165	A:58:ILE:HD12	A:63:ALA:HB2	0.875
165	A:27:ILE:HG23	A:33:LEU:HD12	0.865

Model ID	Atom-1	Atom-2	Clash overlap (Å)
165	A:27:ILE:CG2	A:33:LEU:HD12	0.850
165	A:33:LEU:CD1	A:46:LEU:HG	0.825
165	A:1:MET:HG2	A:5:GLU:HB2	0.823
165	A:130:ALA:HB1	A:150:ILE:CG2	0.772
165	A:19:LYS:HB3	A:25:TYR:CE1	0.759
165	A:3:ILE:SG	A:97:ALA:SG	0.754
165	A:14:ARG:HG2	A:16:LYS:HD2	0.750
165	A:58:ILE:HD12	A:63:ALA:CB	0.739
165	A:27:ILE:HG13	A:31:HIS:HB3	0.729
165	A:25:TYR:CE1	A:39:LEU:HD13	0.711
165	A:151:THR:HG22	A:160:ALA:HB2	0.711
165	A:27:ILE:HG12	A:33:LEU:HB2	0.709
165	A:1:MET:HG2	A:5:GLU:CB	0.703
165	A:121:LEU:HD21	A:129:ALA:HB2	0.687
165	A:6:MET:HG3	A:161:TYR:HE2	0.670
165	A:106:MET:SD	A:114:PHE:CE1	0.656
165	A:133:LEU:HB3	A:138:TRP:HZ3	0.642
165	A:118:LEU:HA	A:121:LEU:HB2	0.637
165	A:121:LEU:CD2	A:129:ALA:HB2	0.635
165	A:25:TYR:HE1	A:39:LEU:HD13	0.628
165	A:79:LEU:HD23	A:81:ASN:HD22	0.628
165	A:75:VAL:HG13	A:85:LYS:HE2	0.616
165	A:142:THR:HG22	A:145:ARG:H	0.616

Model ID	Atom-1	Atom-2	Clash overlap (Å)
165	A:16:LYS:HE3	A:57:VAL:HG22	0.597
165	A:124:LYS:HG2	A:126:TRP:CZ2	0.596
165	A:130:ALA:CB	A:150:ILE:HG23	0.589
165	A:46:LEU:HD23	A:49:ALA:HB3	0.581
165	A:142:THR:HG21	A:145:ARG:HB2	0.576
165	A:6:MET:HG3	A:161:TYR:CE2	0.574
165	A:121:LEU:HD21	A:129:ALA:CB	0.574
165	A:17:ILE:HB	A:43:LYS:HD3	0.569
165	A:16:LYS:CG	A:57:VAL:HG22	0.561
165	A:1:MET:HE3	A:2:ASN:O	0.549
165	A:94:VAL:HG13	A:158:TRP:CZ2	0.543
165	A:142:THR:CG2	A:145:ARG:HB2	0.542
165	A:139:TYR:HE1	A:150:ILE:HD12	0.541
165	A:17:ILE:HD12	A:43:LYS:HD3	0.540
165	A:16:LYS:HG2	A:57:VAL:HG22	0.536
165	A:125:ARG:HB3	A:128:GLU:HB3	0.536
165	A:148:ARG:HB3	A:161:TYR:CE1	0.536
165	A:33:LEU:HD21	A:46:LEU:HD21	0.532
165	A:36:SER:HB3	A:42:ALA:HB2	0.528
165	A:79:LEU:HD22	A:85:LYS:HG2	0.527
165	A:19:LYS:HB3	A:25:TYR:CZ	0.512
165	A:106:MET:HE2	A:138:TRP:CG	0.512
165	A:138:TRP:HA	A:141:GLN:HB2	0.508

Model ID	Atom-1	Atom-2	Clash overlap (Å)
165	A:16:LYS:HG2	A:57:VAL:CG2	0.506
165	A:133:LEU:HD22	A:138:TRP:CE3	0.505
165	A:13:LEU:HG	A:29:ILE:HG23	0.504
165	A:151:THR:CG2	A:160:ALA:HB2	0.504
165	A:50:ILE:HG13	A:54:THR:SG	0.500
165	A:6:MET:SD	A:97:ALA:HB1	0.492
165	A:120:MET:O	A:123:GLN:HB3	0.491
165	A:29:ILE:H	A:67:PHE:HE1	0.490
165	A:94:VAL:HG22	A:158:TRP:HE1	0.488
165	A:42:ALA:O	A:46:LEU:HB2	0.485
165	A:27:ILE:HG21	A:33:LEU:HD23	0.484
165	A:27:ILE:HG21	A:33:LEU:HD12	0.483
165	A:27:ILE:HD13	A:33:LEU:HD23	0.473
165	A:6:MET:SD	A:158:TRP:CH2	0.473
165	A:87:VAL:HG11	A:121:LEU:HB3	0.470
165	A:145:ARG:HA	A:148:ARG:HH21	0.463
165	A:30:GLY:HA3	A:104:PHE:CE2	0.462
165	A:59:THR:OG1	A:62:GLU:HB3	0.458
165	A:98:ALA:HB1	A:153:PHE:CE2	0.457
165	A:79:LEU:HB3	A:85:LYS:HG3	0.455
165	A:20:ASP:OD1	A:22:GLU:HG2	0.452
165	A:88:TYR:CD1	A:99:LEU:HD22	0.447
165	A:114:PHE:HB3	A:117:SER:HB2	0.447

Model ID	Atom-1	Atom-2	Clash overlap (Å)
165	A:116:ASN:HB3	A:120:MET:HE1	0.447
165	A:50:ILE:HG21	A:54:THR:SG	0.445
165	A:118:LEU:O	A:122:GLN:HG2	0.442
165	A:91:LEU:HD21	A:126:TRP:CE3	0.441
165	A:74:ALA:O	A:78:ILE:HB	0.436
165	A:84:LEU:HD23	A:111:VAL:HG13	0.434
165	A:83:LYS:HA	A:118:LEU:HG	0.431
165	A:5:GLU:HA	A:8:ARG:HB2	0.430
165	A:14:ARG:HG2	A:16:LYS:HB2	0.428
165	A:22:GLU:CD	A:22:GLU:H	0.426
165	A:16:LYS:HA	A:56:GLY:HA3	0.421
165	A:133:LEU:HD22	A:138:TRP:CZ3	0.421
165	A:10:ASP:HB3	A:145:ARG:CG	0.418
165	A:87:VAL:HG11	A:121:LEU:HD13	0.418
165	A:105:GLN:OE1	A:145:ARG:HD3	0.418
165	A:84:LEU:O	A:84:LEU:HD13	0.416
165	A:24:TYR:HB2	A:32:LEU:HD11	0.413
165	A:88:TYR:HA	A:99:LEU:HD13	0.413
165	A:62:GLU:O	A:66:LEU:HB2	0.410
165	A:50:ILE:HG22	A:52:ARG:HB2	0.409
165	A:72:ASP:O	A:75:VAL:HB	0.408
165	A:14:ARG:HB3	A:16:LYS:HB2	0.404
165	A:92:ASP:O	A:96:ARG:HB2	0.402

Model ID	Atom-1	Atom-2	Clash overlap (Å)
166	A:79:LEU:HD22	A:85:LYS:HG2	0.871
166	A:124:LYS:HG2	A:126:TRP:CZ2	0.859
166	A:14:ARG:HB3	A:18:TYR:HE1	0.827
166	A:14:ARG:HB3	A:18:TYR:CE1	0.790
166	A:103:VAL:HG22	A:111:VAL:HG21	0.757
166	A:33:LEU:HD13	A:42:ALA:HB1	0.738
166	A:103:VAL:HG22	A:111:VAL:CG2	0.712
166	A:102:MET:HE3	A:138:TRP:CZ3	0.703
166	A:78:ILE:HD12	A:84:LEU:HD22	0.700
166	A:139:TYR:HD1	A:146:ALA:HB1	0.677
166	A:3:ILE:SG	A:97:ALA:SG	0.674
166	A:29:ILE:HD13	A:67:PHE:CG	0.669
166	A:78:ILE:HG22	A:85:LYS:HB3	0.667
166	A:78:ILE:HG21	A:88:TYR:CD2	0.663
166	A:102:MET:HE2	A:106:MET:HE1	0.652
166	A:106:MET:HB3	A:110:GLY:HA3	0.650
166	A:79:LEU:HD22	A:85:LYS:CG	0.643
166	A:139:TYR:CD1	A:146:ALA:HB1	0.639
166	A:82:ALA:HA	A:86:PRO:HD2	0.627
166	A:1:MET:HE2	A:158:TRP:CE3	0.614
166	A:29:ILE:HD13	A:67:PHE:HB2	0.601
166	A:1:MET:HG3	A:5:GLU:CB	0.595
166	A:114:PHE:HB3	A:117:SER:HB2	0.591

Model ID	Atom-1	Atom-2	Clash overlap (Å)
166	A:17:ILE:CG2	A:25:TYR:HD1	0.579
166	A:29:ILE:CD1	A:67:PHE:HB2	0.577
166	A:17:ILE:HG22	A:25:TYR:CD1	0.576
166	A:17:ILE:HG22	A:25:TYR:HD1	0.576
166	A:124:LYS:HG2	A:126:TRP:HZ2	0.572
166	A:102:MET:HE1	A:133:LEU:HB3	0.571
166	A:24:TYR:HD1	A:35:LYS:HA	0.520
166	A:29:ILE:HD13	A:67:PHE:CB	0.514
166	A:106:MET:HE2	A:138:TRP:CG	0.514
166	A:85:LYS:HD2	A:86:PRO:HD3	0.512
166	A:33:LEU:HD13	A:42:ALA:CB	0.495
166	A:6:MET:HB2	A:158:TRP:CZ3	0.491
166	A:98:ALA:CB	A:153:PHE:CE1	0.488
166	A:45:GLU:HA	A:48:LYS:HE2	0.486
166	A:98:ALA:HB1	A:153:PHE:CE1	0.484
166	A:19:LYS:HG2	A:23:GLY:HA2	0.482
166	A:31:HIS:HD2	A:33:LEU:HD22	0.480
166	A:16:LYS:HG2	A:57:VAL:HG22	0.478
166	A:1:MET:HG3	A:5:GLU:HB2	0.475
166	A:102:MET:HE1	A:133:LEU:CG	0.473
166	A:15:LEU:O	A:27:ILE:HD11	0.471
166	A:75:VAL:O	A:79:LEU:HB2	0.470
166	A:17:ILE:CG2	A:25:TYR:CD1	0.466

Model ID	Atom-1	Atom-2	Clash overlap (Å)
166	A:79:LEU:HA	A:85:LYS:HG2	0.465
166	A:102:MET:HE3	A:138:TRP:CE3	0.465
166	A:14:ARG:CB	A:18:TYR:CE1	0.462
166	A:102:MET:HE1	A:133:LEU:HG	0.458
166	A:67:PHE:O	A:71:VAL:HG23	0.454
166	A:130:ALA:HB2	A:150:ILE:HG23	0.453
166	A:139:TYR:CD1	A:146:ALA:CB	0.450
166	A:16:LYS:HA	A:56:GLY:O	0.449
166	A:159:ASP:O	A:162:LYS:HB2	0.447
166	A:4:PHE:CE1	A:29:ILE:CD1	0.443
166	A:94:VAL:O	A:97:ALA:HB3	0.443
166	A:116:ASN:O	A:120:MET:HG2	0.439
166	A:50:ILE:HG21	A:54:THR:SG	0.438
166	A:1:MET:HE2	A:158:TRP:CZ3	0.433
166	A:35:LYS:H	A:35:LYS:HG3	0.433
166	A:6:MET:HG3	A:161:TYR:CE2	0.432
166	A:130:ALA:HB1	A:150:ILE:HG21	0.430
166	A:1:MET:CE	A:158:TRP:CE3	0.430
166	A:102:MET:HE3	A:138:TRP:CH2	0.426
166	A:150:ILE:HA	A:153:PHE:CD2	0.415
166	A:148:ARG:HB3	A:161:TYR:CE1	0.410
166	A:59:THR:H	A:62:GLU:HB2	0.408
166	A:24:TYR:CD1	A:35:LYS:HA	0.405

Model ID	Atom-1	Atom-2	Clash overlap (Å)
166	A:50:ILE:HG13	A:62:GLU:HG2	0.403
166	A:81:ASN:OD1	A:83:LYS:HG3	0.403
167	A:16:LYS:HG3	A:57:VAL:HG22	1.109
167	A:103:VAL:HG22	A:111:VAL:CG2	0.858
167	A:103:VAL:HG22	A:111:VAL:HG21	0.858
167	A:3:ILE:SG	A:100:ILE:HD13	0.788
167	A:124:LYS:HG2	A:126:TRP:CZ2	0.785
167	A:1:MET:HG3	A:5:GLU:HB2	0.760
167	A:79:LEU:HD23	A:85:LYS:HG3	0.744
167	A:102:MET:HE3	A:138:TRP:CZ3	0.744
167	A:1:MET:HG3	A:5:GLU:CB	0.716
167	A:17:ILE:HG22	A:25:TYR:CD1	0.693
167	A:79:LEU:CD2	A:85:LYS:HG3	0.693
167	A:1:MET:HE3	A:6:MET:HB2	0.689
167	A:3:ILE:SG	A:97:ALA:SG	0.677
167	A:139:TYR:HD1	A:146:ALA:HB1	0.670
167	A:83:LYS:HD2	A:84:LEU:CD1	0.630
167	A:97:ALA:HA	A:100:ILE:HD12	0.630
167	A:102:MET:HE1	A:133:LEU:HB3	0.623
167	A:81:ASN:HB3	A:84:LEU:HB2	0.612
167	A:78:ILE:HD11	A:84:LEU:HD22	0.598
167	A:103:VAL:HG22	A:111:VAL:HG22	0.595
167	A:50:ILE:HG21	A:54:THR:SG	0.594

Model ID	Atom-1	Atom-2	Clash overlap (Å)
167	A:58:ILE:HD12	A:62:GLU:HB3	0.593
167	A:3:ILE:SG	A:100:ILE:HG21	0.584
167	A:106:MET:HE2	A:138:TRP:CG	0.578
167	A:78:ILE:CD1	A:84:LEU:HD22	0.573
167	A:98:ALA:HB3	A:153:PHE:HE1	0.569
167	A:33:LEU:HD12	A:42:ALA:HB1	0.562
167	A:14:ARG:HD3	A:18:TYR:CZ	0.556
167	A:121:LEU:CD2	A:129:ALA:HB2	0.554
167	A:139:TYR:CD1	A:146:ALA:HB1	0.554
167	A:83:LYS:HD2	A:84:LEU:HD12	0.553
167	A:121:LEU:HD22	A:129:ALA:HB2	0.544
167	A:98:ALA:CB	A:153:PHE:CE1	0.533
167	A:17:ILE:CG2	A:25:TYR:CD1	0.516
167	A:98:ALA:HB3	A:153:PHE:CE1	0.509
167	A:4:PHE:CE1	A:29:ILE:HD13	0.501
167	A:127:ASP:O	A:131:VAL:HG23	0.499
167	A:79:LEU:HD22	A:85:LYS:HZ1	0.495
167	A:14:ARG:HB3	A:18:TYR:CE1	0.488
167	A:105:GLN:HG2	A:138:TRP:HD1	0.486
167	A:150:ILE:HG22	A:154:ARG:HD2	0.486
167	A:116:ASN:O	A:120:MET:HG2	0.485
167	A:12:GLY:O	A:13:LEU:HD12	0.481
167	A:1:MET:CE	A:158:TRP:CZ3	0.479

Model ID	Atom-1	Atom-2	Clash overlap (Å)
167	A:4:PHE:HE1	A:29:ILE:HD13	0.478
167	A:7:LEU:HD12	A:29:ILE:HG22	0.477
167	A:24:TYR:CD1	A:32:LEU:HD21	0.476
167	A:14:ARG:CB	A:18:TYR:CE1	0.475
167	A:102:MET:HE2	A:106:MET:HE1	0.473
167	A:99:LEU:HD12	A:153:PHE:CE1	0.472
167	A:94:VAL:HG22	A:158:TRP:CD1	0.464
167	A:7:LEU:HB3	A:29:ILE:HG21	0.463
167	A:6:MET:HG3	A:161:TYR:CE2	0.462
167	A:124:LYS:HG2	A:126:TRP:CH2	0.455
167	A:98:ALA:HB1	A:153:PHE:CE1	0.451
167	A:1:MET:HE2	A:158:TRP:CZ3	0.449
167	A:114:PHE:HB3	A:117:SER:HB2	0.449
167	A:6:MET:HE2	A:161:TYR:CZ	0.447
167	A:79:LEU:HD22	A:85:LYS:HG3	0.446
167	A:87:VAL:HG11	A:118:LEU:HD12	0.446
167	A:94:VAL:HG11	A:157:THR:N	0.444
167	A:2:ASN:O	A:5:GLU:HB2	0.441
167	A:105:GLN:HG2	A:138:TRP:CD1	0.434
167	A:97:ALA:O	A:100:ILE:HB	0.431
167	A:88:TYR:OH	A:100:ILE:HD11	0.425
167	A:38:SER:HB3	A:41:ALA:HB3	0.424
167	A:102:MET:HE1	A:133:LEU:HG	0.424

Model ID	Atom-1	Atom-2	Clash overlap (Å)
167	A:27:ILE:HG21	A:46:LEU:HD11	0.421
167	A:87:VAL:HG13	A:122:GLN:OE1	0.416
167	A:162:LYS:HB2	A:162:LYS:HE2	0.415
167	A:10:ASP:HB3	A:11:GLU:OE2	0.413
167	A:45:GLU:HA	A:48:LYS:HB2	0.412
167	A:98:ALA:CB	A:153:PHE:HE1	0.409
167	A:19:LYS:HG2	A:25:TYR:CZ	0.407
167	A:32:LEU:HA	A:32:LEU:HD12	0.404
167	A:99:LEU:O	A:103:VAL:HG23	0.403
167	A:117:SER:O	A:121:LEU:HD23	0.402
167	A:16:LYS:HG3	A:57:VAL:CG2	0.400
167	A:83:LYS:HD2	A:84:LEU:HD13	0.400
168	A:130:ALA:HB1	A:150:ILE:HG23	0.985
168	A:10:ASP:HB3	A:145:ARG:HG3	0.937
168	A:106:MET:SD	A:114:PHE:HE1	0.838
168	A:130:ALA:CB	A:150:ILE:HG23	0.777
168	A:3:ILE:SG	A:97:ALA:SG	0.755
168	A:58:ILE:CD1	A:63:ALA:HB2	0.739
168	A:24:TYR:HB3	A:32:LEU:HD11	0.723
168	A:10:ASP:HB3	A:145:ARG:CG	0.722
168	A:16:LYS:HG3	A:57:VAL:HG22	0.712
168	A:6:MET:HE3	A:7:LEU:HD12	0.703
168	A:79:LEU:HD13	A:108:GLU:HG2	0.691

Model ID	Atom-1	Atom-2	Clash overlap (Å)
168	A:15:LEU:HA	A:28:GLY:HA2	0.689
168	A:27:ILE:CG2	A:33:LEU:HD12	0.685
168	A:15:LEU:HB3	A:58:ILE:HG13	0.675
168	A:103:VAL:HG22	A:111:VAL:HG22	0.669
168	A:102:MET:HE1	A:133:LEU:HG	0.657
168	A:106:MET:SD	A:114:PHE:CE1	0.655
168	A:6:MET:HG3	A:161:TYR:CE2	0.651
168	A:114:PHE:HB3	A:117:SER:HB2	0.650
168	A:130:ALA:HB1	A:150:ILE:CG2	0.650
168	A:15:LEU:HD21	A:63:ALA:CB	0.640
168	A:15:LEU:HD11	A:29:ILE:HG13	0.635
168	A:27:ILE:HG21	A:33:LEU:HD12	0.631
168	A:103:VAL:HG22	A:111:VAL:CG2	0.624
168	A:27:ILE:HG12	A:33:LEU:HB2	0.621
168	A:58:ILE:HD12	A:63:ALA:HB2	0.617
168	A:17:ILE:HB	A:43:LYS:HD3	0.610
168	A:148:ARG:HG2	A:160:ALA:HB1	0.610
168	A:6:MET:CE	A:97:ALA:HB1	0.609
168	A:1:MET:HG2	A:5:GLU:HB2	0.607
168	A:17:ILE:HG13	A:27:ILE:HG22	0.606
168	A:149:VAL:HG12	A:153:PHE:HE2	0.601
168	A:13:LEU:HG	A:29:ILE:HA	0.588
168	A:25:TYR:CE1	A:39:LEU:HD13	0.588

Model ID	Atom-1	Atom-2	Clash overlap (Å)
168	A:43:LYS:HE2	A:56:GLY:HA3	0.563
168	A:27:ILE:HG13	A:31:HIS:HB3	0.558
168	A:133:LEU:HB3	A:138:TRP:HZ3	0.558
168	A:58:ILE:HD11	A:63:ALA:HB2	0.555
168	A:15:LEU:HD23	A:58:ILE:CD1	0.549
168	A:95:ARG:HD2	A:126:TRP:CD2	0.547
168	A:13:LEU:HG	A:29:ILE:HG23	0.534
168	A:15:LEU:HD21	A:63:ALA:HB2	0.530
168	A:16:LYS:CG	A:57:VAL:HG22	0.530
168	A:95:ARG:HD2	A:126:TRP:CG	0.525
168	A:87:VAL:HG12	A:118:LEU:HD21	0.523
168	A:124:LYS:HG3	A:126:TRP:CZ2	0.519
168	A:6:MET:HE1	A:97:ALA:HB1	0.509
168	A:88:TYR:CE1	A:99:LEU:HD22	0.506
168	A:50:ILE:HG22	A:52:ARG:HB2	0.502
168	A:9:ILE:HD13	A:161:TYR:HB3	0.501
168	A:98:ALA:O	A:102:MET:HG3	0.498
168	A:124:LYS:CG	A:126:TRP:CZ2	0.498
168	A:4:PHE:CZ	A:29:ILE:HD13	0.496
168	A:50:ILE:CG2	A:52:ARG:HB2	0.491
168	A:6:MET:SD	A:158:TRP:HZ3	0.491
168	A:15:LEU:HD23	A:58:ILE:HD12	0.490
168	A:81:ASN:HB3	A:84:LEU:HB2	0.488

Model ID	Atom-1	Atom-2	Clash overlap (Å)
168	A:106:MET:HE2	A:138:TRP:CG	0.488
168	A:2:ASN:O	A:5:GLU:HB2	0.487
168	A:133:LEU:HB3	A:138:TRP:CZ3	0.486
168	A:24:TYR:CB	A:32:LEU:HD11	0.478
168	A:27:ILE:HG23	A:33:LEU:HD12	0.474
168	A:1:MET:HE1	A:158:TRP:CE3	0.473
168	A:25:TYR:CD1	A:39:LEU:HD13	0.473
168	A:59:THR:OG1	A:62:GLU:HB3	0.472
168	A:17:ILE:HD12	A:43:LYS:HA	0.471
168	A:6:MET:CE	A:7:LEU:HD12	0.470
168	A:120:MET:O	A:123:GLN:HB3	0.470
168	A:4:PHE:HZ	A:29:ILE:HD13	0.466
168	A:50:ILE:HG13	A:54:THR:SG	0.457
168	A:132:ASN:OD1	A:133:LEU:HD12	0.457
168	A:7:LEU:HD22	A:11:GLU:CB	0.455
168	A:79:LEU:HD23	A:81:ASN:HB2	0.452
168	A:15:LEU:CD2	A:63:ALA:HB2	0.451
168	A:116:ASN:HD22	A:119:ARG:HD2	0.442
168	A:13:LEU:CG	A:29:ILE:HG23	0.439
168	A:102:MET:O	A:106:MET:HG2	0.439
168	A:25:TYR:CZ	A:39:LEU:HB2	0.437
168	A:142:THR:HG21	A:145:ARG:HB2	0.434
168	A:7:LEU:HB3	A:13:LEU:HD13	0.432

Model ID	Atom-1	Atom-2	Clash overlap (Å)
168	A:121:LEU:HG	A:126:TRP:CE3	0.430
168	A:116:ASN:HB3	A:120:MET:HE2	0.428
168	A:25:TYR:O	A:33:LEU:HB3	0.427
168	A:148:ARG:HB3	A:161:TYR:CE1	0.427
168	A:116:ASN:O	A:120:MET:HG2	0.424
168	A:126:TRP:HB3	A:153:PHE:HD1	0.424
168	A:145:ARG:O	A:149:VAL:HG23	0.424
168	A:88:TYR:CD1	A:99:LEU:HD22	0.418
168	A:17:ILE:HG12	A:27:ILE:HG23	0.417
168	A:11:GLU:HG3	A:12:GLY:O	0.416
168	A:87:VAL:HG11	A:118:LEU:HD11	0.416
168	A:149:VAL:HG12	A:153:PHE:CE2	0.414
168	A:145:ARG:HA	A:148:ARG:HH21	0.411
169	A:103:VAL:HG22	A:111:VAL:HG21	1.099
169	A:50:ILE:HG21	A:54:THR:SG	1.028
169	A:79:LEU:HD23	A:85:LYS:HG3	1.017
169	A:58:ILE:HD13	A:63:ALA:HB2	0.997
169	A:17:ILE:HG22	A:25:TYR:HD1	0.908
169	A:14:ARG:HB3	A:18:TYR:HE1	0.906
169	A:124:LYS:HG2	A:126:TRP:CZ2	0.904
169	A:7:LEU:HB3	A:29:ILE:CG2	0.858
169	A:7:LEU:HB3	A:29:ILE:HG21	0.829
169	A:33:LEU:HD12	A:42:ALA:HB1	0.817

Model ID	Atom-1	Atom-2	Clash overlap (Å)
169	A:33:LEU:HD22	A:46:LEU:HB2	0.796
169	A:58:ILE:CD1	A:63:ALA:HB2	0.795
169	A:102:MET:HE2	A:106:MET:HE1	0.777
169	A:14:ARG:HB3	A:18:TYR:CE1	0.773
169	A:102:MET:HE3	A:138:TRP:CZ3	0.737
169	A:43:LYS:HE2	A:55:ASN:HA	0.724
169	A:17:ILE:CG2	A:25:TYR:HD1	0.716
169	A:103:VAL:HG22	A:111:VAL:CG2	0.710
169	A:3:ILE:SG	A:100:ILE:HD13	0.706
169	A:6:MET:HE1	A:98:ALA:HA	0.697
169	A:3:ILE:SG	A:97:ALA:SG	0.692
169	A:50:ILE:HD13	A:66:LEU:HD11	0.690
169	A:86:PRO:HA	A:89:ASP:HB2	0.670
169	A:16:LYS:HD2	A:57:VAL:HG13	0.669
169	A:67:PHE:HA	A:70:ASP:HB3	0.665
169	A:93:ALA:HA	A:96:ARG:HB2	0.650
169	A:29:ILE:HD12	A:67:PHE:CG	0.644
169	A:16:LYS:HD2	A:57:VAL:HG22	0.623
169	A:13:LEU:HD23	A:29:ILE:HG13	0.612
169	A:58:ILE:HD13	A:63:ALA:CB	0.608
169	A:102:MET:CE	A:106:MET:HE1	0.596
169	A:59:THR:H	A:62:GLU:HB2	0.587
169	A:144:ASN:HB3	A:148:ARG:HH12	0.583

Model ID	Atom-1	Atom-2	Clash overlap (Å)
169	A:88:TYR:CZ	A:96:ARG:HG2	0.581
169	A:3:ILE:SG	A:100:ILE:CD1	0.568
169	A:67:PHE:CE2	A:71:VAL:HG22	0.565
169	A:14:ARG:CB	A:18:TYR:HE1	0.565
169	A:50:ILE:HG13	A:69:GLN:HG2	0.558
169	A:16:LYS:HB3	A:57:VAL:HG22	0.553
169	A:25:TYR:HB2	A:42:ALA:HB2	0.551
169	A:102:MET:HE1	A:133:LEU:HG	0.549
169	A:13:LEU:HD23	A:29:ILE:CG1	0.544
169	A:79:LEU:CD2	A:85:LYS:HG3	0.541
169	A:67:PHE:CE2	A:71:VAL:CG2	0.535
169	A:102:MET:HE1	A:133:LEU:CG	0.523
169	A:50:ILE:HD13	A:66:LEU:CD1	0.516
169	A:17:ILE:HG22	A:25:TYR:CD1	0.512
169	A:130:ALA:HB1	A:150:ILE:HG21	0.504
169	A:14:ARG:CB	A:18:TYR:CE1	0.503
169	A:13:LEU:HD22	A:63:ALA:HB1	0.502
169	A:17:ILE:CG2	A:25:TYR:CD1	0.502
169	A:17:ILE:HG12	A:27:ILE:HB	0.499
169	A:7:LEU:HD12	A:29:ILE:HG22	0.497
169	A:89:ASP:HA	A:96:ARG:HH21	0.496
169	A:1:MET:HG2	A:5:GLU:HB2	0.491
169	A:103:VAL:CG2	A:111:VAL:HG21	0.491

Model ID	Atom-1	Atom-2	Clash overlap (Å)
169	A:12:GLY:O	A:13:LEU:HD12	0.483
169	A:29:ILE:HB	A:67:PHE:CD1	0.474
169	A:24:TYR:CD1	A:35:LYS:HA	0.469
169	A:83:LYS:HD3	A:84:LEU:HD12	0.466
169	A:111:VAL:HA	A:114:PHE:CD1	0.463
169	A:105:GLN:HG2	A:138:TRP:HD1	0.462
169	A:130:ALA:HB2	A:150:ILE:CG2	0.462
169	A:15:LEU:O	A:58:ILE:HG13	0.454
169	A:6:MET:O	A:10:ASP:HB2	0.452
169	A:6:MET:HG3	A:161:TYR:CZ	0.449
169	A:102:MET:HE1	A:133:LEU:HB3	0.449
169	A:9:ILE:HG21	A:161:TYR:O	0.447
169	A:43:LYS:HD2	A:47:ASP:OD2	0.444
169	A:62:GLU:O	A:66:LEU:HB2	0.441
169	A:50:ILE:HG23	A:52:ARG:CB	0.438
169	A:130:ALA:CB	A:150:ILE:HG21	0.437
169	A:98:ALA:CB	A:153:PHE:CE1	0.433
169	A:12:GLY:C	A:13:LEU:HD12	0.432
169	A:15:LEU:HD12	A:16:LYS:HD3	0.431
169	A:31:HIS:CD2	A:46:LEU:HD23	0.429
169	A:1:MET:CG	A:5:GLU:HB2	0.428
169	A:67:PHE:O	A:71:VAL:HG23	0.428
169	A:6:MET:HG3	A:161:TYR:CE2	0.426

Model ID	Atom-1	Atom-2	Clash overlap (Å)
169	A:7:LEU:HG	A:104:PHE:CE1	0.425
169	A:125:ARG:HB3	A:128:GLU:OE1	0.422
169	A:26:THR:HA	A:31:HIS:O	0.420
169	A:124:LYS:HG2	A:126:TRP:HZ2	0.420
169	A:50:ILE:HG23	A:52:ARG:HB3	0.418
169	A:97:ALA:HA	A:100:ILE:HB	0.416
169	A:81:ASN:OD1	A:84:LEU:HB2	0.415
169	A:124:LYS:HG2	A:126:TRP:CH2	0.415
169	A:66:LEU:O	A:66:LEU:HD23	0.413
169	A:116:ASN:O	A:120:MET:HE2	0.413
169	A:137:ARG:H	A:137:ARG:HG2	0.409
169	A:119:ARG:O	A:123:GLN:HB2	0.408
169	A:15:LEU:C	A:16:LYS:HD3	0.406
169	A:106:MET:HE2	A:138:TRP:CG	0.406
169	A:45:GLU:HA	A:48:LYS:HB2	0.404
169	A:102:MET:HE2	A:106:MET:CE	0.403
170	A:79:LEU:HD23	A:85:LYS:HG3	1.120
170	A:102:MET:HE1	A:133:LEU:HB3	0.926
170	A:103:VAL:HG22	A:111:VAL:CG2	0.815
170	A:14:ARG:HB3	A:18:TYR:HE1	0.778
170	A:17:ILE:HD11	A:46:LEU:HG	0.736
170	A:3:ILE:SG	A:97:ALA:SG	0.712
170	A:103:VAL:HG22	A:111:VAL:HG21	0.711

Model ID	Atom-1	Atom-2	Clash overlap (Å)
170	A:102:MET:HE3	A:138:TRP:CZ3	0.704
170	A:7:LEU:HB3	A:29:ILE:CG2	0.691
170	A:17:ILE:HG21	A:25:TYR:HD1	0.679
170	A:14:ARG:CB	A:18:TYR:HE1	0.672
170	A:103:VAL:HG22	A:111:VAL:HG22	0.647
170	A:78:ILE:HD11	A:84:LEU:HD22	0.645
170	A:98:ALA:HB3	A:153:PHE:CE1	0.642
170	A:25:TYR:HB3	A:33:LEU:HD12	0.620
170	A:1:MET:HG3	A:5:GLU:CB	0.611
170	A:15:LEU:HD22	A:58:ILE:HG13	0.601
170	A:50:ILE:HG21	A:54:THR:SG	0.595
170	A:17:ILE:HG13	A:27:ILE:HD12	0.592
170	A:124:LYS:HG2	A:126:TRP:CZ2	0.586
170	A:1:MET:HE2	A:6:MET:HB2	0.567
170	A:1:MET:HG3	A:5:GLU:HB2	0.563
170	A:106:MET:HE2	A:138:TRP:CG	0.561
170	A:24:TYR:HB3	A:32:LEU:HD21	0.560
170	A:50:ILE:HD12	A:62:GLU:HG2	0.560
170	A:58:ILE:HB	A:62:GLU:HB3	0.558
170	A:124:LYS:HG2	A:126:TRP:HZ2	0.536
170	A:79:LEU:CD2	A:85:LYS:HG3	0.534
170	A:33:LEU:HD13	A:42:ALA:C	0.522
170	A:103:VAL:HG13	A:111:VAL:HG21	0.521

Model ID	Atom-1	Atom-2	Clash overlap (Å)
170	A:75:VAL:HA	A:78:ILE:HG22	0.516
170	A:148:ARG:HB3	A:161:TYR:CE1	0.516
170	A:1:MET:CG	A:5:GLU:HB2	0.515
170	A:139:TYR:HD1	A:146:ALA:HB1	0.513
170	A:105:GLN:HG2	A:138:TRP:HD1	0.512
170	A:7:LEU:HB3	A:29:ILE:HG21	0.508
170	A:16:LYS:HG2	A:57:VAL:HG22	0.506
170	A:4:PHE:CE1	A:29:ILE:HD13	0.499
170	A:46:LEU:O	A:50:ILE:HG12	0.495
170	A:31:HIS:HA	A:70:ASP:CG	0.488
170	A:6:MET:HB2	A:158:TRP:CZ3	0.487
170	A:34:THR:HG21	A:41:ALA:HB3	0.485
170	A:17:ILE:CG2	A:25:TYR:HD1	0.484
170	A:121:LEU:CD2	A:129:ALA:HB2	0.483
170	A:102:MET:HE1	A:133:LEU:CB	0.482
170	A:1:MET:HG3	A:5:GLU:HB3	0.480
170	A:75:VAL:HG12	A:79:LEU:HD12	0.479
170	A:148:ARG:HB3	A:161:TYR:CZ	0.479
170	A:59:THR:OG1	A:62:GLU:HB2	0.477
170	A:44:SER:O	A:48:LYS:HB2	0.476
170	A:78:ILE:HG13	A:84:LEU:HB3	0.476
170	A:33:LEU:HD13	A:42:ALA:O	0.475
170	A:98:ALA:CB	A:153:PHE:CE1	0.472

Model ID	Atom-1	Atom-2	Clash overlap (Å)
170	A:13:LEU:O	A:15:LEU:HD12	0.456
170	A:121:LEU:HD22	A:129:ALA:HB2	0.454
170	A:75:VAL:HG12	A:79:LEU:CD1	0.453
170	A:81:ASN:OD1	A:83:LYS:HB3	0.452
170	A:116:ASN:HB3	A:120:MET:HE2	0.451
170	A:25:TYR:CE2	A:39:LEU:HB2	0.450
170	A:16:LYS:HA	A:56:GLY:O	0.445
170	A:6:MET:HG3	A:161:TYR:CE2	0.444
170	A:32:LEU:HD22	A:34:THR:C	0.437
170	A:31:HIS:ND1	A:70:ASP:HB2	0.428
170	A:78:ILE:O	A:85:LYS:HB2	0.427
170	A:8:ARG:O	A:12:GLY:HA2	0.422
170	A:103:VAL:CG2	A:111:VAL:HG21	0.415
170	A:14:ARG:CB	A:18:TYR:CE1	0.411
170	A:99:LEU:O	A:103:VAL:HG23	0.409
170	A:116:ASN:O	A:120:MET:HG2	0.407
170	A:41:ALA:O	A:45:GLU:HB2	0.404
171	A:16:LYS:HG3	A:57:VAL:HG22	1.123
171	A:17:ILE:HD12	A:43:LYS:HD3	1.018
171	A:27:ILE:CG2	A:33:LEU:HD12	0.873
171	A:17:ILE:HD12	A:43:LYS:CD	0.842
171	A:103:VAL:HG22	A:111:VAL:HG21	0.833
171	A:10:ASP:HB3	A:145:ARG:HG3	0.828

Model ID	Atom-1	Atom-2	Clash overlap (Å)
171	A:58:ILE:HD12	A:63:ALA:CB	0.823
171	A:106:MET:SD	A:114:PHE:HE1	0.775
171	A:58:ILE:HD12	A:63:ALA:HB2	0.769
171	A:3:ILE:SG	A:97:ALA:SG	0.763
171	A:27:ILE:HG23	A:33:LEU:HD12	0.762
171	A:130:ALA:HB1	A:150:ILE:HG23	0.751
171	A:130:ALA:CB	A:150:ILE:HG23	0.737
171	A:33:LEU:HD11	A:46:LEU:HG	0.727
171	A:27:ILE:HG21	A:33:LEU:HD12	0.721
171	A:99:LEU:HA	A:102:MET:HG3	0.705
171	A:97:ALA:HB3	A:158:TRP:HH2	0.698
171	A:16:LYS:HG3	A:57:VAL:CG2	0.697
171	A:27:ILE:HG13	A:31:HIS:HB3	0.690
171	A:13:LEU:HG	A:29:ILE:HG23	0.674
171	A:151:THR:HG21	A:160:ALA:HB2	0.673
171	A:106:MET:SD	A:114:PHE:CE1	0.672
171	A:6:MET:HG3	A:161:TYR:CE2	0.662
171	A:6:MET:CE	A:97:ALA:HB1	0.657
171	A:102:MET:HE1	A:133:LEU:HG	0.649
171	A:98:ALA:HB1	A:153:PHE:CZ	0.633
171	A:126:TRP:HB3	A:153:PHE:HD1	0.622
171	A:142:THR:HG21	A:145:ARG:HB2	0.612
171	A:103:VAL:HG22	A:111:VAL:CG2	0.608

Model ID	Atom-1	Atom-2	Clash overlap (Å)
171	A:97:ALA:CB	A:158:TRP:HH2	0.601
171	A:17:ILE:CD1	A:43:LYS:HD3	0.595
171	A:84:LEU:HD21	A:111:VAL:HG12	0.593
171	A:27:ILE:HD13	A:33:LEU:HD23	0.592
171	A:1:MET:HG2	A:5:GLU:HB2	0.590
171	A:17:ILE:HG12	A:27:ILE:CG2	0.581
171	A:4:PHE:CE2	A:13:LEU:HD21	0.573
171	A:81:ASN:HB3	A:84:LEU:HB2	0.568
171	A:15:LEU:HB3	A:58:ILE:HG13	0.558
171	A:34:THR:HG21	A:42:ALA:HB1	0.540
171	A:17:ILE:HG12	A:27:ILE:HG23	0.534
171	A:94:VAL:HG22	A:158:TRP:HE1	0.534
171	A:142:THR:HG22	A:145:ARG:H	0.522
171	A:17:ILE:HB	A:43:LYS:HD3	0.516
171	A:1:MET:HG2	A:5:GLU:CB	0.514
171	A:88:TYR:CD1	A:99:LEU:HD22	0.512
171	A:46:LEU:O	A:50:ILE:HD12	0.507
171	A:15:LEU:HD11	A:29:ILE:HG13	0.506
171	A:98:ALA:HB1	A:153:PHE:CE2	0.506
171	A:133:LEU:HB3	A:138:TRP:HZ3	0.499
171	A:27:ILE:HG12	A:33:LEU:HB2	0.497
171	A:6:MET:HE1	A:97:ALA:O	0.496
171	A:33:LEU:CD1	A:46:LEU:HG	0.494

Model ID	Atom-1	Atom-2	Clash overlap (Å)
171	A:19:LYS:HB3	A:25:TYR:CE1	0.492
171	A:2:ASN:O	A:5:GLU:HB2	0.491
171	A:130:ALA:HB1	A:150:ILE:CG2	0.489
171	A:6:MET:SD	A:158:TRP:HZ3	0.487
171	A:6:MET:HG3	A:161:TYR:CZ	0.485
171	A:17:ILE:CG1	A:27:ILE:HG22	0.484
171	A:121:LEU:HG	A:126:TRP:CE3	0.483
171	A:4:PHE:CE1	A:29:ILE:HD13	0.481
171	A:24:TYR:CD1	A:35:LYS:HB3	0.480
171	A:4:PHE:CZ	A:13:LEU:HD21	0.475
171	A:142:THR:CG2	A:145:ARG:HB2	0.473
171	A:59:THR:OG1	A:62:GLU:HB3	0.472
171	A:84:LEU:HD11	A:111:VAL:HG11	0.472
171	A:10:ASP:HB3	A:145:ARG:CG	0.467
171	A:9:ILE:HD13	A:161:TYR:HB3	0.463
171	A:143:PRO:O	A:147:LYS:HG3	0.463
171	A:25:TYR:CE1	A:39:LEU:HD13	0.461
171	A:50:ILE:HG22	A:52:ARG:N	0.457
171	A:88:TYR:HD1	A:99:LEU:HD22	0.457
171	A:36:SER:HB3	A:42:ALA:HB2	0.456
171	A:127:ASP:O	A:131:VAL:HG23	0.456
171	A:116:ASN:HB3	A:120:MET:HE1	0.450
171	A:34:THR:HG21	A:42:ALA:CB	0.448

Model ID	Atom-1	Atom-2	Clash overlap (Å)
171	A:5:GLU:O	A:8:ARG:HB2	0.446
171	A:132:ASN:OD1	A:133:LEU:HD12	0.443
171	A:7:LEU:HD23	A:11:GLU:HB2	0.439
171	A:148:ARG:HB3	A:161:TYR:CE1	0.439
171	A:5:GLU:HA	A:8:ARG:HD2	0.434
171	A:17:ILE:HG12	A:27:ILE:HG22	0.431
171	A:50:ILE:HG22	A:52:ARG:H	0.430
171	A:1:MET:HE1	A:161:TYR:CD2	0.422
171	A:4:PHE:O	A:8:ARG:HG3	0.421
171	A:15:LEU:HD23	A:63:ALA:HB2	0.419
171	A:79:LEU:HD23	A:81:ASN:HB2	0.419
171	A:91:LEU:HD21	A:126:TRP:HZ3	0.419
171	A:124:LYS:HG2	A:126:TRP:CH2	0.419
171	A:121:LEU:HD21	A:129:ALA:HB2	0.417
171	A:39:LEU:HD21	A:43:LYS:HE3	0.415
171	A:158:TRP:HE3	A:161:TYR:CD2	0.415
171	A:133:LEU:HD22	A:138:TRP:CE3	0.414
171	A:95:ARG:HG2	A:126:TRP:CE3	0.412
171	A:114:PHE:O	A:117:SER:HB2	0.411
171	A:42:ALA:O	A:46:LEU:HB2	0.407
171	A:34:THR:CG2	A:42:ALA:HB1	0.403
171	A:6:MET:HE1	A:97:ALA:HB1	0.400
172	A:103:VAL:HG22	A:111:VAL:HG21	1.093

Model ID	Atom-1	Atom-2	Clash overlap (Å)
172	A:1:MET:HG3	A:5:GLU:HB2	0.982
172	A:139:TYR:HD1	A:146:ALA:HB1	0.940
172	A:103:VAL:CG2	A:111:VAL:HG21	0.857
172	A:79:LEU:HD22	A:85:LYS:HG3	0.853
172	A:14:ARG:HB2	A:18:TYR:HE1	0.816
172	A:130:ALA:HB1	A:150:ILE:HG23	0.816
172	A:102:MET:HE3	A:138:TRP:CZ3	0.787
172	A:1:MET:HE3	A:6:MET:HB2	0.777
172	A:139:TYR:CD1	A:146:ALA:HB1	0.739
172	A:75:VAL:HG13	A:79:LEU:CD1	0.704
172	A:3:ILE:SG	A:97:ALA:SG	0.682
172	A:102:MET:HE2	A:106:MET:HE1	0.679
172	A:106:MET:HE2	A:138:TRP:CG	0.674
172	A:46:LEU:HD23	A:50:ILE:HD13	0.669
172	A:102:MET:HE1	A:133:LEU:HB3	0.669
172	A:98:ALA:HB3	A:153:PHE:CE1	0.657
172	A:116:ASN:HA	A:119:ARG:HD3	0.651
172	A:4:PHE:HA	A:29:ILE:HG21	0.646
172	A:79:LEU:HD22	A:85:LYS:CG	0.636
172	A:14:ARG:HB2	A:18:TYR:CE1	0.620
172	A:17:ILE:HD11	A:46:LEU:HG	0.615
172	A:94:VAL:HG22	A:158:TRP:HE1	0.615
172	A:3:ILE:SG	A:100:ILE:HD13	0.591

Model ID	Atom-1	Atom-2	Clash overlap (Å)
172	A:103:VAL:HG22	A:111:VAL:CG2	0.591
172	A:14:ARG:CB	A:18:TYR:HE1	0.585
172	A:1:MET:HG3	A:5:GLU:CB	0.579
172	A:102:MET:HB3	A:106:MET:HE3	0.569
172	A:24:TYR:HB3	A:32:LEU:HD21	0.558
172	A:58:ILE:HD12	A:62:GLU:HB3	0.556
172	A:114:PHE:HB3	A:117:SER:HB2	0.556
172	A:124:LYS:HG2	A:126:TRP:CZ2	0.549
172	A:121:LEU:HD23	A:129:ALA:HB2	0.544
172	A:79:LEU:CD2	A:85:LYS:HG3	0.535
172	A:6:MET:HE2	A:161:TYR:CZ	0.534
172	A:3:ILE:SG	A:100:ILE:CD1	0.528
172	A:106:MET:HE2	A:138:TRP:CD2	0.522
172	A:151:THR:CG2	A:160:ALA:HB2	0.521
172	A:75:VAL:HG13	A:79:LEU:HD12	0.520
172	A:151:THR:HG22	A:160:ALA:HB2	0.520
172	A:8:ARG:HB2	A:13:LEU:HD13	0.511
172	A:16:LYS:HG3	A:57:VAL:HG22	0.510
172	A:32:LEU:HD22	A:34:THR:C	0.503
172	A:25:TYR:CG	A:39:LEU:HD13	0.501
172	A:44:SER:O	A:48:LYS:HB2	0.501
172	A:17:ILE:CG2	A:25:TYR:HD1	0.498
172	A:6:MET:HG3	A:161:TYR:CE2	0.497

Model ID	Atom-1	Atom-2	Clash overlap (Å)
172	A:139:TYR:HD1	A:146:ALA:CB	0.497
172	A:24:TYR:HD1	A:32:LEU:HD21	0.493
172	A:33:LEU:HD12	A:42:ALA:HB1	0.493
172	A:130:ALA:HB1	A:150:ILE:CG2	0.487
172	A:116:ASN:O	A:119:ARG:HG2	0.485
172	A:102:MET:HG2	A:138:TRP:CZ2	0.482
172	A:139:TYR:CD1	A:146:ALA:CB	0.475
172	A:117:SER:O	A:121:LEU:HG	0.474
172	A:86:PRO:HA	A:89:ASP:HB2	0.472
172	A:81:ASN:OD1	A:84:LEU:HB2	0.471
172	A:1:MET:CE	A:158:TRP:CZ3	0.467
172	A:67:PHE:O	A:71:VAL:HG23	0.467
172	A:75:VAL:CG1	A:79:LEU:HD12	0.463
172	A:31:HIS:HB2	A:67:PHE:HD1	0.462
172	A:111:VAL:HA	A:114:PHE:HD1	0.459
172	A:14:ARG:HG3	A:16:LYS:HB2	0.456
172	A:14:ARG:CB	A:18:TYR:CE1	0.455
172	A:75:VAL:HG13	A:79:LEU:HD11	0.455
172	A:1:MET:HE2	A:158:TRP:CZ3	0.454
172	A:99:LEU:O	A:103:VAL:HG23	0.454
172	A:17:ILE:HG12	A:33:LEU:HD21	0.450
172	A:3:ILE:SG	A:100:ILE:HG21	0.448
172	A:39:LEU:O	A:39:LEU:HD12	0.447

Model ID	Atom-1	Atom-2	Clash overlap (Å)
172	A:6:MET:SD	A:97:ALA:HB1	0.447
172	A:102:MET:HE1	A:133:LEU:CB	0.445
172	A:16:LYS:HA	A:56:GLY:O	0.443
172	A:72:ASP:O	A:75:VAL:HB	0.442
172	A:99:LEU:HD12	A:153:PHE:CE1	0.442
172	A:25:TYR:CD2	A:39:LEU:HD13	0.440
172	A:6:MET:HE2	A:161:TYR:OH	0.438
172	A:7:LEU:HG	A:104:PHE:CE1	0.424
172	A:62:GLU:O	A:66:LEU:HD12	0.420
172	A:102:MET:HE1	A:133:LEU:HG	0.419
172	A:32:LEU:HD22	A:34:THR:O	0.411
172	A:38:SER:HB3	A:41:ALA:HB3	0.411
172	A:27:ILE:HG23	A:31:HIS:HD2	0.409
172	A:50:ILE:HG22	A:52:ARG:HB2	0.409
172	A:87:VAL:HG11	A:118:LEU:HD22	0.408
172	A:98:ALA:CB	A:153:PHE:CE1	0.408
172	A:139:TYR:CE1	A:150:ILE:HD12	0.406
173	A:103:VAL:HG22	A:111:VAL:HG21	1.160
173	A:79:LEU:HD23	A:85:LYS:HG3	0.934
173	A:139:TYR:HD1	A:146:ALA:HB1	0.924
173	A:50:ILE:HG21	A:54:THR:SG	0.920
173	A:103:VAL:HG22	A:111:VAL:CG2	0.864
173	A:124:LYS:HG2	A:126:TRP:CZ2	0.780

Model ID	Atom-1	Atom-2	Clash overlap (Å)
173	A:79:LEU:CD2	A:85:LYS:HG3	0.746
173	A:17:ILE:HG22	A:25:TYR:HD1	0.730
173	A:102:MET:HE3	A:138:TRP:CZ3	0.721
173	A:3:ILE:SG	A:97:ALA:SG	0.681
173	A:1:MET:HE2	A:6:MET:HB2	0.675
173	A:17:ILE:HG22	A:25:TYR:CD1	0.669
173	A:98:ALA:CB	A:153:PHE:HE1	0.659
173	A:14:ARG:HB3	A:18:TYR:CE1	0.646
173	A:139:TYR:HD1	A:146:ALA:CB	0.639
173	A:139:TYR:CD1	A:146:ALA:HB1	0.630
173	A:16:LYS:HG3	A:57:VAL:HG22	0.628
173	A:102:MET:HE1	A:133:LEU:HB3	0.620
173	A:115:THR:HA	A:118:LEU:HB2	0.614
173	A:1:MET:HG3	A:5:GLU:HB2	0.589
173	A:7:LEU:HD13	A:11:GLU:HG3	0.588
173	A:66:LEU:HD23	A:69:GLN:HB3	0.585
173	A:25:TYR:CE2	A:39:LEU:HB3	0.575
173	A:78:ILE:HD12	A:84:LEU:HD22	0.571
173	A:1:MET:HE2	A:158:TRP:CZ3	0.570
173	A:98:ALA:HB1	A:153:PHE:CE1	0.565
173	A:98:ALA:HB1	A:153:PHE:HE1	0.558
173	A:45:GLU:CD	A:48:LYS:HE3	0.547
173	A:1:MET:HG3	A:5:GLU:CB	0.541

Model ID	Atom-1	Atom-2	Clash overlap (Å)
173	A:1:MET:CG	A:5:GLU:HB2	0.537
173	A:14:ARG:CB	A:18:TYR:CE1	0.534
173	A:27:ILE:HG22	A:33:LEU:HD21	0.531
173	A:7:LEU:HD12	A:29:ILE:HG22	0.530
173	A:14:ARG:HB3	A:18:TYR:HE1	0.527
173	A:123:GLN:HG3	A:125:ARG:HG2	0.518
173	A:58:ILE:HB	A:62:GLU:HB3	0.514
173	A:98:ALA:HB3	A:153:PHE:HE1	0.504
173	A:127:ASP:O	A:131:VAL:HG23	0.503
173	A:15:LEU:O	A:58:ILE:HG13	0.498
173	A:67:PHE:O	A:71:VAL:HG23	0.494
173	A:102:MET:HE1	A:133:LEU:HG	0.494
173	A:106:MET:HE2	A:138:TRP:CG	0.493
173	A:16:LYS:HD2	A:57:VAL:HG13	0.492
173	A:25:TYR:HB3	A:33:LEU:HD12	0.492
173	A:17:ILE:CG2	A:25:TYR:CD1	0.487
173	A:33:LEU:HD13	A:42:ALA:HB1	0.474
173	A:144:ASN:O	A:148:ARG:HG3	0.466
173	A:138:TRP:CE3	A:139:TYR:HB2	0.461
173	A:117:SER:O	A:121:LEU:HD23	0.459
173	A:121:LEU:HD22	A:129:ALA:HB2	0.457
173	A:6:MET:HE2	A:161:TYR:CZ	0.454
173	A:17:ILE:CG2	A:25:TYR:HD1	0.451

Model ID	Atom-1	Atom-2	Clash overlap (Å)
173	A:4:PHE:CE1	A:29:ILE:HD13	0.448
173	A:102:MET:HE3	A:138:TRP:CH2	0.448
173	A:58:ILE:CD1	A:63:ALA:HB2	0.445
173	A:45:GLU:OE1	A:48:LYS:HE3	0.444
173	A:97:ALA:HA	A:100:ILE:HD12	0.439
173	A:139:TYR:CD1	A:146:ALA:CB	0.437
173	A:6:MET:HB2	A:158:TRP:HZ3	0.429
173	A:14:ARG:CB	A:18:TYR:HE1	0.426
173	A:97:ALA:O	A:100:ILE:HB	0.425
173	A:33:LEU:HG	A:46:LEU:HD23	0.421
173	A:102:MET:HE1	A:133:LEU:CB	0.416
173	A:94:VAL:HA	A:158:TRP:HE1	0.414
173	A:152:THR:HG23	A:157:THR:O	0.413
173	A:116:ASN:O	A:120:MET:HG2	0.411
173	A:6:MET:HG3	A:161:TYR:CE2	0.410
173	A:24:TYR:CD1	A:35:LYS:HA	0.409
173	A:26:THR:HG23	A:32:LEU:HD12	0.408
173	A:46:LEU:O	A:49:ALA:HB3	0.407
173	A:139:TYR:CE1	A:150:ILE:HD12	0.407
173	A:22:GLU:CD	A:24:TYR:HE2	0.405
173	A:102:MET:HE2	A:106:MET:HE1	0.402
173	A:121:LEU:CD2	A:129:ALA:HB1	0.401
174	A:16:LYS:HG2	A:57:VAL:HG22	1.146

Model ID	Atom-1	Atom-2	Clash overlap (Å)
174	A:17:ILE:HD12	A:43:LYS:HD3	1.106
174	A:130:ALA:HB1	A:150:ILE:HG23	1.070
174	A:103:VAL:HG22	A:111:VAL:HG21	1.042
174	A:10:ASP:HB3	A:145:ARG:HG2	0.948
174	A:7:LEU:HD22	A:11:GLU:HB2	0.905
174	A:91:LEU:HD21	A:126:TRP:CZ3	0.871
174	A:27:ILE:CG2	A:33:LEU:HD12	0.856
174	A:17:ILE:HD12	A:43:LYS:CD	0.836
174	A:79:LEU:HD22	A:85:LYS:HE2	0.832
174	A:27:ILE:HG13	A:31:HIS:HB3	0.828
174	A:17:ILE:HG12	A:27:ILE:HG22	0.815
174	A:130:ALA:CB	A:150:ILE:HG23	0.803
174	A:133:LEU:HB3	A:138:TRP:HZ3	0.772
174	A:17:ILE:CG1	A:27:ILE:HG22	0.770
174	A:19:LYS:HB3	A:25:TYR:CE1	0.766
174	A:27:ILE:CG1	A:31:HIS:HB3	0.763
174	A:91:LEU:HD21	A:126:TRP:HZ3	0.761
174	A:27:ILE:HG23	A:33:LEU:HD12	0.739
174	A:16:LYS:CG	A:57:VAL:HG22	0.734
174	A:17:ILE:CD1	A:43:LYS:HD3	0.730
174	A:3:ILE:SG	A:97:ALA:SG	0.707
174	A:130:ALA:HB1	A:150:ILE:CG2	0.691
174	A:6:MET:SD	A:158:TRP:HH2	0.684

Model ID	Atom-1	Atom-2	Clash overlap (Å)
174	A:16:LYS:HG2	A:57:VAL:CG2	0.671
174	A:106:MET:SD	A:114:PHE:CE1	0.671
174	A:94:VAL:HG12	A:152:THR:CG2	0.670
174	A:1:MET:HG2	A:5:GLU:HB2	0.660
174	A:93:ALA:HA	A:96:ARG:HB2	0.659
174	A:6:MET:SD	A:158:TRP:CH2	0.654
174	A:10:ASP:HB3	A:145:ARG:CG	0.641
174	A:1:MET:HG2	A:5:GLU:CB	0.633
174	A:7:LEU:HG	A:104:PHE:CD2	0.614
174	A:17:ILE:HG12	A:27:ILE:CG2	0.603
174	A:133:LEU:HB3	A:138:TRP:CZ3	0.598
174	A:8:ARG:HA	A:13:LEU:HD22	0.595
174	A:124:LYS:HG3	A:126:TRP:CZ2	0.582
174	A:142:THR:CG2	A:145:ARG:HB2	0.582
174	A:103:VAL:CG2	A:111:VAL:HG21	0.567
174	A:11:GLU:HA	A:145:ARG:HD2	0.553
174	A:33:LEU:HG	A:46:LEU:HG	0.550
174	A:103:VAL:HG22	A:111:VAL:CG2	0.542
174	A:97:ALA:HA	A:100:ILE:HB	0.529
174	A:124:LYS:CG	A:126:TRP:CZ2	0.527
174	A:7:LEU:HD22	A:11:GLU:CB	0.515
174	A:25:TYR:CZ	A:39:LEU:HB2	0.514
174	A:1:MET:HE1	A:158:TRP:CH2	0.511

Model ID	Atom-1	Atom-2	Clash overlap (Å)
174	A:67:PHE:CE2	A:71:VAL:CG2	0.509
174	A:25:TYR:CD1	A:39:LEU:HD13	0.506
174	A:94:VAL:HG12	A:152:THR:HG22	0.506
174	A:81:ASN:HB3	A:84:LEU:HB3	0.505
174	A:127:ASP:O	A:131:VAL:HG23	0.505
174	A:39:LEU:HD11	A:43:LYS:HE3	0.504
174	A:17:ILE:HG22	A:25:TYR:HD1	0.502
174	A:15:LEU:HB3	A:58:ILE:HG13	0.494
174	A:13:LEU:HG	A:29:ILE:HG23	0.488
174	A:25:TYR:CE1	A:39:LEU:HD13	0.486
174	A:14:ARG:HB3	A:18:TYR:HE1	0.485
174	A:91:LEU:CD2	A:126:TRP:CZ3	0.481
174	A:94:VAL:HG12	A:152:THR:HG23	0.478
174	A:67:PHE:CE2	A:71:VAL:HG21	0.473
174	A:24:TYR:HD1	A:35:LYS:HA	0.471
174	A:94:VAL:HG21	A:156:GLY:O	0.471
174	A:1:MET:HE1	A:158:TRP:CZ2	0.470
174	A:139:TYR:O	A:143:PRO:HD3	0.468
174	A:94:VAL:HG11	A:156:GLY:C	0.464
174	A:50:ILE:HG13	A:54:THR:SG	0.456
174	A:97:ALA:HB3	A:158:TRP:CZ2	0.451
174	A:7:LEU:HG	A:104:PHE:CE2	0.447
174	A:13:LEU:CG	A:29:ILE:HG23	0.447

Model ID	Atom-1	Atom-2	Clash overlap (Å)
174	A:84:LEU:O	A:88:TYR:HB3	0.445
174	A:6:MET:HG3	A:161:TYR:CE2	0.434
174	A:30:GLY:HA3	A:104:PHE:CD2	0.434
174	A:19:LYS:HB3	A:25:TYR:CZ	0.431
174	A:103:VAL:HA	A:111:VAL:HG21	0.430
174	A:95:ARG:HG2	A:153:PHE:CD1	0.425
174	A:1:MET:HG2	A:5:GLU:HB3	0.424
174	A:66:LEU:O	A:70:ASP:HB2	0.419
174	A:50:ILE:HG22	A:52:ARG:N	0.417
174	A:50:ILE:HG22	A:52:ARG:HB2	0.416
174	A:16:LYS:HA	A:56:GLY:C	0.415
174	A:114:PHE:HE2	A:133:LEU:HD21	0.415
174	A:138:TRP:O	A:141:GLN:HB2	0.411
174	A:60:LYS:O	A:63:ALA:HB3	0.410
174	A:142:THR:HG22	A:145:ARG:H	0.408
174	A:25:TYR:HB2	A:34:THR:CG2	0.407
174	A:66:LEU:O	A:66:LEU:HD23	0.404
174	A:24:TYR:CD1	A:35:LYS:HA	0.402
174	A:8:ARG:HG3	A:13:LEU:HD22	0.401
174	A:42:ALA:O	A:46:LEU:HB2	0.401
175	A:29:ILE:HD12	A:67:PHE:HE1	1.096
175	A:16:LYS:HG3	A:57:VAL:HG22	0.977
175	A:29:ILE:HD12	A:67:PHE:CE1	0.967

Model ID	Atom-1	Atom-2	Clash overlap (Å)
175	A:9:ILE:HD13	A:161:TYR:HB3	0.935
175	A:81:ASN:HB3	A:84:LEU:HB2	0.918
175	A:27:ILE:CG2	A:33:LEU:HD12	0.855
175	A:34:THR:HG21	A:42:ALA:HB1	0.816
175	A:15:LEU:HD11	A:29:ILE:HG13	0.811
175	A:13:LEU:HG	A:29:ILE:HG23	0.804
175	A:124:LYS:HG3	A:126:TRP:CZ2	0.804
175	A:130:ALA:HB1	A:150:ILE:HG23	0.804
175	A:106:MET:SD	A:114:PHE:HE1	0.782
175	A:17:ILE:HG12	A:27:ILE:HG22	0.776
175	A:27:ILE:HG23	A:33:LEU:HD12	0.771
175	A:17:ILE:CG1	A:27:ILE:HG22	0.744
175	A:130:ALA:CB	A:150:ILE:HG23	0.733
175	A:3:ILE:SG	A:97:ALA:SG	0.709
175	A:19:LYS:HB2	A:23:GLY:HA2	0.704
175	A:27:ILE:HG13	A:31:HIS:HB3	0.701
175	A:16:LYS:CG	A:57:VAL:HG22	0.679
175	A:19:LYS:HB3	A:25:TYR:CZ	0.679
175	A:34:THR:HG21	A:42:ALA:CB	0.674
175	A:106:MET:SD	A:114:PHE:CE1	0.666
175	A:6:MET:HG3	A:161:TYR:CE2	0.656
175	A:102:MET:HE1	A:133:LEU:HG	0.652
175	A:142:THR:HG21	A:145:ARG:HB2	0.651

Model ID	Atom-1	Atom-2	Clash overlap (Å)
175	A:17:ILE:HB	A:43:LYS:HD3	0.646
175	A:25:TYR:CE1	A:39:LEU:HD13	0.642
175	A:142:THR:HG22	A:145:ARG:H	0.637
175	A:1:MET:HE1	A:158:TRP:CE3	0.635
175	A:50:ILE:HG22	A:52:ARG:H	0.616
175	A:17:ILE:HG12	A:27:ILE:CG2	0.611
175	A:25:TYR:HB2	A:34:THR:CG2	0.607
175	A:81:ASN:HB3	A:84:LEU:CB	0.607
175	A:116:ASN:HB3	A:120:MET:HE1	0.606
175	A:95:ARG:HD2	A:126:TRP:CD2	0.601
175	A:6:MET:CE	A:97:ALA:HB1	0.596
175	A:79:LEU:HB3	A:85:LYS:HD2	0.595
175	A:15:LEU:HD23	A:58:ILE:CD1	0.583
175	A:133:LEU:HB3	A:138:TRP:HZ3	0.570
175	A:130:ALA:HB1	A:150:ILE:CG2	0.568
175	A:158:TRP:HE3	A:161:TYR:CE2	0.563
175	A:87:VAL:HG11	A:118:LEU:HD21	0.548
175	A:15:LEU:HB3	A:58:ILE:HG13	0.545
175	A:114:PHE:HB3	A:117:SER:HB2	0.525
175	A:126:TRP:HB3	A:153:PHE:HD1	0.523
175	A:142:THR:CG2	A:145:ARG:HB2	0.513
175	A:1:MET:HG2	A:5:GLU:CB	0.510
175	A:9:ILE:CD1	A:161:TYR:HB3	0.509

Model ID	Atom-1	Atom-2	Clash overlap (Å)
175	A:19:LYS:HB3	A:25:TYR:CE1	0.502
175	A:25:TYR:CD1	A:39:LEU:HD13	0.498
175	A:27:ILE:HG21	A:33:LEU:HD12	0.496
175	A:46:LEU:O	A:50:ILE:HD12	0.494
175	A:124:LYS:CG	A:126:TRP:CZ2	0.494
175	A:13:LEU:CG	A:29:ILE:HG23	0.493
175	A:39:LEU:HD21	A:43:LYS:HE3	0.490
175	A:4:PHE:CE1	A:29:ILE:HD13	0.488
175	A:15:LEU:HD23	A:58:ILE:HD11	0.485
175	A:92:ASP:O	A:96:ARG:HG3	0.484
175	A:1:MET:HG2	A:5:GLU:HB2	0.482
175	A:6:MET:HE1	A:97:ALA:O	0.482
175	A:15:LEU:CD2	A:63:ALA:HB1	0.482
175	A:11:GLU:HG2	A:30:GLY:HA2	0.479
175	A:17:ILE:HD12	A:43:LYS:CD	0.477
175	A:25:TYR:CZ	A:39:LEU:HB2	0.466
175	A:17:ILE:HG13	A:27:ILE:HG22	0.463
175	A:158:TRP:CE3	A:161:TYR:HE2	0.459
175	A:6:MET:SD	A:158:TRP:HZ3	0.458
175	A:98:ALA:HB1	A:153:PHE:CZ	0.455
175	A:17:ILE:HD12	A:43:LYS:HD3	0.454
175	A:59:THR:OG1	A:62:GLU:HB3	0.454
175	A:55:ASN:O	A:57:VAL:HG23	0.447

Model ID	Atom-1	Atom-2	Clash overlap (Å)
175	A:25:TYR:OH	A:39:LEU:HB2	0.444
175	A:16:LYS:HA	A:56:GLY:C	0.441
175	A:139:TYR:HE1	A:150:ILE:CD1	0.441
175	A:117:SER:O	A:121:LEU:HD23	0.433
175	A:50:ILE:CG2	A:52:ARG:HB2	0.430
175	A:14:ARG:HB3	A:18:TYR:CD1	0.429
175	A:47:ASP:HA	A:50:ILE:HD12	0.429
175	A:151:THR:HG21	A:160:ALA:HB2	0.429
175	A:15:LEU:CD2	A:58:ILE:HD11	0.423
175	A:38:SER:HB3	A:41:ALA:HB3	0.421
175	A:158:TRP:HE3	A:161:TYR:CD2	0.421
175	A:95:ARG:CZ	A:95:ARG:HB2	0.418
175	A:158:TRP:CE3	A:161:TYR:CE2	0.416
175	A:63:ALA:HA	A:67:PHE:HB3	0.415
175	A:132:ASN:OD1	A:133:LEU:HD12	0.414
175	A:87:VAL:CG1	A:118:LEU:HD21	0.411
175	A:133:LEU:HD22	A:138:TRP:CZ3	0.410
175	A:1:MET:CG	A:5:GLU:HB3	0.406
175	A:95:ARG:HD2	A:126:TRP:CE3	0.406
175	A:25:TYR:HB2	A:34:THR:HG22	0.404
175	A:66:LEU:O	A:70:ASP:HB2	0.403
175	A:4:PHE:CZ	A:29:ILE:HD13	0.402
175	A:42:ALA:O	A:46:LEU:HB2	0.401

Model ID	Atom-1	Atom-2	Clash overlap (Å)
175	A:124:LYS:HG3	A:126:TRP:CH2	0.400
176	A:130:ALA:HB1	A:150:ILE:HG23	1.102
176	A:17:ILE:HD12	A:43:LYS:HD3	1.055
176	A:1:MET:HG2	A:5:GLU:HB2	0.990
176	A:27:ILE:HG23	A:33:LEU:HD12	0.951
176	A:7:LEU:HD22	A:11:GLU:HB2	0.938
176	A:106:MET:SD	A:114:PHE:HE1	0.920
176	A:58:ILE:HD12	A:63:ALA:HB2	0.910
176	A:27:ILE:CG2	A:33:LEU:HD12	0.854
176	A:29:ILE:HD12	A:67:PHE:HE1	0.834
176	A:58:ILE:HD12	A:63:ALA:CB	0.830
176	A:1:MET:HG2	A:5:GLU:CB	0.771
176	A:27:ILE:HG13	A:31:HIS:HB3	0.770
176	A:25:TYR:CE1	A:39:LEU:HD13	0.766
176	A:130:ALA:CB	A:150:ILE:HG23	0.752
176	A:3:ILE:SG	A:97:ALA:SG	0.750
176	A:17:ILE:CD1	A:43:LYS:HD3	0.738
176	A:27:ILE:HG12	A:33:LEU:HB2	0.733
176	A:130:ALA:HB1	A:150:ILE:CG2	0.726
176	A:7:LEU:HD22	A:11:GLU:CB	0.703
176	A:75:VAL:HG22	A:85:LYS:HG3	0.691
176	A:106:MET:SD	A:114:PHE:CE1	0.687
176	A:7:LEU:CD2	A:11:GLU:HB2	0.678

Model ID	Atom-1	Atom-2	Clash overlap (Å)
176	A:98:ALA:HB1	A:153:PHE:CZ	0.672
176	A:19:LYS:HB3	A:25:TYR:CZ	0.670
176	A:29:ILE:HD12	A:67:PHE:CE1	0.634
176	A:151:THR:HG22	A:160:ALA:HB2	0.625
176	A:124:LYS:HG2	A:126:TRP:CZ2	0.619
176	A:16:LYS:HG3	A:57:VAL:HG22	0.601
176	A:33:LEU:HD11	A:46:LEU:HG	0.601
176	A:25:TYR:CZ	A:39:LEU:HB2	0.578
176	A:148:ARG:HB3	A:161:TYR:CE1	0.570
176	A:73:ALA:HA	A:76:ARG:HG2	0.557
176	A:83:LYS:HB2	A:118:LEU:HG	0.544
176	A:133:LEU:HB3	A:138:TRP:HZ3	0.542
176	A:1:MET:HE3	A:2:ASN:O	0.540
176	A:98:ALA:HB1	A:153:PHE:CE2	0.536
176	A:91:LEU:CD2	A:126:TRP:CZ3	0.535
176	A:6:MET:HG3	A:161:TYR:HE2	0.534
176	A:10:ASP:HB3	A:145:ARG:HG2	0.524
176	A:142:THR:HG22	A:145:ARG:H	0.522
176	A:142:THR:CG2	A:145:ARG:HB2	0.520
176	A:27:ILE:HD11	A:31:HIS:HD2	0.517
176	A:102:MET:HB3	A:106:MET:HE3	0.517
176	A:50:ILE:HG22	A:52:ARG:HB2	0.512
176	A:91:LEU:HD23	A:126:TRP:CZ3	0.507

Model ID	Atom-1	Atom-2	Clash overlap (Å)
176	A:148:ARG:CB	A:161:TYR:CE1	0.505
176	A:20:ASP:OD1	A:22:GLU:HG2	0.499
176	A:127:ASP:O	A:131:VAL:HG23	0.498
176	A:142:THR:HG21	A:145:ARG:HB2	0.494
176	A:106:MET:HE2	A:138:TRP:CG	0.492
176	A:137:ARG:O	A:141:GLN:HG3	0.488
176	A:6:MET:HE1	A:97:ALA:O	0.477
176	A:100:ILE:HG23	A:104:PHE:CE2	0.477
176	A:30:GLY:HA3	A:104:PHE:CE2	0.472
176	A:50:ILE:HG22	A:52:ARG:H	0.471
176	A:1:MET:HE1	A:158:TRP:CH2	0.468
176	A:15:LEU:HB3	A:58:ILE:HG13	0.465
176	A:142:THR:HG21	A:145:ARG:HD3	0.463
176	A:91:LEU:HD21	A:126:TRP:CZ3	0.459
176	A:83:LYS:O	A:118:LEU:HG	0.459
176	A:6:MET:HG3	A:161:TYR:CE2	0.456
176	A:120:MET:O	A:123:GLN:HB3	0.453
176	A:59:THR:OG1	A:62:GLU:HB3	0.451
176	A:94:VAL:HG13	A:158:TRP:CZ2	0.450
176	A:6:MET:SD	A:97:ALA:HB1	0.448
176	A:45:GLU:HA	A:48:LYS:HE2	0.440
176	A:13:LEU:HG	A:29:ILE:HG23	0.439
176	A:27:ILE:HG21	A:33:LEU:HD23	0.438

Model ID	Atom-1	Atom-2	Clash overlap (Å)
176	A:106:MET:HE2	A:138:TRP:CD1	0.436
176	A:151:THR:CG2	A:160:ALA:HB2	0.436
176	A:16:LYS:HA	A:56:GLY:HA3	0.434
176	A:91:LEU:CD2	A:126:TRP:HZ3	0.433
176	A:6:MET:SD	A:158:TRP:CH2	0.432
176	A:16:LYS:HA	A:56:GLY:C	0.430
176	A:25:TYR:CD1	A:39:LEU:HD13	0.430
176	A:50:ILE:HG13	A:54:THR:SG	0.430
176	A:145:ARG:HA	A:148:ARG:HH21	0.430
176	A:27:ILE:HG21	A:33:LEU:HD12	0.428
176	A:27:ILE:HD13	A:33:LEU:HD23	0.427
176	A:133:LEU:HD22	A:138:TRP:CE3	0.427
176	A:114:PHE:HB3	A:117:SER:HB2	0.426
176	A:1:MET:HA	A:5:GLU:HB2	0.422
176	A:16:LYS:CG	A:57:VAL:HG22	0.419
176	A:5:GLU:HA	A:8:ARG:HB2	0.418
176	A:34:THR:HG21	A:42:ALA:CB	0.414
176	A:7:LEU:HD21	A:104:PHE:HD2	0.411
176	A:22:GLU:OE2	A:105:GLN:HG3	0.411
176	A:123:GLN:HB3	A:125:ARG:HG2	0.411
176	A:96:ARG:O	A:100:ILE:HB	0.408
176	A:15:LEU:HD11	A:29:ILE:HD11	0.407
176	A:15:LEU:HD23	A:58:ILE:HG13	0.406

Model ID	Atom-1	Atom-2	Clash overlap (Å)
176	A:81:ASN:OD1	A:83:LYS:HG2	0.406
176	A:116:ASN:HB3	A:120:MET:HE1	0.404
176	A:25:TYR:OH	A:39:LEU:HB2	0.401
177	A:130:ALA:HB1	A:150:ILE:HG23	1.108
177	A:16:LYS:HG3	A:57:VAL:HG22	1.084
177	A:17:ILE:HD12	A:43:LYS:HD3	1.007
177	A:106:MET:SD	A:114:PHE:HE1	0.904
177	A:58:ILE:HD12	A:63:ALA:CB	0.881
177	A:81:ASN:HB3	A:84:LEU:HB2	0.860
177	A:27:ILE:CG2	A:33:LEU:HD12	0.859
177	A:103:VAL:HG22	A:111:VAL:HG21	0.839
177	A:10:ASP:HB3	A:145:ARG:HG2	0.833
177	A:27:ILE:HG13	A:31:HIS:HB3	0.817
177	A:130:ALA:CB	A:150:ILE:HG23	0.814
177	A:17:ILE:HD12	A:43:LYS:CD	0.776
177	A:27:ILE:CG1	A:31:HIS:HB3	0.775
177	A:3:ILE:SG	A:97:ALA:SG	0.756
177	A:27:ILE:HG23	A:33:LEU:HD12	0.744
177	A:17:ILE:CD1	A:43:LYS:HD3	0.734
177	A:16:LYS:CG	A:57:VAL:HG22	0.712
177	A:39:LEU:HD21	A:43:LYS:HE3	0.696
177	A:58:ILE:HD12	A:63:ALA:HB1	0.690
177	A:1:MET:HG2	A:5:GLU:CB	0.647

Model ID	Atom-1	Atom-2	Clash overlap (Å)
177	A:58:ILE:HD12	A:63:ALA:HB2	0.647
177	A:103:VAL:HG22	A:111:VAL:CG2	0.643
177	A:17:ILE:CG1	A:27:ILE:HG22	0.638
177	A:79:LEU:HD23	A:81:ASN:HB2	0.635
177	A:81:ASN:HB3	A:84:LEU:CB	0.633
177	A:17:ILE:HG12	A:27:ILE:HG22	0.629
177	A:4:PHE:CE2	A:13:LEU:HD23	0.627
177	A:133:LEU:HB3	A:138:TRP:HZ3	0.622
177	A:102:MET:HB3	A:106:MET:HE3	0.616
177	A:121:LEU:HD21	A:129:ALA:CB	0.615
177	A:106:MET:HE2	A:138:TRP:CG	0.613
177	A:121:LEU:HD21	A:129:ALA:HB2	0.608
177	A:27:ILE:HG21	A:33:LEU:HD12	0.605
177	A:78:ILE:HB	A:108:GLU:HG3	0.595
177	A:106:MET:HB3	A:138:TRP:HB2	0.595
177	A:1:MET:HG2	A:5:GLU:HB3	0.593
177	A:15:LEU:HB3	A:58:ILE:HG13	0.588
177	A:33:LEU:HG	A:46:LEU:HG	0.587
177	A:106:MET:SD	A:114:PHE:CE1	0.576
177	A:17:ILE:HG12	A:27:ILE:CG2	0.569
177	A:81:ASN:CB	A:84:LEU:HB2	0.561
177	A:79:LEU:HD13	A:108:GLU:HG2	0.557
177	A:1:MET:HG2	A:5:GLU:HB2	0.552

Model ID	Atom-1	Atom-2	Clash overlap (Å)
177	A:15:LEU:HD11	A:29:ILE:HG13	0.552
177	A:13:LEU:HG	A:29:ILE:HG23	0.549
177	A:88:TYR:HD1	A:99:LEU:HD22	0.542
177	A:94:VAL:HG22	A:158:TRP:HE1	0.539
177	A:124:LYS:HG2	A:126:TRP:CZ2	0.524
177	A:130:ALA:HB1	A:150:ILE:CG2	0.524
177	A:24:TYR:HD1	A:35:LYS:HA	0.518
177	A:114:PHE:HB3	A:117:SER:HB2	0.514
177	A:17:ILE:HG13	A:27:ILE:HG22	0.509
177	A:1:MET:HE3	A:2:ASN:O	0.507
177	A:6:MET:HG3	A:161:TYR:CE2	0.502
177	A:16:LYS:HA	A:56:GLY:C	0.502
177	A:6:MET:HE1	A:97:ALA:O	0.501
177	A:25:TYR:CD1	A:39:LEU:HD13	0.501
177	A:25:TYR:CE1	A:39:LEU:HB2	0.495
177	A:27:ILE:HG12	A:31:HIS:HB3	0.493
177	A:50:ILE:HG22	A:52:ARG:H	0.490
177	A:95:ARG:HD3	A:126:TRP:CE2	0.490
177	A:46:LEU:O	A:50:ILE:HG12	0.489
177	A:58:ILE:HG22	A:62:GLU:OE2	0.488
177	A:25:TYR:CZ	A:39:LEU:HB2	0.483
177	A:124:LYS:HG2	A:126:TRP:CH2	0.480
177	A:50:ILE:HG13	A:54:THR:SG	0.478

Model ID	Atom-1	Atom-2	Clash overlap (Å)
177	A:27:ILE:HG12	A:33:LEU:HD23	0.473
177	A:92:ASP:O	A:96:ARG:HB2	0.472
177	A:17:ILE:HB	A:43:LYS:HD3	0.467
177	A:25:TYR:CE1	A:39:LEU:HD13	0.464
177	A:59:THR:OG1	A:62:GLU:HB3	0.464
177	A:6:MET:SD	A:158:TRP:CH2	0.464
177	A:39:LEU:HD11	A:43:LYS:HE3	0.462
177	A:50:ILE:CG2	A:52:ARG:HB2	0.459
177	A:6:MET:SD	A:158:TRP:HH2	0.455
177	A:14:ARG:HB2	A:18:TYR:CD1	0.454
177	A:133:LEU:HD22	A:138:TRP:CZ3	0.444
177	A:14:ARG:O	A:15:LEU:HD12	0.442
177	A:4:PHE:HZ	A:29:ILE:HG12	0.442
177	A:78:ILE:HG22	A:108:GLU:CD	0.439
177	A:121:LEU:HD22	A:126:TRP:CE3	0.433
177	A:1:MET:SD	A:6:MET:HB2	0.430
177	A:150:ILE:HA	A:153:PHE:HD2	0.425
177	A:2:ASN:O	A:5:GLU:HB2	0.423
177	A:102:MET:HE3	A:138:TRP:CH2	0.422
177	A:42:ALA:O	A:46:LEU:HB2	0.419
177	A:47:ASP:OD2	A:53:ASN:HA	0.416
177	A:1:MET:HE1	A:158:TRP:CZ3	0.414
177	A:6:MET:HE3	A:7:LEU:CD1	0.413

Model ID	Atom-1	Atom-2	Clash overlap (Å)
177	A:87:VAL:HG11	A:118:LEU:HD11	0.411
177	A:6:MET:CE	A:97:ALA:HB1	0.407
177	A:93:ALA:O	A:96:ARG:HB3	0.406
177	A:139:TYR:HE1	A:150:ILE:CD1	0.402
177	A:158:TRP:HZ3	A:161:TYR:HE2	0.400
178	A:33:LEU:HD13	A:42:ALA:HB1	1.013
178	A:1:MET:HE2	A:158:TRP:CE3	0.967
178	A:103:VAL:HG22	A:111:VAL:HG22	0.940
178	A:75:VAL:HG13	A:79:LEU:HD12	0.815
178	A:124:LYS:HG2	A:126:TRP:CZ2	0.813
178	A:94:VAL:HG12	A:152:THR:HG23	0.804
178	A:79:LEU:HD22	A:85:LYS:HG3	0.797
178	A:1:MET:HE2	A:158:TRP:CZ3	0.793
178	A:3:ILE:SG	A:100:ILE:HD13	0.760
178	A:14:ARG:HB3	A:18:TYR:CE1	0.756
178	A:103:VAL:HG22	A:111:VAL:CG2	0.753
178	A:79:LEU:CD2	A:85:LYS:HG3	0.726
178	A:102:MET:HE3	A:138:TRP:CZ3	0.717
178	A:102:MET:HE2	A:106:MET:HE1	0.714
178	A:46:LEU:HD23	A:50:ILE:HD13	0.709
178	A:98:ALA:HB3	A:153:PHE:CE1	0.700
178	A:1:MET:HG3	A:5:GLU:HB2	0.694
178	A:3:ILE:SG	A:97:ALA:SG	0.672

Model ID	Atom-1	Atom-2	Clash overlap (Å)
178	A:139:TYR:CD1	A:146:ALA:HB1	0.646
178	A:45:GLU:HA	A:48:LYS:HG2	0.643
178	A:33:LEU:HD21	A:46:LEU:HD13	0.635
178	A:102:MET:HE1	A:133:LEU:HB3	0.623
178	A:94:VAL:HG12	A:152:THR:CG2	0.616
178	A:4:PHE:CE1	A:29:ILE:HD11	0.587
178	A:50:ILE:HG21	A:54:THR:SG	0.587
178	A:102:MET:HE1	A:133:LEU:HG	0.584
178	A:33:LEU:CD1	A:42:ALA:HB1	0.582
178	A:1:MET:CG	A:5:GLU:HB2	0.580
178	A:3:ILE:SG	A:100:ILE:CD1	0.580
178	A:83:LYS:HD2	A:84:LEU:HD13	0.577
178	A:106:MET:HE2	A:138:TRP:CG	0.576
178	A:58:ILE:HB	A:62:GLU:HB3	0.556
178	A:16:LYS:HG2	A:57:VAL:HG13	0.543
178	A:139:TYR:HD1	A:146:ALA:HB1	0.540
178	A:3:ILE:SG	A:100:ILE:HG21	0.531
178	A:102:MET:CE	A:106:MET:HE1	0.530
178	A:114:PHE:CE2	A:133:LEU:CD2	0.530
178	A:25:TYR:CE2	A:39:LEU:HB3	0.529
178	A:17:ILE:HG22	A:25:TYR:HD1	0.527
178	A:148:ARG:HB3	A:161:TYR:CE1	0.526
178	A:6:MET:HE1	A:98:ALA:HA	0.517

Model ID	Atom-1	Atom-2	Clash overlap (Å)
178	A:1:MET:HB3	A:158:TRP:CE2	0.515
178	A:116:ASN:HB3	A:120:MET:HE2	0.515
178	A:78:ILE:O	A:84:LEU:HB3	0.513
178	A:83:LYS:HD2	A:84:LEU:CD1	0.498
178	A:124:LYS:HG2	A:126:TRP:CH2	0.496
178	A:19:LYS:HE2	A:23:GLY:HA2	0.494
178	A:102:MET:HE1	A:133:LEU:CB	0.492
178	A:105:GLN:HG2	A:138:TRP:HD1	0.492
178	A:25:TYR:O	A:33:LEU:HB2	0.479
178	A:83:LYS:O	A:84:LEU:HD12	0.479
178	A:1:MET:HG3	A:5:GLU:CB	0.478
178	A:6:MET:HG3	A:161:TYR:CE2	0.476
178	A:94:VAL:CG1	A:152:THR:HG23	0.476
178	A:17:ILE:HG12	A:33:LEU:HD11	0.475
178	A:98:ALA:CB	A:153:PHE:CE1	0.475
178	A:4:PHE:CE1	A:29:ILE:CD1	0.474
178	A:94:VAL:HG22	A:158:TRP:CD1	0.470
178	A:127:ASP:O	A:131:VAL:HG23	0.470
178	A:33:LEU:HD22	A:42:ALA:O	0.468
178	A:39:LEU:HA	A:42:ALA:HB3	0.464
178	A:50:ILE:HG22	A:52:ARG:HB2	0.461
178	A:120:MET:O	A:123:GLN:HB3	0.461
178	A:24:TYR:CE1	A:35:LYS:HA	0.460

Model ID	Atom-1	Atom-2	Clash overlap (Å)
178	A:116:ASN:O	A:120:MET:HG2	0.456
178	A:25:TYR:CZ	A:39:LEU:HB3	0.455
178	A:24:TYR:CD1	A:32:LEU:HD21	0.451
178	A:94:VAL:HA	A:158:TRP:CZ2	0.449
178	A:117:SER:O	A:121:LEU:HD23	0.448
178	A:14:ARG:CB	A:18:TYR:CE1	0.444
178	A:103:VAL:HG13	A:111:VAL:HG21	0.444
178	A:52:ARG:HB3	A:54:THR:SG	0.439
178	A:94:VAL:HG21	A:156:GLY:O	0.438
178	A:114:PHE:CE2	A:133:LEU:HD22	0.434
178	A:7:LEU:HD12	A:11:GLU:HG3	0.433
178	A:24:TYR:HD1	A:32:LEU:HD21	0.429
178	A:13:LEU:HD21	A:29:ILE:HG13	0.427
178	A:45:GLU:CD	A:48:LYS:HE2	0.423
178	A:6:MET:HE2	A:101:ASN:HD22	0.421
178	A:85:LYS:O	A:89:ASP:HB2	0.421
178	A:79:LEU:HD23	A:85:LYS:HG3	0.419
178	A:91:LEU:HD22	A:95:ARG:HB2	0.417
178	A:99:LEU:HG	A:153:PHE:CE1	0.413
178	A:32:LEU:HA	A:32:LEU:HD12	0.408
178	A:67:PHE:O	A:71:VAL:HG23	0.404
178	A:99:LEU:HD21	A:121:LEU:HD11	0.403
178	A:114:PHE:CE2	A:133:LEU:HD21	0.402

Model ID	Atom-1	Atom-2	Clash overlap (Å)
179	A:102:MET:HE2	A:106:MET:HE1	1.061
179	A:1:MET:HG3	A:5:GLU:HB2	1.005
179	A:102:MET:HE1	A:133:LEU:HB3	0.997
179	A:78:ILE:HG21	A:88:TYR:CD2	0.976
179	A:79:LEU:HD23	A:85:LYS:HG3	0.970
179	A:78:ILE:HG21	A:88:TYR:HD2	0.939
179	A:1:MET:HE2	A:158:TRP:CE3	0.936
179	A:14:ARG:HB2	A:18:TYR:HE1	0.875
179	A:27:ILE:CD1	A:58:ILE:HG12	0.843
179	A:27:ILE:HD11	A:58:ILE:HG12	0.836
179	A:78:ILE:HD11	A:84:LEU:HD22	0.825
179	A:58:ILE:CD1	A:63:ALA:HB2	0.801
179	A:17:ILE:HG21	A:25:TYR:HD1	0.772
179	A:102:MET:CE	A:106:MET:HE1	0.764
179	A:98:ALA:HB3	A:153:PHE:CE1	0.757
179	A:3:ILE:SG	A:97:ALA:SG	0.732
179	A:4:PHE:CE1	A:29:ILE:HD11	0.712
179	A:72:ASP:HA	A:75:VAL:HB	0.695
179	A:102:MET:HE3	A:138:TRP:CZ3	0.692
179	A:75:VAL:HA	A:78:ILE:HG22	0.681
179	A:91:LEU:HD11	A:121:LEU:HB3	0.670
179	A:102:MET:HE1	A:133:LEU:CB	0.665
179	A:58:ILE:HD12	A:63:ALA:HB2	0.656

Model ID	Atom-1	Atom-2	Clash overlap (Å)
179	A:7:LEU:HG	A:104:PHE:CE1	0.654
179	A:103:VAL:HG22	A:111:VAL:CG2	0.651
179	A:14:ARG:CB	A:18:TYR:HE1	0.649
179	A:27:ILE:HB	A:33:LEU:HD21	0.641
179	A:103:VAL:HG22	A:111:VAL:HG21	0.641
179	A:124:LYS:HG3	A:126:TRP:CZ2	0.626
179	A:105:GLN:HG2	A:138:TRP:HD1	0.624
179	A:17:ILE:CG2	A:25:TYR:HD1	0.610
179	A:50:ILE:HG12	A:58:ILE:HG22	0.610
179	A:87:VAL:HA	A:122:GLN:HG3	0.589
179	A:25:TYR:CE2	A:39:LEU:HB2	0.563
179	A:8:ARG:HA	A:13:LEU:HB2	0.552
179	A:1:MET:HB2	A:5:GLU:HG3	0.549
179	A:78:ILE:CG2	A:88:TYR:HD2	0.549
179	A:7:LEU:HD12	A:11:GLU:HG3	0.545
179	A:6:MET:HB2	A:158:TRP:CZ3	0.537
179	A:7:LEU:HG	A:104:PHE:HE1	0.530
179	A:139:TYR:HD1	A:146:ALA:HB1	0.519
179	A:124:LYS:CG	A:126:TRP:CZ2	0.517
179	A:17:ILE:CG2	A:25:TYR:CD1	0.512
179	A:78:ILE:HG13	A:84:LEU:HB3	0.512
179	A:79:LEU:CD2	A:85:LYS:HG3	0.510
179	A:14:ARG:HB2	A:18:TYR:CE1	0.506

Model ID	Atom-1	Atom-2	Clash overlap (Å)
179	A:79:LEU:HD23	A:85:LYS:CG	0.505
179	A:1:MET:HE2	A:158:TRP:CD2	0.494
179	A:4:PHE:CE1	A:29:ILE:CD1	0.494
179	A:59:THR:H	A:62:GLU:HB2	0.488
179	A:94:VAL:HG13	A:158:TRP:CE2	0.487
179	A:6:MET:HG3	A:161:TYR:CE2	0.477
179	A:67:PHE:O	A:71:VAL:HG23	0.476
179	A:4:PHE:CZ	A:29:ILE:HD11	0.472
179	A:33:LEU:HD13	A:42:ALA:C	0.469
179	A:102:MET:HE3	A:138:TRP:CE3	0.468
179	A:17:ILE:HG21	A:25:TYR:CD1	0.464
179	A:17:ILE:HD11	A:46:LEU:HG	0.464
179	A:15:LEU:O	A:27:ILE:HD11	0.463
179	A:127:ASP:O	A:131:VAL:HG23	0.462
179	A:7:LEU:HB2	A:29:ILE:CG2	0.460
179	A:79:LEU:HA	A:85:LYS:HG3	0.459
179	A:2:ASN:OD1	A:4:PHE:HB2	0.456
179	A:103:VAL:HG22	A:111:VAL:HG22	0.454
179	A:95:ARG:HD2	A:126:TRP:CE3	0.452
179	A:102:MET:HE2	A:106:MET:CE	0.449
179	A:16:LYS:HG2	A:57:VAL:HG22	0.447
179	A:1:MET:HE3	A:6:MET:HB2	0.445
179	A:16:LYS:HA	A:56:GLY:O	0.444

Model ID	Atom-1	Atom-2	Clash overlap (Å)
179	A:21:THR:HG23	A:105:GLN:HE22	0.442
179	A:34:THR:HG21	A:41:ALA:HB3	0.442
179	A:117:SER:O	A:121:LEU:HD23	0.441
179	A:14:ARG:CB	A:18:TYR:CE1	0.437
179	A:13:LEU:HD11	A:29:ILE:HG23	0.429
179	A:102:MET:HE1	A:133:LEU:CG	0.429
179	A:83:LYS:HD3	A:84:LEU:CD1	0.424
179	A:52:ARG:HB3	A:54:THR:SG	0.423
179	A:116:ASN:O	A:120:MET:HG2	0.422
179	A:119:ARG:O	A:123:GLN:HB2	0.421
179	A:94:VAL:HG13	A:158:TRP:CZ2	0.420
179	A:94:VAL:O	A:97:ALA:HB3	0.420
179	A:13:LEU:HD12	A:29:ILE:HA	0.419
179	A:99:LEU:O	A:103:VAL:HG23	0.418
179	A:30:GLY:HA3	A:104:PHE:CD2	0.409
179	A:7:LEU:CB	A:29:ILE:HG22	0.408
179	A:79:LEU:O	A:85:LYS:HE3	0.408
179	A:1:MET:HG3	A:5:GLU:CB	0.406
179	A:84:LEU:HD23	A:87:VAL:HB	0.406
179	A:87:VAL:HG22	A:122:GLN:CD	0.406
179	A:48:LYS:HB3	A:48:LYS:HE3	0.405
179	A:107:GLY:O	A:111:VAL:HG23	0.405
179	A:102:MET:HE3	A:138:TRP:CH2	0.404

Model ID	Atom-1	Atom-2	Clash overlap (Å)
179	A:106:MET:HE2	A:138:TRP:CG	0.403
179	A:33:LEU:HD13	A:42:ALA:O	0.401
180	A:16:LYS:HG2	A:57:VAL:HG22	1.167
180	A:17:ILE:HD12	A:43:LYS:HD3	1.148
180	A:27:ILE:HG23	A:33:LEU:HD12	1.000
180	A:130:ALA:HB1	A:150:ILE:HG23	0.909
180	A:27:ILE:HG13	A:31:HIS:HB3	0.874
180	A:27:ILE:CG2	A:33:LEU:HD12	0.861
180	A:1:MET:HG2	A:5:GLU:HB2	0.837
180	A:139:TYR:CE1	A:150:ILE:HD12	0.823
180	A:22:GLU:HB3	A:24:TYR:CE2	0.809
180	A:17:ILE:CD1	A:43:LYS:HD3	0.769
180	A:3:ILE:SG	A:97:ALA:SG	0.764
180	A:1:MET:HG2	A:5:GLU:CB	0.758
180	A:130:ALA:HB1	A:150:ILE:CG2	0.747
180	A:6:MET:CE	A:97:ALA:HB1	0.745
180	A:81:ASN:HB3	A:84:LEU:HB2	0.729
180	A:17:ILE:HD12	A:43:LYS:CD	0.724
180	A:1:MET:CE	A:6:MET:HB2	0.714
180	A:7:LEU:HD22	A:11:GLU:HB2	0.714
180	A:91:LEU:HB3	A:96:ARG:HA	0.710
180	A:142:THR:CG2	A:145:ARG:HB2	0.698
180	A:96:ARG:HG2	A:100:ILE:HD12	0.686

Model ID	Atom-1	Atom-2	Clash overlap (Å)
180	A:142:THR:HG21	A:145:ARG:HB2	0.682
180	A:106:MET:SD	A:114:PHE:CE1	0.669
180	A:7:LEU:HB3	A:13:LEU:HD13	0.661
180	A:133:LEU:HB3	A:138:TRP:HZ3	0.654
180	A:6:MET:SD	A:158:TRP:HZ3	0.654
180	A:16:LYS:CG	A:57:VAL:HG22	0.649
180	A:130:ALA:CB	A:150:ILE:HG23	0.641
180	A:1:MET:HE1	A:158:TRP:CE3	0.634
180	A:102:MET:HE3	A:138:TRP:CZ3	0.626
180	A:1:MET:HE1	A:6:MET:HB2	0.624
180	A:34:THR:HG21	A:42:ALA:CB	0.619
180	A:150:ILE:HA	A:153:PHE:HD2	0.617
180	A:118:LEU:HA	A:121:LEU:HD12	0.611
180	A:27:ILE:CG1	A:31:HIS:HB3	0.603
180	A:15:LEU:HD11	A:29:ILE:HG13	0.601
180	A:15:LEU:HB3	A:58:ILE:HG13	0.596
180	A:6:MET:HG3	A:161:TYR:CE2	0.592
180	A:92:ASP:C	A:96:ARG:HB2	0.589
180	A:33:LEU:HG	A:46:LEU:HG	0.566
180	A:6:MET:HE1	A:97:ALA:C	0.565
180	A:106:MET:HE2	A:138:TRP:CG	0.565
180	A:87:VAL:HG21	A:118:LEU:HD11	0.558
180	A:17:ILE:CG1	A:27:ILE:HG22	0.556

Model ID	Atom-1	Atom-2	Clash overlap (Å)
180	A:7:LEU:HD22	A:11:GLU:CB	0.555
180	A:22:GLU:HB3	A:24:TYR:HE2	0.552
180	A:10:ASP:HB3	A:145:ARG:HG2	0.551
180	A:17:ILE:HG12	A:27:ILE:CG2	0.549
180	A:133:LEU:HD22	A:138:TRP:CE3	0.540
180	A:6:MET:HE1	A:97:ALA:HB1	0.532
180	A:139:TYR:HE1	A:150:ILE:HD12	0.529
180	A:106:MET:SD	A:114:PHE:HE1	0.526
180	A:106:MET:HE2	A:138:TRP:CD1	0.513
180	A:58:ILE:HD12	A:63:ALA:CB	0.506
180	A:27:ILE:HD13	A:33:LEU:HD23	0.502
180	A:139:TYR:CE1	A:150:ILE:CD1	0.500
180	A:46:LEU:O	A:50:ILE:HD12	0.498
180	A:47:ASP:OD1	A:50:ILE:HD13	0.498
180	A:56:GLY:O	A:58:ILE:HG12	0.494
180	A:55:ASN:O	A:57:VAL:HG23	0.493
180	A:11:GLU:OE1	A:104:PHE:HB3	0.493
180	A:126:TRP:HA	A:129:ALA:HB3	0.485
180	A:15:LEU:HD23	A:63:ALA:HB2	0.484
180	A:6:MET:HE2	A:97:ALA:HB1	0.478
180	A:10:ASP:HB3	A:145:ARG:CG	0.477
180	A:127:ASP:O	A:131:VAL:HG23	0.474
180	A:34:THR:HG21	A:42:ALA:HB2	0.473

Model ID	Atom-1	Atom-2	Clash overlap (Å)
180	A:150:ILE:HA	A:153:PHE:CD2	0.472
180	A:138:TRP:HA	A:141:GLN:HB2	0.470
180	A:99:LEU:HD22	A:121:LEU:HD11	0.467
180	A:142:THR:HG22	A:145:ARG:HB2	0.458
180	A:99:LEU:HD23	A:102:MET:SD	0.451
180	A:50:ILE:HG22	A:52:ARG:N	0.449
180	A:67:PHE:CE2	A:71:VAL:HG21	0.449
180	A:17:ILE:HG12	A:27:ILE:HG22	0.447
180	A:1:MET:CE	A:158:TRP:CE3	0.443
180	A:15:LEU:CD2	A:63:ALA:HB2	0.442
180	A:25:TYR:CE1	A:39:LEU:HD13	0.441
180	A:84:LEU:HD23	A:118:LEU:HG	0.441
180	A:25:TYR:CZ	A:39:LEU:HB2	0.440
180	A:88:TYR:OH	A:100:ILE:HG12	0.440
180	A:13:LEU:HD21	A:29:ILE:HG23	0.439
180	A:27:ILE:HD11	A:31:HIS:CD2	0.439
180	A:15:LEU:HD21	A:63:ALA:CB	0.431
180	A:17:ILE:HG12	A:27:ILE:HG23	0.430
180	A:92:ASP:O	A:96:ARG:HB2	0.429
180	A:117:SER:O	A:121:LEU:HD23	0.427
180	A:60:LYS:O	A:63:ALA:HB3	0.420
180	A:95:ARG:HD3	A:126:TRP:NE1	0.418
180	A:6:MET:HE1	A:97:ALA:O	0.415

Model ID	Atom-1	Atom-2	Clash overlap (Å)
180	A:25:TYR:OH	A:39:LEU:HB2	0.415
180	A:124:LYS:HG2	A:126:TRP:CH2	0.414
180	A:148:ARG:HA	A:151:THR:HB	0.414
180	A:35:LYS:H	A:35:LYS:HG2	0.414
180	A:85:LYS:O	A:88:TYR:HB3	0.413
180	A:6:MET:HE3	A:7:LEU:HD12	0.411
180	A:42:ALA:O	A:46:LEU:HB2	0.409
180	A:13:LEU:CG	A:29:ILE:HG23	0.407
180	A:19:LYS:HB3	A:25:TYR:CZ	0.404
180	A:66:LEU:O	A:66:LEU:HD13	0.403
180	A:7:LEU:HA	A:7:LEU:HD23	0.401
180	A:58:ILE:HD12	A:63:ALA:HB2	0.401
181	A:130:ALA:HB1	A:150:ILE:HG23	1.081
181	A:7:LEU:HD22	A:11:GLU:HB2	1.019
181	A:16:LYS:HG3	A:57:VAL:HG22	1.018
181	A:27:ILE:CG2	A:33:LEU:HD12	0.850
181	A:17:ILE:HD12	A:43:LYS:HD3	0.814
181	A:130:ALA:HB1	A:150:ILE:CG2	0.795
181	A:106:MET:HB2	A:110:GLY:HA3	0.783
181	A:33:LEU:HD11	A:46:LEU:HG	0.753
181	A:114:PHE:HB3	A:117:SER:HB2	0.748
181	A:7:LEU:HD22	A:11:GLU:CB	0.742
181	A:27:ILE:HG12	A:33:LEU:HB2	0.733

Model ID	Atom-1	Atom-2	Clash overlap (Å)
181	A:16:LYS:HG3	A:57:VAL:CG2	0.732
181	A:27:ILE:HG13	A:31:HIS:HB3	0.732
181	A:88:TYR:HE1	A:100:ILE:HD11	0.721
181	A:27:ILE:HG21	A:33:LEU:HD12	0.718
181	A:3:ILE:SG	A:97:ALA:SG	0.718
181	A:79:LEU:HD23	A:81:ASN:HB2	0.717
181	A:17:ILE:HB	A:43:LYS:HE2	0.706
181	A:24:TYR:HB2	A:32:LEU:HD11	0.692
181	A:7:LEU:CD2	A:11:GLU:HB2	0.688
181	A:106:MET:SD	A:114:PHE:CE1	0.676
181	A:150:ILE:HA	A:153:PHE:HD2	0.671
181	A:58:ILE:HD12	A:63:ALA:CB	0.659
181	A:98:ALA:HB1	A:153:PHE:CZ	0.659
181	A:1:MET:HG2	A:5:GLU:CB	0.657
181	A:27:ILE:HG23	A:33:LEU:HD12	0.657
181	A:133:LEU:HB3	A:138:TRP:HZ3	0.621
181	A:17:ILE:CD1	A:43:LYS:HD3	0.619
181	A:19:LYS:HB3	A:25:TYR:CE1	0.614
181	A:25:TYR:CE1	A:39:LEU:HD13	0.614
181	A:39:LEU:HD11	A:43:LYS:HE3	0.613
181	A:151:THR:HG22	A:160:ALA:HB2	0.608
181	A:103:VAL:HG22	A:111:VAL:HG21	0.606
181	A:130:ALA:CB	A:150:ILE:HG23	0.605

Model ID	Atom-1	Atom-2	Clash overlap (Å)
181	A:1:MET:HG2	A:5:GLU:HB3	0.604
181	A:27:ILE:HD13	A:33:LEU:HD23	0.597
181	A:6:MET:HG3	A:161:TYR:HE2	0.591
181	A:139:TYR:HE1	A:150:ILE:HD12	0.580
181	A:96:ARG:HG3	A:100:ILE:HD12	0.575
181	A:81:ASN:HB3	A:84:LEU:HB2	0.573
181	A:87:VAL:HG11	A:118:LEU:HD21	0.568
181	A:17:ILE:HG12	A:27:ILE:CG2	0.559
181	A:106:MET:HG3	A:111:VAL:HG23	0.550
181	A:142:THR:CG2	A:145:ARG:HB2	0.549
181	A:133:LEU:HD22	A:138:TRP:CE3	0.546
181	A:17:ILE:HD12	A:43:LYS:CD	0.544
181	A:1:MET:HE1	A:158:TRP:CH2	0.530
181	A:91:LEU:HD21	A:126:TRP:CZ3	0.524
181	A:95:ARG:HD3	A:126:TRP:CG	0.520
181	A:1:MET:HG2	A:5:GLU:HB2	0.518
181	A:6:MET:SD	A:158:TRP:CH2	0.518
181	A:6:MET:SD	A:158:TRP:HH2	0.507
181	A:16:LYS:HA	A:56:GLY:C	0.503
181	A:142:THR:HG22	A:145:ARG:H	0.491
181	A:15:LEU:HB3	A:58:ILE:HG13	0.488
181	A:91:LEU:HD13	A:95:ARG:C	0.487
181	A:6:MET:HG3	A:161:TYR:CE2	0.484

Model ID	Atom-1	Atom-2	Clash overlap (Å)
181	A:17:ILE:HG12	A:27:ILE:HG23	0.484
181	A:13:LEU:HD21	A:29:ILE:HG23	0.482
181	A:79:LEU:HD21	A:84:LEU:HB3	0.482
181	A:6:MET:HE1	A:97:ALA:O	0.481
181	A:116:ASN:HB3	A:120:MET:HE1	0.481
181	A:7:LEU:HD21	A:104:PHE:HD2	0.480
181	A:17:ILE:CG1	A:27:ILE:HG22	0.474
181	A:50:ILE:HG21	A:52:ARG:HB3	0.466
181	A:95:ARG:HG2	A:126:TRP:CE3	0.463
181	A:50:ILE:HG13	A:54:THR:SG	0.457
181	A:117:SER:O	A:121:LEU:HD23	0.457
181	A:20:ASP:OD1	A:22:GLU:HG2	0.456
181	A:59:THR:OG1	A:62:GLU:HB3	0.455
181	A:118:LEU:HA	A:121:LEU:HB2	0.453
181	A:148:ARG:HD2	A:161:TYR:HD1	0.453
181	A:1:MET:HE1	A:158:TRP:CZ2	0.452
181	A:1:MET:HE3	A:2:ASN:O	0.452
181	A:5:GLU:O	A:8:ARG:HB2	0.452
181	A:5:GLU:OE2	A:8:ARG:HD3	0.451
181	A:10:ASP:HB3	A:145:ARG:HG2	0.450
181	A:102:MET:HB3	A:106:MET:HE3	0.448
181	A:106:MET:H	A:106:MET:HG2	0.445
181	A:10:ASP:HB3	A:145:ARG:CG	0.444

Model ID	Atom-1	Atom-2	Clash overlap (Å)
181	A:58:ILE:HD12	A:63:ALA:HB2	0.439
181	A:92:ASP:O	A:96:ARG:HB2	0.436
181	A:139:TYR:CE1	A:150:ILE:HD12	0.435
181	A:102:MET:HE1	A:133:LEU:HG	0.432
181	A:25:TYR:CZ	A:39:LEU:HB2	0.431
181	A:148:ARG:HB3	A:161:TYR:CE1	0.431
181	A:4:PHE:CZ	A:29:ILE:HG12	0.427
181	A:28:GLY:C	A:29:ILE:HG13	0.426
181	A:4:PHE:CE1	A:29:ILE:HG21	0.424
181	A:24:TYR:CB	A:32:LEU:HD11	0.424
181	A:98:ALA:O	A:102:MET:HG3	0.423
181	A:46:LEU:O	A:50:ILE:HG12	0.419
181	A:102:MET:HE3	A:138:TRP:CZ3	0.419
181	A:79:LEU:HA	A:79:LEU:HD12	0.418
181	A:17:ILE:HG12	A:27:ILE:HG22	0.415
181	A:124:LYS:HG2	A:126:TRP:CH2	0.413
181	A:125:ARG:HD2	A:128:GLU:HB2	0.413
181	A:50:ILE:CG2	A:52:ARG:HB3	0.412
181	A:7:LEU:HB2	A:13:LEU:HD12	0.410
181	A:25:TYR:CD1	A:39:LEU:HD13	0.410
181	A:1:MET:HE1	A:158:TRP:CZ3	0.408
181	A:151:THR:CG2	A:160:ALA:HB2	0.408
181	A:50:ILE:HG22	A:52:ARG:H	0.402

Model ID	Atom-1	Atom-2	Clash overlap (Å)
182	A:130:ALA:HB1	A:150:ILE:HG23	1.081
182	A:50:ILE:HG13	A:54:THR:SG	1.046
182	A:17:ILE:HD12	A:43:LYS:HD2	0.978
182	A:27:ILE:HG23	A:33:LEU:HD12	0.967
182	A:14:ARG:HB2	A:18:TYR:CE1	0.921
182	A:10:ASP:HB3	A:145:ARG:HG2	0.897
182	A:142:THR:CG2	A:145:ARG:HB2	0.866
182	A:27:ILE:HG13	A:31:HIS:HB3	0.849
182	A:27:ILE:CG1	A:31:HIS:HB3	0.844
182	A:6:MET:SD	A:158:TRP:HZ3	0.834
182	A:106:MET:SD	A:114:PHE:HE1	0.798
182	A:27:ILE:CG2	A:33:LEU:HD12	0.788
182	A:130:ALA:CB	A:150:ILE:HG23	0.784
182	A:142:THR:HG21	A:145:ARG:HB2	0.784
182	A:81:ASN:HB3	A:84:LEU:HB2	0.743
182	A:17:ILE:CD1	A:43:LYS:HD2	0.719
182	A:3:ILE:SG	A:97:ALA:SG	0.719
182	A:106:MET:SD	A:114:PHE:CE1	0.714
182	A:1:MET:CE	A:6:MET:HB2	0.699
182	A:17:ILE:HG13	A:27:ILE:HG22	0.699
182	A:1:MET:HE1	A:158:TRP:CE3	0.693
182	A:16:LYS:CG	A:57:VAL:HG22	0.692
182	A:133:LEU:HB3	A:138:TRP:HZ3	0.687

Model ID	Atom-1	Atom-2	Clash overlap (Å)
182	A:25:TYR:CZ	A:39:LEU:HB2	0.686
182	A:142:THR:HG22	A:145:ARG:HB2	0.684
182	A:10:ASP:HB3	A:145:ARG:CG	0.674
182	A:14:ARG:HB2	A:18:TYR:CZ	0.674
182	A:102:MET:HB3	A:106:MET:HE3	0.674
182	A:130:ALA:HB1	A:150:ILE:CG2	0.652
182	A:13:LEU:HG	A:29:ILE:HG23	0.651
182	A:142:THR:HG21	A:145:ARG:HD3	0.648
182	A:16:LYS:HG2	A:57:VAL:HG22	0.624
182	A:33:LEU:HG	A:46:LEU:HG	0.618
182	A:17:ILE:CG1	A:27:ILE:HG22	0.617
182	A:158:TRP:HE3	A:161:TYR:HE2	0.615
182	A:15:LEU:HB3	A:58:ILE:HG13	0.608
182	A:106:MET:HE2	A:138:TRP:CG	0.596
182	A:102:MET:HE1	A:133:LEU:HG	0.593
182	A:58:ILE:HD12	A:63:ALA:HB2	0.591
182	A:25:TYR:CE1	A:39:LEU:HD13	0.579
182	A:133:LEU:HB3	A:138:TRP:CZ3	0.576
182	A:150:ILE:HA	A:153:PHE:HD2	0.576
182	A:17:ILE:HD12	A:43:LYS:CD	0.574
182	A:32:LEU:HG	A:141:GLN:CD	0.573
182	A:22:GLU:HB3	A:24:TYR:CE2	0.572
182	A:81:ASN:HB3	A:84:LEU:CB	0.567

Model ID	Atom-1	Atom-2	Clash overlap (Å)
182	A:103:VAL:HG22	A:111:VAL:HG21	0.561
182	A:97:ALA:HB3	A:158:TRP:HH2	0.555
182	A:139:TYR:HE1	A:150:ILE:HD12	0.551
182	A:1:MET:HE1	A:6:MET:HB2	0.550
182	A:4:PHE:CZ	A:13:LEU:HD21	0.547
182	A:4:PHE:CE2	A:13:LEU:HD21	0.542
182	A:15:LEU:HD23	A:63:ALA:HB2	0.542
182	A:87:VAL:HG11	A:118:LEU:HD11	0.535
182	A:27:ILE:HG12	A:33:LEU:HD23	0.533
182	A:16:LYS:HG3	A:57:VAL:HA	0.531
182	A:79:LEU:HD22	A:85:LYS:HD2	0.531
182	A:4:PHE:CZ	A:29:ILE:HD13	0.528
182	A:88:TYR:HE1	A:100:ILE:HG12	0.522
182	A:103:VAL:HG22	A:111:VAL:CG2	0.518
182	A:114:PHE:HB3	A:117:SER:HB2	0.518
182	A:27:ILE:HG12	A:31:HIS:HB3	0.515
182	A:102:MET:O	A:106:MET:HG2	0.515
182	A:15:LEU:CD2	A:63:ALA:HB2	0.512
182	A:98:ALA:O	A:102:MET:HG3	0.512
182	A:6:MET:HG3	A:161:TYR:CE2	0.505
182	A:1:MET:CE	A:158:TRP:CE3	0.502
182	A:6:MET:HE1	A:97:ALA:O	0.502
182	A:4:PHE:HZ	A:29:ILE:HD13	0.501

Model ID	Atom-1	Atom-2	Clash overlap (Å)
182	A:79:LEU:HD23	A:81:ASN:HB2	0.499
182	A:132:ASN:OD1	A:133:LEU:HD12	0.495
182	A:1:MET:SD	A:6:MET:HB2	0.491
182	A:81:ASN:CB	A:84:LEU:HB2	0.489
182	A:1:MET:CG	A:5:GLU:HB3	0.486
182	A:9:ILE:HD13	A:161:TYR:HB3	0.484
182	A:11:GLU:HA	A:145:ARG:HD2	0.478
182	A:127:ASP:O	A:131:VAL:HG23	0.477
182	A:32:LEU:HG	A:141:GLN:OE1	0.476
182	A:16:LYS:HA	A:56:GLY:C	0.475
182	A:58:ILE:HD12	A:63:ALA:CB	0.469
182	A:102:MET:HE2	A:106:MET:HE1	0.464
182	A:24:TYR:HB3	A:34:THR:O	0.454
182	A:1:MET:HG2	A:5:GLU:HB3	0.452
182	A:25:TYR:CE1	A:39:LEU:HB2	0.451
182	A:94:VAL:HG13	A:158:TRP:CZ2	0.450
182	A:6:MET:SD	A:158:TRP:CZ3	0.447
182	A:91:LEU:HB3	A:96:ARG:HA	0.446
182	A:117:SER:O	A:121:LEU:HD23	0.443
182	A:59:THR:OG1	A:62:GLU:HB3	0.437
182	A:94:VAL:HB	A:95:ARG:CZ	0.436
182	A:1:MET:HG2	A:5:GLU:CB	0.433
182	A:142:THR:HG22	A:145:ARG:H	0.430

Model ID	Atom-1	Atom-2	Clash overlap (Å)
182	A:120:MET:O	A:123:GLN:HB3	0.428
182	A:67:PHE:CE2	A:71:VAL:CG2	0.427
182	A:15:LEU:HD21	A:63:ALA:CB	0.426
182	A:16:LYS:O	A:27:ILE:HA	0.426
182	A:25:TYR:HB2	A:34:THR:HG22	0.423
182	A:84:LEU:HD11	A:111:VAL:HG11	0.423
182	A:47:ASP:OD2	A:53:ASN:HA	0.422
182	A:55:ASN:O	A:57:VAL:HG23	0.420
182	A:79:LEU:HA	A:79:LEU:HD12	0.420
182	A:116:ASN:O	A:120:MET:HE2	0.415
182	A:10:ASP:HA	A:148:ARG:HH21	0.411
182	A:10:ASP:C	A:145:ARG:HD2	0.410
182	A:87:VAL:HG12	A:118:LEU:HD21	0.410
182	A:17:ILE:HG12	A:27:ILE:CG2	0.408
182	A:124:LYS:HG3	A:126:TRP:CZ2	0.405
183	A:75:VAL:HG13	A:79:LEU:HD12	1.117
183	A:16:LYS:HG3	A:57:VAL:HG22	1.107
183	A:114:PHE:HB3	A:118:LEU:HD13	1.104
183	A:84:LEU:HD22	A:99:LEU:HD21	1.080
183	A:1:MET:HE3	A:6:MET:HB2	1.012
183	A:33:LEU:HD21	A:46:LEU:HB2	0.955
183	A:9:ILE:HD13	A:161:TYR:HB3	0.915
183	A:34:THR:HG21	A:42:ALA:HB2	0.898

Model ID	Atom-1	Atom-2	Clash overlap (Å)
183	A:84:LEU:CD2	A:99:LEU:HD21	0.866
183	A:97:ALA:HB3	A:158:TRP:HH2	0.856
183	A:124:LYS:HG2	A:126:TRP:CH2	0.845
183	A:88:TYR:CE1	A:96:ARG:HG3	0.843
183	A:1:MET:CE	A:6:MET:HB2	0.839
183	A:16:LYS:CG	A:57:VAL:HG22	0.828
183	A:87:VAL:HG21	A:122:GLN:HB2	0.814
183	A:33:LEU:HD11	A:46:LEU:HG	0.791
183	A:75:VAL:CG1	A:79:LEU:HD12	0.769
183	A:58:ILE:CD1	A:63:ALA:HB2	0.761
183	A:17:ILE:HG21	A:25:TYR:HD1	0.760
183	A:34:THR:CG2	A:42:ALA:HB2	0.753
183	A:75:VAL:HG13	A:79:LEU:CD1	0.724
183	A:3:ILE:SG	A:97:ALA:SG	0.723
183	A:1:MET:CG	A:5:GLU:HB3	0.681
183	A:1:MET:HE1	A:158:TRP:CD2	0.672
183	A:78:ILE:HG23	A:103:VAL:HG11	0.671
183	A:1:MET:HE3	A:6:MET:CB	0.670
183	A:27:ILE:HG23	A:31:HIS:HB3	0.670
183	A:84:LEU:HD21	A:118:LEU:HD22	0.660
183	A:27:ILE:CG2	A:31:HIS:HB3	0.658
183	A:58:ILE:HD12	A:63:ALA:HB2	0.654
183	A:97:ALA:HA	A:100:ILE:HD12	0.654

Model ID	Atom-1	Atom-2	Clash overlap (Å)
183	A:98:ALA:HB3	A:153:PHE:CE1	0.648
183	A:9:ILE:HG21	A:161:TYR:CD1	0.638
183	A:58:ILE:HD11	A:63:ALA:HB2	0.637
183	A:151:THR:HG21	A:160:ALA:HB2	0.628
183	A:114:PHE:CB	A:118:LEU:HD13	0.622
183	A:9:ILE:HD13	A:161:TYR:CB	0.621
183	A:9:ILE:CD1	A:161:TYR:HB3	0.618
183	A:97:ALA:CB	A:158:TRP:HH2	0.616
183	A:94:VAL:HG13	A:158:TRP:CZ2	0.606
183	A:17:ILE:HG12	A:27:ILE:HB	0.604
183	A:12:GLY:HA3	A:26:THR:HB	0.600
183	A:17:ILE:HG21	A:25:TYR:CD1	0.598
183	A:152:THR:HG21	A:158:TRP:CZ3	0.597
183	A:147:LYS:HA	A:150:ILE:HD12	0.595
183	A:79:LEU:HD23	A:85:LYS:HG3	0.593
183	A:26:THR:CG2	A:32:LEU:HD13	0.583
183	A:84:LEU:HD11	A:118:LEU:HG	0.569
183	A:106:MET:HE1	A:138:TRP:CG	0.569
183	A:81:ASN:HD21	A:83:LYS:HE2	0.568
183	A:7:LEU:HD23	A:11:GLU:HG3	0.562
183	A:27:ILE:HG21	A:46:LEU:HD21	0.562
183	A:151:THR:HG21	A:160:ALA:CB	0.560
183	A:114:PHE:HE2	A:133:LEU:HD21	0.556

Model ID	Atom-1	Atom-2	Clash overlap (Å)
183	A:6:MET:CE	A:7:LEU:HD12	0.551
183	A:8:ARG:HB2	A:13:LEU:HB2	0.549
183	A:1:MET:HE1	A:158:TRP:CE3	0.544
183	A:130:ALA:HB2	A:150:ILE:CG2	0.543
183	A:1:MET:HG3	A:5:GLU:HB3	0.539
183	A:91:LEU:HD13	A:92:ASP:HB2	0.539
183	A:117:SER:HB3	A:133:LEU:HD11	0.529
183	A:1:MET:HG2	A:5:GLU:HB3	0.509
183	A:33:LEU:HD21	A:46:LEU:CB	0.507
183	A:17:ILE:HD11	A:46:LEU:HB3	0.505
183	A:152:THR:CG2	A:158:TRP:CZ3	0.505
183	A:98:ALA:O	A:102:MET:HG3	0.503
183	A:121:LEU:CD2	A:129:ALA:HB1	0.498
183	A:4:PHE:O	A:13:LEU:HD22	0.496
183	A:26:THR:HG22	A:32:LEU:HA	0.495
183	A:50:ILE:HG21	A:54:THR:SG	0.494
183	A:97:ALA:HB3	A:158:TRP:CH2	0.491
183	A:102:MET:HE3	A:138:TRP:CZ3	0.490
183	A:139:TYR:HA	A:146:ALA:HB3	0.486
183	A:24:TYR:HD1	A:35:LYS:HA	0.479
183	A:9:ILE:HD13	A:161:TYR:CG	0.476
183	A:88:TYR:HB2	A:99:LEU:HD23	0.475
183	A:130:ALA:CB	A:150:ILE:HG21	0.475

Model ID	Atom-1	Atom-2	Clash overlap (Å)
183	A:8:ARG:HA	A:12:GLY:HA2	0.473
183	A:9:ILE:HG21	A:161:TYR:HD1	0.472
183	A:11:GLU:O	A:26:THR:HG21	0.469
183	A:25:TYR:O	A:33:LEU:HB2	0.469
183	A:116:ASN:HB3	A:120:MET:HE2	0.464
183	A:33:LEU:HB3	A:34:THR:HG22	0.461
183	A:124:LYS:HG2	A:126:TRP:HH2	0.454
183	A:11:GLU:C	A:26:THR:HG21	0.452
183	A:98:ALA:CB	A:153:PHE:CE1	0.451
183	A:1:MET:HE2	A:1:MET:O	0.445
183	A:151:THR:CG2	A:160:ALA:HB2	0.445
183	A:24:TYR:OH	A:142:THR:HG21	0.443
183	A:46:LEU:O	A:49:ALA:HB3	0.442
183	A:105:GLN:HB2	A:145:ARG:HH12	0.441
183	A:97:ALA:CB	A:158:TRP:CH2	0.440
183	A:4:PHE:CD2	A:13:LEU:HD21	0.436
183	A:19:LYS:HA	A:24:TYR:O	0.433
183	A:118:LEU:HD23	A:121:LEU:CD1	0.427
183	A:124:LYS:HA	A:126:TRP:CH2	0.427
183	A:4:PHE:CE1	A:13:LEU:HG	0.426
183	A:126:TRP:HB2	A:154:ARG:HA	0.425
183	A:6:MET:SD	A:97:ALA:HB1	0.423
183	A:114:PHE:HZ	A:138:TRP:HB3	0.423

Model ID	Atom-1	Atom-2	Clash overlap (Å)
183	A:15:LEU:HG	A:58:ILE:HG13	0.422
183	A:46:LEU:O	A:50:ILE:HG12	0.415
183	A:29:ILE:HG21	A:67:PHE:CD1	0.413
183	A:38:SER:HB3	A:41:ALA:HB3	0.411
183	A:33:LEU:HA	A:33:LEU:HD23	0.410
183	A:24:TYR:HB2	A:26:THR:HG23	0.405
183	A:29:ILE:HG21	A:67:PHE:HD1	0.405
183	A:50:ILE:HD11	A:56:GLY:HA2	0.405
183	A:119:ARG:HA	A:122:GLN:CD	0.403
183	A:81:ASN:ND2	A:84:LEU:HD13	0.400
184	A:97:ALA:HB3	A:158:TRP:HH2	0.964
184	A:84:LEU:HD22	A:99:LEU:HD21	0.909
184	A:6:MET:SD	A:97:ALA:HB1	0.856
184	A:34:THR:HG21	A:42:ALA:HB2	0.848
184	A:33:LEU:HD21	A:46:LEU:HB2	0.842
184	A:16:LYS:HG3	A:57:VAL:HG22	0.825
184	A:87:VAL:HG21	A:122:GLN:HB2	0.819
184	A:1:MET:HG3	A:5:GLU:HB3	0.818
184	A:34:THR:CG2	A:42:ALA:HB2	0.801
184	A:27:ILE:HG22	A:31:HIS:HB3	0.799
184	A:1:MET:CG	A:5:GLU:HB3	0.790
184	A:17:ILE:HG21	A:25:TYR:HD1	0.789
184	A:27:ILE:CG2	A:31:HIS:HB3	0.780

Model ID	Atom-1	Atom-2	Clash overlap (Å)
184	A:97:ALA:HB3	A:158:TRP:CH2	0.768
184	A:3:ILE:SG	A:97:ALA:SG	0.758
184	A:9:ILE:HD13	A:161:TYR:HB3	0.755
184	A:114:PHE:HB3	A:118:LEU:HD13	0.750
184	A:33:LEU:HD11	A:46:LEU:HG	0.737
184	A:151:THR:HG21	A:160:ALA:HB2	0.732
184	A:88:TYR:CE1	A:96:ARG:HG3	0.722
184	A:97:ALA:HA	A:100:ILE:HD12	0.717
184	A:152:THR:HG21	A:158:TRP:CZ3	0.717
184	A:26:THR:CG2	A:32:LEU:HD12	0.702
184	A:87:VAL:HG21	A:122:GLN:CB	0.693
184	A:4:PHE:HE1	A:29:ILE:HA	0.681
184	A:84:LEU:HD21	A:118:LEU:HD22	0.676
184	A:58:ILE:HD12	A:63:ALA:HB2	0.668
184	A:17:ILE:HD11	A:46:LEU:HB3	0.667
184	A:79:LEU:HD23	A:85:LYS:HG3	0.667
184	A:119:ARG:HA	A:122:GLN:HG2	0.666
184	A:17:ILE:CG2	A:25:TYR:HD1	0.665
184	A:78:ILE:HG23	A:103:VAL:HG11	0.642
184	A:55:ASN:HB2	A:57:VAL:HG23	0.627
184	A:8:ARG:HB2	A:13:LEU:HB2	0.626
184	A:9:ILE:HG21	A:161:TYR:CD1	0.625
184	A:98:ALA:HB3	A:153:PHE:CE1	0.618

Model ID	Atom-1	Atom-2	Clash overlap (Å)
184	A:124:LYS:HG2	A:126:TRP:CH2	0.612
184	A:9:ILE:CD1	A:161:TYR:HB3	0.604
184	A:1:MET:HE3	A:6:MET:HB2	0.594
184	A:117:SER:HB3	A:133:LEU:HD11	0.588
184	A:151:THR:CG2	A:160:ALA:HB2	0.582
184	A:116:ASN:HB3	A:120:MET:HE2	0.561
184	A:15:LEU:HG	A:58:ILE:HG13	0.559
184	A:158:TRP:CE3	A:161:TYR:HE2	0.549
184	A:9:ILE:HD13	A:161:TYR:CB	0.543
184	A:58:ILE:CD1	A:63:ALA:HB2	0.543
184	A:94:VAL:HG13	A:158:TRP:CZ2	0.543
184	A:152:THR:CG2	A:158:TRP:CZ3	0.538
184	A:9:ILE:HG21	A:161:TYR:HD1	0.537
184	A:1:MET:HE1	A:158:TRP:CE3	0.533
184	A:17:ILE:CG2	A:25:TYR:CD1	0.532
184	A:151:THR:HG21	A:160:ALA:CB	0.532
184	A:33:LEU:HB3	A:34:THR:HG22	0.518
184	A:158:TRP:HE3	A:161:TYR:CE2	0.516
184	A:83:LYS:HE3	A:115:THR:HA	0.514
184	A:1:MET:HE1	A:158:TRP:CD2	0.511
184	A:116:ASN:O	A:120:MET:HG2	0.508
184	A:50:ILE:HG21	A:54:THR:SG	0.505
184	A:26:THR:HG22	A:32:LEU:HA	0.501

Model ID	Atom-1	Atom-2	Clash overlap (Å)
184	A:98:ALA:O	A:102:MET:HG3	0.498
184	A:97:ALA:CB	A:158:TRP:CH2	0.492
184	A:20:ASP:OD1	A:22:GLU:HB2	0.489
184	A:158:TRP:CE3	A:161:TYR:CE2	0.489
184	A:4:PHE:O	A:13:LEU:HD22	0.488
184	A:46:LEU:HD13	A:49:ALA:HB3	0.487
184	A:29:ILE:HG21	A:67:PHE:HD1	0.485
184	A:94:VAL:HG21	A:156:GLY:O	0.485
184	A:120:MET:HB2	A:129:ALA:HB2	0.485
184	A:121:LEU:CD2	A:129:ALA:HB1	0.484
184	A:13:LEU:HD13	A:14:ARG:HA	0.480
184	A:26:THR:HG23	A:32:LEU:HD12	0.480
184	A:17:ILE:HG21	A:25:TYR:CD1	0.479
184	A:34:THR:HG22	A:42:ALA:HB2	0.479
184	A:6:MET:SD	A:97:ALA:CB	0.479
184	A:1:MET:HG3	A:5:GLU:CB	0.477
184	A:106:MET:HE1	A:138:TRP:HB2	0.475
184	A:32:LEU:HG	A:105:GLN:HE22	0.470
184	A:4:PHE:CD2	A:13:LEU:HD21	0.463
184	A:4:PHE:CG	A:13:LEU:HD21	0.459
184	A:25:TYR:O	A:33:LEU:HB2	0.457
184	A:88:TYR:HB2	A:99:LEU:HD23	0.456
184	A:1:MET:HE2	A:1:MET:O	0.454

Model ID	Atom-1	Atom-2	Clash overlap (Å)
184	A:10:ASP:HB3	A:145:ARG:HG3	0.454
184	A:9:ILE:HD13	A:161:TYR:CG	0.453
184	A:27:ILE:HG21	A:46:LEU:HD21	0.453
184	A:12:GLY:HA3	A:26:THR:HB	0.452
184	A:98:ALA:CB	A:153:PHE:CE1	0.452
184	A:97:ALA:O	A:100:ILE:HB	0.446
184	A:17:ILE:HG13	A:27:ILE:HG13	0.445
184	A:88:TYR:CE1	A:96:ARG:CG	0.445
184	A:46:LEU:O	A:49:ALA:HB3	0.444
184	A:87:VAL:CG2	A:122:GLN:HB2	0.439
184	A:27:ILE:HD12	A:46:LEU:HD11	0.437
184	A:114:PHE:CB	A:118:LEU:HD13	0.436
184	A:1:MET:HE3	A:6:MET:CB	0.435
184	A:138:TRP:HZ2	A:149:VAL:HG21	0.433
184	A:92:ASP:O	A:96:ARG:HB2	0.432
184	A:4:PHE:CE2	A:13:LEU:HD11	0.429
184	A:11:GLU:HB3	A:32:LEU:HD13	0.428
184	A:33:LEU:HA	A:33:LEU:HD23	0.427
184	A:19:LYS:HD3	A:25:TYR:OH	0.426
184	A:95:ARG:HG3	A:153:PHE:HA	0.425
184	A:3:ILE:O	A:7:LEU:HD13	0.424
184	A:96:ARG:CZ	A:96:ARG:HB2	0.420
184	A:4:PHE:CE1	A:13:LEU:HG	0.418

Model ID	Atom-1	Atom-2	Clash overlap (Å)
184	A:19:LYS:HA	A:24:TYR:O	0.416
184	A:85:LYS:HB3	A:85:LYS:HE2	0.415
184	A:26:THR:HG22	A:32:LEU:HD12	0.414
184	A:9:ILE:HD13	A:161:TYR:CD1	0.412
184	A:1:MET:HG2	A:5:GLU:HB3	0.411
184	A:102:MET:HE3	A:138:TRP:CZ3	0.409
184	A:130:ALA:HB2	A:150:ILE:CG2	0.408
184	A:45:GLU:O	A:48:LYS:HB3	0.407
184	A:79:LEU:HA	A:79:LEU:HD23	0.406
184	A:6:MET:HB3	A:6:MET:HE2	0.405
185	A:102:MET:HE2	A:106:MET:HE1	1.065
185	A:94:VAL:HG12	A:152:THR:HG23	1.043
185	A:16:LYS:HG2	A:57:VAL:HG22	0.990
185	A:130:ALA:HB2	A:150:ILE:HG21	0.914
185	A:124:LYS:HG2	A:126:TRP:CZ2	0.885
185	A:1:MET:HE2	A:158:TRP:CE3	0.837
185	A:102:MET:CE	A:106:MET:HE1	0.829
185	A:94:VAL:HG12	A:152:THR:CG2	0.809
185	A:130:ALA:HB2	A:150:ILE:CG2	0.749
185	A:102:MET:HE1	A:133:LEU:HG	0.745
185	A:6:MET:HG3	A:161:TYR:CE2	0.723
185	A:103:VAL:HG22	A:111:VAL:HG21	0.710
185	A:130:ALA:CB	A:150:ILE:HG21	0.705

Model ID	Atom-1	Atom-2	Clash overlap (Å)
185	A:102:MET:HE3	A:138:TRP:CZ3	0.703
185	A:139:TYR:HD1	A:146:ALA:HB1	0.703
185	A:94:VAL:CG1	A:152:THR:HG23	0.696
185	A:102:MET:HE2	A:106:MET:CE	0.691
185	A:3:ILE:SG	A:97:ALA:SG	0.678
185	A:50:ILE:HG21	A:54:THR:SG	0.671
185	A:97:ALA:HB3	A:158:TRP:CH2	0.666
185	A:25:TYR:HB3	A:33:LEU:HD12	0.657
185	A:97:ALA:HB3	A:158:TRP:HH2	0.656
185	A:6:MET:HE1	A:98:ALA:HA	0.647
185	A:1:MET:HE3	A:6:MET:HB2	0.645
185	A:95:ARG:HG2	A:153:PHE:HA	0.643
185	A:139:TYR:CD1	A:146:ALA:HB1	0.630
185	A:102:MET:HE1	A:133:LEU:HB3	0.626
185	A:83:LYS:HD2	A:84:LEU:HD12	0.621
185	A:124:LYS:HG2	A:126:TRP:HZ2	0.618
185	A:45:GLU:HA	A:48:LYS:HG2	0.616
185	A:121:LEU:HD21	A:129:ALA:HB1	0.616
185	A:91:LEU:HD22	A:95:ARG:HB2	0.599
185	A:3:ILE:SG	A:100:ILE:HD13	0.599
185	A:22:GLU:HG2	A:137:ARG:HH12	0.598
185	A:93:ALA:HA	A:96:ARG:HB2	0.593
185	A:99:LEU:HD22	A:118:LEU:HD21	0.593

Model ID	Atom-1	Atom-2	Clash overlap (Å)
185	A:33:LEU:HD12	A:42:ALA:HB1	0.590
185	A:102:MET:HE1	A:133:LEU:CB	0.585
185	A:22:GLU:HB3	A:24:TYR:CE2	0.572
185	A:148:ARG:HB3	A:161:TYR:CZ	0.570
185	A:27:ILE:HG22	A:33:LEU:HD21	0.564
185	A:50:ILE:HD11	A:66:LEU:HD11	0.558
185	A:1:MET:CG	A:5:GLU:HB2	0.535
185	A:4:PHE:CZ	A:64:GLU:HG2	0.532
185	A:14:ARG:HB3	A:18:TYR:CE1	0.531
185	A:17:ILE:HG22	A:25:TYR:HD1	0.529
185	A:97:ALA:HA	A:100:ILE:HB	0.524
185	A:91:LEU:HD21	A:126:TRP:HH2	0.521
185	A:1:MET:CE	A:158:TRP:CE3	0.518
185	A:102:MET:HE1	A:133:LEU:CG	0.511
185	A:102:MET:HE3	A:138:TRP:CH2	0.509
185	A:14:ARG:CB	A:18:TYR:CE1	0.504
185	A:1:MET:HG2	A:5:GLU:HB2	0.501
185	A:139:TYR:CD1	A:146:ALA:CB	0.501
185	A:75:VAL:HG13	A:79:LEU:HD12	0.495
185	A:58:ILE:HB	A:62:GLU:HB3	0.492
185	A:5:GLU:O	A:9:ILE:HD12	0.488
185	A:148:ARG:HB3	A:161:TYR:CE1	0.486
185	A:1:MET:HE2	A:158:TRP:CD2	0.481

Model ID	Atom-1	Atom-2	Clash overlap (Å)
185	A:11:GLU:HB2	A:29:ILE:O	0.480
185	A:127:ASP:O	A:131:VAL:HG23	0.479
185	A:24:TYR:CD1	A:32:LEU:HD21	0.465
185	A:17:ILE:HG12	A:33:LEU:HD11	0.463
185	A:17:ILE:CG2	A:25:TYR:HD1	0.461
185	A:98:ALA:HB1	A:153:PHE:CE1	0.460
185	A:121:LEU:HD21	A:129:ALA:CB	0.454
185	A:27:ILE:HG21	A:46:LEU:HD11	0.452
185	A:22:GLU:HB3	A:24:TYR:CD2	0.446
185	A:111:VAL:HA	A:114:PHE:CD1	0.444
185	A:7:LEU:HB3	A:29:ILE:HG22	0.440
185	A:120:MET:O	A:123:GLN:HB3	0.438
185	A:17:ILE:CG2	A:25:TYR:CD1	0.436
185	A:86:PRO:O	A:90:SER:HB3	0.435
185	A:88:TYR:CZ	A:96:ARG:HG2	0.429
185	A:47:ASP:HB3	A:53:ASN:HA	0.428
185	A:14:ARG:HB3	A:18:TYR:HE1	0.427
185	A:75:VAL:O	A:79:LEU:HB2	0.427
185	A:14:ARG:CB	A:18:TYR:HE1	0.414
185	A:91:LEU:HD21	A:126:TRP:CH2	0.414
185	A:9:ILE:HG22	A:148:ARG:NH2	0.411
185	A:78:ILE:CD1	A:84:LEU:HD21	0.409
185	A:94:VAL:HG22	A:158:TRP:CD1	0.405

Model ID	Atom-1	Atom-2	Clash overlap (Å)
185	A:99:LEU:HD13	A:118:LEU:HD11	0.404
186	A:130:ALA:HB1	A:150:ILE:HG23	1.106
186	A:81:ASN:HB3	A:84:LEU:HB2	1.058
186	A:103:VAL:HG22	A:111:VAL:HG21	1.022
186	A:10:ASP:HB3	A:145:ARG:HG2	0.923
186	A:106:MET:SD	A:114:PHE:HE1	0.894
186	A:130:ALA:CB	A:150:ILE:HG23	0.870
186	A:103:VAL:HG22	A:111:VAL:CG2	0.860
186	A:7:LEU:HD22	A:11:GLU:HB2	0.859
186	A:16:LYS:HG3	A:57:VAL:HG22	0.810
186	A:124:LYS:HG3	A:126:TRP:CZ2	0.792
186	A:16:LYS:CG	A:57:VAL:HG22	0.747
186	A:27:ILE:HG13	A:31:HIS:HB3	0.735
186	A:81:ASN:HB3	A:84:LEU:CB	0.733
186	A:17:ILE:HD12	A:43:LYS:HD3	0.721
186	A:3:ILE:SG	A:97:ALA:SG	0.715
186	A:9:ILE:HD13	A:161:TYR:HB3	0.712
186	A:142:THR:HG21	A:145:ARG:HD3	0.706
186	A:81:ASN:CB	A:84:LEU:HB2	0.695
186	A:17:ILE:CG1	A:27:ILE:HG22	0.673
186	A:27:ILE:CG2	A:33:LEU:HD12	0.656
186	A:142:THR:CG2	A:145:ARG:HB2	0.655
186	A:27:ILE:HG21	A:33:LEU:HD12	0.654

Model ID	Atom-1	Atom-2	Clash overlap (Å)
186	A:130:ALA:HB1	A:150:ILE:CG2	0.648
186	A:6:MET:SD	A:158:TRP:HZ3	0.644
186	A:58:ILE:HD12	A:63:ALA:CB	0.639
186	A:150:ILE:HA	A:153:PHE:HD2	0.635
186	A:79:LEU:HD23	A:81:ASN:HB2	0.634
186	A:17:ILE:HG12	A:27:ILE:HG22	0.621
186	A:13:LEU:HG	A:29:ILE:HG23	0.615
186	A:17:ILE:HB	A:43:LYS:HE2	0.596
186	A:106:MET:HE2	A:138:TRP:CG	0.596
186	A:123:GLN:HG3	A:125:ARG:HE	0.593
186	A:154:ARG:HH21	A:155:THR:HG22	0.593
186	A:25:TYR:HB2	A:34:THR:HG22	0.590
186	A:50:ILE:HG22	A:52:ARG:HB3	0.586
186	A:15:LEU:HB3	A:58:ILE:HG13	0.578
186	A:24:TYR:HD1	A:35:LYS:HA	0.577
186	A:10:ASP:HB3	A:145:ARG:CG	0.576
186	A:27:ILE:CG1	A:31:HIS:HB3	0.576
186	A:25:TYR:CZ	A:39:LEU:HB2	0.573
186	A:133:LEU:HB3	A:138:TRP:HZ3	0.570
186	A:1:MET:HE1	A:158:TRP:CE3	0.566
186	A:17:ILE:HG13	A:27:ILE:HG22	0.555
186	A:17:ILE:HG12	A:27:ILE:CG2	0.554
186	A:84:LEU:HD21	A:111:VAL:HG12	0.550

Model ID	Atom-1	Atom-2	Clash overlap (Å)
186	A:106:MET:SD	A:114:PHE:CE1	0.549
186	A:6:MET:HG3	A:161:TYR:CE2	0.548
186	A:139:TYR:HE1	A:150:ILE:HD12	0.548
186	A:91:LEU:HB3	A:96:ARG:HA	0.544
186	A:1:MET:HG2	A:5:GLU:HB3	0.538
186	A:121:LEU:HB3	A:126:TRP:CZ3	0.530
186	A:25:TYR:HB2	A:34:THR:CG2	0.527
186	A:1:MET:CG	A:5:GLU:HB3	0.525
186	A:15:LEU:HD23	A:63:ALA:HB2	0.525
186	A:97:ALA:HB3	A:158:TRP:HH2	0.523
186	A:14:ARG:HB2	A:18:TYR:CE1	0.520
186	A:4:PHE:CZ	A:13:LEU:HD21	0.517
186	A:4:PHE:HZ	A:13:LEU:HD21	0.514
186	A:98:ALA:O	A:102:MET:HG3	0.513
186	A:121:LEU:O	A:124:LYS:HD2	0.512
186	A:6:MET:HE1	A:97:ALA:O	0.511
186	A:4:PHE:CZ	A:29:ILE:HD13	0.508
186	A:55:ASN:O	A:57:VAL:HG23	0.506
186	A:39:LEU:HD11	A:43:LYS:HE3	0.505
186	A:114:PHE:HB3	A:117:SER:HB2	0.503
186	A:10:ASP:CB	A:145:ARG:HG2	0.502
186	A:117:SER:O	A:121:LEU:HG	0.501
186	A:50:ILE:CG2	A:52:ARG:HB3	0.494

Model ID	Atom-1	Atom-2	Clash overlap (Å)
186	A:142:THR:HG21	A:145:ARG:HB2	0.494
186	A:142:THR:HG22	A:145:ARG:HB2	0.491
186	A:25:TYR:CE1	A:39:LEU:HB2	0.477
186	A:50:ILE:HG13	A:54:THR:SG	0.477
186	A:94:VAL:HG22	A:158:TRP:HE1	0.476
186	A:83:LYS:HE2	A:83:LYS:O	0.474
186	A:102:MET:HE1	A:133:LEU:CD2	0.474
186	A:42:ALA:O	A:46:LEU:HB2	0.469
186	A:102:MET:HE1	A:133:LEU:HG	0.467
186	A:6:MET:SD	A:158:TRP:CZ3	0.467
186	A:116:ASN:HB3	A:120:MET:HE1	0.461
186	A:130:ALA:HB2	A:153:PHE:CD2	0.460
186	A:46:LEU:O	A:50:ILE:HG12	0.455
186	A:46:LEU:HD23	A:49:ALA:HB3	0.452
186	A:33:LEU:HD11	A:46:LEU:HG	0.448
186	A:16:LYS:HG3	A:57:VAL:CG2	0.447
186	A:103:VAL:CG2	A:111:VAL:HG21	0.447
186	A:132:ASN:OD1	A:133:LEU:HD12	0.446
186	A:78:ILE:HG22	A:108:GLU:HB3	0.445
186	A:106:MET:HB3	A:138:TRP:HB2	0.445
186	A:121:LEU:HD22	A:126:TRP:CE3	0.445
186	A:16:LYS:HG3	A:57:VAL:HA	0.440
186	A:16:LYS:HD2	A:57:VAL:HG13	0.440

Model ID	Atom-1	Atom-2	Clash overlap (Å)
186	A:139:TYR:HE1	A:150:ILE:CD1	0.438
186	A:1:MET:SD	A:6:MET:HB2	0.426
186	A:94:VAL:HG13	A:158:TRP:CZ2	0.426
186	A:133:LEU:HB3	A:138:TRP:CZ3	0.422
186	A:106:MET:HE2	A:138:TRP:CD1	0.419
186	A:4:PHE:HZ	A:29:ILE:HD13	0.418
186	A:81:ASN:O	A:85:LYS:HD3	0.416
186	A:1:MET:HG2	A:5:GLU:CB	0.415
186	A:155:THR:O	A:157:THR:HG23	0.413
186	A:15:LEU:HD23	A:63:ALA:CB	0.411
186	A:95:ARG:HD3	A:126:TRP:CE2	0.406
186	A:88:TYR:HE1	A:100:ILE:HG12	0.406
186	A:127:ASP:O	A:131:VAL:HG23	0.405
186	A:114:PHE:O	A:117:SER:HB2	0.402
187	A:130:ALA:HB1	A:150:ILE:HG23	1.206
187	A:106:MET:SD	A:114:PHE:HE1	0.946
187	A:17:ILE:HD12	A:43:LYS:HD2	0.930
187	A:15:LEU:HD11	A:29:ILE:HG13	0.890
187	A:27:ILE:CG2	A:33:LEU:HD12	0.873
187	A:81:ASN:HB2	A:84:LEU:HB2	0.872
187	A:58:ILE:HD12	A:63:ALA:CB	0.844
187	A:58:ILE:HD12	A:63:ALA:HB2	0.817
187	A:27:ILE:HG13	A:31:HIS:HB3	0.810

Model ID	Atom-1	Atom-2	Clash overlap (Å)
187	A:130:ALA:HB1	A:150:ILE:CG2	0.808
187	A:16:LYS:CG	A:57:VAL:HG22	0.783
187	A:1:MET:HG2	A:5:GLU:CB	0.756
187	A:130:ALA:CB	A:150:ILE:HG23	0.747
187	A:81:ASN:CB	A:84:LEU:HB2	0.732
187	A:27:ILE:HG23	A:33:LEU:HD12	0.723
187	A:1:MET:HG2	A:5:GLU:HB2	0.717
187	A:3:ILE:SG	A:97:ALA:SG	0.716
187	A:17:ILE:CD1	A:43:LYS:HD2	0.711
187	A:15:LEU:HD11	A:29:ILE:CG1	0.701
187	A:81:ASN:HB2	A:84:LEU:CB	0.699
187	A:13:LEU:HG	A:29:ILE:HG23	0.690
187	A:16:LYS:HG3	A:57:VAL:HG22	0.679
187	A:17:ILE:HD12	A:43:LYS:CD	0.669
187	A:27:ILE:HG21	A:33:LEU:HD12	0.663
187	A:91:LEU:HD22	A:95:ARG:HD2	0.655
187	A:17:ILE:CG1	A:27:ILE:HG22	0.647
187	A:1:MET:HG2	A:5:GLU:HB3	0.622
187	A:15:LEU:CD1	A:29:ILE:HG13	0.611
187	A:7:LEU:HD22	A:11:GLU:HB2	0.599
187	A:87:VAL:HG11	A:118:LEU:HD21	0.594
187	A:25:TYR:HB2	A:34:THR:CG2	0.582
187	A:6:MET:SD	A:158:TRP:CH2	0.571

Model ID	Atom-1	Atom-2	Clash overlap (Å)
187	A:106:MET:SD	A:114:PHE:CE1	0.567
187	A:17:ILE:HG13	A:27:ILE:HG22	0.558
187	A:124:LYS:HG2	A:126:TRP:CZ2	0.556
187	A:103:VAL:HG22	A:111:VAL:HG21	0.554
187	A:15:LEU:HB3	A:58:ILE:HG13	0.551
187	A:133:LEU:HB3	A:138:TRP:HZ3	0.551
187	A:94:VAL:HG22	A:158:TRP:HE1	0.549
187	A:17:ILE:HG12	A:27:ILE:HG22	0.544
187	A:50:ILE:HG22	A:52:ARG:H	0.543
187	A:17:ILE:HG12	A:27:ILE:CG2	0.539
187	A:133:LEU:HD22	A:138:TRP:CE3	0.530
187	A:1:MET:HE3	A:2:ASN:O	0.521
187	A:102:MET:HE3	A:138:TRP:CZ3	0.520
187	A:98:ALA:HB1	A:153:PHE:CZ	0.514
187	A:6:MET:SD	A:158:TRP:HH2	0.512
187	A:39:LEU:O	A:43:LYS:HG2	0.509
187	A:114:PHE:CE2	A:133:LEU:CD2	0.507
187	A:10:ASP:HB3	A:145:ARG:HG2	0.503
187	A:27:ILE:CG1	A:31:HIS:HB3	0.503
187	A:25:TYR:HB2	A:34:THR:HG22	0.487
187	A:79:LEU:HD21	A:84:LEU:HD12	0.483
187	A:42:ALA:O	A:46:LEU:HB2	0.475
187	A:4:PHE:HE1	A:29:ILE:HD13	0.474

Model ID	Atom-1	Atom-2	Clash overlap (Å)
187	A:84:LEU:HD11	A:99:LEU:HD21	0.472
187	A:16:LYS:HA	A:56:GLY:C	0.470
187	A:16:LYS:HG2	A:57:VAL:HG22	0.466
187	A:19:LYS:HB3	A:25:TYR:CE1	0.462
187	A:59:THR:OG1	A:62:GLU:HB3	0.462
187	A:7:LEU:HD21	A:104:PHE:HD2	0.461
187	A:55:ASN:O	A:57:VAL:HG23	0.460
187	A:50:ILE:HG13	A:54:THR:SG	0.454
187	A:124:LYS:HE3	A:126:TRP:CZ2	0.454
187	A:25:TYR:CE1	A:39:LEU:HD13	0.452
187	A:7:LEU:CD2	A:11:GLU:HB2	0.447
187	A:102:MET:O	A:106:MET:HE3	0.443
187	A:58:ILE:HD12	A:63:ALA:HB1	0.442
187	A:8:ARG:HA	A:13:LEU:HD13	0.439
187	A:133:LEU:HD22	A:138:TRP:CZ3	0.438
187	A:139:TYR:O	A:143:PRO:HD3	0.438
187	A:79:LEU:HD22	A:85:LYS:HA	0.437
187	A:25:TYR:CD1	A:39:LEU:HD13	0.433
187	A:4:PHE:CE1	A:29:ILE:HD13	0.432
187	A:88:TYR:CZ	A:96:ARG:HG3	0.431
187	A:33:LEU:HG	A:46:LEU:HG	0.430
187	A:106:MET:HE2	A:138:TRP:HB2	0.430
187	A:24:TYR:HD1	A:35:LYS:HA	0.424

Model ID	Atom-1	Atom-2	Clash overlap (Å)
187	A:114:PHE:HB3	A:117:SER:HB2	0.423
187	A:58:ILE:HG22	A:62:GLU:OE2	0.413
187	A:88:TYR:OH	A:96:ARG:HG3	0.412
187	A:114:PHE:CE2	A:133:LEU:HD23	0.411
187	A:129:ALA:O	A:133:LEU:HD13	0.411
187	A:1:MET:HB3	A:1:MET:HE2	0.410
187	A:7:LEU:HD21	A:104:PHE:CD2	0.408
187	A:93:ALA:HA	A:96:ARG:HB2	0.406
187	A:79:LEU:O	A:85:LYS:HG3	0.405
187	A:6:MET:HG3	A:161:TYR:CE2	0.401
188	A:79:LEU:HD22	A:85:LYS:HG3	1.106
188	A:58:ILE:HD13	A:63:ALA:HB2	1.073
188	A:102:MET:HE1	A:133:LEU:HG	0.905
188	A:102:MET:HE2	A:106:MET:HE1	0.884
188	A:58:ILE:CD1	A:63:ALA:HB2	0.819
188	A:14:ARG:HB2	A:18:TYR:CE1	0.789
188	A:103:VAL:HG22	A:111:VAL:HG21	0.777
188	A:17:ILE:HD11	A:46:LEU:HD22	0.776
188	A:103:VAL:HG22	A:111:VAL:CG2	0.775
188	A:3:ILE:SG	A:97:ALA:SG	0.764
188	A:79:LEU:CD2	A:85:LYS:HG3	0.726
188	A:102:MET:HE1	A:133:LEU:CG	0.699
188	A:58:ILE:HD13	A:63:ALA:CB	0.693

Model ID	Atom-1	Atom-2	Clash overlap (Å)
188	A:139:TYR:CD1	A:146:ALA:HB1	0.676
188	A:102:MET:HE3	A:138:TRP:CZ3	0.670
188	A:7:LEU:HD11	A:104:PHE:CD1	0.663
188	A:50:ILE:HG21	A:54:THR:SG	0.662
188	A:59:THR:H	A:62:GLU:HB2	0.650
188	A:102:MET:HE1	A:133:LEU:HB3	0.647
188	A:102:MET:CE	A:106:MET:HE1	0.635
188	A:6:MET:HG3	A:161:TYR:CE2	0.625
188	A:139:TYR:HD1	A:146:ALA:HB1	0.622
188	A:16:LYS:HG2	A:57:VAL:HG22	0.592
188	A:6:MET:HB2	A:158:TRP:CZ3	0.589
188	A:130:ALA:HB2	A:150:ILE:HG23	0.589
188	A:14:ARG:HB2	A:18:TYR:HE1	0.588
188	A:33:LEU:HD13	A:42:ALA:C	0.580
188	A:102:MET:HE1	A:133:LEU:CB	0.574
188	A:124:LYS:HG3	A:126:TRP:CZ2	0.574
188	A:4:PHE:HE1	A:29:ILE:CD1	0.572
188	A:99:LEU:HD11	A:121:LEU:HD11	0.572
188	A:106:MET:HE2	A:138:TRP:CG	0.554
188	A:27:ILE:HG21	A:46:LEU:HD13	0.548
188	A:103:VAL:HG22	A:111:VAL:HG22	0.546
188	A:7:LEU:HD11	A:104:PHE:HD1	0.539
188	A:7:LEU:HB3	A:29:ILE:HG22	0.528

Model ID	Atom-1	Atom-2	Clash overlap (Å)
188	A:17:ILE:CG2	A:25:TYR:CD1	0.518
188	A:15:LEU:HD22	A:58:ILE:HD12	0.513
188	A:27:ILE:HG21	A:46:LEU:CD1	0.513
188	A:1:MET:CE	A:158:TRP:CE3	0.510
188	A:127:ASP:O	A:131:VAL:HG23	0.505
188	A:50:ILE:HD13	A:54:THR:SG	0.501
188	A:102:MET:CE	A:133:LEU:HG	0.501
188	A:50:ILE:HG12	A:66:LEU:HD11	0.500
188	A:1:MET:HE2	A:158:TRP:CE3	0.488
188	A:78:ILE:HD12	A:84:LEU:HD22	0.482
188	A:105:GLN:HG2	A:138:TRP:HB2	0.478
188	A:4:PHE:CE1	A:29:ILE:CD1	0.477
188	A:46:LEU:O	A:50:ILE:HG13	0.476
188	A:5:GLU:O	A:8:ARG:HB3	0.475
188	A:9:ILE:HD13	A:161:TYR:HB3	0.473
188	A:17:ILE:HG12	A:27:ILE:HB	0.464
188	A:50:ILE:HG23	A:66:LEU:HD21	0.464
188	A:7:LEU:HD12	A:11:GLU:HG3	0.454
188	A:111:VAL:HA	A:114:PHE:CD1	0.453
188	A:130:ALA:HB1	A:150:ILE:HG21	0.453
188	A:1:MET:HG3	A:5:GLU:CB	0.451
188	A:29:ILE:HD11	A:63:ALA:HB1	0.448
188	A:50:ILE:HG12	A:66:LEU:HD21	0.446

Model ID	Atom-1	Atom-2	Clash overlap (Å)
188	A:139:TYR:CE1	A:150:ILE:HD12	0.444
188	A:14:ARG:CB	A:18:TYR:CE1	0.443
188	A:16:LYS:HA	A:56:GLY:O	0.441
188	A:4:PHE:CE1	A:29:ILE:HD13	0.432
188	A:130:ALA:CB	A:150:ILE:HG23	0.431
188	A:116:ASN:HB3	A:120:MET:HE2	0.427
188	A:67:PHE:O	A:71:VAL:HG23	0.426
188	A:111:VAL:HA	A:114:PHE:HD1	0.426
188	A:139:TYR:CD1	A:146:ALA:CB	0.426
188	A:107:GLY:O	A:111:VAL:HG23	0.424
188	A:26:THR:HA	A:31:HIS:O	0.422
188	A:1:MET:HE1	A:158:TRP:CE3	0.420
188	A:27:ILE:HG22	A:33:LEU:HD21	0.420
188	A:72:ASP:O	A:75:VAL:HB	0.419
188	A:24:TYR:CD1	A:35:LYS:HA	0.418
188	A:4:PHE:HE1	A:29:ILE:HD11	0.418
188	A:102:MET:HE3	A:138:TRP:CE3	0.418
188	A:17:ILE:HG22	A:25:TYR:CD1	0.417
188	A:150:ILE:HA	A:153:PHE:HB2	0.413
188	A:102:MET:HE3	A:138:TRP:CH2	0.410
188	A:19:LYS:HE2	A:25:TYR:CE2	0.409
188	A:148:ARG:HB3	A:161:TYR:CE1	0.409
188	A:86:PRO:O	A:90:SER:HB3	0.407

Model ID	Atom-1	Atom-2	Clash overlap (Å)
188	A:4:PHE:HA	A:7:LEU:HB2	0.402
189	A:130:ALA:HB1	A:150:ILE:HG23	1.144
189	A:103:VAL:HG22	A:111:VAL:HG21	1.024
189	A:27:ILE:HG23	A:33:LEU:HD12	1.003
189	A:15:LEU:HD11	A:29:ILE:HG13	0.938
189	A:124:LYS:HG3	A:126:TRP:CZ2	0.937
189	A:27:ILE:CG2	A:33:LEU:HD12	0.858
189	A:58:ILE:HD12	A:63:ALA:HB2	0.787
189	A:130:ALA:HB1	A:150:ILE:CG2	0.765
189	A:3:ILE:SG	A:97:ALA:SG	0.763
189	A:106:MET:SD	A:114:PHE:HE1	0.752
189	A:130:ALA:CB	A:150:ILE:HG23	0.727
189	A:106:MET:SD	A:114:PHE:CE1	0.702
189	A:19:LYS:HB3	A:25:TYR:CE1	0.698
189	A:16:LYS:CG	A:57:VAL:HG22	0.696
189	A:6:MET:HG3	A:161:TYR:CE2	0.695
189	A:6:MET:HE3	A:7:LEU:HD12	0.694
189	A:17:ILE:HD12	A:43:LYS:CD	0.684
189	A:1:MET:HE1	A:6:MET:HB2	0.679
189	A:6:MET:HG3	A:161:TYR:CZ	0.668
189	A:27:ILE:HG13	A:31:HIS:HB3	0.649
189	A:25:TYR:CE1	A:39:LEU:HD13	0.643
189	A:15:LEU:HA	A:28:GLY:HA2	0.636

Model ID	Atom-1	Atom-2	Clash overlap (Å)
189	A:7:LEU:HD22	A:11:GLU:HB3	0.633
189	A:81:ASN:HB3	A:84:LEU:HB2	0.625
189	A:10:ASP:HB3	A:145:ARG:HG3	0.618
189	A:27:ILE:HG12	A:33:LEU:HB2	0.613
189	A:15:LEU:HB3	A:58:ILE:HG13	0.608
189	A:103:VAL:HG22	A:111:VAL:CG2	0.598
189	A:133:LEU:HB3	A:138:TRP:HZ3	0.594
189	A:13:LEU:HG	A:29:ILE:HG23	0.548
189	A:16:LYS:HG2	A:57:VAL:HG22	0.546
189	A:1:MET:CG	A:5:GLU:HB2	0.535
189	A:17:ILE:HD12	A:43:LYS:HD3	0.531
189	A:10:ASP:HB3	A:145:ARG:CG	0.522
189	A:7:LEU:HB3	A:13:LEU:HD13	0.511
189	A:46:LEU:O	A:50:ILE:HD12	0.509
189	A:1:MET:HG2	A:5:GLU:HB2	0.504
189	A:117:SER:O	A:121:LEU:HG	0.495
189	A:124:LYS:HG3	A:126:TRP:HZ2	0.492
189	A:13:LEU:CG	A:29:ILE:HG23	0.486
189	A:6:MET:CE	A:97:ALA:HB1	0.484
189	A:7:LEU:HD22	A:11:GLU:CB	0.479
189	A:91:LEU:HB3	A:96:ARG:HG3	0.479
189	A:87:VAL:HG21	A:118:LEU:HD11	0.475
189	A:142:THR:CG2	A:145:ARG:HB2	0.475

Model ID	Atom-1	Atom-2	Clash overlap (Å)
189	A:142:THR:HG21	A:145:ARG:HB2	0.470
189	A:94:VAL:HG13	A:158:TRP:CZ2	0.458
189	A:4:PHE:HZ	A:29:ILE:HD13	0.449
189	A:132:ASN:OD1	A:133:LEU:HD12	0.448
189	A:50:ILE:HG22	A:52:ARG:N	0.446
189	A:58:ILE:CD1	A:63:ALA:HB2	0.443
189	A:95:ARG:HD3	A:126:TRP:NE1	0.443
189	A:92:ASP:C	A:96:ARG:HB2	0.441
189	A:126:TRP:O	A:153:PHE:HB3	0.439
189	A:119:ARG:HA	A:122:GLN:OE1	0.432
189	A:16:LYS:HA	A:56:GLY:O	0.430
189	A:79:LEU:HD21	A:84:LEU:HD12	0.428
189	A:25:TYR:CD1	A:39:LEU:HD13	0.426
189	A:124:LYS:HG3	A:126:TRP:CE2	0.426
189	A:95:ARG:HG2	A:126:TRP:CG	0.424
189	A:124:LYS:CG	A:126:TRP:CZ2	0.424
189	A:42:ALA:O	A:46:LEU:HB2	0.423
189	A:27:ILE:HG21	A:33:LEU:HD23	0.422
189	A:75:VAL:O	A:79:LEU:HB2	0.422
189	A:6:MET:HE1	A:97:ALA:HB1	0.420
189	A:92:ASP:O	A:96:ARG:HB2	0.420
189	A:6:MET:SD	A:158:TRP:HZ3	0.420
189	A:17:ILE:HD12	A:43:LYS:HD2	0.418

Model ID	Atom-1	Atom-2	Clash overlap (Å)
189	A:16:LYS:HG3	A:57:VAL:HG22	0.416
189	A:4:PHE:CZ	A:29:ILE:HD13	0.415
189	A:14:ARG:HB3	A:18:TYR:HE1	0.415
189	A:1:MET:CE	A:6:MET:HB2	0.410
189	A:148:ARG:HB3	A:161:TYR:OH	0.407
189	A:59:THR:OG1	A:62:GLU:HB3	0.406
189	A:106:MET:HE2	A:138:TRP:CG	0.403
189	A:106:MET:HE2	A:138:TRP:CD1	0.402
190	A:17:ILE:HD12	A:43:LYS:HD3	1.147
190	A:130:ALA:HB1	A:150:ILE:HG23	1.060
190	A:10:ASP:HB3	A:145:ARG:HG2	1.038
190	A:16:LYS:HG2	A:57:VAL:HG22	0.961
190	A:15:LEU:HD11	A:29:ILE:HG13	0.899
190	A:27:ILE:CG1	A:31:HIS:HB3	0.864
190	A:27:ILE:HG12	A:31:HIS:HB3	0.851
190	A:6:MET:HG3	A:161:TYR:CE2	0.837
190	A:27:ILE:CG2	A:33:LEU:HD12	0.833
190	A:130:ALA:CB	A:150:ILE:HG23	0.825
190	A:17:ILE:HD12	A:43:LYS:CD	0.801
190	A:17:ILE:HG12	A:27:ILE:HG22	0.798
190	A:87:VAL:CG1	A:118:LEU:HD23	0.767
190	A:16:LYS:CG	A:57:VAL:HG22	0.766
190	A:3:ILE:SG	A:97:ALA:SG	0.766

Model ID	Atom-1	Atom-2	Clash overlap (Å)
190	A:58:ILE:HD12	A:63:ALA:HB2	0.749
190	A:17:ILE:CG1	A:27:ILE:HG22	0.736
190	A:106:MET:SD	A:114:PHE:HE1	0.736
190	A:17:ILE:CD1	A:43:LYS:HD3	0.724
190	A:103:VAL:HG22	A:111:VAL:HG21	0.723
190	A:58:ILE:HD12	A:63:ALA:CB	0.701
190	A:84:LEU:HD21	A:111:VAL:HG12	0.691
190	A:6:MET:HE3	A:7:LEU:HD12	0.688
190	A:133:LEU:HB3	A:138:TRP:HZ3	0.668
190	A:87:VAL:HG11	A:118:LEU:HD23	0.667
190	A:106:MET:SD	A:114:PHE:CE1	0.664
190	A:15:LEU:HB3	A:58:ILE:HG13	0.648
190	A:87:VAL:HG13	A:118:LEU:HD23	0.637
190	A:1:MET:CG	A:5:GLU:HB2	0.630
190	A:1:MET:HG2	A:5:GLU:HB2	0.629
190	A:16:LYS:HG3	A:57:VAL:HA	0.621
190	A:6:MET:HG3	A:161:TYR:CZ	0.618
190	A:116:ASN:HB3	A:120:MET:HE1	0.611
190	A:27:ILE:HG23	A:33:LEU:HD12	0.610
190	A:106:MET:HE2	A:138:TRP:CG	0.598
190	A:25:TYR:CE1	A:39:LEU:HD13	0.590
190	A:27:ILE:HG23	A:33:LEU:HB2	0.589
190	A:67:PHE:CE2	A:71:VAL:HG23	0.577

Model ID	Atom-1	Atom-2	Clash overlap (Å)
190	A:106:MET:HB3	A:138:TRP:HB2	0.571
190	A:151:THR:HG21	A:160:ALA:HB2	0.543
190	A:27:ILE:HG13	A:31:HIS:HB3	0.541
190	A:9:ILE:CD1	A:161:TYR:HB3	0.536
190	A:67:PHE:CE2	A:71:VAL:CG2	0.535
190	A:10:ASP:HB3	A:145:ARG:CG	0.524
190	A:130:ALA:HB1	A:150:ILE:CG2	0.523
190	A:13:LEU:HG	A:29:ILE:HA	0.517
190	A:13:LEU:HG	A:29:ILE:HG23	0.517
190	A:1:MET:CE	A:158:TRP:CE3	0.512
190	A:15:LEU:HA	A:28:GLY:HA2	0.510
190	A:127:ASP:O	A:131:VAL:HG23	0.508
190	A:148:ARG:HB3	A:161:TYR:CE1	0.508
190	A:7:LEU:HB3	A:13:LEU:HD13	0.505
190	A:6:MET:CE	A:97:ALA:HB1	0.501
190	A:133:LEU:HB3	A:138:TRP:CZ3	0.500
190	A:15:LEU:CD1	A:29:ILE:HG13	0.496
190	A:46:LEU:O	A:50:ILE:HD12	0.496
190	A:94:VAL:HG13	A:158:TRP:CZ2	0.496
190	A:25:TYR:CZ	A:39:LEU:HB2	0.487
190	A:25:TYR:CD1	A:39:LEU:HD13	0.484
190	A:33:LEU:HG	A:46:LEU:HG	0.484
190	A:34:THR:HG21	A:42:ALA:CB	0.478

Model ID	Atom-1	Atom-2	Clash overlap (Å)
190	A:50:ILE:HG22	A:52:ARG:H	0.478
190	A:98:ALA:HB1	A:153:PHE:CE2	0.478
190	A:139:TYR:O	A:143:PRO:HD3	0.474
190	A:102:MET:HE1	A:133:LEU:CD2	0.473
190	A:1:MET:HE1	A:158:TRP:CE3	0.470
190	A:39:LEU:HD21	A:43:LYS:HE3	0.470
190	A:17:ILE:HG12	A:27:ILE:CG2	0.469
190	A:111:VAL:HA	A:114:PHE:CD1	0.468
190	A:19:LYS:HB3	A:25:TYR:CZ	0.467
190	A:111:VAL:HA	A:114:PHE:CE1	0.467
190	A:13:LEU:CG	A:29:ILE:HG23	0.464
190	A:59:THR:OG1	A:62:GLU:HB3	0.464
190	A:98:ALA:HB1	A:153:PHE:CZ	0.463
190	A:64:GLU:O	A:68:ASN:HB2	0.462
190	A:107:GLY:O	A:111:VAL:HG23	0.462
190	A:115:THR:O	A:118:LEU:HB3	0.455
190	A:142:THR:CG2	A:145:ARG:HB2	0.453
190	A:93:ALA:HA	A:96:ARG:HB2	0.452
190	A:6:MET:HE3	A:7:LEU:CD1	0.451
190	A:88:TYR:CD1	A:99:LEU:HD22	0.449
190	A:121:LEU:C	A:124:LYS:H	0.448
190	A:42:ALA:O	A:46:LEU:HB2	0.445
190	A:142:THR:HB	A:145:ARG:HB2	0.440

Model ID	Atom-1	Atom-2	Clash overlap (Å)
190	A:102:MET:CE	A:133:LEU:HD22	0.436
190	A:50:ILE:HG22	A:52:ARG:N	0.432
190	A:55:ASN:O	A:57:VAL:HG23	0.432
190	A:9:ILE:HD13	A:161:TYR:HB3	0.430
190	A:84:LEU:HD23	A:112:ALA:HA	0.428
190	A:50:ILE:HG22	A:52:ARG:HB2	0.425
190	A:88:TYR:HD1	A:99:LEU:HD22	0.423
190	A:58:ILE:HD12	A:63:ALA:HB1	0.421
190	A:101:ASN:O	A:104:PHE:HB2	0.420
190	A:121:LEU:HD21	A:129:ALA:HB2	0.416
190	A:129:ALA:O	A:133:LEU:HD13	0.414
190	A:25:TYR:OH	A:39:LEU:HB2	0.410
190	A:158:TRP:HE3	A:161:TYR:CD2	0.410
190	A:6:MET:SD	A:158:TRP:HZ3	0.410
190	A:14:ARG:HB3	A:18:TYR:CE1	0.405
190	A:15:LEU:HD23	A:58:ILE:HD12	0.405
190	A:102:MET:CE	A:133:LEU:CD2	0.401
190	A:19:LYS:HB3	A:25:TYR:CE1	0.400
191	A:17:ILE:HD12	A:43:LYS:HD3	1.102
191	A:16:LYS:HG2	A:57:VAL:HG22	1.099
191	A:130:ALA:HB1	A:150:ILE:HG23	0.936
191	A:17:ILE:HG12	A:27:ILE:HG22	0.893
191	A:81:ASN:HB2	A:84:LEU:HB2	0.868

Model ID	Atom-1	Atom-2	Clash overlap (Å)
191	A:106:MET:SD	A:114:PHE:HE1	0.868
191	A:7:LEU:HD22	A:11:GLU:HB2	0.856
191	A:27:ILE:CG2	A:33:LEU:HD12	0.856
191	A:27:ILE:CG1	A:31:HIS:HB3	0.848
191	A:17:ILE:CG1	A:27:ILE:HG22	0.831
191	A:17:ILE:CD1	A:43:LYS:HD3	0.807
191	A:22:GLU:HB3	A:24:TYR:CE2	0.792
191	A:81:ASN:CB	A:84:LEU:HB2	0.769
191	A:3:ILE:SG	A:97:ALA:SG	0.767
191	A:27:ILE:HG12	A:31:HIS:HB3	0.759
191	A:130:ALA:HB1	A:150:ILE:CG2	0.757
191	A:7:LEU:HD22	A:11:GLU:CB	0.731
191	A:151:THR:HG21	A:160:ALA:HB2	0.708
191	A:13:LEU:HA	A:30:GLY:H	0.689
191	A:16:LYS:HG2	A:57:VAL:CG2	0.686
191	A:1:MET:HG2	A:5:GLU:HB2	0.685
191	A:17:ILE:HD12	A:43:LYS:CD	0.683
191	A:151:THR:HG21	A:160:ALA:CB	0.679
191	A:98:ALA:HB1	A:153:PHE:CZ	0.668
191	A:103:VAL:HG22	A:111:VAL:HG21	0.668
191	A:16:LYS:CG	A:57:VAL:HG22	0.667
191	A:106:MET:SD	A:114:PHE:CE1	0.646
191	A:130:ALA:CB	A:150:ILE:HG23	0.641

Model ID	Atom-1	Atom-2	Clash overlap (Å)
191	A:27:ILE:HG23	A:33:LEU:HD12	0.636
191	A:15:LEU:HD11	A:29:ILE:HG13	0.635
191	A:58:ILE:HD12	A:63:ALA:HB2	0.627
191	A:114:PHE:HB3	A:117:SER:HB2	0.618
191	A:15:LEU:HA	A:28:GLY:HA2	0.615
191	A:6:MET:CE	A:97:ALA:HB1	0.610
191	A:6:MET:SD	A:158:TRP:HZ3	0.607
191	A:25:TYR:CZ	A:39:LEU:HB2	0.601
191	A:17:ILE:HG12	A:27:ILE:CG2	0.597
191	A:133:LEU:HB3	A:138:TRP:HZ3	0.596
191	A:6:MET:HG3	A:161:TYR:CE2	0.589
191	A:10:ASP:HB3	A:145:ARG:HG2	0.583
191	A:102:MET:HE3	A:138:TRP:CZ3	0.579
191	A:13:LEU:HG	A:29:ILE:HG23	0.563
191	A:142:THR:CG2	A:145:ARG:HB2	0.560
191	A:14:ARG:HB3	A:18:TYR:HE1	0.549
191	A:15:LEU:HB3	A:58:ILE:HG13	0.545
191	A:133:LEU:HD22	A:138:TRP:CE3	0.545
191	A:25:TYR:CD1	A:39:LEU:HD13	0.539
191	A:7:LEU:HG	A:104:PHE:HE2	0.536
191	A:50:ILE:HG22	A:52:ARG:H	0.536
191	A:27:ILE:HG13	A:31:HIS:HB3	0.535
191	A:94:VAL:HG13	A:158:TRP:CZ2	0.531

Model ID	Atom-1	Atom-2	Clash overlap (Å)
191	A:142:THR:HG21	A:145:ARG:HB2	0.515
191	A:115:THR:O	A:119:ARG:HG2	0.513
191	A:50:ILE:HG22	A:52:ARG:HB2	0.506
191	A:14:ARG:HB3	A:18:TYR:CE1	0.504
191	A:4:PHE:CZ	A:29:ILE:HD13	0.503
191	A:16:LYS:HA	A:56:GLY:C	0.498
191	A:116:ASN:HB3	A:120:MET:HE2	0.496
191	A:27:ILE:HG21	A:33:LEU:HD12	0.492
191	A:13:LEU:HD12	A:30:GLY:HA3	0.480
191	A:43:LYS:HE2	A:55:ASN:O	0.479
191	A:42:ALA:O	A:46:LEU:HB2	0.474
191	A:98:ALA:HB1	A:153:PHE:CE2	0.467
191	A:124:LYS:HE3	A:126:TRP:CZ2	0.466
191	A:1:MET:SD	A:6:MET:HB2	0.463
191	A:1:MET:HG2	A:5:GLU:CB	0.462
191	A:10:ASP:HB3	A:145:ARG:CG	0.460
191	A:55:ASN:O	A:57:VAL:HG23	0.460
191	A:22:GLU:HB3	A:24:TYR:CZ	0.456
191	A:81:ASN:HB2	A:84:LEU:CB	0.455
191	A:27:ILE:HG23	A:33:LEU:HB2	0.453
191	A:19:LYS:HB3	A:25:TYR:CE1	0.445
191	A:58:ILE:HD12	A:63:ALA:CB	0.440
191	A:91:LEU:HD21	A:126:TRP:CE3	0.437

Model ID	Atom-1	Atom-2	Clash overlap (Å)
191	A:25:TYR:CE1	A:39:LEU:HD13	0.434
191	A:46:LEU:O	A:50:ILE:HD12	0.433
191	A:91:LEU:HD21	A:126:TRP:CZ3	0.431
191	A:6:MET:HG3	A:161:TYR:CZ	0.427
191	A:33:LEU:HD21	A:46:LEU:HD22	0.423
191	A:29:ILE:HB	A:67:PHE:CZ	0.419
191	A:142:THR:HG22	A:145:ARG:H	0.419
191	A:13:LEU:CG	A:29:ILE:HG23	0.417
191	A:24:TYR:HD1	A:35:LYS:HB3	0.417
191	A:133:LEU:HD22	A:138:TRP:CZ3	0.415
191	A:16:LYS:HE3	A:57:VAL:HG13	0.414
191	A:50:ILE:HG22	A:52:ARG:N	0.412
191	A:124:LYS:HE3	A:126:TRP:CH2	0.412
191	A:67:PHE:CE2	A:71:VAL:HG21	0.411
191	A:6:MET:HE3	A:7:LEU:HD12	0.410
191	A:137:ARG:HA	A:137:ARG:HD2	0.409
191	A:7:LEU:HG	A:104:PHE:CE2	0.404
191	A:17:ILE:HA	A:26:THR:O	0.403
191	A:6:MET:HE1	A:97:ALA:HB1	0.401
192	A:1:MET:HG3	A:5:GLU:HB2	1.010
192	A:124:LYS:HG2	A:126:TRP:CZ2	0.775
192	A:102:MET:HE1	A:133:LEU:HB3	0.743
192	A:3:ILE:SG	A:97:ALA:SG	0.738

Model ID	Atom-1	Atom-2	Clash overlap (Å)
192	A:1:MET:HG3	A:5:GLU:CB	0.735
192	A:102:MET:HE3	A:138:TRP:CZ3	0.710
192	A:79:LEU:CD2	A:85:LYS:HG3	0.693
192	A:83:LYS:HD2	A:84:LEU:HD12	0.693
192	A:14:ARG:HB2	A:18:TYR:CE1	0.686
192	A:50:ILE:HG21	A:54:THR:SG	0.670
192	A:79:LEU:HD23	A:85:LYS:HG3	0.645
192	A:106:MET:HE2	A:138:TRP:CG	0.632
192	A:1:MET:HE2	A:6:MET:HB2	0.623
192	A:6:MET:HE1	A:98:ALA:HA	0.608
192	A:4:PHE:CE1	A:29:ILE:HD13	0.556
192	A:14:ARG:HB2	A:18:TYR:HE1	0.555
192	A:16:LYS:HG2	A:57:VAL:HG22	0.554
192	A:17:ILE:HG22	A:25:TYR:HD1	0.541
192	A:98:ALA:HB3	A:153:PHE:CE1	0.536
192	A:14:ARG:CB	A:18:TYR:CE1	0.530
192	A:1:MET:CG	A:5:GLU:HB2	0.527
192	A:124:LYS:HG2	A:126:TRP:CH2	0.503
192	A:17:ILE:HG22	A:25:TYR:CD1	0.487
192	A:127:ASP:O	A:131:VAL:HG23	0.484
192	A:1:MET:HB2	A:5:GLU:HG3	0.480
192	A:6:MET:HG3	A:161:TYR:CE2	0.479
192	A:33:LEU:HD13	A:42:ALA:O	0.476

Model ID	Atom-1	Atom-2	Clash overlap (Å)
192	A:102:MET:HE2	A:106:MET:HE1	0.471
192	A:49:ALA:HB1	A:66:LEU:HD21	0.467
192	A:94:VAL:HG22	A:158:TRP:CD1	0.464
192	A:102:MET:HE3	A:138:TRP:CH2	0.453
192	A:7:LEU:HB3	A:29:ILE:HG22	0.449
192	A:75:VAL:HA	A:78:ILE:HG22	0.443
192	A:98:ALA:CB	A:153:PHE:CE1	0.438
192	A:6:MET:HB2	A:158:TRP:CZ3	0.437
192	A:103:VAL:HG13	A:111:VAL:HG21	0.429
192	A:33:LEU:HD13	A:42:ALA:C	0.426
192	A:78:ILE:HD11	A:84:LEU:HD22	0.421
192	A:33:LEU:HD12	A:42:ALA:HB1	0.419
192	A:99:LEU:O	A:103:VAL:HG23	0.412
192	A:86:PRO:HA	A:89:ASP:HB2	0.405
192	A:35:LYS:HE2	A:108:GLU:OE1	0.400
193	A:1:MET:HG3	A:5:GLU:HB2	0.908
193	A:139:TYR:HD1	A:146:ALA:HB1	0.884
193	A:33:LEU:HG	A:46:LEU:HD13	0.828
193	A:124:LYS:HG2	A:126:TRP:CZ2	0.816
193	A:151:THR:HG21	A:160:ALA:CB	0.796
193	A:1:MET:HE3	A:6:MET:HB2	0.759
193	A:1:MET:HE2	A:158:TRP:CE3	0.751
193	A:50:ILE:HG21	A:54:THR:SG	0.736

Model ID	Atom-1	Atom-2	Clash overlap (Å)
193	A:103:VAL:HG22	A:111:VAL:CG2	0.733
193	A:3:ILE:SG	A:97:ALA:SG	0.729
193	A:118:LEU:HD13	A:121:LEU:HD12	0.724
193	A:79:LEU:HA	A:85:LYS:HB2	0.710
193	A:78:ILE:HD12	A:84:LEU:HD23	0.684
193	A:14:ARG:HB3	A:18:TYR:CE1	0.677
193	A:1:MET:HB3	A:158:TRP:CE2	0.676
193	A:103:VAL:HG22	A:111:VAL:HG22	0.672
193	A:151:THR:HG21	A:160:ALA:HB3	0.668
193	A:79:LEU:HD23	A:85:LYS:HG3	0.636
193	A:87:VAL:HB	A:118:LEU:HD12	0.632
193	A:102:MET:HE3	A:138:TRP:CZ3	0.618
193	A:103:VAL:HG13	A:111:VAL:HG21	0.613
193	A:139:TYR:CD1	A:146:ALA:HB1	0.612
193	A:103:VAL:HG22	A:111:VAL:HG21	0.582
193	A:59:THR:H	A:62:GLU:HB3	0.574
193	A:8:ARG:HA	A:13:LEU:HD13	0.570
193	A:7:LEU:HB3	A:29:ILE:HG22	0.551
193	A:1:MET:CG	A:5:GLU:HB2	0.544
193	A:125:ARG:HB3	A:128:GLU:HB2	0.539
193	A:27:ILE:HG22	A:31:HIS:HB3	0.532
193	A:1:MET:HG3	A:5:GLU:CB	0.530
193	A:79:LEU:HD23	A:85:LYS:CG	0.530

Model ID	Atom-1	Atom-2	Clash overlap (Å)
193	A:1:MET:HB3	A:158:TRP:CD2	0.528
193	A:148:ARG:HB3	A:161:TYR:CE1	0.522
193	A:139:TYR:HD1	A:146:ALA:CB	0.516
193	A:1:MET:CE	A:158:TRP:CE3	0.515
193	A:98:ALA:HB1	A:153:PHE:CE1	0.513
193	A:148:ARG:HB3	A:161:TYR:CZ	0.511
193	A:15:LEU:HD22	A:58:ILE:HG13	0.505
193	A:79:LEU:HD23	A:85:LYS:HB2	0.492
193	A:91:LEU:HD22	A:95:ARG:HB2	0.492
193	A:6:MET:HG3	A:161:TYR:CE2	0.487
193	A:58:ILE:HB	A:62:GLU:HB3	0.480
193	A:58:ILE:HG22	A:62:GLU:CD	0.480
193	A:75:VAL:HG13	A:79:LEU:HD13	0.480
193	A:14:ARG:CB	A:18:TYR:CE1	0.478
193	A:98:ALA:CB	A:153:PHE:CE1	0.476
193	A:17:ILE:CG2	A:25:TYR:HD1	0.475
193	A:116:ASN:HA	A:119:ARG:HB3	0.475
193	A:7:LEU:HD12	A:30:GLY:HA3	0.469
193	A:25:TYR:HB3	A:33:LEU:HD12	0.467
193	A:94:VAL:HG22	A:158:TRP:NE1	0.464
193	A:79:LEU:CD2	A:85:LYS:HG3	0.460
193	A:116:ASN:HB3	A:120:MET:HE2	0.458
193	A:102:MET:HE1	A:133:LEU:HB3	0.450

Model ID	Atom-1	Atom-2	Clash overlap (Å)
193	A:16:LYS:HA	A:56:GLY:O	0.449
193	A:114:PHE:CE2	A:133:LEU:HD21	0.448
193	A:120:MET:O	A:123:GLN:HB3	0.445
193	A:83:LYS:HD3	A:84:LEU:HD12	0.444
193	A:151:THR:HG21	A:160:ALA:HB2	0.441
193	A:25:TYR:CZ	A:39:LEU:HB3	0.440
193	A:85:LYS:O	A:89:ASP:HB2	0.437
193	A:6:MET:HE3	A:161:TYR:CE1	0.431
193	A:116:ASN:O	A:120:MET:HG2	0.428
193	A:139:TYR:CD1	A:146:ALA:CB	0.421
193	A:39:LEU:HA	A:42:ALA:HB3	0.420
193	A:124:LYS:HG2	A:126:TRP:CH2	0.420
193	A:13:LEU:HD11	A:29:ILE:HG23	0.417
193	A:44:SER:O	A:48:LYS:HB2	0.417
193	A:16:LYS:O	A:18:TYR:HD1	0.417
193	A:14:ARG:HB3	A:18:TYR:CD1	0.415
193	A:36:SER:OG	A:41:ALA:HB3	0.413
193	A:67:PHE:O	A:71:VAL:HG23	0.412
193	A:22:GLU:HG3	A:24:TYR:HE2	0.411
193	A:114:PHE:CZ	A:133:LEU:HD21	0.411
193	A:105:GLN:HE21	A:138:TRP:HD1	0.407
193	A:7:LEU:HD11	A:104:PHE:CD1	0.406
193	A:33:LEU:HD13	A:42:ALA:C	0.403

Model ID	Atom-1	Atom-2	Clash overlap (Å)
193	A:75:VAL:O	A:79:LEU:HB2	0.401
194	A:14:ARG:HB3	A:18:TYR:HE1	0.846
194	A:14:ARG:HB3	A:18:TYR:CE1	0.806
194	A:103:VAL:HG22	A:111:VAL:HG21	0.806
194	A:16:LYS:HG2	A:57:VAL:HG22	0.789
194	A:139:TYR:HD1	A:146:ALA:HB1	0.769
194	A:124:LYS:HG2	A:126:TRP:CZ2	0.747
194	A:3:ILE:SG	A:97:ALA:SG	0.729
194	A:130:ALA:HB1	A:150:ILE:HG23	0.720
194	A:1:MET:HE2	A:158:TRP:CE3	0.708
194	A:6:MET:HE1	A:98:ALA:HA	0.688
194	A:1:MET:HE3	A:6:MET:HB2	0.671
194	A:102:MET:CE	A:133:LEU:HG	0.637
194	A:102:MET:HE3	A:138:TRP:CZ3	0.637
194	A:1:MET:HE2	A:158:TRP:CD2	0.636
194	A:38:SER:HB2	A:40:ASN:HB2	0.630
194	A:78:ILE:HD12	A:84:LEU:HD22	0.627
194	A:50:ILE:HG21	A:54:THR:SG	0.625
194	A:7:LEU:HB3	A:29:ILE:HG22	0.624
194	A:33:LEU:HG	A:46:LEU:HD13	0.611
194	A:139:TYR:HD1	A:146:ALA:CB	0.591
194	A:1:MET:CG	A:5:GLU:HB2	0.588
194	A:6:MET:HG3	A:161:TYR:CE2	0.569

Model ID	Atom-1	Atom-2	Clash overlap (Å)
194	A:19:LYS:HB3	A:23:GLY:HA2	0.556
194	A:102:MET:HE1	A:133:LEU:HB3	0.556
194	A:50:ILE:HG13	A:52:ARG:HB2	0.548
194	A:118:LEU:HD13	A:121:LEU:HD12	0.548
194	A:91:LEU:HD22	A:95:ARG:HB2	0.547
194	A:102:MET:HE1	A:133:LEU:CB	0.534
194	A:130:ALA:HB1	A:150:ILE:CG2	0.534
194	A:102:MET:HE1	A:133:LEU:HG	0.532
194	A:79:LEU:CD2	A:85:LYS:HG3	0.531
194	A:79:LEU:HD23	A:85:LYS:CG	0.531
194	A:58:ILE:HB	A:62:GLU:HB3	0.527
194	A:75:VAL:HG13	A:79:LEU:HD13	0.526
194	A:25:TYR:HB3	A:33:LEU:HD12	0.525
194	A:84:LEU:HA	A:87:VAL:HG12	0.524
194	A:102:MET:HE3	A:138:TRP:CH2	0.524
194	A:111:VAL:HA	A:114:PHE:HD1	0.523
194	A:50:ILE:CD1	A:66:LEU:HD12	0.517
194	A:1:MET:CE	A:158:TRP:CE3	0.506
194	A:121:LEU:HD21	A:129:ALA:CB	0.506
194	A:14:ARG:CB	A:18:TYR:CE1	0.502
194	A:34:THR:HG22	A:42:ALA:HB2	0.502
194	A:120:MET:O	A:123:GLN:HB3	0.499
194	A:79:LEU:HD23	A:85:LYS:HG3	0.494

Model ID	Atom-1	Atom-2	Clash overlap (Å)
194	A:121:LEU:CD2	A:129:ALA:HB2	0.493
194	A:50:ILE:HD13	A:66:LEU:HD12	0.480
194	A:111:VAL:HA	A:114:PHE:CD1	0.473
194	A:148:ARG:HB3	A:161:TYR:CE1	0.473
194	A:47:ASP:HA	A:50:ILE:HG22	0.461
194	A:124:LYS:HG2	A:126:TRP:CH2	0.449
194	A:1:MET:HG3	A:5:GLU:CB	0.447
194	A:16:LYS:HA	A:56:GLY:O	0.445
194	A:138:TRP:CE3	A:139:TYR:HB2	0.445
194	A:1:MET:HG2	A:5:GLU:HB2	0.442
194	A:99:LEU:HD12	A:153:PHE:CE1	0.442
194	A:65:LYS:HA	A:68:ASN:HD21	0.436
194	A:79:LEU:HD23	A:85:LYS:HG2	0.436
194	A:1:MET:HG3	A:5:GLU:HB2	0.433
194	A:78:ILE:HG21	A:88:TYR:CD2	0.431
194	A:94:VAL:HG22	A:158:TRP:NE1	0.431
194	A:139:TYR:CE1	A:150:ILE:HD12	0.429
194	A:8:ARG:HG3	A:13:LEU:HD13	0.424
194	A:121:LEU:HD22	A:129:ALA:HB2	0.424
194	A:85:LYS:O	A:89:ASP:HB2	0.421
194	A:119:ARG:HG2	A:120:MET:SD	0.421
194	A:33:LEU:HD13	A:42:ALA:HB1	0.418
194	A:6:MET:HE2	A:101:ASN:HD22	0.417

Model ID	Atom-1	Atom-2	Clash overlap (Å)
194	A:132:ASN:O	A:135:LYS:HG2	0.417
194	A:102:MET:CE	A:133:LEU:HB3	0.416
194	A:59:THR:OG1	A:62:GLU:HB2	0.416
194	A:98:ALA:HB1	A:153:PHE:CE1	0.415
194	A:26:THR:HA	A:31:HIS:O	0.414
194	A:98:ALA:CB	A:153:PHE:CE1	0.414
194	A:46:LEU:HD22	A:54:THR:SG	0.412
194	A:80:ARG:CZ	A:80:ARG:HB2	0.412
194	A:32:LEU:HD13	A:104:PHE:O	0.409
194	A:50:ILE:HD13	A:66:LEU:CD1	0.403
194	A:125:ARG:HA	A:125:ARG:HD2	0.403
194	A:94:VAL:HG11	A:156:GLY:C	0.403
194	A:98:ALA:CB	A:153:PHE:HE1	0.403
194	A:62:GLU:O	A:66:LEU:HD13	0.403
194	A:39:LEU:HD13	A:40:ASN:N	0.401
194	A:41:ALA:HA	A:44:SER:OG	0.400
194	A:130:ALA:CB	A:150:ILE:HG23	0.400
195	A:58:ILE:HD13	A:63:ALA:HB2	1.144
195	A:79:LEU:HD23	A:85:LYS:HG3	1.075
195	A:17:ILE:HG22	A:25:TYR:HD1	1.033
195	A:102:MET:HE1	A:133:LEU:HB3	1.027
195	A:103:VAL:HG22	A:111:VAL:HG21	0.956
195	A:79:LEU:CD2	A:85:LYS:HG3	0.868

Model ID	Atom-1	Atom-2	Clash overlap (Å)
195	A:83:LYS:HD3	A:84:LEU:HD12	0.863
195	A:103:VAL:HG22	A:111:VAL:CG2	0.859
195	A:17:ILE:HG22	A:25:TYR:CD1	0.818
195	A:1:MET:HE2	A:158:TRP:CE3	0.770
195	A:102:MET:HE3	A:138:TRP:CZ3	0.755
195	A:58:ILE:CD1	A:63:ALA:HB2	0.738
195	A:29:ILE:CD1	A:67:PHE:HB2	0.732
195	A:102:MET:HE1	A:133:LEU:CB	0.689
195	A:139:TYR:CD1	A:146:ALA:HB1	0.688
195	A:3:ILE:SG	A:97:ALA:SG	0.682
195	A:58:ILE:HD13	A:63:ALA:CB	0.674
195	A:16:LYS:HD2	A:57:VAL:HG13	0.669
195	A:78:ILE:HD12	A:84:LEU:HD22	0.669
195	A:139:TYR:HD1	A:146:ALA:HB1	0.664
195	A:33:LEU:HD12	A:42:ALA:HB1	0.652
195	A:98:ALA:HB3	A:153:PHE:CE1	0.648
195	A:124:LYS:HG2	A:126:TRP:CZ2	0.647
195	A:33:LEU:CD1	A:42:ALA:HB1	0.640
195	A:16:LYS:HB3	A:57:VAL:HG22	0.634
195	A:79:LEU:HA	A:85:LYS:HB2	0.626
195	A:130:ALA:HB2	A:150:ILE:CG2	0.623
195	A:33:LEU:HD22	A:46:LEU:HB2	0.620
195	A:46:LEU:HD21	A:66:LEU:HD11	0.613

Model ID	Atom-1	Atom-2	Clash overlap (Å)
195	A:33:LEU:HD21	A:46:LEU:HD12	0.608
195	A:29:ILE:HD13	A:67:PHE:HB2	0.603
195	A:130:ALA:CB	A:150:ILE:HG21	0.595
195	A:17:ILE:HG12	A:27:ILE:HB	0.592
195	A:14:ARG:HB3	A:18:TYR:CE1	0.580
195	A:27:ILE:HD11	A:58:ILE:HG12	0.576
195	A:102:MET:HE2	A:106:MET:HE1	0.575
195	A:130:ALA:HB2	A:150:ILE:HG21	0.571
195	A:45:GLU:HA	A:48:LYS:HG2	0.568
195	A:4:PHE:CZ	A:64:GLU:HG2	0.566
195	A:16:LYS:HD2	A:57:VAL:HG22	0.564
195	A:52:ARG:HB3	A:54:THR:SG	0.559
195	A:106:MET:HE2	A:138:TRP:CG	0.557
195	A:59:THR:H	A:62:GLU:HB2	0.556
195	A:6:MET:HB2	A:158:TRP:CZ3	0.552
195	A:7:LEU:HG	A:104:PHE:CE1	0.552
195	A:17:ILE:CG2	A:25:TYR:HD1	0.550
195	A:13:LEU:HD23	A:29:ILE:HG13	0.546
195	A:124:LYS:HG2	A:126:TRP:CH2	0.542
195	A:1:MET:CE	A:158:TRP:CE3	0.537
195	A:15:LEU:HD23	A:16:LYS:HD3	0.524
195	A:4:PHE:HZ	A:64:GLU:HG2	0.519
195	A:5:GLU:O	A:9:ILE:HD12	0.515

Model ID	Atom-1	Atom-2	Clash overlap (Å)
195	A:15:LEU:O	A:58:ILE:HG13	0.510
195	A:67:PHE:O	A:71:VAL:HG23	0.504
195	A:159:ASP:HA	A:162:LYS:HG2	0.504
195	A:102:MET:CE	A:106:MET:HE1	0.502
195	A:52:ARG:HD2	A:65:LYS:HG2	0.496
195	A:74:ALA:O	A:78:ILE:HG12	0.489
195	A:14:ARG:CB	A:18:TYR:CE1	0.487
195	A:77:GLY:O	A:80:ARG:HB2	0.486
195	A:14:ARG:CB	A:18:TYR:HE1	0.476
195	A:127:ASP:O	A:131:VAL:HG23	0.475
195	A:72:ASP:O	A:76:ARG:HD2	0.471
195	A:138:TRP:HE1	A:145:ARG:HD3	0.470
195	A:111:VAL:HA	A:114:PHE:CD1	0.468
195	A:78:ILE:HG13	A:88:TYR:HD2	0.464
195	A:94:VAL:HG13	A:158:TRP:CZ2	0.463
195	A:150:ILE:HA	A:153:PHE:HB2	0.460
195	A:116:ASN:O	A:120:MET:HG2	0.459
195	A:30:GLY:HA3	A:104:PHE:CD2	0.457
195	A:106:MET:HG2	A:137:ARG:HH21	0.453
195	A:102:MET:HE3	A:138:TRP:CE3	0.449
195	A:7:LEU:HB3	A:29:ILE:HG23	0.445
195	A:99:LEU:O	A:103:VAL:HG23	0.439
195	A:130:ALA:HB1	A:150:ILE:HG21	0.430

Model ID	Atom-1	Atom-2	Clash overlap (Å)
195	A:17:ILE:CG2	A:25:TYR:CD1	0.423
195	A:162:LYS:HB3	A:162:LYS:HE3	0.422
195	A:62:GLU:O	A:66:LEU:HB2	0.420
195	A:50:ILE:HG21	A:54:THR:SG	0.418
195	A:33:LEU:HD13	A:42:ALA:HB1	0.415
195	A:78:ILE:HG13	A:88:TYR:CD2	0.414
195	A:58:ILE:H	A:58:ILE:HG13	0.413
195	A:107:GLY:O	A:111:VAL:HG23	0.411
195	A:1:MET:CG	A:5:GLU:HB2	0.408
195	A:29:ILE:HD12	A:67:PHE:HB2	0.408
195	A:144:ASN:HB3	A:148:ARG:NH1	0.408
195	A:130:ALA:HB2	A:150:ILE:HG23	0.406
195	A:26:THR:HA	A:31:HIS:O	0.405
195	A:4:PHE:CE1	A:29:ILE:HD11	0.403
195	A:32:LEU:HA	A:32:LEU:HD12	0.402
196	A:130:ALA:HB1	A:150:ILE:HG23	1.078
196	A:13:LEU:HG	A:29:ILE:HG23	1.066
196	A:16:LYS:HG3	A:57:VAL:HG22	0.999
196	A:103:VAL:HG22	A:111:VAL:HG21	0.898
196	A:6:MET:SD	A:158:TRP:HZ3	0.872
196	A:27:ILE:HG23	A:33:LEU:HD12	0.868
196	A:27:ILE:HG13	A:31:HIS:HB3	0.866
196	A:27:ILE:CG2	A:33:LEU:HD12	0.846

Model ID	Atom-1	Atom-2	Clash overlap (Å)
196	A:106:MET:SD	A:114:PHE:HE1	0.836
196	A:16:LYS:HG3	A:57:VAL:CG2	0.830
196	A:130:ALA:CB	A:150:ILE:HG23	0.780
196	A:130:ALA:HB1	A:150:ILE:CG2	0.746
196	A:1:MET:HE1	A:158:TRP:CE3	0.737
196	A:27:ILE:CG1	A:31:HIS:HB3	0.736
196	A:106:MET:SD	A:114:PHE:CE1	0.724
196	A:81:ASN:HB2	A:84:LEU:HB2	0.721
196	A:3:ILE:SG	A:97:ALA:SG	0.720
196	A:15:LEU:HA	A:28:GLY:HA2	0.709
196	A:25:TYR:CE1	A:39:LEU:HD13	0.706
196	A:1:MET:HG2	A:5:GLU:HB2	0.679
196	A:14:ARG:HB3	A:18:TYR:HE1	0.676
196	A:13:LEU:CG	A:29:ILE:HG23	0.674
196	A:29:ILE:HD12	A:67:PHE:CE1	0.664
196	A:17:ILE:CG1	A:27:ILE:HG22	0.661
196	A:17:ILE:CD1	A:43:LYS:HD2	0.660
196	A:17:ILE:HD12	A:43:LYS:HD2	0.658
196	A:7:LEU:HG	A:104:PHE:CD2	0.638
196	A:17:ILE:HG13	A:27:ILE:HG22	0.634
196	A:16:LYS:CG	A:57:VAL:HG22	0.628
196	A:6:MET:SD	A:158:TRP:CZ3	0.605
196	A:83:LYS:HD3	A:111:VAL:HG12	0.594

Model ID	Atom-1	Atom-2	Clash overlap (Å)
196	A:14:ARG:HB3	A:18:TYR:CE1	0.585
196	A:19:LYS:HB3	A:25:TYR:CZ	0.585
196	A:142:THR:HG22	A:145:ARG:H	0.581
196	A:91:LEU:HD21	A:126:TRP:HZ3	0.572
196	A:124:LYS:HG2	A:126:TRP:CZ2	0.566
196	A:114:PHE:HB3	A:117:SER:HB2	0.555
196	A:50:ILE:HG22	A:52:ARG:H	0.552
196	A:133:LEU:HB3	A:138:TRP:HZ3	0.537
196	A:4:PHE:CZ	A:29:ILE:HD13	0.527
196	A:75:VAL:HA	A:78:ILE:HB	0.527
196	A:1:MET:CE	A:158:TRP:CE3	0.523
196	A:25:TYR:CZ	A:39:LEU:HB2	0.514
196	A:91:LEU:CD2	A:126:TRP:HZ3	0.502
196	A:116:ASN:HB3	A:120:MET:HE1	0.498
196	A:1:MET:CE	A:6:MET:HB2	0.497
196	A:6:MET:HE1	A:97:ALA:O	0.492
196	A:142:THR:HG21	A:145:ARG:HB2	0.489
196	A:43:LYS:HE3	A:56:GLY:HA3	0.483
196	A:84:LEU:O	A:88:TYR:HB2	0.483
196	A:25:TYR:CD1	A:39:LEU:HD13	0.476
196	A:50:ILE:HG13	A:54:THR:SG	0.476
196	A:142:THR:HG21	A:145:ARG:CB	0.474
196	A:17:ILE:HD13	A:43:LYS:HD2	0.473

Model ID	Atom-1	Atom-2	Clash overlap (Å)
196	A:6:MET:HG3	A:161:TYR:CE2	0.469
196	A:29:ILE:HD12	A:67:PHE:HE1	0.464
196	A:26:THR:HG23	A:31:HIS:C	0.462
196	A:25:TYR:OH	A:39:LEU:HB2	0.459
196	A:2:ASN:O	A:5:GLU:HB2	0.454
196	A:97:ALA:HA	A:100:ILE:HD12	0.454
196	A:34:THR:HG21	A:42:ALA:CB	0.451
196	A:10:ASP:HB3	A:145:ARG:HG3	0.450
196	A:22:GLU:HB2	A:24:TYR:HE2	0.445
196	A:93:ALA:HA	A:96:ARG:HG3	0.441
196	A:7:LEU:HG	A:104:PHE:HD2	0.436
196	A:121:LEU:CD2	A:129:ALA:HB2	0.435
196	A:5:GLU:O	A:8:ARG:HB2	0.430
196	A:22:GLU:HB2	A:24:TYR:CE2	0.430
196	A:91:LEU:HD21	A:126:TRP:CZ3	0.428
196	A:65:LYS:HB2	A:65:LYS:HE2	0.424
196	A:91:LEU:CD2	A:126:TRP:CZ3	0.422
196	A:1:MET:SD	A:6:MET:HB2	0.420
196	A:27:ILE:HG23	A:33:LEU:CD1	0.420
196	A:81:ASN:CB	A:84:LEU:HB2	0.419
196	A:27:ILE:HD11	A:31:HIS:ND1	0.417
196	A:111:VAL:HA	A:114:PHE:CD1	0.417
196	A:17:ILE:HD12	A:43:LYS:CD	0.416

Model ID	Atom-1	Atom-2	Clash overlap (Å)
196	A:10:ASP:HB3	A:145:ARG:CG	0.415
196	A:4:PHE:HZ	A:29:ILE:HD13	0.413
196	A:58:ILE:HD12	A:63:ALA:HA	0.411
196	A:29:ILE:HD12	A:67:PHE:CZ	0.409
196	A:4:PHE:CZ	A:29:ILE:HG21	0.405
196	A:42:ALA:O	A:46:LEU:HB2	0.403
196	A:106:MET:HE2	A:138:TRP:CG	0.401
197	A:103:VAL:HG22	A:111:VAL:HG21	1.112
197	A:16:LYS:HG2	A:57:VAL:HG22	0.941
197	A:1:MET:HG3	A:5:GLU:HB2	0.813
197	A:102:MET:HE1	A:133:LEU:HG	0.807
197	A:79:LEU:CD2	A:85:LYS:HG3	0.784
197	A:6:MET:HE1	A:98:ALA:HA	0.772
197	A:124:LYS:HG2	A:126:TRP:CZ2	0.749
197	A:33:LEU:HD21	A:46:LEU:HD23	0.744
197	A:125:ARG:HB3	A:128:GLU:HB2	0.721
197	A:1:MET:HG3	A:5:GLU:CB	0.712
197	A:6:MET:HB2	A:158:TRP:HZ3	0.709
197	A:139:TYR:HD1	A:146:ALA:HB1	0.706
197	A:6:MET:HB2	A:158:TRP:CZ3	0.702
197	A:114:PHE:HB3	A:117:SER:HB2	0.697
197	A:102:MET:HE3	A:138:TRP:CZ3	0.687
197	A:3:ILE:SG	A:97:ALA:SG	0.684

Model ID	Atom-1	Atom-2	Clash overlap (Å)
197	A:79:LEU:HD23	A:85:LYS:HG3	0.680
197	A:98:ALA:HB1	A:153:PHE:CE1	0.680
197	A:102:MET:HE1	A:133:LEU:CG	0.666
197	A:106:MET:HE2	A:138:TRP:CG	0.655
197	A:17:ILE:CG2	A:25:TYR:HD1	0.647
197	A:129:ALA:HA	A:132:ASN:HB2	0.632
197	A:16:LYS:CG	A:57:VAL:HG22	0.608
197	A:79:LEU:HD22	A:85:LYS:HG3	0.607
197	A:50:ILE:HG22	A:52:ARG:HB2	0.587
197	A:81:ASN:HB3	A:84:LEU:HB2	0.577
197	A:79:LEU:HD22	A:85:LYS:HZ2	0.576
197	A:102:MET:HE2	A:106:MET:HE1	0.575
197	A:123:GLN:HB3	A:125:ARG:HG3	0.571
197	A:75:VAL:HG12	A:79:LEU:HD12	0.564
197	A:103:VAL:HG22	A:111:VAL:CG2	0.545
197	A:50:ILE:HG21	A:54:THR:SG	0.543
197	A:1:MET:HE2	A:6:MET:HB2	0.530
197	A:98:ALA:CB	A:153:PHE:CE1	0.529
197	A:50:ILE:HG23	A:52:ARG:HH11	0.512
197	A:81:ASN:OD1	A:83:LYS:HG3	0.511
197	A:99:LEU:HD21	A:121:LEU:HD11	0.510
197	A:17:ILE:HG21	A:25:TYR:HD1	0.493
197	A:116:ASN:HB3	A:120:MET:HE1	0.487

Model ID	Atom-1	Atom-2	Clash overlap (Å)
197	A:46:LEU:HD13	A:50:ILE:HD13	0.485
197	A:14:ARG:CB	A:18:TYR:CE1	0.484
197	A:78:ILE:HD11	A:103:VAL:HG21	0.484
197	A:14:ARG:HB2	A:18:TYR:HE1	0.483
197	A:67:PHE:O	A:71:VAL:HG23	0.483
197	A:27:ILE:HG21	A:46:LEU:HD21	0.478
197	A:17:ILE:HG22	A:25:TYR:HD1	0.476
197	A:101:ASN:O	A:104:PHE:HB2	0.475
197	A:4:PHE:CE1	A:29:ILE:HD11	0.473
197	A:102:MET:HE3	A:138:TRP:CH2	0.473
197	A:139:TYR:CE1	A:150:ILE:HD12	0.473
197	A:102:MET:HE1	A:133:LEU:HB3	0.464
197	A:24:TYR:CD1	A:35:LYS:HA	0.457
197	A:33:LEU:HD13	A:42:ALA:HB1	0.452
197	A:6:MET:O	A:10:ASP:HB2	0.450
197	A:15:LEU:O	A:27:ILE:HD11	0.450
197	A:16:LYS:HA	A:56:GLY:O	0.447
197	A:4:PHE:CE1	A:29:ILE:CD1	0.445
197	A:27:ILE:HG21	A:46:LEU:HD11	0.443
197	A:50:ILE:CG2	A:52:ARG:HB2	0.442
197	A:97:ALA:HA	A:100:ILE:HD12	0.437
197	A:1:MET:CG	A:5:GLU:HB2	0.436
197	A:14:ARG:CB	A:18:TYR:HE1	0.433

Model ID	Atom-1	Atom-2	Clash overlap (Å)
197	A:1:MET:CE	A:158:TRP:CE3	0.432
197	A:114:PHE:CZ	A:136:SER:HB3	0.432
197	A:25:TYR:CE2	A:39:LEU:HB2	0.431
197	A:117:SER:O	A:121:LEU:HD23	0.431
197	A:63:ALA:HA	A:66:LEU:HB2	0.430
197	A:7:LEU:HD12	A:11:GLU:HG3	0.428
197	A:102:MET:HE1	A:133:LEU:CB	0.428
197	A:78:ILE:HD12	A:84:LEU:HD22	0.426
197	A:97:ALA:O	A:100:ILE:HB	0.425
197	A:143:PRO:O	A:147:LYS:HB2	0.423
197	A:99:LEU:HD21	A:121:LEU:CD1	0.421
197	A:114:PHE:HZ	A:136:SER:HB3	0.417
197	A:139:TYR:CD1	A:146:ALA:HB1	0.417
197	A:98:ALA:CB	A:153:PHE:HE1	0.415
197	A:43:LYS:HE3	A:55:ASN:HA	0.405
197	A:83:LYS:HD2	A:84:LEU:CD1	0.405
197	A:152:THR:HG23	A:157:THR:O	0.405
197	A:39:LEU:HD13	A:40:ASN:N	0.404
197	A:6:MET:CB	A:158:TRP:HZ3	0.403
197	A:88:TYR:OH	A:100:ILE:HD11	0.400
198	A:130:ALA:HB1	A:150:ILE:HG23	1.075
198	A:19:LYS:HB3	A:25:TYR:CE1	1.011
198	A:103:VAL:HG22	A:111:VAL:HG21	1.011

Model ID	Atom-1	Atom-2	Clash overlap (Å)
198	A:81:ASN:HB3	A:84:LEU:HB3	0.880
198	A:33:LEU:HD11	A:46:LEU:HG	0.878
198	A:10:ASP:HB3	A:145:ARG:HG3	0.864
198	A:130:ALA:CB	A:150:ILE:HG23	0.858
198	A:81:ASN:HB3	A:84:LEU:CB	0.855
198	A:27:ILE:CG2	A:33:LEU:HD12	0.817
198	A:4:PHE:CE2	A:13:LEU:HD21	0.803
198	A:142:THR:HG21	A:145:ARG:HB3	0.763
198	A:97:ALA:HB3	A:158:TRP:HH2	0.741
198	A:130:ALA:HB1	A:150:ILE:CG2	0.741
198	A:13:LEU:HG	A:29:ILE:HG23	0.725
198	A:106:MET:SD	A:114:PHE:CE1	0.724
198	A:27:ILE:HG23	A:33:LEU:HD12	0.723
198	A:17:ILE:HB	A:43:LYS:HE3	0.721
198	A:58:ILE:HD12	A:63:ALA:CB	0.718
198	A:139:TYR:CE1	A:150:ILE:HD12	0.709
198	A:3:ILE:SG	A:97:ALA:SG	0.709
198	A:142:THR:CG2	A:145:ARG:HB3	0.701
198	A:33:LEU:HD21	A:46:LEU:HD21	0.683
198	A:8:ARG:HA	A:13:LEU:HD13	0.679
198	A:14:ARG:HB3	A:18:TYR:CE1	0.653
198	A:16:LYS:CG	A:57:VAL:HG22	0.634
198	A:81:ASN:HB3	A:84:LEU:HB2	0.627

Model ID	Atom-1	Atom-2	Clash overlap (Å)
198	A:25:TYR:CE1	A:39:LEU:HD13	0.618
198	A:91:LEU:HD21	A:126:TRP:HZ3	0.613
198	A:111:VAL:HA	A:114:PHE:HD1	0.609
198	A:47:ASP:HA	A:50:ILE:HD12	0.603
198	A:50:ILE:HG22	A:52:ARG:H	0.576
198	A:27:ILE:HG21	A:33:LEU:HD12	0.574
198	A:27:ILE:HD13	A:33:LEU:HD23	0.569
198	A:1:MET:SD	A:6:MET:HB2	0.568
198	A:33:LEU:HD11	A:46:LEU:CG	0.565
198	A:88:TYR:CZ	A:96:ARG:HG2	0.565
198	A:27:ILE:HG13	A:31:HIS:HB3	0.555
198	A:75:VAL:HA	A:78:ILE:HB	0.549
198	A:127:ASP:HA	A:154:ARG:HG2	0.548
198	A:88:TYR:HD1	A:99:LEU:HD22	0.542
198	A:50:ILE:HG21	A:54:THR:SG	0.536
198	A:4:PHE:CE1	A:29:ILE:HG21	0.533
198	A:14:ARG:HB3	A:18:TYR:CD1	0.524
198	A:139:TYR:CE1	A:150:ILE:CD1	0.524
198	A:7:LEU:HD22	A:11:GLU:HB2	0.523
198	A:88:TYR:CE1	A:96:ARG:HG2	0.512
198	A:24:TYR:CD2	A:141:GLN:HG3	0.510
198	A:58:ILE:HD12	A:63:ALA:HB2	0.508
198	A:106:MET:SD	A:114:PHE:HE1	0.505

Model ID	Atom-1	Atom-2	Clash overlap (Å)
198	A:24:TYR:HB3	A:32:LEU:HD11	0.502
198	A:127:ASP:O	A:131:VAL:HG23	0.499
198	A:4:PHE:HE2	A:13:LEU:HD21	0.493
198	A:16:LYS:HE3	A:57:VAL:HG22	0.490
198	A:143:PRO:O	A:147:LYS:HG3	0.488
198	A:27:ILE:HG12	A:33:LEU:HB2	0.486
198	A:25:TYR:CD1	A:39:LEU:HD13	0.479
198	A:84:LEU:HD21	A:111:VAL:HG11	0.479
198	A:97:ALA:HB3	A:158:TRP:CH2	0.475
198	A:158:TRP:HE3	A:161:TYR:CE2	0.469
198	A:1:MET:CG	A:5:GLU:HB3	0.467
198	A:4:PHE:CZ	A:13:LEU:HD21	0.467
198	A:9:ILE:HD13	A:162:LYS:H	0.467
198	A:88:TYR:CD1	A:99:LEU:HD22	0.466
198	A:6:MET:HG3	A:161:TYR:CE2	0.465
198	A:24:TYR:CE2	A:141:GLN:HA	0.464
198	A:25:TYR:CZ	A:39:LEU:HB2	0.462
198	A:10:ASP:HA	A:148:ARG:HH21	0.460
198	A:22:GLU:HG2	A:140:ASN:O	0.456
198	A:87:VAL:CG1	A:118:LEU:HD21	0.451
198	A:94:VAL:HG22	A:158:TRP:NE1	0.450
198	A:67:PHE:CE2	A:71:VAL:HG21	0.446
198	A:1:MET:HE1	A:158:TRP:CE3	0.441

Model ID	Atom-1	Atom-2	Clash overlap (Å)
198	A:132:ASN:OD1	A:133:LEU:HD12	0.439
198	A:8:ARG:HG3	A:13:LEU:HD22	0.432
198	A:133:LEU:HD22	A:138:TRP:CE3	0.432
198	A:133:LEU:HD22	A:138:TRP:HE3	0.431
198	A:1:MET:HE2	A:5:GLU:OE1	0.429
198	A:16:LYS:HG3	A:57:VAL:HG22	0.429
198	A:91:LEU:CD2	A:126:TRP:HZ3	0.429
198	A:6:MET:HE1	A:97:ALA:O	0.428
198	A:67:PHE:HE2	A:71:VAL:HG21	0.428
198	A:16:LYS:HA	A:56:GLY:O	0.427
198	A:7:LEU:HG	A:104:PHE:HE2	0.421
198	A:123:GLN:HB3	A:125:ARG:HG2	0.420
198	A:17:ILE:HG13	A:27:ILE:HG22	0.418
198	A:15:LEU:HD23	A:58:ILE:CD1	0.417
198	A:4:PHE:CZ	A:29:ILE:HG21	0.416
198	A:46:LEU:O	A:50:ILE:HD12	0.416
198	A:16:LYS:HA	A:56:GLY:C	0.410
198	A:22:GLU:HG3	A:140:ASN:ND2	0.409
198	A:92:ASP:OD2	A:95:ARG:HD3	0.408
198	A:63:ALA:O	A:67:PHE:HB3	0.406
198	A:25:TYR:OH	A:39:LEU:HB2	0.405
198	A:102:MET:O	A:106:MET:HE3	0.402
198	A:115:THR:HA	A:118:LEU:HB2	0.400

Model ID	Atom-1	Atom-2	Clash overlap (Å)
199	A:151:THR:HG21	A:160:ALA:HB3	1.142
199	A:87:VAL:HG12	A:118:LEU:HD21	1.124
199	A:130:ALA:HB1	A:150:ILE:HG23	1.072
199	A:81:ASN:HB3	A:84:LEU:HB2	1.000
199	A:124:LYS:HG3	A:126:TRP:CZ2	0.974
199	A:27:ILE:HG23	A:33:LEU:HD12	0.941
199	A:87:VAL:CG1	A:118:LEU:HD21	0.874
199	A:27:ILE:CG1	A:31:HIS:HB3	0.825
199	A:58:ILE:HD12	A:63:ALA:HB2	0.821
199	A:17:ILE:CG1	A:27:ILE:HG22	0.796
199	A:106:MET:SD	A:114:PHE:HE1	0.793
199	A:17:ILE:HG12	A:27:ILE:HG22	0.789
199	A:16:LYS:HG2	A:57:VAL:HG22	0.774
199	A:27:ILE:HG13	A:31:HIS:HB3	0.770
199	A:139:TYR:HE1	A:150:ILE:HD12	0.764
199	A:27:ILE:CG2	A:33:LEU:HD12	0.740
199	A:130:ALA:HB1	A:150:ILE:CG2	0.719
199	A:148:ARG:HB3	A:161:TYR:CE1	0.719
199	A:7:LEU:HD22	A:11:GLU:HB2	0.717
199	A:3:ILE:SG	A:97:ALA:SG	0.710
199	A:1:MET:CG	A:5:GLU:HB2	0.707
199	A:102:MET:HE1	A:133:LEU:HD21	0.698
199	A:58:ILE:HD12	A:63:ALA:CB	0.688

Model ID	Atom-1	Atom-2	Clash overlap (Å)
199	A:16:LYS:CG	A:57:VAL:HG22	0.680
199	A:1:MET:HG2	A:5:GLU:HB2	0.676
199	A:27:ILE:HG12	A:31:HIS:HB3	0.663
199	A:106:MET:SD	A:114:PHE:CE1	0.663
199	A:13:LEU:HD23	A:29:ILE:HG12	0.659
199	A:15:LEU:HB3	A:58:ILE:HG13	0.654
199	A:151:THR:CG2	A:160:ALA:HB3	0.630
199	A:130:ALA:HB2	A:153:PHE:HB2	0.621
199	A:103:VAL:HG22	A:111:VAL:HG21	0.614
199	A:139:TYR:CE1	A:150:ILE:HD12	0.603
199	A:118:LEU:HA	A:121:LEU:HD12	0.586
199	A:16:LYS:HG2	A:57:VAL:CG2	0.576
199	A:102:MET:HE1	A:133:LEU:CD2	0.558
199	A:87:VAL:HG12	A:118:LEU:CD2	0.556
199	A:133:LEU:HB3	A:138:TRP:HZ3	0.555
199	A:17:ILE:HG12	A:27:ILE:CG2	0.550
199	A:114:PHE:HB3	A:117:SER:HB2	0.549
199	A:81:ASN:HD22	A:84:LEU:HD23	0.545
199	A:123:GLN:HG3	A:125:ARG:HD3	0.540
199	A:98:ALA:HB1	A:153:PHE:CE2	0.531
199	A:17:ILE:HD12	A:43:LYS:HG2	0.520
199	A:50:ILE:HG22	A:52:ARG:H	0.520
199	A:46:LEU:O	A:50:ILE:HD12	0.514

Model ID	Atom-1	Atom-2	Clash overlap (Å)
199	A:148:ARG:CB	A:161:TYR:CE1	0.512
199	A:33:LEU:HG	A:46:LEU:HG	0.508
199	A:25:TYR:CE1	A:39:LEU:HD13	0.507
199	A:6:MET:HG3	A:161:TYR:CE2	0.505
199	A:32:LEU:HD22	A:104:PHE:O	0.505
199	A:98:ALA:O	A:102:MET:HG3	0.503
199	A:127:ASP:O	A:131:VAL:HG23	0.497
199	A:88:TYR:CE1	A:99:LEU:HD22	0.495
199	A:11:GLU:OE2	A:32:LEU:HD13	0.489
199	A:16:LYS:HA	A:56:GLY:C	0.483
199	A:25:TYR:CD1	A:39:LEU:HD13	0.476
199	A:116:ASN:HB3	A:120:MET:HE1	0.476
199	A:42:ALA:O	A:46:LEU:HB2	0.475
199	A:6:MET:SD	A:158:TRP:HZ3	0.468
199	A:14:ARG:HB3	A:18:TYR:CD1	0.466
199	A:139:TYR:CE1	A:150:ILE:CD1	0.465
199	A:7:LEU:HD21	A:145:ARG:NH2	0.463
199	A:10:ASP:HB3	A:145:ARG:HG2	0.463
199	A:75:VAL:O	A:79:LEU:HB2	0.461
199	A:25:TYR:CZ	A:39:LEU:HB2	0.460
199	A:4:PHE:CE1	A:29:ILE:HD13	0.458
199	A:6:MET:HE1	A:97:ALA:O	0.458
199	A:101:ASN:O	A:104:PHE:HB2	0.458

Model ID	Atom-1	Atom-2	Clash overlap (Å)
199	A:77:GLY:O	A:80:ARG:HB2	0.456
199	A:67:PHE:CE2	A:71:VAL:CG2	0.454
199	A:59:THR:OG1	A:62:GLU:HB3	0.453
199	A:10:ASP:HB3	A:145:ARG:CG	0.451
199	A:50:ILE:CG2	A:52:ARG:HB3	0.451
199	A:55:ASN:O	A:57:VAL:HG23	0.451
199	A:130:ALA:CB	A:150:ILE:HG23	0.451
199	A:142:THR:CG2	A:145:ARG:HB2	0.447
199	A:67:PHE:O	A:71:VAL:HG23	0.446
199	A:94:VAL:HG13	A:158:TRP:CZ2	0.445
199	A:79:LEU:HD22	A:85:LYS:HG2	0.440
199	A:7:LEU:HG	A:30:GLY:O	0.437
199	A:158:TRP:O	A:161:TYR:HB2	0.435
199	A:26:THR:HG23	A:31:HIS:C	0.432
199	A:8:ARG:HG3	A:13:LEU:HD12	0.430
199	A:126:TRP:HB2	A:153:PHE:O	0.430
199	A:4:PHE:CE2	A:13:LEU:HD21	0.426
199	A:158:TRP:HE3	A:161:TYR:CD2	0.426
199	A:91:LEU:HD21	A:126:TRP:HZ3	0.424
199	A:99:LEU:O	A:99:LEU:HD23	0.424
199	A:114:PHE:O	A:117:SER:HB2	0.421
199	A:50:ILE:HG22	A:52:ARG:N	0.420
199	A:98:ALA:HB1	A:153:PHE:CZ	0.418

Model ID	Atom-1	Atom-2	Clash overlap (Å)
199	A:126:TRP:O	A:153:PHE:HB3	0.415
199	A:4:PHE:CZ	A:29:ILE:HG21	0.414
199	A:19:LYS:HB3	A:25:TYR:CE1	0.411
199	A:1:MET:HB3	A:158:TRP:NE1	0.411
199	A:4:PHE:CZ	A:13:LEU:HD21	0.410
199	A:6:MET:HG3	A:161:TYR:CZ	0.405
199	A:50:ILE:HD13	A:54:THR:SG	0.402
199	A:50:ILE:HG21	A:54:THR:SG	0.401
200	A:130:ALA:HB1	A:150:ILE:HG23	1.108
200	A:27:ILE:HG23	A:33:LEU:HD12	1.059
200	A:124:LYS:HG3	A:126:TRP:CZ2	0.997
200	A:33:LEU:HD11	A:46:LEU:HG	0.914
200	A:27:ILE:CG2	A:33:LEU:HD12	0.855
200	A:106:MET:SD	A:114:PHE:HE1	0.829
200	A:6:MET:HE3	A:7:LEU:HD12	0.779
200	A:27:ILE:HG13	A:31:HIS:HB3	0.777
200	A:3:ILE:SG	A:97:ALA:SG	0.761
200	A:79:LEU:HB3	A:85:LYS:HD2	0.730
200	A:19:LYS:HB3	A:25:TYR:CE1	0.719
200	A:106:MET:SD	A:114:PHE:CE1	0.705
200	A:148:ARG:HB3	A:161:TYR:CE1	0.699
200	A:15:LEU:HA	A:28:GLY:HA2	0.686
200	A:114:PHE:HB3	A:117:SER:HB2	0.681

Model ID	Atom-1	Atom-2	Clash overlap (Å)
200	A:50:ILE:HG22	A:52:ARG:H	0.666
200	A:10:ASP:HB3	A:145:ARG:HG2	0.644
200	A:6:MET:CE	A:97:ALA:HB1	0.641
200	A:6:MET:HE3	A:7:LEU:CD1	0.618
200	A:133:LEU:HB3	A:138:TRP:HZ3	0.614
200	A:142:THR:HG21	A:145:ARG:HB2	0.607
200	A:25:TYR:CE1	A:39:LEU:HD13	0.606
200	A:142:THR:CG2	A:145:ARG:HB2	0.603
200	A:33:LEU:CD1	A:46:LEU:HG	0.602
200	A:15:LEU:HD21	A:63:ALA:HB2	0.596
200	A:7:LEU:HB3	A:13:LEU:HD13	0.595
200	A:103:VAL:HG22	A:111:VAL:HG21	0.594
200	A:95:ARG:HG2	A:126:TRP:CG	0.575
200	A:15:LEU:HD21	A:63:ALA:CB	0.571
200	A:7:LEU:CD2	A:11:GLU:HB2	0.570
200	A:142:THR:HG22	A:145:ARG:H	0.570
200	A:15:LEU:HD23	A:58:ILE:CD1	0.563
200	A:1:MET:CG	A:5:GLU:HB2	0.561
200	A:16:LYS:CG	A:57:VAL:HG22	0.560
200	A:27:ILE:CG1	A:31:HIS:HB3	0.557
200	A:19:LYS:HB3	A:25:TYR:CD1	0.547
200	A:6:MET:SD	A:158:TRP:HZ3	0.538
200	A:130:ALA:HB1	A:150:ILE:CG2	0.532

Model ID	Atom-1	Atom-2	Clash overlap (Å)
200	A:7:LEU:HD22	A:11:GLU:HB2	0.525
200	A:13:LEU:HD21	A:29:ILE:HG23	0.519
200	A:79:LEU:HD22	A:81:ASN:HB2	0.518
200	A:94:VAL:HG13	A:158:TRP:CZ2	0.512
200	A:58:ILE:CD1	A:63:ALA:HB2	0.511
200	A:98:ALA:HB1	A:153:PHE:CE2	0.507
200	A:6:MET:HE1	A:97:ALA:C	0.504
200	A:46:LEU:O	A:50:ILE:HD12	0.503
200	A:126:TRP:HB3	A:153:PHE:HD1	0.500
200	A:1:MET:HG2	A:5:GLU:HB2	0.493
200	A:132:ASN:OD1	A:133:LEU:HD12	0.490
200	A:102:MET:HE1	A:133:LEU:HG	0.489
200	A:6:MET:HE1	A:97:ALA:O	0.482
200	A:1:MET:HE1	A:6:MET:HB2	0.479
200	A:14:ARG:HB3	A:18:TYR:CD1	0.479
200	A:15:LEU:HD23	A:58:ILE:HD12	0.477
200	A:139:TYR:CE1	A:150:ILE:HD12	0.477
200	A:50:ILE:HG21	A:54:THR:SG	0.474
200	A:10:ASP:HB3	A:145:ARG:CG	0.473
200	A:102:MET:HE3	A:138:TRP:CZ3	0.472
200	A:121:LEU:HD21	A:129:ALA:HB2	0.471
200	A:5:GLU:CD	A:8:ARG:HH21	0.467
200	A:95:ARG:HD3	A:126:TRP:CE2	0.462

Model ID	Atom-1	Atom-2	Clash overlap (Å)
200	A:73:ALA:HA	A:76:ARG:HD2	0.457
200	A:59:THR:OG1	A:62:GLU:HB3	0.453
200	A:126:TRP:O	A:153:PHE:HB3	0.451
200	A:124:LYS:HG3	A:126:TRP:HZ2	0.447
200	A:6:MET:HG3	A:161:TYR:CE2	0.445
200	A:7:LEU:HD11	A:101:ASN:HA	0.445
200	A:6:MET:HG3	A:161:TYR:CZ	0.444
200	A:103:VAL:HG22	A:111:VAL:CG2	0.443
200	A:6:MET:HE1	A:97:ALA:HB1	0.442
200	A:123:GLN:HB3	A:125:ARG:HG2	0.439
200	A:20:ASP:OD1	A:22:GLU:HB2	0.438
200	A:158:TRP:HE3	A:161:TYR:HE2	0.433
200	A:74:ALA:O	A:78:ILE:HD12	0.431
200	A:14:ARG:CZ	A:16:LYS:HD3	0.430
200	A:16:LYS:HA	A:56:GLY:O	0.428
200	A:16:LYS:HA	A:56:GLY:C	0.427
200	A:17:ILE:HG12	A:27:ILE:HG23	0.427
200	A:58:ILE:HD11	A:63:ALA:HB2	0.427
200	A:92:ASP:O	A:96:ARG:HB2	0.427
200	A:45:GLU:HB3	A:46:LEU:HD12	0.426
200	A:43:LYS:HE2	A:55:ASN:C	0.424
200	A:98:ALA:O	A:102:MET:HG3	0.423
200	A:16:LYS:HG2	A:57:VAL:CG2	0.419

Model ID	Atom-1	Atom-2	Clash overlap (Å)
200	A:16:LYS:HG2	A:57:VAL:HG22	0.419
200	A:19:LYS:HD3	A:25:TYR:OH	0.419
200	A:33:LEU:HD11	A:46:LEU:CG	0.419
200	A:25:TYR:CD1	A:39:LEU:HD13	0.418
200	A:72:ASP:HB3	A:76:ARG:NH2	0.417
200	A:7:LEU:HD22	A:11:GLU:CB	0.416
200	A:25:TYR:CE1	A:39:LEU:HB2	0.415
200	A:16:LYS:HD2	A:57:VAL:HG22	0.412
200	A:50:ILE:HD13	A:54:THR:SG	0.407
200	A:162:LYS:HA	A:162:LYS:HD3	0.406
200	A:118:LEU:O	A:122:GLN:HG3	0.405
200	A:121:LEU:CD2	A:129:ALA:HB2	0.403
200	A:46:LEU:HA	A:46:LEU:HD23	0.401
200	A:139:TYR:HE1	A:150:ILE:HD12	0.401
200	A:107:GLY:O	A:111:VAL:HG23	0.401
201	A:130:ALA:HB1	A:150:ILE:HG23	1.149
201	A:17:ILE:HD12	A:43:LYS:HD3	1.145
201	A:16:LYS:HG2	A:57:VAL:HG22	0.935
201	A:27:ILE:CG2	A:33:LEU:HD12	0.863
201	A:7:LEU:HD22	A:11:GLU:HB2	0.842
201	A:25:TYR:HB2	A:34:THR:CG2	0.830
201	A:17:ILE:CD1	A:43:LYS:HD3	0.828
201	A:34:THR:HG21	A:42:ALA:HB1	0.797

Model ID	Atom-1	Atom-2	Clash overlap (Å)
201	A:17:ILE:HD12	A:43:LYS:CD	0.786
201	A:1:MET:HG2	A:5:GLU:HB2	0.765
201	A:3:ILE:SG	A:97:ALA:SG	0.762
201	A:16:LYS:CG	A:57:VAL:HG22	0.748
201	A:27:ILE:HG21	A:33:LEU:HD12	0.746
201	A:7:LEU:CD2	A:11:GLU:HB2	0.722
201	A:7:LEU:HD22	A:11:GLU:CB	0.719
201	A:114:PHE:HB3	A:117:SER:HB2	0.718
201	A:81:ASN:HB3	A:84:LEU:HB2	0.714
201	A:106:MET:SD	A:114:PHE:CE1	0.714
201	A:27:ILE:HG13	A:31:HIS:HB3	0.672
201	A:27:ILE:HG23	A:33:LEU:HD12	0.670
201	A:24:TYR:HB3	A:32:LEU:HD11	0.661
201	A:34:THR:HG21	A:42:ALA:CB	0.656
201	A:130:ALA:HB1	A:150:ILE:CG2	0.649
201	A:142:THR:CG2	A:145:ARG:HB2	0.648
201	A:91:LEU:HG	A:95:ARG:HG2	0.646
201	A:17:ILE:HG12	A:27:ILE:CG2	0.628
201	A:142:THR:HG22	A:145:ARG:H	0.627
201	A:1:MET:HG2	A:5:GLU:CB	0.618
201	A:103:VAL:HG22	A:111:VAL:HG21	0.606
201	A:24:TYR:CB	A:32:LEU:HD11	0.601
201	A:25:TYR:HB2	A:34:THR:HG22	0.598

Model ID	Atom-1	Atom-2	Clash overlap (Å)
201	A:19:LYS:HB3	A:25:TYR:CZ	0.596
201	A:114:PHE:CE2	A:133:LEU:HD23	0.591
201	A:17:ILE:HG12	A:27:ILE:HG22	0.589
201	A:17:ILE:CG1	A:27:ILE:HG22	0.588
201	A:79:LEU:HB3	A:85:LYS:HG3	0.588
201	A:15:LEU:HB3	A:58:ILE:HG13	0.586
201	A:106:MET:HE2	A:138:TRP:CG	0.576
201	A:133:LEU:HB3	A:138:TRP:HZ3	0.573
201	A:7:LEU:HD21	A:104:PHE:HD2	0.560
201	A:27:ILE:HG12	A:33:LEU:HD23	0.554
201	A:25:TYR:CE1	A:39:LEU:HD13	0.552
201	A:116:ASN:HB3	A:120:MET:HE1	0.542
201	A:106:MET:SD	A:114:PHE:HE1	0.538
201	A:19:LYS:HB3	A:25:TYR:CE1	0.532
201	A:24:TYR:HD1	A:35:LYS:HA	0.517
201	A:10:ASP:HB3	A:145:ARG:HG2	0.514
201	A:1:MET:HE3	A:2:ASN:O	0.512
201	A:142:THR:HG21	A:145:ARG:HB2	0.512
201	A:46:LEU:O	A:50:ILE:HG12	0.510
201	A:4:PHE:CE1	A:29:ILE:HG21	0.508
201	A:16:LYS:HG2	A:57:VAL:CG2	0.507
201	A:6:MET:SD	A:158:TRP:CH2	0.505
201	A:98:ALA:HB1	A:153:PHE:CE2	0.504

Model ID	Atom-1	Atom-2	Clash overlap (Å)
201	A:102:MET:HG2	A:138:TRP:CZ2	0.504
201	A:67:PHE:CE2	A:71:VAL:CG2	0.503
201	A:121:LEU:C	A:124:LYS:H	0.501
201	A:14:ARG:HB3	A:18:TYR:CD1	0.499
201	A:81:ASN:CB	A:84:LEU:HB2	0.496
201	A:117:SER:O	A:121:LEU:HG	0.492
201	A:106:MET:HE2	A:138:TRP:CD1	0.484
201	A:114:PHE:CE2	A:133:LEU:CD2	0.484
201	A:96:ARG:HG3	A:100:ILE:HD12	0.482
201	A:75:VAL:O	A:79:LEU:HB2	0.481
201	A:6:MET:SD	A:158:TRP:HH2	0.479
201	A:36:SER:HB3	A:42:ALA:HB2	0.477
201	A:6:MET:HG3	A:161:TYR:CE2	0.476
201	A:55:ASN:O	A:57:VAL:HG23	0.472
201	A:91:LEU:HB3	A:95:ARG:HB3	0.472
201	A:151:THR:CG2	A:160:ALA:HB2	0.471
201	A:150:ILE:HA	A:153:PHE:HD2	0.467
201	A:98:ALA:HB1	A:153:PHE:CZ	0.463
201	A:50:ILE:HG13	A:54:THR:SG	0.460
201	A:133:LEU:HB3	A:138:TRP:CZ3	0.460
201	A:50:ILE:CG2	A:52:ARG:HB3	0.457
201	A:17:ILE:HG12	A:27:ILE:HG23	0.456
201	A:83:LYS:HB2	A:118:LEU:HG	0.454

Model ID	Atom-1	Atom-2	Clash overlap (Å)
201	A:74:ALA:O	A:78:ILE:HG12	0.453
201	A:134:ALA:HA	A:139:TYR:CD1	0.453
201	A:5:GLU:HA	A:8:ARG:HB2	0.452
201	A:58:ILE:HD13	A:67:PHE:HB2	0.449
201	A:145:ARG:HA	A:148:ARG:HH21	0.449
201	A:113:GLY:HA3	A:137:ARG:HH22	0.448
201	A:79:LEU:HD21	A:84:LEU:HD12	0.443
201	A:98:ALA:O	A:102:MET:HG3	0.437
201	A:133:LEU:HD22	A:138:TRP:CE3	0.437
201	A:121:LEU:HD21	A:129:ALA:HB2	0.434
201	A:1:MET:HE1	A:158:TRP:CH2	0.432
201	A:46:LEU:HD22	A:50:ILE:HD11	0.432
201	A:5:GLU:O	A:8:ARG:HB2	0.430
201	A:7:LEU:HD21	A:104:PHE:CD2	0.426
201	A:118:LEU:O	A:118:LEU:HD13	0.424
201	A:17:ILE:HG13	A:56:GLY:HA3	0.423
201	A:91:LEU:HD22	A:95:ARG:HD2	0.422
201	A:10:ASP:HB3	A:145:ARG:CG	0.421
201	A:17:ILE:HG13	A:27:ILE:HG22	0.421
201	A:42:ALA:O	A:46:LEU:HB2	0.420
201	A:106:MET:HB2	A:110:GLY:HA3	0.420
201	A:139:TYR:O	A:143:PRO:HD3	0.414
201	A:1:MET:HE1	A:158:TRP:CZ3	0.408

Model ID	Atom-1	Atom-2	Clash overlap (Å)
201	A:67:PHE:CE2	A:71:VAL:HG21	0.403
201	A:63:ALA:O	A:67:PHE:HB3	0.403
202	A:79:LEU:HD22	A:85:LYS:HG3	1.095
202	A:103:VAL:HG22	A:111:VAL:HG21	0.929
202	A:58:ILE:HD13	A:63:ALA:HB2	0.864
202	A:1:MET:HG3	A:5:GLU:HB2	0.860
202	A:16:LYS:HG2	A:57:VAL:HG22	0.814
202	A:1:MET:HG3	A:5:GLU:CB	0.812
202	A:79:LEU:CD2	A:85:LYS:HG3	0.809
202	A:124:LYS:HG2	A:126:TRP:CZ2	0.798
202	A:58:ILE:CD1	A:63:ALA:HB2	0.775
202	A:102:MET:HE1	A:133:LEU:HG	0.751
202	A:102:MET:HE3	A:138:TRP:CZ3	0.720
202	A:7:LEU:HB3	A:29:ILE:HG21	0.717
202	A:3:ILE:SG	A:97:ALA:SG	0.706
202	A:86:PRO:HA	A:89:ASP:HB2	0.684
202	A:7:LEU:HD12	A:11:GLU:HG3	0.666
202	A:89:ASP:HA	A:96:ARG:HH21	0.654
202	A:6:MET:HB2	A:158:TRP:HZ3	0.647
202	A:6:MET:HB2	A:158:TRP:CZ3	0.638
202	A:102:MET:HE2	A:106:MET:HE1	0.633
202	A:50:ILE:HG22	A:52:ARG:H	0.632
202	A:103:VAL:HG22	A:111:VAL:CG2	0.621

Model ID	Atom-1	Atom-2	Clash overlap (Å)
202	A:7:LEU:CD1	A:11:GLU:HG3	0.618
202	A:4:PHE:HD1	A:67:PHE:CD2	0.613
202	A:106:MET:HE2	A:138:TRP:CG	0.610
202	A:79:LEU:HD22	A:85:LYS:CG	0.596
202	A:6:MET:HE1	A:98:ALA:HA	0.595
202	A:58:ILE:HD13	A:63:ALA:CB	0.588
202	A:145:ARG:HA	A:148:ARG:HH21	0.583
202	A:16:LYS:CG	A:57:VAL:HG22	0.569
202	A:1:MET:CG	A:5:GLU:HB2	0.563
202	A:88:TYR:HE1	A:100:ILE:HD11	0.552
202	A:7:LEU:HB3	A:29:ILE:CG2	0.544
202	A:102:MET:HE1	A:133:LEU:CG	0.535
202	A:98:ALA:HB1	A:153:PHE:CE1	0.534
202	A:33:LEU:HD13	A:42:ALA:C	0.531
202	A:4:PHE:CE1	A:29:ILE:CD1	0.528
202	A:1:MET:HE2	A:6:MET:HB2	0.514
202	A:130:ALA:HB1	A:150:ILE:HG21	0.502
202	A:80:ARG:HB3	A:81:ASN:HD22	0.500
202	A:1:MET:HE2	A:158:TRP:CZ3	0.499
202	A:98:ALA:CB	A:153:PHE:CE1	0.498
202	A:14:ARG:CB	A:18:TYR:CE1	0.481
202	A:15:LEU:O	A:58:ILE:HG13	0.478
202	A:17:ILE:HG22	A:25:TYR:CD1	0.464

Model ID	Atom-1	Atom-2	Clash overlap (Å)
202	A:86:PRO:O	A:90:SER:HB3	0.464
202	A:98:ALA:HB3	A:153:PHE:HE1	0.456
202	A:1:MET:HE1	A:161:TYR:HB3	0.453
202	A:16:LYS:HA	A:56:GLY:O	0.452
202	A:88:TYR:CE1	A:100:ILE:HD11	0.452
202	A:4:PHE:CD1	A:67:PHE:CD2	0.448
202	A:22:GLU:HB3	A:24:TYR:CE2	0.447
202	A:67:PHE:O	A:71:VAL:HG23	0.445
202	A:14:ARG:HB3	A:18:TYR:CE1	0.440
202	A:127:ASP:O	A:131:VAL:HG23	0.437
202	A:124:LYS:HG2	A:126:TRP:HZ2	0.436
202	A:4:PHE:CZ	A:64:GLU:HG2	0.432
202	A:78:ILE:O	A:84:LEU:HB3	0.429
202	A:4:PHE:CE1	A:29:ILE:HD11	0.425
202	A:50:ILE:HG21	A:54:THR:SG	0.423
202	A:83:LYS:HD3	A:84:LEU:HD12	0.423
202	A:17:ILE:CG2	A:25:TYR:HD1	0.420
202	A:27:ILE:HG21	A:46:LEU:HD11	0.419
202	A:98:ALA:CB	A:153:PHE:HE1	0.419
202	A:102:MET:HE3	A:138:TRP:CH2	0.419
202	A:102:MET:HE1	A:133:LEU:HB3	0.418
202	A:32:LEU:HA	A:32:LEU:HD12	0.417
202	A:99:LEU:O	A:103:VAL:HG23	0.414

Model ID	Atom-1	Atom-2	Clash overlap (Å)
202	A:101:ASN:O	A:104:PHE:HB2	0.410
202	A:97:ALA:O	A:100:ILE:HB	0.407
202	A:15:LEU:HD23	A:58:ILE:O	0.401
203	A:33:LEU:HD11	A:46:LEU:HG	1.132
203	A:130:ALA:HB1	A:150:ILE:HG23	1.096
203	A:124:LYS:HG3	A:126:TRP:CZ2	0.927
203	A:27:ILE:CG2	A:33:LEU:HD12	0.859
203	A:25:TYR:CE1	A:39:LEU:HD13	0.823
203	A:27:ILE:HG12	A:33:LEU:HB2	0.809
203	A:33:LEU:CD1	A:46:LEU:HG	0.799
203	A:106:MET:SD	A:114:PHE:HE1	0.792
203	A:25:TYR:HE1	A:39:LEU:HD13	0.790
203	A:151:THR:HG21	A:160:ALA:HB3	0.773
203	A:58:ILE:HD12	A:63:ALA:HB2	0.759
203	A:79:LEU:HD12	A:84:LEU:HD12	0.756
203	A:3:ILE:SG	A:97:ALA:SG	0.754
203	A:27:ILE:HG23	A:33:LEU:HD12	0.749
203	A:142:THR:CG2	A:145:ARG:HB2	0.735
203	A:27:ILE:HG13	A:31:HIS:HB3	0.728
203	A:106:MET:SD	A:114:PHE:CE1	0.700
203	A:33:LEU:HD11	A:46:LEU:CG	0.689
203	A:139:TYR:HE1	A:150:ILE:HD12	0.683
203	A:50:ILE:HG22	A:52:ARG:H	0.672

Model ID	Atom-1	Atom-2	Clash overlap (Å)
203	A:17:ILE:HB	A:43:LYS:HD3	0.660
203	A:151:THR:HG21	A:160:ALA:CB	0.659
203	A:27:ILE:HG21	A:33:LEU:HD12	0.657
203	A:98:ALA:HB1	A:153:PHE:CZ	0.643
203	A:75:VAL:HG13	A:79:LEU:HD11	0.638
203	A:142:THR:HG21	A:145:ARG:HB2	0.631
203	A:79:LEU:HD23	A:84:LEU:HB3	0.614
203	A:114:PHE:HB3	A:117:SER:HB2	0.613
203	A:16:LYS:HG3	A:57:VAL:HG22	0.611
203	A:1:MET:HE1	A:158:TRP:CE3	0.604
203	A:6:MET:CE	A:97:ALA:HB1	0.595
203	A:7:LEU:HD22	A:30:GLY:HA3	0.579
203	A:15:LEU:HG	A:28:GLY:HA2	0.575
203	A:95:ARG:HG2	A:126:TRP:CD2	0.575
203	A:17:ILE:HG13	A:27:ILE:HG22	0.572
203	A:114:PHE:CE2	A:133:LEU:HD21	0.565
203	A:158:TRP:HE3	A:161:TYR:CE2	0.560
203	A:19:LYS:HB3	A:25:TYR:CE1	0.556
203	A:1:MET:HG2	A:5:GLU:HB3	0.540
203	A:98:ALA:HB1	A:153:PHE:CE2	0.538
203	A:142:THR:HG22	A:145:ARG:H	0.534
203	A:123:GLN:HG2	A:125:ARG:HG3	0.529
203	A:16:LYS:CG	A:57:VAL:HG22	0.526

Model ID	Atom-1	Atom-2	Clash overlap (Å)
203	A:1:MET:CG	A:5:GLU:HB3	0.523
203	A:1:MET:HG2	A:5:GLU:CB	0.523
203	A:133:LEU:HD22	A:138:TRP:CE3	0.523
203	A:6:MET:SD	A:97:ALA:HB1	0.521
203	A:7:LEU:HB3	A:13:LEU:HD13	0.520
203	A:6:MET:HG3	A:161:TYR:CE2	0.506
203	A:5:GLU:O	A:8:ARG:HB3	0.503
203	A:126:TRP:O	A:153:PHE:HB3	0.500
203	A:102:MET:O	A:106:MET:HE3	0.499
203	A:46:LEU:O	A:50:ILE:HD12	0.492
203	A:6:MET:HE1	A:97:ALA:O	0.491
203	A:130:ALA:CB	A:150:ILE:HG23	0.490
203	A:158:TRP:HE3	A:161:TYR:HE2	0.488
203	A:1:MET:SD	A:6:MET:HB2	0.486
203	A:17:ILE:CG1	A:27:ILE:HG22	0.483
203	A:158:TRP:CE3	A:161:TYR:HE2	0.481
203	A:142:THR:HG22	A:145:ARG:HB2	0.474
203	A:27:ILE:HG21	A:33:LEU:HD23	0.472
203	A:59:THR:OG1	A:62:GLU:HB3	0.470
203	A:130:ALA:HB2	A:153:PHE:HB2	0.470
203	A:121:LEU:HG	A:126:TRP:CE3	0.467
203	A:120:MET:O	A:123:GLN:HB3	0.466
203	A:98:ALA:O	A:102:MET:HG3	0.465

Model ID	Atom-1	Atom-2	Clash overlap (Å)
203	A:76:ARG:HE	A:85:LYS:HD3	0.460
203	A:25:TYR:CE1	A:39:LEU:CD1	0.457
203	A:126:TRP:HB3	A:153:PHE:HD1	0.454
203	A:10:ASP:HB3	A:145:ARG:HG2	0.453
203	A:15:LEU:HB3	A:58:ILE:HG13	0.451
203	A:81:ASN:HB3	A:84:LEU:HB2	0.451
203	A:106:MET:HA	A:141:GLN:HE22	0.451
203	A:75:VAL:O	A:79:LEU:HG	0.450
203	A:41:ALA:O	A:45:GLU:HB2	0.448
203	A:78:ILE:HG12	A:108:GLU:HG3	0.448
203	A:148:ARG:HB3	A:161:TYR:CE1	0.448
203	A:133:LEU:HB3	A:138:TRP:HZ3	0.445
203	A:139:TYR:CE1	A:150:ILE:HD12	0.444
203	A:17:ILE:HG12	A:27:ILE:HG23	0.442
203	A:17:ILE:HG12	A:27:ILE:CG2	0.441
203	A:11:GLU:CD	A:26:THR:HG21	0.439
203	A:78:ILE:HD13	A:108:GLU:HB2	0.439
203	A:124:LYS:HG3	A:126:TRP:CE2	0.430
203	A:15:LEU:HD11	A:29:ILE:HG13	0.426
203	A:42:ALA:O	A:46:LEU:HB2	0.426
203	A:142:THR:HG21	A:145:ARG:HD3	0.426
203	A:158:TRP:CE3	A:161:TYR:CE2	0.423
203	A:121:LEU:O	A:124:LYS:HD2	0.422

Model ID	Atom-1	Atom-2	Clash overlap (Å)
203	A:121:LEU:HG	A:126:TRP:CZ3	0.421
203	A:47:ASP:OD2	A:53:ASN:HA	0.419
203	A:6:MET:HE1	A:97:ALA:C	0.418
203	A:79:LEU:HB2	A:81:ASN:HB2	0.412
203	A:124:LYS:CG	A:126:TRP:CZ2	0.409
203	A:11:GLU:HG3	A:18:TYR:HE2	0.408
203	A:50:ILE:HG22	A:52:ARG:N	0.407
203	A:6:MET:SD	A:158:TRP:HZ3	0.407
203	A:19:LYS:HD2	A:25:TYR:OH	0.404
203	A:148:ARG:HA	A:151:THR:HB	0.403
203	A:15:LEU:HD23	A:58:ILE:HG13	0.402
203	A:72:ASP:OD2	A:76:ARG:HD2	0.401
204	A:103:VAL:HG22	A:111:VAL:HG21	1.104
204	A:102:MET:HE1	A:133:LEU:HG	0.910
204	A:103:VAL:HG22	A:111:VAL:CG2	0.866
204	A:99:LEU:HD21	A:121:LEU:HD11	0.801
204	A:124:LYS:HG2	A:126:TRP:CZ2	0.793
204	A:106:MET:HB3	A:110:GLY:HA3	0.779
204	A:102:MET:HE3	A:138:TRP:CZ3	0.770
204	A:102:MET:HE1	A:133:LEU:CG	0.762
204	A:102:MET:HE1	A:133:LEU:HB3	0.747
204	A:1:MET:HE2	A:6:MET:HB2	0.741
204	A:102:MET:HE1	A:133:LEU:CB	0.738

Model ID	Atom-1	Atom-2	Clash overlap (Å)
204	A:79:LEU:CD2	A:85:LYS:HG3	0.726
204	A:25:TYR:HB3	A:33:LEU:HD12	0.708
204	A:106:MET:HE2	A:138:TRP:CG	0.705
204	A:17:ILE:HG22	A:25:TYR:HD1	0.690
204	A:79:LEU:HD22	A:85:LYS:HG3	0.686
204	A:16:LYS:CG	A:57:VAL:HG22	0.685
204	A:3:ILE:SG	A:97:ALA:SG	0.681
204	A:14:ARG:HB3	A:18:TYR:CE1	0.677
204	A:16:LYS:HG2	A:57:VAL:HG22	0.672
204	A:17:ILE:CG2	A:25:TYR:HD1	0.669
204	A:102:MET:CE	A:133:LEU:HG	0.667
204	A:139:TYR:HD1	A:146:ALA:HB1	0.651
204	A:114:PHE:HB3	A:117:SER:HB2	0.648
204	A:139:TYR:HD1	A:146:ALA:CB	0.629
204	A:86:PRO:HA	A:89:ASP:HB2	0.624
204	A:76:ARG:HD2	A:79:LEU:HD12	0.607
204	A:124:LYS:HG2	A:126:TRP:H22	0.592
204	A:14:ARG:HB3	A:18:TYR:HE1	0.589
204	A:1:MET:CG	A:5:GLU:HB2	0.586
204	A:13:LEU:CD2	A:29:ILE:HG13	0.579
204	A:22:GLU:HB3	A:24:TYR:CE2	0.564
204	A:16:LYS:HG2	A:57:VAL:CG2	0.563
204	A:142:THR:HG22	A:145:ARG:HB3	0.563

Model ID	Atom-1	Atom-2	Clash overlap (Å)
204	A:6:MET:HG3	A:161:TYR:CE2	0.561
204	A:83:LYS:HD3	A:84:LEU:HD12	0.552
204	A:99:LEU:HD21	A:121:LEU:CD1	0.540
204	A:13:LEU:HD21	A:29:ILE:HG13	0.538
204	A:1:MET:HG2	A:5:GLU:HB2	0.534
204	A:17:ILE:CG2	A:25:TYR:CD1	0.528
204	A:130:ALA:HB1	A:150:ILE:HG23	0.528
204	A:98:ALA:HB1	A:153:PHE:CE1	0.522
204	A:50:ILE:HG21	A:54:THR:SG	0.519
204	A:1:MET:CE	A:158:TRP:CZ3	0.516
204	A:16:LYS:C	A:27:ILE:HG12	0.507
204	A:1:MET:HE1	A:158:TRP:CE3	0.496
204	A:130:ALA:HB1	A:150:ILE:CG2	0.488
204	A:117:SER:O	A:121:LEU:HD23	0.476
204	A:121:LEU:HD22	A:129:ALA:HB2	0.474
204	A:6:MET:HB2	A:158:TRP:HZ3	0.472
204	A:99:LEU:CD2	A:121:LEU:HD11	0.470
204	A:1:MET:HE1	A:158:TRP:CZ3	0.468
204	A:14:ARG:CB	A:18:TYR:CE1	0.466
204	A:16:LYS:HG3	A:57:VAL:HG22	0.462
204	A:139:TYR:CD1	A:146:ALA:CB	0.455
204	A:15:LEU:O	A:27:ILE:HD11	0.454
204	A:1:MET:HG3	A:5:GLU:HB2	0.453

Model ID	Atom-1	Atom-2	Clash overlap (Å)
204	A:78:ILE:HG21	A:88:TYR:CD2	0.451
204	A:100:ILE:HG23	A:104:PHE:CZ	0.448
204	A:102:MET:HE2	A:106:MET:HE1	0.440
204	A:100:ILE:HG23	A:104:PHE:CE1	0.438
204	A:17:ILE:HG22	A:25:TYR:CD1	0.437
204	A:67:PHE:O	A:71:VAL:HG23	0.437
204	A:16:LYS:HA	A:56:GLY:O	0.436
204	A:102:MET:HE2	A:106:MET:CE	0.436
204	A:27:ILE:HG21	A:46:LEU:HD11	0.430
204	A:125:ARG:HB3	A:128:GLU:OE1	0.430
204	A:105:GLN:HB2	A:145:ARG:NH2	0.429
204	A:72:ASP:O	A:75:VAL:HB	0.425
204	A:29:ILE:HD13	A:67:PHE:CG	0.421
204	A:65:LYS:HB2	A:65:LYS:HE2	0.420
204	A:129:ALA:HA	A:132:ASN:HB2	0.418
204	A:102:MET:HE3	A:138:TRP:CH2	0.417
204	A:76:ARG:HA	A:79:LEU:HD12	0.413
204	A:102:MET:HG2	A:138:TRP:CZ2	0.412
204	A:59:THR:H	A:62:GLU:HB2	0.406
204	A:67:PHE:HZ	A:104:PHE:CZ	0.405
204	A:115:THR:O	A:119:ARG:HG3	0.404
205	A:102:MET:HE2	A:106:MET:HE1	0.940
205	A:102:MET:HE1	A:133:LEU:HG	0.936

Model ID	Atom-1	Atom-2	Clash overlap (Å)
205	A:16:LYS:HG2	A:57:VAL:HG22	0.858
205	A:124:LYS:HG2	A:126:TRP:CZ2	0.848
205	A:1:MET:HE3	A:6:MET:HB2	0.796
205	A:1:MET:HG3	A:5:GLU:HB2	0.739
205	A:102:MET:HE3	A:138:TRP:CZ3	0.715
205	A:16:LYS:CG	A:57:VAL:HG22	0.707
205	A:1:MET:HE2	A:158:TRP:CZ3	0.693
205	A:3:ILE:SG	A:97:ALA:SG	0.686
205	A:102:MET:HE1	A:133:LEU:CG	0.668
205	A:1:MET:HE2	A:158:TRP:CE3	0.650
205	A:1:MET:CG	A:5:GLU:HB2	0.621
205	A:82:ALA:HA	A:86:PRO:HD2	0.620
205	A:50:ILE:HG21	A:54:THR:SG	0.619
205	A:139:TYR:CD1	A:146:ALA:HB1	0.617
205	A:33:LEU:HD11	A:46:LEU:HD13	0.615
205	A:124:LYS:HG2	A:126:TRP:HZ2	0.608
205	A:79:LEU:HD22	A:85:LYS:HG3	0.593
205	A:139:TYR:HD1	A:146:ALA:HB1	0.590
205	A:14:ARG:CB	A:18:TYR:HE1	0.587
205	A:106:MET:HE2	A:138:TRP:CG	0.566
205	A:27:ILE:HG21	A:46:LEU:HD11	0.565
205	A:79:LEU:HD22	A:85:LYS:CG	0.560
205	A:1:MET:HG3	A:5:GLU:CB	0.557

Model ID	Atom-1	Atom-2	Clash overlap (Å)
205	A:106:MET:HB3	A:110:GLY:HA3	0.546
205	A:1:MET:CE	A:158:TRP:CZ3	0.538
205	A:116:ASN:HB3	A:120:MET:HE1	0.537
205	A:33:LEU:CD1	A:42:ALA:HB1	0.534
205	A:78:ILE:HD12	A:84:LEU:HD22	0.534
205	A:14:ARG:HB3	A:18:TYR:CE1	0.517
205	A:102:MET:CE	A:106:MET:HE1	0.517
205	A:139:TYR:CD1	A:146:ALA:CB	0.509
205	A:130:ALA:HB1	A:150:ILE:HG21	0.507
205	A:50:ILE:HG22	A:52:ARG:H	0.505
205	A:27:ILE:HG22	A:33:LEU:HD21	0.499
205	A:29:ILE:HD12	A:67:PHE:CG	0.495
205	A:13:LEU:HD23	A:29:ILE:CG1	0.492
205	A:25:TYR:HB3	A:33:LEU:HD12	0.488
205	A:121:LEU:HD22	A:129:ALA:HB2	0.487
205	A:102:MET:HE3	A:138:TRP:CH2	0.484
205	A:130:ALA:CB	A:150:ILE:HG21	0.478
205	A:14:ARG:CB	A:18:TYR:CE1	0.471
205	A:18:TYR:CE2	A:26:THR:HB	0.467
205	A:121:LEU:CD2	A:129:ALA:HB2	0.459
205	A:81:ASN:HB3	A:84:LEU:HB2	0.457
205	A:58:ILE:CD1	A:63:ALA:HB2	0.452
205	A:29:ILE:HB	A:67:PHE:CD1	0.451

Model ID	Atom-1	Atom-2	Clash overlap (Å)
205	A:33:LEU:HD12	A:42:ALA:HB1	0.449
205	A:130:ALA:HB2	A:150:ILE:CG2	0.448
205	A:14:ARG:HB3	A:18:TYR:HE1	0.442
205	A:75:VAL:O	A:79:LEU:HB2	0.440
205	A:84:LEU:O	A:88:TYR:HB2	0.437
205	A:6:MET:HE2	A:101:ASN:HD22	0.430
205	A:7:LEU:HD12	A:29:ILE:HG22	0.429
205	A:16:LYS:HG2	A:57:VAL:CG2	0.426
205	A:94:VAL:HG22	A:158:TRP:CD1	0.423
205	A:98:ALA:HB1	A:153:PHE:CE1	0.422
205	A:67:PHE:O	A:71:VAL:HG23	0.421
205	A:81:ASN:OD1	A:83:LYS:HG3	0.420
205	A:24:TYR:HE1	A:35:LYS:HB3	0.415
205	A:121:LEU:HD21	A:129:ALA:HB1	0.409
205	A:6:MET:HB2	A:158:TRP:HZ3	0.408
205	A:139:TYR:CE1	A:150:ILE:HD12	0.408
205	A:85:LYS:HD2	A:88:TYR:HB3	0.406
205	A:6:MET:HE1	A:98:ALA:HA	0.402
206	A:16:LYS:HG2	A:57:VAL:HG22	1.183
206	A:1:MET:HE3	A:6:MET:HB2	1.124
206	A:94:VAL:HG12	A:152:THR:HG23	1.092
206	A:16:LYS:CG	A:57:VAL:HG22	0.801
206	A:94:VAL:CG1	A:152:THR:HG23	0.786

Model ID	Atom-1	Atom-2	Clash overlap (Å)
206	A:79:LEU:HD22	A:85:LYS:HG3	0.771
206	A:94:VAL:HG12	A:152:THR:CG2	0.753
206	A:124:LYS:HG2	A:126:TRP:CZ2	0.745
206	A:102:MET:HE3	A:138:TRP:CZ3	0.723
206	A:79:LEU:HA	A:85:LYS:HG3	0.706
206	A:46:LEU:HD23	A:50:ILE:HD13	0.701
206	A:3:ILE:SG	A:97:ALA:SG	0.691
206	A:16:LYS:HG2	A:57:VAL:CG2	0.679
206	A:1:MET:CE	A:6:MET:HB2	0.668
206	A:103:VAL:HG22	A:111:VAL:HG21	0.655
206	A:45:GLU:HA	A:48:LYS:HB2	0.654
206	A:98:ALA:HB1	A:153:PHE:CE1	0.650
206	A:102:MET:HE1	A:133:LEU:HG	0.647
206	A:1:MET:HE3	A:6:MET:CB	0.646
206	A:82:ALA:HA	A:86:PRO:HD2	0.637
206	A:97:ALA:HA	A:100:ILE:HD12	0.620
206	A:93:ALA:HA	A:96:ARG:HB2	0.593
206	A:6:MET:HG3	A:161:TYR:CE2	0.585
206	A:14:ARG:HB3	A:18:TYR:CE1	0.583
206	A:79:LEU:HD22	A:85:LYS:CG	0.572
206	A:10:ASP:HB3	A:145:ARG:HG3	0.563
206	A:121:LEU:HG	A:126:TRP:HZ3	0.557
206	A:50:ILE:HG21	A:54:THR:SG	0.556

Model ID	Atom-1	Atom-2	Clash overlap (Å)
206	A:151:THR:HG23	A:154:ARG:HH12	0.547
206	A:123:GLN:HG2	A:125:ARG:HG2	0.543
206	A:1:MET:CG	A:5:GLU:HB2	0.541
206	A:7:LEU:HD12	A:29:ILE:HG22	0.541
206	A:7:LEU:HD13	A:11:GLU:HB3	0.541
206	A:1:MET:HE2	A:158:TRP:CZ3	0.540
206	A:85:LYS:HA	A:88:TYR:HB2	0.536
206	A:1:MET:CE	A:158:TRP:CZ3	0.531
206	A:67:PHE:HA	A:70:ASP:HB3	0.528
206	A:14:ARG:CB	A:18:TYR:CE1	0.523
206	A:17:ILE:HG22	A:25:TYR:CD1	0.518
206	A:6:MET:HE2	A:101:ASN:HD22	0.516
206	A:102:MET:HE1	A:133:LEU:CG	0.516
206	A:88:TYR:HD1	A:96:ARG:HG2	0.514
206	A:98:ALA:HB1	A:153:PHE:HE1	0.506
206	A:17:ILE:CG2	A:25:TYR:CD1	0.502
206	A:83:LYS:HD2	A:84:LEU:CD1	0.502
206	A:17:ILE:HG22	A:25:TYR:HD1	0.500
206	A:93:ALA:HA	A:96:ARG:HD2	0.496
206	A:98:ALA:CB	A:153:PHE:HE1	0.493
206	A:102:MET:HE1	A:133:LEU:HB3	0.487
206	A:1:MET:HG3	A:5:GLU:HB2	0.486
206	A:106:MET:HE2	A:138:TRP:CG	0.479

Model ID	Atom-1	Atom-2	Clash overlap (Å)
206	A:97:ALA:HA	A:100:ILE:HB	0.475
206	A:98:ALA:CB	A:153:PHE:CE1	0.469
206	A:79:LEU:HG	A:85:LYS:NZ	0.465
206	A:83:LYS:HD2	A:84:LEU:HD12	0.465
206	A:25:TYR:O	A:33:LEU:HB2	0.464
206	A:29:ILE:HB	A:67:PHE:CE1	0.458
206	A:94:VAL:HG22	A:158:TRP:CD1	0.458
206	A:81:ASN:HB3	A:84:LEU:HB2	0.457
206	A:18:TYR:CE1	A:27:ILE:HA	0.455
206	A:17:ILE:CG2	A:25:TYR:HD1	0.439
206	A:50:ILE:HD11	A:66:LEU:HD11	0.437
206	A:75:VAL:O	A:79:LEU:HB2	0.437
206	A:102:MET:HE2	A:106:MET:HE1	0.437
206	A:6:MET:SD	A:158:TRP:CH2	0.437
206	A:88:TYR:CD1	A:96:ARG:HG2	0.434
206	A:76:ARG:O	A:80:ARG:HB2	0.431
206	A:127:ASP:O	A:131:VAL:HG23	0.430
206	A:139:TYR:CD1	A:146:ALA:HB1	0.429
206	A:81:ASN:OD1	A:83:LYS:HG3	0.428
206	A:103:VAL:HG22	A:111:VAL:CG2	0.428
206	A:3:ILE:SG	A:100:ILE:HG21	0.427
206	A:145:ARG:O	A:149:VAL:HG23	0.425
206	A:97:ALA:O	A:100:ILE:HB	0.423

Model ID	Atom-1	Atom-2	Clash overlap (Å)
206	A:144:ASN:O	A:148:ARG:HG3	0.420
206	A:67:PHE:CE2	A:71:VAL:CG2	0.419
206	A:93:ALA:O	A:96:ARG:HB2	0.419
206	A:94:VAL:HG21	A:157:THR:HA	0.417
206	A:25:TYR:HB3	A:33:LEU:HD12	0.416
206	A:102:MET:HE3	A:138:TRP:CE3	0.414
206	A:31:HIS:HA	A:70:ASP:OD1	0.413
206	A:6:MET:HB2	A:158:TRP:HZ3	0.411
206	A:32:LEU:HA	A:32:LEU:HD12	0.410
206	A:85:LYS:HB3	A:85:LYS:HE2	0.410
206	A:99:LEU:HD12	A:153:PHE:CE1	0.404
206	A:94:VAL:HG11	A:157:THR:N	0.403
206	A:120:MET:O	A:123:GLN:HB3	0.403
206	A:24:TYR:HB3	A:32:LEU:HD11	0.402
206	A:46:LEU:HA	A:46:LEU:HD12	0.402
207	A:1:MET:HG3	A:5:GLU:HB2	1.013
207	A:124:LYS:HG2	A:126:TRP:CZ2	0.901
207	A:1:MET:HE2	A:158:TRP:CE3	0.755
207	A:50:ILE:HG22	A:52:ARG:H	0.727
207	A:14:ARG:HB3	A:18:TYR:CE1	0.714
207	A:3:ILE:SG	A:97:ALA:SG	0.703
207	A:102:MET:HE3	A:138:TRP:CZ3	0.700
207	A:139:TYR:HD1	A:146:ALA:HB1	0.673

Model ID	Atom-1	Atom-2	Clash overlap (Å)
207	A:124:LYS:HG2	A:126:TRP:HZ2	0.658
207	A:79:LEU:CD2	A:85:LYS:HG3	0.653
207	A:106:MET:HE2	A:138:TRP:CG	0.639
207	A:103:VAL:HG22	A:111:VAL:HG21	0.615
207	A:114:PHE:HB3	A:117:SER:HB2	0.610
207	A:75:VAL:HG13	A:79:LEU:HD13	0.605
207	A:79:LEU:HD22	A:85:LYS:HG3	0.600
207	A:50:ILE:HG21	A:54:THR:SG	0.584
207	A:16:LYS:HG3	A:57:VAL:HG22	0.569
207	A:116:ASN:HB3	A:120:MET:HE2	0.567
207	A:14:ARG:HB3	A:18:TYR:HE1	0.566
207	A:1:MET:HG3	A:5:GLU:CB	0.564
207	A:78:ILE:HG22	A:79:LEU:HD12	0.553
207	A:6:MET:HG3	A:161:TYR:CE2	0.550
207	A:1:MET:HB2	A:5:GLU:HG3	0.547
207	A:29:ILE:HD13	A:67:PHE:CG	0.543
207	A:1:MET:HE2	A:158:TRP:CZ3	0.527
207	A:8:ARG:HB2	A:13:LEU:HD13	0.523
207	A:148:ARG:HB3	A:161:TYR:CE1	0.523
207	A:121:LEU:HG	A:126:TRP:HZ3	0.522
207	A:102:MET:HE1	A:133:LEU:HG	0.520
207	A:4:PHE:CZ	A:64:GLU:HG2	0.517
207	A:151:THR:HG21	A:160:ALA:HB1	0.503

Model ID	Atom-1	Atom-2	Clash overlap (Å)
207	A:43:LYS:HD2	A:47:ASP:OD2	0.494
207	A:97:ALA:HA	A:100:ILE:HD12	0.493
207	A:17:ILE:HD11	A:46:LEU:HB3	0.484
207	A:24:TYR:HE1	A:35:LYS:CB	0.482
207	A:139:TYR:HD1	A:146:ALA:CB	0.478
207	A:14:ARG:CB	A:18:TYR:CE1	0.462
207	A:116:ASN:O	A:120:MET:HG2	0.460
207	A:22:GLU:HB2	A:105:GLN:HE22	0.458
207	A:94:VAL:HG22	A:158:TRP:NE1	0.458
207	A:29:ILE:HB	A:67:PHE:CD1	0.455
207	A:123:GLN:HG3	A:125:ARG:CG	0.452
207	A:33:LEU:HD13	A:42:ALA:C	0.449
207	A:79:LEU:O	A:85:LYS:HD3	0.448
207	A:16:LYS:HA	A:56:GLY:O	0.447
207	A:98:ALA:CB	A:153:PHE:CE1	0.447
207	A:17:ILE:CG2	A:25:TYR:HD1	0.444
207	A:33:LEU:HD13	A:42:ALA:HB1	0.442
207	A:151:THR:HG21	A:160:ALA:CB	0.440
207	A:127:ASP:O	A:131:VAL:HG23	0.438
207	A:26:THR:HA	A:31:HIS:O	0.437
207	A:79:LEU:HD23	A:85:LYS:HG3	0.434
207	A:6:MET:HE1	A:98:ALA:HA	0.433
207	A:75:VAL:O	A:79:LEU:HB2	0.432

Model ID	Atom-1	Atom-2	Clash overlap (Å)
207	A:27:ILE:HG22	A:31:HIS:HB3	0.431
207	A:7:LEU:HD21	A:104:PHE:HE1	0.428
207	A:97:ALA:O	A:100:ILE:HB	0.428
207	A:105:GLN:HG2	A:138:TRP:CD1	0.426
207	A:102:MET:CE	A:133:LEU:HG	0.420
207	A:79:LEU:HA	A:79:LEU:HD23	0.415
207	A:93:ALA:HA	A:96:ARG:HB2	0.415
207	A:1:MET:CE	A:158:TRP:CE3	0.415
207	A:24:TYR:HE1	A:35:LYS:HB2	0.414
207	A:98:ALA:HB1	A:153:PHE:CE1	0.413
207	A:24:TYR:CE1	A:35:LYS:HB3	0.411
207	A:7:LEU:HD11	A:104:PHE:CD1	0.409
207	A:4:PHE:HE1	A:29:ILE:HD13	0.409
207	A:13:LEU:HD23	A:29:ILE:HG13	0.406
207	A:14:ARG:HA	A:14:ARG:HD3	0.403
207	A:24:TYR:CE1	A:35:LYS:CB	0.401
208	A:130:ALA:HB1	A:150:ILE:HG23	1.094
208	A:14:ARG:HB2	A:18:TYR:HE1	1.059
208	A:17:ILE:HD12	A:43:LYS:HD3	1.049
208	A:14:ARG:HB2	A:18:TYR:CE1	0.940
208	A:17:ILE:HG12	A:27:ILE:HG22	0.923
208	A:27:ILE:HG13	A:31:HIS:HB3	0.921
208	A:106:MET:SD	A:114:PHE:HE1	0.879

Model ID	Atom-1	Atom-2	Clash overlap (Å)
208	A:151:THR:HG21	A:160:ALA:HB2	0.863
208	A:17:ILE:CG1	A:27:ILE:HG22	0.853
208	A:130:ALA:HB1	A:150:ILE:CG2	0.814
208	A:130:ALA:CB	A:150:ILE:HG23	0.793
208	A:58:ILE:HD12	A:63:ALA:HB2	0.789
208	A:87:VAL:HG21	A:118:LEU:HD21	0.781
208	A:3:ILE:SG	A:97:ALA:SG	0.768
208	A:17:ILE:HD12	A:43:LYS:CD	0.763
208	A:114:PHE:HB3	A:117:SER:HB2	0.738
208	A:17:ILE:CD1	A:43:LYS:HD3	0.730
208	A:81:ASN:HB2	A:84:LEU:HB2	0.704
208	A:15:LEU:HA	A:28:GLY:HA2	0.696
208	A:151:THR:HG21	A:160:ALA:CB	0.692
208	A:16:LYS:CG	A:57:VAL:HG22	0.676
208	A:27:ILE:CG2	A:33:LEU:HD12	0.673
208	A:27:ILE:HG21	A:33:LEU:HD12	0.667
208	A:124:LYS:HG3	A:126:TRP:CZ2	0.667
208	A:14:ARG:CB	A:18:TYR:HE1	0.654
208	A:8:ARG:HD3	A:13:LEU:HD22	0.652
208	A:27:ILE:CG1	A:31:HIS:HB3	0.645
208	A:1:MET:CG	A:5:GLU:HB2	0.639
208	A:15:LEU:HD11	A:29:ILE:HG13	0.639
208	A:142:THR:HG21	A:145:ARG:HB2	0.634

Model ID	Atom-1	Atom-2	Clash overlap (Å)
208	A:75:VAL:HA	A:78:ILE:HG22	0.598
208	A:106:MET:SD	A:114:PHE:CE1	0.594
208	A:15:LEU:HB3	A:58:ILE:HG13	0.593
208	A:142:THR:CG2	A:145:ARG:HB2	0.574
208	A:16:LYS:HG2	A:57:VAL:HG22	0.573
208	A:148:ARG:HB3	A:161:TYR:CE1	0.565
208	A:1:MET:HG2	A:5:GLU:HB2	0.561
208	A:33:LEU:HG	A:46:LEU:HG	0.552
208	A:27:ILE:HG23	A:33:LEU:HB2	0.548
208	A:25:TYR:CE1	A:39:LEU:HD13	0.545
208	A:6:MET:SD	A:158:TRP:HZ3	0.545
208	A:124:LYS:CG	A:126:TRP:CZ2	0.537
208	A:17:ILE:HG12	A:27:ILE:CG2	0.535
208	A:25:TYR:CZ	A:39:LEU:HB2	0.519
208	A:133:LEU:HD22	A:138:TRP:CE3	0.516
208	A:8:ARG:HA	A:13:LEU:HD13	0.515
208	A:58:ILE:HD12	A:63:ALA:CB	0.515
208	A:25:TYR:CD1	A:39:LEU:HD13	0.514
208	A:7:LEU:HD22	A:30:GLY:HA3	0.513
208	A:6:MET:HG3	A:161:TYR:CE2	0.512
208	A:103:VAL:HG22	A:111:VAL:HG21	0.510
208	A:142:THR:HG22	A:145:ARG:H	0.510
208	A:13:LEU:HG	A:29:ILE:HG23	0.504

Model ID	Atom-1	Atom-2	Clash overlap (Å)
208	A:46:LEU:O	A:50:ILE:HD12	0.503
208	A:19:LYS:HB3	A:25:TYR:CE1	0.501
208	A:13:LEU:CG	A:29:ILE:HG23	0.487
208	A:4:PHE:CE1	A:29:ILE:HG21	0.481
208	A:1:MET:SD	A:6:MET:HB2	0.481
208	A:11:GLU:CD	A:26:THR:HG21	0.480
208	A:16:LYS:HG3	A:57:VAL:HA	0.472
208	A:17:ILE:HB	A:43:LYS:HD3	0.470
208	A:60:LYS:O	A:64:GLU:HB2	0.469
208	A:50:ILE:HG22	A:52:ARG:N	0.459
208	A:59:THR:OG1	A:62:GLU:HB3	0.457
208	A:91:LEU:HD22	A:95:ARG:HB3	0.456
208	A:15:LEU:HD22	A:60:LYS:HA	0.455
208	A:91:LEU:HD21	A:126:TRP:CZ3	0.452
208	A:17:ILE:HG13	A:27:ILE:HG22	0.450
208	A:143:PRO:O	A:147:LYS:HG3	0.449
208	A:13:LEU:HG	A:29:ILE:HA	0.448
208	A:81:ASN:HB3	A:83:LYS:HG2	0.448
208	A:81:ASN:CB	A:84:LEU:HB2	0.436
208	A:139:TYR:O	A:143:PRO:HD3	0.435
208	A:15:LEU:HD21	A:63:ALA:CB	0.434
208	A:94:VAL:HG11	A:156:GLY:HA2	0.433
208	A:79:LEU:HB2	A:84:LEU:HD12	0.432

Model ID	Atom-1	Atom-2	Clash overlap (Å)
208	A:1:MET:HG3	A:5:GLU:CB	0.430
208	A:50:ILE:HG21	A:54:THR:SG	0.426
208	A:39:LEU:HD11	A:43:LYS:HE3	0.422
208	A:16:LYS:HA	A:56:GLY:O	0.418
208	A:50:ILE:HG22	A:52:ARG:HB2	0.410
208	A:19:LYS:HD3	A:25:TYR:OH	0.408
208	A:25:TYR:OH	A:39:LEU:HB2	0.408
208	A:13:LEU:HD21	A:29:ILE:HG23	0.406
208	A:50:ILE:CG2	A:52:ARG:HB2	0.406
208	A:1:MET:HB3	A:158:TRP:NE1	0.402
208	A:42:ALA:O	A:46:LEU:HB2	0.402
209	A:130:ALA:HB1	A:150:ILE:HG23	1.126
209	A:27:ILE:HG23	A:33:LEU:HD12	0.954
209	A:58:ILE:HD12	A:63:ALA:HB2	0.900
209	A:124:LYS:HG3	A:126:TRP:CZ2	0.890
209	A:27:ILE:CG2	A:33:LEU:HD12	0.867
209	A:27:ILE:HG12	A:33:LEU:HB2	0.836
209	A:1:MET:HG2	A:5:GLU:HB2	0.826
209	A:27:ILE:HG13	A:31:HIS:HB3	0.814
209	A:14:ARG:HB3	A:18:TYR:HE1	0.767
209	A:58:ILE:HD12	A:63:ALA:CB	0.758
209	A:3:ILE:SG	A:97:ALA:SG	0.758
209	A:29:ILE:HD12	A:67:PHE:CE1	0.729

Model ID	Atom-1	Atom-2	Clash overlap (Å)
209	A:16:LYS:HG3	A:57:VAL:HG22	0.728
209	A:33:LEU:HD11	A:46:LEU:HG	0.723
209	A:103:VAL:HG22	A:111:VAL:HG21	0.721
209	A:7:LEU:HB2	A:13:LEU:HD12	0.710
209	A:106:MET:SD	A:114:PHE:CE1	0.691
209	A:14:ARG:HB3	A:18:TYR:CE1	0.690
209	A:1:MET:HG2	A:5:GLU:CB	0.683
209	A:79:LEU:HB3	A:85:LYS:HG3	0.682
209	A:25:TYR:CZ	A:39:LEU:HB2	0.657
209	A:17:ILE:HD12	A:43:LYS:HD3	0.656
209	A:19:LYS:HB3	A:25:TYR:CZ	0.653
209	A:106:MET:SD	A:114:PHE:HE1	0.638
209	A:114:PHE:HB3	A:117:SER:HB2	0.636
209	A:98:ALA:HB1	A:153:PHE:CZ	0.626
209	A:25:TYR:CE1	A:39:LEU:HD13	0.623
209	A:142:THR:HG22	A:145:ARG:H	0.614
209	A:133:LEU:HB3	A:138:TRP:HZ3	0.607
209	A:17:ILE:HB	A:43:LYS:HE3	0.600
209	A:142:THR:CG2	A:145:ARG:HB2	0.596
209	A:130:ALA:HB1	A:150:ILE:CG2	0.594
209	A:50:ILE:HG13	A:54:THR:SG	0.580
209	A:17:ILE:HG12	A:27:ILE:HG23	0.574
209	A:148:ARG:HB3	A:160:ALA:HB1	0.573

Model ID	Atom-1	Atom-2	Clash overlap (Å)
209	A:15:LEU:HD21	A:63:ALA:CB	0.557
209	A:13:LEU:HD21	A:29:ILE:HG23	0.547
209	A:22:GLU:HB2	A:24:TYR:CE2	0.546
209	A:15:LEU:HD11	A:29:ILE:HG13	0.543
209	A:87:VAL:HG21	A:118:LEU:HD22	0.540
209	A:25:TYR:CD1	A:39:LEU:HD13	0.535
209	A:27:ILE:HD13	A:33:LEU:HD23	0.534
209	A:105:GLN:HG2	A:138:TRP:HD1	0.531
209	A:1:MET:HE3	A:2:ASN:O	0.525
209	A:142:THR:HG21	A:145:ARG:HB2	0.525
209	A:6:MET:HE2	A:7:LEU:HD12	0.520
209	A:6:MET:SD	A:158:TRP:HH2	0.520
209	A:6:MET:SD	A:158:TRP:CH2	0.512
209	A:27:ILE:HG21	A:33:LEU:HD12	0.503
209	A:7:LEU:HD22	A:11:GLU:CB	0.498
209	A:102:MET:O	A:106:MET:HG2	0.490
209	A:1:MET:HE1	A:158:TRP:CH2	0.489
209	A:10:ASP:HB3	A:145:ARG:HG2	0.488
209	A:92:ASP:O	A:96:ARG:HB2	0.487
209	A:16:LYS:CG	A:57:VAL:HG22	0.483
209	A:132:ASN:OD1	A:133:LEU:HD12	0.483
209	A:137:ARG:HA	A:140:ASN:HD21	0.482
209	A:6:MET:HE1	A:97:ALA:O	0.474

Model ID	Atom-1	Atom-2	Clash overlap (Å)
209	A:124:LYS:CG	A:126:TRP:CZ2	0.474
209	A:6:MET:HG3	A:161:TYR:CE2	0.470
209	A:59:THR:OG1	A:62:GLU:HB3	0.470
209	A:17:ILE:HG13	A:27:ILE:HG22	0.468
209	A:24:TYR:HB2	A:32:LEU:HD11	0.465
209	A:27:ILE:CG1	A:31:HIS:HB3	0.460
209	A:7:LEU:HD22	A:11:GLU:HB2	0.458
209	A:7:LEU:HG	A:104:PHE:CE2	0.457
209	A:150:ILE:HA	A:153:PHE:HD2	0.456
209	A:95:ARG:HD3	A:126:TRP:CD1	0.455
209	A:139:TYR:O	A:143:PRO:HD3	0.455
209	A:67:PHE:CE2	A:71:VAL:HG21	0.448
209	A:91:LEU:HD11	A:99:LEU:HD13	0.447
209	A:19:LYS:HB3	A:25:TYR:CE1	0.444
209	A:33:LEU:CD1	A:46:LEU:HG	0.444
209	A:96:ARG:HG3	A:100:ILE:HD12	0.444
209	A:73:ALA:O	A:76:ARG:HG3	0.443
209	A:93:ALA:O	A:96:ARG:HB3	0.443
209	A:15:LEU:HD12	A:28:GLY:C	0.438
209	A:15:LEU:HA	A:28:GLY:HA2	0.434
209	A:33:LEU:HD21	A:46:LEU:HG	0.430
209	A:33:LEU:HD11	A:46:LEU:CG	0.428
209	A:2:ASN:OD1	A:4:PHE:HB2	0.422

Model ID	Atom-1	Atom-2	Clash overlap (Å)
209	A:98:ALA:O	A:102:MET:HG3	0.418
209	A:17:ILE:HG12	A:27:ILE:CG2	0.417
209	A:1:MET:HE1	A:158:TRP:CZ2	0.414
209	A:133:LEU:HA	A:133:LEU:HD23	0.412
209	A:27:ILE:HG23	A:33:LEU:CD1	0.409
209	A:158:TRP:HZ3	A:161:TYR:HE2	0.406
209	A:13:LEU:HA	A:30:GLY:H	0.403
209	A:105:GLN:HB2	A:145:ARG:NH2	0.400
210	A:130:ALA:HB1	A:150:ILE:HG23	1.139
210	A:79:LEU:HD23	A:85:LYS:HG3	1.067
210	A:1:MET:HG3	A:5:GLU:HB2	1.010
210	A:29:ILE:HD13	A:67:PHE:HB2	0.950
210	A:50:ILE:HG21	A:54:THR:SG	0.899
210	A:33:LEU:HD13	A:42:ALA:HB1	0.893
210	A:27:ILE:HG21	A:46:LEU:HD11	0.863
210	A:1:MET:HG3	A:5:GLU:CB	0.858
210	A:97:ALA:HB3	A:158:TRP:HH2	0.831
210	A:79:LEU:CD2	A:85:LYS:HG3	0.821
210	A:78:ILE:HD11	A:84:LEU:HD22	0.812
210	A:17:ILE:HG21	A:25:TYR:HD1	0.807
210	A:130:ALA:CB	A:150:ILE:HG23	0.775
210	A:27:ILE:HG21	A:46:LEU:CD1	0.741
210	A:102:MET:HE3	A:138:TRP:CZ3	0.732

Model ID	Atom-1	Atom-2	Clash overlap (Å)
210	A:130:ALA:HB1	A:150:ILE:CG2	0.729
210	A:102:MET:HE1	A:133:LEU:HB3	0.701
210	A:103:VAL:HG22	A:111:VAL:HG21	0.692
210	A:139:TYR:HD1	A:146:ALA:HB1	0.685
210	A:6:MET:HE1	A:98:ALA:HA	0.682
210	A:3:ILE:SG	A:97:ALA:SG	0.678
210	A:1:MET:HE2	A:158:TRP:CE3	0.677
210	A:124:LYS:HG2	A:126:TRP:CZ2	0.676
210	A:98:ALA:HB1	A:153:PHE:CE1	0.663
210	A:17:ILE:CG2	A:25:TYR:HD1	0.649
210	A:29:ILE:HD13	A:67:PHE:CB	0.638
210	A:106:MET:SD	A:114:PHE:HE1	0.633
210	A:139:TYR:HD1	A:146:ALA:CB	0.614
210	A:46:LEU:HG	A:56:GLY:HA2	0.613
210	A:106:MET:SD	A:114:PHE:CE1	0.595
210	A:29:ILE:HD11	A:63:ALA:HB1	0.593
210	A:16:LYS:CG	A:57:VAL:HG22	0.587
210	A:14:ARG:HB2	A:18:TYR:CE1	0.581
210	A:88:TYR:HE1	A:100:ILE:HD11	0.568
210	A:81:ASN:HB3	A:84:LEU:HB2	0.566
210	A:29:ILE:CD1	A:67:PHE:HB2	0.565
210	A:50:ILE:HG22	A:52:ARG:H	0.554
210	A:27:ILE:HG22	A:31:HIS:HB3	0.551

Model ID	Atom-1	Atom-2	Clash overlap (Å)
210	A:6:MET:HB2	A:158:TRP:CZ3	0.540
210	A:102:MET:HE1	A:133:LEU:CG	0.534
210	A:97:ALA:HB3	A:158:TRP:CH2	0.533
210	A:1:MET:CE	A:158:TRP:CE3	0.531
210	A:97:ALA:HA	A:100:ILE:HB	0.531
210	A:102:MET:HE1	A:133:LEU:CB	0.530
210	A:17:ILE:CG2	A:25:TYR:CD1	0.528
210	A:22:GLU:CB	A:24:TYR:CE2	0.528
210	A:14:ARG:CB	A:18:TYR:CE1	0.526
210	A:16:LYS:HG2	A:57:VAL:HG22	0.525
210	A:14:ARG:HB2	A:18:TYR:HE1	0.524
210	A:33:LEU:HD13	A:42:ALA:CB	0.521
210	A:6:MET:HG3	A:161:TYR:CE2	0.512
210	A:27:ILE:CG2	A:46:LEU:HD11	0.509
210	A:79:LEU:HD22	A:85:LYS:HE2	0.508
210	A:124:LYS:HG2	A:126:TRP:HZ2	0.507
210	A:127:ASP:O	A:131:VAL:HG23	0.505
210	A:102:MET:HE1	A:133:LEU:HG	0.504
210	A:22:GLU:HB2	A:24:TYR:CE2	0.501
210	A:102:MET:SD	A:133:LEU:HG	0.498
210	A:94:VAL:HG12	A:152:THR:CG2	0.496
210	A:9:ILE:HD13	A:161:TYR:HB3	0.495
210	A:11:GLU:HB2	A:29:ILE:O	0.495

Model ID	Atom-1	Atom-2	Clash overlap (Å)
210	A:102:MET:HE3	A:138:TRP:CH2	0.495
210	A:46:LEU:O	A:50:ILE:HG12	0.494
210	A:5:GLU:O	A:9:ILE:HD12	0.493
210	A:25:TYR:HB3	A:33:LEU:HD12	0.489
210	A:102:MET:HE2	A:106:MET:HE1	0.485
210	A:152:THR:HG23	A:157:THR:O	0.485
210	A:16:LYS:HG3	A:57:VAL:HG22	0.483
210	A:58:ILE:HD12	A:63:ALA:HB2	0.475
210	A:7:LEU:HD21	A:104:PHE:HE1	0.472
210	A:5:GLU:O	A:8:ARG:HB3	0.471
210	A:158:TRP:O	A:162:LYS:HG2	0.471
210	A:50:ILE:CG2	A:54:THR:SG	0.468
210	A:6:MET:O	A:10:ASP:HB2	0.460
210	A:34:THR:HG21	A:41:ALA:HB3	0.459
210	A:1:MET:HB2	A:5:GLU:HG3	0.456
210	A:94:VAL:HA	A:158:TRP:CZ2	0.453
210	A:3:ILE:SG	A:100:ILE:HD13	0.452
210	A:7:LEU:HD12	A:11:GLU:HG3	0.451
210	A:88:TYR:CE1	A:100:ILE:HD11	0.450
210	A:22:GLU:HB3	A:24:TYR:CE2	0.447
210	A:106:MET:HE3	A:138:TRP:CD2	0.441
210	A:58:ILE:HB	A:62:GLU:HB3	0.432
210	A:4:PHE:HD1	A:67:PHE:CD2	0.432

Model ID	Atom-1	Atom-2	Clash overlap (Å)
210	A:101:ASN:O	A:104:PHE:HB2	0.431
210	A:16:LYS:HA	A:56:GLY:O	0.430
210	A:78:ILE:HG13	A:84:LEU:HB3	0.428
210	A:1:MET:HE2	A:158:TRP:CZ3	0.425
210	A:106:MET:HE3	A:138:TRP:CG	0.422
210	A:102:MET:HE2	A:106:MET:CE	0.421
210	A:94:VAL:HG12	A:152:THR:HG22	0.420
210	A:4:PHE:CE1	A:64:GLU:HA	0.418
210	A:7:LEU:HD11	A:104:PHE:CD1	0.417
210	A:33:LEU:HB3	A:42:ALA:HA	0.417
210	A:26:THR:HA	A:31:HIS:O	0.416
210	A:116:ASN:HB3	A:120:MET:HE1	0.413
210	A:83:LYS:HD2	A:84:LEU:CD1	0.411
210	A:7:LEU:HB3	A:29:ILE:HG22	0.401
210	A:50:ILE:HD13	A:66:LEU:HD13	0.400
211	A:103:VAL:HG22	A:111:VAL:HG21	0.968
211	A:1:MET:HG3	A:5:GLU:HB2	0.912
211	A:103:VAL:HG22	A:111:VAL:CG2	0.865
211	A:124:LYS:HG2	A:126:TRP:CZ2	0.842
211	A:88:TYR:CE1	A:96:ARG:HG2	0.741
211	A:102:MET:HE3	A:138:TRP:CZ3	0.720
211	A:81:ASN:HB3	A:84:LEU:HB2	0.711
211	A:1:MET:HE2	A:158:TRP:CZ3	0.696

Model ID	Atom-1	Atom-2	Clash overlap (Å)
211	A:50:ILE:HG21	A:54:THR:SG	0.683
211	A:1:MET:HG3	A:5:GLU:CB	0.681
211	A:3:ILE:SG	A:97:ALA:SG	0.681
211	A:79:LEU:HD23	A:85:LYS:CG	0.665
211	A:16:LYS:HG3	A:57:VAL:HG13	0.650
211	A:1:MET:HE3	A:6:MET:HB2	0.644
211	A:102:MET:HE1	A:133:LEU:HB3	0.635
211	A:27:ILE:HD11	A:58:ILE:HD11	0.634
211	A:50:ILE:HD12	A:65:LYS:HZ3	0.631
211	A:3:ILE:SG	A:100:ILE:HD13	0.625
211	A:83:LYS:HD3	A:118:LEU:HG	0.621
211	A:93:ALA:HA	A:96:ARG:HB2	0.616
211	A:102:MET:HE2	A:106:MET:HE1	0.609
211	A:14:ARG:HB3	A:18:TYR:CE1	0.601
211	A:79:LEU:HD23	A:85:LYS:HG2	0.601
211	A:3:ILE:SG	A:100:ILE:HG21	0.590
211	A:58:ILE:HB	A:62:GLU:HB3	0.575
211	A:98:ALA:CB	A:153:PHE:HE1	0.569
211	A:105:GLN:HG2	A:138:TRP:HD1	0.558
211	A:97:ALA:HA	A:100:ILE:HD12	0.557
211	A:98:ALA:HB1	A:153:PHE:CE1	0.540
211	A:106:MET:HE2	A:138:TRP:CG	0.536
211	A:79:LEU:HD23	A:85:LYS:HG3	0.522

Model ID	Atom-1	Atom-2	Clash overlap (Å)
211	A:88:TYR:CE1	A:96:ARG:CG	0.512
211	A:43:LYS:HE3	A:55:ASN:HA	0.509
211	A:58:ILE:CD1	A:63:ALA:HB2	0.506
211	A:67:PHE:O	A:71:VAL:HG23	0.505
211	A:45:GLU:HA	A:48:LYS:HE2	0.502
211	A:7:LEU:HD12	A:29:ILE:HG22	0.501
211	A:6:MET:HE2	A:161:TYR:CZ	0.500
211	A:78:ILE:CD1	A:84:LEU:HD22	0.497
211	A:1:MET:CE	A:158:TRP:CZ3	0.489
211	A:116:ASN:O	A:120:MET:HG2	0.486
211	A:14:ARG:HD3	A:18:TYR:CZ	0.485
211	A:14:ARG:CB	A:18:TYR:CE1	0.479
211	A:4:PHE:HE1	A:29:ILE:CD1	0.476
211	A:79:LEU:HA	A:85:LYS:HG3	0.473
211	A:58:ILE:HD11	A:63:ALA:HB2	0.472
211	A:121:LEU:HD22	A:129:ALA:HB2	0.472
211	A:13:LEU:HD23	A:29:ILE:CG1	0.471
211	A:50:ILE:HG22	A:52:ARG:H	0.470
211	A:46:LEU:O	A:50:ILE:HG12	0.468
211	A:24:TYR:CD1	A:35:LYS:HA	0.464
211	A:102:MET:CE	A:106:MET:HE1	0.464
211	A:94:VAL:HG11	A:157:THR:N	0.462
211	A:88:TYR:HE1	A:96:ARG:HG2	0.462

Model ID	Atom-1	Atom-2	Clash overlap (Å)
211	A:127:ASP:O	A:131:VAL:HG23	0.462
211	A:115:THR:O	A:119:ARG:HG3	0.459
211	A:16:LYS:HG3	A:57:VAL:HG22	0.456
211	A:29:ILE:HB	A:67:PHE:CD1	0.456
211	A:12:GLY:C	A:13:LEU:HD12	0.455
211	A:29:ILE:HD12	A:67:PHE:CD2	0.454
211	A:15:LEU:O	A:58:ILE:HG13	0.454
211	A:45:GLU:HA	A:48:LYS:HB2	0.452
211	A:103:VAL:HG22	A:111:VAL:HG22	0.451
211	A:94:VAL:HG12	A:152:THR:CG2	0.449
211	A:105:GLN:HG2	A:138:TRP:CD1	0.445
211	A:98:ALA:HB3	A:153:PHE:HE1	0.445
211	A:99:LEU:HD12	A:153:PHE:CE1	0.444
211	A:13:LEU:HD23	A:29:ILE:HG13	0.433
211	A:98:ALA:CB	A:153:PHE:CE1	0.433
211	A:97:ALA:O	A:100:ILE:HB	0.432
211	A:17:ILE:HG22	A:25:TYR:CD1	0.431
211	A:102:MET:HE3	A:138:TRP:CE3	0.424
211	A:65:LYS:HA	A:68:ASN:OD1	0.423
211	A:14:ARG:CB	A:18:TYR:HE1	0.422
211	A:14:ARG:HB3	A:18:TYR:HE1	0.420
211	A:33:LEU:CD1	A:42:ALA:HB1	0.418
211	A:139:TYR:HD1	A:146:ALA:HB1	0.417

Model ID	Atom-1	Atom-2	Clash overlap (Å)
211	A:78:ILE:HD11	A:84:LEU:HD22	0.413
211	A:143:PRO:O	A:147:LYS:HB2	0.413
211	A:6:MET:HG3	A:161:TYR:CE2	0.411
211	A:4:PHE:O	A:8:ARG:HB2	0.403
211	A:97:ALA:HA	A:100:ILE:HB	0.402
212	A:27:ILE:HD11	A:58:ILE:HG12	1.101
212	A:94:VAL:HG12	A:152:THR:HG23	0.968
212	A:16:LYS:HG3	A:57:VAL:HG22	0.900
212	A:27:ILE:HD11	A:58:ILE:CG1	0.865
212	A:124:LYS:HG2	A:126:TRP:CZ2	0.857
212	A:94:VAL:HG12	A:152:THR:CG2	0.777
212	A:102:MET:HE1	A:133:LEU:HB3	0.777
212	A:25:TYR:CE2	A:39:LEU:HB3	0.757
212	A:17:ILE:CG2	A:25:TYR:HD1	0.748
212	A:25:TYR:HB3	A:33:LEU:HD12	0.748
212	A:78:ILE:HG22	A:79:LEU:HD12	0.732
212	A:94:VAL:CG1	A:152:THR:HG23	0.723
212	A:14:ARG:HB3	A:18:TYR:CE1	0.700
212	A:3:ILE:SG	A:97:ALA:SG	0.693
212	A:21:THR:HG21	A:142:THR:HG23	0.692
212	A:38:SER:HB2	A:40:ASN:HB2	0.688
212	A:1:MET:HE2	A:158:TRP:CZ3	0.677
212	A:16:LYS:CG	A:57:VAL:HG22	0.672

Model ID	Atom-1	Atom-2	Clash overlap (Å)
212	A:27:ILE:CD1	A:58:ILE:HG12	0.662
212	A:1:MET:HG3	A:5:GLU:HB2	0.656
212	A:79:LEU:HA	A:85:LYS:HG3	0.656
212	A:142:THR:HG22	A:145:ARG:HB3	0.648
212	A:35:LYS:HE2	A:109:THR:HB	0.644
212	A:1:MET:HG3	A:5:GLU:CB	0.628
212	A:102:MET:CE	A:133:LEU:HG	0.624
212	A:102:MET:HE3	A:138:TRP:CZ3	0.623
212	A:102:MET:HE1	A:133:LEU:CB	0.615
212	A:6:MET:HG3	A:161:TYR:CE2	0.611
212	A:98:ALA:HB1	A:153:PHE:CE1	0.607
212	A:17:ILE:HG22	A:25:TYR:HD1	0.599
212	A:33:LEU:HD13	A:42:ALA:C	0.580
212	A:52:ARG:HB3	A:54:THR:SG	0.570
212	A:142:THR:HG21	A:145:ARG:HD2	0.563
212	A:1:MET:CG	A:5:GLU:HB2	0.541
212	A:50:ILE:HG21	A:54:THR:SG	0.540
212	A:67:PHE:CE2	A:71:VAL:HG21	0.540
212	A:14:ARG:CB	A:18:TYR:CE1	0.533
212	A:93:ALA:HA	A:96:ARG:HB2	0.524
212	A:102:MET:HE3	A:138:TRP:CH2	0.513
212	A:97:ALA:HA	A:100:ILE:HD12	0.509
212	A:34:THR:HG22	A:42:ALA:HB2	0.508

Model ID	Atom-1	Atom-2	Clash overlap (Å)
212	A:84:LEU:O	A:88:TYR:HB2	0.505
212	A:94:VAL:HG22	A:158:TRP:CD1	0.501
212	A:120:MET:O	A:123:GLN:HB3	0.500
212	A:24:TYR:HE2	A:105:GLN:HG3	0.492
212	A:18:TYR:HE2	A:20:ASP:HB3	0.488
212	A:106:MET:HE3	A:138:TRP:CD2	0.488
212	A:2:ASN:OD1	A:5:GLU:HG2	0.487
212	A:1:MET:CE	A:158:TRP:CZ3	0.481
212	A:91:LEU:HD11	A:126:TRP:CH2	0.479
212	A:94:VAL:HG11	A:157:THR:C	0.473
212	A:7:LEU:HD13	A:11:GLU:HG3	0.471
212	A:127:ASP:O	A:131:VAL:HG23	0.470
212	A:139:TYR:HD1	A:146:ALA:HB1	0.470
212	A:29:ILE:HD13	A:67:PHE:CD2	0.465
212	A:79:LEU:HD22	A:85:LYS:HD3	0.458
212	A:102:MET:HE1	A:133:LEU:HG	0.454
212	A:78:ILE:HD12	A:88:TYR:CE2	0.452
212	A:102:MET:CE	A:133:LEU:HB3	0.447
212	A:17:ILE:HG12	A:33:LEU:HD21	0.446
212	A:17:ILE:HD13	A:33:LEU:HD11	0.441
212	A:1:MET:CE	A:6:MET:HB2	0.439
212	A:6:MET:HE1	A:98:ALA:HA	0.439
212	A:94:VAL:HG11	A:157:THR:O	0.439

Model ID	Atom-1	Atom-2	Clash overlap (Å)
212	A:15:LEU:HD23	A:59:THR:HA	0.437
212	A:124:LYS:HG2	A:126:TRP:HZ2	0.435
212	A:25:TYR:C	A:33:LEU:HD23	0.433
212	A:14:ARG:HB3	A:18:TYR:HE1	0.428
212	A:130:ALA:HB1	A:150:ILE:CG2	0.428
212	A:97:ALA:HA	A:100:ILE:HB	0.425
212	A:87:VAL:HG12	A:91:LEU:HD13	0.419
212	A:65:LYS:HA	A:68:ASN:HD21	0.418
212	A:18:TYR:CE2	A:20:ASP:HB3	0.417
212	A:21:THR:O	A:141:GLN:HG3	0.415
212	A:4:PHE:CE1	A:29:ILE:HD13	0.411
212	A:85:LYS:HB3	A:85:LYS:HE2	0.411
212	A:17:ILE:HD11	A:46:LEU:HG	0.410
212	A:33:LEU:HG	A:46:LEU:HD13	0.409
212	A:62:GLU:O	A:66:LEU:HD23	0.409
212	A:6:MET:HE2	A:101:ASN:HD22	0.408
212	A:19:LYS:HD2	A:23:GLY:O	0.407
212	A:1:MET:HE2	A:6:MET:HB2	0.403
212	A:25:TYR:HE2	A:39:LEU:HB3	0.401
212	A:17:ILE:HG21	A:25:TYR:HD1	0.401
213	A:16:LYS:HG2	A:57:VAL:HG22	1.109
213	A:17:ILE:HD12	A:43:LYS:HD3	1.105
213	A:27:ILE:HG23	A:33:LEU:HD12	0.946

Model ID	Atom-1	Atom-2	Clash overlap (Å)
213	A:10:ASP:HB3	A:145:ARG:HG2	0.917
213	A:130:ALA:HB1	A:150:ILE:HG23	0.864
213	A:24:TYR:HB2	A:32:LEU:HD11	0.853
213	A:27:ILE:CG2	A:33:LEU:HD12	0.852
213	A:106:MET:SD	A:114:PHE:HE1	0.842
213	A:16:LYS:CG	A:57:VAL:HG22	0.831
213	A:130:ALA:HB1	A:150:ILE:CG2	0.786
213	A:34:THR:HG21	A:42:ALA:HB1	0.770
213	A:58:ILE:HD12	A:63:ALA:CB	0.763
213	A:17:ILE:HD12	A:43:LYS:CD	0.762
213	A:34:THR:HG21	A:42:ALA:CB	0.735
213	A:3:ILE:SG	A:97:ALA:SG	0.714
213	A:1:MET:HG2	A:5:GLU:HB2	0.708
213	A:87:VAL:CG1	A:118:LEU:HD21	0.695
213	A:87:VAL:HG11	A:118:LEU:HD21	0.695
213	A:24:TYR:CB	A:32:LEU:HD11	0.672
213	A:39:LEU:HD11	A:43:LYS:HE3	0.661
213	A:87:VAL:HG11	A:118:LEU:HD11	0.661
213	A:13:LEU:HG	A:29:ILE:CG2	0.659
213	A:27:ILE:HG13	A:31:HIS:HB3	0.658
213	A:6:MET:SD	A:158:TRP:CH2	0.658
213	A:106:MET:SD	A:114:PHE:CE1	0.648
213	A:13:LEU:HG	A:29:ILE:HG23	0.636

Model ID	Atom-1	Atom-2	Clash overlap (Å)
213	A:24:TYR:HB2	A:32:LEU:CD1	0.636
213	A:27:ILE:HG12	A:33:LEU:HB2	0.636
213	A:97:ALA:HA	A:100:ILE:HD12	0.623
213	A:93:ALA:HA	A:96:ARG:HB2	0.619
213	A:6:MET:SD	A:158:TRP:HH2	0.618
213	A:10:ASP:HB3	A:145:ARG:CG	0.617
213	A:102:MET:HB3	A:106:MET:HE3	0.613
213	A:98:ALA:HB1	A:153:PHE:CZ	0.603
213	A:67:PHE:CE2	A:71:VAL:HG21	0.599
213	A:1:MET:HG2	A:5:GLU:CB	0.597
213	A:150:ILE:HA	A:153:PHE:HD2	0.594
213	A:133:LEU:HB3	A:138:TRP:HZ3	0.593
213	A:106:MET:HE2	A:138:TRP:CG	0.589
213	A:124:LYS:HG3	A:126:TRP:CZ2	0.583
213	A:25:TYR:CZ	A:39:LEU:HB2	0.560
213	A:27:ILE:HD13	A:33:LEU:HD23	0.547
213	A:130:ALA:CB	A:150:ILE:HG23	0.538
213	A:84:LEU:HD21	A:99:LEU:HD21	0.536
213	A:14:ARG:HB3	A:18:TYR:HE1	0.535
213	A:4:PHE:CZ	A:29:ILE:HD13	0.530
213	A:25:TYR:CE1	A:39:LEU:HD13	0.526
213	A:133:LEU:HD22	A:138:TRP:CE3	0.525
213	A:98:ALA:O	A:102:MET:HG3	0.512

Model ID	Atom-1	Atom-2	Clash overlap (Å)
213	A:114:PHE:CE2	A:133:LEU:HD21	0.510
213	A:121:LEU:HD21	A:129:ALA:HB2	0.510
213	A:132:ASN:OD1	A:133:LEU:HD12	0.510
213	A:15:LEU:HD23	A:63:ALA:HB1	0.496
213	A:4:PHE:HZ	A:29:ILE:HD13	0.493
213	A:58:ILE:HD12	A:63:ALA:HB1	0.493
213	A:67:PHE:CZ	A:71:VAL:HG21	0.491
213	A:4:PHE:CE2	A:13:LEU:HD21	0.490
213	A:120:MET:O	A:123:GLN:HB3	0.490
213	A:142:THR:HB	A:145:ARG:HB2	0.489
213	A:7:LEU:CD2	A:11:GLU:HB2	0.486
213	A:25:TYR:CD1	A:39:LEU:HD13	0.478
213	A:13:LEU:HA	A:29:ILE:HG23	0.474
213	A:88:TYR:CD1	A:99:LEU:HD22	0.474
213	A:58:ILE:HD12	A:63:ALA:HB2	0.473
213	A:24:TYR:HD1	A:35:LYS:HA	0.467
213	A:59:THR:OG1	A:62:GLU:HB3	0.467
213	A:6:MET:HG3	A:161:TYR:CE2	0.466
213	A:87:VAL:HG12	A:118:LEU:HD21	0.465
213	A:15:LEU:HD23	A:63:ALA:CB	0.458
213	A:121:LEU:HG	A:126:TRP:CE3	0.455
213	A:102:MET:O	A:106:MET:HG2	0.447
213	A:117:SER:O	A:121:LEU:HD23	0.447

Model ID	Atom-1	Atom-2	Clash overlap (Å)
213	A:14:ARG:O	A:15:LEU:HD12	0.446
213	A:137:ARG:HA	A:140:ASN:HD21	0.445
213	A:7:LEU:HD22	A:11:GLU:HB2	0.442
213	A:19:LYS:HB3	A:25:TYR:CZ	0.442
213	A:86:PRO:O	A:89:ASP:HB2	0.442
213	A:15:LEU:CD2	A:63:ALA:HB1	0.439
213	A:6:MET:SD	A:158:TRP:CZ3	0.439
213	A:15:LEU:HB3	A:58:ILE:HG13	0.434
213	A:12:GLY:C	A:13:LEU:HD12	0.433
213	A:4:PHE:CZ	A:13:LEU:HD21	0.431
213	A:17:ILE:CG1	A:27:ILE:HG22	0.430
213	A:17:ILE:HG12	A:27:ILE:CG2	0.429
213	A:13:LEU:HG	A:29:ILE:HG21	0.425
213	A:14:ARG:HB3	A:18:TYR:CE1	0.424
213	A:97:ALA:O	A:100:ILE:HB	0.424
213	A:111:VAL:HA	A:114:PHE:HD1	0.423
213	A:1:MET:HE1	A:158:TRP:CH2	0.419
213	A:139:TYR:O	A:143:PRO:HD3	0.418
213	A:19:LYS:HB3	A:25:TYR:CE1	0.417
213	A:50:ILE:HG13	A:54:THR:SG	0.416
213	A:133:LEU:HD22	A:138:TRP:CZ3	0.416
213	A:50:ILE:HG22	A:52:ARG:H	0.415
213	A:102:MET:HG2	A:138:TRP:CZ2	0.412

Model ID	Atom-1	Atom-2	Clash overlap (Å)
213	A:158:TRP:HZ3	A:161:TYR:HE2	0.409
213	A:79:LEU:O	A:85:LYS:HG3	0.405
213	A:12:GLY:O	A:13:LEU:HD12	0.404
213	A:2:ASN:O	A:5:GLU:HB2	0.403
213	A:91:LEU:HD21	A:126:TRP:CZ3	0.403
213	A:46:LEU:O	A:50:ILE:HG12	0.400
214	A:130:ALA:HB1	A:150:ILE:HG23	1.028
214	A:27:ILE:HG23	A:33:LEU:HD12	0.946
214	A:27:ILE:CG2	A:33:LEU:HD12	0.870
214	A:58:ILE:HD12	A:63:ALA:HB2	0.862
214	A:106:MET:SD	A:114:PHE:HE1	0.862
214	A:1:MET:HG2	A:5:GLU:HB2	0.852
214	A:124:LYS:HG3	A:126:TRP:CZ2	0.850
214	A:27:ILE:HG12	A:33:LEU:HB2	0.821
214	A:130:ALA:CB	A:150:ILE:HG23	0.813
214	A:3:ILE:SG	A:97:ALA:SG	0.768
214	A:25:TYR:CE1	A:39:LEU:HD13	0.767
214	A:15:LEU:HD11	A:29:ILE:HG13	0.741
214	A:9:ILE:HD13	A:161:TYR:HB3	0.740
214	A:1:MET:HE1	A:158:TRP:CE3	0.735
214	A:106:MET:SD	A:114:PHE:CE1	0.724
214	A:87:VAL:HG11	A:118:LEU:CD2	0.722
214	A:133:LEU:HB3	A:138:TRP:HZ3	0.722

Model ID	Atom-1	Atom-2	Clash overlap (Å)
214	A:6:MET:HG3	A:161:TYR:CE2	0.711
214	A:106:MET:HE2	A:138:TRP:CG	0.711
214	A:9:ILE:CD1	A:161:TYR:HB3	0.704
214	A:16:LYS:CG	A:57:VAL:HG22	0.691
214	A:73:ALA:HA	A:76:ARG:HD2	0.669
214	A:84:LEU:HD21	A:111:VAL:HG12	0.669
214	A:13:LEU:HG	A:29:ILE:HG23	0.651
214	A:16:LYS:HG2	A:57:VAL:HG22	0.649
214	A:10:ASP:HA	A:148:ARG:HH21	0.624
214	A:19:LYS:HB3	A:25:TYR:CZ	0.608
214	A:133:LEU:HB3	A:138:TRP:CZ3	0.605
214	A:1:MET:CG	A:5:GLU:HB2	0.603
214	A:103:VAL:HG22	A:111:VAL:HG21	0.602
214	A:27:ILE:HG13	A:31:HIS:HB3	0.597
214	A:1:MET:HG2	A:5:GLU:CB	0.594
214	A:6:MET:SD	A:158:TRP:HZ3	0.588
214	A:15:LEU:HD21	A:63:ALA:CB	0.586
214	A:87:VAL:HG11	A:118:LEU:HD21	0.586
214	A:67:PHE:CE2	A:71:VAL:HG21	0.576
214	A:102:MET:SD	A:153:PHE:CZ	0.570
214	A:8:ARG:HA	A:13:LEU:HD13	0.567
214	A:158:TRP:HE3	A:161:TYR:CE2	0.563
214	A:102:MET:HB3	A:106:MET:HE3	0.549

Model ID	Atom-1	Atom-2	Clash overlap (Å)
214	A:4:PHE:CE2	A:13:LEU:HD21	0.546
214	A:102:MET:HG2	A:138:TRP:CZ2	0.530
214	A:27:ILE:HD13	A:33:LEU:HD23	0.528
214	A:102:MET:SD	A:153:PHE:HZ	0.527
214	A:1:MET:CE	A:158:TRP:CE3	0.525
214	A:84:LEU:HD11	A:111:VAL:HG11	0.525
214	A:58:ILE:HD12	A:63:ALA:CB	0.520
214	A:46:LEU:O	A:50:ILE:HD12	0.519
214	A:27:ILE:HG21	A:33:LEU:HD12	0.518
214	A:114:PHE:HB3	A:117:SER:HB2	0.511
214	A:50:ILE:HG22	A:52:ARG:H	0.506
214	A:33:LEU:HD11	A:46:LEU:HG	0.498
214	A:15:LEU:HD21	A:63:ALA:HB2	0.490
214	A:130:ALA:HB1	A:150:ILE:CG2	0.481
214	A:88:TYR:CE1	A:99:LEU:HD22	0.477
214	A:88:TYR:HE1	A:99:LEU:HD22	0.474
214	A:50:ILE:HG21	A:54:THR:SG	0.473
214	A:98:ALA:O	A:102:MET:HG3	0.470
214	A:116:ASN:HB3	A:120:MET:HE1	0.469
214	A:95:ARG:HG2	A:153:PHE:CD1	0.468
214	A:7:LEU:HD22	A:11:GLU:HB2	0.466
214	A:6:MET:HE1	A:97:ALA:O	0.464
214	A:105:GLN:OE1	A:141:GLN:HG2	0.462

Model ID	Atom-1	Atom-2	Clash overlap (Å)
214	A:158:TRP:HE3	A:161:TYR:HE2	0.459
214	A:25:TYR:CD1	A:39:LEU:HD13	0.457
214	A:67:PHE:CE2	A:71:VAL:CG2	0.453
214	A:95:ARG:HG2	A:153:PHE:HD1	0.452
214	A:106:MET:HE2	A:138:TRP:CD2	0.451
214	A:139:TYR:O	A:143:PRO:HD3	0.451
214	A:50:ILE:HG22	A:52:ARG:N	0.450
214	A:99:LEU:HG	A:102:MET:SD	0.450
214	A:142:THR:HG21	A:145:ARG:HB2	0.448
214	A:74:ALA:O	A:78:ILE:HD12	0.445
214	A:79:LEU:HD22	A:81:ASN:HB2	0.444
214	A:16:LYS:HG2	A:57:VAL:CG2	0.440
214	A:158:TRP:CE3	A:161:TYR:HE2	0.440
214	A:111:VAL:HA	A:114:PHE:CD1	0.439
214	A:17:ILE:HG12	A:27:ILE:HG23	0.438
214	A:9:ILE:HD12	A:161:TYR:HB3	0.438
214	A:33:LEU:CD1	A:46:LEU:HG	0.436
214	A:10:ASP:HB3	A:145:ARG:HG3	0.434
214	A:102:MET:O	A:106:MET:HG2	0.434
214	A:16:LYS:HA	A:56:GLY:O	0.433
214	A:59:THR:OG1	A:62:GLU:HB3	0.433
214	A:11:GLU:OE1	A:30:GLY:HA3	0.428
214	A:117:SER:O	A:121:LEU:HD23	0.428

Model ID	Atom-1	Atom-2	Clash overlap (Å)
214	A:19:LYS:HB3	A:25:TYR:CE1	0.427
214	A:33:LEU:HD11	A:46:LEU:HB3	0.426
214	A:73:ALA:O	A:76:ARG:HG2	0.419
214	A:101:ASN:O	A:104:PHE:HB2	0.418
214	A:79:LEU:HD23	A:81:ASN:HD22	0.417
214	A:25:TYR:OH	A:39:LEU:HB2	0.416
214	A:15:LEU:O	A:57:VAL:HA	0.416
214	A:114:PHE:O	A:117:SER:HB2	0.414
214	A:142:THR:HG21	A:145:ARG:CB	0.414
214	A:107:GLY:O	A:111:VAL:HG23	0.412
214	A:95:ARG:O	A:99:LEU:HB2	0.409
214	A:124:LYS:HG3	A:126:TRP:CH2	0.409
214	A:46:LEU:HA	A:46:LEU:HD23	0.408
214	A:42:ALA:O	A:46:LEU:HB2	0.407
214	A:15:LEU:CD2	A:63:ALA:HB2	0.404
214	A:142:THR:CG2	A:145:ARG:HB3	0.403
215	A:27:ILE:HG21	A:46:LEU:HD11	1.135
215	A:102:MET:HE1	A:133:LEU:HB3	1.003
215	A:98:ALA:HB3	A:153:PHE:CE1	0.939
215	A:14:ARG:HB3	A:18:TYR:HE1	0.865
215	A:103:VAL:HG22	A:111:VAL:HG22	0.809
215	A:124:LYS:HG2	A:126:TRP:CZ2	0.796
215	A:102:MET:HE3	A:138:TRP:CZ3	0.783

Model ID	Atom-1	Atom-2	Clash overlap (Å)
215	A:27:ILE:HG21	A:46:LEU:CD1	0.755
215	A:17:ILE:CG2	A:25:TYR:HD1	0.732
215	A:81:ASN:HB3	A:84:LEU:HB2	0.717
215	A:17:ILE:HG21	A:25:TYR:HD1	0.710
215	A:3:ILE:SG	A:97:ALA:SG	0.695
215	A:46:LEU:HD23	A:50:ILE:HD13	0.691
215	A:102:MET:HE1	A:133:LEU:CB	0.691
215	A:15:LEU:HD22	A:58:ILE:HG13	0.687
215	A:27:ILE:HD12	A:46:LEU:HD21	0.671
215	A:25:TYR:HB3	A:33:LEU:HD12	0.663
215	A:58:ILE:HD12	A:63:ALA:HB2	0.662
215	A:17:ILE:HD11	A:46:LEU:HG	0.659
215	A:14:ARG:CB	A:18:TYR:HE1	0.659
215	A:106:MET:HE2	A:138:TRP:CG	0.650
215	A:14:ARG:HB3	A:18:TYR:CE1	0.643
215	A:1:MET:CG	A:5:GLU:HB2	0.631
215	A:94:VAL:HG13	A:158:TRP:CE2	0.631
215	A:124:LYS:HG2	A:126:TRP:HZ2	0.630
215	A:103:VAL:CG2	A:111:VAL:HG22	0.621
215	A:79:LEU:CD2	A:85:LYS:HG3	0.601
215	A:123:GLN:HG2	A:125:ARG:HG3	0.597
215	A:22:GLU:HB3	A:24:TYR:CE2	0.595
215	A:22:GLU:HB3	A:24:TYR:HE2	0.593

Model ID	Atom-1	Atom-2	Clash overlap (Å)
215	A:103:VAL:HG22	A:111:VAL:CG2	0.591
215	A:1:MET:HE2	A:6:MET:HB2	0.590
215	A:78:ILE:HG13	A:84:LEU:HB3	0.588
215	A:46:LEU:HD22	A:56:GLY:HA2	0.577
215	A:83:LYS:HD3	A:84:LEU:HD12	0.577
215	A:33:LEU:HD13	A:42:ALA:C	0.576
215	A:1:MET:HG2	A:5:GLU:HB2	0.566
215	A:102:MET:HE2	A:106:MET:HE1	0.563
215	A:29:ILE:HD11	A:67:PHE:HB2	0.539
215	A:30:GLY:HA3	A:104:PHE:CG	0.538
215	A:17:ILE:HG21	A:25:TYR:CD1	0.524
215	A:139:TYR:HD1	A:146:ALA:HB1	0.521
215	A:86:PRO:HA	A:89:ASP:HB2	0.520
215	A:1:MET:HE1	A:158:TRP:CE3	0.519
215	A:84:LEU:HD11	A:115:THR:HB	0.517
215	A:31:HIS:HA	A:70:ASP:CG	0.503
215	A:13:LEU:O	A:15:LEU:HD12	0.499
215	A:132:ASN:OD1	A:135:LYS:HD2	0.498
215	A:29:ILE:CD1	A:67:PHE:HB2	0.495
215	A:6:MET:HG3	A:161:TYR:CE2	0.493
215	A:44:SER:O	A:48:LYS:HB2	0.489
215	A:102:MET:HB3	A:106:MET:HE3	0.487
215	A:13:LEU:CD2	A:29:ILE:HG13	0.486

Model ID	Atom-1	Atom-2	Clash overlap (Å)
215	A:102:MET:HG2	A:138:TRP:CZ2	0.483
215	A:94:VAL:O	A:97:ALA:HB3	0.482
215	A:50:ILE:HG21	A:54:THR:SG	0.481
215	A:17:ILE:HG12	A:27:ILE:HB	0.477
215	A:59:THR:H	A:62:GLU:HB2	0.474
215	A:102:MET:HE3	A:138:TRP:CE3	0.472
215	A:94:VAL:HG13	A:158:TRP:CZ2	0.471
215	A:16:LYS:HG2	A:57:VAL:HG22	0.470
215	A:6:MET:HB2	A:158:TRP:CZ3	0.467
215	A:30:GLY:HA3	A:104:PHE:CD2	0.464
215	A:102:MET:HE3	A:138:TRP:CH2	0.463
215	A:7:LEU:HG	A:29:ILE:HG22	0.462
215	A:8:ARG:HG3	A:13:LEU:HD13	0.462
215	A:79:LEU:HD23	A:85:LYS:HG3	0.458
215	A:72:ASP:O	A:75:VAL:HB	0.457
215	A:7:LEU:HG	A:104:PHE:CE1	0.456
215	A:16:LYS:HA	A:56:GLY:O	0.456
215	A:3:ILE:SG	A:97:ALA:HA	0.455
215	A:13:LEU:HD21	A:29:ILE:HG13	0.454
215	A:34:THR:HG21	A:41:ALA:HB3	0.451
215	A:52:ARG:HB3	A:54:THR:SG	0.448
215	A:127:ASP:O	A:131:VAL:HG23	0.443
215	A:7:LEU:CB	A:29:ILE:HG22	0.441

Model ID	Atom-1	Atom-2	Clash overlap (Å)
215	A:14:ARG:CZ	A:18:TYR:HD1	0.436
215	A:100:ILE:HG23	A:104:PHE:CZ	0.436
215	A:27:ILE:HG22	A:31:HIS:HD2	0.431
215	A:19:LYS:HD2	A:25:TYR:OH	0.425
215	A:58:ILE:HD12	A:63:ALA:CB	0.421
215	A:102:MET:HE1	A:133:LEU:CG	0.421
215	A:8:ARG:O	A:12:GLY:HA2	0.413
215	A:14:ARG:CB	A:18:TYR:CE1	0.413
215	A:91:LEU:HB3	A:96:ARG:HB2	0.412
215	A:67:PHE:O	A:71:VAL:HG23	0.405
215	A:33:LEU:HB3	A:42:ALA:HA	0.404
215	A:59:THR:OG1	A:62:GLU:HB2	0.403
216	A:50:ILE:HD11	A:66:LEU:HD11	1.095
216	A:103:VAL:HG22	A:111:VAL:HG21	1.073
216	A:130:ALA:HB1	A:150:ILE:HG23	0.952
216	A:1:MET:HG3	A:5:GLU:HB2	0.908
216	A:1:MET:HE2	A:158:TRP:CE3	0.891
216	A:16:LYS:HG3	A:57:VAL:HG22	0.879
216	A:102:MET:HE2	A:106:MET:HE1	0.859
216	A:50:ILE:HD11	A:66:LEU:CD1	0.841
216	A:139:TYR:HD1	A:146:ALA:HB1	0.825
216	A:14:ARG:HB3	A:18:TYR:CE1	0.811
216	A:124:LYS:HG2	A:126:TRP:CZ2	0.766

Model ID	Atom-1	Atom-2	Clash overlap (Å)
216	A:4:PHE:CZ	A:64:GLU:HG2	0.725
216	A:102:MET:HE1	A:133:LEU:HB3	0.725
216	A:50:ILE:CD1	A:66:LEU:HD11	0.718
216	A:27:ILE:HG21	A:46:LEU:HD11	0.708
216	A:14:ARG:HB3	A:18:TYR:HE1	0.703
216	A:102:MET:HE3	A:138:TRP:CZ3	0.691
216	A:3:ILE:SG	A:97:ALA:SG	0.684
216	A:7:LEU:HA	A:10:ASP:HB2	0.678
216	A:139:TYR:CD1	A:146:ALA:HB1	0.658
216	A:106:MET:HE2	A:138:TRP:CG	0.653
216	A:46:LEU:HD23	A:50:ILE:HD13	0.642
216	A:79:LEU:CD2	A:85:LYS:HG3	0.628
216	A:1:MET:HE2	A:158:TRP:CZ3	0.625
216	A:1:MET:HG3	A:5:GLU:CB	0.624
216	A:16:LYS:CG	A:57:VAL:HG22	0.611
216	A:58:ILE:CD1	A:63:ALA:HB2	0.606
216	A:103:VAL:CG2	A:111:VAL:HG21	0.600
216	A:58:ILE:HB	A:62:GLU:HB3	0.577
216	A:7:LEU:HG	A:104:PHE:HE1	0.568
216	A:102:MET:HB3	A:106:MET:HE3	0.558
216	A:17:ILE:HD11	A:46:LEU:HG	0.556
216	A:45:GLU:CD	A:48:LYS:HE2	0.555
216	A:1:MET:HE2	A:158:TRP:CD2	0.554

Model ID	Atom-1	Atom-2	Clash overlap (Å)
216	A:33:LEU:HD13	A:42:ALA:C	0.553
216	A:1:MET:HB2	A:5:GLU:HG3	0.549
216	A:50:ILE:HG21	A:54:THR:SG	0.544
216	A:114:PHE:HB3	A:117:SER:HB2	0.537
216	A:50:ILE:HG22	A:52:ARG:H	0.526
216	A:148:ARG:HB3	A:161:TYR:CE1	0.515
216	A:139:TYR:CD1	A:146:ALA:CB	0.514
216	A:29:ILE:CD1	A:67:PHE:HB2	0.512
216	A:6:MET:HG3	A:161:TYR:CE2	0.500
216	A:111:VAL:HA	A:114:PHE:HD1	0.498
216	A:67:PHE:HE1	A:104:PHE:HZ	0.498
216	A:124:LYS:HG2	A:126:TRP:CH2	0.489
216	A:27:ILE:HG21	A:46:LEU:CD1	0.486
216	A:79:LEU:HD23	A:85:LYS:HG3	0.483
216	A:50:ILE:HG22	A:52:ARG:N	0.478
216	A:102:MET:HE3	A:138:TRP:CH2	0.478
216	A:8:ARG:HA	A:13:LEU:HD13	0.475
216	A:87:VAL:HG21	A:118:LEU:HD21	0.468
216	A:7:LEU:HG	A:104:PHE:CE1	0.466
216	A:59:THR:OG1	A:62:GLU:HB2	0.465
216	A:33:LEU:HD13	A:42:ALA:HB1	0.464
216	A:120:MET:HG3	A:128:GLU:HB2	0.461
216	A:45:GLU:HA	A:48:LYS:HD3	0.459

Model ID	Atom-1	Atom-2	Clash overlap (Å)
216	A:139:TYR:HD1	A:146:ALA:CB	0.459
216	A:128:GLU:HA	A:131:VAL:HG23	0.457
216	A:4:PHE:CE2	A:64:GLU:HG2	0.456
216	A:94:VAL:HG22	A:158:TRP:NE1	0.454
216	A:27:ILE:CD1	A:58:ILE:HG12	0.451
216	A:106:MET:HE2	A:138:TRP:CD2	0.449
216	A:130:ALA:HB2	A:153:PHE:HB3	0.447
216	A:101:ASN:O	A:104:PHE:HB2	0.446
216	A:2:ASN:OD1	A:4:PHE:HB2	0.444
216	A:27:ILE:HG22	A:31:HIS:HB3	0.443
216	A:26:THR:HA	A:31:HIS:O	0.439
216	A:80:ARG:HH21	A:112:ALA:HB1	0.437
216	A:31:HIS:HA	A:70:ASP:OD2	0.434
216	A:83:LYS:O	A:118:LEU:HD21	0.434
216	A:15:LEU:O	A:27:ILE:HD11	0.430
216	A:151:THR:HG21	A:160:ALA:HB1	0.430
216	A:16:LYS:HA	A:56:GLY:O	0.428
216	A:17:ILE:CG2	A:25:TYR:HD1	0.428
216	A:98:ALA:CB	A:153:PHE:CE1	0.427
216	A:87:VAL:HG22	A:122:GLN:CD	0.426
216	A:15:LEU:O	A:58:ILE:HG13	0.424
216	A:29:ILE:HD12	A:67:PHE:HB2	0.423
216	A:116:ASN:HB2	A:132:ASN:CG	0.415

Model ID	Atom-1	Atom-2	Clash overlap (Å)
216	A:4:PHE:CZ	A:29:ILE:HD11	0.412
216	A:78:ILE:HG21	A:88:TYR:CD2	0.408
216	A:33:LEU:CD1	A:42:ALA:HB1	0.405
216	A:14:ARG:CB	A:18:TYR:CE1	0.404
216	A:67:PHE:O	A:71:VAL:HG23	0.403
216	A:46:LEU:HA	A:46:LEU:HD12	0.402
217	A:130:ALA:HB1	A:150:ILE:HG23	1.116
217	A:17:ILE:HD12	A:43:LYS:HD3	1.111
217	A:15:LEU:HD11	A:29:ILE:HG13	1.090
217	A:58:ILE:HD12	A:63:ALA:HB2	0.957
217	A:17:ILE:HG12	A:27:ILE:HG22	0.860
217	A:106:MET:SD	A:114:PHE:HE1	0.857
217	A:17:ILE:HD12	A:43:LYS:CD	0.854
217	A:27:ILE:CG2	A:33:LEU:HD12	0.852
217	A:6:MET:HG3	A:161:TYR:CE2	0.850
217	A:15:LEU:HD11	A:29:ILE:CG1	0.841
217	A:16:LYS:HG2	A:57:VAL:HG22	0.810
217	A:9:ILE:HD12	A:161:TYR:HB3	0.785
217	A:17:ILE:CG1	A:27:ILE:HG22	0.778
217	A:16:LYS:CG	A:57:VAL:HG22	0.762
217	A:3:ILE:SG	A:97:ALA:SG	0.751
217	A:142:THR:HG21	A:145:ARG:HD3	0.740
217	A:130:ALA:HB1	A:150:ILE:CG2	0.734

Model ID	Atom-1	Atom-2	Clash overlap (Å)
217	A:17:ILE:CD1	A:43:LYS:HD3	0.716
217	A:58:ILE:HD12	A:63:ALA:CB	0.714
217	A:10:ASP:HB3	A:145:ARG:HG2	0.705
217	A:13:LEU:HG	A:29:ILE:HG23	0.699
217	A:106:MET:SD	A:114:PHE:CE1	0.663
217	A:27:ILE:HG23	A:33:LEU:HD12	0.661
217	A:79:LEU:HD21	A:84:LEU:HB3	0.656
217	A:17:ILE:HG12	A:27:ILE:CG2	0.643
217	A:142:THR:CG2	A:145:ARG:HB2	0.633
217	A:19:LYS:HB3	A:25:TYR:CE1	0.632
217	A:79:LEU:HD13	A:108:GLU:HG2	0.624
217	A:27:ILE:HG21	A:33:LEU:HD12	0.620
217	A:14:ARG:HB2	A:18:TYR:CE1	0.612
217	A:87:VAL:HG21	A:118:LEU:HD23	0.588
217	A:150:ILE:HA	A:153:PHE:HD2	0.586
217	A:91:LEU:HB3	A:96:ARG:HA	0.580
217	A:14:ARG:HB2	A:18:TYR:HE1	0.570
217	A:27:ILE:HG13	A:31:HIS:HB3	0.567
217	A:6:MET:SD	A:158:TRP:HZ3	0.559
217	A:25:TYR:CE1	A:39:LEU:HD13	0.558
217	A:9:ILE:CD1	A:161:TYR:HB3	0.554
217	A:15:LEU:HB3	A:58:ILE:HG13	0.552
217	A:1:MET:CG	A:5:GLU:HB2	0.549

Model ID	Atom-1	Atom-2	Clash overlap (Å)
217	A:106:MET:HE2	A:138:TRP:CG	0.547
217	A:1:MET:HE1	A:158:TRP:CE3	0.540
217	A:102:MET:HE3	A:138:TRP:CH2	0.537
217	A:7:LEU:HD22	A:11:GLU:HB2	0.530
217	A:19:LYS:HB3	A:25:TYR:CZ	0.528
217	A:1:MET:HG2	A:5:GLU:HB2	0.520
217	A:25:TYR:CD1	A:39:LEU:HD13	0.520
217	A:25:TYR:CZ	A:39:LEU:HB2	0.519
217	A:91:LEU:HD11	A:99:LEU:HD13	0.514
217	A:121:LEU:C	A:124:LYS:H	0.511
217	A:15:LEU:CD1	A:29:ILE:HG13	0.506
217	A:148:ARG:HB3	A:161:TYR:CE1	0.501
217	A:6:MET:HE1	A:97:ALA:O	0.495
217	A:133:LEU:HB3	A:138:TRP:HZ3	0.490
217	A:50:ILE:HG13	A:54:THR:SG	0.486
217	A:142:THR:HG21	A:145:ARG:HB2	0.485
217	A:10:ASP:O	A:145:ARG:HD2	0.485
217	A:50:ILE:HB	A:52:ARG:H	0.479
217	A:10:ASP:HB3	A:145:ARG:CG	0.475
217	A:102:MET:HE1	A:133:LEU:HG	0.474
217	A:1:MET:CE	A:158:TRP:CE3	0.472
217	A:8:ARG:HA	A:13:LEU:HB2	0.464
217	A:41:ALA:O	A:45:GLU:HB2	0.464

Model ID	Atom-1	Atom-2	Clash overlap (Å)
217	A:59:THR:OG1	A:62:GLU:HB3	0.460
217	A:106:MET:HE2	A:138:TRP:CD1	0.454
217	A:79:LEU:HD23	A:81:ASN:HB2	0.451
217	A:46:LEU:O	A:50:ILE:HG12	0.449
217	A:6:MET:HG3	A:161:TYR:CZ	0.447
217	A:98:ALA:O	A:102:MET:HG3	0.444
217	A:116:ASN:HB3	A:120:MET:HE1	0.435
217	A:10:ASP:CB	A:145:ARG:HG2	0.435
217	A:101:ASN:O	A:104:PHE:HB2	0.434
217	A:6:MET:HE3	A:7:LEU:HD12	0.433
217	A:133:LEU:HD22	A:138:TRP:CZ3	0.433
217	A:4:PHE:CZ	A:29:ILE:HG12	0.427
217	A:127:ASP:O	A:131:VAL:HG23	0.426
217	A:142:THR:HG22	A:145:ARG:HB2	0.418
217	A:42:ALA:O	A:46:LEU:HB2	0.417
217	A:84:LEU:HD11	A:111:VAL:HG11	0.417
217	A:81:ASN:HB3	A:84:LEU:HB2	0.415
217	A:158:TRP:HE3	A:161:TYR:CE2	0.410
217	A:27:ILE:HG23	A:33:LEU:HB2	0.406
217	A:133:LEU:HB3	A:138:TRP:CZ3	0.403
217	A:7:LEU:HA	A:7:LEU:HD23	0.402
217	A:97:ALA:O	A:100:ILE:HB	0.401
217	A:102:MET:HG2	A:138:TRP:CZ2	0.401

Model ID	Atom-1	Atom-2	Clash overlap (Å)
217	A:25:TYR:OH	A:39:LEU:HB2	0.400
218	A:1:MET:HG3	A:5:GLU:HB2	1.063
218	A:102:MET:HE2	A:106:MET:HE1	0.923
218	A:102:MET:HE1	A:133:LEU:HG	0.900
218	A:124:LYS:HG3	A:126:TRP:CZ2	0.895
218	A:94:VAL:HG12	A:152:THR:HG23	0.873
218	A:16:LYS:HG2	A:57:VAL:HG22	0.868
218	A:1:MET:HE2	A:158:TRP:CZ3	0.867
218	A:139:TYR:HD1	A:146:ALA:HB1	0.822
218	A:1:MET:HG3	A:5:GLU:CB	0.810
218	A:79:LEU:HD22	A:85:LYS:HE3	0.785
218	A:102:MET:HE2	A:106:MET:CE	0.751
218	A:94:VAL:HG12	A:152:THR:CG2	0.749
218	A:78:ILE:HG23	A:88:TYR:HD2	0.744
218	A:1:MET:HE2	A:158:TRP:CE3	0.723
218	A:75:VAL:HG13	A:79:LEU:HD13	0.705
218	A:139:TYR:CD1	A:146:ALA:HB1	0.699
218	A:102:MET:HE3	A:138:TRP:CZ3	0.686
218	A:3:ILE:SG	A:97:ALA:SG	0.685
218	A:6:MET:HE1	A:98:ALA:HA	0.670
218	A:94:VAL:CG1	A:152:THR:HG23	0.669
218	A:102:MET:HE1	A:133:LEU:CG	0.665
218	A:102:MET:CE	A:106:MET:HE1	0.654

Model ID	Atom-1	Atom-2	Clash overlap (Å)
218	A:7:LEU:HD12	A:11:GLU:HG3	0.652
218	A:6:MET:HG3	A:161:TYR:CE2	0.643
218	A:19:LYS:HB3	A:23:GLY:HA2	0.643
218	A:111:VAL:HA	A:114:PHE:HB2	0.642
218	A:78:ILE:CG2	A:88:TYR:HD2	0.640
218	A:58:ILE:HD12	A:62:GLU:HB3	0.632
218	A:93:ALA:HA	A:96:ARG:HB2	0.632
218	A:102:MET:CE	A:133:LEU:HG	0.631
218	A:16:LYS:CG	A:57:VAL:HG22	0.604
218	A:102:MET:HE1	A:133:LEU:HB3	0.603
218	A:8:ARG:HG3	A:13:LEU:HD13	0.595
218	A:6:MET:HB2	A:158:TRP:HZ3	0.594
218	A:50:ILE:HG21	A:54:THR:SG	0.584
218	A:102:MET:HE1	A:133:LEU:CB	0.583
218	A:6:MET:HB2	A:158:TRP:CZ3	0.574
218	A:78:ILE:HG22	A:79:LEU:HD12	0.557
218	A:17:ILE:HD11	A:46:LEU:HG	0.554
218	A:15:LEU:HD11	A:60:LYS:HA	0.546
218	A:15:LEU:HD21	A:60:LYS:HD3	0.534
218	A:102:MET:HE3	A:138:TRP:CH2	0.533
218	A:94:VAL:HG22	A:158:TRP:CD1	0.527
218	A:24:TYR:HE1	A:35:LYS:HB2	0.518
218	A:139:TYR:CD1	A:146:ALA:CB	0.518

Model ID	Atom-1	Atom-2	Clash overlap (Å)
218	A:115:THR:HA	A:118:LEU:HB2	0.514
218	A:50:ILE:HD12	A:62:GLU:HG3	0.513
218	A:97:ALA:HA	A:100:ILE:HD12	0.509
218	A:127:ASP:O	A:131:VAL:HG23	0.507
218	A:87:VAL:HG11	A:122:GLN:HG3	0.506
218	A:14:ARG:CB	A:18:TYR:CE1	0.483
218	A:14:ARG:HB3	A:18:TYR:CE1	0.481
218	A:148:ARG:HB3	A:161:TYR:CE1	0.480
218	A:139:TYR:HD1	A:146:ALA:CB	0.478
218	A:79:LEU:HA	A:85:LYS:HG3	0.477
218	A:1:MET:CE	A:158:TRP:CE3	0.477
218	A:7:LEU:CD1	A:11:GLU:HG3	0.473
218	A:4:PHE:CE1	A:29:ILE:HD11	0.472
218	A:124:LYS:HG3	A:126:TRP:HZ2	0.472
218	A:72:ASP:O	A:76:ARG:HB2	0.470
218	A:97:ALA:HA	A:100:ILE:HB	0.462
218	A:78:ILE:HG23	A:88:TYR:CD2	0.454
218	A:88:TYR:CE2	A:96:ARG:HD3	0.454
218	A:99:LEU:HD13	A:121:LEU:HD11	0.452
218	A:34:THR:HG21	A:41:ALA:HB3	0.451
218	A:150:ILE:HA	A:153:PHE:CD2	0.450
218	A:6:MET:HE2	A:101:ASN:HD22	0.440
218	A:14:ARG:HB3	A:18:TYR:HE1	0.440

Model ID	Atom-1	Atom-2	Clash overlap (Å)
218	A:78:ILE:HD12	A:88:TYR:CD2	0.437
218	A:78:ILE:CG2	A:88:TYR:CD2	0.434
218	A:91:LEU:HD21	A:126:TRP:CH2	0.429
218	A:25:TYR:CE2	A:39:LEU:HB3	0.428
218	A:35:LYS:HE3	A:108:GLU:HB3	0.426
218	A:94:VAL:HG21	A:156:GLY:O	0.423
218	A:17:ILE:CG2	A:25:TYR:HD1	0.419
218	A:27:ILE:HG21	A:46:LEU:HD11	0.415
218	A:145:ARG:O	A:148:ARG:HB2	0.414
218	A:27:ILE:HB	A:33:LEU:HD21	0.403
218	A:27:ILE:HD11	A:58:ILE:HG12	0.401
219	A:103:VAL:HG22	A:111:VAL:HG21	1.097
219	A:17:ILE:HG22	A:25:TYR:HD1	0.937
219	A:4:PHE:CZ	A:64:GLU:HG3	0.886
219	A:139:TYR:HD1	A:146:ALA:HB1	0.878
219	A:17:ILE:HG22	A:25:TYR:CD1	0.837
219	A:1:MET:HE2	A:158:TRP:CE3	0.777
219	A:124:LYS:HG2	A:126:TRP:CZ2	0.772
219	A:3:ILE:SG	A:97:ALA:SG	0.726
219	A:79:LEU:CD2	A:85:LYS:HG3	0.719
219	A:16:LYS:HD2	A:57:VAL:HG13	0.716
219	A:103:VAL:HG22	A:111:VAL:CG2	0.710
219	A:3:ILE:SG	A:100:ILE:HD13	0.706

Model ID	Atom-1	Atom-2	Clash overlap (Å)
219	A:79:LEU:HD23	A:85:LYS:HG3	0.702
219	A:130:ALA:CB	A:150:ILE:HG23	0.666
219	A:39:LEU:HD12	A:42:ALA:HB3	0.655
219	A:139:TYR:CD1	A:146:ALA:HB1	0.652
219	A:79:LEU:HD22	A:85:LYS:HE3	0.642
219	A:15:LEU:HD23	A:16:LYS:HD3	0.624
219	A:124:LYS:HG2	A:126:TRP:HZ2	0.621
219	A:106:MET:HE2	A:138:TRP:CG	0.613
219	A:4:PHE:HZ	A:64:GLU:HG3	0.601
219	A:50:ILE:HG21	A:54:THR:SG	0.595
219	A:102:MET:HE3	A:138:TRP:CZ3	0.575
219	A:16:LYS:HB3	A:57:VAL:HA	0.574
219	A:3:ILE:SG	A:100:ILE:CD1	0.556
219	A:7:LEU:HB3	A:29:ILE:CG2	0.553
219	A:114:PHE:HB3	A:117:SER:HB2	0.550
219	A:151:THR:CG2	A:160:ALA:HB1	0.548
219	A:130:ALA:HB2	A:150:ILE:HG23	0.543
219	A:102:MET:SD	A:133:LEU:HG	0.536
219	A:102:MET:HE2	A:106:MET:HE1	0.534
219	A:6:MET:HB2	A:158:TRP:CZ3	0.528
219	A:17:ILE:CG2	A:25:TYR:CD1	0.525
219	A:102:MET:HE1	A:133:LEU:HB3	0.522
219	A:16:LYS:HB3	A:57:VAL:HG22	0.519

Model ID	Atom-1	Atom-2	Clash overlap (Å)
219	A:97:ALA:HA	A:100:ILE:HD12	0.519
219	A:7:LEU:HB3	A:29:ILE:HG22	0.518
219	A:151:THR:HG22	A:160:ALA:CB	0.518
219	A:50:ILE:HG23	A:52:ARG:HB2	0.516
219	A:6:MET:HG3	A:161:TYR:CE2	0.514
219	A:14:ARG:CB	A:18:TYR:CE1	0.513
219	A:103:VAL:CG2	A:111:VAL:HG21	0.511
219	A:27:ILE:HD13	A:58:ILE:HG12	0.498
219	A:15:LEU:O	A:58:ILE:HG13	0.496
219	A:102:MET:HE3	A:138:TRP:CH2	0.492
219	A:91:LEU:HD21	A:126:TRP:CZ3	0.484
219	A:14:ARG:HB3	A:18:TYR:CE1	0.483
219	A:102:MET:HE1	A:133:LEU:HG	0.483
219	A:1:MET:HG3	A:5:GLU:CB	0.479
219	A:33:LEU:HD13	A:42:ALA:C	0.478
219	A:16:LYS:HD2	A:57:VAL:HG22	0.477
219	A:24:TYR:HD1	A:35:LYS:HA	0.477
219	A:58:ILE:HB	A:62:GLU:HB3	0.477
219	A:148:ARG:HB3	A:161:TYR:CZ	0.472
219	A:27:ILE:HG22	A:33:LEU:HD21	0.471
219	A:117:SER:O	A:121:LEU:HD23	0.469
219	A:130:ALA:HB1	A:150:ILE:HG23	0.468
219	A:151:THR:HG21	A:160:ALA:HB1	0.468

Model ID	Atom-1	Atom-2	Clash overlap (Å)
219	A:77:GLY:O	A:80:ARG:HB2	0.464
219	A:79:LEU:HD22	A:85:LYS:HG3	0.464
219	A:80:ARG:HH22	A:108:GLU:HG2	0.458
219	A:148:ARG:HB3	A:161:TYR:CE1	0.457
219	A:67:PHE:CE2	A:71:VAL:CG2	0.455
219	A:1:MET:HB3	A:158:TRP:NE1	0.452
219	A:1:MET:HE2	A:158:TRP:CZ3	0.452
219	A:26:THR:HA	A:31:HIS:O	0.450
219	A:29:ILE:HB	A:67:PHE:CD1	0.449
219	A:1:MET:CE	A:158:TRP:CE3	0.449
219	A:130:ALA:HB1	A:150:ILE:CG2	0.445
219	A:121:LEU:CD2	A:129:ALA:HB1	0.443
219	A:115:THR:O	A:119:ARG:HG3	0.442
219	A:127:ASP:O	A:131:VAL:HG23	0.442
219	A:99:LEU:HD21	A:121:LEU:HD11	0.440
219	A:106:MET:HE2	A:138:TRP:CD2	0.439
219	A:1:MET:HG3	A:5:GLU:HG3	0.436
219	A:11:GLU:HB2	A:29:ILE:O	0.433
219	A:97:ALA:O	A:100:ILE:HB	0.431
219	A:101:ASN:O	A:104:PHE:HB2	0.431
219	A:123:GLN:HB3	A:125:ARG:HG3	0.430
219	A:1:MET:HB3	A:158:TRP:CD1	0.428
219	A:83:LYS:HD2	A:84:LEU:HD12	0.428

Model ID	Atom-1	Atom-2	Clash overlap (Å)
219	A:24:TYR:HB2	A:32:LEU:HD11	0.427
219	A:119:ARG:O	A:123:GLN:HB2	0.426
219	A:83:LYS:HD2	A:84:LEU:CD1	0.425
219	A:4:PHE:CE1	A:29:ILE:HD13	0.421
219	A:25:TYR:CE1	A:39:LEU:HD13	0.421
219	A:98:ALA:HB1	A:153:PHE:CE1	0.420
219	A:2:ASN:O	A:5:GLU:HB2	0.417
219	A:102:MET:HE1	A:133:LEU:CG	0.414
219	A:6:MET:O	A:10:ASP:HB2	0.413
219	A:94:VAL:HG22	A:158:TRP:NE1	0.413
219	A:151:THR:HG22	A:160:ALA:HB1	0.413
219	A:31:HIS:HA	A:70:ASP:OD2	0.411
219	A:78:ILE:CD1	A:84:LEU:HD22	0.410
219	A:139:TYR:CE1	A:150:ILE:HD12	0.408
219	A:81:ASN:OD1	A:84:LEU:HB2	0.404
219	A:17:ILE:N	A:27:ILE:HG13	0.403
219	A:47:ASP:CG	A:53:ASN:HA	0.402
219	A:1:MET:HE2	A:158:TRP:CD2	0.401
219	A:118:LEU:HA	A:121:LEU:HB2	0.401
220	A:17:ILE:HD12	A:43:LYS:HD3	1.085
220	A:16:LYS:HG2	A:57:VAL:HG22	1.055
220	A:124:LYS:HG3	A:126:TRP:CZ2	1.013
220	A:130:ALA:HB1	A:150:ILE:HG23	0.962

Model ID	Atom-1	Atom-2	Clash overlap (Å)
220	A:10:ASP:HB3	A:145:ARG:HG3	0.955
220	A:7:LEU:HD22	A:11:GLU:HB2	0.948
220	A:9:ILE:HD13	A:161:TYR:HB3	0.947
220	A:6:MET:HG3	A:161:TYR:CE2	0.944
220	A:17:ILE:HG12	A:27:ILE:HG22	0.878
220	A:29:ILE:HD12	A:67:PHE:HE1	0.877
220	A:58:ILE:HD12	A:63:ALA:HB2	0.858
220	A:27:ILE:CG1	A:31:HIS:HB3	0.856
220	A:27:ILE:CG2	A:33:LEU:HD12	0.846
220	A:29:ILE:HD12	A:67:PHE:CE1	0.845
220	A:27:ILE:HG12	A:31:HIS:HB3	0.837
220	A:17:ILE:HD12	A:43:LYS:CD	0.835
220	A:130:ALA:CB	A:150:ILE:HG23	0.833
220	A:102:MET:HE1	A:133:LEU:HD21	0.811
220	A:106:MET:SD	A:114:PHE:HE1	0.777
220	A:102:MET:HE1	A:133:LEU:CD2	0.749
220	A:16:LYS:CG	A:57:VAL:HG22	0.744
220	A:87:VAL:CG1	A:118:LEU:HD21	0.718
220	A:99:LEU:HA	A:102:MET:HG3	0.716
220	A:87:VAL:HG12	A:118:LEU:HD21	0.715
220	A:3:ILE:SG	A:97:ALA:SG	0.714
220	A:27:ILE:HG23	A:33:LEU:HD12	0.712
220	A:1:MET:HE2	A:5:GLU:HB3	0.711

Model ID	Atom-1	Atom-2	Clash overlap (Å)
220	A:5:GLU:HG2	A:8:ARG:HH21	0.710
220	A:17:ILE:CG1	A:27:ILE:HG22	0.709
220	A:17:ILE:CD1	A:43:LYS:HD3	0.707
220	A:29:ILE:CD1	A:67:PHE:HE1	0.704
220	A:103:VAL:HG22	A:111:VAL:HG21	0.699
220	A:106:MET:SD	A:114:PHE:CE1	0.677
220	A:7:LEU:CD2	A:11:GLU:HB2	0.635
220	A:9:ILE:HD13	A:161:TYR:CB	0.634
220	A:116:ASN:HB3	A:120:MET:HE1	0.612
220	A:16:LYS:HG2	A:57:VAL:CG2	0.609
220	A:133:LEU:HB3	A:138:TRP:HZ3	0.604
220	A:19:LYS:HB3	A:25:TYR:CE1	0.598
220	A:142:THR:CG2	A:145:ARG:HB3	0.594
220	A:1:MET:HE1	A:158:TRP:CE3	0.592
220	A:9:ILE:CD1	A:161:TYR:HB3	0.588
220	A:67:PHE:HA	A:70:ASP:HB3	0.588
220	A:97:ALA:HB3	A:158:TRP:HH2	0.580
220	A:67:PHE:CE2	A:71:VAL:HG23	0.576
220	A:39:LEU:HD21	A:43:LYS:HE3	0.574
220	A:33:LEU:HG	A:46:LEU:HG	0.573
220	A:13:LEU:HG	A:29:ILE:HG23	0.571
220	A:7:LEU:HD22	A:11:GLU:CB	0.567
220	A:10:ASP:HA	A:148:ARG:HH21	0.561

Model ID	Atom-1	Atom-2	Clash overlap (Å)
220	A:103:VAL:HG22	A:111:VAL:CG2	0.552
220	A:66:LEU:HA	A:69:GLN:HE21	0.546
220	A:124:LYS:HG3	A:126:TRP:HZ2	0.546
220	A:17:ILE:HG12	A:27:ILE:CG2	0.539
220	A:4:PHE:CZ	A:13:LEU:HD21	0.536
220	A:58:ILE:HD12	A:63:ALA:CB	0.534
220	A:1:MET:CE	A:158:TRP:CE3	0.526
220	A:4:PHE:HE1	A:29:ILE:HD13	0.515
220	A:6:MET:HG3	A:161:TYR:HE2	0.514
220	A:67:PHE:CE2	A:71:VAL:CG2	0.513
220	A:17:ILE:HB	A:43:LYS:HD3	0.512
220	A:1:MET:HE1	A:6:MET:HB2	0.510
220	A:25:TYR:CE1	A:39:LEU:HD13	0.508
220	A:6:MET:HG3	A:161:TYR:CZ	0.507
220	A:6:MET:HE1	A:97:ALA:O	0.507
220	A:127:ASP:O	A:131:VAL:HG23	0.505
220	A:130:ALA:HB1	A:150:ILE:CG2	0.503
220	A:4:PHE:CE1	A:29:ILE:HD13	0.498
220	A:27:ILE:HG13	A:31:HIS:HB3	0.496
220	A:5:GLU:O	A:9:ILE:HD12	0.489
220	A:46:LEU:O	A:50:ILE:HD12	0.488
220	A:139:TYR:CE1	A:150:ILE:HD12	0.487
220	A:139:TYR:HE1	A:150:ILE:HD12	0.479

Model ID	Atom-1	Atom-2	Clash overlap (Å)
220	A:15:LEU:HD11	A:29:ILE:HD11	0.477
220	A:25:TYR:CD1	A:39:LEU:HD13	0.474
220	A:126:TRP:HB2	A:153:PHE:O	0.466
220	A:94:VAL:HA	A:158:TRP:HZ2	0.463
220	A:59:THR:OG1	A:62:GLU:HB3	0.462
220	A:5:GLU:O	A:8:ARG:HB2	0.461
220	A:19:LYS:HB3	A:25:TYR:CD1	0.457
220	A:13:LEU:HG	A:29:ILE:HG12	0.456
220	A:42:ALA:O	A:46:LEU:HB2	0.455
220	A:1:MET:CE	A:6:MET:HB2	0.454
220	A:81:ASN:HB2	A:84:LEU:HB3	0.452
220	A:14:ARG:HB3	A:18:TYR:CD1	0.451
220	A:50:ILE:HG22	A:52:ARG:N	0.451
220	A:6:MET:SD	A:158:TRP:HZ3	0.451
220	A:126:TRP:O	A:153:PHE:HB3	0.449
220	A:121:LEU:O	A:124:LYS:HD2	0.447
220	A:121:LEU:HG	A:126:TRP:CE3	0.446
220	A:124:LYS:HG3	A:126:TRP:CH2	0.440
220	A:145:ARG:O	A:149:VAL:HG23	0.440
220	A:87:VAL:HG12	A:118:LEU:CD2	0.435
220	A:50:ILE:HG22	A:52:ARG:H	0.434
220	A:83:LYS:H	A:83:LYS:HG3	0.434
220	A:143:PRO:O	A:147:LYS:HG3	0.433

Model ID	Atom-1	Atom-2	Clash overlap (Å)
220	A:77:GLY:O	A:80:ARG:HB2	0.431
220	A:94:VAL:HA	A:158:TRP:CZ2	0.431
220	A:94:VAL:HG22	A:158:TRP:HE1	0.428
220	A:4:PHE:CE2	A:13:LEU:HD21	0.423
220	A:6:MET:HB3	A:6:MET:HE2	0.423
220	A:15:LEU:O	A:57:VAL:HA	0.422
220	A:94:VAL:HG22	A:158:TRP:NE1	0.422
220	A:15:LEU:HD21	A:63:ALA:CB	0.421
220	A:15:LEU:HD21	A:63:ALA:HB2	0.418
220	A:98:ALA:HB1	A:153:PHE:CZ	0.418
220	A:60:LYS:O	A:64:GLU:HB2	0.417
220	A:139:TYR:CE1	A:150:ILE:CD1	0.417
220	A:142:THR:HG21	A:145:ARG:CB	0.416
220	A:142:THR:HG21	A:145:ARG:HB3	0.416
220	A:132:ASN:OD1	A:133:LEU:HD12	0.415
220	A:158:TRP:HE3	A:161:TYR:CE2	0.414
220	A:75:VAL:O	A:79:LEU:HB2	0.412
220	A:133:LEU:HD22	A:138:TRP:CZ3	0.409
220	A:39:LEU:HD11	A:43:LYS:HE3	0.403
220	A:94:VAL:HG13	A:158:TRP:CZ2	0.403
220	A:102:MET:O	A:106:MET:HE3	0.403
220	A:81:ASN:HB2	A:84:LEU:CB	0.402
220	A:107:GLY:O	A:111:VAL:HG23	0.402

Model ID	Atom-1	Atom-2	Clash overlap (Å)
221	A:81:ASN:HB3	A:84:LEU:HB2	1.131
221	A:16:LYS:HG3	A:57:VAL:HG22	0.904
221	A:27:ILE:CG2	A:33:LEU:HD12	0.858
221	A:124:LYS:HG3	A:126:TRP:CZ2	0.848
221	A:19:LYS:HB3	A:25:TYR:CE1	0.774
221	A:50:ILE:HG13	A:54:THR:SG	0.765
221	A:87:VAL:HG11	A:118:LEU:HD21	0.753
221	A:142:THR:CG2	A:145:ARG:HB3	0.726
221	A:6:MET:HG3	A:161:TYR:CE2	0.718
221	A:106:MET:SD	A:114:PHE:CE1	0.717
221	A:3:ILE:SG	A:97:ALA:SG	0.706
221	A:17:ILE:HG13	A:27:ILE:HG22	0.700
221	A:87:VAL:CG1	A:118:LEU:HD21	0.683
221	A:17:ILE:CG1	A:27:ILE:HG22	0.678
221	A:103:VAL:HG22	A:111:VAL:HG21	0.678
221	A:17:ILE:HD12	A:43:LYS:HD2	0.674
221	A:63:ALA:HA	A:67:PHE:HB3	0.659
221	A:27:ILE:HG23	A:33:LEU:HD12	0.647
221	A:10:ASP:HA	A:148:ARG:HH21	0.640
221	A:142:THR:HG22	A:145:ARG:HB3	0.640
221	A:27:ILE:HG21	A:33:LEU:HD12	0.637
221	A:9:ILE:HD13	A:161:TYR:HB3	0.625
221	A:15:LEU:HB3	A:58:ILE:HG13	0.623

Model ID	Atom-1	Atom-2	Clash overlap (Å)
221	A:130:ALA:HB2	A:150:ILE:HG23	0.620
221	A:95:ARG:HD2	A:126:TRP:CD2	0.617
221	A:50:ILE:HG22	A:52:ARG:H	0.609
221	A:88:TYR:HD1	A:99:LEU:HD22	0.579
221	A:130:ALA:CB	A:150:ILE:HG23	0.576
221	A:10:ASP:HB3	A:145:ARG:HG3	0.570
221	A:139:TYR:CE1	A:150:ILE:HD12	0.564
221	A:139:TYR:HE1	A:150:ILE:HD12	0.564
221	A:19:LYS:HB3	A:25:TYR:CD1	0.550
221	A:16:LYS:CG	A:57:VAL:HG22	0.546
221	A:13:LEU:HG	A:29:ILE:HG12	0.545
221	A:4:PHE:CZ	A:29:ILE:HD13	0.542
221	A:7:LEU:HG	A:104:PHE:CD2	0.534
221	A:27:ILE:HG13	A:31:HIS:HB3	0.533
221	A:13:LEU:HG	A:29:ILE:HG23	0.518
221	A:25:TYR:CZ	A:39:LEU:HB2	0.518
221	A:6:MET:HE1	A:97:ALA:O	0.515
221	A:1:MET:HE1	A:158:TRP:CE3	0.514
221	A:25:TYR:CD1	A:39:LEU:HD13	0.506
221	A:1:MET:HG2	A:5:GLU:HB2	0.505
221	A:95:ARG:HD3	A:153:PHE:HA	0.504
221	A:116:ASN:HB3	A:120:MET:HE1	0.502
221	A:17:ILE:HD12	A:43:LYS:CD	0.501

Model ID	Atom-1	Atom-2	Clash overlap (Å)
221	A:4:PHE:HZ	A:29:ILE:HD13	0.497
221	A:1:MET:SD	A:6:MET:HB2	0.496
221	A:50:ILE:HG22	A:52:ARG:HB2	0.492
221	A:15:LEU:HD23	A:58:ILE:CD1	0.491
221	A:132:ASN:OD1	A:133:LEU:HD12	0.491
221	A:17:ILE:CD1	A:43:LYS:HD2	0.487
221	A:133:LEU:HB3	A:138:TRP:HZ3	0.486
221	A:74:ALA:O	A:78:ILE:HG12	0.484
221	A:7:LEU:HG	A:104:PHE:CE2	0.478
221	A:6:MET:SD	A:158:TRP:HZ3	0.478
221	A:2:ASN:O	A:5:GLU:HB2	0.477
221	A:81:ASN:CB	A:84:LEU:HB2	0.477
221	A:114:PHE:HB3	A:117:SER:HB2	0.473
221	A:142:THR:HG21	A:145:ARG:HB3	0.466
221	A:123:GLN:HG3	A:125:ARG:HE	0.459
221	A:158:TRP:HE3	A:161:TYR:CE2	0.459
221	A:42:ALA:O	A:46:LEU:HB2	0.453
221	A:121:LEU:HG	A:126:TRP:HE3	0.453
221	A:4:PHE:CZ	A:29:ILE:HG21	0.451
221	A:84:LEU:HD21	A:111:VAL:HG12	0.451
221	A:25:TYR:CE1	A:39:LEU:HB2	0.449
221	A:95:ARG:CZ	A:95:ARG:HB2	0.448
221	A:121:LEU:HG	A:126:TRP:CE3	0.443

Model ID	Atom-1	Atom-2	Clash overlap (Å)
221	A:102:MET:O	A:106:MET:HG2	0.442
221	A:4:PHE:CE1	A:29:ILE:HG21	0.437
221	A:27:ILE:CG1	A:31:HIS:HB3	0.437
221	A:139:TYR:CE1	A:150:ILE:CD1	0.437
221	A:16:LYS:HG3	A:57:VAL:CG2	0.436
221	A:15:LEU:HD21	A:63:ALA:HB1	0.435
221	A:88:TYR:CD1	A:99:LEU:HD22	0.434
221	A:4:PHE:CZ	A:13:LEU:HD21	0.433
221	A:25:TYR:CE1	A:39:LEU:HD13	0.431
221	A:33:LEU:HG	A:46:LEU:HG	0.431
221	A:124:LYS:HE3	A:126:TRP:HH2	0.425
221	A:27:ILE:HG21	A:33:LEU:HD23	0.423
221	A:50:ILE:CG2	A:52:ARG:HB2	0.422
221	A:4:PHE:CE2	A:13:LEU:HD11	0.419
221	A:16:LYS:HA	A:56:GLY:C	0.419
221	A:105:GLN:HB3	A:138:TRP:CD1	0.419
221	A:64:GLU:O	A:68:ASN:HB2	0.416
221	A:58:ILE:HD12	A:63:ALA:HB2	0.415
221	A:95:ARG:HG2	A:126:TRP:CE3	0.411
221	A:15:LEU:HD11	A:29:ILE:HG13	0.410
221	A:16:LYS:HA	A:56:GLY:O	0.409
221	A:98:ALA:HB1	A:153:PHE:CZ	0.407
221	A:59:THR:OG1	A:62:GLU:HB3	0.406

Model ID	Atom-1	Atom-2	Clash overlap (Å)
221	A:106:MET:SD	A:114:PHE:HE1	0.405
221	A:95:ARG:HD2	A:126:TRP:CG	0.401
221	A:97:ALA:CB	A:158:TRP:HH2	0.401
221	A:77:GLY:O	A:80:ARG:HB2	0.400
222	A:1:MET:HG3	A:5:GLU:HB2	1.081
222	A:14:ARG:HB3	A:18:TYR:CE1	0.919
222	A:7:LEU:HB3	A:29:ILE:HG22	0.849
222	A:103:VAL:HG22	A:111:VAL:HG21	0.843
222	A:124:LYS:HG2	A:126:TRP:CZ2	0.822
222	A:106:MET:HE2	A:138:TRP:CG	0.804
222	A:17:ILE:HG22	A:25:TYR:CD1	0.777
222	A:6:MET:HG3	A:161:TYR:CE2	0.767
222	A:3:ILE:SG	A:97:ALA:SG	0.764
222	A:1:MET:HG3	A:5:GLU:CB	0.751
222	A:102:MET:HE3	A:138:TRP:CZ3	0.721
222	A:79:LEU:CD2	A:85:LYS:HG3	0.710
222	A:78:ILE:HD11	A:84:LEU:HD22	0.700
222	A:29:ILE:HD13	A:67:PHE:HB2	0.672
222	A:29:ILE:CD1	A:67:PHE:HB2	0.663
222	A:124:LYS:HG2	A:126:TRP:HZ2	0.655
222	A:16:LYS:HG2	A:57:VAL:HG13	0.650
222	A:102:MET:HE1	A:133:LEU:HB3	0.641
222	A:79:LEU:HD23	A:85:LYS:HG3	0.637

Model ID	Atom-1	Atom-2	Clash overlap (Å)
222	A:7:LEU:CB	A:29:ILE:HG22	0.631
222	A:102:MET:HE2	A:106:MET:HE1	0.627
222	A:103:VAL:HG22	A:111:VAL:CG2	0.621
222	A:86:PRO:HA	A:89:ASP:HB3	0.606
222	A:4:PHE:CZ	A:64:GLU:HG3	0.588
222	A:59:THR:H	A:62:GLU:HB2	0.588
222	A:4:PHE:HZ	A:64:GLU:HG3	0.578
222	A:120:MET:HG3	A:128:GLU:HG3	0.560
222	A:29:ILE:HD13	A:67:PHE:CB	0.544
222	A:17:ILE:HG22	A:25:TYR:HD1	0.541
222	A:1:MET:HE2	A:158:TRP:CE3	0.539
222	A:75:VAL:HA	A:78:ILE:HG22	0.536
222	A:1:MET:CE	A:158:TRP:CE3	0.533
222	A:17:ILE:CG2	A:25:TYR:CD1	0.527
222	A:24:TYR:HD1	A:35:LYS:HA	0.524
222	A:75:VAL:HG22	A:88:TYR:HE2	0.512
222	A:79:LEU:HD23	A:85:LYS:CG	0.511
222	A:83:LYS:HD2	A:84:LEU:CD1	0.509
222	A:67:PHE:O	A:71:VAL:HG23	0.508
222	A:6:MET:HG3	A:161:TYR:CZ	0.501
222	A:14:ARG:HB3	A:18:TYR:HE1	0.497
222	A:83:LYS:HD2	A:84:LEU:HD12	0.494
222	A:79:LEU:HD22	A:85:LYS:HG3	0.494

Model ID	Atom-1	Atom-2	Clash overlap (Å)
222	A:127:ASP:O	A:131:VAL:HG23	0.494
222	A:46:LEU:HD11	A:66:LEU:HD21	0.493
222	A:98:ALA:HB1	A:153:PHE:CE1	0.486
222	A:83:LYS:CD	A:84:LEU:HD12	0.482
222	A:16:LYS:O	A:27:ILE:HG12	0.481
222	A:1:MET:HB2	A:5:GLU:HG3	0.476
222	A:81:ASN:OD1	A:83:LYS:HB3	0.473
222	A:102:MET:HE3	A:138:TRP:CE3	0.473
222	A:6:MET:HE1	A:98:ALA:HA	0.471
222	A:25:TYR:O	A:33:LEU:HB2	0.470
222	A:87:VAL:HG22	A:122:GLN:OE1	0.464
222	A:33:LEU:HD13	A:42:ALA:HB1	0.463
222	A:6:MET:HB2	A:158:TRP:CZ3	0.462
222	A:106:MET:HE2	A:138:TRP:CD1	0.458
222	A:111:VAL:HA	A:114:PHE:HD1	0.457
222	A:6:MET:HE2	A:101:ASN:HD22	0.453
222	A:97:ALA:HA	A:100:ILE:HB	0.451
222	A:111:VAL:HA	A:114:PHE:CD1	0.447
222	A:121:LEU:HD22	A:126:TRP:HE3	0.446
222	A:50:ILE:HG21	A:54:THR:SG	0.445
222	A:94:VAL:HG12	A:152:THR:CG2	0.443
222	A:155:THR:O	A:157:THR:HG23	0.443
222	A:16:LYS:C	A:27:ILE:HG12	0.441

Model ID	Atom-1	Atom-2	Clash overlap (Å)
222	A:106:MET:HE2	A:138:TRP:CD2	0.436
222	A:15:LEU:HD12	A:58:ILE:HG13	0.435
222	A:75:VAL:HG22	A:88:TYR:CE2	0.433
222	A:121:LEU:HD22	A:126:TRP:CE3	0.432
222	A:102:MET:HE2	A:106:MET:CE	0.430
222	A:27:ILE:HG22	A:33:LEU:HD21	0.428
222	A:1:MET:HE2	A:6:MET:HB2	0.427
222	A:1:MET:HE2	A:158:TRP:CZ3	0.426
222	A:119:ARG:O	A:123:GLN:HB2	0.426
222	A:91:LEU:HB3	A:96:ARG:HG3	0.423
222	A:138:TRP:CE3	A:139:TYR:HB2	0.423
222	A:94:VAL:HG12	A:152:THR:HG22	0.415
222	A:94:VAL:HG22	A:158:TRP:NE1	0.414
222	A:102:MET:SD	A:133:LEU:HG	0.414
222	A:139:TYR:HD1	A:146:ALA:HB1	0.410
222	A:121:LEU:HA	A:121:LEU:HD22	0.407
222	A:138:TRP:CZ3	A:139:TYR:HB2	0.405
222	A:1:MET:HE1	A:161:TYR:HB3	0.404
223	A:14:ARG:HB3	A:18:TYR:CE1	0.983
223	A:139:TYR:HD1	A:146:ALA:HB1	0.922
223	A:1:MET:HE2	A:158:TRP:CE3	0.767
223	A:124:LYS:HG2	A:126:TRP:CZ2	0.746
223	A:139:TYR:CD1	A:146:ALA:HB1	0.741

Model ID	Atom-1	Atom-2	Clash overlap (Å)
223	A:50:ILE:HG21	A:54:THR:SG	0.726
223	A:1:MET:HG3	A:5:GLU:HB2	0.721
223	A:79:LEU:HD23	A:85:LYS:HG3	0.719
223	A:3:ILE:SG	A:97:ALA:SG	0.697
223	A:124:LYS:HG2	A:126:TRP:HZ2	0.687
223	A:103:VAL:HG22	A:111:VAL:HG21	0.686
223	A:79:LEU:HD23	A:85:LYS:CG	0.678
223	A:103:VAL:HG22	A:111:VAL:CG2	0.664
223	A:16:LYS:HG2	A:57:VAL:HG22	0.652
223	A:1:MET:HG3	A:5:GLU:CB	0.642
223	A:27:ILE:HG13	A:56:GLY:HA2	0.637
223	A:50:ILE:HG12	A:66:LEU:HD11	0.623
223	A:125:ARG:HB3	A:128:GLU:HB2	0.621
223	A:102:MET:HE3	A:138:TRP:CZ3	0.618
223	A:33:LEU:HD12	A:42:ALA:HB1	0.600
223	A:6:MET:HG3	A:161:TYR:CE2	0.591
223	A:4:PHE:HA	A:29:ILE:HG21	0.583
223	A:102:MET:HE1	A:133:LEU:HB3	0.579
223	A:17:ILE:CG2	A:25:TYR:HD1	0.558
223	A:130:ALA:HB1	A:150:ILE:HG23	0.553
223	A:7:LEU:CB	A:29:ILE:HG22	0.552
223	A:78:ILE:HD12	A:84:LEU:HD22	0.549
223	A:1:MET:CG	A:5:GLU:HB2	0.543

Model ID	Atom-1	Atom-2	Clash overlap (Å)
223	A:13:LEU:HD11	A:29:ILE:HG23	0.529
223	A:94:VAL:HG12	A:152:THR:CG2	0.518
223	A:8:ARG:HA	A:13:LEU:HD13	0.516
223	A:17:ILE:CG2	A:25:TYR:CD1	0.514
223	A:118:LEU:HD13	A:121:LEU:HD12	0.505
223	A:105:GLN:HG2	A:138:TRP:CD1	0.504
223	A:38:SER:HB2	A:40:ASN:HB2	0.498
223	A:75:VAL:HG13	A:79:LEU:HD13	0.496
223	A:91:LEU:HD22	A:95:ARG:HB2	0.496
223	A:25:TYR:CZ	A:39:LEU:HB3	0.491
223	A:72:ASP:O	A:75:VAL:HB	0.486
223	A:58:ILE:HB	A:62:GLU:HB3	0.483
223	A:7:LEU:HB2	A:29:ILE:HG22	0.482
223	A:81:ASN:OD1	A:84:LEU:HB2	0.481
223	A:1:MET:CE	A:6:MET:HB2	0.479
223	A:1:MET:HB3	A:158:TRP:CD1	0.478
223	A:158:TRP:O	A:162:LYS:HG2	0.478
223	A:130:ALA:HB1	A:150:ILE:CG2	0.477
223	A:33:LEU:HG	A:46:LEU:HD13	0.475
223	A:120:MET:O	A:123:GLN:HB3	0.472
223	A:7:LEU:HB3	A:29:ILE:HG22	0.467
223	A:59:THR:H	A:62:GLU:HB3	0.463
223	A:94:VAL:O	A:97:ALA:HB3	0.460

Model ID	Atom-1	Atom-2	Clash overlap (Å)
223	A:58:ILE:HG22	A:62:GLU:OE2	0.459
223	A:94:VAL:HG13	A:158:TRP:CE2	0.459
223	A:139:TYR:CD1	A:146:ALA:CB	0.459
223	A:148:ARG:HB3	A:161:TYR:CE1	0.455
223	A:94:VAL:HG12	A:152:THR:HG23	0.454
223	A:7:LEU:HD11	A:104:PHE:CD1	0.453
223	A:78:ILE:HG21	A:88:TYR:HB3	0.449
223	A:2:ASN:OD1	A:4:PHE:HB2	0.448
223	A:117:SER:O	A:121:LEU:HD23	0.447
223	A:50:ILE:HG23	A:52:ARG:N	0.438
223	A:43:LYS:HB2	A:43:LYS:HE3	0.436
223	A:1:MET:HE2	A:158:TRP:CZ3	0.435
223	A:17:ILE:HG22	A:25:TYR:CD1	0.429
223	A:4:PHE:HE1	A:67:PHE:HB3	0.427
223	A:94:VAL:HG13	A:158:TRP:CZ2	0.425
223	A:79:LEU:HA	A:79:LEU:HD23	0.421
223	A:79:LEU:HA	A:85:LYS:HG3	0.420
223	A:91:LEU:HD11	A:126:TRP:CZ3	0.420
223	A:94:VAL:HG22	A:158:TRP:NE1	0.419
223	A:132:ASN:O	A:135:LYS:HG2	0.419
223	A:66:LEU:O	A:66:LEU:HD23	0.416
223	A:17:ILE:HG22	A:25:TYR:HD1	0.411
223	A:32:LEU:HA	A:32:LEU:HD12	0.411

Model ID	Atom-1	Atom-2	Clash overlap (Å)
223	A:7:LEU:HD11	A:104:PHE:HD1	0.409
223	A:1:MET:HE3	A:6:MET:HB2	0.407
223	A:103:VAL:HG22	A:111:VAL:HG22	0.404
223	A:16:LYS:HA	A:56:GLY:O	0.403
224	A:50:ILE:HD12	A:66:LEU:HD11	1.015
224	A:103:VAL:HG22	A:111:VAL:HG21	0.980
224	A:29:ILE:HD12	A:67:PHE:HB2	0.923
224	A:79:LEU:HD23	A:85:LYS:HG3	0.866
224	A:1:MET:HE2	A:158:TRP:CE3	0.842
224	A:50:ILE:HG21	A:54:THR:SG	0.825
224	A:3:ILE:SG	A:97:ALA:SG	0.765
224	A:14:ARG:HB3	A:18:TYR:HE1	0.705
224	A:124:LYS:HG2	A:126:TRP:CZ2	0.704
224	A:99:LEU:HD21	A:121:LEU:CD1	0.696
224	A:102:MET:HE3	A:138:TRP:CZ3	0.694
224	A:14:ARG:HB3	A:18:TYR:CE1	0.691
224	A:25:TYR:HB3	A:33:LEU:HD12	0.691
224	A:103:VAL:HG22	A:111:VAL:CG2	0.657
224	A:17:ILE:HG22	A:25:TYR:HD1	0.652
224	A:114:PHE:HB3	A:117:SER:HB2	0.642
224	A:4:PHE:CZ	A:64:GLU:HG2	0.632
224	A:17:ILE:CG2	A:25:TYR:HD1	0.613
224	A:50:ILE:HG22	A:52:ARG:H	0.601

Model ID	Atom-1	Atom-2	Clash overlap (Å)
224	A:1:MET:HE2	A:158:TRP:CZ3	0.597
224	A:6:MET:HG3	A:161:TYR:CE2	0.589
224	A:102:MET:HE1	A:133:LEU:HB3	0.589
224	A:79:LEU:HD23	A:85:LYS:CG	0.581
224	A:16:LYS:HG3	A:57:VAL:HG22	0.576
224	A:29:ILE:CD1	A:67:PHE:HB2	0.564
224	A:99:LEU:HD21	A:121:LEU:HD13	0.542
224	A:33:LEU:HD13	A:42:ALA:C	0.531
224	A:77:GLY:O	A:80:ARG:HG2	0.514
224	A:1:MET:CE	A:158:TRP:CE3	0.512
224	A:11:GLU:HB2	A:29:ILE:O	0.511
224	A:6:MET:HE1	A:98:ALA:HA	0.501
224	A:75:VAL:HG12	A:79:LEU:HD12	0.500
224	A:50:ILE:HD12	A:66:LEU:CD1	0.495
224	A:29:ILE:HG13	A:63:ALA:HB1	0.493
224	A:106:MET:HE2	A:138:TRP:CG	0.490
224	A:102:MET:HE1	A:133:LEU:HG	0.489
224	A:17:ILE:CG2	A:25:TYR:CD1	0.480
224	A:102:MET:HE3	A:138:TRP:CH2	0.478
224	A:78:ILE:HG21	A:88:TYR:HD2	0.471
224	A:21:THR:HG21	A:142:THR:HG23	0.470
224	A:14:ARG:CB	A:18:TYR:HE1	0.466
224	A:132:ASN:O	A:135:LYS:HG3	0.461

Model ID	Atom-1	Atom-2	Clash overlap (Å)
224	A:130:ALA:CB	A:150:ILE:HG23	0.459
224	A:130:ALA:HB2	A:150:ILE:HG23	0.458
224	A:99:LEU:HD21	A:121:LEU:HD11	0.457
224	A:14:ARG:CB	A:18:TYR:CE1	0.450
224	A:75:VAL:CG1	A:79:LEU:HD12	0.449
224	A:103:VAL:CG2	A:111:VAL:HG21	0.446
224	A:1:MET:HG3	A:5:GLU:CB	0.433
224	A:127:ASP:O	A:131:VAL:HG23	0.432
224	A:97:ALA:O	A:100:ILE:HB	0.429
224	A:105:GLN:HG3	A:138:TRP:HE1	0.425
224	A:99:LEU:HD11	A:121:LEU:HD11	0.424
224	A:116:ASN:HB2	A:132:ASN:ND2	0.422
224	A:15:LEU:O	A:27:ILE:HD11	0.421
224	A:54:THR:SG	A:66:LEU:HD21	0.421
224	A:121:LEU:HD22	A:129:ALA:HB2	0.421
224	A:128:GLU:HA	A:131:VAL:HG23	0.414
224	A:4:PHE:CE1	A:29:ILE:HD11	0.410
224	A:102:MET:HE1	A:133:LEU:CB	0.409
224	A:7:LEU:HD21	A:104:PHE:HE1	0.406
224	A:65:LYS:HA	A:65:LYS:HD2	0.406
224	A:102:MET:HE1	A:133:LEU:CG	0.406
224	A:39:LEU:HD13	A:40:ASN:N	0.403
225	A:17:ILE:HD12	A:43:LYS:HD3	1.099

Model ID	Atom-1	Atom-2	Clash overlap (Å)
225	A:130:ALA:HB1	A:150:ILE:HG23	1.082
225	A:16:LYS:HG2	A:57:VAL:HG22	1.052
225	A:27:ILE:HG23	A:33:LEU:HD12	0.962
225	A:27:ILE:HG13	A:31:HIS:HB3	0.910
225	A:81:ASN:HB2	A:84:LEU:HB2	0.884
225	A:27:ILE:CG2	A:33:LEU:HD12	0.856
225	A:17:ILE:HD12	A:43:LYS:CD	0.838
225	A:97:ALA:HB3	A:158:TRP:HH2	0.823
225	A:10:ASP:HB3	A:145:ARG:HG3	0.813
225	A:15:LEU:HD11	A:29:ILE:HG13	0.785
225	A:144:ASN:HA	A:147:LYS:HE2	0.781
225	A:16:LYS:CG	A:57:VAL:HG22	0.770
225	A:130:ALA:CB	A:150:ILE:HG23	0.769
225	A:106:MET:SD	A:114:PHE:HE1	0.764
225	A:1:MET:HE1	A:158:TRP:CE3	0.755
225	A:34:THR:HG21	A:42:ALA:CB	0.753
225	A:6:MET:HG3	A:161:TYR:CE2	0.744
225	A:3:ILE:SG	A:97:ALA:SG	0.721
225	A:67:PHE:CE2	A:71:VAL:HG21	0.707
225	A:106:MET:SD	A:114:PHE:CE1	0.671
225	A:29:ILE:HD12	A:67:PHE:CE1	0.663
225	A:25:TYR:HB2	A:34:THR:CG2	0.642
225	A:27:ILE:CG1	A:31:HIS:HB3	0.636

Model ID	Atom-1	Atom-2	Clash overlap (Å)
225	A:34:THR:HG21	A:42:ALA:HB1	0.634
225	A:142:THR:CG2	A:145:ARG:HB3	0.630
225	A:13:LEU:HG	A:29:ILE:HG23	0.625
225	A:16:LYS:HG2	A:57:VAL:CG2	0.611
225	A:97:ALA:HA	A:100:ILE:HD12	0.599
225	A:133:LEU:HB3	A:138:TRP:HZ3	0.597
225	A:88:TYR:HD1	A:99:LEU:HD22	0.596
225	A:130:ALA:HB1	A:150:ILE:CG2	0.589
225	A:39:LEU:HD21	A:43:LYS:HE3	0.585
225	A:1:MET:CG	A:5:GLU:HB3	0.564
225	A:9:ILE:HD13	A:162:LYS:H	0.561
225	A:17:ILE:CG1	A:27:ILE:HG22	0.558
225	A:4:PHE:CE1	A:29:ILE:HD13	0.540
225	A:17:ILE:HG12	A:27:ILE:CG2	0.532
225	A:9:ILE:HD13	A:161:TYR:HB3	0.528
225	A:91:LEU:HD21	A:126:TRP:CZ3	0.519
225	A:25:TYR:HB2	A:34:THR:HG22	0.518
225	A:50:ILE:HG22	A:52:ARG:HB3	0.518
225	A:142:THR:HG21	A:145:ARG:HB3	0.518
225	A:10:ASP:HA	A:148:ARG:HH21	0.516
225	A:1:MET:HG2	A:5:GLU:HB3	0.515
225	A:98:ALA:O	A:102:MET:HG3	0.510
225	A:102:MET:HE1	A:133:LEU:HD21	0.508

Model ID	Atom-1	Atom-2	Clash overlap (Å)
225	A:46:LEU:O	A:50:ILE:HD12	0.507
225	A:52:ARG:HD2	A:66:LEU:HD11	0.506
225	A:103:VAL:HG22	A:111:VAL:HG21	0.500
225	A:98:ALA:HB1	A:153:PHE:CE2	0.499
225	A:97:ALA:HB3	A:158:TRP:CH2	0.497
225	A:17:ILE:CD1	A:43:LYS:HD3	0.496
225	A:1:MET:CE	A:158:TRP:CE3	0.493
225	A:81:ASN:HB2	A:84:LEU:CB	0.493
225	A:25:TYR:CD1	A:39:LEU:HD13	0.491
225	A:19:LYS:HB3	A:25:TYR:CE1	0.487
225	A:4:PHE:CZ	A:13:LEU:HD21	0.481
225	A:102:MET:HE1	A:133:LEU:CD2	0.481
225	A:1:MET:HG2	A:5:GLU:CB	0.478
225	A:139:TYR:O	A:143:PRO:HD3	0.476
225	A:15:LEU:HD23	A:63:ALA:HB2	0.475
225	A:4:PHE:CZ	A:29:ILE:HD13	0.473
225	A:67:PHE:CE2	A:71:VAL:CG2	0.473
225	A:4:PHE:CE2	A:13:LEU:HD21	0.470
225	A:34:THR:HG21	A:42:ALA:HB2	0.466
225	A:17:ILE:HG12	A:27:ILE:HG22	0.464
225	A:88:TYR:CD1	A:99:LEU:HD22	0.462
225	A:92:ASP:O	A:96:ARG:HG3	0.461
225	A:102:MET:O	A:106:MET:HG2	0.461

Model ID	Atom-1	Atom-2	Clash overlap (Å)
225	A:25:TYR:CE1	A:39:LEU:HD13	0.456
225	A:7:LEU:HG	A:104:PHE:CE2	0.455
225	A:6:MET:SD	A:158:TRP:HZ3	0.455
225	A:79:LEU:HD22	A:85:LYS:HG3	0.452
225	A:24:TYR:HB3	A:32:LEU:HD11	0.451
225	A:15:LEU:HB3	A:58:ILE:HG13	0.450
225	A:32:LEU:HB2	A:105:GLN:OE1	0.449
225	A:121:LEU:C	A:124:LYS:H	0.449
225	A:59:THR:OG1	A:62:GLU:HB3	0.448
225	A:42:ALA:O	A:46:LEU:HB2	0.446
225	A:136:SER:HB2	A:138:TRP:H	0.444
225	A:133:LEU:HD22	A:138:TRP:CZ3	0.442
225	A:55:ASN:O	A:57:VAL:HG23	0.441
225	A:50:ILE:HG22	A:52:ARG:N	0.437
225	A:142:THR:HG21	A:145:ARG:CB	0.434
225	A:9:ILE:CD1	A:161:TYR:HB3	0.431
225	A:13:LEU:CG	A:29:ILE:HG23	0.430
225	A:93:ALA:HA	A:96:ARG:HB2	0.430
225	A:58:ILE:HD12	A:63:ALA:CB	0.427
225	A:143:PRO:O	A:147:LYS:HG3	0.425
225	A:16:LYS:HB2	A:16:LYS:HE2	0.424
225	A:123:GLN:HG2	A:125:ARG:HG3	0.424
225	A:17:ILE:HG22	A:25:TYR:HD1	0.420

Model ID	Atom-1	Atom-2	Clash overlap (Å)
225	A:50:ILE:HG22	A:52:ARG:H	0.420
225	A:50:ILE:CG2	A:52:ARG:HB3	0.418
225	A:4:PHE:CE1	A:29:ILE:HG21	0.417
225	A:6:MET:HG3	A:161:TYR:CZ	0.415
225	A:94:VAL:HG22	A:158:TRP:HE1	0.414
225	A:27:ILE:HG12	A:33:LEU:HD23	0.410
225	A:25:TYR:HB2	A:34:THR:HG23	0.407
225	A:17:ILE:HG13	A:27:ILE:HG22	0.406
225	A:94:VAL:HG13	A:158:TRP:CE2	0.402
225	A:63:ALA:O	A:67:PHE:HB3	0.400
226	A:130:ALA:HB1	A:150:ILE:HG23	1.150
226	A:15:LEU:HD11	A:29:ILE:HG13	1.147
226	A:87:VAL:HG11	A:118:LEU:HD23	1.051
226	A:27:ILE:HG23	A:33:LEU:HD12	0.989
226	A:16:LYS:HG2	A:57:VAL:HG22	0.962
226	A:58:ILE:HD12	A:63:ALA:HB2	0.912
226	A:17:ILE:HD12	A:43:LYS:HD2	0.892
226	A:106:MET:SD	A:114:PHE:HE1	0.889
226	A:10:ASP:HB3	A:145:ARG:HG2	0.883
226	A:27:ILE:CG2	A:33:LEU:HD12	0.846
226	A:15:LEU:HD11	A:29:ILE:CG1	0.822
226	A:103:VAL:HG22	A:111:VAL:HG21	0.809
226	A:87:VAL:CG1	A:118:LEU:HD23	0.801

Model ID	Atom-1	Atom-2	Clash overlap (Å)
226	A:27:ILE:HG13	A:31:HIS:HB3	0.770
226	A:58:ILE:HD12	A:63:ALA:CB	0.768
226	A:3:ILE:SG	A:97:ALA:SG	0.758
226	A:84:LEU:HD21	A:111:VAL:HG12	0.747
226	A:6:MET:HG3	A:161:TYR:CE2	0.734
226	A:17:ILE:CD1	A:43:LYS:HD2	0.721
226	A:130:ALA:CB	A:150:ILE:HG23	0.710
226	A:17:ILE:HD12	A:43:LYS:CD	0.700
226	A:16:LYS:CG	A:57:VAL:HG22	0.699
226	A:7:LEU:HB3	A:13:LEU:HD13	0.691
226	A:9:ILE:CD1	A:161:TYR:HB3	0.685
226	A:13:LEU:HG	A:29:ILE:HG23	0.683
226	A:25:TYR:CZ	A:39:LEU:HB2	0.677
226	A:6:MET:HE3	A:7:LEU:HD12	0.667
226	A:15:LEU:HB3	A:58:ILE:HG13	0.657
226	A:106:MET:SD	A:114:PHE:CE1	0.652
226	A:130:ALA:HB1	A:150:ILE:CG2	0.640
226	A:15:LEU:HA	A:28:GLY:HA2	0.624
226	A:114:PHE:HB3	A:117:SER:HB2	0.623
226	A:50:ILE:HG22	A:52:ARG:HB2	0.613
226	A:124:LYS:HG3	A:126:TRP:CZ2	0.608
226	A:27:ILE:CG1	A:31:HIS:HB3	0.601
226	A:1:MET:HG2	A:5:GLU:HB2	0.598

Model ID	Atom-1	Atom-2	Clash overlap (Å)
226	A:102:MET:HE3	A:138:TRP:CZ3	0.587
226	A:33:LEU:HD11	A:46:LEU:HG	0.570
226	A:142:THR:CG2	A:145:ARG:HB2	0.566
226	A:6:MET:CE	A:97:ALA:HB1	0.563
226	A:7:LEU:HD22	A:11:GLU:CB	0.560
226	A:116:ASN:HB3	A:120:MET:HE1	0.556
226	A:9:ILE:HD13	A:161:TYR:HB3	0.555
226	A:50:ILE:HG22	A:52:ARG:H	0.549
226	A:27:ILE:HG12	A:33:LEU:HB2	0.546
226	A:81:ASN:HB3	A:84:LEU:HB2	0.546
226	A:17:ILE:CG1	A:27:ILE:HG22	0.545
226	A:50:ILE:CG2	A:52:ARG:HB2	0.545
226	A:16:LYS:HG2	A:57:VAL:CG2	0.539
226	A:27:ILE:HD13	A:33:LEU:HD23	0.537
226	A:151:THR:HG21	A:160:ALA:HB2	0.531
226	A:17:ILE:HG12	A:27:ILE:CG2	0.530
226	A:124:LYS:CG	A:126:TRP:CZ2	0.530
226	A:25:TYR:CE1	A:39:LEU:HD13	0.524
226	A:67:PHE:CE2	A:71:VAL:CG2	0.522
226	A:1:MET:CG	A:5:GLU:HB2	0.517
226	A:13:LEU:CG	A:29:ILE:HG23	0.516
226	A:148:ARG:HB3	A:161:TYR:CE1	0.515
226	A:15:LEU:CD1	A:29:ILE:HG13	0.506

Model ID	Atom-1	Atom-2	Clash overlap (Å)
226	A:98:ALA:HB1	A:153:PHE:CE2	0.506
226	A:46:LEU:O	A:50:ILE:HD12	0.504
226	A:139:TYR:O	A:143:PRO:HD3	0.495
226	A:98:ALA:HB1	A:153:PHE:CZ	0.484
226	A:11:GLU:HG2	A:30:GLY:HA3	0.481
226	A:115:THR:O	A:119:ARG:HG3	0.481
226	A:7:LEU:HD22	A:11:GLU:HB3	0.480
226	A:16:LYS:HG3	A:57:VAL:HA	0.476
226	A:93:ALA:HA	A:96:ARG:HB2	0.476
226	A:95:ARG:CZ	A:95:ARG:HB2	0.469
226	A:102:MET:HB3	A:106:MET:HE3	0.458
226	A:67:PHE:CE2	A:71:VAL:HG23	0.457
226	A:16:LYS:HA	A:56:GLY:C	0.456
226	A:19:LYS:HB3	A:25:TYR:CZ	0.451
226	A:7:LEU:HD22	A:11:GLU:HB2	0.449
226	A:50:ILE:HG21	A:54:THR:SG	0.447
226	A:64:GLU:O	A:68:ASN:HB2	0.445
226	A:42:ALA:O	A:46:LEU:HB2	0.444
226	A:144:ASN:HB3	A:148:ARG:NH1	0.444
226	A:4:PHE:HZ	A:29:ILE:HD13	0.442
226	A:102:MET:HG2	A:138:TRP:CZ2	0.442
226	A:25:TYR:CE1	A:39:LEU:HB2	0.438
226	A:6:MET:HE3	A:7:LEU:CD1	0.437

Model ID	Atom-1	Atom-2	Clash overlap (Å)
226	A:59:THR:OG1	A:62:GLU:HB3	0.434
226	A:17:ILE:HG13	A:27:ILE:HG22	0.426
226	A:133:LEU:HB3	A:138:TRP:HZ3	0.426
226	A:6:MET:SD	A:158:TRP:HZ3	0.421
226	A:29:ILE:HB	A:67:PHE:CZ	0.420
226	A:4:PHE:CZ	A:29:ILE:HD13	0.417
226	A:8:ARG:HB2	A:8:ARG:HH11	0.416
226	A:50:ILE:HG22	A:52:ARG:N	0.415
226	A:6:MET:HE1	A:97:ALA:HB1	0.412
226	A:17:ILE:HG12	A:27:ILE:HG22	0.412
226	A:6:MET:HE1	A:97:ALA:O	0.411
226	A:17:ILE:HG12	A:27:ILE:HG23	0.409
226	A:19:LYS:HB3	A:25:TYR:CE1	0.401
227	A:16:LYS:HG2	A:57:VAL:HG22	1.127
227	A:94:VAL:HG12	A:152:THR:HG23	1.092
227	A:1:MET:HG3	A:5:GLU:HB2	0.971
227	A:1:MET:HE2	A:158:TRP:CZ3	0.851
227	A:94:VAL:CG1	A:152:THR:HG23	0.834
227	A:124:LYS:HG2	A:126:TRP:CZ2	0.790
227	A:139:TYR:HD1	A:146:ALA:HB1	0.773
227	A:38:SER:HB2	A:40:ASN:HB2	0.772
227	A:16:LYS:CG	A:57:VAL:HG22	0.757
227	A:78:ILE:HG22	A:79:LEU:HD12	0.750

Model ID	Atom-1	Atom-2	Clash overlap (Å)
227	A:50:ILE:HG21	A:54:THR:SG	0.749
227	A:102:MET:HE2	A:133:LEU:HG	0.744
227	A:1:MET:HE2	A:158:TRP:CE3	0.743
227	A:16:LYS:HG2	A:57:VAL:CG2	0.724
227	A:25:TYR:HB3	A:33:LEU:HD12	0.721
227	A:3:ILE:SG	A:97:ALA:SG	0.687
227	A:94:VAL:HG12	A:152:THR:CG2	0.686
227	A:139:TYR:CD1	A:146:ALA:HB1	0.682
227	A:98:ALA:HB1	A:153:PHE:CE1	0.677
227	A:148:ARG:HB3	A:161:TYR:CZ	0.649
227	A:25:TYR:CE2	A:39:LEU:HB3	0.614
227	A:102:MET:HE2	A:133:LEU:CG	0.603
227	A:33:LEU:HD13	A:42:ALA:C	0.591
227	A:93:ALA:HA	A:96:ARG:HD2	0.577
227	A:97:ALA:HA	A:100:ILE:HD12	0.546
227	A:102:MET:HE3	A:106:MET:HE1	0.540
227	A:6:MET:HG3	A:161:TYR:CE2	0.530
227	A:1:MET:HE3	A:6:MET:HB2	0.526
227	A:34:THR:HG22	A:42:ALA:HB2	0.523
227	A:79:LEU:HA	A:85:LYS:HG3	0.523
227	A:105:GLN:HG2	A:138:TRP:HD1	0.521
227	A:17:ILE:CG2	A:25:TYR:HD1	0.519
227	A:14:ARG:HB3	A:18:TYR:CE1	0.514

Model ID	Atom-1	Atom-2	Clash overlap (Å)
227	A:148:ARG:HB3	A:161:TYR:CE1	0.502
227	A:120:MET:O	A:123:GLN:HB3	0.501
227	A:14:ARG:CB	A:18:TYR:CE1	0.500
227	A:139:TYR:CE1	A:150:ILE:HD12	0.500
227	A:22:GLU:HG3	A:105:GLN:OE1	0.498
227	A:81:ASN:OD1	A:84:LEU:HB2	0.497
227	A:39:LEU:HA	A:42:ALA:HB3	0.493
227	A:94:VAL:HG22	A:158:TRP:CD1	0.493
227	A:1:MET:CE	A:158:TRP:CZ3	0.489
227	A:84:LEU:O	A:88:TYR:HB2	0.488
227	A:87:VAL:HG22	A:122:GLN:OE1	0.477
227	A:1:MET:HG3	A:5:GLU:CB	0.467
227	A:58:ILE:HD12	A:59:THR:O	0.465
227	A:50:ILE:HG23	A:52:ARG:H	0.464
227	A:29:ILE:HB	A:67:PHE:CD1	0.459
227	A:4:PHE:HZ	A:64:GLU:HG2	0.444
227	A:12:GLY:O	A:29:ILE:HA	0.442
227	A:97:ALA:O	A:100:ILE:HB	0.434
227	A:83:LYS:HB3	A:84:LEU:HD13	0.429
227	A:6:MET:HB2	A:158:TRP:CZ3	0.424
227	A:98:ALA:CB	A:153:PHE:CE1	0.422
227	A:18:TYR:CE2	A:20:ASP:HA	0.412
227	A:25:TYR:CZ	A:39:LEU:HB3	0.412

Model ID	Atom-1	Atom-2	Clash overlap (Å)
227	A:79:LEU:HD23	A:85:LYS:CG	0.411
227	A:145:ARG:O	A:149:VAL:HG23	0.410
227	A:24:TYR:CE1	A:35:LYS:HA	0.408
227	A:105:GLN:HG2	A:138:TRP:CD1	0.408
227	A:50:ILE:HG23	A:52:ARG:N	0.407
227	A:116:ASN:HB3	A:120:MET:HE2	0.406
227	A:149:VAL:O	A:152:THR:HB	0.406
227	A:33:LEU:HG	A:46:LEU:HD13	0.405
227	A:32:LEU:HA	A:32:LEU:HD12	0.402
227	A:7:LEU:HB3	A:29:ILE:HG21	0.401
228	A:17:ILE:HD12	A:43:LYS:HD3	1.151
228	A:130:ALA:HB1	A:150:ILE:HG23	1.031
228	A:91:LEU:HD21	A:126:TRP:CZ3	0.934
228	A:27:ILE:HG23	A:33:LEU:HD12	0.923
228	A:27:ILE:CG2	A:33:LEU:HD12	0.869
228	A:58:ILE:HD12	A:63:ALA:HB2	0.868
228	A:142:THR:CG2	A:145:ARG:HB2	0.867
228	A:142:THR:HG21	A:145:ARG:HB2	0.854
228	A:58:ILE:HD12	A:63:ALA:CB	0.851
228	A:24:TYR:HB2	A:32:LEU:HD11	0.841
228	A:91:LEU:HD21	A:126:TRP:HZ3	0.825
228	A:15:LEU:HD11	A:29:ILE:HG13	0.788
228	A:7:LEU:HD22	A:11:GLU:CB	0.787

Model ID	Atom-1	Atom-2	Clash overlap (Å)
228	A:106:MET:SD	A:114:PHE:HE1	0.787
228	A:15:LEU:HD11	A:29:ILE:CG1	0.781
228	A:16:LYS:HG2	A:57:VAL:HG22	0.770
228	A:17:ILE:HD12	A:43:LYS:CD	0.753
228	A:130:ALA:CB	A:150:ILE:HG23	0.742
228	A:7:LEU:HD22	A:11:GLU:HB3	0.736
228	A:16:LYS:CG	A:57:VAL:HG22	0.731
228	A:3:ILE:SG	A:97:ALA:SG	0.731
228	A:130:ALA:HB1	A:150:ILE:CG2	0.726
228	A:6:MET:HG3	A:161:TYR:CE2	0.717
228	A:106:MET:SD	A:114:PHE:CE1	0.717
228	A:13:LEU:HG	A:29:ILE:HG23	0.711
228	A:97:ALA:HA	A:100:ILE:HD12	0.686
228	A:14:ARG:HB2	A:18:TYR:CE1	0.682
228	A:150:ILE:HA	A:153:PHE:HD2	0.670
228	A:17:ILE:CD1	A:43:LYS:HD3	0.664
228	A:84:LEU:HD22	A:118:LEU:HG	0.658
228	A:24:TYR:CB	A:32:LEU:HD11	0.655
228	A:103:VAL:HG22	A:111:VAL:HG21	0.642
228	A:114:PHE:HB3	A:117:SER:HB2	0.641
228	A:7:LEU:HD22	A:11:GLU:HB2	0.634
228	A:15:LEU:HB3	A:58:ILE:HG13	0.630
228	A:103:VAL:HG22	A:111:VAL:CG2	0.630

Model ID	Atom-1	Atom-2	Clash overlap (Å)
228	A:102:MET:HE1	A:133:LEU:HG	0.624
228	A:27:ILE:HG13	A:31:HIS:HB3	0.618
228	A:139:TYR:HE1	A:150:ILE:HD12	0.618
228	A:1:MET:HG2	A:5:GLU:HB2	0.616
228	A:25:TYR:CZ	A:39:LEU:HB2	0.605
228	A:142:THR:HG22	A:145:ARG:H	0.595
228	A:1:MET:CG	A:5:GLU:HB2	0.588
228	A:79:LEU:HD21	A:84:LEU:HD12	0.586
228	A:29:ILE:HD11	A:63:ALA:HB1	0.584
228	A:50:ILE:HG13	A:54:THR:SG	0.578
228	A:16:LYS:HG3	A:57:VAL:HA	0.573
228	A:87:VAL:HG11	A:118:LEU:HD21	0.572
228	A:15:LEU:HD11	A:29:ILE:HG12	0.571
228	A:93:ALA:HA	A:96:ARG:HG3	0.565
228	A:17:ILE:HG12	A:27:ILE:CG2	0.555
228	A:25:TYR:CE1	A:39:LEU:HD13	0.555
228	A:19:LYS:HB3	A:25:TYR:CZ	0.549
228	A:1:MET:HE1	A:158:TRP:CE3	0.546
228	A:24:TYR:HB2	A:32:LEU:CD1	0.544
228	A:133:LEU:HB3	A:138:TRP:CZ3	0.533
228	A:25:TYR:CD1	A:39:LEU:HD13	0.515
228	A:1:MET:CE	A:158:TRP:CE3	0.514
228	A:98:ALA:O	A:102:MET:HG3	0.505

Model ID	Atom-1	Atom-2	Clash overlap (Å)
228	A:10:ASP:O	A:145:ARG:HD2	0.505
228	A:144:ASN:O	A:148:ARG:HG3	0.504
228	A:17:ILE:CG1	A:27:ILE:HG22	0.501
228	A:106:MET:HE2	A:138:TRP:CG	0.492
228	A:17:ILE:HG12	A:27:ILE:HG23	0.490
228	A:4:PHE:CE2	A:13:LEU:HD21	0.489
228	A:27:ILE:HG21	A:33:LEU:HD12	0.487
228	A:6:MET:SD	A:158:TRP:HZ3	0.486
228	A:15:LEU:CD1	A:29:ILE:HG13	0.484
228	A:50:ILE:HG22	A:52:ARG:HB2	0.483
228	A:142:THR:HG21	A:145:ARG:HD3	0.481
228	A:124:LYS:HG2	A:126:TRP:CZ2	0.480
228	A:7:LEU:HA	A:10:ASP:HB2	0.479
228	A:132:ASN:OD1	A:133:LEU:HD12	0.473
228	A:142:THR:HG22	A:145:ARG:HB2	0.470
228	A:120:MET:O	A:123:GLN:HB3	0.467
228	A:75:VAL:O	A:79:LEU:HB2	0.464
228	A:116:ASN:HD22	A:119:ARG:HE	0.464
228	A:124:LYS:HG2	A:126:TRP:CH2	0.461
228	A:4:PHE:CE2	A:13:LEU:CD2	0.458
228	A:95:ARG:HD2	A:126:TRP:CE3	0.457
228	A:33:LEU:HG	A:46:LEU:HG	0.454
228	A:27:ILE:HG12	A:33:LEU:HB2	0.444

Model ID	Atom-1	Atom-2	Clash overlap (Å)
228	A:59:THR:OG1	A:62:GLU:HB3	0.443
228	A:6:MET:HE3	A:7:LEU:HD12	0.442
228	A:133:LEU:HB3	A:138:TRP:HZ3	0.441
228	A:139:TYR:HE1	A:150:ILE:CD1	0.439
228	A:105:GLN:HB3	A:138:TRP:HD1	0.437
228	A:99:LEU:O	A:99:LEU:HD23	0.435
228	A:42:ALA:O	A:46:LEU:HB2	0.429
228	A:107:GLY:O	A:111:VAL:HG23	0.428
228	A:58:ILE:HD12	A:63:ALA:HB1	0.419
228	A:139:TYR:O	A:143:PRO:HD3	0.417
228	A:102:MET:HE3	A:138:TRP:CH2	0.414
228	A:50:ILE:HG22	A:52:ARG:H	0.413
228	A:17:ILE:HG12	A:27:ILE:HG22	0.404
228	A:79:LEU:HD23	A:84:LEU:HB3	0.403
228	A:7:LEU:HD23	A:10:ASP:HB2	0.401
229	A:130:ALA:HB1	A:150:ILE:HG23	1.137
229	A:1:MET:HE1	A:158:TRP:CE3	0.850
229	A:27:ILE:CG2	A:33:LEU:HD12	0.835
229	A:7:LEU:HD22	A:11:GLU:HB2	0.834
229	A:130:ALA:CB	A:150:ILE:HG23	0.824
229	A:142:THR:CG2	A:145:ARG:HB2	0.814
229	A:6:MET:HG3	A:161:TYR:CE2	0.787
229	A:142:THR:HG21	A:145:ARG:HB2	0.767

Model ID	Atom-1	Atom-2	Clash overlap (Å)
229	A:106:MET:SD	A:114:PHE:HE1	0.754
229	A:27:ILE:HG23	A:33:LEU:HD12	0.733
229	A:50:ILE:HG13	A:54:THR:SG	0.731
229	A:3:ILE:SG	A:97:ALA:SG	0.729
229	A:7:LEU:HB3	A:13:LEU:HD13	0.725
229	A:6:MET:CE	A:97:ALA:HB1	0.722
229	A:27:ILE:HG13	A:31:HIS:HB3	0.717
229	A:81:ASN:HB3	A:84:LEU:HB2	0.695
229	A:6:MET:SD	A:158:TRP:HZ3	0.688
229	A:106:MET:SD	A:114:PHE:CE1	0.677
229	A:133:LEU:HB3	A:138:TRP:HZ3	0.653
229	A:27:ILE:HG21	A:33:LEU:HD12	0.647
229	A:121:LEU:HD21	A:129:ALA:HB2	0.647
229	A:124:LYS:HG3	A:126:TRP:CZ2	0.647
229	A:50:ILE:HG22	A:52:ARG:H	0.644
229	A:27:ILE:HD13	A:33:LEU:HD23	0.642
229	A:25:TYR:CE1	A:39:LEU:HB2	0.640
229	A:116:ASN:HB3	A:120:MET:HE1	0.628
229	A:75:VAL:HA	A:79:LEU:HB3	0.626
229	A:139:TYR:HE1	A:150:ILE:HD12	0.617
229	A:1:MET:HG3	A:5:GLU:HB3	0.616
229	A:1:MET:CG	A:5:GLU:HB3	0.614
229	A:7:LEU:CD2	A:11:GLU:HB2	0.612

Model ID	Atom-1	Atom-2	Clash overlap (Å)
229	A:7:LEU:HD22	A:11:GLU:CB	0.612
229	A:98:ALA:HB1	A:153:PHE:CZ	0.603
229	A:1:MET:CE	A:6:MET:HB2	0.598
229	A:25:TYR:CZ	A:39:LEU:HB2	0.585
229	A:6:MET:HE2	A:97:ALA:HB1	0.580
229	A:27:ILE:HG12	A:33:LEU:HB2	0.574
229	A:6:MET:HE3	A:7:LEU:CD1	0.571
229	A:6:MET:HE3	A:7:LEU:HD12	0.566
229	A:6:MET:HE1	A:97:ALA:HB1	0.564
229	A:33:LEU:HD21	A:46:LEU:HD11	0.562
229	A:142:THR:HG22	A:145:ARG:H	0.558
229	A:95:ARG:HD3	A:126:TRP:CE2	0.548
229	A:121:LEU:CD2	A:129:ALA:HB2	0.538
229	A:124:LYS:CG	A:126:TRP:CZ2	0.536
229	A:130:ALA:HB1	A:150:ILE:CG2	0.534
229	A:10:ASP:HB3	A:145:ARG:HG2	0.525
229	A:58:ILE:HD12	A:63:ALA:HB2	0.522
229	A:103:VAL:HG22	A:111:VAL:HG22	0.515
229	A:25:TYR:CD1	A:39:LEU:HD13	0.512
229	A:17:ILE:CG1	A:27:ILE:HG22	0.510
229	A:22:GLU:HB3	A:24:TYR:CZ	0.502
229	A:4:PHE:CZ	A:29:ILE:HG21	0.501
229	A:102:MET:HE1	A:133:LEU:HG	0.499

Model ID	Atom-1	Atom-2	Clash overlap (Å)
229	A:14:ARG:HG2	A:16:LYS:HD3	0.497
229	A:17:ILE:HB	A:43:LYS:HD3	0.495
229	A:1:MET:HE2	A:6:MET:HB2	0.494
229	A:1:MET:CE	A:158:TRP:CE3	0.494
229	A:98:ALA:O	A:102:MET:HG3	0.493
229	A:16:LYS:CG	A:57:VAL:HG22	0.491
229	A:6:MET:HG3	A:161:TYR:CZ	0.489
229	A:114:PHE:HB3	A:117:SER:HB2	0.489
229	A:17:ILE:HD12	A:43:LYS:HD3	0.487
229	A:16:LYS:HG2	A:57:VAL:CG2	0.486
229	A:102:MET:O	A:106:MET:HE3	0.485
229	A:127:ASP:O	A:131:VAL:HG23	0.485
229	A:17:ILE:HG12	A:27:ILE:CG2	0.483
229	A:29:ILE:HG22	A:104:PHE:CZ	0.477
229	A:139:TYR:CE1	A:150:ILE:CD1	0.475
229	A:19:LYS:HB3	A:25:TYR:CE1	0.471
229	A:22:GLU:HB3	A:24:TYR:CE2	0.469
229	A:1:MET:HG2	A:5:GLU:CB	0.466
229	A:120:MET:O	A:123:GLN:HB3	0.466
229	A:139:TYR:HE1	A:150:ILE:CD1	0.459
229	A:121:LEU:HD21	A:129:ALA:CB	0.451
229	A:148:ARG:HG2	A:160:ALA:HB1	0.447
229	A:91:LEU:HD21	A:126:TRP:HZ3	0.445

Model ID	Atom-1	Atom-2	Clash overlap (Å)
229	A:103:VAL:HG22	A:111:VAL:CG2	0.445
229	A:59:THR:OG1	A:62:GLU:HB3	0.444
229	A:94:VAL:HG13	A:158:TRP:CZ2	0.440
229	A:43:LYS:HB3	A:43:LYS:HZ2	0.438
229	A:98:ALA:HB1	A:153:PHE:CE2	0.436
229	A:1:MET:HG2	A:5:GLU:HB3	0.435
229	A:17:ILE:HD12	A:43:LYS:CD	0.435
229	A:27:ILE:CG1	A:31:HIS:HB3	0.433
229	A:10:ASP:HB3	A:145:ARG:CG	0.432
229	A:142:THR:HG21	A:145:ARG:HD3	0.425
229	A:14:ARG:H	A:18:TYR:HE1	0.425
229	A:17:ILE:HG12	A:27:ILE:HG22	0.422
229	A:17:ILE:HG13	A:27:ILE:HG22	0.419
229	A:107:GLY:O	A:111:VAL:HG23	0.418
229	A:81:ASN:CB	A:84:LEU:HB2	0.417
229	A:15:LEU:HD11	A:29:ILE:HD11	0.409
229	A:1:MET:HG2	A:2:ASN:O	0.408
229	A:4:PHE:CZ	A:29:ILE:HD13	0.406
229	A:84:LEU:HA	A:84:LEU:HD22	0.406
229	A:114:PHE:O	A:117:SER:HB2	0.403
229	A:22:GLU:HG2	A:141:GLN:NE2	0.402
229	A:50:ILE:HG21	A:54:THR:SG	0.401
230	A:103:VAL:HG22	A:111:VAL:HG21	1.044

Model ID	Atom-1	Atom-2	Clash overlap (Å)
230	A:103:VAL:HG22	A:111:VAL:CG2	0.834
230	A:124:LYS:HG3	A:126:TRP:CZ2	0.789
230	A:16:LYS:CG	A:57:VAL:HG22	0.762
230	A:25:TYR:CE2	A:39:LEU:HB2	0.745
230	A:78:ILE:HG22	A:79:LEU:HD12	0.741
230	A:14:ARG:HB2	A:18:TYR:HE1	0.723
230	A:102:MET:HE1	A:133:LEU:HG	0.713
230	A:16:LYS:HG2	A:57:VAL:HG22	0.691
230	A:78:ILE:HG21	A:88:TYR:CD2	0.689
230	A:3:ILE:SG	A:97:ALA:SG	0.686
230	A:1:MET:HE2	A:158:TRP:CE3	0.677
230	A:97:ALA:HA	A:100:ILE:HD12	0.627
230	A:16:LYS:HG3	A:57:VAL:HG22	0.626
230	A:50:ILE:HG21	A:54:THR:SG	0.624
230	A:17:ILE:CG2	A:25:TYR:HD1	0.621
230	A:99:LEU:HD13	A:121:LEU:HD11	0.621
230	A:102:MET:HE3	A:138:TRP:CZ3	0.614
230	A:14:ARG:CB	A:18:TYR:HE1	0.606
230	A:79:LEU:HD23	A:85:LYS:HG2	0.595
230	A:102:MET:HE1	A:133:LEU:HB3	0.594
230	A:75:VAL:HG13	A:79:LEU:HD13	0.580
230	A:102:MET:HE1	A:133:LEU:CG	0.569
230	A:45:GLU:HA	A:48:LYS:HB2	0.568

Model ID	Atom-1	Atom-2	Clash overlap (Å)
230	A:106:MET:HE2	A:138:TRP:CG	0.553
230	A:102:MET:HE1	A:133:LEU:CB	0.550
230	A:17:ILE:CG2	A:25:TYR:CD1	0.533
230	A:78:ILE:CG2	A:88:TYR:CD2	0.527
230	A:27:ILE:HG22	A:33:LEU:HD21	0.517
230	A:102:MET:HE2	A:106:MET:HE1	0.514
230	A:15:LEU:O	A:27:ILE:HD11	0.503
230	A:130:ALA:HB2	A:150:ILE:HG23	0.497
230	A:16:LYS:HG2	A:57:VAL:CG2	0.494
230	A:50:ILE:HG12	A:62:GLU:HG3	0.494
230	A:102:MET:HE3	A:138:TRP:CH2	0.487
230	A:102:MET:CE	A:133:LEU:HG	0.484
230	A:6:MET:HG3	A:161:TYR:CE2	0.477
230	A:90:SER:O	A:91:LEU:HD22	0.476
230	A:115:THR:O	A:119:ARG:HG3	0.476
230	A:17:ILE:HG22	A:25:TYR:HD1	0.475
230	A:11:GLU:HB2	A:29:ILE:O	0.473
230	A:118:LEU:HD13	A:121:LEU:HD12	0.472
230	A:144:ASN:HB3	A:148:ARG:HH12	0.470
230	A:17:ILE:HG12	A:27:ILE:HB	0.466
230	A:130:ALA:CB	A:150:ILE:HG23	0.465
230	A:6:MET:HB2	A:158:TRP:CZ3	0.463
230	A:79:LEU:HA	A:85:LYS:HG3	0.463

Model ID	Atom-1	Atom-2	Clash overlap (Å)
230	A:1:MET:CG	A:5:GLU:HB2	0.458
230	A:14:ARG:CB	A:18:TYR:CE1	0.458
230	A:1:MET:HB3	A:158:TRP:CD1	0.454
230	A:79:LEU:CD2	A:85:LYS:HG2	0.454
230	A:103:VAL:CG2	A:111:VAL:HG21	0.443
230	A:6:MET:HE2	A:101:ASN:HD22	0.441
230	A:16:LYS:HA	A:56:GLY:O	0.440
230	A:1:MET:HG3	A:5:GLU:CB	0.436
230	A:97:ALA:O	A:100:ILE:HB	0.435
230	A:6:MET:HG3	A:161:TYR:CZ	0.432
230	A:25:TYR:CE2	A:39:LEU:CB	0.429
230	A:1:MET:HE2	A:158:TRP:CZ3	0.427
230	A:98:ALA:HB3	A:153:PHE:CE1	0.427
230	A:148:ARG:HB3	A:161:TYR:CE1	0.426
230	A:17:ILE:HG22	A:25:TYR:CD1	0.422
230	A:15:LEU:O	A:58:ILE:HG13	0.417
230	A:26:THR:HA	A:31:HIS:O	0.416
230	A:78:ILE:HG21	A:88:TYR:CE2	0.413
230	A:139:TYR:HD1	A:146:ALA:HB1	0.413
230	A:93:ALA:HA	A:96:ARG:HB2	0.412
230	A:116:ASN:HB3	A:120:MET:HE2	0.412
230	A:7:LEU:HD11	A:104:PHE:CD1	0.410
230	A:29:ILE:HB	A:67:PHE:CD1	0.409

Model ID	Atom-1	Atom-2	Clash overlap (Å)
230	A:145:ARG:O	A:149:VAL:HG23	0.409
230	A:90:SER:C	A:91:LEU:HD22	0.406
230	A:3:ILE:SG	A:100:ILE:HD13	0.405
231	A:130:ALA:HB1	A:150:ILE:HG23	1.010
231	A:27:ILE:HG23	A:33:LEU:HD12	0.964
231	A:7:LEU:HD22	A:11:GLU:HB2	0.936
231	A:27:ILE:CG2	A:33:LEU:HD12	0.877
231	A:81:ASN:HB3	A:84:LEU:HB2	0.862
231	A:97:ALA:HB3	A:158:TRP:HH2	0.850
231	A:106:MET:SD	A:114:PHE:HE1	0.782
231	A:58:ILE:HD12	A:63:ALA:HB2	0.779
231	A:7:LEU:HD22	A:11:GLU:CB	0.765
231	A:6:MET:HG3	A:161:TYR:CE2	0.759
231	A:58:ILE:HD12	A:63:ALA:CB	0.745
231	A:130:ALA:HB1	A:150:ILE:CG2	0.732
231	A:3:ILE:SG	A:97:ALA:SG	0.720
231	A:106:MET:SD	A:114:PHE:CE1	0.714
231	A:10:ASP:HB3	A:145:ARG:HG3	0.705
231	A:106:MET:HE2	A:138:TRP:CG	0.693
231	A:130:ALA:CB	A:150:ILE:HG23	0.680
231	A:81:ASN:HD22	A:84:LEU:HD23	0.677
231	A:22:GLU:HB3	A:24:TYR:CE2	0.672
231	A:98:ALA:HB1	A:153:PHE:CZ	0.671

Model ID	Atom-1	Atom-2	Clash overlap (Å)
231	A:114:PHE:HB3	A:117:SER:HB2	0.671
231	A:27:ILE:HG13	A:31:HIS:HB3	0.667
231	A:99:LEU:HA	A:102:MET:HG3	0.662
231	A:17:ILE:HD12	A:43:LYS:HD3	0.643
231	A:7:LEU:CD2	A:11:GLU:HB2	0.631
231	A:16:LYS:HG3	A:57:VAL:HG22	0.612
231	A:102:MET:HE1	A:133:LEU:HG	0.612
231	A:103:VAL:HG22	A:111:VAL:CG2	0.606
231	A:1:MET:CG	A:5:GLU:HB2	0.605
231	A:79:LEU:HD22	A:85:LYS:HG3	0.589
231	A:9:ILE:HD13	A:161:TYR:HB3	0.588
231	A:133:LEU:HB3	A:138:TRP:HZ3	0.585
231	A:27:ILE:HD13	A:33:LEU:HD23	0.567
231	A:97:ALA:HB3	A:158:TRP:CH2	0.561
231	A:106:MET:HB3	A:110:GLY:HA3	0.556
231	A:4:PHE:CE2	A:13:LEU:HD21	0.553
231	A:4:PHE:CZ	A:29:ILE:HD13	0.553
231	A:1:MET:HG2	A:5:GLU:HB2	0.550
231	A:22:GLU:HB3	A:24:TYR:HE2	0.549
231	A:16:LYS:HD3	A:43:LYS:HE2	0.543
231	A:67:PHE:CE2	A:71:VAL:CG2	0.524
231	A:6:MET:SD	A:158:TRP:HZ3	0.524
231	A:14:ARG:HB3	A:18:TYR:CE1	0.518

Model ID	Atom-1	Atom-2	Clash overlap (Å)
231	A:116:ASN:HB3	A:120:MET:HE1	0.514
231	A:97:ALA:CB	A:158:TRP:HH2	0.511
231	A:103:VAL:HG22	A:111:VAL:HG21	0.510
231	A:6:MET:HG3	A:161:TYR:CZ	0.501
231	A:25:TYR:CE1	A:39:LEU:HD13	0.499
231	A:16:LYS:HA	A:56:GLY:C	0.493
231	A:50:ILE:HG13	A:54:THR:SG	0.475
231	A:1:MET:HE1	A:158:TRP:CE3	0.471
231	A:46:LEU:O	A:50:ILE:HG12	0.468
231	A:17:ILE:CG1	A:27:ILE:HG22	0.467
231	A:50:ILE:HG22	A:52:ARG:HB2	0.467
231	A:50:ILE:HB	A:52:ARG:H	0.461
231	A:67:PHE:CE2	A:71:VAL:HG23	0.461
231	A:92:ASP:O	A:96:ARG:HG3	0.461
231	A:103:VAL:HG22	A:111:VAL:HG22	0.461
231	A:25:TYR:HB2	A:34:THR:CG2	0.455
231	A:117:SER:O	A:121:LEU:HG	0.455
231	A:16:LYS:CG	A:57:VAL:HG22	0.446
231	A:1:MET:CE	A:158:TRP:CE3	0.443
231	A:16:LYS:HA	A:56:GLY:O	0.440
231	A:15:LEU:HD21	A:63:ALA:HB1	0.439
231	A:151:THR:HG21	A:160:ALA:HB2	0.439
231	A:27:ILE:CG1	A:31:HIS:HB3	0.438

Model ID	Atom-1	Atom-2	Clash overlap (Å)
231	A:19:LYS:HB3	A:25:TYR:CE1	0.437
231	A:17:ILE:HG12	A:27:ILE:CG2	0.435
231	A:129:ALA:HA	A:132:ASN:HD22	0.434
231	A:142:THR:HG22	A:145:ARG:H	0.434
231	A:4:PHE:CZ	A:13:LEU:HD21	0.433
231	A:4:PHE:HZ	A:29:ILE:HD13	0.430
231	A:42:ALA:O	A:46:LEU:HB2	0.429
231	A:1:MET:SD	A:6:MET:HB2	0.428
231	A:4:PHE:CE1	A:29:ILE:HD13	0.427
231	A:25:TYR:CZ	A:39:LEU:HB2	0.427
231	A:34:THR:HG21	A:42:ALA:HB1	0.424
231	A:133:LEU:HD22	A:138:TRP:CE3	0.422
231	A:139:TYR:CE1	A:150:ILE:HD12	0.422
231	A:10:ASP:HB3	A:145:ARG:CG	0.420
231	A:142:THR:HG21	A:145:ARG:HB2	0.420
231	A:91:LEU:HD21	A:126:TRP:CZ3	0.413
231	A:124:LYS:HG2	A:126:TRP:CH2	0.408
231	A:4:PHE:HE2	A:13:LEU:HD21	0.405
231	A:16:LYS:HG3	A:57:VAL:CG2	0.405
231	A:50:ILE:CG2	A:52:ARG:HB2	0.403
231	A:59:THR:OG1	A:62:GLU:HB3	0.403
231	A:9:ILE:CD1	A:161:TYR:HB3	0.403
231	A:93:ALA:O	A:96:ARG:HB2	0.402

Model ID	Atom-1	Atom-2	Clash overlap (Å)
231	A:97:ALA:HA	A:100:ILE:HD12	0.401
232	A:130:ALA:HB1	A:150:ILE:HG23	1.109
232	A:103:VAL:HG22	A:111:VAL:HG21	1.090
232	A:16:LYS:HG2	A:57:VAL:HG22	0.951
232	A:97:ALA:HB3	A:158:TRP:HH2	0.949
232	A:27:ILE:HG23	A:33:LEU:HD12	0.905
232	A:9:ILE:HD13	A:161:TYR:HB3	0.900
232	A:33:LEU:HD11	A:46:LEU:HG	0.885
232	A:27:ILE:CG2	A:33:LEU:HD12	0.867
232	A:103:VAL:HG22	A:111:VAL:CG2	0.848
232	A:97:ALA:HB3	A:158:TRP:CH2	0.812
232	A:130:ALA:CB	A:150:ILE:HG23	0.756
232	A:58:ILE:HD12	A:63:ALA:CB	0.754
232	A:106:MET:SD	A:114:PHE:HE1	0.754
232	A:16:LYS:CG	A:57:VAL:HG22	0.753
232	A:10:ASP:HB3	A:145:ARG:HG3	0.745
232	A:14:ARG:HD3	A:16:LYS:HE2	0.735
232	A:97:ALA:CB	A:158:TRP:HH2	0.732
232	A:6:MET:HG3	A:161:TYR:CE2	0.725
232	A:3:ILE:SG	A:97:ALA:SG	0.719
232	A:33:LEU:CD1	A:46:LEU:HG	0.697
232	A:58:ILE:HD12	A:63:ALA:HB2	0.695
232	A:50:ILE:HG22	A:52:ARG:H	0.692

Model ID	Atom-1	Atom-2	Clash overlap (Å)
232	A:106:MET:SD	A:114:PHE:CE1	0.683
232	A:13:LEU:HG	A:29:ILE:HG23	0.669
232	A:27:ILE:HG13	A:31:HIS:HB3	0.652
232	A:67:PHE:CE2	A:71:VAL:HG21	0.620
232	A:10:ASP:HA	A:148:ARG:HH21	0.615
232	A:17:ILE:HD12	A:43:LYS:HD2	0.607
232	A:19:LYS:HB3	A:25:TYR:CE1	0.606
232	A:9:ILE:CD1	A:161:TYR:HB3	0.602
232	A:75:VAL:HA	A:78:ILE:HB	0.597
232	A:142:THR:CG2	A:145:ARG:HB3	0.595
232	A:16:LYS:HG2	A:57:VAL:CG2	0.593
232	A:81:ASN:CB	A:84:LEU:HB2	0.570
232	A:27:ILE:HG21	A:33:LEU:HD12	0.568
232	A:139:TYR:CE1	A:150:ILE:HD12	0.563
232	A:67:PHE:CZ	A:71:VAL:HG21	0.556
232	A:25:TYR:CE1	A:39:LEU:HD13	0.550
232	A:98:ALA:HB1	A:153:PHE:CE2	0.545
232	A:6:MET:SD	A:158:TRP:HZ3	0.543
232	A:125:ARG:HB3	A:128:GLU:HB2	0.538
232	A:81:ASN:HB3	A:84:LEU:HB2	0.537
232	A:52:ARG:HH21	A:66:LEU:HD23	0.533
232	A:4:PHE:CE1	A:29:ILE:HG21	0.531
232	A:130:ALA:HB1	A:150:ILE:CG2	0.530

Model ID	Atom-1	Atom-2	Clash overlap (Å)
232	A:1:MET:SD	A:6:MET:HB2	0.519
232	A:81:ASN:HB2	A:84:LEU:CB	0.519
232	A:46:LEU:O	A:50:ILE:HD12	0.512
232	A:24:TYR:CZ	A:141:GLN:HA	0.507
232	A:50:ILE:HG22	A:52:ARG:HB2	0.502
232	A:33:LEU:HD11	A:46:LEU:CG	0.500
232	A:1:MET:HE2	A:5:GLU:OE1	0.499
232	A:116:ASN:HB3	A:120:MET:HE1	0.491
232	A:98:ALA:O	A:102:MET:HG3	0.488
232	A:4:PHE:CZ	A:13:LEU:HD21	0.485
232	A:14:ARG:HB3	A:18:TYR:CD1	0.485
232	A:16:LYS:HA	A:56:GLY:C	0.480
232	A:94:VAL:HG13	A:158:TRP:CE2	0.479
232	A:121:LEU:C	A:124:LYS:H	0.479
232	A:42:ALA:O	A:46:LEU:HB2	0.477
232	A:14:ARG:HB3	A:18:TYR:CE1	0.476
232	A:94:VAL:HG22	A:158:TRP:HE1	0.475
232	A:24:TYR:CE1	A:35:LYS:HB3	0.474
232	A:39:LEU:O	A:43:LYS:HG2	0.472
232	A:4:PHE:CZ	A:29:ILE:HD13	0.471
232	A:50:ILE:CG2	A:52:ARG:HB2	0.470
232	A:7:LEU:HG	A:104:PHE:CE2	0.469
232	A:50:ILE:HG21	A:54:THR:SG	0.467

Model ID	Atom-1	Atom-2	Clash overlap (Å)
232	A:115:THR:HA	A:118:LEU:HB2	0.462
232	A:24:TYR:CE2	A:141:GLN:HA	0.461
232	A:6:MET:HG3	A:161:TYR:HE2	0.457
232	A:127:ASP:O	A:131:VAL:HG23	0.457
232	A:24:TYR:HB3	A:32:LEU:HD11	0.449
232	A:92:ASP:O	A:96:ARG:HG3	0.449
232	A:52:ARG:NH2	A:66:LEU:HD23	0.448
232	A:4:PHE:CZ	A:29:ILE:HG21	0.447
232	A:133:LEU:HB3	A:138:TRP:HZ3	0.444
232	A:142:THR:HG21	A:145:ARG:HB3	0.444
232	A:15:LEU:HD23	A:58:ILE:CD1	0.443
232	A:15:LEU:CD2	A:58:ILE:HD11	0.442
232	A:11:GLU:HG2	A:30:GLY:HA2	0.437
232	A:133:LEU:HD22	A:138:TRP:CE3	0.437
232	A:25:TYR:CD1	A:39:LEU:HD13	0.434
232	A:59:THR:OG1	A:62:GLU:HB3	0.434
232	A:114:PHE:CE2	A:133:LEU:HD21	0.432
232	A:15:LEU:HD23	A:58:ILE:HD11	0.428
232	A:27:ILE:HD13	A:33:LEU:HD23	0.428
232	A:1:MET:HE1	A:158:TRP:CE3	0.426
232	A:7:LEU:CD2	A:11:GLU:HB2	0.423
232	A:24:TYR:CE1	A:141:GLN:HG3	0.422
232	A:148:ARG:HD2	A:161:TYR:CD1	0.422

Model ID	Atom-1	Atom-2	Clash overlap (Å)
232	A:98:ALA:HB1	A:153:PHE:CZ	0.421
232	A:66:LEU:O	A:66:LEU:HD13	0.418
232	A:93:ALA:O	A:96:ARG:HB2	0.418
232	A:1:MET:CG	A:5:GLU:HB3	0.416
232	A:125:ARG:HG3	A:128:GLU:OE1	0.413
232	A:24:TYR:CD1	A:141:GLN:HG3	0.409
232	A:50:ILE:HD13	A:54:THR:SG	0.408
232	A:6:MET:SD	A:158:TRP:CZ3	0.404
232	A:19:LYS:HA	A:24:TYR:O	0.403
232	A:88:TYR:HE1	A:96:ARG:O	0.401
233	A:16:LYS:HG3	A:57:VAL:HG22	0.975
233	A:103:VAL:HG22	A:111:VAL:HG21	0.932
233	A:6:MET:HG3	A:161:TYR:CE2	0.903
233	A:79:LEU:HD22	A:85:LYS:HG3	0.825
233	A:1:MET:HG2	A:5:GLU:HB2	0.779
233	A:17:ILE:HG21	A:25:TYR:HD1	0.765
233	A:1:MET:HE3	A:6:MET:HB2	0.758
233	A:14:ARG:HB3	A:18:TYR:HE1	0.758
233	A:124:LYS:HG2	A:126:TRP:CZ2	0.744
233	A:106:MET:HB3	A:110:GLY:HA3	0.736
233	A:17:ILE:CG2	A:25:TYR:HD1	0.731
233	A:102:MET:HE2	A:106:MET:HE1	0.719
233	A:102:MET:HE3	A:138:TRP:CZ3	0.702

Model ID	Atom-1	Atom-2	Clash overlap (Å)
233	A:3:ILE:SG	A:97:ALA:SG	0.689
233	A:14:ARG:CB	A:18:TYR:HE1	0.686
233	A:103:VAL:HG22	A:111:VAL:CG2	0.680
233	A:50:ILE:HG21	A:54:THR:SG	0.667
233	A:1:MET:HE2	A:158:TRP:CZ3	0.619
233	A:1:MET:CE	A:6:MET:HB2	0.606
233	A:47:ASP:HB3	A:53:ASN:HD22	0.596
233	A:97:ALA:HA	A:100:ILE:HD12	0.593
233	A:6:MET:HE2	A:101:ASN:HD22	0.579
233	A:102:MET:HE1	A:133:LEU:HG	0.577
233	A:33:LEU:HD11	A:46:LEU:HD13	0.574
233	A:17:ILE:HG21	A:25:TYR:CD1	0.573
233	A:116:ASN:HB3	A:120:MET:HE1	0.571
233	A:24:TYR:HD1	A:32:LEU:HD21	0.568
233	A:33:LEU:HD13	A:42:ALA:HB1	0.563
233	A:79:LEU:HD22	A:85:LYS:CG	0.560
233	A:139:TYR:CD1	A:146:ALA:HB1	0.553
233	A:7:LEU:HD12	A:29:ILE:HG22	0.551
233	A:82:ALA:HA	A:86:PRO:HD2	0.534
233	A:98:ALA:CB	A:153:PHE:CE1	0.531
233	A:24:TYR:HB3	A:32:LEU:HD11	0.529
233	A:130:ALA:HB1	A:150:ILE:HG21	0.527
233	A:14:ARG:HB3	A:18:TYR:CE1	0.518

Model ID	Atom-1	Atom-2	Clash overlap (Å)
233	A:139:TYR:CD1	A:146:ALA:CB	0.514
233	A:47:ASP:HB3	A:53:ASN:HA	0.508
233	A:139:TYR:HD1	A:146:ALA:HB1	0.500
233	A:98:ALA:HB1	A:153:PHE:CE1	0.498
233	A:94:VAL:HG22	A:158:TRP:CD1	0.497
233	A:124:LYS:HG2	A:126:TRP:CH2	0.493
233	A:1:MET:CE	A:158:TRP:CZ3	0.492
233	A:25:TYR:HB3	A:33:LEU:HD12	0.486
233	A:6:MET:HG3	A:161:TYR:CZ	0.482
233	A:16:LYS:CG	A:57:VAL:HG22	0.481
233	A:151:THR:HG21	A:160:ALA:HB2	0.479
233	A:98:ALA:HB3	A:153:PHE:CE1	0.474
233	A:33:LEU:CD1	A:42:ALA:HB1	0.468
233	A:1:MET:CG	A:5:GLU:HB2	0.462
233	A:102:MET:HE3	A:138:TRP:CE3	0.461
233	A:29:ILE:HB	A:67:PHE:CD1	0.456
233	A:50:ILE:HG22	A:52:ARG:H	0.454
233	A:75:VAL:O	A:79:LEU:HB2	0.453
233	A:114:PHE:HB3	A:117:SER:HB2	0.451
233	A:106:MET:SD	A:114:PHE:HE1	0.451
233	A:78:ILE:HD12	A:88:TYR:CE2	0.445
233	A:6:MET:HB2	A:158:TRP:HZ3	0.441
233	A:12:GLY:C	A:13:LEU:HD12	0.440

Model ID	Atom-1	Atom-2	Clash overlap (Å)
233	A:16:LYS:HA	A:56:GLY:O	0.436
233	A:106:MET:SD	A:114:PHE:CE1	0.435
233	A:22:GLU:HB3	A:24:TYR:CE2	0.434
233	A:130:ALA:HB1	A:150:ILE:CG2	0.434
233	A:78:ILE:HD12	A:88:TYR:HE2	0.431
233	A:97:ALA:O	A:100:ILE:HB	0.431
233	A:101:ASN:O	A:104:PHE:HB2	0.428
233	A:2:ASN:CG	A:5:GLU:HG2	0.426
233	A:78:ILE:HD11	A:103:VAL:HG21	0.423
233	A:85:LYS:HA	A:88:TYR:HB2	0.423
233	A:102:MET:HE3	A:138:TRP:CH2	0.423
233	A:85:LYS:HD2	A:85:LYS:O	0.415
233	A:1:MET:HE3	A:6:MET:CB	0.413
233	A:93:ALA:HA	A:96:ARG:HB2	0.410
233	A:97:ALA:HA	A:100:ILE:HB	0.408
233	A:94:VAL:HG11	A:157:THR:N	0.405
233	A:12:GLY:O	A:13:LEU:HD12	0.402
233	A:58:ILE:HB	A:62:GLU:HB3	0.402
233	A:94:VAL:CG1	A:152:THR:HG23	0.401
233	A:106:MET:HE2	A:138:TRP:CG	0.401
233	A:15:LEU:C	A:27:ILE:HD11	0.400
234	A:1:MET:HG2	A:5:GLU:HB2	0.940
234	A:27:ILE:HG23	A:33:LEU:HD12	0.927

Model ID	Atom-1	Atom-2	Clash overlap (Å)
234	A:15:LEU:HD11	A:29:ILE:HG13	0.906
234	A:27:ILE:CG2	A:33:LEU:HD12	0.850
234	A:15:LEU:HD11	A:29:ILE:CG1	0.813
234	A:17:ILE:HD12	A:43:LYS:HD3	0.804
234	A:27:ILE:HG12	A:33:LEU:HB2	0.781
234	A:124:LYS:HG3	A:126:TRP:CZ2	0.778
234	A:58:ILE:HD12	A:63:ALA:HB2	0.777
234	A:6:MET:SD	A:158:TRP:HH2	0.763
234	A:142:THR:HG21	A:145:ARG:HB2	0.760
234	A:25:TYR:CE1	A:39:LEU:HD13	0.744
234	A:130:ALA:CB	A:150:ILE:HG23	0.733
234	A:16:LYS:HG3	A:57:VAL:HG22	0.726
234	A:106:MET:SD	A:114:PHE:CE1	0.719
234	A:130:ALA:HB1	A:150:ILE:HG23	0.718
234	A:123:GLN:HG2	A:125:ARG:HG3	0.715
234	A:3:ILE:SG	A:97:ALA:SG	0.709
234	A:79:LEU:HD23	A:81:ASN:HB2	0.707
234	A:27:ILE:HG13	A:31:HIS:HB3	0.700
234	A:106:MET:SD	A:114:PHE:HE1	0.693
234	A:6:MET:SD	A:158:TRP:CH2	0.689
234	A:19:LYS:HB3	A:25:TYR:CZ	0.671
234	A:114:PHE:HB3	A:117:SER:HB2	0.638
234	A:8:ARG:HA	A:13:LEU:HB2	0.636

Model ID	Atom-1	Atom-2	Clash overlap (Å)
234	A:25:TYR:CZ	A:39:LEU:HB2	0.636
234	A:139:TYR:HE1	A:150:ILE:HD12	0.634
234	A:142:THR:CG2	A:145:ARG:HB2	0.630
234	A:125:ARG:HD3	A:128:GLU:HG3	0.629
234	A:1:MET:HG2	A:5:GLU:CB	0.619
234	A:15:LEU:HB3	A:58:ILE:HG13	0.618
234	A:148:ARG:HB3	A:161:TYR:CE1	0.613
234	A:87:VAL:HG23	A:118:LEU:HD23	0.601
234	A:130:ALA:HB1	A:150:ILE:CG2	0.595
234	A:33:LEU:HD11	A:46:LEU:HG	0.591
234	A:79:LEU:HD21	A:84:LEU:HB3	0.586
234	A:16:LYS:HG3	A:57:VAL:CG2	0.564
234	A:15:LEU:CD1	A:29:ILE:HG13	0.562
234	A:119:ARG:HD2	A:120:MET:SD	0.547
234	A:137:ARG:HH21	A:141:GLN:HE21	0.540
234	A:148:ARG:HD2	A:161:TYR:HD1	0.535
234	A:114:PHE:CE2	A:133:LEU:CD2	0.533
234	A:13:LEU:HG	A:29:ILE:HG23	0.530
234	A:92:ASP:O	A:96:ARG:HB2	0.525
234	A:17:ILE:HB	A:43:LYS:HD3	0.519
234	A:27:ILE:HD13	A:33:LEU:HD23	0.519
234	A:15:LEU:HD11	A:29:ILE:HG12	0.518
234	A:17:ILE:CG1	A:27:ILE:HG22	0.517

Model ID	Atom-1	Atom-2	Clash overlap (Å)
234	A:58:ILE:HD12	A:63:ALA:CB	0.516
234	A:1:MET:HE3	A:2:ASN:O	0.504
234	A:25:TYR:CD1	A:39:LEU:HD13	0.500
234	A:17:ILE:HG13	A:27:ILE:HG22	0.499
234	A:133:LEU:HD22	A:138:TRP:CE3	0.499
234	A:148:ARG:HB3	A:161:TYR:HE1	0.499
234	A:77:GLY:O	A:80:ARG:HG2	0.496
234	A:124:LYS:CG	A:126:TRP:CZ2	0.494
234	A:4:PHE:CZ	A:29:ILE:HG12	0.488
234	A:24:TYR:HB2	A:32:LEU:HD11	0.487
234	A:50:ILE:HG13	A:54:THR:SG	0.480
234	A:10:ASP:O	A:145:ARG:HD2	0.480
234	A:103:VAL:HG22	A:111:VAL:HG21	0.479
234	A:106:MET:HE2	A:138:TRP:CD1	0.464
234	A:148:ARG:CB	A:161:TYR:HE1	0.464
234	A:139:TYR:HE1	A:150:ILE:CD1	0.464
234	A:59:THR:OG1	A:62:GLU:HB3	0.463
234	A:133:LEU:HB3	A:138:TRP:HZ3	0.463
234	A:6:MET:HG3	A:161:TYR:CE2	0.460
234	A:17:ILE:HG12	A:27:ILE:CG2	0.457
234	A:102:MET:O	A:106:MET:HG2	0.454
234	A:123:GLN:CG	A:125:ARG:HG3	0.453
234	A:31:HIS:HA	A:104:PHE:CD1	0.450

Model ID	Atom-1	Atom-2	Clash overlap (Å)
234	A:127:ASP:HB2	A:154:ARG:NE	0.449
234	A:149:VAL:HG12	A:153:PHE:CE2	0.448
234	A:7:LEU:HD22	A:30:GLY:HA3	0.445
234	A:63:ALA:O	A:67:PHE:HB2	0.445
234	A:103:VAL:HG22	A:111:VAL:CG2	0.439
234	A:15:LEU:HD12	A:28:GLY:O	0.438
234	A:102:MET:HB3	A:106:MET:HE3	0.435
234	A:142:THR:HG22	A:145:ARG:H	0.425
234	A:31:HIS:HB2	A:67:PHE:HZ	0.423
234	A:27:ILE:HD11	A:31:HIS:CD2	0.422
234	A:150:ILE:HA	A:153:PHE:HD2	0.422
234	A:42:ALA:O	A:46:LEU:HB2	0.420
234	A:107:GLY:O	A:111:VAL:HG23	0.417
234	A:95:ARG:HG2	A:153:PHE:CD1	0.413
234	A:123:GLN:HG2	A:125:ARG:CG	0.411
234	A:74:ALA:O	A:78:ILE:HG12	0.407
234	A:17:ILE:HG12	A:27:ILE:HG23	0.405
234	A:148:ARG:HD2	A:161:TYR:CD1	0.404
234	A:101:ASN:O	A:104:PHE:HB2	0.404
234	A:121:LEU:C	A:124:LYS:H	0.402
235	A:94:VAL:HG12	A:152:THR:HG23	1.085
235	A:16:LYS:HG2	A:57:VAL:HG22	1.083
235	A:29:ILE:HD13	A:67:PHE:HB2	0.980

Model ID	Atom-1	Atom-2	Clash overlap (Å)
235	A:124:LYS:HG2	A:126:TRP:CZ2	0.915
235	A:1:MET:HG3	A:5:GLU:HB2	0.895
235	A:16:LYS:HG2	A:57:VAL:CG2	0.824
235	A:94:VAL:CG1	A:152:THR:HG23	0.816
235	A:14:ARG:HB3	A:18:TYR:HE1	0.796
235	A:3:ILE:SG	A:97:ALA:SG	0.753
235	A:102:MET:HE1	A:133:LEU:HG	0.731
235	A:1:MET:HE2	A:158:TRP:CE3	0.729
235	A:25:TYR:CE2	A:39:LEU:HB3	0.713
235	A:14:ARG:HB3	A:18:TYR:CE1	0.711
235	A:1:MET:HE2	A:158:TRP:CZ3	0.703
235	A:102:MET:HE2	A:106:MET:HE1	0.673
235	A:4:PHE:HD1	A:67:PHE:CD2	0.668
235	A:16:LYS:CG	A:57:VAL:HG22	0.656
235	A:33:LEU:HD21	A:46:LEU:HD13	0.651
235	A:94:VAL:HG12	A:152:THR:CG2	0.642
235	A:1:MET:HG3	A:5:GLU:CB	0.638
235	A:139:TYR:HD1	A:146:ALA:HB1	0.635
235	A:102:MET:HE3	A:138:TRP:CZ3	0.628
235	A:114:PHE:CE2	A:133:LEU:HD21	0.626
235	A:102:MET:HE1	A:133:LEU:HB3	0.622
235	A:124:LYS:HG2	A:126:TRP:HZ2	0.610
235	A:1:MET:HE1	A:161:TYR:HB3	0.593

Model ID	Atom-1	Atom-2	Clash overlap (Å)
235	A:79:LEU:HA	A:85:LYS:HG3	0.590
235	A:87:VAL:HG12	A:91:LEU:HD13	0.588
235	A:17:ILE:HG12	A:33:LEU:HD11	0.571
235	A:27:ILE:HD11	A:58:ILE:HG12	0.552
235	A:102:MET:CE	A:133:LEU:HG	0.542
235	A:102:MET:HE1	A:133:LEU:CB	0.541
235	A:102:MET:HE3	A:138:TRP:CH2	0.537
235	A:50:ILE:HG22	A:52:ARG:H	0.520
235	A:15:LEU:HD22	A:58:ILE:HG13	0.514
235	A:6:MET:HB2	A:158:TRP:CZ3	0.512
235	A:6:MET:HE1	A:98:ALA:HA	0.511
235	A:102:MET:HE1	A:133:LEU:CG	0.511
235	A:46:LEU:O	A:50:ILE:HG12	0.510
235	A:98:ALA:HB1	A:153:PHE:CE1	0.502
235	A:1:MET:HB2	A:5:GLU:HG3	0.501
235	A:139:TYR:CD1	A:146:ALA:HB1	0.498
235	A:27:ILE:CD1	A:58:ILE:HG12	0.496
235	A:81:ASN:OD1	A:83:LYS:HG3	0.494
235	A:97:ALA:HA	A:100:ILE:HB	0.492
235	A:102:MET:SD	A:153:PHE:HE2	0.485
235	A:78:ILE:CD1	A:84:LEU:HD22	0.484
235	A:50:ILE:HG21	A:54:THR:SG	0.479
235	A:50:ILE:HG23	A:62:GLU:OE2	0.477

Model ID	Atom-1	Atom-2	Clash overlap (Å)
235	A:14:ARG:CB	A:18:TYR:CE1	0.476
235	A:118:LEU:HD13	A:121:LEU:HD12	0.476
235	A:94:VAL:HG22	A:158:TRP:CD1	0.473
235	A:13:LEU:O	A:15:LEU:HD12	0.472
235	A:43:LYS:HD2	A:43:LYS:O	0.472
235	A:44:SER:O	A:48:LYS:HB2	0.471
235	A:79:LEU:HD22	A:85:LYS:HG3	0.471
235	A:98:ALA:CB	A:153:PHE:CE1	0.469
235	A:120:MET:O	A:123:GLN:HB3	0.465
235	A:101:ASN:O	A:104:PHE:HB2	0.461
235	A:79:LEU:HD22	A:85:LYS:CG	0.460
235	A:75:VAL:O	A:79:LEU:HB2	0.457
235	A:49:ALA:O	A:65:LYS:HE2	0.456
235	A:27:ILE:HG21	A:46:LEU:CD1	0.451
235	A:117:SER:O	A:121:LEU:HD23	0.449
235	A:116:ASN:O	A:120:MET:HG2	0.436
235	A:18:TYR:CE2	A:26:THR:HB	0.433
235	A:94:VAL:HA	A:158:TRP:CE2	0.429
235	A:94:VAL:HG22	A:158:TRP:CG	0.427
235	A:19:LYS:HG3	A:25:TYR:CZ	0.424
235	A:59:THR:H	A:62:GLU:HB2	0.423
235	A:24:TYR:HE1	A:35:LYS:CB	0.421
235	A:67:PHE:O	A:71:VAL:HG23	0.421

Model ID	Atom-1	Atom-2	Clash overlap (Å)
235	A:17:ILE:CG2	A:25:TYR:HD1	0.420
235	A:33:LEU:CD1	A:42:ALA:HB1	0.420
235	A:94:VAL:HA	A:158:TRP:CZ2	0.420
235	A:14:ARG:CB	A:18:TYR:HE1	0.419
235	A:4:PHE:CE1	A:29:ILE:HD11	0.417
235	A:4:PHE:CZ	A:64:GLU:HG3	0.417
235	A:13:LEU:CD2	A:29:ILE:HG13	0.409
235	A:8:ARG:O	A:12:GLY:HA2	0.406
235	A:17:ILE:HG22	A:25:TYR:HD1	0.403
235	A:149:VAL:O	A:152:THR:HB	0.402
235	A:106:MET:HE2	A:138:TRP:CG	0.401
236	A:130:ALA:HB1	A:150:ILE:HG23	0.968
236	A:27:ILE:HG23	A:33:LEU:HD12	0.942
236	A:16:LYS:HG3	A:57:VAL:HG22	0.911
236	A:10:ASP:HB3	A:145:ARG:HG3	0.896
236	A:58:ILE:HD12	A:63:ALA:HB2	0.882
236	A:27:ILE:CG2	A:33:LEU:HD12	0.861
236	A:58:ILE:HD12	A:63:ALA:CB	0.853
236	A:1:MET:HE1	A:158:TRP:CE3	0.841
236	A:15:LEU:HD11	A:29:ILE:HG13	0.828
236	A:142:THR:HG21	A:145:ARG:HB3	0.813
236	A:142:THR:CG2	A:145:ARG:HB3	0.806
236	A:106:MET:SD	A:114:PHE:HE1	0.768

Model ID	Atom-1	Atom-2	Clash overlap (Å)
236	A:16:LYS:CG	A:57:VAL:HG22	0.753
236	A:130:ALA:CB	A:150:ILE:HG23	0.749
236	A:27:ILE:HG13	A:31:HIS:HB3	0.737
236	A:3:ILE:SG	A:97:ALA:SG	0.719
236	A:7:LEU:HD22	A:11:GLU:HB2	0.704
236	A:6:MET:SD	A:158:TRP:HZ3	0.684
236	A:17:ILE:HG22	A:25:TYR:HD1	0.666
236	A:13:LEU:HG	A:29:ILE:HG23	0.664
236	A:1:MET:HG2	A:5:GLU:HB2	0.661
236	A:106:MET:SD	A:114:PHE:CE1	0.657
236	A:15:LEU:HB3	A:58:ILE:HG13	0.650
236	A:19:LYS:HB3	A:25:TYR:CZ	0.639
236	A:10:ASP:CB	A:145:ARG:HG3	0.628
236	A:97:ALA:HA	A:100:ILE:HD12	0.623
236	A:17:ILE:HD12	A:43:LYS:HD2	0.618
236	A:137:ARG:HA	A:140:ASN:HB3	0.612
236	A:10:ASP:HB3	A:145:ARG:CG	0.608
236	A:130:ALA:HB1	A:150:ILE:CG2	0.595
236	A:17:ILE:HD12	A:43:LYS:CD	0.585
236	A:25:TYR:CZ	A:39:LEU:HB2	0.584
236	A:133:LEU:HB3	A:138:TRP:HZ3	0.577
236	A:1:MET:CG	A:5:GLU:HB2	0.564
236	A:105:GLN:HB3	A:138:TRP:HD1	0.561

Model ID	Atom-1	Atom-2	Clash overlap (Å)
236	A:34:THR:HG21	A:42:ALA:CB	0.552
236	A:63:ALA:HA	A:67:PHE:HB3	0.547
236	A:17:ILE:HG12	A:27:ILE:HG23	0.544
236	A:17:ILE:CD1	A:43:LYS:HD2	0.540
236	A:17:ILE:HG12	A:27:ILE:CG2	0.539
236	A:6:MET:HG3	A:161:TYR:CE2	0.529
236	A:10:ASP:HA	A:148:ARG:HH21	0.527
236	A:105:GLN:CD	A:141:GLN:HG2	0.519
236	A:17:ILE:HG22	A:25:TYR:CD1	0.512
236	A:27:ILE:HG21	A:33:LEU:HD12	0.511
236	A:50:ILE:HG22	A:52:ARG:H	0.510
236	A:102:MET:HE3	A:138:TRP:CH2	0.506
236	A:17:ILE:CG2	A:25:TYR:HD1	0.505
236	A:83:LYS:HD3	A:118:LEU:HG	0.504
236	A:88:TYR:HE1	A:99:LEU:HD22	0.503
236	A:4:PHE:CZ	A:13:LEU:HD21	0.501
236	A:127:ASP:O	A:131:VAL:HG23	0.498
236	A:32:LEU:HG	A:107:GLY:HA3	0.496
236	A:93:ALA:HA	A:96:ARG:HD2	0.496
236	A:55:ASN:O	A:57:VAL:HG23	0.495
236	A:74:ALA:O	A:78:ILE:HG12	0.489
236	A:133:LEU:HB3	A:138:TRP:CZ3	0.480
236	A:14:ARG:HB3	A:18:TYR:HE1	0.477

Model ID	Atom-1	Atom-2	Clash overlap (Å)
236	A:93:ALA:HA	A:96:ARG:HB2	0.477
236	A:27:ILE:HG12	A:33:LEU:HD23	0.470
236	A:98:ALA:HB1	A:153:PHE:CE2	0.466
236	A:1:MET:CE	A:158:TRP:CE3	0.465
236	A:14:ARG:HB3	A:18:TYR:CE1	0.463
236	A:50:ILE:HG13	A:54:THR:SG	0.463
236	A:17:ILE:CG1	A:27:ILE:HG22	0.461
236	A:50:ILE:HG22	A:52:ARG:HB2	0.458
236	A:142:THR:HG21	A:145:ARG:CB	0.455
236	A:81:ASN:HB3	A:84:LEU:HB2	0.453
236	A:158:TRP:HE3	A:161:TYR:CE2	0.452
236	A:107:GLY:O	A:111:VAL:HG23	0.448
236	A:139:TYR:O	A:143:PRO:HD3	0.448
236	A:88:TYR:CE1	A:99:LEU:HD22	0.445
236	A:6:MET:SD	A:158:TRP:CZ3	0.445
236	A:114:PHE:CZ	A:133:LEU:HD21	0.444
236	A:45:GLU:OE2	A:48:LYS:HD2	0.441
236	A:88:TYR:CE1	A:99:LEU:HD13	0.439
236	A:42:ALA:O	A:46:LEU:HB2	0.436
236	A:60:LYS:O	A:63:ALA:HB3	0.436
236	A:55:ASN:HD22	A:57:VAL:HG21	0.431
236	A:91:LEU:HD21	A:126:TRP:CZ3	0.431
236	A:1:MET:HE1	A:158:TRP:HE3	0.430

Model ID	Atom-1	Atom-2	Clash overlap (Å)
236	A:39:LEU:O	A:43:LYS:HG2	0.428
236	A:121:LEU:C	A:124:LYS:H	0.428
236	A:27:ILE:CG1	A:31:HIS:HB3	0.427
236	A:101:ASN:O	A:104:PHE:HB2	0.426
236	A:50:ILE:CG2	A:52:ARG:HB2	0.425
236	A:17:ILE:HG13	A:27:ILE:HG22	0.423
236	A:117:SER:O	A:121:LEU:HD23	0.423
236	A:142:THR:HG22	A:145:ARG:H	0.423
236	A:75:VAL:O	A:79:LEU:HB2	0.422
236	A:97:ALA:HB3	A:158:TRP:HH2	0.416
236	A:19:LYS:HB3	A:25:TYR:CE1	0.415
236	A:105:GLN:HB3	A:138:TRP:CD1	0.415
236	A:25:TYR:CE1	A:39:LEU:HB2	0.410
236	A:114:PHE:O	A:117:SER:HB2	0.407
236	A:33:LEU:HG	A:46:LEU:HG	0.406
236	A:116:ASN:HB3	A:120:MET:HE1	0.405
236	A:4:PHE:HE1	A:29:ILE:HD13	0.405
236	A:84:LEU:HA	A:84:LEU:HD22	0.402
236	A:106:MET:HB3	A:106:MET:HE2	0.402
237	A:7:LEU:HD22	A:11:GLU:HB2	1.156
237	A:33:LEU:HD11	A:46:LEU:HG	0.988
237	A:15:LEU:HD11	A:29:ILE:HG13	0.898
237	A:17:ILE:HD12	A:43:LYS:HD3	0.893

Model ID	Atom-1	Atom-2	Clash overlap (Å)
237	A:27:ILE:HG23	A:33:LEU:HD12	0.883
237	A:106:MET:SD	A:114:PHE:HE1	0.856
237	A:130:ALA:HB1	A:150:ILE:HG23	0.850
237	A:27:ILE:CG2	A:33:LEU:HD12	0.843
237	A:7:LEU:HD22	A:11:GLU:CB	0.831
237	A:27:ILE:HG12	A:33:LEU:HB2	0.831
237	A:103:VAL:HG22	A:111:VAL:HG21	0.796
237	A:3:ILE:SG	A:97:ALA:SG	0.759
237	A:130:ALA:CB	A:150:ILE:HG23	0.752
237	A:102:MET:HE1	A:133:LEU:CD2	0.716
237	A:27:ILE:HG13	A:31:HIS:HB3	0.708
237	A:16:LYS:CG	A:57:VAL:HG22	0.701
237	A:7:LEU:CD2	A:11:GLU:HB2	0.674
237	A:81:ASN:HB3	A:84:LEU:HB2	0.659
237	A:1:MET:HG2	A:5:GLU:HB2	0.658
237	A:114:PHE:HB3	A:117:SER:HB2	0.657
237	A:106:MET:SD	A:114:PHE:CE1	0.639
237	A:130:ALA:HB1	A:150:ILE:CG2	0.625
237	A:1:MET:CG	A:5:GLU:HB2	0.624
237	A:17:ILE:HD12	A:43:LYS:CD	0.624
237	A:102:MET:HE1	A:133:LEU:HD22	0.622
237	A:133:LEU:HB3	A:138:TRP:HZ3	0.608
237	A:33:LEU:CD1	A:46:LEU:HG	0.589

Model ID	Atom-1	Atom-2	Clash overlap (Å)
237	A:6:MET:HG3	A:161:TYR:CE2	0.585
237	A:93:ALA:HA	A:96:ARG:HD2	0.580
237	A:16:LYS:HG3	A:57:VAL:HG22	0.571
237	A:17:ILE:HG12	A:27:ILE:HG23	0.557
237	A:27:ILE:HG21	A:33:LEU:HD12	0.556
237	A:79:LEU:HD21	A:84:LEU:HD12	0.553
237	A:33:LEU:HD11	A:46:LEU:CG	0.551
237	A:145:ARG:HA	A:148:ARG:HH21	0.532
237	A:25:TYR:CD1	A:39:LEU:HD13	0.528
237	A:25:TYR:CE1	A:39:LEU:HD13	0.526
237	A:149:VAL:HG12	A:153:PHE:HE2	0.522
237	A:15:LEU:HB3	A:58:ILE:HG13	0.516
237	A:24:TYR:HD1	A:35:LYS:HA	0.514
237	A:14:ARG:HB2	A:18:TYR:CD1	0.506
237	A:98:ALA:O	A:102:MET:HG3	0.505
237	A:102:MET:O	A:106:MET:HG2	0.505
237	A:27:ILE:HG23	A:33:LEU:CD1	0.500
237	A:33:LEU:HD21	A:46:LEU:HD21	0.500
237	A:148:ARG:HG2	A:160:ALA:HB1	0.496
237	A:149:VAL:HG12	A:153:PHE:CE2	0.494
237	A:27:ILE:HD13	A:33:LEU:HD23	0.493
237	A:15:LEU:HA	A:28:GLY:HA2	0.481
237	A:15:LEU:CD1	A:29:ILE:HG13	0.481

Model ID	Atom-1	Atom-2	Clash overlap (Å)
237	A:85:LYS:HE2	A:85:LYS:O	0.481
237	A:81:ASN:HD21	A:83:LYS:HB3	0.480
237	A:13:LEU:O	A:14:ARG:HG3	0.461
237	A:25:TYR:CZ	A:39:LEU:HB2	0.460
237	A:106:MET:HE2	A:138:TRP:CG	0.459
237	A:50:ILE:HG13	A:54:THR:SG	0.458
237	A:17:ILE:HG13	A:27:ILE:HG22	0.455
237	A:130:ALA:HB1	A:150:ILE:HG12	0.454
237	A:81:ASN:HD22	A:84:LEU:HB2	0.452
237	A:5:GLU:OE2	A:8:ARG:HD2	0.450
237	A:58:ILE:HD12	A:63:ALA:HB2	0.447
237	A:15:LEU:HG	A:28:GLY:HA2	0.446
237	A:94:VAL:HG13	A:158:TRP:CZ2	0.445
237	A:133:LEU:HB3	A:138:TRP:CZ3	0.445
237	A:6:MET:SD	A:158:TRP:HZ3	0.444
237	A:79:LEU:O	A:85:LYS:HG3	0.441
237	A:107:GLY:O	A:111:VAL:HG23	0.437
237	A:50:ILE:CG2	A:52:ARG:HB2	0.433
237	A:19:LYS:HB3	A:25:TYR:CE1	0.432
237	A:15:LEU:O	A:57:VAL:HA	0.432
237	A:81:ASN:ND2	A:83:LYS:HB3	0.432
237	A:151:THR:HG21	A:160:ALA:HB2	0.431
237	A:2:ASN:OD1	A:4:PHE:HB2	0.426

Model ID	Atom-1	Atom-2	Clash overlap (Å)
237	A:91:LEU:HD21	A:126:TRP:CZ3	0.425
237	A:10:ASP:HB3	A:145:ARG:CG	0.420
237	A:50:ILE:HG22	A:52:ARG:HB2	0.420
237	A:142:THR:CG2	A:145:ARG:HB2	0.417
237	A:158:TRP:HE3	A:161:TYR:CD2	0.416
237	A:75:VAL:O	A:79:LEU:HB2	0.414
237	A:148:ARG:HB2	A:148:ARG:HE	0.413
237	A:88:TYR:CE1	A:99:LEU:HD22	0.412
237	A:129:ALA:O	A:133:LEU:HD13	0.412
237	A:102:MET:HE3	A:138:TRP:CH2	0.408
237	A:95:ARG:HD3	A:126:TRP:CE2	0.406
237	A:15:LEU:HD21	A:63:ALA:HB2	0.404
237	A:145:ARG:O	A:149:VAL:HG23	0.404
237	A:50:ILE:HG22	A:52:ARG:H	0.403
237	A:102:MET:CE	A:133:LEU:HD22	0.403
237	A:16:LYS:HG2	A:57:VAL:HG22	0.402
238	A:16:LYS:HG3	A:57:VAL:HG22	1.053
238	A:148:ARG:HB3	A:161:TYR:HE1	0.944
238	A:106:MET:SD	A:114:PHE:HE1	0.943
238	A:22:GLU:HB3	A:24:TYR:CE2	0.932
238	A:58:ILE:HD12	A:63:ALA:HB2	0.912
238	A:130:ALA:HB1	A:150:ILE:HG23	0.901
238	A:27:ILE:CG2	A:33:LEU:HD12	0.864

Model ID	Atom-1	Atom-2	Clash overlap (Å)
238	A:58:ILE:HD12	A:63:ALA:CB	0.819
238	A:50:ILE:HG13	A:54:THR:SG	0.777
238	A:130:ALA:CB	A:150:ILE:HG23	0.771
238	A:27:ILE:HG21	A:33:LEU:HD12	0.770
238	A:10:ASP:HB3	A:145:ARG:HG3	0.727
238	A:3:ILE:SG	A:97:ALA:SG	0.719
238	A:17:ILE:HB	A:43:LYS:HD3	0.716
238	A:103:VAL:HG22	A:111:VAL:HG21	0.705
238	A:16:LYS:HG3	A:57:VAL:CG2	0.686
238	A:84:LEU:HD21	A:111:VAL:HG12	0.683
238	A:27:ILE:HG23	A:33:LEU:HD12	0.682
238	A:95:ARG:HD3	A:126:TRP:CE2	0.676
238	A:106:MET:SD	A:114:PHE:CE1	0.675
238	A:148:ARG:HB3	A:161:TYR:CE1	0.670
238	A:79:LEU:HD13	A:108:GLU:HG2	0.656
238	A:133:LEU:HB3	A:138:TRP:HZ3	0.645
238	A:4:PHE:CE2	A:13:LEU:HD23	0.631
238	A:106:MET:HE2	A:138:TRP:CG	0.627
238	A:79:LEU:HD23	A:81:ASN:HB2	0.624
238	A:17:ILE:HG13	A:27:ILE:HG22	0.620
238	A:130:ALA:HB1	A:150:ILE:HG12	0.618
238	A:27:ILE:HG13	A:31:HIS:HB3	0.614
238	A:91:LEU:HB3	A:96:ARG:HA	0.578

Model ID	Atom-1	Atom-2	Clash overlap (Å)
238	A:1:MET:HG2	A:5:GLU:HB2	0.561
238	A:130:ALA:HB1	A:150:ILE:CG2	0.560
238	A:114:PHE:HB3	A:117:SER:HB2	0.558
238	A:25:TYR:CE1	A:39:LEU:HD13	0.553
238	A:79:LEU:HD12	A:81:ASN:HD22	0.553
238	A:142:THR:CG2	A:145:ARG:HB2	0.548
238	A:17:ILE:CG1	A:27:ILE:HG22	0.540
238	A:102:MET:HB3	A:106:MET:HE3	0.530
238	A:144:ASN:HB3	A:148:ARG:HH12	0.525
238	A:1:MET:HG2	A:5:GLU:CB	0.520
238	A:10:ASP:HA	A:148:ARG:HH21	0.513
238	A:6:MET:HG3	A:161:TYR:CE2	0.499
238	A:102:MET:O	A:106:MET:HG2	0.496
238	A:55:ASN:O	A:57:VAL:HG23	0.495
238	A:13:LEU:HG	A:29:ILE:HG23	0.484
238	A:1:MET:HE3	A:2:ASN:O	0.481
238	A:9:ILE:HD13	A:161:TYR:HB3	0.476
238	A:24:TYR:HD1	A:35:LYS:HB3	0.474
238	A:6:MET:HE1	A:97:ALA:O	0.471
238	A:93:ALA:O	A:96:ARG:HB3	0.467
238	A:91:LEU:HD11	A:99:LEU:HD13	0.460
238	A:98:ALA:O	A:102:MET:HG3	0.457
238	A:92:ASP:O	A:96:ARG:HB2	0.453

Model ID	Atom-1	Atom-2	Clash overlap (Å)
238	A:14:ARG:HB2	A:18:TYR:CD1	0.450
238	A:25:TYR:CD1	A:39:LEU:HD13	0.449
238	A:139:TYR:O	A:143:PRO:HD3	0.448
238	A:85:LYS:O	A:88:TYR:HB3	0.446
238	A:6:MET:HG3	A:161:TYR:HE2	0.443
238	A:75:VAL:HA	A:79:LEU:HB3	0.443
238	A:124:LYS:HG2	A:126:TRP:CH2	0.443
238	A:139:TYR:HE1	A:150:ILE:HD11	0.442
238	A:17:ILE:HG12	A:27:ILE:CG2	0.441
238	A:84:LEU:HD11	A:111:VAL:HG11	0.440
238	A:106:MET:HB3	A:138:TRP:HB2	0.440
238	A:10:ASP:HB3	A:145:ARG:CG	0.439
238	A:26:THR:HG23	A:31:HIS:C	0.437
238	A:59:THR:OG1	A:62:GLU:HB3	0.433
238	A:142:THR:HG21	A:145:ARG:HB2	0.430
238	A:116:ASN:HB3	A:120:MET:HE1	0.429
238	A:29:ILE:HB	A:104:PHE:CE1	0.423
238	A:1:MET:HE1	A:158:TRP:CH2	0.422
238	A:2:ASN:O	A:5:GLU:HB2	0.422
238	A:102:MET:HE1	A:133:LEU:HG	0.420
238	A:95:ARG:O	A:99:LEU:HB2	0.411
238	A:1:MET:HE1	A:158:TRP:CZ3	0.407
238	A:102:MET:HE2	A:106:MET:HE1	0.407

Model ID	Atom-1	Atom-2	Clash overlap (Å)
238	A:129:ALA:O	A:133:LEU:HD13	0.407
238	A:46:LEU:O	A:50:ILE:HG12	0.404
238	A:116:ASN:O	A:119:ARG:HB2	0.404
238	A:42:ALA:O	A:46:LEU:HB2	0.401
238	A:124:LYS:HG2	A:126:TRP:CZ2	0.401
239	A:17:ILE:HD12	A:43:LYS:HD2	1.135
239	A:130:ALA:HB1	A:150:ILE:HG23	1.121
239	A:27:ILE:HG23	A:33:LEU:HD12	1.101
239	A:10:ASP:HB3	A:145:ARG:HG2	0.890
239	A:27:ILE:CG2	A:33:LEU:HD12	0.854
239	A:106:MET:SD	A:114:PHE:HE1	0.840
239	A:58:ILE:HD12	A:63:ALA:HB2	0.839
239	A:27:ILE:HG12	A:33:LEU:HB2	0.836
239	A:6:MET:HE3	A:7:LEU:HD12	0.822
239	A:17:ILE:HD12	A:43:LYS:CD	0.814
239	A:130:ALA:CB	A:150:ILE:HG23	0.808
239	A:15:LEU:HD11	A:29:ILE:CG1	0.770
239	A:15:LEU:HD11	A:29:ILE:HG13	0.756
239	A:3:ILE:SG	A:97:ALA:SG	0.756
239	A:103:VAL:HG22	A:111:VAL:HG22	0.743
239	A:133:LEU:HB3	A:138:TRP:HZ3	0.737
239	A:6:MET:HG3	A:161:TYR:CE2	0.723
239	A:106:MET:SD	A:114:PHE:CE1	0.709

Model ID	Atom-1	Atom-2	Clash overlap (Å)
239	A:1:MET:HE1	A:6:MET:HB2	0.692
239	A:103:VAL:HG22	A:111:VAL:CG2	0.691
239	A:16:LYS:CG	A:57:VAL:HG22	0.690
239	A:130:ALA:HB1	A:150:ILE:CG2	0.660
239	A:16:LYS:HG2	A:57:VAL:HG22	0.657
239	A:114:PHE:HB3	A:117:SER:HB2	0.645
239	A:6:MET:HG3	A:161:TYR:CZ	0.639
239	A:27:ILE:HG13	A:31:HIS:HB3	0.636
239	A:7:LEU:HB3	A:13:LEU:HD13	0.635
239	A:15:LEU:HD11	A:29:ILE:HG12	0.626
239	A:25:TYR:CE1	A:39:LEU:HD13	0.614
239	A:106:MET:HE2	A:138:TRP:CG	0.601
239	A:1:MET:HG2	A:5:GLU:HB2	0.596
239	A:15:LEU:HB3	A:58:ILE:HG13	0.596
239	A:1:MET:CG	A:5:GLU:HB2	0.595
239	A:102:MET:HB3	A:106:MET:HE3	0.587
239	A:6:MET:CE	A:7:LEU:HD12	0.586
239	A:91:LEU:HD22	A:95:ARG:HB3	0.571
239	A:142:THR:CG2	A:145:ARG:HB2	0.563
239	A:10:ASP:HB3	A:145:ARG:CG	0.555
239	A:124:LYS:HG3	A:126:TRP:CZ2	0.555
239	A:150:ILE:HA	A:153:PHE:HD2	0.547
239	A:4:PHE:CZ	A:29:ILE:HD13	0.538

Model ID	Atom-1	Atom-2	Clash overlap (Å)
239	A:17:ILE:CD1	A:43:LYS:HD2	0.532
239	A:81:ASN:HB3	A:84:LEU:HB2	0.530
239	A:15:LEU:HA	A:28:GLY:HA2	0.527
239	A:43:LYS:HE3	A:56:GLY:HA3	0.524
239	A:7:LEU:HD22	A:11:GLU:HB3	0.522
239	A:117:SER:O	A:121:LEU:HG	0.513
239	A:50:ILE:HG13	A:54:THR:SG	0.510
239	A:25:TYR:CD1	A:39:LEU:HD13	0.509
239	A:125:ARG:HE	A:128:GLU:HG3	0.509
239	A:58:ILE:HD12	A:63:ALA:CB	0.507
239	A:25:TYR:CZ	A:39:LEU:HB2	0.504
239	A:65:LYS:HG2	A:66:LEU:HD12	0.504
239	A:102:MET:O	A:106:MET:HG2	0.495
239	A:121:LEU:HD22	A:126:TRP:CE3	0.487
239	A:1:MET:CE	A:6:MET:HB2	0.484
239	A:33:LEU:HD11	A:46:LEU:HG	0.483
239	A:16:LYS:HG3	A:57:VAL:HA	0.481
239	A:19:LYS:HB3	A:25:TYR:CE1	0.476
239	A:130:ALA:HB2	A:153:PHE:CD2	0.470
239	A:98:ALA:O	A:102:MET:HG3	0.466
239	A:4:PHE:CZ	A:29:ILE:HG21	0.464
239	A:59:THR:OG1	A:62:GLU:HB3	0.463
239	A:17:ILE:HG12	A:27:ILE:CG2	0.455

Model ID	Atom-1	Atom-2	Clash overlap (Å)
239	A:17:ILE:HB	A:43:LYS:HD3	0.454
239	A:107:GLY:O	A:111:VAL:HG23	0.454
239	A:15:LEU:HD21	A:63:ALA:CB	0.452
239	A:25:TYR:OH	A:39:LEU:HB2	0.450
239	A:8:ARG:NH2	A:60:LYS:HD2	0.447
239	A:133:LEU:HD22	A:138:TRP:CE3	0.447
239	A:22:GLU:HB3	A:24:TYR:CE2	0.438
239	A:50:ILE:HG22	A:52:ARG:H	0.437
239	A:13:LEU:CG	A:29:ILE:HG23	0.436
239	A:13:LEU:HD21	A:29:ILE:HG23	0.436
239	A:121:LEU:HD22	A:126:TRP:HE3	0.433
239	A:6:MET:SD	A:158:TRP:HZ3	0.432
239	A:24:TYR:HB2	A:32:LEU:HD11	0.431
239	A:142:THR:HG22	A:145:ARG:H	0.431
239	A:102:MET:HE1	A:133:LEU:HG	0.423
239	A:128:GLU:HA	A:131:VAL:HG23	0.420
239	A:42:ALA:O	A:46:LEU:HB2	0.417
239	A:17:ILE:HG12	A:27:ILE:HG23	0.416
239	A:27:ILE:HD13	A:33:LEU:HD23	0.414
239	A:158:TRP:HE3	A:161:TYR:CD2	0.404
239	A:16:LYS:HD3	A:57:VAL:HG22	0.403
239	A:1:MET:SD	A:158:TRP:CE2	0.400
240	A:16:LYS:HG3	A:57:VAL:HG22	0.999

Model ID	Atom-1	Atom-2	Clash overlap (Å)
240	A:17:ILE:HD12	A:43:LYS:HD3	0.958
240	A:27:ILE:HG23	A:33:LEU:HD12	0.893
240	A:50:ILE:HG13	A:54:THR:SG	0.864
240	A:27:ILE:CG2	A:33:LEU:HD12	0.854
240	A:130:ALA:HB1	A:150:ILE:HG23	0.835
240	A:9:ILE:HD13	A:161:TYR:HB3	0.831
240	A:130:ALA:CB	A:150:ILE:HG23	0.784
240	A:106:MET:SD	A:114:PHE:HE1	0.779
240	A:27:ILE:CG1	A:31:HIS:HB3	0.775
240	A:16:LYS:HG3	A:57:VAL:CG2	0.768
240	A:3:ILE:SG	A:97:ALA:SG	0.767
240	A:13:LEU:HG	A:29:ILE:HG23	0.762
240	A:15:LEU:HD11	A:29:ILE:HG13	0.758
240	A:7:LEU:HD22	A:11:GLU:HB2	0.753
240	A:13:LEU:HA	A:30:GLY:H	0.739
240	A:17:ILE:HD12	A:43:LYS:CD	0.736
240	A:114:PHE:CE2	A:133:LEU:HD21	0.733
240	A:27:ILE:HG13	A:31:HIS:HB3	0.714
240	A:58:ILE:HD12	A:63:ALA:CB	0.691
240	A:142:THR:CG2	A:145:ARG:HB3	0.685
240	A:133:LEU:HB3	A:138:TRP:HZ3	0.680
240	A:17:ILE:CG1	A:27:ILE:HG22	0.674
240	A:58:ILE:HD12	A:63:ALA:HB2	0.673

Model ID	Atom-1	Atom-2	Clash overlap (Å)
240	A:106:MET:SD	A:114:PHE:CE1	0.672
240	A:17:ILE:HG12	A:27:ILE:HG22	0.661
240	A:25:TYR:CE1	A:39:LEU:HD13	0.636
240	A:124:LYS:HG2	A:126:TRP:CZ2	0.629
240	A:130:ALA:HB1	A:150:ILE:CG2	0.629
240	A:39:LEU:HD11	A:43:LYS:HE3	0.624
240	A:81:ASN:HB2	A:84:LEU:HB2	0.621
240	A:17:ILE:CD1	A:43:LYS:HD3	0.616
240	A:102:MET:HE1	A:133:LEU:CD2	0.611
240	A:103:VAL:HG22	A:111:VAL:HG21	0.601
240	A:17:ILE:HB	A:43:LYS:HD3	0.599
240	A:1:MET:CG	A:5:GLU:HB2	0.596
240	A:142:THR:HG21	A:145:ARG:HB3	0.584
240	A:106:MET:HG3	A:110:GLY:HA3	0.562
240	A:121:LEU:HG	A:126:TRP:HE3	0.556
240	A:139:TYR:HE1	A:150:ILE:HD12	0.554
240	A:121:LEU:HG	A:126:TRP:CE3	0.553
240	A:63:ALA:HA	A:67:PHE:HB3	0.550
240	A:25:TYR:CZ	A:39:LEU:HB2	0.544
240	A:10:ASP:HB3	A:145:ARG:HG3	0.543
240	A:16:LYS:CG	A:57:VAL:HG22	0.532
240	A:81:ASN:CB	A:84:LEU:HB2	0.529
240	A:10:ASP:HA	A:148:ARG:HH21	0.520

Model ID	Atom-1	Atom-2	Clash overlap (Å)
240	A:102:MET:HE2	A:106:MET:HE1	0.520
240	A:93:ALA:HA	A:96:ARG:HD2	0.517
240	A:4:PHE:CZ	A:29:ILE:HD13	0.516
240	A:25:TYR:CD1	A:39:LEU:HD13	0.512
240	A:6:MET:HG3	A:161:TYR:CE2	0.510
240	A:6:MET:HE3	A:7:LEU:HD12	0.509
240	A:103:VAL:HG22	A:111:VAL:CG2	0.508
240	A:116:ASN:HB3	A:120:MET:HE1	0.503
240	A:16:LYS:HA	A:56:GLY:C	0.501
240	A:130:ALA:HB1	A:150:ILE:HG12	0.497
240	A:102:MET:HE1	A:133:LEU:HD21	0.496
240	A:17:ILE:HG12	A:27:ILE:CG2	0.489
240	A:1:MET:HE1	A:158:TRP:CE3	0.487
240	A:95:ARG:HG2	A:126:TRP:CE3	0.487
240	A:13:LEU:CG	A:29:ILE:HG23	0.484
240	A:50:ILE:HG22	A:52:ARG:H	0.482
240	A:132:ASN:OD1	A:133:LEU:HD12	0.475
240	A:1:MET:HG2	A:5:GLU:HB2	0.474
240	A:15:LEU:CD1	A:29:ILE:HG13	0.474
240	A:98:ALA:O	A:102:MET:HG3	0.473
240	A:39:LEU:HD21	A:43:LYS:HE3	0.472
240	A:83:LYS:HG2	A:111:VAL:HG12	0.470
240	A:4:PHE:HZ	A:29:ILE:HD13	0.467

Model ID	Atom-1	Atom-2	Clash overlap (Å)
240	A:6:MET:SD	A:158:TRP:HZ3	0.461
240	A:10:ASP:HB3	A:145:ARG:CG	0.460
240	A:102:MET:HE3	A:138:TRP:CH2	0.460
240	A:9:ILE:HD13	A:161:TYR:CB	0.459
240	A:105:GLN:HB2	A:145:ARG:NH2	0.457
240	A:123:GLN:HG2	A:125:ARG:HH11	0.455
240	A:42:ALA:O	A:46:LEU:HB2	0.454
240	A:25:TYR:OH	A:39:LEU:HB2	0.453
240	A:59:THR:OG1	A:62:GLU:HB3	0.453
240	A:106:MET:HB3	A:106:MET:HE3	0.449
240	A:98:ALA:HB1	A:153:PHE:CZ	0.448
240	A:5:GLU:O	A:8:ARG:HB2	0.445
240	A:91:LEU:HD21	A:126:TRP:HZ3	0.442
240	A:19:LYS:HB3	A:25:TYR:CE1	0.441
240	A:158:TRP:HE3	A:161:TYR:CE2	0.441
240	A:142:THR:HG21	A:145:ARG:CB	0.436
240	A:1:MET:HG3	A:5:GLU:HB2	0.433
240	A:26:THR:HG23	A:31:HIS:C	0.428
240	A:142:THR:HG22	A:145:ARG:H	0.426
240	A:65:LYS:H	A:65:LYS:HG2	0.423
240	A:114:PHE:O	A:117:SER:HB2	0.417
240	A:133:LEU:HA	A:133:LEU:HD23	0.416
240	A:85:LYS:O	A:88:TYR:HB3	0.414

Model ID	Atom-1	Atom-2	Clash overlap (Å)
240	A:93:ALA:O	A:96:ARG:HB2	0.408
240	A:102:MET:HE3	A:138:TRP:CZ2	0.408
240	A:133:LEU:HB3	A:138:TRP:CZ3	0.408
240	A:4:PHE:HZ	A:29:ILE:HG21	0.407
240	A:61:ASP:O	A:65:LYS:HG2	0.407
240	A:1:MET:HG3	A:5:GLU:CB	0.406
240	A:55:ASN:O	A:57:VAL:HG23	0.404
240	A:142:THR:HG22	A:145:ARG:HB3	0.401
241	A:1:MET:HG3	A:5:GLU:HB2	1.134
241	A:94:VAL:HG12	A:152:THR:HG23	1.099
241	A:14:ARG:HB3	A:18:TYR:CE1	0.908
241	A:1:MET:HE2	A:158:TRP:CE3	0.839
241	A:94:VAL:HG12	A:152:THR:CG2	0.838
241	A:1:MET:HG3	A:5:GLU:CB	0.826
241	A:33:LEU:HD13	A:42:ALA:HB1	0.779
241	A:27:ILE:HG21	A:46:LEU:HD11	0.769
241	A:124:LYS:HG2	A:126:TRP:CZ2	0.750
241	A:27:ILE:CD1	A:58:ILE:HG12	0.725
241	A:14:ARG:HB3	A:18:TYR:HE1	0.719
241	A:3:ILE:SG	A:97:ALA:SG	0.706
241	A:94:VAL:CG1	A:152:THR:HG23	0.697
241	A:17:ILE:HG21	A:25:TYR:HD1	0.685
241	A:33:LEU:CD1	A:42:ALA:HB1	0.664

Model ID	Atom-1	Atom-2	Clash overlap (Å)
241	A:1:MET:HE2	A:158:TRP:CZ3	0.656
241	A:16:LYS:HG3	A:57:VAL:HG22	0.630
241	A:139:TYR:HD1	A:146:ALA:HB1	0.622
241	A:97:ALA:HA	A:100:ILE:HD12	0.613
241	A:78:ILE:HG23	A:84:LEU:HD22	0.612
241	A:102:MET:HE1	A:133:LEU:HB3	0.595
241	A:102:MET:CE	A:133:LEU:HG	0.594
241	A:4:PHE:HD1	A:67:PHE:CD2	0.593
241	A:17:ILE:CG2	A:25:TYR:HD1	0.591
241	A:6:MET:HG3	A:161:TYR:CE2	0.587
241	A:47:ASP:HB3	A:53:ASN:HD22	0.579
241	A:102:MET:HE3	A:138:TRP:CZ3	0.574
241	A:98:ALA:HB1	A:153:PHE:CE1	0.572
241	A:52:ARG:HB3	A:54:THR:SG	0.566
241	A:103:VAL:HG22	A:111:VAL:HG21	0.566
241	A:4:PHE:HD1	A:67:PHE:HD2	0.536
241	A:27:ILE:HD12	A:58:ILE:HG12	0.529
241	A:94:VAL:HG22	A:158:TRP:CD1	0.528
241	A:6:MET:HE1	A:98:ALA:HA	0.523
241	A:1:MET:CE	A:158:TRP:CE3	0.522
241	A:17:ILE:CG2	A:25:TYR:CD1	0.516
241	A:50:ILE:HG21	A:54:THR:SG	0.513
241	A:87:VAL:HG22	A:122:GLN:HB2	0.511

Model ID	Atom-1	Atom-2	Clash overlap (Å)
241	A:102:MET:HE3	A:138:TRP:CH2	0.506
241	A:4:PHE:CD1	A:67:PHE:CD2	0.503
241	A:27:ILE:HD11	A:58:ILE:HG12	0.503
241	A:58:ILE:HD12	A:59:THR:O	0.493
241	A:83:LYS:HD2	A:84:LEU:CD1	0.488
241	A:17:ILE:HG21	A:25:TYR:CD1	0.485
241	A:7:LEU:HD11	A:104:PHE:CD1	0.484
241	A:79:LEU:HD23	A:85:LYS:HG2	0.484
241	A:124:LYS:HG2	A:126:TRP:HZ2	0.482
241	A:106:MET:SD	A:114:PHE:HE1	0.482
241	A:148:ARG:HB3	A:161:TYR:CZ	0.481
241	A:91:LEU:HD22	A:95:ARG:HB2	0.477
241	A:148:ARG:HB3	A:161:TYR:CE1	0.476
241	A:120:MET:O	A:123:GLN:HB3	0.471
241	A:79:LEU:HD23	A:85:LYS:CG	0.465
241	A:12:GLY:O	A:13:LEU:HD12	0.462
241	A:47:ASP:HB3	A:53:ASN:ND2	0.462
241	A:76:ARG:O	A:80:ARG:HG2	0.458
241	A:88:TYR:CE2	A:96:ARG:HG2	0.458
241	A:139:TYR:HD1	A:146:ALA:CB	0.457
241	A:25:TYR:O	A:33:LEU:HB2	0.449
241	A:33:LEU:HG	A:46:LEU:HD12	0.447
241	A:125:ARG:HB3	A:128:GLU:HB2	0.446

Model ID	Atom-1	Atom-2	Clash overlap (Å)
241	A:97:ALA:HA	A:100:ILE:HB	0.444
241	A:78:ILE:HG23	A:84:LEU:HB3	0.441
241	A:79:LEU:O	A:85:LYS:HG3	0.441
241	A:117:SER:O	A:121:LEU:HD23	0.436
241	A:94:VAL:HA	A:158:TRP:CE2	0.435
241	A:106:MET:SD	A:114:PHE:CE1	0.434
241	A:102:MET:HE1	A:133:LEU:HG	0.434
241	A:33:LEU:HD13	A:42:ALA:CB	0.431
241	A:97:ALA:O	A:100:ILE:HB	0.431
241	A:46:LEU:O	A:49:ALA:HB3	0.426
241	A:116:ASN:HB3	A:120:MET:HE2	0.425
241	A:102:MET:HE2	A:106:MET:HE1	0.417
241	A:79:LEU:HA	A:79:LEU:HD23	0.415
241	A:16:LYS:HE2	A:17:ILE:O	0.415
241	A:94:VAL:HG13	A:158:TRP:CD2	0.413
241	A:83:LYS:HD2	A:84:LEU:HD12	0.411
241	A:98:ALA:CB	A:153:PHE:HE1	0.410
241	A:6:MET:HE3	A:161:TYR:CE1	0.407
241	A:15:LEU:HD23	A:59:THR:HA	0.406
241	A:121:LEU:CD2	A:129:ALA:HB2	0.406
241	A:94:VAL:HG11	A:157:THR:C	0.405
241	A:121:LEU:HG	A:126:TRP:CE3	0.402
241	A:102:MET:HE1	A:133:LEU:CB	0.401

Model ID	Atom-1	Atom-2	Clash overlap (Å)
241	A:50:ILE:HG23	A:52:ARG:H	0.401
241	A:14:ARG:CB	A:18:TYR:CE1	0.400
242	A:17:ILE:HD12	A:43:LYS:HD3	1.190
242	A:130:ALA:HB1	A:150:ILE:HG23	1.121
242	A:58:ILE:HD12	A:63:ALA:HB2	0.956
242	A:87:VAL:HG11	A:118:LEU:HD21	0.931
242	A:27:ILE:HG13	A:31:HIS:HB3	0.904
242	A:6:MET:HG3	A:161:TYR:CE2	0.893
242	A:15:LEU:HD11	A:29:ILE:HG13	0.861
242	A:27:ILE:CG2	A:33:LEU:HD12	0.847
242	A:6:MET:HE3	A:7:LEU:HD12	0.829
242	A:6:MET:CE	A:97:ALA:HB1	0.818
242	A:106:MET:SD	A:114:PHE:HE1	0.771
242	A:3:ILE:SG	A:97:ALA:SG	0.763
242	A:58:ILE:HD12	A:63:ALA:CB	0.755
242	A:25:TYR:CE1	A:39:LEU:HD13	0.746
242	A:27:ILE:HG23	A:33:LEU:HD12	0.737
242	A:27:ILE:HD13	A:33:LEU:HD23	0.735
242	A:142:THR:CG2	A:145:ARG:HB2	0.735
242	A:130:ALA:CB	A:150:ILE:HG23	0.721
242	A:6:MET:HE3	A:7:LEU:CD1	0.683
242	A:16:LYS:CG	A:57:VAL:HG22	0.678
242	A:13:LEU:HG	A:29:ILE:HA	0.672

Model ID	Atom-1	Atom-2	Clash overlap (Å)
242	A:106:MET:SD	A:114:PHE:CE1	0.672
242	A:6:MET:HE1	A:97:ALA:HB1	0.669
242	A:142:THR:HG21	A:145:ARG:HB2	0.668
242	A:79:LEU:HD23	A:81:ASN:HB2	0.665
242	A:95:ARG:HD2	A:126:TRP:CD2	0.664
242	A:1:MET:CG	A:5:GLU:HB2	0.661
242	A:27:ILE:CG1	A:31:HIS:HB3	0.659
242	A:15:LEU:HA	A:28:GLY:HA2	0.644
242	A:75:VAL:HG13	A:79:LEU:HB3	0.640
242	A:87:VAL:CG1	A:118:LEU:HD21	0.639
242	A:7:LEU:HB3	A:13:LEU:HD13	0.638
242	A:102:MET:HE1	A:133:LEU:HD21	0.617
242	A:15:LEU:HB3	A:58:ILE:HG13	0.616
242	A:27:ILE:HG21	A:33:LEU:HD12	0.610
242	A:98:ALA:HB1	A:153:PHE:CZ	0.575
242	A:25:TYR:CZ	A:39:LEU:HB2	0.572
242	A:15:LEU:HD11	A:29:ILE:CG1	0.571
242	A:24:TYR:HB2	A:32:LEU:HD11	0.567
242	A:16:LYS:HG2	A:57:VAL:HG22	0.566
242	A:79:LEU:HD12	A:108:GLU:HG2	0.556
242	A:106:MET:HE2	A:138:TRP:CG	0.553
242	A:10:ASP:HB3	A:145:ARG:HG2	0.543
242	A:133:LEU:HB3	A:138:TRP:HZ3	0.542

Model ID	Atom-1	Atom-2	Clash overlap (Å)
242	A:88:TYR:CD1	A:99:LEU:HD22	0.536
242	A:17:ILE:CG1	A:27:ILE:HG22	0.535
242	A:1:MET:HG2	A:5:GLU:HB2	0.529
242	A:81:ASN:HB3	A:84:LEU:HB2	0.525
242	A:9:ILE:HD13	A:161:TYR:HB3	0.524
242	A:17:ILE:HG12	A:27:ILE:CG2	0.513
242	A:46:LEU:O	A:50:ILE:HD12	0.513
242	A:132:ASN:OD1	A:133:LEU:HD12	0.505
242	A:13:LEU:HD21	A:29:ILE:HG23	0.503
242	A:19:LYS:HB3	A:25:TYR:CZ	0.501
242	A:4:PHE:CZ	A:29:ILE:HD13	0.500
242	A:102:MET:HG2	A:138:TRP:CZ2	0.500
242	A:148:ARG:HB3	A:161:TYR:CE1	0.500
242	A:94:VAL:HG13	A:158:TRP:CZ2	0.496
242	A:6:MET:HE2	A:97:ALA:HB1	0.496
242	A:17:ILE:HD12	A:43:LYS:CD	0.491
242	A:78:ILE:O	A:108:GLU:HG3	0.488
242	A:1:MET:HE1	A:6:MET:HB2	0.485
242	A:6:MET:HE1	A:97:ALA:C	0.485
242	A:88:TYR:HD1	A:99:LEU:HD22	0.481
242	A:6:MET:HG3	A:161:TYR:CZ	0.476
242	A:25:TYR:CD1	A:39:LEU:HD13	0.476
242	A:95:ARG:HD2	A:126:TRP:CG	0.476

Model ID	Atom-1	Atom-2	Clash overlap (Å)
242	A:114:PHE:HB3	A:117:SER:HB2	0.473
242	A:6:MET:SD	A:158:TRP:HZ3	0.471
242	A:139:TYR:HE1	A:150:ILE:HD12	0.469
242	A:25:TYR:OH	A:39:LEU:HB2	0.467
242	A:102:MET:O	A:106:MET:HG2	0.466
242	A:1:MET:HE1	A:158:TRP:CE3	0.463
242	A:103:VAL:HG22	A:111:VAL:CG2	0.462
242	A:17:ILE:HG12	A:27:ILE:HG23	0.461
242	A:81:ASN:HB3	A:84:LEU:CB	0.459
242	A:121:LEU:HD21	A:129:ALA:HB2	0.459
242	A:59:THR:OG1	A:62:GLU:HB3	0.457
242	A:102:MET:HB3	A:106:MET:HE3	0.457
242	A:7:LEU:HD22	A:11:GLU:HB2	0.454
242	A:120:MET:O	A:123:GLN:HB3	0.452
242	A:17:ILE:HG13	A:27:ILE:HG22	0.449
242	A:50:ILE:HG22	A:52:ARG:N	0.446
242	A:50:ILE:HG22	A:52:ARG:H	0.445
242	A:16:LYS:HG3	A:57:VAL:HG22	0.444
242	A:1:MET:CE	A:158:TRP:CE3	0.442
242	A:67:PHE:CE2	A:71:VAL:CG2	0.438
242	A:17:ILE:HB	A:43:LYS:HE3	0.435
242	A:111:VAL:HA	A:114:PHE:CD1	0.429
242	A:121:LEU:HD22	A:126:TRP:CE3	0.428

Model ID	Atom-1	Atom-2	Clash overlap (Å)
242	A:7:LEU:HD22	A:11:GLU:CB	0.427
242	A:114:PHE:O	A:117:SER:HB2	0.425
242	A:117:SER:O	A:121:LEU:HG	0.423
242	A:142:THR:HG22	A:145:ARG:HB2	0.423
242	A:127:ASP:O	A:131:VAL:HG23	0.420
242	A:103:VAL:HG22	A:111:VAL:HG21	0.419
242	A:56:GLY:O	A:58:ILE:HG12	0.418
242	A:121:LEU:HD13	A:126:TRP:CE3	0.416
242	A:34:THR:HG21	A:42:ALA:HB2	0.415
242	A:60:LYS:O	A:63:ALA:HB3	0.414
242	A:10:ASP:HB3	A:145:ARG:CG	0.413
242	A:33:LEU:HD11	A:46:LEU:HG	0.413
242	A:121:LEU:HB3	A:126:TRP:CZ3	0.412
242	A:79:LEU:HD13	A:108:GLU:HA	0.407
242	A:87:VAL:HG11	A:118:LEU:CD2	0.406
242	A:16:LYS:HA	A:56:GLY:C	0.402
242	A:84:LEU:O	A:84:LEU:HD13	0.402
242	A:102:MET:CE	A:133:LEU:HD21	0.401
243	A:103:VAL:HG22	A:111:VAL:HG21	1.110
243	A:16:LYS:HG2	A:57:VAL:HG22	1.038
243	A:79:LEU:HD22	A:85:LYS:HG3	1.006
243	A:1:MET:HE2	A:158:TRP:CE3	0.966
243	A:103:VAL:HG22	A:111:VAL:CG2	0.756

Model ID	Atom-1	Atom-2	Clash overlap (Å)
243	A:93:ALA:HA	A:96:ARG:HB2	0.746
243	A:102:MET:HE3	A:138:TRP:CZ3	0.740
243	A:14:ARG:HB3	A:18:TYR:CE1	0.732
243	A:1:MET:HE2	A:158:TRP:CZ3	0.730
243	A:50:ILE:HG12	A:66:LEU:HD11	0.701
243	A:3:ILE:SG	A:97:ALA:SG	0.683
243	A:85:LYS:HA	A:88:TYR:HB2	0.680
243	A:1:MET:HG3	A:5:GLU:HB2	0.672
243	A:16:LYS:CG	A:57:VAL:HG22	0.665
243	A:124:LYS:HG2	A:126:TRP:CZ2	0.655
243	A:106:MET:HE2	A:138:TRP:CG	0.629
243	A:102:MET:HE1	A:133:LEU:HG	0.605
243	A:102:MET:HE2	A:106:MET:HE1	0.600
243	A:79:LEU:HD22	A:85:LYS:CG	0.565
243	A:124:LYS:HG2	A:126:TRP:CH2	0.552
243	A:85:LYS:HD3	A:86:PRO:HD3	0.550
243	A:29:ILE:HB	A:67:PHE:CG	0.547
243	A:50:ILE:HG21	A:54:THR:SG	0.546
243	A:114:PHE:HB3	A:117:SER:HB2	0.544
243	A:33:LEU:HD13	A:42:ALA:C	0.538
243	A:144:ASN:HB3	A:148:ARG:HH12	0.533
243	A:17:ILE:HG22	A:25:TYR:CD1	0.529
243	A:1:MET:HE3	A:6:MET:HB2	0.524

Model ID	Atom-1	Atom-2	Clash overlap (Å)
243	A:14:ARG:CB	A:18:TYR:CE1	0.521
243	A:102:MET:HE1	A:133:LEU:CG	0.521
243	A:17:ILE:HG22	A:25:TYR:HD1	0.510
243	A:139:TYR:HD1	A:146:ALA:HB1	0.510
243	A:82:ALA:HA	A:86:PRO:HD2	0.504
243	A:33:LEU:HD13	A:42:ALA:HB1	0.500
243	A:1:MET:HG3	A:5:GLU:CB	0.499
243	A:79:LEU:O	A:85:LYS:HE2	0.497
243	A:102:MET:HE1	A:133:LEU:HB3	0.496
243	A:73:ALA:HA	A:76:ARG:HE	0.494
243	A:6:MET:HE2	A:101:ASN:HD22	0.493
243	A:16:LYS:C	A:27:ILE:HG12	0.491
243	A:98:ALA:HB1	A:153:PHE:CE1	0.485
243	A:7:LEU:HD21	A:104:PHE:HE1	0.484
243	A:105:GLN:HG2	A:138:TRP:HD1	0.484
243	A:33:LEU:CD1	A:42:ALA:HB1	0.476
243	A:6:MET:HG3	A:161:TYR:CE2	0.475
243	A:150:ILE:HA	A:153:PHE:HB2	0.474
243	A:73:ALA:HB2	A:76:ARG:HH21	0.468
243	A:105:GLN:HB2	A:145:ARG:HE	0.466
243	A:22:GLU:HG3	A:24:TYR:HE2	0.458
243	A:15:LEU:C	A:27:ILE:HD11	0.454
243	A:11:GLU:HB2	A:29:ILE:O	0.452

Model ID	Atom-1	Atom-2	Clash overlap (Å)
243	A:50:ILE:HG22	A:52:ARG:HB2	0.446
243	A:130:ALA:HB2	A:150:ILE:HG23	0.446
243	A:16:LYS:O	A:27:ILE:HG12	0.445
243	A:14:ARG:HB2	A:14:ARG:HH11	0.444
243	A:29:ILE:HB	A:67:PHE:CD1	0.440
243	A:6:MET:O	A:10:ASP:HB2	0.435
243	A:79:LEU:CD2	A:85:LYS:HG3	0.432
243	A:4:PHE:CE1	A:29:ILE:HD13	0.431
243	A:14:ARG:HD2	A:18:TYR:CE2	0.430
243	A:97:ALA:O	A:100:ILE:HB	0.426
243	A:130:ALA:HB1	A:150:ILE:HG21	0.425
243	A:1:MET:CG	A:5:GLU:HB2	0.422
243	A:12:GLY:O	A:29:ILE:HA	0.422
243	A:101:ASN:O	A:104:PHE:HB2	0.417
243	A:1:MET:CE	A:158:TRP:CZ3	0.410
243	A:118:LEU:HA	A:118:LEU:HD22	0.409
243	A:10:ASP:HB3	A:11:GLU:OE1	0.408
243	A:88:TYR:CE2	A:96:ARG:HG2	0.408
243	A:102:MET:CE	A:106:MET:HE1	0.408
243	A:130:ALA:HB1	A:150:ILE:CG2	0.407
243	A:50:ILE:HG22	A:52:ARG:H	0.406
243	A:130:ALA:CB	A:150:ILE:HG23	0.406
243	A:91:LEU:HD11	A:126:TRP:CH2	0.405

Model ID	Atom-1	Atom-2	Clash overlap (Å)
243	A:7:LEU:HD11	A:104:PHE:CD1	0.404
243	A:144:ASN:HB3	A:148:ARG:NH1	0.401
243	A:99:LEU:O	A:103:VAL:HG23	0.400
244	A:130:ALA:HB1	A:150:ILE:HG23	1.168
244	A:16:LYS:HG2	A:57:VAL:HG22	0.976
244	A:19:LYS:HB3	A:25:TYR:CE1	0.931
244	A:79:LEU:HD22	A:85:LYS:HG3	0.810
244	A:103:VAL:HG22	A:111:VAL:CG2	0.788
244	A:16:LYS:CG	A:57:VAL:HG22	0.785
244	A:27:ILE:HG21	A:33:LEU:HD12	0.785
244	A:1:MET:HG2	A:5:GLU:HB3	0.769
244	A:6:MET:SD	A:158:TRP:CH2	0.723
244	A:130:ALA:HB1	A:150:ILE:CG2	0.722
244	A:106:MET:SD	A:114:PHE:CE1	0.721
244	A:87:VAL:HG11	A:118:LEU:CD2	0.719
244	A:3:ILE:SG	A:97:ALA:SG	0.712
244	A:106:MET:SD	A:114:PHE:HE1	0.708
244	A:1:MET:HG2	A:5:GLU:CB	0.705
244	A:27:ILE:HG13	A:31:HIS:HB3	0.704
244	A:25:TYR:HB2	A:34:THR:CG2	0.700
244	A:27:ILE:CG2	A:33:LEU:HD12	0.693
244	A:25:TYR:HB2	A:34:THR:HG22	0.690
244	A:6:MET:SD	A:158:TRP:HH2	0.686

Model ID	Atom-1	Atom-2	Clash overlap (Å)
244	A:25:TYR:CE1	A:39:LEU:HD13	0.671
244	A:103:VAL:HG22	A:111:VAL:HG21	0.671
244	A:87:VAL:HG11	A:118:LEU:HD21	0.662
244	A:58:ILE:HD12	A:63:ALA:HB2	0.648
244	A:10:ASP:HB3	A:145:ARG:HG2	0.641
244	A:15:LEU:HD21	A:63:ALA:CB	0.631
244	A:34:THR:HG21	A:42:ALA:CB	0.619
244	A:15:LEU:HG	A:28:GLY:HA2	0.613
244	A:150:ILE:HA	A:153:PHE:HD2	0.610
244	A:13:LEU:HG	A:29:ILE:HG23	0.600
244	A:130:ALA:CB	A:150:ILE:HG23	0.588
244	A:81:ASN:HB2	A:84:LEU:HB2	0.575
244	A:138:TRP:HA	A:141:GLN:HB2	0.567
244	A:133:LEU:HB3	A:138:TRP:HZ3	0.566
244	A:159:ASP:HB2	A:162:LYS:HE2	0.554
244	A:79:LEU:HD22	A:85:LYS:CG	0.549
244	A:50:ILE:HG22	A:52:ARG:HB2	0.547
244	A:15:LEU:CD2	A:63:ALA:HB2	0.543
244	A:15:LEU:HB3	A:58:ILE:HG13	0.540
244	A:14:ARG:HB3	A:18:TYR:CD1	0.538
244	A:16:LYS:HG2	A:57:VAL:CG2	0.533
244	A:102:MET:C	A:106:MET:HE3	0.530
244	A:1:MET:HE3	A:2:ASN:O	0.528

Model ID	Atom-1	Atom-2	Clash overlap (Å)
244	A:114:PHE:CE2	A:133:LEU:HD21	0.526
244	A:34:THR:HG21	A:42:ALA:HB2	0.523
244	A:124:LYS:CG	A:126:TRP:CZ2	0.515
244	A:114:PHE:HB3	A:117:SER:HB2	0.512
244	A:50:ILE:HG22	A:52:ARG:H	0.511
244	A:19:LYS:HB3	A:25:TYR:CZ	0.509
244	A:114:PHE:CE2	A:133:LEU:CD2	0.509
244	A:29:ILE:HB	A:67:PHE:HE1	0.503
244	A:98:ALA:O	A:102:MET:HG3	0.503
244	A:15:LEU:HD21	A:63:ALA:HB2	0.500
244	A:142:THR:CG2	A:145:ARG:HB2	0.500
244	A:102:MET:HE3	A:138:TRP:CZ3	0.499
244	A:115:THR:HA	A:118:LEU:HB2	0.496
244	A:17:ILE:HD11	A:33:LEU:HD13	0.494
244	A:15:LEU:HD11	A:29:ILE:HG13	0.493
244	A:87:VAL:HG11	A:118:LEU:HD22	0.491
244	A:17:ILE:HB	A:43:LYS:HD3	0.489
244	A:1:MET:HE1	A:158:TRP:CH2	0.487
244	A:103:VAL:HG22	A:111:VAL:HG22	0.486
244	A:159:ASP:O	A:162:LYS:HG3	0.477
244	A:6:MET:HG3	A:161:TYR:CE2	0.475
244	A:34:THR:HG21	A:42:ALA:HB1	0.465
244	A:59:THR:OG1	A:62:GLU:HB3	0.463

Model ID	Atom-1	Atom-2	Clash overlap (Å)
244	A:1:MET:HG2	A:5:GLU:HB2	0.462
244	A:4:PHE:CZ	A:13:LEU:HD21	0.461
244	A:19:LYS:HD2	A:25:TYR:CE1	0.459
244	A:124:LYS:HG3	A:126:TRP:CZ2	0.458
244	A:145:ARG:HA	A:148:ARG:HH21	0.457
244	A:6:MET:SD	A:158:TRP:CZ3	0.453
244	A:1:MET:CG	A:5:GLU:HB3	0.451
244	A:17:ILE:HG13	A:27:ILE:HG22	0.447
244	A:103:VAL:CG2	A:111:VAL:HG21	0.440
244	A:19:LYS:HD2	A:25:TYR:HE1	0.439
244	A:50:ILE:CG2	A:52:ARG:HB2	0.439
244	A:79:LEU:HD23	A:84:LEU:HB3	0.438
244	A:4:PHE:CE1	A:29:ILE:HD13	0.435
244	A:2:ASN:O	A:5:GLU:HB2	0.432
244	A:79:LEU:HD21	A:84:LEU:HD12	0.425
244	A:7:LEU:HD21	A:104:PHE:CG	0.415
244	A:1:MET:HE1	A:158:TRP:CZ2	0.414
244	A:24:TYR:HD1	A:35:LYS:HA	0.407
244	A:16:LYS:HB2	A:16:LYS:HE3	0.406
244	A:58:ILE:HD12	A:63:ALA:CB	0.406
244	A:63:ALA:O	A:67:PHE:HB2	0.403
244	A:10:ASP:HB3	A:145:ARG:CG	0.401
244	A:102:MET:O	A:106:MET:HE3	0.401

Model ID	Atom-1	Atom-2	Clash overlap (Å)
245	A:79:LEU:HD23	A:85:LYS:HG3	1.072
245	A:1:MET:HG3	A:5:GLU:HB2	1.018
245	A:14:ARG:HB3	A:18:TYR:HE1	0.962
245	A:27:ILE:HD11	A:58:ILE:HG12	0.931
245	A:16:LYS:HG3	A:57:VAL:HG22	0.928
245	A:78:ILE:HD12	A:84:LEU:HD22	0.842
245	A:27:ILE:CD1	A:58:ILE:HG12	0.826
245	A:83:LYS:HD2	A:84:LEU:HD12	0.823
245	A:78:ILE:HG21	A:88:TYR:HD2	0.819
245	A:14:ARG:HB3	A:18:TYR:CE1	0.801
245	A:3:ILE:SG	A:97:ALA:SG	0.752
245	A:78:ILE:CD1	A:84:LEU:HD22	0.745
245	A:1:MET:HG3	A:5:GLU:CB	0.742
245	A:78:ILE:HG23	A:84:LEU:HB3	0.721
245	A:78:ILE:HG21	A:88:TYR:CD2	0.719
245	A:139:TYR:HD1	A:146:ALA:HB1	0.702
245	A:6:MET:HB2	A:158:TRP:CZ3	0.701
245	A:124:LYS:HG2	A:126:TRP:CZ2	0.701
245	A:83:LYS:CD	A:84:LEU:HD12	0.695
245	A:50:ILE:HG12	A:66:LEU:HD11	0.686
245	A:15:LEU:HD12	A:58:ILE:HG13	0.679
245	A:7:LEU:HA	A:10:ASP:HB2	0.654
245	A:103:VAL:HG13	A:111:VAL:HG21	0.653

Model ID	Atom-1	Atom-2	Clash overlap (Å)
245	A:79:LEU:HD23	A:85:LYS:CG	0.648
245	A:33:LEU:HD13	A:42:ALA:HB1	0.646
245	A:87:VAL:HG11	A:122:GLN:HA	0.637
245	A:102:MET:HE3	A:138:TRP:CZ3	0.627
245	A:8:ARG:HA	A:13:LEU:HD13	0.624
245	A:79:LEU:CD2	A:85:LYS:HG3	0.624
245	A:58:ILE:CD1	A:63:ALA:HB2	0.616
245	A:50:ILE:HG21	A:54:THR:SG	0.583
245	A:33:LEU:HD21	A:46:LEU:HD12	0.573
245	A:106:MET:HE2	A:138:TRP:CG	0.558
245	A:33:LEU:HD13	A:42:ALA:C	0.557
245	A:98:ALA:HB1	A:153:PHE:CE1	0.556
245	A:6:MET:HB2	A:158:TRP:HZ3	0.551
245	A:4:PHE:CZ	A:64:GLU:HG3	0.547
245	A:1:MET:HE2	A:6:MET:HB2	0.544
245	A:33:LEU:CD1	A:42:ALA:HB1	0.542
245	A:4:PHE:CZ	A:29:ILE:HD11	0.531
245	A:148:ARG:HB3	A:161:TYR:CE1	0.530
245	A:58:ILE:HD12	A:63:ALA:HB2	0.519
245	A:17:ILE:CG2	A:25:TYR:HD1	0.511
245	A:67:PHE:O	A:71:VAL:HG23	0.508
245	A:127:ASP:O	A:131:VAL:HG23	0.506
245	A:4:PHE:CE1	A:29:ILE:HD11	0.498

Model ID	Atom-1	Atom-2	Clash overlap (Å)
245	A:83:LYS:HD2	A:84:LEU:CD1	0.491
245	A:123:GLN:HB3	A:125:ARG:HG2	0.488
245	A:1:MET:HB2	A:5:GLU:HG3	0.487
245	A:102:MET:HE1	A:133:LEU:HB3	0.486
245	A:4:PHE:HE1	A:67:PHE:HB3	0.484
245	A:58:ILE:HB	A:62:GLU:HB3	0.482
245	A:13:LEU:HD21	A:29:ILE:CG1	0.472
245	A:30:GLY:HA3	A:104:PHE:CD2	0.472
245	A:19:LYS:HB3	A:25:TYR:CE2	0.471
245	A:94:VAL:HG11	A:156:GLY:C	0.469
245	A:6:MET:HG3	A:161:TYR:CE2	0.467
245	A:4:PHE:HZ	A:63:ALA:C	0.466
245	A:16:LYS:CG	A:57:VAL:HG22	0.459
245	A:13:LEU:HD21	A:29:ILE:HG13	0.453
245	A:13:LEU:O	A:15:LEU:HD22	0.453
245	A:78:ILE:CG2	A:88:TYR:HD2	0.449
245	A:87:VAL:HG21	A:122:GLN:HA	0.442
245	A:17:ILE:HG22	A:25:TYR:CD1	0.441
245	A:100:ILE:HG22	A:104:PHE:CE1	0.441
245	A:78:ILE:HG21	A:88:TYR:HB3	0.438
245	A:16:LYS:HA	A:56:GLY:O	0.436
245	A:6:MET:CB	A:158:TRP:HZ3	0.426
245	A:14:ARG:CB	A:18:TYR:CE1	0.425

Model ID	Atom-1	Atom-2	Clash overlap (Å)
245	A:2:ASN:OD1	A:4:PHE:HB2	0.420
245	A:83:LYS:HD3	A:84:LEU:HD12	0.420
245	A:15:LEU:O	A:27:ILE:HD11	0.419
245	A:73:ALA:HA	A:76:ARG:HB2	0.419
245	A:116:ASN:O	A:120:MET:HG2	0.419
245	A:97:ALA:O	A:100:ILE:HB	0.417
245	A:25:TYR:CD2	A:39:LEU:HB3	0.416
245	A:124:LYS:HG2	A:126:TRP:CH2	0.416
245	A:1:MET:HE2	A:158:TRP:CZ3	0.415
245	A:80:ARG:HB2	A:80:ARG:HE	0.415
245	A:26:THR:HA	A:31:HIS:O	0.414
245	A:67:PHE:O	A:70:ASP:HB3	0.413
245	A:6:MET:HE2	A:101:ASN:HD22	0.411
245	A:17:ILE:HG21	A:25:TYR:HD1	0.410
245	A:101:ASN:HA	A:104:PHE:CD1	0.409
245	A:14:ARG:HA	A:14:ARG:HD3	0.408
245	A:17:ILE:HG12	A:27:ILE:HB	0.405
245	A:33:LEU:HD13	A:42:ALA:CB	0.405
245	A:32:LEU:HA	A:32:LEU:HD12	0.404
246	A:10:ASP:HB3	A:145:ARG:HG3	1.105
246	A:17:ILE:HD12	A:43:LYS:HD3	1.069
246	A:130:ALA:HB1	A:150:ILE:HG23	1.046
246	A:16:LYS:HG3	A:57:VAL:HG22	1.019

Model ID	Atom-1	Atom-2	Clash overlap (Å)
246	A:58:ILE:HD12	A:63:ALA:HB2	0.934
246	A:17:ILE:HD12	A:43:LYS:CD	0.860
246	A:130:ALA:CB	A:150:ILE:HG23	0.854
246	A:17:ILE:HG12	A:27:ILE:HG22	0.838
246	A:14:ARG:HB3	A:18:TYR:HE1	0.825
246	A:124:LYS:HG2	A:126:TRP:CZ2	0.814
246	A:58:ILE:HD12	A:63:ALA:CB	0.796
246	A:7:LEU:HD22	A:11:GLU:HB2	0.794
246	A:16:LYS:HG3	A:57:VAL:CG2	0.786
246	A:106:MET:SD	A:114:PHE:HE1	0.755
246	A:3:ILE:SG	A:97:ALA:SG	0.753
246	A:10:ASP:HB3	A:145:ARG:CG	0.746
246	A:142:THR:CG2	A:145:ARG:HB2	0.745
246	A:27:ILE:CG2	A:33:LEU:HD12	0.743
246	A:142:THR:HG21	A:145:ARG:HB2	0.722
246	A:130:ALA:HB1	A:150:ILE:CG2	0.706
246	A:17:ILE:CD1	A:43:LYS:HD3	0.699
246	A:6:MET:SD	A:158:TRP:HZ3	0.678
246	A:106:MET:SD	A:114:PHE:CE1	0.676
246	A:99:LEU:HA	A:102:MET:HG3	0.675
246	A:17:ILE:CG1	A:27:ILE:HG22	0.673
246	A:121:LEU:HG	A:126:TRP:HE3	0.669
246	A:6:MET:HG3	A:161:TYR:CE2	0.666

Model ID	Atom-1	Atom-2	Clash overlap (Å)
246	A:1:MET:HE1	A:158:TRP:CE3	0.664
246	A:97:ALA:CB	A:158:TRP:HH2	0.660
246	A:39:LEU:HD21	A:43:LYS:HE3	0.652
246	A:1:MET:HG2	A:5:GLU:HB2	0.633
246	A:27:ILE:HG23	A:33:LEU:HB2	0.606
246	A:103:VAL:HG22	A:111:VAL:HG21	0.606
246	A:79:LEU:HD23	A:81:ASN:HD22	0.594
246	A:15:LEU:HB3	A:58:ILE:HG13	0.583
246	A:27:ILE:CG1	A:31:HIS:HB3	0.580
246	A:95:ARG:HD3	A:126:TRP:CD2	0.566
246	A:142:THR:HG22	A:145:ARG:H	0.559
246	A:19:LYS:HB3	A:25:TYR:CE1	0.549
246	A:1:MET:CG	A:5:GLU:HB2	0.548
246	A:133:LEU:HB3	A:138:TRP:HZ3	0.542
246	A:10:ASP:HA	A:148:ARG:HH21	0.541
246	A:133:LEU:HB3	A:138:TRP:CZ3	0.533
246	A:25:TYR:CE1	A:39:LEU:HD13	0.524
246	A:46:LEU:O	A:50:ILE:HD12	0.519
246	A:11:GLU:HG2	A:13:LEU:HD12	0.518
246	A:14:ARG:HB3	A:18:TYR:CE1	0.516
246	A:27:ILE:HG21	A:33:LEU:HD12	0.511
246	A:13:LEU:HG	A:29:ILE:HG12	0.504
246	A:116:ASN:HB3	A:120:MET:HE1	0.501

Model ID	Atom-1	Atom-2	Clash overlap (Å)
246	A:79:LEU:HD21	A:84:LEU:HD12	0.497
246	A:25:TYR:CD1	A:39:LEU:HD13	0.490
246	A:27:ILE:HG13	A:31:HIS:HB3	0.487
246	A:132:ASN:OD1	A:133:LEU:HD12	0.486
246	A:17:ILE:HG12	A:27:ILE:CG2	0.483
246	A:9:ILE:HD13	A:161:TYR:HB3	0.481
246	A:114:PHE:CE2	A:133:LEU:HD21	0.479
246	A:10:ASP:CB	A:145:ARG:HG3	0.475
246	A:142:THR:HG22	A:145:ARG:HB2	0.471
246	A:50:ILE:HG22	A:52:ARG:N	0.467
246	A:6:MET:SD	A:158:TRP:CZ3	0.461
246	A:102:MET:HB3	A:102:MET:HE2	0.454
246	A:143:PRO:O	A:147:LYS:HG3	0.453
246	A:97:ALA:HB3	A:158:TRP:HH2	0.450
246	A:87:VAL:CG1	A:118:LEU:HD21	0.448
246	A:6:MET:HE1	A:97:ALA:O	0.442
246	A:27:ILE:HG12	A:31:HIS:HB3	0.440
246	A:15:LEU:HD11	A:29:ILE:CG1	0.439
246	A:139:TYR:O	A:143:PRO:HD3	0.435
246	A:6:MET:CE	A:97:ALA:HB1	0.434
246	A:111:VAL:HA	A:114:PHE:CD1	0.430
246	A:13:LEU:HG	A:29:ILE:HG23	0.429
246	A:97:ALA:HB3	A:158:TRP:CH2	0.424

Model ID	Atom-1	Atom-2	Clash overlap (Å)
246	A:47:ASP:OD2	A:53:ASN:HA	0.423
246	A:144:ASN:HB3	A:148:ARG:HH12	0.417
246	A:102:MET:HE1	A:133:LEU:CD2	0.416
246	A:15:LEU:O	A:57:VAL:HA	0.415
246	A:41:ALA:O	A:45:GLU:HB2	0.412
246	A:102:MET:HE1	A:133:LEU:HG	0.409
246	A:133:LEU:HA	A:133:LEU:HD23	0.400
247	A:17:ILE:HD12	A:43:LYS:HD3	1.108
247	A:15:LEU:HD11	A:29:ILE:HG13	0.932
247	A:27:ILE:CG2	A:33:LEU:HD12	0.843
247	A:17:ILE:HG12	A:27:ILE:HG22	0.836
247	A:17:ILE:HD12	A:43:LYS:CD	0.822
247	A:81:ASN:HB3	A:84:LEU:HB2	0.784
247	A:16:LYS:HG2	A:57:VAL:HG22	0.783
247	A:1:MET:HG2	A:5:GLU:HB2	0.768
247	A:133:LEU:HB3	A:138:TRP:HZ3	0.762
247	A:17:ILE:CG1	A:27:ILE:HG22	0.756
247	A:7:LEU:HD22	A:11:GLU:HB2	0.732
247	A:16:LYS:CG	A:57:VAL:HG22	0.714
247	A:3:ILE:SG	A:97:ALA:SG	0.712
247	A:10:ASP:HB3	A:145:ARG:HG3	0.707
247	A:130:ALA:CB	A:150:ILE:HG23	0.682
247	A:130:ALA:HB1	A:150:ILE:HG23	0.677

Model ID	Atom-1	Atom-2	Clash overlap (Å)
247	A:106:MET:SD	A:114:PHE:CE1	0.674
247	A:50:ILE:HG13	A:54:THR:SG	0.665
247	A:106:MET:SD	A:114:PHE:HE1	0.650
247	A:133:LEU:HB3	A:138:TRP:CZ3	0.620
247	A:27:ILE:HG23	A:33:LEU:HD12	0.616
247	A:17:ILE:HG12	A:27:ILE:CG2	0.615
247	A:15:LEU:HD11	A:29:ILE:CG1	0.610
247	A:130:ALA:HB1	A:150:ILE:CG2	0.608
247	A:19:LYS:HB3	A:25:TYR:CE1	0.606
247	A:114:PHE:CE2	A:133:LEU:HD21	0.606
247	A:150:ILE:HA	A:153:PHE:HD2	0.603
247	A:103:VAL:HG22	A:111:VAL:HG21	0.598
247	A:142:THR:CG2	A:145:ARG:HB3	0.596
247	A:1:MET:HE1	A:158:TRP:CE3	0.589
247	A:25:TYR:HB2	A:34:THR:HG22	0.585
247	A:13:LEU:HG	A:29:ILE:HG23	0.580
247	A:27:ILE:HG21	A:33:LEU:HD12	0.558
247	A:58:ILE:HD12	A:63:ALA:HB2	0.557
247	A:25:TYR:CE1	A:39:LEU:HD13	0.554
247	A:17:ILE:CD1	A:43:LYS:HD3	0.553
247	A:16:LYS:HG3	A:57:VAL:HA	0.548
247	A:114:PHE:HB3	A:117:SER:HB2	0.541
247	A:1:MET:CG	A:5:GLU:HB2	0.530

Model ID	Atom-1	Atom-2	Clash overlap (Å)
247	A:25:TYR:CD1	A:39:LEU:HD13	0.526
247	A:25:TYR:HB2	A:34:THR:CG2	0.526
247	A:88:TYR:CE1	A:99:LEU:HD22	0.512
247	A:91:LEU:HD21	A:126:TRP:CZ3	0.512
247	A:33:LEU:HG	A:46:LEU:HG	0.510
247	A:145:ARG:HA	A:148:ARG:HH21	0.504
247	A:6:MET:HG3	A:161:TYR:CE2	0.494
247	A:27:ILE:HG13	A:31:HIS:HB3	0.489
247	A:151:THR:HG21	A:160:ALA:HB2	0.486
247	A:102:MET:O	A:106:MET:HG2	0.484
247	A:81:ASN:HB3	A:84:LEU:CB	0.483
247	A:24:TYR:HB3	A:32:LEU:HD11	0.482
247	A:9:ILE:HD13	A:161:TYR:HB3	0.473
247	A:129:ALA:HA	A:132:ASN:HD22	0.469
247	A:9:ILE:CD1	A:161:TYR:HB3	0.461
247	A:27:ILE:HG23	A:33:LEU:HB2	0.459
247	A:59:THR:OG1	A:62:GLU:HB3	0.455
247	A:64:GLU:O	A:68:ASN:HB2	0.452
247	A:87:VAL:HG21	A:118:LEU:HD21	0.452
247	A:149:VAL:HG12	A:153:PHE:CE2	0.448
247	A:102:MET:HG3	A:106:MET:HE3	0.444
247	A:42:ALA:O	A:46:LEU:HB2	0.442
247	A:158:TRP:HE3	A:161:TYR:CD2	0.442

Model ID	Atom-1	Atom-2	Clash overlap (Å)
247	A:11:GLU:OE1	A:30:GLY:HA3	0.439
247	A:46:LEU:O	A:50:ILE:HG12	0.437
247	A:125:ARG:HB3	A:128:GLU:HB2	0.436
247	A:31:HIS:HA	A:104:PHE:O	0.431
247	A:145:ARG:O	A:149:VAL:HG23	0.431
247	A:1:MET:SD	A:6:MET:HB2	0.429
247	A:124:LYS:HG3	A:126:TRP:CZ2	0.428
247	A:114:PHE:CE2	A:133:LEU:CD2	0.427
247	A:50:ILE:HG22	A:52:ARG:H	0.425
247	A:16:LYS:HG2	A:57:VAL:CG2	0.416
247	A:13:LEU:CG	A:29:ILE:HG23	0.412
247	A:124:LYS:CG	A:126:TRP:CZ2	0.412
247	A:32:LEU:HB2	A:105:GLN:O	0.410
247	A:148:ARG:HB2	A:148:ARG:HE	0.408
247	A:77:GLY:O	A:80:ARG:HB2	0.405
247	A:133:LEU:HD22	A:138:TRP:CE3	0.405
248	A:4:PHE:HZ	A:64:GLU:HG3	1.050
248	A:50:ILE:HD11	A:66:LEU:HD11	1.009
248	A:4:PHE:CZ	A:64:GLU:HG3	0.926
248	A:102:MET:HE1	A:133:LEU:HB3	0.862
248	A:50:ILE:CD1	A:66:LEU:HD11	0.829
248	A:25:TYR:HB3	A:33:LEU:HD12	0.710
248	A:94:VAL:HG12	A:152:THR:CG2	0.706

Model ID	Atom-1	Atom-2	Clash overlap (Å)
248	A:94:VAL:HG12	A:152:THR:HG23	0.703
248	A:16:LYS:HG3	A:57:VAL:HG13	0.699
248	A:3:ILE:SG	A:97:ALA:SG	0.682
248	A:102:MET:HE1	A:133:LEU:CB	0.681
248	A:45:GLU:HA	A:48:LYS:HD3	0.670
248	A:10:ASP:HB3	A:145:ARG:HG3	0.655
248	A:148:ARG:HG2	A:161:TYR:CZ	0.639
248	A:102:MET:HE3	A:138:TRP:CZ3	0.634
248	A:103:VAL:HG13	A:111:VAL:HG21	0.623
248	A:7:LEU:HD13	A:11:GLU:HG3	0.610
248	A:58:ILE:HB	A:62:GLU:HB3	0.607
248	A:50:ILE:HG21	A:54:THR:SG	0.602
248	A:58:ILE:CD1	A:63:ALA:HB2	0.594
248	A:83:LYS:HD3	A:84:LEU:HD12	0.593
248	A:33:LEU:HG	A:46:LEU:HD13	0.591
248	A:115:THR:HA	A:118:LEU:HB2	0.584
248	A:1:MET:HE2	A:158:TRP:CE3	0.574
248	A:124:LYS:HG3	A:126:TRP:CZ2	0.568
248	A:1:MET:HE3	A:6:MET:HB2	0.560
248	A:33:LEU:HD13	A:42:ALA:HB1	0.555
248	A:94:VAL:CG1	A:152:THR:HG23	0.544
248	A:14:ARG:CB	A:18:TYR:CE1	0.540
248	A:102:MET:HE2	A:106:MET:HE1	0.532

Model ID	Atom-1	Atom-2	Clash overlap (Å)
248	A:93:ALA:HA	A:96:ARG:HB2	0.531
248	A:114:PHE:CE2	A:133:LEU:CD2	0.527
248	A:7:LEU:CD1	A:11:GLU:HG3	0.526
248	A:7:LEU:HB3	A:29:ILE:HG21	0.524
248	A:33:LEU:CD1	A:42:ALA:HB1	0.524
248	A:98:ALA:HB1	A:153:PHE:CE1	0.506
248	A:14:ARG:HB2	A:18:TYR:CE1	0.504
248	A:4:PHE:CE1	A:29:ILE:CD1	0.497
248	A:1:MET:CG	A:5:GLU:HB2	0.494
248	A:128:GLU:HA	A:131:VAL:HG23	0.490
248	A:78:ILE:O	A:84:LEU:HB3	0.489
248	A:35:LYS:HE3	A:109:THR:HG21	0.482
248	A:102:MET:CE	A:106:MET:HE1	0.481
248	A:111:VAL:HA	A:114:PHE:HD1	0.480
248	A:121:LEU:HG	A:126:TRP:HZ3	0.475
248	A:1:MET:HE1	A:161:TYR:HB3	0.469
248	A:14:ARG:HB2	A:18:TYR:HE1	0.463
248	A:58:ILE:HD13	A:63:ALA:HB2	0.460
248	A:102:MET:HG2	A:138:TRP:CZ2	0.460
248	A:102:MET:HE1	A:133:LEU:HG	0.458
248	A:102:MET:HE3	A:138:TRP:CE3	0.458
248	A:3:ILE:SG	A:100:ILE:HD13	0.457
248	A:114:PHE:CE2	A:133:LEU:HD21	0.455

Model ID	Atom-1	Atom-2	Clash overlap (Å)
248	A:21:THR:HG21	A:141:GLN:HG2	0.452
248	A:6:MET:HG3	A:161:TYR:CZ	0.448
248	A:106:MET:HE2	A:138:TRP:CG	0.443
248	A:100:ILE:HG22	A:104:PHE:CE1	0.437
248	A:6:MET:HE1	A:98:ALA:HA	0.435
248	A:97:ALA:HA	A:100:ILE:HD12	0.430
248	A:81:ASN:OD1	A:83:LYS:HB3	0.429
248	A:6:MET:HG3	A:161:TYR:CE2	0.422
248	A:101:ASN:O	A:104:PHE:HB2	0.419
248	A:24:TYR:CD1	A:35:LYS:HA	0.418
248	A:97:ALA:CB	A:158:TRP:CH2	0.413
248	A:50:ILE:HD11	A:66:LEU:CD1	0.411
248	A:27:ILE:HG22	A:33:LEU:HD21	0.409
248	A:97:ALA:HB3	A:158:TRP:CH2	0.408
248	A:120:MET:O	A:123:GLN:HB3	0.405
248	A:136:SER:HB2	A:138:TRP:HB3	0.401
248	A:97:ALA:CB	A:158:TRP:HH2	0.400
249	A:130:ALA:HB1	A:150:ILE:HG23	1.151
249	A:16:LYS:HG2	A:57:VAL:HG22	1.094
249	A:103:VAL:HG22	A:111:VAL:HG21	1.018
249	A:27:ILE:HG23	A:33:LEU:HD12	0.987
249	A:7:LEU:HD22	A:11:GLU:HB2	0.973
249	A:17:ILE:HD12	A:43:LYS:HD3	0.966

Model ID	Atom-1	Atom-2	Clash overlap (Å)
249	A:81:ASN:HB3	A:84:LEU:HB2	0.853
249	A:27:ILE:HG13	A:31:HIS:HB3	0.835
249	A:27:ILE:CG2	A:33:LEU:HD12	0.833
249	A:142:THR:CG2	A:145:ARG:HB2	0.811
249	A:17:ILE:HD12	A:43:LYS:CD	0.805
249	A:142:THR:HG21	A:145:ARG:HB2	0.795
249	A:58:ILE:HD12	A:63:ALA:CB	0.786
249	A:130:ALA:CB	A:150:ILE:HG23	0.777
249	A:27:ILE:CG1	A:31:HIS:HB3	0.765
249	A:3:ILE:SG	A:97:ALA:SG	0.763
249	A:106:MET:SD	A:114:PHE:HE1	0.756
249	A:63:ALA:HA	A:67:PHE:HB3	0.732
249	A:139:TYR:HE1	A:150:ILE:HD12	0.717
249	A:17:ILE:HG12	A:27:ILE:HG22	0.699
249	A:17:ILE:CG1	A:27:ILE:HG22	0.682
249	A:106:MET:SD	A:114:PHE:CE1	0.673
249	A:151:THR:HG21	A:160:ALA:HB2	0.671
249	A:16:LYS:CG	A:57:VAL:HG22	0.660
249	A:58:ILE:HD12	A:63:ALA:HB2	0.656
249	A:1:MET:CG	A:5:GLU:HB2	0.642
249	A:17:ILE:HB	A:43:LYS:HD3	0.631
249	A:15:LEU:HA	A:28:GLY:HA2	0.625
249	A:17:ILE:HG12	A:27:ILE:CG2	0.623

Model ID	Atom-1	Atom-2	Clash overlap (Å)
249	A:133:LEU:HB3	A:138:TRP:HZ3	0.617
249	A:151:THR:CG2	A:160:ALA:HB2	0.617
249	A:15:LEU:HD11	A:29:ILE:HG13	0.598
249	A:25:TYR:CE1	A:39:LEU:HD13	0.598
249	A:17:ILE:CD1	A:43:LYS:HD3	0.594
249	A:1:MET:HG2	A:5:GLU:HB2	0.589
249	A:139:TYR:CE1	A:150:ILE:HD12	0.585
249	A:15:LEU:HD23	A:63:ALA:CB	0.576
249	A:130:ALA:HB1	A:150:ILE:CG2	0.575
249	A:81:ASN:HB3	A:84:LEU:CB	0.538
249	A:15:LEU:CD2	A:63:ALA:HB1	0.533
249	A:114:PHE:CE2	A:133:LEU:HD21	0.527
249	A:121:LEU:HG	A:126:TRP:CE3	0.524
249	A:142:THR:HG22	A:145:ARG:H	0.523
249	A:6:MET:HG3	A:161:TYR:CE2	0.522
249	A:46:LEU:O	A:50:ILE:HD12	0.518
249	A:25:TYR:HB2	A:34:THR:CG2	0.506
249	A:106:MET:HE2	A:138:TRP:CG	0.505
249	A:15:LEU:HD23	A:63:ALA:HB1	0.503
249	A:158:TRP:HE3	A:161:TYR:CE2	0.503
249	A:4:PHE:CE1	A:29:ILE:HD13	0.497
249	A:13:LEU:HD21	A:29:ILE:HG23	0.497
249	A:142:THR:HG22	A:145:ARG:HB2	0.496

Model ID	Atom-1	Atom-2	Clash overlap (Å)
249	A:4:PHE:CE2	A:13:LEU:HD21	0.493
249	A:124:LYS:CG	A:126:TRP:CZ2	0.493
249	A:98:ALA:O	A:102:MET:HG3	0.492
249	A:55:ASN:O	A:57:VAL:HG23	0.488
249	A:1:MET:HE1	A:158:TRP:CE3	0.480
249	A:1:MET:SD	A:6:MET:HB2	0.480
249	A:4:PHE:CE1	A:29:ILE:HG21	0.479
249	A:139:TYR:CE1	A:150:ILE:CD1	0.475
249	A:114:PHE:HB3	A:117:SER:HB2	0.473
249	A:15:LEU:HB3	A:58:ILE:HG13	0.472
249	A:91:LEU:HD21	A:126:TRP:CZ3	0.472
249	A:124:LYS:HG3	A:126:TRP:CZ2	0.470
249	A:24:TYR:HD1	A:35:LYS:HA	0.468
249	A:150:ILE:HA	A:153:PHE:HD2	0.466
249	A:5:GLU:O	A:8:ARG:HB3	0.464
249	A:39:LEU:HD21	A:43:LYS:HE3	0.463
249	A:92:ASP:O	A:96:ARG:HG3	0.462
249	A:97:ALA:HB3	A:158:TRP:HH2	0.462
249	A:144:ASN:HB3	A:148:ARG:HH12	0.461
249	A:10:ASP:HB3	A:145:ARG:CG	0.460
249	A:77:GLY:O	A:80:ARG:HB2	0.457
249	A:25:TYR:CD1	A:39:LEU:HD13	0.456
249	A:59:THR:OG1	A:62:GLU:HB3	0.455

Model ID	Atom-1	Atom-2	Clash overlap (Å)
249	A:25:TYR:HB2	A:34:THR:HG22	0.453
249	A:79:LEU:HD22	A:85:LYS:HG2	0.451
249	A:91:LEU:HG	A:95:ARG:HG2	0.446
249	A:158:TRP:HE3	A:161:TYR:HE2	0.446
249	A:4:PHE:CZ	A:13:LEU:HD21	0.443
249	A:1:MET:CE	A:158:TRP:CE3	0.442
249	A:10:ASP:HB3	A:145:ARG:HG2	0.441
249	A:50:ILE:HG22	A:52:ARG:N	0.437
249	A:11:GLU:HG2	A:26:THR:HG21	0.436
249	A:117:SER:O	A:121:LEU:HD23	0.436
249	A:98:ALA:HB1	A:153:PHE:CZ	0.433
249	A:7:LEU:HG	A:104:PHE:HE2	0.432
249	A:130:ALA:HB2	A:153:PHE:HB2	0.431
249	A:47:ASP:OD2	A:53:ASN:HA	0.430
249	A:133:LEU:HD22	A:138:TRP:CZ3	0.429
249	A:158:TRP:CE3	A:161:TYR:HE2	0.428
249	A:116:ASN:HB3	A:120:MET:HE2	0.427
249	A:142:THR:HG21	A:145:ARG:HD3	0.427
249	A:87:VAL:HG11	A:118:LEU:HD23	0.424
249	A:8:ARG:HD3	A:13:LEU:HD13	0.420
249	A:47:ASP:HA	A:50:ILE:HD12	0.419
249	A:8:ARG:HA	A:13:LEU:HD13	0.414
249	A:33:LEU:HG	A:46:LEU:HG	0.414

Model ID	Atom-1	Atom-2	Clash overlap (Å)
249	A:6:MET:SD	A:158:TRP:HZ3	0.410
249	A:13:LEU:CG	A:29:ILE:HG23	0.409
249	A:17:ILE:HG13	A:27:ILE:HG22	0.409
249	A:42:ALA:O	A:46:LEU:HB2	0.403
250	A:16:LYS:HG3	A:57:VAL:HG22	1.149
250	A:151:THR:HG21	A:160:ALA:HB2	1.023
250	A:123:GLN:HB3	A:125:ARG:HG3	1.011
250	A:34:THR:HG21	A:42:ALA:HB2	0.978
250	A:8:ARG:HB3	A:13:LEU:HB2	0.968
250	A:1:MET:HG3	A:5:GLU:HB3	0.931
250	A:26:THR:HG23	A:32:LEU:HD12	0.905
250	A:88:TYR:CE1	A:96:ARG:HG3	0.882
250	A:6:MET:HE2	A:7:LEU:HD12	0.874
250	A:8:ARG:HB3	A:13:LEU:CB	0.867
250	A:6:MET:CE	A:7:LEU:HD12	0.846
250	A:34:THR:CG2	A:42:ALA:HB2	0.830
250	A:50:ILE:HG22	A:52:ARG:HB2	0.827
250	A:6:MET:HG3	A:161:TYR:CE2	0.826
250	A:121:LEU:HD22	A:129:ALA:HB1	0.794
250	A:152:THR:HG21	A:158:TRP:CZ3	0.791
250	A:151:THR:CG2	A:160:ALA:HB2	0.773
250	A:50:ILE:CG2	A:52:ARG:HB2	0.770
250	A:33:LEU:HD11	A:46:LEU:HG	0.754

Model ID	Atom-1	Atom-2	Clash overlap (Å)
250	A:94:VAL:HG13	A:158:TRP:CZ2	0.750
250	A:97:ALA:HA	A:100:ILE:HD12	0.747
250	A:114:PHE:HB3	A:118:LEU:HD13	0.745
250	A:16:LYS:HG3	A:57:VAL:CG2	0.741
250	A:97:ALA:HB3	A:158:TRP:HH2	0.736
250	A:26:THR:HG23	A:32:LEU:CD1	0.725
250	A:91:LEU:CD1	A:92:ASP:HB2	0.723
250	A:1:MET:CG	A:5:GLU:HB3	0.721
250	A:3:ILE:SG	A:97:ALA:SG	0.715
250	A:16:LYS:CG	A:57:VAL:HG22	0.713
250	A:91:LEU:HD13	A:92:ASP:HB2	0.683
250	A:121:LEU:HD22	A:129:ALA:CB	0.671
250	A:1:MET:CE	A:6:MET:HB2	0.665
250	A:97:ALA:CB	A:158:TRP:HH2	0.654
250	A:33:LEU:HB3	A:34:THR:HG22	0.653
250	A:58:ILE:CD1	A:63:ALA:HB2	0.633
250	A:79:LEU:CD2	A:85:LYS:HG3	0.631
250	A:24:TYR:HB3	A:32:LEU:HD21	0.627
250	A:58:ILE:HD11	A:63:ALA:HB2	0.614
250	A:1:MET:HE3	A:6:MET:HB2	0.609
250	A:63:ALA:HA	A:66:LEU:HB2	0.606
250	A:118:LEU:HA	A:121:LEU:HD12	0.604
250	A:27:ILE:HG13	A:46:LEU:HD11	0.600

Model ID	Atom-1	Atom-2	Clash overlap (Å)
250	A:79:LEU:HD23	A:85:LYS:HG3	0.597
250	A:88:TYR:HE1	A:96:ARG:HG3	0.592
250	A:114:PHE:HE2	A:133:LEU:HD21	0.592
250	A:114:PHE:HZ	A:138:TRP:HE3	0.583
250	A:6:MET:HE1	A:7:LEU:HD12	0.581
250	A:76:ARG:HA	A:79:LEU:HD12	0.575
250	A:7:LEU:HD11	A:100:ILE:HG21	0.572
250	A:17:ILE:HD11	A:46:LEU:HD12	0.572
250	A:88:TYR:HB2	A:99:LEU:HD23	0.567
250	A:118:LEU:HD23	A:121:LEU:CD1	0.565
250	A:121:LEU:CD2	A:129:ALA:HB1	0.565
250	A:27:ILE:CG2	A:31:HIS:HB2	0.554
250	A:83:LYS:HE2	A:111:VAL:HG13	0.547
250	A:6:MET:HA	A:9:ILE:HD12	0.545
250	A:4:PHE:HE1	A:29:ILE:HB	0.540
250	A:118:LEU:HD23	A:121:LEU:HD12	0.529
250	A:27:ILE:HG23	A:31:HIS:HB2	0.525
250	A:102:MET:HE1	A:121:LEU:HD11	0.520
250	A:94:VAL:HG13	A:158:TRP:CE2	0.519
250	A:133:LEU:HB3	A:150:ILE:HD11	0.517
250	A:1:MET:HG3	A:5:GLU:CB	0.513
250	A:7:LEU:HD21	A:100:ILE:HG22	0.513
250	A:98:ALA:HB3	A:153:PHE:CE1	0.513

Model ID	Atom-1	Atom-2	Clash overlap (Å)
250	A:98:ALA:O	A:102:MET:HG3	0.505
250	A:91:LEU:HD12	A:92:ASP:HB2	0.504
250	A:5:GLU:HG3	A:9:ILE:HD11	0.503
250	A:8:ARG:HB3	A:13:LEU:HB3	0.501
250	A:114:PHE:HD2	A:117:SER:HB2	0.501
250	A:73:ALA:C	A:76:ARG:HG2	0.499
250	A:26:THR:CG2	A:32:LEU:HD12	0.498
250	A:116:ASN:HB3	A:120:MET:HE1	0.498
250	A:6:MET:SD	A:97:ALA:HB1	0.492
250	A:7:LEU:HB3	A:13:LEU:HD22	0.491
250	A:39:LEU:HA	A:42:ALA:HB3	0.485
250	A:97:ALA:HB3	A:158:TRP:CH2	0.484
250	A:106:MET:HE1	A:138:TRP:CD2	0.481
250	A:11:GLU:HG2	A:104:PHE:HB3	0.479
250	A:152:THR:CG2	A:158:TRP:CZ3	0.478
250	A:114:PHE:CZ	A:138:TRP:HE3	0.477
250	A:74:ALA:O	A:78:ILE:HG12	0.476
250	A:60:LYS:HD2	A:61:ASP:OD1	0.473
250	A:33:LEU:HD21	A:46:LEU:HB2	0.469
250	A:14:ARG:HB3	A:18:TYR:CD1	0.467
250	A:125:ARG:HH11	A:128:GLU:HG3	0.466
250	A:97:ALA:CB	A:158:TRP:CH2	0.465
250	A:1:MET:HE1	A:6:MET:HB2	0.462

Model ID	Atom-1	Atom-2	Clash overlap (Å)
250	A:13:LEU:HD13	A:14:ARG:HA	0.459
250	A:15:LEU:HG	A:59:THR:C	0.456
250	A:124:LYS:CG	A:126:TRP:CH2	0.456
250	A:98:ALA:CB	A:153:PHE:CE1	0.453
250	A:148:ARG:HD2	A:161:TYR:CE1	0.453
250	A:58:ILE:HD12	A:63:ALA:HB2	0.451
250	A:84:LEU:HD22	A:99:LEU:HD21	0.451
250	A:35:LYS:HE2	A:35:LYS:O	0.450
250	A:67:PHE:HA	A:70:ASP:HB3	0.449
250	A:78:ILE:HD12	A:85:LYS:HA	0.448
250	A:16:LYS:HG2	A:55:ASN:HB3	0.446
250	A:29:ILE:HG22	A:63:ALA:HB1	0.444
250	A:79:LEU:HA	A:85:LYS:HB2	0.443
250	A:5:GLU:O	A:9:ILE:HG13	0.442
250	A:14:ARG:HB3	A:18:TYR:CE1	0.442
250	A:55:ASN:C	A:57:VAL:HG23	0.442
250	A:139:TYR:HA	A:146:ALA:HB3	0.441
250	A:85:LYS:HB3	A:85:LYS:HE2	0.439
250	A:1:MET:HE1	A:158:TRP:CE3	0.437
250	A:124:LYS:HG2	A:126:TRP:CH2	0.434
250	A:8:ARG:CB	A:13:LEU:HB2	0.432
250	A:50:ILE:HG22	A:52:ARG:CB	0.431
250	A:114:PHE:CB	A:118:LEU:HD13	0.431

Model ID	Atom-1	Atom-2	Clash overlap (Å)
250	A:25:TYR:O	A:32:LEU:HD23	0.428
250	A:17:ILE:HA	A:26:THR:O	0.426
250	A:47:ASP:C	A:51:GLY:H	0.425
250	A:118:LEU:HD23	A:121:LEU:HD13	0.424
250	A:114:PHE:CZ	A:138:TRP:CE3	0.423
250	A:32:LEU:HB2	A:104:PHE:CE1	0.422
250	A:114:PHE:HZ	A:138:TRP:CE3	0.419
250	A:87:VAL:HB	A:122:GLN:HB2	0.415
250	A:67:PHE:O	A:71:VAL:HG23	0.414
250	A:118:LEU:O	A:121:LEU:HB2	0.407
250	A:47:ASP:HA	A:50:ILE:HB	0.403
250	A:133:LEU:HA	A:133:LEU:HD23	0.403
250	A:79:LEU:HD23	A:85:LYS:NZ	0.402
250	A:73:ALA:O	A:76:ARG:HG2	0.400
251	A:1:MET:HE2	A:158:TRP:CE3	0.956
251	A:33:LEU:HD13	A:42:ALA:HB1	0.928
251	A:79:LEU:HD23	A:85:LYS:HG3	0.921
251	A:103:VAL:HG22	A:111:VAL:HG21	0.858
251	A:103:VAL:HG22	A:111:VAL:CG2	0.853
251	A:124:LYS:HG2	A:126:TRP:CZ2	0.755
251	A:33:LEU:HD21	A:46:LEU:HD12	0.750
251	A:102:MET:HE3	A:138:TRP:CZ3	0.728
251	A:79:LEU:CD2	A:85:LYS:HG3	0.722

Model ID	Atom-1	Atom-2	Clash overlap (Å)
251	A:3:ILE:SG	A:97:ALA:SG	0.707
251	A:78:ILE:HG21	A:88:TYR:CD2	0.700
251	A:17:ILE:HD13	A:39:LEU:HD21	0.676
251	A:4:PHE:CZ	A:64:GLU:HG3	0.675
251	A:98:ALA:HB3	A:153:PHE:CE1	0.637
251	A:17:ILE:CG2	A:25:TYR:HD1	0.632
251	A:50:ILE:HG21	A:54:THR:SG	0.627
251	A:39:LEU:HD22	A:42:ALA:HB3	0.617
251	A:52:ARG:HD2	A:65:LYS:HG2	0.614
251	A:16:LYS:HG2	A:57:VAL:HG22	0.592
251	A:14:ARG:HB3	A:18:TYR:CE1	0.575
251	A:106:MET:HE2	A:138:TRP:CG	0.575
251	A:102:MET:HE1	A:133:LEU:HB3	0.570
251	A:130:ALA:HB2	A:150:ILE:HG21	0.563
251	A:19:LYS:HD3	A:23:GLY:HA2	0.561
251	A:7:LEU:HB3	A:29:ILE:HG22	0.550
251	A:102:MET:HE1	A:133:LEU:HG	0.537
251	A:25:TYR:CD1	A:39:LEU:HD23	0.531
251	A:103:VAL:HG22	A:111:VAL:HG22	0.518
251	A:105:GLN:HG2	A:138:TRP:HD1	0.506
251	A:148:ARG:HB3	A:161:TYR:CE1	0.503
251	A:50:ILE:HG23	A:52:ARG:H	0.502
251	A:116:ASN:HB3	A:120:MET:HE2	0.501

Model ID	Atom-1	Atom-2	Clash overlap (Å)
251	A:7:LEU:HB3	A:29:ILE:CG2	0.498
251	A:67:PHE:HA	A:70:ASP:HB3	0.496
251	A:17:ILE:CG2	A:25:TYR:CD1	0.491
251	A:78:ILE:CG2	A:88:TYR:CD2	0.491
251	A:6:MET:HG3	A:161:TYR:CE2	0.489
251	A:17:ILE:HG13	A:27:ILE:HG13	0.489
251	A:127:ASP:O	A:131:VAL:HG23	0.486
251	A:14:ARG:CB	A:18:TYR:CE1	0.482
251	A:12:GLY:C	A:13:LEU:HD12	0.481
251	A:46:LEU:HD21	A:66:LEU:HD11	0.480
251	A:148:ARG:HB3	A:161:TYR:CZ	0.472
251	A:158:TRP:O	A:162:LYS:HG2	0.471
251	A:14:ARG:CB	A:18:TYR:HE1	0.468
251	A:58:ILE:HB	A:62:GLU:HB3	0.464
251	A:124:LYS:HG2	A:126:TRP:CH2	0.464
251	A:29:ILE:HD12	A:67:PHE:HB2	0.463
251	A:102:MET:HE2	A:106:MET:HE1	0.457
251	A:130:ALA:HB2	A:150:ILE:CG2	0.455
251	A:14:ARG:HB3	A:18:TYR:HE1	0.453
251	A:116:ASN:O	A:120:MET:HG2	0.452
251	A:94:VAL:HA	A:158:TRP:CZ2	0.451
251	A:94:VAL:HG13	A:158:TRP:CE2	0.451
251	A:4:PHE:CE1	A:29:ILE:CD1	0.447

Model ID	Atom-1	Atom-2	Clash overlap (Å)
251	A:1:MET:HB3	A:158:TRP:CE2	0.442
251	A:67:PHE:CE2	A:71:VAL:CG2	0.442
251	A:46:LEU:HG	A:54:THR:SG	0.439
251	A:4:PHE:HE1	A:29:ILE:CD1	0.437
251	A:25:TYR:CZ	A:39:LEU:HB2	0.436
251	A:101:ASN:O	A:104:PHE:HB2	0.433
251	A:107:GLY:O	A:111:VAL:HG23	0.431
251	A:95:ARG:HG2	A:153:PHE:HD1	0.429
251	A:59:THR:H	A:62:GLU:HB2	0.428
251	A:102:MET:HE1	A:133:LEU:CG	0.426
251	A:31:HIS:CD2	A:46:LEU:HD23	0.425
251	A:102:MET:HE3	A:138:TRP:CH2	0.421
251	A:79:LEU:HD23	A:85:LYS:CG	0.418
251	A:15:LEU:O	A:58:ILE:HG13	0.416
251	A:106:MET:SD	A:114:PHE:HE1	0.412
251	A:59:THR:OG1	A:62:GLU:HB2	0.410
251	A:99:LEU:O	A:103:VAL:HG23	0.410
251	A:7:LEU:HG	A:104:PHE:HE1	0.409
251	A:18:TYR:CE2	A:26:THR:HB	0.408
251	A:29:ILE:HD12	A:67:PHE:CB	0.408
251	A:94:VAL:HG22	A:158:TRP:NE1	0.406
251	A:39:LEU:O	A:39:LEU:HD13	0.406
251	A:3:ILE:SG	A:100:ILE:CD1	0.405

Model ID	Atom-1	Atom-2	Clash overlap (Å)
251	A:1:MET:HE2	A:158:TRP:CD2	0.402
251	A:6:MET:HB2	A:158:TRP:CZ3	0.402
251	A:50:ILE:HG23	A:52:ARG:N	0.402
252	A:130:ALA:HB1	A:150:ILE:HG23	1.193
252	A:33:LEU:HD11	A:46:LEU:HG	1.136
252	A:81:ASN:HB3	A:84:LEU:HB2	1.061
252	A:9:ILE:HD13	A:161:TYR:HB3	0.936
252	A:87:VAL:HG11	A:118:LEU:HD21	0.884
252	A:17:ILE:HD12	A:43:LYS:HD3	0.864
252	A:106:MET:SD	A:114:PHE:HE1	0.812
252	A:27:ILE:HG21	A:33:LEU:HD12	0.810
252	A:87:VAL:CG1	A:118:LEU:HD21	0.785
252	A:27:ILE:CG2	A:33:LEU:HD12	0.778
252	A:81:ASN:CB	A:84:LEU:HB2	0.749
252	A:3:ILE:SG	A:97:ALA:SG	0.749
252	A:130:ALA:CB	A:150:ILE:HG23	0.739
252	A:27:ILE:HG12	A:33:LEU:HB2	0.732
252	A:27:ILE:HG13	A:31:HIS:HB3	0.707
252	A:148:ARG:HB3	A:161:TYR:CE1	0.700
252	A:33:LEU:HD11	A:46:LEU:CG	0.692
252	A:103:VAL:HG22	A:111:VAL:HG21	0.686
252	A:33:LEU:CD1	A:46:LEU:HG	0.667
252	A:27:ILE:HD13	A:33:LEU:HD23	0.666

Model ID	Atom-1	Atom-2	Clash overlap (Å)
252	A:106:MET:SD	A:114:PHE:CE1	0.665
252	A:133:LEU:HB3	A:138:TRP:HZ3	0.654
252	A:9:ILE:HD13	A:161:TYR:CB	0.652
252	A:15:LEU:HD11	A:29:ILE:HG13	0.650
252	A:6:MET:HG3	A:161:TYR:CE2	0.635
252	A:130:ALA:HB1	A:150:ILE:CG2	0.635
252	A:124:LYS:HG3	A:126:TRP:CZ2	0.609
252	A:7:LEU:HD22	A:11:GLU:HB2	0.606
252	A:16:LYS:CG	A:57:VAL:HG22	0.606
252	A:8:ARG:HA	A:13:LEU:HD13	0.603
252	A:6:MET:CE	A:97:ALA:HB1	0.602
252	A:17:ILE:HG12	A:27:ILE:HG23	0.602
252	A:102:MET:HB3	A:106:MET:HE3	0.600
252	A:15:LEU:HB3	A:58:ILE:HG13	0.599
252	A:106:MET:HE2	A:138:TRP:CG	0.599
252	A:148:ARG:HB3	A:161:TYR:HE1	0.593
252	A:79:LEU:HD21	A:84:LEU:HD12	0.592
252	A:65:LYS:HD3	A:66:LEU:HD12	0.580
252	A:17:ILE:HG12	A:27:ILE:CG2	0.567
252	A:110:GLY:HA2	A:137:ARG:HH21	0.560
252	A:50:ILE:HG21	A:52:ARG:HB3	0.536
252	A:124:LYS:CG	A:126:TRP:CZ2	0.531
252	A:1:MET:HG2	A:5:GLU:CB	0.529

Model ID	Atom-1	Atom-2	Clash overlap (Å)
252	A:13:LEU:HG	A:29:ILE:HG23	0.529
252	A:151:THR:HG21	A:160:ALA:CB	0.526
252	A:27:ILE:HG23	A:33:LEU:HD12	0.520
252	A:33:LEU:HD21	A:46:LEU:HD21	0.520
252	A:1:MET:HE1	A:158:TRP:CE3	0.519
252	A:16:LYS:HG3	A:57:VAL:HG22	0.517
252	A:88:TYR:HD1	A:99:LEU:HD22	0.511
252	A:125:ARG:HB3	A:128:GLU:HB2	0.511
252	A:6:MET:HE1	A:97:ALA:O	0.506
252	A:46:LEU:O	A:50:ILE:HG12	0.506
252	A:102:MET:HG2	A:138:TRP:CZ2	0.499
252	A:50:ILE:HG13	A:54:THR:SG	0.488
252	A:1:MET:CG	A:5:GLU:HB3	0.480
252	A:39:LEU:HD21	A:43:LYS:HE3	0.480
252	A:14:ARG:HB2	A:18:TYR:CD1	0.479
252	A:148:ARG:HA	A:151:THR:HB	0.479
252	A:5:GLU:O	A:8:ARG:HB3	0.477
252	A:123:GLN:HG3	A:125:ARG:HD3	0.474
252	A:45:GLU:HA	A:48:LYS:HE2	0.469
252	A:42:ALA:O	A:46:LEU:HB2	0.468
252	A:98:ALA:HB1	A:153:PHE:CE2	0.468
252	A:17:ILE:HD12	A:43:LYS:CD	0.467
252	A:10:ASP:HB3	A:145:ARG:CG	0.466

Model ID	Atom-1	Atom-2	Clash overlap (Å)
252	A:94:VAL:HG13	A:158:TRP:CZ2	0.464
252	A:81:ASN:HB3	A:84:LEU:CB	0.457
252	A:58:ILE:HD12	A:63:ALA:HB2	0.455
252	A:25:TYR:CD1	A:39:LEU:HD13	0.454
252	A:39:LEU:HD11	A:43:LYS:HE3	0.453
252	A:133:LEU:HD22	A:138:TRP:CZ3	0.452
252	A:139:TYR:HE1	A:150:ILE:HD12	0.452
252	A:111:VAL:HA	A:114:PHE:CD1	0.451
252	A:114:PHE:HB3	A:117:SER:HB2	0.447
252	A:59:THR:OG1	A:62:GLU:HB3	0.446
252	A:1:MET:HG2	A:5:GLU:HB2	0.445
252	A:101:ASN:O	A:104:PHE:HB2	0.444
252	A:1:MET:HG2	A:5:GLU:HB3	0.438
252	A:25:TYR:CE1	A:39:LEU:HD13	0.435
252	A:84:LEU:HD21	A:111:VAL:HG12	0.433
252	A:39:LEU:O	A:43:LYS:HG2	0.431
252	A:84:LEU:HD11	A:111:VAL:HG11	0.431
252	A:7:LEU:CD2	A:11:GLU:HB2	0.430
252	A:142:THR:CG2	A:145:ARG:HB2	0.429
252	A:87:VAL:HG11	A:118:LEU:HD11	0.427
252	A:6:MET:HE2	A:97:ALA:HB1	0.425
252	A:121:LEU:HD21	A:129:ALA:HB2	0.425
252	A:148:ARG:CB	A:161:TYR:HE1	0.425

Model ID	Atom-1	Atom-2	Clash overlap (Å)
252	A:10:ASP:HB3	A:145:ARG:HG2	0.422
252	A:17:ILE:CG1	A:27:ILE:HG22	0.422
252	A:127:ASP:O	A:131:VAL:HG23	0.419
252	A:117:SER:O	A:121:LEU:HD23	0.417
252	A:98:ALA:O	A:102:MET:HG3	0.416
252	A:17:ILE:HB	A:43:LYS:HD3	0.415
252	A:107:GLY:O	A:111:VAL:HG23	0.414
252	A:14:ARG:HB2	A:18:TYR:CE1	0.413
252	A:148:ARG:HB2	A:148:ARG:HE	0.411
252	A:139:TYR:O	A:143:PRO:HD3	0.409
252	A:6:MET:SD	A:158:TRP:HZ3	0.408
252	A:116:ASN:HB3	A:120:MET:HE1	0.406
252	A:144:ASN:HB3	A:148:ARG:NH1	0.405
253	A:102:MET:HE1	A:133:LEU:HG	0.923
253	A:7:LEU:HD13	A:11:GLU:HG3	0.883
253	A:83:LYS:HD3	A:84:LEU:HD12	0.826
253	A:7:LEU:CD1	A:11:GLU:HG3	0.818
253	A:98:ALA:HB1	A:153:PHE:CE1	0.746
253	A:102:MET:HE3	A:138:TRP:CZ3	0.743
253	A:17:ILE:CG2	A:25:TYR:HD1	0.741
253	A:118:LEU:HD13	A:121:LEU:HD12	0.732
253	A:14:ARG:HB2	A:18:TYR:HE1	0.712
253	A:1:MET:HE3	A:6:MET:HB2	0.708

Model ID	Atom-1	Atom-2	Clash overlap (Å)
253	A:3:ILE:SG	A:97:ALA:SG	0.691
253	A:24:TYR:HB3	A:32:LEU:HD21	0.690
253	A:16:LYS:HG2	A:57:VAL:HG22	0.671
253	A:10:ASP:HB3	A:145:ARG:HD2	0.660
253	A:58:ILE:CD1	A:63:ALA:HB2	0.654
253	A:98:ALA:HB1	A:153:PHE:HE1	0.650
253	A:17:ILE:HG21	A:25:TYR:HD1	0.649
253	A:58:ILE:HD13	A:63:ALA:HB2	0.649
253	A:97:ALA:HA	A:100:ILE:HD12	0.643
253	A:102:MET:HE1	A:133:LEU:CG	0.632
253	A:4:PHE:HE1	A:29:ILE:HD13	0.629
253	A:102:MET:HE2	A:106:MET:HE1	0.625
253	A:14:ARG:HB2	A:18:TYR:CE1	0.618
253	A:102:MET:CE	A:133:LEU:HG	0.612
253	A:103:VAL:HG13	A:111:VAL:HG21	0.611
253	A:27:ILE:HG22	A:33:LEU:HD21	0.595
253	A:124:LYS:HG3	A:126:TRP:CZ2	0.583
253	A:14:ARG:CB	A:18:TYR:HE1	0.573
253	A:105:GLN:HG3	A:145:ARG:HH12	0.562
253	A:32:LEU:HD22	A:34:THR:C	0.554
253	A:83:LYS:HD3	A:84:LEU:CD1	0.547
253	A:94:VAL:HG22	A:158:TRP:CD1	0.538
253	A:1:MET:CE	A:158:TRP:CZ3	0.536

Model ID	Atom-1	Atom-2	Clash overlap (Å)
253	A:27:ILE:HD11	A:58:ILE:HD11	0.530
253	A:3:ILE:SG	A:100:ILE:HD13	0.528
253	A:98:ALA:CB	A:153:PHE:HE1	0.527
253	A:25:TYR:HB3	A:33:LEU:HD12	0.523
253	A:4:PHE:CE1	A:29:ILE:HD13	0.522
253	A:17:ILE:HG21	A:25:TYR:CD1	0.522
253	A:6:MET:HG3	A:161:TYR:CE2	0.516
253	A:1:MET:HE3	A:158:TRP:CZ3	0.510
253	A:17:ILE:HD11	A:46:LEU:HG	0.504
253	A:94:VAL:HG11	A:156:GLY:C	0.500
253	A:154:ARG:HB3	A:154:ARG:HH11	0.500
253	A:111:VAL:HA	A:114:PHE:HD1	0.496
253	A:33:LEU:HB3	A:42:ALA:HA	0.495
253	A:67:PHE:CE2	A:71:VAL:HG23	0.495
253	A:31:HIS:HA	A:70:ASP:CG	0.492
253	A:148:ARG:HG2	A:161:TYR:CZ	0.491
253	A:7:LEU:HD13	A:11:GLU:CG	0.487
253	A:102:MET:HE1	A:133:LEU:CB	0.487
253	A:127:ASP:O	A:131:VAL:HG23	0.480
253	A:44:SER:O	A:48:LYS:HB2	0.474
253	A:102:MET:HE1	A:133:LEU:HB3	0.471
253	A:29:ILE:HB	A:67:PHE:CE1	0.464
253	A:1:MET:HG3	A:5:GLU:HB2	0.463

Model ID	Atom-1	Atom-2	Clash overlap (Å)
253	A:67:PHE:CE2	A:71:VAL:CG2	0.462
253	A:116:ASN:HB3	A:120:MET:HE2	0.462
253	A:107:GLY:O	A:111:VAL:HG23	0.456
253	A:14:ARG:CB	A:18:TYR:CE1	0.454
253	A:33:LEU:HD13	A:42:ALA:C	0.454
253	A:124:LYS:HG3	A:126:TRP:HZ2	0.454
253	A:102:MET:HE3	A:138:TRP:CH2	0.453
253	A:117:SER:O	A:121:LEU:HG	0.446
253	A:94:VAL:HG11	A:157:THR:N	0.444
253	A:25:TYR:C	A:33:LEU:HD23	0.443
253	A:111:VAL:HA	A:114:PHE:CD1	0.442
253	A:22:GLU:HB3	A:24:TYR:CE2	0.438
253	A:7:LEU:HB3	A:29:ILE:HG21	0.436
253	A:1:MET:CG	A:5:GLU:HB2	0.435
253	A:7:LEU:HD12	A:11:GLU:HG3	0.432
253	A:31:HIS:ND1	A:70:ASP:HB2	0.432
253	A:97:ALA:O	A:100:ILE:HB	0.432
253	A:1:MET:HG3	A:5:GLU:CB	0.431
253	A:77:GLY:O	A:80:ARG:HG3	0.426
253	A:98:ALA:CB	A:153:PHE:CE1	0.426
253	A:12:GLY:O	A:29:ILE:HA	0.425
253	A:50:ILE:HD11	A:62:GLU:OE2	0.422
253	A:102:MET:CE	A:106:MET:HE1	0.422

Model ID	Atom-1	Atom-2	Clash overlap (Å)
253	A:11:GLU:HB2	A:29:ILE:HG23	0.414
253	A:12:GLY:C	A:13:LEU:HD12	0.412
253	A:89:ASP:HA	A:96:ARG:HH21	0.412
253	A:78:ILE:HA	A:78:ILE:HD13	0.404
253	A:145:ARG:O	A:149:VAL:HG23	0.404
254	A:58:ILE:HD12	A:63:ALA:HB2	0.921
254	A:27:ILE:HG13	A:31:HIS:HB3	0.909
254	A:17:ILE:HD12	A:43:LYS:HD3	0.896
254	A:142:THR:CG2	A:145:ARG:HB2	0.862
254	A:27:ILE:HG23	A:33:LEU:HD12	0.858
254	A:16:LYS:HG3	A:57:VAL:HG22	0.838
254	A:15:LEU:HD11	A:29:ILE:HG13	0.837
254	A:14:ARG:HB2	A:18:TYR:CE1	0.830
254	A:58:ILE:HD12	A:63:ALA:CB	0.813
254	A:27:ILE:CG2	A:33:LEU:HD12	0.804
254	A:7:LEU:HD22	A:11:GLU:HB3	0.798
254	A:133:LEU:HB3	A:138:TRP:CZ3	0.782
254	A:16:LYS:CG	A:57:VAL:HG22	0.778
254	A:50:ILE:HG13	A:54:THR:SG	0.773
254	A:142:THR:HG21	A:145:ARG:HB2	0.766
254	A:13:LEU:HG	A:29:ILE:HG23	0.758
254	A:16:LYS:HD2	A:57:VAL:HG13	0.736
254	A:142:THR:HG21	A:145:ARG:HD3	0.729

Model ID	Atom-1	Atom-2	Clash overlap (Å)
254	A:3:ILE:SG	A:97:ALA:SG	0.719
254	A:106:MET:SD	A:114:PHE:HE1	0.716
254	A:1:MET:CG	A:5:GLU:HB2	0.707
254	A:133:LEU:HB3	A:138:TRP:HZ3	0.683
254	A:106:MET:SD	A:114:PHE:CE1	0.673
254	A:103:VAL:HG22	A:111:VAL:HG21	0.669
254	A:7:LEU:HD22	A:11:GLU:CB	0.655
254	A:15:LEU:HB3	A:58:ILE:HG13	0.654
254	A:79:LEU:HD23	A:84:LEU:HB3	0.654
254	A:142:THR:HG22	A:145:ARG:H	0.649
254	A:17:ILE:CD1	A:43:LYS:HD3	0.648
254	A:130:ALA:CB	A:150:ILE:HG23	0.646
254	A:19:LYS:HB3	A:25:TYR:CZ	0.625
254	A:1:MET:HG3	A:5:GLU:HB2	0.606
254	A:17:ILE:HD12	A:43:LYS:CD	0.605
254	A:1:MET:HG2	A:5:GLU:HB2	0.599
254	A:25:TYR:CZ	A:39:LEU:HB2	0.597
254	A:102:MET:HE1	A:133:LEU:HG	0.594
254	A:15:LEU:HD11	A:29:ILE:CG1	0.592
254	A:81:ASN:HB2	A:84:LEU:HB2	0.586
254	A:102:MET:HE2	A:106:MET:HE1	0.582
254	A:84:LEU:HD22	A:118:LEU:HG	0.572
254	A:17:ILE:CG1	A:27:ILE:HG22	0.570

Model ID	Atom-1	Atom-2	Clash overlap (Å)
254	A:50:ILE:HG22	A:52:ARG:H	0.570
254	A:25:TYR:CE1	A:39:LEU:HD13	0.561
254	A:81:ASN:HB3	A:83:LYS:HD2	0.561
254	A:50:ILE:HG22	A:52:ARG:HB2	0.554
254	A:17:ILE:HG13	A:27:ILE:HG22	0.543
254	A:7:LEU:HA	A:10:ASP:HB2	0.541
254	A:32:LEU:HB2	A:104:PHE:HA	0.538
254	A:1:MET:HE1	A:158:TRP:CE3	0.526
254	A:150:ILE:HA	A:153:PHE:HD2	0.526
254	A:6:MET:HE3	A:7:LEU:HD12	0.524
254	A:6:MET:SD	A:158:TRP:HZ3	0.516
254	A:27:ILE:CG1	A:31:HIS:HB3	0.515
254	A:105:GLN:HB3	A:138:TRP:HD1	0.515
254	A:7:LEU:HD23	A:10:ASP:HB2	0.513
254	A:103:VAL:HG22	A:111:VAL:CG2	0.513
254	A:25:TYR:CD1	A:39:LEU:HD13	0.505
254	A:91:LEU:HD21	A:126:TRP:CE3	0.505
254	A:92:ASP:O	A:96:ARG:HG2	0.504
254	A:94:VAL:HG13	A:158:TRP:CZ2	0.503
254	A:127:ASP:O	A:131:VAL:HG23	0.499
254	A:17:ILE:HG12	A:27:ILE:CG2	0.497
254	A:102:MET:HE3	A:138:TRP:CH2	0.497
254	A:137:ARG:HA	A:140:ASN:HB3	0.491

Model ID	Atom-1	Atom-2	Clash overlap (Å)
254	A:24:TYR:HD1	A:35:LYS:HA	0.485
254	A:81:ASN:CB	A:84:LEU:HB2	0.483
254	A:144:ASN:O	A:148:ARG:HG3	0.480
254	A:91:LEU:HD22	A:95:ARG:HD2	0.476
254	A:130:ALA:HB1	A:150:ILE:HG23	0.467
254	A:139:TYR:O	A:143:PRO:HD3	0.467
254	A:15:LEU:HA	A:28:GLY:HA2	0.466
254	A:97:ALA:HB3	A:158:TRP:HH2	0.466
254	A:14:ARG:HB2	A:18:TYR:HE1	0.465
254	A:27:ILE:HG12	A:33:LEU:HD23	0.465
254	A:124:LYS:HD2	A:126:TRP:CH2	0.463
254	A:60:LYS:O	A:63:ALA:HB3	0.458
254	A:124:LYS:HG3	A:126:TRP:CZ2	0.458
254	A:10:ASP:O	A:145:ARG:HD2	0.457
254	A:17:ILE:HB	A:43:LYS:HD3	0.444
254	A:6:MET:HG3	A:161:TYR:CE2	0.442
254	A:87:VAL:HG21	A:121:LEU:HD13	0.440
254	A:58:ILE:HG22	A:62:GLU:OE2	0.438
254	A:47:ASP:OD2	A:53:ASN:HA	0.437
254	A:148:ARG:HD2	A:161:TYR:CD1	0.437
254	A:16:LYS:HG3	A:57:VAL:CG2	0.434
254	A:148:ARG:HD2	A:161:TYR:HD1	0.429
254	A:98:ALA:O	A:102:MET:HG3	0.427

Model ID	Atom-1	Atom-2	Clash overlap (Å)
254	A:106:MET:HB3	A:106:MET:HE2	0.427
254	A:118:LEU:O	A:118:LEU:HD22	0.427
254	A:142:THR:HG22	A:145:ARG:HB2	0.427
254	A:102:MET:O	A:106:MET:HE3	0.426
254	A:91:LEU:HD21	A:126:TRP:CZ3	0.423
254	A:114:PHE:O	A:117:SER:HB2	0.419
254	A:17:ILE:HG12	A:27:ILE:HG22	0.417
254	A:66:LEU:O	A:66:LEU:HD13	0.413
254	A:17:ILE:HG12	A:27:ILE:HG23	0.411
254	A:1:MET:CE	A:158:TRP:CE3	0.410
254	A:33:LEU:HG	A:46:LEU:HG	0.410
255	A:79:LEU:HD22	A:85:LYS:HG3	1.154
255	A:103:VAL:HG22	A:111:VAL:HG21	0.942
255	A:102:MET:HE2	A:106:MET:HE1	0.935
255	A:1:MET:HG3	A:5:GLU:HB2	0.925
255	A:27:ILE:HG21	A:46:LEU:HD11	0.870
255	A:102:MET:HE1	A:133:LEU:HG	0.812
255	A:14:ARG:HB3	A:18:TYR:HE1	0.754
255	A:1:MET:HG3	A:5:GLU:CB	0.745
255	A:33:LEU:HD21	A:46:LEU:HD13	0.745
255	A:124:LYS:HG2	A:126:TRP:CZ2	0.741
255	A:14:ARG:HB3	A:18:TYR:CE1	0.733
255	A:102:MET:HE3	A:138:TRP:CZ3	0.722

Model ID	Atom-1	Atom-2	Clash overlap (Å)
255	A:29:ILE:HD12	A:67:PHE:HB2	0.701
255	A:50:ILE:HG12	A:66:LEU:HD11	0.689
255	A:3:ILE:SG	A:97:ALA:SG	0.686
255	A:16:LYS:HG2	A:57:VAL:HG22	0.667
255	A:103:VAL:HG22	A:111:VAL:CG2	0.664
255	A:15:LEU:HG	A:58:ILE:HG13	0.657
255	A:50:ILE:HG21	A:54:THR:SG	0.653
255	A:17:ILE:HG22	A:25:TYR:HD1	0.651
255	A:106:MET:HE2	A:138:TRP:CG	0.651
255	A:130:ALA:HB1	A:150:ILE:CG2	0.650
255	A:27:ILE:CG2	A:46:LEU:HD11	0.646
255	A:103:VAL:CG2	A:111:VAL:HG21	0.639
255	A:29:ILE:CD1	A:67:PHE:HB2	0.635
255	A:13:LEU:CD2	A:29:ILE:HG13	0.630
255	A:17:ILE:CG2	A:25:TYR:HD1	0.620
255	A:17:ILE:HG22	A:25:TYR:CD1	0.608
255	A:50:ILE:HG22	A:52:ARG:H	0.606
255	A:17:ILE:HD11	A:46:LEU:HG	0.577
255	A:123:GLN:HG3	A:125:ARG:HE	0.575
255	A:13:LEU:HD21	A:29:ILE:HG13	0.559
255	A:79:LEU:HD22	A:85:LYS:CG	0.559
255	A:24:TYR:HE1	A:35:LYS:HB3	0.553
255	A:130:ALA:HB1	A:150:ILE:HG23	0.543

Model ID	Atom-1	Atom-2	Clash overlap (Å)
255	A:79:LEU:CD2	A:85:LYS:HG3	0.542
255	A:83:LYS:HD3	A:84:LEU:HD12	0.535
255	A:58:ILE:HB	A:62:GLU:HB3	0.532
255	A:17:ILE:CG2	A:25:TYR:CD1	0.530
255	A:98:ALA:CB	A:153:PHE:CE1	0.527
255	A:102:MET:HE1	A:133:LEU:CG	0.518
255	A:106:MET:HB3	A:110:GLY:HA3	0.515
255	A:8:ARG:HA	A:13:LEU:HD13	0.514
255	A:130:ALA:CB	A:150:ILE:HG23	0.509
255	A:24:TYR:CD1	A:32:LEU:HD21	0.506
255	A:98:ALA:HB3	A:153:PHE:HE1	0.504
255	A:98:ALA:HB3	A:153:PHE:CE1	0.501
255	A:13:LEU:HD23	A:29:ILE:HG13	0.496
255	A:6:MET:HG3	A:161:TYR:CE2	0.492
255	A:14:ARG:CB	A:18:TYR:HE1	0.488
255	A:45:GLU:HA	A:48:LYS:HB2	0.487
255	A:67:PHE:O	A:71:VAL:HG23	0.485
255	A:13:LEU:HD21	A:29:ILE:CG1	0.483
255	A:14:ARG:CB	A:18:TYR:CE1	0.475
255	A:102:MET:HE3	A:138:TRP:CE3	0.467
255	A:61:ASP:HA	A:64:GLU:HG3	0.465
255	A:98:ALA:HB1	A:153:PHE:CE1	0.463
255	A:6:MET:O	A:10:ASP:HB2	0.461

Model ID	Atom-1	Atom-2	Clash overlap (Å)
255	A:7:LEU:HD12	A:11:GLU:HG3	0.451
255	A:130:ALA:HB1	A:150:ILE:HG21	0.451
255	A:16:LYS:HA	A:56:GLY:O	0.433
255	A:24:TYR:HE1	A:35:LYS:CB	0.432
255	A:102:MET:HE3	A:138:TRP:CH2	0.429
255	A:22:GLU:HB2	A:24:TYR:CD2	0.428
255	A:102:MET:HB3	A:106:MET:HE3	0.428
255	A:66:LEU:HA	A:66:LEU:HD23	0.425
255	A:8:ARG:O	A:12:GLY:HA2	0.415
255	A:124:LYS:HG2	A:126:TRP:HZ2	0.415
255	A:117:SER:O	A:121:LEU:HD23	0.408
255	A:16:LYS:O	A:18:TYR:HD1	0.407
255	A:59:THR:OG1	A:62:GLU:HB2	0.406
255	A:13:LEU:O	A:15:LEU:HD13	0.403
255	A:102:MET:HE1	A:133:LEU:CB	0.401
256	A:130:ALA:HB1	A:150:ILE:HG23	1.086
256	A:27:ILE:CG2	A:33:LEU:HD12	0.875
256	A:27:ILE:HG23	A:33:LEU:HD12	0.847
256	A:15:LEU:HD11	A:29:ILE:HG13	0.827
256	A:58:ILE:HD12	A:63:ALA:HB2	0.803
256	A:106:MET:SD	A:114:PHE:HE1	0.783
256	A:3:ILE:SG	A:97:ALA:SG	0.750
256	A:17:ILE:HD12	A:43:LYS:HD2	0.711

Model ID	Atom-1	Atom-2	Clash overlap (Å)
256	A:7:LEU:HD22	A:11:GLU:HB2	0.699
256	A:27:ILE:HG13	A:31:HIS:HB3	0.693
256	A:16:LYS:CG	A:57:VAL:HG22	0.682
256	A:10:ASP:HB3	A:145:ARG:HG2	0.678
256	A:79:LEU:HD22	A:85:LYS:HG2	0.677
256	A:106:MET:SD	A:114:PHE:CE1	0.673
256	A:106:MET:HE2	A:138:TRP:CG	0.672
256	A:25:TYR:CE1	A:39:LEU:HD13	0.665
256	A:11:GLU:HG2	A:26:THR:HG21	0.662
256	A:84:LEU:HD21	A:111:VAL:HG12	0.637
256	A:8:ARG:HB2	A:13:LEU:HD12	0.632
256	A:6:MET:SD	A:158:TRP:HZ3	0.620
256	A:27:ILE:HG21	A:33:LEU:HD12	0.618
256	A:102:MET:CE	A:133:LEU:HD22	0.615
256	A:133:LEU:HB3	A:138:TRP:HZ3	0.613
256	A:6:MET:HG3	A:161:TYR:CE2	0.605
256	A:130:ALA:HB1	A:150:ILE:CG2	0.587
256	A:130:ALA:CB	A:150:ILE:HG23	0.569
256	A:79:LEU:HD21	A:84:LEU:HB3	0.566
256	A:1:MET:CG	A:5:GLU:HB2	0.565
256	A:84:LEU:HD11	A:111:VAL:HG11	0.561
256	A:9:ILE:CD1	A:161:TYR:HB3	0.552
256	A:4:PHE:CD2	A:13:LEU:HD11	0.549

Model ID	Atom-1	Atom-2	Clash overlap (Å)
256	A:93:ALA:HA	A:96:ARG:HB2	0.549
256	A:103:VAL:HG22	A:111:VAL:HG21	0.549
256	A:99:LEU:HG	A:102:MET:SD	0.541
256	A:133:LEU:HB3	A:138:TRP:CZ3	0.530
256	A:142:THR:HG22	A:145:ARG:H	0.524
256	A:123:GLN:HB3	A:125:ARG:HG2	0.522
256	A:50:ILE:HG13	A:54:THR:SG	0.519
256	A:17:ILE:HD12	A:43:LYS:CD	0.517
256	A:1:MET:HG2	A:5:GLU:HB2	0.516
256	A:17:ILE:HG13	A:27:ILE:HG22	0.514
256	A:102:MET:HE1	A:133:LEU:CD2	0.506
256	A:142:THR:CG2	A:145:ARG:HB2	0.495
256	A:139:TYR:HE1	A:150:ILE:CD1	0.492
256	A:139:TYR:HE1	A:150:ILE:HD12	0.490
256	A:27:ILE:HG12	A:33:LEU:HD23	0.489
256	A:121:LEU:C	A:124:LYS:H	0.479
256	A:16:LYS:HG2	A:57:VAL:HG22	0.478
256	A:107:GLY:O	A:111:VAL:HG23	0.477
256	A:102:MET:HB3	A:106:MET:HE3	0.472
256	A:127:ASP:O	A:131:VAL:HG23	0.471
256	A:1:MET:CE	A:158:TRP:CE3	0.470
256	A:13:LEU:HG	A:29:ILE:HG23	0.467
256	A:19:LYS:HB3	A:25:TYR:CE1	0.465

Model ID	Atom-1	Atom-2	Clash overlap (Å)
256	A:10:ASP:HB3	A:145:ARG:CG	0.464
256	A:42:ALA:O	A:46:LEU:HB2	0.463
256	A:102:MET:HE1	A:133:LEU:HD22	0.463
256	A:114:PHE:HE2	A:136:SER:HB3	0.462
256	A:111:VAL:HA	A:114:PHE:CE1	0.457
256	A:25:TYR:CD1	A:39:LEU:HD13	0.456
256	A:59:THR:OG1	A:62:GLU:HB3	0.456
256	A:121:LEU:O	A:124:LYS:HG3	0.456
256	A:16:LYS:HG3	A:57:VAL:HG22	0.455
256	A:67:PHE:O	A:71:VAL:HG23	0.448
256	A:134:ALA:HA	A:139:TYR:CD1	0.448
256	A:4:PHE:CE2	A:13:LEU:HD11	0.445
256	A:102:MET:HE3	A:138:TRP:CH2	0.445
256	A:22:GLU:HB3	A:24:TYR:CE2	0.442
256	A:15:LEU:HB3	A:58:ILE:HG13	0.441
256	A:98:ALA:O	A:102:MET:HG3	0.441
256	A:124:LYS:HG2	A:126:TRP:CH2	0.435
256	A:17:ILE:CG1	A:27:ILE:HG22	0.432
256	A:39:LEU:O	A:43:LYS:HG2	0.431
256	A:106:MET:HE2	A:138:TRP:CD2	0.431
256	A:58:ILE:HD12	A:63:ALA:CB	0.429
256	A:4:PHE:CZ	A:29:ILE:HG12	0.427
256	A:114:PHE:HB3	A:117:SER:HB2	0.427

Model ID	Atom-1	Atom-2	Clash overlap (Å)
256	A:134:ALA:HA	A:139:TYR:CE1	0.427
256	A:33:LEU:HG	A:46:LEU:HG	0.426
256	A:7:LEU:HD21	A:145:ARG:NH2	0.422
256	A:129:ALA:O	A:133:LEU:HD13	0.420
256	A:111:VAL:HA	A:114:PHE:CD1	0.418
256	A:106:MET:HE2	A:138:TRP:CD1	0.414
256	A:158:TRP:HE3	A:161:TYR:CE2	0.409
256	A:124:LYS:HG2	A:126:TRP:CZ2	0.408
256	A:14:ARG:HB3	A:18:TYR:CD1	0.403
256	A:123:GLN:HG2	A:125:ARG:HD3	0.403
256	A:35:LYS:O	A:37:PRO:HD3	0.403
256	A:15:LEU:O	A:57:VAL:HA	0.401
257	A:58:ILE:HD13	A:63:ALA:HB2	1.116
257	A:79:LEU:HD23	A:85:LYS:HG3	1.081
257	A:29:ILE:HD13	A:67:PHE:HB2	0.998
257	A:33:LEU:HD13	A:42:ALA:HB1	0.922
257	A:1:MET:HE2	A:158:TRP:CE3	0.911
257	A:13:LEU:HD21	A:29:ILE:HG13	0.905
257	A:14:ARG:HB3	A:18:TYR:CE1	0.882
257	A:83:LYS:HD3	A:84:LEU:HD12	0.844
257	A:16:LYS:HG2	A:57:VAL:HG22	0.836
257	A:6:MET:HB2	A:158:TRP:CZ3	0.821
257	A:88:TYR:HA	A:91:LEU:HD13	0.769

Model ID	Atom-1	Atom-2	Clash overlap (Å)
257	A:79:LEU:CD2	A:85:LYS:HG3	0.767
257	A:33:LEU:HD13	A:42:ALA:CB	0.747
257	A:102:MET:HE2	A:106:MET:HE1	0.735
257	A:29:ILE:HD13	A:67:PHE:CB	0.729
257	A:124:LYS:HG2	A:126:TRP:CZ2	0.725
257	A:102:MET:HE3	A:138:TRP:CZ3	0.713
257	A:3:ILE:SG	A:97:ALA:SG	0.707
257	A:130:ALA:HB1	A:150:ILE:CG2	0.691
257	A:79:LEU:HD23	A:85:LYS:CG	0.668
257	A:1:MET:HG3	A:5:GLU:HB2	0.665
257	A:50:ILE:HG23	A:62:GLU:HG3	0.657
257	A:79:LEU:HA	A:85:LYS:HB2	0.643
257	A:106:MET:HE2	A:138:TRP:CG	0.639
257	A:83:LYS:HD3	A:84:LEU:CD1	0.634
257	A:98:ALA:HB3	A:153:PHE:CE1	0.630
257	A:29:ILE:CD1	A:67:PHE:HB2	0.625
257	A:78:ILE:HD12	A:84:LEU:HD22	0.625
257	A:130:ALA:HB1	A:150:ILE:HG23	0.622
257	A:102:MET:HE1	A:133:LEU:HB3	0.621
257	A:58:ILE:HD13	A:63:ALA:CB	0.609
257	A:25:TYR:CE2	A:39:LEU:HB3	0.604
257	A:114:PHE:HB3	A:117:SER:HB2	0.604
257	A:25:TYR:CZ	A:39:LEU:HB3	0.590

Model ID	Atom-1	Atom-2	Clash overlap (Å)
257	A:1:MET:CG	A:5:GLU:HB2	0.582
257	A:14:ARG:HB3	A:18:TYR:HE1	0.562
257	A:13:LEU:CD2	A:29:ILE:HG13	0.548
257	A:78:ILE:HG21	A:88:TYR:HD2	0.547
257	A:124:LYS:HG2	A:126:TRP:HZ2	0.544
257	A:98:ALA:CB	A:153:PHE:CE1	0.540
257	A:6:MET:HG3	A:161:TYR:CZ	0.537
257	A:4:PHE:CE2	A:64:GLU:HG2	0.531
257	A:1:MET:HG3	A:5:GLU:CB	0.527
257	A:27:ILE:HG21	A:46:LEU:HD21	0.523
257	A:148:ARG:HB3	A:161:TYR:CZ	0.523
257	A:78:ILE:HG21	A:88:TYR:HB3	0.522
257	A:103:VAL:HA	A:111:VAL:HG21	0.520
257	A:6:MET:HB2	A:158:TRP:HZ3	0.517
257	A:59:THR:H	A:62:GLU:HB2	0.512
257	A:102:MET:HG2	A:138:TRP:CZ2	0.508
257	A:67:PHE:O	A:71:VAL:HG23	0.504
257	A:98:ALA:HB3	A:153:PHE:HE1	0.499
257	A:99:LEU:HD22	A:121:LEU:HD11	0.496
257	A:6:MET:CB	A:158:TRP:CZ3	0.494
257	A:25:TYR:O	A:33:LEU:HB2	0.491
257	A:16:LYS:CG	A:57:VAL:HG22	0.491
257	A:1:MET:HE2	A:158:TRP:CD2	0.490

Model ID	Atom-1	Atom-2	Clash overlap (Å)
257	A:78:ILE:HG21	A:88:TYR:CD2	0.490
257	A:67:PHE:HA	A:70:ASP:HB3	0.483
257	A:50:ILE:HG21	A:54:THR:SG	0.482
257	A:134:ALA:HB2	A:150:ILE:HD13	0.480
257	A:102:MET:HB3	A:106:MET:HE3	0.477
257	A:102:MET:HE3	A:138:TRP:CH2	0.477
257	A:33:LEU:HD21	A:46:LEU:HD11	0.469
257	A:78:ILE:HD12	A:84:LEU:CD2	0.469
257	A:6:MET:HG3	A:161:TYR:CE2	0.468
257	A:106:MET:HE2	A:138:TRP:CD1	0.459
257	A:102:MET:HE3	A:138:TRP:CE3	0.458
257	A:130:ALA:CB	A:150:ILE:HG23	0.455
257	A:24:TYR:CD1	A:35:LYS:HA	0.454
257	A:4:PHE:HE1	A:67:PHE:HB3	0.452
257	A:116:ASN:O	A:120:MET:HG2	0.452
257	A:101:ASN:HA	A:104:PHE:HD1	0.451
257	A:78:ILE:HG23	A:84:LEU:HB3	0.450
257	A:67:PHE:HE1	A:104:PHE:HZ	0.450
257	A:81:ASN:OD1	A:83:LYS:HB3	0.449
257	A:4:PHE:CZ	A:64:GLU:HG2	0.448
257	A:82:ALA:O	A:86:PRO:HD2	0.448
257	A:8:ARG:HA	A:13:LEU:HD13	0.447
257	A:15:LEU:O	A:58:ILE:HG13	0.446

Model ID	Atom-1	Atom-2	Clash overlap (Å)
257	A:150:ILE:HA	A:153:PHE:CD2	0.432
257	A:98:ALA:O	A:102:MET:HG3	0.429
257	A:67:PHE:CE1	A:104:PHE:HZ	0.428
257	A:99:LEU:HD12	A:153:PHE:CZ	0.427
257	A:26:THR:HA	A:31:HIS:O	0.425
257	A:111:VAL:HA	A:114:PHE:HD1	0.422
257	A:101:ASN:HA	A:104:PHE:CD1	0.419
257	A:7:LEU:HB3	A:29:ILE:CG2	0.416
257	A:73:ALA:O	A:76:ARG:HB2	0.413
257	A:91:LEU:HD21	A:121:LEU:HG	0.413
257	A:17:ILE:HD11	A:46:LEU:HB2	0.411
257	A:118:LEU:O	A:118:LEU:HD13	0.411
257	A:58:ILE:CD1	A:63:ALA:HB2	0.406
257	A:72:ASP:O	A:76:ARG:HG3	0.405
257	A:7:LEU:HB3	A:29:ILE:HG23	0.404
257	A:124:LYS:HG2	A:126:TRP:CE2	0.400
258	A:14:ARG:HB3	A:18:TYR:HE1	0.996
258	A:14:ARG:HB3	A:18:TYR:CE1	0.966
258	A:16:LYS:HG3	A:57:VAL:HG22	0.960
258	A:124:LYS:HG2	A:126:TRP:CZ2	0.830
258	A:94:VAL:HG12	A:152:THR:HG23	0.805
258	A:16:LYS:CG	A:57:VAL:HG22	0.793
258	A:79:LEU:HD23	A:85:LYS:HG3	0.785

Model ID	Atom-1	Atom-2	Clash overlap (Å)
258	A:1:MET:HE3	A:6:MET:HB2	0.775
258	A:102:MET:HE3	A:138:TRP:CZ3	0.701
258	A:124:LYS:HG2	A:126:TRP:HZ2	0.691
258	A:3:ILE:SG	A:97:ALA:SG	0.691
258	A:118:LEU:HD13	A:121:LEU:HD12	0.687
258	A:115:THR:HA	A:118:LEU:HB2	0.673
258	A:94:VAL:HG12	A:152:THR:CG2	0.669
258	A:1:MET:CE	A:6:MET:HB2	0.648
258	A:45:GLU:HG2	A:48:LYS:HE3	0.646
258	A:27:ILE:HD11	A:58:ILE:HG12	0.642
258	A:1:MET:CG	A:5:GLU:HB2	0.636
258	A:50:ILE:HG21	A:54:THR:SG	0.635
258	A:1:MET:HG3	A:5:GLU:HB2	0.634
258	A:1:MET:HE1	A:158:TRP:CE3	0.626
258	A:139:TYR:HD1	A:146:ALA:HB1	0.625
258	A:79:LEU:HD23	A:85:LYS:CG	0.624
258	A:97:ALA:HA	A:100:ILE:HD12	0.622
258	A:27:ILE:CD1	A:58:ILE:HG12	0.620
258	A:17:ILE:HG21	A:25:TYR:CD1	0.593
258	A:111:VAL:HA	A:114:PHE:HB2	0.592
258	A:17:ILE:HG21	A:25:TYR:HD1	0.588
258	A:94:VAL:CG1	A:152:THR:HG23	0.588
258	A:6:MET:HG3	A:161:TYR:CE2	0.559

Model ID	Atom-1	Atom-2	Clash overlap (Å)
258	A:75:VAL:HG13	A:79:LEU:HD13	0.553
258	A:99:LEU:HD21	A:118:LEU:HD11	0.549
258	A:116:ASN:C	A:120:MET:HE2	0.545
258	A:124:LYS:HE3	A:126:TRP:HZ2	0.541
258	A:1:MET:CE	A:158:TRP:CZ3	0.532
258	A:102:MET:HE1	A:133:LEU:HB3	0.525
258	A:17:ILE:CG2	A:25:TYR:CD1	0.523
258	A:92:ASP:C	A:96:ARG:HD2	0.522
258	A:103:VAL:HG22	A:111:VAL:HG21	0.521
258	A:17:ILE:HG12	A:33:LEU:HD11	0.520
258	A:33:LEU:HD12	A:42:ALA:HB1	0.518
258	A:94:VAL:HG22	A:158:TRP:CD1	0.512
258	A:102:MET:HE3	A:138:TRP:CH2	0.512
258	A:139:TYR:HD1	A:146:ALA:CB	0.512
258	A:34:THR:HG21	A:41:ALA:HB3	0.510
258	A:1:MET:HG3	A:5:GLU:CB	0.507
258	A:4:PHE:HA	A:29:ILE:HG21	0.498
258	A:1:MET:HE1	A:158:TRP:CZ3	0.497
258	A:79:LEU:HA	A:85:LYS:HG3	0.497
258	A:1:MET:HG2	A:5:GLU:HB2	0.481
258	A:147:LYS:HE2	A:151:THR:OG1	0.481
258	A:15:LEU:O	A:27:ILE:HD11	0.480
258	A:1:MET:HE3	A:6:MET:CB	0.475

Model ID	Atom-1	Atom-2	Clash overlap (Å)
258	A:78:ILE:HG23	A:84:LEU:HD22	0.472
258	A:77:GLY:O	A:80:ARG:HG3	0.469
258	A:127:ASP:O	A:131:VAL:HG23	0.466
258	A:117:SER:HA	A:120:MET:HG2	0.464
258	A:97:ALA:HA	A:100:ILE:HB	0.462
258	A:101:ASN:HA	A:104:PHE:CD1	0.457
258	A:98:ALA:HB1	A:153:PHE:CE1	0.456
258	A:58:ILE:HD12	A:62:GLU:HB3	0.455
258	A:8:ARG:HA	A:13:LEU:HD13	0.447
258	A:13:LEU:HD11	A:29:ILE:HG23	0.444
258	A:67:PHE:O	A:71:VAL:HG23	0.444
258	A:2:ASN:OD1	A:4:PHE:HB2	0.440
258	A:4:PHE:CZ	A:64:GLU:HG2	0.439
258	A:94:VAL:HG11	A:157:THR:N	0.431
258	A:15:LEU:HB3	A:58:ILE:O	0.426
258	A:88:TYR:CE1	A:96:ARG:HG2	0.425
258	A:117:SER:O	A:121:LEU:HD23	0.420
258	A:15:LEU:HD12	A:58:ILE:HG13	0.418
258	A:101:ASN:O	A:104:PHE:HB2	0.417
258	A:97:ALA:O	A:100:ILE:HB	0.415
258	A:6:MET:HE2	A:161:TYR:OH	0.411
258	A:121:LEU:HG	A:126:TRP:CZ3	0.409
258	A:15:LEU:HD11	A:60:LYS:HA	0.405

Model ID	Atom-1	Atom-2	Clash overlap (Å)
258	A:124:LYS:HA	A:126:TRP:CZ2	0.405
259	A:16:LYS:HG2	A:57:VAL:HG22	1.158
259	A:103:VAL:HG22	A:111:VAL:HG21	1.107
259	A:1:MET:HG3	A:5:GLU:HB2	0.979
259	A:16:LYS:HG2	A:57:VAL:CG2	0.842
259	A:58:ILE:HD13	A:63:ALA:HB2	0.814
259	A:6:MET:HB2	A:158:TRP:CZ3	0.805
259	A:1:MET:HE2	A:158:TRP:CE3	0.804
259	A:58:ILE:CD1	A:63:ALA:HB2	0.800
259	A:27:ILE:CD1	A:58:ILE:HG12	0.789
259	A:102:MET:HE3	A:138:TRP:CZ3	0.789
259	A:114:PHE:HB3	A:117:SER:HB2	0.695
259	A:98:ALA:HB3	A:153:PHE:CE1	0.694
259	A:17:ILE:CG2	A:25:TYR:HD1	0.687
259	A:3:ILE:SG	A:97:ALA:SG	0.687
259	A:139:TYR:HD1	A:146:ALA:HB1	0.686
259	A:79:LEU:CD2	A:85:LYS:HG3	0.685
259	A:106:MET:HE2	A:138:TRP:CG	0.683
259	A:88:TYR:HA	A:91:LEU:HD13	0.663
259	A:102:MET:HE1	A:133:LEU:HB3	0.662
259	A:130:ALA:HB1	A:150:ILE:CG2	0.658
259	A:130:ALA:HB1	A:150:ILE:HG23	0.644
259	A:86:PRO:HA	A:89:ASP:HB2	0.633

Model ID	Atom-1	Atom-2	Clash overlap (Å)
259	A:79:LEU:HD23	A:85:LYS:HG3	0.626
259	A:14:ARG:HB3	A:18:TYR:HE1	0.612
259	A:59:THR:H	A:62:GLU:HB2	0.604
259	A:95:ARG:HG2	A:153:PHE:HD1	0.602
259	A:87:VAL:HG21	A:118:LEU:HD11	0.601
259	A:1:MET:CG	A:5:GLU:HB2	0.598
259	A:7:LEU:HG	A:104:PHE:HE1	0.593
259	A:17:ILE:HG22	A:25:TYR:HD1	0.571
259	A:27:ILE:HB	A:33:LEU:HD21	0.564
259	A:6:MET:HG3	A:161:TYR:CZ	0.553
259	A:124:LYS:HG2	A:126:TRP:CZ2	0.551
259	A:79:LEU:HA	A:85:LYS:HB2	0.543
259	A:17:ILE:HG21	A:25:TYR:HD1	0.536
259	A:1:MET:HE2	A:158:TRP:CD2	0.534
259	A:102:MET:HG2	A:138:TRP:CZ2	0.532
259	A:33:LEU:HD12	A:42:ALA:HB1	0.531
259	A:46:LEU:HD21	A:58:ILE:HG23	0.529
259	A:58:ILE:HD13	A:63:ALA:CB	0.528
259	A:14:ARG:HB3	A:18:TYR:CE1	0.526
259	A:7:LEU:HB2	A:29:ILE:CG2	0.525
259	A:98:ALA:CB	A:153:PHE:CE1	0.523
259	A:123:GLN:HG3	A:125:ARG:HG2	0.517
259	A:148:ARG:HB3	A:161:TYR:CE1	0.515

Model ID	Atom-1	Atom-2	Clash overlap (Å)
259	A:7:LEU:HG	A:104:PHE:CE1	0.513
259	A:72:ASP:O	A:76:ARG:HG2	0.512
259	A:103:VAL:HG22	A:111:VAL:CG2	0.509
259	A:6:MET:HG3	A:161:TYR:CE2	0.498
259	A:14:ARG:CB	A:18:TYR:CE1	0.487
259	A:14:ARG:CB	A:18:TYR:HE1	0.484
259	A:50:ILE:HG13	A:62:GLU:HG3	0.484
259	A:67:PHE:O	A:71:VAL:HG23	0.483
259	A:1:MET:HB2	A:5:GLU:HG3	0.482
259	A:27:ILE:HD13	A:58:ILE:HG12	0.481
259	A:98:ALA:O	A:102:MET:HG3	0.481
259	A:103:VAL:CG2	A:111:VAL:HG21	0.471
259	A:7:LEU:HB2	A:29:ILE:HG23	0.470
259	A:78:ILE:HD12	A:84:LEU:HD22	0.468
259	A:102:MET:HE2	A:106:MET:HE1	0.467
259	A:150:ILE:HA	A:153:PHE:CD2	0.465
259	A:130:ALA:CB	A:150:ILE:HG23	0.464
259	A:102:MET:HE1	A:133:LEU:CB	0.459
259	A:102:MET:HE1	A:133:LEU:CG	0.458
259	A:151:THR:HG21	A:160:ALA:HB1	0.455
259	A:4:PHE:CE1	A:29:ILE:HD13	0.452
259	A:105:GLN:HG3	A:145:ARG:HD3	0.450
259	A:102:MET:HB3	A:106:MET:HE3	0.447

Model ID	Atom-1	Atom-2	Clash overlap (Å)
259	A:145:ARG:O	A:149:VAL:HG23	0.447
259	A:16:LYS:HA	A:56:GLY:O	0.446
259	A:2:ASN:OD1	A:4:PHE:HB2	0.444
259	A:17:ILE:HG22	A:25:TYR:CD1	0.444
259	A:102:MET:HE3	A:138:TRP:CE3	0.443
259	A:26:THR:HA	A:31:HIS:O	0.442
259	A:137:ARG:HA	A:140:ASN:HD21	0.439
259	A:4:PHE:CE1	A:29:ILE:CD1	0.432
259	A:94:VAL:O	A:97:ALA:HB3	0.432
259	A:85:LYS:HB3	A:85:LYS:HZ2	0.431
259	A:124:LYS:HG2	A:126:TRP:HZ2	0.429
259	A:117:SER:O	A:121:LEU:HG	0.425
259	A:118:LEU:HA	A:118:LEU:HD22	0.423
259	A:7:LEU:HD12	A:29:ILE:O	0.422
259	A:50:ILE:HG21	A:54:THR:SG	0.422
259	A:1:MET:HE2	A:158:TRP:CZ3	0.421
259	A:15:LEU:O	A:27:ILE:HD11	0.421
259	A:46:LEU:O	A:50:ILE:HB	0.420
259	A:72:ASP:O	A:75:VAL:HB	0.420
259	A:107:GLY:O	A:111:VAL:HG23	0.417
259	A:52:ARG:HB3	A:54:THR:SG	0.414
259	A:102:MET:HE3	A:138:TRP:CH2	0.413
259	A:148:ARG:HB3	A:161:TYR:CZ	0.413

Model ID	Atom-1	Atom-2	Clash overlap (Å)
259	A:31:HIS:HA	A:70:ASP:CG	0.411
259	A:46:LEU:HD23	A:50:ILE:HD13	0.408
259	A:15:LEU:H	A:15:LEU:HD22	0.404
259	A:45:GLU:HG2	A:48:LYS:HE2	0.403
259	A:98:ALA:HB1	A:149:VAL:HG13	0.403
260	A:79:LEU:HD23	A:85:LYS:HG3	1.008
260	A:50:ILE:HG21	A:54:THR:SG	0.901
260	A:50:ILE:HD11	A:66:LEU:HD12	0.897
260	A:7:LEU:HB3	A:29:ILE:HG21	0.882
260	A:50:ILE:HD11	A:66:LEU:CD1	0.855
260	A:7:LEU:HB3	A:29:ILE:CG2	0.848
260	A:27:ILE:HG21	A:46:LEU:HD11	0.830
260	A:33:LEU:HD13	A:42:ALA:HB1	0.781
260	A:3:ILE:SG	A:97:ALA:SG	0.765
260	A:124:LYS:HG2	A:126:TRP:CZ2	0.756
260	A:1:MET:HE2	A:158:TRP:CE3	0.744
260	A:27:ILE:CD1	A:58:ILE:HG12	0.728
260	A:7:LEU:HD12	A:11:GLU:HG3	0.695
260	A:79:LEU:CD2	A:85:LYS:HG3	0.681
260	A:1:MET:HG3	A:5:GLU:HB2	0.669
260	A:1:MET:HE2	A:158:TRP:CD2	0.665
260	A:14:ARG:HB3	A:18:TYR:CE1	0.664
260	A:103:VAL:HG22	A:111:VAL:HG21	0.653

Model ID	Atom-1	Atom-2	Clash overlap (Å)
260	A:1:MET:HG3	A:5:GLU:CB	0.608
260	A:14:ARG:CB	A:18:TYR:HE1	0.602
260	A:78:ILE:HG21	A:88:TYR:HD2	0.593
260	A:102:MET:HE3	A:106:MET:HE1	0.593
260	A:14:ARG:HB3	A:18:TYR:HE1	0.592
260	A:102:MET:HE1	A:133:LEU:HB3	0.590
260	A:142:THR:HG22	A:145:ARG:HB3	0.574
260	A:124:LYS:HG2	A:126:TRP:HZ2	0.570
260	A:78:ILE:HG21	A:88:TYR:CD2	0.557
260	A:1:MET:CG	A:5:GLU:HB2	0.554
260	A:50:ILE:HD11	A:66:LEU:HD11	0.550
260	A:102:MET:CE	A:133:LEU:HG	0.543
260	A:59:THR:H	A:62:GLU:HB2	0.535
260	A:14:ARG:CB	A:18:TYR:CE1	0.533
260	A:87:VAL:HG11	A:118:LEU:HD11	0.531
260	A:1:MET:HE3	A:6:MET:HB2	0.524
260	A:17:ILE:CG2	A:25:TYR:CD1	0.524
260	A:78:ILE:HD12	A:84:LEU:CD2	0.516
260	A:16:LYS:HG2	A:57:VAL:HG22	0.514
260	A:6:MET:HG3	A:161:TYR:CZ	0.506
260	A:102:MET:HE2	A:133:LEU:HG	0.503
260	A:67:PHE:O	A:71:VAL:HG23	0.496
260	A:17:ILE:CG2	A:25:TYR:HD1	0.491

Model ID	Atom-1	Atom-2	Clash overlap (Å)
260	A:27:ILE:HG22	A:31:HIS:HB3	0.489
260	A:31:HIS:CE1	A:66:LEU:HD22	0.481
260	A:7:LEU:CD1	A:11:GLU:HG3	0.471
260	A:78:ILE:HD12	A:84:LEU:HD22	0.471
260	A:98:ALA:HB1	A:153:PHE:CE1	0.463
260	A:50:ILE:HG22	A:52:ARG:N	0.461
260	A:139:TYR:HE1	A:147:LYS:HA	0.460
260	A:7:LEU:HG	A:104:PHE:HE1	0.456
260	A:102:MET:HG3	A:106:MET:HE3	0.454
260	A:17:ILE:HG13	A:27:ILE:HG13	0.453
260	A:77:GLY:O	A:80:ARG:HB3	0.453
260	A:58:ILE:HD13	A:63:ALA:HB2	0.450
260	A:45:GLU:OE1	A:48:LYS:HE3	0.449
260	A:148:ARG:HB3	A:161:TYR:CZ	0.446
260	A:17:ILE:HG22	A:25:TYR:CD1	0.445
260	A:16:LYS:HA	A:56:GLY:O	0.443
260	A:4:PHE:CE1	A:64:GLU:HG2	0.442
260	A:9:ILE:HG22	A:148:ARG:HH22	0.441
260	A:116:ASN:HB3	A:120:MET:HE2	0.433
260	A:15:LEU:H	A:15:LEU:HD23	0.432
260	A:60:LYS:H	A:60:LYS:HG2	0.430
260	A:33:LEU:HD13	A:42:ALA:CB	0.429
260	A:94:VAL:HG22	A:158:TRP:NE1	0.429

Model ID	Atom-1	Atom-2	Clash overlap (Å)
260	A:120:MET:O	A:123:GLN:HB3	0.427
260	A:67:PHE:HE1	A:104:PHE:HZ	0.425
260	A:117:SER:O	A:121:LEU:HG	0.424
260	A:50:ILE:CD1	A:66:LEU:HD12	0.423
260	A:1:MET:CE	A:158:TRP:CE3	0.418
260	A:46:LEU:HA	A:46:LEU:HD12	0.417
260	A:130:ALA:HB2	A:150:ILE:CG2	0.417
260	A:67:PHE:CE1	A:104:PHE:HZ	0.416
260	A:6:MET:HE1	A:98:ALA:HA	0.415
260	A:79:LEU:HA	A:79:LEU:HD23	0.413
260	A:94:VAL:HG13	A:158:TRP:CE2	0.413
260	A:118:LEU:O	A:118:LEU:HD13	0.411
260	A:6:MET:HG3	A:161:TYR:CE2	0.409
260	A:15:LEU:O	A:58:ILE:HG13	0.407
260	A:101:ASN:O	A:104:PHE:HB2	0.406
260	A:106:MET:HE2	A:138:TRP:CG	0.406
260	A:6:MET:O	A:10:ASP:HB2	0.404
260	A:4:PHE:CE1	A:64:GLU:HA	0.404
260	A:98:ALA:CB	A:153:PHE:CE1	0.404
260	A:29:ILE:HD11	A:63:ALA:HB1	0.403
260	A:116:ASN:O	A:120:MET:HG2	0.402
261	A:7:LEU:HD12	A:11:GLU:HG3	0.861
261	A:46:LEU:HD23	A:50:ILE:HD13	0.778

Model ID	Atom-1	Atom-2	Clash overlap (Å)
261	A:4:PHE:HZ	A:64:GLU:HG2	0.772
261	A:6:MET:HE1	A:98:ALA:HA	0.760
261	A:58:ILE:HB	A:62:GLU:HB3	0.722
261	A:4:PHE:CZ	A:64:GLU:HG2	0.721
261	A:102:MET:HE1	A:133:LEU:HG	0.719
261	A:1:MET:HE2	A:158:TRP:CE3	0.707
261	A:3:ILE:SG	A:97:ALA:SG	0.690
261	A:102:MET:HE3	A:138:TRP:CZ3	0.688
261	A:7:LEU:CD1	A:11:GLU:HG3	0.652
261	A:1:MET:HE1	A:161:TYR:HB3	0.645
261	A:97:ALA:HA	A:100:ILE:HD12	0.628
261	A:102:MET:CE	A:133:LEU:HG	0.624
261	A:102:MET:HE1	A:133:LEU:HB3	0.624
261	A:102:MET:HE2	A:106:MET:HE1	0.620
261	A:58:ILE:CD1	A:63:ALA:HB2	0.613
261	A:103:VAL:HG13	A:111:VAL:HG21	0.596
261	A:4:PHE:HD1	A:67:PHE:HD2	0.592
261	A:6:MET:HG3	A:161:TYR:CZ	0.587
261	A:10:ASP:HB3	A:145:ARG:HG3	0.575
261	A:45:GLU:CD	A:48:LYS:HE2	0.564
261	A:6:MET:HG3	A:161:TYR:CE2	0.561
261	A:24:TYR:HB2	A:32:LEU:HD11	0.556
261	A:102:MET:HE1	A:133:LEU:CB	0.555

Model ID	Atom-1	Atom-2	Clash overlap (Å)
261	A:16:LYS:HG2	A:57:VAL:HG13	0.550
261	A:102:MET:HE1	A:133:LEU:CG	0.548
261	A:4:PHE:HZ	A:64:GLU:CG	0.545
261	A:1:MET:HG2	A:5:GLU:HB2	0.543
261	A:94:VAL:HG12	A:152:THR:CG2	0.542
261	A:98:ALA:HB1	A:153:PHE:CE1	0.539
261	A:14:ARG:CB	A:18:TYR:CE1	0.536
261	A:7:LEU:HB3	A:29:ILE:HG21	0.531
261	A:98:ALA:CB	A:153:PHE:CE1	0.530
261	A:33:LEU:HD13	A:42:ALA:HB1	0.529
261	A:148:ARG:HG2	A:161:TYR:CZ	0.529
261	A:63:ALA:HA	A:66:LEU:HB2	0.528
261	A:17:ILE:CG2	A:25:TYR:HD1	0.524
261	A:6:MET:HB2	A:158:TRP:HZ3	0.521
261	A:125:ARG:HB3	A:128:GLU:HB2	0.519
261	A:4:PHE:CE1	A:29:ILE:CD1	0.515
261	A:116:ASN:HB3	A:120:MET:HE1	0.514
261	A:102:MET:HE3	A:138:TRP:CH2	0.507
261	A:50:ILE:HG21	A:54:THR:SG	0.501
261	A:25:TYR:CE2	A:39:LEU:HB3	0.500
261	A:127:ASP:O	A:131:VAL:HG23	0.497
261	A:99:LEU:HD13	A:121:LEU:HD11	0.493
261	A:124:LYS:HG3	A:126:TRP:CZ2	0.484

Model ID	Atom-1	Atom-2	Clash overlap (Å)
261	A:88:TYR:OH	A:100:ILE:HD11	0.480
261	A:14:ARG:HB3	A:18:TYR:CE1	0.479
261	A:97:ALA:HB3	A:158:TRP:CH2	0.475
261	A:59:THR:OG1	A:62:GLU:HB2	0.469
261	A:1:MET:HE3	A:6:MET:HB2	0.464
261	A:137:ARG:HA	A:140:ASN:HD21	0.463
261	A:94:VAL:HG22	A:158:TRP:CD1	0.461
261	A:3:ILE:SG	A:100:ILE:HD13	0.461
261	A:150:ILE:HA	A:153:PHE:CD2	0.461
261	A:1:MET:CE	A:158:TRP:CE3	0.460
261	A:79:LEU:HD23	A:85:LYS:HG2	0.452
261	A:15:LEU:O	A:58:ILE:HG13	0.450
261	A:145:ARG:O	A:149:VAL:HG23	0.449
261	A:1:MET:HE2	A:158:TRP:CZ3	0.447
261	A:17:ILE:CG2	A:25:TYR:CD1	0.446
261	A:93:ALA:HA	A:96:ARG:HB2	0.446
261	A:103:VAL:HG22	A:111:VAL:HG21	0.446
261	A:1:MET:CG	A:5:GLU:HB2	0.443
261	A:4:PHE:CE1	A:29:ILE:HD11	0.435
261	A:58:ILE:HD13	A:63:ALA:HB2	0.431
261	A:133:LEU:HA	A:133:LEU:HD23	0.430
261	A:100:ILE:HG22	A:104:PHE:CE1	0.427
261	A:17:ILE:HG22	A:25:TYR:HD1	0.424

Model ID	Atom-1	Atom-2	Clash overlap (Å)
261	A:98:ALA:HB3	A:153:PHE:CE1	0.423
261	A:32:LEU:HA	A:32:LEU:HD12	0.417
261	A:79:LEU:O	A:85:LYS:HG3	0.416
261	A:97:ALA:O	A:100:ILE:HB	0.416
261	A:24:TYR:CB	A:32:LEU:HD11	0.413
261	A:24:TYR:CD1	A:35:LYS:HA	0.412
261	A:90:SER:H	A:96:ARG:HH21	0.406
261	A:14:ARG:HB2	A:18:TYR:CE1	0.405
261	A:39:LEU:HD13	A:40:ASN:N	0.405
261	A:1:MET:CE	A:158:TRP:CZ3	0.404
261	A:91:LEU:HD23	A:126:TRP:HZ2	0.404
261	A:97:ALA:HA	A:100:ILE:HB	0.403
261	A:150:ILE:HA	A:153:PHE:HD2	0.403
262	A:78:ILE:HG21	A:88:TYR:HD2	1.036
262	A:1:MET:HG3	A:5:GLU:HB2	0.933
262	A:14:ARG:HB2	A:18:TYR:CE1	0.873
262	A:1:MET:HE2	A:158:TRP:CE3	0.841
262	A:78:ILE:HG21	A:88:TYR:CD2	0.813
262	A:7:LEU:HB3	A:29:ILE:HG22	0.811
262	A:50:ILE:HG21	A:54:THR:SG	0.804
262	A:29:ILE:HD12	A:67:PHE:HB2	0.782
262	A:1:MET:HE3	A:6:MET:HB2	0.767
262	A:79:LEU:CD2	A:85:LYS:HG3	0.760

Model ID	Atom-1	Atom-2	Clash overlap (Å)
262	A:79:LEU:HD22	A:85:LYS:HG3	0.758
262	A:139:TYR:HD1	A:146:ALA:HB1	0.753
262	A:102:MET:HE3	A:138:TRP:CZ3	0.721
262	A:102:MET:HE1	A:133:LEU:HG	0.703
262	A:118:LEU:HD13	A:121:LEU:HD12	0.703
262	A:15:LEU:HD12	A:58:ILE:HG13	0.700
262	A:124:LYS:HG3	A:126:TRP:CZ2	0.697
262	A:3:ILE:SG	A:97:ALA:SG	0.694
262	A:72:ASP:HA	A:75:VAL:HB	0.679
262	A:103:VAL:HG22	A:111:VAL:CG2	0.629
262	A:139:TYR:CD1	A:146:ALA:HB1	0.622
262	A:78:ILE:HD12	A:84:LEU:HD22	0.609
262	A:1:MET:CG	A:5:GLU:HB2	0.603
262	A:103:VAL:HG22	A:111:VAL:HG21	0.603
262	A:6:MET:HG3	A:161:TYR:CE2	0.589
262	A:6:MET:HE1	A:98:ALA:HA	0.589
262	A:58:ILE:HB	A:62:GLU:HB3	0.586
262	A:4:PHE:HZ	A:64:GLU:HA	0.577
262	A:103:VAL:HG13	A:111:VAL:HG21	0.576
262	A:16:LYS:HG3	A:57:VAL:HG22	0.573
262	A:1:MET:HG3	A:5:GLU:CB	0.555
262	A:102:MET:HE1	A:133:LEU:CG	0.543
262	A:79:LEU:HD23	A:85:LYS:HG3	0.533

Model ID	Atom-1	Atom-2	Clash overlap (Å)
262	A:79:LEU:HA	A:85:LYS:HB2	0.524
262	A:8:ARG:HG3	A:13:LEU:HD13	0.521
262	A:111:VAL:HA	A:114:PHE:HD1	0.511
262	A:102:MET:HE1	A:133:LEU:HB3	0.510
262	A:151:THR:HG22	A:160:ALA:CB	0.506
262	A:74:ALA:HB2	A:103:VAL:HG11	0.500
262	A:4:PHE:CE2	A:64:GLU:HG2	0.498
262	A:14:ARG:CB	A:18:TYR:CE1	0.497
262	A:1:MET:CE	A:158:TRP:CE3	0.494
262	A:116:ASN:O	A:119:ARG:HG2	0.492
262	A:148:ARG:HB3	A:161:TYR:CE1	0.490
262	A:7:LEU:CB	A:29:ILE:HG22	0.482
262	A:24:TYR:HD1	A:35:LYS:HA	0.482
262	A:102:MET:HE2	A:106:MET:HE1	0.482
262	A:83:LYS:HE2	A:119:ARG:HB3	0.472
262	A:151:THR:CG2	A:160:ALA:HB1	0.463
262	A:25:TYR:CE2	A:39:LEU:HB3	0.458
262	A:127:ASP:O	A:131:VAL:HG23	0.455
262	A:24:TYR:CD1	A:35:LYS:HA	0.454
262	A:52:ARG:CZ	A:52:ARG:HB3	0.452
262	A:4:PHE:CZ	A:64:GLU:HG2	0.451
262	A:102:MET:CE	A:133:LEU:HG	0.450
262	A:58:ILE:HG22	A:62:GLU:CD	0.448

Model ID	Atom-1	Atom-2	Clash overlap (Å)
262	A:81:ASN:HB3	A:84:LEU:HB2	0.448
262	A:2:ASN:OD1	A:4:PHE:HB2	0.441
262	A:103:VAL:HG22	A:111:VAL:HG22	0.440
262	A:33:LEU:HD13	A:42:ALA:C	0.438
262	A:44:SER:O	A:48:LYS:HB2	0.438
262	A:144:ASN:O	A:148:ARG:HG3	0.438
262	A:111:VAL:HA	A:114:PHE:CD1	0.436
262	A:27:ILE:HG22	A:33:LEU:HD21	0.433
262	A:33:LEU:HD13	A:42:ALA:HB1	0.431
262	A:45:GLU:HA	A:48:LYS:HB2	0.431
262	A:14:ARG:HB2	A:18:TYR:HE1	0.427
262	A:99:LEU:HD12	A:153:PHE:CE1	0.424
262	A:97:ALA:O	A:100:ILE:HB	0.418
262	A:98:ALA:CB	A:153:PHE:CE1	0.413
262	A:58:ILE:HG22	A:62:GLU:OE1	0.410
262	A:102:MET:HE1	A:133:LEU:CB	0.405
262	A:33:LEU:HD21	A:46:LEU:HD13	0.403
262	A:16:LYS:O	A:18:TYR:HD1	0.403
262	A:128:GLU:HA	A:131:VAL:HG23	0.402
262	A:130:ALA:HB2	A:150:ILE:HG23	0.402
262	A:24:TYR:HB2	A:32:LEU:HD11	0.400
263	A:102:MET:HE1	A:133:LEU:HG	1.062
263	A:50:ILE:HG21	A:54:THR:SG	1.048

Model ID	Atom-1	Atom-2	Clash overlap (Å)
263	A:14:ARG:HB3	A:18:TYR:HE1	1.011
263	A:14:ARG:HB3	A:18:TYR:CE1	0.859
263	A:103:VAL:HG22	A:111:VAL:HG21	0.857
263	A:1:MET:HE2	A:158:TRP:CE3	0.796
263	A:102:MET:HE1	A:133:LEU:CG	0.767
263	A:1:MET:HE2	A:158:TRP:CZ3	0.720
263	A:102:MET:HE3	A:138:TRP:CZ3	0.716
263	A:78:ILE:HD11	A:103:VAL:HG21	0.714
263	A:16:LYS:HD2	A:57:VAL:HG13	0.701
263	A:3:ILE:SG	A:97:ALA:SG	0.685
263	A:98:ALA:HB1	A:153:PHE:CE1	0.674
263	A:17:ILE:CG2	A:25:TYR:HD1	0.664
263	A:1:MET:HE3	A:6:MET:HB2	0.660
263	A:59:THR:H	A:62:GLU:HB2	0.660
263	A:10:ASP:HA	A:148:ARG:HH21	0.648
263	A:106:MET:HB3	A:110:GLY:HA3	0.641
263	A:50:ILE:HG22	A:52:ARG:H	0.622
263	A:27:ILE:HG21	A:46:LEU:HD11	0.620
263	A:121:LEU:HD22	A:129:ALA:HB2	0.615
263	A:79:LEU:HD22	A:85:LYS:HG3	0.603
263	A:25:TYR:HB3	A:33:LEU:HD12	0.597
263	A:118:LEU:HD13	A:121:LEU:HD12	0.589
263	A:79:LEU:HD22	A:85:LYS:CG	0.581

Model ID	Atom-1	Atom-2	Clash overlap (Å)
263	A:124:LYS:HG3	A:126:TRP:CZ2	0.577
263	A:97:ALA:HA	A:100:ILE:HD12	0.574
263	A:17:ILE:HG21	A:25:TYR:HD1	0.570
263	A:75:VAL:HG13	A:79:LEU:HD12	0.569
263	A:1:MET:CG	A:5:GLU:HB2	0.567
263	A:142:THR:HG22	A:145:ARG:HB3	0.565
263	A:142:THR:HG21	A:145:ARG:HH11	0.559
263	A:3:ILE:SG	A:100:ILE:HD13	0.558
263	A:17:ILE:HD11	A:46:LEU:HD13	0.557
263	A:3:ILE:SG	A:100:ILE:HG21	0.555
263	A:114:PHE:HB3	A:117:SER:HB2	0.555
263	A:6:MET:HE1	A:98:ALA:HA	0.552
263	A:16:LYS:HG3	A:57:VAL:HG22	0.539
263	A:97:ALA:HB3	A:158:TRP:CH2	0.535
263	A:102:MET:HE2	A:106:MET:CE	0.533
263	A:1:MET:CE	A:158:TRP:CZ3	0.519
263	A:97:ALA:HA	A:100:ILE:HB	0.515
263	A:1:MET:CE	A:158:TRP:CE3	0.510
263	A:14:ARG:HA	A:14:ARG:HE	0.510
263	A:13:LEU:HB3	A:15:LEU:HD21	0.509
263	A:78:ILE:HG12	A:103:VAL:HG11	0.509
263	A:97:ALA:HB3	A:158:TRP:HH2	0.506
263	A:4:PHE:CZ	A:64:GLU:HG3	0.505

Model ID	Atom-1	Atom-2	Clash overlap (Å)
263	A:15:LEU:HB3	A:58:ILE:O	0.505
263	A:127:ASP:O	A:131:VAL:HG23	0.500
263	A:7:LEU:HD12	A:29:ILE:HG22	0.497
263	A:102:MET:HE2	A:106:MET:HE1	0.493
263	A:121:LEU:CD2	A:129:ALA:HB2	0.483
263	A:78:ILE:HD12	A:84:LEU:HD22	0.481
263	A:102:MET:HG2	A:138:TRP:CZ2	0.481
263	A:94:VAL:HG22	A:158:TRP:CD1	0.469
263	A:12:GLY:C	A:13:LEU:HD12	0.465
263	A:102:MET:HE3	A:138:TRP:CH2	0.463
263	A:18:TYR:CE2	A:26:THR:HB	0.461
263	A:1:MET:HG2	A:5:GLU:HB2	0.458
263	A:150:ILE:HA	A:153:PHE:CD2	0.452
263	A:67:PHE:O	A:71:VAL:HG23	0.450
263	A:17:ILE:HG22	A:25:TYR:HD1	0.449
263	A:80:ARG:HH12	A:108:GLU:HG3	0.448
263	A:12:GLY:O	A:13:LEU:HD12	0.447
263	A:14:ARG:CB	A:18:TYR:CE1	0.441
263	A:45:GLU:OE1	A:48:LYS:HE3	0.437
263	A:116:ASN:O	A:120:MET:HG2	0.433
263	A:5:GLU:O	A:9:ILE:HD12	0.430
263	A:25:TYR:C	A:33:LEU:HD23	0.427
263	A:46:LEU:HD22	A:56:GLY:HA2	0.426

Model ID	Atom-1	Atom-2	Clash overlap (Å)
263	A:82:ALA:HA	A:86:PRO:HD2	0.425
263	A:98:ALA:CB	A:153:PHE:HE1	0.425
263	A:119:ARG:HA	A:119:ARG:HD2	0.423
263	A:98:ALA:CB	A:153:PHE:CE1	0.423
263	A:105:GLN:CD	A:138:TRP:HE1	0.422
263	A:117:SER:O	A:121:LEU:HD23	0.420
263	A:76:ARG:O	A:80:ARG:HB2	0.419
263	A:124:LYS:CG	A:126:TRP:CZ2	0.418
263	A:124:LYS:HG3	A:126:TRP:HZ2	0.418
263	A:26:THR:HA	A:31:HIS:O	0.414
263	A:4:PHE:HE1	A:29:ILE:CD1	0.414
263	A:6:MET:HG3	A:161:TYR:CE2	0.413
263	A:46:LEU:O	A:49:ALA:HB3	0.413
263	A:130:ALA:HB1	A:150:ILE:CG2	0.413
263	A:10:ASP:CG	A:145:ARG:HG2	0.407
263	A:17:ILE:HG21	A:25:TYR:CD1	0.403
263	A:4:PHE:HZ	A:64:GLU:HG3	0.402
263	A:85:LYS:HA	A:88:TYR:HB2	0.402
264	A:78:ILE:HG21	A:88:TYR:CD2	0.971
264	A:83:LYS:HD2	A:84:LEU:HD12	0.869
264	A:16:LYS:HG2	A:57:VAL:HG22	0.854
264	A:1:MET:HE3	A:6:MET:HB2	0.815
264	A:14:ARG:HB3	A:18:TYR:CE1	0.784

Model ID	Atom-1	Atom-2	Clash overlap (Å)
264	A:102:MET:HE1	A:133:LEU:HB3	0.774
264	A:14:ARG:HB3	A:18:TYR:HE1	0.772
264	A:93:ALA:HA	A:96:ARG:HB2	0.763
264	A:50:ILE:HD12	A:66:LEU:HD11	0.739
264	A:102:MET:HE3	A:138:TRP:CZ3	0.725
264	A:91:LEU:HG	A:92:ASP:HB3	0.713
264	A:79:LEU:HD22	A:85:LYS:HG3	0.705
264	A:50:ILE:HG21	A:54:THR:SG	0.692
264	A:124:LYS:HG3	A:126:TRP:CZ2	0.689
264	A:6:MET:HG3	A:161:TYR:CE2	0.681
264	A:3:ILE:SG	A:97:ALA:SG	0.675
264	A:79:LEU:CD2	A:85:LYS:HG3	0.662
264	A:1:MET:CG	A:5:GLU:HB2	0.659
264	A:94:VAL:HG12	A:152:THR:HG23	0.649
264	A:97:ALA:HA	A:100:ILE:HD12	0.647
264	A:50:ILE:HD12	A:66:LEU:CD1	0.626
264	A:130:ALA:HB1	A:150:ILE:CG2	0.595
264	A:17:ILE:HG22	A:25:TYR:CD1	0.577
264	A:102:MET:HE1	A:133:LEU:CB	0.577
264	A:102:MET:HE2	A:106:MET:HE1	0.577
264	A:25:TYR:HB3	A:33:LEU:HD12	0.576
264	A:139:TYR:HD1	A:146:ALA:HB1	0.571
264	A:98:ALA:HB1	A:153:PHE:CE1	0.568

Model ID	Atom-1	Atom-2	Clash overlap (Å)
264	A:17:ILE:HG22	A:25:TYR:HD1	0.557
264	A:33:LEU:HD13	A:42:ALA:HB1	0.554
264	A:94:VAL:HG12	A:152:THR:CG2	0.545
264	A:4:PHE:CZ	A:64:GLU:HG2	0.541
264	A:17:ILE:CG2	A:25:TYR:CD1	0.534
264	A:102:MET:CE	A:106:MET:HE1	0.532
264	A:1:MET:HE2	A:158:TRP:CE3	0.527
264	A:1:MET:CE	A:158:TRP:CZ3	0.520
264	A:102:MET:HE1	A:133:LEU:HG	0.519
264	A:81:ASN:HB3	A:84:LEU:HB2	0.517
264	A:117:SER:O	A:121:LEU:HG	0.510
264	A:46:LEU:O	A:50:ILE:HG12	0.507
264	A:88:TYR:HA	A:91:LEU:HB2	0.499
264	A:16:LYS:C	A:27:ILE:HG13	0.497
264	A:14:ARG:CB	A:18:TYR:CE1	0.497
264	A:1:MET:HG2	A:5:GLU:HB2	0.496
264	A:111:VAL:HA	A:114:PHE:HD1	0.494
264	A:7:LEU:HB3	A:29:ILE:CG2	0.493
264	A:78:ILE:HG21	A:88:TYR:CE2	0.492
264	A:102:MET:HE1	A:133:LEU:CG	0.485
264	A:75:VAL:CG1	A:79:LEU:HD12	0.481
264	A:106:MET:HE2	A:138:TRP:CG	0.476
264	A:77:GLY:O	A:80:ARG:HB2	0.474

Model ID	Atom-1	Atom-2	Clash overlap (Å)
264	A:94:VAL:HG22	A:158:TRP:CD1	0.470
264	A:102:MET:HG2	A:138:TRP:CZ2	0.470
264	A:111:VAL:HA	A:114:PHE:CD1	0.468
264	A:16:LYS:O	A:27:ILE:HG13	0.466
264	A:17:ILE:CG2	A:25:TYR:HD1	0.465
264	A:84:LEU:HD21	A:118:LEU:HD11	0.461
264	A:15:LEU:HB3	A:58:ILE:O	0.454
264	A:6:MET:HE1	A:98:ALA:HA	0.450
264	A:25:TYR:O	A:33:LEU:HB2	0.449
264	A:1:MET:CE	A:158:TRP:CE3	0.439
264	A:121:LEU:HB3	A:126:TRP:HZ3	0.437
264	A:121:LEU:HB3	A:126:TRP:CZ3	0.436
264	A:15:LEU:HD12	A:58:ILE:HD12	0.435
264	A:94:VAL:CG1	A:152:THR:HG23	0.434
264	A:33:LEU:CD1	A:42:ALA:HB1	0.431
264	A:100:ILE:HG22	A:104:PHE:CE1	0.431
264	A:102:MET:HE3	A:138:TRP:CH2	0.430
264	A:1:MET:HG3	A:5:GLU:HB2	0.423
264	A:58:ILE:HB	A:62:GLU:HB3	0.421
264	A:3:ILE:SG	A:100:ILE:HD13	0.419
264	A:103:VAL:HG22	A:111:VAL:HG21	0.413
264	A:130:ALA:HB1	A:150:ILE:HG23	0.413
264	A:148:ARG:HB3	A:161:TYR:CE1	0.411

Model ID	Atom-1	Atom-2	Clash overlap (Å)
264	A:91:LEU:O	A:96:ARG:HD2	0.409
264	A:32:LEU:HA	A:32:LEU:HD12	0.408
264	A:22:GLU:HB3	A:24:TYR:CE2	0.405
264	A:6:MET:HB2	A:158:TRP:CZ3	0.404
264	A:12:GLY:O	A:13:LEU:HD12	0.401
264	A:150:ILE:O	A:154:ARG:HG3	0.401
265	A:16:LYS:HG2	A:57:VAL:HG22	0.986
265	A:7:LEU:HD13	A:11:GLU:HG3	0.941
265	A:124:LYS:HG2	A:126:TRP:CZ2	0.899
265	A:1:MET:HE3	A:6:MET:HB2	0.890
265	A:102:MET:HE2	A:106:MET:HE1	0.804
265	A:14:ARG:HB2	A:18:TYR:HE1	0.791
265	A:4:PHE:HE1	A:29:ILE:HD13	0.779
265	A:102:MET:HE3	A:138:TRP:CZ3	0.762
265	A:88:TYR:CE1	A:96:ARG:HG3	0.756
265	A:83:LYS:HD3	A:84:LEU:HD12	0.720
265	A:14:ARG:CB	A:18:TYR:HE1	0.705
265	A:3:ILE:SG	A:97:ALA:SG	0.681
265	A:103:VAL:HG13	A:111:VAL:HG21	0.666
265	A:17:ILE:HD11	A:46:LEU:HG	0.660
265	A:7:LEU:CD1	A:11:GLU:HG3	0.655
265	A:81:ASN:HB3	A:84:LEU:HB2	0.635
265	A:1:MET:CG	A:5:GLU:HB2	0.631

Model ID	Atom-1	Atom-2	Clash overlap (Å)
265	A:139:TYR:HD1	A:146:ALA:HB1	0.631
265	A:97:ALA:HA	A:100:ILE:HD12	0.626
265	A:1:MET:HE2	A:158:TRP:CZ3	0.621
265	A:31:HIS:HB2	A:67:PHE:HA	0.617
265	A:4:PHE:HE1	A:29:ILE:CD1	0.614
265	A:94:VAL:HG12	A:152:THR:HG23	0.613
265	A:25:TYR:HB3	A:33:LEU:HD12	0.612
265	A:4:PHE:CE1	A:29:ILE:HD13	0.607
265	A:106:MET:HE2	A:138:TRP:CG	0.606
265	A:17:ILE:CG2	A:25:TYR:HD1	0.601
265	A:17:ILE:HG21	A:25:TYR:HD1	0.587
265	A:16:LYS:CG	A:57:VAL:HG22	0.581
265	A:34:THR:HG21	A:41:ALA:HB3	0.580
265	A:17:ILE:HA	A:27:ILE:HB	0.578
265	A:14:ARG:HB2	A:18:TYR:CE1	0.573
265	A:7:LEU:HD13	A:11:GLU:CG	0.557
265	A:1:MET:CE	A:6:MET:HB2	0.549
265	A:148:ARG:HG2	A:161:TYR:CZ	0.547
265	A:32:LEU:HD22	A:34:THR:C	0.542
265	A:16:LYS:HG2	A:57:VAL:CG2	0.537
265	A:94:VAL:HG12	A:152:THR:CG2	0.536
265	A:102:MET:HE1	A:133:LEU:HB3	0.536
265	A:1:MET:HG2	A:5:GLU:HB2	0.532

Model ID	Atom-1	Atom-2	Clash overlap (Å)
265	A:1:MET:CE	A:158:TRP:CZ3	0.526
265	A:33:LEU:HD13	A:42:ALA:C	0.526
265	A:4:PHE:CE1	A:29:ILE:CD1	0.519
265	A:50:ILE:CG2	A:54:THR:SG	0.517
265	A:94:VAL:HG22	A:158:TRP:CD1	0.517
265	A:6:MET:HG3	A:161:TYR:CE2	0.511
265	A:1:MET:HE2	A:158:TRP:CE3	0.503
265	A:1:MET:HE3	A:6:MET:CB	0.497
265	A:31:HIS:HA	A:70:ASP:CG	0.495
265	A:33:LEU:HB3	A:42:ALA:HA	0.495
265	A:50:ILE:HG22	A:54:THR:SG	0.492
265	A:78:ILE:HG22	A:79:LEU:HD12	0.485
265	A:94:VAL:CG1	A:152:THR:HG23	0.481
265	A:88:TYR:OH	A:100:ILE:HD11	0.481
265	A:79:LEU:CD2	A:85:LYS:HG3	0.479
265	A:102:MET:HE1	A:133:LEU:HG	0.479
265	A:77:GLY:O	A:80:ARG:HG3	0.478
265	A:6:MET:HE2	A:101:ASN:HD22	0.477
265	A:97:ALA:HA	A:100:ILE:HB	0.477
265	A:44:SER:O	A:48:LYS:HB2	0.464
265	A:116:ASN:O	A:120:MET:HG2	0.462
265	A:31:HIS:ND1	A:70:ASP:HB2	0.460
265	A:139:TYR:CD1	A:146:ALA:HB1	0.460

Model ID	Atom-1	Atom-2	Clash overlap (Å)
265	A:127:ASP:O	A:131:VAL:HG23	0.456
265	A:124:LYS:CG	A:126:TRP:CZ2	0.454
265	A:94:VAL:HG11	A:157:THR:N	0.451
265	A:29:ILE:HB	A:67:PHE:CE1	0.448
265	A:148:ARG:HG2	A:161:TYR:CE1	0.443
265	A:98:ALA:HB1	A:153:PHE:CE1	0.437
265	A:89:ASP:HA	A:96:ARG:HH21	0.431
265	A:17:ILE:HG21	A:25:TYR:CD1	0.428
265	A:1:MET:HG3	A:5:GLU:HB2	0.427
265	A:102:MET:CE	A:106:MET:HE1	0.425
265	A:67:PHE:CE2	A:71:VAL:CG2	0.423
265	A:118:LEU:HD13	A:121:LEU:HD12	0.423
265	A:79:LEU:HD23	A:85:LYS:HG3	0.422
265	A:67:PHE:O	A:71:VAL:HG23	0.416
265	A:29:ILE:HD13	A:67:PHE:CD2	0.415
265	A:132:ASN:O	A:135:LYS:HG2	0.415
265	A:27:ILE:HG22	A:33:LEU:HD21	0.414
265	A:111:VAL:HA	A:114:PHE:HD1	0.414
265	A:102:MET:O	A:106:MET:HB2	0.408
265	A:27:ILE:HG23	A:31:HIS:HD2	0.407
265	A:24:TYR:HB3	A:32:LEU:HD21	0.406
265	A:25:TYR:C	A:33:LEU:HD23	0.405
265	A:1:MET:HG3	A:5:GLU:CB	0.403

Model ID	Atom-1	Atom-2	Clash overlap (Å)
265	A:97:ALA:O	A:100:ILE:HB	0.402
265	A:39:LEU:HD13	A:40:ASN:N	0.401
266	A:13:LEU:HG	A:29:ILE:HG22	1.100
266	A:6:MET:HG3	A:161:TYR:CE2	0.974
266	A:130:ALA:HB1	A:150:ILE:HG23	0.920
266	A:151:THR:HG21	A:160:ALA:HB2	0.889
266	A:16:LYS:HG3	A:57:VAL:HG22	0.888
266	A:81:ASN:HB3	A:84:LEU:HB2	0.885
266	A:103:VAL:HG22	A:111:VAL:HG21	0.876
266	A:27:ILE:CG2	A:33:LEU:HD12	0.862
266	A:27:ILE:HG13	A:31:HIS:HB3	0.862
266	A:9:ILE:CD1	A:161:TYR:HB3	0.852
266	A:103:VAL:HG22	A:111:VAL:CG2	0.852
266	A:58:ILE:HD12	A:63:ALA:CB	0.825
266	A:130:ALA:CB	A:150:ILE:HG23	0.808
266	A:58:ILE:HD12	A:63:ALA:HB2	0.785
266	A:16:LYS:HD2	A:57:VAL:HG13	0.768
266	A:3:ILE:SG	A:97:ALA:SG	0.755
266	A:10:ASP:HB3	A:145:ARG:HG3	0.754
266	A:106:MET:SD	A:114:PHE:HE1	0.754
266	A:16:LYS:CG	A:57:VAL:HG22	0.753
266	A:17:ILE:HG12	A:27:ILE:HG22	0.747
266	A:13:LEU:HG	A:29:ILE:CG2	0.740

Model ID	Atom-1	Atom-2	Clash overlap (Å)
266	A:17:ILE:HB	A:43:LYS:HD3	0.739
266	A:102:MET:HE1	A:133:LEU:HD22	0.733
266	A:63:ALA:HA	A:67:PHE:HB3	0.716
266	A:87:VAL:HG13	A:118:LEU:CD2	0.714
266	A:9:ILE:HD13	A:161:TYR:HB3	0.712
266	A:106:MET:SD	A:114:PHE:CE1	0.670
266	A:4:PHE:HE2	A:13:LEU:HD21	0.666
266	A:17:ILE:CG1	A:27:ILE:HG22	0.666
266	A:130:ALA:HB1	A:150:ILE:CG2	0.666
266	A:17:ILE:HD12	A:43:LYS:CD	0.661
266	A:9:ILE:HD12	A:161:TYR:HB3	0.653
266	A:102:MET:CE	A:133:LEU:HD22	0.640
266	A:27:ILE:CG1	A:31:HIS:HB3	0.635
266	A:17:ILE:HG22	A:39:LEU:CD1	0.632
266	A:58:ILE:HD12	A:63:ALA:HB1	0.624
266	A:87:VAL:HG13	A:118:LEU:HD21	0.618
266	A:27:ILE:HG23	A:33:LEU:HD12	0.617
266	A:91:LEU:HD21	A:126:TRP:CZ3	0.616
266	A:81:ASN:HD22	A:84:LEU:HD23	0.606
266	A:1:MET:HG2	A:5:GLU:HB2	0.602
266	A:102:MET:HE1	A:133:LEU:CD2	0.595
266	A:151:THR:CG2	A:160:ALA:HB2	0.591
266	A:15:LEU:HD11	A:29:ILE:HG12	0.588

Model ID	Atom-1	Atom-2	Clash overlap (Å)
266	A:87:VAL:HG13	A:118:LEU:HD23	0.584
266	A:4:PHE:CE2	A:13:LEU:HD21	0.573
266	A:14:ARG:HB2	A:18:TYR:CE1	0.571
266	A:28:GLY:H	A:56:GLY:HA2	0.560
266	A:25:TYR:CZ	A:39:LEU:HB2	0.558
266	A:17:ILE:HG22	A:39:LEU:HD13	0.541
266	A:16:LYS:HG3	A:57:VAL:HA	0.539
266	A:1:MET:HE1	A:158:TRP:CE3	0.537
266	A:24:TYR:HB2	A:32:LEU:HD11	0.537
266	A:148:ARG:HB3	A:161:TYR:CE1	0.530
266	A:16:LYS:HG3	A:57:VAL:CG2	0.528
266	A:11:GLU:HG2	A:30:GLY:C	0.523
266	A:125:ARG:HE	A:128:GLU:CD	0.523
266	A:25:TYR:CD1	A:39:LEU:HD13	0.522
266	A:102:MET:HE3	A:138:TRP:CH2	0.517
266	A:55:ASN:O	A:57:VAL:HG23	0.512
266	A:24:TYR:HD1	A:35:LYS:HB3	0.511
266	A:114:PHE:HB3	A:117:SER:HB2	0.510
266	A:133:LEU:HB3	A:138:TRP:HZ3	0.510
266	A:102:MET:O	A:106:MET:HG2	0.503
266	A:27:ILE:HG22	A:33:LEU:HD12	0.501
266	A:27:ILE:HG23	A:33:LEU:HB2	0.499
266	A:98:ALA:O	A:102:MET:HG3	0.499

Model ID	Atom-1	Atom-2	Clash overlap (Å)
266	A:74:ALA:O	A:78:ILE:HG12	0.492
266	A:10:ASP:HA	A:148:ARG:HH21	0.489
266	A:1:MET:CG	A:5:GLU:HB2	0.488
266	A:124:LYS:HG2	A:126:TRP:CH2	0.487
266	A:139:TYR:O	A:143:PRO:HD3	0.479
266	A:16:LYS:HA	A:56:GLY:C	0.476
266	A:24:TYR:CD1	A:35:LYS:HB3	0.476
266	A:81:ASN:CB	A:84:LEU:HB2	0.473
266	A:91:LEU:HD21	A:126:TRP:HZ3	0.472
266	A:6:MET:HG3	A:161:TYR:CZ	0.469
266	A:98:ALA:HB1	A:153:PHE:CZ	0.468
266	A:50:ILE:HG13	A:54:THR:SG	0.467
266	A:101:ASN:O	A:104:PHE:HB2	0.467
266	A:133:LEU:HB3	A:138:TRP:CZ3	0.465
266	A:42:ALA:O	A:46:LEU:HB2	0.464
266	A:8:ARG:HA	A:13:LEU:HD13	0.461
266	A:124:LYS:HG2	A:126:TRP:CZ2	0.460
266	A:25:TYR:CE1	A:39:LEU:HD13	0.451
266	A:121:LEU:HG	A:126:TRP:CE3	0.451
266	A:4:PHE:HZ	A:29:ILE:HG21	0.450
266	A:142:THR:HG22	A:145:ARG:H	0.450
266	A:103:VAL:HG22	A:111:VAL:HG22	0.449
266	A:17:ILE:HD12	A:43:LYS:HD2	0.447

Model ID	Atom-1	Atom-2	Clash overlap (Å)
266	A:14:ARG:O	A:15:LEU:HD12	0.445
266	A:75:VAL:HA	A:78:ILE:HB	0.443
266	A:17:ILE:HD12	A:43:LYS:HD3	0.442
266	A:50:ILE:HG22	A:52:ARG:H	0.438
266	A:77:GLY:O	A:80:ARG:HG2	0.436
266	A:6:MET:SD	A:158:TRP:HZ3	0.435
266	A:6:MET:CE	A:97:ALA:HB1	0.434
266	A:102:MET:HE1	A:133:LEU:HD13	0.428
266	A:17:ILE:HA	A:26:THR:O	0.426
266	A:50:ILE:HB	A:52:ARG:O	0.426
266	A:59:THR:OG1	A:62:GLU:HB3	0.420
266	A:130:ALA:HB1	A:150:ILE:HG12	0.418
266	A:105:GLN:CD	A:141:GLN:HG2	0.417
266	A:148:ARG:HB3	A:161:TYR:HE1	0.417
266	A:1:MET:CE	A:158:TRP:CE3	0.417
266	A:158:TRP:HE3	A:161:TYR:CD2	0.414
266	A:46:LEU:O	A:50:ILE:HG12	0.413
266	A:94:VAL:HG13	A:158:TRP:CZ2	0.411
266	A:19:LYS:HB3	A:25:TYR:CE1	0.406
266	A:24:TYR:HB3	A:34:THR:O	0.405
266	A:25:TYR:HB2	A:34:THR:CG2	0.405
266	A:6:MET:HG3	A:161:TYR:HE2	0.403
266	A:79:LEU:O	A:85:LYS:HG3	0.403

Model ID	Atom-1	Atom-2	Clash overlap (Å)
266	A:50:ILE:HG22	A:52:ARG:HB2	0.402
266	A:16:LYS:O	A:18:TYR:HD1	0.401
267	A:17:ILE:HD12	A:43:LYS:HD3	1.091
267	A:7:LEU:HD22	A:11:GLU:HB2	1.041
267	A:29:ILE:HD12	A:67:PHE:HE1	1.008
267	A:29:ILE:HD12	A:67:PHE:CE1	0.946
267	A:130:ALA:HB1	A:150:ILE:HG23	0.945
267	A:58:ILE:HD12	A:63:ALA:HB2	0.921
267	A:27:ILE:CG2	A:33:LEU:HD12	0.858
267	A:10:ASP:HB3	A:145:ARG:HG3	0.854
267	A:130:ALA:CB	A:150:ILE:HG23	0.829
267	A:16:LYS:HG2	A:57:VAL:HG22	0.824
267	A:27:ILE:HG23	A:33:LEU:HD12	0.824
267	A:17:ILE:HD12	A:43:LYS:CD	0.817
267	A:58:ILE:HD12	A:63:ALA:CB	0.801
267	A:103:VAL:HG22	A:111:VAL:HG21	0.797
267	A:106:MET:SD	A:114:PHE:HE1	0.788
267	A:124:LYS:HG3	A:126:TRP:CZ2	0.778
267	A:81:ASN:HB3	A:84:LEU:HB2	0.774
267	A:102:MET:HE1	A:133:LEU:CD2	0.764
267	A:27:ILE:HG13	A:31:HIS:HB3	0.763
267	A:7:LEU:CD2	A:11:GLU:HB2	0.752
267	A:9:ILE:HD13	A:161:TYR:HB3	0.742

Model ID	Atom-1	Atom-2	Clash overlap (Å)
267	A:99:LEU:HA	A:102:MET:HG3	0.735
267	A:27:ILE:CG1	A:31:HIS:HB3	0.726
267	A:16:LYS:CG	A:57:VAL:HG22	0.724
267	A:3:ILE:SG	A:97:ALA:SG	0.719
267	A:27:ILE:HD13	A:33:LEU:HD23	0.699
267	A:6:MET:HG3	A:161:TYR:CE2	0.686
267	A:1:MET:HE2	A:5:GLU:HB3	0.684
267	A:13:LEU:HG	A:29:ILE:HG12	0.682
267	A:106:MET:SD	A:114:PHE:CE1	0.678
267	A:17:ILE:CG1	A:27:ILE:HG22	0.663
267	A:13:LEU:HG	A:29:ILE:HG23	0.657
267	A:17:ILE:HG12	A:27:ILE:HG22	0.652
267	A:15:LEU:HB3	A:58:ILE:HG13	0.647
267	A:102:MET:HE2	A:106:MET:HE1	0.637
267	A:130:ALA:HB1	A:150:ILE:CG2	0.632
267	A:102:MET:HE1	A:133:LEU:HD21	0.620
267	A:81:ASN:HB3	A:84:LEU:CB	0.616
267	A:133:LEU:HB3	A:138:TRP:HZ3	0.615
267	A:29:ILE:CD1	A:67:PHE:HE1	0.604
267	A:17:ILE:CD1	A:43:LYS:HD3	0.588
267	A:97:ALA:HB3	A:158:TRP:HH2	0.586
267	A:33:LEU:HG	A:46:LEU:HG	0.579
267	A:22:GLU:HB3	A:24:TYR:CE2	0.578

Model ID	Atom-1	Atom-2	Clash overlap (Å)
267	A:10:ASP:HB3	A:145:ARG:CG	0.570
267	A:19:LYS:HB3	A:25:TYR:CE1	0.568
267	A:130:ALA:HB1	A:150:ILE:HG12	0.564
267	A:17:ILE:HG12	A:27:ILE:CG2	0.552
267	A:25:TYR:CE1	A:39:LEU:HD13	0.543
267	A:121:LEU:HG	A:126:TRP:CE3	0.542
267	A:1:MET:CE	A:158:TRP:CE3	0.537
267	A:1:MET:HE1	A:158:TRP:CE3	0.537
267	A:67:PHE:CE2	A:71:VAL:CG2	0.529
267	A:88:TYR:CD1	A:99:LEU:HD22	0.528
267	A:124:LYS:CG	A:126:TRP:CZ2	0.526
267	A:46:LEU:O	A:50:ILE:HD12	0.515
267	A:6:MET:HE1	A:97:ALA:O	0.503
267	A:1:MET:HE1	A:6:MET:HB2	0.500
267	A:67:PHE:CE2	A:71:VAL:HG23	0.496
267	A:25:TYR:CD1	A:39:LEU:HD13	0.493
267	A:4:PHE:CZ	A:13:LEU:HD21	0.490
267	A:4:PHE:CE1	A:29:ILE:HD13	0.489
267	A:133:LEU:HD22	A:138:TRP:CE3	0.486
267	A:149:VAL:HG12	A:153:PHE:HE2	0.482
267	A:64:GLU:O	A:68:ASN:HB2	0.481
267	A:5:GLU:O	A:9:ILE:HD12	0.480
267	A:4:PHE:CZ	A:29:ILE:HD13	0.479

Model ID	Atom-1	Atom-2	Clash overlap (Å)
267	A:10:ASP:CB	A:145:ARG:HG3	0.479
267	A:114:PHE:HB3	A:117:SER:HB2	0.478
267	A:87:VAL:HG12	A:118:LEU:HD21	0.477
267	A:102:MET:O	A:106:MET:HG2	0.475
267	A:84:LEU:HD21	A:111:VAL:HG12	0.473
267	A:22:GLU:HB3	A:24:TYR:HE2	0.465
267	A:103:VAL:HG22	A:111:VAL:CG2	0.462
267	A:59:THR:OG1	A:62:GLU:HB3	0.456
267	A:16:LYS:HG3	A:57:VAL:HA	0.451
267	A:50:ILE:HG22	A:52:ARG:N	0.451
267	A:98:ALA:HB1	A:153:PHE:CZ	0.451
267	A:145:ARG:O	A:149:VAL:HG23	0.449
267	A:16:LYS:HG2	A:57:VAL:CG2	0.447
267	A:158:TRP:HE3	A:161:TYR:CE2	0.447
267	A:6:MET:HG3	A:161:TYR:CZ	0.444
267	A:15:LEU:HD21	A:63:ALA:CB	0.442
267	A:10:ASP:HA	A:148:ARG:HH21	0.437
267	A:11:GLU:OE1	A:30:GLY:HA3	0.435
267	A:158:TRP:HE3	A:161:TYR:CD2	0.434
267	A:6:MET:SD	A:158:TRP:HZ3	0.434
267	A:95:ARG:HG2	A:126:TRP:CE3	0.428
267	A:149:VAL:HG12	A:153:PHE:CE2	0.426
267	A:4:PHE:CE2	A:13:LEU:HD21	0.424

Model ID	Atom-1	Atom-2	Clash overlap (Å)
267	A:15:LEU:HD11	A:29:ILE:HG13	0.417
267	A:121:LEU:HG	A:126:TRP:HE3	0.416
267	A:142:THR:HB	A:145:ARG:HB3	0.416
267	A:114:PHE:O	A:117:SER:HB2	0.415
267	A:94:VAL:HG22	A:158:TRP:NE1	0.414
267	A:42:ALA:O	A:46:LEU:HB2	0.411
267	A:60:LYS:O	A:64:GLU:HB2	0.411
267	A:67:PHE:HA	A:70:ASP:HB3	0.411
267	A:14:ARG:HB3	A:18:TYR:CE1	0.409
267	A:46:LEU:HA	A:46:LEU:HD23	0.408
267	A:6:MET:HB3	A:6:MET:HE2	0.406
267	A:25:TYR:CZ	A:39:LEU:HB2	0.406
267	A:50:ILE:HG22	A:52:ARG:H	0.402
268	A:130:ALA:HB2	A:150:ILE:HG21	1.137
268	A:33:LEU:HD13	A:42:ALA:HB1	0.985
268	A:29:ILE:HD12	A:67:PHE:HB2	0.860
268	A:33:LEU:CD1	A:42:ALA:HB1	0.831
268	A:16:LYS:HG2	A:57:VAL:HG22	0.782
268	A:29:ILE:HD12	A:67:PHE:CB	0.776
268	A:50:ILE:HG22	A:52:ARG:HB2	0.758
268	A:130:ALA:HB2	A:150:ILE:CG2	0.752
268	A:14:ARG:HB3	A:18:TYR:CE1	0.730
268	A:14:ARG:HB3	A:18:TYR:HE1	0.728

Model ID	Atom-1	Atom-2	Clash overlap (Å)
268	A:102:MET:HE3	A:138:TRP:CZ3	0.716
268	A:102:MET:HE1	A:133:LEU:HG	0.706
268	A:3:ILE:SG	A:97:ALA:SG	0.698
268	A:124:LYS:HG2	A:126:TRP:CZ2	0.674
268	A:50:ILE:HG21	A:54:THR:SG	0.663
268	A:50:ILE:CG2	A:52:ARG:HB2	0.661
268	A:22:GLU:HG3	A:137:ARG:HD3	0.658
268	A:130:ALA:CB	A:150:ILE:HG21	0.652
268	A:33:LEU:HD13	A:42:ALA:CB	0.650
268	A:98:ALA:HB1	A:153:PHE:CE1	0.650
268	A:103:VAL:HG22	A:111:VAL:HG21	0.648
268	A:4:PHE:HD1	A:67:PHE:CD2	0.641
268	A:105:GLN:HG2	A:138:TRP:HB2	0.620
268	A:83:LYS:HD3	A:84:LEU:HD12	0.619
268	A:102:MET:HE1	A:133:LEU:CG	0.610
268	A:118:LEU:HD13	A:121:LEU:HD12	0.610
268	A:6:MET:HE1	A:98:ALA:HA	0.608
268	A:27:ILE:HG22	A:33:LEU:HD21	0.601
268	A:93:ALA:HA	A:96:ARG:HB2	0.578
268	A:1:MET:HE2	A:158:TRP:CE3	0.576
268	A:50:ILE:HD13	A:54:THR:SG	0.565
268	A:97:ALA:HB3	A:158:TRP:CH2	0.564
268	A:6:MET:HE2	A:101:ASN:HD22	0.560

Model ID	Atom-1	Atom-2	Clash overlap (Å)
268	A:46:LEU:HD22	A:50:ILE:HD11	0.559
268	A:50:ILE:HD11	A:66:LEU:HD11	0.558
268	A:4:PHE:CD1	A:67:PHE:CD2	0.554
268	A:25:TYR:CZ	A:39:LEU:HB3	0.548
268	A:1:MET:CG	A:5:GLU:HB2	0.547
268	A:91:LEU:HD21	A:126:TRP:HH2	0.541
268	A:79:LEU:HD21	A:88:TYR:CD1	0.538
268	A:121:LEU:HD21	A:129:ALA:HB1	0.533
268	A:121:LEU:HD22	A:129:ALA:HB2	0.533
268	A:81:ASN:HB3	A:84:LEU:HB2	0.532
268	A:1:MET:CE	A:158:TRP:CE3	0.527
268	A:59:THR:H	A:62:GLU:HB2	0.524
268	A:97:ALA:HA	A:100:ILE:HD12	0.523
268	A:98:ALA:CB	A:153:PHE:CE1	0.518
268	A:124:LYS:HG2	A:126:TRP:HZ2	0.516
268	A:58:ILE:HB	A:62:GLU:HB3	0.514
268	A:25:TYR:HB3	A:33:LEU:HD12	0.513
268	A:97:ALA:HB3	A:158:TRP:HH2	0.508
268	A:3:ILE:SG	A:100:ILE:HD13	0.505
268	A:138:TRP:CE3	A:139:TYR:HB2	0.505
268	A:4:PHE:HE1	A:29:ILE:CD1	0.503
268	A:45:GLU:HA	A:48:LYS:HG2	0.502
268	A:14:ARG:HD2	A:18:TYR:CZ	0.500

Model ID	Atom-1	Atom-2	Clash overlap (Å)
268	A:72:ASP:O	A:76:ARG:HG3	0.495
268	A:1:MET:HG2	A:5:GLU:HB2	0.493
268	A:20:ASP:HB3	A:24:TYR:O	0.491
268	A:4:PHE:CE1	A:29:ILE:CD1	0.487
268	A:12:GLY:O	A:13:LEU:HD12	0.486
268	A:4:PHE:HZ	A:64:GLU:HG3	0.484
268	A:102:MET:HE1	A:133:LEU:HB3	0.482
268	A:106:MET:HE2	A:138:TRP:CG	0.475
268	A:18:TYR:CE2	A:26:THR:HB	0.473
268	A:79:LEU:HD22	A:85:LYS:HG2	0.472
268	A:101:ASN:O	A:104:PHE:HB2	0.472
268	A:116:ASN:HB3	A:120:MET:HE2	0.469
268	A:6:MET:O	A:10:ASP:HB2	0.467
268	A:97:ALA:HA	A:100:ILE:HB	0.466
268	A:102:MET:HE2	A:106:MET:HE1	0.465
268	A:14:ARG:CB	A:18:TYR:CE1	0.463
268	A:102:MET:HE3	A:138:TRP:CH2	0.461
268	A:83:LYS:O	A:86:PRO:HD2	0.454
268	A:152:THR:HG23	A:157:THR:O	0.453
268	A:138:TRP:CZ3	A:139:TYR:HB2	0.449
268	A:91:LEU:HD21	A:126:TRP:CH2	0.443
268	A:97:ALA:CB	A:158:TRP:HH2	0.433
268	A:126:TRP:CD1	A:154:ARG:HA	0.425

Model ID	Atom-1	Atom-2	Clash overlap (Å)
268	A:79:LEU:HD22	A:85:LYS:CG	0.421
268	A:97:ALA:O	A:100:ILE:HB	0.420
268	A:86:PRO:HA	A:89:ASP:HB3	0.418
268	A:17:ILE:HG22	A:25:TYR:HD1	0.417
268	A:6:MET:HG3	A:161:TYR:CZ	0.416
268	A:63:ALA:HA	A:66:LEU:HB2	0.415
268	A:17:ILE:HG13	A:27:ILE:HG13	0.414
268	A:86:PRO:O	A:90:SER:HB3	0.414
268	A:6:MET:HB2	A:158:TRP:CZ3	0.411
268	A:107:GLY:O	A:111:VAL:HG23	0.408
268	A:11:GLU:HB2	A:29:ILE:O	0.407
268	A:89:ASP:HA	A:96:ARG:HH21	0.405
268	A:33:LEU:HG	A:46:LEU:HD13	0.404
268	A:66:LEU:O	A:70:ASP:HB2	0.404
268	A:4:PHE:HZ	A:64:GLU:CG	0.404
268	A:102:MET:HE1	A:133:LEU:CB	0.403
268	A:17:ILE:HG23	A:25:TYR:HB3	0.402
268	A:4:PHE:CE1	A:29:ILE:HD13	0.402
269	A:58:ILE:HD13	A:63:ALA:HB2	1.133
269	A:1:MET:HG3	A:5:GLU:HB2	1.003
269	A:1:MET:HE2	A:158:TRP:CE3	0.965
269	A:103:VAL:HG22	A:111:VAL:HG21	0.924
269	A:103:VAL:HG22	A:111:VAL:CG2	0.850

Model ID	Atom-1	Atom-2	Clash overlap (Å)
269	A:102:MET:HE1	A:133:LEU:HB3	0.846
269	A:1:MET:HG3	A:5:GLU:CB	0.786
269	A:58:ILE:HD13	A:63:ALA:CB	0.742
269	A:14:ARG:HB2	A:18:TYR:CE1	0.721
269	A:124:LYS:HG2	A:126:TRP:CZ2	0.718
269	A:79:LEU:CD2	A:85:LYS:HG3	0.701
269	A:33:LEU:HD13	A:42:ALA:HB1	0.697
269	A:3:ILE:SG	A:97:ALA:SG	0.691
269	A:98:ALA:HB3	A:153:PHE:CE1	0.686
269	A:59:THR:H	A:62:GLU:HB2	0.670
269	A:99:LEU:HD21	A:121:LEU:HD11	0.668
269	A:4:PHE:HA	A:29:ILE:HG12	0.666
269	A:102:MET:HE3	A:138:TRP:CZ3	0.649
269	A:7:LEU:HG	A:104:PHE:CE1	0.625
269	A:50:ILE:HG22	A:52:ARG:H	0.612
269	A:6:MET:HG3	A:161:TYR:CE2	0.607
269	A:130:ALA:HB1	A:150:ILE:HG12	0.606
269	A:7:LEU:HB2	A:29:ILE:CG2	0.594
269	A:151:THR:HG21	A:160:ALA:CB	0.586
269	A:139:TYR:HD1	A:146:ALA:HB1	0.584
269	A:7:LEU:CB	A:29:ILE:HG22	0.582
269	A:6:MET:HB2	A:158:TRP:CZ3	0.570
269	A:7:LEU:HB2	A:29:ILE:HG22	0.570

Model ID	Atom-1	Atom-2	Clash overlap (Å)
269	A:7:LEU:HG	A:104:PHE:HE1	0.567
269	A:1:MET:HA	A:5:GLU:HG3	0.557
269	A:58:ILE:CD1	A:63:ALA:HB2	0.553
269	A:16:LYS:HG2	A:57:VAL:HG22	0.543
269	A:33:LEU:CD1	A:42:ALA:HB1	0.542
269	A:50:ILE:HG21	A:54:THR:SG	0.539
269	A:72:ASP:C	A:75:VAL:HB	0.538
269	A:151:THR:HG21	A:160:ALA:HB1	0.538
269	A:79:LEU:HD21	A:85:LYS:HE3	0.535
269	A:67:PHE:HZ	A:100:ILE:HD13	0.531
269	A:6:MET:HG3	A:161:TYR:CZ	0.527
269	A:99:LEU:HD12	A:153:PHE:CE1	0.525
269	A:4:PHE:CZ	A:29:ILE:HD11	0.522
269	A:120:MET:HA	A:123:GLN:HB3	0.521
269	A:46:LEU:HD21	A:66:LEU:HD11	0.520
269	A:124:LYS:HG2	A:126:TRP:CH2	0.520
269	A:148:ARG:HB3	A:161:TYR:CE1	0.518
269	A:14:ARG:HG3	A:18:TYR:CZ	0.515
269	A:79:LEU:HD21	A:85:LYS:HG3	0.514
269	A:13:LEU:HD12	A:29:ILE:HA	0.511
269	A:94:VAL:HG13	A:158:TRP:CZ2	0.511
269	A:116:ASN:O	A:120:MET:HG2	0.511
269	A:146:ALA:O	A:150:ILE:HD12	0.507

Model ID	Atom-1	Atom-2	Clash overlap (Å)
269	A:98:ALA:HB3	A:153:PHE:HE1	0.503
269	A:7:LEU:HA	A:10:ASP:HB2	0.501
269	A:22:GLU:HB3	A:24:TYR:CE2	0.501
269	A:94:VAL:HG13	A:158:TRP:CE2	0.498
269	A:38:SER:HB3	A:41:ALA:HB3	0.494
269	A:15:LEU:O	A:58:ILE:HG13	0.491
269	A:33:LEU:HD13	A:42:ALA:C	0.485
269	A:46:LEU:O	A:50:ILE:HG12	0.484
269	A:139:TYR:CD1	A:146:ALA:HB1	0.481
269	A:90:SER:H	A:96:ARG:HH21	0.480
269	A:67:PHE:O	A:71:VAL:HG23	0.478
269	A:94:VAL:O	A:97:ALA:HB3	0.475
269	A:127:ASP:O	A:131:VAL:HG23	0.472
269	A:13:LEU:HD11	A:29:ILE:HG23	0.463
269	A:78:ILE:HD12	A:84:LEU:HD22	0.463
269	A:4:PHE:CE1	A:29:ILE:HD11	0.461
269	A:98:ALA:CB	A:153:PHE:CE1	0.460
269	A:81:ASN:HB3	A:84:LEU:HB2	0.458
269	A:116:ASN:HB3	A:120:MET:HE2	0.458
269	A:119:ARG:O	A:122:GLN:HG3	0.457
269	A:6:MET:CB	A:158:TRP:CZ3	0.453
269	A:26:THR:HA	A:31:HIS:O	0.452
269	A:117:SER:O	A:121:LEU:HG	0.450

Model ID	Atom-1	Atom-2	Clash overlap (Å)
269	A:3:ILE:SG	A:97:ALA:HA	0.442
269	A:8:ARG:HA	A:13:LEU:HD13	0.439
269	A:6:MET:CB	A:158:TRP:HZ3	0.436
269	A:72:ASP:O	A:75:VAL:HB	0.436
269	A:1:MET:HE3	A:6:MET:HB2	0.434
269	A:79:LEU:HA	A:85:LYS:HB2	0.432
269	A:117:SER:HB3	A:133:LEU:HD11	0.430
269	A:102:MET:HE1	A:133:LEU:CB	0.426
269	A:103:VAL:HG22	A:111:VAL:HG22	0.421
269	A:6:MET:HB2	A:158:TRP:HZ3	0.420
269	A:15:LEU:HB3	A:58:ILE:O	0.420
269	A:148:ARG:HD2	A:161:TYR:CE2	0.418
269	A:1:MET:CE	A:6:MET:HB2	0.414
269	A:94:VAL:HG12	A:152:THR:CG2	0.412
269	A:17:ILE:HG22	A:25:TYR:CD1	0.411
269	A:148:ARG:HD2	A:161:TYR:CZ	0.404
269	A:99:LEU:HD21	A:121:LEU:CD1	0.402
269	A:14:ARG:CB	A:18:TYR:CE1	0.401
270	A:17:ILE:HG12	A:27:ILE:HG22	1.114
270	A:16:LYS:HG3	A:57:VAL:HG22	1.084
270	A:130:ALA:HB1	A:150:ILE:HG23	1.070
270	A:34:THR:HG21	A:42:ALA:HB1	0.956
270	A:25:TYR:HB2	A:34:THR:HG22	0.923

Model ID	Atom-1	Atom-2	Clash overlap (Å)
270	A:4:PHE:CE2	A:13:LEU:HD21	0.885
270	A:34:THR:HG21	A:42:ALA:CB	0.861
270	A:25:TYR:HB2	A:34:THR:CG2	0.859
270	A:58:ILE:HD12	A:63:ALA:HB2	0.859
270	A:17:ILE:CG1	A:27:ILE:HG22	0.835
270	A:130:ALA:CB	A:150:ILE:HG23	0.812
270	A:27:ILE:HG12	A:31:HIS:HB3	0.796
270	A:106:MET:SD	A:114:PHE:HE1	0.791
270	A:58:ILE:HD12	A:63:ALA:CB	0.782
270	A:3:ILE:SG	A:97:ALA:SG	0.760
270	A:17:ILE:HD12	A:43:LYS:CD	0.740
270	A:27:ILE:CG2	A:33:LEU:HD12	0.731
270	A:63:ALA:HA	A:67:PHE:HB3	0.729
270	A:106:MET:SD	A:114:PHE:CE1	0.715
270	A:81:ASN:HB2	A:84:LEU:HB2	0.710
270	A:133:LEU:HB3	A:138:TRP:HZ3	0.699
270	A:17:ILE:HB	A:43:LYS:HD3	0.693
270	A:10:ASP:HB3	A:145:ARG:HG3	0.692
270	A:1:MET:HG2	A:5:GLU:HB2	0.688
270	A:27:ILE:CG1	A:31:HIS:HB3	0.656
270	A:22:GLU:HB3	A:24:TYR:CE2	0.642
270	A:16:LYS:CG	A:57:VAL:HG22	0.641
270	A:151:THR:HG21	A:160:ALA:HB2	0.637

Model ID	Atom-1	Atom-2	Clash overlap (Å)
270	A:33:LEU:HD11	A:50:ILE:HD11	0.635
270	A:32:LEU:HB2	A:145:ARG:HH12	0.633
270	A:17:ILE:HD12	A:43:LYS:HD2	0.622
270	A:1:MET:HE1	A:158:TRP:CE3	0.618
270	A:9:ILE:HD13	A:161:TYR:HB3	0.611
270	A:139:TYR:HE1	A:150:ILE:HD12	0.609
270	A:139:TYR:HE1	A:150:ILE:CD1	0.605
270	A:151:THR:HG21	A:160:ALA:CB	0.572
270	A:91:LEU:HD21	A:126:TRP:HZ3	0.570
270	A:130:ALA:HB1	A:150:ILE:CG2	0.565
270	A:114:PHE:HB3	A:117:SER:HB2	0.563
270	A:6:MET:HG3	A:161:TYR:CE2	0.561
270	A:27:ILE:HG21	A:33:LEU:HD12	0.561
270	A:88:TYR:HE1	A:99:LEU:HD22	0.555
270	A:1:MET:SD	A:6:MET:HB2	0.540
270	A:1:MET:CG	A:5:GLU:HB2	0.534
270	A:33:LEU:HG	A:46:LEU:HD22	0.534
270	A:88:TYR:CE1	A:99:LEU:HD22	0.533
270	A:81:ASN:CB	A:84:LEU:HB2	0.530
270	A:158:TRP:HE3	A:161:TYR:CE2	0.530
270	A:1:MET:CE	A:158:TRP:CE3	0.529
270	A:6:MET:SD	A:158:TRP:HZ3	0.515
270	A:25:TYR:CD1	A:39:LEU:HD13	0.509

Model ID	Atom-1	Atom-2	Clash overlap (Å)
270	A:55:ASN:O	A:57:VAL:HG23	0.509
270	A:46:LEU:O	A:50:ILE:HD12	0.507
270	A:6:MET:CE	A:97:ALA:HB1	0.506
270	A:91:LEU:HD21	A:126:TRP:CZ3	0.505
270	A:139:TYR:CE1	A:150:ILE:CD1	0.501
270	A:127:ASP:O	A:131:VAL:HG23	0.500
270	A:6:MET:HE1	A:97:ALA:O	0.495
270	A:13:LEU:HG	A:29:ILE:HG23	0.487
270	A:101:ASN:O	A:104:PHE:HB2	0.487
270	A:123:GLN:HB3	A:125:ARG:HG2	0.486
270	A:39:LEU:HD21	A:43:LYS:HE3	0.480
270	A:124:LYS:HG3	A:126:TRP:CZ2	0.478
270	A:4:PHE:CE2	A:13:LEU:CD2	0.475
270	A:15:LEU:HD11	A:29:ILE:HG13	0.475
270	A:50:ILE:HG22	A:52:ARG:HB3	0.474
270	A:94:VAL:HG13	A:158:TRP:CZ2	0.474
270	A:4:PHE:CE1	A:29:ILE:HG21	0.471
270	A:17:ILE:HD12	A:43:LYS:HD3	0.471
270	A:77:GLY:O	A:80:ARG:HB2	0.471
270	A:6:MET:CE	A:101:ASN:HB2	0.469
270	A:142:THR:HG21	A:145:ARG:HB2	0.468
270	A:158:TRP:HE3	A:161:TYR:HE2	0.468
270	A:59:THR:OG1	A:62:GLU:HB3	0.466

Model ID	Atom-1	Atom-2	Clash overlap (Å)
270	A:25:TYR:CE1	A:39:LEU:HD13	0.458
270	A:34:THR:CG2	A:42:ALA:HB1	0.456
270	A:27:ILE:HG12	A:31:HIS:CB	0.452
270	A:4:PHE:CE1	A:29:ILE:HD13	0.451
270	A:139:TYR:O	A:143:PRO:HD3	0.451
270	A:158:TRP:CE3	A:161:TYR:HE2	0.445
270	A:148:ARG:HB3	A:161:TYR:CE1	0.444
270	A:98:ALA:HB1	A:153:PHE:CE2	0.443
270	A:50:ILE:HG22	A:52:ARG:H	0.437
270	A:50:ILE:HG22	A:52:ARG:N	0.437
270	A:103:VAL:HG22	A:111:VAL:CG2	0.437
270	A:148:ARG:HD2	A:161:TYR:HD1	0.436
270	A:102:MET:O	A:106:MET:HG2	0.434
270	A:15:LEU:HD21	A:63:ALA:HB1	0.433
270	A:158:TRP:O	A:161:TYR:HB2	0.432
270	A:15:LEU:HA	A:28:GLY:HA2	0.431
270	A:25:TYR:CB	A:34:THR:HG22	0.430
270	A:121:LEU:CD2	A:129:ALA:HB2	0.427
270	A:19:LYS:HE2	A:23:GLY:HA2	0.426
270	A:50:ILE:CG2	A:52:ARG:HB3	0.424
270	A:102:MET:HE3	A:138:TRP:CH2	0.422
270	A:103:VAL:HG22	A:111:VAL:HG21	0.418
270	A:25:TYR:CZ	A:39:LEU:HB2	0.413

Model ID	Atom-1	Atom-2	Clash overlap (Å)
270	A:148:ARG:HD2	A:161:TYR:CD1	0.407
270	A:7:LEU:CD2	A:11:GLU:HB2	0.402
270	A:79:LEU:HB3	A:85:LYS:HG3	0.402
270	A:139:TYR:CE1	A:150:ILE:HD12	0.402
271	A:14:ARG:HG2	A:18:TYR:HE1	1.008
271	A:97:ALA:HB3	A:158:TRP:HH2	0.989
271	A:33:LEU:HD21	A:46:LEU:HB2	0.976
271	A:58:ILE:HD12	A:63:ALA:HB2	0.970
271	A:124:LYS:HG2	A:126:TRP:CH2	0.941
271	A:151:THR:HG21	A:160:ALA:HB2	0.886
271	A:88:TYR:CE1	A:96:ARG:HG3	0.874
271	A:14:ARG:HG2	A:18:TYR:CE1	0.804
271	A:87:VAL:HG23	A:122:GLN:HE21	0.778
271	A:84:LEU:HD22	A:99:LEU:HD21	0.769
271	A:6:MET:SD	A:97:ALA:HB1	0.753
271	A:114:PHE:HB3	A:118:LEU:HD13	0.744
271	A:1:MET:CG	A:5:GLU:HB3	0.742
271	A:3:ILE:SG	A:97:ALA:SG	0.735
271	A:97:ALA:CB	A:158:TRP:HH2	0.731
271	A:26:THR:HG23	A:32:LEU:HA	0.722
271	A:97:ALA:HA	A:100:ILE:HD12	0.710
271	A:12:GLY:HA3	A:26:THR:HG21	0.689
271	A:87:VAL:CG2	A:122:GLN:HB2	0.687

Model ID	Atom-1	Atom-2	Clash overlap (Å)
271	A:1:MET:HG2	A:5:GLU:HB3	0.684
271	A:33:LEU:HB3	A:34:THR:HG22	0.674
271	A:98:ALA:HB3	A:153:PHE:CE1	0.672
271	A:95:ARG:HG2	A:153:PHE:HA	0.663
271	A:97:ALA:HB3	A:158:TRP:CH2	0.658
271	A:151:THR:CG2	A:160:ALA:HB2	0.645
271	A:91:LEU:HD13	A:92:ASP:HB2	0.638
271	A:6:MET:HA	A:9:ILE:HD12	0.637
271	A:116:ASN:HB3	A:120:MET:HE1	0.621
271	A:1:MET:HG3	A:5:GLU:HB3	0.612
271	A:17:ILE:CG2	A:25:TYR:HD1	0.607
271	A:27:ILE:HG22	A:33:LEU:HD12	0.575
271	A:94:VAL:HG13	A:158:TRP:CE2	0.571
271	A:151:THR:HG21	A:160:ALA:CB	0.571
271	A:92:ASP:HB3	A:95:ARG:HB2	0.565
271	A:87:VAL:HG23	A:122:GLN:HB2	0.564
271	A:8:ARG:HA	A:13:LEU:H	0.559
271	A:15:LEU:HA	A:58:ILE:HG13	0.558
271	A:106:MET:HG2	A:111:VAL:HG23	0.556
271	A:118:LEU:HA	A:121:LEU:HD12	0.552
271	A:152:THR:HG21	A:158:TRP:CZ3	0.552
271	A:9:ILE:HD13	A:161:TYR:CD1	0.550
271	A:27:ILE:CG2	A:33:LEU:HD12	0.540

Model ID	Atom-1	Atom-2	Clash overlap (Å)
271	A:33:LEU:HG	A:42:ALA:HB1	0.540
271	A:15:LEU:HD11	A:60:LYS:HB2	0.539
271	A:33:LEU:CD2	A:46:LEU:HB2	0.536
271	A:138:TRP:HA	A:141:GLN:HB2	0.536
271	A:7:LEU:HD23	A:11:GLU:HB2	0.534
271	A:58:ILE:CD1	A:63:ALA:HB2	0.534
271	A:91:LEU:HD21	A:124:LYS:HD2	0.530
271	A:9:ILE:HD13	A:161:TYR:CG	0.529
271	A:121:LEU:CD2	A:129:ALA:HB1	0.518
271	A:14:ARG:HG3	A:15:LEU:HB2	0.515
271	A:14:ARG:CG	A:18:TYR:HE1	0.514
271	A:130:ALA:HA	A:133:LEU:HB2	0.511
271	A:87:VAL:HG21	A:122:GLN:HB2	0.507
271	A:24:TYR:HD1	A:35:LYS:HA	0.505
271	A:94:VAL:HG13	A:158:TRP:CZ2	0.499
271	A:15:LEU:HD21	A:60:LYS:HA	0.498
271	A:88:TYR:HB2	A:99:LEU:HD23	0.495
271	A:17:ILE:CG2	A:25:TYR:CD1	0.494
271	A:98:ALA:O	A:102:MET:HG3	0.491
271	A:4:PHE:CE1	A:13:LEU:HG	0.476
271	A:38:SER:HB3	A:41:ALA:HB3	0.473
271	A:97:ALA:CB	A:158:TRP:CH2	0.468
271	A:50:ILE:HD13	A:52:ARG:O	0.466

Model ID	Atom-1	Atom-2	Clash overlap (Å)
271	A:9:ILE:HG22	A:10:ASP:OD1	0.461
271	A:58:ILE:HD12	A:63:ALA:CB	0.459
271	A:95:ARG:HG2	A:153:PHE:HD1	0.457
271	A:148:ARG:HB3	A:161:TYR:CE1	0.453
271	A:98:ALA:CB	A:153:PHE:CE1	0.450
271	A:117:SER:O	A:121:LEU:HD23	0.449
271	A:11:GLU:OE2	A:32:LEU:HD22	0.447
271	A:61:ASP:HA	A:64:GLU:HB3	0.446
271	A:4:PHE:CE1	A:29:ILE:HD13	0.442
271	A:29:ILE:HG12	A:67:PHE:CD1	0.441
271	A:144:ASN:HB3	A:148:ARG:NH1	0.438
271	A:78:ILE:HG23	A:103:VAL:HG11	0.436
271	A:1:MET:SD	A:6:MET:HB2	0.433
271	A:127:ASP:O	A:131:VAL:HG23	0.429
271	A:16:LYS:HA	A:56:GLY:O	0.428
271	A:19:LYS:HA	A:24:TYR:O	0.424
271	A:148:ARG:HD2	A:161:TYR:CE1	0.422
271	A:130:ALA:HB2	A:150:ILE:CG2	0.412
271	A:121:LEU:HD22	A:129:ALA:CB	0.411
271	A:11:GLU:OE1	A:101:ASN:HA	0.407
271	A:67:PHE:O	A:71:VAL:HG23	0.405
271	A:106:MET:HE1	A:138:TRP:CD2	0.404
271	A:27:ILE:CG2	A:31:HIS:HB2	0.402

Model ID	Atom-1	Atom-2	Clash overlap (Å)
271	A:35:LYS:HG2	A:105:GLN:OE1	0.401
271	A:110:GLY:O	A:114:PHE:HD1	0.401
271	A:144:ASN:O	A:148:ARG:HG3	0.401
272	A:16:LYS:HG3	A:57:VAL:HG22	1.190
272	A:17:ILE:HG12	A:27:ILE:HG22	1.134
272	A:79:LEU:HD22	A:85:LYS:HG2	1.033
272	A:130:ALA:HB1	A:150:ILE:HG23	0.993
272	A:15:LEU:HD11	A:29:ILE:HG13	0.975
272	A:124:LYS:HG3	A:126:TRP:CZ2	0.917
272	A:27:ILE:CG2	A:33:LEU:HD12	0.863
272	A:10:ASP:HB3	A:145:ARG:HG3	0.849
272	A:130:ALA:CB	A:150:ILE:HG23	0.826
272	A:1:MET:HE1	A:6:MET:HB2	0.819
272	A:17:ILE:CG1	A:27:ILE:HG22	0.786
272	A:3:ILE:SG	A:97:ALA:SG	0.754
272	A:10:ASP:HB3	A:145:ARG:CG	0.752
272	A:17:ILE:HB	A:43:LYS:HD3	0.739
272	A:98:ALA:HB1	A:153:PHE:CZ	0.739
272	A:106:MET:SD	A:114:PHE:HE1	0.711
272	A:4:PHE:HE1	A:29:ILE:HD13	0.705
272	A:27:ILE:HG21	A:33:LEU:HD12	0.700
272	A:106:MET:SD	A:114:PHE:CE1	0.672
272	A:6:MET:HG3	A:161:TYR:CE2	0.670

Model ID	Atom-1	Atom-2	Clash overlap (Å)
272	A:4:PHE:CE1	A:29:ILE:HD13	0.661
272	A:6:MET:CE	A:97:ALA:HB1	0.659
272	A:102:MET:HE2	A:106:MET:HE1	0.647
272	A:1:MET:CG	A:5:GLU:HB2	0.640
272	A:103:VAL:HG22	A:111:VAL:CG2	0.639
272	A:9:ILE:CD1	A:161:TYR:HB3	0.636
272	A:7:LEU:HB3	A:13:LEU:HD13	0.624
272	A:103:VAL:HG22	A:111:VAL:HG21	0.615
272	A:79:LEU:HD21	A:84:LEU:HD12	0.601
272	A:67:PHE:HD2	A:70:ASP:HB3	0.599
272	A:6:MET:HE3	A:7:LEU:CD1	0.592
272	A:6:MET:HE3	A:7:LEU:HD12	0.592
272	A:1:MET:CE	A:6:MET:HB2	0.583
272	A:126:TRP:HB3	A:153:PHE:HD1	0.566
272	A:27:ILE:HG23	A:33:LEU:HB2	0.557
272	A:10:ASP:CB	A:145:ARG:HG3	0.554
272	A:13:LEU:HG	A:29:ILE:HA	0.550
272	A:6:MET:HE1	A:97:ALA:C	0.545
272	A:16:LYS:HG3	A:57:VAL:CG2	0.543
272	A:1:MET:CE	A:158:TRP:CE3	0.531
272	A:142:THR:HG22	A:145:ARG:H	0.530
272	A:14:ARG:HH11	A:15:LEU:H	0.527
272	A:6:MET:HG3	A:161:TYR:CZ	0.525

Model ID	Atom-1	Atom-2	Clash overlap (Å)
272	A:67:PHE:CD2	A:70:ASP:HB3	0.524
272	A:1:MET:HE1	A:158:TRP:CE3	0.522
272	A:50:ILE:HG22	A:52:ARG:H	0.522
272	A:50:ILE:HG22	A:52:ARG:HB2	0.522
272	A:27:ILE:HD12	A:28:GLY:HA3	0.515
272	A:29:ILE:HD12	A:67:PHE:CD1	0.514
272	A:132:ASN:OD1	A:133:LEU:HD12	0.510
272	A:25:TYR:CZ	A:39:LEU:HB2	0.509
272	A:98:ALA:HB1	A:153:PHE:CE2	0.508
272	A:17:ILE:HD12	A:43:LYS:CD	0.506
272	A:33:LEU:HD21	A:46:LEU:HG	0.505
272	A:105:GLN:HB2	A:145:ARG:HH22	0.498
272	A:16:LYS:CG	A:57:VAL:HG22	0.497
272	A:6:MET:HE1	A:97:ALA:O	0.496
272	A:133:LEU:HB3	A:138:TRP:CZ3	0.496
272	A:142:THR:HG21	A:145:ARG:HB2	0.496
272	A:103:VAL:HG22	A:111:VAL:HG22	0.493
272	A:121:LEU:O	A:124:LYS:HD2	0.491
272	A:55:ASN:O	A:57:VAL:HG23	0.486
272	A:1:MET:HG3	A:5:GLU:HB2	0.484
272	A:120:MET:O	A:123:GLN:HB3	0.480
272	A:148:ARG:HB3	A:161:TYR:HE1	0.477
272	A:133:LEU:HB3	A:138:TRP:HZ3	0.474

Model ID	Atom-1	Atom-2	Clash overlap (Å)
272	A:13:LEU:HG	A:29:ILE:HG23	0.473
272	A:25:TYR:CD1	A:39:LEU:HD13	0.469
272	A:29:ILE:HD12	A:67:PHE:CE1	0.467
272	A:47:ASP:HA	A:50:ILE:HG12	0.467
272	A:148:ARG:HB3	A:161:TYR:CE1	0.464
272	A:17:ILE:HD12	A:43:LYS:HD3	0.462
272	A:88:TYR:CE1	A:96:ARG:HD3	0.461
272	A:81:ASN:HB3	A:84:LEU:HB2	0.460
272	A:91:LEU:HD21	A:126:TRP:HZ3	0.460
272	A:121:LEU:HG	A:126:TRP:CE3	0.459
272	A:130:ALA:HB1	A:150:ILE:CG2	0.458
272	A:50:ILE:HG13	A:54:THR:SG	0.457
272	A:87:VAL:HG13	A:118:LEU:CD2	0.452
272	A:59:THR:OG1	A:62:GLU:HB3	0.450
272	A:97:ALA:HB3	A:158:TRP:HH2	0.444
272	A:25:TYR:CE1	A:39:LEU:HD13	0.437
272	A:72:ASP:O	A:76:ARG:HB2	0.436
272	A:19:LYS:HB3	A:25:TYR:CE1	0.432
272	A:94:VAL:HG13	A:158:TRP:CZ2	0.432
272	A:10:ASP:HA	A:148:ARG:HH21	0.430
272	A:42:ALA:O	A:46:LEU:HB2	0.430
272	A:124:LYS:CG	A:126:TRP:CZ2	0.430
272	A:74:ALA:O	A:78:ILE:HG12	0.428

Model ID	Atom-1	Atom-2	Clash overlap (Å)
272	A:45:GLU:HB3	A:46:LEU:HD12	0.427
272	A:27:ILE:HG13	A:31:HIS:CB	0.421
272	A:5:GLU:O	A:8:ARG:HB2	0.419
272	A:7:LEU:HD23	A:11:GLU:CB	0.418
272	A:15:LEU:HB3	A:58:ILE:HG13	0.416
272	A:82:ALA:O	A:86:PRO:HD2	0.416
272	A:75:VAL:O	A:79:LEU:HB2	0.415
272	A:105:GLN:HB2	A:145:ARG:HH12	0.415
272	A:27:ILE:HG22	A:33:LEU:HD12	0.414
272	A:15:LEU:HD23	A:58:ILE:CD1	0.411
272	A:85:LYS:O	A:88:TYR:HB3	0.410
272	A:102:MET:O	A:106:MET:HG2	0.410
272	A:123:GLN:HG2	A:125:ARG:HG3	0.410
272	A:13:LEU:HA	A:28:GLY:O	0.409
272	A:114:PHE:O	A:117:SER:HB2	0.409
272	A:17:ILE:HG12	A:27:ILE:CG2	0.408
272	A:7:LEU:CD2	A:11:GLU:HB3	0.406
272	A:6:MET:HE1	A:97:ALA:HB1	0.405
272	A:124:LYS:HG3	A:126:TRP:CE2	0.404
272	A:6:MET:HE2	A:97:ALA:HB1	0.403
272	A:24:TYR:HD1	A:35:LYS:HB3	0.402
273	A:27:ILE:HG21	A:46:LEU:HD11	0.876
273	A:27:ILE:HD11	A:58:ILE:HG12	0.870

Model ID	Atom-1	Atom-2	Clash overlap (Å)
273	A:102:MET:HE2	A:106:MET:HE1	0.853
273	A:27:ILE:CD1	A:58:ILE:HG12	0.823
273	A:103:VAL:HG22	A:111:VAL:HG21	0.799
273	A:4:PHE:HD1	A:67:PHE:CD2	0.771
273	A:79:LEU:HD23	A:85:LYS:HG3	0.762
273	A:14:ARG:HB3	A:18:TYR:CE1	0.756
273	A:102:MET:HE1	A:133:LEU:HB3	0.754
273	A:93:ALA:HA	A:96:ARG:HB2	0.741
273	A:102:MET:HE3	A:138:TRP:CZ3	0.699
273	A:99:LEU:HD21	A:121:LEU:HD11	0.683
273	A:3:ILE:SG	A:97:ALA:SG	0.679
273	A:4:PHE:CD1	A:67:PHE:CD2	0.671
273	A:6:MET:HE1	A:98:ALA:HA	0.658
273	A:33:LEU:HD21	A:46:LEU:HD12	0.655
273	A:14:ARG:HB3	A:18:TYR:HE1	0.654
273	A:102:MET:CE	A:106:MET:HE1	0.640
273	A:50:ILE:HG21	A:54:THR:SG	0.627
273	A:118:LEU:HD13	A:121:LEU:HD12	0.619
273	A:98:ALA:HB1	A:153:PHE:CE1	0.614
273	A:7:LEU:HB3	A:29:ILE:HG21	0.597
273	A:29:ILE:HD12	A:67:PHE:HB2	0.571
273	A:81:ASN:HB3	A:84:LEU:HB2	0.569
273	A:7:LEU:HD13	A:11:GLU:HG3	0.557

Model ID	Atom-1	Atom-2	Clash overlap (Å)
273	A:99:LEU:HD21	A:121:LEU:CD1	0.551
273	A:1:MET:HE1	A:158:TRP:CE3	0.549
273	A:105:GLN:HG2	A:138:TRP:HD1	0.547
273	A:17:ILE:CG2	A:25:TYR:HD1	0.545
273	A:121:LEU:HG	A:126:TRP:HZ3	0.535
273	A:1:MET:CE	A:158:TRP:CZ3	0.534
273	A:24:TYR:CD2	A:32:LEU:HD11	0.531
273	A:1:MET:CE	A:158:TRP:CE3	0.526
273	A:7:LEU:CD1	A:11:GLU:HG3	0.525
273	A:83:LYS:HD3	A:118:LEU:HB3	0.525
273	A:25:TYR:HB3	A:33:LEU:HD12	0.524
273	A:26:THR:HG22	A:32:LEU:HA	0.524
273	A:79:LEU:CD2	A:85:LYS:HG3	0.519
273	A:1:MET:HG2	A:5:GLU:HB2	0.515
273	A:20:ASP:OD2	A:26:THR:HG21	0.515
273	A:97:ALA:HA	A:100:ILE:HB	0.508
273	A:121:LEU:HD22	A:129:ALA:HB2	0.507
273	A:127:ASP:O	A:131:VAL:HG23	0.507
273	A:14:ARG:CB	A:18:TYR:CE1	0.504
273	A:16:LYS:HG2	A:57:VAL:HG22	0.499
273	A:114:PHE:HB3	A:118:LEU:HD23	0.499
273	A:34:THR:HG21	A:41:ALA:HB3	0.497
273	A:121:LEU:HD21	A:129:ALA:HB1	0.494

Model ID	Atom-1	Atom-2	Clash overlap (Å)
273	A:1:MET:HE1	A:158:TRP:CZ3	0.493
273	A:106:MET:HE2	A:138:TRP:CG	0.492
273	A:33:LEU:HD13	A:42:ALA:HB1	0.485
273	A:98:ALA:CB	A:153:PHE:CE1	0.476
273	A:27:ILE:CG2	A:46:LEU:HD11	0.474
273	A:4:PHE:CZ	A:64:GLU:HG2	0.473
273	A:12:GLY:C	A:13:LEU:HD12	0.464
273	A:12:GLY:O	A:13:LEU:HD12	0.455
273	A:101:ASN:O	A:104:PHE:HB2	0.454
273	A:59:THR:H	A:62:GLU:HB2	0.453
273	A:25:TYR:O	A:33:LEU:HB2	0.449
273	A:94:VAL:HG11	A:156:GLY:C	0.446
273	A:4:PHE:HE1	A:29:ILE:HD11	0.445
273	A:102:MET:HE1	A:133:LEU:CB	0.444
273	A:93:ALA:HA	A:96:ARG:HD3	0.441
273	A:24:TYR:CE1	A:35:LYS:HB2	0.435
273	A:58:ILE:HD12	A:59:THR:O	0.434
273	A:1:MET:CG	A:5:GLU:HB2	0.433
273	A:139:TYR:CE1	A:150:ILE:HD12	0.433
273	A:121:LEU:HG	A:126:TRP:CZ3	0.429
273	A:150:ILE:HA	A:153:PHE:CD2	0.428
273	A:9:ILE:HG22	A:148:ARG:NH2	0.427
273	A:150:ILE:HG23	A:153:PHE:HD2	0.425

Model ID	Atom-1	Atom-2	Clash overlap (Å)
273	A:102:MET:HE3	A:138:TRP:CH2	0.424
273	A:117:SER:O	A:121:LEU:HD23	0.421
273	A:102:MET:HE3	A:138:TRP:CE3	0.418
273	A:1:MET:HE2	A:158:TRP:CE3	0.415
273	A:116:ASN:HB3	A:120:MET:HE2	0.413
273	A:97:ALA:HA	A:100:ILE:HD12	0.410
273	A:120:MET:O	A:123:GLN:HB3	0.410
273	A:60:LYS:O	A:63:ALA:HB3	0.409
273	A:84:LEU:O	A:88:TYR:HB2	0.408
273	A:99:LEU:HD12	A:153:PHE:CE1	0.407
273	A:27:ILE:HD12	A:58:ILE:HG12	0.406
273	A:13:LEU:HD21	A:63:ALA:HB1	0.405
273	A:121:LEU:CD2	A:129:ALA:HB1	0.404
273	A:8:ARG:O	A:12:GLY:HA2	0.404
274	A:103:VAL:HG22	A:111:VAL:HG21	1.174
274	A:27:ILE:HD11	A:58:ILE:HG12	1.057
274	A:1:MET:HG3	A:5:GLU:HB2	0.991
274	A:79:LEU:HD23	A:85:LYS:HG3	0.983
274	A:14:ARG:HB3	A:18:TYR:CE1	0.967
274	A:4:PHE:CZ	A:64:GLU:HG3	0.874
274	A:1:MET:HE3	A:6:MET:HB2	0.811
274	A:1:MET:HG3	A:5:GLU:CB	0.809
274	A:16:LYS:HG3	A:57:VAL:HG22	0.781

Model ID	Atom-1	Atom-2	Clash overlap (Å)
274	A:58:ILE:CD1	A:63:ALA:HB2	0.758
274	A:103:VAL:HG22	A:111:VAL:CG2	0.748
274	A:58:ILE:HD13	A:63:ALA:HB2	0.742
274	A:27:ILE:HG21	A:46:LEU:HD11	0.741
274	A:14:ARG:HB3	A:18:TYR:HE1	0.721
274	A:124:LYS:HG2	A:126:TRP:CZ2	0.696
274	A:102:MET:HE1	A:133:LEU:HB3	0.691
274	A:3:ILE:SG	A:97:ALA:SG	0.673
274	A:102:MET:HE3	A:138:TRP:CZ3	0.668
274	A:17:ILE:HG22	A:25:TYR:HD1	0.665
274	A:33:LEU:HD11	A:46:LEU:HD12	0.641
274	A:4:PHE:CE1	A:29:ILE:HD11	0.625
274	A:50:ILE:HG22	A:52:ARG:H	0.607
274	A:27:ILE:CD1	A:58:ILE:HG12	0.605
274	A:99:LEU:HD21	A:121:LEU:HD11	0.602
274	A:79:LEU:CD2	A:85:LYS:HG3	0.596
274	A:98:ALA:HB3	A:153:PHE:HE1	0.592
274	A:15:LEU:HD22	A:16:LYS:HD2	0.588
274	A:75:VAL:HG13	A:79:LEU:HD12	0.581
274	A:106:MET:HE2	A:138:TRP:CG	0.562
274	A:1:MET:HE2	A:158:TRP:CZ3	0.558
274	A:45:GLU:CD	A:48:LYS:HE3	0.557
274	A:16:LYS:CG	A:57:VAL:HG22	0.547

Model ID	Atom-1	Atom-2	Clash overlap (Å)
274	A:26:THR:HG22	A:32:LEU:HD12	0.546
274	A:4:PHE:HD1	A:67:PHE:CD2	0.545
274	A:33:LEU:CD1	A:42:ALA:HB1	0.544
274	A:99:LEU:HD12	A:153:PHE:CE1	0.532
274	A:1:MET:CE	A:158:TRP:CZ3	0.531
274	A:50:ILE:HG12	A:58:ILE:HG22	0.530
274	A:3:ILE:SG	A:100:ILE:HG21	0.525
274	A:33:LEU:HD12	A:42:ALA:HB1	0.520
274	A:50:ILE:HG13	A:62:GLU:OE1	0.514
274	A:4:PHE:CE1	A:64:GLU:HG3	0.510
274	A:87:VAL:HG22	A:122:GLN:HB2	0.504
274	A:127:ASP:O	A:131:VAL:HG23	0.502
274	A:98:ALA:HB3	A:153:PHE:CE1	0.497
274	A:114:PHE:HB3	A:117:SER:HB2	0.496
274	A:98:ALA:CB	A:153:PHE:CE1	0.493
274	A:79:LEU:O	A:85:LYS:HD3	0.487
274	A:94:VAL:HG22	A:158:TRP:CD1	0.475
274	A:1:MET:HE2	A:158:TRP:CE3	0.474
274	A:124:LYS:HG2	A:126:TRP:HZ2	0.473
274	A:50:ILE:HG21	A:54:THR:SG	0.470
274	A:67:PHE:O	A:71:VAL:HG23	0.470
274	A:46:LEU:HG	A:50:ILE:HD13	0.468
274	A:97:ALA:HA	A:100:ILE:HD12	0.468

Model ID	Atom-1	Atom-2	Clash overlap (Å)
274	A:4:PHE:CE1	A:29:ILE:CD1	0.461
274	A:98:ALA:CB	A:153:PHE:HE1	0.460
274	A:105:GLN:HG2	A:138:TRP:HD1	0.458
274	A:152:THR:HG23	A:157:THR:O	0.454
274	A:6:MET:HG3	A:161:TYR:CE2	0.453
274	A:116:ASN:O	A:120:MET:HG2	0.452
274	A:17:ILE:CG2	A:25:TYR:HD1	0.446
274	A:4:PHE:CE1	A:64:GLU:HA	0.439
274	A:50:ILE:HG13	A:62:GLU:CD	0.439
274	A:16:LYS:HA	A:56:GLY:O	0.437
274	A:78:ILE:HD13	A:84:LEU:HG	0.434
274	A:44:SER:O	A:48:LYS:HG2	0.428
274	A:12:GLY:C	A:13:LEU:HD12	0.427
274	A:102:MET:CE	A:106:MET:HE1	0.420
274	A:93:ALA:HA	A:96:ARG:HB2	0.418
274	A:97:ALA:O	A:100:ILE:HB	0.417
274	A:99:LEU:HD12	A:153:PHE:CZ	0.416
274	A:121:LEU:HD22	A:129:ALA:HB2	0.415
274	A:6:MET:HE1	A:98:ALA:HA	0.411
274	A:12:GLY:O	A:13:LEU:HD12	0.408
274	A:7:LEU:HA	A:10:ASP:HB2	0.404
275	A:17:ILE:HD12	A:43:LYS:HD3	1.141
275	A:27:ILE:HG23	A:33:LEU:HD12	1.094

Model ID	Atom-1	Atom-2	Clash overlap (Å)
275	A:130:ALA:HB1	A:150:ILE:HG23	1.061
275	A:58:ILE:HD12	A:63:ALA:HB2	0.924
275	A:27:ILE:CG2	A:33:LEU:HD12	0.853
275	A:6:MET:HG3	A:161:TYR:CE2	0.830
275	A:106:MET:SD	A:114:PHE:HE1	0.794
275	A:27:ILE:HG13	A:31:HIS:HB3	0.783
275	A:124:LYS:HG3	A:126:TRP:CZ2	0.775
275	A:130:ALA:CB	A:150:ILE:HG23	0.766
275	A:3:ILE:SG	A:97:ALA:SG	0.761
275	A:17:ILE:HD12	A:43:LYS:CD	0.735
275	A:16:LYS:CG	A:57:VAL:HG22	0.723
275	A:17:ILE:CD1	A:43:LYS:HD3	0.710
275	A:25:TYR:CE1	A:39:LEU:HD13	0.699
275	A:142:THR:HG21	A:145:ARG:HB2	0.688
275	A:150:ILE:HA	A:153:PHE:HD2	0.681
275	A:6:MET:HE3	A:7:LEU:HD12	0.677
275	A:106:MET:SD	A:114:PHE:CE1	0.667
275	A:130:ALA:HB1	A:150:ILE:CG2	0.655
275	A:87:VAL:HG11	A:118:LEU:HD21	0.647
275	A:63:ALA:HA	A:67:PHE:HB3	0.644
275	A:1:MET:CG	A:5:GLU:HB2	0.639
275	A:133:LEU:HB3	A:138:TRP:HZ3	0.637
275	A:81:ASN:HD22	A:84:LEU:HB2	0.625

Model ID	Atom-1	Atom-2	Clash overlap (Å)
275	A:114:PHE:HB3	A:117:SER:HB2	0.618
275	A:27:ILE:CG1	A:31:HIS:HB3	0.606
275	A:95:ARG:HD2	A:126:TRP:CG	0.597
275	A:33:LEU:HD11	A:46:LEU:HG	0.590
275	A:95:ARG:HD3	A:153:PHE:HD1	0.588
275	A:13:LEU:HG	A:29:ILE:HG23	0.587
275	A:16:LYS:HG3	A:57:VAL:HA	0.586
275	A:1:MET:HE1	A:158:TRP:CE3	0.570
275	A:95:ARG:HD2	A:126:TRP:CD2	0.568
275	A:6:MET:HG3	A:161:TYR:CZ	0.563
275	A:1:MET:HG2	A:5:GLU:HB2	0.557
275	A:10:ASP:HB3	A:145:ARG:HG3	0.556
275	A:17:ILE:CG1	A:27:ILE:HG22	0.555
275	A:15:LEU:HD11	A:29:ILE:HG13	0.552
275	A:7:LEU:HD22	A:11:GLU:CB	0.549
275	A:142:THR:HG22	A:145:ARG:H	0.548
275	A:142:THR:CG2	A:145:ARG:HB2	0.544
275	A:58:ILE:HD12	A:63:ALA:CB	0.542
275	A:148:ARG:HB3	A:161:TYR:CE1	0.541
275	A:124:LYS:CG	A:126:TRP:CZ2	0.539
275	A:1:MET:CE	A:158:TRP:CE3	0.536
275	A:81:ASN:HB3	A:84:LEU:HB2	0.536
275	A:133:LEU:HD22	A:138:TRP:CE3	0.530

Model ID	Atom-1	Atom-2	Clash overlap (Å)
275	A:16:LYS:HG2	A:57:VAL:HG22	0.521
275	A:102:MET:HE1	A:133:LEU:CD2	0.519
275	A:1:MET:HE1	A:6:MET:HB2	0.514
275	A:19:LYS:HB3	A:25:TYR:CZ	0.510
275	A:7:LEU:HD22	A:11:GLU:HB2	0.508
275	A:27:ILE:HD13	A:33:LEU:HD23	0.503
275	A:95:ARG:HD3	A:153:PHE:CD1	0.502
275	A:67:PHE:HA	A:70:ASP:HB2	0.501
275	A:15:LEU:CD1	A:29:ILE:HG13	0.500
275	A:98:ALA:O	A:102:MET:HG3	0.497
275	A:17:ILE:HG12	A:27:ILE:CG2	0.495
275	A:149:VAL:HG12	A:153:PHE:CE2	0.493
275	A:139:TYR:HD1	A:146:ALA:HB1	0.492
275	A:15:LEU:HB3	A:58:ILE:HG13	0.484
275	A:6:MET:HE3	A:7:LEU:CD1	0.482
275	A:102:MET:HE1	A:133:LEU:HD21	0.478
275	A:6:MET:SD	A:158:TRP:HZ3	0.478
275	A:10:ASP:HB3	A:145:ARG:CG	0.474
275	A:87:VAL:HG11	A:118:LEU:CD2	0.474
275	A:6:MET:CE	A:7:LEU:HD12	0.471
275	A:55:ASN:O	A:57:VAL:HG23	0.459
275	A:59:THR:OG1	A:62:GLU:HB3	0.459
275	A:39:LEU:HD11	A:43:LYS:HE3	0.458

Model ID	Atom-1	Atom-2	Clash overlap (Å)
275	A:31:HIS:HE1	A:78:ILE:HD13	0.455
275	A:33:LEU:CD1	A:46:LEU:HG	0.452
275	A:16:LYS:HG3	A:57:VAL:HG22	0.452
275	A:139:TYR:CD1	A:146:ALA:CB	0.449
275	A:111:VAL:HA	A:114:PHE:CD1	0.441
275	A:106:MET:HG3	A:110:GLY:HA3	0.440
275	A:25:TYR:OH	A:39:LEU:HB2	0.437
275	A:116:ASN:HB3	A:120:MET:HE1	0.437
275	A:25:TYR:CZ	A:39:LEU:HB2	0.433
275	A:50:ILE:HG13	A:54:THR:SG	0.431
275	A:106:MET:HB3	A:106:MET:HE3	0.431
275	A:55:ASN:HB3	A:57:VAL:HG23	0.430
275	A:7:LEU:HD22	A:11:GLU:HB3	0.425
275	A:87:VAL:HG21	A:118:LEU:HD21	0.423
275	A:101:ASN:O	A:104:PHE:HB2	0.415
275	A:86:PRO:HA	A:89:ASP:HB2	0.413
275	A:132:ASN:OD1	A:133:LEU:HD12	0.413
275	A:1:MET:CE	A:6:MET:HB2	0.412
275	A:139:TYR:CD1	A:146:ALA:HB1	0.411
275	A:107:GLY:O	A:111:VAL:HG23	0.410
275	A:133:LEU:HD22	A:138:TRP:CZ3	0.407
275	A:27:ILE:HD11	A:31:HIS:ND1	0.406
275	A:66:LEU:HA	A:66:LEU:HD23	0.406

Model ID	Atom-1	Atom-2	Clash overlap (Å)
275	A:158:TRP:O	A:161:TYR:HB2	0.406
275	A:13:LEU:CG	A:29:ILE:HG23	0.405
275	A:65:LYS:HB2	A:66:LEU:HD12	0.405
275	A:17:ILE:HB	A:43:LYS:HD3	0.401
275	A:117:SER:O	A:121:LEU:HD23	0.401
276	A:1:MET:HG3	A:5:GLU:HB2	1.007
276	A:14:ARG:HB3	A:18:TYR:HE1	0.970
276	A:79:LEU:HD22	A:85:LYS:HG3	0.969
276	A:16:LYS:HG2	A:57:VAL:HG22	0.883
276	A:102:MET:HE1	A:133:LEU:HB3	0.841
276	A:1:MET:HG3	A:5:GLU:CB	0.801
276	A:139:TYR:HD1	A:146:ALA:HB1	0.782
276	A:4:PHE:HZ	A:64:GLU:HG3	0.704
276	A:14:ARG:HB3	A:18:TYR:CE1	0.700
276	A:63:ALA:HA	A:66:LEU:HB2	0.686
276	A:3:ILE:SG	A:97:ALA:SG	0.686
276	A:124:LYS:HG2	A:126:TRP:CZ2	0.670
276	A:139:TYR:CD1	A:146:ALA:HB1	0.665
276	A:79:LEU:CD2	A:85:LYS:HG3	0.649
276	A:4:PHE:CD1	A:67:PHE:HD2	0.619
276	A:7:LEU:HB3	A:29:ILE:HG21	0.614
276	A:4:PHE:HE1	A:29:ILE:CD1	0.610
276	A:103:VAL:HG22	A:111:VAL:CG2	0.609

Model ID	Atom-1	Atom-2	Clash overlap (Å)
276	A:17:ILE:HG22	A:25:TYR:HD1	0.608
276	A:6:MET:HB2	A:158:TRP:HZ3	0.607
276	A:46:LEU:HD21	A:66:LEU:HD21	0.602
276	A:103:VAL:HG22	A:111:VAL:HG22	0.598
276	A:14:ARG:CB	A:18:TYR:HE1	0.597
276	A:52:ARG:HB2	A:54:THR:SG	0.587
276	A:81:ASN:HB3	A:84:LEU:HB2	0.583
276	A:18:TYR:HE2	A:105:GLN:HE22	0.572
276	A:4:PHE:CD1	A:67:PHE:CD2	0.565
276	A:1:MET:HE3	A:6:MET:HB2	0.560
276	A:50:ILE:HG21	A:54:THR:SG	0.559
276	A:25:TYR:CZ	A:39:LEU:HB2	0.543
276	A:17:ILE:CG2	A:25:TYR:HD1	0.542
276	A:29:ILE:HD12	A:67:PHE:CB	0.542
276	A:105:GLN:HG2	A:138:TRP:HD1	0.541
276	A:124:LYS:HG2	A:126:TRP:CH2	0.540
276	A:46:LEU:HD11	A:66:LEU:HD11	0.531
276	A:7:LEU:HB3	A:29:ILE:CG2	0.529
276	A:136:SER:HB2	A:138:TRP:HB3	0.529
276	A:1:MET:HE2	A:158:TRP:CZ3	0.515
276	A:45:GLU:OE1	A:48:LYS:HE3	0.515
276	A:27:ILE:HG22	A:33:LEU:HD21	0.512
276	A:1:MET:HE1	A:161:TYR:HB3	0.510

Model ID	Atom-1	Atom-2	Clash overlap (Å)
276	A:150:ILE:HA	A:153:PHE:HB2	0.505
276	A:81:ASN:OD1	A:83:LYS:HG3	0.504
276	A:4:PHE:HE1	A:29:ILE:HD11	0.499
276	A:33:LEU:HD13	A:42:ALA:C	0.497
276	A:138:TRP:HE1	A:145:ARG:CZ	0.497
276	A:4:PHE:HD1	A:67:PHE:CD2	0.494
276	A:10:ASP:HA	A:148:ARG:HH21	0.493
276	A:84:LEU:O	A:88:TYR:HB2	0.493
276	A:102:MET:HE3	A:138:TRP:CZ3	0.488
276	A:45:GLU:CD	A:48:LYS:HE3	0.481
276	A:59:THR:H	A:62:GLU:HB2	0.480
276	A:94:VAL:HG22	A:158:TRP:CD1	0.479
276	A:50:ILE:HG22	A:52:ARG:HG3	0.477
276	A:105:GLN:HG2	A:138:TRP:CD1	0.473
276	A:4:PHE:CE1	A:29:ILE:CD1	0.470
276	A:13:LEU:HD13	A:60:LYS:HG3	0.469
276	A:86:PRO:O	A:89:ASP:HB2	0.467
276	A:33:LEU:CD1	A:42:ALA:HB1	0.463
276	A:127:ASP:O	A:131:VAL:HG23	0.458
276	A:29:ILE:HB	A:67:PHE:CD1	0.454
276	A:152:THR:HG23	A:157:THR:O	0.452
276	A:6:MET:HE1	A:98:ALA:HA	0.451
276	A:65:LYS:HB2	A:65:LYS:HE2	0.451

Model ID	Atom-1	Atom-2	Clash overlap (Å)
276	A:88:TYR:OH	A:100:ILE:HG13	0.450
276	A:67:PHE:HA	A:70:ASP:HB3	0.445
276	A:75:VAL:O	A:79:LEU:HB2	0.445
276	A:16:LYS:HA	A:56:GLY:O	0.443
276	A:101:ASN:O	A:104:PHE:HB2	0.443
276	A:3:ILE:SG	A:100:ILE:HD13	0.442
276	A:4:PHE:CZ	A:64:GLU:HG3	0.436
276	A:159:ASP:OD1	A:162:LYS:HE3	0.435
276	A:1:MET:CE	A:158:TRP:CZ3	0.434
276	A:27:ILE:HD12	A:56:GLY:HA2	0.433
276	A:3:ILE:SG	A:100:ILE:HG21	0.432
276	A:14:ARG:HB2	A:28:GLY:O	0.431
276	A:139:TYR:CD1	A:146:ALA:CB	0.431
276	A:39:LEU:O	A:39:LEU:HD12	0.429
276	A:116:ASN:HB3	A:120:MET:HE2	0.428
276	A:6:MET:HG3	A:161:TYR:CE2	0.427
276	A:12:GLY:O	A:13:LEU:HD23	0.425
276	A:15:LEU:O	A:58:ILE:HG12	0.419
276	A:33:LEU:HD13	A:42:ALA:HB1	0.414
276	A:95:ARG:HD3	A:153:PHE:HD1	0.412
276	A:12:GLY:O	A:29:ILE:HG12	0.411
276	A:148:ARG:HA	A:151:THR:HB	0.408
276	A:13:LEU:HG	A:63:ALA:HB3	0.406

Model ID	Atom-1	Atom-2	Clash overlap (Å)
276	A:26:THR:HA	A:31:HIS:O	0.406
276	A:121:LEU:HD22	A:129:ALA:HB2	0.403
277	A:130:ALA:HB1	A:150:ILE:HG23	1.162
277	A:7:LEU:HD22	A:11:GLU:HB2	1.156
277	A:17:ILE:HD12	A:43:LYS:HD3	1.125
277	A:10:ASP:HB3	A:145:ARG:HG2	1.111
277	A:16:LYS:HG3	A:57:VAL:HG22	1.103
277	A:17:ILE:HG12	A:27:ILE:HG22	0.933
277	A:27:ILE:CG2	A:33:LEU:HD12	0.853
277	A:27:ILE:HG13	A:31:HIS:HB2	0.847
277	A:103:VAL:HG22	A:111:VAL:HG21	0.843
277	A:27:ILE:HG21	A:33:LEU:HD12	0.819
277	A:103:VAL:HG22	A:111:VAL:CG2	0.803
277	A:17:ILE:CD1	A:43:LYS:HD3	0.799
277	A:130:ALA:CB	A:150:ILE:HG23	0.788
277	A:16:LYS:CG	A:57:VAL:HG22	0.783
277	A:15:LEU:HD23	A:63:ALA:HB1	0.780
277	A:17:ILE:CG1	A:27:ILE:HG22	0.778
277	A:81:ASN:HB3	A:84:LEU:HB2	0.771
277	A:22:GLU:HB3	A:24:TYR:CE2	0.749
277	A:15:LEU:CD2	A:63:ALA:HB1	0.739
277	A:39:LEU:HD11	A:43:LYS:HE3	0.735
277	A:3:ILE:SG	A:97:ALA:SG	0.717

Model ID	Atom-1	Atom-2	Clash overlap (Å)
277	A:17:ILE:HG12	A:27:ILE:CG2	0.687
277	A:106:MET:SD	A:114:PHE:CE1	0.681
277	A:15:LEU:HD23	A:58:ILE:HD11	0.673
277	A:102:MET:HB3	A:106:MET:HE3	0.654
277	A:1:MET:HE1	A:158:TRP:CE3	0.650
277	A:133:LEU:HB3	A:138:TRP:HZ3	0.650
277	A:15:LEU:CD2	A:58:ILE:HD11	0.648
277	A:15:LEU:HD23	A:58:ILE:CD1	0.642
277	A:63:ALA:HA	A:67:PHE:HB3	0.638
277	A:11:GLU:HA	A:145:ARG:HD2	0.636
277	A:139:TYR:HE1	A:150:ILE:CD1	0.623
277	A:6:MET:SD	A:158:TRP:HZ3	0.623
277	A:106:MET:HE2	A:138:TRP:CG	0.619
277	A:10:ASP:CB	A:145:ARG:HG2	0.618
277	A:58:ILE:HD12	A:63:ALA:CB	0.610
277	A:25:TYR:CE1	A:39:LEU:HB2	0.608
277	A:139:TYR:HE1	A:150:ILE:HD12	0.603
277	A:124:LYS:HG2	A:126:TRP:CZ2	0.598
277	A:33:LEU:HG	A:46:LEU:HG	0.596
277	A:19:LYS:HB3	A:25:TYR:CE1	0.593
277	A:19:LYS:HB3	A:25:TYR:CZ	0.591
277	A:7:LEU:HG	A:104:PHE:CD2	0.590
277	A:16:LYS:HG3	A:57:VAL:CG2	0.589

Model ID	Atom-1	Atom-2	Clash overlap (Å)
277	A:7:LEU:CD2	A:11:GLU:HB2	0.579
277	A:123:GLN:HG3	A:125:ARG:HE	0.574
277	A:103:VAL:CG2	A:111:VAL:HG21	0.564
277	A:15:LEU:HD23	A:63:ALA:CB	0.560
277	A:13:LEU:HG	A:29:ILE:HG23	0.555
277	A:130:ALA:HB1	A:150:ILE:CG2	0.552
277	A:25:TYR:CZ	A:39:LEU:HB2	0.549
277	A:4:PHE:CZ	A:29:ILE:HD13	0.548
277	A:144:ASN:HB3	A:148:ARG:HH12	0.548
277	A:95:ARG:HD3	A:153:PHE:HD1	0.540
277	A:67:PHE:CE2	A:71:VAL:HG21	0.532
277	A:103:VAL:HG22	A:111:VAL:HG22	0.522
277	A:123:GLN:HE21	A:125:ARG:HH21	0.518
277	A:95:ARG:HD3	A:153:PHE:CD1	0.514
277	A:27:ILE:HG12	A:33:LEU:HD23	0.512
277	A:55:ASN:O	A:57:VAL:HG23	0.512
277	A:150:ILE:HA	A:153:PHE:HD2	0.509
277	A:102:MET:O	A:106:MET:HG2	0.507
277	A:4:PHE:CE1	A:29:ILE:HG21	0.503
277	A:4:PHE:CE2	A:13:LEU:HD21	0.501
277	A:77:GLY:O	A:80:ARG:HG2	0.501
277	A:6:MET:HG3	A:161:TYR:CE2	0.499
277	A:46:LEU:O	A:50:ILE:HD12	0.497

Model ID	Atom-1	Atom-2	Clash overlap (Å)
277	A:132:ASN:OD1	A:133:LEU:HD12	0.497
277	A:2:ASN:O	A:5:GLU:HB2	0.495
277	A:58:ILE:HD12	A:63:ALA:HB2	0.493
277	A:99:LEU:HD23	A:102:MET:SD	0.493
277	A:81:ASN:HB3	A:84:LEU:CB	0.492
277	A:25:TYR:HB2	A:34:THR:HG22	0.490
277	A:17:ILE:HG22	A:25:TYR:HD1	0.485
277	A:4:PHE:CZ	A:29:ILE:HG21	0.479
277	A:4:PHE:CZ	A:13:LEU:HD21	0.474
277	A:27:ILE:HG23	A:33:LEU:HB2	0.474
277	A:50:ILE:HG22	A:52:ARG:H	0.474
277	A:142:THR:CG2	A:145:ARG:HB2	0.472
277	A:6:MET:SD	A:158:TRP:CZ3	0.467
277	A:4:PHE:HZ	A:29:ILE:HD13	0.466
277	A:115:THR:HA	A:118:LEU:HB2	0.466
277	A:47:ASP:OD1	A:50:ILE:HD13	0.464
277	A:6:MET:HE1	A:97:ALA:O	0.461
277	A:117:SER:O	A:121:LEU:HG	0.461
277	A:133:LEU:HB3	A:138:TRP:CZ3	0.460
277	A:142:THR:HG22	A:145:ARG:H	0.460
277	A:34:THR:HG21	A:42:ALA:CB	0.458
277	A:67:PHE:CE2	A:71:VAL:CG2	0.456
277	A:27:ILE:HG13	A:31:HIS:CB	0.454

Model ID	Atom-1	Atom-2	Clash overlap (Å)
277	A:47:ASP:HA	A:50:ILE:HD12	0.454
277	A:98:ALA:O	A:102:MET:HG3	0.450
277	A:25:TYR:CE1	A:39:LEU:HD13	0.448
277	A:142:THR:HB	A:145:ARG:HB2	0.442
277	A:1:MET:HG3	A:5:GLU:HB3	0.441
277	A:138:TRP:HA	A:141:GLN:HB2	0.439
277	A:127:ASP:O	A:131:VAL:HG23	0.435
277	A:25:TYR:HB2	A:34:THR:CG2	0.434
277	A:17:ILE:CG2	A:25:TYR:HD1	0.432
277	A:102:MET:HE3	A:138:TRP:CZ3	0.430
277	A:66:LEU:O	A:66:LEU:HD13	0.426
277	A:1:MET:HG2	A:5:GLU:HB2	0.422
277	A:14:ARG:HB3	A:18:TYR:CE1	0.420
277	A:155:THR:O	A:157:THR:HG23	0.418
277	A:50:ILE:HG22	A:52:ARG:N	0.416
277	A:124:LYS:HG2	A:126:TRP:CH2	0.414
277	A:15:LEU:HD21	A:67:PHE:CE1	0.410
277	A:95:ARG:HD2	A:126:TRP:CE3	0.410
277	A:73:ALA:O	A:76:ARG:HB3	0.407
277	A:133:LEU:HA	A:133:LEU:HD23	0.403
277	A:95:ARG:HD2	A:126:TRP:CD2	0.401
278	A:17:ILE:HD12	A:43:LYS:HD3	1.161
278	A:27:ILE:HG23	A:33:LEU:HD12	1.096

Model ID	Atom-1	Atom-2	Clash overlap (Å)
278	A:10:ASP:HB3	A:145:ARG:HG3	1.041
278	A:16:LYS:HG3	A:57:VAL:HG22	1.005
278	A:130:ALA:HB1	A:150:ILE:HG23	0.962
278	A:27:ILE:HG13	A:31:HIS:HB3	0.882
278	A:27:ILE:CG2	A:33:LEU:HD12	0.846
278	A:130:ALA:CB	A:150:ILE:HG23	0.840
278	A:1:MET:HG2	A:5:GLU:HB2	0.798
278	A:6:MET:HG3	A:161:TYR:CE2	0.794
278	A:10:ASP:HB3	A:145:ARG:CG	0.775
278	A:106:MET:SD	A:114:PHE:HE1	0.770
278	A:133:LEU:HB3	A:138:TRP:HZ3	0.744
278	A:13:LEU:HG	A:29:ILE:HG23	0.726
278	A:3:ILE:SG	A:97:ALA:SG	0.709
278	A:14:ARG:HB2	A:18:TYR:HE1	0.702
278	A:27:ILE:CG1	A:31:HIS:HB3	0.684
278	A:10:ASP:CB	A:145:ARG:HG3	0.672
278	A:106:MET:SD	A:114:PHE:CE1	0.665
278	A:11:GLU:HG2	A:30:GLY:HA3	0.664
278	A:88:TYR:HD1	A:99:LEU:HD13	0.664
278	A:6:MET:HG3	A:161:TYR:CZ	0.639
278	A:25:TYR:CZ	A:39:LEU:HB2	0.634
278	A:16:LYS:HG3	A:57:VAL:CG2	0.632
278	A:1:MET:CG	A:5:GLU:HB2	0.628

Model ID	Atom-1	Atom-2	Clash overlap (Å)
278	A:81:ASN:HB3	A:84:LEU:HB2	0.625
278	A:15:LEU:HD11	A:29:ILE:HG13	0.602
278	A:116:ASN:HB3	A:120:MET:HE1	0.602
278	A:1:MET:HE1	A:158:TRP:CE3	0.590
278	A:6:MET:SD	A:158:TRP:HZ3	0.583
278	A:130:ALA:HB1	A:150:ILE:CG2	0.582
278	A:15:LEU:HA	A:28:GLY:HA2	0.576
278	A:13:LEU:CG	A:29:ILE:HG23	0.553
278	A:14:ARG:HB2	A:18:TYR:CE1	0.551
278	A:4:PHE:CZ	A:29:ILE:HD13	0.546
278	A:27:ILE:HD13	A:33:LEU:HD23	0.544
278	A:50:ILE:HG13	A:54:THR:SG	0.540
278	A:50:ILE:HG22	A:52:ARG:H	0.531
278	A:1:MET:CE	A:158:TRP:CE3	0.526
278	A:25:TYR:CD1	A:39:LEU:HD13	0.521
278	A:106:MET:HG3	A:110:GLY:HA3	0.518
278	A:26:THR:HG23	A:31:HIS:C	0.513
278	A:50:ILE:HG22	A:52:ARG:HB2	0.510
278	A:130:ALA:HB1	A:150:ILE:HG12	0.510
278	A:24:TYR:HB2	A:32:LEU:HD11	0.509
278	A:134:ALA:HA	A:139:TYR:CG	0.505
278	A:79:LEU:HD22	A:85:LYS:HG2	0.502
278	A:142:THR:HG21	A:145:ARG:HB2	0.496

Model ID	Atom-1	Atom-2	Clash overlap (Å)
278	A:98:ALA:O	A:102:MET:HG3	0.492
278	A:81:ASN:HD22	A:84:LEU:HB2	0.491
278	A:24:TYR:HB3	A:34:THR:O	0.485
278	A:17:ILE:CG1	A:27:ILE:HG22	0.484
278	A:25:TYR:CE1	A:39:LEU:HD13	0.481
278	A:133:LEU:HB3	A:138:TRP:CZ3	0.481
278	A:145:ARG:O	A:149:VAL:HG23	0.476
278	A:95:ARG:HD3	A:153:PHE:CD1	0.468
278	A:4:PHE:CE2	A:13:LEU:HD21	0.467
278	A:50:ILE:CG2	A:52:ARG:HB2	0.461
278	A:29:ILE:HD12	A:67:PHE:CD1	0.456
278	A:59:THR:OG1	A:62:GLU:HB3	0.452
278	A:149:VAL:HG12	A:153:PHE:HE2	0.450
278	A:15:LEU:HB3	A:58:ILE:HG13	0.448
278	A:27:ILE:HD11	A:31:HIS:ND1	0.448
278	A:4:PHE:CZ	A:29:ILE:HG21	0.441
278	A:149:VAL:HG12	A:153:PHE:CE2	0.433
278	A:13:LEU:HG	A:29:ILE:HA	0.430
278	A:114:PHE:HB3	A:117:SER:HB2	0.428
278	A:1:MET:HG2	A:5:GLU:CB	0.426
278	A:97:ALA:HA	A:100:ILE:HD12	0.424
278	A:155:THR:O	A:157:THR:HG23	0.424
278	A:42:ALA:O	A:46:LEU:HB2	0.423

Model ID	Atom-1	Atom-2	Clash overlap (Å)
278	A:111:VAL:HA	A:114:PHE:CD1	0.423
278	A:142:THR:CG2	A:145:ARG:HB2	0.421
278	A:95:ARG:HD3	A:153:PHE:HD1	0.420
278	A:15:LEU:O	A:57:VAL:HA	0.417
278	A:7:LEU:HG	A:104:PHE:CE2	0.416
278	A:130:ALA:HB3	A:150:ILE:HG23	0.414
278	A:47:ASP:OD2	A:53:ASN:HA	0.412
278	A:10:ASP:HA	A:148:ARG:HH21	0.411
278	A:16:LYS:HA	A:56:GLY:O	0.410
278	A:88:TYR:CD1	A:99:LEU:HD13	0.407
278	A:127:ASP:O	A:131:VAL:HG23	0.407
278	A:6:MET:SD	A:158:TRP:CZ3	0.407
278	A:127:ASP:OD1	A:154:ARG:HB2	0.402
278	A:139:TYR:O	A:143:PRO:HD3	0.401
279	A:34:THR:HG21	A:42:ALA:HB2	1.079
279	A:8:ARG:HB3	A:13:LEU:HB2	1.039
279	A:33:LEU:HD21	A:46:LEU:HB2	0.975
279	A:151:THR:HG21	A:160:ALA:HB2	0.941
279	A:19:LYS:HB3	A:25:TYR:CE2	0.916
279	A:16:LYS:HG2	A:57:VAL:HG22	0.895
279	A:114:PHE:HB3	A:118:LEU:HD13	0.889
279	A:6:MET:HE2	A:7:LEU:HD12	0.888
279	A:88:TYR:CE1	A:96:ARG:HG3	0.877

Model ID	Atom-1	Atom-2	Clash overlap (Å)
279	A:97:ALA:HB3	A:158:TRP:HH2	0.863
279	A:1:MET:HG3	A:5:GLU:HB3	0.860
279	A:8:ARG:HB3	A:13:LEU:CB	0.847
279	A:6:MET:CE	A:7:LEU:HD12	0.831
279	A:151:THR:CG2	A:160:ALA:HB2	0.797
279	A:91:LEU:CD1	A:92:ASP:HB2	0.783
279	A:118:LEU:HD23	A:121:LEU:HD12	0.774
279	A:33:LEU:HD11	A:46:LEU:HG	0.770
279	A:91:LEU:HD13	A:92:ASP:HB2	0.763
279	A:94:VAL:HG13	A:158:TRP:CZ2	0.745
279	A:58:ILE:HD12	A:63:ALA:HB2	0.735
279	A:3:ILE:SG	A:97:ALA:SG	0.715
279	A:123:GLN:HB3	A:125:ARG:HG3	0.711
279	A:121:LEU:HD22	A:129:ALA:CB	0.702
279	A:33:LEU:HB3	A:34:THR:HG22	0.700
279	A:34:THR:HG21	A:42:ALA:CB	0.693
279	A:1:MET:CG	A:5:GLU:HB3	0.689
279	A:97:ALA:HB3	A:158:TRP:CH2	0.686
279	A:97:ALA:HA	A:100:ILE:HD12	0.683
279	A:121:LEU:HD22	A:129:ALA:HB1	0.676
279	A:50:ILE:HG22	A:52:ARG:H	0.662
279	A:58:ILE:CD1	A:63:ALA:HB2	0.659
279	A:118:LEU:HD23	A:121:LEU:CD1	0.659

Model ID	Atom-1	Atom-2	Clash overlap (Å)
279	A:97:ALA:CB	A:158:TRP:HH2	0.652
279	A:152:THR:HG21	A:158:TRP:CZ3	0.642
279	A:1:MET:HE3	A:6:MET:HB2	0.637
279	A:1:MET:CE	A:6:MET:HB2	0.630
279	A:14:ARG:HB3	A:18:TYR:CD1	0.624
279	A:26:THR:HG23	A:32:LEU:CD1	0.594
279	A:94:VAL:HG13	A:158:TRP:CE2	0.585
279	A:27:ILE:HG23	A:31:HIS:HB2	0.583
279	A:98:ALA:HB3	A:153:PHE:CE1	0.583
279	A:84:LEU:HD22	A:99:LEU:HD21	0.575
279	A:116:ASN:HB3	A:120:MET:HE1	0.572
279	A:1:MET:HG3	A:5:GLU:CB	0.564
279	A:32:LEU:HD23	A:34:THR:H	0.558
279	A:27:ILE:HG23	A:31:HIS:CB	0.556
279	A:114:PHE:CB	A:118:LEU:HD13	0.556
279	A:26:THR:HG23	A:32:LEU:HD13	0.555
279	A:142:THR:HB	A:145:ARG:HB3	0.554
279	A:121:LEU:CD2	A:129:ALA:HB1	0.546
279	A:63:ALA:HA	A:66:LEU:HB2	0.539
279	A:102:MET:HE1	A:121:LEU:HD11	0.538
279	A:6:MET:HG3	A:161:TYR:CE2	0.531
279	A:30:GLY:HA2	A:70:ASP:HB2	0.531
279	A:124:LYS:HG3	A:126:TRP:CH2	0.529

Model ID	Atom-1	Atom-2	Clash overlap (Å)
279	A:33:LEU:HD21	A:46:LEU:CB	0.525
279	A:88:TYR:HB2	A:99:LEU:HD23	0.522
279	A:8:ARG:CB	A:13:LEU:HB2	0.518
279	A:98:ALA:O	A:102:MET:HG3	0.516
279	A:121:LEU:HD22	A:129:ALA:HB2	0.515
279	A:79:LEU:HA	A:85:LYS:HB2	0.507
279	A:91:LEU:HD12	A:92:ASP:HB2	0.507
279	A:6:MET:SD	A:97:ALA:HB1	0.507
279	A:88:TYR:HE1	A:96:ARG:HG3	0.506
279	A:15:LEU:HB3	A:58:ILE:O	0.504
279	A:15:LEU:HG	A:59:THR:C	0.502
279	A:91:LEU:CD1	A:126:TRP:HH2	0.497
279	A:114:PHE:HZ	A:138:TRP:HB3	0.494
279	A:79:LEU:HD23	A:85:LYS:HG3	0.487
279	A:114:PHE:HD2	A:117:SER:HB2	0.485
279	A:105:GLN:HG2	A:106:MET:HE3	0.479
279	A:118:LEU:HA	A:121:LEU:HD12	0.472
279	A:102:MET:HE3	A:138:TRP:CZ3	0.465
279	A:19:LYS:CB	A:25:TYR:CE2	0.462
279	A:87:VAL:HG21	A:122:GLN:HA	0.461
279	A:6:MET:HE1	A:7:LEU:HD12	0.458
279	A:15:LEU:HD21	A:60:LYS:HA	0.456
279	A:74:ALA:O	A:78:ILE:HG12	0.455

Model ID	Atom-1	Atom-2	Clash overlap (Å)
279	A:7:LEU:HD11	A:100:ILE:HG21	0.454
279	A:38:SER:HB3	A:41:ALA:HB3	0.452
279	A:7:LEU:HB3	A:13:LEU:HD22	0.451
279	A:117:SER:O	A:121:LEU:HD23	0.450
279	A:79:LEU:CD2	A:85:LYS:HG3	0.446
279	A:98:ALA:CB	A:153:PHE:CE1	0.446
279	A:138:TRP:HZ2	A:149:VAL:HG21	0.446
279	A:27:ILE:CG2	A:31:HIS:HB2	0.445
279	A:97:ALA:O	A:100:ILE:HB	0.444
279	A:148:ARG:HB3	A:161:TYR:CZ	0.444
279	A:119:ARG:HA	A:122:GLN:OE1	0.441
279	A:7:LEU:HG	A:29:ILE:HD11	0.440
279	A:1:MET:HE1	A:158:TRP:CE3	0.438
279	A:73:ALA:O	A:76:ARG:HB3	0.436
279	A:1:MET:H3	A:158:TRP:CD1	0.435
279	A:55:ASN:HB3	A:57:VAL:HG23	0.434
279	A:92:ASP:O	A:96:ARG:HB2	0.430
279	A:91:LEU:HG	A:124:LYS:HD2	0.424
279	A:148:ARG:HD2	A:161:TYR:CE1	0.423
279	A:139:TYR:HA	A:146:ALA:HB3	0.419
279	A:4:PHE:CD1	A:13:LEU:HD21	0.417
279	A:61:ASP:HA	A:64:GLU:HB3	0.416
279	A:106:MET:HE1	A:138:TRP:CD2	0.412

Model ID	Atom-1	Atom-2	Clash overlap (Å)
279	A:91:LEU:HD12	A:126:TRP:CH2	0.410
279	A:97:ALA:CB	A:158:TRP:CH2	0.410
279	A:14:ARG:HB3	A:18:TYR:CE1	0.407
279	A:85:LYS:HB3	A:85:LYS:HE2	0.406
279	A:5:GLU:O	A:9:ILE:HG13	0.405
279	A:4:PHE:HE1	A:29:ILE:HB	0.401
280	A:17:ILE:HD12	A:43:LYS:HD3	1.114
280	A:10:ASP:HB3	A:145:ARG:HG3	1.015
280	A:16:LYS:HG3	A:57:VAL:HG22	0.993
280	A:29:ILE:HD12	A:67:PHE:HE1	0.971
280	A:27:ILE:HG12	A:31:HIS:HB3	0.922
280	A:29:ILE:HD12	A:67:PHE:CE1	0.921
280	A:133:LEU:HB3	A:138:TRP:HZ3	0.909
280	A:133:LEU:HB3	A:138:TRP:CZ3	0.904
280	A:7:LEU:HD22	A:11:GLU:HB2	0.896
280	A:102:MET:HE1	A:133:LEU:HD22	0.883
280	A:79:LEU:HD22	A:85:LYS:HG2	0.876
280	A:10:ASP:HB3	A:145:ARG:CG	0.857
280	A:17:ILE:CG1	A:27:ILE:HG22	0.846
280	A:17:ILE:HG12	A:27:ILE:HG22	0.842
280	A:58:ILE:HD12	A:63:ALA:HB2	0.820
280	A:15:LEU:HD11	A:29:ILE:HG13	0.814
280	A:27:ILE:CG1	A:31:HIS:HB3	0.798

Model ID	Atom-1	Atom-2	Clash overlap (Å)
280	A:17:ILE:CD1	A:43:LYS:HD3	0.795
280	A:16:LYS:HG3	A:57:VAL:CG2	0.786
280	A:27:ILE:CG2	A:33:LEU:HD12	0.779
280	A:124:LYS:HG3	A:126:TRP:CZ2	0.762
280	A:3:ILE:SG	A:97:ALA:SG	0.720
280	A:13:LEU:HG	A:29:ILE:HG12	0.701
280	A:114:PHE:HB3	A:117:SER:HB2	0.692
280	A:10:ASP:CB	A:145:ARG:HG3	0.679
280	A:106:MET:SD	A:114:PHE:CE1	0.677
280	A:102:MET:HE1	A:133:LEU:CD2	0.672
280	A:27:ILE:HG23	A:33:LEU:HD12	0.660
280	A:139:TYR:HE1	A:150:ILE:HD12	0.654
280	A:25:TYR:CZ	A:39:LEU:HB2	0.652
280	A:29:ILE:CD1	A:67:PHE:HE1	0.647
280	A:81:ASN:HB3	A:84:LEU:HB2	0.637
280	A:103:VAL:HG22	A:111:VAL:HG21	0.631
280	A:106:MET:SD	A:114:PHE:HE1	0.625
280	A:6:MET:SD	A:158:TRP:HZ3	0.600
280	A:7:LEU:HD22	A:11:GLU:CB	0.596
280	A:63:ALA:HA	A:67:PHE:HB3	0.593
280	A:6:MET:HG3	A:161:TYR:CE2	0.570
280	A:13:LEU:HG	A:29:ILE:HG23	0.568
280	A:150:ILE:HA	A:153:PHE:HD2	0.558

Model ID	Atom-1	Atom-2	Clash overlap (Å)
280	A:1:MET:HG2	A:5:GLU:HB2	0.553
280	A:58:ILE:HD12	A:63:ALA:CB	0.551
280	A:15:LEU:HA	A:28:GLY:HA2	0.549
280	A:17:ILE:HD12	A:43:LYS:CD	0.549
280	A:25:TYR:CD1	A:39:LEU:HD13	0.546
280	A:1:MET:HE1	A:158:TRP:CE3	0.545
280	A:33:LEU:HG	A:46:LEU:HG	0.542
280	A:95:ARG:HD3	A:126:TRP:CE3	0.539
280	A:17:ILE:HG13	A:27:ILE:HG22	0.533
280	A:3:ILE:SG	A:100:ILE:HG21	0.526
280	A:124:LYS:CG	A:126:TRP:CZ2	0.524
280	A:4:PHE:CZ	A:13:LEU:HD21	0.522
280	A:139:TYR:HE1	A:150:ILE:CD1	0.520
280	A:3:ILE:SG	A:100:ILE:HD13	0.515
280	A:15:LEU:HD23	A:58:ILE:CD1	0.514
280	A:130:ALA:HB1	A:150:ILE:HG21	0.506
280	A:15:LEU:HB3	A:58:ILE:HG13	0.505
280	A:102:MET:O	A:106:MET:HG2	0.502
280	A:17:ILE:HB	A:43:LYS:HE2	0.501
280	A:129:ALA:O	A:133:LEU:HG	0.501
280	A:16:LYS:HA	A:56:GLY:C	0.500
280	A:94:VAL:HG11	A:156:GLY:C	0.500
280	A:4:PHE:CE1	A:29:ILE:HD13	0.491

Model ID	Atom-1	Atom-2	Clash overlap (Å)
280	A:17:ILE:HG12	A:27:ILE:CG2	0.489
280	A:19:LYS:HB3	A:25:TYR:CZ	0.480
280	A:4:PHE:CE1	A:29:ILE:HG21	0.478
280	A:2:ASN:O	A:5:GLU:HB2	0.477
280	A:81:ASN:HD22	A:84:LEU:HB2	0.474
280	A:24:TYR:HD1	A:35:LYS:HA	0.472
280	A:60:LYS:O	A:64:GLU:HB2	0.470
280	A:116:ASN:HB3	A:120:MET:HE2	0.469
280	A:59:THR:OG1	A:62:GLU:HB3	0.466
280	A:4:PHE:CZ	A:29:ILE:HD13	0.465
280	A:9:ILE:CD1	A:161:TYR:HB3	0.464
280	A:149:VAL:HG12	A:153:PHE:CE2	0.450
280	A:80:ARG:NH2	A:85:LYS:HE3	0.448
280	A:4:PHE:CE2	A:13:LEU:HD21	0.447
280	A:130:ALA:HB1	A:150:ILE:CG2	0.446
280	A:1:MET:CE	A:158:TRP:CE3	0.444
280	A:93:ALA:O	A:96:ARG:HB2	0.444
280	A:15:LEU:HD11	A:29:ILE:CG1	0.443
280	A:139:TYR:CE1	A:150:ILE:HD12	0.442
280	A:145:ARG:O	A:149:VAL:HG23	0.441
280	A:50:ILE:HG13	A:54:THR:SG	0.435
280	A:149:VAL:HG12	A:153:PHE:HE2	0.435
280	A:133:LEU:HB3	A:138:TRP:CH2	0.433

Model ID	Atom-1	Atom-2	Clash overlap (Å)
280	A:102:MET:CE	A:133:LEU:HD22	0.433
280	A:77:GLY:O	A:80:ARG:HG2	0.429
280	A:126:TRP:HA	A:129:ALA:HB3	0.428
280	A:139:TYR:O	A:143:PRO:HD3	0.428
280	A:106:MET:HE1	A:138:TRP:CD2	0.422
280	A:42:ALA:O	A:46:LEU:HB2	0.417
280	A:25:TYR:CE1	A:39:LEU:HD13	0.416
280	A:95:ARG:HD3	A:126:TRP:CD2	0.415
280	A:150:ILE:HA	A:153:PHE:CD2	0.415
280	A:39:LEU:O	A:39:LEU:HD12	0.413
280	A:139:TYR:CE1	A:150:ILE:CD1	0.413
280	A:96:ARG:O	A:100:ILE:HD12	0.412
280	A:102:MET:HG3	A:106:MET:HE3	0.411
280	A:14:ARG:HB3	A:18:TYR:CE1	0.409
280	A:50:ILE:HG22	A:52:ARG:HB2	0.408
280	A:80:ARG:HH21	A:85:LYS:HE3	0.407
280	A:19:LYS:HB3	A:25:TYR:CE1	0.406
280	A:25:TYR:HB2	A:34:THR:HG22	0.405
280	A:97:ALA:CB	A:158:TRP:HH2	0.403
281	A:27:ILE:HG23	A:33:LEU:HD12	1.107
281	A:15:LEU:HD11	A:29:ILE:HG13	1.061
281	A:130:ALA:HB1	A:150:ILE:HG23	1.011
281	A:87:VAL:HG12	A:118:LEU:HD21	0.926

Model ID	Atom-1	Atom-2	Clash overlap (Å)
281	A:9:ILE:HD13	A:161:TYR:HB3	0.837
281	A:15:LEU:CD1	A:29:ILE:HG13	0.808
281	A:106:MET:SD	A:114:PHE:HE1	0.798
281	A:27:ILE:HG23	A:33:LEU:CD1	0.797
281	A:27:ILE:HG13	A:31:HIS:HB3	0.795
281	A:87:VAL:CG1	A:118:LEU:HD21	0.778
281	A:130:ALA:CB	A:150:ILE:HG23	0.776
281	A:16:LYS:CG	A:57:VAL:HG22	0.770
281	A:3:ILE:SG	A:97:ALA:SG	0.756
281	A:6:MET:CE	A:97:ALA:HB1	0.750
281	A:6:MET:HG3	A:161:TYR:CE2	0.733
281	A:15:LEU:HD11	A:29:ILE:CG1	0.733
281	A:106:MET:SD	A:114:PHE:CE1	0.670
281	A:81:ASN:HB3	A:84:LEU:HB2	0.667
281	A:130:ALA:HB1	A:150:ILE:CG2	0.656
281	A:16:LYS:HG3	A:57:VAL:HG22	0.641
281	A:25:TYR:CZ	A:39:LEU:HB2	0.638
281	A:13:LEU:HG	A:29:ILE:HG23	0.636
281	A:103:VAL:HG22	A:111:VAL:HG21	0.631
281	A:133:LEU:HB3	A:138:TRP:HZ3	0.616
281	A:81:ASN:HB3	A:84:LEU:CB	0.604
281	A:14:ARG:HB2	A:18:TYR:HE1	0.602
281	A:27:ILE:CG1	A:31:HIS:HB3	0.602

Model ID	Atom-1	Atom-2	Clash overlap (Å)
281	A:50:ILE:HG13	A:54:THR:SG	0.577
281	A:6:MET:HE1	A:97:ALA:C	0.570
281	A:88:TYR:HE1	A:99:LEU:HB3	0.567
281	A:33:LEU:HD21	A:46:LEU:HG	0.560
281	A:10:ASP:HB3	A:145:ARG:HG3	0.555
281	A:127:ASP:HA	A:154:ARG:HG2	0.548
281	A:114:PHE:HB3	A:117:SER:HB2	0.545
281	A:7:LEU:HD11	A:101:ASN:HA	0.540
281	A:25:TYR:CD1	A:39:LEU:HD13	0.537
281	A:105:GLN:HE21	A:141:GLN:HB3	0.536
281	A:1:MET:CG	A:5:GLU:HB2	0.529
281	A:6:MET:HE1	A:97:ALA:HB1	0.524
281	A:130:ALA:HB1	A:150:ILE:HG12	0.517
281	A:17:ILE:HD12	A:43:LYS:HD3	0.515
281	A:98:ALA:HB1	A:153:PHE:CE2	0.514
281	A:98:ALA:O	A:102:MET:HG3	0.514
281	A:1:MET:HG2	A:5:GLU:HB2	0.513
281	A:10:ASP:HA	A:148:ARG:HH21	0.509
281	A:29:ILE:HD11	A:63:ALA:HB1	0.505
281	A:6:MET:HE2	A:97:ALA:HB1	0.505
281	A:4:PHE:CZ	A:29:ILE:HD13	0.503
281	A:24:TYR:HB2	A:32:LEU:HD11	0.502
281	A:79:LEU:HD21	A:84:LEU:HD12	0.501

Model ID	Atom-1	Atom-2	Clash overlap (Å)
281	A:16:LYS:H	A:28:GLY:HA2	0.498
281	A:6:MET:HG3	A:161:TYR:CZ	0.496
281	A:17:ILE:HG12	A:27:ILE:HA	0.495
281	A:127:ASP:O	A:131:VAL:HG23	0.495
281	A:19:LYS:HB3	A:25:TYR:CE1	0.494
281	A:50:ILE:HG22	A:52:ARG:H	0.493
281	A:114:PHE:CE2	A:133:LEU:HD21	0.489
281	A:15:LEU:HD21	A:63:ALA:CB	0.487
281	A:22:GLU:HB2	A:24:TYR:CE2	0.485
281	A:17:ILE:HD12	A:43:LYS:HG2	0.482
281	A:126:TRP:O	A:153:PHE:HB3	0.482
281	A:64:GLU:O	A:68:ASN:HB2	0.481
281	A:132:ASN:OD1	A:133:LEU:HD12	0.477
281	A:6:MET:HE1	A:97:ALA:O	0.475
281	A:9:ILE:CD1	A:161:TYR:HB3	0.470
281	A:27:ILE:HG12	A:33:LEU:HD23	0.469
281	A:59:THR:OG1	A:62:GLU:HB3	0.462
281	A:16:LYS:HG2	A:57:VAL:HG22	0.461
281	A:12:GLY:O	A:14:ARG:HG3	0.460
281	A:103:VAL:HG22	A:111:VAL:CG2	0.457
281	A:15:LEU:HB3	A:58:ILE:HG13	0.451
281	A:94:VAL:HG13	A:158:TRP:CZ2	0.450
281	A:124:LYS:HG3	A:126:TRP:CZ2	0.447

Model ID	Atom-1	Atom-2	Clash overlap (Å)
281	A:15:LEU:O	A:57:VAL:HA	0.441
281	A:8:ARG:O	A:12:GLY:HA2	0.440
281	A:26:THR:HG23	A:31:HIS:C	0.440
281	A:151:THR:HG21	A:160:ALA:HB2	0.438
281	A:88:TYR:CD1	A:99:LEU:HD22	0.437
281	A:106:MET:HB3	A:106:MET:HE3	0.437
281	A:13:LEU:CG	A:29:ILE:HG23	0.433
281	A:95:ARG:HD2	A:126:TRP:CE3	0.432
281	A:139:TYR:O	A:143:PRO:HD3	0.431
281	A:10:ASP:C	A:145:ARG:HG3	0.426
281	A:1:MET:HE1	A:158:TRP:CE3	0.423
281	A:88:TYR:CD1	A:99:LEU:HD13	0.423
281	A:29:ILE:HD12	A:67:PHE:HD1	0.421
281	A:1:MET:HE1	A:161:TYR:CD2	0.419
281	A:10:ASP:HB3	A:145:ARG:CG	0.419
281	A:13:LEU:HG	A:29:ILE:HA	0.419
281	A:84:LEU:HD21	A:111:VAL:HG12	0.415
281	A:145:ARG:O	A:149:VAL:HG23	0.415
281	A:124:LYS:HG3	A:126:TRP:CH2	0.414
281	A:17:ILE:HD12	A:43:LYS:CD	0.411
281	A:83:LYS:HB3	A:83:LYS:HE2	0.411
281	A:88:TYR:CE1	A:99:LEU:HD22	0.409
281	A:106:MET:HG3	A:110:GLY:HA3	0.406

Model ID	Atom-1	Atom-2	Clash overlap (Å)
282	A:79:LEU:HD23	A:85:LYS:HG3	0.890
282	A:1:MET:HG3	A:5:GLU:HB2	0.790
282	A:50:ILE:HD12	A:62:GLU:HG2	0.772
282	A:1:MET:HG3	A:5:GLU:CB	0.759
282	A:15:LEU:HD22	A:58:ILE:HG13	0.729
282	A:17:ILE:HG22	A:25:TYR:HD1	0.719
282	A:102:MET:HE3	A:138:TRP:CZ3	0.712
282	A:102:MET:HE2	A:106:MET:HE1	0.686
282	A:7:LEU:HD12	A:11:GLU:HG3	0.684
282	A:102:MET:HE1	A:133:LEU:HB3	0.683
282	A:3:ILE:SG	A:97:ALA:SG	0.680
282	A:7:LEU:CD1	A:11:GLU:HG3	0.674
282	A:103:VAL:HG22	A:111:VAL:HG21	0.674
282	A:17:ILE:HG22	A:25:TYR:CD1	0.668
282	A:13:LEU:HG	A:60:LYS:HD2	0.661
282	A:102:MET:HE1	A:133:LEU:HG	0.640
282	A:14:ARG:HB2	A:18:TYR:HE1	0.636
282	A:14:ARG:CB	A:18:TYR:HE1	0.634
282	A:1:MET:HE2	A:158:TRP:CZ3	0.618
282	A:121:LEU:HD22	A:129:ALA:HB2	0.612
282	A:4:PHE:CZ	A:64:GLU:HG2	0.594
282	A:124:LYS:HG2	A:126:TRP:CZ2	0.585
282	A:13:LEU:HD23	A:29:ILE:HG13	0.578

Model ID	Atom-1	Atom-2	Clash overlap (Å)
282	A:17:ILE:CG2	A:25:TYR:HD1	0.576
282	A:13:LEU:HD13	A:60:LYS:HE3	0.540
282	A:130:ALA:CB	A:150:ILE:HG21	0.539
282	A:4:PHE:HE1	A:29:ILE:HD13	0.538
282	A:7:LEU:HB3	A:29:ILE:HG21	0.534
282	A:17:ILE:CG2	A:25:TYR:CD1	0.533
282	A:16:LYS:HG2	A:57:VAL:HG22	0.532
282	A:124:LYS:HG2	A:126:TRP:CH2	0.530
282	A:58:ILE:CD1	A:63:ALA:HB2	0.529
282	A:1:MET:HE2	A:6:MET:HB2	0.525
282	A:102:MET:CE	A:106:MET:HE1	0.523
282	A:130:ALA:HB2	A:150:ILE:HG21	0.522
282	A:121:LEU:CD2	A:129:ALA:HB2	0.520
282	A:17:ILE:HG13	A:27:ILE:HD12	0.518
282	A:17:ILE:HD11	A:46:LEU:HG	0.518
282	A:130:ALA:HB2	A:150:ILE:CG2	0.516
282	A:102:MET:HE1	A:133:LEU:CB	0.512
282	A:102:MET:HE1	A:133:LEU:CG	0.511
282	A:1:MET:CE	A:158:TRP:CZ3	0.509
282	A:58:ILE:HD12	A:63:ALA:HB2	0.507
282	A:67:PHE:O	A:71:VAL:HG23	0.503
282	A:119:ARG:HH11	A:122:GLN:HE21	0.503
282	A:25:TYR:CE2	A:39:LEU:HD13	0.496

Model ID	Atom-1	Atom-2	Clash overlap (Å)
282	A:152:THR:HG23	A:157:THR:O	0.495
282	A:144:ASN:HB3	A:148:ARG:HH12	0.494
282	A:88:TYR:OH	A:100:ILE:HG13	0.482
282	A:116:ASN:O	A:120:MET:HG2	0.476
282	A:50:ILE:HG13	A:58:ILE:HG22	0.472
282	A:150:ILE:HA	A:153:PHE:HB2	0.467
282	A:78:ILE:HG12	A:88:TYR:CE2	0.466
282	A:7:LEU:HD13	A:11:GLU:HG3	0.463
282	A:4:PHE:CD1	A:67:PHE:HD2	0.460
282	A:94:VAL:HG22	A:158:TRP:CD1	0.457
282	A:10:ASP:HB3	A:145:ARG:HG3	0.450
282	A:101:ASN:O	A:104:PHE:HB2	0.448
282	A:25:TYR:CZ	A:39:LEU:HD13	0.441
282	A:76:ARG:O	A:80:ARG:HG3	0.441
282	A:13:LEU:O	A:15:LEU:HD12	0.439
282	A:29:ILE:HD13	A:67:PHE:CD2	0.436
282	A:50:ILE:HD13	A:66:LEU:HD11	0.434
282	A:3:ILE:O	A:7:LEU:HD23	0.432
282	A:98:ALA:HB3	A:153:PHE:CE1	0.429
282	A:3:ILE:SG	A:100:ILE:HD13	0.427
282	A:1:MET:CE	A:6:MET:HB2	0.426
282	A:6:MET:O	A:10:ASP:HB2	0.425
282	A:105:GLN:CD	A:138:TRP:HD1	0.421

Model ID	Atom-1	Atom-2	Clash overlap (Å)
282	A:4:PHE:CE1	A:29:ILE:HD13	0.419
282	A:50:ILE:CD1	A:66:LEU:HD11	0.418
282	A:127:ASP:O	A:131:VAL:HG23	0.417
282	A:1:MET:CE	A:158:TRP:CE3	0.416
282	A:99:LEU:HD12	A:153:PHE:HE1	0.416
282	A:105:GLN:OE1	A:138:TRP:HD1	0.415
282	A:79:LEU:CD2	A:85:LYS:HG3	0.414
282	A:88:TYR:CZ	A:96:ARG:HG2	0.413
282	A:84:LEU:O	A:88:TYR:HB2	0.411
282	A:81:ASN:OD1	A:84:LEU:HB2	0.409
282	A:45:GLU:HA	A:48:LYS:HG2	0.408
282	A:4:PHE:HD1	A:67:PHE:CD2	0.408
282	A:103:VAL:HG22	A:111:VAL:CG2	0.406
282	A:14:ARG:CB	A:18:TYR:CE1	0.405
282	A:118:LEU:HA	A:118:LEU:HD13	0.401
282	A:26:THR:HA	A:31:HIS:O	0.400
283	A:17:ILE:HD12	A:43:LYS:HD3	1.164
283	A:103:VAL:HG22	A:111:VAL:HG21	0.993
283	A:16:LYS:HG3	A:57:VAL:HG22	0.947
283	A:27:ILE:CG2	A:33:LEU:HD12	0.859
283	A:17:ILE:HD12	A:43:LYS:CD	0.853
283	A:58:ILE:HD12	A:63:ALA:CB	0.820
283	A:103:VAL:CG2	A:111:VAL:HG21	0.776

Model ID	Atom-1	Atom-2	Clash overlap (Å)
283	A:17:ILE:HG12	A:27:ILE:HG22	0.771
283	A:16:LYS:CG	A:57:VAL:HG22	0.758
283	A:124:LYS:HG2	A:126:TRP:CZ2	0.750
283	A:79:LEU:HD22	A:85:LYS:HE2	0.737
283	A:27:ILE:HG23	A:33:LEU:HD12	0.735
283	A:6:MET:SD	A:158:TRP:CH2	0.726
283	A:10:ASP:HB3	A:145:ARG:HG2	0.718
283	A:6:MET:SD	A:158:TRP:HH2	0.717
283	A:3:ILE:SG	A:97:ALA:SG	0.717
283	A:106:MET:SD	A:114:PHE:CE1	0.714
283	A:34:THR:HG21	A:42:ALA:HB1	0.703
283	A:13:LEU:HG	A:29:ILE:HG23	0.694
283	A:94:VAL:HG12	A:152:THR:CG2	0.693
283	A:93:ALA:HA	A:96:ARG:HB2	0.691
283	A:1:MET:HG2	A:5:GLU:HB2	0.689
283	A:27:ILE:HG21	A:33:LEU:HD12	0.669
283	A:106:MET:SD	A:114:PHE:HE1	0.665
283	A:17:ILE:CG1	A:27:ILE:HG22	0.664
283	A:102:MET:HE2	A:106:MET:HE1	0.656
283	A:1:MET:HG2	A:5:GLU:CB	0.651
283	A:13:LEU:HG	A:29:ILE:CG2	0.651
283	A:58:ILE:HD12	A:63:ALA:HB1	0.634
283	A:17:ILE:HG12	A:27:ILE:CG2	0.629

Model ID	Atom-1	Atom-2	Clash overlap (Å)
283	A:97:ALA:HA	A:100:ILE:HD12	0.613
283	A:17:ILE:CD1	A:43:LYS:HD3	0.609
283	A:17:ILE:HG22	A:25:TYR:HD1	0.608
283	A:17:ILE:HG13	A:56:GLY:HA3	0.607
283	A:34:THR:HG21	A:42:ALA:CB	0.600
283	A:81:ASN:HB3	A:84:LEU:HB3	0.583
283	A:22:GLU:HB3	A:24:TYR:CE2	0.577
283	A:27:ILE:HG13	A:31:HIS:HB3	0.565
283	A:142:THR:CG2	A:145:ARG:HB2	0.552
283	A:94:VAL:HG12	A:152:THR:HG22	0.550
283	A:19:LYS:HB3	A:25:TYR:CZ	0.549
283	A:102:MET:HB3	A:106:MET:HE3	0.536
283	A:67:PHE:CE2	A:71:VAL:CG2	0.534
283	A:16:LYS:HE3	A:57:VAL:HG13	0.528
283	A:29:ILE:HD12	A:67:PHE:CZ	0.528
283	A:14:ARG:HB3	A:18:TYR:CE1	0.519
283	A:84:LEU:O	A:88:TYR:HB3	0.517
283	A:91:LEU:HD21	A:126:TRP:HZ3	0.514
283	A:4:PHE:CZ	A:29:ILE:HD13	0.511
283	A:25:TYR:CE1	A:39:LEU:HD13	0.511
283	A:1:MET:HE1	A:158:TRP:CH2	0.507
283	A:16:LYS:HG3	A:57:VAL:CG2	0.500
283	A:106:MET:HE2	A:138:TRP:CD1	0.499

Model ID	Atom-1	Atom-2	Clash overlap (Å)
283	A:115:THR:HA	A:118:LEU:HB2	0.489
283	A:94:VAL:HG21	A:156:GLY:O	0.488
283	A:39:LEU:HD21	A:43:LYS:HE3	0.477
283	A:81:ASN:HB3	A:84:LEU:CB	0.477
283	A:106:MET:HE2	A:138:TRP:CG	0.477
283	A:46:LEU:O	A:50:ILE:HG12	0.474
283	A:94:VAL:HG12	A:152:THR:HG23	0.472
283	A:19:LYS:HB3	A:25:TYR:CE1	0.471
283	A:58:ILE:HD12	A:63:ALA:HB2	0.471
283	A:121:LEU:O	A:124:LYS:HG3	0.470
283	A:59:THR:OG1	A:62:GLU:HB3	0.465
283	A:58:ILE:HB	A:63:ALA:HB2	0.464
283	A:133:LEU:HD22	A:138:TRP:CE3	0.464
283	A:6:MET:HG3	A:161:TYR:CE2	0.463
283	A:95:ARG:HG2	A:153:PHE:CD1	0.458
283	A:25:TYR:HB2	A:34:THR:CG2	0.457
283	A:10:ASP:HB3	A:145:ARG:CG	0.454
283	A:88:TYR:CD1	A:99:LEU:HD22	0.454
283	A:94:VAL:CG1	A:152:THR:HG23	0.454
283	A:133:LEU:HB3	A:138:TRP:HZ3	0.452
283	A:1:MET:HE1	A:158:TRP:CZ2	0.449
283	A:50:ILE:HG22	A:52:ARG:H	0.448
283	A:58:ILE:HG22	A:62:GLU:OE2	0.444

Model ID	Atom-1	Atom-2	Clash overlap (Å)
283	A:34:THR:HB	A:46:LEU:HD11	0.443
283	A:25:TYR:CD1	A:39:LEU:HD13	0.442
283	A:55:ASN:O	A:57:VAL:HG23	0.441
283	A:142:THR:HG22	A:145:ARG:H	0.439
283	A:24:TYR:HB2	A:32:LEU:HD11	0.438
283	A:121:LEU:HG	A:126:TRP:CE3	0.433
283	A:139:TYR:O	A:143:PRO:HD3	0.433
283	A:94:VAL:HG11	A:156:GLY:C	0.432
283	A:4:PHE:HZ	A:29:ILE:HD13	0.431
283	A:13:LEU:HG	A:29:ILE:HG21	0.427
283	A:50:ILE:HG13	A:54:THR:SG	0.427
283	A:39:LEU:HD11	A:43:LYS:HE3	0.425
283	A:16:LYS:HG3	A:57:VAL:HA	0.424
283	A:138:TRP:O	A:141:GLN:HB2	0.424
283	A:102:MET:O	A:106:MET:HG2	0.418
283	A:6:MET:SD	A:158:TRP:CZ3	0.418
283	A:158:TRP:CZ3	A:161:TYR:HE2	0.416
283	A:1:MET:HG2	A:5:GLU:HB3	0.412
283	A:7:LEU:HD22	A:11:GLU:CB	0.412
283	A:24:TYR:HD1	A:35:LYS:HA	0.408
283	A:94:VAL:HG21	A:156:GLY:C	0.408
283	A:142:THR:HB	A:145:ARG:HB2	0.406
283	A:67:PHE:CE2	A:71:VAL:HG23	0.404

Model ID	Atom-1	Atom-2	Clash overlap (Å)
283	A:105:GLN:HB2	A:145:ARG:NH1	0.404
283	A:106:MET:HB3	A:141:GLN:OE1	0.404

Torsion angles: Protein backbone ?

In the following table, Ramachandran outliers are listed. The Analysed column shows the number of residues for which the backbone conformation was analysed.

Model ID	Analysed	Favored	Allowed	Outliers
1	160	140	16	4
2	160	139	16	5
3	160	147	11	2
4	160	142	13	5
5	160	140	16	4
6	160	150	7	3
7	160	148	9	3
8	160	130	28	2
9	160	150	7	3
10	160	134	19	7
11	160	148	9	3
12	160	149	8	3
13	160	137	19	4
14	160	144	12	4
15	160	149	6	5
16	160	150	8	2
17	160	154	5	1
18	160	143	12	5

Model ID	Analyzed	Favored	Allowed	Outliers
19	160	139	19	2
20	160	148	11	1
21	160	143	12	5
22	160	140	19	1
23	160	148	11	1
24	160	144	15	1
25	160	151	8	1
26	160	140	17	3
27	160	139	19	2
28	160	145	11	4
29	160	153	7	0
30	160	151	9	0
31	160	139	19	2
32	160	149	7	4
33	160	146	10	4
34	160	147	11	2
35	160	147	10	3
36	160	147	12	1
37	160	145	14	1
38	160	142	17	1
39	160	150	9	1
40	160	144	14	2
41	160	156	4	0

Model ID	Analyzed	Favored	Allowed	Outliers
42	160	143	16	1
43	160	146	12	2
44	160	139	17	4
45	160	150	8	2
46	160	145	12	3
47	160	145	14	1
48	160	146	12	2
49	160	146	11	3
50	160	145	12	3
51	160	149	9	2
52	160	145	13	2
53	160	148	10	2
54	160	147	10	3
55	160	142	18	0
56	160	151	9	0
57	160	144	10	6
58	160	146	11	3
59	160	149	9	2
60	160	144	15	1
61	160	144	14	2
62	160	144	14	2
63	160	152	7	1
64	160	152	7	1

Model ID	Analyzed	Favored	Allowed	Outliers
65	160	147	11	2
66	160	150	8	2
67	160	152	7	1
68	160	142	17	1
69	160	154	6	0
70	160	148	10	2
71	160	148	9	3
72	160	147	9	4
73	160	140	15	5
74	160	144	14	2
75	160	148	12	0
76	160	149	11	0
77	160	144	14	2
78	160	148	10	2
79	160	151	5	4
80	160	154	6	0
81	160	143	15	2
82	160	143	16	1
83	160	149	11	0
84	160	147	13	0
85	160	146	11	3
86	160	141	17	2
87	160	139	20	1

Model ID	Analyzed	Favored	Allowed	Outliers
88	160	152	8	0
89	160	147	12	1
90	160	143	12	5
91	160	138	18	4
92	160	143	15	2
93	160	142	16	2
94	160	146	13	1
95	160	139	16	5
96	160	151	8	1
97	160	142	15	3
98	160	148	11	1
99	160	148	12	0
100	160	143	12	5
101	160	147	8	5
102	160	143	14	3
103	160	146	11	3
104	160	156	3	1
105	160	145	13	2
106	160	148	12	0
107	160	149	10	1
108	160	153	5	2
109	160	150	10	0
110	160	145	11	4

Model ID	Analyzed	Favored	Allowed	Outliers
111	160	147	13	0
112	160	142	15	3
113	160	141	18	1
114	160	142	15	3
115	160	144	13	3
116	160	151	9	0
117	160	144	13	3
118	160	150	9	1
119	160	150	10	0
120	160	150	9	1
121	160	153	6	1
122	160	150	8	2
123	160	140	15	5
124	160	151	7	2
125	160	151	9	0
126	160	154	6	0
127	160	143	17	0
128	160	145	13	2
129	160	145	13	2
130	160	144	15	1
131	160	152	7	1
132	160	144	15	1
133	160	152	8	0

Model ID	Analyzed	Favored	Allowed	Outliers
134	160	153	5	2
135	160	150	6	4
136	160	151	7	2
137	160	149	8	3
138	160	147	11	2
139	160	140	17	3
140	160	146	13	1
141	160	146	12	2
142	160	148	9	3
143	160	150	10	0
144	160	149	10	1
145	160	148	10	2
146	160	142	14	4
147	160	148	11	1
148	160	151	9	0
149	160	144	14	2
150	160	147	13	0
151	160	143	14	3
152	160	151	8	1
153	160	144	15	1
154	160	146	13	1
155	160	140	17	3
156	160	146	11	3

Model ID	Analyzed	Favored	Allowed	Outliers
157	160	143	11	6
158	160	150	8	2
159	160	154	5	1
160	160	141	16	3
161	160	147	13	0
162	160	146	13	1
163	160	148	10	2
164	160	143	16	1
165	160	149	9	2
166	160	155	5	0
167	160	151	8	1
168	160	145	8	7
169	160	137	17	6
170	160	146	12	2
171	160	145	12	3
172	160	147	11	2
173	160	145	14	1
174	160	146	12	2
175	160	151	8	1
176	160	149	9	2
177	160	149	11	0
178	160	151	9	0
179	160	144	14	2

Model ID	Analyzed	Favored	Allowed	Outliers
180	160	145	13	2
181	160	152	8	0
182	160	152	7	1
183	160	147	13	0
184	160	152	7	1
185	160	146	13	1
186	160	142	17	1
187	160	149	8	3
188	160	148	11	1
189	160	138	20	2
190	160	146	12	2
191	160	145	13	2
192	160	137	18	5
193	160	139	19	2
194	160	154	6	0
195	160	153	5	2
196	160	149	9	2
197	160	149	10	1
198	160	150	9	1
199	160	146	13	1
200	160	137	19	4
201	160	138	17	5
202	160	146	14	0

Model ID	Analyzed	Favored	Allowed	Outliers
203	160	146	10	4
204	160	151	6	3
205	160	142	17	1
206	160	146	12	2
207	160	140	13	7
208	160	147	9	4
209	160	149	9	2
210	160	145	13	2
211	160	148	9	3
212	160	150	8	2
213	160	149	8	3
214	160	142	15	3
215	160	146	11	3
216	160	137	20	3
217	160	146	9	5
218	160	130	20	10
219	160	147	10	3
220	160	150	7	3
221	160	141	15	4
222	160	137	16	7
223	160	141	17	2
224	160	152	7	1
225	160	143	15	2

Model ID	Analyzed	Favored	Allowed	Outliers
226	160	144	10	6
227	160	134	14	12
228	160	146	11	3
229	160	148	8	4
230	160	142	10	8
231	160	141	15	4
232	160	148	8	4
233	160	140	18	2
234	160	148	10	2
235	160	145	12	3
236	160	134	22	4
237	160	151	6	3
238	160	146	10	4
239	160	142	14	4
240	160	142	17	1
241	160	149	9	2
242	160	149	7	4
243	160	135	22	3
244	160	147	8	5
245	160	150	7	3
246	160	152	6	2
247	160	146	10	4
248	160	148	8	4

Model ID	Analyzed	Favored	Allowed	Outliers
249	160	148	10	2
250	160	149	8	3
251	160	130	23	7
252	160	142	15	3
253	160	141	17	2
254	160	136	21	3
255	160	146	10	4
256	160	154	5	1
257	160	147	12	1
258	160	137	20	3
259	160	146	11	3
260	160	150	8	2
261	160	144	14	2
262	160	128	25	7
263	160	142	12	6
264	160	144	13	3
265	160	151	8	1
266	160	147	9	4
267	160	147	9	4
268	160	141	15	4
269	160	152	7	1
270	160	149	7	4
271	160	141	16	3

Model ID	Analyzed	Favored	Allowed	Outliers
272	160	143	13	4
273	160	147	11	2
274	160	151	9	0
275	160	143	15	2
276	160	140	17	3
277	160	140	16	4
278	160	142	17	1
279	160	138	17	5
280	160	147	10	3
281	160	141	16	3
282	160	148	10	2
283	160	146	11	3

Detailed list of outliers are tabulated below.

Torsion angles: Protein sidechains

In the following table, sidechain outliers are listed. The Analysed column shows the number of residues for which the sidechain conformation was analysed.

Model ID	Analyzed	Favored	Allowed	Outliers
1	134	80	22	32
2	133	83	29	21
3	134	84	21	29
4	133	83	19	31
5	134	84	24	26
6	133	88	19	26
7	133	76	21	36
8	134	77	25	32

Model ID	Analyzed	Favored	Allowed	Outliers
9	133	90	23	20
10	134	82	25	27
11	133	83	21	29
12	134	88	18	28
13	133	87	24	22
14	133	91	25	17
15	134	85	24	25
16	133	89	18	26
17	134	85	22	27
18	133	93	15	25
19	133	80	27	26
20	134	77	26	31
21	133	92	16	25
22	134	89	28	17
23	133	92	24	17
24	134	87	25	22
25	133	78	26	29
26	133	81	26	26
27	134	93	17	24
28	133	88	28	17
29	134	88	23	23
30	133	89	23	21
31	134	80	24	30

Model ID	Analyzed	Favored	Allowed	Outliers
32	133	85	25	23
33	133	87	30	16
34	134	83	22	29
35	133	84	31	18
36	134	92	20	22
37	133	86	25	22
38	133	83	23	27
39	134	81	31	22
40	133	84	26	23
41	134	92	20	22
42	133	88	20	25
43	134	80	25	29
44	133	78	30	25
45	133	85	21	27
46	134	91	19	24
47	133	86	29	18
48	134	89	24	21
49	133	85	28	20
50	134	81	28	25
51	133	80	15	38
52	133	84	24	25
53	134	79	27	28
54	133	86	27	20

Model ID	Analyzed	Favored	Allowed	Outliers
55	134	84	22	28
56	133	86	18	29
57	133	91	19	23
58	134	80	37	17
59	133	95	22	16
60	134	95	22	17
61	133	87	26	20
62	134	83	20	31
63	133	83	26	24
64	133	92	17	24
65	134	91	16	27
66	133	93	24	16
67	134	90	17	27
68	133	92	11	30
69	134	76	27	31
70	133	90	21	22
71	133	96	19	18
72	134	79	21	34
73	133	84	24	25
74	134	89	27	18
75	133	90	25	18
76	133	87	17	29
77	134	82	25	27

Model ID	Analyzed	Favored	Allowed	Outliers
78	133	85	19	29
79	134	86	18	30
80	133	88	16	29
81	134	87	17	30
82	133	80	25	28
83	133	90	21	22
84	134	79	32	23
85	133	78	33	22
86	134	97	24	13
87	133	91	22	20
88	134	83	32	19
89	133	87	20	26
90	133	84	22	27
91	134	89	24	21
92	133	84	19	30
93	134	90	24	20
94	133	93	17	23
95	133	74	26	33
96	134	92	20	22
97	133	92	24	17
98	134	96	18	20
99	133	89	21	23
100	134	86	23	25

Model ID	Analyzed	Favored	Allowed	Outliers
101	133	89	16	28
102	133	82	19	32
103	134	82	24	28
104	133	83	28	22
105	134	89	20	25
106	133	91	18	24
107	133	77	30	26
108	134	89	27	18
109	133	93	23	17
110	134	92	20	22
111	133	88	17	28
112	134	90	24	20
113	133	91	29	13
114	133	88	20	25
115	134	80	32	22
116	133	92	19	22
117	134	86	21	27
118	133	78	26	29
119	134	75	26	33
120	133	88	21	24
121	133	87	22	24
122	134	79	32	23
123	133	79	24	30

Model ID	Analyzed	Favored	Allowed	Outliers
124	134	84	22	28
125	133	87	29	17
126	133	81	25	27
127	134	79	31	24
128	133	82	29	22
129	134	84	27	23
130	133	91	19	23
131	134	87	29	18
132	133	92	14	27
133	133	76	28	29
134	134	90	21	23
135	133	94	23	16
136	134	88	28	18
137	133	86	25	22
138	134	80	29	25
139	133	84	23	26
140	133	85	28	20
141	134	83	24	27
142	133	86	25	22
143	134	87	22	25
144	133	84	24	25
145	133	81	28	24
146	134	73	29	32

Model ID	Analyzed	Favored	Allowed	Outliers
147	133	89	21	23
148	134	92	19	23
149	133	86	22	25
150	134	85	22	27
151	133	86	28	19
152	133	85	22	26
153	134	90	25	19
154	133	86	29	18
155	134	87	21	26
156	133	83	29	21
157	134	85	24	25
158	133	89	22	22
159	133	84	28	21
160	134	86	24	24
161	133	81	25	27
162	134	84	26	24
163	133	79	27	27
164	133	76	28	29
165	134	86	20	28
166	133	76	29	28
167	134	89	24	21
168	133	90	17	26
169	134	90	21	23

Model ID	Analyzed	Favored	Allowed	Outliers
170	133	89	22	22
171	133	88	22	23
172	134	83	24	27
173	133	83	27	23
174	134	89	24	21
175	133	82	27	24
176	134	89	21	24
177	133	86	29	18
178	133	87	22	24
179	134	91	26	17
180	133	85	29	19
181	134	86	27	21
182	133	92	18	23
183	133	88	17	28
184	134	93	15	26
185	133	90	27	16
186	134	92	25	17
187	133	85	30	18
188	134	83	25	26
189	133	80	27	26
190	133	84	20	29
191	134	92	20	22
192	133	102	17	14

Model ID	Analyzed	Favored	Allowed	Outliers
193	134	85	24	25
194	133	82	29	22
195	133	95	16	22
196	134	91	22	21
197	133	81	28	24
198	134	80	23	31
199	133	78	23	32
200	134	82	23	29
201	133	83	26	24
202	133	90	22	21
203	134	78	30	26
204	133	82	27	24
205	134	92	22	20
206	133	87	23	23
207	134	82	27	25
208	133	87	20	26
209	133	89	17	27
210	134	87	24	23
211	133	92	24	17
212	134	77	33	24
213	133	89	26	18
214	133	84	27	22
215	134	87	23	24

Model ID	Analyzed	Favored	Allowed	Outliers
216	133	87	24	22
217	134	83	22	29
218	133	79	25	29
219	134	86	28	20
220	133	85	20	28
221	133	85	23	25
222	134	88	23	23
223	133	90	22	21
224	134	94	22	18
225	133	78	26	29
226	134	86	15	33
227	133	93	19	21
228	133	84	28	21
229	134	79	24	31
230	133	88	29	16
231	134	92	21	21
232	133	87	24	22
233	133	83	23	27
234	134	85	20	29
235	133	82	30	21
236	134	80	25	29
237	133	95	15	23
238	134	84	25	25

Model ID	Analyzed	Favored	Allowed	Outliers
239	133	89	20	24
240	133	91	19	23
241	134	89	28	17
242	133	82	23	28
243	134	86	27	21
244	133	86	19	28
245	134	78	31	25
246	133	83	25	25
247	133	77	26	30
248	134	81	28	25
249	133	93	13	27
250	134	80	27	27
251	133	95	20	18
252	133	82	24	27
253	134	90	19	25
254	133	83	26	24
255	134	84	30	20
256	133	83	26	24
257	134	82	22	30
258	133	82	23	28
259	133	90	19	24
260	134	88	24	22
261	133	94	23	16

Model ID	Analyzed	Favored	Allowed	Outliers
262	134	96	15	23
263	133	84	26	23
264	134	93	25	16
265	133	88	24	21
266	133	89	26	18
267	134	83	27	24
268	133	92	23	18
269	134	92	23	19
270	133	82	19	32
271	133	81	25	27
272	134	88	24	22
273	133	82	28	23
274	134	96	18	20
275	133	82	23	28
276	134	93	21	20
277	133	88	19	26
278	133	93	24	16
279	134	81	27	26
280	133	80	27	26
281	134	85	22	27
282	133	91	25	17
283	133	87	25	21

Detailed list of outliers are tabulated below.

Model ID	Chain	Residue ID	Residue type
1	A	5	GLU
1	A	7	LEU
1	A	8	ARG
1	A	11	GLU
1	A	15	LEU
1	A	19	LYS
1	A	20	ASP
1	A	21	THR
1	A	22	GLU
1	A	25	TYR
1	A	26	THR
1	A	27	ILE
1	A	33	LEU
1	A	35	LYS
1	A	52	ARG
1	A	58	ILE
1	A	60	LYS
1	A	61	ASP
1	A	70	ASP
1	A	76	ARG
1	A	84	LEU
1	A	105	GLN
1	A	106	MET

Model ID	Chain	Residue ID	Residue type
1	A	121	LEU
1	A	122	GLN
1	A	124	LYS
1	A	125	ARG
1	A	126	TRP
1	A	135	LYS
1	A	137	ARG
1	A	147	LYS
1	A	161	TYR
2	A	5	GLU
2	A	11	GLU
2	A	18	TYR
2	A	19	LYS
2	A	27	ILE
2	A	31	HIS
2	A	34	THR
2	A	46	LEU
2	A	50	ILE
2	A	52	ARG
2	A	58	ILE
2	A	62	GLU
2	A	67	PHE
2	A	76	ARG

Model ID	Chain	Residue ID	Residue type
2	A	84	LEU
2	A	96	ARG
2	A	102	MET
2	A	106	MET
2	A	128	GLU
2	A	135	LYS
2	A	161	TYR
3	A	7	LEU
3	A	11	GLU
3	A	15	LEU
3	A	17	ILE
3	A	18	TYR
3	A	19	LYS
3	A	31	HIS
3	A	32	LEU
3	A	33	LEU
3	A	34	THR
3	A	35	LYS
3	A	38	SER
3	A	43	LYS
3	A	45	GLU
3	A	46	LEU
3	A	50	ILE

Model ID	Chain	Residue ID	Residue type
3	A	58	ILE
3	A	61	ASP
3	A	66	LEU
3	A	67	PHE
3	A	83	LYS
3	A	96	ARG
3	A	106	MET
3	A	118	LEU
3	A	119	ARG
3	A	150	ILE
3	A	154	ARG
3	A	159	ASP
3	A	161	TYR
4	A	7	LEU
4	A	11	GLU
4	A	15	LEU
4	A	16	LYS
4	A	20	ASP
4	A	25	TYR
4	A	26	THR
4	A	27	ILE
4	A	35	LYS
4	A	45	GLU

Model ID	Chain	Residue ID	Residue type
4	A	46	LEU
4	A	52	ARG
4	A	62	GLU
4	A	66	LEU
4	A	67	PHE
4	A	83	LYS
4	A	84	LEU
4	A	85	LYS
4	A	105	GLN
4	A	106	MET
4	A	117	SER
4	A	121	LEU
4	A	122	GLN
4	A	123	GLN
4	A	126	TRP
4	A	127	ASP
4	A	136	SER
4	A	140	ASN
4	A	147	LYS
4	A	148	ARG
4	A	154	ARG
5	A	161	TYR
5	A	7	LEU

Model ID	Chain	Residue ID	Residue type
5	A	8	ARG
5	A	15	LEU
5	A	19	LYS
5	A	20	ASP
5	A	21	THR
5	A	22	GLU
5	A	25	TYR
5	A	26	THR
5	A	27	ILE
5	A	33	LEU
5	A	35	LYS
5	A	48	LYS
5	A	52	ARG
5	A	66	LEU
5	A	68	ASN
5	A	84	LEU
5	A	105	GLN
5	A	106	MET
5	A	121	LEU
5	A	124	LYS
5	A	126	TRP
5	A	128	GLU
5	A	139	TYR

Model ID	Chain	Residue ID	Residue type
5	A	147	LYS
6	A	161	TYR
6	A	7	LEU
6	A	11	GLU
6	A	13	LEU
6	A	15	LEU
6	A	17	ILE
6	A	25	TYR
6	A	26	THR
6	A	32	LEU
6	A	33	LEU
6	A	40	ASN
6	A	45	GLU
6	A	58	ILE
6	A	76	ARG
6	A	84	LEU
6	A	91	LEU
6	A	106	MET
6	A	108	GLU
6	A	118	LEU
6	A	119	ARG
6	A	121	LEU
6	A	126	TRP

Model ID	Chain	Residue ID	Residue type
6	A	137	ARG
6	A	138	TRP
6	A	139	TYR
6	A	148	ARG
7	A	1	MET
7	A	5	GLU
7	A	7	LEU
7	A	8	ARG
7	A	14	ARG
7	A	15	LEU
7	A	19	LYS
7	A	20	ASP
7	A	22	GLU
7	A	26	THR
7	A	29	ILE
7	A	33	LEU
7	A	40	ASN
7	A	43	LYS
7	A	48	LYS
7	A	58	ILE
7	A	60	LYS
7	A	61	ASP
7	A	62	GLU

Model ID	Chain	Residue ID	Residue type
7	A	64	GLU
7	A	66	LEU
7	A	71	VAL
7	A	84	LEU
7	A	85	LYS
7	A	91	LEU
7	A	105	GLN
7	A	106	MET
7	A	119	ARG
7	A	121	LEU
7	A	123	GLN
7	A	124	LYS
7	A	126	TRP
7	A	136	SER
7	A	138	TRP
7	A	147	LYS
7	A	148	ARG
8	A	161	TYR
8	A	7	LEU
8	A	11	GLU
8	A	17	ILE
8	A	18	TYR
8	A	20	ASP

Model ID	Chain	Residue ID	Residue type
8	A	21	THR
8	A	25	TYR
8	A	26	THR
8	A	27	ILE
8	A	35	LYS
8	A	45	GLU
8	A	48	LYS
8	A	62	GLU
8	A	68	ASN
8	A	84	LEU
8	A	91	LEU
8	A	96	ARG
8	A	105	GLN
8	A	106	MET
8	A	108	GLU
8	A	109	THR
8	A	118	LEU
8	A	121	LEU
8	A	122	GLN
8	A	124	LYS
8	A	126	TRP
8	A	128	GLU
8	A	135	LYS

Model ID	Chain	Residue ID	Residue type
8	A	138	TRP
8	A	147	LYS
8	A	148	ARG
9	A	11	GLU
9	A	18	TYR
9	A	19	LYS
9	A	31	HIS
9	A	32	LEU
9	A	47	ASP
9	A	50	ILE
9	A	52	ARG
9	A	58	ILE
9	A	60	LYS
9	A	64	GLU
9	A	66	LEU
9	A	67	PHE
9	A	106	MET
9	A	117	SER
9	A	119	ARG
9	A	125	ARG
9	A	127	ASP
9	A	133	LEU
9	A	139	TYR

Model ID	Chain	Residue ID	Residue type
10	A	161	TYR
10	A	7	LEU
10	A	15	LEU
10	A	19	LYS
10	A	20	ASP
10	A	21	THR
10	A	26	THR
10	A	32	LEU
10	A	33	LEU
10	A	35	LYS
10	A	52	ARG
10	A	53	ASN
10	A	58	ILE
10	A	62	GLU
10	A	66	LEU
10	A	84	LEU
10	A	105	GLN
10	A	106	MET
10	A	121	LEU
10	A	124	LYS
10	A	125	ARG
10	A	126	TRP
10	A	127	ASP

Model ID	Chain	Residue ID	Residue type
10	A	136	SER
10	A	137	ARG
10	A	148	ARG
10	A	154	ARG
11	A	161	TYR
11	A	5	GLU
11	A	7	LEU
11	A	8	ARG
11	A	11	GLU
11	A	13	LEU
11	A	17	ILE
11	A	18	TYR
11	A	19	LYS
11	A	26	THR
11	A	27	ILE
11	A	32	LEU
11	A	52	ARG
11	A	58	ILE
11	A	64	GLU
11	A	80	ARG
11	A	84	LEU
11	A	105	GLN
11	A	106	MET

Model ID	Chain	Residue ID	Residue type
11	A	118	LEU
11	A	119	ARG
11	A	121	LEU
11	A	126	TRP
11	A	128	GLU
11	A	138	TRP
11	A	139	TYR
11	A	147	LYS
11	A	148	ARG
11	A	153	PHE
12	A	161	TYR
12	A	5	GLU
12	A	7	LEU
12	A	14	ARG
12	A	15	LEU
12	A	19	LYS
12	A	20	ASP
12	A	22	GLU
12	A	25	TYR
12	A	26	THR
12	A	58	ILE
12	A	80	ARG
12	A	84	LEU

Model ID	Chain	Residue ID	Residue type
12	A	90	SER
12	A	105	GLN
12	A	106	MET
12	A	121	LEU
12	A	122	GLN
12	A	123	GLN
12	A	124	LYS
12	A	125	ARG
12	A	126	TRP
12	A	136	SER
12	A	137	ARG
12	A	139	TYR
12	A	145	ARG
12	A	147	LYS
12	A	148	ARG
13	A	7	LEU
13	A	8	ARG
13	A	15	LEU
13	A	19	LYS
13	A	20	ASP
13	A	22	GLU
13	A	25	TYR
13	A	26	THR

Model ID	Chain	Residue ID	Residue type
13	A	27	ILE
13	A	33	LEU
13	A	52	ARG
13	A	58	ILE
13	A	62	GLU
13	A	76	ARG
13	A	84	LEU
13	A	92	ASP
13	A	105	GLN
13	A	106	MET
13	A	121	LEU
13	A	126	TRP
13	A	137	ARG
13	A	139	TYR
14	A	161	TYR
14	A	162	LYS
14	A	11	GLU
14	A	14	ARG
14	A	15	LEU
14	A	16	LYS
14	A	31	HIS
14	A	47	ASP
14	A	50	ILE

Model ID	Chain	Residue ID	Residue type
14	A	52	ARG
14	A	64	GLU
14	A	67	PHE
14	A	117	SER
14	A	123	GLN
14	A	128	GLU
14	A	133	LEU
14	A	139	TYR
15	A	161	TYR
15	A	11	GLU
15	A	15	LEU
15	A	18	TYR
15	A	19	LYS
15	A	25	TYR
15	A	29	ILE
15	A	33	LEU
15	A	46	LEU
15	A	48	LYS
15	A	50	ILE
15	A	58	ILE
15	A	62	GLU
15	A	64	GLU
15	A	66	LEU

Model ID	Chain	Residue ID	Residue type
15	A	67	PHE
15	A	83	LYS
15	A	84	LEU
15	A	91	LEU
15	A	106	MET
15	A	108	GLU
15	A	118	LEU
15	A	126	TRP
15	A	128	GLU
15	A	139	TYR
16	A	161	TYR
16	A	7	LEU
16	A	13	LEU
16	A	16	LYS
16	A	17	ILE
16	A	27	ILE
16	A	45	GLU
16	A	52	ARG
16	A	53	ASN
16	A	55	ASN
16	A	58	ILE
16	A	66	LEU
16	A	68	ASN

Model ID	Chain	Residue ID	Residue type
16	A	85	LYS
16	A	105	GLN
16	A	106	MET
16	A	116	ASN
16	A	121	LEU
16	A	122	GLN
16	A	124	LYS
16	A	125	ARG
16	A	126	TRP
16	A	128	GLU
16	A	135	LYS
16	A	147	LYS
16	A	148	ARG
17	A	153	PHE
17	A	161	TYR
17	A	162	LYS
17	A	7	LEU
17	A	8	ARG
17	A	11	GLU
17	A	15	LEU
17	A	16	LYS
17	A	19	LYS
17	A	20	ASP

Model ID	Chain	Residue ID	Residue type
17	A	22	GLU
17	A	25	TYR
17	A	35	LYS
17	A	43	LYS
17	A	52	ARG
17	A	58	ILE
17	A	62	GLU
17	A	84	LEU
17	A	85	LYS
17	A	106	MET
17	A	121	LEU
17	A	126	TRP
17	A	127	ASP
17	A	128	GLU
17	A	137	ARG
17	A	139	TYR
17	A	148	ARG
18	A	161	TYR
18	A	7	LEU
18	A	14	ARG
18	A	15	LEU
18	A	19	LYS
18	A	20	ASP

Model ID	Chain	Residue ID	Residue type
18	A	25	TYR
18	A	27	ILE
18	A	35	LYS
18	A	48	LYS
18	A	52	ARG
18	A	58	ILE
18	A	62	GLU
18	A	84	LEU
18	A	105	GLN
18	A	106	MET
18	A	108	GLU
18	A	118	LEU
18	A	121	LEU
18	A	124	LYS
18	A	126	TRP
18	A	127	ASP
18	A	137	ARG
18	A	139	TYR
18	A	145	ARG
19	A	154	ARG
19	A	161	TYR
19	A	162	LYS
19	A	14	ARG

Model ID	Chain	Residue ID	Residue type
19	A	15	LEU
19	A	18	TYR
19	A	19	LYS
19	A	22	GLU
19	A	25	TYR
19	A	33	LEU
19	A	35	LYS
19	A	38	SER
19	A	47	ASP
19	A	50	ILE
19	A	60	LYS
19	A	66	LEU
19	A	67	PHE
19	A	85	LYS
19	A	106	MET
19	A	119	ARG
19	A	121	LEU
19	A	122	GLN
19	A	123	GLN
19	A	128	GLU
19	A	135	LYS
19	A	139	TYR
20	A	162	LYS

Model ID	Chain	Residue ID	Residue type
20	A	5	GLU
20	A	7	LEU
20	A	11	GLU
20	A	15	LEU
20	A	17	ILE
20	A	19	LYS
20	A	20	ASP
20	A	25	TYR
20	A	26	THR
20	A	27	ILE
20	A	43	LYS
20	A	45	GLU
20	A	52	ARG
20	A	60	LYS
20	A	67	PHE
20	A	76	ARG
20	A	84	LEU
20	A	85	LYS
20	A	102	MET
20	A	105	GLN
20	A	106	MET
20	A	108	GLU
20	A	119	ARG

Model ID	Chain	Residue ID	Residue type
20	A	121	LEU
20	A	122	GLN
20	A	123	GLN
20	A	126	TRP
20	A	127	ASP
20	A	139	TYR
20	A	145	ARG
21	A	161	TYR
21	A	162	LYS
21	A	7	LEU
21	A	8	ARG
21	A	15	LEU
21	A	16	LYS
21	A	19	LYS
21	A	20	ASP
21	A	25	TYR
21	A	33	LEU
21	A	39	LEU
21	A	52	ARG
21	A	58	ILE
21	A	59	THR
21	A	64	GLU
21	A	84	LEU

Model ID	Chain	Residue ID	Residue type
21	A	105	GLN
21	A	106	MET
21	A	108	GLU
21	A	114	PHE
21	A	121	LEU
21	A	126	TRP
21	A	128	GLU
21	A	139	TYR
21	A	148	ARG
22	A	11	GLU
22	A	14	ARG
22	A	19	LYS
22	A	22	GLU
22	A	25	TYR
22	A	32	LEU
22	A	35	LYS
22	A	50	ILE
22	A	53	ASN
22	A	67	PHE
22	A	96	ARG
22	A	102	MET
22	A	106	MET
22	A	122	GLN

Model ID	Chain	Residue ID	Residue type
22	A	126	TRP
22	A	133	LEU
22	A	147	LYS
23	A	161	TYR
23	A	7	LEU
23	A	17	ILE
23	A	18	TYR
23	A	22	GLU
23	A	26	THR
23	A	35	LYS
23	A	39	LEU
23	A	43	LYS
23	A	58	ILE
23	A	91	LEU
23	A	105	GLN
23	A	119	ARG
23	A	121	LEU
23	A	126	TRP
23	A	139	TYR
23	A	147	LYS
24	A	148	ARG
24	A	161	TYR
24	A	5	GLU

Model ID	Chain	Residue ID	Residue type
24	A	11	GLU
24	A	17	ILE
24	A	19	LYS
24	A	26	THR
24	A	33	LEU
24	A	43	LYS
24	A	46	LEU
24	A	47	ASP
24	A	52	ARG
24	A	55	ASN
24	A	62	GLU
24	A	84	LEU
24	A	124	LYS
24	A	125	ARG
24	A	126	TRP
24	A	135	LYS
24	A	137	ARG
24	A	142	THR
24	A	147	LYS
25	A	154	ARG
25	A	161	TYR
25	A	1	MET
25	A	7	LEU

Model ID	Chain	Residue ID	Residue type
25	A	11	GLU
25	A	14	ARG
25	A	18	TYR
25	A	21	THR
25	A	22	GLU
25	A	27	ILE
25	A	33	LEU
25	A	35	LYS
25	A	38	SER
25	A	43	LYS
25	A	50	ILE
25	A	52	ARG
25	A	55	ASN
25	A	61	ASP
25	A	62	GLU
25	A	65	LYS
25	A	66	LEU
25	A	67	PHE
25	A	96	ARG
25	A	106	MET
25	A	118	LEU
25	A	123	GLN
25	A	128	GLU

Model ID	Chain	Residue ID	Residue type
25	A	135	LYS
25	A	139	TYR
26	A	159	ASP
26	A	162	LYS
26	A	5	GLU
26	A	7	LEU
26	A	8	ARG
26	A	17	ILE
26	A	20	ASP
26	A	35	LYS
26	A	45	GLU
26	A	58	ILE
26	A	64	GLU
26	A	66	LEU
26	A	78	ILE
26	A	84	LEU
26	A	91	LEU
26	A	106	MET
26	A	118	LEU
26	A	119	ARG
26	A	121	LEU
26	A	124	LYS
26	A	126	TRP

Model ID	Chain	Residue ID	Residue type
26	A	127	ASP
26	A	128	GLU
26	A	133	LEU
26	A	137	ARG
26	A	139	TYR
27	A	148	ARG
27	A	153	PHE
27	A	154	ARG
27	A	161	TYR
27	A	5	GLU
27	A	6	MET
27	A	13	LEU
27	A	15	LEU
27	A	20	ASP
27	A	22	GLU
27	A	24	TYR
27	A	35	LYS
27	A	36	SER
27	A	43	LYS
27	A	58	ILE
27	A	80	ARG
27	A	84	LEU
27	A	92	ASP

Model ID	Chain	Residue ID	Residue type
27	A	105	GLN
27	A	106	MET
27	A	121	LEU
27	A	126	TRP
27	A	127	ASP
27	A	139	TYR
28	A	161	TYR
28	A	22	GLU
28	A	25	TYR
28	A	26	THR
28	A	29	ILE
28	A	33	LEU
28	A	35	LYS
28	A	38	SER
28	A	39	LEU
28	A	46	LEU
28	A	55	ASN
28	A	64	GLU
28	A	92	ASP
28	A	106	MET
28	A	124	LYS
28	A	128	GLU
28	A	142	THR

Model ID	Chain	Residue ID	Residue type
29	A	145	ARG
29	A	154	ARG
29	A	161	TYR
29	A	11	GLU
29	A	15	LEU
29	A	25	TYR
29	A	29	ILE
29	A	43	LYS
29	A	50	ILE
29	A	52	ARG
29	A	58	ILE
29	A	60	LYS
29	A	64	GLU
29	A	66	LEU
29	A	67	PHE
29	A	84	LEU
29	A	106	MET
29	A	118	LEU
29	A	121	LEU
29	A	124	LYS
29	A	127	ASP
29	A	137	ARG
29	A	139	TYR

Model ID	Chain	Residue ID	Residue type
30	A	161	TYR
30	A	6	MET
30	A	7	LEU
30	A	22	GLU
30	A	26	THR
30	A	33	LEU
30	A	35	LYS
30	A	43	LYS
30	A	46	LEU
30	A	48	LYS
30	A	55	ASN
30	A	60	LYS
30	A	62	GLU
30	A	91	LEU
30	A	106	MET
30	A	108	GLU
30	A	122	GLN
30	A	124	LYS
30	A	125	ARG
30	A	126	TRP
30	A	142	THR
31	A	145	ARG
31	A	147	LYS

Model ID	Chain	Residue ID	Residue type
31	A	161	TYR
31	A	162	LYS
31	A	5	GLU
31	A	6	MET
31	A	7	LEU
31	A	11	GLU
31	A	13	LEU
31	A	15	LEU
31	A	19	LYS
31	A	20	ASP
31	A	25	TYR
31	A	26	THR
31	A	45	GLU
31	A	52	ARG
31	A	58	ILE
31	A	64	GLU
31	A	65	LYS
31	A	66	LEU
31	A	84	LEU
31	A	105	GLN
31	A	106	MET
31	A	108	GLU
31	A	121	LEU

Model ID	Chain	Residue ID	Residue type
31	A	124	LYS
31	A	126	TRP
31	A	128	GLU
31	A	137	ARG
31	A	139	TYR
32	A	161	TYR
32	A	5	GLU
32	A	7	LEU
32	A	16	LYS
32	A	26	THR
32	A	33	LEU
32	A	35	LYS
32	A	43	LYS
32	A	46	LEU
32	A	53	ASN
32	A	55	ASN
32	A	62	GLU
32	A	64	GLU
32	A	83	LYS
32	A	89	ASP
32	A	91	LEU
32	A	92	ASP
32	A	106	MET

Model ID	Chain	Residue ID	Residue type
32	A	109	THR
32	A	116	ASN
32	A	124	LYS
32	A	125	ARG
32	A	126	TRP
33	A	161	TYR
33	A	7	LEU
33	A	11	GLU
33	A	14	ARG
33	A	20	ASP
33	A	33	LEU
33	A	35	LYS
33	A	46	LEU
33	A	84	LEU
33	A	85	LYS
33	A	106	MET
33	A	108	GLU
33	A	109	THR
33	A	127	ASP
33	A	128	GLU
33	A	139	TYR
34	A	141	GLN
34	A	161	TYR

Model ID	Chain	Residue ID	Residue type
34	A	7	LEU
34	A	11	GLU
34	A	15	LEU
34	A	16	LYS
34	A	17	ILE
34	A	19	LYS
34	A	20	ASP
34	A	21	THR
34	A	25	TYR
34	A	45	GLU
34	A	48	LYS
34	A	52	ARG
34	A	58	ILE
34	A	60	LYS
34	A	66	LEU
34	A	76	ARG
34	A	83	LYS
34	A	84	LEU
34	A	85	LYS
34	A	105	GLN
34	A	106	MET
34	A	108	GLU
34	A	114	PHE

Model ID	Chain	Residue ID	Residue type
34	A	121	LEU
34	A	126	TRP
34	A	137	ARG
34	A	139	TYR
35	A	145	ARG
35	A	161	TYR
35	A	11	GLU
35	A	20	ASP
35	A	21	THR
35	A	31	HIS
35	A	35	LYS
35	A	46	LEU
35	A	48	LYS
35	A	50	ILE
35	A	52	ARG
35	A	67	PHE
35	A	83	LYS
35	A	102	MET
35	A	122	GLN
35	A	123	GLN
35	A	138	TRP
35	A	139	TYR
36	A	145	ARG

Model ID	Chain	Residue ID	Residue type
36	A	161	TYR
36	A	6	MET
36	A	16	LYS
36	A	25	TYR
36	A	26	THR
36	A	27	ILE
36	A	35	LYS
36	A	39	LEU
36	A	45	GLU
36	A	46	LEU
36	A	52	ARG
36	A	55	ASN
36	A	62	GLU
36	A	90	SER
36	A	106	MET
36	A	121	LEU
36	A	122	GLN
36	A	124	LYS
36	A	128	GLU
36	A	133	LEU
36	A	135	LYS
37	A	142	THR
37	A	154	ARG

Model ID	Chain	Residue ID	Residue type
37	A	161	TYR
37	A	162	LYS
37	A	3	ILE
37	A	5	GLU
37	A	7	LEU
37	A	13	LEU
37	A	17	ILE
37	A	27	ILE
37	A	39	LEU
37	A	52	ARG
37	A	64	GLU
37	A	76	ARG
37	A	84	LEU
37	A	106	MET
37	A	108	GLU
37	A	121	LEU
37	A	126	TRP
37	A	127	ASP
37	A	128	GLU
37	A	135	LYS
38	A	145	ARG
38	A	148	ARG
38	A	154	ARG

Model ID	Chain	Residue ID	Residue type
38	A	161	TYR
38	A	162	LYS
38	A	7	LEU
38	A	11	GLU
38	A	16	LYS
38	A	20	ASP
38	A	27	ILE
38	A	33	LEU
38	A	39	LEU
38	A	45	GLU
38	A	58	ILE
38	A	62	GLU
38	A	68	ASN
38	A	80	ARG
38	A	84	LEU
38	A	85	LYS
38	A	88	TYR
38	A	89	ASP
38	A	91	LEU
38	A	121	LEU
38	A	125	ARG
38	A	126	TRP
38	A	128	GLU

Model ID	Chain	Residue ID	Residue type
38	A	133	LEU
39	A	139	TYR
39	A	148	ARG
39	A	153	PHE
39	A	161	TYR
39	A	162	LYS
39	A	11	GLU
39	A	16	LYS
39	A	25	TYR
39	A	33	LEU
39	A	35	LYS
39	A	47	ASP
39	A	50	ILE
39	A	53	ASN
39	A	58	ILE
39	A	64	GLU
39	A	66	LEU
39	A	67	PHE
39	A	80	ARG
39	A	117	SER
39	A	121	LEU
39	A	122	GLN
39	A	127	ASP

Model ID	Chain	Residue ID	Residue type
40	A	161	TYR
40	A	5	GLU
40	A	14	ARG
40	A	19	LYS
40	A	21	THR
40	A	26	THR
40	A	33	LEU
40	A	35	LYS
40	A	36	SER
40	A	39	LEU
40	A	40	ASN
40	A	46	LEU
40	A	52	ARG
40	A	55	ASN
40	A	62	GLU
40	A	72	ASP
40	A	91	LEU
40	A	106	MET
40	A	118	LEU
40	A	122	GLN
40	A	125	ARG
40	A	126	TRP
40	A	128	GLU

Model ID	Chain	Residue ID	Residue type
41	A	137	ARG
41	A	141	GLN
41	A	147	LYS
41	A	148	ARG
41	A	161	TYR
41	A	5	GLU
41	A	7	LEU
41	A	15	LEU
41	A	16	LYS
41	A	19	LYS
41	A	20	ASP
41	A	33	LEU
41	A	35	LYS
41	A	39	LEU
41	A	43	LYS
41	A	58	ILE
41	A	84	LEU
41	A	105	GLN
41	A	106	MET
41	A	118	LEU
41	A	121	LEU
41	A	126	TRP
42	A	139	TYR

Model ID	Chain	Residue ID	Residue type
42	A	148	ARG
42	A	161	TYR
42	A	162	LYS
42	A	7	LEU
42	A	11	GLU
42	A	15	LEU
42	A	19	LYS
42	A	21	THR
42	A	27	ILE
42	A	29	ILE
42	A	31	HIS
42	A	35	LYS
42	A	47	ASP
42	A	53	ASN
42	A	58	ILE
42	A	62	GLU
42	A	64	GLU
42	A	66	LEU
42	A	67	PHE
42	A	84	LEU
42	A	106	MET
42	A	121	LEU
42	A	126	TRP

Model ID	Chain	Residue ID	Residue type
42	A	128	GLU
43	A	139	TYR
43	A	148	ARG
43	A	161	TYR
43	A	1	MET
43	A	5	GLU
43	A	6	MET
43	A	7	LEU
43	A	15	LEU
43	A	16	LYS
43	A	20	ASP
43	A	21	THR
43	A	26	THR
43	A	35	LYS
43	A	39	LEU
43	A	52	ARG
43	A	62	GLU
43	A	64	GLU
43	A	65	LYS
43	A	67	PHE
43	A	84	LEU
43	A	91	LEU
43	A	92	ASP

Model ID	Chain	Residue ID	Residue type
43	A	105	GLN
43	A	106	MET
43	A	117	SER
43	A	121	LEU
43	A	122	GLN
43	A	124	LYS
43	A	126	TRP
44	A	136	SER
44	A	139	TYR
44	A	148	ARG
44	A	161	TYR
44	A	162	LYS
44	A	7	LEU
44	A	11	GLU
44	A	14	ARG
44	A	16	LYS
44	A	19	LYS
44	A	20	ASP
44	A	26	THR
44	A	27	ILE
44	A	31	HIS
44	A	32	LEU
44	A	52	ARG

Model ID	Chain	Residue ID	Residue type
44	A	59	THR
44	A	65	LYS
44	A	91	LEU
44	A	105	GLN
44	A	106	MET
44	A	121	LEU
44	A	126	TRP
44	A	127	ASP
44	A	128	GLU
45	A	135	LYS
45	A	138	TRP
45	A	145	ARG
45	A	147	LYS
45	A	148	ARG
45	A	154	ARG
45	A	162	LYS
45	A	7	LEU
45	A	11	GLU
45	A	15	LEU
45	A	19	LYS
45	A	20	ASP
45	A	25	TYR
45	A	27	ILE

Model ID	Chain	Residue ID	Residue type
45	A	43	LYS
45	A	48	LYS
45	A	52	ARG
45	A	58	ILE
45	A	62	GLU
45	A	66	LEU
45	A	80	ARG
45	A	91	LEU
45	A	106	MET
45	A	119	ARG
45	A	121	LEU
45	A	126	TRP
45	A	128	GLU
46	A	137	ARG
46	A	145	ARG
46	A	148	ARG
46	A	161	TYR
46	A	11	GLU
46	A	15	LEU
46	A	17	ILE
46	A	19	LYS
46	A	20	ASP
46	A	25	TYR

Model ID	Chain	Residue ID	Residue type
46	A	27	ILE
46	A	35	LYS
46	A	39	LEU
46	A	46	LEU
46	A	47	ASP
46	A	48	LYS
46	A	58	ILE
46	A	66	LEU
46	A	80	ARG
46	A	84	LEU
46	A	89	ASP
46	A	95	ARG
46	A	121	LEU
46	A	126	TRP
47	A	145	ARG
47	A	148	ARG
47	A	161	TYR
47	A	11	GLU
47	A	16	LYS
47	A	18	TYR
47	A	19	LYS
47	A	26	THR
47	A	35	LYS

Model ID	Chain	Residue ID	Residue type
47	A	45	GLU
47	A	48	LYS
47	A	52	ARG
47	A	72	ASP
47	A	80	ARG
47	A	118	LEU
47	A	122	GLN
47	A	124	LYS
47	A	125	ARG
48	A	142	THR
48	A	154	ARG
48	A	161	TYR
48	A	1	MET
48	A	22	GLU
48	A	26	THR
48	A	35	LYS
48	A	39	LEU
48	A	55	ASN
48	A	60	LYS
48	A	62	GLU
48	A	64	GLU
48	A	65	LYS
48	A	66	LEU

Model ID	Chain	Residue ID	Residue type
48	A	91	LEU
48	A	92	ASP
48	A	95	ARG
48	A	100	ILE
48	A	105	GLN
48	A	106	MET
48	A	126	TRP
49	A	142	THR
49	A	161	TYR
49	A	162	LYS
49	A	11	GLU
49	A	14	ARG
49	A	25	TYR
49	A	26	THR
49	A	35	LYS
49	A	46	LEU
49	A	48	LYS
49	A	55	ASN
49	A	66	LEU
49	A	72	ASP
49	A	80	ARG
49	A	83	LYS
49	A	84	LEU

Model ID	Chain	Residue ID	Residue type
49	A	85	LYS
49	A	118	LEU
49	A	126	TRP
49	A	127	ASP
50	A	133	LEU
50	A	1	MET
50	A	7	LEU
50	A	8	ARG
50	A	13	LEU
50	A	17	ILE
50	A	21	THR
50	A	26	THR
50	A	33	LEU
50	A	35	LYS
50	A	43	LYS
50	A	48	LYS
50	A	52	ARG
50	A	53	ASN
50	A	58	ILE
50	A	60	LYS
50	A	65	LYS
50	A	72	ASP
50	A	84	LEU

Model ID	Chain	Residue ID	Residue type
50	A	92	ASP
50	A	121	LEU
50	A	124	LYS
50	A	126	TRP
50	A	127	ASP
50	A	128	GLU
51	A	139	TYR
51	A	147	LYS
51	A	148	ARG
51	A	154	ARG
51	A	161	TYR
51	A	1	MET
51	A	5	GLU
51	A	7	LEU
51	A	11	GLU
51	A	14	ARG
51	A	15	LEU
51	A	17	ILE
51	A	19	LYS
51	A	20	ASP
51	A	21	THR
51	A	22	GLU
51	A	25	TYR

Model ID	Chain	Residue ID	Residue type
51	A	33	LEU
51	A	35	LYS
51	A	39	LEU
51	A	47	ASP
51	A	52	ARG
51	A	58	ILE
51	A	59	THR
51	A	60	LYS
51	A	64	GLU
51	A	66	LEU
51	A	67	PHE
51	A	68	ASN
51	A	71	VAL
51	A	84	LEU
51	A	91	LEU
51	A	92	ASP
51	A	105	GLN
51	A	106	MET
51	A	116	ASN
51	A	121	LEU
51	A	126	TRP
52	A	133	LEU
52	A	148	ARG

Model ID	Chain	Residue ID	Residue type
52	A	161	TYR
52	A	1	MET
52	A	5	GLU
52	A	11	GLU
52	A	15	LEU
52	A	18	TYR
52	A	19	LYS
52	A	20	ASP
52	A	21	THR
52	A	25	TYR
52	A	27	ILE
52	A	31	HIS
52	A	40	ASN
52	A	48	LYS
52	A	50	ILE
52	A	60	LYS
52	A	61	ASP
52	A	64	GLU
52	A	66	LEU
52	A	67	PHE
52	A	102	MET
52	A	106	MET
52	A	117	SER

Model ID	Chain	Residue ID	Residue type
53	A	154	ARG
53	A	7	LEU
53	A	8	ARG
53	A	11	GLU
53	A	16	LYS
53	A	18	TYR
53	A	22	GLU
53	A	25	TYR
53	A	26	THR
53	A	35	LYS
53	A	39	LEU
53	A	45	GLU
53	A	47	ASP
53	A	52	ARG
53	A	58	ILE
53	A	60	LYS
53	A	62	GLU
53	A	64	GLU
53	A	65	LYS
53	A	76	ARG
53	A	79	LEU
53	A	83	LYS
53	A	84	LEU

Model ID	Chain	Residue ID	Residue type
53	A	96	ARG
53	A	106	MET
53	A	121	LEU
53	A	124	LYS
53	A	126	TRP
54	A	147	LYS
54	A	148	ARG
54	A	161	TYR
54	A	5	GLU
54	A	7	LEU
54	A	11	GLU
54	A	15	LEU
54	A	19	LYS
54	A	20	ASP
54	A	25	TYR
54	A	27	ILE
54	A	39	LEU
54	A	58	ILE
54	A	84	LEU
54	A	85	LYS
54	A	92	ASP
54	A	105	GLN
54	A	106	MET

Model ID	Chain	Residue ID	Residue type
54	A	114	PHE
54	A	121	LEU
55	A	126	TRP
55	A	128	GLU
55	A	139	TYR
55	A	154	ARG
55	A	161	TYR
55	A	162	LYS
55	A	7	LEU
55	A	11	GLU
55	A	15	LEU
55	A	20	ASP
55	A	22	GLU
55	A	25	TYR
55	A	26	THR
55	A	27	ILE
55	A	33	LEU
55	A	39	LEU
55	A	46	LEU
55	A	48	LYS
55	A	52	ARG
55	A	60	LYS
55	A	67	PHE

Model ID	Chain	Residue ID	Residue type
55	A	68	ASN
55	A	79	LEU
55	A	84	LEU
55	A	105	GLN
55	A	106	MET
55	A	121	LEU
55	A	125	ARG
56	A	126	TRP
56	A	139	TYR
56	A	148	ARG
56	A	161	TYR
56	A	162	LYS
56	A	7	LEU
56	A	11	GLU
56	A	14	ARG
56	A	15	LEU
56	A	17	ILE
56	A	22	GLU
56	A	25	TYR
56	A	26	THR
56	A	39	LEU
56	A	45	GLU
56	A	53	ASN

Model ID	Chain	Residue ID	Residue type
56	A	58	ILE
56	A	62	GLU
56	A	64	GLU
56	A	65	LYS
56	A	84	LEU
56	A	91	LEU
56	A	96	ARG
56	A	105	GLN
56	A	106	MET
56	A	118	LEU
56	A	121	LEU
56	A	122	GLN
56	A	124	LYS
57	A	126	TRP
57	A	128	GLU
57	A	135	LYS
57	A	138	TRP
57	A	148	ARG
57	A	11	GLU
57	A	15	LEU
57	A	16	LYS
57	A	18	TYR
57	A	19	LYS

Model ID	Chain	Residue ID	Residue type
57	A	25	TYR
57	A	29	ILE
57	A	38	SER
57	A	46	LEU
57	A	47	ASP
57	A	50	ILE
57	A	52	ARG
57	A	66	LEU
57	A	83	LYS
57	A	84	LEU
57	A	85	LYS
57	A	106	MET
57	A	119	ARG
58	A	148	ARG
58	A	11	GLU
58	A	14	ARG
58	A	15	LEU
58	A	20	ASP
58	A	25	TYR
58	A	31	HIS
58	A	35	LYS
58	A	46	LEU
58	A	48	LYS

Model ID	Chain	Residue ID	Residue type
58	A	64	GLU
58	A	67	PHE
58	A	83	LYS
58	A	106	MET
58	A	118	LEU
58	A	119	ARG
58	A	122	GLN
59	A	128	GLU
59	A	139	TYR
59	A	145	ARG
59	A	161	TYR
59	A	1	MET
59	A	25	TYR
59	A	26	THR
59	A	33	LEU
59	A	35	LYS
59	A	38	SER
59	A	55	ASN
59	A	62	GLU
59	A	84	LEU
59	A	91	LEU
59	A	92	ASP
59	A	106	MET

Model ID	Chain	Residue ID	Residue type
60	A	128	GLU
60	A	135	LYS
60	A	142	THR
60	A	147	LYS
60	A	161	TYR
60	A	162	LYS
60	A	8	ARG
60	A	11	GLU
60	A	35	LYS
60	A	45	GLU
60	A	46	LEU
60	A	67	PHE
60	A	83	LYS
60	A	84	LEU
60	A	106	MET
60	A	108	GLU
60	A	122	GLN
61	A	137	ARG
61	A	142	THR
61	A	147	LYS
61	A	161	TYR
61	A	7	LEU
61	A	13	LEU

Model ID	Chain	Residue ID	Residue type
61	A	17	ILE
61	A	26	THR
61	A	33	LEU
61	A	36	SER
61	A	39	LEU
61	A	45	GLU
61	A	55	ASN
61	A	83	LYS
61	A	89	ASP
61	A	91	LEU
61	A	96	ARG
61	A	106	MET
61	A	119	ARG
61	A	121	LEU
62	A	124	LYS
62	A	126	TRP
62	A	127	ASP
62	A	128	GLU
62	A	135	LYS
62	A	137	ARG
62	A	147	LYS
62	A	148	ARG
62	A	154	ARG

Model ID	Chain	Residue ID	Residue type
62	A	162	LYS
62	A	7	LEU
62	A	11	GLU
62	A	15	LEU
62	A	16	LYS
62	A	17	ILE
62	A	22	GLU
62	A	25	TYR
62	A	26	THR
62	A	27	ILE
62	A	35	LYS
62	A	39	LEU
62	A	48	LYS
62	A	52	ARG
62	A	66	LEU
62	A	68	ASN
62	A	71	VAL
62	A	80	ARG
62	A	85	LYS
62	A	105	GLN
62	A	106	MET
62	A	121	LEU
63	A	123	GLN

Model ID	Chain	Residue ID	Residue type
63	A	124	LYS
63	A	126	TRP
63	A	128	GLU
63	A	133	LEU
63	A	137	ARG
63	A	139	TYR
63	A	148	ARG
63	A	162	LYS
63	A	5	GLU
63	A	14	ARG
63	A	19	LYS
63	A	26	THR
63	A	35	LYS
63	A	39	LEU
63	A	52	ARG
63	A	64	GLU
63	A	66	LEU
63	A	76	ARG
63	A	80	ARG
63	A	84	LEU
63	A	91	LEU
63	A	92	ASP
63	A	105	GLN

Model ID	Chain	Residue ID	Residue type
64	A	127	ASP
64	A	128	GLU
64	A	147	LYS
64	A	161	TYR
64	A	5	GLU
64	A	7	LEU
64	A	8	ARG
64	A	14	ARG
64	A	15	LEU
64	A	16	LYS
64	A	19	LYS
64	A	26	THR
64	A	35	LYS
64	A	43	LYS
64	A	45	GLU
64	A	46	LEU
64	A	52	ARG
64	A	64	GLU
64	A	80	ARG
64	A	84	LEU
64	A	105	GLN
64	A	106	MET
64	A	108	GLU

Model ID	Chain	Residue ID	Residue type
64	A	118	LEU
65	A	121	LEU
65	A	122	GLN
65	A	126	TRP
65	A	137	ARG
65	A	139	TYR
65	A	140	ASN
65	A	141	GLN
65	A	148	ARG
65	A	161	TYR
65	A	5	GLU
65	A	7	LEU
65	A	8	ARG
65	A	11	GLU
65	A	13	LEU
65	A	14	ARG
65	A	15	LEU
65	A	22	GLU
65	A	25	TYR
65	A	27	ILE
65	A	60	LYS
65	A	65	LYS
65	A	80	ARG

Model ID	Chain	Residue ID	Residue type
65	A	83	LYS
65	A	84	LEU
65	A	105	GLN
65	A	106	MET
65	A	118	LEU
66	A	121	LEU
66	A	126	TRP
66	A	127	ASP
66	A	128	GLU
66	A	136	SER
66	A	139	TYR
66	A	161	TYR
66	A	5	GLU
66	A	6	MET
66	A	19	LYS
66	A	26	THR
66	A	33	LEU
66	A	35	LYS
66	A	45	GLU
66	A	84	LEU
66	A	106	MET
67	A	119	ARG
67	A	121	LEU

Model ID	Chain	Residue ID	Residue type
67	A	128	GLU
67	A	142	THR
67	A	161	TYR
67	A	7	LEU
67	A	11	GLU
67	A	15	LEU
67	A	20	ASP
67	A	22	GLU
67	A	25	TYR
67	A	26	THR
67	A	27	ILE
67	A	33	LEU
67	A	35	LYS
67	A	38	SER
67	A	39	LEU
67	A	43	LYS
67	A	48	LYS
67	A	52	ARG
67	A	58	ILE
67	A	60	LYS
67	A	66	LEU
67	A	84	LEU
67	A	105	GLN

Model ID	Chain	Residue ID	Residue type
67	A	106	MET
67	A	109	THR
68	A	121	LEU
68	A	122	GLN
68	A	123	GLN
68	A	124	LYS
68	A	125	ARG
68	A	126	TRP
68	A	127	ASP
68	A	128	GLU
68	A	139	TYR
68	A	148	ARG
68	A	161	TYR
68	A	162	LYS
68	A	7	LEU
68	A	11	GLU
68	A	15	LEU
68	A	20	ASP
68	A	22	GLU
68	A	25	TYR
68	A	32	LEU
68	A	33	LEU
68	A	35	LYS

Model ID	Chain	Residue ID	Residue type
68	A	39	LEU
68	A	43	LYS
68	A	52	ARG
68	A	58	ILE
68	A	60	LYS
68	A	65	LYS
68	A	84	LEU
68	A	105	GLN
68	A	106	MET
69	A	118	LEU
69	A	121	LEU
69	A	122	GLN
69	A	124	LYS
69	A	126	TRP
69	A	127	ASP
69	A	139	TYR
69	A	147	LYS
69	A	161	TYR
69	A	1	MET
69	A	5	GLU
69	A	11	GLU
69	A	14	ARG
69	A	15	LEU

Model ID	Chain	Residue ID	Residue type
69	A	16	LYS
69	A	18	TYR
69	A	19	LYS
69	A	20	ASP
69	A	21	THR
69	A	22	GLU
69	A	31	HIS
69	A	32	LEU
69	A	35	LYS
69	A	46	LEU
69	A	52	ARG
69	A	65	LYS
69	A	66	LEU
69	A	67	PHE
69	A	92	ASP
69	A	106	MET
69	A	114	PHE
70	A	127	ASP
70	A	128	GLU
70	A	139	TYR
70	A	145	ARG
70	A	161	TYR
70	A	8	ARG

Model ID	Chain	Residue ID	Residue type
70	A	11	GLU
70	A	26	THR
70	A	35	LYS
70	A	39	LEU
70	A	43	LYS
70	A	46	LEU
70	A	52	ARG
70	A	55	ASN
70	A	60	LYS
70	A	62	GLU
70	A	64	GLU
70	A	66	LEU
70	A	69	GLN
70	A	84	LEU
70	A	92	ASP
70	A	100	ILE
71	A	121	LEU
71	A	122	GLN
71	A	137	ARG
71	A	142	THR
71	A	145	ARG
71	A	161	TYR
71	A	5	GLU

Model ID	Chain	Residue ID	Residue type
71	A	7	LEU
71	A	26	THR
71	A	33	LEU
71	A	35	LYS
71	A	46	LEU
71	A	55	ASN
71	A	62	GLU
71	A	64	GLU
71	A	71	VAL
71	A	95	ARG
71	A	106	MET
72	A	119	ARG
72	A	122	GLN
72	A	124	LYS
72	A	126	TRP
72	A	135	LYS
72	A	139	TYR
72	A	141	GLN
72	A	142	THR
72	A	154	ARG
72	A	161	TYR
72	A	5	GLU
72	A	11	GLU

Model ID	Chain	Residue ID	Residue type
72	A	13	LEU
72	A	15	LEU
72	A	16	LYS
72	A	19	LYS
72	A	20	ASP
72	A	22	GLU
72	A	26	THR
72	A	31	HIS
72	A	35	LYS
72	A	46	LEU
72	A	52	ARG
72	A	58	ILE
72	A	60	LYS
72	A	64	GLU
72	A	80	ARG
72	A	83	LYS
72	A	84	LEU
72	A	91	LEU
72	A	105	GLN
72	A	106	MET
72	A	108	GLU
72	A	114	PHE
73	A	119	ARG

Model ID	Chain	Residue ID	Residue type
73	A	121	LEU
73	A	125	ARG
73	A	126	TRP
73	A	127	ASP
73	A	128	GLU
73	A	136	SER
73	A	138	TRP
73	A	145	ARG
73	A	148	ARG
73	A	161	TYR
73	A	11	GLU
73	A	14	ARG
73	A	20	ASP
73	A	32	LEU
73	A	35	LYS
73	A	40	ASN
73	A	43	LYS
73	A	50	ILE
73	A	65	LYS
73	A	66	LEU
73	A	67	PHE
73	A	69	GLN
73	A	76	ARG

Model ID	Chain	Residue ID	Residue type
73	A	80	ARG
74	A	123	GLN
74	A	138	TRP
74	A	147	LYS
74	A	5	GLU
74	A	6	MET
74	A	26	THR
74	A	33	LEU
74	A	35	LYS
74	A	46	LEU
74	A	48	LYS
74	A	52	ARG
74	A	55	ASN
74	A	61	ASP
74	A	62	GLU
74	A	69	GLN
74	A	84	LEU
74	A	89	ASP
74	A	106	MET
75	A	119	ARG
75	A	121	LEU
75	A	128	GLU
75	A	135	LYS

Model ID	Chain	Residue ID	Residue type
75	A	161	TYR
75	A	162	LYS
75	A	7	LEU
75	A	11	GLU
75	A	13	LEU
75	A	16	LYS
75	A	20	ASP
75	A	27	ILE
75	A	46	LEU
75	A	52	ARG
75	A	80	ARG
75	A	88	TYR
75	A	91	LEU
75	A	106	MET
76	A	114	PHE
76	A	118	LEU
76	A	121	LEU
76	A	124	LYS
76	A	126	TRP
76	A	128	GLU
76	A	133	LEU
76	A	137	ARG
76	A	139	TYR

Model ID	Chain	Residue ID	Residue type
76	A	148	ARG
76	A	5	GLU
76	A	7	LEU
76	A	8	ARG
76	A	14	ARG
76	A	17	ILE
76	A	18	TYR
76	A	25	TYR
76	A	26	THR
76	A	32	LEU
76	A	39	LEU
76	A	40	ASN
76	A	48	LYS
76	A	52	ARG
76	A	58	ILE
76	A	60	LYS
76	A	62	GLU
76	A	68	ASN
76	A	92	ASP
76	A	106	MET
77	A	118	LEU
77	A	121	LEU
77	A	126	TRP

Model ID	Chain	Residue ID	Residue type
77	A	128	GLU
77	A	138	TRP
77	A	147	LYS
77	A	148	ARG
77	A	151	THR
77	A	162	LYS
77	A	5	GLU
77	A	7	LEU
77	A	8	ARG
77	A	14	ARG
77	A	15	LEU
77	A	19	LYS
77	A	26	THR
77	A	33	LEU
77	A	35	LYS
77	A	45	GLU
77	A	48	LYS
77	A	52	ARG
77	A	67	PHE
77	A	68	ASN
77	A	81	ASN
77	A	84	LEU
77	A	105	GLN

Model ID	Chain	Residue ID	Residue type
77	A	106	MET
78	A	118	LEU
78	A	121	LEU
78	A	125	ARG
78	A	126	TRP
78	A	137	ARG
78	A	139	TYR
78	A	147	LYS
78	A	148	ARG
78	A	161	TYR
78	A	7	LEU
78	A	11	GLU
78	A	15	LEU
78	A	22	GLU
78	A	24	TYR
78	A	26	THR
78	A	27	ILE
78	A	32	LEU
78	A	35	LYS
78	A	43	LYS
78	A	58	ILE
78	A	62	GLU
78	A	66	LEU

Model ID	Chain	Residue ID	Residue type
78	A	67	PHE
78	A	76	ARG
78	A	80	ARG
78	A	84	LEU
78	A	102	MET
78	A	105	GLN
78	A	106	MET
79	A	120	MET
79	A	121	LEU
79	A	125	ARG
79	A	126	TRP
79	A	127	ASP
79	A	137	ARG
79	A	139	TYR
79	A	144	ASN
79	A	161	TYR
79	A	5	GLU
79	A	8	ARG
79	A	16	LYS
79	A	19	LYS
79	A	21	THR
79	A	22	GLU
79	A	25	TYR

Model ID	Chain	Residue ID	Residue type
79	A	26	THR
79	A	27	ILE
79	A	35	LYS
79	A	39	LEU
79	A	48	LYS
79	A	50	ILE
79	A	52	ARG
79	A	62	GLU
79	A	66	LEU
79	A	80	ARG
79	A	83	LYS
79	A	85	LYS
79	A	91	LEU
79	A	106	MET
80	A	116	ASN
80	A	119	ARG
80	A	121	LEU
80	A	122	GLN
80	A	127	ASP
80	A	128	GLU
80	A	142	THR
80	A	145	ARG
80	A	147	LYS

Model ID	Chain	Residue ID	Residue type
80	A	161	TYR
80	A	162	LYS
80	A	11	GLU
80	A	14	ARG
80	A	16	LYS
80	A	19	LYS
80	A	25	TYR
80	A	27	ILE
80	A	31	HIS
80	A	32	LEU
80	A	35	LYS
80	A	39	LEU
80	A	43	LYS
80	A	46	LEU
80	A	47	ASP
80	A	52	ARG
80	A	60	LYS
80	A	66	LEU
80	A	67	PHE
80	A	83	LYS
81	A	121	LEU
81	A	127	ASP
81	A	139	TYR

Model ID	Chain	Residue ID	Residue type
81	A	154	ARG
81	A	161	TYR
81	A	5	GLU
81	A	7	LEU
81	A	8	ARG
81	A	11	GLU
81	A	15	LEU
81	A	16	LYS
81	A	20	ASP
81	A	22	GLU
81	A	25	TYR
81	A	26	THR
81	A	35	LYS
81	A	39	LEU
81	A	45	GLU
81	A	46	LEU
81	A	52	ARG
81	A	58	ILE
81	A	62	GLU
81	A	64	GLU
81	A	66	LEU
81	A	70	ASP
81	A	79	LEU

Model ID	Chain	Residue ID	Residue type
81	A	80	ARG
81	A	84	LEU
81	A	92	ASP
81	A	106	MET
82	A	121	LEU
82	A	122	GLN
82	A	126	TRP
82	A	127	ASP
82	A	139	TYR
82	A	148	ARG
82	A	162	LYS
82	A	5	GLU
82	A	6	MET
82	A	7	LEU
82	A	8	ARG
82	A	19	LYS
82	A	20	ASP
82	A	25	TYR
82	A	26	THR
82	A	27	ILE
82	A	35	LYS
82	A	39	LEU
82	A	43	LYS

Model ID	Chain	Residue ID	Residue type
82	A	48	LYS
82	A	52	ARG
82	A	58	ILE
82	A	60	LYS
82	A	64	GLU
82	A	65	LYS
82	A	79	LEU
82	A	80	ARG
82	A	84	LEU
83	A	106	MET
83	A	121	LEU
83	A	122	GLN
83	A	124	LYS
83	A	126	TRP
83	A	127	ASP
83	A	139	TYR
83	A	141	GLN
83	A	161	TYR
83	A	18	TYR
83	A	19	LYS
83	A	27	ILE
83	A	31	HIS
83	A	43	LYS

Model ID	Chain	Residue ID	Residue type
83	A	46	LEU
83	A	48	LYS
83	A	50	ILE
83	A	52	ARG
83	A	60	LYS
83	A	64	GLU
83	A	67	PHE
83	A	83	LYS
84	A	106	MET
84	A	114	PHE
84	A	121	LEU
84	A	123	GLN
84	A	128	GLU
84	A	139	TYR
84	A	161	TYR
84	A	7	LEU
84	A	11	GLU
84	A	17	ILE
84	A	18	TYR
84	A	20	ASP
84	A	27	ILE
84	A	35	LYS
84	A	43	LYS

Model ID	Chain	Residue ID	Residue type
84	A	45	GLU
84	A	52	ARG
84	A	55	ASN
84	A	62	GLU
84	A	66	LEU
84	A	80	ARG
84	A	85	LYS
84	A	89	ASP
85	A	105	GLN
85	A	106	MET
85	A	121	LEU
85	A	126	TRP
85	A	128	GLU
85	A	133	LEU
85	A	139	TYR
85	A	144	ASN
85	A	148	ARG
85	A	11	GLU
85	A	14	ARG
85	A	15	LEU
85	A	27	ILE
85	A	35	LYS
85	A	39	LEU

Model ID	Chain	Residue ID	Residue type
85	A	50	ILE
85	A	52	ARG
85	A	58	ILE
85	A	67	PHE
85	A	85	LYS
85	A	91	LEU
85	A	92	ASP
86	A	119	ARG
86	A	127	ASP
86	A	133	LEU
86	A	139	TYR
86	A	161	TYR
86	A	11	GLU
86	A	16	LYS
86	A	35	LYS
86	A	46	LEU
86	A	52	ARG
86	A	53	ASN
86	A	55	ASN
86	A	92	ASP
87	A	106	MET
87	A	122	GLN
87	A	124	LYS

Model ID	Chain	Residue ID	Residue type
87	A	127	ASP
87	A	133	LEU
87	A	161	TYR
87	A	14	ARG
87	A	17	ILE
87	A	20	ASP
87	A	21	THR
87	A	26	THR
87	A	29	ILE
87	A	35	LYS
87	A	39	LEU
87	A	43	LYS
87	A	47	ASP
87	A	52	ARG
87	A	55	ASN
87	A	62	GLU
87	A	66	LEU
88	A	106	MET
88	A	125	ARG
88	A	128	GLU
88	A	161	TYR
88	A	11	GLU
88	A	20	ASP

Model ID	Chain	Residue ID	Residue type
88	A	22	GLU
88	A	25	TYR
88	A	27	ILE
88	A	31	HIS
88	A	35	LYS
88	A	45	GLU
88	A	46	LEU
88	A	47	ASP
88	A	52	ARG
88	A	62	GLU
88	A	66	LEU
88	A	84	LEU
88	A	91	LEU
89	A	106	MET
89	A	121	LEU
89	A	124	LYS
89	A	126	TRP
89	A	128	GLU
89	A	145	ARG
89	A	147	LYS
89	A	148	ARG
89	A	161	TYR
89	A	7	LEU

Model ID	Chain	Residue ID	Residue type
89	A	16	LYS
89	A	18	TYR
89	A	26	THR
89	A	33	LEU
89	A	35	LYS
89	A	39	LEU
89	A	45	GLU
89	A	46	LEU
89	A	52	ARG
89	A	55	ASN
89	A	60	LYS
89	A	62	GLU
89	A	64	GLU
89	A	66	LEU
89	A	83	LYS
89	A	84	LEU
90	A	106	MET
90	A	119	ARG
90	A	124	LYS
90	A	128	GLU
90	A	133	LEU
90	A	135	LYS
90	A	142	THR

Model ID	Chain	Residue ID	Residue type
90	A	147	LYS
90	A	154	ARG
90	A	161	TYR
90	A	162	LYS
90	A	7	LEU
90	A	18	TYR
90	A	19	LYS
90	A	22	GLU
90	A	27	ILE
90	A	29	ILE
90	A	31	HIS
90	A	35	LYS
90	A	46	LEU
90	A	47	ASP
90	A	50	ILE
90	A	58	ILE
90	A	61	ASP
90	A	66	LEU
90	A	76	ARG
90	A	85	LYS
91	A	106	MET
91	A	118	LEU
91	A	122	GLN

Model ID	Chain	Residue ID	Residue type
91	A	139	TYR
91	A	148	ARG
91	A	154	ARG
91	A	161	TYR
91	A	6	MET
91	A	7	LEU
91	A	15	LEU
91	A	16	LYS
91	A	20	ASP
91	A	25	TYR
91	A	26	THR
91	A	35	LYS
91	A	46	LEU
91	A	52	ARG
91	A	59	THR
91	A	60	LYS
91	A	83	LYS
91	A	84	LEU
92	A	102	MET
92	A	106	MET
92	A	119	ARG
92	A	121	LEU
92	A	126	TRP

Model ID	Chain	Residue ID	Residue type
92	A	137	ARG
92	A	139	TYR
92	A	141	GLN
92	A	153	PHE
92	A	161	TYR
92	A	162	LYS
92	A	7	LEU
92	A	11	GLU
92	A	14	ARG
92	A	17	ILE
92	A	18	TYR
92	A	20	ASP
92	A	22	GLU
92	A	25	TYR
92	A	26	THR
92	A	33	LEU
92	A	35	LYS
92	A	43	LYS
92	A	52	ARG
92	A	58	ILE
92	A	61	ASP
92	A	62	GLU
92	A	64	GLU

Model ID	Chain	Residue ID	Residue type
92	A	66	LEU
92	A	92	ASP
93	A	106	MET
93	A	118	LEU
93	A	121	LEU
93	A	125	ARG
93	A	126	TRP
93	A	128	GLU
93	A	141	GLN
93	A	145	ARG
93	A	147	LYS
93	A	148	ARG
93	A	161	TYR
93	A	5	GLU
93	A	7	LEU
93	A	10	ASP
93	A	25	TYR
93	A	26	THR
93	A	38	SER
93	A	64	GLU
93	A	66	LEU
93	A	91	LEU
94	A	106	MET

Model ID	Chain	Residue ID	Residue type
94	A	119	ARG
94	A	128	GLU
94	A	135	LYS
94	A	142	THR
94	A	161	TYR
94	A	5	GLU
94	A	7	LEU
94	A	15	LEU
94	A	17	ILE
94	A	20	ASP
94	A	25	TYR
94	A	26	THR
94	A	27	ILE
94	A	35	LYS
94	A	45	GLU
94	A	46	LEU
94	A	47	ASP
94	A	58	ILE
94	A	64	GLU
94	A	65	LYS
94	A	84	LEU
94	A	91	LEU
95	A	106	MET

Model ID	Chain	Residue ID	Residue type
95	A	108	GLU
95	A	118	LEU
95	A	119	ARG
95	A	121	LEU
95	A	126	TRP
95	A	128	GLU
95	A	148	ARG
95	A	161	TYR
95	A	7	LEU
95	A	9	ILE
95	A	15	LEU
95	A	17	ILE
95	A	19	LYS
95	A	20	ASP
95	A	21	THR
95	A	26	THR
95	A	27	ILE
95	A	32	LEU
95	A	43	LYS
95	A	45	GLU
95	A	46	LEU
95	A	52	ARG
95	A	58	ILE

Model ID	Chain	Residue ID	Residue type
95	A	59	THR
95	A	60	LYS
95	A	64	GLU
95	A	65	LYS
95	A	67	PHE
95	A	84	LEU
95	A	85	LYS
95	A	91	LEU
95	A	95	ARG
96	A	105	GLN
96	A	106	MET
96	A	118	LEU
96	A	121	LEU
96	A	124	LYS
96	A	126	TRP
96	A	127	ASP
96	A	147	LYS
96	A	161	TYR
96	A	162	LYS
96	A	7	LEU
96	A	16	LYS
96	A	29	ILE
96	A	33	LEU

Model ID	Chain	Residue ID	Residue type
96	A	39	LEU
96	A	43	LYS
96	A	52	ARG
96	A	55	ASN
96	A	60	LYS
96	A	62	GLU
96	A	80	ARG
96	A	92	ASP
97	A	106	MET
97	A	122	GLN
97	A	135	LYS
97	A	142	THR
97	A	5	GLU
97	A	7	LEU
97	A	16	LYS
97	A	19	LYS
97	A	20	ASP
97	A	26	THR
97	A	33	LEU
97	A	35	LYS
97	A	46	LEU
97	A	55	ASN
97	A	62	GLU

Model ID	Chain	Residue ID	Residue type
97	A	64	GLU
97	A	92	ASP
98	A	106	MET
98	A	124	LYS
98	A	125	ARG
98	A	126	TRP
98	A	137	ARG
98	A	147	LYS
98	A	161	TYR
98	A	8	ARG
98	A	11	GLU
98	A	14	ARG
98	A	26	THR
98	A	35	LYS
98	A	46	LEU
98	A	52	ARG
98	A	55	ASN
98	A	60	LYS
98	A	62	GLU
98	A	66	LEU
98	A	72	ASP
98	A	84	LEU
99	A	106	MET

Model ID	Chain	Residue ID	Residue type
99	A	108	GLU
99	A	119	ARG
99	A	120	MET
99	A	121	LEU
99	A	147	LYS
99	A	161	TYR
99	A	162	LYS
99	A	6	MET
99	A	8	ARG
99	A	14	ARG
99	A	15	LEU
99	A	19	LYS
99	A	20	ASP
99	A	21	THR
99	A	25	TYR
99	A	35	LYS
99	A	40	ASN
99	A	43	LYS
99	A	45	GLU
99	A	52	ARG
99	A	62	GLU
99	A	84	LEU
100	A	105	GLN

Model ID	Chain	Residue ID	Residue type
100	A	106	MET
100	A	119	ARG
100	A	121	LEU
100	A	124	LYS
100	A	125	ARG
100	A	126	TRP
100	A	136	SER
100	A	137	ARG
100	A	139	TYR
100	A	147	LYS
100	A	161	TYR
100	A	5	GLU
100	A	11	GLU
100	A	14	ARG
100	A	15	LEU
100	A	19	LYS
100	A	20	ASP
100	A	22	GLU
100	A	25	TYR
100	A	43	LYS
100	A	55	ASN
100	A	58	ILE
100	A	84	LEU

Model ID	Chain	Residue ID	Residue type
100	A	92	ASP
101	A	105	GLN
101	A	106	MET
101	A	119	ARG
101	A	121	LEU
101	A	123	GLN
101	A	126	TRP
101	A	128	GLU
101	A	135	LYS
101	A	137	ARG
101	A	139	TYR
101	A	161	TYR
101	A	5	GLU
101	A	8	ARG
101	A	16	LYS
101	A	19	LYS
101	A	26	THR
101	A	27	ILE
101	A	32	LEU
101	A	33	LEU
101	A	35	LYS
101	A	39	LEU
101	A	46	LEU

Model ID	Chain	Residue ID	Residue type
101	A	50	ILE
101	A	62	GLU
101	A	65	LYS
101	A	66	LEU
101	A	69	GLN
101	A	84	LEU
102	A	106	MET
102	A	109	THR
102	A	121	LEU
102	A	125	ARG
102	A	128	GLU
102	A	135	LYS
102	A	137	ARG
102	A	141	GLN
102	A	142	THR
102	A	148	ARG
102	A	161	TYR
102	A	1	MET
102	A	5	GLU
102	A	7	LEU
102	A	11	GLU
102	A	13	LEU
102	A	15	LEU

Model ID	Chain	Residue ID	Residue type
102	A	25	TYR
102	A	26	THR
102	A	32	LEU
102	A	35	LYS
102	A	39	LEU
102	A	45	GLU
102	A	48	LYS
102	A	53	ASN
102	A	58	ILE
102	A	60	LYS
102	A	65	LYS
102	A	68	ASN
102	A	76	ARG
102	A	83	LYS
102	A	84	LEU
103	A	91	LEU
103	A	95	ARG
103	A	96	ARG
103	A	106	MET
103	A	121	LEU
103	A	126	TRP
103	A	127	ASP
103	A	137	ARG

Model ID	Chain	Residue ID	Residue type
103	A	145	ARG
103	A	147	LYS
103	A	148	ARG
103	A	154	ARG
103	A	162	LYS
103	A	5	GLU
103	A	7	LEU
103	A	19	LYS
103	A	21	THR
103	A	22	GLU
103	A	24	TYR
103	A	33	LEU
103	A	35	LYS
103	A	43	LYS
103	A	48	LYS
103	A	52	ARG
103	A	58	ILE
103	A	64	GLU
103	A	65	LYS
103	A	84	LEU
104	A	91	LEU
104	A	92	ASP
104	A	105	GLN

Model ID	Chain	Residue ID	Residue type
104	A	106	MET
104	A	121	LEU
104	A	123	GLN
104	A	125	ARG
104	A	126	TRP
104	A	135	LYS
104	A	139	TYR
104	A	141	GLN
104	A	147	LYS
104	A	161	TYR
104	A	7	LEU
104	A	16	LYS
104	A	19	LYS
104	A	26	THR
104	A	31	HIS
104	A	35	LYS
104	A	52	ARG
104	A	64	GLU
104	A	80	ARG
105	A	105	GLN
105	A	106	MET
105	A	119	ARG
105	A	123	GLN

Model ID	Chain	Residue ID	Residue type
105	A	125	ARG
105	A	128	GLU
105	A	137	ARG
105	A	147	LYS
105	A	161	TYR
105	A	7	LEU
105	A	11	GLU
105	A	15	LEU
105	A	17	ILE
105	A	22	GLU
105	A	25	TYR
105	A	27	ILE
105	A	39	LEU
105	A	43	LYS
105	A	48	LYS
105	A	52	ARG
105	A	58	ILE
105	A	64	GLU
105	A	68	ASN
105	A	79	LEU
105	A	84	LEU
106	A	96	ARG
106	A	106	MET

Model ID	Chain	Residue ID	Residue type
106	A	118	LEU
106	A	121	LEU
106	A	123	GLN
106	A	124	LYS
106	A	126	TRP
106	A	135	LYS
106	A	145	ARG
106	A	147	LYS
106	A	148	ARG
106	A	161	TYR
106	A	5	GLU
106	A	19	LYS
106	A	20	ASP
106	A	21	THR
106	A	22	GLU
106	A	26	THR
106	A	35	LYS
106	A	46	LEU
106	A	62	GLU
106	A	66	LEU
106	A	83	LYS
106	A	85	LYS
107	A	106	MET

Model ID	Chain	Residue ID	Residue type
107	A	109	THR
107	A	125	ARG
107	A	135	LYS
107	A	142	THR
107	A	147	LYS
107	A	161	TYR
107	A	162	LYS
107	A	6	MET
107	A	7	LEU
107	A	11	GLU
107	A	16	LYS
107	A	21	THR
107	A	22	GLU
107	A	25	TYR
107	A	26	THR
107	A	29	ILE
107	A	33	LEU
107	A	35	LYS
107	A	46	LEU
107	A	50	ILE
107	A	52	ARG
107	A	55	ASN
107	A	62	GLU

Model ID	Chain	Residue ID	Residue type
107	A	67	PHE
107	A	84	LEU
108	A	106	MET
108	A	121	LEU
108	A	125	ARG
108	A	126	TRP
108	A	127	ASP
108	A	137	ARG
108	A	145	ARG
108	A	5	GLU
108	A	7	LEU
108	A	19	LYS
108	A	22	GLU
108	A	26	THR
108	A	33	LEU
108	A	35	LYS
108	A	38	SER
108	A	46	LEU
108	A	55	ASN
108	A	62	GLU
109	A	106	MET
109	A	108	GLU
109	A	123	GLN

Model ID	Chain	Residue ID	Residue type
109	A	125	ARG
109	A	142	THR
109	A	147	LYS
109	A	161	TYR
109	A	5	GLU
109	A	7	LEU
109	A	11	GLU
109	A	14	ARG
109	A	20	ASP
109	A	26	THR
109	A	47	ASP
109	A	55	ASN
109	A	62	GLU
109	A	84	LEU
110	A	89	ASP
110	A	92	ASP
110	A	106	MET
110	A	108	GLU
110	A	121	LEU
110	A	122	GLN
110	A	125	ARG
110	A	127	ASP
110	A	128	GLU

Model ID	Chain	Residue ID	Residue type
110	A	147	LYS
110	A	161	TYR
110	A	162	LYS
110	A	14	ARG
110	A	33	LEU
110	A	35	LYS
110	A	39	LEU
110	A	46	LEU
110	A	48	LYS
110	A	55	ASN
110	A	62	GLU
110	A	64	GLU
110	A	65	LYS
111	A	89	ASP
111	A	90	SER
111	A	92	ASP
111	A	100	ILE
111	A	106	MET
111	A	119	ARG
111	A	122	GLN
111	A	128	GLU
111	A	140	ASN
111	A	142	THR

Model ID	Chain	Residue ID	Residue type
111	A	145	ARG
111	A	159	ASP
111	A	161	TYR
111	A	5	GLU
111	A	7	LEU
111	A	8	ARG
111	A	22	GLU
111	A	26	THR
111	A	33	LEU
111	A	35	LYS
111	A	46	LEU
111	A	52	ARG
111	A	53	ASN
111	A	55	ASN
111	A	62	GLU
111	A	64	GLU
111	A	84	LEU
111	A	85	LYS
112	A	106	MET
112	A	121	LEU
112	A	123	GLN
112	A	124	LYS
112	A	127	ASP

Model ID	Chain	Residue ID	Residue type
112	A	128	GLU
112	A	147	LYS
112	A	161	TYR
112	A	162	LYS
112	A	1	MET
112	A	8	ARG
112	A	17	ILE
112	A	26	THR
112	A	29	ILE
112	A	46	LEU
112	A	47	ASP
112	A	52	ARG
112	A	66	LEU
112	A	76	ARG
112	A	80	ARG
113	A	119	ARG
113	A	154	ARG
113	A	162	LYS
113	A	5	GLU
113	A	15	LEU
113	A	20	ASP
113	A	24	TYR
113	A	43	LYS

Model ID	Chain	Residue ID	Residue type
113	A	45	GLU
113	A	52	ARG
113	A	58	ILE
113	A	76	ARG
113	A	84	LEU
114	A	91	LEU
114	A	92	ASP
114	A	106	MET
114	A	118	LEU
114	A	119	ARG
114	A	121	LEU
114	A	125	ARG
114	A	126	TRP
114	A	127	ASP
114	A	139	TYR
114	A	161	TYR
114	A	162	LYS
114	A	7	LEU
114	A	11	GLU
114	A	15	LEU
114	A	22	GLU
114	A	27	ILE
114	A	31	HIS

Model ID	Chain	Residue ID	Residue type
114	A	35	LYS
114	A	39	LEU
114	A	46	LEU
114	A	52	ARG
114	A	64	GLU
114	A	67	PHE
114	A	80	ARG
115	A	89	ASP
115	A	106	MET
115	A	128	GLU
115	A	139	TYR
115	A	147	LYS
115	A	161	TYR
115	A	5	GLU
115	A	14	ARG
115	A	16	LYS
115	A	26	THR
115	A	35	LYS
115	A	43	LYS
115	A	46	LEU
115	A	48	LYS
115	A	50	ILE
115	A	53	ASN

Model ID	Chain	Residue ID	Residue type
115	A	62	GLU
115	A	64	GLU
115	A	66	LEU
115	A	69	GLN
115	A	80	ARG
115	A	83	LYS
116	A	92	ASP
116	A	106	MET
116	A	121	LEU
116	A	122	GLN
116	A	124	LYS
116	A	126	TRP
116	A	127	ASP
116	A	142	THR
116	A	161	TYR
116	A	5	GLU
116	A	6	MET
116	A	7	LEU
116	A	11	GLU
116	A	15	LEU
116	A	19	LYS
116	A	20	ASP
116	A	25	TYR

Model ID	Chain	Residue ID	Residue type
116	A	35	LYS
116	A	47	ASP
116	A	52	ARG
116	A	60	LYS
116	A	71	VAL
117	A	84	LEU
117	A	105	GLN
117	A	106	MET
117	A	118	LEU
117	A	121	LEU
117	A	126	TRP
117	A	127	ASP
117	A	128	GLU
117	A	137	ARG
117	A	139	TYR
117	A	161	TYR
117	A	7	LEU
117	A	14	ARG
117	A	15	LEU
117	A	22	GLU
117	A	25	TYR
117	A	26	THR
117	A	27	ILE

Model ID	Chain	Residue ID	Residue type
117	A	39	LEU
117	A	43	LYS
117	A	45	GLU
117	A	46	LEU
117	A	52	ARG
117	A	60	LYS
117	A	62	GLU
117	A	65	LYS
117	A	70	ASP
118	A	84	LEU
118	A	85	LYS
118	A	105	GLN
118	A	106	MET
118	A	108	GLU
118	A	118	LEU
118	A	121	LEU
118	A	122	GLN
118	A	124	LYS
118	A	126	TRP
118	A	137	ARG
118	A	139	TYR
118	A	140	ASN
118	A	141	GLN

Model ID	Chain	Residue ID	Residue type
118	A	154	ARG
118	A	161	TYR
118	A	5	GLU
118	A	14	ARG
118	A	18	TYR
118	A	22	GLU
118	A	26	THR
118	A	31	HIS
118	A	35	LYS
118	A	39	LEU
118	A	43	LYS
118	A	46	LEU
118	A	53	ASN
118	A	67	PHE
118	A	76	ARG
119	A	84	LEU
119	A	91	LEU
119	A	106	MET
119	A	122	GLN
119	A	123	GLN
119	A	125	ARG
119	A	126	TRP
119	A	127	ASP

Model ID	Chain	Residue ID	Residue type
119	A	128	GLU
119	A	137	ARG
119	A	142	THR
119	A	145	ARG
119	A	154	ARG
119	A	161	TYR
119	A	7	LEU
119	A	8	ARG
119	A	11	GLU
119	A	14	ARG
119	A	15	LEU
119	A	19	LYS
119	A	20	ASP
119	A	21	THR
119	A	22	GLU
119	A	24	TYR
119	A	27	ILE
119	A	35	LYS
119	A	39	LEU
119	A	45	GLU
119	A	48	LYS
119	A	52	ARG
119	A	58	ILE

Model ID	Chain	Residue ID	Residue type
119	A	66	LEU
119	A	80	ARG
120	A	84	LEU
120	A	105	GLN
120	A	106	MET
120	A	118	LEU
120	A	121	LEU
120	A	123	GLN
120	A	124	LYS
120	A	126	TRP
120	A	139	TYR
120	A	145	ARG
120	A	154	ARG
120	A	4	PHE
120	A	8	ARG
120	A	11	GLU
120	A	13	LEU
120	A	16	LYS
120	A	20	ASP
120	A	27	ILE
120	A	33	LEU
120	A	43	LYS
120	A	62	GLU

Model ID	Chain	Residue ID	Residue type
120	A	65	LYS
120	A	72	ASP
120	A	79	LEU
121	A	83	LYS
121	A	84	LEU
121	A	95	ARG
121	A	99	LEU
121	A	118	LEU
121	A	119	ARG
121	A	121	LEU
121	A	124	LYS
121	A	126	TRP
121	A	132	ASN
121	A	137	ARG
121	A	139	TYR
121	A	11	GLU
121	A	22	GLU
121	A	29	ILE
121	A	33	LEU
121	A	35	LYS
121	A	48	LYS
121	A	60	LYS
121	A	62	GLU

Model ID	Chain	Residue ID	Residue type
121	A	65	LYS
121	A	69	GLN
121	A	76	ARG
121	A	79	LEU
122	A	84	LEU
122	A	88	TYR
122	A	99	LEU
122	A	108	GLU
122	A	119	ARG
122	A	124	LYS
122	A	126	TRP
122	A	127	ASP
122	A	132	ASN
122	A	147	LYS
122	A	151	THR
122	A	2	ASN
122	A	8	ARG
122	A	11	GLU
122	A	21	THR
122	A	33	LEU
122	A	35	LYS
122	A	53	ASN
122	A	60	LYS

Model ID	Chain	Residue ID	Residue type
122	A	62	GLU
122	A	65	LYS
122	A	67	PHE
122	A	81	ASN
123	A	83	LYS
123	A	84	LEU
123	A	85	LYS
123	A	91	LEU
123	A	95	ARG
123	A	99	LEU
123	A	100	ILE
123	A	104	PHE
123	A	125	ARG
123	A	126	TRP
123	A	128	GLU
123	A	132	ASN
123	A	135	LYS
123	A	137	ARG
123	A	1	MET
123	A	4	PHE
123	A	8	ARG
123	A	14	ARG
123	A	18	TYR

Model ID	Chain	Residue ID	Residue type
123	A	22	GLU
123	A	33	LEU
123	A	35	LYS
123	A	47	ASP
123	A	52	ARG
123	A	62	GLU
123	A	66	LEU
123	A	67	PHE
123	A	78	ILE
123	A	79	LEU
123	A	80	ARG
124	A	83	LYS
124	A	84	LEU
124	A	89	ASP
124	A	92	ASP
124	A	95	ARG
124	A	99	LEU
124	A	100	ILE
124	A	104	PHE
124	A	118	LEU
124	A	120	MET
124	A	124	LYS
124	A	125	ARG

Model ID	Chain	Residue ID	Residue type
124	A	126	TRP
124	A	132	ASN
124	A	139	TYR
124	A	6	MET
124	A	11	GLU
124	A	13	LEU
124	A	15	LEU
124	A	39	LEU
124	A	40	ASN
124	A	52	ARG
124	A	53	ASN
124	A	62	GLU
124	A	64	GLU
124	A	65	LYS
124	A	78	ILE
124	A	83	LYS
125	A	85	LYS
125	A	91	LEU
125	A	96	ARG
125	A	126	TRP
125	A	154	ARG
125	A	1	MET
125	A	10	ASP

Model ID	Chain	Residue ID	Residue type
125	A	11	GLU
125	A	13	LEU
125	A	22	GLU
125	A	27	ILE
125	A	39	LEU
125	A	43	LYS
125	A	44	SER
125	A	48	LYS
125	A	58	ILE
125	A	83	LYS
126	A	85	LYS
126	A	95	ARG
126	A	118	LEU
126	A	119	ARG
126	A	125	ARG
126	A	126	TRP
126	A	162	LYS
126	A	1	MET
126	A	13	LEU
126	A	15	LEU
126	A	22	GLU
126	A	27	ILE
126	A	29	ILE

Model ID	Chain	Residue ID	Residue type
126	A	33	LEU
126	A	43	LYS
126	A	45	GLU
126	A	46	LEU
126	A	48	LYS
126	A	50	ILE
126	A	52	ARG
126	A	61	ASP
126	A	62	GLU
126	A	64	GLU
126	A	67	PHE
126	A	78	ILE
126	A	79	LEU
126	A	83	LYS
127	A	84	LEU
127	A	95	ARG
127	A	99	LEU
127	A	100	ILE
127	A	104	PHE
127	A	115	THR
127	A	118	LEU
127	A	126	TRP
127	A	132	ASN

Model ID	Chain	Residue ID	Residue type
127	A	139	TYR
127	A	141	GLN
127	A	161	TYR
127	A	2	ASN
127	A	11	GLU
127	A	15	LEU
127	A	27	ILE
127	A	35	LYS
127	A	43	LYS
127	A	52	ARG
127	A	53	ASN
127	A	58	ILE
127	A	62	GLU
127	A	65	LYS
127	A	83	LYS
128	A	89	ASP
128	A	100	ILE
128	A	162	LYS
128	A	1	MET
128	A	4	PHE
128	A	11	GLU
128	A	13	LEU
128	A	20	ASP

Model ID	Chain	Residue ID	Residue type
128	A	22	GLU
128	A	33	LEU
128	A	48	LYS
128	A	50	ILE
128	A	61	ASP
128	A	62	GLU
128	A	64	GLU
128	A	66	LEU
128	A	67	PHE
128	A	70	ASP
128	A	72	ASP
128	A	79	LEU
128	A	83	LYS
128	A	84	LEU
129	A	99	LEU
129	A	100	ILE
129	A	118	LEU
129	A	124	LYS
129	A	126	TRP
129	A	132	ASN
129	A	135	LYS
129	A	139	TYR
129	A	144	ASN

Model ID	Chain	Residue ID	Residue type
129	A	151	THR
129	A	1	MET
129	A	4	PHE
129	A	8	ARG
129	A	13	LEU
129	A	33	LEU
129	A	62	GLU
129	A	66	LEU
129	A	67	PHE
129	A	69	GLN
129	A	70	ASP
129	A	80	ARG
129	A	83	LYS
129	A	84	LEU
130	A	95	ARG
130	A	99	LEU
130	A	118	LEU
130	A	119	ARG
130	A	122	GLN
130	A	124	LYS
130	A	126	TRP
130	A	132	ASN
130	A	1	MET

Model ID	Chain	Residue ID	Residue type
130	A	11	GLU
130	A	33	LEU
130	A	45	GLU
130	A	50	ILE
130	A	60	LYS
130	A	62	GLU
130	A	64	GLU
130	A	65	LYS
130	A	66	LEU
130	A	67	PHE
130	A	78	ILE
130	A	79	LEU
130	A	80	ARG
130	A	84	LEU
131	A	104	PHE
131	A	118	LEU
131	A	119	ARG
131	A	126	TRP
131	A	132	ASN
131	A	162	LYS
131	A	11	GLU
131	A	16	LYS
131	A	18	TYR

Model ID	Chain	Residue ID	Residue type
131	A	27	ILE
131	A	33	LEU
131	A	35	LYS
131	A	43	LYS
131	A	46	LEU
131	A	62	GLU
131	A	76	ARG
131	A	79	LEU
131	A	84	LEU
132	A	95	ARG
132	A	99	LEU
132	A	104	PHE
132	A	118	LEU
132	A	120	MET
132	A	126	TRP
132	A	127	ASP
132	A	132	ASN
132	A	154	ARG
132	A	1	MET
132	A	4	PHE
132	A	14	ARG
132	A	20	ASP
132	A	21	THR

Model ID	Chain	Residue ID	Residue type
132	A	22	GLU
132	A	24	TYR
132	A	33	LEU
132	A	35	LYS
132	A	46	LEU
132	A	50	ILE
132	A	52	ARG
132	A	62	GLU
132	A	66	LEU
132	A	80	ARG
132	A	83	LYS
132	A	84	LEU
132	A	85	LYS
133	A	106	MET
133	A	108	GLU
133	A	118	LEU
133	A	124	LYS
133	A	125	ARG
133	A	126	TRP
133	A	132	ASN
133	A	135	LYS
133	A	139	TYR
133	A	151	THR

Model ID	Chain	Residue ID	Residue type
133	A	162	LYS
133	A	1	MET
133	A	6	MET
133	A	11	GLU
133	A	14	ARG
133	A	15	LEU
133	A	16	LYS
133	A	19	LYS
133	A	27	ILE
133	A	39	LEU
133	A	43	LYS
133	A	48	LYS
133	A	52	ARG
133	A	53	ASN
133	A	60	LYS
133	A	76	ARG
133	A	80	ARG
133	A	83	LYS
133	A	85	LYS
134	A	89	ASP
134	A	91	LEU
134	A	116	ASN
134	A	126	TRP

Model ID	Chain	Residue ID	Residue type
134	A	128	GLU
134	A	151	THR
134	A	162	LYS
134	A	1	MET
134	A	8	ARG
134	A	15	LEU
134	A	16	LYS
134	A	18	TYR
134	A	22	GLU
134	A	33	LEU
134	A	35	LYS
134	A	43	LYS
134	A	45	GLU
134	A	48	LYS
134	A	62	GLU
134	A	68	ASN
134	A	79	LEU
134	A	80	ARG
134	A	84	LEU
135	A	91	LEU
135	A	95	ARG
135	A	99	LEU
135	A	104	PHE

Model ID	Chain	Residue ID	Residue type
135	A	118	LEU
135	A	120	MET
135	A	124	LYS
135	A	126	TRP
135	A	132	ASN
135	A	11	GLU
135	A	35	LYS
135	A	39	LEU
135	A	48	LYS
135	A	52	ARG
135	A	64	GLU
135	A	65	LYS
136	A	115	THR
136	A	126	TRP
136	A	161	TYR
136	A	1	MET
136	A	14	ARG
136	A	22	GLU
136	A	32	LEU
136	A	35	LYS
136	A	40	ASN
136	A	43	LYS
136	A	50	ILE

Model ID	Chain	Residue ID	Residue type
136	A	52	ARG
136	A	60	LYS
136	A	61	ASP
136	A	78	ILE
136	A	80	ARG
136	A	83	LYS
136	A	88	TYR
137	A	90	SER
137	A	92	ASP
137	A	94	VAL
137	A	99	LEU
137	A	102	MET
137	A	104	PHE
137	A	114	PHE
137	A	115	THR
137	A	126	TRP
137	A	145	ARG
137	A	162	LYS
137	A	4	PHE
137	A	11	GLU
137	A	13	LEU
137	A	15	LEU
137	A	22	GLU

Model ID	Chain	Residue ID	Residue type
137	A	27	ILE
137	A	39	LEU
137	A	43	LYS
137	A	48	LYS
137	A	81	ASN
137	A	83	LYS
138	A	96	ARG
138	A	100	ILE
138	A	102	MET
138	A	108	GLU
138	A	114	PHE
138	A	119	ARG
138	A	126	TRP
138	A	1	MET
138	A	2	ASN
138	A	4	PHE
138	A	7	LEU
138	A	10	ASP
138	A	14	ARG
138	A	22	GLU
138	A	33	LEU
138	A	43	LYS
138	A	48	LYS

Model ID	Chain	Residue ID	Residue type
138	A	60	LYS
138	A	62	GLU
138	A	65	LYS
138	A	66	LEU
138	A	68	ASN
138	A	80	ARG
138	A	83	LYS
138	A	85	LYS
139	A	95	ARG
139	A	99	LEU
139	A	104	PHE
139	A	117	SER
139	A	124	LYS
139	A	125	ARG
139	A	132	ASN
139	A	151	THR
139	A	162	LYS
139	A	1	MET
139	A	5	GLU
139	A	13	LEU
139	A	24	TYR
139	A	33	LEU
139	A	43	LYS

Model ID	Chain	Residue ID	Residue type
139	A	45	GLU
139	A	50	ILE
139	A	52	ARG
139	A	60	LYS
139	A	62	GLU
139	A	67	PHE
139	A	76	ARG
139	A	79	LEU
139	A	80	ARG
139	A	83	LYS
139	A	84	LEU
140	A	92	ASP
140	A	96	ARG
140	A	99	LEU
140	A	104	PHE
140	A	122	GLN
140	A	124	LYS
140	A	126	TRP
140	A	132	ASN
140	A	145	ARG
140	A	162	LYS
140	A	8	ARG
140	A	11	GLU

Model ID	Chain	Residue ID	Residue type
140	A	14	ARG
140	A	19	LYS
140	A	21	THR
140	A	62	GLU
140	A	72	ASP
140	A	76	ARG
140	A	79	LEU
140	A	84	LEU
141	A	91	LEU
141	A	119	ARG
141	A	126	TRP
141	A	127	ASP
141	A	128	GLU
141	A	161	TYR
141	A	162	LYS
141	A	1	MET
141	A	8	ARG
141	A	13	LEU
141	A	27	ILE
141	A	33	LEU
141	A	43	LYS
141	A	45	GLU
141	A	47	ASP

Model ID	Chain	Residue ID	Residue type
141	A	48	LYS
141	A	50	ILE
141	A	55	ASN
141	A	60	LYS
141	A	62	GLU
141	A	65	LYS
141	A	69	GLN
141	A	76	ARG
141	A	79	LEU
141	A	80	ARG
141	A	83	LYS
141	A	84	LEU
142	A	95	ARG
142	A	99	LEU
142	A	105	GLN
142	A	108	GLU
142	A	118	LEU
142	A	120	MET
142	A	126	TRP
142	A	132	ASN
142	A	141	GLN
142	A	1	MET
142	A	16	LYS

Model ID	Chain	Residue ID	Residue type
142	A	20	ASP
142	A	22	GLU
142	A	35	LYS
142	A	53	ASN
142	A	62	GLU
142	A	65	LYS
142	A	67	PHE
142	A	76	ARG
142	A	83	LYS
142	A	84	LEU
142	A	88	TYR
143	A	95	ARG
143	A	104	PHE
143	A	118	LEU
143	A	124	LYS
143	A	127	ASP
143	A	132	ASN
143	A	162	LYS
143	A	1	MET
143	A	4	PHE
143	A	8	ARG
143	A	11	GLU
143	A	13	LEU

Model ID	Chain	Residue ID	Residue type
143	A	15	LEU
143	A	16	LYS
143	A	27	ILE
143	A	33	LEU
143	A	43	LYS
143	A	52	ARG
143	A	60	LYS
143	A	62	GLU
143	A	65	LYS
143	A	66	LEU
143	A	76	ARG
143	A	79	LEU
143	A	84	LEU
144	A	104	PHE
144	A	118	LEU
144	A	122	GLN
144	A	124	LYS
144	A	126	TRP
144	A	128	GLU
144	A	132	ASN
144	A	139	TYR
144	A	1	MET
144	A	15	LEU

Model ID	Chain	Residue ID	Residue type
144	A	16	LYS
144	A	27	ILE
144	A	39	LEU
144	A	43	LYS
144	A	48	LYS
144	A	52	ARG
144	A	53	ASN
144	A	64	GLU
144	A	66	LEU
144	A	76	ARG
144	A	78	ILE
144	A	80	ARG
144	A	83	LYS
144	A	84	LEU
144	A	85	LYS
145	A	100	ILE
145	A	121	LEU
145	A	126	TRP
145	A	159	ASP
145	A	4	PHE
145	A	11	GLU
145	A	14	ARG
145	A	18	TYR

Model ID	Chain	Residue ID	Residue type
145	A	29	ILE
145	A	33	LEU
145	A	35	LYS
145	A	45	GLU
145	A	47	ASP
145	A	48	LYS
145	A	52	ARG
145	A	53	ASN
145	A	62	GLU
145	A	66	LEU
145	A	67	PHE
145	A	71	VAL
145	A	80	ARG
145	A	83	LYS
145	A	84	LEU
145	A	89	ASP
146	A	95	ARG
146	A	99	LEU
146	A	102	MET
146	A	104	PHE
146	A	118	LEU
146	A	119	ARG
146	A	124	LYS

Model ID	Chain	Residue ID	Residue type
146	A	126	TRP
146	A	132	ASN
146	A	140	ASN
146	A	145	ARG
146	A	1	MET
146	A	11	GLU
146	A	20	ASP
146	A	22	GLU
146	A	33	LEU
146	A	35	LYS
146	A	45	GLU
146	A	48	LYS
146	A	52	ARG
146	A	53	ASN
146	A	62	GLU
146	A	64	GLU
146	A	66	LEU
146	A	76	ARG
146	A	79	LEU
146	A	80	ARG
146	A	83	LYS
146	A	84	LEU
146	A	85	LYS

Model ID	Chain	Residue ID	Residue type
146	A	88	TYR
146	A	91	LEU
147	A	99	LEU
147	A	100	ILE
147	A	102	MET
147	A	104	PHE
147	A	118	LEU
147	A	121	LEU
147	A	124	LYS
147	A	126	TRP
147	A	1	MET
147	A	4	PHE
147	A	6	MET
147	A	11	GLU
147	A	13	LEU
147	A	26	THR
147	A	27	ILE
147	A	39	LEU
147	A	43	LYS
147	A	65	LYS
147	A	66	LEU
147	A	83	LYS
147	A	84	LEU

Model ID	Chain	Residue ID	Residue type
147	A	85	LYS
147	A	91	LEU
148	A	100	ILE
148	A	115	THR
148	A	125	ARG
148	A	126	TRP
148	A	162	LYS
148	A	4	PHE
148	A	13	LEU
148	A	16	LYS
148	A	19	LYS
148	A	20	ASP
148	A	29	ILE
148	A	33	LEU
148	A	40	ASN
148	A	43	LYS
148	A	45	GLU
148	A	46	LEU
148	A	48	LYS
148	A	52	ARG
148	A	62	GLU
148	A	69	GLN
148	A	70	ASP

Model ID	Chain	Residue ID	Residue type
148	A	76	ARG
148	A	84	LEU
149	A	95	ARG
149	A	99	LEU
149	A	104	PHE
149	A	108	GLU
149	A	118	LEU
149	A	119	ARG
149	A	125	ARG
149	A	126	TRP
149	A	127	ASP
149	A	132	ASN
149	A	161	TYR
149	A	1	MET
149	A	13	LEU
149	A	16	LYS
149	A	33	LEU
149	A	45	GLU
149	A	50	ILE
149	A	62	GLU
149	A	66	LEU
149	A	67	PHE
149	A	76	ARG

Model ID	Chain	Residue ID	Residue type
149	A	79	LEU
149	A	80	ARG
149	A	83	LYS
149	A	84	LEU
150	A	95	ARG
150	A	104	PHE
150	A	124	LYS
150	A	126	TRP
150	A	132	ASN
150	A	135	LYS
150	A	137	ARG
150	A	139	TYR
150	A	1	MET
150	A	11	GLU
150	A	14	ARG
150	A	15	LEU
150	A	27	ILE
150	A	33	LEU
150	A	43	LYS
150	A	45	GLU
150	A	47	ASP
150	A	62	GLU
150	A	69	GLN

Model ID	Chain	Residue ID	Residue type
150	A	71	VAL
150	A	76	ARG
150	A	78	ILE
150	A	79	LEU
150	A	80	ARG
150	A	83	LYS
150	A	84	LEU
150	A	95	ARG
151	A	102	MET
151	A	104	PHE
151	A	105	GLN
151	A	126	TRP
151	A	132	ASN
151	A	8	ARG
151	A	13	LEU
151	A	22	GLU
151	A	33	LEU
151	A	43	LYS
151	A	52	ARG
151	A	62	GLU
151	A	65	LYS
151	A	66	LEU
151	A	72	ASP

Model ID	Chain	Residue ID	Residue type
151	A	78	ILE
151	A	79	LEU
151	A	80	ARG
151	A	84	LEU
152	A	99	LEU
152	A	100	ILE
152	A	104	PHE
152	A	120	MET
152	A	124	LYS
152	A	126	TRP
152	A	127	ASP
152	A	132	ASN
152	A	141	GLN
152	A	1	MET
152	A	4	PHE
152	A	13	LEU
152	A	19	LYS
152	A	22	GLU
152	A	33	LEU
152	A	47	ASP
152	A	48	LYS
152	A	52	ARG
152	A	62	GLU

Model ID	Chain	Residue ID	Residue type
152	A	66	LEU
152	A	76	ARG
152	A	79	LEU
152	A	83	LYS
152	A	84	LEU
152	A	85	LYS
152	A	88	TYR
153	A	99	LEU
153	A	100	ILE
153	A	124	LYS
153	A	125	ARG
153	A	126	TRP
153	A	127	ASP
153	A	132	ASN
153	A	162	LYS
153	A	11	GLU
153	A	13	LEU
153	A	27	ILE
153	A	35	LYS
153	A	43	LYS
153	A	58	ILE
153	A	66	LEU
153	A	83	LYS

Model ID	Chain	Residue ID	Residue type
153	A	84	LEU
153	A	85	LYS
153	A	96	ARG
154	A	99	LEU
154	A	100	ILE
154	A	122	GLN
154	A	135	LYS
154	A	1	MET
154	A	13	LEU
154	A	14	ARG
154	A	22	GLU
154	A	33	LEU
154	A	35	LYS
154	A	46	LEU
154	A	48	LYS
154	A	62	GLU
154	A	65	LYS
154	A	66	LEU
154	A	79	LEU
154	A	80	ARG
154	A	84	LEU
155	A	99	LEU
155	A	100	ILE

Model ID	Chain	Residue ID	Residue type
155	A	120	MET
155	A	124	LYS
155	A	125	ARG
155	A	126	TRP
155	A	132	ASN
155	A	141	GLN
155	A	11	GLU
155	A	13	LEU
155	A	14	ARG
155	A	15	LEU
155	A	27	ILE
155	A	35	LYS
155	A	39	LEU
155	A	43	LYS
155	A	50	ILE
155	A	52	ARG
155	A	53	ASN
155	A	60	LYS
155	A	61	ASP
155	A	70	ASP
155	A	83	LYS
155	A	85	LYS
155	A	96	ARG

Model ID	Chain	Residue ID	Residue type
155	A	99	LEU
156	A	115	THR
156	A	118	LEU
156	A	120	MET
156	A	122	GLN
156	A	142	THR
156	A	8	ARG
156	A	10	ASP
156	A	11	GLU
156	A	14	ARG
156	A	27	ILE
156	A	35	LYS
156	A	39	LEU
156	A	43	LYS
156	A	45	GLU
156	A	48	LYS
156	A	50	ILE
156	A	68	ASN
156	A	83	LYS
156	A	84	LEU
156	A	89	ASP
156	A	99	LEU
157	A	100	ILE

Model ID	Chain	Residue ID	Residue type
157	A	104	PHE
157	A	115	THR
157	A	124	LYS
157	A	126	TRP
157	A	137	ARG
157	A	8	ARG
157	A	11	GLU
157	A	15	LEU
157	A	16	LYS
157	A	19	LYS
157	A	22	GLU
157	A	27	ILE
157	A	33	LEU
157	A	35	LYS
157	A	43	LYS
157	A	48	LYS
157	A	52	ARG
157	A	58	ILE
157	A	62	GLU
157	A	78	ILE
157	A	79	LEU
157	A	83	LYS
157	A	85	LYS

Model ID	Chain	Residue ID	Residue type
157	A	96	ARG
158	A	119	ARG
158	A	137	ARG
158	A	148	ARG
158	A	161	TYR
158	A	162	LYS
158	A	1	MET
158	A	11	GLU
158	A	19	LYS
158	A	27	ILE
158	A	39	LEU
158	A	43	LYS
158	A	48	LYS
158	A	52	ARG
158	A	53	ASN
158	A	62	GLU
158	A	64	GLU
158	A	66	LEU
158	A	76	ARG
158	A	78	ILE
158	A	80	ARG
158	A	83	LYS
158	A	100	ILE

Model ID	Chain	Residue ID	Residue type
159	A	104	PHE
159	A	106	MET
159	A	162	LYS
159	A	1	MET
159	A	6	MET
159	A	11	GLU
159	A	13	LEU
159	A	22	GLU
159	A	32	LEU
159	A	35	LYS
159	A	39	LEU
159	A	40	ASN
159	A	46	LEU
159	A	48	LYS
159	A	64	GLU
159	A	76	ARG
159	A	83	LYS
159	A	85	LYS
159	A	92	ASP
159	A	96	ARG
159	A	100	ILE
160	A	115	THR
160	A	6	MET

Model ID	Chain	Residue ID	Residue type
160	A	11	GLU
160	A	14	ARG
160	A	22	GLU
160	A	27	ILE
160	A	32	LEU
160	A	35	LYS
160	A	39	LEU
160	A	43	LYS
160	A	46	LEU
160	A	48	LYS
160	A	52	ARG
160	A	53	ASN
160	A	60	LYS
160	A	62	GLU
160	A	66	LEU
160	A	72	ASP
160	A	78	ILE
160	A	80	ARG
160	A	83	LYS
160	A	84	LEU
160	A	92	ASP
160	A	100	ILE
161	A	118	LEU

Model ID	Chain	Residue ID	Residue type
161	A	154	ARG
161	A	161	TYR
161	A	1	MET
161	A	11	GLU
161	A	13	LEU
161	A	14	ARG
161	A	16	LYS
161	A	20	ASP
161	A	33	LEU
161	A	35	LYS
161	A	45	GLU
161	A	46	LEU
161	A	47	ASP
161	A	52	ARG
161	A	62	GLU
161	A	65	LYS
161	A	66	LEU
161	A	67	PHE
161	A	79	LEU
161	A	80	ARG
161	A	83	LYS
161	A	84	LEU
161	A	85	LYS

Model ID	Chain	Residue ID	Residue type
161	A	92	ASP
161	A	95	ARG
161	A	96	ARG
162	A	118	LEU
162	A	120	MET
162	A	124	LYS
162	A	126	TRP
162	A	128	GLU
162	A	1	MET
162	A	8	ARG
162	A	11	GLU
162	A	14	ARG
162	A	15	LEU
162	A	20	ASP
162	A	27	ILE
162	A	33	LEU
162	A	45	GLU
162	A	48	LYS
162	A	60	LYS
162	A	62	GLU
162	A	65	LYS
162	A	66	LEU
162	A	72	ASP

Model ID	Chain	Residue ID	Residue type
162	A	76	ARG
162	A	79	LEU
162	A	80	ARG
162	A	84	LEU
163	A	104	PHE
163	A	118	LEU
163	A	120	MET
163	A	124	LYS
163	A	126	TRP
163	A	128	GLU
163	A	132	ASN
163	A	1	MET
163	A	8	ARG
163	A	14	ARG
163	A	20	ASP
163	A	33	LEU
163	A	35	LYS
163	A	40	ASN
163	A	45	GLU
163	A	48	LYS
163	A	53	ASN
163	A	62	GLU
163	A	65	LYS

Model ID	Chain	Residue ID	Residue type
163	A	67	PHE
163	A	70	ASP
163	A	80	ARG
163	A	83	LYS
163	A	84	LEU
163	A	88	TYR
163	A	100	ILE
163	A	102	MET
164	A	104	PHE
164	A	115	THR
164	A	118	LEU
164	A	119	ARG
164	A	122	GLN
164	A	126	TRP
164	A	135	LYS
164	A	139	TYR
164	A	145	ARG
164	A	1	MET
164	A	5	GLU
164	A	13	LEU
164	A	20	ASP
164	A	24	TYR
164	A	33	LEU

Model ID	Chain	Residue ID	Residue type
164	A	43	LYS
164	A	50	ILE
164	A	52	ARG
164	A	62	GLU
164	A	64	GLU
164	A	65	LYS
164	A	66	LEU
164	A	67	PHE
164	A	69	GLN
164	A	70	ASP
164	A	76	ARG
164	A	80	ARG
164	A	83	LYS
164	A	84	LEU
165	A	104	PHE
165	A	118	LEU
165	A	120	MET
165	A	122	GLN
165	A	124	LYS
165	A	126	TRP
165	A	140	ASN
165	A	162	LYS
165	A	1	MET

Model ID	Chain	Residue ID	Residue type
165	A	10	ASP
165	A	11	GLU
165	A	14	ARG
165	A	15	LEU
165	A	22	GLU
165	A	24	TYR
165	A	33	LEU
165	A	45	GLU
165	A	46	LEU
165	A	47	ASP
165	A	53	ASN
165	A	61	ASP
165	A	62	GLU
165	A	68	ASN
165	A	70	ASP
165	A	79	LEU
165	A	84	LEU
165	A	99	LEU
165	A	100	ILE
166	A	108	GLU
166	A	117	SER
166	A	118	LEU
166	A	126	TRP

Model ID	Chain	Residue ID	Residue type
166	A	132	ASN
166	A	135	LYS
166	A	11	GLU
166	A	14	ARG
166	A	19	LYS
166	A	27	ILE
166	A	33	LEU
166	A	35	LYS
166	A	39	LEU
166	A	43	LYS
166	A	45	GLU
166	A	47	ASP
166	A	50	ILE
166	A	60	LYS
166	A	65	LYS
166	A	66	LEU
166	A	69	GLN
166	A	79	LEU
166	A	83	LYS
166	A	84	LEU
166	A	85	LYS
166	A	96	ARG
166	A	99	LEU

Model ID	Chain	Residue ID	Residue type
166	A	100	ILE
167	A	115	THR
167	A	1	MET
167	A	6	MET
167	A	7	LEU
167	A	8	ARG
167	A	11	GLU
167	A	15	LEU
167	A	16	LYS
167	A	27	ILE
167	A	33	LEU
167	A	39	LEU
167	A	43	LYS
167	A	48	LYS
167	A	53	ASN
167	A	69	GLN
167	A	72	ASP
167	A	80	ARG
167	A	83	LYS
167	A	84	LEU
167	A	89	ASP
167	A	99	LEU
168	A	125	ARG

Model ID	Chain	Residue ID	Residue type
168	A	126	TRP
168	A	128	GLU
168	A	137	ARG
168	A	145	ARG
168	A	162	LYS
168	A	1	MET
168	A	4	PHE
168	A	6	MET
168	A	15	LEU
168	A	18	TYR
168	A	22	GLU
168	A	33	LEU
168	A	35	LYS
168	A	43	LYS
168	A	52	ARG
168	A	58	ILE
168	A	62	GLU
168	A	65	LYS
168	A	66	LEU
168	A	67	PHE
168	A	79	LEU
168	A	84	LEU
168	A	85	LYS

Model ID	Chain	Residue ID	Residue type
168	A	95	ARG
168	A	99	LEU
169	A	105	GLN
169	A	124	LYS
169	A	126	TRP
169	A	132	ASN
169	A	162	LYS
169	A	8	ARG
169	A	11	GLU
169	A	15	LEU
169	A	16	LYS
169	A	18	TYR
169	A	21	THR
169	A	27	ILE
169	A	35	LYS
169	A	39	LEU
169	A	46	LEU
169	A	65	LYS
169	A	76	ARG
169	A	78	ILE
169	A	80	ARG
169	A	83	LYS
169	A	89	ASP

Model ID	Chain	Residue ID	Residue type
169	A	92	ASP
169	A	100	ILE
170	A	115	THR
170	A	118	LEU
170	A	119	ARG
170	A	126	TRP
170	A	137	ARG
170	A	151	THR
170	A	162	LYS
170	A	1	MET
170	A	8	ARG
170	A	11	GLU
170	A	35	LYS
170	A	39	LEU
170	A	45	GLU
170	A	62	GLU
170	A	64	GLU
170	A	66	LEU
170	A	76	ARG
170	A	78	ILE
170	A	85	LYS
170	A	92	ASP
170	A	100	ILE

Model ID	Chain	Residue ID	Residue type
170	A	105	GLN
171	A	125	ARG
171	A	128	GLU
171	A	1	MET
171	A	13	LEU
171	A	19	LYS
171	A	22	GLU
171	A	33	LEU
171	A	43	LYS
171	A	50	ILE
171	A	60	LYS
171	A	61	ASP
171	A	62	GLU
171	A	64	GLU
171	A	66	LEU
171	A	67	PHE
171	A	69	GLN
171	A	76	ARG
171	A	80	ARG
171	A	84	LEU
171	A	89	ASP
171	A	99	LEU
171	A	104	PHE

Model ID	Chain	Residue ID	Residue type
171	A	105	GLN
172	A	126	TRP
172	A	132	ASN
172	A	135	LYS
172	A	162	LYS
172	A	1	MET
172	A	2	ASN
172	A	6	MET
172	A	11	GLU
172	A	13	LEU
172	A	27	ILE
172	A	32	LEU
172	A	33	LEU
172	A	35	LYS
172	A	38	SER
172	A	43	LYS
172	A	48	LYS
172	A	50	ILE
172	A	53	ASN
172	A	60	LYS
172	A	62	GLU
172	A	65	LYS
172	A	66	LEU

Model ID	Chain	Residue ID	Residue type
172	A	70	ASP
172	A	78	ILE
172	A	80	ARG
172	A	83	LYS
172	A	99	LEU
173	A	115	THR
173	A	118	LEU
173	A	119	ARG
173	A	120	MET
173	A	126	TRP
173	A	161	TYR
173	A	1	MET
173	A	11	GLU
173	A	15	LEU
173	A	19	LYS
173	A	26	THR
173	A	27	ILE
173	A	35	LYS
173	A	43	LYS
173	A	46	LEU
173	A	48	LYS
173	A	60	LYS
173	A	64	GLU

Model ID	Chain	Residue ID	Residue type
173	A	66	LEU
173	A	68	ASN
173	A	72	ASP
173	A	80	ARG
173	A	99	LEU
174	A	108	GLU
174	A	119	ARG
174	A	126	TRP
174	A	137	ARG
174	A	1	MET
174	A	11	GLU
174	A	18	TYR
174	A	33	LEU
174	A	43	LYS
174	A	45	GLU
174	A	52	ARG
174	A	53	ASN
174	A	60	LYS
174	A	62	GLU
174	A	70	ASP
174	A	76	ARG
174	A	79	LEU
174	A	80	ARG

Model ID	Chain	Residue ID	Residue type
174	A	83	LYS
174	A	84	LEU
174	A	85	LYS
175	A	120	MET
175	A	124	LYS
175	A	126	TRP
175	A	128	GLU
175	A	132	ASN
175	A	161	TYR
175	A	1	MET
175	A	11	GLU
175	A	14	ARG
175	A	33	LEU
175	A	43	LYS
175	A	45	GLU
175	A	62	GLU
175	A	64	GLU
175	A	66	LEU
175	A	69	GLN
175	A	70	ASP
175	A	72	ASP
175	A	79	LEU
175	A	83	LYS

Model ID	Chain	Residue ID	Residue type
175	A	84	LEU
175	A	92	ASP
175	A	95	ARG
175	A	105	GLN
176	A	124	LYS
176	A	126	TRP
176	A	132	ASN
176	A	162	LYS
176	A	1	MET
176	A	8	ARG
176	A	13	LEU
176	A	14	ARG
176	A	16	LYS
176	A	20	ASP
176	A	22	GLU
176	A	33	LEU
176	A	48	LYS
176	A	52	ARG
176	A	53	ASN
176	A	60	LYS
176	A	61	ASP
176	A	62	GLU
176	A	66	LEU

Model ID	Chain	Residue ID	Residue type
176	A	84	LEU
176	A	85	LYS
176	A	91	LEU
176	A	99	LEU
176	A	100	ILE
177	A	118	LEU
177	A	119	ARG
177	A	121	LEU
177	A	126	TRP
177	A	132	ASN
177	A	162	LYS
177	A	4	PHE
177	A	8	ARG
177	A	16	LYS
177	A	33	LEU
177	A	43	LYS
177	A	47	ASP
177	A	62	GLU
177	A	67	PHE
177	A	84	LEU
177	A	95	ARG
177	A	99	LEU
177	A	104	PHE

Model ID	Chain	Residue ID	Residue type
178	A	120	MET
178	A	126	TRP
178	A	128	GLU
178	A	132	ASN
178	A	137	ARG
178	A	162	LYS
178	A	4	PHE
178	A	11	GLU
178	A	15	LEU
178	A	19	LYS
178	A	22	GLU
178	A	27	ILE
178	A	35	LYS
178	A	39	LEU
178	A	43	LYS
178	A	48	LYS
178	A	50	ILE
178	A	52	ARG
178	A	53	ASN
178	A	64	GLU
178	A	66	LEU
178	A	78	ILE
178	A	81	ASN

Model ID	Chain	Residue ID	Residue type
178	A	83	LYS
179	A	148	ARG
179	A	161	TYR
179	A	1	MET
179	A	4	PHE
179	A	11	GLU
179	A	27	ILE
179	A	32	LEU
179	A	38	SER
179	A	39	LEU
179	A	45	GLU
179	A	60	LYS
179	A	78	ILE
179	A	83	LYS
179	A	84	LEU
179	A	91	LEU
179	A	92	ASP
179	A	100	ILE
180	A	124	LYS
180	A	126	TRP
180	A	1	MET
180	A	13	LEU
180	A	20	ASP

Model ID	Chain	Residue ID	Residue type
180	A	22	GLU
180	A	33	LEU
180	A	43	LYS
180	A	45	GLU
180	A	48	LYS
180	A	50	ILE
180	A	60	LYS
180	A	62	GLU
180	A	66	LEU
180	A	67	PHE
180	A	79	LEU
180	A	83	LYS
180	A	95	ARG
180	A	100	ILE
181	A	125	ARG
181	A	126	TRP
181	A	127	ASP
181	A	128	GLU
181	A	132	ASN
181	A	151	THR
181	A	1	MET
181	A	4	PHE
181	A	14	ARG

Model ID	Chain	Residue ID	Residue type
181	A	24	TYR
181	A	33	LEU
181	A	45	GLU
181	A	53	ASN
181	A	62	GLU
181	A	65	LYS
181	A	83	LYS
181	A	84	LEU
181	A	95	ARG
181	A	99	LEU
181	A	100	ILE
181	A	105	GLN
182	A	122	GLN
182	A	126	TRP
182	A	128	GLU
182	A	132	ASN
182	A	1	MET
182	A	11	GLU
182	A	19	LYS
182	A	33	LEU
182	A	35	LYS
182	A	39	LEU
182	A	45	GLU

Model ID	Chain	Residue ID	Residue type
182	A	62	GLU
182	A	65	LYS
182	A	67	PHE
182	A	76	ARG
182	A	80	ARG
182	A	83	LYS
182	A	84	LEU
182	A	85	LYS
182	A	88	TYR
182	A	90	SER
182	A	95	ARG
182	A	104	PHE
183	A	120	MET
183	A	124	LYS
183	A	126	TRP
183	A	132	ASN
183	A	141	GLN
183	A	162	LYS
183	A	1	MET
183	A	4	PHE
183	A	11	GLU
183	A	13	LEU
183	A	14	ARG

Model ID	Chain	Residue ID	Residue type
183	A	15	LEU
183	A	20	ASP
183	A	22	GLU
183	A	24	TYR
183	A	26	THR
183	A	27	ILE
183	A	29	ILE
183	A	34	THR
183	A	38	SER
183	A	39	LEU
183	A	46	LEU
183	A	47	ASP
183	A	60	LYS
183	A	65	LYS
183	A	78	ILE
183	A	85	LYS
183	A	91	LEU
184	A	122	GLN
184	A	126	TRP
184	A	127	ASP
184	A	145	ARG
184	A	1	MET
184	A	11	GLU

Model ID	Chain	Residue ID	Residue type
184	A	13	LEU
184	A	14	ARG
184	A	15	LEU
184	A	20	ASP
184	A	24	TYR
184	A	26	THR
184	A	27	ILE
184	A	29	ILE
184	A	34	THR
184	A	38	SER
184	A	43	LYS
184	A	46	LEU
184	A	47	ASP
184	A	52	ARG
184	A	60	LYS
184	A	72	ASP
184	A	80	ARG
184	A	85	LYS
184	A	87	VAL
184	A	91	LEU
185	A	126	TRP
185	A	127	ASP
185	A	8	ARG

Model ID	Chain	Residue ID	Residue type
185	A	11	GLU
185	A	14	ARG
185	A	22	GLU
185	A	27	ILE
185	A	35	LYS
185	A	43	LYS
185	A	52	ARG
185	A	62	GLU
185	A	66	LEU
185	A	78	ILE
185	A	83	LYS
185	A	100	ILE
185	A	115	THR
186	A	116	ASN
186	A	118	LEU
186	A	137	ARG
186	A	1	MET
186	A	16	LYS
186	A	19	LYS
186	A	21	THR
186	A	22	GLU
186	A	35	LYS
186	A	62	GLU

Model ID	Chain	Residue ID	Residue type
186	A	67	PHE
186	A	83	LYS
186	A	84	LEU
186	A	85	LYS
186	A	88	TYR
186	A	95	ARG
186	A	104	PHE
187	A	126	TRP
187	A	132	ASN
187	A	135	LYS
187	A	159	ASP
187	A	1	MET
187	A	14	ARG
187	A	16	LYS
187	A	27	ILE
187	A	33	LEU
187	A	35	LYS
187	A	43	LYS
187	A	62	GLU
187	A	67	PHE
187	A	69	GLN
187	A	79	LEU
187	A	80	ARG

Model ID	Chain	Residue ID	Residue type
187	A	84	LEU
187	A	99	LEU
188	A	121	LEU
188	A	124	LYS
188	A	126	TRP
188	A	128	GLU
188	A	132	ASN
188	A	135	LYS
188	A	154	ARG
188	A	159	ASP
188	A	4	PHE
188	A	27	ILE
188	A	35	LYS
188	A	39	LEU
188	A	43	LYS
188	A	46	LEU
188	A	47	ASP
188	A	53	ASN
188	A	58	ILE
188	A	66	LEU
188	A	69	GLN
188	A	70	ASP
188	A	76	ARG

Model ID	Chain	Residue ID	Residue type
188	A	78	ILE
188	A	83	LYS
188	A	92	ASP
188	A	99	LEU
188	A	100	ILE
189	A	126	TRP
189	A	135	LYS
189	A	147	LYS
189	A	153	PHE
189	A	1	MET
189	A	7	LEU
189	A	18	TYR
189	A	19	LYS
189	A	21	THR
189	A	22	GLU
189	A	24	TYR
189	A	33	LEU
189	A	35	LYS
189	A	43	LYS
189	A	48	LYS
189	A	50	ILE
189	A	55	ASN
189	A	62	GLU

Model ID	Chain	Residue ID	Residue type
189	A	65	LYS
189	A	67	PHE
189	A	76	ARG
189	A	80	ARG
189	A	83	LYS
189	A	84	LEU
189	A	95	ARG
189	A	115	THR
190	A	119	ARG
190	A	120	MET
190	A	124	LYS
190	A	126	TRP
190	A	127	ASP
190	A	132	ASN
190	A	148	ARG
190	A	1	MET
190	A	4	PHE
190	A	7	LEU
190	A	13	LEU
190	A	19	LYS
190	A	29	ILE
190	A	33	LEU
190	A	43	LYS

Model ID	Chain	Residue ID	Residue type
190	A	48	LYS
190	A	52	ARG
190	A	58	ILE
190	A	60	LYS
190	A	62	GLU
190	A	65	LYS
190	A	66	LEU
190	A	67	PHE
190	A	80	ARG
190	A	83	LYS
190	A	84	LEU
190	A	95	ARG
190	A	99	LEU
190	A	104	PHE
191	A	124	LYS
191	A	125	ARG
191	A	126	TRP
191	A	127	ASP
191	A	132	ASN
191	A	1	MET
191	A	13	LEU
191	A	22	GLU
191	A	29	ILE

Model ID	Chain	Residue ID	Residue type
191	A	33	LEU
191	A	48	LYS
191	A	52	ARG
191	A	60	LYS
191	A	61	ASP
191	A	62	GLU
191	A	67	PHE
191	A	76	ARG
191	A	79	LEU
191	A	83	LYS
191	A	95	ARG
191	A	99	LEU
191	A	118	LEU
192	A	124	LYS
192	A	125	ARG
192	A	126	TRP
192	A	132	ASN
192	A	148	ARG
192	A	1	MET
192	A	11	GLU
192	A	39	LEU
192	A	48	LYS
192	A	53	ASN

Model ID	Chain	Residue ID	Residue type
192	A	60	LYS
192	A	83	LYS
192	A	91	LEU
192	A	92	ASP
193	A	119	ARG
193	A	126	TRP
193	A	6	MET
193	A	13	LEU
193	A	14	ARG
193	A	16	LYS
193	A	22	GLU
193	A	27	ILE
193	A	35	LYS
193	A	39	LEU
193	A	43	LYS
193	A	45	GLU
193	A	48	LYS
193	A	50	ILE
193	A	64	GLU
193	A	76	ARG
193	A	80	ARG
193	A	83	LYS
193	A	84	LEU

Model ID	Chain	Residue ID	Residue type
193	A	85	LYS
193	A	99	LEU
193	A	100	ILE
193	A	105	GLN
193	A	108	GLU
193	A	119	ARG
194	A	6	MET
194	A	11	GLU
194	A	14	ARG
194	A	27	ILE
194	A	31	HIS
194	A	39	LEU
194	A	43	LYS
194	A	45	GLU
194	A	52	ARG
194	A	58	ILE
194	A	64	GLU
194	A	80	ARG
194	A	83	LYS
194	A	84	LEU
194	A	85	LYS
194	A	89	ASP
194	A	99	LEU

Model ID	Chain	Residue ID	Residue type
194	A	100	ILE
194	A	102	MET
194	A	108	GLU
194	A	115	THR
194	A	119	ARG
195	A	126	TRP
195	A	148	ARG
195	A	161	TYR
195	A	162	LYS
195	A	2	ASN
195	A	10	ASP
195	A	11	GLU
195	A	15	LEU
195	A	16	LYS
195	A	27	ILE
195	A	35	LYS
195	A	39	LEU
195	A	43	LYS
195	A	45	GLU
195	A	50	ILE
195	A	76	ARG
195	A	80	ARG
195	A	81	ASN

Model ID	Chain	Residue ID	Residue type
195	A	83	LYS
195	A	100	ILE
195	A	115	THR
195	A	118	LEU
196	A	120	MET
196	A	125	ARG
196	A	137	ARG
196	A	141	GLN
196	A	151	THR
196	A	153	PHE
196	A	162	LYS
196	A	1	MET
196	A	4	PHE
196	A	11	GLU
196	A	19	LYS
196	A	33	LEU
196	A	35	LYS
196	A	48	LYS
196	A	62	GLU
196	A	65	LYS
196	A	79	LEU
196	A	80	ARG
196	A	83	LYS

Model ID	Chain	Residue ID	Residue type
196	A	104	PHE
196	A	118	LEU
197	A	125	ARG
197	A	126	TRP
197	A	132	ASN
197	A	135	LYS
197	A	141	GLN
197	A	10	ASP
197	A	22	GLU
197	A	27	ILE
197	A	35	LYS
197	A	38	SER
197	A	39	LEU
197	A	43	LYS
197	A	46	LEU
197	A	50	ILE
197	A	52	ARG
197	A	53	ASN
197	A	55	ASN
197	A	61	ASP
197	A	65	LYS
197	A	76	ARG
197	A	83	LYS

Model ID	Chain	Residue ID	Residue type
197	A	84	LEU
197	A	99	LEU
197	A	120	MET
198	A	123	GLN
198	A	127	ASP
198	A	132	ASN
198	A	137	ARG
198	A	151	THR
198	A	162	LYS
198	A	1	MET
198	A	15	LEU
198	A	16	LYS
198	A	20	ASP
198	A	22	GLU
198	A	33	LEU
198	A	35	LYS
198	A	48	LYS
198	A	53	ASN
198	A	60	LYS
198	A	61	ASP
198	A	62	GLU
198	A	66	LEU
198	A	69	GLN

Model ID	Chain	Residue ID	Residue type
198	A	72	ASP
198	A	76	ARG
198	A	78	ILE
198	A	79	LEU
198	A	80	ARG
198	A	83	LYS
198	A	84	LEU
198	A	89	ASP
198	A	100	ILE
198	A	104	PHE
198	A	119	ARG
199	A	122	GLN
199	A	125	ARG
199	A	126	TRP
199	A	127	ASP
199	A	132	ASN
199	A	139	TYR
199	A	145	ARG
199	A	162	LYS
199	A	1	MET
199	A	7	LEU
199	A	8	ARG
199	A	11	GLU

Model ID	Chain	Residue ID	Residue type
199	A	13	LEU
199	A	14	ARG
199	A	33	LEU
199	A	43	LYS
199	A	50	ILE
199	A	52	ARG
199	A	53	ASN
199	A	62	GLU
199	A	67	PHE
199	A	79	LEU
199	A	80	ARG
199	A	83	LYS
199	A	94	VAL
199	A	95	ARG
199	A	99	LEU
199	A	100	ILE
199	A	106	MET
199	A	118	LEU
199	A	119	ARG
199	A	121	LEU
200	A	124	LYS
200	A	126	TRP
200	A	135	LYS

Model ID	Chain	Residue ID	Residue type
200	A	139	TYR
200	A	141	GLN
200	A	145	ARG
200	A	151	THR
200	A	154	ARG
200	A	161	TYR
200	A	1	MET
200	A	7	LEU
200	A	8	ARG
200	A	20	ASP
200	A	43	LYS
200	A	45	GLU
200	A	48	LYS
200	A	50	ILE
200	A	52	ARG
200	A	58	ILE
200	A	62	GLU
200	A	67	PHE
200	A	78	ILE
200	A	79	LEU
200	A	83	LYS
200	A	84	LEU
200	A	95	ARG

Model ID	Chain	Residue ID	Residue type
200	A	96	ARG
200	A	108	GLU
200	A	118	LEU
201	A	126	TRP
201	A	127	ASP
201	A	132	ASN
201	A	137	ARG
201	A	141	GLN
201	A	148	ARG
201	A	162	LYS
201	A	13	LEU
201	A	16	LYS
201	A	27	ILE
201	A	29	ILE
201	A	33	LEU
201	A	43	LYS
201	A	48	LYS
201	A	62	GLU
201	A	65	LYS
201	A	72	ASP
201	A	76	ARG
201	A	83	LYS
201	A	84	LEU

Model ID	Chain	Residue ID	Residue type
201	A	85	LYS
201	A	99	LEU
201	A	100	ILE
201	A	118	LEU
202	A	124	LYS
202	A	128	GLU
202	A	132	ASN
202	A	1	MET
202	A	11	GLU
202	A	22	GLU
202	A	27	ILE
202	A	35	LYS
202	A	43	LYS
202	A	45	GLU
202	A	46	LEU
202	A	53	ASN
202	A	58	ILE
202	A	65	LYS
202	A	78	ILE
202	A	80	ARG
202	A	83	LYS
202	A	84	LEU
202	A	99	LEU

Model ID	Chain	Residue ID	Residue type
202	A	100	ILE
202	A	120	MET
203	A	1	MET
203	A	4	PHE
203	A	11	GLU
203	A	16	LYS
203	A	19	LYS
203	A	22	GLU
203	A	33	LEU
203	A	43	LYS
203	A	45	GLU
203	A	48	LYS
203	A	50	ILE
203	A	60	LYS
203	A	62	GLU
203	A	64	GLU
203	A	66	LEU
203	A	67	PHE
203	A	69	GLN
203	A	72	ASP
203	A	78	ILE
203	A	79	LEU
203	A	83	LYS

Model ID	Chain	Residue ID	Residue type
203	A	84	LEU
203	A	85	LYS
203	A	104	PHE
203	A	106	MET
203	A	122	GLN
204	A	126	TRP
204	A	132	ASN
204	A	139	TYR
204	A	141	GLN
204	A	147	LYS
204	A	151	THR
204	A	1	MET
204	A	11	GLU
204	A	14	ARG
204	A	22	GLU
204	A	27	ILE
204	A	39	LEU
204	A	43	LYS
204	A	46	LEU
204	A	52	ARG
204	A	65	LYS
204	A	78	ILE
204	A	81	ASN

Model ID	Chain	Residue ID	Residue type
204	A	83	LYS
204	A	89	ASP
204	A	99	LEU
204	A	100	ILE
204	A	115	THR
204	A	120	MET
205	A	127	ASP
205	A	145	ARG
205	A	11	GLU
205	A	14	ARG
205	A	19	LYS
205	A	27	ILE
205	A	35	LYS
205	A	39	LEU
205	A	43	LYS
205	A	46	LEU
205	A	48	LYS
205	A	50	ILE
205	A	64	GLU
205	A	83	LYS
205	A	88	TYR
205	A	99	LEU
205	A	100	ILE

Model ID	Chain	Residue ID	Residue type
205	A	105	GLN
205	A	115	THR
205	A	122	GLN
206	A	125	ARG
206	A	126	TRP
206	A	135	LYS
206	A	151	THR
206	A	6	MET
206	A	7	LEU
206	A	11	GLU
206	A	27	ILE
206	A	35	LYS
206	A	39	LEU
206	A	43	LYS
206	A	48	LYS
206	A	50	ILE
206	A	52	ARG
206	A	64	GLU
206	A	80	ARG
206	A	83	LYS
206	A	85	LYS
206	A	88	TYR
206	A	89	ASP

Model ID	Chain	Residue ID	Residue type
206	A	99	LEU
206	A	120	MET
206	A	122	GLN
207	A	154	ARG
207	A	159	ASP
207	A	162	LYS
207	A	1	MET
207	A	11	GLU
207	A	13	LEU
207	A	19	LYS
207	A	22	GLU
207	A	27	ILE
207	A	35	LYS
207	A	38	SER
207	A	46	LEU
207	A	61	ASP
207	A	64	GLU
207	A	65	LYS
207	A	66	LEU
207	A	76	ARG
207	A	78	ILE
207	A	80	ARG
207	A	83	LYS

Model ID	Chain	Residue ID	Residue type
207	A	84	LEU
207	A	89	ASP
207	A	115	THR
207	A	119	ARG
207	A	125	ARG
208	A	161	TYR
208	A	11	GLU
208	A	20	ASP
208	A	22	GLU
208	A	27	ILE
208	A	43	LYS
208	A	50	ILE
208	A	60	LYS
208	A	62	GLU
208	A	64	GLU
208	A	66	LEU
208	A	67	PHE
208	A	69	GLN
208	A	70	ASP
208	A	76	ARG
208	A	78	ILE
208	A	79	LEU
208	A	80	ARG

Model ID	Chain	Residue ID	Residue type
208	A	84	LEU
208	A	85	LYS
208	A	90	SER
208	A	96	ARG
208	A	100	ILE
208	A	104	PHE
208	A	121	LEU
208	A	124	LYS
209	A	126	TRP
209	A	132	ASN
209	A	135	LYS
209	A	139	TYR
209	A	141	GLN
209	A	145	ARG
209	A	162	LYS
209	A	1	MET
209	A	4	PHE
209	A	16	LYS
209	A	22	GLU
209	A	24	TYR
209	A	33	LEU
209	A	35	LYS
209	A	60	LYS

Model ID	Chain	Residue ID	Residue type
209	A	62	GLU
209	A	66	LEU
209	A	67	PHE
209	A	79	LEU
209	A	84	LEU
209	A	85	LYS
209	A	95	ARG
209	A	100	ILE
209	A	117	SER
209	A	118	LEU
209	A	120	MET
209	A	124	LYS
210	A	126	TRP
210	A	132	ASN
210	A	159	ASP
210	A	1	MET
210	A	10	ASP
210	A	11	GLU
210	A	13	LEU
210	A	16	LYS
210	A	27	ILE
210	A	35	LYS
210	A	39	LEU

Model ID	Chain	Residue ID	Residue type
210	A	43	LYS
210	A	45	GLU
210	A	62	GLU
210	A	65	LYS
210	A	83	LYS
210	A	91	LEU
210	A	100	ILE
210	A	104	PHE
210	A	105	GLN
210	A	115	THR
210	A	119	ARG
210	A	126	TRP
211	A	162	LYS
211	A	1	MET
211	A	6	MET
211	A	7	LEU
211	A	11	GLU
211	A	15	LEU
211	A	26	THR
211	A	27	ILE
211	A	35	LYS
211	A	39	LEU
211	A	43	LYS

Model ID	Chain	Residue ID	Residue type
211	A	53	ASN
211	A	66	LEU
211	A	78	ILE
211	A	83	LYS
211	A	85	LYS
211	A	99	LEU
212	A	161	TYR
212	A	162	LYS
212	A	1	MET
212	A	11	GLU
212	A	14	ARG
212	A	16	LYS
212	A	27	ILE
212	A	32	LEU
212	A	35	LYS
212	A	39	LEU
212	A	40	ASN
212	A	45	GLU
212	A	52	ARG
212	A	60	LYS
212	A	65	LYS
212	A	78	ILE
212	A	83	LYS

Model ID	Chain	Residue ID	Residue type
212	A	85	LYS
212	A	88	TYR
212	A	90	SER
212	A	92	ASP
212	A	94	VAL
212	A	99	LEU
212	A	126	TRP
213	A	141	GLN
213	A	145	ARG
213	A	14	ARG
213	A	19	LYS
213	A	33	LEU
213	A	35	LYS
213	A	43	LYS
213	A	45	GLU
213	A	62	GLU
213	A	76	ARG
213	A	79	LEU
213	A	80	ARG
213	A	84	LEU
213	A	85	LYS
213	A	99	LEU
213	A	104	PHE

Model ID	Chain	Residue ID	Residue type
213	A	124	LYS
213	A	126	TRP
214	A	132	ASN
214	A	147	LYS
214	A	151	THR
214	A	1	MET
214	A	13	LEU
214	A	33	LEU
214	A	43	LYS
214	A	50	ILE
214	A	52	ARG
214	A	62	GLU
214	A	65	LYS
214	A	67	PHE
214	A	76	ARG
214	A	79	LEU
214	A	80	ARG
214	A	83	LYS
214	A	84	LEU
214	A	99	LEU
214	A	104	PHE
214	A	108	GLU
214	A	124	LYS

Model ID	Chain	Residue ID	Residue type
214	A	126	TRP
215	A	128	GLU
215	A	132	ASN
215	A	1	MET
215	A	6	MET
215	A	11	GLU
215	A	27	ILE
215	A	29	ILE
215	A	35	LYS
215	A	39	LEU
215	A	45	GLU
215	A	48	LYS
215	A	50	ILE
215	A	52	ARG
215	A	62	GLU
215	A	64	GLU
215	A	65	LYS
215	A	80	ARG
215	A	84	LEU
215	A	85	LYS
215	A	92	ASP
215	A	96	ARG
215	A	100	ILE

Model ID	Chain	Residue ID	Residue type
215	A	115	THR
215	A	126	TRP
216	A	162	LYS
216	A	2	ASN
216	A	4	PHE
216	A	11	GLU
216	A	13	LEU
216	A	14	ARG
216	A	22	GLU
216	A	27	ILE
216	A	39	LEU
216	A	43	LYS
216	A	50	ILE
216	A	52	ARG
216	A	58	ILE
216	A	62	GLU
216	A	76	ARG
216	A	85	LYS
216	A	99	LEU
216	A	100	ILE
216	A	115	THR
216	A	120	MET
216	A	126	TRP

Model ID	Chain	Residue ID	Residue type
216	A	127	ASP
217	A	141	GLN
217	A	161	TYR
217	A	162	LYS
217	A	1	MET
217	A	4	PHE
217	A	11	GLU
217	A	13	LEU
217	A	20	ASP
217	A	21	THR
217	A	22	GLU
217	A	24	TYR
217	A	27	ILE
217	A	33	LEU
217	A	43	LYS
217	A	45	GLU
217	A	48	LYS
217	A	53	ASN
217	A	62	GLU
217	A	65	LYS
217	A	67	PHE
217	A	80	ARG
217	A	84	LEU

Model ID	Chain	Residue ID	Residue type
217	A	92	ASP
217	A	99	LEU
217	A	100	ILE
217	A	104	PHE
217	A	117	SER
217	A	118	LEU
217	A	124	LYS
218	A	132	ASN
218	A	135	LYS
218	A	148	ARG
218	A	162	LYS
218	A	1	MET
218	A	11	GLU
218	A	14	ARG
218	A	22	GLU
218	A	27	ILE
218	A	32	LEU
218	A	35	LYS
218	A	38	SER
218	A	40	ASN
218	A	43	LYS
218	A	45	GLU
218	A	48	LYS

Model ID	Chain	Residue ID	Residue type
218	A	52	ARG
218	A	62	GLU
218	A	66	LEU
218	A	76	ARG
218	A	80	ARG
218	A	84	LEU
218	A	85	LYS
218	A	91	LEU
218	A	96	ARG
218	A	104	PHE
218	A	114	PHE
218	A	117	SER
218	A	126	TRP
219	A	9	ILE
219	A	10	ASP
219	A	11	GLU
219	A	14	ARG
219	A	15	LEU
219	A	16	LYS
219	A	19	LYS
219	A	27	ILE
219	A	43	LYS
219	A	50	ILE

Model ID	Chain	Residue ID	Residue type
219	A	53	ASN
219	A	64	GLU
219	A	76	ARG
219	A	78	ILE
219	A	83	LYS
219	A	115	THR
219	A	119	ARG
219	A	121	LEU
219	A	125	ARG
219	A	126	TRP
220	A	147	LYS
220	A	162	LYS
220	A	1	MET
220	A	13	LEU
220	A	14	ARG
220	A	16	LYS
220	A	19	LYS
220	A	20	ASP
220	A	35	LYS
220	A	43	LYS
220	A	45	GLU
220	A	48	LYS
220	A	50	ILE

Model ID	Chain	Residue ID	Residue type
220	A	60	LYS
220	A	62	GLU
220	A	64	GLU
220	A	65	LYS
220	A	66	LEU
220	A	67	PHE
220	A	78	ILE
220	A	79	LEU
220	A	80	ARG
220	A	83	LYS
220	A	84	LEU
220	A	85	LYS
220	A	104	PHE
220	A	118	LEU
220	A	126	TRP
221	A	1	MET
221	A	2	ASN
221	A	7	LEU
221	A	11	GLU
221	A	19	LYS
221	A	20	ASP
221	A	24	TYR
221	A	27	ILE

Model ID	Chain	Residue ID	Residue type
221	A	33	LEU
221	A	45	GLU
221	A	48	LYS
221	A	52	ARG
221	A	62	GLU
221	A	79	LEU
221	A	80	ARG
221	A	83	LYS
221	A	84	LEU
221	A	85	LYS
221	A	92	ASP
221	A	95	ARG
221	A	100	ILE
221	A	104	PHE
221	A	108	GLU
221	A	126	TRP
221	A	132	ASN
222	A	145	ARG
222	A	1	MET
222	A	11	GLU
222	A	16	LYS
222	A	27	ILE
222	A	39	LEU

Model ID	Chain	Residue ID	Residue type
222	A	40	ASN
222	A	50	ILE
222	A	52	ARG
222	A	60	LYS
222	A	65	LYS
222	A	70	ASP
222	A	83	LYS
222	A	84	LEU
222	A	85	LYS
222	A	91	LEU
222	A	92	ASP
222	A	96	ARG
222	A	100	ILE
222	A	109	THR
222	A	119	ARG
222	A	121	LEU
222	A	126	TRP
223	A	135	LYS
223	A	137	ARG
223	A	151	THR
223	A	4	PHE
223	A	11	GLU
223	A	13	LEU

Model ID	Chain	Residue ID	Residue type
223	A	27	ILE
223	A	35	LYS
223	A	39	LEU
223	A	46	LEU
223	A	52	ARG
223	A	60	LYS
223	A	65	LYS
223	A	69	GLN
223	A	80	ARG
223	A	83	LYS
223	A	85	LYS
223	A	99	LEU
223	A	100	ILE
223	A	102	MET
223	A	105	GLN
224	A	137	ARG
224	A	161	TYR
224	A	11	GLU
224	A	19	LYS
224	A	27	ILE
224	A	31	HIS
224	A	35	LYS
224	A	39	LEU

Model ID	Chain	Residue ID	Residue type
224	A	52	ARG
224	A	60	LYS
224	A	62	GLU
224	A	65	LYS
224	A	66	LEU
224	A	76	ARG
224	A	85	LYS
224	A	99	LEU
224	A	126	TRP
224	A	127	ASP
225	A	141	GLN
225	A	153	PHE
225	A	1	MET
225	A	11	GLU
225	A	13	LEU
225	A	33	LEU
225	A	35	LYS
225	A	43	LYS
225	A	50	ILE
225	A	52	ARG
225	A	62	GLU
225	A	64	GLU
225	A	66	LEU

Model ID	Chain	Residue ID	Residue type
225	A	72	ASP
225	A	76	ARG
225	A	78	ILE
225	A	79	LEU
225	A	83	LYS
225	A	84	LEU
225	A	95	ARG
225	A	99	LEU
225	A	104	PHE
225	A	118	LEU
225	A	119	ARG
225	A	122	GLN
225	A	123	GLN
225	A	124	LYS
225	A	126	TRP
225	A	132	ASN
226	A	139	TYR
226	A	145	ARG
226	A	162	LYS
226	A	1	MET
226	A	4	PHE
226	A	8	ARG
226	A	11	GLU

Model ID	Chain	Residue ID	Residue type
226	A	13	LEU
226	A	33	LEU
226	A	35	LYS
226	A	45	GLU
226	A	47	ASP
226	A	48	LYS
226	A	52	ARG
226	A	60	LYS
226	A	62	GLU
226	A	66	LEU
226	A	67	PHE
226	A	76	ARG
226	A	79	LEU
226	A	80	ARG
226	A	83	LYS
226	A	84	LEU
226	A	89	ASP
226	A	95	ARG
226	A	96	ARG
226	A	99	LEU
226	A	118	LEU
226	A	124	LYS
226	A	126	TRP

Model ID	Chain	Residue ID	Residue type
226	A	127	ASP
226	A	132	ASN
226	A	135	LYS
227	A	137	ARG
227	A	1	MET
227	A	14	ARG
227	A	22	GLU
227	A	35	LYS
227	A	39	LEU
227	A	43	LYS
227	A	45	GLU
227	A	48	LYS
227	A	58	ILE
227	A	64	GLU
227	A	65	LYS
227	A	78	ILE
227	A	85	LYS
227	A	88	TYR
227	A	90	SER
227	A	99	LEU
227	A	102	MET
227	A	104	PHE
227	A	115	THR

Model ID	Chain	Residue ID	Residue type
227	A	126	TRP
228	A	11	GLU
228	A	14	ARG
228	A	19	LYS
228	A	22	GLU
228	A	24	TYR
228	A	43	LYS
228	A	48	LYS
228	A	62	GLU
228	A	66	LEU
228	A	76	ARG
228	A	80	ARG
228	A	83	LYS
228	A	84	LEU
228	A	85	LYS
228	A	95	ARG
228	A	118	LEU
228	A	119	ARG
228	A	122	GLN
228	A	125	ARG
228	A	126	TRP
228	A	132	ASN
229	A	140	ASN

Model ID	Chain	Residue ID	Residue type
229	A	145	ARG
229	A	1	MET
229	A	5	GLU
229	A	11	GLU
229	A	14	ARG
229	A	15	LEU
229	A	16	LYS
229	A	19	LYS
229	A	20	ASP
229	A	22	GLU
229	A	24	TYR
229	A	33	LEU
229	A	35	LYS
229	A	43	LYS
229	A	48	LYS
229	A	52	ARG
229	A	58	ILE
229	A	61	ASP
229	A	62	GLU
229	A	68	ASN
229	A	79	LEU
229	A	83	LYS
229	A	84	LEU

Model ID	Chain	Residue ID	Residue type
229	A	85	LYS
229	A	89	ASP
229	A	119	ARG
229	A	124	LYS
229	A	126	TRP
229	A	132	ASN
229	A	135	LYS
230	A	151	THR
230	A	11	GLU
230	A	14	ARG
230	A	27	ILE
230	A	35	LYS
230	A	39	LEU
230	A	50	ILE
230	A	58	ILE
230	A	65	LYS
230	A	66	LEU
230	A	80	ARG
230	A	85	LYS
230	A	104	PHE
230	A	115	THR
230	A	125	ARG
230	A	126	TRP

Model ID	Chain	Residue ID	Residue type
231	A	153	PHE
231	A	1	MET
231	A	16	LYS
231	A	22	GLU
231	A	33	LEU
231	A	43	LYS
231	A	45	GLU
231	A	52	ARG
231	A	61	ASP
231	A	62	GLU
231	A	64	GLU
231	A	65	LYS
231	A	79	LEU
231	A	80	ARG
231	A	83	LYS
231	A	91	LEU
231	A	126	TRP
231	A	128	GLU
231	A	132	ASN
231	A	135	LYS
231	A	137	ARG
232	A	148	ARG
232	A	1	MET

Model ID	Chain	Residue ID	Residue type
232	A	11	GLU
232	A	13	LEU
232	A	20	ASP
232	A	22	GLU
232	A	33	LEU
232	A	47	ASP
232	A	48	LYS
232	A	50	ILE
232	A	62	GLU
232	A	65	LYS
232	A	66	LEU
232	A	76	ARG
232	A	79	LEU
232	A	80	ARG
232	A	84	LEU
232	A	104	PHE
232	A	118	LEU
232	A	124	LYS
232	A	126	TRP
232	A	132	ASN
233	A	145	ARG
233	A	159	ASP
233	A	162	LYS

Model ID	Chain	Residue ID	Residue type
233	A	7	LEU
233	A	11	GLU
233	A	14	ARG
233	A	16	LYS
233	A	19	LYS
233	A	22	GLU
233	A	27	ILE
233	A	39	LEU
233	A	43	LYS
233	A	46	LEU
233	A	48	LYS
233	A	50	ILE
233	A	52	ARG
233	A	61	ASP
233	A	69	GLN
233	A	83	LYS
233	A	85	LYS
233	A	88	TYR
233	A	99	LEU
233	A	105	GLN
233	A	119	ARG
233	A	120	MET
233	A	126	TRP

Model ID	Chain	Residue ID	Residue type
233	A	137	ARG
234	A	159	ASP
234	A	4	PHE
234	A	11	GLU
234	A	13	LEU
234	A	16	LYS
234	A	24	TYR
234	A	29	ILE
234	A	33	LEU
234	A	43	LYS
234	A	45	GLU
234	A	52	ARG
234	A	60	LYS
234	A	62	GLU
234	A	65	LYS
234	A	68	ASN
234	A	78	ILE
234	A	79	LEU
234	A	83	LYS
234	A	84	LEU
234	A	85	LYS
234	A	95	ARG
234	A	117	SER

Model ID	Chain	Residue ID	Residue type
234	A	118	LEU
234	A	120	MET
234	A	124	LYS
234	A	126	TRP
234	A	127	ASP
234	A	132	ASN
234	A	137	ARG
235	A	154	ARG
235	A	162	LYS
235	A	1	MET
235	A	8	ARG
235	A	11	GLU
235	A	14	ARG
235	A	19	LYS
235	A	27	ILE
235	A	43	LYS
235	A	52	ARG
235	A	64	GLU
235	A	78	ILE
235	A	79	LEU
235	A	80	ARG
235	A	83	LYS
235	A	84	LEU

Model ID	Chain	Residue ID	Residue type
235	A	85	LYS
235	A	91	LEU
235	A	106	MET
235	A	126	TRP
235	A	135	LYS
236	A	141	GLN
236	A	1	MET
236	A	4	PHE
236	A	11	GLU
236	A	13	LEU
236	A	14	ARG
236	A	16	LYS
236	A	19	LYS
236	A	24	TYR
236	A	33	LEU
236	A	45	GLU
236	A	47	ASP
236	A	48	LYS
236	A	60	LYS
236	A	62	GLU
236	A	66	LEU
236	A	76	ARG
236	A	79	LEU

Model ID	Chain	Residue ID	Residue type
236	A	80	ARG
236	A	83	LYS
236	A	84	LEU
236	A	99	LEU
236	A	104	PHE
236	A	118	LEU
236	A	124	LYS
236	A	126	TRP
236	A	132	ASN
236	A	137	ARG
236	A	140	ASN
237	A	162	LYS
237	A	1	MET
237	A	4	PHE
237	A	13	LEU
237	A	29	ILE
237	A	33	LEU
237	A	35	LYS
237	A	43	LYS
237	A	48	LYS
237	A	62	GLU
237	A	66	LEU
237	A	67	PHE

Model ID	Chain	Residue ID	Residue type
237	A	79	LEU
237	A	80	ARG
237	A	84	LEU
237	A	85	LYS
237	A	95	ARG
237	A	99	LEU
237	A	120	MET
237	A	124	LYS
237	A	126	TRP
237	A	132	ASN
237	A	137	ARG
238	A	162	LYS
238	A	4	PHE
238	A	13	LEU
238	A	19	LYS
238	A	20	ASP
238	A	22	GLU
238	A	24	TYR
238	A	29	ILE
238	A	33	LEU
238	A	35	LYS
238	A	43	LYS
238	A	45	GLU

Model ID	Chain	Residue ID	Residue type
238	A	46	LEU
238	A	48	LYS
238	A	62	GLU
238	A	67	PHE
238	A	70	ASP
238	A	84	LEU
238	A	95	ARG
238	A	99	LEU
238	A	104	PHE
238	A	109	THR
238	A	126	TRP
238	A	127	ASP
238	A	132	ASN
239	A	1	MET
239	A	11	GLU
239	A	13	LEU
239	A	19	LYS
239	A	22	GLU
239	A	27	ILE
239	A	33	LEU
239	A	45	GLU
239	A	53	ASN
239	A	60	LYS

Model ID	Chain	Residue ID	Residue type
239	A	62	GLU
239	A	64	GLU
239	A	67	PHE
239	A	70	ASP
239	A	76	ARG
239	A	79	LEU
239	A	84	LEU
239	A	95	ARG
239	A	118	LEU
239	A	119	ARG
239	A	120	MET
239	A	124	LYS
239	A	126	TRP
239	A	132	ASN
240	A	1	MET
240	A	4	PHE
240	A	11	GLU
240	A	22	GLU
240	A	29	ILE
240	A	33	LEU
240	A	35	LYS
240	A	43	LYS
240	A	48	LYS

Model ID	Chain	Residue ID	Residue type
240	A	52	ARG
240	A	60	LYS
240	A	62	GLU
240	A	64	GLU
240	A	65	LYS
240	A	66	LEU
240	A	72	ASP
240	A	80	ARG
240	A	83	LYS
240	A	104	PHE
240	A	106	MET
240	A	118	LEU
240	A	125	ARG
240	A	126	TRP
241	A	1	MET
241	A	11	GLU
241	A	19	LYS
241	A	27	ILE
241	A	43	LYS
241	A	46	LEU
241	A	58	ILE
241	A	60	LYS
241	A	76	ARG

Model ID	Chain	Residue ID	Residue type
241	A	83	LYS
241	A	85	LYS
241	A	90	SER
241	A	96	ARG
241	A	99	LEU
241	A	102	MET
241	A	115	THR
241	A	119	ARG
242	A	161	TYR
242	A	2	ASN
242	A	4	PHE
242	A	13	LEU
242	A	16	LYS
242	A	19	LYS
242	A	22	GLU
242	A	24	TYR
242	A	33	LEU
242	A	35	LYS
242	A	50	ILE
242	A	52	ARG
242	A	60	LYS
242	A	62	GLU
242	A	66	LEU

Model ID	Chain	Residue ID	Residue type
242	A	67	PHE
242	A	83	LYS
242	A	84	LEU
242	A	85	LYS
242	A	92	ASP
242	A	95	ARG
242	A	99	LEU
242	A	104	PHE
242	A	116	ASN
242	A	118	LEU
242	A	122	GLN
242	A	126	TRP
242	A	135	LYS
243	A	1	MET
243	A	11	GLU
243	A	14	ARG
243	A	15	LEU
243	A	22	GLU
243	A	27	ILE
243	A	29	ILE
243	A	39	LEU
243	A	43	LYS
243	A	47	ASP

Model ID	Chain	Residue ID	Residue type
243	A	52	ARG
243	A	61	ASP
243	A	64	GLU
243	A	80	ARG
243	A	83	LYS
243	A	85	LYS
243	A	88	TYR
243	A	118	LEU
243	A	119	ARG
243	A	120	MET
243	A	126	TRP
244	A	1	MET
244	A	4	PHE
244	A	11	GLU
244	A	13	LEU
244	A	19	LYS
244	A	20	ASP
244	A	27	ILE
244	A	29	ILE
244	A	43	LYS
244	A	48	LYS
244	A	60	LYS
244	A	61	ASP

Model ID	Chain	Residue ID	Residue type
244	A	62	GLU
244	A	66	LEU
244	A	68	ASN
244	A	79	LEU
244	A	80	ARG
244	A	84	LEU
244	A	91	LEU
244	A	92	ASP
244	A	100	ILE
244	A	104	PHE
244	A	118	LEU
244	A	120	MET
244	A	122	GLN
244	A	124	LYS
244	A	128	GLU
244	A	132	ASN
245	A	1	MET
245	A	4	PHE
245	A	8	ARG
245	A	11	GLU
245	A	13	LEU
245	A	16	LYS
245	A	22	GLU

Model ID	Chain	Residue ID	Residue type
245	A	27	ILE
245	A	39	LEU
245	A	43	LYS
245	A	47	ASP
245	A	52	ARG
245	A	53	ASN
245	A	62	GLU
245	A	64	GLU
245	A	72	ASP
245	A	79	LEU
245	A	80	ARG
245	A	83	LYS
245	A	84	LEU
245	A	89	ASP
245	A	96	ARG
245	A	109	THR
245	A	115	THR
245	A	135	LYS
246	A	161	TYR
246	A	162	LYS
246	A	1	MET
246	A	11	GLU
246	A	19	LYS

Model ID	Chain	Residue ID	Residue type
246	A	24	TYR
246	A	43	LYS
246	A	48	LYS
246	A	52	ARG
246	A	55	ASN
246	A	62	GLU
246	A	66	LEU
246	A	67	PHE
246	A	69	GLN
246	A	83	LYS
246	A	84	LEU
246	A	85	LYS
246	A	91	LEU
246	A	92	ASP
246	A	96	ARG
246	A	102	MET
246	A	104	PHE
246	A	126	TRP
246	A	132	ASN
246	A	135	LYS
247	A	154	ARG
247	A	162	LYS
247	A	1	MET

Model ID	Chain	Residue ID	Residue type
247	A	4	PHE
247	A	11	GLU
247	A	13	LEU
247	A	14	ARG
247	A	22	GLU
247	A	33	LEU
247	A	52	ARG
247	A	60	LYS
247	A	62	GLU
247	A	65	LYS
247	A	67	PHE
247	A	72	ASP
247	A	79	LEU
247	A	80	ARG
247	A	83	LYS
247	A	84	LEU
247	A	95	ARG
247	A	100	ILE
247	A	104	PHE
247	A	118	LEU
247	A	120	MET
247	A	122	GLN
247	A	124	LYS

Model ID	Chain	Residue ID	Residue type
247	A	126	TRP
247	A	132	ASN
247	A	137	ARG
247	A	141	GLN
248	A	11	GLU
248	A	16	LYS
248	A	22	GLU
248	A	27	ILE
248	A	35	LYS
248	A	39	LEU
248	A	43	LYS
248	A	48	LYS
248	A	52	ARG
248	A	64	GLU
248	A	70	ASP
248	A	76	ARG
248	A	80	ARG
248	A	81	ASN
248	A	83	LYS
248	A	85	LYS
248	A	90	SER
248	A	91	LEU
248	A	92	ASP

Model ID	Chain	Residue ID	Residue type
248	A	105	GLN
248	A	115	THR
248	A	120	MET
248	A	124	LYS
248	A	135	LYS
248	A	144	ASN
249	A	151	THR
249	A	11	GLU
249	A	13	LEU
249	A	33	LEU
249	A	43	LYS
249	A	45	GLU
249	A	48	LYS
249	A	50	ILE
249	A	52	ARG
249	A	62	GLU
249	A	66	LEU
249	A	67	PHE
249	A	79	LEU
249	A	80	ARG
249	A	83	LYS
249	A	84	LEU
249	A	85	LYS

Model ID	Chain	Residue ID	Residue type
249	A	95	ARG
249	A	99	LEU
249	A	104	PHE
249	A	118	LEU
249	A	119	ARG
249	A	124	LYS
249	A	125	ARG
249	A	126	TRP
249	A	127	ASP
249	A	132	ASN
250	A	1	MET
250	A	2	ASN
250	A	7	LEU
250	A	8	ARG
250	A	10	ASP
250	A	11	GLU
250	A	13	LEU
250	A	14	ARG
250	A	16	LYS
250	A	20	ASP
250	A	27	ILE
250	A	33	LEU
250	A	35	LYS

Model ID	Chain	Residue ID	Residue type
250	A	38	SER
250	A	39	LEU
250	A	44	SER
250	A	46	LEU
250	A	53	ASN
250	A	65	LYS
250	A	85	LYS
250	A	91	LEU
250	A	95	ARG
250	A	104	PHE
250	A	106	MET
250	A	122	GLN
250	A	124	LYS
250	A	126	TRP
251	A	11	GLU
251	A	14	ARG
251	A	15	LEU
251	A	19	LYS
251	A	22	GLU
251	A	27	ILE
251	A	33	LEU
251	A	35	LYS
251	A	43	LYS

Model ID	Chain	Residue ID	Residue type
251	A	48	LYS
251	A	50	ILE
251	A	52	ARG
251	A	58	ILE
251	A	72	ASP
251	A	78	ILE
251	A	83	LYS
251	A	115	THR
251	A	141	GLN
252	A	151	THR
252	A	1	MET
252	A	11	GLU
252	A	14	ARG
252	A	16	LYS
252	A	20	ASP
252	A	33	LEU
252	A	35	LYS
252	A	45	GLU
252	A	46	LEU
252	A	47	ASP
252	A	52	ARG
252	A	62	GLU
252	A	67	PHE

Model ID	Chain	Residue ID	Residue type
252	A	76	ARG
252	A	79	LEU
252	A	80	ARG
252	A	83	LYS
252	A	84	LEU
252	A	96	ARG
252	A	104	PHE
252	A	118	LEU
252	A	124	LYS
252	A	132	ASN
252	A	139	TYR
252	A	141	GLN
252	A	145	ARG
253	A	151	THR
253	A	162	LYS
253	A	6	MET
253	A	8	ARG
253	A	22	GLU
253	A	27	ILE
253	A	35	LYS
253	A	38	SER
253	A	39	LEU
253	A	43	LYS

Model ID	Chain	Residue ID	Residue type
253	A	45	GLU
253	A	46	LEU
253	A	47	ASP
253	A	52	ARG
253	A	65	LYS
253	A	76	ARG
253	A	78	ILE
253	A	79	LEU
253	A	83	LYS
253	A	91	LEU
253	A	104	PHE
253	A	105	GLN
253	A	125	ARG
253	A	126	TRP
253	A	148	ARG
254	A	154	ARG
254	A	4	PHE
254	A	11	GLU
254	A	16	LYS
254	A	33	LEU
254	A	35	LYS
254	A	45	GLU
254	A	48	LYS

Model ID	Chain	Residue ID	Residue type
254	A	60	LYS
254	A	62	GLU
254	A	66	LEU
254	A	67	PHE
254	A	71	VAL
254	A	80	ARG
254	A	83	LYS
254	A	84	LEU
254	A	95	ARG
254	A	100	ILE
254	A	118	LEU
254	A	120	MET
254	A	122	GLN
254	A	124	LYS
254	A	126	TRP
254	A	132	ASN
255	A	1	MET
255	A	10	ASP
255	A	13	LEU
255	A	15	LEU
255	A	27	ILE
255	A	29	ILE
255	A	35	LYS

Model ID	Chain	Residue ID	Residue type
255	A	45	GLU
255	A	48	LYS
255	A	52	ARG
255	A	78	ILE
255	A	89	ASP
255	A	92	ASP
255	A	99	LEU
255	A	100	ILE
255	A	115	THR
255	A	126	TRP
255	A	128	GLU
255	A	145	ARG
255	A	147	LYS
256	A	159	ASP
256	A	4	PHE
256	A	7	LEU
256	A	11	GLU
256	A	13	LEU
256	A	22	GLU
256	A	33	LEU
256	A	43	LYS
256	A	45	GLU
256	A	48	LYS

Model ID	Chain	Residue ID	Residue type
256	A	52	ARG
256	A	55	ASN
256	A	62	GLU
256	A	67	PHE
256	A	80	ARG
256	A	83	LYS
256	A	84	LEU
256	A	96	ARG
256	A	99	LEU
256	A	100	ILE
256	A	104	PHE
256	A	117	SER
256	A	132	ASN
256	A	139	TYR
257	A	162	LYS
257	A	6	MET
257	A	11	GLU
257	A	13	LEU
257	A	15	LEU
257	A	27	ILE
257	A	35	LYS
257	A	38	SER
257	A	39	LEU

Model ID	Chain	Residue ID	Residue type
257	A	40	ASN
257	A	43	LYS
257	A	45	GLU
257	A	46	LEU
257	A	48	LYS
257	A	50	ILE
257	A	62	GLU
257	A	64	GLU
257	A	65	LYS
257	A	66	LEU
257	A	70	ASP
257	A	81	ASN
257	A	83	LYS
257	A	85	LYS
257	A	91	LEU
257	A	92	ASP
257	A	99	LEU
257	A	100	ILE
257	A	118	LEU
257	A	119	ARG
257	A	137	ARG
258	A	162	LYS
258	A	1	MET

Model ID	Chain	Residue ID	Residue type
258	A	2	ASN
258	A	4	PHE
258	A	6	MET
258	A	11	GLU
258	A	13	LEU
258	A	14	ARG
258	A	27	ILE
258	A	35	LYS
258	A	50	ILE
258	A	52	ARG
258	A	53	ASN
258	A	60	LYS
258	A	62	GLU
258	A	65	LYS
258	A	68	ASN
258	A	69	GLN
258	A	70	ASP
258	A	72	ASP
258	A	76	ARG
258	A	80	ARG
258	A	85	LYS
258	A	92	ASP
258	A	96	ARG

Model ID	Chain	Residue ID	Residue type
258	A	114	PHE
258	A	122	GLN
258	A	126	TRP
259	A	154	ARG
259	A	159	ASP
259	A	161	TYR
259	A	1	MET
259	A	4	PHE
259	A	6	MET
259	A	7	LEU
259	A	11	GLU
259	A	15	LEU
259	A	22	GLU
259	A	27	ILE
259	A	33	LEU
259	A	39	LEU
259	A	43	LYS
259	A	45	GLU
259	A	50	ILE
259	A	58	ILE
259	A	85	LYS
259	A	92	ASP
259	A	99	LEU

Model ID	Chain	Residue ID	Residue type
259	A	100	ILE
259	A	115	THR
259	A	118	LEU
259	A	120	MET
260	A	6	MET
260	A	9	ILE
260	A	11	GLU
260	A	15	LEU
260	A	19	LYS
260	A	22	GLU
260	A	27	ILE
260	A	43	LYS
260	A	48	LYS
260	A	53	ASN
260	A	65	LYS
260	A	83	LYS
260	A	84	LEU
260	A	85	LYS
260	A	91	LEU
260	A	99	LEU
260	A	100	ILE
260	A	102	MET
260	A	108	GLU

Model ID	Chain	Residue ID	Residue type
260	A	118	LEU
260	A	124	LYS
260	A	126	TRP
261	A	6	MET
261	A	27	ILE
261	A	39	LEU
261	A	43	LYS
261	A	62	GLU
261	A	65	LYS
261	A	66	LEU
261	A	76	ARG
261	A	78	ILE
261	A	85	LYS
261	A	91	LEU
261	A	105	GLN
261	A	108	GLU
261	A	120	MET
261	A	128	GLU
261	A	151	THR
262	A	154	ARG
262	A	2	ASN
262	A	4	PHE
262	A	11	GLU

Model ID	Chain	Residue ID	Residue type
262	A	16	LYS
262	A	27	ILE
262	A	35	LYS
262	A	62	GLU
262	A	66	LEU
262	A	69	GLN
262	A	70	ASP
262	A	83	LYS
262	A	84	LEU
262	A	90	SER
262	A	91	LEU
262	A	96	ARG
262	A	99	LEU
262	A	115	THR
262	A	120	MET
262	A	122	GLN
262	A	126	TRP
262	A	141	GLN
262	A	147	LYS
263	A	161	TYR
263	A	7	LEU
263	A	11	GLU
263	A	16	LYS

Model ID	Chain	Residue ID	Residue type
263	A	19	LYS
263	A	27	ILE
263	A	35	LYS
263	A	38	SER
263	A	39	LEU
263	A	43	LYS
263	A	45	GLU
263	A	46	LEU
263	A	48	LYS
263	A	50	ILE
263	A	53	ASN
263	A	66	LEU
263	A	83	LYS
263	A	88	TYR
263	A	99	LEU
263	A	126	TRP
263	A	135	LYS
263	A	137	ARG
263	A	151	THR
264	A	11	GLU
264	A	14	ARG
264	A	27	ILE
264	A	43	LYS

Model ID	Chain	Residue ID	Residue type
264	A	48	LYS
264	A	58	ILE
264	A	62	GLU
264	A	83	LYS
264	A	96	ARG
264	A	99	LEU
264	A	106	MET
264	A	118	LEU
264	A	120	MET
264	A	124	LYS
264	A	135	LYS
264	A	137	ARG
265	A	161	TYR
265	A	7	LEU
265	A	11	GLU
265	A	27	ILE
265	A	31	HIS
265	A	32	LEU
265	A	38	SER
265	A	39	LEU
265	A	43	LYS
265	A	47	ASP
265	A	52	ARG

Model ID	Chain	Residue ID	Residue type
265	A	58	ILE
265	A	76	ARG
265	A	78	ILE
265	A	80	ARG
265	A	83	LYS
265	A	91	LEU
265	A	104	PHE
265	A	124	LYS
265	A	125	ARG
265	A	126	TRP
266	A	1	MET
266	A	11	GLU
266	A	16	LYS
266	A	19	LYS
266	A	27	ILE
266	A	43	LYS
266	A	45	GLU
266	A	52	ARG
266	A	61	ASP
266	A	62	GLU
266	A	69	GLN
266	A	76	ARG
266	A	79	LEU

Model ID	Chain	Residue ID	Residue type
266	A	80	ARG
266	A	83	LYS
266	A	120	MET
266	A	126	TRP
266	A	132	ASN
267	A	1	MET
267	A	20	ASP
267	A	22	GLU
267	A	33	LEU
267	A	35	LYS
267	A	45	GLU
267	A	50	ILE
267	A	52	ARG
267	A	60	LYS
267	A	62	GLU
267	A	65	LYS
267	A	66	LEU
267	A	67	PHE
267	A	78	ILE
267	A	79	LEU
267	A	80	ARG
267	A	83	LYS
267	A	84	LEU

Model ID	Chain	Residue ID	Residue type
267	A	99	LEU
267	A	102	MET
267	A	104	PHE
267	A	119	ARG
267	A	124	LYS
267	A	126	TRP
268	A	7	LEU
268	A	8	ARG
268	A	11	GLU
268	A	14	ARG
268	A	20	ASP
268	A	27	ILE
268	A	35	LYS
268	A	46	LEU
268	A	52	ARG
268	A	60	LYS
268	A	62	GLU
268	A	64	GLU
268	A	66	LEU
268	A	78	ILE
268	A	80	ARG
268	A	89	ASP
268	A	92	ASP

Model ID	Chain	Residue ID	Residue type
268	A	115	THR
269	A	6	MET
269	A	11	GLU
269	A	13	LEU
269	A	27	ILE
269	A	35	LYS
269	A	39	LEU
269	A	43	LYS
269	A	45	GLU
269	A	53	ASN
269	A	60	LYS
269	A	65	LYS
269	A	66	LEU
269	A	70	ASP
269	A	78	ILE
269	A	83	LYS
269	A	85	LYS
269	A	99	LEU
269	A	100	ILE
269	A	122	GLN
270	A	161	TYR
270	A	1	MET
270	A	4	PHE

Model ID	Chain	Residue ID	Residue type
270	A	8	ARG
270	A	11	GLU
270	A	13	LEU
270	A	27	ILE
270	A	33	LEU
270	A	43	LYS
270	A	45	GLU
270	A	48	LYS
270	A	50	ILE
270	A	52	ARG
270	A	55	ASN
270	A	62	GLU
270	A	67	PHE
270	A	69	GLN
270	A	71	VAL
270	A	72	ASP
270	A	76	ARG
270	A	79	LEU
270	A	80	ARG
270	A	84	LEU
270	A	85	LYS
270	A	95	ARG
270	A	99	LEU

Model ID	Chain	Residue ID	Residue type
270	A	105	GLN
270	A	124	LYS
270	A	126	TRP
270	A	132	ASN
270	A	135	LYS
270	A	141	GLN
271	A	159	ASP
271	A	1	MET
271	A	4	PHE
271	A	13	LEU
271	A	16	LYS
271	A	19	LYS
271	A	20	ASP
271	A	22	GLU
271	A	27	ILE
271	A	29	ILE
271	A	33	LEU
271	A	35	LYS
271	A	39	LEU
271	A	47	ASP
271	A	50	ILE
271	A	52	ARG
271	A	53	ASN

Model ID	Chain	Residue ID	Residue type
271	A	58	ILE
271	A	80	ARG
271	A	83	LYS
271	A	85	LYS
271	A	91	LEU
271	A	106	MET
271	A	122	GLN
271	A	124	LYS
271	A	126	TRP
271	A	135	LYS
272	A	1	MET
272	A	8	ARG
272	A	13	LEU
272	A	14	ARG
272	A	15	LEU
272	A	19	LYS
272	A	24	TYR
272	A	27	ILE
272	A	43	LYS
272	A	48	LYS
272	A	52	ARG
272	A	62	GLU
272	A	79	LEU

Model ID	Chain	Residue ID	Residue type
272	A	84	LEU
272	A	85	LYS
272	A	99	LEU
272	A	102	MET
272	A	104	PHE
272	A	108	GLU
272	A	118	LEU
272	A	121	LEU
272	A	126	TRP
273	A	11	GLU
273	A	14	ARG
273	A	15	LEU
273	A	27	ILE
273	A	32	LEU
273	A	35	LYS
273	A	39	LEU
273	A	43	LYS
273	A	52	ARG
273	A	58	ILE
273	A	62	GLU
273	A	72	ASP
273	A	76	ARG
273	A	78	ILE

Model ID	Chain	Residue ID	Residue type
273	A	83	LYS
273	A	85	LYS
273	A	96	ARG
273	A	99	LEU
273	A	100	ILE
273	A	119	ARG
273	A	125	ARG
273	A	128	GLU
273	A	151	THR
274	A	159	ASP
274	A	1	MET
274	A	6	MET
274	A	8	ARG
274	A	11	GLU
274	A	14	ARG
274	A	15	LEU
274	A	27	ILE
274	A	29	ILE
274	A	43	LYS
274	A	46	LEU
274	A	50	ILE
274	A	53	ASN
274	A	64	GLU

Model ID	Chain	Residue ID	Residue type
274	A	76	ARG
274	A	96	ARG
274	A	99	LEU
274	A	115	THR
274	A	126	TRP
274	A	137	ARG
275	A	162	LYS
275	A	1	MET
275	A	11	GLU
275	A	16	LYS
275	A	19	LYS
275	A	22	GLU
275	A	29	ILE
275	A	43	LYS
275	A	45	GLU
275	A	47	ASP
275	A	52	ARG
275	A	62	GLU
275	A	65	LYS
275	A	76	ARG
275	A	80	ARG
275	A	83	LYS
275	A	84	LEU

Model ID	Chain	Residue ID	Residue type
275	A	85	LYS
275	A	92	ASP
275	A	95	ARG
275	A	104	PHE
275	A	106	MET
275	A	118	LEU
275	A	124	LYS
275	A	126	TRP
275	A	132	ASN
275	A	135	LYS
275	A	141	GLN
276	A	1	MET
276	A	6	MET
276	A	11	GLU
276	A	27	ILE
276	A	39	LEU
276	A	48	LYS
276	A	65	LYS
276	A	66	LEU
276	A	69	GLN
276	A	76	ARG
276	A	78	ILE
276	A	83	LYS

Model ID	Chain	Residue ID	Residue type
276	A	84	LEU
276	A	88	TYR
276	A	99	LEU
276	A	100	ILE
276	A	122	GLN
276	A	126	TRP
276	A	137	ARG
276	A	151	THR
277	A	1	MET
277	A	8	ARG
277	A	11	GLU
277	A	14	ARG
277	A	15	LEU
277	A	20	ASP
277	A	22	GLU
277	A	27	ILE
277	A	33	LEU
277	A	35	LYS
277	A	48	LYS
277	A	52	ARG
277	A	60	LYS
277	A	62	GLU
277	A	64	GLU

Model ID	Chain	Residue ID	Residue type
277	A	66	LEU
277	A	67	PHE
277	A	69	GLN
277	A	78	ILE
277	A	79	LEU
277	A	95	ARG
277	A	100	ILE
277	A	118	LEU
277	A	126	TRP
277	A	132	ASN
277	A	138	TRP
278	A	1	MET
278	A	33	LEU
278	A	35	LYS
278	A	45	GLU
278	A	62	GLU
278	A	65	LYS
278	A	80	ARG
278	A	84	LEU
278	A	95	ARG
278	A	104	PHE
278	A	106	MET
278	A	118	LEU

Model ID	Chain	Residue ID	Residue type
278	A	124	LYS
278	A	126	TRP
278	A	128	GLU
278	A	132	ASN
279	A	1	MET
279	A	7	LEU
279	A	8	ARG
279	A	10	ASP
279	A	11	GLU
279	A	13	LEU
279	A	14	ARG
279	A	19	LYS
279	A	20	ASP
279	A	24	TYR
279	A	27	ILE
279	A	33	LEU
279	A	34	THR
279	A	38	SER
279	A	45	GLU
279	A	48	LYS
279	A	53	ASN
279	A	61	ASP
279	A	80	ARG

Model ID	Chain	Residue ID	Residue type
279	A	85	LYS
279	A	91	LEU
279	A	95	ARG
279	A	106	MET
279	A	122	GLN
279	A	126	TRP
279	A	135	LYS
280	A	162	LYS
280	A	1	MET
280	A	11	GLU
280	A	19	LYS
280	A	33	LEU
280	A	35	LYS
280	A	45	GLU
280	A	60	LYS
280	A	62	GLU
280	A	64	GLU
280	A	80	ARG
280	A	84	LEU
280	A	85	LYS
280	A	91	LEU
280	A	96	ARG
280	A	100	ILE

Model ID	Chain	Residue ID	Residue type
280	A	102	MET
280	A	118	LEU
280	A	121	LEU
280	A	122	GLN
280	A	124	LYS
280	A	126	TRP
280	A	132	ASN
280	A	135	LYS
280	A	141	GLN
280	A	151	THR
281	A	1	MET
281	A	4	PHE
281	A	7	LEU
281	A	9	ILE
281	A	29	ILE
281	A	35	LYS
281	A	43	LYS
281	A	52	ARG
281	A	62	GLU
281	A	64	GLU
281	A	65	LYS
281	A	66	LEU
281	A	79	LEU

Model ID	Chain	Residue ID	Residue type
281	A	80	ARG
281	A	83	LYS
281	A	84	LEU
281	A	85	LYS
281	A	95	ARG
281	A	99	LEU
281	A	104	PHE
281	A	106	MET
281	A	119	ARG
281	A	120	MET
281	A	125	ARG
281	A	126	TRP
281	A	127	ASP
281	A	132	ASN
282	A	1	MET
282	A	11	GLU
282	A	14	ARG
282	A	35	LYS
282	A	43	LYS
282	A	52	ARG
282	A	62	GLU
282	A	78	ILE
282	A	83	LYS

Model ID	Chain	Residue ID	Residue type
282	A	88	TYR
282	A	92	ASP
282	A	99	LEU
282	A	100	ILE
282	A	115	THR
282	A	126	TRP
282	A	141	GLN
282	A	151	THR
283	A	1	MET
283	A	11	GLU
283	A	33	LEU
283	A	35	LYS
283	A	43	LYS
283	A	45	GLU
283	A	48	LYS
283	A	62	GLU
283	A	79	LEU
283	A	84	LEU
283	A	88	TYR
283	A	99	LEU
283	A	104	PHE
283	A	118	LEU
283	A	120	MET

Model ID	Chain	Residue ID	Residue type
283	A	123	GLN
283	A	126	TRP
283	A	132	ASN
283	A	147	LYS
283	A	154	ARG
283	A	161	TYR

Fit of model to data used for modeling ?

Single molecule FRET

Validation for this section is under development.

Fit of model to data used for validation ?

Validation for this section is under development.

Acknowledgements

Development of integrative model validation metrics, implementation of a model validation pipeline, and creation of a validation report for integrative structures, are funded by NSF ABI awards (DBI-1756248, DBI-2112966, DBI-2112967, DBI-2112968, and DBI-1756250). The [PDB-Dev team](#) and members of [Sali lab](#) contributed model validation metrics and software packages.

Implementation of validation methods for SAS data and SAS-based models are funded by [RCSB PDB](#) (grant number DBI-1832184). Dr. Stephen Burley, Dr. John Westbrook, and Dr. Jasmine Young from [RCSB PDB](#), Dr. Jill Trehwella, Dr. Dina Schneidman, and members of the [SASBDB](#) repository are acknowledged for their advice and support in implementing SAS validation methods.

Members of the [wwPDB Integrative/Hybrid Methods Task Force](#) provided recommendations and community support for the project.